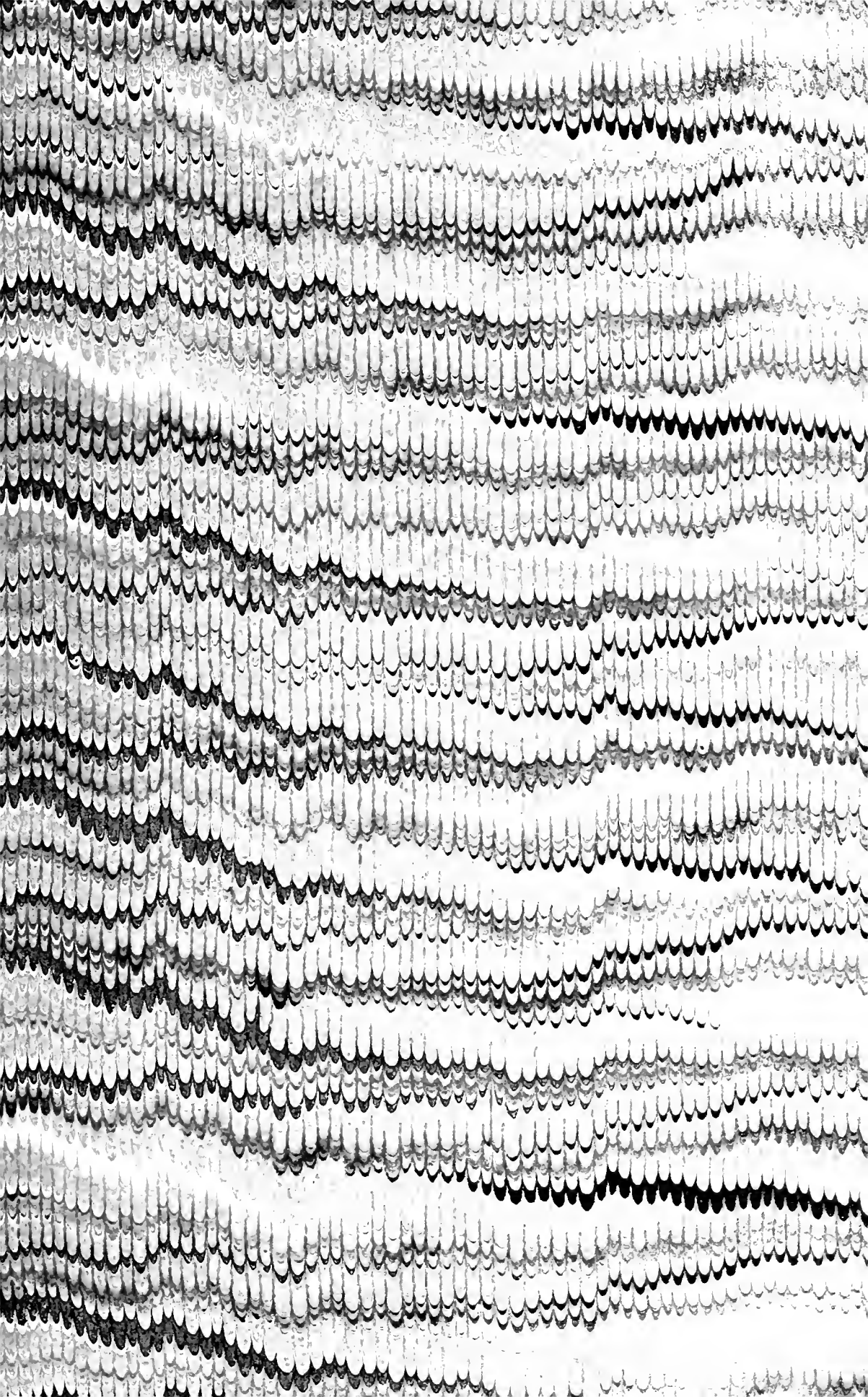




Library of
Wellesley College.
Presented by



No.



LEHRBUCH
ZUR
BAHNBESTIMMUNG
DER
KOMETEN UND PLANETEN

VON

THEODOR R. v. OPPOLZER,

DR. MED., K. K. REGIERUNGSRATH UND PROFESSOR DER ASTRONOMIE AN DER UNIVERSITÄT WIEN.

ZWEITER BAND.

LEIPZIG,
VERLAG VON WILHELM ENGELMANN
1880.

VORREDE.

Es sind nahe zehn Jahre seit dem Erscheinen des ersten Bandes meines Lehrbuches verflossen und erst jetzt folgt der zweite Band: ich glaube nicht, dass diese Verzögerung demselben zum Nachtheile gereicht hat. Vergleiche ich mit dem vorliegenden Bande meine damals gemachten Entwürfe, so findet sich fast keine Spur der ursprünglichen Ausarbeitung erhalten; während diese fast einen kompilatorischen Charakter zeigte, bringt jener mehrfach Neues und Besseres. Dieser Umstand bedingt auch eine gewisse Ungleichförmigkeit in der Bearbeitung der beiden Bände; ich würde Vieles an meinem ersten Werke zu ändern und zu verbessern haben, um dasselbe dem vorliegenden anzupassen.

Mit diesem zweiten Bande ist das von mir nach dem ursprünglichen Plane für das vorliegende Lehrbuch in Aussicht genommene Material erschöpft; allerdings hätte ich gern noch einige Kapitel näher ausarbeiten und einige Zusätze machen wollen; ich zähle zu diesen die Auseinandersetzung der allgemeinen Störungen und eine eingehende Behandlung der Methoden zur Bestimmung der speciellen Störungen für die periodischen Kometen, doch wäre dadurch der ohnehin über Gebühr angewachsene zweite Band nahe um die halbe Bogenzahl stärker geworden. Ich musste daher auf die Aufnahme dieser Kapitel verzichten; übrigens wird die Bearbeitung der periodischen Kometen nach den hier zum Vortrage gebrachten Methoden ohne Schwierigkeit durchführbar sein.

Bei der Herstellung des vorliegenden Werkes war ich vielfach unterstützt durch die werktthätige Hilfe einiger jüngerer Astronomen,

die mit seltener Ausdauer und mit hervorragendem Geschick sich an der Ausführung der Beispiele, der Rechnung der beigegebenen Tafeln und insbesondere bei der mühevollen Korrektur des Druckes betheiligten; es sind diess die Herren Ferdinand Anton und Robert Schram, beide Observatoren der k. k. österr. Gradmessung, der Assistent an demselben Institute Herr Franz Kühnert und Herr F. K. Ginzel. Ich kann es nicht unterlassen den Genannten an dieser Stelle meinen wärmsten Dank auszusprechen.

Keines der vielen Zahlenbeispiele des vorliegenden Werkes ist unkontrollirt geblieben; in der Regel habe ich für die Beispiele die erste Rechnung durchgeführt und einer der genannten Herren hat dieselbe unabhängig wiederholt; hierbei galt als Regel, die letzte Stelle der Rechnung entsprechend den angewandten Hilfsmitteln völlig sicher zu stellen.

Eine besondere Sorgfalt wurde auf die korrekte Herstellung des Satzes verwandt; es wird sich dadurch dieser Band gewiss sehr vorthellhaft seinem Vorgänger gegenüber auszeichnen; trotzdem sind im Texte und in den Formeln einige Fehler stehen geblieben, die ich, soweit mir dieselben bekannt geworden sind, in das am Schlusse aufgeführte Fehlerverzeichniss aufgenommen habe; eine Berichtigung der erheblicheren Fehler wäre vor dem Gebrauche des Werkes jedenfalls zu empfehlen. Die Zahlenangaben der Tafeln werden sich wohl durchwegs korrekt erweisen innerhalb der im Texte näher bezeichneten Genauigkeitsgrenzen.

Wien im November 1879

Der Verfasser.

Inhaltsverzeichnis.

	Seite
I. Ueber die numerische Differentiation und Integration	1
§ 1. Allgemeine Uebersicht über das vorgelegte Problem und über die dabei auftretenden Bezeichnungen.	1
§ 2. Aufstellung einiger Relationen zwischen den Combinationssummen der Quadrate der geraden und ungeraden Zahlen.	8
§ 3. Darstellung einer Funktion durch ihre Differenzwerthe	13
§ 4. Ermittlung der numerischen Differentialquotienten einer Funktion	16
§ 5. Ermittlung der numerischen Integrale einer Funktion	32
A. Einfache Integrale	32
B. Doppelte Integrale	49
Anhang	66
II. Ermittlung der speciellen Störungen	69
§ 1. Allgemeines und Entwicklung der Grundgleichungen	69
A. Encke's Methode der Berechnung der speciellen Störungen	72
§ 2. Transformation der Grundgleichungen	72
§ 3. Die Bestimmung der Coordinaten	82
Berechnung einer Oppositionsephemeride mit strenger Berücksichtigung der Störungen	87
§ 4. Uebergang auf osculirende Elemente bei Encke's Methode	88
§ 5. Rechnungsbeispiel zu Encke's Methode	101
Numerische Rechnung.	117
Beispiel für den Uebergang auf osculirende Elemente	129
B. Specielle Störungen in den polaren Coordinaten	139
§ 1. Aufstellung der Differentialgleichungen.	139
§ 2. Integration der Differentialgleichungen	149
§ 3. Berechnung der Coordinaten	156
Berechnung einer Ephemeride mit strenger Berücksichtigung der Störungen.	161
§ 4. Uebergang auf osculirende Elemente nach Hansen-Tietjen's Methode	163
§ 5. Rechnungsbeispiel zu Hansen-Tietjen's Methode.	173
Numerische Rechnung.	183
Beispiel für den Uebergang auf osculirende Elemente	205
C. Variation der Constanten.	213
§ 1. Aufstellung der Differentialgleichungen.	213
§ 2. Berechnung der Coordinaten und der storenden Kräfte	226
Berechnung einer Ephemeride mit Berücksichtigung der Störungen	231
§ 3. Rechnungsbeispiel zur Variation der Constanten.	231
Numerische Rechnung.	239

	Seite
<i>D.</i> Allgemeine Uebersicht der Methoden zur strengen Berechnung der speciellen Störungen	255
<i>E.</i> Ermittlung der Störungswerthe mit Rücksicht auf die ersten Potenzen derselben.	257
Numerische Rechnung	266
III. Methode der kleinsten Quadrate.	276
<i>A.</i> Theoretische Grundlage der Methode der kleinsten Quadrate und deren Anwendung auf die einfachsten Fälle	276
§ 1. Allgemeine Betrachtungen	276
§ 2. Die gesetzmässige Vertheilung der Beobachtungsfehler	281
§ 3. Das Maass der Präcision	288
§ 4. Der wahrscheinliche Fehler.	291
§ 5. Der Durchschnittsfehler und der mittlere Fehler.	298
§ 6. Das Verhältniss der Genauigkeit des arithmetischen Mittels zu der einer Einzelbeobachtung	300
§ 7. Bestimmung des mittleren und des Durchschnittsfehlers aus gleichwerthigen Beobachtungen	301
§ 8. Erläuterung und Prüfung der vorstehenden Methoden durch die Beobachtungen	303
§ 9. Bestimmung des mittleren Fehlers aus ungleichwerthigen Beobachtungen	306
§ 10. Ermittlung des mittleren Fehlers eines Resultates aus der Summe und Differenz directer Beobachtungen	309
<i>B.</i> Anwendung der Methode der kleinsten Quadrate auf die Bestimmung einer oder mehrer unabhängiger Unbekannten aus Beobachtungen	311
§ 1. Allgemeines	311
§ 2. Bildung der Normalgleichungen	311
1. Numerisches Beispiel mit Benutzung von Logarithmen	320
2. Numerisches Beispiel mit Benützung der Quadrattafel	327
§ 3. Bestimmung der Eliminationsgleichungen.	329
Schema	310
§ 4. Bestimmung der Unbekannten aus den Eliminationsgleichungen	344
Durch succesive Substitution Schema	344
Unabhängige Bestimmung jeder einzelnen Unbekannten 1. Schema.	348
2. Schema	350
§ 5. Bestimmung der Gewichte und der mittleren Fehler der Unbekannten	353
Schema.	360
§ 6. Behandlung der vorgelegten Aufgabe im Falle, dass die Auflösung der Normalgleichungen besonderen Unsicherheiten unterworfen ist	362
IV. Ableitung der Elemente aus einer beliebig grossen Zahl von Beobachtungen	371
<i>A.</i> Bildung der Normalorte	371
<i>B.</i> Anschluss der Elemente an die Beobachtungen mit strenger Berücksichtigung der Principien der Methode der kleinsten Quadrate	382
§ 1. Allgemeines	382
§ 2. Darstellung der Variationen der Beobachtungen durch die Variationen des Knotens, der Neigung, der Länge in der Bahn und des Radius vectors	383
§ 3. Entwicklung der Differentialquotienten von r und r nach den Elementen in Bahnen mit mässiger Excentricität.	386
Formelzusammenstellung für Planetenbahnen	390
Formelzusammenstellung für Bahnen periodischer Kometen kurzer Umlaufzeit	391

	Seite
§ 4. Entwicklung der Differentialquotienten von r und r' nach den Elementen in nahezu parabolischen Bahnen	396
Formelzusammenstellung.	405
§ 5. Die Differentialquotienten mit Rücksicht auf die Störungen	408
§ 6. Beispiele	410
Planeten-Beispiel 'Erato'	410
Beispiel für periodische Kometen Komet Winnecke III 1819	416
Beispiel für nahezu parabolische Bahnen Komet I 1866	418
§ 7. Bestimmung der Bahnelemente eines kleinen Planeten aus den Beobachtungen einer Opposition	428
Beispiel Hilda	438
C. Anschluss der Elemente an die Beobachtungen mit genäherter Berücksichtigung der Principien der Methode der kleinsten Quadrate	464
§ 1. Die Lambert'sche Gleichung	464
§ 2. Ableitung der Elemente aus zwei heliocentrischen Orten	472
§ 3. Variation der Distanzen	480
Beispiel für einen Planeten Concordia	484
§ 4. Variation des Verhältnisses der Distanzen	487
α . Parabolische Elemente	487
Beispiel Komet I. 1847	489
β . Bestimmte Annahme über a	497
γ . Uebergang von der Parabel auf nahezu parabolische Bahnen Hornestein's Methode	498
Beispiel Komet I 1847	501
§ 5. Variation der Distanzen mit Benützung der Variation des Verhältnisses der Distanzen	507
V. Anhang	512
VI. Tafeln	513
Berichtigungen	631

Berichtigungen zum II. Bande von Oppolzer's Lehrbuch der Bahnbestimmung.

Seite 4. Zeile 4 von oben sind die Aufschriften der 2. und 3. Columnne zu vertauschen.

- 5. Formel 3) statt $\sum_{i=i_1}^{i=i_1-1} f(a + i + 1) w$ lies: $\sum_{i=i_1}^{i=i_1-1} f(a + i + 1) w$

- 5. Formel 4) statt $\sum_{i=i_1}^{i=i_1-1} f(a + i + \frac{1}{2}) w$ lies: $\sum_{i=i_1}^{i=i_1-1} f(a + i + \frac{1}{2}) w$

- 7. Zeile 4 von oben statt Combination lies: Klasse

- 9. - 4 von unten statt $\sum_{p=1}^{p=d+1} (-1)^{\frac{d+1-p}{2}} \frac{n^{2p-1}}{2^{2(d-p)+1}} C \{ 2^2, 4^2, \dots, 2d^2 \}$

lies: $\sum_{p=1}^{p=d+1} (-1)^{\frac{d+1-p}{2}} \frac{n^{2p-1}}{2^{2(d-p)+1}} C \{ 2^2, 4^2, \dots, 2d^2 \}$

- 11. - 4 von oben statt $1^2, 3^2, \dots$ lies: $1^2, 3^2, \dots$

- 18. - 2 von unten statt $C^3 \{ 1^2, \dots, 7^2 \}$ lies: $C^3 \{ 1^2, \dots, 7^2 \}$

- 19. in $N_2^{10} n$ statt $9 \cdot 10 n^2$ lies $9 \cdot 10 n^2$

- 19. in Formel 10) statt $w^2 \frac{df l}{dl^2} =$ lies: $w^2 \frac{d^2 f l}{dl^2} =$

- 20. in $M_2^9 m$ statt $6 \cdot 7 m^2$ lies: $6 \cdot 7 m^1$

- 34. Zeile 2 von oben statt $\frac{1}{w} \int_{a+\frac{1}{2}w}^{a+(\frac{1}{2}+1)w} f(a + i + n) w) dl$ lies: $\frac{1}{w} \int_{a+\frac{1}{2}w}^{a+(\frac{1}{2}+1)w} f(a + i + n) w) dl$

- 35. in den Formeln 11) statt $P \binom{2d-1}{1}$ lies: P_1^{2d-1}

- 35. in den Formeln 11) statt $Q \binom{2d-1}{1}$ lies: Q_1^{2d-1}

- 38. Zeile 11 von oben statt »von der oberen« lies: »von jenem der oberen«.

- 39. - 4 von unten statt $\int f(a + i + n) w dl$ lies: $\int f(a + i + n) w) dl$

- 43. - 4 von oben statt $m \pm < \frac{1}{4}$ lies: $m < \pm \frac{1}{4}$

- 44. in der Integraltafel sollen die ersten Werthe der absteigenden Differenzen sein: $-649.73. + 38.32. + 12.36. - 4.28. + 0.47$

- Seite 45. Zeile 16 von unten statt $S_g = + 616.147$ lies: $S_g = + 946.147$
- 46. - 14 von unten statt $mS_g = + 94.156$ lies: $mS_g = + 94.165$
- 46. - 13 von unten statt $+ 26529.80$ lies: $+ 26529.81$
- 53. - 7 von unten statt $f''a$ lies: $f''(a)$
- 54. Formeln 31 statt $P \binom{2d-1}{1}; Q \binom{2d-1}{1}; P \binom{2d-2}{2}; Q \binom{2d-2}{2}$
 lies: $P_1^{2d-1}; Q_1^{2d-1}; P_2^{2d-2}; Q_2^{2d-2}$
- 54. Zeile 11 von unten statt (pag. 45) lies: pag. 49
- 60. - 9 von oben statt P_0^2 lies: P_2^0
- 63. - 8 von unten statt »gebildete Summationsreihe« lies: »gebildeten Summationsreihen«.
- 64. Zeile 14 von oben statt $-\frac{1}{24} f''a + (i + \frac{1}{2}) w$
 lies: $-\frac{1}{24} f'(a + (i + \frac{1}{2}) w)$
- 71. - 10 von unten statt $\frac{x_1}{r_1}$ lies: $\frac{x_1}{r_1^3}$
- 76. - 11 von unten statt $f = \frac{a^2 + a^3 + a^4}{1 + a}$ lies: $f = 2 \frac{a^2 + a^3 + a^4}{1 + a}$
- 78. - 2 von unten statt $\frac{k^2}{r^3}$ lies: $\frac{k^2}{r_0^3}$
- 79. in den Formeln 12 ist statt $\frac{1}{12} \frac{d^2 \xi}{dt^2}$ zu setzen: $\frac{1}{12} \frac{d^2 \xi}{dt^2} - \frac{1}{12} \Sigma X$
- 79. in den Formeln 12 ist statt $\frac{1}{12} \frac{d^2 \eta}{dt^2}$ zu setzen: $\frac{1}{12} \frac{d^2 \eta}{dt^2} - \frac{1}{12} \Sigma Y$
- 79. in den Formeln 12 ist statt $\frac{1}{12} \frac{d^2 \zeta}{dt^2}$ zu setzen: $\frac{1}{12} \frac{d^2 \zeta}{dt^2} - \frac{1}{12} \Sigma Z$
- 83. Zeile 3 von unten statt $-\sin Q \sin i$ lies: $-\sin Q \cos i$
- 88. - 6 von unten statt »vergleichende« lies: »vergleichbare«
- 89. - 15 von oben am Schlusse statt $\mathcal{A}(p)$ lies: $\mathcal{A}(p^-)$
- 89. - 7 von unten statt $\left(\frac{1 \bar{p}_0 + \mathcal{A} 1 \bar{p}}{k} \right)$ lies: $\left(\frac{1 \bar{p}_0 + \mathcal{A} 1 \bar{p}^-}{k} \right)$
- 99. - 18 von oben statt $\sin 1''$ lies: $\sin 1''$
- 100. - 12 von oben statt »vortesllt« lies: »vorstellt«
- 100. 2. Zeile in Formel I statt $-\sin Q \cos i_0$ lies: $-\sin Q_0 \cos i_0$
- 105. Zeile 4 von oben statt 6.8 lies: 6''8
- 106. - 17 von unten statt $-\sin Q \sin i$ lies: $-\sin Q \cos i$
- 106. - 5 von unten statt $\sin Q \cos i$ lies: $-\sin Q \cos i$
- 108. - 13 von oben statt $\sin \vartheta$ lies: $\varrho \sin \vartheta$
- 108. in Formel IV) ist überall statt ω, w zu setzen
- 108. Zeile 2 von unten statt $+\frac{17}{5760}$ lies: $-\frac{17}{5760}$
- 109. in Formel V) ist in den ersten Gliedern statt f zu setzen: f''
- 111. Zeile 9 von oben statt 2.308069 lies: 2.328069
- 111. - 10 von oben statt 2.728784, 2.128385 lies: 2.728784, 2.028385
- 111. - 13 von oben statt 0.563203 lies: 9.563293

- Seite 112, in der \mathcal{f} Columnne, Zeile 2 von oben statt $- 257.64$ lies: $- 257.61$
- 112, in der \mathcal{f} Columnne, Zeile 4 von oben statt $+ 10.78$ lies: $+ 10.87$
- 115, Zeile 16, 17 u. 18 von oben in den Gleichungen für X_2 , Y_2 , Z_2 erhalten die Glieder rechts vom $=$ das negative Vorzeichen.
- 130, Zeile 9 von unten statt $wk): \mathcal{V}_{p_0}$ lies $wk): \mathcal{V}_{p_0}$
- 133, - 15 von oben statt $s - \frac{1}{2} [\mathcal{Q} + \mathcal{Q}_0]$ lies: $S - \frac{1}{2} [\mathcal{Q} + \mathcal{Q}_0]$
- 136, - 12 von unten statt $9_n 7834120$ lies: $9_n 7835120$
- 137, - 13 von oben statt 9.0525751 lies: 0.0525751
- 138, - 5 von unten statt $0.604\ 0513$ und $\sin q \sin E$ lies 9.6040513 und $e'' \sin E$
- 146, Zeile 3 von unten im 3. Gliede links vom $=$ statt $\frac{k^2}{r^2}$ lies: $\frac{k^2}{r^2}$
- 148, in den Formeln IX in der 3. Gleichung statt $\frac{d^2 z}{dt^2}$ lies: $\frac{d^2 z}{dt^2}$
- 151 ist in dem Differenzschema in der Mitte der Seite überall statt ω , w zu setzen.
- 151 ist in Formel 1 in den Gleichungen für B und C , statt ω , w zu setzen. ausserdem muss die Gleichung für D lauten: $D = \frac{1}{6} f^{111} a - \frac{1}{2} w$
- 156, Zeile 14 von oben statt H' lies: H'_1
- 169, in Formeln 25 ist in der ersten Gleichung links vom $=$ statt \mathcal{V}_p zu setzen: $k \mathcal{V}_p$
- 170, 4. Zeile der Formeln II, statt r lies: r
- 174, Zeile 4 von oben statt $\log 2 k 10^7 \mathcal{V}_{p_0}$ lies: $\log 2 wk 10^7 \mathcal{V}_{p_0}$
- 174, - 5 von oben statt $\log 2 k \mathcal{V}_{p_0}$ lies: $\log 2 wk \mathcal{V}_{p_0}$
- 177, - 6 von unten statt $+\frac{1}{2} \left[\right]$ lies: $-\frac{1}{2} \left[\right]$
- 180, - 10 von unten ist für γ in der Columnne $\mathcal{J}\omega$ statt $- 0.08$ zu setzen: $- 0.07$
- 181, Zeile 5 von oben fehlt $=$ nach $1 + r$
- 206, - 9 von oben statt $+\frac{1^*}{2920}$ lies: $+\frac{1^*}{1920}$
- 209, - 4 von oben statt Formel lies: Formeln
- 234, - 2 von oben statt 1871 lies: 1872
- 234, - 4 von oben statt 1872 lies: 1873
- 234, - 10 von oben statt $f(a + [i - \frac{1}{2}] w$ lies $\mathcal{V}f(a + [i - \frac{1}{2}] w$
- 234, - 18 von oben statt 1871 lies: 1872
- 234, - 16 von unten statt $f' a + [i - \frac{1}{2}] w$ lies: $\mathcal{V}f(a + [i - \frac{1}{2}] w$
- 234, - 8 von unten statt 1871 lies: 1872
- 235, - 8 von unten statt $3 k w =$ lies: $\log 3 k w =$
- 240, - 21 von unten, Columnne Febr. 24 statt 8.942582 lies: 8.942452
- 240, - 17 von unten, Columnne Febr. 24 statt $9_n 424579$ lies: $9_n 424449$
- 240, - 14 von unten, Columnne Febr. 24 statt $9\ 420233$ lies: 9.420103
- 240, - 13 von unten, Columnne Febr. 24 statt 9.983869 lies: 9.983874

- Seite 240. Zeile 8 von unten. Columnne Febr. 24 statt $0_n 842260$ lies: $0_n 842265$
- 240. - 7 von unten statt $8_n 917077$ lies: $8_n 916947$
- 256. - 2 von oben statt »die Folge« lies: »in Folge«
- 278. - 10 von oben fehlen die Schlussworte, »ersetzt und $F' - J$ mit $- F' - J$ vertauscht, was für die folgende Schlussfolgerung erlaubt ist:«
- 283. Zeile 17 von unten statt $\frac{y}{l}$ lies: $\frac{l}{y}$
- 203. Formel 3) im Nenner statt $1 - \frac{u_{n+1}}{u_n} \sqrt{\frac{k}{2}}$ lies: $1 - \frac{u_{n+1}}{u_n} \sqrt{\frac{k}{2}}$
- 303. Zeile 10 von unten statt und lies: und
- 304. - 4 von unten statt $\pm 0''962$ lies: $\pm 0''965$
- 307. - 12 von unten statt Gleichung 1' lies: Gleichung 2
- 310. - 10 von oben statt das lies: dass
- 310. Formel 3 soll stehen $\frac{1}{p} = \frac{1}{p_1} + \frac{1}{p_2} + \frac{1}{p_3}$
- 326 fehlt in Gleichung 15) links vom $=$ die Schlussklammer }
- 326. Zeile 13 von unten statt »vermindert« lies: »vermehrt«
- 327 fehlt in 17) in dem Ausdrücke für 2 S die Schlussklammer }
- 327. Zeile 19 von oben statt (pag. 326) lies: pag. 325
- 328. - 5 von oben in der Columnne Nr. statt 1 lies: 2
- 328. - 1 von unten statt $au -$ lies: $au =$
- 329. - 19 von oben statt anzusehen lies: anzusetzen
- 332. - 16 von oben statt nan lies: man
- 344. - 6 des Schemas statt $y \ ab]$ lies: $- y \ ab]$
- 345 sollen die Zahlen im Beispiele, um mit dem Schema der vorhergehenden Seite in Uebereinstimmung zu sein, in folgender Weise versetzt werden:
- | | | | | | | | | | | | |
|---|---------|---|---------|---------|---------|---------|---------|---------|---------|---------|---------|
| + | 0.07344 | - | 1.21719 | + | 1.57095 | + | 1.26957 | - | 0.53990 | | |
| + | 0.00090 | | 0.00000 | - | 0.00003 | - | 0.00002 | | 0.00000 | | |
| | | | - | 0.00252 | + | 0.00283 | + | 0.00021 | + | 0.02155 | |
| | | | | | | + | 0.24796 | - | 0.09011 | + | 0.82334 |
| | | | | | | | | - | 0.04276 | + | 1.28121 |
| | | | | | | | | | | + | 1.52297 |
- 348. Zeile 15 von unten statt $-\frac{cf_2}{cc_2} B_2$ lies: $-\frac{cf_2}{cc_2} B_2$
- 350. - 3 von oben statt $\frac{f_{n5}}{ff_1} E_5$ lies: $\frac{f_{n5}}{ff_5} E_5$
- 353. im Titel statt § 3 lies: § 5
- 353. Zeile 5 von unten statt pag. 317 lies: pag. 316
- 357. - 11 von oben statt nn lies: nnu
- 357. - 8 von unten statt pag. 337 lies: pag. 316 Gl. 7
- 361. - 19 von oben statt Formel 23 pag. 360 lies: Formel 22 pag. 359
- 369. - 14 von oben statt u lies: u
- 381. - 8 von oben statt $+ 43^m 9^s$ lies: $+ 43^m 57^s$

Seite 381, Zeile 13 von oben statt — 1.0 lies: — 3.0

- 385. Formel 4) statt $\frac{\partial \delta}{\sin \partial Q}$ lies: $\frac{\partial \delta}{\sin i \partial Q}$

- 388. Zeile 4 von oben statt vorsetzen lies: voraussetzen

- 390. - 12 fehlen die Schlussworte: wobei zu beachten ist, dass sich die Coordinaten α und δ auf dieselbe Fundamentalebene beziehen müssen, auf welche die Grössen Q , i und ω bezogen sind

- 392, Zeile 3 von unten statt: $\frac{\cos \frac{1}{2} \pi - \pi_0}{\cos \frac{1}{2} \pi + \pi_0} \delta \Psi$ lies: $\frac{\cos \frac{1}{2} \pi + \pi_0}{\cos \frac{1}{2} \pi - \pi_0} \delta \Psi$

- 402. Formel 21 muss bei dem letzten Summenzeichen statt $\sum_{n=1}^{n=\infty}$ stehen: $\sum_{n=2}^{n=\infty}$

- 402, Zeile 8 von unten statt — 1^n lies: — 1^{-n}

- 405. - 12 von oben statt a lies: ω

- 412. - 7 und 6 von unten sind die Accente bei i und ω zu streichen.

- 412. - 6 von unten nach $\omega = 33^{\circ}56'26''$ einzuschalten: Aequinoctium 1860.0.

- 415. Zeile 6 von unten statt »erwähnen« lies: »zu erwähnen«.

- 427. in $\tilde{\xi}$ statt $\cos \delta d\alpha$ und $d\delta$ lies: $\cos \delta \partial \alpha$ und $\partial \delta$

- 430. Zeile 12 von unten statt $\left(\frac{d^2 r_0}{dt^2} \right)$ lies: $\left(-\frac{d^2 r_0}{dt^2} \right)$

- 432. Formel 16 statt $\frac{\partial A_3}{\partial \xi_0}$ lies: $\frac{\partial A_3}{\partial \xi_0}$

- 432. - 16 ist in $\frac{\partial A_1}{\partial x_0}$ rechter Hand ξ_0 mit x_0 zu vertauschen

- 435. Zeile 8 von unten statt »Neigung des Aequators« lies: »Neigung in Bezug auf den Aequator«

- 436. Formel 28. 2. Zeile statt $\cos A \cos J, Z$ lies: $\cos A \sin J, Z$

- 441. Zeile 7 von unten in C' statt $52''30$ lies: $52''20$

- 444. - 11 von oben in $\log \gamma_1$ statt 6.26202 lies: 6.26402

- 444. - 17 von oben ist zu setzen $\log \{ \dots \} 8.14686$
 $\log \alpha_1 = 5.81405$

- 447. - 4 von unten statt $z_0 \partial \dot{p} : \partial t_0$ lies: $z_0 \partial a : \partial t_0$

- 453. - 21 von unten statt $+ 0.0049$ lies: $+ 0.00049$

- 453. - 20 von unten statt 0.07276 lies: 0.07276

- 454. - 1 von oben statt $6_n 1960 \partial_0$ lies: $6_n 1960 \partial \xi_0$

- 454. - 15 von unten sind die Worte »und addirt dieselben« zu streichen

- 456. - 17 von oben 2. Columne statt $8_n 4514142$ lies: $8_n 4514124$

- 456. - 19 von oben 2. Columne statt $6_n 7341285$ lies: $6_n 7341285$

- 456. - 17 von unten statt i lies: i

- 457. - 6 von oben statt $r : p$ lies: $p : r$

- 458. - 2 von unten statt ∂y lies: ∂t

- 459. - 4 von oben. Coefficient von ∂x in f_6 statt $+ 67.5$ lies: $+ 67.0$

- 460. - 7 von oben statt Systeme. lies: . Systeme

- 461. - 15 von oben in $- 1$ statt $+ 1.2377345$ lies: $+ 1.2375345$

Seite 465, Zeile 7 von oben statt pag. 48 lies: pag. 47

- 465 ist in Formel 4) statt $a(1 - \cos E) + a(1 - \cos E')$
zu setzen: $a(1 - e \cos E) + a(1 - e \cos E')$
- 468, Zeile 17 von oben statt $- 0.25$ und 0.25 lies: $- 0.24$ und $+ 0.24$
- 468, - 18 von oben statt Parabel lies: Ellipse
- 470, - 11 von unten statt 9.9999446 lies: 8.9999446
- 471, - 2 von unten statt Zeichen lies: Zeichen
- 480, - 8 von oben statt (I pag. 146 § 12) lies: (I pag. 146 § 11)
- 483, Formel C erste Zeile statt $\left(\frac{d\lambda_1}{dy}\right)$ lies: $\left(\frac{\partial\lambda_1}{\partial y}\right)$
- 486, Zeile 8 von oben statt $\mathcal{A}y$ lies: $\mathcal{J}y$
- 489, - 3 von oben statt $\log M + \delta x$ lies: $\log M + \mathcal{A}x$
- 500, - 7 von oben in den beiden Nennern statt dy lies: δy
- 501, - 5 von oben statt zunächst lies: zunächst,
- 508, - 17 von unten statt $s^2 = r^2 + r'^2 - rr' \cos 2f$
lies: $s^2 = r^2 + r'^2 - 2rr' \cos 2f$
- 633, - 3 von unten statt \mathfrak{F} lies: \mathfrak{G}



Berichtigungen zum II. Bande von Oppolzer's Lehrbuch der Bahnbestimmung.

Seite 4. Zeile 4 von oben sind die Aufschriften der 2. und 3. Columnne zu vertauschen.

- 5. Formel 3 statt $\sum_{i=i_1}^{i=i_1-1} f(a+i+1/w)$ lies: $\sum_{i=i_1}^{i=i_1-1} f(a+i+1/w)$

- 5. Formel 4 statt $\sum_{i=i_1}^{i=i_1-1} f(a+i+1/2w)$ lies: $\sum_{i=i_1}^{i=i_1-1} f(a+i+1/2w)$

- 7. Zeile 4 von oben statt Combination lies: Klasse

- 9. - 4 von unten statt $\sum_{p=1}^{p=d+1} (-1)^{d+1-p} \frac{n^{2p-1}}{2^{2(d-p)+1}} C\{2^2, 4^2, \dots, 2d^2\}$

lies: $\sum_{p=1}^{p=d+1} (-1)^{d+1-p} \frac{n^{2p-1}}{2^{2(d-p)+2}} C\{2^2, 4^2, \dots, 2d^2\}$

- 11. - 4 von oben statt $1^2, 3^2, \dots$ lies: $1^2, 3^2, \dots$

- 18. - 2 von unten statt $C\{1^2, \dots, 7^2\}$ lies: $C\{1^2, \dots, 7^2\}$

- 19. in $N_2^{10} n$ statt $9.10n^2$ lies $9.10n$

- 19. in Formel 10j statt $w^2 \frac{df l}{dl^2} =$ lies: $w^2 \frac{d^2 f l}{dl^2} =$

- 20. in $M_2^9 m$ statt $6.7m^2$ lies: $6.7m^1$

- 34. Zeile 2 von oben statt $\frac{1}{w} \int_{a-\frac{1}{2}}^{a+(i+\frac{1}{2})/w} f(a+i+nw) dl$ lies: $\frac{1}{w} \int_{a-\frac{1}{2}w}^{a+(i+\frac{1}{2})w} f(a+i+nw) dl$

- 35. in den Formeln 11) statt $P \binom{2d-1}{1}$ lies: P_1^{2d-1}

- 35. in den Formeln 11) statt $Q \binom{2d-1}{1}$ lies: Q_1^{2d-1}

- 38. Zeile 11 von oben statt »von der oberen« lies: »von jenem der oberen«.

- 39. - 4 von unten statt $\int f(a+i+nw) dl$ lies: $\int f(a+i+nw) dl$

- 43. - 4 von oben statt $m \pm < \frac{1}{4}$ lies: $m < \pm \frac{1}{4}$

- 44. in der Integraltafel sollen die ersten Werthe der absteigenden Differenzen sein: $-649.73. + 38.32. + 12.36. - 4.28. + 0.47$

- Seite 15. Zeile 16 von unten statt $S_g = + 646.147$ lies: $S_g = + 946.147$
- 46. - 14 von unten statt $mS_g = + 94.156$ lies: $mS_g = + 94.165$
- 46. - 13 von unten statt $+ 26529.80$ lies: $+ 26529.81$
- 53. - 7 von unten statt $f'' a$ lies: $f''(a)$
- 54. Formeln 31. statt $P \binom{2d-1}{1}; Q \binom{2d-1}{1}; P \binom{2d-2}{2}; Q \binom{2d-2}{2}$
lies: $P_1^{2d-1}; Q_1^{2d-1}; P_2^{2d-2}; Q_2^{2d-2}$
- 54. Zeile 11 von unten statt [pag. 45] lies: pag. 49
- 60. - 9 von oben statt P_0^2 lies: P_2^0
- 63. - 8 von unten statt »gebildete Summationsreihe« lies: »gebildeten Summationsreihen«.
- 64. Zeile 14 von oben statt $-\frac{1}{24} \overset{\bullet}{f}'' a + (i + \frac{1}{2}) w$
lies: $-\frac{1}{24} \overset{\bullet}{f} (a + (i + \frac{1}{2}) w)$
- 71. - 10 von unten statt $\frac{r_1}{r_1^3}$ lies: $\frac{x_1}{r_1^3}$
- 76. - 11 von unten statt $f = \frac{a^2 + a^3 + a^4}{1+a}$ lies: $f = 2 \frac{a^2 + a^3 + a^4}{1+a}$
- 78. - 2 von unten statt $\frac{k^2}{r^3}$ lies: $\frac{k^2}{r_0^3}$
- 79. in den Formeln 12 ist statt $\frac{1}{12} \frac{d^2 \xi}{dt^2}$ zu setzen: $\frac{1}{12} \frac{d^2 \tilde{\xi}}{dt^2} - \frac{1}{12} \Sigma X$
- 79. in den Formeln 12 ist statt $\frac{1}{12} \frac{d^2 \eta}{dt^2}$ zu setzen: $\frac{1}{12} \frac{d^2 \tilde{\eta}}{dt^2} - \frac{1}{12} \Sigma Y$
- 79. in den Formeln 12 ist statt $\frac{1}{12} \frac{d^2 \zeta}{dt^2}$ zu setzen: $\frac{1}{12} \frac{d^2 \tilde{\zeta}}{dt^2} - \frac{1}{12} \Sigma Z$
- 83. Zeile 3 von unten statt $-\sin \varrho \sin i$ lies: $-\sin \varrho \cos i$
- 88. - 6 von unten statt »vergleichende« lies: »vergleichbare«
- 89. - 15 von oben am Schlusse statt $\mathcal{A} \bar{p}$ lies: $\mathcal{A} \sqrt{\bar{p}}$
- 89. - 7 von unten statt $\left(\frac{1 \bar{p}_0 + \mathcal{A} \sqrt{\bar{p}}}{k} \right)$ lies: $\left(\frac{1 \bar{p}_0 + \mathcal{A} \sqrt{1 \bar{p}}}{k} \right)$
- 99. - 18 von oben statt $\sin 1''$ lies: $\sin 1''$
- 100. - 12 von oben statt »vortesllt« lies: »vorstellt«
- 100. 2. Zeile in Formel I statt $-\sin \varrho \cos i_0$ lies: $-\sin \varrho_0 \cos i_0$
- 105. Zeile 4 von oben statt 6.8 lies: 6''8
- 106. - 17 von unten statt $-\sin \varrho \sin i$ lies: $-\sin \varrho \cos i$
- 106. - 5 von unten statt $\sin \varrho \cos i$ lies: $-\sin \varrho \cos i$
- 108. - 13 von oben statt $\sin \vartheta$ lies: $\varrho \sin \vartheta$
- 108. in Formel IV) ist überall statt ω, w zu setzen
- 108. Zeile 2 von unten statt $+\frac{17}{5760}$ lies: $-\frac{17}{5760}$
- 100. in Formel V. ist in den ersten Gliedern statt f zu setzen: $\overset{u}{f}$
- 111. Zeile 9 von oben statt 2.308069 lies: 2.328069
- 111. - 10 von oben statt 2.728784. 2.128385 lies: $2_n 728784. 2_n 028385$
- 111. - 13 von oben statt 0.563293 lies: 9.563293

- Seite 112, in der *f* Columnne, Zeile 2 von oben statt -257.64 lies -257.61
- 112, in der *u* Columnne, Zeile 4 von oben statt $+10.78$ lies $+10.87$
- 115, Zeile 16, 17 u. 18 von oben in den Gleichungen für X_2 , Y_2 , Z_2 erhalten die Glieder rechts vom $=$ das negative Vorzeichen.
- 130, Zeile 9 von unten statt $wk : \frac{1}{p_0}$ lies $wk : \frac{1}{p_0}$
- 133, - 15 von oben statt $s - \frac{1}{2} \epsilon \rho + \rho_0$ lies: $S - \frac{1}{2} \epsilon \rho + \rho_0$
- 136, - 12 von unten statt $9_{n7}834120$ lies: $9_{n7}835120$
- 137, - 13 von oben statt 9.0525751 lies: 9.0525751
- 138, - 5 von unten statt 0.6040513 und $\sin q \sin E$ lies 0.6040513 und $e'' \sin E$
- 146, Zeile 3 von unten im 3. Gliede links vom $=$ statt $\frac{k^2}{r^2}$ lies: $\frac{h^2}{r^2}$
- 148, in den Formeln IX in der 3. Gleichung statt $\frac{d^2z}{dt^2}$ lies $\frac{d^2z}{dt^2}$
- 151 ist in dem Differenzschema in der Mitte der Seite überall statt ω , w zu setzen.
- 151 ist in Formel 1 in den Gleichungen für B und C statt ω , w zu setzen. ausserdem muss die Gleichung für D lauten: $D = \frac{1}{6} f^{(111)} a - \frac{1}{2} w$
- 156, Zeile 14 von oben statt W lies: W_1
- 169, in Formeln 25 ist in der ersten Gleichung links vom $=$ statt $\frac{1}{p}$ zu setzen: $k \frac{1}{p}$
- 170, 4, Zeile der Formeln II statt r lies: r
- 174, Zeile 4 von oben statt $\log 2 k 10^7 \frac{1}{p_0}$ lies: $\log 2 wk 10^7 \frac{1}{p_0}$
- 174, - 5 von oben statt $\log 2 k \frac{1}{p_0}$ lies: $\log 2 wk \frac{1}{p_0}$
- 177, - 6 von unten statt $+\frac{1}{2} \left[\right.$ lies: $-\frac{1}{2} \left[\right.$
- 180, - 10 von unten ist für γ in der Columnne AO statt -0.08 zu setzen -0.07
- 181, Zeile 5 von oben fehlt $=$ nach $1 + v$
- 206, - 9 von oben statt $+\frac{17}{2925}$ lies: $+\frac{17}{1925}$
- 209, - 4 von oben statt Formel lies: Formeln
- 234, - 2 von oben statt 1871 lies: 1872
- 234, - 4 von oben statt 1872 lies: 1873
- 234, - 10 von oben statt $f(a + [i - \frac{1}{2} w$ lies $f(a + [i - \frac{1}{2} w$
- 234, - 18 von oben statt 1871 lies: 1872
- 234, - 16 von unten statt $f(a + [i - \frac{1}{2} w$ lies: $f(a + [i - \frac{1}{2} w$
- 234, - 8 von unten statt 1871 lies: 1872
- 235, - 8 von unten statt $3kw =$ lies: $\log 3kw =$
- 240, - 21 von unten, Columnne Febr. 24 statt 8.942582 lies: 8.942452
- 240, - 17 von unten, Columnne Febr. 24 statt $9_{n4}24579$ lies $9_{n4}24449$
- 240, - 14 von unten, Columnne Febr. 24 statt 9.420233 lies: 9.420103
- 240, - 13 von unten, Columnne Febr. 24 statt 9.983860 lies: 9.983874

- Seite 240, Zeile 8 von unten, Columnne Febr. 24 statt $0_n 842260$ lies: $0_n 842265$
- 240, - 7 von unten statt $8_n 917077$ lies: $8_n 916947$
 - 256, - 2 von oben statt »die Folge« lies: »in Folge«
 - 278, - 10 von oben fehlen die Schlussworte, »ersetzt und $F'' - J_j$ mit $- F'' (J)$ vertauscht, was für die folgende Schlussfolgerung erlaubt ist:«
 - 283, Zeile 17 von unten statt $\frac{y}{l}$ lies: $\frac{l}{y}$
 - 293, Formel 3) im Nenner statt $1 - \frac{u_n+1}{u_n} \sqrt{\frac{k}{2}}$ lies: $1 - \frac{u_n+1}{u_n} \sqrt{\frac{k}{2}}$
 - 303, Zeile 10 von unten statt und lies: und
 - 304, - 4 von unten statt $\pm 0''962$ lies: $\pm 0''965$
 - 307, - 12 von unten statt Gleichung 1 lies: Gleichung 2
 - 310, - 10 von oben statt das lies: dass
 - 310, Formel 3 soll stehen $\frac{1}{p} = \frac{1}{p_1} + \frac{1}{p_2} + \frac{1}{p_3}$
 - 326 fehlt in Gleichung 15) links vom $=$ die Schlussklammer }
 - 326, Zeile 13 von unten statt »vermindert« lies: »vermehrt«
 - 327 fehlt in 17) in dem Ausdrucke für 2 S die Schlussklammer }
 - 327, Zeile 19 von oben statt (pag. 326) lies: pag. 325
 - 328, - 5 von oben in der Columnne Nr. statt 1 lies: 2
 - 328, - 1 von unten statt $[m_1 -$ lies: $[m] =$
 - 329, - 19 von oben statt anzusehen lies: anzusetzen
 - 332, - 16 von oben statt nan lies: man
 - 344, - 6 des Schemas statt $y ab$ lies: $- y ab$
 - 345 sollen die Zahlen im Beispiele, nm mit dem Schema der vorbergehenden Seite in Uebereinstimmung zu sein, in folgender Weise versetzt werden:

+ 0.07344	- 1.21719	+ 1.57095	+ 1.26957	- 0.53990
+ 0.00090	0.00000	- 0.00003	- 0.00002	0.00000
	- 0.00252	+ 0.00283	+ 0.00021	+ 0.02155
		+ 0.24796	- 0.09011	+ 0.82334
			- 0.04276	+ 1.28121
				+ 1.52297
 - 348, Zeile 15 von unten statt $-\frac{cf_2}{cf_2} \cdot 2$ lies: $-\frac{cf_2}{cf_2} B_2$
 - 350, - 3 von oben statt $\frac{fn5}{ff1} E_5$ lies: $\frac{fn5}{ff5} E_5$
 - 353, im Titel statt § 3 lies: § 5
 - 353, Zeile 5 von unten statt pag. 317 lies pag. 316
 - 357, - 11 von oben statt nn' lies: $[nn']$
 - 357, - 8 von unten statt pag. 337 lies: pag. 316 Gl. 7
 - 361, - 19 von oben statt Formel 23 pag. 360 lies: Formel 22) pag. 359)
 - 369, - 14 von oben statt u lies: u
 - 381, - 8 von oben statt $+ 43^m 9^s$ lies: $+ 43^m 57^s$

Seite 381, Zeile 13 von oben statt -1.0 lies: -3.0

- 385, Formel 4) statt $\frac{\partial \delta}{\sin \partial \varrho}$ lies: $\frac{\partial \delta}{\sin i \partial \varrho}$

- 388, Zeile 4 von oben statt vorsetzen lies: voraussetzen

- 390, - 12 fehlen die Schlussworte: wobei zu beachten ist, dass sich die Coordinaten α und δ auf dieselbe Fundamentalebene beziehen müssen, auf welche die Grössen ϱ , i und ω bezogen sind

- 392, Zeile 3 von unten statt: $\frac{\cos \frac{1}{2} \pi - \pi_0}{\cos \frac{1}{2} (\pi - \pi_0)} \delta \Psi$ lies: $\frac{\cos \frac{1}{2} \pi + \pi_0}{\cos \frac{1}{2} (\pi - \pi_0)} \delta \Psi$

- 402, Formel 21 muss bei dem letzten Summenzeichen statt $\sum_{n=2}^{n=\infty}$ stehen: $\sum_{n=2}^{n=\infty}$

- 402, Zeile 8 von unten statt -1^n lies: $+1^n$

- 405, - 12 von oben statt a lies: ω

- 412, - 7 und 6 von unten sind die Accente bei i und ω zu streichen.

- 412, - 6 von unten nach $\omega = 33^0 56' 26''$ einzuschalten: (Aequinoctium 1860.0).

- 415, Zeile 6 von unten statt »erwähnen« lies: »zu erwähnen«.

- 427, in ξ) statt $\cos \delta d\alpha$ und $d\delta$ lies: $\cos \delta \delta \alpha$ und $\delta \delta$

- 430, Zeile 12 von unten statt $\left(\frac{d^2 r_0}{dt} \right)$ lies: $\left(-\frac{d^2 r_0}{dt^2} \right)$

- 432, Formel 16) statt $\frac{\partial \mathcal{A}^3}{\partial \xi_0}$ lies: $\frac{\partial \mathcal{A}_3}{\partial \xi_0}$

- 432, - 16 ist in $\frac{\partial \mathcal{A}}{\partial x_0}$ rechter Hand ξ_0 mit x_0 zu vertauschen

- 435, Zeile 8 von unten statt »Neigung des Aequators« lies: »Neigung in Bezug auf den Aequator«

- 436, Formel 28, 2. Zeile statt $\cos \mathcal{A} \cos J, Z$ lies: $\cos \mathcal{A} \sin J, Z$

- 441, Zeile 7 von unten in C' statt $52''30$ lies: $52''20$

- 444, - 11 von oben in $\log \gamma_4$ statt 6.26202 lies: 6.26402

- 444, - 17 von oben ist zu setzen: $\log \{ \dots \} 8.14680$

$\log \alpha_4 5.81405$

- 447, - 4 von unten statt $z_0 \partial b : \partial \iota_0$ lies: $z_0 \partial a : \partial \iota_0$

- 453, - 21 von unten statt $+0.0049$ lies: $+0.00049$

- 453, - 20 von unten statt 6.07276 lies: 6.07276

- 454, - 1 von oben statt $6_n 1960 \partial_0$ lies: $6_n 1960 \delta \xi_0$

- 454, - 15 von unten sind die Worte »und addirt dieselben« zu streichen

- 456, - 17 von oben 2. Columnne statt $8_n 4514142$ lies: $8_n 4514124$

- 456, - 19 von oben 2. Columnne statt $6_n 7341285$ lies: $9_n 7341285$

- 456, - 17 von unten statt i lies: i

- 457, - 6 von oben statt $r : p$ lies: $p : r$

- 458, - 2 von unten statt ∂y lies: $\partial \eta$

- 459, - 4 von oben, Coefficient von ∂x in f_6 statt $+67.5$ lies: $+67.6$

- 460, - 7 von oben statt Systeme, lies: , Systeme

- 461, - 15 von oben in -1 statt $+4.2377345$ lies: $+4.2375345$

Seite 165, Zeile 7 von oben statt pag. 18 lies: pag. 17

- 165 ist in Formel 1) statt $a(1 - \cos E) + a'(1 - \cos E')$
zu setzen: $a(1 - e \cos E) + a'(1 - e \cos E')$
- 168, Zeile 17 von oben statt -0.25 und 0.25 lies: -0.21 und $+0.21$
- 168, - 18 von oben statt Parabel lies: Ellipse
- 170, - 11 von unten statt 9.9999416 lies: 8.9999416
- 171, - 2 von unten statt Zeichen lies: Zeichen
- 180, - 8 von oben statt (I pag. 146 § 12) lies: (I pag. 146 § 11)
- 183, Formel C' erste Zeile statt $\left(\frac{d\lambda_1}{dy}\right)$ lies: $\left(\frac{\partial\lambda_1}{\partial y}\right)$
- 186, Zeile 8 von oben statt $\mathcal{A}y$ lies: $\mathcal{I}y$
- 189, - 3 von oben statt $\log M + \delta x$ lies: $\log M + \mathcal{I}x$
- 500, - 7 von oben in den beiden Nennern statt dy lies: ∂y
- 501, - 5 von oben statt zunächst lies: zunächst.
- 508, - 17 von unten statt $s^2 = r^2 + r'^2 - rr' \cos 2f$
lies: $s^2 = r^2 + r'^2 - 2rr' \cos 2f$
- 633, - 3 von unten statt \mathfrak{F} lies: Ω



Ueber die numerische Differentiation und Integration.

§ 1. Allgemeine Uebersicht über das vorgelegte Problem und über die dabei auftretenden Bezeichnungen.

Häufig tritt bei der numerischen Lösung mechanischer Probleme der Fall auf, dass man zu einer Funktion, von der eine Reihe numerischer Werthe durch vorausgehende Operationen ermittelt wurde, die numerischen Werthe der Differentialquotienten und der Integrale für bestimmte Grenzen für diese Funktion zu bestimmen hat.

Ist der analytische Ausdruck dieser Funktion bekannt, so wird es sich wohl im Allgemeinen empfehlen, vorerst durch analytische Operationen die Formen für die Differentialquotienten und die Integrale herzustellen und die so erlangten Ausdrücke der numerischen Operation zu unterziehen; unter Umständen kann aber dieses Verfahren mit grossen Schwierigkeiten verknüpft sein und besonders die analytische Auswerthung der Integrale stösst bisweilen auf fast unüberwindliche Schwierigkeiten. In diesen Fällen wird aber das hier zur Auseinandersetzung gelangende Verfahren der numerischen Differentiation und Integration häufig auf sehr bequeme Weise zum Ziele führen, und wird in jenen Fällen, wo der analytische Ausdruck der Funktion unbekannt ist und dieselbe nur durch eine Reihe von Werthen, denen diese Function genügt, definiert erscheint, nahezu der einzige Ausweg sein, um das verlangte Problem zu lösen.

Ohne vorerst auf die Methode Rücksicht zu nehmen, nach der die numerischen Werthe der vorgelegten Funktion ermittelt sind, setze ich voraus, dieselbe sei durch eine Reihe von numerischen Werthen bestimmt, die zu einem durch das Problem bedingten Argument, welches also als die unabhängig Variable zu betrachten ist, gehören. Es ist klar, dass eine Funktion durch eine beschränkte Zahl von bestimmten Werthen niemals völlig genau definiert sein kann; je mehr Werthe im Allgemeinen aber vorhanden sind, um so sicherer wird man den Gang der Funktion zu beurtheilen im Stande sein. Fasst man diese Betrachtungen geometrisch auf und stellt sich den Gang der Funktion durch eine Curve vor, zu der das Argument die Variable als Abscisse, der Werth der Funktion als Ordinate

erscheint, so ist es sofort klar, dass der Verlauf der Curve um so genauer bekannt sein wird, je mehr Punkte in einem gegebenen Stücke der Curve bestimmt erscheinen. Diese allgemeinen Betrachtungen über die Definition einer Funktion durch eine Reihe von Spezialwerthen führen sofort zu dem Schlusse, dass die vorgelegte Funktion mindestens innerhalb der in Betracht kommenden Grenzen continuirlich sein muss; denn im Falle einer Discontinuität lässt sich eine Funktion selbst nicht annähernd durch eine beschränkte Zahl spezieller Werthe darstellen. Es kann demnach in der Folge nur auf solche Funktionen Rücksicht genommen werden, die innerhalb der vorgesteckten Grenzen continuirlich sind.

Die vorgelegten numerischen Werthe der Funktion können in Bezug auf die unabhängig Variable Argument, in gleichen Abständen berechnet sein oder nicht; da die Berechnung der numerischen Werthe der Funktion meist in dieser Richtung keiner Beschränkung unterworfen ist, so wird es sich im Allgemeinen empfehlen, um die möglichste Einfachheit in die Operationen zu bringen, die numerischen Werthe in der That äquidistant in Bezug auf das Argument zu berechnen. Es soll in der Folge stets diese beschränkende Annahme gemacht werden, da sich in der That der allgemeine Fall auf diesen speciellen Fall zurückführen lässt, indem man eine neue Variable als neues Argument einführt, so dass in Bezug auf dieses neue Argument gleiche Abstände errichtet werden; allerdings kann diese Operation unter Umständen ziemlich weitläufig werden.

Das Argument sei ausgedrückt durch $a + i + n \cdot w$, wo a irgend einen constanten Ausgangswerth der Variablen vorstellt; w ist der gewählte constante Werth für das Intervall, i stelle eine beliebige ganze positive oder negative Zahl, die Null nicht ausgenommen vor, und n eine beliebige Grösse, die innerhalb der Grenzen -1 und $+1$ eingeschlossen ist. Es müssen, den gemachten Voraussetzungen nach, die numerischen Werthe der Funktion für eine Reihe äquidistanter Punkte des Arguments bekannt sein, also etwa für $\dots, a - 2w, a - w, a, a + w, a + 2w, \dots$; die numerischen Werthe, die diesem Argumente entsprechen, seien ausgedrückt durch $\dots, f(a - 2w), f(a - w), f(a), f(a + w), f(a + 2w), \dots$. Man kann demnach das Symbol $a + i + n \cdot w$ als Argument-Index bezeichnen. Setzt man diese numerischen Werthe, die natürlich sowohl in der positiven als negativen Richtung beliebig weit fortgesetzt werden können, vertical unter einander, so kann man, indem man stets den vorausgehenden Funktionswerth von dem unmittelbar folgenden abzieht, Zahlenwerthe erhalten, die den ersten Differenzwerthen der vorgelegten numerischen Werthreihe entsprechen. Die so gebildeten ersten Differenzen seien ebenfalls in eine Verticalreihe rechts neben die erstere angesetzt gedacht, und die Differenzwerthe zwischen die Horizontalreihen der erzeugenden Werthe gesetzt. Für diese Werthreihe möge als Bezeichnung eingeführt werden, dass der Funktion als Exponent-Index I angehängt wird; dieser Funktions-Index weist also unzweideutig auf die Verticalreihe hin. Um die Stellung der Funktion in dieser letzteren genau zu bestimmen, soll als Argument-Index das arithmetische Mittel der umschliessenden Argument-Index benützt werden. Es wird also sein z. B.

$$\begin{aligned} f^I(a - \tfrac{1}{2}w) &= f^I(a) - f^I(a - w) \\ f^I(a + \tfrac{7}{2}w) &= f^I(a + 4w) - f^I(a + 3w). \end{aligned}$$

Bildet man nun aus diesen ersten Differenzwerthen in analoger Weise die zweite Differenzreihe bezeichnet dieselbe mit dem Funktionsindex II und bestimmt in analoger Weise den Argumentindex, so wird sein z. B.

$$\begin{aligned} f^{II}(a) &= f^I(a + \tfrac{1}{2}w) - f^I(a - \tfrac{1}{2}w) \\ f^{II}(a - 7w) &= f^I(a - \tfrac{13}{2}w) - f^I(a - \tfrac{15}{2}w). \end{aligned}$$

Man wird leicht bemerken, dass die Argumentindex der zweiten (wie überhaupt aller geraden) Differenzwerthe auf derselben Zeile mit dem Argumentindex der Funktion identisch werden; ebenso werden die Argumentindex der ungeraden Differenzwerthe, die zwischen denselben Horizontalreihen eingetragen sind, identisch. Dieses eben angedeutete Verfahren kann beliebig weit fortgesetzt gedacht werden, und man erhält so eine sichere und unzweideutige Bezeichnungsweise für die ersten und höheren Differenzwerthe; der Funktionsindex gibt also die Verticalreihe, der Argumentindex die Horizontalreihe an.

Betrachtet man aber die Funktionsreihe selbst als die Differenzwerthe einer links voranstehenden Verticalreihe, die dadurch bezeichnet werden soll, dass man den Funktionsindex I vor das Funktionszeichen setzt und in consequenter Weise die Horizontalzeile durch den Argumentindex fixirt, so wird die Bildung dieser ersten Reihe durch successive Summierung der Funktionswerthe ohne Schwierigkeiten vorgenommen werden können, sobald man über irgend einen Werth in dieser ersten summirten Reihe eine Annahme macht. Diese Annahme ist vorerst willkürlich und es wird sich in der That in der Folge herausstellen, dass diese willkürliche Anfangsconstante mit der sonst bei der Integration auftretenden willkürlichen Constanten in innigem Zusammenhange steht. Sei der willkürliche Werth für $f^I(a - \tfrac{1}{2}w)$ gegeben, so ist offenbar

$$\begin{aligned} f^I(a + \tfrac{1}{2}w) &= f^I(a - \tfrac{1}{2}w) + f^I(a) \\ f^I(a + \tfrac{3}{2}w) &= f^I(a + \tfrac{1}{2}w) + f^I(a + w) \text{ u. s. w.} \end{aligned}$$

und ebenso

$$\begin{aligned} f^I(a - \tfrac{3}{2}w) &= f^I(a - \tfrac{1}{2}w) - f^I(a - w) \\ f^I(a - \tfrac{5}{2}w) &= f^I(a - \tfrac{3}{2}w) - f^I(a - 2w). \end{aligned}$$

Consequenter wäre es allerdings, als Funktionsindex für diese erste summirte Reihe den Index $-I$ zu wählen und denselben an diejenige Stelle zu setzen, wo der Index für die Bezeichnung der Differenzreihe gesetzt wurde, doch würde man durch diese Abänderung die allgemeine übliche Bezeichnung aufgeben und ausserdem die Schreibweise in Etwas erschweren.

Geht man in der Bildung der summirten Reihen weiter und bildet die zweite summirte Reihe in analoger Weise, wobei natürlich wieder eine willkürliche Anfangsconstante auftritt, so kann man diese Reihen beliebig weit fortsetzen; ich will mich aber beschränken auf die Betrachtung der zweiten summirten Reihe, da die dritten und folgenden Reihen mit drei- und mehrfachen eigentlich iterirten Integralen im Zusammenhange stehen, für deren Entwicklung vorerst kein Bedürfniss

vorhanden ist. Mit Rücksicht auf die gemachten Auseinandersetzungen wird sich also folgendes Differenz- und Summationsschema ergeben, in welchem bei der praktischen Anwendung statt der Symbole bestimmte numerische Werthe auftreten.

Argument	1. ungerade Reihe	2. ungerade Reihe	Funktionswerthe	1. Differenzen	2. Differenzen	3. Differenzen	4. Differenzen	5. Differenzen
.....
.....
$a - 2w$	$f^{II}(a - 2w)$	$f^{II}(a - 2w)$	$f^{II}(a - 2w)$	$f^{II}(a - 2w)$	$f^{III}(a - 2w)$	$f^{III}(a - 2w)$	$f^{IV}(a - 2w)$	$f^{V}(a - 2w)$
$a - w$	$f^{II}(a - w)$	$f^{II}(a - w)$	$f^{II}(a - w)$	$f^{II}(a - w)$	$f^{III}(a - w)$	$f^{III}(a - w)$	$f^{IV}(a - w)$	$f^{V}(a - w)$
a	$f^{II}(a)$	$f^{II}(a)$	$f^{II}(a)$	$f^{II}(a)$	$f^{III}(a)$	$f^{III}(a)$	$f^{IV}(a)$	$f^{V}(a)$
$a + w$	$f^{II}(a + w)$	$f^{II}(a + w)$	$f^{II}(a + w)$	$f^{II}(a + w)$	$f^{III}(a + w)$	$f^{III}(a + w)$	$f^{IV}(a + w)$	$f^{V}(a + w)$
$a + 2w$	$f^{II}(a + 2w)$	$f^{II}(a + 2w)$	$f^{II}(a + 2w)$	$f^{II}(a + 2w)$	$f^{III}(a + 2w)$	$f^{III}(a + 2w)$	$f^{IV}(a + 2w)$	$f^{V}(a + 2w)$
.....
.....

Aus der Entstehung dieser Werthe leitet man leicht ab, dass für die Differenz zweier Differenzwerthe mit einem geraden Funktionsindex hier und in der Folge ist für die nun abzuleitenden Relationen der Funktionsindex der summirten Reihen negativ zu denken, der mit $2d$ bezeichnet werden soll, die Relation besteht

$$f^{2d}(a + i_n w) - f^{2d}(a + i_n w) = \sum_{i=i_n}^{i=i_n-1} f^{2d+1}(a + |i + \frac{1}{2}| w) \quad (1)$$

für die ungeraden Funktionswerthe

$$f^{2d+1}(a + |i_n + \frac{1}{2}| w) - f^{2d+1}(a + |i_n + \frac{1}{2}| w) = \sum_{i=i_n}^{i=i_n-1} f^{2d}(a + i w) = \sum_{i=i_n}^{i=i_n-1} f^{2d}(a + |i + 1| w) \quad (2)$$

Ausserdem wird es auch in der Folge nöthig werden, für die arithmetischen Mittel zweier unmittelbar auf einander folgender Differenz- oder Summenwerthe derselben Verticalreihe eine unzweideutige Bezeichnungsweise einzuführen. Es soll dies dadurch geschehen, dass man den Funktionsindex unverändert belässt, für den Argumentindex aber das arithmetische Mittel der Argumentindex der benützten Werthe ansetzt. Es wird so sein z. B.

$$f^{2d}(a + |i + \frac{1}{2}| w) = \frac{1}{2} \left\{ f^{2d}(a + |i + 1| w) + f^{2d}(a + |i| w) \right\}$$

$$f^{2d+1}(a + |i w) = \frac{1}{2} \left\{ f^{2d+1}(a + |i + \frac{1}{2}| w) + f^{2d+1}(a + |i - \frac{1}{2}| w) \right\}$$

Diese Bezeichnungsweise ist offenbar ebenso unzweideutig wie die frühere. Man wird als sicheres Merkmal, ob man mit wirklich im Schema vorkommenden Differenzwerthen oder mit arithmetischen Mitteln derselben zu thun hat, leicht die Regel ableiten, dass für die im Schema auftretenden Differenzwerthe sich gerade Funktionsindex mit ganzen Argumentindex und ungerade Funktionsindex mit gebrochenen Argumentindex verbinden, dass aber das Umgekehrte für die arithmetischen

Mittel gilt: nämlich gerade Funktionsindex combiniren sich mit gebrochenen Argumentindex, ungerade mit ganzen.

Für die Differenz zweier in derselben Verticalreihe stehenden arithmetischen Mittel werden sich ähnliche Summenformeln finden lassen, denn es ist vorerst nach der Entstehung des arithmetischen Mittels und unter Benutzung der Relation 1)

$$\begin{aligned} & f^{2d} a + [i_n + \tfrac{1}{2} w] - f^{2d} a + [i_r + \tfrac{1}{2} w] \\ &= \tfrac{1}{2} \left\{ f^{2d} a + [i_n + 1 w] + f^{2d} a + [i_n w] \right\} - \tfrac{1}{2} \left\{ f^{2d} a + [i_r + 1 w] + f^{2d} a + [i_r w] \right\} \\ &= \tfrac{1}{2} \left\{ \sum_{i=i_n+1}^{i=i_n} f^{2d+1} a + [i + \tfrac{1}{2} w] + \sum_{i=i_r}^{i=i_n-1} f^{2d+1} a + [i + \tfrac{1}{2} w] \right\} \end{aligned}$$

Denkt man sich diese Summen zerlegt und vereinigt je zwei Glieder der verschiedenen Summenreihen zu einem arithmetischen Mittel mit Benutzung des vor der Klammer stehenden Factors $\frac{1}{2}$, so findet sich leicht

$$f^{2d} a + [i_n + \tfrac{1}{2} w] - f^{2d} a + [i_r + \tfrac{1}{2} w] = \sum_{i=i_r}^{i=i_n-1} f^{2d+1} a + [i + 1 w] \quad 3$$

und ebenso für die ungeraden Funktionsindex

$$f^{2d-1} a + [i_n w] - f^{2d-1} a + [i_r w] = \sum_{i=i_r}^{i=i_n-1} f^{2d} a + [i + \tfrac{1}{2} w] \quad 4$$

Die Formeln 3) 2) 3) und 4) können aber unter eine gemeinsame Form gebracht werden. Bezeichnet man mit l den Funktionsindex, mit k eine Zahl, die je nach dem Werth des Funktionsindex $\frac{1}{2}$ oder 0 zu setzen ist, so ist

$$f^l a + [i_n + k w] - f^l a + [i_r + k w] = \sum_{i=i_r}^{i=i_n-1} f^{l+1} a + [i + k + \tfrac{1}{2} w] \quad 5$$

wobei natürlich für die summirten Werthe l negativ anzunehmen ist.

In der Folge wird häufig von Combinationssummen derselben Klasse Gebrauch gemacht werden und es stellt sich die Nothwendigkeit heraus, für dieselben zweckmässige Bezeichnungen einzuführen. Die Combinationen sind hierbei ohne Wiederholung verstanden. Die zu combinirenden Elemente seien $\alpha, \beta, \gamma, \delta, \dots$, die Klasse sei k , so stellt das Symbol

$$C^k \{ \alpha, \beta, \gamma, \delta, \dots \}$$

die Summe aller Combinationen der Elemente $\alpha, \beta, \gamma, \delta, \dots$ ohne Wiederholung zur Klasse k vor. Es wird also sein z. B.

$$C^2 \{ 4, 16, 36 \} = 4 \times 16 + 4 \times 36 + 16 \times 36 = 784.$$

weiter wird man zu beachten haben, dass für die Klasse 0 die Definition dieses Symbols sei

$$C^0 \{ \alpha, \beta, \gamma, \delta, \dots \} = 1$$

Die Berechnung der Combinationssummen erscheint höchst weitläufig und fast unmöglich, wenn die Anzahl der Elemente eine beträchtliche wird; die Herren Anton und Schram, Observatoren der k. k. österreichischen Gradmessung,

die ich mit der Berechnung der weiter unten nothwendigen numerischen Coëfficienten betraut habe, haben sich aber einen Rechnungsmechanismus zurecht gelegt, der die Arbeit ganz ausserordentlich erleichtert und so kurz ist, dass alle Combinationssummen, die zwischen 9 Elementen die durch ganze Zahlen in dem vorliegenden speciellen Falle dargestellt sind, zu allen Klassen bis 9 leicht innerhalb einer Stunde erlangt werden können, selbst wenn die Elemente beträchtlich grosse Zahlen sind. — Die bei dem vorliegenden Problem auftretenden Elemente sind entweder die Quadrate der geraden oder der ungeraden Zahlen

4, 16, 36, 64, 100, 144, 196, 256, 324

1, 9, 25, 49, 81, 121, 169, 225, 289, 361

Denkt man sich alle Elemente in eine horizontale Zeile gesetzt, darunter in der zweiten Zeile die Einheit und multiplicirt man die Elemente mit diesem Factor, so erhält man die dritte Zeile, die nothwendig wieder die Elemente gibt; hierbei werden die Producte unter die Factoren gesetzt, nur das erste wird fortgelassen und als erster Werth in die 4. Zeile und zwar in die Verticalreihe des 2. Elementes gestellt. Die übrigen Werthe in der 4. Zeile werden einfach erhalten, indem man je zwei Werthe der voranstehenden Verticalcolumnen der 3. und 4. Zeile addirt; ist diese Addition durchgeführt, so bildet man wieder die Producte aus der 4. Zeile und den oben stehenden Elementen und setzt diese Producte in die 5. Zeile, jedoch das erste abermals als ersten Werth in die 6. Zeile, eine Verticalreihe nach links einrückend u. s. w.. Um die Beschreibung klar zu stellen, setze ich hier den Beginn der Rechnung für die Summencombination der Elemente $2^2, 4^2, \dots$ an.

4	16	36	64	100	144	196
1	1	1	1	1	1	1
	16	36	64	100	144	196
	4	20	56	120	220	364
		720	3584	12000	31680	71344
		64	784	4368	16368	48048
			50176	436800	2350092	9417408
				2304	52480	180280
				5248000	70456320	557869312
				147456	5395456	75851776
					776945664	14866948096
					14745600	791691264
						155171487744
						2123366400

Verfolgt man die Entstehung dieser Zahlen analytisch, so erkennt man sofort, dass, wenn man die Verticalcolumnen herabgeht und die je zweite Zahl heraushebt, diese so herausgehobenen Zahlen nichts anderes sind als die Summen der Combinationen aller Elemente bis zu dem gewählten zur Combination 0. 1. 2.

Die Zahlen, welche die Herren Anton und Schram gefunden haben und die ich wegen der wichtigen Rolle, die dieselben in der folgenden Untersuchung spielen, hier anführe, sind die folgenden:

$C^0\{2^2\}$	$= 1$	$C^0\{2^2, \dots, 14^2\} = 1$
$C^1\{2^2\}$	$= 4$	$C^1\{2^2, \dots, 14^2\} = 560$
$C^2\{2^2, 4^2\}$	$= 1$	$C^2\{2^2, \dots, 14^2\} = 11039 \cdot 2$
$C^1\{2^2, 4^2\}$	$= 20$	$C^3\{2^2, \dots, 14^2\} = 12203 \cdot 680$
$C^2\{2^2, 4^2\}$	$= 64$	$C^4\{2^2, \dots, 14^2\} = 63372 \cdot 1088$
$C^0\{2^2, \dots, 6^2\} = 1$		$C^5\{2^2, \dots, 14^2\} = 15658 \cdot 63036 \cdot 0$
$C^1\{2^2, \dots, 6^2\} = 56$		$C^6\{2^2, \dots, 14^2\} = 15729 \cdot 48541 \cdot 14$
$C^2\{2^2, \dots, 6^2\} = 784$		$C^7\{2^2, \dots, 14^2\} = 11617 \cdot 98141 \cdot 00$
$C^3\{2^2, \dots, 6^2\} = 2304$		
$C^0\{2^2, \dots, 8^2\} = 1$		$C^0\{2^2, \dots, 16^2\} = 1$
$C^1\{2^2, \dots, 8^2\} = 120$		$C^1\{2^2, \dots, 16^2\} = 816$
$C^2\{2^2, \dots, 8^2\} = 4368$		$C^2\{2^2, \dots, 16^2\} = 26275 \cdot 2$
$C^3\{2^2, \dots, 8^2\} = 52480$		$C^3\{2^2, \dots, 16^2\} = 42828 \cdot 032$
$C^4\{2^2, \dots, 8^2\} = 14745 \cdot 6$		$C^4\{2^2, \dots, 16^2\} = 37732 \cdot 23108$
		$C^5\{2^2, \dots, 16^2\} = 17789 \cdot 12378 \cdot 88$
$C^0\{2^2, \dots, 10^2\} = 1$		$C^6\{2^2, \dots, 16^2\} = 11059 \cdot 06530 \cdot 304$
$C^1\{2^2, \dots, 10^2\} = 220$		$C^7\{2^2, \dots, 16^2\} = 10683 \cdot 66247 \cdot 5264$
$C^2\{2^2, \dots, 10^2\} = 16368$		$C^8\{2^2, \dots, 16^2\} = 10651 \cdot 20324 \cdot 86400$
$C^3\{2^2, \dots, 10^2\} = 18028 \cdot 0$		
$C^4\{2^2, \dots, 10^2\} = 53954 \cdot 56$		$C^0\{2^2, \dots, 18^2\} = 1$
$C^5\{2^2, \dots, 10^2\} = 14745 \cdot 000$		$C^1\{2^2, \dots, 18^2\} = 1140$
$C^0\{2^2, \dots, 12^2\} = 1$		$C^2\{2^2, \dots, 18^2\} = 52713 \cdot 6$
$C^1\{2^2, \dots, 12^2\} = 364$		$C^3\{2^2, \dots, 18^2\} = 12795 \cdot 9680$
$C^2\{2^2, \dots, 12^2\} = 48048$		$C^4\{2^2, \dots, 18^2\} = 17649 \cdot 50553 \cdot 6$
$C^3\{2^2, \dots, 12^2\} = 28462 \cdot 72$		$C^5\{2^2, \dots, 18^2\} = 14004 \cdot 15544 \cdot 320$
$C^4\{2^2, \dots, 12^2\} = 75851 \cdot 776$		$C^6\{2^2, \dots, 18^2\} = 61802 \cdot 60760 \cdot 6016$
$C^5\{2^2, \dots, 12^2\} = 70460 \cdot 1264$		$C^7\{2^2, \dots, 18^2\} = 13904 \cdot 37378 \cdot 29376 \cdot 0$
$C^6\{2^2, \dots, 12^2\} = 21233 \cdot 60400$		$C^8\{2^2, \dots, 18^2\} = 13288 \cdot 04867 \cdot 14719 \cdot 36$
		$C^9\{2^2, \dots, 18^2\} = 34516 \cdot 61852 \cdot 55936 \cdot 00$

$C^0\{1^2\} = 1$	$C^0\{1^2, \dots, 13^2\} = 1$
$C^1\{1^2\} = 1$	$C^1\{1^2, \dots, 13^2\} = 455$
$C^0\{1^2, 3^2\} = 1$	$C^2\{1^2, \dots, 13^2\} = 77077$
$C^1\{1^2, 3^2\} = 10$	$C^3\{1^2, \dots, 13^2\} = 60925 \cdot 15$
$C^2\{1^2, 3^2\} = 9$	$C^4\{1^2, \dots, 13^2\} = 23067 \cdot 3443$
$C^0\{1^2, \dots, 5^2\} = 1$	$C^5\{1^2, \dots, 13^2\} = 38412 \cdot 78805$
$C^1\{1^2, \dots, 5^2\} = 35$	$C^6\{1^2, \dots, 13^2\} = 21878 \cdot 08947 \cdot 9$
$C^2\{1^2, \dots, 5^2\} = 259$	$C^7\{1^2, \dots, 13^2\} = 18261 \cdot 46822 \cdot 5$
$C^3\{1^2, \dots, 5^2\} = 225$	
$C^0\{1^2, \dots, 7^2\} = 1$	$C^0\{1^2, \dots, 15^2\} = 1$
$C^1\{1^2, \dots, 7^2\} = 84$	$C^1\{1^2, \dots, 15^2\} = 680$
$C^2\{1^2, \dots, 7^2\} = 1974$	$C^2\{1^2, \dots, 15^2\} = 17915 \cdot 2$
$C^3\{1^2, \dots, 7^2\} = 12916$	$C^3\{1^2, \dots, 15^2\} = 23434 \cdot 840$
$C^4\{1^2, \dots, 7^2\} = 11025$	$C^4\{1^2, \dots, 15^2\} = 16014 \cdot 89318$
$C^0\{1^2, \dots, 9^2\} = 1$	$C^5\{1^2, \dots, 15^2\} = 55742 \cdot 80348 \cdot 0$
$C^1\{1^2, \dots, 9^2\} = 165$	$C^6\{1^2, \dots, 15^2\} = 88616 \cdot 58206 \cdot 04$
$C^2\{1^2, \dots, 9^2\} = 8778$	$C^7\{1^2, \dots, 15^2\} = 49408 \cdot 31601 \cdot 000$
$C^3\{1^2, \dots, 9^2\} = 17281 \cdot 0$	$C^8\{1^2, \dots, 15^2\} = 41088 \cdot 30350 \cdot 625$
$C^4\{1^2, \dots, 9^2\} = 10572 \cdot 21$	
$C^5\{1^2, \dots, 9^2\} = 89302 \cdot 5$	$C^0\{1^2, \dots, 17^2\} = 1$
$C^0\{1^2, \dots, 11^2\} = 1$	$C^1\{1^2, \dots, 17^2\} = 969$
$C^1\{1^2, \dots, 11^2\} = 286$	$C^2\{1^2, \dots, 17^2\} = 37597 \cdot 2$
$C^2\{1^2, \dots, 11^2\} = 28743$	$C^3\{1^2, \dots, 17^2\} = 75296 \cdot 168$
$C^3\{1^2, \dots, 11^2\} = 12349 \cdot 48$	$C^4\{1^2, \dots, 17^2\} = 83741 \cdot 58078$
$C^4\{1^2, \dots, 11^2\} = 21967 \cdot 231$	$C^5\{1^2, \dots, 17^2\} = 51857 \cdot 32163 \cdot 82$
$C^5\{1^2, \dots, 11^2\} = 12881 \cdot 6766$	$C^6\{1^2, \dots, 17^2\} = 16995 \cdot 83602 \cdot 6324$
$C^6\{1^2, \dots, 11^2\} = 10805 \cdot 6025$	$C^7\{1^2, \dots, 17^2\} = 26104 \cdot 27537 \cdot 55556$
	$C^8\{1^2, \dots, 17^2\} = 14320 \cdot 09163 \cdot 03962 \cdot 5$
	$C^9\{1^2, \dots, 17^2\} = 11874 \cdot 51971 \cdot 33062 \cdot 5$

§. 2. Aufstellung einiger Relationen zwischen den Combinationssummen der Quadrate der geraden und ungeraden Zahlen.

Betrachtet man das Product

$$P_{(d-1)} = (n + d - 1) (n + d - 2) \dots (n + 2) (n + 1) n (n - 1) (n - 2) \dots (n - d + 2) (n - d + 1) \quad 1$$

wo n eine beliebige, d eine ganze positive Zahl vorstellt, und multiplicirt je zwei symmetrisch gegen die Mitte gelegenen Factoren mit einander, so erhält man zunächst

$$P_{(d-1)} = n \cdot n^2 - 1^2 \cdot n^2 - 2^2 \cdot n^2 - 3^2 \dots \dots n^2 - d + 2 \cdot 2 \cdot n^2 - d + 1 \cdot 2 \cdot 2$$

Führt man die angezeigten Multiplicationen wirklich aus, und macht von der oben

in § 1 (pag. 5) erläuterten Bezeichnungsweise für die Combinationssummen Gebrauch, so kann man offenbar das Product durch die folgende Summenform ausdrücken:

$$P_{(d-1)} = \sum_{p=1}^{p=d} (-1)^{d-p} \frac{n^{2p-1}}{2^{2(d-p)}} C \{ 1^2, 2^2, \dots, (d-2)^2, (d-1)^2 \}.$$

Führt man unter dem Combinationszeichen statt der Quadrate der Zahlen die Quadrate der geraden Zahlen für die Elemente ein, so findet sich sofort

$$P_{(d-1)} = \sum_{p=1}^{p=d} (-1)^{d-p} \frac{n^{2p-1}}{2^{2(d-p)}} C \{ 2^2, 4^2, \dots, (2d-2)^2 \}. \quad 3$$

Kehrt man nun zur Gleichung 1) zurück und führt in dieselbe ein

$$n = m + \frac{1}{2}, \quad 4$$

so erhält man sogleich, wenn man die Multiplication der Summen und Differenzen ausführt für das obige Product

$$P_{(d-1)} = (m + \frac{1}{2} - \frac{1}{2})^2 - (d - \frac{3}{2})^2 - m^2 - (d - \frac{5}{2})^2, \dots, m^2 - (\frac{3}{2})^2 - m^2 - (\frac{1}{2})^2. \quad 5$$

Transformirt man diesen Ausdruck durch Einführung des Combinationszeichens in eine Summenformel und reducirt die Elemente auf die Quadrate der ungeraden Zahlen, so erhält man

$$P_{(d-1)} = (m + \frac{1}{2} - \frac{1}{2}) \sum_{p=1}^{p=d} (-1)^{d-p} \frac{m^{2p-1}}{2^{2(d-p)}} C \{ 1^2, 3^2, \dots, (2d-3)^2 \}. \quad 6$$

Durch Gleichsetzung der Ausdrücke 3) und 6) und Einstellung des Werthes n aus 4) in letzter Gleichung resultirt die folgende wichtige Relation

$$\begin{aligned} & \sum_{p=1}^{p=d} (-1)^{d-p} \frac{n^{2p-1}}{2^{2(d-p)}} C \{ 2^2, 4^2, \dots, (2d-2)^2 \} \\ &= (n + d - 1) \sum_{p=1}^{p=d} (-1)^{d-p} \frac{n^{2p-1}}{2^{2(d-p)}} C \{ 1^2, 3^2, \dots, (2d-3)^2 \}. \end{aligned} \quad 7$$

Ehe ich auf die Ableitung einiger Folgerungen übergehe, die man aus der Gleichung 7) erhalten kann, will ich vorerst auf einige Relationen eingehen, die sich aus den Ausdrücken 2) und 5) erhalten lassen. Bezeichnet man mit $P_{(d)}$ das mit $P_{(d-1)}$ analoge Product, welches man bekommt, wenn man bis zu dem Gliede $n^2 - d^2$ vorschreitet, so findet sich

$$P_{(d)} = (n^2 - d^2) P_{(d-1)}. \quad 8)$$

$$P_{(d)} = (m - d + \frac{1}{2})(m + d + \frac{1}{2}) P_{(d-1)}. \quad 9$$

Führt man in 8) die Combinationssummen für P ein, so wird

$$\begin{aligned} & \sum_{p=1}^{p=d+1} (-1)^{d+1-p} \frac{n^{2p-1}}{2^{2(d+1-p)}} C \{ 2^2, 4^2, \dots, 2d^2 \} = \\ &= (n^2 - d^2) \sum_{p=1}^{p=d} (-1)^{d-p} \frac{n^{2p-1}}{2^{2(d-p)}} C \{ 2^2, 4^2, \dots, 2(d-2)^2 \}. \end{aligned}$$

Ändert man links vom Gleichheitszeichen die Grenzen für p in 6) und d ab, so erhält man auch

$$\sum_{p=0}^{p=d} (-1)^{d-p} \frac{n^{2p+1}}{2^{2(d-p)}} C \left\{ \begin{matrix} d-p \\ 2^2, 4^2, \dots, (2d-2)^2 \end{matrix} \right\} = \\ = n^2 \dots d^2 \sum_{p=1}^{p=d} (-1)^{d-p} \frac{n^{2p-1}}{2^{2(d-p)}} C \left\{ \begin{matrix} d-p \\ 2^2, 4^2, \dots, (2d-2)^2 \end{matrix} \right\}. \quad (10)$$

Aus der Gleichung 9) findet sich durch ähnliche Schlussfolgerungen

$$\sum_{p=0}^{p=d} (-1)^{d-p} \frac{m^{2p}}{2^{2(d-p)}} C \left\{ \begin{matrix} d-p \\ 1^2, 3^2, \dots, (2d-1)^2 \end{matrix} \right\} = \\ = (m+d-\frac{1}{2}) (m-d+\frac{1}{2}) \sum_{p=1}^{p=d} (-1)^{d-p} \frac{m^{2p-2}}{2^{2(d-p)}} C \left\{ \begin{matrix} d-p \\ 1^2, 3^2, \dots, (2d-3)^2 \end{matrix} \right\}. \quad (11)$$

Betrachtet man Combinationen aus e und $e+1$ Elementen, so enthalten die vorstehenden Gleichungen 10 und 11 die Relationen, die zwischen den Combinationssummen dieser Elemente bestehen und zwar gilt die erste Gleichung, wenn die Quadrate der geraden Zahlen, die zweite, wenn die Quadrate der ungeraden Zahlen in Betracht kommen.

Multipliziert man die Gleichung 11) mit dm und integrirt, wobei zu beachten ist, dass der Werth Null für die Integrationsconstante durch die Specialisirung $m=0$ resultirt, so findet sich

$$\sum_{p=0}^{p=d} (-1)^{d-p} \frac{m^{2p+1}}{2^{2p+1} 2^{2(d-p)}} C \left\{ \begin{matrix} d-p \\ 1^2, 3^2, \dots, (2d-1)^2 \end{matrix} \right\} = \\ = \sum_{p=1}^{p=d} \frac{(-1)^{d-p}}{2^{2(d-p)}} \left\{ \frac{m^{2p+1}}{2p+1} - \binom{2d-1}{2} \frac{m^{2p-1}}{2^{2p-1}} \right\} C \left\{ \begin{matrix} d-p \\ 1^2, 3^2, \dots, (2d-3)^2 \end{matrix} \right\}.$$

Führt man in diese Gleichung die Specialisirung $m=\frac{1}{2}$ ein, so erhält man nach einer leichten Umformung

$$\sum_{p=0}^{p=d} \frac{(-1)^{d-p}}{2^{2p+1}} C \left\{ \begin{matrix} d-p \\ 1^2, 3^2, \dots, (2d-1)^2 \end{matrix} \right\} + \frac{1}{2} d(d-1) \sum_{p=1}^{p=d} \frac{(-1)^{d-p}}{2^{2p-1}} C \left\{ \begin{matrix} d-p \\ 1^2, 3^2, \dots, (2d-3)^2 \end{matrix} \right\} \\ = -2 \sum_{p=1}^{p=d} (-1)^{d-p} \frac{(-1)^{d-p}}{2^{2p+1} 2^{2p-1}} C \left\{ \begin{matrix} d-p \\ 1^2, 3^2, \dots, (2d-3)^2 \end{matrix} \right\}.$$

Schreibt man der Kürze halber für $d-1$ den Buchstaben δ im zweiten Gliede links vom Gleichheitszeichen und führt überdies in demselben für p die Grenzen 0 und $(d-1)$ ein, so erhält man die in der Folge verwendete Relation

$$\sum_{p=0}^{p=d} \frac{(-1)^{d-p}}{2^{2p+1}} C \left\{ \begin{matrix} d-p \\ 1^2, 3^2, \dots, (2d-1)^2 \end{matrix} \right\} + 4\delta \sum_{p=0}^{p=\delta} \frac{(-1)^{\delta-p}}{2^{2p+1}} C \left\{ \begin{matrix} \delta-p \\ 1^2, 3^2, \dots, (2\delta-1)^2 \end{matrix} \right\} = \\ = -2 \sum_{p=1}^{p=d} (-1)^{d-p} \frac{(-1)^{d-p}}{2^{2p+1} 2^{2p-1}} C \left\{ \begin{matrix} d-p \\ 1^2, 3^2, \dots, (2d-3)^2 \end{matrix} \right\}. \quad (12)$$

In ähnlicher Weise könnten weitere Relationen entwickelt werden, doch begnüge ich mich mit den hier angeführten Relationen und gehe auf einige Gleichungen über, die sich aus 7) ableiten lassen und die für die folgenden Untersuchungen von Bedeutung sind.

Setzt man in Gleichung 7) den Specialwerth $n=\frac{1}{2}$ ein und beachtet, dass

rechts vom Gleichheitszeichen für $p = 1$ der auftretende, unbestimmte Factor $n - \frac{1}{2} = 0^0$ offenbar der Einheit gleich gesetzt werden muss, so findet sich leicht die bemerkenswerthe Relation

$$\sum_{p=1}^{p=d} (-1)^{d-p} C \{ 2^2, 4^2, \dots, (2d-2)^2 \} = (-1)^{d-1} (2d-1)^2, 3^2, \dots, (2d-3)^2. \quad (13)$$

Setzt man aber in 7) $n = 0$, so erhält man

$$\sum_{p=1}^{p=d} (-1)^{d-p} C \{ 1^2, 3^2, \dots, (2d-3)^2 \} = 0, \quad (14)$$

welche Formel aber dadurch beschränkt erscheint, dass die Gültigkeit derselben für den Fall $d = 1$ besonders untersucht werden muss. Schreibt man jedoch in 7) für $p = \pi + 1$ und $d = \delta + 1$, und führt nach erfolgter Umsetzung für π und δ wieder $p = d$ ein, so erhält man für $n = 0$, den Fall $d = 0$ als in der Folge nicht wichtig, anschliessend

$$\sum_{p=0}^{p=d} (-1)^{d-p} C \{ 1^2, 3^2, \dots, (2d-1)^2 \} = 0, \quad (15)$$

Setzt man endlich $n = 1$, so erhält man aus 7) sofort

$$\sum_{p=1}^{p=d} \frac{(-1)^{d-p}}{2^{2(d-p)}} C \{ 2^2, 4^2, \dots, (2d-2)^2 \} = \frac{1}{2^{2d}} \sum_{p=1}^{p=d} (-1)^{d-p} C \{ 1^2, 3^2, \dots, (2d-3)^2 \},$$

und mit Rücksicht auf 14)

$$\sum_{p=1}^{p=d} \frac{(-1)^{d-p}}{2^{2(d-p)}} C \{ 2^2, 4^2, \dots, (2d-2)^2 \} = \sum_{p=1}^{p=d} (-1)^{d-p} C \{ 1, 2, \dots, d-1 \} = 0. \quad (16)$$

Die Gleichung 7) wird aber auch eine Reihe von Relationen bieten, die leicht erhalten werden können, wenn man auf diese Gleichung wiederholt die Differentiation und Integration anwendet, wobei noch eine vor diesen Operationen mit einer willkürlichen Potenz von n oder m ausgeführte Multiplication die Relationen vervielfältigt. Ich werde nur jene Relationen hier ableiten, von denen später Gebrauch gemacht wird.

Durch Differentiation erhält man

$$\begin{aligned} & \sum_{p=1}^{p=d} (-1)^{d-p} \frac{2p-1}{2^{2(d-p)}} \frac{n^{2p-2}}{2} C \{ 2^2, 4^2, \dots, (2d-2)^2 \} = \\ & = \left(\frac{2d-1}{2} \right) \sum_{p=1}^{p=d} (-1)^{d-p} \frac{2p-2}{2^{2(d-p)}} \frac{n-\frac{1}{2}}{2^{p-3}} C \{ 1^2, 3^2, \dots, (2d-3)^2 \} + \\ & + \sum_{p=1}^{p=d} (-1)^{d-p} \frac{(2p-1)(n-\frac{1}{2})^{2p-2}}{2^{2(d-p)}} C \{ 1^2, 3^2, \dots, (2d-3)^2 \}. \end{aligned} \quad (17)$$

Diese hier ausgeführte Differentiation erleichtert sich ganz ausserordentlich und führt sofort zu übersichtlichen Resultaten, wenn man rechts vom Gleichheitszeichen in 7) statt n , m substituirt und die Differentiation rechts nach m ausführt und nachher, da

$$dm = dn,$$

wieder n statt m in die Formel einführt. Weitere Relationen durch die Differentiation abzuleiten, scheint für die nächsten Zwecke nicht nöthig. Für die Ausführung der Integration denke ich mir vorerst die Gleichung 7 beiderseits mit n multiplicirt und dann linker Hand die Integration nach n , rechter Hand nach m ausgeführt, was gestattet ist, da ja $dm = dn$. Bezeichnet man die auftretende Integrationsconstante mit J , so wird

$$\sum_{p=1}^{p=d} \frac{(-1)^{d-p}}{2^{p+1} 2^{d(p)}} \frac{m^{p+1}}{2^{p+1}} C\{2^2, 4^2, \dots, (2d-2)^2\} =$$

$$\sum_{p=1}^{p=d} \frac{(-1)^{d-p}}{2^{d(p)}} \left\{ \frac{m^{p+1}}{2^{p+1}} + \frac{1}{2} \frac{m^p}{2^p} + \frac{2d-1}{2} \left[\frac{m^p}{2^p} + \frac{1}{2} \frac{m^{p-1}}{2^{p-1}} \right] \right\} C\{1^2, 3^2, \dots, (2d-3)^2\} + J.$$

Der Werth der Integrationsconstante findet sich in zweifacher Weise, wenn man $n = 0$ setzt und auch $m = 0$

$$J = \sum_{p=1}^{p=d} \frac{(-1)^{d-p}}{2^{d(p)}} \left\{ \frac{1}{2^{p+1} 2^{p+1}} - \frac{1}{2 \cdot 2^p 2^p} + \frac{2d-1}{2} \left(\frac{1}{2 \cdot 2^p} - \frac{1}{2^{p+1} 2^p} \right) \right\} C\{1^2, 3^2, \dots, (2d-3)^2\}$$

$$J = \sum_{p=1}^{p=d} \frac{(-1)^{d-p}}{2^{d(p)}} \frac{C\{2^2, 4^2, \dots, (2d-2)^2\}}{2^{p+1} 2^p}$$

Die Gleichsetzung beider Resultate ergibt nach Ausführung einiger offenkundiger Reductionen

$$\sum_{p=1}^{p=d} \frac{(-1)^{d-p}}{(2^{p+1})} C\{2^2, 4^2, \dots, (2d-2)^2\} = \sum_{p=1}^{p=d} \frac{(-1)^{d-p}}{2^p} \left\{ \frac{2d-1}{2^{p-1}} - \frac{1}{2^{p+1}} \right\} C\{1^2, 3^2, \dots, (2d-3)^2\}. \quad 18)$$

Es soll die Gleichung 7 nochmals in abgeänderter Form vorgenommen werden. Ersetzt man nämlich rechter Hand die Combinationssumme der Elemente $1^2, 3^2, \dots, (2d-3)^2$ durch $1^2, 3^2, \dots, (2d-1)^2$, indem man von der Relation 11) des vorliegenden Paragraphen Gebrauch macht und beachtet, dass

$$\frac{n+d-1}{m+d-\frac{1}{2}(m+d+\frac{1}{2})} = \frac{1}{n-d},$$

ist, so findet sich sofort

$$(n-d) \sum_{p=1}^{p=d} \frac{(-1)^{d-p} n^{p+1}}{2^{d(p)}} C\{2^2, 4^2, \dots, (2d-2)^2\} =$$

$$= \sum_{p=0}^{p=d} \frac{(-1)^{d-p} m^{p+1}}{2^{d(p)}} C\{1^2, 3^2, \dots, (2d-1)^2\}. \quad 19)$$

Multiplicirt man links mit dn , rechts mit dm , integrirt und bestimmt die Integrationsconstante in zweifacher Weise, indem man einerseits dieselbe durch $n = 0$, andererseits durch $m = 0$ ermittelt und setzt die beiden Resultate einander gleich, so findet sich

$$\sum_{p=1}^{p=d} \frac{(-1)^{d-p}}{2^{p+1}} C\{2^2, 4^2, \dots, (2d-2)^2\} = d \sum_{p=1}^{p=d} \frac{(-1)^{d-p}}{p} C\{2^2, 4^2, \dots, (2d-2)^2\} =$$

$$= \sum_{p=0}^{p=d} \frac{(-1)^{d-p}}{2^{p+1}} C\{1^2, 3^2, \dots, (2d-1)^2\}. \quad 20)$$

Diese Beispiele mögen genügen, um zu zeigen, zu welchen zahlreichen und verschiedenartigen Resultaten man durch das vorstehende Verfahren gelangen kann; ich habe dieselben so gewählt, dass die gewonnenen Relationen später Verwendung finden.

§ 3. Darstellung einer Funktion durch ihre Differenzwerthe.

Lässt man in irgend einer Funktion von a , den Werth a in $a + uw$ übergehen, so wird sich stets, sobald die Funktion nicht discontinuirlich ist, innerhalb der gestellten Grenzen eine Entwicklung nach steigenden Potenzen von uw bewerkstelligen lassen. Um die Convergenz dieser Reihen für praktische Zwecke hinreichend rasch zu gestalten, wird es allerdings nothwendig sein, uw keinen allzugrossen Werth zu ertheilen, doch lassen sich hierüber keine allgemeinen Regeln feststellen und es wird dem praktischen Takte des Rechners von Fall zu Fall überlassen bleiben müssen, die Wahl entsprechend dem vorgesteckten Ziele zu treffen.

Die eben hingestellte Behauptung rechtfertigt sich sofort durch Benutzung des Taylor'schen Lehrsatzes und man wird bemerken, dass die oben aufgestellte Einschränkung ebenfalls für den letzteren gilt. Man hat also nach demselben

$$f(a + uw) = f(a) + uw \frac{df(a)}{da} + \frac{u^2 w^2}{1 \cdot 2} \frac{d^2 f(a)}{da^2} + \dots$$

Denkt man sich diese Entwicklung bis $(uw)^m$ durchgeführt und sei dadurch die Reihe so weit fortgesetzt, dass die vorgeschriebene Genauigkeitsgrenze in der Entwicklung erreicht wird, so kann man die übrigen Glieder, die mit höheren Potenzen von uw als m multiplicirt sind, fortlassen, ohne der Genauigkeit etwas zu vergeben. Hiermit aber erscheint die vorgelegte Funktion innerhalb der vorgesteckten Grenzen mit einer arithmetischen Reihe der m^{ten} Ordnung identificirt. Rechnet man nun mit den entwickelten Coëfficienten eine Reihe in Bezug auf das Argument äquidistanter Werthe, indem man für a der Reihe nach die Werthe $\dots, -2, -1, 0, +1, +2, \dots$ setzt, so erhält man eine Folge von Funktionswerthen, die der in § 1 auseinandergesetzten Bezeichnungsweise entsprechend, mit $\dots, f(a - 2w), f(a - w), f(a), f(a + w), f(a + 2w) \dots$ bezeichnet werden sollen. Bildet man entsprechend den Vorschriften des § 1 die ersten und höheren Differenzwerthe, so erhält man das folgende Schema

.....		
$f(a - 2w)$	$f^{\text{I}}(a - \frac{3}{2}w)$	$f^{\text{II}}(a - 2w)$
$f(a - w)$	$f^{\text{I}}(a - \frac{3}{2}w)$	$f^{\text{II}}(a - w)$
$f(a)$	$f^{\text{I}}(a - \frac{1}{2}w)$	$f^{\text{II}}(a)$
$f(a + w)$	$f^{\text{I}}(a + \frac{1}{2}w)$	$f^{\text{II}}(a + w)$
$f(a + 2w)$	$f^{\text{I}}(a + \frac{3}{2}w)$	$f^{\text{II}}(a + 2w)$
.....

in welchem Schema nothwendig, der Voraussetzung nach, die m^{ten} Differenzen constant sein müssen. Um über die Bezeichnungsweise des Argumentindex eine sichere Regel zu haben, denke man sich unter m eine gerade Zahl; dies schränkt die Allgemeinheit der folgenden Ableitung nicht ein, weil, wenn die Entwicklung nach Potenzen von nw für ein ungerades m schon hinreichend genau wäre, die Entwicklung um eine Ordnung weiter geführt werden kann, wodurch nur eine Genauigkeitszunahme erreicht wird. Ist also m gerade, so wird nothwendig die Relation für die $m-1^{\text{ten}}$ Differenzwerthe bestehen:

$$\begin{aligned} f^{m-1}(a + \tfrac{3}{2}w) &= f^{m-1}(a + \tfrac{1}{2}w) + f^m(a) \\ f^{m-1}(a + \tfrac{5}{2}w) &= f^{m-1}(a + \tfrac{1}{2}w) + 2f^m(a), \end{aligned}$$

oder allgemein

$$f^{m-1}(a + [n + \tfrac{1}{2}]w) = f^{m-1}(a + \tfrac{1}{2}w) + nf^m(a).$$

Wendet man sich zu den $m-2^{\text{ten}}$ Differenzwerthen, so wird man finden

$$\begin{aligned} f^{m-2}(a + w) &= f^{m-2}(a) + f^{m-1}(a + \tfrac{1}{2}w) \\ f^{m-2}(a + 2w) &= f^{m-2}(a) + 2f^{m-1}(a + \tfrac{1}{2}w) + f^m(a) \\ f^{m-2}(a + 3w) &= f^{m-2}(a) + 3f^{m-1}(a + \tfrac{1}{2}w) + 3f^m(a) \end{aligned}$$

oder allgemein

$$f^{m-2}(a + nw) = f^{m-2}(a) + nf^{m-1}(a + \tfrac{1}{2}w) + \frac{n(n-1)}{1 \cdot 2} f^m(a).$$

Weiter erhält man für die $m-3^{\text{ten}}$ Differenzwerthe allgemein

$$f^{m-3}(a + [n + \tfrac{1}{2}]w) = f^{m-3}(a + \tfrac{1}{2}w) + nf^{m-2}(a + \tfrac{1}{2}w) + \frac{n(n-1)}{1 \cdot 2} f^{m-1}(a + \tfrac{1}{2}w) + \frac{n+1}{1 \cdot 2 \cdot 3} \frac{n(n-1)}{2} f^m(a).$$

Setzt man dieses Verfahren fort, bis man zur Reihe der Funktionswerthe selbst gelangt, so findet sich der allgemeine Ausdruck für dieselben leicht

$$\begin{aligned} f(a + nw) &= f(a) + nf^{\text{I}}(a + \tfrac{1}{2}w) + \frac{n(n-1)}{1 \cdot 2} f^{\text{II}}(a) + \frac{n+1}{1 \cdot 2 \cdot 3} \frac{n(n-1)}{2} f^{\text{III}}(a + \tfrac{1}{2}w) + \left\{ \begin{array}{l} 1) \\ + \frac{n+1}{1 \cdot 2 \cdot 3 \cdot 4} \frac{n(n-1)(n-2)}{4} f^{\text{IV}}(a) + \frac{n+2}{1 \cdot 2 \cdot 3 \cdot 4 \cdot 5} \frac{n(n-1)(n-2)}{4} f^{\text{V}}(a + \tfrac{1}{2}w) + \dots \end{array} \right\} \end{aligned}$$

welcher Ausdruck die bekannte Interpolationsformel ist und die vorgelegte Funktion der Voraussetzung nach in hinreichender Annäherung darstellt.

Die Formel 1 soll nun in Etwas abgeändert geschrieben werden, um später den Ausgangspunkt der Funktion beliebig wählen zu können. Ich setze nämlich statt n den allgemeineren Ausdruck $i+n$, wo i eine beliebige ganze Zahl vorstellt; dann kann man auch schreiben

$$f(a + [i+n]w) = f(a + iw) + nf^{\text{I}}(a + [i + \tfrac{1}{2}]w) + \frac{n(n-1)}{1 \cdot 2} f^{\text{II}}(a + iw) + \dots \quad 2)$$

führt man in diesem Ausdrucke die arithmetischen Mittel der ungeraden Differenzen nach der oben pag. 4) festgesetzten Schreibweise ein und erinnert sich, dass darnach ist

$$f^{\frac{2d-1}{2}}(a + [i + \tfrac{1}{2}]w) = f^{\frac{2d-1}{2}}(a + iw) + \tfrac{1}{2} f^{\frac{2d}{2}}(a + iw),$$

so erhält man nach einer unmittelbar ersichtlichen Reduction aus 2 den Ausdruck:

$$f(a + (i + n)w) = f(a + iw) + nf^I(a + iw) + \frac{n^2}{1 \cdot 2} f^{II}(a + iw) + \frac{n(n^2 - 1^2)}{1 \cdot 2 \cdot 3} f^{III}(a + iw) + \\ + \frac{n^2(n^2 - 1^2)}{1 \cdot 2 \cdot 3 \cdot 4} f^{IV}(a + iw) + \frac{n(n^2 - 1^2)(n^2 - 2^2)}{1 \cdot 2 \cdot 3 \cdot 4 \cdot 5} f^V(a + iw) + \dots \quad (3)$$

Denkt man sich die in den Factoren angezeigten Multiplicationen ausgeführt, jeden Factor nach Potenzen von n geordnet und die in § 1 (pag. 5) angezeigte Combinationsbezeichnung angewendet, so erhält man, wenn man überdies den Differenzindex durch $2d$ oder $2d - 1$ bezeichnet, je nachdem derselbe gerade oder ungerade ist, die folgende Gleichung, durch welche die obige Reihe in einer Summenform ausgedrückt erscheint:

$$f(a + (i + n)w) = f(a + iw) + \sum_{d=1}^{d=\infty} \left\{ \sum_{p=1}^{p=d} \frac{-1}{2^{2(d-p)}} \frac{d-p}{2d-1} \frac{n^{2p-1}}{2d-1}, C\{2^2, 4^2, \dots, (2d-2)^2\} f^{2d-1}(a + iw) + \right. \\ \left. + \sum_{p=1}^{p=d} \frac{-1}{2^{2(d-p)}} \frac{d-p}{2d} \frac{n^{2p}}{2d}, C\{2^2, 4^2, \dots, (2d-2)^2\} f^{2d}(a + iw) \right\} \quad (4)$$

Für d ist in dieser Gleichung als obere Grenze ∞ gesetzt, in der Anwendung wird aber d nur soweit mitgenommen zu werden brauchen, so weit die Differenzwerthe, multiplicirt in den zugehörigen meist sehr kleinen Factor, etwas Merkliches geben, und man wird selten bei zweckmässiger Wahl der Intervalle w über $d = 4$ hinauszugehen haben.

Man kann der Gleichung 4 auch eine andere Form geben, deren Kenntniss für die folgenden Entwicklungen erwünscht erscheint. Führt man nämlich in der Gleichung 2 statt der geraden Differenzwerthe die arithmetischen Mittel derselben ein, so hat man nach den Festsetzungen des § 1 (pag. 1) anzunehmen

$$f^{2d}(a + iw) = f^{2d}(a + (i + \frac{1}{2})w) - \frac{1}{2} f^{2d+1}(a + (i + \frac{1}{2})w);$$

setzt man überdies, wie dies in Gleichung 4 geschehen, statt n den Werth $m + \frac{1}{2}$, so findet sich ähulich wie früher

$$f(a + (i + n)w) = f(a + (i + \frac{1}{2})w) + mf(a + (i + \frac{1}{2})w) + \frac{m^2 - \frac{1}{2}^2}{1 \cdot 2} f^{II}(a + (i + \frac{1}{2})w) + \\ + \frac{m(m^2 - \frac{1}{2}^2)}{1 \cdot 2 \cdot 3} f^{III}(a + (i + \frac{1}{2})w) + \frac{m^2 - \frac{1}{2}^2 - m^2 - \frac{3}{2}^2}{1 \cdot 2 \cdot 3 \cdot 4} f^{IV}(a + (i + \frac{1}{2})w) + \dots$$

Durch Einführung der Combinationsbezeichnung erhält man dann

$$f(a + (i + n)w) = f(a + (i + \frac{1}{2})w) + \sum_{d=1}^{d=\infty} \left\{ \sum_{p=1}^{p=d} \frac{-1}{2^{2(d-p)}} \frac{d-p}{2d-1} \frac{m^{2p-1}}{2d-1}, C\{1^2, 3^2, \dots, (2d-3)^2\} f^{2d-1}(a + (i + \frac{1}{2})w) + \right. \\ \left. + \sum_{p=0}^{p=d} \frac{-1}{2^{2(d-p)}} \frac{d-p}{2d} \frac{m^{2p}}{2d}, C\{1^2, 3^2, \dots, (2d-1)^2\} f^{2d}(a + (i + \frac{1}{2})w) \right\} \quad (5)$$

Die Gleichungen 4 und 5 bilden die Grundlagen für die weiteren Entwicklungen und sind nichts anderes, als die Darstellung einer Funktion durch die

Differenzwerthe. Die hiefür gewählte neue Bezeichnungsweise wird aber die Uebersichtlichkeit der weiteren Transformationen erleichtern und die Gesetzmässigkeit der auftretenden numerischen Factoren auffinden lassen.

§ 4. Ermittlung der numerischen Differentialquotienten einer Funktion.

Wiewohl die Ausführung der numerischen Differentiation weniger nöthig erscheint, weil in sehr vielen Fällen, wenn die numerischen Werthe einer Funktion gegeben sind, auch der analytische Ausdruck derselben bekannt ist, also die Differentiation auf directen Wege ausgeführt werden kann, so tritt doch häufig in der astronomischen Praxis z. B. bei Ermittlung der speciellen Störungen, Ableitung der Differentialquotienten nach Ephemeridenorten der Fall ein, dass in der That die Funktion nur durch eine Reihe numerischer Werthe definiert erscheint und das Verlangen gestellt wird, den ersten und die höheren Differentialquotienten für dieselbe numerisch zu bestimmen. Ich werde daher die hiefür nöthigen Formeln hier ableiten.

Differentiirt man den Ausdruck 4 in § 3 pag. 15 q mal nach dem Argumente

$$a + [i + n] w = l,$$

wobei der Buchstabe l als Abkürzung eingeführt wird, so ist

$$dl = w dn \quad 1)$$

und man hat

$$\begin{aligned} w^q \frac{d^q f(l)}{d l^q} &= \sum_{d=1}^{d=q} \sum_{p=1}^{p=d} (-1)^{d-p} \frac{C^q \{2^2, 4^2, \dots, (2d-2)^2\}}{2 \cdot (d-p)! 2^{d-1}} \frac{d^q n^{2p-1}}{d n^q} f^{(d)}(a + i w) + \\ &+ \sum_{d=1}^{d=q} \sum_{p=1}^{p=d} (-1)^{d-p} \frac{C^q \{2^2, 4^2, \dots, (2d-2)^2\}}{2 \cdot (d-p)! 2^{d-1}} \frac{d^q n^{2p}}{d n^q} f^{(d)}(a + i w). \end{aligned}$$

Löst man hier die Summen nach d und p auf, so findet sich

$$\begin{aligned} w^q \frac{d^q f(l)}{d l^q} &= f^{(1)}(a + i w) \left\{ \frac{d^q n}{d n^q} \right\} + \\ &+ \frac{f^{(2)}(a + i w)}{1 \cdot 2} \left\{ \frac{d^q n^2}{d n^q} \right\} + \\ &+ \frac{f^{(3)}(a + i w)}{1 \cdot 2 \cdot 3} \left\{ \frac{d^q n^3}{d n^q} - \frac{C^q \{2^2\}}{2^2} \frac{d^q n}{d n^q} \right\} + \\ &+ \frac{f^{(4)}(a + i w)}{1 \cdot 2 \cdot 3 \cdot 4} \left\{ \frac{d^q n^4}{d n^q} - \frac{C^q \{2^2\}}{2^2} \frac{d^q n^2}{d n^q} \right\} + \\ &+ \frac{f^{(5)}(a + i w)}{1 \cdot 2 \cdot 3 \cdot 4 \cdot 5} \left\{ \frac{d^q n^5}{d n^q} - \frac{C^q \{2^2, 4^2\}}{2^2} \frac{d^q n^3}{d n^q} + \frac{C^q \{2^2, 4^2\}}{2^4} \frac{d^q n}{d n^q} \right\} + \\ &+ \frac{f^{(6)}(a + i w)}{1 \cdot 2 \cdot 3 \cdot 4 \cdot 5 \cdot 6} \left\{ \frac{d^q n^6}{d n^q} - \frac{C^q \{2^2, 4^2\}}{2^2} \frac{d^q n^4}{d n^q} + \frac{C^q \{2^2, 4^2\}}{2^4} \frac{d^q n^2}{d n^q} \right\} + \\ &+ \frac{f^{(7)}(a + i w)}{1 \cdot 2 \cdot 3 \cdot 4 \cdot 5 \cdot 6 \cdot 7} \left\{ \frac{d^q n^7}{d n^q} - \frac{C^q \{2^2, \dots, 6^2\}}{2^2} \frac{d^q n^5}{d n^q} + \frac{C^q \{2^2, \dots, 6^2\}}{2^4} \frac{d^q n^3}{d n^q} - \frac{C^q \{2^2, \dots, 6^2\}}{2^6} \frac{d^q n}{d n^q} \right\} + \\ &+ \dots \dots \dots \end{aligned} \quad 2)$$

wobei das Gesetz der Fortschreitung in diesem Ausdrucke sofort klar ist; ausserdem wird man leicht bemerken, dass alle jene Coëffizienten, wo q grösser ist als der Exponent von n , verschwinden.

Ein ganz analoger Ausdruck wird sich aus Gleichung 5 pag. 15 finden lassen. Es ist

$$a + [i + n] w = a + [i + \frac{1}{2} + m] w = l,$$

damit

$$dl = w dm$$

3)

und

$$\begin{aligned} w^q \frac{d^q f(l)}{dl^q} &= \sum_{d=1}^{d=\infty} \sum_{p=1}^{p=d} (-1)^{d-p} C_{\frac{1}{2}}^d \{1^2, 3^2, \dots, 2d-3\} \frac{d^q m^{2p-1}}{d m^q} f^{(2d-1)} \left(a + \left[i + \frac{1}{2} \right] w \right) + \\ &+ \sum_{d=1}^{d=\infty} \sum_{p=0}^{p=d} (-1)^{d-p} C_{\frac{1}{2}}^d \{1^2, 3^2, \dots, 2d-1\} \frac{d^q m^{2p}}{d m^q} f^{(2d)} \left(a + \left[i + \frac{1}{2} \right] w \right). \end{aligned}$$

Löst man die Summenzeichen auf, so hat man

$$\begin{aligned} w^q \frac{d^q f(l)}{dl^q} &= f^{(1)} \left(a + \left[i + \frac{1}{2} \right] w \right) \left\{ \frac{d^q m}{d m^q} \right\} + \\ &+ \frac{f^{(2)} \left(a + \left[i + \frac{1}{2} \right] w \right)}{1 \cdot 2} \left\{ \frac{d^q m^2}{d m^q} \right\} + \\ &+ \frac{f^{(3)} \left(a + \left[i + \frac{1}{2} \right] w \right)}{1 \cdot 2 \cdot 3} \left\{ \frac{d^q m^3}{d m^q} - \frac{C_{\frac{1}{2}}^q \{1^2\}}{2^2} \frac{d^q m}{d m^q} \right\} + \\ &+ \frac{f^{(4)} \left(a + \left[i + \frac{1}{2} \right] w \right)}{1 \cdot 2 \cdot 3 \cdot 4} \left\{ \frac{d^q m^4}{d m^q} - \frac{C_{\frac{1}{2}}^q \{1^2, 3^2\}}{2^2} \frac{d^q m^2}{d m^q} \right\} + \\ &+ \frac{f^{(5)} \left(a + \left[i + \frac{1}{2} \right] w \right)}{1 \cdot 2 \cdot 3 \cdot 4 \cdot 5} \left\{ \frac{d^q m^5}{d m^q} - \frac{C_{\frac{1}{2}}^q \{1^2, 3^2\}}{2^2} \frac{d^q m^3}{d m^q} + \frac{C_{\frac{1}{2}}^q \{1^2, 3^2\}}{2^4} \frac{d^q m}{d m^q} \right\} + \\ &+ \frac{f^{(6)} \left(a + \left[i + \frac{1}{2} \right] w \right)}{1 \cdot 2 \cdot 3 \cdot 4 \cdot 5 \cdot 6} \left\{ \frac{d^q m^6}{d m^q} - \frac{C_{\frac{1}{2}}^q \{1^2, \dots, 5^2\}}{2^2} \frac{d^q m^4}{d m^q} + \frac{C_{\frac{1}{2}}^q \{1^2, \dots, 5^2\}}{2^4} \frac{d^q m^2}{d m^q} \right\} + \\ &+ \frac{f^{(7)} \left(a + \left[i + \frac{1}{2} \right] w \right)}{1 \cdot 2 \cdot 3 \cdot 4 \cdot 5 \cdot 6 \cdot 7} \left\{ \frac{d^q m^7}{d m^q} - \frac{C_{\frac{1}{2}}^q \{1^2, \dots, 5^2\}}{2^2} \frac{d^q m^5}{d m^q} + \frac{C_{\frac{1}{2}}^q \{1^2, \dots, 5^2\}}{2^4} \frac{d^q m^3}{d m^q} - \frac{C_{\frac{1}{2}}^q \{1^2, \dots, 5^2\}}{2^6} \frac{d^q m}{d m^q} \right\} + \\ &+ \dots \dots \dots \end{aligned} \quad \left. \vphantom{\frac{f^{(7)}}{1 \cdot 2 \cdot 3 \cdot 4 \cdot 5 \cdot 6 \cdot 7}} \right\} 4)$$

Auch hier werden alle jene Glieder für gegebene Werthe von q verschwinden, wo q grösser als der Exponent von m ist.

Im Allgemeinen wird man selten Veranlassung haben, diese Formeln für andere Fälle als $q = 1$ und $q = 2$ anzuwenden. Unter der speziellen Voraussetzung: $q = 1$, hat man in der Gleichung 2 pag. 16 die folgenden Factoren:

$$\begin{aligned} N_1^3(n) &= \frac{1}{3!} \left\{ - \frac{C_{\frac{1}{2}}^q \{2^2\}}{2^2} + 3 n^2 \right\} \\ N_1^5(n) &= \frac{1}{5!} \left\{ + \frac{C_{\frac{1}{2}}^q \{2^2, 4^2\}}{2^4} - 3 n^2 \frac{C_{\frac{1}{2}}^q \{2^2, 4^2\}}{2^2} + 5 n^4 \right\} \\ N_1^7(n) &= \frac{1}{7!} \left\{ - \frac{C_{\frac{1}{2}}^q \{2^2, \dots, 6^2\}}{2^6} + 3 n^2 \frac{C_{\frac{1}{2}}^q \{2^2, \dots, 6^2\}}{2^4} - 5 n^4 \frac{C_{\frac{1}{2}}^q \{2^2, \dots, 6^2\}}{2^2} + 7 n^6 \right\} \\ N_1^9(n) &= \frac{1}{9!} \left\{ + \frac{C_{\frac{1}{2}}^q \{2^2, \dots, 8^2\}}{2^8} - 3 n^2 \frac{C_{\frac{1}{2}}^q \{2^2, \dots, 8^2\}}{2^6} + 5 n^4 \frac{C_{\frac{1}{2}}^q \{2^2, \dots, 8^2\}}{2^4} - 7 n^6 \frac{C_{\frac{1}{2}}^q \{2^2, \dots, 8^2\}}{2^2} + 9 n^8 \right\} \\ &\dots \dots \dots \\ &\dots \dots \dots \end{aligned} \quad \left. \vphantom{\frac{N_1^9(n)}{9!}} \right\} 5)$$

$$\begin{aligned} N_1^4(n) &= \frac{1}{4!} \left\{ - 2 \cdot \frac{C_{\frac{1}{2}}^q \{2^2\}}{2^2} + 4 n^2 \right\} \\ N_1^6(n) &= \frac{1}{6!} \left\{ + 2 \cdot \frac{C_{\frac{1}{2}}^q \{2^2, 4^2\}}{2^4} - 4 n^2 \frac{C_{\frac{1}{2}}^q \{2^2, 4^2\}}{2^2} + 6 n^4 \right\} \end{aligned}$$

$$\left. \begin{aligned} N_1^8(u) &= \frac{1}{8!} \left\{ -2 \cdot \frac{C^3 \{ 2^2, \dots, 6^2 \}}{2^6} + 4u^2 \frac{C^2 \{ 2^2, \dots, 6^2 \}}{2^4} - 6u^4 \frac{C^1 \{ 2^2, \dots, 6^2 \}}{2^2} + 8u^6 \right\} \\ N_1^{10}(u) &= \frac{1}{10!} \left\{ +2 \cdot \frac{C^4 \{ 2^2, \dots, 8^2 \}}{2^8} - 4u^2 \frac{C^3 \{ 2^2, \dots, 8^2 \}}{2^6} + 6u^4 \frac{C^2 \{ 2^2, \dots, 8^2 \}}{2^4} - 8u^6 \frac{C^1 \{ 2^2, \dots, 8^2 \}}{2^2} + 10u^8 \right\} \\ &\dots \dots \dots \\ &\dots \dots \dots \end{aligned} \right\} 5.$$

Das Bildungsgesetz dieser Ausdrücke ist offenkundig und man erhält mit denselben

$$\begin{aligned} w \cdot \frac{df^I}{df} &= f^1(u+iw) + N_1^3(u) f^{\text{III}}(u+iw) + N_1^5(u) f^{\text{V}}(u+iw) + N_1^7(u) f^{\text{VII}}(u+iw) + \dots \\ &+ u \{ f^{\text{II}}(u+iw) + N_1^4(u) f^{\text{IV}}(u+iw) + N_1^6(u) f^{\text{VI}}(u+iw) + N_1^8(u) f^{\text{VIII}}(u+iw) + \dots \} \end{aligned} \quad 6$$

Die Tafel I enthält die Logarithmen der hier entwickelten Werthe von $N_1^d(u)$ nach dem Argumente u und schreitet bis $N_1^{10}(u)$ fort, also bis zur Berücksichtigung zehnter Differenzen, was die Grenzen der gewöhnlichen Anwendung weit überschreitet. Die äussersten Argumente sind ± 0.25 , weil, wie dies der Anblick der Formel zeigt, für die Fälle $u > \pm \frac{1}{4}$ die Rechnung bequemer und kürzer wird nach der Formel, die m enthält. Da u in den obigen Ausdrücken für die N -Coefficienten durchaus quadratisch auftritt, so werden dieselben für alle positiven und negativen Werthe die gleichen. Die Tafel ist 7stellig von Herrn F. K. Ginzel berechnet worden, dem practischen Bedürfniss entsprechend aber auf 6 Stellen abgekürzt, so dass der Fehler der Tafel nicht häufig eine halbe Einheit der 6. Stelle betragen wird. Die Reihe selbst ist, um gleich die logarithmischen Werthe bequem tabuliren zu können, in zwei Reihen zerfällt; in der zweiten erscheint u als gemeinsamer Factor herausgehoben.

In analoger Weise wie aus 2 die Gleichungen 5) abgeleitet wurden, erhält man aus 4) (pag. 17) die Relationen

$$\left. \begin{aligned} M_1^3(m) &= \frac{1}{3!} \left\{ -\frac{C^1 \{ 1^2 \}}{2^2} + 3m^2 \right\} \\ M_1^5(m) &= \frac{1}{5!} \left\{ +\frac{C^2 \{ 1^2, 3^2 \}}{2^4} - 3m^2 \frac{C^1 \{ 1^2, 3^2 \}}{2^2} + 5m^4 \right\} \\ M_1^7(m) &= \frac{1}{7!} \left\{ -\frac{C^3 \{ 1^2, 5^2 \}}{2^6} + 3m^2 \frac{C^2 \{ 1^2, 5^2 \}}{2^4} - 5m^4 \frac{C^1 \{ 1^2, 5^2 \}}{2^2} + 7m^6 \right\} \\ M_1^9(m) &= \frac{1}{9!} \left\{ +\frac{C^4 \{ 1^2, \dots, 7^2 \}}{2^8} - 3m^2 \frac{C^3 \{ 1^2, \dots, 7^2 \}}{2^6} + 5m^4 \frac{C^2 \{ 1^2, \dots, 7^2 \}}{2^4} - 7m^6 \frac{C^1 \{ 1^2, \dots, 7^2 \}}{2^2} + 9m^8 \right\} \\ &\dots \dots \dots \\ &\dots \dots \dots \\ M_1^4(m) &= \frac{1}{4!} \left\{ -2 \frac{C^1 \{ 1^2, 3^2 \}}{2^2} + 4m^2 \right\} \\ M_1^6(m) &= \frac{1}{6!} \left\{ +2 \frac{C^2 \{ 1^2, \dots, 5^2 \}}{2^4} - 4m^2 \frac{C^1 \{ 1^2, 5^2 \}}{2^2} + 6m^4 \right\} \\ M_1^8(m) &= \frac{1}{8!} \left\{ -2 \frac{C^3 \{ 1^2, \dots, 7^2 \}}{2^6} + 4m^2 \frac{C^2 \{ 1^2, \dots, 7^2 \}}{2^4} - 6m^4 \frac{C^1 \{ 1^2, \dots, 7^2 \}}{2^2} + 8m^6 \right\} \\ M_1^{10}(m) &= \frac{1}{10!} \left\{ +2 \frac{C^4 \{ 1^2, \dots, 9^2 \}}{2^8} - 4m^2 \frac{C^3 \{ 1^2, \dots, 9^2 \}}{2^6} + 6m^4 \frac{C^2 \{ 1^2, \dots, 9^2 \}}{2^4} - 8m^6 \frac{C^1 \{ 1^2, \dots, 9^2 \}}{2^2} + 10m^8 \right\} \end{aligned} \right\} 7.$$

und mit denselben

$$w \frac{df(l)}{dl} = f^I(a + (i + \frac{1}{2})w) + M_1^3(m) f^{III}(a + (i + \frac{1}{2})w) + M_1^5(m) f^V(a + (i + \frac{1}{2})w) + \dots + m \{ f^{II}(a + (i + \frac{1}{2})w) + M_1^4(m) f^{IV}(a + (i + \frac{1}{2})w) + M_1^6(m) f^{VI}(a + (i + \frac{1}{2})w) + \dots \} \quad 8$$

Die logarithmischen M -Coëfficienten, die wie oben für positive und negative Werthe identisch werden, finden sich in Tafel II. und zwar mit dem Argumente m zwischen den Grenzen ∓ 0.25 . Durch Benützung der Formeln 6) und 8) ist man daher in den Stand gesetzt, jeden geforderten ersten Differentialquotienten zu bestimmen.

Für $q = 2$ erhält man aus Gleichung 2)

$$\left. \begin{aligned} N_2^4(n) &= \frac{1}{4!} \left\{ -2 \frac{C^1 \{ 2^2, 1 \}}{2^2} + 3 \cdot 4 n^2 \right\} \\ N_2^6(n) &= \frac{1}{6!} \left\{ +2 \frac{C^2 \{ 2^2, 4^2 \}}{2^4} - 3 \cdot 4 n^2 \frac{C^1 \{ 2^2, 4^2 \}}{2^2} + 5 \cdot 6 n^4 \right\} \\ N_2^8(n) &= \frac{1}{8!} \left\{ -2 \frac{C^3 \{ 2^2, 6^2 \}}{2^6} + 3 \cdot 4 n^2 \frac{C^2 \{ 2^2, 6^2 \}}{2^4} - 5 \cdot 6 n^4 \frac{C^1 \{ 2^2, 6^2 \}}{2^2} + 7 \cdot 8 n^6 \right\} \\ N_2^{10}(n) &= \frac{1}{10!} \left\{ +2 \frac{C^4 \{ 2^2, 8^2 \}}{2^8} - 3 \cdot 4 n^2 \frac{C^3 \{ 2^2, 8^2 \}}{2^6} + 5 \cdot 6 n^4 \frac{C^2 \{ 2^2, 8^2 \}}{2^4} - 7 \cdot 8 n^6 \frac{C^1 \{ 2^2, 8^2 \}}{2^2} + 9 \cdot 10 n^8 \right\} \\ &\dots \dots \dots \\ N_2^5(n) &= \frac{1}{5!} \left\{ -2 \cdot 3 \frac{C^1 \{ 2^2, 4^2 \}}{2^2} + 4 \cdot 5 n^2 \right\} \\ N_2^7(n) &= \frac{1}{7!} \left\{ +2 \cdot 3 \frac{C^2 \{ 2^2, 6^2 \}}{2^4} - 4 \cdot 5 n^2 \frac{C^1 \{ 2^2, 6^2 \}}{2^2} + 6 \cdot 7 n^4 \right\} \\ N_2^9(n) &= \frac{1}{9!} \left\{ -2 \cdot 3 \frac{C^3 \{ 2^2, 8^2 \}}{2^6} + 4 \cdot 5 n^2 \frac{C^2 \{ 2^2, 8^2 \}}{2^4} - 6 \cdot 7 n^4 \frac{C^1 \{ 2^2, 8^2 \}}{2^2} + 8 \cdot 9 n^6 \right\} \\ &\dots \dots \dots \end{aligned} \right\} \quad 9)$$

und damit

$$m^2 \frac{df(l)}{dl^2} = f^{II}(a + iw) + N_2^4(n) f^{IV}(a + iw) + N_2^6(n) f^{VI}(a + iw) + N_2^8(n) f^{VIII}(a + iw) + \dots + n \{ f^{III}(a + iw) + N_2^5(n) f^V(a + iw) + N_2^7(n) f^{VII}(a + iw) + N_2^9(n) f^{IX}(a + iw) + \dots \} \quad 10)$$

Die Logarithmen der in diesen Ausdrücken auftretenden Coëfficienten sind in der Tafel III aufgenommen.

Ganz ähnlich ist in Gleichung 4) für $q = 2$

$$\left. \begin{aligned} M_2^4(m) &= \frac{1}{4!} \left\{ -2 \frac{C^1 \{ 1^2, 3^2 \}}{2^2} + 3 \cdot 4 m^2 \right\} \\ M_2^6(m) &= \frac{1}{6!} \left\{ +2 \frac{C^2 \{ 1^2, 5^2 \}}{2^4} - 3 \cdot 4 m^2 \frac{C^1 \{ 1^2, 5^2 \}}{2^2} + 5 \cdot 6 m^4 \right\} \\ M_2^8(m) &= \frac{1}{8!} \left\{ -2 \frac{C^3 \{ 1^2, 7^2 \}}{2^6} + 3 \cdot 4 m^2 \frac{C^2 \{ 1^2, 7^2 \}}{2^4} - 5 \cdot 6 m^4 \frac{C^1 \{ 1^2, 7^2 \}}{2^2} + 7 \cdot 8 m^6 \right\} \\ M_2^{10}(m) &= \frac{1}{10!} \left\{ +2 \frac{C^4 \{ 1^2, 9^2 \}}{2^8} - 3 \cdot 4 m^2 \frac{C^3 \{ 1^2, 9^2 \}}{2^6} + 5 \cdot 6 m^4 \frac{C^2 \{ 1^2, 9^2 \}}{2^4} - 7 \cdot 8 m^6 \frac{C^1 \{ 1^2, 9^2 \}}{2^2} + 9 \cdot 10 m^8 \right\} \\ &\dots \dots \dots \\ M_2^5(m) &= \frac{1}{5!} \left\{ -2 \cdot 3 \frac{C^1 \{ 1^2, 3^2 \}}{2^2} + 4 \cdot 5 m^2 \right\} \end{aligned} \right\} \quad 11)$$

$$\left. \begin{aligned} M_2^7 m &= \frac{1}{7!} \left\{ + 2 \cdot 3 \frac{C^3 \{1^2, \dots, 5^2\}}{2^4} - 4 \cdot 5 m^2 \frac{C^2 \{1^2, \dots, 5^2\}}{2^2} + 6 \cdot 7 m^4 \right\} \\ M_2^9 m &= \frac{1}{9!} \left\{ - 2 \cdot 3 \frac{C^3 \{1^2, \dots, 7^2\}}{2^6} + 4 \cdot 5 m^2 \frac{C^2 \{1^2, \dots, 7^2\}}{2^4} - 6 \cdot 7 m^4 \frac{C^1 \{1^2, \dots, 7^2\}}{2^2} + 8 \cdot 9 m^6 \right\} \\ &\dots \dots \dots \end{aligned} \right\} \quad 11)$$

daher also der Ausdruck:

$$\begin{aligned} w^2 \frac{d^2 f}{d^2} &= f^{II}(a + [i + \tfrac{1}{2}]w) + M_2^4 m f^{IV}(a + [i + \tfrac{1}{2}]w) + M_2^6 m f^{VI}(a + [i + \tfrac{1}{2}]w) + \dots \\ &\quad + M_2^8 m f^{VIII}(a + [i + \tfrac{1}{2}]w) + \dots \\ &\quad + m [f^{III}(a + [i + \tfrac{1}{2}]w) + M_2^5 m f^{V}(a + [i + \tfrac{1}{2}]w) + M_2^7 m f^{VII}(a + [i + \tfrac{1}{2}]w) + \\ &\quad + M_2^9 m f^{IX}(a + [i + \tfrac{1}{2}]w) + \dots \end{aligned} \quad 12)$$

dessen logarithmische Coëfficienten sich in der Tafel IV finden.

Indem so ganz allgemein die Berechnung irgend eines Differentialquotienten möglich ist, wird die Betrachtung der speciellen Fälle n und m gleich Null, keine weiteren Schwierigkeiten bieten; es soll auf die letzteren hier näher eingegangen werden, weil gerade diese speciellen Fälle in der Anwendung häufig hervortreten.

Man gelangt sofort zu den diesbezüglichen Ausdrücken, wenn man in den Gleichungen 2 und 4 (pag. 16, 17) nach Ausführung der angezeigten Differentiation beziehungsweise n und $m = 0$ setzt. Eine ganz einfache Ueberlegung zeigt, dass dann alle Differentialquotienten verschwinden, in denen der Exponent von n und m entweder kleiner oder grösser als q ist, und nur jene Coëfficienten übrig bleiben, wo der Exponent von n und m gleich q wird. Man erhält also, indem man in dem Ausdruck $a + [i + n]w = l$ den Werth $n = 0$ einführt, der Reihe nach für die verschiedenen Differentialquotienten:

$$\left. \begin{aligned} w \frac{df(a+iw)}{d(a+iw)} &= f^I(a+iw) - \frac{C^1 \{2^2\}}{2^2(3!)} f^{III}(a+iw) + \frac{C^2 \{2^2, 4^2\}}{2^4(5!)} f^V(a+iw) - \\ &\quad - \frac{C^3 \{2^2, \dots, 6^2\}}{2^6(7!)} f^{VII}(a+iw) + \dots \\ w^2 \frac{d^2 f(a+iw)}{d^2(a+iw)^2} &= f^{II}(a+iw) - 2 \frac{C^1 \{2^2\}}{2^2(4!)} f^{IV}(a+iw) + 2 \frac{C^2 \{2^2, 4^2\}}{2^4(6!)} f^{VI}(a+iw) - \\ &\quad - 2 \frac{C^3 \{2^2, \dots, 6^2\}}{2^6(8!)} f^{VIII}(a+iw) + \dots \\ w^3 \frac{d^3 f(a+iw)}{d^3(a+iw)^3} &= f^{III}(a+iw) - 2 \cdot 3 \frac{C^1 \{2^2, \dots, 4^2\}}{2^2(5!)} f^V(a+iw) + 2 \cdot 3 \frac{C^2 \{2^2, \dots, 6^2\}}{2^4(7!)} f^{VII}(a+iw) - \\ &\quad - 2 \cdot 3 \frac{C^3 \{2^2, \dots, 8^2\}}{2^6(9!)} f^{IX}(a+iw) + \dots \\ w^4 \frac{d^4 f(a+iw)}{d^4(a+iw)^4} &= f^{IV}(a+iw) - 2 \cdot 3 \cdot 4 \frac{C^1 \{2^2, \dots, 4^2\}}{2^2(6!)} f^{VI}(a+iw) + 2 \cdot 3 \cdot 4 \frac{C^2 \{2^2, \dots, 6^2\}}{2^4(8!)} f^{VIII}(a+iw) - \\ &\quad - 2 \cdot 3 \cdot 4 \frac{C^3 \{2^2, \dots, 8^2\}}{2^6(10!)} f^{X}(a+iw) + \dots \\ &\dots \dots \dots \end{aligned} \right\} \quad 13a)$$

so dass das Gesetz der Fortschreitung klar vor Augen liegt. Da diese Coëfficienten eine erhöhte Bedeutung haben, so habe ich dieselben vollständig bis zur

20. Differenz angesetzt und zu diesem Ende die obigen Coefficienten abkürzend geschrieben:

$$n^q \frac{d^q f(a+ic)}{d(a+ic)^q} = f^q(a+ic) + N_q^{q+2} f^{q+2}(a+ic) + N_q^{q+4} f^{q+4}(a+ic) \\ + N_q^{q+6} f^{q+6}(a+ic) + \dots \quad 13b$$

In der folgenden Zusammenstellung sind die mitgetheilten Zahlen im Zähler und Nenner relative Primzahlen.

	Zähler	Nenner		Zähler	Nenner
$N_1^1 = +$	1 :	1	$N_2^2 = +$	1 :	1
$N_1^3 = -$	1 :	6	$N_2^4 = -$	1 :	12
$N_1^5 = +$	1 :	30	$N_2^6 = +$	1 :	90
$N_1^7 = -$	1 :	140	$N_2^8 = -$	1 :	560
$N_1^9 = +$	1 :	630	$N_2^{10} = +$	1 :	3150
$N_1^{11} = -$	1 :	2772	$N_2^{12} = -$	1 :	16632
$N_1^{13} = +$	1 :	12012	$N_2^{14} = +$	1 :	84084
$N_1^{15} = -$	1 :	51480	$N_2^{16} = -$	1 :	111840
$N_1^{17} = +$	1 :	218790	$N_2^{18} = +$	1 :	1069110
$N_1^{19} = -$	1 :	923780	$N_2^{20} = -$	1 :	9237800

$N_3^3 = +$	1 :	1	$N_4^4 = +$	1 :	1
$N_3^5 = -$	1 :	4	$N_4^6 = -$	1 :	6
$N_3^7 = +$	7 :	120	$N_4^8 = +$	7 :	240
$N_3^9 = -$	41 :	3024	$N_4^{10} = -$	41 :	7560
$N_3^{11} = +$	479 :	151200	$N_4^{12} = +$	479 :	153600
$N_3^{13} = -$	59 :	70200	$N_4^{14} = -$	59 :	277200
$N_3^{15} = +$	2 66681 :	15135 12000	$N_4^{16} = +$	2 66681 :	60540 48000
$N_3^{17} = -$	63397 :	15135 12000	$N_4^{18} = -$	63397 :	68108 54000
$N_3^{19} = +$	97 78141 :	97 77287 52000	$N_4^{20} = +$	97 78141 :	188 86437 60000

$N_5^5 = +$	1 :	1	$N_6^6 = +$	1 :	1
$N_5^7 = -$	1 :	3	$N_6^8 = -$	1 :	4
$N_5^9 = +$	13 :	144	$N_6^{10} = +$	13 :	240
$N_5^{11} = -$	130 :	6048	$N_6^{12} = -$	130 :	12096
$N_5^{13} = +$	37 :	6480	$N_6^{14} = +$	37 :	15120
$N_5^{15} = -$	4201 :	29 93760	$N_6^{16} = -$	4201 :	79 83360
$N_5^{17} = +$	37 39217 :	1 08972 86400	$N_6^{18} = +$	37 39217 :	3 26918 50200
$N_5^{19} = -$	3 64910 :	13589 14560	$N_6^{20} = -$	3 64910 :	1 45297 15200

Zähler	Nenner	Zähler	Nenner
$N_7^7 = +$	1	$N_8^8 = +$	1
$N_7^9 = -$	5	$N_8^{10} = -$	3
$N_7^{11} = +$	31	$N_8^{12} = +$	360
$N_7^{13} = -$	311	$N_8^{14} = -$	15120
$N_7^{15} = +$	2473	$N_8^{16} = +$	518400
$N_7^{17} = -$	4679	$N_8^{18} = -$	4276800
$N_7^{19} = +$	5839219	$N_8^{20} = +$	23351328000

$N_9^9 = +$	1	$N_{10}^{10} = +$	1
$N_9^{11} = -$	1	$N_{10}^{12} = -$	12
$N_9^{13} = +$	7	$N_{10}^{14} = +$	8
$N_9^{15} = -$	67	$N_{10}^{16} = -$	2016
$N_9^{17} = +$	2021	$N_{10}^{18} = +$	241920
$N_9^{19} = -$	21713	$N_{10}^{20} = -$	10644480

$N_{11}^{11} = +$	1	$N_{12}^{12} = +$	1
$N_{11}^{13} = -$	7	$N_{12}^{14} = -$	2
$N_{11}^{15} = +$	41	$N_{12}^{16} = +$	240
$N_{11}^{17} = -$	757	$N_{12}^{18} = -$	15120
$N_{11}^{19} = +$	5473	$N_{12}^{20} = +$	403200

$N_{13}^{13} = +$	1	$N_{14}^{14} = +$	1
$N_{13}^{15} = -$	2	$N_{14}^{16} = -$	12
$N_{13}^{17} = +$	23	$N_{14}^{18} = +$	720
$N_{13}^{19} = -$	619	$N_{14}^{20} = -$	8640

$N_{15}^{15} = +$	1	$N_{16}^{16} = +$	1
$N_{15}^{17} = -$	3	$N_{16}^{18} = -$	3
$N_{15}^{19} = +$	17	$N_{16}^{20} = +$	60

$N_{17}^{17} = +$	1	$N_{18}^{18} = +$	1
$N_{17}^{19} = -$	5	$N_{18}^{20} = -$	4

Stellt man in den Gleichungen 4) pag. 17 statt l den Werth $a + [j + \frac{1}{2}]x$ ein, indem hierbei $m = 0$ vorausgesetzt ist, so finden sich die Differentialquotienten

$$\begin{aligned}
 w \frac{d^1 f(a + [i + \frac{1}{2}]w)}{d(a + [i + \frac{1}{2}]w)} &= f^1(a + [i + \frac{1}{2}]w) - \frac{C^1_1 \{1^2\}}{2^2 \{3\}} f^{111}(a + [i + \frac{1}{2}]w) + \\
 &+ \frac{C^2_1 \{1^2, 3^2\}}{2^4 \{5\}} f^{1111}(a + [i + \frac{1}{2}]w) - \frac{C^3_1 \{1^2, \dots, 5^2\}}{2^6 \{7\}} f^{11111}(a + [i + \frac{1}{2}]w) + \dots \\
 w^2 \frac{d^2 f(a + [i + \frac{1}{2}]w)}{d(a + [i + \frac{1}{2}]w)^2} &= f^{11}(a + [i + \frac{1}{2}]w) - 2 \frac{C^1_1 \{1^2, 3^2\}}{2^2 \{4\}} f^{111}(a + [i + \frac{1}{2}]w) + \\
 &+ 2 \frac{C^2_1 \{1^2, \dots, 5^2\}}{2^4 \{6\}} f^{1111}(a + [i + \frac{1}{2}]w) - 2 \frac{C^3_1 \{1^2, \dots, 7^2\}}{2^6 \{8\}} f^{11111}(a + [i + \frac{1}{2}]w) + \dots \\
 w^3 \frac{d^3 f(a + [i + \frac{1}{2}]w)}{d(a + [i + \frac{1}{2}]w)^3} &= f^{111}(a + [i + \frac{1}{2}]w) - 2 \cdot 3 \frac{C^1_1 \{1^2, 3^2\}}{2^2 \{5\}} f^{1111}(a + [i + \frac{1}{2}]w) + \\
 &+ 2 \cdot 3 \frac{C^2_1 \{1^2, \dots, 5^2\}}{2^4 \{7\}} f^{11111}(a + [i + \frac{1}{2}]w) - 2 \cdot 3 \frac{C^3_1 \{1^2, \dots, 7^2\}}{2^6 \{9\}} f^{111111}(a + [i + \frac{1}{2}]w) + \\
 w^4 \frac{d^4 f(a + [i + \frac{1}{2}]w)}{d(a + [i + \frac{1}{2}]w)^4} &= f^{1111}(a + [i + \frac{1}{2}]w) - 2 \cdot 3 \cdot 4 \frac{C^1_1 \{1^2, \dots, 5^2\}}{2^2 \{6\}} f^{11111}(a + [i + \frac{1}{2}]w) + \\
 &+ 2 \cdot 3 \cdot 4 \frac{C^2_1 \{1^2, \dots, 7^2\}}{2^4 \{8\}} f^{111111}(a + [i + \frac{1}{2}]w) - 2 \cdot 3 \cdot 4 \frac{C^3_1 \{1^2, \dots, 9^2\}}{2^6 \{10\}} f^{1111111}(a + [i + \frac{1}{2}]w) + \\
 &\dots \dots \dots
 \end{aligned}
 \tag{14a}$$

In ähnlicher Weise wie früher erhält man allgemein

$$\begin{aligned}
 w^q \frac{d^q f(a + [i + \frac{1}{2}]w)}{d(a + [i + \frac{1}{2}]w)^q} &= f^q(a + [i + \frac{1}{2}]w) + M_q^{q+2} f^{q+2}(a + [i + \frac{1}{2}]w) + \\
 &+ M_q^{q+4} f^{q+4}(a + [i + \frac{1}{2}]w) + \dots
 \end{aligned}
 \tag{14b}$$

Die in diesem Ausdrucke enthaltenen M -Coefficienten folgen hier, wie vorher die N -Coefficienten, im Zähler und Nenner als relative Primzahlen mitgetheilt:

	Zähler	Nenner		Zähler	Nenner
$M_0^0 = +$	1 :	1	$M_1^1 = +$	1 :	1
$M_0^2 = -$	1 :	8	$M_1^3 = -$	1 :	24
$M_0^4 = +$	3 :	128	$M_1^5 = +$	3 :	640
$M_0^6 = -$	5 :	1024	$M_1^7 = -$	5 :	7168
$M_0^8 = +$	35 :	32768	$M_1^9 = +$	35 :	2 049 12
$M_0^{10} = -$	63 :	2 021 44	$M_1^{11} = -$	63 :	28 835 84
$M_0^{12} = +$	231 :	41 943 04	$M_1^{13} = +$	231 :	545 259 52
$M_0^{14} = -$	429 :	335 544 32	$M_1^{15} = -$	443 :	1077 721 60
$M_0^{16} = +$	6435 :	24471 83648	$M_1^{17} = +$	6435 :	3 05072 22016
$M_0^{18} = -$	12155 :	1 71798 69184	$M_1^{19} = -$	12155 :	32 04175 14496
$M_0^{20} = +$	46189 :	27 18779 06944			

	Zähler	Nenner
$M_2^2 = +$	1 :	1
$M_2^4 = -$	5 :	24
$M_2^6 = +$	259 :	5760
$M_2^8 = -$	3229 :	3 22560
$M_2^{10} = +$	1 17469 :	516 09600
$M_2^{12} = -$	71 56487 :	1 36249 34400
$M_2^{14} = +$	24308 98831 :	1983 79044 86400
$M_2^{16} = -$	609 97921 :	244 60431 45216
$M_2^{18} = +$	11 14330 03757 :	20 72029 44779 55072
$M_2^{20} = -$	2558 72967 81661 :	15717 12380 32458 54720

	Zähler	Denner
$M_3^4 = +$	1 :	1
$M_3^5 = -$	1 :	8
$M_3^7 = +$	37 :	1920
$M_3^9 = -$	3229 :	9 67680
$M_3^{11} = +$	10679 :	172 03200
$M_3^{13} = -$	5 50409 :	45416 44800
$M_3^{15} = +$	24308 98831 :	9918 95224 32000
$M_3^{17} = -$	35 88113 :	70 53477 15072
$M_3^{19} = +$	71138 12303 :	6 90670 48259 85024

$M_4^4 = +$	1 :	1
$M_4^6 = -$	7 :	24
$M_4^8 = +$	47 :	640
$M_4^{10} = -$	17281 :	9 67680
$M_4^{12} = +$	19 97021 :	4644 86400
$M_4^{14} = -$	12 06053 :	11678 51520
$M_4^{16} = +$	2 46157 17239 :	9918 95224 32000
$M_4^{18} = -$	42 65404 17313 :	7 14164 56151 04000
$M_4^{20} = +$	7992 35115 02753 :	5550 07887 80236 80000

$M_5^5 = +$	1 :	1
$M_5^7 = -$	5 :	24
$M_5^9 = +$	17 :	1152
$M_5^{11} = -$	1571 :	1 93536
$M_5^{13} = +$	1 53617 :	928 97280
$M_5^{15} = -$	12 06053 :	35035 51560
$M_5^{17} = +$	14179 83367 :	1083 79044 86400
$M_5^{19} = -$	2 24494 97227 :	1 42832 91230 20800

$M_6^6 = +$	1 :	1
$M_6^8 = -$	3 :	8
$M_6^{10} = +$	209 :	1920
$M_6^{12} = -$	28067 :	9 67680
$M_6^{14} = +$	2 30413 :	309 05760
$M_6^{16} = -$	153 13957 :	81749 60640
$M_6^{18} = +$	24 99387 65093 :	53562 31211 32800
$M_6^{20} = -$	7 07268 85883 :	61214 10527 23200

	Zähler	Nenner
$M_7^7 = +$	1 :	1
$M_7^9 = -$	7 :	24
$M_7^{11} = +$	133 :	1920
$M_7^{13} = -$	2459 :	1 38240
$M_7^{15} = +$	2 30443 :	663 55200
$M_7^{17} = -$	9 00821 :	11678 54520
$M_7^{19} = +$	1 34546 71847 :	7051 76315 90400

$M_8^8 = +$	1 :	1
$M_8^{10} = -$	11 :	24
$M_8^{12} = +$	871 :	5760
$M_8^{14} = -$	8521 :	1 93536
$M_8^{16} = +$	55 90613 :	4644 86400
$M_8^{18} = -$	3010 80857 :	12 26244 00600
$M_8^{20} = +$	31 61002 58731 :	38258 81570 52000

$M_9^9 = +$	1 :	1
$M_9^{11} = -$	3 :	8
$M_9^{13} = +$	67 :	640
$M_9^{15} = -$	8521 :	3 22560
$M_9^{17} = +$	3 20389 :	546 00600
$M_9^{19} = -$	205 83263 :	1 36249 34400

	Zähler	Nenner		Zähler	Nenner
$M_{10}^{10} = +$	1 :	1	$M_{11}^{11} = +$	1 :	1
$M_{10}^{12} = -$	13 :	24	$M_{11}^{13} = -$	11 :	24
$M_{10}^{14} = +$	77 :	384	$M_{11}^{15} = +$	817 :	5760
$M_{10}^{16} = -$	4007 :	64512	$M_{11}^{17} = -$	2054 :	64512
$M_{10}^{18} = +$	5 74423 :	309 65760	$M_{11}^{19} = +$	3 32387 :	309 65760
$M_{10}^{20} = -$	344 30621 :	66478 25280			

$M_{12}^{12} = +$	1 :	1	$M_{13}^{13} = +$	1 :	1
$M_{12}^{14} = -$	5 :	8	$M_{13}^{15} = -$	13 :	24
$M_{12}^{16} = +$	493 :	1920	$M_{13}^{17} = +$	377 :	1920
$M_{12}^{18} = -$	85177 :	9 67680	$M_{13}^{19} = -$	58279 :	9 67680
$M_{12}^{20} = +$	6 04841 :	224 48400			

$M_{14}^{14} = +$	1 :	1	$M_{15}^{15} = +$	1 :	1
$M_{14}^{16} = -$	17 :	24	$M_{15}^{17} = -$	5 :	8
$M_{14}^{18} = +$	4843 :	5760	$M_{15}^{19} = +$	97 :	384
$M_{14}^{20} = -$	16333 :	1 38240			

	Zähler	Nenner		Zähler	Nenner
$M_{16}^{16} = +$	1 :	1	$M_{17}^{17} = +$	1 :	1
$M_{16}^{18} = -$	19 :	24	$M_{17}^{19} = -$	17 :	24
$M_{16}^{20} = +$	749 :	1920			
<hr/>					
$M_{18}^{18} = +$	1 :	1	$M_{19}^{19} = +$	1 :	1
$M_{18}^{20} = -$	7 :	8			

Schliesslich muss noch bemerkt werden, dass die bisherigen Entwicklungen sofort auch die Möglichkeit an die Hand geben, eine Funktion nach steigenden Potenzen von n oder m zu entwickeln. Am bequemsten werden die Formeln, wenn man von einem Argumentwerthe oder dem Mittel derselben ausgeht, denn es ist nach dem Taylor'schen Lehrsatz:

$$\left. \begin{aligned} f(a + i + n|w) &= f(a + iw) + n w \frac{df(a + iw)}{d(a + iw)} + \frac{n^2 w^2}{1 \cdot 2} \frac{d^2 f(a + iw)}{d^2(a + iw)^2} + \dots \\ \text{und analog:} \\ f(a + i + \frac{1}{2} + m|w) &= F(a + i + \frac{1}{2}|w) + m w \frac{dF(a + i + \frac{1}{2}|w)}{d(a + i + \frac{1}{2}|w)} + \\ &\quad + \frac{m^2 w^2}{1 \cdot 2} \frac{d^2 F(a + i + \frac{1}{2}|w)}{d^2(a + i + \frac{1}{2}|w)^2} + \dots \end{aligned} \right\} 15$$

wobei zu beachten ist, dass in der letztern Formel statt $f(a + i + \frac{1}{2}|w)$ geschrieben wurde $F(a + i + \frac{1}{2}|w)$, da nach der Idee des Taylor'schen Lehrsatzes offenbar unter dieser Funktion der Werth der vorgelegten Funktion für das Mittel der Argumente zu verstehen ist; denn durch die Bezeichnung mittels des Buchstabens f könnte eine Verwechslung mit dem arithmetischen Mittel zweier Funktionswerthe eintreten; in der unten folgenden Formel 17) ist auf diesen Umstand Rücksicht genommen und in der That unter $f(a + i + \frac{1}{2}|w)$ das arithmetische Mittel zweier Funktionswerthe zu verstehen.

Man findet leicht, dass mit Rücksicht auf die früher gewählten Bezeichnungen (pag. 21 13b und pag. 23 14b) die folgenden Relationen bestehen:

$$\left. \begin{aligned} f(a + i + n|w) &= f(a + iw) + n \left\{ f^1(a + iw) + N_1^3 f^{III}(a + iw) + N_1^5 f^5(a + iw) + \dots \right\} \\ &\quad + \frac{n^2}{1 \cdot 2} \left\{ f^{II}(a + iw) + N_2^4 f^{IV}(a + iw) + N_2^6 f^{VI}(a + iw) + \dots \right\} \\ &\quad + \frac{n^3}{1 \cdot 2 \cdot 3} \left\{ f^{III}(a + iw) + N_3^5 f^5(a + iw) + N_3^7 f^{VII}(a + iw) + \dots \right\} \\ &\quad + \frac{n^4}{1 \cdot 2 \cdot 3 \cdot 4} \left\{ f^{IV}(a + iw) + N_4^6 f^{VI}(a + iw) + N_4^8 f^{VIII}(a + iw) + \dots \right\} \\ &\quad + \dots \end{aligned} \right\} 16)$$

und:

$$\begin{aligned}
 f(a + [i + \tfrac{1}{2} + m]w) &= \left\{ f^I(a + [i + \tfrac{1}{2}]w) + M_0^I f^{II}(a + [i + \tfrac{1}{2}]w) + \right. \\
 &\quad \left. + M_0^4 f^{IV}(a + [i + \tfrac{1}{2}]w) + \dots \right\} \\
 &+ m \left\{ f^I(a + [i + \tfrac{1}{2}]w) + M_1^I f^{II}(a + [i + \tfrac{1}{2}]w) + \right. \\
 &\quad \left. + M_1^4 f^{IV}(a + [i + \tfrac{1}{2}]w) + \dots \right\} \\
 &+ \frac{m^2}{1 \cdot 2} \left\{ f^{II}(a + [i + \tfrac{1}{2}]w) + M_2^4 f^{IV}(a + [i + \tfrac{1}{2}]w) + \right. \\
 &\quad \left. + M_2^6 f^{VI}(a + [i + \tfrac{1}{2}]w) + \dots \right\} \\
 &+ \frac{m^3}{1 \cdot 2 \cdot 3} \left\{ f^{III}(a + [i + \tfrac{1}{2}]w) + M_3^6 f^{VI}(a + [i + \tfrac{1}{2}]w) + \right. \\
 &\quad \left. + M_3^7 f^{VII}(a + [i + \tfrac{1}{2}]w) + \dots \right\} \\
 &\dots\dots\dots
 \end{aligned}
 \tag{17}$$

wobei die hier auftretenden N und M -Coefficienten der oben angeführten Zusammensetzung zu entnehmen sind und wie schon bemerkt, unter $f^I(a + [i + \tfrac{1}{2}]w)$ in der That das arithmetische Mittel zweier Funktionswerthe zu verstehen ist.

Es sollen nun die vorstehend entwickelten Formeln durch ausführliche Beispiele erläutert werden.

Ich benütze hiefür die Störungen, die der Planet (62) Erato in der X -Coordinate erfährt, die mit ξ bezeichnet werden sollen und in Einheiten der 7. Decimale zu verstehen sind. Die angeführten Zahlen können leicht aus den später bei der Störungsrechnung gegebenen ausführlichen Beispielen hergeholt werden. Man hat so, wenn man die Differenzwerthe bildet:

ξ	f^I	f^{II}	f^{III}	f^{IV}	f^V	f^{VI}	f^{VII}	f^{VIII}
1871 April 26 + 230820.18	— 44270.38							
Juni 5 + 186549.80	— 53152.62	— 8882.24						
Juli 15 + 133397.18	— 60339.54	— 186.92	+ 1695.32	+ 893.35				
Aug. 24 + 73057.64	— 64937.79	— 4598.25	+ 2588.67	+ 795.70	97.65	— 186.28		
Octob. 3 + 8119.85	— 66151.67	— 1213.88	+ 3384.37	+ 511.77	283.93	— 174.86	+ 11.42	
Nov. 12 — 58031.82	— 63469.41	+ 2682.26	+ 3896.14	+ 52.98	— 458.79	— 76.92	+ 65.50	
Dec. 22 — 121501.23	— 56838.03	+ 6631.38	+ 3949.12	— 503.75	— 556.73	— 97.94		
1872 Jan. 31 — 178339.26	— 46761.28	+ 10076.75	+ 3445.37					
März 11 — 225100.54								

Um vorerst die Formel 13 pag. 201 durch ein Beispiel zu belegen, soll der erste und zweite Differentialquotient von ξ für 1871 October 3 ermittelt werden. Da hier das Argument für ξ die Zeit ist, so ist es klar, dass diese Differentialquotienten nach der Zeit verstanden sind, und um sofort in den obigen Formeln w der Einheit gleich setzen zu können, soll für die Zeiteinheit in den hier folgenden Beispielen stets das gewählte Intervall von 40 Tagen angenommen werden; es wird daher, wenn man die Differentialquotienten auf den mittlern Sonnentag als Einheit

beziehen will, der erhaltene erste, zweite, dritte Differentialquotient beziehungsweise durch $10^1, 10^2, 10^3, \dots$ zu dividiren sein.

Für den ersten Differentialquotienten stellt sich also die Rechnung wie folgt:

$$\begin{aligned} f^1(a + i w) &= - 65544.73 \\ N_1^3 f^{III}(a + i w) &= - 606.71 \\ N_1^5 f^{V}(a + i w) &= - 12.38 \\ N_1^7 f^{VII}(a + i w) &= - 0.32 \\ 10^7 \cdot \frac{d\xi}{dt} &= - 66164.14 \end{aligned}$$

Für den zweiten Differentialquotienten wird:

$$\begin{aligned} f^{II}(a + i w) &= - 1213.88 \\ N_2^4 f^{IV}(a + i w) &= - 42.65 \\ N_2^6 f^{VI}(a + i w) &= - 1.94 \\ N_2^8 f^{VIII}(a + i w) &= - 0.12 \\ 10^7 \cdot \frac{d^2\xi}{dt^2} &= - 1258.56 \end{aligned}$$

Zur Erläuterung der Formel 14 (pag. 23) wählen wir als Datum 1871 Sept. 13, also ein Zeitmoment, welches in die Mitte eines Intervalls fällt; man erhält, indem man wieder als Zeiteinheit 40 Tage ansetzt, für den ersten Differentialquotienten:

$$\begin{aligned} f^1(a + (i + \frac{1}{2}) w) &= - 64937.79 \\ M_1^3 f^{III}(a + (i + \frac{1}{2}) w) &= - 141.02 \\ M_1^5 f^V(a + (i + \frac{1}{2}) w) &= - 1.33 \\ M_1^7 f^{VII}(a + (i + \frac{1}{2}) w) &= - 0.01 \\ 10^7 \cdot \frac{d\xi}{dt} &= - 65080.15 \end{aligned}$$

Für den zweiten Differentialquotienten stellt sich die Rechnung wie folgt:

$$\begin{aligned} f^{II}(a + (i + \frac{1}{2}) w) &= - 2906.06 \\ M_2^4 f^{IV}(a + (i + \frac{1}{2}) w) &= - 136.10 \\ M_2^6 f^{VI}(a + (i + \frac{1}{2}) w) &= - 8.12 \\ M_2^8 f^{VIII}(a + (i + \frac{1}{2}) w) &= - 0.66 \dots \text{ die 8. Differenz constant vorausgesetzt,} \\ 10^7 \cdot \frac{d^2\xi}{dt^2} &= - 3051.03 \end{aligned}$$

Um ein Beispiel für die Anwendung der Formel 6 (pag. 18) zu erhalten, soll der erste Differentialquotient der oben hingeschriebenen ξ Funktionen entwickelt werden für das Datum 1871 Sept. 23. Es ist also, indem man von October 3 als nächstliegenden Werth ausgeht, $u = - 0.25$ anzunehmen; man gelangt hiermit bis an die Grenze der N -Tafeln (Tafel I) und man sieht, dass mit derselben Berechtigung als Ausgangspunkt das arithmetische Mittel zweier Argumente, nämlich Sept. 13 hätte gewählt werden können; in der That wird in der Folge von dieser Wahl Gebrauch gemacht werden. Die Rechnung stellt sich wie folgt, indem die 8. Differenz als constant angenommen und überall, wo die Bildung der arithmetischen Mittel auf eine halbe Einheit der 2. Decimale führte, dieselbe fortgelassen wurde:

d, \dots, \dots	3	5	7
$\log f^d(a+ir)$	3,501131	$2_n500737$	1,04513
$\log N_1^d(-0,25)$	$0_n131672$	8,400056	7_n73020

d, \dots, \dots	4	6	8
$\log f^d(a+ir)$	2,700075	2_n24260	1,810
$\log N_1^d(-0,25)$	$8_n862827$	7,97348	7_n173

$f^3(a+ir) = -$	05544,73	$f^u(a+ir) = -$	1213,88
$N_1^3(-0,25)f^{III}(a+ir) = -$	492,95	$N_1^4(-0,25)f^{IV}(a+ir) = -$	37,32
$N_1^5(-0,25)f^V(a+ir) = -$	9,54	$N_1^6(-0,25)f^{VI}(a+ir) = -$	1,65
$N_1^7(-0,25)f^{VII}(a+ir) = -$	0,24	$N_1^8(-0,25)f^{VIII}(a+ir) = -$	0,10
$S_u = -$	06047,40	$S_g = -$	1252,95
$u S_g = +$	313,24	$\log S_g =$	$3_n007933$
$10^7 \cdot \frac{d\xi}{dt} = -$	65734,22	$\log u =$	$0_n397040$

Es ist hierbei klar, dass die hier und in den folgenden Beispielen logarithmisch ausgeführte Multiplikation von S_g mit u nur der Allgemeinheit halber durchgeführt ist, während in dem speciellen hier vorliegenden Falle natürlich die directe Division von S_g durch 4 kürzer wäre.

Zur Erläuterung der Formel 10, pag. 19 soll der zweite Differentialquotient der ξ -Funktion für das Datum 1871 Sept. 23, October 3 als Ausgangspunkt genommen, berechnet werden. Man erhält mit Benützung der Tafel III:

d, \dots, \dots	4	6	8
$\log f^d(a+ir)$	2,700075	2_n24260	1,810
$\log N_2^d(-0,25)$	$8_n716090$	7,78287	6_n061

d, \dots, \dots	5	7
$\log f^d(a+ir)$	$2_n500737$	1,64513
$\log N_2^d(-0,25)$	$0_n370457$	8,73952

$f^u(a+ir) = -$	1213,88	$f^u(a+ir) = +$	3040,25
$N_2^1(-0,25)f^V(a+ir) = -$	26,65	$N_2^3(-0,25)f^V(a+ir) = +$	88,00
$N_2^6(-0,25)f^{VI}(a+ir) = -$	1,00	$N_2^7(-0,25)f^{VII}(a+ir) = +$	2,42
$N_2^8(-0,25)f^{VIII}(a+ir) = -$	0,06	$S_g = +$	3731,03
$S_u = -$	1241,65	$\log S_g =$	3,571808
$u S_g = -$	932,91	$\log u =$	$0_n397940$
$10^7 \cdot \frac{d^2\xi}{dt^2} = -$	2174,56		

Will man nun dieselben Differentialquotienten beziehungsweise nach 8 und 12 pag. 19, 20 rechnen, so wird man für den ersten Differentialquotienten haben, indem man beachtet, dass der Ausgangspunkt Sept. 13, also $m = +\frac{1}{4}$ anzunehmen ist mit Hilfe der Tafel II:

d, \dots, \dots	3	5	7
$\log f^d \left(a + \left[i + \frac{1}{2} \right] w \right)$	3.529478	2.45321	1.0577
$\log M_1^d (+0.25)$	8.017729	6.97498	6.1103
d, \dots, \dots	4	6	8
$\log f^d \left(a + \left[i + \frac{1}{2} \right] w \right)$	2.815398	2.25665	1.8162
$\log M_1^d (+0.25)$	9.206482	8.62283	7.9665
$f^1 \left(a + \left[i + \frac{1}{2} \right] w \right) = -$	64937.79	$f^{11} \left(a + \left[i + \frac{1}{2} \right] w \right) = -$	2906.06
$M_1^3 (+0.25) f^{11} \left(a + \left[i + \frac{1}{2} \right] w \right) = -$	35.25	$M_1^4 (+0.25) f^{11} \left(a + \left[i + \frac{1}{2} \right] w \right) = -$	129.38
$M_1^5 (+0.25) f^{11} \left(a + \left[i + \frac{1}{2} \right] w \right) = -$	0.27	$M_1^6 (+0.25) f^{11} \left(a + \left[i + \frac{1}{2} \right] w \right) = -$	7.58
$M_1^7 (+0.25) f^{11} \left(a + \left[i + \frac{1}{2} \right] w \right) =$	0	$M_1^8 (+0.25) f^{11} \left(a + \left[i + \frac{1}{2} \right] w \right) = -$	0.61
$S_u = -$	64937.31	$S_g = -$	3043.63
$m S_g = -$	760.91	$\log S_g =$	3.483392
$10^7 \cdot \frac{d\xi}{dt} = -$	65734.22	$\log m =$	9.397940

Für den zweiten Differentialquotienten für dasselbe Datum hat man zu rechnen nach (2) pag. 20) unter Zuziehung der Tafel IV :

d, \dots, \dots	4	6	8
$\log f^d \left(a + \left[i + \frac{1}{2} \right] w \right)$	2.815398	2.25665	1.8162
$\log M_2^d (+0.25)$	9.248178	8.55646	7.80908
d, \dots, \dots	5	7	
$\log f^d \left(a + \left[i + \frac{1}{2} \right] w \right)$	2.45321	1.0577	
$\log M_2^d (+0.25)$	9.05912	8.2338	
$f^{11} \left(a + \left[i + \frac{1}{2} \right] w \right) = -$	2906.06	$f^{11} \left(a + \left[i + \frac{1}{2} \right] w \right) = +$	3384.37
$M_2^4 (+0.25) f^{11} \left(a + \left[i + \frac{1}{2} \right] w \right) = -$	115.46	$M_2^5 (+0.25) f^{11} \left(a + \left[i + \frac{1}{2} \right] w \right) = +$	32.53
$M_2^6 (+0.25) f^{11} \left(a + \left[i + \frac{1}{2} \right] w \right) = -$	6.50	$M_2^7 (+0.25) f^{11} \left(a + \left[i + \frac{1}{2} \right] w \right) = +$	0.20
$M_2^8 (+0.25) f^{11} \left(a + \left[i + \frac{1}{2} \right] w \right) = -$	0.51	$S_g = +$	3417.10
$S_u = -$	3028.83	$\log S_g =$	3.533658
$m S_g = +$	854.28	$\log m =$	9.397940
$10^7 \cdot \frac{d^2\xi}{dt^2} = -$	2174.55		

Vergleicht man die nach den beiden Formelsystemen erhaltenen Resultate, so wird man die befriedigendste Uebereinstimmung finden.

Schliesslich sollen die Formeln 16 und 17 pag. 26, 27 an dem gewählten Beispiele erläutert werden: indem man 1871 Octob. 3 als Ausgangspunkt annimmt und sich überall auf die zweite Decimale beschränkt, stellt sich die Rechnung wie folgt:

d	=	1	2	3	4	5	6	7	8
$f^d \left(a + iw \right)$	=	65544.73	1213.88	3640.25	511.77	371.36	174.86	44.17	65.50
$N_d^{(1+d)} f^{(1+d)} \left(a + iw \right) = -$		606.71	42.65	92.84	29.14	14.72	16.37		
$N_d^{(2+d)} f^{(2+d)} \left(a + iw \right) = -$		12.38	1.94	2.58	1.91				
$N_d^{(3+d)} f^{(3+d)} \left(a + iw \right) = -$		0.32	0.12						
		- 66164.14	- 1258.59	+ 3735.67	+ 542.82	- 386.08	- 191.23	+ 44.17	+ 65.50
Divisor		1	2	6	24	120	720	5040	40320

Dividirt man durch die entsprechenden als Divisoren angesetzten Factoriellen, so wird, wenn man auch hier nicht über die 2. Decimale hinausgeht, indem man bei solchen Entwicklungen t selten die Einheit überschreiten lässt:

$$\xi = + 8119.85 - 66164.14 t \left. \begin{array}{l} - 629.29 t^2 \\ + 622.61 t^3 \\ + 22.62 t^4 \\ - 3.22 t^5 \\ - 0.27 t^6 \\ + 0.01 t^7 \end{array} \right\} \begin{array}{l} \text{für } t \text{ gilt als Einheit 40 Tage;} \\ t = 0 \text{ für 1871 Oct. 3.} \end{array}$$

Als Probe kann man den Werth ξ für Aug. 24 $t = -1$ und Novbr. 12 $t = +1$ berechnen; man erhält

$$\begin{array}{l} \text{Aug. 24} = + 73057.65 \\ \text{Nov. 12} = - 58031.83. \end{array}$$

was mit den zu Grunde gelegten Werthen hinreichend nahe stimmt.

Nimmt man aber als Ausgangspunkt 1871 Septbr. 13, so hat man nach Formel 17 pag. 27 zu rechnen:

d	.	.	.	0	1	2	3	4	5	6	7	8
$f^d(a + i + \frac{1}{2}w)$				+40588.74	- 64937.79	- 2906.06	+ 3384.37	+ 653.73	- 283.93	- 180.57	+ 11.42	+ 65.50
$M_d^{(1+d)} f^{(12+d)}(a + i + \frac{1}{2}w)$				+ 363.26	- 141.02	- 136.19	+ 35.49	+ 52.67	- 2.38	- 24.56		
$M_d^{(2+d)} f^{(14+d)}(a + i + \frac{1}{2}w)$				+ 15.32	- 1.33	- 8.12	+ 0.22	+ 4.81				
$M_d^{(3+d)} f^{(16+d)}(a + i + \frac{1}{2}w)$				+ 0.88	- 0.01	- 0.66						
$M_d^{(4+d)} f^{(18+d)}(a + i + \frac{1}{2}w)$				+ 0.07								
				+ 40968.27	- 65080.15	- 3051.03	+ 3420.08	+ 711.21	- 286.31	- 205.13	+ 11.42	+ 65.50
Divisor				1	1	2	6	24	120	720	5040	40320

$$\text{Es ist also } \xi = + 10968.27 - 65080.15 t \left. \begin{array}{l} - 1525.51 t^2 \\ + 570.01 t^3 \\ + 29.63 t^4 \\ - 2.39 t^5 \\ - 0.28 t^6 \end{array} \right\} \begin{array}{l} \text{für } t \text{ gilt als Einheit 40 Tage;} \\ t = 0 \text{ für 1871 Sept. 13} \end{array}$$

Rechnet man als Probe die Werthe der Funktion für Aug. 24 $t = -0.5$ und October 3 $t = +0.5$ so findet sich in guter Uebereinstimmung

$$\begin{array}{l} \text{Aug. 24} = + 73057.64 \\ \text{Octob. 3} = + 8119.84 \end{array}$$

§. 5. Ermittlung der numerischen Integrale einer Funktion.

A. Einfache Integrale.

Integriert man die Gleichung 4 (pag. 15) nachdem man links mit

$$dl = d(a + i + n \cdot w)$$

rechts mit dem gleichwerthigen

$$w \, dm$$

multipliziert hat, so findet sich sogleich

$$\begin{aligned} \frac{1}{w} \int f(a + i + n \cdot w) \, dl &= n f(a + i \cdot w) + \sum_{d=1}^{l=\infty} \sum_{p=1}^{p=d} \frac{1 - d^{-p} n^{-p}}{2^{p(d-p)} 2^{d-1} 2^p} C_1^{(d-p)} 2^2, 4^2, \dots, 2d-2-2^{\frac{1}{2}} f^{(d-1)}(a + i \cdot w) \\ &+ \sum_{d=1}^{l=\infty} \sum_{p=1}^{p=d} \frac{1 - d^{-p} n^{-p+1}}{2^{p(d-p)} 2^{d-1} 2^{p+1}} C_1^{(d-p)} 2^2, 4^2, \dots, 2d-2-2^{\frac{1}{2}} f^{(d)}(a + i \cdot w) + J_n^{-1}, \quad 1 \end{aligned}$$

wobei unter J_n^{-1} die Integrationsconstante zu verstehen ist. Es ist klar, dass bei dem vorliegenden Probleme die Integration zwischen bestimmten Grenzen nur eine praktische Bedeutung hat, dass demnach, wenn man sich auf die einfache Integration beschränkt, die Integrationsconstante aus dem Resultate herausfällt; geht man aber auf die doppelten und mehrfachen (eigentlich iterirten) Integrale über, so wird man die Bestimmung von J_n^{-1} nicht umgehen können. Zu ihrer Bestimmung kann man leicht die Bedingung heranziehen, dass für $n = 0$

$$J_n^{-1} = \frac{1}{w} \int_a^{a+n} f(a + i + n \cdot w) \, dl, \quad 2$$

d. h. die Integrationsconstante J_n^{-1} erhält stets den Werth des Integrales, den dasselbe für die Grenze $a + i \cdot w$ annimmt, eine Bedingung, die weiter unten eine Bestimmung der Constante ermöglichen wird.

Behandelt man in ähnlicher Weise die Gleichung 5 (pag. 15) und beachtet dass

$$dl = d(a + i + n \cdot w) + d(a + i + \frac{1}{2} + m \cdot w) = w \, dm$$

so wird

$$\begin{aligned} \frac{1}{w} \int f(a + i + n \cdot w) \, dl &= m f(a + i + \frac{1}{2} \cdot w) + \\ &\sum_{d=1}^{l=\infty} \sum_{p=1}^{p=d} \frac{1 - d^{-p} m^{-p}}{2^{p(d-p)} 2^{d-1} 2^p} C_1^{(d-p)} 2^2, 3^2, \dots, 2d-3-2^{\frac{1}{2}} f^{(d-1)}(a + i + \frac{1}{2} \cdot w) + \\ &+ \sum_{d=1}^{l=\infty} \sum_{p=1}^{p=d} \frac{1 - d^{-p} m^{-p+1}}{2^{p(d-p)} 2^{d-1} 2^{p+1}} C_1^{(d-p)} 2^2, 3^2, \dots, 2d-1-2^{\frac{1}{2}} f^{(d)}(a + i + \frac{1}{2} \cdot w) + J_m^{-1}. \quad 3 \end{aligned}$$

Für die Auswerthung der Integrationsconstante hat man (ähnlich wie früher für $m = 0$) die Bedingung

$$J_m^{-1} = \frac{1}{w} \int_a^{a+b+\frac{1}{2}w} f(a + i + n \cdot w) \, dl \quad 4$$

Es sollen vorerst die einfachen bestimmten Integrale, die sich aus den obigen Relationen (1) und (3) (pag. 32) ergeben, vorgenommen werden. Man wird zuerst zu beachten haben, dass man sowohl für n als auch für m ohne Nachtheil für die Genauigkeit der Rechnung die Grenzen -1 und $+1$ nicht überschreiten darf, denn sonst würde jeder Fehler in dem Differenzwerthe vergrößert auf das Resultat übergehen. Nimmt man aber für n und m als Grenzen $-\frac{1}{2}$ und $+\frac{1}{2}$, was offenbar möglich ist, so wird dadurch die Genauigkeit der numerischen Rechnung wesentlich gefördert erscheinen.

Die obigen Formeln wird man im Allgemeinen nur anzuwenden haben, sobald für n und m willkürliche Angaben vorliegen, dieselben werden sich aber wesentlich vereinfachen, wenn man, wie dies meistens in der Anwendung gestattet ist, nur von speciellen Werthen für n und m Gebrauch macht. Setzt man die Grenzen $-\frac{1}{2}$ und $+\frac{1}{2}$ ein, so findet sich sofort aus 1) und 3) pag. 32 :

$$\begin{aligned} \frac{1}{w} \int_{a+(i-\frac{1}{2})w}^{a+(i+\frac{1}{2})w} f(l) dl &= f\left(a + \left(i + \frac{1}{2}\right)w\right) + \\ &+ \sum_{d=1}^{\infty} \sum_{p=1}^{\infty} (-1)^{d+p} \frac{C_{\frac{1}{2}}^d \frac{w^p}{2^d} \{1^2, 3^2, \dots, (2d-1)^2\}}{2^{2d} 2^{\frac{1}{2}} (2p+1)} f^{(2d)}\left(a + \left(i + \frac{1}{2}\right)w\right) \end{aligned} \quad 5$$

$$\begin{aligned} \frac{1}{w} \int_{a+iu}^{a+(i+1)w} f(l) dl &= f\left(a + \left(i + \frac{1}{2}\right)w\right) + \\ &+ \sum_{d=1}^{\infty} \sum_{p=0}^{\infty} (-1)^{d+p} \frac{C_{\frac{1}{2}}^d \frac{w^p}{2^d} \{1^2, 3^2, \dots, (2d-1)^2\}}{2^{2d} 2^{\frac{1}{2}} (2p+1)} f^{(2d)}\left(a + \left(i + \frac{1}{2}\right)w\right) \end{aligned} \quad 6$$

Man wird aber in der Anwendung meist gezwungen sein, die Integration auf viel weitere Grenzen auszudehnen, als dies oben geschehen ist, und zu diesem Ende wird man für i die Reihe der ganzen Zahlen eintreten lassen und sich erinnern, dass für die vorgelegte continuirliche Function ist:

$$\begin{aligned} \int_{a-\frac{1}{2}w}^{a+(i+\frac{1}{2})w} f(l) dl &= \int_{a-\frac{1}{2}w}^{a+\frac{1}{2}w} f(l) dl + \int_{a+\frac{1}{2}w}^{a+\frac{3}{2}w} f(l) dl + \dots + \int_{a+(i-\frac{1}{2})w}^{a+(i+\frac{1}{2})w} f(l) dl \\ \int_a^{a+iu} f(l) dl &= \int_a^{a+w} f(l) dl + \int_{a+w}^{a+2w} f(l) dl + \dots + \int_{a+(i-1)w}^{a+iu} f(l) dl \end{aligned}$$

Wenn man von diesen Relationen in 5) und 6) Gebrauch macht und beachtet, dass durch diese Zerlegung die Factoren der Differenzwerthe nicht abgeändert werden und dass nur die Differenzwerthe selbst verschieden sind, je nach der Wahl der Grenze, so erhält man Summen von Differenzwerthen derselben Ordnung mit einem gemeinsamen Factor multiplicirt. erinnert man sich aber der Relation 5) (pag. 5), wo allgemein nachgewiesen wurde, dass:

$$f^{(l)}\left(a + \left(i_n + k\right)w\right) - f^{(l)}\left(a + \left(i_s + k\right)w\right) = \sum_{i=i_s}^{i=i_n-1} f^{(l+\frac{1}{2})}\left(a + \left(i + k + \frac{1}{2}\right)w\right)$$

so findet sich sofort statt der Relationen 5) und 6) pag. 33 :

$$\begin{aligned}
 \frac{1}{w} \int_a^{a+(i+\frac{1}{2})w} f(a+(i+n)w) dl &= f(a+(i+\frac{1}{2})w) + \\
 &+ \sum_{n=1}^{d-i} \sum_{p=1}^{p=d} \frac{(-1)^{d-p} \Gamma(\frac{d-p}{2}) 2^{\frac{d-p}{2}} 4^{\frac{p}{2}} \dots (2d-2\frac{p}{2})}{2^{2d-2d-1} (2p+1)} f(a+(i+\frac{1}{2})w) \\
 f(a-\frac{1}{2}w) &= \sum_{n=1}^{d-i} \sum_{p=0}^{p=d} \frac{(-1)^{d-p} \Gamma(\frac{d-p}{2}) 2^{\frac{d-p}{2}} 4^{\frac{p}{2}} \dots (2d-2\frac{p}{2})}{2^{2d-2d-1} (2p+1)} f(a-\frac{1}{2}w)
 \end{aligned} \tag{7}$$

und

$$\begin{aligned}
 \frac{1}{w} \int_a^{a+iw} f(a+(i+n)w) dl &= f(a+iw) + \\
 &+ \sum_{n=1}^{d-i} \sum_{p=0}^{p=d} \frac{(-1)^{d-p} \Gamma(\frac{d-p}{2}) 2^{\frac{d-p}{2}} 4^{\frac{p}{2}} \dots (2d-1\frac{p}{2})}{2^{2d-2d-1} (2p+1)} f(a+iw) \\
 &= f(a) + \sum_{n=1}^{d-i} \sum_{p=0}^{p=d} \frac{(-1)^{d-p} \Gamma(\frac{d-p}{2}) 2^{\frac{d-p}{2}} 4^{\frac{p}{2}} \dots (2d-1\frac{p}{2})}{2^{2d-2d-1} (2p+1)} f(a)
 \end{aligned} \tag{8}$$

Die Bestimmung der einfachen Integrale erscheint demnach mit Hilfe der ersten summirten Reihe ausgeführt; die erste summirte Reihe wird man aber ohne Schwierigkeiten bilden können, sobald nur ein Werth in derselben, etwa $f(a-\frac{1}{2}w)$, gegeben ist, wobei man wegen der Formel 8) sich zu erinnern haben wird, dass ist

$$f(a-\frac{1}{2}w) = f(a-\frac{1}{2}f(a).$$

Die Wahl für diesen Anfangswerth in der ersten summirten Reihe ist völlig willkürlich, wie man dies auch sofort bei Betrachtung der Formeln 7) und 8) sieht, denn durch die nachträglich notwendige Subtraction von $f(a-\frac{1}{2}w)$ oder $f(a)$ verschwindet der angenommene Werth der Anfangsconstante im Integrationsresultate. Es möchte auf den ersten Anblick am bequemsten erscheinen, derselben den Werth $= 0$ zu ertheilen, und in der That wird diese Wahl häufig genug angewendet werden dürfen. Doch in der Anwendung, die bei den astronomischen Rechnungen von dieser Methode gemacht wird, wird es meist bequem sein, diese willkürliche Anfangsconstante so zu wählen, dass das Integral für eine bestimmte untere Grenze, etwa für das Argument oder das Mittel zweier Nachbarargumente, verschwindet; für den ersten Fall wird man haben:

$$f(a-\frac{1}{2}w) = - \sum_{n=1}^{d-i} \sum_{p=1}^{p=d} \frac{(-1)^{d-p} \Gamma(\frac{d-p}{2}) 2^{\frac{d-p}{2}} 4^{\frac{p}{2}} \dots (2d-2\frac{p}{2})}{2^{2d-2d-1} (2p+1)} f(a-\frac{1}{2}w) \tag{9}$$

und für den zweiten Fall:

$$f(a-\frac{1}{2}w) = - \frac{1}{2} f(a) - \sum_{n=1}^{d-i} \sum_{p=0}^{p=d} \frac{(-1)^{d-p} \Gamma(\frac{d-p}{2}) 2^{\frac{d-p}{2}} 4^{\frac{p}{2}} \dots (2d-1\frac{p}{2})}{2^{2d-2d-1} (2p+1)} f(a) \tag{10}$$

womit also an die Anfangsconstante die oben gestellten Bedingungen geknüpft sind.

Bezeichnet man die Coëfficienten, mit denen die Differenzwerthe verbunden sind, in der Formel 7) mit P , in der Formel 8) (pag. 34) mit Q und ertheilt diesen Buchstaben 2 Index, wo der obere den Hinweis auf den Differenzwerth, der untere den Hinweis auf die Anzahl der Integrationen enthält, also in dem vorliegenden Falle durchaus der Einheit gleich zu setzen ist, so wird man die folgenden Formeln für die Combinationen der verschiedenen Grenzen haben:

Grenzen: $a - \frac{1}{2}w$ und $a + [i + \frac{1}{2}]w$

$$w f(a - \frac{1}{2}w) = -w \{ P_1^1 f^1(a - \frac{1}{2}w) + P_1^3 f^3(a - \frac{1}{2}w) + P_1^5 f^5(a - \frac{1}{2}w) + \dots \}$$

$$\int_{a - \frac{1}{2}w}^{a + [i + \frac{1}{2}]w} f(l) dl = w \{ f^1(a + [i + \frac{1}{2}]w) + P_1^1 f^1(a + [i + \frac{1}{2}]w) + P_1^3 f^3(a + [i + \frac{1}{2}]w) + \dots \} \quad A_1$$

Grenzen: a und $a + iw$

$$w f(a - \frac{1}{2}w) = -w \{ \frac{1}{2} f^1(a) + Q_1^1 f^1(a + iw) + Q_1^3 f^3(a + iw) + Q_1^5 f^5(a + iw) + \dots \}$$

$$\int_a^{a+iw} f(l) dl = w \{ f^1(a + iw) + Q_1^1 f^1(a + iw) + Q_1^3 f^3(a + iw) + Q_1^5 f^5(a + iw) + \dots \} \quad B_1$$

Grenzen: $a - \frac{1}{2}w$ und $a + iw$

$$w f(a - \frac{1}{2}w) = -w \{ P_1^1 f^1(a - \frac{1}{2}w) + P_1^3 f^3(a - \frac{1}{2}w) + P_1^5 f^5(a - \frac{1}{2}w) + \dots \}$$

$$\int_{a - \frac{1}{2}w}^{a+iw} f(l) dl = w \{ f^1(a + iw) + Q_1^1 f^1(a + iw) + Q_1^3 f^3(a + iw) + Q_1^5 f^5(a + iw) + \dots \} \quad C_1$$

Grenzen: a und $a + [i + \frac{1}{2}]w$

$$w f(a - \frac{1}{2}w) = -w \{ \frac{1}{2} f^1(a) + Q_1^1 f^1(a + iw) + Q_1^3 f^3(a + iw) + Q_1^5 f^5(a + iw) + \dots \}$$

$$\int_a^{a + [i + \frac{1}{2}]w} f(l) dl = w \{ f^1(a + [i + \frac{1}{2}]w) + P_1^1 f^1(a + [i + \frac{1}{2}]w) + P_1^3 f^3(a + [i + \frac{1}{2}]w) + \dots \} \quad D_1$$

Die Bestimmung der Coëfficienten Q und P hat keine Schwierigkeit, wenn man die eben hingeschriebenen Formeln mit 7 und 8 pag. 34 vergleicht; es wird sein:

$$P_{\left(\begin{smallmatrix} 2d-1 \\ 1 \end{smallmatrix} \right)} = \sum_{p=1}^{p=d} \frac{(-1)^{d-p} C_1^1 \left(\begin{smallmatrix} d-p \\ 2^2, 4^2, \dots, 2d-2^2 \end{smallmatrix} \right)}{2^{2d} 2^{d^2} (2p+1)}$$

$$Q_{\left(\begin{smallmatrix} 2d-1 \\ 1 \end{smallmatrix} \right)} = \sum_{p=0}^{p=d} \frac{(-1)^{d-p} C_1^1 \left(\begin{smallmatrix} d-p \\ 1^2, 3^2, \dots, 2d-1^2 \end{smallmatrix} \right)}{2^{2d} 2^{d^2} (2p+1)} \quad 11$$

Die numerischen Werthe dieser Coëfficienten sind in der hinten angehängten Tafel V aufgenommen, in einer Ausdehnung, die weit die Grenzen der gewöhnlichen Anwendung übertrifft, indem bis zum 20. Differenzwerthe vorgeschritten wurde. Ausserdem sind die Logarithmen der Coëfficienten 20stellig angesetzt, wobei die Unsicherheit der letzten Stelle eine Einheit betragen kann. Die diesbezüglichen

Rechnungen sind mit grosser Sorgfalt unter Benützung zahlreicher Controllen durch die Herren Anton und Schram durchgeführt worden.

Um die eminenten Vortheile dieser Methode anschaulich zu machen, will ich dieselbe zur Berechnung der Gammafunction:

$$\int_0^1 e^{-t} dt$$

anwenden. Man gelangt durch eine sehr einfache Rechnung zur numerischen Tafel dieses bestimmten Integrals, während die Anwendung der Reihen zur Auswerthung dieses Integrals ein sehr beschwerliches Verfahren ist; in der That verdient die eben auseinander gesetzte Methode zur Auswerthung numerischer bestimmter Integrale viel häufiger angewendet zu werden, als dies sonst geschieht, besonders wenn es sich um die Anlegung einer Integraltafel handelt. Ich werde die Rechnung so anlegen, dass nur Fehler von wenigen Einheiten in der 10. Decimale auftreten können, eine Genauigkeit, die durch Anwendung der sonst üblichen Reihen nur mit einem ungeheuren Aufwande von Arbeit erlangt werden könnte; ausserdem habe ich das Intervall ($w = 0.1$) verhältnissmässig sehr gross gewählt, um zu zeigen, wie bald der Einfluss der höheren Differenzwerthe verschwindend klein wird. Bei der symmetrischen Form der Function ist es klar, dass die Anfangsconstante gleich 0 gesetzt werden kann, wenn man die Functionen für die Argumente 0.05, 0.15, 0.25 berechnet. Um nicht nachträglich bei der Bildung des Integrals mit w multipliciren zu müssen, habe ich diese Multiplication sofort bei der Berechnung der Differentialquotienten, die in der mit $w e^{-t} = f$ überschriebenen Columnne angesetzt sind, ausgeführt und das folgende Zahlensystem erhalten, wobei jedoch wegen des Formates die 8. und 9. Differenzwerthe fortgelassen werden mussten, die übrigens für die Integration keinen wesentlichen Beitrag mehr leisten und leicht von Fall zu Fall, wenn zur Uebung ein Beispiel ausgerechnet wird, nachgetragen werden können.

Mit Hilfe dieser Summations- und Differenztafel ist es ein Leichtes, den Werth des Integrals für eine obere Grenze, die zwischen oder auf ein Argument fällt, anzugeben, indem die untere Grenze der gewählten Bestimmung der Anfangsconstante nach nothwendig = 0 anzunehmen ist; so erhält man z. B. für $t = 0.50$ nach der Formel A₁ pag. 35 :

$$\begin{array}{rcl} f & a + (i + \frac{1}{2}) w & = + 0.101\ 0050\ 810 \\ P_1^1 f^1 & a + (i + \frac{1}{2}) w & = + \quad \quad \quad 3238\ 240.8 \\ P_1^3 f^3 & a + (i + \frac{1}{2}) w & = \quad \quad \quad 11\ 375.6 \\ P_1^5 f^5 & a + (i + \frac{1}{2}) w & = - \quad \quad \quad 118.3 \\ P_1^7 f^7 & a + (i + \frac{1}{2}) w & = - \quad \quad \quad 2.1 \\ \int_{t=0}^{t=0.5} e^{-t} dt & & = + 0.101\ 2810\ 064 \end{array}$$

für $t = 0.75$ nach der Formel C₁ pag. 35 :

Arg. = t	f	$w e^{-t} = f'$	f''	f'''	f^{IV}	f^V	f^{VI}	f^{VII}
0.05	+0.000 0000 000	+0.099 7503 122	-0 0000 000	-1 9751 885	0000 000	+1165 596	000 000	00 000
0.15	0.099 7503 122	+0.097 7751 237	-1 9751 885	-1 8586 289	+1165 596	+1051 709	-113 887	+15 480
0.25	0.197 5254 359	+0.093 9413 063	-3 8338 174	-1 6358 984	+2217 305	-212 294	-98 407	+28 257
0.35	0.291 4667 422	+0.088 4705 905	-5 4707 158	-1 3312 264	+3056 720	+839 415	-70 150	+36 266
0.45	0.379 9373 327	+0.081 6686 483	-6 8019 422	-9698 573	+3513 691	+556 971	-282 444	+33 884
0.55	0.461 6059 810	+0.073 8968 488	-7 7717 995	-5844 239	+3854 334	+240 643	-316 328	+38 279
0.65	0.535 5028 298	+0.065 5406 254	-8 3562 234	-2061 195	+3783 044	+71 290	-311 933	+34 478
0.75	0.601 0434 552	+0.056 9782 825	-8 5623 429	+1377 499	+3438 694	-344 350	+38 873	+25 884
0.85	0.658 0217 377	+0.048 5536 895	-8 4245 930	+4263 540	+2886 041	-552 653	+64 757	+14 448
0.95	0.706 5754 272	+0.040 5554 505	-7 9982 390	+6467 830	+2204 290	-681 751	+79 205	+2 437
1.05	0.747 1308 777	+0.033 2039 945	-7 3514 560	+7942 913	+1475 083	-729 207	+81 642	-8 239
1.15	0.780 3348 722	+0.026 6468 298	-6 5571 647	+8714 736	+771 823	-703 260	+73 403	-15 932
1.25	0.806 9817 020	+0.020 9611 387	-5 6856 911	+8714 736	+151 981	-619 842	+57 471	-20 074
1.35	0.827 9428 407	+0.016 1621 193	-4 7990 194	+8866 717	-347 046	-499 027	+37 397	-20 515
1.45	0.844 1049 600	+0.012 2150 670	-3 9470 523	+8519 671	-708 376	-361 330	+16 882	-18 109
1.55	0.856 3200 270	+0.009 0491 442	-3 1659 228	+7811 295	-953 236	-224 860	+1 227	-13 688
1.65	0.865 3691 712	+0.006 5710 273	-2 4781 169	+6878 059	-1036 541	-103 305	+136 470	-8 527
1.75	0.871 9401 985	+0.004 6770 622	-1 8939 651	+5841 518	-1041 733	-5 192	+121 555	-3 506
1.85	0.876 6172 607	+0.003 2630 756	-1 4139 866	+4799 785	-975 760	+65 973	+98 113	+606
1.95	0.879 8803 363	+0.002 2314 915	-1 0315 841	+3824 025	-804 964	+44 823	+71 195	+3 466
2.05	0.882 1118 278	+0.001 4958 135	-7356 780	+2959 061	-732 221	+21 947	+110 796	+5 028
2.15	0.883 6076 413	+0.000 9828 195	-5129 940	+2226 840	-595 379	+4 099	+132 743	+5 434
2.25	0.884 5904 608	+0.000 6329 716	-3498 479	+1631 461	-466 852	+8 315	+136 842	+5 032
2.35	0.885 2234 324	+0.000 3495 846	-2333 870	+1164 609	-354 022	+128 527	-15 697	+4 089
2.45	0.885 6230 170	+0.000 2472 563	-1523 283	+810 587	-260 182	+112 830	-18 990	+3 007
2.55	0.885 8702 733	+0.000 1499 685	-972 878	+550 405	-185 618	+93 840	-19 276	+1 901
2.65	0.886 0202 418	+0.000 0891 594	-608 091	+364 787	-128 715	+74 564	-19 276	+1 016
2.75	0.886 1094 012	+0.000 0519 575	-372 019	+236 072	-86 842	+56 903	-15 030	+311
2.85	0.886 1613 587	+0.000 0296 786	-222 789	+149 230	-57 057	+41 873	-12 088	+113
2.95	0.886 1910 373	+0.000 0166 170	-130 616	+92 173	-36 531	+29 785	-9 259	+371
3.05	0.886 2076 543	+0.000 0091 196	-74 974	+55 642	-22 806	+20 526	-6 801	+464
3.15	0.886 2167 739	+0.000 0049 058	-42 138	+32 836	-13 888	+13 725	-4 807	+473
3.25	0.886 2216 797	+0.000 0025 868	-23 190	+18 948	-8 256	+8 918	-3 286	+402
3.35	0.886 2242 665	+0.000 0013 370	-12 498	+10 692	-4 791	+5 632	-2 167	+339
3.45	0.886 2256 035	+0.000 0006 773	-6 597	+5 901	-2 713	+3 465	-1 387	+264
3.55	0.886 2262 808	+0.000 0003 364	-3 409	+3 188	-1 506	+2 078	-871	+157
3.65	0.886 2266 172	+0.000 0001 637	-1 727	+1 682	-811	+1 207	-512	+162
3.75	0.886 2267 809	+0.000 0000 781	-856	+871	-431	+695	-315	+53
3.85	0.886 2268 590	+0.000 0000 365	-416	+440	-222	+380	-171	+72
3.95	0.886 2269 122	+0.000 0000 167	-198	+218	-112	+209	-99	+37
4.05	0.886 2269 197	+0.000 0000 075	-92	+106	-56	+110	-54	+18
4.15	0.886 2269 230	+0.000 0000 033	-42	+50	-27	+56	-27	+14
4.25	0.886 2269 244	+0.000 0000 014	-19	+23	-12	+15	-9	+8
4.35	0.886 2269 250	+0.000 0000 006	-8	+11	-6	+6		
4.45	0.886 2269 253	+0.000 0000 003	-3	+5	-4	+2		
4.55	0.886 2269 254	+0.000 0000 001	-2	+1	-0			
4.65	0.886 2269 254	+0.000 0000 000	-1	+1	-0			

$f(a + iw)$	$+$	0.029 5325 964.5
$Q_1^{-1} f'(a + iw)$	$+$	7077 889.9
$Q_1^{-3} f'''(a + iw)$	$+$	48 313.9
$Q_1^{-5} f^{(5)}(a + iw)$	$+$	532.8
$Q_1^{-7} f^{(7)}(a + iw)$	$+$	5.8
$Q_1^{-9} f^{(9)}(a + iw)$	$+$	0.1

$$\int_{t=0}^{t=0.7} e^{-t} dt = + 0.630 2452 707$$

Will man aber für die untere Grenze nicht 0 haben, sondern ebenfalls einen Werth, der entweder mit einem Argumentwerthe oder dem Mittelwerthe übereinkommt, so wird man einfach nach A_1 oder D_1 einerseits, und B_1 oder C_1 pag. 35, andererseits, den Werth des Integrales für diese Grenze berechnen und von der oberen Grenze in Abzug bringen; es wird also sofort mit Benützung der Zahlen der obigen Beispiele:

$$\int_{t=0.50}^{t=0.7} e^{-t} dt = + 0.168 9642 643 .$$

Wendet man alternirend die Formeln A_1 und C_1 an, indem man von Intervall zu Intervall fortschreitet, so gelangt man zu der im Anhange als Tafel X enthaltenen Integraltafel, die ich deshalb in extenso mittheile, da dieses Integral in so vielen Untersuchungen eine wichtige Rolle spielt und eine Tafel für dasselbe in der hier gegebenen Genauigkeit meines Wissens nicht besteht. Indem so durch die Formeln A_1 C_1 die Werthe des Integrals von 0.05 zu 0.05 des Argumentes erhalten waren, wurden die zwischenliegenden Werthe für das Intervall 0.01 durch einfache Interpolation abgeleitet.

Schliesslich kann in diesem Falle die Richtigkeit der Rechnung leicht geprüft werden, denn das vorgelegte Integral zwischen den Grenzen 0 und ∞ nimmt den Werth $\frac{1}{2}$ an; der numerische Werth desselben ändert sich aber nicht mehr von der Grenze 1.0 ab innerhalb der gesetzten Genauigkeitsgrenze. Es ist also

$$\int_0^{\infty} e^{-t} dt = 0.886 2269 254 ,$$

während andererseits bis auf die 11. Decimale richtig ist

$$\frac{1}{2} = 0.886 2269 254.5 ,$$

so dass der durch die numerische Integration erhaltene Werth auf eine halbe Einheit der letzten mitgenommenen Stelle stimmt, was eine bessere Uebereinstimmung ist, als im Allgemeinen erwartet werden kann; doch würde eine Abweichung von 4 Einheiten bei sorgfältiger Rechnung wenig Wahrscheinlichkeit für sich haben, denn bezeichnet man die Anzahl sämtlicher Werthe mit n und beachtet, dass durchschnittlich die Unsicherheit der letzten Stelle des angesetzten Funktionswerthes

etwa 0.25 Einheiten beträgt, so ist der durchschnittlich zu erwartende Fehler bei der Anwendung der einfachen Integration:

$$u = \frac{1}{4} w,$$

also im vorgelegten Falle, wo $w = 16$ anzunehmen ist:

$$u = 1.7.$$

Man wird demnach behaupten dürfen, dass selbst am Ende in der angeführten Integraltafel die eingesetzten Werthe selten um 2 oder mehr Einheiten falsch sein werden; ein Fehler von 1 Einheiten hat aber kaum mehr eine beträchtliche Wahrscheinlichkeit für sich.

Es kann aber unter Umständen erwünscht sein, von den oben angenommenen bestimmten speciellen Grenzen abzugehen, wobei vorausgesetzt ist, dass hiebei die Herstellung einer Integraltafel selbst nicht beabsichtigt ist. Man wird ähnlich, wie dies bei der Differentiation hervorgehoben wurde, stets jene Form anwenden, die es ermöglicht, dass man n oder m kleiner als $\pm \frac{1}{4}$ anzunehmen im Stande ist, um die möglichste Convergenz in die Formel zu bringen, wobei also von den Formeln 1 und 3 (pag. 32) Gebrauch zu machen wäre. Die Rechnung würde aber recht beschwerlich werden und es wäre viel einfacher, in der Nähe der Grenzen durch alternirende Anwendung der Gleichung A_1 und C_1 (pag. 35) sich kleine Integraltafeln herzustellen, nach denen man den Werth des Integrales für die obere und untere Grenze nach den Regeln der Interpolation ermittelt. Es wird sich aber wieder ein Ausweg finden lassen, der in bequemerer Weise das Ziel erreichen lässt. Es sei die vorgesteckte Grenze so gelegen, dass die Grösse n vortheilhaft wird $n < \pm \frac{1}{4}$; es liegt also das geforderte Argument näher an einem berechneten Argumentwerthe als an dem Mittel der letztern. Man wird dem entsprechend das Integral nach Formel C_1 bis zum Argumentwerthe bestimmen und dann die erforderliche Correction hinzufügen. Es wird also sein:

$$\int_a^{a+i+n} l_1 dl = w \left\{ f(a+in) + Q_1 f'(a+in) + Q_2 f'''(a+in) + \dots \right\} + \int_a^{a+i+n} l dl + J_1, \quad (12)$$

wo J_1 eine willkürliche Integrationsconstante ist und nach Einsetzung der Grenzen verschwindet; ich will auf dieselbe daher nicht weiter Rücksicht nehmen. Multipliziert man die Gleichung 10 (pag. 26) links mit dl , rechts mit $w dn$, was nach der Eingangs dieses Paragraphen gemachten Auseinandersetzung erlaubt ist, so ergibt sich, wenn man integrirt:

$$\begin{aligned} \int f(a+in) w dl = w \left[n f(a+in) + \frac{w^2}{1 \cdot 2} \left\{ f''(a+in) + N_1 f'''(a+in) + N_2 f^{(5)}(a+in) + \dots \right\} \right. \\ + \frac{w^3}{1 \cdot 2 \cdot 3} \left\{ f^{(4)}(a+in) + N_2 f^{(5)}(a+in) + N_3 f^{(6)}(a+in) + \dots \right\} \\ + \frac{w^4}{1 \cdot 2 \cdot 3 \cdot 4} \left\{ f^{(5)}(a+in) + N_3 f^{(6)}(a+in) + N_4 f^{(7)}(a+in) + \dots \right\} \\ + \dots \left. \right] \end{aligned}$$

wobei die Integrationsconstante gleich fortgelassen ist. Setzt man in dieses Integral die Grenzen n und 0 , und führt den so erhaltenen Werth in die Gleichung (2) (pag. 39) ein, so erhält man leicht:

$$\int_0^{n+|v+n|n} f(l) dl = n \left\{ f(a+in) + n f(a+in) + \right. \\ \left. + f^{(1)}(a+in) \left\{ Q_1^1 + \frac{n^2}{2} \right\} \right. \\ \left. + f^{(2)}(a+in) \left\{ \frac{n^3}{1 \cdot 2 \cdot 3} \right\} \right. \\ \left. + f^{(3)}(a+in) \left\{ Q_1^3 + \frac{n^2}{1 \cdot 2} N_1^3 + \frac{n^4}{1 \cdot 2 \cdot 3 \cdot 4} \right\} \right. \\ \left. + f^{(4)}(a+in) \left\{ \frac{n^3}{1 \cdot 2 \cdot 3} N_2^4 + \frac{n^5}{1 \cdot 2 \cdot 3 \cdot 4 \cdot 5} \right\} \right. \\ \left. + f^{(5)}(a+in) \left\{ Q_1^5 + \frac{n^2}{1 \cdot 2} N_1^5 + \frac{n^4}{1 \cdot 2 \cdot 3 \cdot 4} N_3^5 + \frac{n^6}{1 \cdot 2 \cdot 3 \cdot 4 \cdot 5 \cdot 6} \right\} \right. \\ \left. + \dots \right\} \quad (13)$$

ein Ausdruck, dessen Coefficienten leicht in Tafeln gebracht werden können; doch um die Logarithmen derselben tabuliren zu können, wird es sich empfehlen, in den Coefficienten der geraden Differenzwerthe n^2 als gemeinsamen Factor herauszuheben und zu schreiben:

$$\int_0^{n+|v+n|n} f(l) dl = n \left\{ f(a+in) + n f(a+in) + Q_1^1 n f^{(1)}(a+in) + Q_1^3 (n) f^{(3)}(a+in) \right. \\ \left. + Q_1^5 n f^{(5)}(a+in) + \dots + n^2 \left\{ Q_1^2 n f^{(2)}(a+in) + Q_1^4 n f^{(4)}(a+in) \right. \right. \\ \left. \left. + Q_1^6 n f^{(6)}(a+in) + \dots \right\} \right\} \quad E_1$$

wo also $Q_1^1 n = Q_1^3 n$, $Q_1^5 n = \dots$ die folgende Bedeutung haben werden:

$$\left. \begin{aligned} Q_1^1 n &= Q_1^1 + \frac{n^2}{1 \cdot 2} \\ Q_1^3 n &= Q_1^3 + \frac{n^2}{1 \cdot 2} N_1^3 + \frac{n^4}{4} \\ Q_1^5 n &= Q_1^5 + \frac{n^2}{1 \cdot 2} N_1^5 + \frac{n^4}{4} N_3^5 + \frac{n^6}{6} \\ Q_1^7 n &= Q_1^7 + \frac{n^2}{1 \cdot 2} N_1^7 + \frac{n^4}{4} N_3^7 + \frac{n^6}{6} N_5^7 + \frac{n^8}{8} \\ &\dots \dots \dots \\ Q_1^2 (n) &= \frac{1}{3!} \\ Q_1^4 n &= \frac{1}{3!} N_2^4 + \frac{n^2}{5} \\ Q_1^6 n &= \frac{1}{3!} N_2^6 + \frac{n^2}{5} N_4^6 + \frac{n^4}{7} \\ Q_1^8 n &= \frac{1}{3!} N_2^8 + \frac{n^2}{5!} N_4^8 + \frac{n^4}{7} N_6^8 + \frac{n^6}{9} \\ &\dots \dots \dots \end{aligned} \right\} \quad (14)$$

Diese Coëfficienten sind von Herrn F. K. Ginzcl in ähnlicher Weise wie in § 4 die N - und M -Coëfficienten berechnet worden und als Tafel VI. im Anhange aufgenommen. Der constante Coëfficient Q_1^2/n hat hierbei keine Aufnahme gefunden.

Zu der Gleichung E_1 wäre zu erwähnen, dass die Integrationsconstante fortgelassen werden konnte, weil vorausgesetzt wird, dass eine bestimmte Annahme für die untere Integrationsgrenze gemacht ist. Gewöhnlich wird aber die untere Grenze bestimmten Bedingungen zu genügen haben, die bereits durch die Annahme über $f(a - \frac{1}{2}w)$, der willkürlichen Anfangsconstante, erfüllt sind: wenn dies nicht der Fall ist, so müsste man nach derselben Formel E_1 den Ausdruck für die untere Grenze berechnen und von dem obigen in Abzug bringen.

Der Fall, dass die vorgelegte Grenze näher dem Mittel zweier Argumente liegt, erledigt sich in ähnlicher Weise wie der vorige, man wird hierbei $m < \pm \frac{1}{4}$ zu wählen haben. Es wird zunächst sein

$$\int_a^{a+(i+\frac{1}{2})w} f(l) dl = w \left\{ f\left(a + \left(i + \frac{1}{2}\right)w\right) + P_1^1 f'\left(a + \left(i + \frac{1}{2}\right)w\right) + P_1^3 f'''\left(a + \left(i + \frac{1}{2}\right)w\right) + \dots \right\} + \int_a^{a+(i+\frac{1}{2})w} f(l) dl + J; \quad (15)$$

die durch J angezeigte Integrationsconstante beachte ich nicht weiter, weil dieselbe durch die Einführung der untern Grenze, über die aber vorerst gar nichts festgesetzt ist, verschwindet.

Multipliziert man die Gl. 17. (pag. 27) links mit dl , rechts mit $w dm$, was auf dasselbe hinauskommt und integrirt, so erhält man

$$\begin{aligned} \int_a^{a+(i+\frac{1}{2})w} f(l) dl = w \left\{ m \left\{ f\left(a + \left(i + \frac{1}{2}\right)w\right) + M_0^2 f''\left(a + \left(i + \frac{1}{2}\right)w\right) + M_0^4 f^{(4)}\left(a + \left(i + \frac{1}{2}\right)w\right) + \dots \right\} \right. \\ + \frac{m^2}{1 \cdot 2} \left\{ f'\left(a + \left(i + \frac{1}{2}\right)w\right) + M_1^3 f''' \left(a + \left(i + \frac{1}{2}\right)w\right) + M_1^5 f^{(5)}\left(a + \left(i + \frac{1}{2}\right)w\right) + \dots \right\} \\ \left. + \frac{m^3}{1 \cdot 2 \cdot 3} \left\{ f''\left(a + \left(i + \frac{1}{2}\right)w\right) + M_2^4 f^{(4)}\left(a + \left(i + \frac{1}{2}\right)w\right) + M_2^6 f^{(6)}\left(a + \left(i + \frac{1}{2}\right)w\right) + \dots \right\} \right. \\ \left. + \dots \right\} \end{aligned}$$

Setzt man hier die Grenzen m und 0 ein und substituirt in die obige Gleichung 15, so findet sich

$$\begin{aligned} \int_a^{a+(i+\frac{1}{2})w} f(l) dl = w \left\{ f\left(a + \left(i + \frac{1}{2}\right)w\right) + m f'\left(a + \left(i + \frac{1}{2}\right)w\right) \right. \\ + f''\left(a + \left(i + \frac{1}{2}\right)w\right) \left\{ P_1^1 + \frac{m^2}{2} \right\} \\ + f''' \left(a + \left(i + \frac{1}{2}\right)w\right) \left\{ m M_0^2 + \frac{m^3}{3} \right\} \\ \left. + f^{(4)}\left(a + \left(i + \frac{1}{2}\right)w\right) \left\{ P_1^3 + \frac{m^2}{2} M_1^3 + \frac{m^4}{4} \right\} \right\} \quad (16) \end{aligned}$$

$$n < \pm \frac{1}{4}, \quad \int f(l) dl = 0$$

$$w^4 f(a - \frac{1}{2}w) = -w \left[n + \frac{1}{2} f' a + Q_1^1(n, f' a) + Q_1^3(n, f''' a) + Q_1^5(n, f^{(5)} a + \dots \right. \\ \left. + n^3 \left\{ \frac{1}{6} f''' a + Q_1^1(n, f^{(4)} a) + Q_1^3(n, f^{(6)} a + \dots \right\} \right] \\ m \pm < \frac{1}{4}, \quad \int f(l) dl = 0$$

$$w^4 f(a - \frac{1}{2}w) = -w \left[P_1^1(m, f'(a - \frac{1}{2}w) + P_1^3(m, f''' a - \frac{1}{2}w) + P_1^5(m, f^{(5)}(a - \frac{1}{2}w) + \dots \right. \\ \left. + m \left\{ f(a - \frac{1}{2}w) + P_1^2(m, f'' a - \frac{1}{2}w) + P_1^4(m, f^{(4)} a - \frac{1}{2}w + \dots \right\} \right] \\ H_1$$

Die Q_1 -Coeffizienten finden sich in Tafel VI.

" P_1 " " " " " VII.

Für die Anwendung der vorstehenden Formeln soll abermals das Beispiel der weiter unten folgenden Störungsrechnung für den Planeten Erato entlehnt werden. Aus der Summationstafel für die X-Coordinate findet sich :

	$u f$	f'	f''	f'''	$f^{(4)}$	$f^{(5)}$	$f^{(6)}$	$f^{(7)}$	$f^{(8)}$	$f^{(9)}$
1872 Mai 30	-281174.16		+13320.20	-1570.89	-1205.10	+418.56	+187.76	-138.17	-40.87	+62.25
Juli 9	-288519.16	-7345.00	+11749.31	-2357.43	-86.54	+468.15	+49.59	-116.79	+21.38	-30.13
Aug. 18	-284114.85	+4404.31	+9391.88	-2675.82	+318.39	+400.95	-67.20	-63.29	+53.50	+32.12
Sept. 27	-270318.66	+13796.19	+6716.06	-2593.26	+82.56	+270.46	-130.49	-8.19	+55.10	+1.60
Nov. 6	-249806.41	+20512.25	+4122.80	-2593.26	+353.02	+270.46	-138.68	+8.19	+35.64	-19.46
Dec. 16	-225171.36	+24635.05	+1882.56	-2240.24	+484.80	+131.78	-111.23	+27.45	+11.55	-24.09
1873 Jan. 25	-198653.75	+26517.61	+127.12	-1755.44	+505.35	+20.55	-72.23	+39.00	+11.55	+10.12
Marz 6	-172009.02	+26644.73	+127.12	-1250.09	+505.35	-51.68	-72.23	+36.58	-2.42	+6.81
Apr. 15	-146487.26	+25521.76	-1122.97	-796.42	+453.67	-87.33	-35.65	+27.00	-9.58	+6.62
Mai 25	-122884.89	+23602.37	-1919.39	-430.08	+366.34	-95.98	-8.65	+16.88	-10.12	+1.88
Juli 4	-101631.99	+21252.90	-2349.47	-159.72	+270.36	-87.75	+8.23	+8.10	-8.78	+1.88
Aug. 13	-82888.28	+18743.71	-2509.19	+22.89	+182.61	-71.42	+16.33	+2.54	+5.56	-1.64
Sept. 22	-66630.87	+16257.41	-2486.30	+134.08	+111.19	-52.55	+18.87	+1.44	-3.98	+0.08
Nov. 1	-52725.68	+13905.19	-2352.22	+192.72	+58.64	-35.12	+17.43	-3.92	-2.48	+0.37
			-2159.50		+23.52		+13.51		-0.61	

Zu dieser Summationstafel ist in Erinnerung zu bringen, dass für dieselbe als Zeiteinheit 40 Tage gewählt sind. — Wir wollen vorerst durch Anwendung der Formel A_1 (p. 35) eine Integraltafel für die einfachen Integrale zwischen den Grenzen 1872 Oct. 17 bis 1873 Mai 5 herstellen. Man erhält so :

	1872 Oct. 17.	1872 Nov. 26.	1873 Jan. 5.	1873 Feb. 14.	1873 Mz 26.	1873 Mai 5
$f(a + [i + \frac{1}{2}]w)$	+ 20512.250	+ 24635.050	+ 26517.610	+ 26644.730	+ 25521.760	+ 23602.370
$P_1^1 f'(a + [i + \frac{1}{2}]w)$	- 108.052	- 93.343	- 73.143	- 52.087	- 33.184	- 17.920
$P_1^3 f'''(a + [i + \frac{1}{2}]w)$	- 0.798	- 0.389	- 0.061	+ 0.153	+ 0.258	+ 0.283
$P_1^5 f^{(5)}(a + [i + \frac{1}{2}]w)$	- 0.003	+ 0.010	+ 0.015	+ 0.014	+ 0.010	+ 0.006
$P_1^7 f^{(7)}(a + [i + \frac{1}{2}]w)$	+ 0.001	+ 0.001	+ 0.001	+ 0.000	+ 0.000	+ 0.000
	+ 20403.40	+ 24541.33	+ 26444.42	+ 26592.81	+ 25488.84	+ 23584.74

Bestimmt man nach Formel B_1 (p. 35) den Werth des einfachen Integrales zwischen den Grenzen 1872 Sept. 27 bis 1873 Mai 25, so wird man haben:

	1872 Sept. 27	1872 Novb. 6.	1872 Dec. 16.	1873 Jan. 25.	1873 Mz. 6.	1873 April 15.	1873 Mai 25
$U(a+iu) + 17379.220 + 22573.650 + 25576.330 + 26581.170 + 26083.245 + 24562.065 + 22427.635$							
$Q_1^1 f^1(a+iu) + 219.545 + 201.396 + 166.487 + 125.230 + 85.271 + 51.104 + 24.575$							
$Q_1^3 f^3(a+iu) + 5.129 + 3.073 + 1.164 + 0.238 + 1.062 + 1.400 + 1.403$							
$Q_1^5 f^5(a+iu) + 0.113 + 0.030 + 0.105 + 0.119 + 0.100 + 0.069 + 0.039$							
$Q_1^7 f^7(a+iu) + 0.006 + 0.015 + 0.013 + 0.007 + 0.003 + 0.000 + 0.002$							
$+ 17379.00 + 22778.07 + 25743.86 + 26766.04 + 26167.35 + 24611.70 + 22450.77$							

Stellt man die beiderseitigen Resultate zusammen, so erhält man eine vollständige Tafel für das vorgelegte einfache Integral innerhalb der gestellten Grenzen; ich setze dieselbe hier an, nebst ihren Differenzwerthen, um nachträglich die aus der Formeln G_1 (pag. 42) resultirenden Werthe einer strengen Prüfung unterziehen zu können.

	$40 \frac{dz}{dt}$	f^1	f^3	f^5	f^7	f^9	f^{11}
1872 Septb. 27	+17379.00						
Octb. 17	+20403.40	+3024.40					
Novb. 6	+22778.07	+2374.67	049.77	+38.36			
26	+24541.33	+1763.20	— 611.41	+50.68	+12.32	— 4.24	+0.43
Decb. 16	+25743.86	+1202.53	— 500.73	+58.76	+8.08	— 3.81	+0.60
1873 Jan. 5	+26444.42	+700.56	— 501.97	+63.03	+4.27	— 3.21	+0.68
25	+26706.04	+261.62	— 438.94	+64.09	+1.06	— 2.53	+0.68
Febr. 14	+26592.81	— 113.23	— 374.85	+62.62	— 1.47	— 1.97	+0.56
März. 6	+26167.35	— 425.40	— 312.23	+59.18	— 3.44	— 1.32	+0.65
26	+25488.84	— 678.54	— 253.05	+54.42	— 4.76	— 0.85	+0.47
April 15	+24611.70	— 877.14	— 198.03	+48.81	— 5.61	— 0.39	+0.46
Mai 5	+23584.74	— 1026.66	— 149.82	+42.81	— 6.00		
25	+22450.77	— 1133.97	— 107.01				

Es soll nun zur Erläuterung der Formeln G_1 (p. 42) die directe Berechnung des Integralwerthes für 1873 Jänner 15 vorgenommen werden, wobei beide Formeln verwendet werden sollen. Die Rechnung nach der ersten stellt sich, wenn man $n = -0.25$ setzt, wie folgt:

d	1	3	5	7
$f^d(a+iu)$	—1502.765	—15.565	+37.790	—10.565
$\log f^d(a+iu)$	$3_n 176841$	$1_n 19215$	$1_n 5774$	$1_n 0239$
$\log Q_1^d - 0.25$	$8_n 716009$	$8_n 00997$	$7_n 3338$	$6_n 6760$

d	4	6	8
$\log f^d(a+iu)$	$1_n 8587$	$0_n 3838$	$0_n 8331$
$\log Q_1^d - 0.25$	$8_n 1204$	$7_n 2169$	$6_n 4512$

$$\begin{aligned}
 f^I(a+iw) &= + 26581.170 & \frac{1}{n}f^{III}(a+iw) &= + 84.22 \\
 n f^I(a+iw) &= - 31.780 & Q_1^I f^{IV}(a+iw) &= + 0.07 \\
 Q_1^I n f^I(a+iw) &= + 78.209 & Q_1^6 f^{VI}(a+iw) &= 0 \\
 Q_1^3 n f^{III}(a+iw) &= - 0.159 & S_g &= + 85.16 \\
 Q_1^5 n f^V(a+iw) &= - 0.082 \\
 Q_1^7 n f^{VII}(a+iw) &= - 0.005 \\
 S_n &= + 26627.413 \\
 n^3 S_g &= - 1.331 \\
 \int_{1873 \text{ Jan. } 12} f^I I dI &= + 26626.08
 \end{aligned}$$

Benützt man aber die zweite der Formeln G_{11} pag. 42, so hat man $m = + 0.25$ anzunehmen und erhält:

d	1	3	5	7
$\log f^d(a+i+\frac{1}{2}w)$	$3_n 244386$	1.3128	1.5911	$1_n 1452$
$\log P_1^d(+0.25)$	8.862827	$7_n 6118$	6.7039	$5_n 8060$

d	2	4	6	8
$f^d(a+i+\frac{1}{2}w)$	$+ 195.075$	$- 91.730$	$+ 4.565$	$+ 8.465$
$\log f^d(a+i+\frac{1}{2}w)$	2.60407	$1_n 9025$	0.6594	0.9276
$\log P_1^d(+0.25)$	$9_n 05912$	8.3284	$7_n 6458$	6.9851

$f^I(a+i+\frac{1}{2}w)$	$= + 26517.610$	$f^I(a+i+\frac{1}{2}w)$	$= + 1004.840$
$P_1^{12} m f^I(a+i+\frac{1}{2}w)$	$= - 128.001$	$P_1^{12} m f^{III}(a+i+\frac{1}{2}w)$	$= - 56.727$
$P_1^3 m f^{III}(a+i+\frac{1}{2}w)$	$= - 0.084$	$P_1^4 m f^{IV}(a+i+\frac{1}{2}w)$	$= - 1.954$
$P_1^5 m f^V(a+i+\frac{1}{2}w)$	$= + 0.020$	$P_1^6 m f^{VI}(a+i+\frac{1}{2}w)$	$= - 0.020$
$P_1^7 m f^{VII}(a+i+\frac{1}{2}w)$	$= + 0.001$	$P_1^8 m f^{VIII}(a+i+\frac{1}{2}w)$	$= + 0.008$
S_n	$= + 26380.540$	S_g	$= + 646.147$
$m S_g$	$= + 239.537$		
$\int_{1873 \text{ Jan. } 12} f^I I dI$	$= + 26626.08$		

Man könnte zur Kenntniss des eben ermittelten Werthes auch gelangen, indem man die obige Integraltafel benützt und man findet durch Interpolation aus derselben einen Werth des Integrales, der völlig mit dem obigen Resultate stimmt.

Hätte man die Aufgabe, das einfache Integral für das Datum 1873 Jan. 21 zu ermitteln, so wird man hierzu nur die erste Formel von G_{11} pag. 42 benütze können. Da $n = - 0.10$ ist, findet sich:

d	1	3	5	7
$f^d(a+iw)$	$- 1502.705$	$- 15.565$	$+ 37.790$	$- 10.565$
$\log f^d(a+iw)$	$3_n 176891$	$1_n 19215$	1.5774	$1_n 0239$
$\log Q_1^d - 0.10$	$8_n 893947$	8.15983	$7_n 4760$	6.8147

d	4	6	8
$\log f^d(a+iw)$	$1_n 8587$	$0_n 3838$	0.8331
$\log Q_1^d - 0.10$	$8_n 1401$	7.2643	$6_n 4701$

$$\begin{aligned}
f(a + iw) &= + 26581.170 & \frac{1}{6}f'''(a + iw) &= + 84.22 \\
nf(a + iw) &= - 12.712 & Q_1^4(m)f^{iv}(a + iw) &= + 1.00 \\
Q_1^1(m)f'(a + iw) &= + 117.717 & S_q &= + 85.22 \\
Q_1^3(m)f'''(a + iw) &= - 0.224 \\
Q_1^5(m)f^v(a + iw) &= - 0.113 \\
Q_1^7(m)f^{vii}(a + iw) &= - 0.007 \\
S_m &= + 26685.831 \\
mS_q &= - 0.085 \\
\int_{187, \text{ Jan. } 21} f(t) dt &= + 26685.75
\end{aligned}$$

welchen Werth die Interpolation in der obigen Integraltafel bestätigt.

Für 1873 Jan. 9 müsste die zweite der Formeln G_0 pag. 42 angewendet werden; es ist $m = +0.10$ und die Rechnung wird:

$$\begin{array}{rcccc}
d & 1 & 3 & 5 & 7 \\
\log f^d(a + [i + \frac{1}{2}]w) & 3n244386 & 1.3128 & 1.5911 & 1n1452 \\
\log P_1^d(+0.10) & 8.669007 & 7n4991 & 6.6044 & 5n8020 \\
\hline
d & 2 & 4 & 6 & 8 \\
f^d(a + [i + \frac{1}{2}]w) & + 195.075 & - 91.730 & + 4.505 & + 8.465 \\
\log f^d(a + [i + \frac{1}{2}]w) & 2.604071 & 1n9625 & 0.6594 & 0.9276 \\
\log P_1^d(+0.10) & 6n091080 & 8.3634 & 7n6820 & 7.0218 \\
\hline
\end{array}$$

$$\begin{array}{rcccc}
f(a + [i + \frac{1}{2}]w) &= + 26517.610 & f(a + [i + \frac{1}{2}]w) &= + 1004.840 \\
P_1^1(m)f'(a + [i + \frac{1}{2}]w) &= - 81.921 & P_1^2(m)f'''(a + [i + \frac{1}{2}]w) &= - 61.059 \\
P_1^3(m)f'''(a + [i + \frac{1}{2}]w) &= - 0.065 & P_2^4(m)f^{iv}(a + [i + \frac{1}{2}]w) &= - 2.118 \\
P_1^5(m)f^v(a + [i + \frac{1}{2}]w) &= + 0.016 & P_1^6(m)f^{vi}(a + [i + \frac{1}{2}]w) &= - 0.022 \\
P_1^7(m)f^{vii}(a + [i + \frac{1}{2}]w) &= + 0.001 & P_1^8(m)f^{viii}(a + [i + \frac{1}{2}]w) &= + 0.009 \\
\hline
S_m &= + 26435.641 & S_q &= + 941.650 \\
mS_q &= + 94.156 \\
\hline
\int_{187, \text{ Jan. } 9} f(t) dt &= + 26529.80
\end{array}$$

Die Interpolation in der obigen Integraltafel bestätigt dieses Resultat.

Die oben angeführten Beispiele mögen genügen und zeigen, wie die einfachen Integrale mit Hilfe der Q_1 - und P_1 -Tafeln (Tafel VI, VII) durch eine sehr einfache Rechnung erhalten werden.

In den bisherigen Beispielen wurde die Voraussetzung gemacht, dass für die untere Grenze des Integrales bereits eine Bestimmung getroffen ist. Um aber auch für die Bestimmung der untern Grenze ein angemessenes Beispiel zu haben, wähle ich die Störungen in der mittlern siderischen Bewegung Zeiteinheit 40 Tage der Erato zur Zeit der Jupiternähe im Jahre 1873 — 74. Es eignet sich nämlich ein Beispiel aus der Variation der Constanten viel besser, weil die Störungen in den Coordinaten selbst abhängig sind von der Wahl der Osculationsepoche in Folge der indirecten Glieder; durch die Wahl dieses Beispiels jedoch bleiben die Störungs-

werthe unabhängig von dieser Epoche. Aus der Störungstafel entlehne ich die folgenden Werthe:

	$w^2 \frac{d^2 \mu}{dt^2}$	f^I	f^{II}	f^{III}	f^{IV}	f^V	f^{VI}	f^{VII}
1873 Aug. 13 —	8"3841							
Sept. 22 —	7.4606	+ 0.9235	+ 0.6164	+ 0.0493	— 0.0671	— 0.0428	+ 0.0039	+ 0.0232
Nov. 1 —	5.8714	+ 1.5892	+ 0.6657	— 0.0606	— 0.1099	— 0.0157	+ 0.0271	+ 0.0199
Dec. 11 —	3.6771	+ 2.1943	+ 0.6051	— 0.1862	— 0.1256	+ 0.0313	+ 0.0470	— 0.0036
1874 Jan. 20 —	1.0639	+ 2.6132	+ 0.4189	— 0.2805	— 0.943	+ 0.0747	+ 0.0434	— 0.0386
März 1 +	1.6877	+ 2.7516	+ 0.1384	— 0.3001	— 0.0196	+ 0.0795	+ 0.0048	— 0.0390
April 10 +	4.2776	+ 2.5899	— 0.1617	— 0.2402	+ 0.0599	+ 0.0453	— 0.0342	— 0.0072
Mai 20 +	6.4656	+ 2.1800	— 0.4019	— 0.1350	+ 0.1052	+ 0.0039	— 0.0414	+ 0.0068
			— 0.5369	+ 0.1350	+ 0.1091	— 0.0346		

Es soll nun für die erste summirte Reihe nach der Formel A_1) die Anfangsconstante so bestimmt werden, dass das einfache Integral für die Grenze 1873 Dec. 31 verschwindet, man hat daher den Werth, der für Jan. 20 angesetzt ist, als $f(a)$ anzusehen und es kommt der Werth $f(a - \frac{1}{2}w)$ zwischen die Zeilen, die zu 1873 Dec. 11 und 1874 Jan. 20 gehören. Man findet nach A_1) pag. 35 :

$$\begin{aligned}
 & - \frac{1}{24} f^I(a - \frac{1}{2}w) = - 0''.1088.8 \\
 & + \frac{17}{5760} f^{III}(a - \frac{1}{2}w) = - \quad \quad 8.3 \\
 & - \frac{367}{967680} f^V(a - \frac{1}{2}w) = - \quad \quad 0.3 \\
 & f(a - \frac{1}{2}w) = - 0''.1097
 \end{aligned}$$

Will man aber, dass das einfache Integral für 1874 Jan. 20 verschwindet, so gibt die Formel B_1) pag. 35 für den Anfangswerth der ersten summirten Reihe, der zwischen die Zeilen 1873 Dec. 11 und 1874 Jan. 20 zu setzen ist:

$$\begin{aligned}
 & - \frac{1}{2} f(a) = + 0''.5319.5 \\
 & + \frac{1}{12} f^I(a) = + 0.2235.3 \\
 & - \frac{11}{720} f^{III}(a) = + \quad \quad 14.3 \\
 & + \frac{191}{60480} f^V(a) = + \quad \quad 2.4 \\
 & - \frac{2497}{3628800} f^{VII}(a) = + \quad \quad 0.3 \\
 & f(a + \frac{1}{2}w) = + 0''.7602
 \end{aligned}$$

Setzt man diese Anfangswerthe in die erste summirte Reihe ein und bildet das Summationsschema und nachher die einfachen Integrale für dieselben Grenzen, so wird man sich überzeugen können, dass das gebildete Integral je nach der gesetzten Bedingung für die gewählte Epoche verschwindet.

Als Beispiel der Anwendung der Formeln II_1 (p. 43) soll die Anfangsconstante so bestimmt werden, dass das einfache Integral für die Grenze 1874 Jan. 10 verschwindet: der für $f(a - \frac{1}{2}w)$ nach II_1 berechnete Werth ist natürlich zwischen

die Zeilen 1873 Dez. 11 und 1874 Jan. 20 zu setzen, innerhalb welcher Grenzen das eben gewählte Datum fällt. Vermöge der Wahl dieser Grenze wird man mit gleichem Vortheil sowohl die erste als die zweite Formel anwenden können; gebraucht man die erste, so hat man $u = -0.25$ und die Rechnung stellt sich mit Hilfe der Tafel VI wie folgt:

d	1	3	5	7
$f^d a$	+ 2.68210	- 0.20030	+ 0.07710	- 0.03880
$\log f^d a$	0.428524	9 _n 46285	8.8871	8 _n 5888
$\log Q_1^{d-0.25}$	8 _n 716609	8.00047	7 _n 3338	6.6760
d	4	6		
$\log f^d a$	8 _n 2923	7.6812		
$\log Q_1^{d-0.25}$	8 _n 1261	7.2460		
$(u + \frac{1}{2})f' a$	= - 0.2659.7		$\frac{1}{6}f''' a$	= + 0.0230.7
$Q_1^{-1} u f' a$	= - 0.1397.1		$Q_1^{-1} f''' a$	= + 0.0002.0
$Q_1^{-3} u f''' a$	= - 0.0029.7		$Q_1^{-5} f^{(5)} a$	= + 0.0000.1
$Q_1^{-5} u f^{(5)} a$	= - 0.0001.7		S_g	= - 0.0233.4
$Q_1^{-7} u f^{(7)} a$	= - 0.0000.2			
S_u	= - 0.4688.4			
$u^3 S_g$	= - 0.0003.6			
$f(a - \frac{1}{2}w)$	= + 0.4092			

Wendet man dagegen die zweite Formel an, so wird man zu setzen haben $m = +0.25$ und erhält mit Benützung der Tafel VII:

d	1	3	5	7
$\log f^d a - \frac{1}{2}w$	0.417173	9 _n 41793	8.8733	8 _n 5860
$\log P_1^{d-0.25}$	8.862827	7 _n 01180	6.7039	5 _n 8060
d	2	4	6	
$f^d (a - \frac{1}{2}w)$	+ 0.27865	- 0.05605	+ 0.02410	
$\log f^d (a - \frac{1}{2}w)$	9.44506	8 _n 7555	8.3820	
$\log P_1^{d-0.25}$	9 _n 05912	8.3284	7 _n 6458	
$P_1^{-1}(m)f' (a - \frac{1}{2}w)$	= + 0.1905.5		$f' (a - \frac{1}{2}w)$	= 2.3705.0
$P_1^{-3}(m)f''' (a - \frac{1}{2}w)$	= + 0.0011.5		$P_1^{-2}(m)f'' (a - \frac{1}{2}w)$	= - 0.0319.3
$P_1^{-5}(m)f^{(5)} (a - \frac{1}{2}w)$	= + 0.0000.4		$P_1^{-4}(m)f^{(4)} (a - \frac{1}{2}w)$	= - 0.0012.4
$P_1^{-7}(m)f^{(7)} (a - \frac{1}{2}w)$	= 0.0		$P_1^{-6}(m)f^{(6)} (a - \frac{1}{2}w)$	= - 0.0001.4
S_u	= + 0.1917.4		S_g	= - 2.4037.5
$m S_g$	= - 0.6004.4			
$f(a - \frac{1}{2}w)$	= + 0.4092			

in völliger Uebereinstimmung mit dem obigen Werthe. Man kann sich auch durch Einsetzung dieser Anfangsconstante in die erste summirte Reihe und Bildung des Integrales für die Grenze 1874 Jan. 20 leicht überzeugen, dass die Bestimmung der Anfangsconstante richtig ausgeführt worden ist.

B) Doppelte Integrale.

Integriert man die Gleichungen 1) und 3) des vorliegenden Paragraphen (pag. 32) nochmals, so wird man vorerst zu beachten haben, dass man für J_n^1 und J_m^1 die durch die Gleichungen 2) und 4) (pag. 32) definirten Werthe einzusetzen hat; es ist aber mit Rücksicht auf die Gleichungen 8) und 7) (pag. 34) anzunehmen:

$$J_n^1 = f(a + iw) + \sum_{d=1}^{d=\infty} \sum_{p=0}^{p=d} \frac{(-1)^{d-p} C \{ 1^2, 3^2, \dots, (2d-1)^2 \}}{2^{2d} (2d)! (2p+1)} f^{(2d-1)}(a + iw)$$

$$J_m^1 = f(a + (i + \frac{1}{2})w) + \sum_{d=1}^{d=\infty} \sum_{p=1}^{p=d} \frac{(-1)^{d-p} C \{ 2^2, 4^2, \dots, (2d-2)^2 \}}{2^{2d} (2d)! (2p+1)} f^{(2d-1)}(a + (i + \frac{1}{2})w).$$

Es wird also aus 1) und 3), nachdem man links mit dl , rechts beziehungsweise mit $w dn$ und $w dm$ multiplicirt hat, durch nochmalige Integration erhalten:

$$\left. \begin{aligned} \frac{1}{w^2} \iint f(l) dl^2 &= n f(a + iw) + \frac{n^2}{2} f^{(2)}(a + iw) + \\ &+ \sum_{d=1}^{d=\infty} \sum_{p=1}^{p=d} \frac{(-1)^{d-p} n^{2p+1} C \{ 2^2, 4^2, \dots, (2d-2)^2 \}}{2^{2(d-p)} (2d-1)! (2p)(2p+1)} f^{(2d-1)}(a + iw) \\ &+ \sum_{d=1}^{d=\infty} \sum_{p=1}^{p=d} \frac{(-1)^{d-p} n^{2p+2} C \{ 2^2, 4^2, \dots, (2d-2)^2 \}}{2^{2(d-p)} (2d-1)! (2p+1)(2p+2)} f^{(2d)}(a + iw) \\ &+ n \sum_{d=1}^{d=\infty} \sum_{p=0}^{p=d} \frac{(-1)^{d-p} C \{ 1^2, 3^2, \dots, (2d-1)^2 \}}{2^{2d} (2d)! (2p+1)} f^{(2d-1)}(a + iw) \\ &+ J_n^2 \end{aligned} \right\} \quad 18)$$

und

$$\left. \begin{aligned} \frac{1}{w^2} \iint f(l) dl^2 &= m f(a + (i + \frac{1}{2})w) + \frac{m^2}{2} f^{(2)}(a + (i + \frac{1}{2})w) + \\ &+ \sum_{d=1}^{d=\infty} \sum_{p=1}^{p=d} \frac{(-1)^{d-p} m^{2p+1} C \{ 1^2, 3^2, \dots, (2d-3)^2 \}}{2^{2(d-p)} (2d-1)! (2p)(2p+1)} f^{(2d-1)}(a + (i + \frac{1}{2})w) \\ &+ \sum_{d=1}^{d=\infty} \sum_{p=0}^{p=d} \frac{(-1)^{d-p} m^{2p+2} C \{ 1^2, 3^2, \dots, (2d-1)^2 \}}{2^{2(d-p)} (2d)! (2p+1)(2p+2)} f^{(2d)}(a + (i + \frac{1}{2})w) \\ &+ m \sum_{d=1}^{d=\infty} \sum_{p=1}^{p=d} \frac{(-1)^{d-p} C \{ 2^2, 4^2, \dots, (2d-2)^2 \}}{2^{2d} (2d)! (2p+1)} f^{(2d-1)}(a + (i + \frac{1}{2})w) \\ &+ J_m^2 \end{aligned} \right\} \quad 19)$$

Die Werthe der auftretenden Integrationsconstanten bestimmen sich leicht aus:

$$\frac{1}{w^2} \iint_{a+iw}^{a+iw} f(l) dl^2 = J_n^2$$

$$\frac{1}{w^2} \iint_{a+(i+\frac{1}{2})w}^{a+(i+\frac{1}{2})w} f(l) dl^2 = J_m^2$$

und würden gebraucht werden, wenn man auf dreifache Integrale übergeht, die ich jedoch hier nicht mehr zur Untersuchung aufgenommen habe, da dieselben in der praktischen Anwendung wohl kaum je gebraucht werden. Man kann demnach

diese Integrationsconstanten vorerst ganz ausser Acht lassen, da der später nothwendige Uebergang auf bestimmte Integrale dieselben verschwinden macht.

Geht man sofort auf bestimmte Grenzen über, so empfiehlt es sich, für n die Grenzen $-\frac{1}{2}$ und $+\frac{1}{2}$, anzunehmen; unter dieser Voraussetzung verwandelt sich die Gleichung 18) in:

$$\frac{1}{n^2} \iint_{a+i-\frac{1}{2}|n}^{a+i+\frac{1}{2}|n} f(l) dl^2 = f(a+in) + \sum_{d=1}^{d=\infty} \sum_{p=1}^{p=d} \frac{(-1)^{d-p} C\{2^2, 4^2, \dots, 2d-2, 2\}}{2^{2d} (2d-1)! (2p+1)!} f^{(2d-1)}(a+in) \\ + \sum_{d=1}^{d=\infty} \sum_{p=c}^{p=d} \frac{(-1)^{d-p} C\{1^2, 3^2, \dots, 2d-1, 2\}}{2^{2d} (2d)! (2p+1)!} f^{(2d-1)}(a+in). \quad (20)$$

Wendet man auf diesen Ausdruck die Reductionsformel 20 pag. 12) an, indem für das letzte Glied gesetzt wird:

$$\frac{1}{2^{2d} (2d)!} \sum_{p=c}^{p=d} \frac{(-1)^{d-p}}{2^{p+1}} C\{1^2, 3^2, \dots, (2d-1, 2\}} = \frac{1}{2^{2d} (2d)!} \sum_{p=1}^{p=d} \frac{(-1)^{d-p}}{2^{p+1}} C\{2^2, 4^2, \dots, (2d-2, 2\}} \\ - \frac{1}{2^{2d} (2d-1)!} \sum_{p=1}^{p=d} \frac{(-1)^{d-p}}{2^p} C\{2^2, 4^2, \dots, (2d-2, 2\}} \\$$

so erhält man sogleich:

$$\frac{1}{n^2} \iint_{a+i-\frac{1}{2}|n}^{a+i+\frac{1}{2}|n} f(l) dl^2 = f(a+in) + \sum_{d=1}^{d=\infty} \sum_{p=1}^{p=d} \frac{(-1)^{d-p} (1-2d) C\{2^2, 4^2, \dots, 2d-2, 2\}}{2^{2d} (2d)! (2p+1)!} f^{(2d-1)}(a+in). \quad (21)$$

Vergleicht man die Ausdrücke 21) und 7. pag. 34, so findet sich, dass die numerischen Werthe, mit denen die Differenzwerthe in den beiderseitigen Formeln multiplicirt sind, identisch sind bis auf den Factor $(1-2d)$. Die zu gleichen d gehörigen Factoren werden daher aus den für 21) erhaltenen Werthen gefunden, wenn man dieselben einfach mit dem Factor $(1-2d)$ multiplicirt. Die Rechnung dieser Coefficienten wird mit Hilfe dieser Bemerkung sehr einfach, doch erwähne ich gleich hier, dass die unten mitgetheilten Coefficienten zur Controle auch nach der obigen Formel 20) berechnet wurden.

Ehe ich an die weitere Transformation von 21) gehe, will ich die Gleichung 19) ähnlichen Reductionen unterziehen und die Entwicklungen für dieselbe auf denselben Standpunkt bringen. Setzt man in Gl. 19) (pag. 49) die Grenzen $-\frac{1}{2}$ und $+\frac{1}{2}$ für n ein, so findet sich sofort:

$$\frac{1}{n^2} \iint_{a+i}^{a+i+1|n} f(l) dl^2 = f(a+(i+\frac{1}{2})n) + \sum_{d=1}^{d=\infty} \sum_{p=1}^{p=d} \frac{(-1)^{d-p} C\{1^2, 3^2, \dots, 2d-3, 2\}}{2^{2d} (2d-1)! (2p+1)!} f^{(2d-1)}(a+(i+\frac{1}{2})n) \\ + \sum_{d=1}^{d=\infty} \sum_{p=1}^{p=d} \frac{(-1)^{d-p} C\{2^2, 4^2, \dots, 2d-2, 2\}}{2^{2d} (2d)! (2p+1)!} f^{(2d-1)}(a+(i+\frac{1}{2})n)$$

Zur Zusammenziehung dieses Ausdruckes wende ich die Gleichung 18, pag. 12) an. Ersetzt man das letzte Glied nach derselben, so resultirt sofort:

$$\frac{1}{w^2} \iint_{a+iu}^{a+[i+\frac{1}{2}]w} f(l) dl^2 = {}^{11}f(a + [i + \frac{1}{2}]w) + \sum_{d=1}^{\infty} \sum_{p=1}^{p=d} (-1)^{\frac{d-p}{2}} \frac{2^{2d-1}}{2^{2d} 2^{d-1}} \frac{C\left\{\frac{d-p}{2} 1^2, 3^2, \dots, 2d-3^2\right\}}{2^{2p-1}} f^{(2d-1)}(a + [i + \frac{1}{2}]w) \quad 22$$

womit leicht die Coëfficienten für die Doppelintegrale berechnet werden können. Es zeigt sich nach diesen Formeln kein so einfacher Zusammenhang zwischen den Coëfficienten der einfachen und Doppelintegrale und doch besteht ein solcher, der sehr zweckmässig zur Controle der numerischen Entwicklungen benützt werden kann. Gebraucht man nämlich die Gleichung 12 (pag. 10), und beachtet, dass in derselben $\delta = (d-1)$ geschrieben ist, so erhält man für den Coëfficienten von $f^{(2d-1)}(a + [i + \frac{1}{2}]w)$ sofort:

$$\sum_{p=1}^{p=d} (-1)^{\frac{d-p}{2}} \frac{2^{2d-1}}{2^{2d} 2^{d-1}} \frac{C\left\{\frac{d-p}{2} 1^2, 3^2, \dots, 2d-3^2\right\}}{2^{2p-1}} = - \sum_{p=0}^{p=d} (-1)^{\frac{d-p}{2}} \frac{2^{2d-1}}{2^{2d} 2^{d-1}} \frac{C\left\{\frac{d-p}{2} 1^2, 3^2, \dots, 2d-1^2\right\}}{2^{2p+1}} \\ - \sum_{p=0}^{p=d} (-1)^{\frac{d-p}{2}} \left(\frac{d-1}{2}\right) \frac{C\left\{\frac{d-p}{2} 1^2, 3^2, \dots, 2d-1^2\right\}}{2^{2d} 2^{d-1}} \frac{1}{2^{2p+1}}$$

Die rechts stehenden Coëfficienten sind aber völlig identisch mit jenen, welche bei den einfachen Integralen gefunden wurden; bezeichnet man demnach einen Coëfficienten der vorgelegten Reihe mit $K_{(d)}^{(1)}$, so besteht die Relation für ein bestimmtes d :

$$- K_{(d)}^{(2)} = (2d-1) K_{(d)}^{(1)} + \left(\frac{d-1}{2}\right) K_{(d-1)}^{(1)}$$

welche Gleichung zweckmässig zur Controle benützt werden kann und auch benützt wurde.

Beachtet man, ähnlich wie bei dem einfachen Integrale, dass ist:

$$\iint_{a-\frac{1}{2}w}^{a+[i+\frac{1}{2}]w} f(l) dl^2 = \iint_{a-\frac{1}{2}w}^{a+\frac{1}{2}w} f(l) dl^2 + \iint_{a+\frac{1}{2}w}^{a+\frac{3}{2}w} f(l) dl^2 + \dots + \iint_{a+[i-\frac{1}{2}]w}^{a+[i+\frac{1}{2}]w} f(l) dl^2 \\ \iint_a^{a+iw} f(l) dl^2 = \iint_a^{a+w} f(l) dl^2 + \iint_{a+w}^{a+2w} f(l) dl^2 + \dots + \iint_{a+[i-1]w}^{a+iw} f(l) dl^2$$

und erinnert sich der Relation 5 (pag. 5), so kann man aus 21 und 22 ableiten:

$$\frac{1}{w^2} \iint_{a-\frac{1}{2}w}^{a+[i+\frac{1}{2}]w} f(l) dl^2 = {}^{11}f(a + [i + \frac{1}{2}]w) + \sum_{d=1}^{\infty} \sum_{p=1}^{p=d} (-1)^{\frac{d-p}{2}} \frac{2^{2d-1}}{2^{2d} 2^{d-1}} \frac{C\left\{\frac{d-p}{2} 1^2, 3^2, \dots, 2d-2^2\right\}}{2^{2p+1}} f^{(2d-2)}(a + [i + \frac{1}{2}]w) \quad 23 \\ - {}^{11}f(a - \frac{1}{2}w) - \sum_{d=1}^{\infty} \sum_{p=1}^{p=d} (-1)^{\frac{d-p}{2}} \frac{2^{2d-1}}{2^{2d} 2^{d-1}} \frac{C\left\{\frac{d-p}{2} 1^2, 3^2, \dots, 2d-2^2\right\}}{2^{2p+1}} f^{(2d-2)}(a - \frac{1}{2}w) \\ \frac{1}{w^2} \iint_a^{a+iw} f(l) dl^2 = {}^{11}f(a + iw) + \sum_{d=1}^{\infty} \sum_{p=1}^{p=d} (-1)^{\frac{d-p}{2}} \frac{2^{2d-1}}{2^{2d} 2^{d-1}} \frac{C\left\{\frac{d-p}{2} 1^2, 3^2, \dots, 2d-3^2\right\}}{2^{2p-1}} f^{(2d-2)}(a + iw) \quad 24 \\ - {}^{11}f(a) - \sum_{d=1}^{\infty} \sum_{p=1}^{p=d} (-1)^{\frac{d-p}{2}} \frac{2^{2d-1}}{2^{2d} 2^{d-1}} \frac{C\left\{\frac{d-p}{2} 1^2, 3^2, \dots, 2d-3^2\right\}}{2^{2p+1}} f^{(2d-2)}(a)$$

Die Ausmittlung der Doppelintegrale in Bezug auf die gewählten Grenzen erscheint somit bestimmt, sobald die 2te summirte Reihe gebildet ist. Um aber diese zu erhalten, muss eine Anfangsconstante zur Bildung der ersten und eine weitere An-

fangsconstante zur Bildung der zweiten summirten Reihe angenommen sein, so dass in der That, wie es die allgemeine Forderung eines Doppelintegrals mit sich bringt, zwei willkürliche Constanten in dem Probleme auftreten, deren Bestimmung aber nur durch anderweitige Bedingungen des Problems vorgenommen werden kann. Diese Bestimmung wird gewöhnlich dadurch geleistet werden können, dass das vorgelegte Doppelintegral die Eigenschaft haben muss, für einen bestimmten Argumentwerth einen gewissen Werth zu ergeben, und dass das zugehörige einfache Integral ebenfalls einer solchen Bedingung genügen muss. Bei den astronomischen Rechnungen in der Störungstheorie wird es sich wohl meistens empfehlen, der Bedingung zu genügen, dass sowohl das einfache als auch das doppelte Integral für die untere Grenze verschwindet. Diese Annahme soll nun weiter verfolgt werden.

Nimmt man die Formel 23 (pag. 51) vor, so wird zunächst die Bedingung, dass das Doppelintegral für die Grenze $a - \frac{1}{2}w$ verschwindet, ausgedrückt sein durch:

$${}^u f(a - \frac{1}{2}w) = - \sum_{d=1}^{d=\infty} \sum_{p=1}^{p=d} (-1)^{d-p} \frac{1-2d}{2^{2d}} \frac{C\{2^2, 4^2, \dots, (2d-2)^2\}}{(2d)!} {}^{2d-2} f(a - \frac{1}{2}w), \quad (25)$$

dass aber das einfache Integral für dieselbe Grenze verschwindet, nach Formel 7, pag. 34 des vorliegenden Paragraphen:

$${}^u f(a - \frac{1}{2}w) = - \sum_{d=1}^{d=\infty} \sum_{p=1}^{p=d} (-1)^{d-p} \frac{C\{2^2, 4^2, \dots, (2d-2)^2\}}{(2d)!} {}^{2d-1} f(a - \frac{1}{2}w) \quad (26)$$

Genügen die Anfangsconstanten der summirten Reihe diesen Bedingungen, so ist die gestellte Forderung erfüllt. In der That gibt die Formel 26) unmittelbar jenen Werth an, den man an der betreffenden Stelle in das Summationsschema einzutragen hat, um die erste summirte Reihe bilden zu können. Die Formel 25, dagegen entspricht nur einem arithmetischen Mittel zweier Werthe, nämlich von ${}^u f(a-w)$ und ${}^u f(a)$; da aber ${}^u f(a - \frac{1}{2}w)$ durch 26) gegeben ist, so kann man ohne Schwierigkeit berechnen:

$$\begin{aligned} {}^u f(a) &= {}^u f(a - \frac{1}{2}w) + \frac{1}{2} {}^u f(a - \frac{1}{2}w) \\ \text{oder } {}^u f(a-w) &= {}^u f(a - \frac{1}{2}w) - \frac{1}{2} {}^u f(a - \frac{1}{2}w) \end{aligned} \quad (27)$$

welche beiden Formeln nach Belieben gewählt werden können. Wenn sich auch gegen diese Art der Bestimmung der Anfangsconstante nichts einwenden lässt, so zieht man es, soweit mir der Gebrauch bekannt ist, vor, eine unmittelbare Bestimmung der Anfangsconstante ${}^u f(a-w)$ oder ${}^u f(a)$ zu erlangen. Schreibt man in den Formeln 25, 26:

$$\begin{aligned} {}^{2d-2} f(a - \frac{1}{2}w) &= \frac{1}{2} {}^{2d-2} f(a-w) + \frac{1}{2} {}^{2d-2} f(a) \\ {}^{2d-1} f(a - \frac{1}{2}w) &= {}^{2d-2} f(a) - {}^{2d-2} f(a-w) \end{aligned}$$

und beachtet, dass je nachdem die erste oder zweite der Formeln 27) verwendet wird, der letztere Werth mit *plus* oder *minus* $\frac{1}{2}$ multiplicirt werden muss, so findet sich, wenn man in 27) die Werthe aus 25) und 26) einsetzt:

$$\begin{aligned} {}^{11}f(a) &= \sum_{d=1}^{d=\infty} \sum_{p=1}^{p=d} \frac{(-1)^{d-p} C \{ 2^2, 4^2, \dots, (2d-2)^2 \}}{2^{2d} 2d! (2p+1)} \{ df(a-w) + (d-1) f^{2d-2}(a) \} \\ {}^{11}f(a-w) &= \sum_{d=1}^{d=\infty} \sum_{p=1}^{p=d} \frac{(-1)^{d-p} C \{ 2^2, 4^2, \dots, (2d-2)^2 \}}{2^{2d} 2d! (2p+1)} \{ (d-1) f^{2d-2}(a-w) + df(a) \} \end{aligned} \quad (28)$$

Man kann also die Anfangsconstanten ${}^{11}f(a)$ und ${}^{11}f(a-w)$ ohne Schwierigkeit nach 28) ermitteln. Zur Controle kann man nach 26) berechnen $f(a-\frac{1}{2}w)$, wobei die Relation bestehen muss:

$$f(a-\frac{1}{2}w) = {}^{11}f(a) - {}^{11}f(a-w).$$

Hiermit erscheint die Bestimmung der Integrationsconstanten für die Grenze $-\frac{1}{2}$ erledigt und es soll nun die analoge Bestimmung für die Grenze 0 vorgenommen werden, d. h. die Constanten sind so zu bestimmen, dass das einfache und doppelte Integral für diese Grenze verschwindet.

Die Bedingung, dass das einfache Integral für die Grenze 0 verschwindet, ist nach Formel 10 (pag. 34) ausgedrückt durch:

$$f(a-\frac{1}{2}w) = - \left\{ \frac{1}{2}f'(a) + \sum_{d=1}^{d=\infty} \sum_{p=0}^{p=d} \frac{(-1)^{d-p} C \{ 1^2, 3^2, \dots, (2d-1)^2 \}}{2^{2d} 2d! (2p+1)} f^{2d-1}(a) \right\}; \quad (29)$$

dieselbe Bedingung für das Doppelintegral ergibt aus 24) (pag. 51):

$${}^{11}f(a) = - \sum_{d=1}^{d=\infty} \sum_{p=1}^{p=d} \frac{(-1)^{d-p} 2(2d-1) C \{ 1^2, 3^2, \dots, (2d-3)^2 \}}{2^{2d} 2d! (2p+1) 2p-1} f^{2d-2}(a). \quad (30)$$

Da die beiden hierdurch bestimmten Werthe im Summationsschema auftreten, so können dieselben ohne weitere Transformation zur Bildung der ersten und zweiten summirten Reihe verwendet werden und es ist die gestellte Aufgabe hiermit erledigt.

Bezeichnet man die Coëfficienten, mit denen die Differenzwerthe verbunden sind in der Formel 23) (pag. 51) mit P , in der Formel 24) (pag. 51) mit Q , und ertheilt diesen Buchstaben, wie dies bei den einfachen Integralen (nach pag. 35) geschehen ist, zwei Index, wo der obere auf den Differenzwerth, der untere auf die Ordnung der Integration hinweist, welcher letzterer Index also in diesem Fall gleich 2 ist, so wird man die folgenden 4 Formelsysteme für die Combinationen der eben abgehandelten Grenzen haben:

Grenzen: $a-\frac{1}{2}w$ und $a+[i+\frac{1}{2}]w$

$$\begin{aligned} w^2 {}^{11}f(a) &= w^2 \{ P_1^1 f'(a-w) + P_1^3 [2f''(a-w) + f'''(a)] + P_1^5 [3f^{IV}(a-w) + 2f^{IV}(a) + \dots] \\ w^2 f(a-\frac{1}{2}w) &= -w^2 \{ P_1^1 f'(a-\frac{1}{2}w) + P_1^3 f'''(a-\frac{1}{2}w) + P_1^5 f^{V}(a-\frac{1}{2}w) + \dots \} \\ \iint_{a-\frac{1}{2}w}^{a+[i+\frac{1}{2}]w} f(t) dt^2 &= w^2 \{ {}^{11}f(a+[i+\frac{1}{2}]w) + P_2^0 f[a+[i+\frac{1}{2}]w] + P_2^2 f''[a+[i+\frac{1}{2}]w] + \dots \} \end{aligned} \quad A_{11}$$

Grenzen: a und $a+iw$

$$\begin{aligned} w^2 {}^{11}f(a) &= -w^2 \{ Q_2^0 f'(a) + Q_2^2 f'''(a) + Q_2^4 f^{V}(a) + \dots \} \\ w^2 f(a-\frac{1}{2}w) &= -w^2 \{ \frac{1}{2}f'(a) + Q_1^1 f'(a) + Q_1^3 f'''(a) + Q_1^5 f^{V}(a) + \dots \} \\ \iint_a^{a+iw} f(t) dt^2 &= w^2 \{ {}^{11}f(a+iw) + Q_2^0 f(a+iw) + Q_2^2 f''(a+iw) + Q_2^4 f^{IV}(a+iw) + \dots \} \end{aligned} \quad B_{11}$$

Grenzen: $a - \frac{1}{2}w$ und $a + iw$

$$\begin{aligned} w^{2-1} f' a &= w^2 \{ P_1^1 f(a-w) + P_1^3 [2f''(a-w) + f'''(a)] + P_1^5 [3f'''(a-w) + 2f^{(4)}(a) + \dots] \} \\ w^{2-1} f' a - \frac{1}{2}w &= w^2 \{ P_1^1 f'(a - \frac{1}{2}w) + P_1^3 f'''(a - \frac{1}{2}w) + P_1^5 f^{(5)}(a - \frac{1}{2}w) + \dots \} \quad (C_n) \\ \iint_a^{a+iw} f(l) dl^2 &= w^2 \{ {}^0 f' a + iw + Q_2^0 f' a + iw + Q_2^2 f''(a + iw + \dots) \} \end{aligned}$$

Grenzen: a und $a + [i + \frac{1}{2}]w$

$$\begin{aligned} w^{2-1} f' a &= w^2 \{ Q_2^0 f(a) + Q_2^2 f''(a) + Q_2^4 f^{(4)}(a) + \dots \} \\ w^{2-1} f' a - \frac{1}{2}w &= w^2 \{ -\frac{1}{2} f(a) + Q_1^1 f'(a) + Q_1^3 f'''(a) + \dots \} \quad (D_n) \\ \iint_a^{a+[i+\frac{1}{2}]w} f(l) dl^2 &= w^2 \{ {}^0 f' a + [i + \frac{1}{2}]w + P_2^0 f' a + [i + \frac{1}{2}]w + P_2^2 f''(a + [i + \frac{1}{2}]w) + \dots \} \end{aligned}$$

Die numerischen Werthe der hier auftretenden P - und Q -Coefficients sind, wie früher die bei der einfachen Integration vorkommenden Werthe, in der hinten angeführten Tafel V aufgenommen; in derselben ist, indem ich die mit dem Index i unten versehenen Buchstaben (vergl. pag. 35) noch einmal anführe, gesetzt worden:

$$\left. \begin{aligned} P\binom{2d-1}{1} &= \sum_{p=1}^{p=d} \frac{(-1)^{d-p} C\{2^2, 4^2, \dots, (2d-2)^2\}}{2^{2d} (2d-1)! (2p+1)} \\ Q\binom{2d-1}{1} &= \sum_{p=0}^{p=d} \frac{(-1)^{d-p} C\{1^2, 3^2, \dots, (2d-1)^2\}}{2^{2d} (2d)! (2p+1)} \\ P\binom{2d-2}{2} &= \sum_{p=1}^{p=d} \frac{(-1)^{d-p} (1-2d) C\{2^2, 4^2, \dots, (2d-2)^2\}}{2^{2d} (2d)! (2p+1)} \\ Q\binom{2d-2}{2} &= \sum_{p=1}^{p=d} \frac{(-1)^{d-p} 2(2d-1) C\{1^2, 3^2, \dots, (2d-3)^2\}}{2^{2d} (2d-1)! (2p+1) (2p-1)} \end{aligned} \right\} \quad 31)$$

Die bisher entwickelten Formeln sind an specielle Grenzen gebunden. Es kam aber unter Umständen erwünscht sein, von denselben abzugehen, wiewohl dies selten genug der Fall sein wird; ich setze wie bei den einfachen Integralen voraus, dass nur ein specieller Werth nöthig ist, und hierbei die Herstellung einer vollständigen Integraltafel nicht beabsichtigt wird.

Um wieder eine möglichst rasche Convergenz herzustellen, wird man n und m stets kleiner als $\frac{1}{4}$ annehmen müssen und die Benützung der Formeln 18) und 19) pag. 45 wird sofort das gewünschte Ziel erreichen lassen. Die Anwendung dieser Formeln wird jedoch sehr beschwerlich sein und man würde jedenfalls, wenn sich nicht andere Hilfsmittel beschaffen liessen, wesentlich an Zeit ersparen, wenn man in der Nähe der geforderten Grenze durch alternirende Anwendung der Gleichungen A_n) und B_n) (pag. 53) sich kleine Integraltafeln herstellen würde, nach denen man den Werth des Integrales für die obere und untere Grenze mit Hilfe der Interpolation ermitteln könnte. Hierbei wäre nur zu beachten, dass die Berücksichtigung der Bedingungen für das einfache Integral noch einer besonderen Aufmerksamkeit bedarf. Es wird sich aber die vorgelegte Aufgabe durch Transformation und Herstellung von allgemeinen Hilfstafeln in bequemerer Weise lösen lassen.

Es soll zunächst die willkürliche Grenze so gelegen gedacht sein, dass die

Wahl von n vorthellhaft ist, also diese Grenze näher an einen Argumentwerth zu liegen kommt als $\frac{1}{4}w$. Integriert man die Gleichung B_n) bis zum Argumentwerthe und legt die wegen n nöthige Correction hinzu, so erhält man:

$$\iint_{a+in}^{a+(i+n)w} f(l) dl^2 = w^2 \{ {}^n f(a+iw) + Q_2^0 f(a+iw) + Q_2^2 f''(a+iw) + \dots \} + \iint_{a+in}^{a+(i+n)w} f(l) dl^2 + J_2, \quad (32)$$

wo J_2 eine willkürliche Integrationsconstante ist, die nach Einsetzung der unteren Grenze verschwindet und vorerst ausser Acht gelassen werden kann. Multiplicirt man die Gleichung 16 pag. 26 links mit $\frac{dl^2}{w^2}$, rechts mit dw^2 und integrirt zweimal, so erhält man:

$$\begin{aligned} \frac{1}{w^2} \iint f(l) dl^2 = & \left[\frac{n^2}{1 \cdot 2} f(a+iw) + \frac{n^3}{1 \cdot 2 \cdot 3} \{ f'(a+iw) + N_1^3 f'''(a+iw) + \dots \} \right. \\ & + \frac{n^4}{1 \cdot 2 \cdot 3 \cdot 4} \{ f''(a+iw) + N_2^4 f^{iv}(a+iw) + \dots \} \quad (33) \\ & + \frac{n^5}{1 \cdot 2 \cdot 3 \cdot 4 \cdot 5} \{ f^{(5)}(a+iw) + N_3^5 f^{(7)}(a+iw) + \dots \} \\ & + \dots \\ & \left. + n J_1 + J_2 \right] \end{aligned}$$

wo J_1 und J_2 die durch die Doppelintegration auftretenden Constanten sind. J_2 zu bestimmen, ist nicht nöthig, da es nach Einsetzen der Grenzen wegfällt; J_1 aber muss berücksichtigt werden. Es ist aber offenbar, wenn man das Resultat der ersten Integration ins Auge fasst (pag. 32):

$$J_1 = \int f(a+(i+n)w) dl$$

oder mit Berücksichtigung der Formel B_1 pag. 35:

$$J_1 = {}^1 f(a+iw) + Q_1^1 f'(a+iw) + Q_1^3 f'''(a+iw) + Q_1^5 f^{(5)}(a+iw) + \dots$$

Setzt man in 33) die Grenzen n und 0, sowie J_1 ein, so findet sich:

$$\begin{aligned} \frac{1}{w^2} \iint_{a+in}^{a+(i+n)w} f(l) dl^2 = & n {}^1 f(a+iw) \\ & + \frac{n^2}{2!} f''(a+iw) \\ & + n {}^1 f'(a+iw) \left\{ Q_1^1 + \frac{n^2}{3!} \right\} \\ & + n {}^1 f''(a+iw) \left\{ \frac{1}{4!} \right\} \\ & + n {}^1 f'''(a+iw) \left\{ Q_1^3 + \frac{n^2}{3!} N_1^3 + \frac{n^4}{5!} \right\} \\ & + n {}^1 f^{(4)}(a+iw) \left\{ \frac{N_2^4}{4!} + \frac{n^2}{6!} \right\} \\ & + \dots \end{aligned}$$

Führt man diesen Werth in 32) ein und beachtet, dass J_2 durch die Einführung der Grenzen verschwindet, so erhält man das Doppelintegral für die Grenze $a+(i+n)w$:

$$\begin{aligned}
\iint_{\sigma+|v+n|w} f(l) d\mathfrak{L}^2 = w^2 \left[{}^n f(a+\frac{1}{2}iw) \right. \\
+ f'(a+iw) \left\{ Q_2^0 + \frac{n^2}{2!} \right\} \\
+ f''(a+iw) \left\{ Q_2^2 + \frac{n^4}{4!} \right\} \\
+ f^{iv}(a+iw) \left\{ Q_2^4 + \frac{n^4}{4!} N_2^4 + \frac{n^6}{6!} \right\} \\
+ f^{vi}(a+iw) \left\{ Q_2^6 + \frac{n^4}{4!} N_2^6 + \frac{n^6}{6!} N_4^6 + \frac{n^8}{8!} \right\} \\
+ \dots \left. \dots \right] \\
+ w^2 n \left[f(a+iw) + f'(a+iw) \left\{ Q_1^1 + \frac{n^2}{3!} \right\} \right. \\
+ f'''(a+iw) \left\{ Q_1^3 + \frac{n^2}{5!} N_1^3 + \frac{n^4}{5!} \right\} \\
+ \dots \left. \dots \right]
\end{aligned}$$

Das vorstehende Doppelintegral lässt sich daher leicht in die folgende Form bringen:

$$\begin{aligned}
\iint_{\sigma+|v+n|w} f(l) d\mathfrak{L}^2 = w^2 \left[{}^n f(a+iw) + Q_2^0(n) f''(a+iw) + Q_2^2(n) f^{iv}(a+iw) + Q_2^4(n) f^{vi}(a+iw) + \dots + \right. \\
\left. + n \left\{ f'(a+iw) + Q_2^1(n) f'''(a+iw) + Q_2^3(n) f^{v}(a+iw) + Q_2^5(n) f^{vii}(a+iw) + \dots \right\} \right]
\end{aligned}$$

34a)

wo die hier auftretenden Coëfficienten die nachstehende Bedeutung haben:

$$\begin{aligned}
Q_2^0(n) &= Q_2^0 + \frac{n^2}{2!} \\
Q_2^2(n) &= Q_2^2 + \frac{n^4}{4!} \\
Q_2^4(n) &= Q_2^4 + \frac{n^4}{4!} N_2^4 + \frac{n^6}{6!} \\
Q_2^6(n) &= Q_2^6 + \frac{n^4}{4!} N_2^6 + \frac{n^6}{6!} N_4^6 + \frac{n^8}{8!} \\
&\dots \dots \dots \\
&\dots \dots \dots \\
Q_2^1(n) &= Q_1^1 + \frac{n^2}{3!} \\
Q_2^3(n) &= Q_1^3 + \frac{n^2}{5!} N_1^3 + \frac{n^4}{5!} \\
Q_2^5(n) &= Q_1^5 + \frac{n^2}{5!} N_1^5 + \frac{n^4}{5!} N_3^5 + \frac{n^6}{7!} \\
&\dots \dots \dots
\end{aligned}$$

35)

Diese Coëfficienten finden sich in der Tafel VIII. Zu der Formel 34) wäre nur zu bemerken, dass die Integrationsconstante fortgelassen wurde, weil die Annahme gemacht ist, dass bestimmte Bedingungen für die untere Integrationsgrenze gelten, die bereits durch die Einführung der ersten Summationconstanten ${}^n f(a)$ und $f(a - \frac{1}{2}w)$ erfüllt sind. Es gibt somit die Formel 34) den vollständigen Werth des Doppelintegrals unter den eben angeführten Voraussetzungen.

Durch die bisherigen Erörterungen ist für die Fälle vorgesorgt, wo das Integral für die speciellen Grenzen a oder $a - \frac{1}{2}w$ verschwindet; es soll jetzt die Bestimmung der Anfangsconstanten, ${}^u f(a)$ und ${}^v f(a - \frac{1}{2}w)$, vorgenommen werden, wenn der Bedingung genügt werden soll, dass das einfache und doppelte Integral für eine willkürliche untere Grenze verschwindet, wobei vorerst nur die Beschränkung statt hat, dass die Wahl von $n < \frac{1}{4}$ möglich ist; die Bestimmung der Anfangsconstante ${}^v f(a - \frac{1}{2}w)$ für diese Bedingung bietet die Formel II₁ (pag. 43). Denkt man sich für ${}^u f(a)$ vorerst Null geschrieben, so gibt die Gleichung 34a), auf die betreffende Anfangsconstante angewendet, einen Werth für das Doppelintegral, der von Null verschieden ist. Derselbe, mit umgekehrten Zeichen angewandt, gibt aber den Werth dieser Constante; man hat also:

$$w^2 {}^u f(a) = -w^2 \left\{ Q_2^0 n {}^u f(a) + Q_2^2 n {}^v f(a) + Q_2^4 f^{iv}(a) + \dots \right\} \\ + n \left\{ {}^v f(a) + Q_2^1 n {}^v f(a) + Q_2^3 n f^{iv}(a) + \dots \right\}, \quad 34b)$$

womit die gestellte Aufgabe gelöst erscheint.

Ist die willkürliche Grenze so gelegen, dass sie dem Mittel zweier Argumente näher ist, so hat man $m < \frac{1}{4}$ und ähnlich wie vorher:

$$\iint f(l) dl^2 = w^2 \left\{ {}^u f(a + [i + \frac{1}{2}]w) + P_2^u {}^v f(a + [i + \frac{1}{2}]w) + P_2^2 f^{iv}(a + [i + \frac{1}{2}]w) + \dots \right\} + \\ + \iint_{a + [i + \frac{1}{2}]w}^{a + [i + \frac{1}{2}]w + m} f(l) dl^2 \quad 36)$$

wobei die Integrationsconstante fortgelassen ist. Multiplicirt man die Gleichung 17³ (pag. 27) links mit $\frac{dl^2}{w^2}$, rechts mit dm^2 und integrirt zweimal, so erhält man:

$$\frac{1}{w^2} \iint f(l) dl^2 = \left\{ \frac{m^2}{1 \cdot 2} \left\{ f(a + [i + \frac{1}{2}]w) + M_0^2 f^{iv}(a + [i + \frac{1}{2}]w) + M_0^4 f^{iv}(a + [i + \frac{1}{2}]w) + \dots \right\} \right. \\ + \frac{m^3}{1 \cdot 2 \cdot 3} \left\{ f^{iv}(a + [i + \frac{1}{2}]w) + M_1^3 f^{iv}(a + [i + \frac{1}{2}]w) + M_1^5 f^{iv}(a + [i + \frac{1}{2}]w) + \dots \right\} \\ + \frac{m^4}{1 \cdot 2 \cdot 3 \cdot 4} \left\{ f^{iv}(a + [i + \frac{1}{2}]w) + M_2^4 f^{iv}(a + [i + \frac{1}{2}]w) + M_2^6 f^{iv}(a + [i + \frac{1}{2}]w) + \dots \right\} \\ + \dots \quad \left. \dots \right\} \quad 37) \\ + m(J_1 + J_2)$$

Es wird wieder die Bestimmung der Integrationsconstante J_1 nothwendig werden; man wird dafür mit Rücksicht auf Gl. 1 (pag. 32) und A₁ (pag. 35) finden:

$$(J)_1 = {}^v f(a + [i + \frac{1}{2}]w) + P_1^1 f^{iv}(a + [i + \frac{1}{2}]w) + P_1^3 f^{iv}(a + [i + \frac{1}{2}]w) + \dots$$

Setzt man diesen Werth, sowie die Grenzen m und 0 in 37) ein, so erhält man statt 36):

$$\frac{1}{w^2} \iint f(l) dl^2 = {}^u f(a + [i + \frac{1}{2}]w) + {}^v f(a + [i + \frac{1}{2}]w) \left\{ m \right\} \\ + f(a + [i + \frac{1}{2}]w) \left\{ P_2^0 + \frac{m^2}{2!} \right\} \quad \left| \right.$$

$$\left. \begin{aligned} &+ f^{iv} \left(a + i + \frac{1}{2} w \right) \left\{ P_1^{iv} m + \frac{m^3}{3} \right\} \\ &+ f^{iv} \left(a + i + \frac{1}{2} w \right) \left\{ P_2^{iv} + \frac{m^2}{2} M_0^2 + \frac{m^4}{4} \right\} \\ &+ \dots \end{aligned} \right\}$$

mit Hilfe welches Ausdruckes sich der Werth des Doppelintegrals 36 auf folgende Gestalt bringen lässt:

$$\begin{aligned} \iiint f^{(n)} dV &= w^2 \left[n f^{(n)} \left(a + i + \frac{1}{2} w \right) + P_2^{(n)}(m) f^{(n)} \left(a + i + \frac{1}{2} w \right) + P_2^{(n)} m f^{(n)} \left(a + i + \frac{1}{2} w \right) \right. \\ &+ P_2^{(n)} m f^{(n)} \left(a + i + \frac{1}{2} w \right) + \dots + m \left\{ f^{(n)} \left(a + i + \frac{1}{2} w \right) + P_2^{(n)} m f^{(n)} \left(a + i + \frac{1}{2} w \right) \right. \\ &\left. \left. + P_2^{(n)} m f^{(n)} \left(a + i + \frac{1}{2} w \right) + \dots \right\} \right] \quad 38 \end{aligned}$$

wo die hier vorkommenden Coefficienten $P_2^{(0)}(m)$, $P_2^{(2)}(m)$, ..., $P_2^{(1)}(m)$, $P_2^{(3)}(m)$, ..., durch nachstehende Ausdrücke definiert sind:

$$\left. \begin{aligned} P_2^{(0)}(m) &= P_2^{(0)} + \frac{m^2}{2}, \\ P_2^{(2)}(m) &= P_2^{(2)} + \frac{m^2}{2} M_0^2 + \frac{m^4}{4}, \\ P_2^{(4)}(m) &= P_2^{(4)} + \frac{m^2}{2} M_0^4 + \frac{m^4}{4} M_2^4 + \frac{m^6}{6}, \\ &\dots \dots \dots \\ P_2^{(1)}(m) &= P_1^{(1)} + \frac{m^2}{3}, \\ P_2^{(3)}(m) &= P_1^{(3)} + \frac{m^2}{3} M_1^3 + \frac{m^4}{5}, \\ P_2^{(5)}(m) &= P_1^{(5)} + \frac{m^2}{3} M_1^5 + \frac{m^4}{5} M_3^5 + \frac{m^6}{7}, \\ &\dots \dots \dots \end{aligned} \right\} \quad 39$$

Die in der Formel 38 auftretenden Coefficienten sind wie die vorhergehenden von Herrn F. K. Ginzcl berechnet und in der Tafel IX aufgenommen, es bietet daher keine Schwierigkeit, mit denselben das Doppelintegral für eine willkürliche Grenze zu berechnen. Die Integrationsconstanten sind wieder wie früher fortgelassen, weil die Annahme gemacht ist, dass bestimmte Bedingungen für die untere Grenze gelten, die bereits durch die Einführung der ersten Summationsconstanten $n f(a)$ und $f(a - \frac{1}{2} w)$ erfüllt sind; es gibt demnach die Formel 38 den vollständigen Werth des Doppelintegrals.

Soll das Doppelintegral für eine willkürliche Grenze verschwinden, für die $m < \pm \frac{1}{2}$ gewählt werden kann, was in Verbindung mit der Formel 34b die Möglichkeit an die Hand gibt, die Lage der untern Grenze ganz willkürlich annehmen zu dürfen, so erhält man durch ähnliche Schlüsse wie früher die Relation:

$$\begin{aligned} w^2 f(a - \frac{1}{2} w) &= - w^2 \left[P_2^{(0)} m f(a - \frac{1}{2} w) + P_2^{(2)} m f^{(2)}(a - \frac{1}{2} w) + P_2^{(4)} m f^{(4)}(a - \frac{1}{2} w) + \dots \right. \\ &\left. + m \left\{ f(a - \frac{1}{2} w) + P_2^{(1)} m f^{(1)}(a - \frac{1}{2} w) + P_2^{(3)} m f^{(3)}(a - \frac{1}{2} w) + \dots \right\} \right] \quad 40 \end{aligned}$$

Hierbei hat man sich zu erinnern, dass ist:

$${}^{11}f(a) = {}^{11}f(a - \frac{1}{2}w) + \frac{1}{2}{}^1f(a - \frac{1}{2}w)$$

Die für die Doppelintegrale gestellte Aufgabe erscheint hiermit erledigt und es erübrigt nur noch, die Formeln zusammenzutragen und durch Beispiele zu erläutern.

Man hat für den Werth des Doppelintegrals für die willkürliche obere Grenze die Formeln:

$$\left. \begin{aligned} n < \pm \frac{1}{4} \\ \iint f(l) dl^2 &= w^2 \left[{}^{11}f(a + iw) + Q_2^0(n) f(a + iw) + Q_2^2(n) f''(a + iw) + Q_2^4(n) f^{iv}(a + iw) + \dots \right. \\ &\quad \left. + n \left\{ {}^1f(a + iw) + Q_2^1(n) f'(a + iw) + Q_2^3(n) f'''(a + iw) + \dots \right\} \right] \\ m < \pm \frac{1}{4} \\ \iint f(l) dl^2 &= w^2 \left[{}^{11}f(a + [i + \frac{1}{2}]w) + P_2^0(m) f(a + [i + \frac{1}{2}]w) + P_2^2(m) f''(a + [i + \frac{1}{2}]w) + \dots \right. \\ &\quad \left. + P_2^4(m) f^{iv}(a + [i + \frac{1}{2}]w) + \dots + m \left\{ {}^1f(a + [i + \frac{1}{2}]w) + P_2^1(m) f'(a + [i + \frac{1}{2}]w) \right. \right. \\ &\quad \left. \left. + P_2^3(m) f'''(a + [i + \frac{1}{2}]w) + \dots \right\} \right] \end{aligned} \right\} G_n$$

Für die untern Grenzen wird man haben, wenn an diese die Bedingung geknüpft ist, dass das einfache und doppelte Integral für dieselben verschwindet:

$$\left. \begin{aligned} n < \pm \frac{1}{4}, \quad \int f(l) dl = \iint f(l) dl^2 = 0 \\ w^2 f(a - \frac{1}{2}w) &= -w^2 \left[(n + \frac{1}{2}) f(a) + Q_1^1(n) f'(a) + Q_1^3(n) f'''(a) + Q_1^5(n) f^{v}(a) + \dots \right. \\ &\quad \left. + n^3 \left\{ \frac{1}{6} f''(a) + Q_1^4(n) f^{iv}(a) + Q_1^6(n) f^{vi}(a) + \dots \right\} \right] \\ w^2 {}^{11}f(a) &= -w^2 \left[Q_2^0(n) f(a) + Q_2^2(n) f''(a) + Q_2^4(n) f^{iv}(a) + \dots \right. \\ &\quad \left. + n \left\{ {}^1f(a - \frac{1}{2}w) + \frac{1}{2} f(a) + Q_2^1(n) f'(a) + Q_2^3(n) f'''(a) + \dots \right\} \right] \\ m < \pm \frac{1}{4}, \quad \int f(l) dl = \iint f(l) dl^2 = 0 \\ w^2 f(a - \frac{1}{2}w) &= -w^2 \left[P_1^1(m) f'(a - \frac{1}{2}w) + P_1^3(m) f'''(a - \frac{1}{2}w) + P_1^5(m) f^{v}(a - \frac{1}{2}w) + \dots \right. \\ &\quad \left. + m \left\{ f(a - \frac{1}{2}w) + P_1^2(m) f''(a - \frac{1}{2}w) + P_1^4(m) f^{iv}(a - \frac{1}{2}w) + \dots \right\} \right] \\ w^2 {}^{11}f(a - \frac{1}{2}w) &= -w^2 \left[P_2^0(m) f(a - \frac{1}{2}w) + P_2^2(m) f''(a - \frac{1}{2}w) + P_2^4(m) f^{iv}(a - \frac{1}{2}w) + \dots \right. \\ &\quad \left. + m \left\{ {}^1f(a - \frac{1}{2}w) + P_2^1(m) f'(a - \frac{1}{2}w) + P_2^3(m) f'''(a - \frac{1}{2}w) + \dots \right\} \right] \\ {}^{11}f(a) &= {}^{11}f(a - \frac{1}{2}w) + \frac{1}{2} {}^1f(a - \frac{1}{2}w) \end{aligned} \right\} H_n$$

Die Q_1 -Coëfficienten finden sich in Tafel VI.

"	P_1	"	"	"	"	VII.
"	Q_2	"	"	"	"	VIII.
"	P_2	"	"	"	"	IX.

Nehmen wir zur Erläuterung der im Vorhergehenden entwickelten Formeln das auf pag. 43 angeführte Erato-Beispiel vor, in dem bereits die zweite summirte Reihe gebildet ist. Wir wollen zuerst durch die Anwendung der Formel A_n pag. 53 eine Integraltafel für das Doppelintegral zwischen den Grenzen 1872 Oct. 17 bis 1873 Mai 5 herstellen. Bei diesem und den folgenden Beispielen ist wie oben die Zeiteinheit 10 Tage gewählt, so dass w der Einheit gleich zu setzen ist. Man erhält:

	1872 Oct. 17.	1872 Nov. 26.	1873 Jan. 5.	1873 Feb. 14.	1873 Mz. 26.	1873 Mai 5
${}^{11}f(a + [i + \frac{1}{2}w])$	260062.535	-237488.885	-211912.555	-185331.385	-159248.140	-134686.075
$P_0^2 f(a + [i + \frac{1}{2}w])$	225.810	-	125.112	-	41.868	+ 20.747
$P_2^2 f^{II}(a + [i + \frac{1}{2}w])$	+ 1.028	+ 3.709	+ 4.383	+ 4.246	+ 3.630	+ 2.819
$P_4^2 f^{IV}(a + [i + \frac{1}{2}w])$	+ 0.255	+ 0.237	+ 0.174	+ 0.102	+ 0.042	0
$P_6^2 f^{VI}(a + [i + \frac{1}{2}w])$	+ 0.019	+ 0.010	+ 0.002	- 0.003	- 0.004	- 0.004
$P_8^2 f^{VIII}(a + [i + \frac{1}{2}w])$	+ 0.001	0	- 0.001	- 0.001	0	0
	260286.14	237610.04	-211949.86	-185306.29	-159181.09	-134594.32

Bestimmt man nach der Formel B_n (pag. 53) den Werth des Doppelintegrals zwischen den Grenzen 1872 Sept. 27 bis 1873 Mai 25, so wird sich ergeben:

	1872 Sept. 27.	1872 Nov. 6.	1872 Dec. 16.	1873 Jan. 25.	1873 Mz. 6.	1873 Apr. 15.	1873 Mai 25
${}^{11}f(a + iw)$	-270318.660	-249806.410	-225171.360	-198653.750	-172009.020	-146487.260	-122884.890
$Q_2^2 f(a + iw)$	+ 559.672	+ 343.567	+ 156.880	+ 10.593	- 93.581	- 159.941	- 195.789
$Q_4^2 f^{II}(a + iw)$	- 0.344	- 1.471	- 2.020	- 2.105	- 1.890	- 1.526	- 1.126
$Q_6^2 f^{IV}(a + iw)$	- 0.067	- 0.071	- 0.057	- 0.037	- 0.018	- 0.004	- 0.004
$Q_8^2 f^{VI}(a + iw)$	- 0.004	- 0.003	- 0.001	0	+ 0.001	+ 0.001	+ 0.001
	-269759.40	-249464.39	-225016.56	-198645.30	-172104.51	-146648.73	-123081.80

Man ist nun in der Lage, durch Vereinigung der vorstehenden Werthe die unten folgende Integraltafel herzustellen, aus der man den Werth des Integrals für eine beliebige, innerhalb der Ausdehnung der Tafel gelegene Grenze durch Interpolation bestimmen kann. Den Werth des Integrals für eine solche beliebige Grenze auf dem eben gezeigten Wege zu erlangen, wäre indess sehr umständlich und es wird deshalb die Formel G_n zu diesem Zwecke durch passende Beispiele später erläutert werden.

	ξ	f^I	f^{II}	f^{III}	f^{IV}	f^V	f^{VI}
1872 Sept. 27	-260759.40						
" Oct. 17	-260286.14	+ 9473.26					
" Nov. 6	-249464.39	+ 10821.75	+ 1318.49	- 315.89			
" 26	-237610.04	+ 11854.35	+ 1032.60	- 293.47	+ 22.42	+ 5.14	- 2.15
" Dec. 16	-225016.56	+ 12593.48	+ 739.13	- 205.91	+ 27.56	+ 2.99	- 1.59
1873 Jan. 5	-211949.86	+ 13066.70	+ 473.22	- 235.36	+ 30.55	+ 1.40	- 1.62
" 25	-198645.30	+ 13304.56	+ 237.86	- 203.41	+ 31.95	- 0.22	- 0.96
" Febr. 14	-185306.29	+ 13339.01	+ 34.45	- 171.68	+ 31.73	- 1.18	- 0.94
März 6	-172104.51	+ 13201.78	- 137.23	- 141.13	+ 30.55	- 2.12	- 0.50
26	-159181.09	+ 12923.42	- 278.36	- 112.70	+ 28.43	- 2.62	- 0.24
April 15	-146648.73	+ 12532.36	- 391.06	- 86.89	+ 25.81	- 2.86	
Mai 5	-134594.32	+ 12054.41	- 477.95	- 63.94	+ 22.95		
25	-123081.80	+ 11512.52	- 541.89				

Wählt man als obere Grenze für den Integralwerth 1873 Jan. 15, so können hierfür sowohl die erste als auch die zweite Formel G_n pag. 59 mit gleichem Vortheil zur Anwendung gebracht werden. Man findet mit Hilfe der ersten, indem man $n = -0.25$ setzt:

d	0	2	4	6
$\log f^d(a+iw)$	2.104214	2.70350	1 _n 8587	0 _n 384
$\log Q_2^d(n)$	0.059121	7 _n 00248	6.6984	5 _n 891

d	1	3	5	7
$f^d(a+iw)$	-1502.765	-15.565	+37.790	-10.565
$\log f^d(a+iw)$	3 _n 176891	1 _n 19215	1.5774	1 _n 024
$\log Q_2^d(n)$	8 _n 862827	8.13271	7 _n 4501	6.789

${}^n f(a+iw) =$	198653.750	${}^n f(a+iw) =$	26581.170
$Q_2^0(n)f^1(a+iw) +$	14.566	$Q_2^1(n)f^1(a+iw) +$	109.577
$Q_2^2(n)f^2(a+iw) -$	2.023	$Q_2^3(n)f^3(a+iw) -$	0.211
$Q_2^4(n)f^4(a+iw) -$	0.001	$Q_2^5(n)f^5(a+iw) -$	0.011
$S_g =$	198641.211	$Q_2^7(n)f^7(a+iw) -$	0.001
$nS_u =$	6672.631	$S_u +$	26690.524

$$\iint_{1873 \text{ Jan. } 15} f(l) dl^2 = -205313.84$$

Für die Anwendung der zweiten Formel G_n pag. 59 ergibt sich, indem man $m = +0.25$ setzt:

d	0	2	4	6
$f^d(a+[i+\frac{1}{2}]w)$	+1004.840	+405.075	-91.730	+4.565
$\log f^d(a+[i+\frac{1}{2}]w)$	3.002007	2.60467	1 _n 96251	0.6504
$\log P_2^d(m)$	8 _n 017729	7.70848	7 _n 07825	6.4385

d	1	3	5	7
$\log f^d(a+[i+\frac{1}{2}]w)$	3 _n 244386	1.3128	1.5911	1 _n 1452
$\log P_2^d(m)$	8.710699	7 _n 5254	6.6274	5 _n 8236

${}^n f(a+[i+\frac{1}{2}]w) =$	211912.555	${}^n f(a+[i+\frac{1}{2}]w) =$	26517.610
$P_2^0(m)f^1(a+[i+\frac{1}{2}]w) -$	10.467	$P_2^1(m)f^1(a+[i+\frac{1}{2}]w) -$	91.429
$P_2^2(m)f^2(a+[i+\frac{1}{2}]w) +$	2.530	$P_2^3(m)f^3(a+[i+\frac{1}{2}]w) -$	0.069
$P_2^4(m)f^4(a+[i+\frac{1}{2}]w) +$	0.110	$P_2^5(m)f^5(a+[i+\frac{1}{2}]w) +$	0.017
$P_2^6(m)f^6(a+[i+\frac{1}{2}]w) +$	0.001	$P_2^7(m)f^7(a+[i+\frac{1}{2}]w) +$	0.001
$S_g =$	211920.381	$S_u +$	26426.130
$mS_u +$	6606.532		

$$\iint_{1873 \text{ Jan. } 15} f(l) dl^2 = -205313.85$$

Die auf beide Arten erhaltenen Werthe des Doppelintegrals stimmen somit vollständig innerhalb der Unsicherheit der Rechnung; die Interpolation aus der obigen Integraltafel bestätigt ebenfalls das gefundene Resultat.

Soll das Doppelintegral für das Datum 1873 Jan. 21 bestimmt werden, so wird man hierzu die erste Formel G_{II} (pag. 59) verwenden können und $n = -0.10$ zu setzen haben. Die Rechnung stellt sich wie folgt:

d	0	2	4	6
$\log f^d(a+ir)$	2.104214	2.70359	1.8587	0.384
$\log Q_2^d n$	8.046125	7.61935	6.7095	5.901
d	1	3	5	7
$f^d(a+ir)$	- 1502.765	- 15.565	+ 37.790	- 10.565
$\log f^d(a+ir)$	3.176891	1.19215	1.5774	1.024
$\log Q_2^d n$	8.012045	8.17612	7.4917	6.830
${}^{II}f(a+ir) =$	198653.750		$f(a+ir) =$	26581.170
$Q_2^0(n)f^I(a+ir) +$	11.229	$Q_2^1(n)f^I(a+ir) +$	122.726	
$Q_2^2(n)f^{III}(a+ir) -$	2.103	$Q_2^3(n)f^{III}(a+ir) -$	0.233	
$Q_2^4(n)f^{IV}(a+ir) -$	0.037	$Q_2^5(n)f^{IV}(a+ir) -$	0.117	
$Q_2^6(n)f^{VI}(a+ir)$	0	$Q_2^7(n)f^{VII}(a+ir) -$	0.007	
$S_g =$	198644.661		$S_u =$	26703.539
$nS_u =$	2670.354			

$$\iint_{1873 \text{ Jan. } 21} f \, l \, d^2 = - 201315.01$$

welches Resultat durch die obige Integraltafel leicht bestätigt werden kann.

Für 1873 Jan. 9 muss die zweite Formel G_{II} (pag. 59) in Anwendung gebracht werden und es ist $m = +0.10$ zu setzen:

d	0	2	4	6	8
$f^d(a+[i+\frac{1}{2}]w) +$	1004.840	+ 105.075	- 91.730	+ 4.565	+ 8.465
$\log f^d(a+[i+\frac{1}{2}]w)$	3.002097	2.694671	1.9625	0.6594	0.9276
$\log P_2^d m$	8.564271	7.915576	7.2504	6.5973	5.9533
d	1	3	5	7	
$f^d(a+[i+\frac{1}{2}]w)$	3.244386	1.3128	1.5911	1.1452	
$\log P_2^d(m)$	8.636822	7.4800	6.5877	5.7862	
${}^{II}f(a+[i+\frac{1}{2}]w) =$	211912.555		$f(a+[i+\frac{1}{2}]w) =$	26517.610	
$P_2^0(m)f^I(a+[i+\frac{1}{2}]w) -$	36.844	$P_2^1(m)f^I(a+[i+\frac{1}{2}]w) =$	76.069		
$P_2^2(m)f^{III}(a+[i+\frac{1}{2}]w) +$	4.076	$P_2^3(m)f^{III}(a+[i+\frac{1}{2}]w) =$	0.062		
$P_2^4(m)f^{IV}(a+[i+\frac{1}{2}]w) +$	0.163	$P_2^5(m)f^{IV}(a+[i+\frac{1}{2}]w) =$	0.015		
$P_2^6(m)f^{VI}(a+[i+\frac{1}{2}]w) +$	0.002	$P_2^7(m)f^{VII}(a+[i+\frac{1}{2}]w) =$	0.001		
$P_2^8(m)f^{VIII}(a+[i+\frac{1}{2}]w) -$	0.001				
$S_g =$	211945.159			$S_u =$	26441.495
$mS_u =$	2644.149				

$$\iint_{1873 \text{ Jan. } 9} f \, l \, d^2 = - 209301.01$$

Die directe Interpolation bestätigt dieses Resultat.

Weitere Beispiele zur Erläuterung der Anwendung der Q - und P -Tafeln zur Berechnung der Doppelintegrale erscheinen wohl nicht nöthig und ich gehe daher auf die Anwendung der Formeln über, welche zur Bestimmung der Anfangsconstante der 2^{ten} summirten Reihe dienen, nachdem über die Anfangsconstante der 1^{ten} summirten Reihe bereits früher Beispiele durchgeführt wurden. Der Rechnung lege ich das schon auf pag. 47 angesetzte Beispiel zu Grunde. Es soll die Anfangsconstante der 2^{ten} summirten Reihe für verschiedene Zeitgrenzen so bestimmt werden, dass das Integral für diese Datum (untere Grenzen) verschwindet.

Als erstes Beispiel wähle ich für die untere Grenze das Datum 1873 Dec. 31 und knüpfe daran die Bedingung, dass das Doppelintegral für diese Grenze verschwindet. Die Formel A_n (pag. 53) gibt für ${}^n f(a)$, welcher Werth auf die Zeile 1874 Jan. 20 zu setzen ist:

$$\begin{aligned} + \frac{1}{24} f' a - w &= - 0''1532.1 \\ - \frac{1}{5760} \left[2f'' a - w + f'' a \right] &= - 0.0028.8 \\ + \frac{367}{967680} \left[3f''' a - w + 2f''' a \right] &= - 0.0001.1 \\ {}^n f(a) &= - 0''1562 ; \end{aligned}$$

soll aber das Doppelintegral für 1874 Jan. 20 verschwinden, so gibt die Formel B_n (pag. 53) für ${}^n f(a)$, welcher Werth wieder auf die Zeile 1874 Jan. 20 zu setzen ist:

$$\begin{aligned} - \frac{1}{12} f' a &= + 0''0886.6 \\ + \frac{1}{240} f'' a &= + 0.0005.8 \\ - \frac{31}{60480} f''' a &= + 0.0000.1 \\ {}^n f(a) &= + 0''0892 . \end{aligned}$$

Setzt man nun die so ermittelten Anfangsconstanten als Anfangswerth in die zweite summirte Reihe und ebenso die zugehörigen auf pag. 47 ermittelten Werthe für die erste summirte Reihe, bildet das Summationschema für jeden Fall und berechnet dann nach den Formeln A_n und B_n (pag. 53) den Werth der Integrale für die zwei Grenzen, so wird man sich leicht überzeugen, dass in der That die Werthe dieser Integrale für die angesetzten Grenzen Null werden, welche Controle für die Richtigkeit der Bestimmung der Anfangsconstanten stets vorgenommen werden kann. Man wird für den ersten Fall (1873 Dec. 31), indem ich nur die Argumentwerthe und die dadurch gebildete Summationsreihe anführe und mich wegen der Differenzwerthe auf die pag. 47 mitgetheilten Zahlen beziehe, und, um überdies die Stellung der Anfangsconstanten hervorzuheben, dieselben in eckige Klammern setze, erhalten:

$$\begin{array}{rcccl} & {}^n f & f' & f & \\ 1873 \text{ Nov. } 1 & - 3''6139 & & - 5''8714 & \\ & & + 3.5671 & & \\ \text{„ Dec. } 11 & - 0.0465 & & - 3.6771 & \\ & & [- 0.1097] & & \end{array}$$

$$\begin{array}{rcl}
 {}^u f & f & f \\
 1874 \text{ Jan. } 20 & = 0.1562 & 1.0639 \\
 & - 1.1736 & \\
 \text{„ März } 1 & = 1.3298 & + 1.6877
 \end{array}$$

Man findet dann durch Anwendung der Formel A_i pag. 35 für das einfache Integral für die Grenze 1873 Dec. 31:

$$\begin{aligned}
 & {}^1 f(a + [i + \tfrac{1}{2}]w) = - 0.1097 \\
 & + \frac{1}{24} f''(a + [i + \tfrac{1}{2}]w) = + 0.1088,8 \\
 & - \frac{17}{5760} f'''(a + [i + \tfrac{1}{2}]w) = + 0.0008,3 \\
 & + \frac{367}{96 \cdot 680} f^{(4)}(a + [i + \tfrac{1}{2}]w) = + 0.0000,3 \\
 & \int_{1873 \text{ Dec. } 31} f(l) dl = 0''0000 ;
 \end{aligned}$$

für das Doppelintegral nach A_{ii} (pag. 53):

$$\begin{aligned}
 & {}^u f(a + [i + \tfrac{1}{2}]w) = - 0''1013,5 \\
 & - \frac{1}{24} f''(a + [i + \tfrac{1}{2}]w) = + 0.0987,7 \\
 & + \frac{17}{1920} f'''(a + [i + \tfrac{1}{2}]w) = + 0.0024,6 \\
 & - \frac{367}{193536} f^{(4)}(a + [i + \tfrac{1}{2}]w) = + 0.0001,1 \\
 & \iint_{1873 \text{ Dec. } 31} f(l) dl^2 = 0''0000 .
 \end{aligned}$$

so dass in der That die Anfangswerthe der summirten Reihen als richtig erwiesen sind.

Für das Datum 1874 Jan. 20 wird mit Rücksicht auf die obigen Werthe pag. 47 u. 63 das folgende Summationsschema sich ergeben:

$$\begin{array}{rcl}
 {}^u f & f & f \\
 1872 \text{ Novbr. } 1 & = 5''1083 & - 5''8714 \\
 & & + 4''1373 \\
 \text{„ Decbr. } 11 & = 0.6710 & - 3.6771 \\
 & & + 0.7602 \\
 1874 \text{ Jan. } 20 & + 0.0892 & - 1.0639 \\
 & - 0.3037 & \\
 \text{„ März } 1 & = 0.2145 & + 1.6877
 \end{array}$$

Mittelst der Formel B_i pag. 35 findet man:

$$\begin{aligned}
 & {}^1 f(a + iw) = + 0''2282,5 \\
 & - \frac{1}{12} f''(a + iw) = - 0.2235,3 \\
 & + \frac{11}{240} f'''(a + iw) = - 0.0044,4 \\
 & - \frac{191}{60480} f^{(4)}(a + iw) = - 0.0002,4 \\
 & + \frac{2497}{3628800} f^{(5)}(a + iw) = - 0.0000,3 \\
 & \int_{1874 \text{ Jan. } 20} f(l) dl = 0''0000
 \end{aligned}$$

und durch Anwendung der Formel B_n (pag. 53) :

$$\begin{aligned}
 {}^u f(a+iw) &= + 0.0892,0 \\
 + \frac{1}{12} f'(a+iw) &= - 0.0886,6 \\
 - \frac{1}{240} f''(a+iw) &= - 0.0005,8 \\
 + \frac{31}{60480} f'''(a+iw) &= - 0.0000,1 \\
 \iint_{1873 \text{ Jan. } 20} f(t) dt^2 &= 0.0000
 \end{aligned}$$

Als Beispiel der Anwendung der Formeln H_n (pag. 59) endlich soll die Anfangsconstante so bestimmt werden, dass das einfache und doppelte Integral für die Grenze 1874 Jan. 10 verschwindet; die Bestimmung der Anfangsconstante $[f(a - \frac{1}{2}w)]$ ist bereits dieser Bedingung gemäss auf pag. 48 durchgeführt und es erübrigt nur die Bestimmung von ${}^u f(a)$. Man erhält hierfür nach H_n (pag. 59), indem man beachtet, dass beide Formeln mit gleicher Berechtigung in Anwendung gezogen werden können, zuerst, wenn man $n = -0.25$ setzt:

d	0	2	3
$\log f^d(a)$	$0_n 026901$	9.14114	$8_n 2923$
$\log Q_2^d(n)$	9.059121	$7_n 60248$	6.6984

d	1	3	5	7
$f^d(a)$	$+ 2.682,10$	$- 0.29030$	$+ 0.07710$	$- 0.03880$
$\log f^d(a)$	0.428524	$9_n 46285$	8.8871	$8_n 589$
$\log Q_2^d(n)$	$8_n 862827$	8.13271	$7_n 4501$	6.789

$$\begin{aligned}
 Q_2^0(n) f^d(a) &= - 0.1219,1 & f^d(a - \tfrac{1}{2}w + \tfrac{1}{2}f^d(a)) &= - 0.1227,5 \text{ pag. 48.} \\
 Q_2^2(n) f''(a) &= - 0.0005,5 & Q_2^1(n) f'(a) &= - 0.1955,9 \\
 Q_2^4(n) f^{iv}(a) &= - 0.0000,1 & Q_2^3(n) f'''(a) &= - 0.0039,4 \\
 S_y &= - 0.1224,7 & Q_2^5(n) f^{v}(a) &= - 0.0002,2 \\
 n S_u &= + 0.0806,3 & Q_2^7(n) f^{vii}(a) &= - 0.0000,2 \\
 {}^u f(a) &= + 0.0418 & S_u &= - 0.3225,2
 \end{aligned}$$

Durch Benützung der zweiten Formel ($m = +0.25$) findet sich :

d	0	2	4
$f^d(a - \tfrac{1}{2}w)$	$- 2.37050$	$+ 0.27865$	$- 0.05695$
$\log f^d(a - \tfrac{1}{2}w)$	$0_n 374840$	9.44506	$8_n 7555$
$\log P_2^d(m)$	$8_n 017729$	7.70848	$7_n 0783$

d	1	3	5
$\log f^d(a - \tfrac{1}{2}w)$	0.417173	$9_n 44793$	8.8733
$\log P_2^d(m)$	8.716699	$7_n 52542$	6.0274

$$\begin{aligned}
P_2^0(m)f'(a-\tfrac{1}{2}w) &= + 0.0246,9 & f'(a-\tfrac{1}{2}w) &= + 0.1092,0 \text{ (p. 48)} \\
P_2^2(m)f''(a-\tfrac{1}{2}w) &= + 0.0014,2 & P_2^1(m)f'(a-\tfrac{1}{2}w) &= + 0.1361,0 \\
P_2^1(m)f'''(a-\tfrac{1}{2}w) &= + 0.0000,7 & P_2^3(m)f'''(a-\tfrac{1}{2}w) &= + 0.0009,4 \\
S_g &= + 0.0261,8 & P_2^5(m)f^{(5)}(a-\tfrac{1}{2}w) &= + 0.0000,3 \\
mS_u &= + 0.1365,7 & S_u &= + 0.5462,7 \\
{}^{11}f(a-\tfrac{1}{2}w) &= - 0.1627,5 \\
\tfrac{1}{2}({}^{11}f(a-\tfrac{1}{2}w) &= + 0.2046,0 \\
{}^{11}f(a) &= + 0.0418.
\end{aligned}$$

mit dem obigen Werthe völlig übereinstimmend.

Das Summationsschema wird also, mit Weglassung der Differenzwerthe:

	${}^{11}f$	f	f
1873 Nov. 1	— 1.4537		— 5.8714
" Dec. 11	— 0.3674	+ 4.0863	— 3.6771
		[+ 0.4092]	
1874 Jan. 20	[+ 0.0418]	— 0.6547	— 1.0639
" März 1	— 0.6129		+ 1.6877

Bestimmt man nun nach den Formeln G_{11} und G_{10} (pag. 42, 59) die Werthe der Integrale für 1874 Jan. 10. so überzeugt man sich leicht, dass das einfache und doppelte Integral in der That für die angenetzte Grenze verschwindet.

Anhang.

Es wird sich bei der Ermittlung der speciellen Störungswerthe häufig der Fall ereignen, dass man den Werth eines einfachen oder doppelten Integrales kennen muss, der die Grenzen der durch die vorausgehenden Rechnungen erhaltenen Störungswerthe überschreitet; es ist klar, dass eine genaue Annahme in diesem Falle nicht gemacht werden kann, doch genügen in den meisten Fällen ganz beiläufige Näherungen. Wie die letzteren erhalten werden können, ist der Gegenstand der folgenden Auseinandersetzungen.

Sei $f^d(m)$ irgend ein Differenzwerth der d^{ten} Differenzreihe, so wird der diesem Werthe in der Richtung der Fortschreitung folgende Werth sein:

$$f^d(m+1) = f^d(m) + f^{d+1}(m-\tfrac{1}{2}) + f^{d+2}(m-1) + f^{d+3}(m-\tfrac{3}{2}) + \dots,$$

welcher Ausdruck völlig bekannte Differenzwerthe enthält, und eine genügende Annäherung erreichen lässt, da ja vorausgesetzt wird, dass die Berechnung der vorgelegten Funktion innerhalb hinreichend enger Intervalle ausgeführt, oder allgemein, dass die Funktion nach Potenzen des Argumentes entwickelt ist.

Wollte man die Rechnung rückwärts fortsetzen, so wird man, sich auf bekannte Differenzwerthe beschränkend, haben:

$$f^d(m-1) = f^d(m) - f^{d+1}(m+\tfrac{1}{2}) + f^{d+2}(m+1) - f^{d+3}(m+\tfrac{3}{2}) + \dots$$

Indem man auf das Intervall $f^d(m \pm 2)$, wo das Zeichen je nach der Richtung des Fortschreitens zu nehmen ist, übergeht, hat man vorerst für das obere Zeichen:

$$f^d(m+2) = f^d(m+1) + f^{d+1}(m+\frac{1}{2}) + f^{d+2}(m) + f^{d+3}(m-\frac{1}{2}) \dots$$

wo jetzt rechter Hand noch unbekannte Differenzwerthe vorkommen. Man beachtet, dass ist:

$$\begin{aligned} f^d(m+1) &= f^d(m) + f^{d+1}(m-\frac{1}{2}) + f^{d+2}(m-1) + f^{d+3}(m-\frac{3}{2}) + \dots \\ f^{d+1}(m+\frac{1}{2}) &= f^{d+1}(m-\frac{1}{2}) + f^{d+2}(m-1) + f^{d+3}(m-\frac{3}{2}) + \dots \\ f^{d+2}(m) &= f^{d+2}(m-1) + f^{d+3}(m-\frac{3}{2}) + \dots \\ f^{d+3}(m-\frac{1}{2}) &= f^{d+3}(m-\frac{3}{2}) + \dots \\ &\dots \dots \dots \end{aligned}$$

und findet daher leicht:

$$f^d(m+2) = f^d(m) + 2f^{d+1}(m-\frac{1}{2}) + 3f^{d+2}(m-1) + 4f^{d+3}(m-\frac{3}{2}) + \dots$$

und für die Fortsetzung der Funktionswerthe nach rückwärts:

$$f^d(m-2) = f^d(m) - 2f^{d+1}(m+\frac{1}{2}) + 3f^{d+2}(m+1) - 4f^{d+3}(m+\frac{3}{2}) + \dots$$

oder allgemein zum Uebergang auf einen beliebigen Differenzwerth:

$$f^d(m \pm n) = f^d(m) \pm n f^{d+1}(m \mp \frac{1}{2}) + \frac{n(n+1)}{1 \cdot 2} f^{d+2}(m \mp 1) \pm \frac{n(n+1)(n+2)}{1 \cdot 2 \cdot 3} f^{d+3}(m \mp \frac{3}{2}) + \dots \quad (1)$$

welches Resultat übrigens sofort aus der Newton'schen Interpolationsformel erhalten werden kann. Mit Hilfe dieser Formel wird man sich also ohne Schwierigkeit die im Differenzschema noch fehlenden Differenzwerthe direct bilden können. Ich ziehe dieses Verfahren dem sonst üblichen vor, die Differenzen mit Rücksicht auf den Gang der Funktion im Voraus zu bilden.

Ein specieller Fall, der bei der Methode der Variation der Constanten in Betracht kommt, lässt sich direct noch etwas einfacher erledigen, indem man unmittelbar zur Kenntniss des geforderten Integralwerthes gelangt.

Es sei die Rechnung bis zu dem Intervalle $(a+iw)$ vorgeschritten und es wird das einfache Integral der vorgelegten Funktion für das Argument $(a+[i+1]w)$ gefordert. Man hat hierfür zunächst die Formel:

$$\int_a^{a+[i+1]w} f(l) dl = w \left\{ f(a+[i+1]w) - \frac{1}{12} f'(a+[i+1]w) + \frac{11}{720} f'''(a+[i+1]w) - \dots \right\}$$

Lässt man, was völlig gestattet ist, in diesem Falle die aus den dritten Differenzen resultirende Correction des Integrales weg und beachtet, dass ist, indem wir mit im Differenzschema wirklich vorkommenden Grössen zu thun haben:

$$\begin{aligned} f(a+[i+1]w) &= \frac{1}{2} f(a+[i+\frac{1}{2}]w) + \frac{1}{2} f(a+[i+\frac{3}{2}]w) \\ f'(a+[i+1]w) &= \frac{1}{2} f'(a+[i+\frac{1}{2}]w) + \frac{1}{2} f'(a+[i+\frac{3}{2}]w), \end{aligned}$$

so erhält man leicht nach (1), da $f(a+[i+\frac{1}{2}]w)$ schon durch die Summation

selbst gegeben ist, die vorkommenden Funktionswerthe durch bekannte Zahlen ausdrückend:

$$\begin{aligned} f(a + [i + \frac{3}{2}]w) &= f(a + [i + \frac{1}{2}]w) + f(a + iw) + f(a + [i - \frac{1}{2}]w) + \\ &\quad + f''(a + [i - 1]w) + \dots \\ f'(a + [i + \frac{1}{2}]w) &= f'(a + [i - \frac{1}{2}]w) + f''(a + [i - 1]w) + f'''(a + [i - \frac{3}{2}]w) + \dots \\ f''(a + [i + \frac{3}{2}]w) &= f''(a + [i - \frac{1}{2}]w) + 2f'''(a + [i - 1]w) + 3f^{(4)}(a + [i - \frac{3}{2}]w) + \dots \end{aligned}$$

Setzt man diese Werthe in die obige Integralformel ein, so findet man:

$$\begin{aligned} \int_a^{a+(i+1)w} f(t) dt &= w \left\{ f(a + [i + \frac{1}{2}]w) + \frac{1}{2}f(a + iw) \right\} + \\ &\quad + \frac{w}{24} \left\{ 10f''(a + [i - \frac{1}{2}]w) + 9f''(a + [i - 1]w) + 8f'''(a + [i - \frac{3}{2}]w) + \right. \\ &\quad \left. + 7f^{(4)}(a + [i - 2]w) + \dots \right\} \quad (2) \end{aligned}$$

Würde man dieses Verfahren für die Fortsetzung der Rechnung nach rückwärts benützen, so erhielte man:

$$\begin{aligned} \int_a^{a+(i-1)w} f(t) dt &= w \left\{ f(a + [i - \frac{1}{2}]w) - \frac{1}{2}f(a + iw) \right\} \\ &\quad + \frac{w}{24} \left\{ 10f''(a + [i + \frac{1}{2}]w) - 9f''(a + [i + 1]w) + 8f'''(a + [i + \frac{3}{2}]w) - \right. \\ &\quad \left. - 7f^{(4)}(a + [i + 2]w) + \dots \right\} \quad (3) \end{aligned}$$

welche Formeln in der Anwendung wegen der einfachen Zahlencoefficienten Vortheile bieten.

Ermittlung der speciellen Störungen.

§ 1. Allgemeines und Entwicklung der Grundgleichungen.

Die Methoden der Bahnbestimmung, die im ersten Bande vorgetragen wurden, haben die störende Wirkung der Planeten auf die Bewegung des in Betracht kommenden Himmelskörpers nicht berücksichtigt; der Einfluss dieser letzteren wird jedoch, wenn man die Bewegung desselben durch eine längere Zeit verfolgt, sehr merklich, und kann dann ohne Nachtheil für die Genauigkeit der Bahnbestimmung nicht übergangen werden. Die Berechnung dieser störenden Einwirkung kann aber, wie es in der Einleitung zum ersten Bande angedeutet wurde, nach zwei wesentlich verschiedenen Formen durchgeführt werden, indem man einerseits von einem Punkte der Bahn ausgehend, an dem der Ort und die Bewegung gleiche Tangente, in der gestörten und ungestörten Bahn identisch sind, die Störungen Schritt für Schritt verfolgt und deren Anwachsen successive berechnet; man nennt diese Art der Berechnung die Methode der speciellen Störungen, und diejenigen Elemente, die für einen gegebenen Augenblick den Ort und die Bewegung des Himmelskörpers identisch mit der gestörten finden lassen, die osculirenden Elemente. Andererseits kann man aber die Zeit unbestimmt lassen, indem man die in Betracht kommenden Störungswerthe als Funktionen der unbestimmt gelassenen Zeit darstellt. Die Ermittlung der Coefficienten dieser Funktionen stösst aber in der Regel, wenn die Excentricitäten und Neigungen der Bahnen nicht klein sind, auf ganz erhebliche Schwierigkeiten und deren Ermittlung ist nach den bisherigen Methoden sehr zeitraubend und kann bisweilen in Folge des Anwachsens der Rechnungsoperationen zu einem übermässigen Umfange, als nahezu unausführbar bezeichnet werden. Jedoch bietet diese Methode in ihrer Anwendung auf die grossen Planeten, wo es sich darum handelt, die Störungen durch Jahrhunderte zu verfolgen, ganz wesentliche Vortheile und gewährt manchen Einblick in den Mechanismus des Sonnensystems, der bei der Anwendung der speciellen Störungen nicht möglich wäre. Da aber für die nächsten Zwecke des vorliegenden Lehrbuches die Auseinandersetzung der speciellen Störungen genügt, so werde ich mich hier auf dieselbe beschränken.

Auf pag. 10 des ersten Bandes wurden die Kräfte, mit der die Sonne und der in Betracht kommende Himmelskörper auf einander wirken, gefunden:

$$X_0 = -k^2 (1+m) \frac{x}{r^3}$$

$$Y_0 = -k^2 (1+m) \frac{y}{r^3}$$

$$Z_0 = -k^2 (1+m) \frac{z}{r^3}$$

wobei gesetzt ist:

$$r^2 = x^2 + y^2 + z^2,$$

überdiess stellt m die Masse des Himmelskörpers in Einheiten der Sonnenmasse und k die bekannte Constante des Sonnensystems vor.

Tritt nun ein dritter Körper hinzu, dessen Coordinaten x_1, y_1, z_1 sind, und dessen Masse m_1 in Einheiten der Sonnenmasse ist, so wird die Wirkung dieses störenden Planeten in der Entfernung q und in der Zeiteinheit sein:

$$\frac{km_1}{q^2},$$

wobei q berechnet wird nach:

$$q^2 = (x_1 - x)^2 + (y_1 - y)^2 + (z_1 - z)^2.$$

Zerlegt man die eben hingeschriebene Gesamtwirkung nach den Coordinaten-Achsen und bedenkt, dass die Cosinus der Winkel, welche die Linie q mit den drei Achsen einschliesst, der Reihe nach durch:

$$\frac{x_1 - x}{q}, \frac{y_1 - y}{q}, \frac{z_1 - z}{q}$$

dargestellt werden, so erhält man die Kräfte, die der störende Planet auf den gestörten Himmelskörper direct ausübt, für die drei Achsen

$$k^2 m_1 \frac{x_1 - x}{q^3}, k^2 m_1 \frac{y_1 - y}{q^3}, k^2 m_1 \frac{z_1 - z}{q^3}.$$

Doch muss noch eine weitere indirecte Einwirkung berücksichtigt werden; da die Bewegung auf den Mittelpunkt der Sonne als Anfangspunkt der Coordinaten bezogen wird, so muss man noch die Kräfte in Rechnung ziehen, welche der störende Planet auf die Sonne ausübt. Bezeichnet man mit r_1 die heliocentrische Entfernung desselben, also seinen Radiusvector, so ist:

$$r_1^2 = x_1^2 + y_1^2 + z_1^2.$$

und die die Sonne bewegenden Kräfte sind:

$$k^2 m_1 \frac{x_1}{r_1^3}, k^2 m_1 \frac{y_1}{r_1^3}, k^2 m_1 \frac{z_1}{r_1^3}.$$

die naturgemäss von den obigen in Abzug gebracht werden müssen, um die relative Bewegung gegen das Sonnencentrum zu erhalten; hiermit wird also als das Resultat der Einwirkung des störenden Planeten zu setzen sein:

$$\begin{aligned} X &= k^2 m_1 \left\{ \frac{x_1 - x}{q^3} - \frac{x_1}{r_1^3} \right\} \\ Y &= k^2 m_1 \left\{ \frac{y_1 - y}{q^3} - \frac{y_1}{r_1^3} \right\} \\ Z &= k^2 m_1 \left\{ \frac{z_1 - z}{q^3} - \frac{z_1}{r_1^3} \right\} . \end{aligned}$$

Würde man weitere störende Planeten berücksichtigen, so ist es klar, dass ganz ähnliche Ausdrücke für die Kräfte entstehen, die sich nur dadurch unterscheiden, dass die entsprechend abgeänderten Massen und Coordinaten in Rechnung zu ziehen sind; man wird also erhalten:

$$\begin{aligned} X &= k^2 m_1 \left\{ \frac{x_1 - x}{q_1^3} - \frac{x_1}{r_1^3} \right\} + k^2 m_2 \left\{ \frac{x_2 - x}{q_2^3} - \frac{x_2}{r_2^3} \right\} + k^2 m_3 \left\{ \frac{x_3 - x}{q_3^3} - \frac{x_3}{r_3^3} \right\} + \dots \\ &= \Sigma k^2 m_1 \left\{ \frac{x_1 - x}{q^3} - \frac{x_1}{r_1^3} \right\} \\ Y &= k^2 m_1 \left\{ \frac{y_1 - y}{q_1^3} - \frac{y_1}{r_1^3} \right\} + k^2 m_2 \left\{ \frac{y_2 - y}{q_2^3} - \frac{y_2}{r_2^3} \right\} + k^2 m_3 \left\{ \frac{y_3 - y}{q_3^3} - \frac{y_3}{r_3^3} \right\} + \dots \\ &= \Sigma k^2 m_1 \left\{ \frac{y_1 - y}{q^3} - \frac{y_1}{r_1^3} \right\} \\ Z &= k^2 m_1 \left\{ \frac{z_1 - z}{q_1^3} - \frac{z_1}{r_1^3} \right\} + k^2 m_2 \left\{ \frac{z_2 - z}{q_2^3} - \frac{z_2}{r_2^3} \right\} + k^2 m_3 \left\{ \frac{z_3 - z}{q_3^3} - \frac{z_3}{r_3^3} \right\} + \dots \\ &= \Sigma k^2 m_1 \left\{ \frac{z_1 - z}{q^3} - \frac{z_1}{r_1^3} \right\} , \end{aligned}$$

und da:

$$\begin{aligned} \frac{d^2 x}{dt^2} &= X_o + X \\ \frac{d^2 y}{dt^2} &= Y_o + Y \\ \frac{d^2 z}{dt^2} &= Z_o + Z \end{aligned}$$

ist, so erhält man als Grundgleichungen der gesamten Störungstheorie:

$$\begin{aligned} \frac{d^2 x}{dt^2} + k^2 (1 + m) \frac{x}{r^3} &= \Sigma k^2 m_1 \left\{ \frac{x_1 - x}{q^3} - \frac{x_1}{r_1^3} \right\} \\ \frac{d^2 y}{dt^2} + k^2 (1 + m) \frac{y}{r^3} &= \Sigma k^2 m_1 \left\{ \frac{y_1 - y}{q^3} - \frac{y_1}{r_1^3} \right\} \\ \frac{d^2 z}{dt^2} + k^2 (1 + m) \frac{z}{r^3} &= \Sigma k^2 m_1 \left\{ \frac{z_1 - z}{q^3} - \frac{z_1}{r_1^3} \right\} , \end{aligned}$$

welche man jedoch, in Anbetracht, dass die Massen derjenigen Himmelskörper, auf die die Störungsrechnung nach der hier vorgetragenen Methode zur Anwendung kommt, stets der Null gleichgesetzt werden dürfen, in der folgenden einfacheren Form schreiben kann:

$$\begin{aligned} \frac{d^2 x}{dt^2} + k^2 \frac{x}{r^3} &= \Sigma k^2 m_1 \left\{ \frac{x_1 - x}{q^3} - \frac{x_1}{r_1^3} \right\} \\ \frac{d^2 y}{dt^2} + k^2 \frac{y}{r^3} &= \Sigma k^2 m_1 \left\{ \frac{y_1 - y}{q^3} - \frac{y_1}{r_1^3} \right\} \\ \frac{d^2 z}{dt^2} + k^2 \frac{z}{r^3} &= \Sigma k^2 m_1 \left\{ \frac{z_1 - z}{q^3} - \frac{z_1}{r_1^3} \right\} \end{aligned} \quad 1$$

Vergleicht man diese Grundgleichungen der Störungstheorie mit jenen, welche für das Problem zweier Körper gelten (Band I pag. 40 (1)), so findet man linker Hand vom Gleichheitszeichen eine völlige Uebereinstimmung, rechter Hand aber steht anstatt der Null die Summe der störenden Kräfte. Je kleiner aber die störenden Massen m_1 sind, um so mehr wird sich der Ausdruck rechter Hand der Null annähern, und da die Massen der Planeten in Theilen der Sonnenmasse genommen kleine Grössen sind, so wird diese Ueberlegung sofort den Schluss erlauben, dass in der That in der ersten Annäherung die Störungen vernachlässigt werden können, ohne dass das erlangte Resultat allzusehr von der Wahrheit abweichen würde. Man wird jedoch hierbei noch in Erwägung ziehen müssen, dass die Ausdrücke rechter Hand selbst bei der Kleinheit der Massen bedeutende Werthe erlangen können, wenn die Nenner q und r_1 sehr klein werden; die Kleinheit von r_1 hat vorerst keine Bedeutung in unserem Sonnensystem, wohl aber kann besonders für Kometenbahnen unter Umständen q ganz ausserordentlich klein werden; in der That findet man Beispiele, wo Kometenbahnen durch die störende Einwirkung der Planeten total geändert wurden; es ist sogar einigermaßen wahrscheinlich, dass die Kometen von kurzer Umlaufzeit ihre stark von der Parabel abweichenden Bahnen hierdurch erhalten haben. Die für die Kometen gemachte Bemerkung gilt ebenfalls für die Trabanten, bei denen in Folge der Kleinheit von q nicht einmal die Differentialgleichung für die ungestörte Bewegung um die Sonne eine Näherung abgeben würde, und man bei Weitem brauchbarere Näherungen erhält, wenn man die Gleichungen so umsetzt, dass die Sonne als störender Körper auftritt, dessen Einfluss in der ersten Näherung übergangen werden kann.

Die Gleichungen 1 (pag. 71) lassen sofort erkennen, dass man dieselben in zwei wesentlich verschiedenen Formen für die Rechnung benützen kann; einerseits wird man die Störungen in den Coordinaten selbst berechnen können, wobei die Wahl der Coordinaten noch dem Ermessen überlassen bleibt, andererseits weiss man, dass die obigen drei Differentialgleichungen zweiter Ordnung, falls keine Störungen vorhanden sind, sechs Constanten, die Elemente, enthalten, durch deren entsprechende Variation offenbar erreicht werden kann, dass den Störungsgleichungen genügt wird. Beide Arten der Lösung sollen im Folgenden auseinandergesetzt und vorerst die Störung in den Coordinaten entwickelt werden, wobei die zwei Hauptmethoden in Betracht kommen, je nachdem man die rechtwinkligen oder die polaren Coordinaten wählt.

A). Encke's Methode der Berechnung der speciellen Störungen.

§ 2. Transformation der Grundgleichungen.

Encke's Methode der Störungsrechnung beruht auf der unmittelbaren Verwendung der obigen Störungsgleichungen; dieselbe wurde durch Encke unabhängig von Bond aufgefunden; wiewohl Bond in der Auffindung der Methode das

Prioritätsrecht unbezweifelt in Anspruch nehmen kann, so geben doch die lichtvolle Darstellung der Methode, die vorgenommenen zweckentsprechenden Transformationen und die glückliche Anwendung Encke das unbestrittene Verdienst, dieselbe der Praxis zugeführt zu haben; man kann daher diese Methode in der gegenwärtigen Form wohl an Encke's Namen knüpfen.

Encke's Methode ermittelt die Störungen in den rechtwinkligen Coordinaten. Bezeichnet man die ungestörten, auf ein fixes in den Sonnenmittelpunkt als Anfangspunkt gelegtes Coordinatensystem bezogenen, Coordinaten mit x_0, y_0, z_0 , die Störungen in den einzelnen Coordinaten mit ξ, η, ζ , so sind die thatsächlich stattfindenden, also gestörten, Coordinaten x, y, z dargestellt durch:

$$\left. \begin{aligned} x &= x_0 + \xi \\ y &= y_0 + \eta \\ z &= z_0 + \zeta \end{aligned} \right\} \quad 1)$$

Die zweimalige Differentiation dieser Gleichungen nach der Zeit giebt:

$$\left. \begin{aligned} \frac{d^2 x}{dt^2} - \frac{d^2 x_0}{dt^2} &= \frac{d^2 \xi}{dt^2} \\ \frac{d^2 y}{dt^2} - \frac{d^2 y_0}{dt^2} &= \frac{d^2 \eta}{dt^2} \\ \frac{d^2 z}{dt^2} - \frac{d^2 z_0}{dt^2} &= \frac{d^2 \zeta}{dt^2} \end{aligned} \right\} \quad 2)$$

Bezeichnet man mit r_0 den ungestörten Radiusvector, so ist

$$r_0^2 = x_0^2 + y_0^2 + z_0^2,$$

und nach Band I pag. 40 hat man für die ungestörte Bewegung die Differentialgleichungen:

$$\begin{aligned} \frac{d^2 x_0}{dt^2} &= -k^2 \left(1 + m\right) \frac{x_0}{r_0^3} \\ \frac{d^2 y_0}{dt^2} &= -k^2 \left(1 + m\right) \frac{y_0}{r_0^3} \\ \frac{d^2 z_0}{dt^2} &= -k^2 \left(1 + m\right) \frac{z_0}{r_0^3}; \end{aligned}$$

Substituirt man diese Werthe in die Gleichungen (2) und führt in denselben für die zweiten Differentialquotienten der gestörten Coordinaten die auf pag. 71 gefundenen Gleichungen ein, so findet man sofort die Encke'schen Grundgleichungen:

$$\left. \begin{aligned} \frac{d^2 \xi}{dt^2} &= \Sigma k^2 m_1 \left\{ \frac{x_1 - x}{q^3} - \frac{x_1}{r_1^3} \right\} + k^2 \left(1 + m\right) \left\{ \frac{x_0}{r_0^3} - \frac{x}{r^3} \right\} \\ \frac{d^2 \eta}{dt^2} &= \Sigma k^2 m_1 \left\{ \frac{y_1 - y}{q^3} - \frac{y_1}{r_1^3} \right\} + k^2 \left(1 + m\right) \left\{ \frac{y_0}{r_0^3} - \frac{y}{r^3} \right\} \\ \frac{d^2 \zeta}{dt^2} &= \Sigma k^2 m_1 \left\{ \frac{z_1 - z}{q^3} - \frac{z_1}{r_1^3} \right\} + k^2 \left(1 + m\right) \left\{ \frac{z_0}{r_0^3} - \frac{z}{r^3} \right\} \end{aligned} \right\} \quad 3)$$

Die Berechnung der ersten Glieder rechts vom Gleichheitszeichen bietet im Allgemeinen wenig Schwierigkeit, doch sowohl in diesen Gliedern, als auch in den zweiten sind die Störungswerthe ξ, η, ζ , also jene Werthe selbst enthalten, die man

zu bestimmen sucht; doch ist es wesentlich zu bemerken, dass in den ersten Gliedern wegen des Factors m_1 die Substitution x_0, y_0, z_0 für x, y, z erlaubt erscheint, ohne dass man mehr als Glieder zweiter Ordnung vernachlässigt. Man kann demnach diese ersten Glieder, wenn man die Störungswerthe zweiter Ordnung übergehen will, direct berechnen, und bezeichnet dieselben deshalb als die directen Glieder; später wird aber gezeigt werden, wie man in diesen directen Gliedern auch die Störungswerthe zweiter und höherer Ordnung ohne Mühe aufnehmen kann.

Eine wesentliche Schwierigkeit bieten aber die zweiten Glieder; vorerst stehen dieselben in einer Form, die eine genaue Berechnung ohne Anwendung sehr grosser Tafeln nicht gestattet, und ferner bedarf man zu ihrer Ermittlung einer verhältnissmässig genauen Kenntniss der Störungswerthe; da diese Glieder in Folge des letzteren Umstandes nur durch eine indirecte Rechnung erlangt werden können, bezeichnet man dieselben als die indirecten Glieder.

Der erstere oben angeführte Nachtheil kann leicht genug behoben werden: man kann nämlich leicht finden, dass ist:

$$\left. \begin{aligned} \frac{x_0}{r_0^3} - \frac{x}{r^3} &= \frac{1}{r_0^3} \left\{ \left(1 - \frac{r_0^3}{r^3} \right) x - \xi \right\} \\ \frac{y_0}{r_0^3} - \frac{y}{r^3} &= \frac{1}{r_0^3} \left\{ \left(1 - \frac{r_0^3}{r^3} \right) y - \eta \right\} \\ \frac{z_0}{r_0^3} - \frac{z}{r^3} &= \frac{1}{r_0^3} \left\{ \left(1 - \frac{r_0^3}{r^3} \right) z - \zeta \right\} \end{aligned} \right\} \quad 4$$

und es ist dadurch zunächst der Vortheil erreicht, dass für alle drei Coordinaten das schwierig zu berechnende Glied auf den allen drei gemeinsamen Ausdruck: $1 - \frac{r_0^3}{r^3}$, reducirt erscheint.

Es ist offenbar:

$$r^2 = (x_0 + \xi)^2 + (y_0 + \eta)^2 + (z_0 + \zeta)^2,$$

also auch:

$$r^2 = r_0^2 + 2x_0\xi + \xi^2 + 2y_0\eta + \eta^2 + 2z_0\zeta + \zeta^2$$

und man wird daher schreiben können:

$$\frac{r^2}{r_0^2} = 1 + \frac{2}{r_0^2} \left\{ (x_0 + \frac{1}{2}\xi)\xi + (y_0 + \frac{1}{2}\eta)\eta + (z_0 + \frac{1}{2}\zeta)\zeta \right\} = 1 + 2q,$$

wobei q eine Grösse von der Ordnung der Störungen sein wird und bestimmt erscheint durch die Relation:

$$q = \frac{(x_0 + \frac{1}{2}\xi)\xi + (y_0 + \frac{1}{2}\eta)\eta + (z_0 + \frac{1}{2}\zeta)\zeta}{r_0^2}; \quad 5$$

es wird also:

$$\frac{r_0^3}{r^3} = (1 + 2q)^{-\frac{3}{2}}$$

sein, oder wenn man nach Potenzen von q entwickelt, so findet sich sofort:

$$\frac{r_0^3}{r^3} = 1 - 3q + \frac{3 \cdot 5}{1 \cdot 2} q^2 - \frac{3 \cdot 5 \cdot 7}{1 \cdot 2 \cdot 3} q^3 + \dots$$

Setzt man demnach:

$$f = 3 \left\{ 1 - \frac{5}{2} q + \frac{5 \cdot 7}{2 \cdot 3} q^2 - \frac{5 \cdot 7 \cdot 9}{2 \cdot 3 \cdot 4} q^3 + \dots \right\} \quad 6)$$

so wird sich f leicht mit Hilfe des Argumentes q berechnen lassen. Indem ich vorerst nicht darauf eingehe, wie die Berechnung dieser Tafel durchgeführt werden kann, bemerke ich nur, dass die Tafel XI mit dem Werthe q als Argument $\log f$ unmittelbar ergibt; als Grenzwerte für q sind -0.03 und $+0.03$ angenommen, was für alle Fälle, die bei dieser Methode eintreten können, mehr als ausreichend ist. Die Tafel selbst bedarf wohl kaum einer näheren Erläuterung; dieselbe ist auf 6 Decimalen beschränkt, da diese Genauigkeit selbst bei den umfassendsten Störungsrechnungen genügend erscheint.

Man kann daher mit Rücksicht auf (4) schreiben:

$$\begin{aligned} \frac{x_0}{r_0^3} - \frac{x}{r^3} &= \frac{1}{r_0^3} (f q x - \xi) \\ \frac{y_0}{r_0^3} - \frac{y}{r^3} &= \frac{1}{r_0^3} (f q y - \eta) \\ \frac{z_0}{r_0^3} - \frac{z}{r^3} &= \frac{1}{r_0^3} (f q z - \zeta); \end{aligned}$$

setzt man diese Ausdrücke in die Gleichungen 3 (pag. 73) ein und nimmt, da die Massen der Himmelskörper, die dieser Rechnungsmethode unterworfen werden, stets unmerklich sind,

$$m = 0$$

an, so erhalten die Gleichungen die folgende Gestalt:

$$\left. \begin{aligned} \frac{d^2 \xi}{dt^2} &= k^2 \Sigma m_1 \left\{ \frac{x_1 - x}{q^3} - \frac{x_1}{r_1^3} \right\} + \frac{k^2}{r_0^3} \left\{ f q x - \xi \right\} \\ \frac{d^2 \eta}{dt^2} &= k^2 \Sigma m_1 \left\{ \frac{y_1 - y}{q^3} - \frac{y_1}{r_1^3} \right\} + \frac{k^2}{r_0^3} \left\{ f q y - \eta \right\} \\ \frac{d^2 \zeta}{dt^2} &= k^2 \Sigma m_1 \left\{ \frac{z_1 - z}{q^3} - \frac{z_1}{r_1^3} \right\} + \frac{k^2}{r_0^3} \left\{ f q z - \zeta \right\} \end{aligned} \right\} \quad 7$$

Ehe ich diese Gleichungen weiter für die praktische Anwendung verwerte, will ich dieselben auf jene einfachere Form bringen, die dieselben annehmen, wenn man nur die ersten Potenzen der Störungen mitnehmen will; man hat dann offenbar:

$$\left. \begin{aligned} q &= \frac{x_0 \xi + y_0 \eta + z_0 \zeta}{r_0^2} \\ q^2 &= (x_1 - x_0)^2 + (y_1 - y_0)^2 + (z_1 - z_0)^2 \\ \frac{d^2 \xi}{dt^2} &= k^2 \Sigma m_1 \left\{ \frac{x_1 - x_0}{q^3} - \frac{x_1}{r_1^3} \right\} + \frac{k^2}{r_0^3} \left\{ 3 q x - \xi \right\} \\ \frac{d^2 \eta}{dt^2} &= k^2 \Sigma m_1 \left\{ \frac{y_1 - y_0}{q^3} - \frac{y_1}{r_1^3} \right\} + \frac{k^2}{r_0^3} \left\{ 3 q y - \eta \right\} \\ \frac{d^2 \zeta}{dt^2} &= k^2 \Sigma m_1 \left\{ \frac{z_1 - z_0}{q^3} - \frac{z_1}{r_1^3} \right\} + \frac{k^2}{r_0^3} \left\{ 3 q z - \zeta \right\} \end{aligned} \right\} \quad 8)$$

In vielen Fällen wird man mit diesen Gleichungen, die also der f -Tafel nicht bedürfen, eine genügende Genauigkeit erhalten; doch ist die Abkürzung der Rechnung nicht allzu bedeutend und es wird sich daher wohl empfehlen in der Regel

von den strengen Gleichungen (7) Gebrauch zu machen. Uebrigens lassen sich für den Fall, dass man nur die ersten Potenzen der störenden Massen berücksichtigen will, wesentlich bequemere Rechnungsformen angeben, auf die später eingegangen wird.

Ich werde nun zeigen, wie man ohne grosse Schwierigkeit die Werthe der f -Tafel herstellen kann. An sich würde schon die Anwendung der in (6) angegebenen Reihe nicht unbequem sein, doch würde man, um die letzte Stelle in der Tafel XI sicher zu stellen, einer zehnstelligen Rechnung bedürfen, welche wegen der dabei nothwendigen Interpolationen ziemlich beschwerlich ausfallen würde; ich werde demnach die Rechnungsoperationen so transformiren, dass man in der zehnstelligen Tafel jede Interpolation vermeidet. Vorerst will ich aber für f die geschlossene Form hinschreiben, die unter Umständen mit Vortheil benützt werden kann.

Man erhält zunächst:

$$f = 1 - \frac{(1 + 2q)^{-\frac{3}{2}}}{q};$$

schreibt man nun, um die Form $\frac{0}{0}$ zu vermeiden, die für unendlich kleine Werthe von q eintritt:

$$2q = \{1 + 2q - 1\} \{1 + 2q + 1\}$$

so erhält man:

$$\frac{1}{2}f = \frac{1 - (1 + 2q)^{-\frac{3}{2}}}{1 + 2q - 1} \cdot \frac{1}{1 + 1 + 2q};$$

führt man nun die, mit Rücksicht auf

$$\{1 - (1 + 2q)^{-\frac{3}{2}}\} : \{1 + 2q - 1\} = \frac{1}{1 + 2q} + \frac{1}{1 + 2q} + \frac{1}{(1 + 2q)^{\frac{3}{2}}}$$

geschlossen mögliche Division aus, und setzt der Kürze halber:

$$a = \frac{1}{1 + 2q};$$

so ist:

$$f = \frac{a^2 + a^3 + a^4}{1 + a}$$

womit die verlangte Form erreicht ist, welche in der That eine bequeme und sichere Rechnung gestattet, aber für die Anwendung zehnstelliger Tafeln beschwerlich wäre. Der obigen Reihe für f kann man aber sofort eine stärkere Convergenz ertheilen, wenn man die folgende Transformation benützt:

$$f = - (1 + 2q)^{-\frac{3}{2}} \frac{1 - 1 + 2q^{\frac{3}{2}}}{q}.$$

Die Entwicklung gibt:

$$\frac{f}{3} = (1 + 2q)^{-\frac{3}{2}} \left\{ 1 + \frac{1}{2}q - \frac{1 \cdot 1}{2 \cdot 3} q^2 + \frac{1 \cdot 1 \cdot 3}{2 \cdot 3 \cdot 4} q^3 - \frac{1 \cdot 1 \cdot 3 \cdot 5}{2 \cdot 3 \cdot 4 \cdot 5} q^4 + \frac{1 \cdot 1 \cdot 3 \cdot 5 \cdot 7}{2 \cdot 3 \cdot 4 \cdot 5 \cdot 6} q^5 - \dots \right\};$$

setzt man also für den Klammerausdruck:

$$1 + q^{\frac{1}{2}} + R$$

so wird R gefunden durch die Vergleichung der beiden Werthe und es ist:

$$R = -\frac{1}{24} q^2 + \frac{1}{16} q^3 - \frac{11}{128} q^4 + \frac{91}{768} q^5 - \frac{171}{1024} q^6 + \frac{495}{2048} q^7 - \dots;$$

schreibt man also:

$$(q) = \frac{R}{1+q}$$

so wird:

$$\frac{f}{3} = (1+2q)^{-\frac{1}{2}} (1+q)^{\frac{1}{2}} (1+(q));$$

oder unter Anwendung der logarithmischen Reihe:

$$\log f = \log 3 - \frac{1}{2} \log (1+2q) + \frac{1}{2} \log (1+q) + \text{Mod} \{ (q) - \frac{1}{2} (q)^2 + \frac{1}{3} (q)^3 - \dots \}.$$

Das letzte Glied kann selbst für die Grenzwerte von q mit Hilfe 7-stelliger Tafeln auf 11 Decimalstellen genau bestimmt werden, und es erscheint demnach die Berechnung der Werthe für $\log f$ mit Hilfe zehnstelliger Tafeln ohne jede Interpolation in den letzteren hergestellt.

Die hinten angehängte f -Tafel ist nach dieser Formel durch Herrn F. Anton mit grosser Sorgfalt 10-stellig berechnet und ist daher völlig auf eine halbe Einheit der letzten Stelle richtig. Für einen Fall ($q = +0.0251$) musste, um die sichere Richtigstellung der letzten Decimale zu erhalten, der Logarithmus 12-stellig berechnet werden. In Nummer 2130 der astronomischen Nachrichten habe ich die Fehler der Encke'schen 7-stelligen Tafel, die sich nach dieser Rechnung ergaben, mitgetheilt; die daselbst angeführten Correctionen können daher benützt werden, falls das Bedürfniss nach einer völlig correcten 7-stelligen Tafel eintreten sollte.

Ich werde nun zeigen, wie man die Gleichungen 7) (pag. 75) der Störungsrechnung zu Grunde legen kann und setze vorerst voraus, dass die Störungsrechnung bereits im Gange ist; die Vorschriften, die man beim Beginne derselben zu befolgen hat, werde ich später vornehmen.

Die Störungsrechnung selbst gibt die zweiten Differentialquotienten der Störungswerthe; wendet man auf die durch die Rechnung für gewisse fixe Zeitintervalle festgestellten Werthe die doppelte Summation an, wie dies bei der mechanischen Quadratur ausführlich erläutert wurde, so gelangt man durch diese zu genäherten Integralwerthen, die für die Zeit der Störungsrechnung durch Correctionen, die von dem Argumentwerthen und deren geraden Differenzen abhängen, streng erhalten werden können. Man hat nämlich mit Uebergang von Gliedern, die wohl nie merkbares bewirken können nach B_n (pag. 53), w der Einheit gleichsetzend:

$$\iint_{a+iw} f(x) dx^2 = {}''f(a+iw) + \frac{1}{12} f'(a+iw) - \frac{1}{240} f''(a+iw) + \dots;$$

wäre der letzte Werth des 2^{ten} Differentialquotienten $f'(a+(i-1)w)$ gefunden worden, so findet man, wenn man die Summirung ausführt, streng ${}''f(a+iw)$; ebenso würde, wenn die Rechnung nach rückwärts fortgesetzt bis zu $f'(a-(i-1)w)$ gelangt wäre, ${}''f(a-iw)$ erhalten werden. Das Resultat dieser Betrachtungen führt

uns zu dem Schlusse, dass für das nächste Intervall, für welches die Störungsrechnung noch nicht fortgeführt erscheint, durch die mechanische Doppel-Quadratur der doppelt summirte Werth bekannt ist; man hat demnach durch die Hilfsmittel der mechanischen Quadratur bereits einen Näherungswerth für ξ , η , ζ , der in die Formeln (7) eingesetzt einen schon sehr genäherten Werth für den zu berechnenden zweiten Differentialquotienten abgeben wird; ist einmal dieser Werth ermittelt, so wird man denselben benützen, um einen der Wahrheit näher kommenden Integralwerth der Rechnung zu Grunde zu legen und die Operationen so lange fortsetzen, bis keine Aenderung der berechneten Werthe eintritt. Dieses Verfahren wäre aber sehr zeitraubend und beschwerlich, und man sieht sofort ein, dass man das Ziel weit rascher erreichen kann, wenn man nach dem Gange der Funktion, etwa mit Hilfe der auf pag. 67 entwickelten Formeln, den zu erwartenden zweiten Differentialquotienten extrapolirt und den so erhaltenen Werth sofort zur Correktion des doppelt summirten Werthes benützt. In der That erreicht man dadurch meist schon im ersten Versuche eine so bedeutende Annäherung, dass die zweite Rechnung bereits die genauen Werthe ergibt, ein Verfahren, welches von Eneke für diesen Fall in Vorschlag gebracht und vielfach angewendet wurde. Dieses Rechnungsverfahren vermeidet jedoch nicht völlig die indirecte Rechnung, indem die Erfahrung lehrt, dass es, wenn die Störungen nur halbwegs anwachsen, eben unmöglich wird, den zu erwartenden Werth mit einem solchen Grade der Sicherheit zu bestimmen, dass die Wiederholung der Rechnung mit dem verbesserten Werthe immer vermieden werden könnte. Es lässt sich jedoch eine Vorschrift angeben, die auch diesen Mangel behebt.

Das Glied $-\frac{1}{240}f''(a + iw)$ fügt in der Regel wenig merkbares hinzu, und man kann den Werth des Integrales ohne Mitnahme dieses Gliedes als genügend genau ansehen; man kann dieses Glied also entweder ganz übergehen, oder dasselbe, was vorzuziehen ist, überschlagsweise nach dem Gange der Funktion in Rechnung ziehen; bei der Kleinheit des Factors, mit dem der zweite Differenzwerth zu multipliciren ist, wird die Unsicherheit über den Gang der Funktion, die nothwendigerweise die Extrapolation mit sich bringt, von keiner Erheblichkeit sein und man kann daher die Behauptung aufstellen, dass das Glied $-\frac{1}{240}f''(a + iw)$ schon vor Beginn der Rechnung des diesbezüglichen Störungsintervalles als genügend genau bekannt angesehen werden kann.

Gibt man den Gleichungen (7) (pag. 75) durch Einführen einiger Abkürzungen eine concisere Form, indem man setzt:

$$\left. \begin{aligned} \Sigma k^2 m_1 \left\{ \frac{x_1 - x}{q^3} - \frac{x_1}{r_1^3} \right\} &= \Sigma (X) \\ \Sigma k^2 m_1 \left\{ \frac{y_1 - y}{q^3} - \frac{y_1}{r_1^3} \right\} &= \Sigma (Y) \\ \Sigma k^2 m_1 \left\{ \frac{z_1 - z}{q^3} - \frac{z_1}{r_1^3} \right\} &= \Sigma (Z) \\ \frac{h^2}{r^3} &= h \end{aligned} \right\} \quad (9)$$

so wird geschrieben werden können:

$$\left. \begin{aligned} \frac{d^2 \xi}{dt^2} + h \xi &= \Sigma X + h f q x \\ \frac{d^2 \eta}{dt^2} + h \eta &= \Sigma Y + h f q y \\ \frac{d^2 \zeta}{dt^2} + h \zeta &= \Sigma Z + h f q z \end{aligned} \right\} \quad (10)$$

in diesen Ausdrücken kann man die Werthe für die gestörten Coordinaten des Planeten als bekannt voraussetzen nach den obigen Auseinandersetzungen; denn es genügt für dieselben die Störungen nur beiläufig zu kennen, da die Coordinaten selbst durchaus mit Grössen von der Ordnung der Störungen multiplicirt erscheinen. Man wird also mit Rücksicht auf den Gang der Funktionswerthe und auf die Regeln der mechanischen Integration leicht genügende Annäherungen für dieselben erhalten, die keiner Verbesserung bedürfen. Setzt man nun:

$$\left. \begin{aligned} S_{(x)} &= {}^u f_{(x)}(a + i w) + \frac{1}{12} \Sigma(X) - \frac{1}{240} f''_{(x)}(a + i w) \\ S_{(y)} &= {}^u f_{(y)}(a + i w) + \frac{1}{12} \Sigma(Y) - \frac{1}{240} f''_{(y)}(a + i w) \\ S_{(z)} &= {}^u f_{(z)}(a + i w) + \frac{1}{12} \Sigma(Z) - \frac{1}{240} f''_{(z)}(a + i w) \end{aligned} \right\} \quad (11)$$

welche Werthe als völlig bekannt angesehen werden dürfen, so ist mit Rücksicht auf die obige (pag. 77) für die mechanische Integration angesetzte Formel, wenn man dieselbe auf alle drei Coordinaten anwendet und statt des Doppelintegrals beziehungsweise die Werthe ξ , η und ζ schreibt:

$$\left. \begin{aligned} \xi &= S_{(x)} + \frac{1}{12} \frac{d^2 \xi}{dt^2} = S_{(x)} + \frac{1}{12} h f q x - \frac{1}{12} h \xi \\ \eta &= S_{(y)} + \frac{1}{12} \frac{d^2 \eta}{dt^2} = S_{(y)} + \frac{1}{12} h f q y - \frac{1}{12} h \eta \\ \zeta &= S_{(z)} + \frac{1}{12} \frac{d^2 \zeta}{dt^2} = S_{(z)} + \frac{1}{12} h f q z - \frac{1}{12} h \zeta \end{aligned} \right\} \quad (12)$$

man findet also:

$$\left. \begin{aligned} \xi (1 + \frac{1}{12} h) &= S_{(x)} + \frac{1}{12} h f q x \\ \eta (1 + \frac{1}{12} h) &= S_{(y)} + \frac{1}{12} h f q y \\ \zeta (1 + \frac{1}{12} h) &= S_{(z)} + \frac{1}{12} h f q z \end{aligned} \right\} \quad (13)$$

man ist aber mit Rücksicht auf (5) (pag. 74):

$$r_0^2 q = (x_0 + \frac{1}{2} \xi) \xi + (y_0 + \frac{1}{2} \eta) \eta + (z_0 + \frac{1}{2} \zeta) \zeta; \quad (14)$$

wo wieder die in den runden Klammern stehenden Werthe mit Rücksicht auf den Factor von der Ordnung der Störungen als hinreichend genau bekannt angesehen werden können, indem die Werthe $\frac{1}{2} \xi$, $\frac{1}{2} \eta$ und $\frac{1}{2} \zeta$ durch Extrapolation hierfür mit genügender Schärfe zu erhalten sind. Führt man nun für ξ , η und ζ in (14) die Werthe aus (13) ein und schreibt der Kürze wegen:

$$\left. \begin{aligned} a &= \frac{x_0 + \frac{1}{2} \xi}{r_0^2 (1 + \frac{1}{12} h)} \\ b &= \frac{y_0 + \frac{1}{2} \eta}{r_0^2 (1 + \frac{1}{12} h)} \\ c &= \frac{z_0 + \frac{1}{2} \zeta}{r_0^2 (1 + \frac{1}{12} h)} \end{aligned} \right\} \quad (15)$$

welche Werthe also wieder direct erhalten werden, so wird:

$$q = \frac{aS_{(x)} + bS_{(y)} + cS_{(z)}}{1 - \frac{h}{1 + \frac{1}{2}h} f(ax + by + cz)} \quad (16)$$

womit der Werth von q sofort direct gegeben ist, sobald der Werth von f bekannt ist; diese scheinbar indirecte Rechnung wird aber durch den verhältnissmässig einfachen Gang der f -Funktion so erleichtert, dass aus diesem Umstande kein Nachtheil für die directe Rechnung erwächst. Da überdiess der Nenner oder vielmehr der Logarithmus des Nenners in (16) in Folge des kleinen Factors $\frac{h}{12}$ selbst bei sehr stark anwachsenden Störungen einen fast linearen Gang zeigt, so scheint es zweckmässig zur Bestimmung des Werthes von f nicht den Gang der vorausgehenden Werthreihe für f zu benützen, sondern einfach den Werth des Nenners zu extrapoliren, und den so erlangten Näherungswerth von q als Argument für die f -Tafel zu benützen. In dem weiter unten folgenden Beispiele wird man sich leicht überzeugen, dass auch diese Operation in der That als direct bezeichnet werden kann, indem eine Verbesserung und Wiederholung der Rechnung niemals nöthig erscheint.

Indem der Werth von q hiermit also durch ein directes Verfahren bestimmt erscheint, erhält man durch die Verbindung der Gleichungen (10) und (13) (pag 79):

$$\begin{aligned} \frac{d^2\xi}{dt^2} &= \Sigma(X) + hfqx - \frac{h}{1 + \frac{1}{2}h} \left\{ S_{(x)} + \frac{1}{2} h f q x \right\} \\ \frac{d^2\eta}{dt^2} &= \Sigma(Y) + hfqy - \frac{h}{1 + \frac{1}{2}h} \left\{ S_{(y)} + \frac{1}{2} h f q y \right\} \\ \frac{d^2z}{dt^2} &= \Sigma(Z) + hfqz - \frac{h}{1 + \frac{1}{2}h} \left\{ S_{(z)} + \frac{1}{2} h f q z \right\} \end{aligned}$$

oder indem man setzt:

$$h' = \frac{h}{1 + \frac{1}{2}h} \quad (17)$$

so wird:

$$\left. \begin{aligned} \frac{d^2\xi}{dt^2} &= \Sigma(X) + h' \{ f q x - S_{(x)} \} \\ \frac{d^2\eta}{dt^2} &= \Sigma(Y) + h' \{ f q y - S_{(y)} \} \\ \frac{d^2z}{dt^2} &= \Sigma(Z) + h' \{ f q z - S_{(z)} \} \end{aligned} \right\} \quad (18)$$

womit die als direct zu bezeichnende Berechnung des geforderten zweiten Differentialquotienten erreicht ist.

Die vorausgehenden Vorschriften sind aber nur verwendbar, wenn die Störungsrechnung bereits im Gange ist und bedürfen einer Modification, wenn man, von bestimmten osculirenden Elementen ausgehend, die Rechnung beginnt. Es sind nämlich in diesem Falle die doppelt summirten Werthe ${}^{II}f(a + iw)$ unbekannt, die der obigen Rechnung als Grundlage gedient haben. Der Umstand aber, dass die indirecten Glieder wegen des kleinen Factors h' anfänglich einen sehr geringen Einfluss üben, gestattet auch hier, die notwendigen Näherungen rasch durchzuführen.

Hierbei mag bemerkt werden, dass h' mit der Grösse des gewählten Zeitintervalles anwächst, weshalb letzteres nicht allzu gross angenommen werden darf. Ueber die Grösse des anzuwendenden Intervalles entscheiden die speciellen Umstände und es können hierüber keine allgemeinen Vorschriften gegeben werden; 40tägige Intervalle sind im Allgemeinen bei der Berechnung der speciellen Störungen der kleinen Planeten ausreichend, wiewohl bei starker Annäherung an Jupiter dieses Intervall fast zu gross erscheint; im Allgemeinen wirkt entscheidend für die Wahl des Intervalles die Masse des störenden Körpers, die Grösse der Annäherung und die Bewegung des gestörten Körpers. Es kann daher z. B. bei Kometen oft erwünscht sein, das Intervall im Verlaufe der Rechnung abzuändern, wobei jedoch stets gehörig auf die richtige Bestimmung der Integrationsconstanten zu achten ist. Man wird das Intervall demnach stets so zu wählen haben, dass sich die Störungen hinreichend regelmässig gestalten und demnach die Sicherheit der mechanischen Quadraturen nicht in Frage stellen. Man wird also bei Beginn der Rechnung vorerst die indirecten Glieder der Null gleich setzen, und indem man zweckmässig die Osculationsepoche so wählt, dass dieselbe in die Mitte eines Intervalles fällt, zwei Orte vor und zwei Orte nach der Osculationsepoche rechnen. Für diese Zeit wird man, ohne Erhebliches zu übergangen, in der Rechnung der Werthe $\Sigma(X)$, $\Sigma(Y)$, $\Sigma(Z)$ die ungestörten Coordinaten anwenden dürfen, da die Störungen zweiter Ordnung in der That ganz unbedeutend sind. Indem man diese Werthe vorerst mit den gesuchten zweiten Differentialquotienten identificirt, wird man die so erhaltene Werthreihe benützen, um die Anfangsconstanten für die erste und zweite Summation (vergl. pag. 35, 53) nach den Formeln:

$$f(a - \frac{1}{2}w) = -\frac{1}{24}f''(a - \frac{1}{2}w) + \frac{17}{5760}f'''(a - \frac{1}{2}w) - \dots$$

$${}''f(a - w) = \frac{1}{24}f''(a) - \frac{17}{5760}\{2f'''(a) + f'''(a - w)\} + \dots$$

zu bestimmen, und die Summirung auf einem gesonderten Blatte durchführen; dadurch gelangt man zur Kenntniss der Werthe der zweiten summirten Reihe, die nach den obigen Vorschriften zur genaueren Bestimmung der diesbezüglichen Differentialquotienten verwendet werden; man erhält in der Regel schon dadurch hinreichend genaue Werthe für dieselben; indess kann man, wenn man befürchten sollte, dass diese Werthe keine völlig genügenden Annäherungen ergeben, die Rechnung nochmals mit den so gefundenen Werthen wiederholen. In dem unten folgenden Beispiele werden diese Vorschriften ausführlich besprochen und ich begnüge mich hier deshalb mit diesen Andeutungen; ist aber einmal die Rechnung im Gange, dann kann man sich an die oben auseinander gesetzten Vorschriften gleichmässig halten.

§ 3. Die Bestimmung der Coordinaten.

Die Berechnung der Coordinaten der störenden Planeten kann meist ganz umgangen werden, da man dieselben gesammelt in den Publicationen der astronomischen Gesellschaft Band I und VI findet; da dieselben in dieser Sammlung in bestimmten Zeitintervallen fortlaufend mitgetheilt sind, so wird es zweckmässig erscheinen, sich bei der Störungsrechnung an diese Intervalle zu halten, um jede Interpolation zu vermeiden. Jener Theil der Störungen, der von dem Einflusse des störenden Planeten auf die Sonne herrührt, ist in die Sammlung ebenfalls aufgenommen, wobei die daselbst angeführten Massen benützt sind, die man dann für die anderweitigen Rechnungen anzuwenden hat. Die Coordinaten sind auf bestimmte Aequinoctien bezogen; es ist daher angemessen, auch diese der Rechnung zu Grunde zu legen.

Es wird daher von Zeit zu Zeit die Nothwendigkeit hervortreten, die Störungen auf ein anderes Aequinoctium zu übertragen; indem ich aber diese Transformation auf den Schluss dieses Paragraphen verschiebe, will ich hier die Methode auseinandersetzen, wie man mit Hilfe der astronomischen Ephemeriden, speciell unter Berücksichtigung der Einrichtungen des Berliner Jahrbuches, sich die Coordinaten des störenden Planeten verschaffen kann, da wohl hier und da das Bedürfniss eintreten kann, von den Angaben, die oben citirt wurden, abzuweichen.

Die älteren Bände des Berliner Jahrbuches geben bis zum Jahrgange 1867 inclusive die heliocentrischen Längen λ' , Breiten β' und Entfernungen r_1 der grossen Planeten meist in so engen Intervallen, dass die Interpolation für ein beliebiges Datum ohne Mühe ausgeführt werden kann; die polaren Coordinaten beziehen sich dabei auf das wahre Aequinoctium. In den anderen astronomischen Ephemeriden finden sich die heliocentrischen Orte der grossen Planeten in ähnlicher Weise mitgetheilt und man hat dieselben vorerst auf das der Rechnung zu Grunde liegende fixe mittlere Aequinoctium zu beziehen; dieses geschieht nach den Vorschriften, die im ersten Bande pag. 88 auseinandergesetzt sind; ich will daher hier die Endformeln nur übersichtlich sammeln.

Ist N die für das betreffende Datum geltende Nutation, die ebenfalls in den Ephemeriden Aufnahme findet, ist t_1 die Zeit des betreffenden Datums, t_0 die Zeit der fixen Epoche, auf welche sich das gewählte fixe mittlere Aequinoctium bezieht, und setzt man die Differenz $t_1 - t_0 = \tau$ in Einheiten des tropischen Jahres an, so ist die heliocentrische Länge λ_0' und Breite β_0' in Bezug auf dasselbe Aequinoctium bestimmt durch:

$$\begin{aligned}\lambda_0' &= \lambda' - N - \tau \{ l + \tau \tan \beta' \cos (\lambda' - H) \} \\ \beta_0' &= \beta' + \tau n \sin (\lambda' - H),\end{aligned}$$

wobei für die constanten Werthe anzunehmen ist:

$$\begin{aligned}H &= 173^\circ 0' 12'' + 32''.817 \left\{ \frac{1}{2} (t_1 + t_0) - 1850 \right\} \\ \tau &= 0''.4705 + 0''.0000062 \left\{ \frac{1}{2} (t_1 + t_0) - 1850 \right\} \\ l &= 50''.23465 + 0''.0002258 \left\{ \frac{1}{2} (t_1 + t_0) - 1850 \right\};\end{aligned}$$

man wird hierbei die Glieder zweiter Ordnung streng berücksichtigen, wenn man für λ' und β' in den letzten Gliedern rechter Hand die für die Zeit $t_1 + \frac{t_1 - t_0}{2}$ geltenden Werthe einsetzt; für die Verhältnisse, wie dieselben durch die Planeten geboten werden, genügt es aber, für λ' den Werth

$$\lambda' = 50'' 23 \frac{t_1 - t_0}{2}$$

einzusetzen und für β' den unveränderten Werth anzunehmen.

Sind einmal diese Grössen berechnet, so finden sich die rechtwinkligen Co-ordinaten nach den Formeln:

$$x_1 = r_1 \cos \lambda_0' \cos \beta_0'$$

$$y_1 = r_1 \sin \lambda_0' \cos \beta_0'$$

$$z_1 = r_1 \sin \beta_0' ;$$

bei dieser Rechnung wird man zweckmässig sofort auch den störenden Einfluss des Planeten auf die Sonne bestimmen und somit zu rechnen haben:

$$- (kw)^2 m_1 \frac{x_1}{r_1^3} , \quad - kw^2 m_1 \frac{y_1}{r_1^3} , \quad - (kw)^2 m_1 \frac{z_1}{r_1^3} ,$$

wobei unter k die Constante des Sonnensystems, unter w das der Störungsrechnung zu Grunde liegende Zeitintervall in Einheiten des mittleren Sonnentages und unter m_1 die Masse des störenden Planeten in Einheiten der Sonnenmasse verstanden ist.

Die Massen der grossen Planeten und die Producte $(kw)^2 m_1$ finden sich unter Annahme des Werthes $w = 40$ in der Tafel XII aufgenommen und hierbei ist vorausgesetzt, dass Alles in Einheiten der siebenten Decimale ausgedrückt erscheint.

Die Berliner Jahrbücher für 1868, 1869 und 1870 geben direct die rechtwinkligen Coordinaten und die störenden Kräfte, soweit dieselben von dem Orte des gestörten Planeten unabhängig sind. Vom Jahre 1871 an finden sich Angaben für die heliocentrischen Orte, die unmittelbar die Grössen r_1 , λ_0' und β_0' finden lassen. Der Logarithmus von r_1 und die Grösse β_0' finden sich direct unter den Columnen »log R « und »Breite«, λ_0' findet sich, wenn man zu den Werthen »Länge in der Bahn« die Grösse »Reduction auf die Ecliptik« mit dem angesetzten Zeichen addirt. Es ist natürlich klar, dass man sich an die im Berliner Jahrbuche gewählten Epochen und Aequinoctien halten wird, um die sonst nöthigen, immerhin zeitraubenden, Interpolationen und Reductionen zu vermeiden.

Was nun die Berechnung der ungestörten Coordinaten x_0 , y_0 , z_0 und r_0 des gestörten Planeten anlangt, so wird man vorerst die der Rechnung zu Grunde liegenden Elemente auf das mittlere fixe Aequinoctium der Coordinaten des störenden Planeten beziehen und hierzu allenfalls die Formeln, die im ersten Bande entwickelt sind (I pag. 81 u. ff.), benützen.

Mit diesen Elementen rechnet man nun vorerst (vergl. I pag. 17):

$$\begin{aligned} \sin a \sin A &= \cos Q & \sin b \sin B &= \sin Q & C &= 0 \\ \sin a \cos A &= - \sin Q \sin i & \sin b \cos B &= \cos Q \cos i & \sin c &= \sin i \\ \omega &= A - Q , & e'' &= \frac{\sin q}{\sin i''} \\ A' &= A + \omega & B' &= B + \omega & C' &= \omega \end{aligned}$$

dann weiter für die einzelnen Intervalle:

$$\begin{array}{lcl}
 M = M_0 + \mu t & \left\{ \right. & \text{I pag. 47.} \\
 M = E - e'' \sin E & \left\{ \right. & \\
 r_0 \sin v_0 = a \cos q \sin E & \left\{ \right. & \text{I pag. 48.} \\
 r_0 \cos v_0 = a (\cos E - e) & \left\{ \right. & \\
 x_0 = r_0 \sin a \sin (A' + v_0) & \left\{ \right. & \\
 y_0 = r_0 \sin b \sin (B' + v_0) & \left\{ \right. & \text{I pag. 47.} \\
 z_0 = r_0 \sin c \sin (C' + v_0) & \left\{ \right. &
 \end{array}$$

$$\begin{aligned}
 h &= \frac{xk^2}{r_0^3} \\
 R^2 &= r_0^2 \left\{ 1 + \frac{1}{2} h \right\} \\
 h' &= \frac{h}{1 + \frac{1}{2} h} ,
 \end{aligned}$$

wobei $\log xk^2 = 9.675283$ das Intervall x zu 40 Tagen vorausgesetzt ist, und erhält so alle Coordinaten, die für die Störungsrechnung nöthig sind. Der Umstand, dass es von 10 zu 10 Jahren nöthig ist, das mittlere Aequinoctium abzuändern, um die Angaben des Berliner Jahrbuches ausnützen zu können, stellt schliesslich noch die Aufgabe, die Störungen ξ, η, ζ in den Coordinaten und deren Geschwindigkeiten $\frac{d\xi}{dt}, \frac{d\eta}{dt}, \frac{d\zeta}{dt}$ von einem mittleren Aequinoctium auf ein anderes zu übertragen. Um diese Aufgabe vorzunehmen, wird man, da wohl ausschliesslich Ekliptikalkoordinaten bei diesen Rechnungen angewendet werden, die im ersten Bande pag. 84 angeführten Formeln als Ausgangspunkt benützen können.

Bezeichnet man mit x, y, z die Coordinaten in Bezug auf das Ausgangs-Aequinoctium, mit x_1, y_1, z_1 die auf das neue Aequinoctium bezogenen Coordinaten, so hat man, wenn als Ausgangspunkt der Zählung die Knotenlinie zwischen den beiden in Betracht kommenden Ekliptiken angenommen wird, die Relationen:

$$\begin{array}{lcl}
 x = \cos \beta \cos (\lambda - H) & \left\{ \right. & \\
 y = \cos \beta \sin (\lambda - H) & \left\{ \right. & \text{1)} \\
 z = \sin \beta & \left\{ \right. &
 \end{array}$$

$$\begin{array}{lcl}
 x_1 = \cos (\beta + d\beta) \cos (\lambda + d\lambda - H - l) & \left\{ \right. & \\
 y_1 = \cos (\beta + d\beta) \sin (\lambda + d\lambda - H - l) & \left\{ \right. & \text{2)} \\
 z_1 = \sin (\beta + d\beta) & \left\{ \right. &
 \end{array}$$

$$\begin{array}{lcl}
 x_1 = x & \left\{ \right. & \\
 y_1 = y \cos i + z \sin i & \left\{ \right. & \text{3)} \\
 z_1 = -y \sin i + z \cos i & \left\{ \right. &
 \end{array}$$

Wählt man, wie es in der Störungsrechnung geschieht, die Richtung nach dem jeweiligen mittleren Frühljahrsunkte als die positive X-Achse, so erhält man leicht aus (1) und (2), wenn man die so gezählten Coordinaten durch den Exponentialindex „0“ unterscheidet:

$$x = x^0 \cos H + y^0 \sin H$$

$$y = y^0 \cos H - x^0 \sin H$$

$$z = z^0$$

$$x_1 = x_1^0 \cos (H + l) + y_1^0 \sin (H + l)$$

$$y_1 = y_1^0 \cos (H + l) - x_1^0 \sin (H + l)$$

$$z_1 = z_1^0 ;$$

werden diese Werthe in (3) substituirt, so erhält man für x_1^0 , y_1^0 , z_1^0 die Ausdrücke:

$$x_1^0 = x^0 \{ \cos H \cos (H + l) + \sin H \sin (H + l) \cos A \} + y^0 \{ \sin H \cos (H + l) - \\ - \cos H \sin (H + l) \cos A \} + z^0 \sin A \sin (H + l)$$

$$y_1^0 = x^0 \{ \cos H \sin (H + l) - \sin H \cos (H + l) \cos A \} + y^0 \{ \sin H \sin (H + l) + \\ + \cos H \cos (H + l) \cos A \} + z^0 \sin A \cos (H + l)$$

$$z_1^0 = x^0 \sin H \sin A - y^0 \cos H \sin A + z^0 \cos A.$$

Setzt man also:

$$\left. \begin{aligned} X_x &= -2 \{ \sin^2 \frac{1}{2} l + \sin H \sin (H + l) \sin^2 \frac{1}{2} A \} \\ Y_x &= -\sin l + 2 \cos H \sin (H + l) \sin^2 \frac{1}{2} A \\ Z_x &= -\sin A \sin (H + l) \\ X_y &= \sin l + 2 \sin H \cos (H + l) \sin^2 \frac{1}{2} A \\ Y_y &= -2 \{ \sin^2 \frac{1}{2} l + \cos H \cos (H + l) \sin^2 \frac{1}{2} A \} \\ Z_y &= \sin A \cos (H + l) \\ X_z &= \sin H \sin A \\ Y_z &= -\cos H \sin A \\ Z_z &= -2 \sin^2 \frac{1}{2} A \end{aligned} \right\} \quad 4)$$

so sind die allgemeinen Transformationsformeln, mit denen man die letzten Summations-, Argument- und Differenzwerthe der Störungstafeln zu übertragen hat, wenn man das Aequinoctium ändern will, bestimmt durch:

$$\left. \begin{aligned} x_1^0 &= x^0 + X_x \cdot x^0 + Y_x \cdot y^0 + Z_x \cdot z^0 \\ y_1^0 &= y^0 + X_y \cdot x^0 + Y_y \cdot y^0 + Z_y \cdot z^0 \\ z_1^0 &= z^0 + X_z \cdot x^0 + Y_z \cdot y^0 + Z_z \cdot z^0. \end{aligned} \right\} \quad 5)$$

Die nachstehende Tafel gibt von 10 zu 10 Jahren für das gegenwärtige Jahrhundert die Logarithmen der nach obigen Formeln streng berechneten Coefficienten für die Uebertragung auf das nächstfolgende Jahrzehnt; um keinen Zweifel über die Charakteristik zu lassen, ist dieselbe vollständig angesetzt:

log X_x	log Y_x	log Z_x	log X_y	log Y_y	log Z_y	log X_z	log Y_z	log Z_z
1800 4n4719-10	7n386490-10	4n4728-10	7.386490-10	4n4720-10	5n36305-10	4.4810-10	5.36291-10	0n43-10
1810 4n4720-10	7n386510-10	4n474-10	7.386510-10	4n4720-10	5n36308-10	4.4756-10	5.36294-10	0n43-10
1820 4n4720-10	7n386529-10	4n4619-10	7.386529-10	4n4721-10	5n36311-10	4.4702-10	5.36297-10	0n43-10
1830 4n4721-10	7n386549-10	4n4563-10	7.386549-10	4n4721-10	5n36314-10	4.4647-10	5.36300-10	0n43-10
1840 4n4721-10	7n386568-10	4n4506-10	7.386568-10	4n4721-10	5n36317-10	4.4591-10	5.36303-10	0n43-10
1850 4n4721-10	7n386588-10	4n4448-10	7.386588-10	4n4722-10	5n36320-10	4.4535-10	5.36307-10	0n43-10
1860 4n4722-10	7n386607-10	4n4390-10	7.386607-10	4n4722-10	5n36323-10	4.4478-10	5.36310-10	0n43-10
1870 4n4722-10	7n386627-10	4n4331-10	7.386627-10	4n4723-10	5n36325-10	4.4420-10	5.36313-10	0n43-10
1880 4n4723-10	7n386646-10	4n4271-10	7.386646-10	4n4723-10	5n36328-10	4.4362-10	5.36316-10	0n43-10
1890 4n4723-10	7n386666-10	4n4211-10	7.386666-10	4n4723-10	5n36330-10	4.4303-10	5.36318-10	0n43-10
1900 4n4723-10	7n386685-10	4n4149-10	7.386685-10	4n4724-10	5n36332-10	4.4243-10	5.36320-10	0n43-10

Da man aber wohl auch häufig den Uebergang in der umgekehrten Richtung oder auch in anderen Intervallen zu machen hat, so dürfte es sich empfehlen, ähnlich wie dies bei den Präcessionconstanten geschehen ist, die Entwicklung der diesbezüglichen Glieder nach Potenzen der Zeit vorzunehmen.

Bleibt man bei den Gliedern 2^{ter} Ordnung inclusive stehen, so erhält man leicht aus 4):

$$\left. \begin{aligned} X_x &= -\frac{1}{2}l^2 - \frac{1}{2}(\pi \sin H)^2 \\ Y_x &= -l + \frac{1}{2}\pi \cos H, \pi \sin H \\ Z_x &= -\pi \sin H - l\pi \cos H \\ X_y &= l + \frac{1}{2}\pi \cos H, \pi \sin H \\ Y_y &= -\frac{1}{2}l^2 - \frac{1}{2}(\pi \cos H)^2 \\ Z_y &= \pi \cos H - l\pi \sin H \\ X_z &= \pi \sin H \\ Y_z &= -\pi \cos H \\ Z_z &= -\frac{1}{2}\pi^2. \end{aligned} \right\} \quad 6)$$

Die in diesen Ausdrücken erscheinenden Präcessionconstanten haben die Form:

$$\left. \begin{aligned} l &= \lambda(t_1 - t_0) + \lambda'(t_1 - t_0)^2 \\ \pi &= \gamma(t_1 - t_0) + \gamma'(t_1 - t_0)^2 \\ H &= H_0 + \alpha(t_0 - 1850) + \beta(t_1 - t_0) \end{aligned} \right\} \quad 7)$$

wobei die numerischen Werthe sich aus der Vergleichung mit I pag. 81 wie folgt, ergeben:

$$\left. \begin{aligned} \lambda &= + 50''23105 + 0''000\ 22576 (t_0 - 1850) & \lambda' &= + 0''000\ 11288 \\ \gamma &= + 0''47950 - 0''000\ 60621 (t_0 - 1850) & \gamma' &= - 0''000\ 00312 \\ H_0 &= 173^{\circ}0'12'', \alpha = + 32''817, \beta = - 8''694 \end{aligned} \right\} \quad 8)$$

Vor Allem wird es nöthig sein, die Glieder von der Form $\pi \sin H$ und $\pi \cos H$ näher zu entwickeln. Es ist klar, dass hierzu die Band I pag. 77 gegebenen Ausdrücke nicht unmittelbar verwerthet werden dürfen, weil dieselben sich vorerst auf die fixe Ausgangsepoche 1850 beziehen und überdies die durch die allgemeine Präcession bewirkte Aenderung in der Zählung von H nicht enthalten.

Man findet aus 7) zunächst:

$$\begin{aligned} \pi \sin H &= \{ \gamma \sin H_0 + \gamma \alpha \cos H_0 (t_0 - 1850) \} (t_1 - t_0) + \{ \gamma' \sin H_0 + \gamma' \beta \cos H_0 + \\ &\quad + \alpha \gamma' \cos H_0 (t_0 - 1850) \} (t_1 - t_0)^2 \\ \pi \cos H &= \{ \gamma \cos H_0 - \gamma \alpha \sin H_0 (t_0 - 1850) \} (t_1 - t_0) + \{ \gamma' \cos H_0 - \gamma' \beta \sin H_0 - \\ &\quad - \alpha \gamma' \sin H_0 (t_0 - 1850) \} (t_1 - t_0)^2; \end{aligned}$$

führt man hierin die Werthe aus 8) ein, und lässt diejenigen Glieder, welche Produkte $(t_0 - 1850)^2$ in $t_1 - t_0$ und $(t_0 - 1850)$ in $(t_1 - t_0)^2$ ergeben, weg, so erhält man Ausdrücke von der Form:

$$\left. \begin{aligned} \pi \sin H &= \{ z_0 + z_1 (t_0 - 1850) \} (t_1 - t_0) + z_0' (t_1 - t_0)^2 \\ \pi \cos H &= \{ \tilde{z}_0 + \tilde{z}_1 (t_0 - 1850) \} (t_1 - t_0) + \tilde{z}_0' (t_1 - t_0)^2 \end{aligned} \right\} \quad 9)$$

wobei zu Folge der obigen Ausdrücke die constanten Grössen die folgenden numerischen Werthe haben:

$$\left. \begin{aligned} z_0 &= + 0''05841 & z_1 &= - 0''000\ 07655 \\ \ddot{z}_0 &= - 0''47593 & \ddot{z}_1 &= - 0''000\ 00311 \\ z_0' &= + 0''0000\ 1967 \\ \ddot{z}_0' &= + 0''0000\ 0556 \end{aligned} \right\} 10'$$

Es wird sich also, wenn man:

$$\dot{z} = \dot{z}_0 + 2\dot{z}'(t_0 - 1850)$$

schreibt, aus 6) ergeben:

$$\begin{aligned} X_x &= -\frac{1}{2}\{\dot{z}_0^2 + z_0^2\}(t_1 - t_0)^2 \\ Y_x &= -\{\dot{z}_0 + 2\dot{z}'(t_0 - 1850)\}(t_1 - t_0) + \{\frac{1}{2}z_0\ddot{z}_0 - \dot{z}'\}(t_1 - t_0)^2 \\ Z_x &= -\{z_0 + z_1(t_0 - 1850)\}(t_1 - t_0) - \{z_0 + \dot{z}_0\ddot{z}_0\}(t_1 - t_0)^2 \\ X_y &= -\{\dot{z}_0 + 2\dot{z}'(t_0 - 1850)\}(t_1 - t_0) + \{\frac{1}{2}z_0\ddot{z}_0 + \dot{z}'\}(t_1 - t_0)^2 \\ Y_y &= -\frac{1}{2}\{\dot{z}_0^2 + \ddot{z}_0^2\}(t_1 - t_0)^2 \\ Z_y &= -\{\ddot{z}_0 + \ddot{z}_1(t_0 - 1850)\}(t_1 - t_0) + \{\ddot{z}_0' - \dot{z}_0\ddot{z}_0\}(t_1 - t_0)^2 \\ X_z &= -\{z_0 + z_1(t_0 - 1850)\}(t_1 - t_0) + z_0'(t_1 - t_0)^2 \\ Y_z &= -\{\ddot{z}_0 + \ddot{z}_1(t_0 - 1850)\}(t_1 - t_0) + \ddot{z}_0'(t_1 - t_0)^2 \\ Z_z &= -\frac{1}{2}z'^2(t_1 - t_0)^2. \end{aligned}$$

oder numerisch und in Einheiten der zehnten Decimale:

$$\begin{aligned} X_x &= - 296.57 (t_1 - t_0)^2 \\ Y_x &= \{- 2435.445 - 10.95 (t_0 - 1850)\}(t_1 - t_0) - 5.48 (t_1 - t_0)^2 \\ Z_x &= \{- 2832 + 3.71 (t_0 - 1850)\}(t_1 - t_0) + 4.66 (t_1 - t_0)^2 \\ X_y &= \{+ 2435.445 + 10.95 (t_0 - 1850)\}(t_1 - t_0) + 5.47 (t_1 - t_0)^2 \\ Y_y &= - 296.60 (t_1 - t_0)^2 \\ Z_y &= \{- 2307.4 - 0.15 (t_0 - 1850)\}(t_1 - t_0) - 0.69 (t_1 - t_0)^2 \\ X_z &= \{+ 2832 - 3.71 (t_0 - 1850)\}(t_1 - t_0) + 0.95 (t_1 - t_0)^2 \\ Y_z &= \{+ 2307.4 + 0.15 (t_0 - 1850)\}(t_1 - t_0) + 0.27 (t_1 - t_0)^2 \\ Z_z &= - 0.03 (t_1 - t_0)^2. \end{aligned}$$

Zu den voranstehenden Formeln wäre zu bemerken, dass man bei der Uebertragung auf ein anderes Aequinoctium in der Summationstafel der Störungen in den drei Coordinaten sowohl die summirten Werthe, als auch die Funktions- und Differenzwerthe, wie sie vor der Uebertragung statt haben, entsprechend transformiren muss. Hierbei wird man die zusammengehörigen Werthe der zweiten summirten Reihe als x -, y -, z -Coordinaten auffassen, ebenso die zusammengehörigen Werthe der ersten summirten Reihe u. s. f. und für jedes System dieser zusammengehörigen Werthe die Transformation ausführen. Die Aenderungen in den Differenzwerthen werden in der Regel so klein sein, dass es kaum nöthig sein wird, auf diese Aenderungen Rücksicht zu nehmen.

Schliesslich ist in diesem Paragraphen noch zu erwähnen, wie man die Störungswerthe ξ , η , ζ bei Ableitung einer Oppositionsephemeride verwerthen kann.

ξ, η, ζ sind auf die Ekliptik bezogen, während die Ephemeride sich gewöhnlich auf den Aequator bezieht. Um den Uebergang auf die letztere Ebene zu bewerkstelligen, hat man, wenn ϵ die Schiefe der Ekliptik bezeichnet und ξ', η', ζ' die neuen Werthe vorstellen, nach 1. pag. 12, die Formeln:

$$\begin{aligned}\xi' &= \xi \\ \eta' &= \eta \cos \epsilon - \zeta \sin \epsilon \\ \zeta' &= \eta \sin \epsilon + \zeta \cos \epsilon;\end{aligned}$$

diese Werthe wird man an die ungestörten äquatoralen Coordinaten x_0', y_0', z_0' des Planeten anbringen, um die gestörten, der Ephemeridenrechnung zu Grunde zu legenden äquatoralen Coordinaten x', y', z' zu erhalten; diese sind jetzt:

$$\begin{aligned}x' &= x_0' + \xi' \\ y' &= y_0' + \eta' \\ z' &= z_0' + \zeta' .\end{aligned}$$

Man wird eine Reihe von Werthen für ξ, η, ζ für die Nähe der Opposition nach den Formeln A_{0j} und B_{0j} (pag. 53) rechnen, und aus der so erhaltenen Integraltafel die für die Epochen der Ephemeride geltenden speciellen Werthe entnehmen; es ist klar, dass die Berechnung der Coordinaten wohl niemals genauer, als auf Einheiten der 7^{ten} Decimale ausgeführt zu werden braucht.

§. 4. Uebergang auf osculirende Elemente bei Encke's Methode.

Die Störungswerthe wachsen mit der Zeit fortwährend an und häufig genug tritt der Fall ein, dass die Fortführung der Störungsrechnung wegen der Grösse der Störungen und wegen des unregelmässigen Ganges derselben nach den obigen Vorschriften sehr beschwerlich und die Genauigkeit der Rechnung fraglich wird. Das unten folgende Beispiel zeigt diesen Uebelstand sehr auffällig, und die Rechnung ist eigentlich weiter fortgesetzt, als es für die Sicherheit derselben wünschenswerth erscheint. Es sollte aber gezeigt werden, was die verschiedenen Methoden leisten, und das gewählte Beispiel zeigt ganz auffällig die Vortheile der Methode der Berechnung der Störungen nach den Hansen'schen Coordinaten, wenn die Störungen sehr anwachsen; in der That ist der Uebergang auf osculirende Elemente nach der letzteren Methode ganz überflüssig und ist nur ausgeführt, um vergleichende Resultate zu erlangen.

Wünscht man also aus irgend einem Grunde die Störungen auf die Elemente zu übertragen, so tritt die Nothwendigkeit auf, hierfür geeignete Formeln zu besitzen. Für die Genauigkeit der Rechnung ist es wünschenswerth, sofort den Ueberschluss der gestörten Elemente über die ungestörten zu bestimmen. Die Formeln werden bei dieser Forderung zwar etwas verwickelter, die grössere Mühe aber kommt

gegen die erzielte Genauigkeitszunahme kaum in Betracht; doch soll, um zweckmässige Controlen zu erhalten, später ebenfalls die Methode entwickelt werden, unmittelbar aus den gestörten Coordinaten und den gestörten Geschwindigkeiten die Elemente zu bestimmen.

Vorerst soll vorausgesetzt sein, dass in geeigneter Weise die Störungen des Radiusvector, des ersten Differentialquotienten desselben nach der Zeit, und die Störung des Werthes der Quadratwurzel des Parameters bekannt seien; es soll also, wenn die ungestörten Grössen durch einen angehängten Nullindex dargestellt sind, bezeichnet werden:

$$\begin{aligned} r - r_0 &= J(r) \\ \frac{dr}{dt} - \frac{dr_0}{dt} &= J\left(\frac{dr}{dt}\right) \\ \sqrt{p} - \sqrt{p_0} &= J(\sqrt{p}) \end{aligned}$$

Aus $J(\sqrt{p})$ leitet sich leicht der Unterschied der Parameter $J(p)$ ab; denn multiplicirt man in der letzten Gleichung beiderseits mit $\sqrt{p} + \sqrt{p_0}$, so erhält man leicht:

$$p - p_0 = J(p) = \{2\sqrt{p_0} + J(\sqrt{p})\} J(p). \quad 1)$$

Die bekannte Polargleichung für r gibt:

$$e \cos r = \frac{p}{r} - 1,$$

und die Differentiation dieses Ausdruckes unter Berücksichtigung, dass:

$$\frac{dr}{dt} = \frac{k}{r^2} \sqrt{p} \quad 2)$$

ist, lässt finden:

$$e \sin r = \frac{1}{k} \sqrt{p} \left(\frac{dr}{dt} \right). \quad 3)$$

Die letzteren beiden Gleichungen geben die Hilfsmittel an die Hand, die Excentricität und die wahre Anomalie zu finden, und können leicht auf Formen überführt werden, welche die Unterschiede der gestörten gegen die ungestörten Werthe finden lassen; man wird haben:

$$\begin{aligned} e \sin r &= \left(\frac{\sqrt{p_0} + J(\sqrt{p})}{k} \right) \left(\frac{dr_0}{dt} + J\left(\frac{dr}{dt}\right) \right) = e_0 \sin r_0 + \frac{1}{k} \left\{ \frac{dr_0}{dt} J(\sqrt{p}) + \sqrt{p} J\left(\frac{dr}{dt}\right) \right\} \\ e \cos r &= \frac{p_0}{r_0} - 1 + \frac{p - p_0}{r r_0} = e_0 \cos r_0 + \frac{1}{r} \left\{ J(p) - \frac{p_0}{r_0} J(r) \right\}, \end{aligned}$$

wobei man für $\frac{dr_0}{dt}$ zu setzen haben wird:

$$\frac{dr_0}{dt} = e_0 \sin r_0 \frac{k}{\sqrt{p_0}}.$$

Setzt man weiter:

$$\begin{aligned} \frac{1}{k} \left\{ \frac{dr_0}{dt} J(\sqrt{p}) + \sqrt{p} J\left(\frac{dr}{dt}\right) \right\} &= g \sin G \\ \frac{1}{r} \left\{ J(p) - \frac{p_0}{r_0} J(r) \right\} &= g \cos G \end{aligned}$$

so wird:

$$\begin{aligned} e \sin v &= e_0 \sin v_0 + g \sin G \\ e \cos v &= e_0 \cos v_0 + g \cos G \end{aligned}$$

woraus man sofort ableitet:

$$\begin{aligned} e \sin (v - v_0) &= g \sin (G - v_0) \\ e \cos (v - v_0) &= e_0 + g \cos (G - v_0) \end{aligned} \quad 4)$$

man hat man zur Bestimmung des Unterschiedes der wahren Anomalien die Gleichung:

$$\tan g (v - v_0) = \frac{g \sin (G - v_0)}{e_0 + g \cos (G - v_0)} \quad 5)$$

Der Quadrant, in welchem $v - v_0$ zu nehmen ist, kann wohl nie zweifelhaft sein, da $v - v_0$ im Allgemeinen nur ein sehr mässiger Bogen sein kann; sollte aber jemals bei sehr kleiner Excentricität ein Zweifel in dieser Richtung auftreten, so wird man zu beachten haben, dass $\sin (v - v_0)$ das Zeichen des Zählers, $\cos (v - v_0)$ das Zeichen des Nenners hat.

Multiplirt man in 4) die erste Gleichung mit $\sin \frac{1}{2} (v - v_0)$, die zweite mit $\cos \frac{1}{2} (v - v_0)$ und addirt, so findet sich:

$$J(e) = e - e_0 = \frac{g \cos \frac{1}{2} (G - \frac{1}{2} (v + v_0))}{\cos \frac{1}{2} (v - v_0)}$$

wodurch der Unterschied der Excentricitäten ermittelt erscheint; später bedarf man noch des Unterschiedes der Quadrate der Excentricitäten; man findet ähnlich wie in der Gleichung 1):

$$J(e^2) = e^2 - e_0^2 = \{ 2e_0 + J(e) \} J(e).$$

Da in den elliptischen Elementen anstatt der Excentricität gewöhnlich der Excentricitätswinkel aufgeführt erscheint, so ist es angemessen, ebenfalls die Bestimmung von $q - q_0$ auszuführen. Man wird zu dem Ende aus e_0 und $J(e)$ den Werth von $e = \sin q$ mit einer genügenden Annäherung berechnen und hat dann:

$$\sin \frac{1}{2} (q - q_0) = \frac{J(e)}{2 \cos \frac{1}{2} (q + q_0)}$$

Der durch (5) ermittelte Unterschied der wahren Anomalien kann dazu benützt werden, den Unterschied der mittleren Anomalien zu bestimmen, da die mittlere Anomalie gewöhnlich als Element angesetzt wird. Bei der Kleinheit der Excentricität der Planetenbahnen wird man kaum wesentlich an Sicherheit der Rechnung einbüßen, wenn man M mit Hilfe der bekannten Formeln:

$$\begin{aligned} \sin \frac{1}{2} (v - E) &= \sqrt{\frac{r}{p}} \sin \frac{1}{2} q \sin v \\ M &= E - e \sin E \end{aligned} \quad 6)$$

bestimmt und durch Vergleichung mit M_0 den Werth $M - M_0$ ermittelt. Es scheint aber der vorgesetzten Lösung des Problems angemessen, auch hier die kleine Mehrarbeit nicht zu scheuen und die Formeln direct auf die Unterschiede zurückzuführen. Setzt man:

$$\begin{aligned}\sin v \cos q &= \sin v_0 \cos q_0 + (\sigma) \\ \cos v + e &= \cos v_0 + e_0 + (\gamma) \\ \frac{1}{1 + e \cos v} &= \frac{1}{1 + e_0 \cos v_0} + (\varrho),\end{aligned}$$

so ergibt sich leicht, wenn man beachtet, dass geschrieben werden kann:

$$(\varrho) = \frac{r}{p} - \frac{r_0}{p_0}, \quad (7)$$

$$\begin{aligned}(\sigma) &= 2 \sin \frac{1}{2} (v - v_0) \cos \frac{1}{2} (v + v_0) \cos q - 2 \sin \frac{1}{2} (q - q_0) \sin \frac{1}{2} (q + q_0) \sin v_0 \\ (\gamma) &= J(e) - 2 \sin \frac{1}{2} (v - v_0) \sin \frac{1}{2} (v + v_0) \\ (\varrho) &= \frac{J(r)}{p} - \frac{r_0}{p p_0} J(p); \quad (8)\end{aligned}$$

man ist aber:

$$\begin{aligned}\sin E &= \frac{\sin r \cos q}{1 + e \cos v} \\ \cos E &= \frac{\cos v + e}{1 + e \cos v},\end{aligned}$$

demnach wird:

$$\begin{aligned}\sin E &= \sin E_0 + \varrho \sin v_0 \cos q_0 + \sigma \left\{ \frac{r_0}{p_0} + (\varrho) \right\} \\ \cos E &= \cos E_0 + \varrho \{ \cos v_0 + e_0 \} + (\gamma) \left\{ \frac{r_0}{p_0} + (\varrho) \right\}.\end{aligned}$$

Beachtet man aber, dass ist nach (7):

$$\frac{r_0}{p_0} + (\varrho) = \frac{r}{p}$$

und dass geschrieben werden kann:

$$\begin{aligned}\sin v_0 \cos q_0 &= \sin E_0 \frac{p_0}{r_0} \\ \cos v_0 + e_0 &= \cos E_0 \frac{p_0}{r_0}\end{aligned}$$

und setzt:

$$\lambda = \frac{p_0}{r_0} \varrho = \frac{p_0}{p} \frac{J(r)}{r_0} - \frac{J(p)}{p}$$

so kann man auch schreiben $\lambda = -\frac{r}{p} g \cos G$ und setzt überdies:

$$\begin{aligned}(\lambda \sin E_0 + \sigma) \frac{r}{p} &= g' \sin G' \\ (\lambda \cos E_0 + \gamma) \frac{r}{p} &= g' \cos G' \quad (9)\end{aligned}$$

so findet sich leicht:

$$\tan (E - E_0) = \frac{g' \sin (G' - E_0)}{1 + g' \cos (G' - E_0)}. \quad (10)$$

Aus der Vergleichung der Ausdrücke:

$$\begin{aligned}M &= E - e \sin E \\ M_0 &= E_0 - e_0 \sin E_0\end{aligned}$$

folgt sofort:

$$M - M_0 = E - E_0 - 2 e_0 \sin \frac{1}{2} (E - E_0) \cos \frac{1}{2} (E + E_0) - \sin E J(e), \quad (11)$$

so dass die Gleichungen (8), (9), (10) und (11) die Resultate aus 6) ersetzen.

Es erübrigt nun, um die Dimensionen des Kegelschnittes völlig zu bestimmen, die Ermittlung des Unterschiedes der grossen Halbachsen. Es ist:

$$a - a_0 = \frac{p}{1 - e}, \quad \frac{p_0}{1 - e_0^2} = \frac{p - p_0}{1 - e^2} + p_0 \left(\frac{1}{1 - e^2} - \frac{1}{1 - e_0^2} \right) = \frac{p - p_0}{1 - e^2} + a_0 \frac{\mathcal{J}(e^2)}{1 - e^2}$$

oder:

$$\frac{\mathcal{J} a}{a_0} = \frac{a - a_0}{a_0} = \frac{\mathcal{J} p}{p_0} + \frac{a_0 \mathcal{J} e^2}{a_0 \mathcal{J} e^2}.$$

Gewöhnlich wird aber statt a die tägliche mittlere siderische Bewegung μ angesetzt. Man hat hierfür:

$$\mu - \mu_0 + \mathcal{J}\mu = k \{ a_0 + \mathcal{J} a \}^{\frac{3}{2}} = \mu_0 \left\{ 1 + \frac{\mathcal{J} a}{a_0} \right\}^{\frac{3}{2}};$$

es ist also, wenn man eine Reihenentwicklung ausführt und

$$\frac{\mathcal{J} a}{2 a_0} = q$$

setzt,

$$\mu = \mu_0 \left\{ 1 - 3q + \frac{3 \cdot 5}{1 \cdot 2} q^2 - \frac{3 \cdot 5 \cdot 7}{1 \cdot 2 \cdot 3} q^3 + \dots \right\};$$

die in den Klammern stehende Reihe, vom zweiten Gliede angefangen, ist nichts anderes, als der Werth von $-fq$, wobei $\log f$ aus der f -Tafel (Tafel XI) zu entnehmen ist, die bei früheren Entwicklungen (pag. 75) bereits benützt wurde; man hat also zur Berechnung von μ die Formeln:

$$q = \frac{\mathcal{J} p + a_0 \mathcal{J} e^2}{2 \{ p_0 - a_0 \mathcal{J}(e^2) \}},$$

$$\mu - \mu_0 = -fq \mu_0.$$

Die Berechnung von $a - a_0$ oder von $\mu - \mu_0$ kann aber auch in einer anderen Weise vorgenommen werden, die zur Controle benützt werden kann und später in geeigneter Weise Verwendung findet.

Das Quadrat der Geschwindigkeit kann nach der Gleichung für g (I pag. 44) dargestellt werden durch:

$$g^2 = k^2 \left(\frac{2}{r} - \frac{1}{a} \right);$$

setzt man nun den Unterschied der Quadrate in der gestörten und ungestörten Bewegung als bekannt voraus und schreibt:

$$\mathcal{J} g^2 = g^2 - g_0^2$$

so wird:

$$\frac{\mathcal{J} g^2}{k^2} = 2 \left(\frac{1}{r} - \frac{1}{r_0} \right) - \left(\frac{1}{a} - \frac{1}{a_0} \right) = \frac{a - a_0}{a a_0} - \frac{2}{r r_0} \frac{r - r_0}{r r_0};$$

setzt man also abkürzend:

$$\frac{\mathcal{J} g^2}{k^2} + \frac{2(r - r_0)}{r r_0} = P \quad (12)$$

so wird:

$$\frac{a - a_0}{a a_0} = P$$

und

endlich

$$\left. \begin{aligned} \frac{a-a_0}{a_0} &= -\frac{a_0 P}{1-a_0 P} = 2q \\ \mu-\mu_0 &= -fq\mu_0 \end{aligned} \right\} \quad (13)$$

Die eben entwickelten Formeln setzen die Kenntniss von $\mathcal{A} r$, $\mathcal{A} \left(\frac{dr}{dt} \right)$, $\mathcal{A} (Vp)$ und überdiess, wenn man zur Bestimmung von $\mu-\mu_0$ die zweite Methode benützen will, die Kenntniss von $\mathcal{A} (g^2)$ voraus, sind aber übrigens völlig frei von der Methode, die der Berechnung der Störungen zu Grunde gelegt wurde. Die Ermittlung der eben hingeschriebenen Grössen und die Bestimmung der Bahnlage muss aber verschieden durchgeführt werden je nach der Methode der Störungsrechnung, und es wird vorerst vorausgesetzt, dass die Störungen nach den rechtwinkligen Ekliptikalkoordinaten berechnet sind.

Für die Zeit der gewählten Osculationsepoche sind die Störungen der Coordinaten ξ , η , ζ und die Störungen in den Geschwindigkeiten $\frac{d\xi}{dt}$, $\frac{d\eta}{dt}$, $\frac{d\zeta}{dt}$ nach der bei der mechanischen Quadratur auseinander gesetzten Methode zu bestimmen; die vorgelegte Aufgabe fordert die Kenntniss der Werthe der einfachen und Doppel-Integrale für die Osculationsepoche, und ich setze zunächst voraus, dass die numerischen Werthe gegeben seien.

Zur Bestimmung des Knotens, der Neigung der Bahn und des Parameters hat man die bekannten Gleichungen I pag. 41 und 159 :

$$\begin{aligned} k \sqrt{p} \cos i &= x \frac{dy}{dt} - y \frac{dx}{dt} \\ k \sqrt{p} \sin i \sin \varpi &= y \frac{dz}{dt} - z \frac{dy}{dt} \\ k \sqrt{p} \sin i \cos \varpi &= x \frac{dz}{dt} - z \frac{dx}{dt} \quad ; \end{aligned} \quad (14)$$

beachtet man, dass ist:

$$\begin{aligned} x &= x_0 + \xi, & \frac{dx}{dt} &= \frac{dx_0}{dt} + \frac{d\xi}{dt} \\ y &= y_0 + \eta, & \frac{dy}{dt} &= \frac{dy_0}{dt} + \frac{d\eta}{dt} \\ z &= z_0 + \zeta, & \frac{dz}{dt} &= \frac{dz_0}{dt} + \frac{d\zeta}{dt} \end{aligned} \quad (15)$$

und schreibt:

$$\begin{aligned} X &= \left\{ (x_0 + \xi) \frac{d\eta}{dt} + \xi \frac{dy_0}{dt} \right\} - \left\{ (y_0 + \eta) \frac{d\xi}{dt} + \eta \frac{dx_0}{dt} \right\} \\ Y &= \left\{ (y_0 + \eta) \frac{d\zeta}{dt} + \eta \frac{dz_0}{dt} \right\} - \left\{ (z_0 + \zeta) \frac{d\eta}{dt} + \zeta \frac{dy_0}{dt} \right\} \\ Z &= \left\{ (x_0 + \xi) \frac{d\zeta}{dt} + \xi \frac{dz_0}{dt} \right\} - \left\{ (z_0 + \zeta) \frac{d\xi}{dt} + \zeta \frac{dx_0}{dt} \right\} \end{aligned} \quad (16)$$

so erfordert die Berechnung dieser Formeln die Kenntniss der Werthe x_0 , y_0 , z_0 und $\frac{dx_0}{dt}$, $\frac{dy_0}{dt}$, $\frac{dz_0}{dt}$, d. i. der ungestörten Coordinaten und Geschwindigkeiten.

Für die Coordinaten hat man (vergl. I. pag. 16) :

$$\begin{aligned}
 x_0 &= r_0 (\cos u_0 \cos \varrho_0 - \sin u_0 \sin \varrho_0 \cos i_0) \\
 y_0 &= r_0 (\cos u_0 \sin \varrho_0 + \sin u_0 \cos \varrho_0 \cos i_0) \\
 z_0 &= r_0 \sin u_0 \sin i_0.
 \end{aligned} \tag{17}$$

Die Berechnung dieser Formeln gestaltet sich durch Einführung einiger Hilfswinkel etwas bequemer; setzt man nämlich:

$$\begin{aligned}
 \sin a \sin A &= \cos \varrho_0 \\
 \sin a \cos A &= -\sin \varrho_0 \cos i_0 \\
 \sin b \sin B &= \sin \varrho_0 \\
 \sin b \cos B &= \cos \varrho_0 \cos i_0
 \end{aligned} \tag{18}$$

so erhält man statt (17):

$$\begin{aligned}
 x_0 &= r_0 \sin a \sin (A + u_0) \\
 y_0 &= r_0 \sin b \sin (B + u_0) \\
 z_0 &= r_0 \sin i_0 \sin u_0 \quad ;
 \end{aligned} \tag{19}$$

Differentiirt man nun nach der Zeit und beachtet, dass

$$u_0 = r_0 + \omega_0 ,$$

also

$$\frac{du_0}{dt} = \frac{dr_0}{dt} ,$$

ist, so wird:

$$\begin{aligned}
 \frac{dx_0}{dt} &= \sin a \sin (A + u_0) \frac{dr_0}{dt} + r_0 \sin a \cos (A + u_0) \frac{du_0}{dt} \\
 \frac{dy_0}{dt} &= \sin b \sin (B + u_0) \frac{dr_0}{dt} + r_0 \sin b \cos (B + u_0) \frac{du_0}{dt} \\
 \frac{dz_0}{dt} &= \sin i_0 \sin u_0 \frac{dr_0}{dt} + r_0 \sin i_0 \cos u_0 \frac{du_0}{dt} \quad ,
 \end{aligned}$$

führt man für $\frac{dr_0}{dt}$ und $\frac{du_0}{dt}$ die Werthe ein (vergl. oben (2) und (3) pag. 89):

$$\begin{aligned}
 \frac{dr_0}{dt} &= r_0 \sin e_0 \frac{k}{\rho_0} \\
 \frac{du_0}{dt} &= \frac{k}{r_0^2} \frac{1}{\rho_0}
 \end{aligned}$$

so wird:

$$\begin{aligned}
 \frac{dx_0}{dt} &= \sin a \frac{k}{\rho_0} \left\{ \sin (A + u_0) e_0 \sin e_0 + \cos (A + u_0) (1 + e_0 \cos e_0) \right\} \\
 \frac{dy_0}{dt} &= \sin b \frac{k}{\rho_0} \left\{ \sin (B + u_0) e_0 \sin e_0 + \cos (B + u_0) (1 + e_0 \cos e_0) \right\} \\
 \frac{dz_0}{dt} &= \sin i_0 \frac{k}{\rho_0} \left\{ \sin u_0 e_0 \sin e_0 + \cos u_0 (1 + e_0 \cos e_0) \right\} \quad .
 \end{aligned}$$

Setzt man also:

$$\begin{aligned}
 \frac{k}{\rho_0} \sin u_0 + e_0 \sin \omega_0 &= c \sin U \\
 \frac{k}{\rho_0} (\cos u_0 + e_0 \cos \omega_0) &= c \cos U
 \end{aligned} \tag{20a}$$

so wird:

$$\left. \begin{aligned} \frac{dx_0}{dt} &= c \sin a \cos (A + U) \\ \frac{dy_0}{dt} &= c \sin b \cos (B + U) \\ \frac{dz_0}{dt} &= c \sin i_0 \cos U \end{aligned} \right\} \quad (21)$$

Die Rechnung für c und U lässt sich aber einfacher stellen; man findet leicht, wenn man statt u_0 setzt $e_0 + \omega_0$ und entwickelt:

$$\left. \begin{aligned} \gamma \sin I &= \sin e_0 \\ \gamma \cos I &= \cos e_0 + \sin q_0 \\ I &= I' + \omega_0 \\ c &= \frac{\gamma k}{1 p_0} \end{aligned} \right\} \quad (20b)$$

Die Gleichungen (18), (19), (20b) und (21) leisten also die Bestimmung der zur Berechnung von (16) notwendigen Grössen. Man kann demnach schreiben:

$$\left. \begin{aligned} k \sqrt{p} \cos i &= k \sqrt{p_0} \cos i_0 + X \\ k \sqrt{p} \sin i \sin \varrho &= k \sqrt{p_0} \sin i_0 \sin \varrho_0 + Y \\ k \sqrt{p} \sin i \cos \varrho &= k \sqrt{p_0} \sin i_0 \cos \varrho_0 + Z \end{aligned} \right\} \quad (22)$$

Setzt man überdiess:

$$\begin{aligned} Y &= m \sin M \\ Z &= m \cos M, \end{aligned}$$

so erhält man leicht:

$$\left. \begin{aligned} k \sqrt{p} \sin i \sin (\varrho - \varrho_0) &= m \sin (M - \varrho_0) \\ k \sqrt{p} \sin i \cos (\varrho - \varrho_0) &= k \sqrt{p_0} \sin i_0 + m \cos (M - \varrho_0) \end{aligned} \right\} \quad (23)$$

und es wird demnach:

$$\tan (\varrho - \varrho_0) = \frac{m \sin (M - \varrho_0)}{k \sqrt{p_0} \sin i_0 + m \cos (M - \varrho_0)},$$

wobei also, was bei sehr kleinen Neigungen möglicher Weise beachtet werden müsste, die Tangente so zu bestimmen ist, dass $\sin (\varrho - \varrho_0)$ das Zeichen des Zählers, $\cos (\varrho - \varrho_0)$ das Zeichen des Nenners erhält.

Multipliziert man die Gleichungen (23) beziehungsweise mit $\sin \frac{1}{2} (\varrho - \varrho_0)$ und $\cos \frac{1}{2} (\varrho - \varrho_0)$, addirt und setzt das Resultat dieser Operation mit der ersten der Gleichungen (22) an, so findet sich:

$$\begin{aligned} k \sqrt{p} \sin i &= k \sqrt{p_0} \sin i_0 + m \frac{\cos \{ M - \frac{1}{2} (\varrho + \varrho_0) \}}{\cos \frac{1}{2} (\varrho - \varrho_0)} \\ k \sqrt{p} \cos i &= k \sqrt{p_0} \cos i_0 + X; \end{aligned}$$

setzt man nun weiter:

$$\begin{aligned} m \frac{\cos \{ M - \frac{1}{2} (\varrho + \varrho_0) \}}{\cos \frac{1}{2} (\varrho - \varrho_0)} &= n \sin N \\ X &= n \cos N, \end{aligned}$$

so findet sich leicht:

$$\begin{aligned}\tan(i - i_0) &= \frac{u \sin(N - i_0)}{k + p_0 + u \cos(N - i_0)} \\ A(1/p) &= 1/p - 1/p_0 = \frac{u \cos\{N - \frac{1}{2}(i + i_0)\}}{k \cos \frac{1}{2}(i - i_0)}.\end{aligned}$$

Hiermit erscheint die Lage der Bahnebene und die Grösse $A(1/p)$ bestimmt; es erübrigt aber noch, die Lage der Bahn in dieser Ebene, und die Grössen $A(r)$ sowie $A\left(\frac{dr}{dt}\right)$ zu bestimmen.

Aus den Gleichungen (vergl. (17) pag. 94):

$$\begin{aligned}x &= r \cos u \cos \varOmega - r \sin u \sin \varOmega \cos i \\ y &= r \cos u \sin \varOmega + r \sin u \cos \varOmega \cos i \\ z &= r \sin u \sin i\end{aligned}$$

findet sich leicht:

$$\left. \begin{aligned}r \cos u &= x \cos \varOmega + y \sin \varOmega \\ r \sin u \cos i &= y \cos \varOmega - x \sin \varOmega \\ r \sin u \sin i &= z\end{aligned} \right\} \quad (24)$$

führt man in diesen Gleichungen statt x, y, z die Werthe $(x_0 + \xi), (y_0 + \eta), (z_0 + \zeta)$ ein und berücksichtigt ausserdem, dass ist:

$$\begin{aligned}\cos \varOmega &= \cos \varOmega_0 - 2 \sin \frac{1}{2}(\varOmega + \varOmega_0) \sin \frac{1}{2}(\varOmega - \varOmega_0) \\ \sin \varOmega &= \sin \varOmega_0 + 2 \cos \frac{1}{2}(\varOmega + \varOmega_0) \sin \frac{1}{2}(\varOmega - \varOmega_0)\end{aligned}$$

so wird

$$\left. \begin{aligned}r \cos u &= x_0 \cos u_0 + X' \\ r \sin u \cos i &= x_0 \sin u_0 \cos i_0 + Y' \\ r \sin u \sin i &= x_0 \sin u_0 \sin i_0 + \zeta\end{aligned} \right\} \quad (25)$$

wobei offenbar

$$\begin{aligned}X' &= -2x_0 \sin \frac{1}{2}(\varOmega + \varOmega_0) \sin \frac{1}{2}(\varOmega - \varOmega_0) + \xi \cos \varOmega + 2y_0 \cos \frac{1}{2}(\varOmega + \varOmega_0) \sin \frac{1}{2}(\varOmega - \varOmega_0) + \eta \sin \varOmega \\ Y' &= -2y_0 \sin \frac{1}{2}(\varOmega + \varOmega_0) \sin \frac{1}{2}(\varOmega - \varOmega_0) + \eta \cos \varOmega - 2x_0 \cos \frac{1}{2}(\varOmega + \varOmega_0) \sin \frac{1}{2}(\varOmega - \varOmega_0) - \xi \sin \varOmega\end{aligned}$$

angenommen ist.

Diese Formeln lassen sich durch Einführung der folgenden Hilfswinkel etwas zusammenziehen; schreibt man nämlich:

$$\begin{aligned}x_0 &= s \cos S \\ y_0 &= s \sin S \\ \xi &= \sigma \cos \Sigma \\ \eta &= \sigma \sin \Sigma\end{aligned}$$

so wird:

$$\begin{aligned}X' &= \sigma \cos \{\Sigma - \varOmega + 2s \sin \frac{1}{2}(\varOmega - \varOmega_0) \sin \{S - \frac{1}{2}(\varOmega + \varOmega_0)\} \\ Y' &= \sigma \sin \{\Sigma - \varOmega - 2s \sin \frac{1}{2}(\varOmega - \varOmega_0) \cos \{S - \frac{1}{2}(\varOmega + \varOmega_0)\}\}.\end{aligned}$$

Behandelt man die Gleichungen (25) in analoger Weise, wie die Gleichungen (22) pag. 95 und setzt:

$$\zeta = m' \sin M'$$

$$Y' = m' \cos M'$$

$$\frac{m' \cos \left\{ M' - \frac{1}{2} (i + i_0) \right\}}{\cos \frac{1}{2} (i - i_0)} = n' \sin N'$$

$$X' = n' \cos N'$$

so wird:

$$\left. \begin{aligned} \text{tang } (u - u_0) &= \frac{n' \sin N' - u_0}{r_0 + n' \cos (N' - u_0)} \\ f(r) = r - r_0 &= \frac{n' \cos \left\{ N' - \frac{1}{2} (u + u_0) \right\}}{\cos \frac{1}{2} (u - u_0)} \end{aligned} \right\} \quad (26)$$

und hiermit ist auch ω bekannt, denn man hat:

$$\begin{aligned} \omega &= u - v \\ \omega_0 &= u_0 - v_0, \end{aligned}$$

daher:

$$\left. \begin{aligned} \omega - \omega_0 &= (u - u_0) - (v - v_0) \\ r - r_0 &= (\omega - \omega_0) + (\varpi - \varpi_0) \end{aligned} \right\} \quad (27)$$

Um die Störungen in den Elementen zu berechnen, bedarf es nur noch der Kenntniss des Werthes:

$$f \left(\frac{dr}{dt} \right) = \frac{dr}{dt} - \frac{dr_0}{dt}.$$

Differentiirt man die Gleichung:

$$r^2 = x^2 + y^2 + z^2$$

nach der Zeit, so erhält man:

$$r \frac{dr}{dt} = x \frac{dx}{dt} + y \frac{dy}{dt} + z \frac{dz}{dt};$$

andererseits besteht die Gleichung:

$$r_0 \frac{dr_0}{dt} = x_0 \frac{dx_0}{dt} + y_0 \frac{dy_0}{dt} + z_0 \frac{dz_0}{dt};$$

durch Subtraction und eine einfache Transformation erhält man, wenn

$$D = (x_0 + \xi) \frac{dx}{dt} + \xi \frac{dx_0}{dt} + (y_0 + \eta) \frac{dy}{dt} + \eta \frac{dy_0}{dt} + (z_0 + \zeta) \frac{dz}{dt} + \zeta \frac{dz_0}{dt},$$

gesetzt wird, sofort:

$$\frac{dr_0}{dt} f(r_0) + r f \left(\frac{dr}{dt} \right) = D.$$

und indem man sich erinnert, dass $\frac{dr_0}{dt}$ berechnet werden kann nach:

$$\frac{dr_0}{dt} = \frac{k v_0}{1 - p_0} \sin e_0,$$

so hat man:

$$f \left(\frac{dr}{dt} \right) = \frac{D - \frac{dr_0}{dt} f(r_0)}{r} \quad (28)$$

Die Grösse $(r - r_0)$ kann aber auch in anderer Weise leicht erhalten werden, und man kann diesen Werth entweder zur Controle benützen, oder man wird sich

auf diese Methode der Berechnung beschränken, wenn man nicht die Formeln (12) und (13) pag. 92, 93, rechnen will; ich werde hier ausserdem die Berechnung von μ/g^2 vornehmen, welche Grösse man im vorliegenden Falle ebenfalls nöthig hat.

Es ist:

$$r^2 = x^2 + y^2 + z^2 \\ r_0^2 = x_0^2 + y_0^2 + z_0^2.$$

Setzt man also:

$$B = \xi (2x_0 + \xi) + \eta (2y_0 + \eta) + \zeta (2z_0 + \zeta), \quad (29)$$

so wird:

$$B = (r - r_0) (r + r_0);$$

um hieraus $r - r_0$ zu bestimmen, kann man den folgenden Kettenbruch benützen:

$$r - r_0 = \frac{B}{2r_0 + \frac{B}{2r_0 + \frac{B}{2r_0 + \dots}}},$$

oder einfacher da r mit genügender Genauigkeit aus den vorangehenden Rechnungen bekannt ist:

$$r - r_0 = \frac{B}{r + r_0}, \quad (30)$$

womit eine Controle der zweiten Formel (20, pag. 97) erlangt werden kann; weiter ist:

$$g^2 = \left(\frac{dx}{dt}\right)^2 + \left(\frac{dy}{dt}\right)^2 + \left(\frac{dz}{dt}\right)^2 \\ g_0^2 = \left(\frac{dx_0}{dt}\right)^2 + \left(\frac{dy_0}{dt}\right)^2 + \left(\frac{dz_0}{dt}\right)^2;$$

setzt man also:

$$k^2 A = \frac{d\xi}{dt} \left(2 \frac{dx_0}{dt} + \frac{d\xi}{dt}\right) + \frac{d\eta}{dt} \left(2 \frac{dy_0}{dt} + \frac{d\eta}{dt}\right) + \frac{d\zeta}{dt} \left(2 \frac{dz_0}{dt} + \frac{d\zeta}{dt}\right), \quad (31)$$

so berechnet sich P (vgl. Formel (12) pag. 92) nach:

$$P = A + \frac{2(r - r_0)}{r r_0}, \quad (32)$$

und hiermit erscheinen alle Formeln entwickelt, deren man zu dem Uebergange auf osculirende Elemente bedarf.

Um eine scharfe Controle für die Richtigkeit der Rechnung zu erlangen, wird es sich empfehlen, indem man die Formeln (18), (19), (20b) und (21) auf die neuen osculirenden Elemente anwendet, die gestörten Coordinaten und Geschwindigkeiten direct abzuleiten, welche innerhalb der Unsicherheit der Rechnung mit den der Rechnung zu Grunde gelegten Werthen nach (15) (pag. 93) stimmen müssen. Hierbei könnte allerdings ein kleiner Fehler in der Bestimmung von μ sich leicht mit der Unsicherheit der Rechnung vermischen; man wird aber in der Bestimmung dieses Elementes kaum einen Fehler begehen können, da vorausgesetzt ist, dass $\mu - \mu_0$ nach beiden oben angeführten Methoden bestimmt wurde, also zwei nahezu unabhängige Resultate für dasselbe Element vorliegen.

Will man jedoch die gestörten Elemente unmittelbar aus den gestörten

Coordinaten und Geschwindigkeiten ableiten, so wird man auf eine sehr kurze Rechnung geführt.

Man bestimmt vorerst nach (15) (pag. 93) die Werthe $x, y, z, \frac{dx}{dt}, \frac{dy}{dt}, \frac{dz}{dt}$, und erhält so aus (14) (pag. 93) die Elemente \sqrt{p}, i, Ω .

Aus den Gleichungen (24) (pag. 96) erhält man:

$$\begin{aligned} r \cos u &= x \cos \Omega + y \sin \Omega \\ r \sin u &= y \cos \Omega \cos i - x \sin \Omega \cos i + z \sin i; \end{aligned}$$

hierdurch gelangt man zur Kenntniss von r und u , und man kann nachsehen, ob die Gleichung:

$$x^2 + y^2 + z^2 = r^2$$

erfüllt wird. Hierauf berechnet man:

$$\frac{dr}{dt} = \frac{1}{r} \left(x \frac{dx}{dt} + y \frac{dy}{dt} + z \frac{dz}{dt} \right),$$

und hat zur Bestimmung von q (vergl. (2) und (3) (pag. 89)) die Gleichungen:

$$\begin{aligned} \sin q \sin r &= \frac{\sqrt{p}}{k} \left(\frac{dr}{dt} \right) \\ \sin q \cos r &= \frac{p}{r} - 1; \end{aligned}$$

aus r findet sich die mittlere Anomalie nach

$$\begin{aligned} \tan \frac{1}{2} E &= \tan \frac{1}{2} r \tan (15^\circ - \frac{1}{2} q) \\ M - E &= \frac{\sin q}{\sin 1''} \sin E \end{aligned}$$

und ausserdem ist:

$$\left. \begin{aligned} \omega &= u - r \\ \mu &= \omega + \Omega, \end{aligned} \right\} \quad 33)$$

so dass alle Elemente bis auf die grosse Halbachse bestimmt sind, welche letztere sich aber leicht aus:

$$\left. \begin{aligned} a &= \frac{p}{\cos^2 q}, \quad \mu = \frac{k''}{a^{\frac{3}{2}}}, \\ \log k'' &= 3.550 \ 0066 \end{aligned} \right\} \quad 34)$$

berechnet.

Wie man sieht, ist die Rechnung sehr kurz und bequem, doch hat man, da Fehler in der Bestimmung von μ mit der Zeit anwachsen, den Nachtheil, dass, um die nöthige Genauigkeit zu erlangen, grössere Tafeln zur Berechnung benützt werden müssen. Es erscheint daher zweckmässig, statt der Formeln 34 die oben angeführten Formeln (29), (30), (31) und (32) in Verbindung mit (13) zu benützen. Als Controle für die Richtigkeit der Rechnung kann man wieder die Rückrechnung der Coordinaten und Geschwindigkeiten nach den Formeln (18), (19), (20) und (21) unter Zuziehung der neuen Elemente benützen; allerdings entziehen sich sehr kleine Fehler in der Bestimmung von $\mu - \mu_0$ nach den Formeln (29), (30), (31) und (32) der Controle; man wird demnach diesen Theil der Rechnung einer sorgfältigen Revision unterwerfen.

Ich werde nun die für den Uebergang auf osculirende Elemente nach Encke's Methode der Störungsrechnung erforderlichen Formeln hier zusammentragen.

Man rechnet sich vorerst mittelst der Formeln, die bei der mechanischen Quadratur entwickelt wurden, die Werthe von:

$$\xi, \eta, \zeta \text{ und } \frac{d\xi}{dt}, \frac{d\eta}{dt}, \frac{d\zeta}{dt}.$$

Hierbei wird es zweckmässig sein, für die Zeiteinheit das bei der Störungsrechnung gewählte Intervall anzunehmen, wodurch die sonst nöthige Division der einfachen Integrale, die die Störungen in den Geschwindigkeiten ergeben, durch w zu entfallen hat; um diesen Umstand in der folgenden Rechnung einfach zu berücksichtigen, wird man statt der Constante des Sonnensystems k überall den Werth wk zu setzen haben, wobei w das der Störungsrechnung zu Grunde liegende Zeitintervall in mittleren Sonnentagen ausgedrückt vortestlt.

Dann rechnet man zunächst für die Zeit der neuen Osculationsepoche in der bekannten Weise den ungestörten Radiusvector r_0 , die wahre Anomalie i_0 und das Argument der Breite u_0 nach $u_0 = v_0 + \omega_0$.

Es ist dann:

$$\left. \begin{aligned} \sin a \sin A &= \cos i_0 \\ \sin a \cos A &= -\sin i_0 \cos i_0 \\ \sin b \sin B &= \sin i_0 \\ \sin b \cos B &= \cos i_0 \cos i_0 \end{aligned} \right\} \quad \text{I}$$

$$\left. \begin{aligned} x_0 &= r_0 \sin a \sin (A + u_0) \\ y_0 &= r_0 \sin b \sin (B + u_0) \\ z_0 &= r_0 \sin i_0 \sin u_0 \end{aligned} \right\} \quad \text{II}$$

bestimmt man c und U nach:

$$\left. \begin{aligned} \gamma \sin F &= \sin e_0 \\ \gamma \cos F &= \cos e_0 + \sin g_0 \\ U &= F + \omega_0 \\ c &= \frac{(wk) \gamma}{\sqrt{p_0}} \end{aligned} \right\} \quad \text{III}$$

so wird:

$$\left. \begin{aligned} \frac{dx_0}{dt} &= c \sin a \cos (A + U) \\ \frac{dy_0}{dt} &= c \sin b \cos (B + U) \\ \frac{dz_0}{dt} &= c \sin i_0 \cos U \end{aligned} \right\} \quad \text{IV}$$

Jetzt wird man sich zu entscheiden haben, ob man die gestörten Elemente direct, oder ob man nur die Störungen derselben bestimmen will: ich sammle zuerst jene Formeln, deren man für die letztere Methode bedarf.

Man ermittelt zunächst:

$$\left. \begin{aligned} X &= \left\{ x_0 + \xi \frac{dx_0}{dt} + \xi \frac{dy_0}{dt} \right\} - \left\{ y_0 + \eta \frac{d\xi}{dt} + \eta \frac{dx_0}{dt} \right\} \\ Y &= \left\{ (y_0 + \eta) \frac{d\xi}{dt} + \eta \frac{dz_0}{dt} \right\} - \left\{ (z_0 + \zeta) \frac{d\eta}{dt} + \zeta \frac{dy_0}{dt} \right\} \\ Z &= \left\{ (x_0 + \xi) \frac{d\zeta}{dt} + \xi \frac{dz_0}{dt} \right\} - \left\{ (z_0 + \zeta) \frac{d\xi}{dt} + \zeta \frac{dx_0}{dt} \right\} \\ D &= (x_0 + \xi) \frac{d\xi}{dt} + (y_0 + \eta) \frac{d\eta}{dt} + (z_0 + \zeta) \frac{d\zeta}{dt} + \xi \frac{dx_0}{dt} + \eta \frac{dy_0}{dt} + \zeta \frac{dz_0}{dt} \\ (wk)^2 A &= \frac{d\xi}{dt} \left(2 \frac{dx_0}{dt} + \frac{d\zeta}{dt} \right) + \frac{d\eta}{dt} \left(2 \frac{dy_0}{dt} + \frac{d\zeta}{dt} \right) + \frac{d\zeta}{dt} \left(2 \frac{dz_0}{dt} + \frac{d\xi}{dt} \right) \\ B &= \xi (2x_0 + \xi) + \eta (2y_0 + \eta) + \zeta (2z_0 + \zeta) \end{aligned} \right\} \quad \text{V}$$

dann wird:

$$\left. \begin{aligned} Y &= m \sin M \\ Z &= m \cos M \\ \text{tang } (\varphi - \varphi_0) &= \frac{m \sin (M - \varphi_0)}{wk + p_0 \sin \varphi_0 + m \cos (M - \varphi_0)} \\ m \cos \left\{ M - \frac{1}{2} (\varphi + \varphi_0) \right\} &= n \sin N \\ X &= n \cos N \\ \text{tang } (\psi - \psi_0) &= \frac{n \sin (N - \psi_0)}{wk + p_0 + n \cos (N - \psi_0)} \\ F(p) &= \frac{n}{wk} \cdot \frac{\cos \left\{ N - \frac{1}{2} (\psi + \psi_0) \right\}}{\cos \frac{1}{2} (\psi - \psi_0)} \\ F(p) &= \left\{ 2 + \frac{p_0}{p} + F(\psi) p \right\} F(\psi) \\ p &= p_0 + F(\psi) \end{aligned} \right\} \quad \text{VI}$$

weiter wird man zu rechnen haben:

$$\left. \begin{aligned} x_0 &= s \cos S \\ y_0 &= s \sin S \\ \xi &= \sigma \cos \Sigma \\ \eta &= \sigma \sin \Sigma \\ X' &= \sigma \cos (\Sigma - \varphi) + 2s \sin \frac{1}{2} (\varphi - \varphi_0) \sin \left\{ S - \frac{1}{2} (\varphi + \varphi_0) \right\} \\ Y' &= \sigma \sin (\Sigma - \varphi) + 2s \sin \frac{1}{2} (\varphi - \varphi_0) \cos \left\{ S - \frac{1}{2} (\varphi + \varphi_0) \right\} \\ \zeta &= m' \sin M' \\ Y' &= m' \cos M' \\ m' \cos \left\{ M' - \frac{1}{2} (\psi + \psi_0) \right\} &= n' \sin N' \\ X' &= n' \cos N' \\ \text{tang } (u - u_0) &= \frac{n' \sin (N' - u_0)}{r_0 + n' \cos (N' - u_0)} \\ F(r) &= r - r_0 = \frac{n' \cos \left\{ N' - \frac{1}{2} (u + u_0) \right\}}{\cos \frac{1}{2} (u - u_0)} \\ r &= r_0 + F(u) \end{aligned} \right\} \quad \text{VII}$$

Um $F \left(\frac{dx}{dt} \right)$ zu finden, hat man:

$$\left. \begin{aligned} \frac{dr_0}{dt} &= \frac{(u-k)e_0}{\sqrt{p_0}} \sin e_0 \\ J \left(\frac{dr}{dt} \right) &= \frac{D - \frac{dr_0}{dt} J(r)}{r} \end{aligned} \right\} \quad \text{VIII)}$$

Für die Ermittlung der Excentricität und der wahren Anomalie ist:

$$\left. \begin{aligned} \frac{1}{(u-k)} \left\{ \frac{dr_0}{dt} J(p) + \frac{1}{p} J \left(\frac{dr}{dt} \right) \right\} &= g \sin G \\ \frac{1}{r} \left\{ J(p) - \frac{p_0}{r_0} J(r) \right\} &= g \cos G \\ \tan g (v - v_0) &= \frac{g \sin (G - v_0)}{e_0 + g \cos (G - v_0)} \\ J(v) = v - v_0 &= \frac{g \cos \frac{1}{2} (G - \frac{1}{2} (v + v_0))}{\cos \frac{1}{2} (v - v_0)} \\ \sin q &= e_0 + J(v) \\ J(v^2) &= \{ 2e_0 + J(v) \} J(v) \\ \sin \frac{1}{2} (q - q_0) &= \frac{J(v)}{2 \cos \frac{1}{2} (q + q_0)} \end{aligned} \right\} \quad \text{IX)}$$

dann ist:

$$\left. \begin{aligned} \omega - \omega_0 &= (u - u_0) - (v - v_0) \\ \lambda - \lambda_0 &= (\omega - \omega_0) + (\lambda - \lambda_0) \end{aligned} \right\} \quad \text{X)}$$

Um den Unterschied der mittleren Anomalien zu finden, hat man:

$$\left. \begin{aligned} \omega &= 2 \sin \frac{1}{2} (v - v_0) \cos \frac{1}{2} (v + v_0) \cos q = 2 \sin \frac{1}{2} (q - q_0) \sin \frac{1}{2} (q + q_0) \sin e_0 \\ (q) &= J(v) - 2 \sin \frac{1}{2} (v - v_0) \sin \frac{1}{2} (v + v_0) \\ (k) &= - \frac{r}{p} g \cos G \\ (k) \sin E_0 + (v) \frac{r}{p} &= g' \sin G' \\ (k) \cos E_0 + (v) \frac{r}{p} &= g' \cos G' \\ \tan g (E - E_0) &= \frac{g' \sin (G' - E_0)}{1 + g' \cos (G' - E_0)} \\ M - M_0 &= (E - E_0) - \frac{2e_0}{\sin i''} \sin \frac{1}{2} (E - E_0) \cos \frac{1}{2} (E + E_0) - \frac{J(v)}{\sin i''} \sin E \\ L - L_0 &= (M - M_0) + (\lambda - \lambda_0) \end{aligned} \right\} \quad \text{XI)}$$

Zur Bestimmung des letzten noch unbekannten Elementes μ kann man zur Controle den Werth von q als Argument für die Ermittlung von f aus der f -Tafel (Tafel XI) in zweifacher Weise berechnen; man hat sowohl:

$$\left. \begin{aligned} q &= \frac{J(p) + a_0 J(v^2)}{2 \{ p_0 - a_0 J(v^2) \}} \\ p &= A + \frac{2B}{r r_0 (r + r_0)} \\ q &= \frac{a_0 P}{2(a - a_0) P} \end{aligned} \right\} \quad \text{XIla)}$$

welche beiden Werthe von q innerhalb der Unsicherheit der Rechnung übereinstimmen müssen. Hat man mit q als Argument den Werth von f aus der Tafel XI entnommen, so ist schliesslich:

$$\mu - \mu_0 = -f q \mu_0. \quad \text{XIIb)}$$

Zur Controle für die Richtigkeit der Rechnung wird man die Formeln I bis IV) (pag. 100) auf die gestörten Elemente anwenden; man erhält dadurch die gestörten Coordinaten und Geschwindigkeiten, die den folgenden Relationen innerhalb der Unsicherheit der Rechnung genügen müssen:

$$\left. \begin{aligned} x &= x_0 + \xi, & \frac{dx}{dt} &= \frac{dx_0}{dt} + \frac{d\xi}{dt} \\ y &= y_0 + \eta, & \frac{dy}{dt} &= \frac{dy_0}{dt} + \frac{d\eta}{dt} \\ z &= z_0 + \zeta, & \frac{dz}{dt} &= \frac{dz_0}{dt} + \frac{d\zeta}{dt} \end{aligned} \right\} \quad \text{XIII}$$

Der Uebergang von q auf $\mu - \mu_0$ muss einer besonderen Revision unterzogen werden.

Will man die Elemente aber unmittelbar ableiten, so bestimmt man sich nach Durchrechnung der Formeln I bis IV) (pag. 100) mittelst der Formeln XIII die gestörten Coordinaten und Geschwindigkeiten und hat dann zunächst zur Bestimmung des Knotens Ω , der Neigung i und des Parameters p die Gleichungen:

$$\left. \begin{aligned} p \cos i &= \frac{1}{(wk)} \left\{ x \frac{dy}{dt} - y \frac{dx}{dt} \right\} \\ p \sin i \sin \Omega &= \frac{1}{(wk)} \left\{ y \frac{dz}{dt} - z \frac{dy}{dt} \right\} \\ p \sin i \cos \Omega &= \frac{1}{(wk)} \left\{ x \frac{dz}{dt} - z \frac{dx}{dt} \right\} \end{aligned} \right\} \quad \text{V)}$$

Der Radiusvector r und das Argument der Breite u ergibt sich aus:

$$\left. \begin{aligned} r \cos u &= x \cos \Omega + y \sin \Omega \\ r \sin u &= y \cos \Omega \cos i - x \sin \Omega \cos i + z \sin i \end{aligned} \right\} \quad \text{VI)}$$

zur Controle ist:

$$r^2 = x^2 + y^2 + z^2.$$

Die Excentricität $\sin \varphi$ und die wahre Anomalie v findet sich aus:

$$\left. \begin{aligned} \sin \varphi \sin v &= \frac{1}{(wk)r} \left\{ x \frac{dx}{dt} + y \frac{dy}{dt} + z \frac{dz}{dt} \right\} \\ \sin \varphi \cos v &= \frac{p}{r} - 1, \end{aligned} \right\} \quad \text{VII)}$$

die mittlere Anomalie aus:

$$\left. \begin{aligned} \tan \frac{1}{2} E &= \tan \frac{1}{2} v \cdot \cotg (45^\circ + \frac{1}{2} \varphi) \\ M &= E - \frac{\sin \varphi}{\sin i''} \sin E \end{aligned} \right\} \quad \text{VIII)}$$

der Abstand des Perihels vom Knoten ω und die Länge des Perihels π nach:

$$\left. \begin{aligned} \omega &= u - v \\ \pi &= \omega + \Omega \end{aligned} \right\} \quad \text{IX)}$$

die grosse Halbachse und die tägliche mittlere siderische Bewegung endlich aus:

$$\left. \begin{aligned} a &= \frac{\rho}{\cos^2 q} \cdot \quad \mu = -\frac{k''}{a^2} \\ \log k'' &= 3.550 \ 0066 \end{aligned} \right\} \quad \text{X)}$$

Als Controle rechnet man die Coordinaten und Geschwindigkeiten nach den Formeln I) bis IV) (pag. 100) unter Anwendung der gestörten Elemente. Die Uebereinstimmung mit den Ausgangswerthen muss völlig innerhalb der Unsicherheit der Rechnung liegen. Um μ schärfer zu erhalten als es nach der obigen Formel möglich ist, rechnet man überdies:

$$\left. \begin{aligned} x k^2 A &= \frac{d\xi}{dt} \left\{ 2 \frac{dx_0}{dt} + \frac{d\xi}{dt} \right\} + \frac{d\eta}{dt} \left\{ 2 \frac{dy_0}{dt} + \frac{d\eta}{dt} \right\} + \frac{d\zeta}{dt} \left\{ 2 \frac{dz_0}{dt} + \frac{d\zeta}{dt} \right\} \\ B &= \xi (2x_0 + \xi) + \eta (2y_0 + \eta) + \zeta (2z_0 + \zeta) \\ P &= A + \frac{2B}{r r_0 (r + r_0)} \cdot \quad Q = \frac{a_0 P}{2(1 - a_0 P)} \cdot \\ \mu - \mu_0 &= -f Q \mu_0 \end{aligned} \right\} \quad \text{XI)}$$

wobei f mit q als Argument aus der f -Tafel (Tafel XI) zu entnehmen ist.

§. 5. Rechnungsbeispiel zu Encke's Methode.

Es sollen, um die vorstehenden Entwicklungen durch ein Beispiel zu erläutern, die Störungen ermittelt werden, die der Planet ⁽⁶²⁾ Erato durch die Anziehung der Planeten Jupiter und Saturn erleidet. Die Berücksichtigung der anderen grossen Planeten erscheint im Allgemeinen bei den kleinen Planeten nicht geboten, doch werden die Wirkungen der Planeten Mars und Erde wohl hier und da eine merkliche Störung veranlassen. Es wird aber Niemandem, der die folgenden Vorschriften einem genauen Studium unterzieht, Schwierigkeiten verursachen, dieselben auf eine beliebige Anzahl von Planeten zu erweitern.

Vorerst wird man sich hinreichend genäherte osculirende Elemente für den gestörten Planeten zu verschaffen haben; im Falle, dass keine genäherten Störungswerthe bereits vorliegen, wird man die Elemente ohne Rücksicht auf Störungen aus den Beobachtungen ableiten; allerdings wird dann wol stets die Nothwendigkeit hervortreten, die aus diesen Elementen abgeleiteten Störungswerthe einer Neurechnung zu unterziehen, der man dann die Elemente zu Grunde legt, die man mit Hilfe der eben genannten genähert richtigen Störungswerthe gefunden hat.

Es wird sich aber in diesen Fällen empfehlen für die erste Rechnung der Störungen nur die ersten Potenzen der Massen zu berücksichtigen und von den diesem Falle angepassten Formen, die weiter unten empfohlen werden, Gebrauch zu machen.

Für Erato lege ich die folgenden osculirenden Elemente zu Grunde, die sich bereits sehr nahe den Beobachtungen mit Rücksicht auf die Störungen anschliessen; dieselben sind:

(62) Erato

Epoche und Osculation 1874 Decbr. 26,0 mittl. Zeit Berlin.

mittl. Aeq. 1870.0

$L = 219^{\circ} 8' 6.8$

$M = 180 40 48.9$

$\alpha = 38 27 17.9$

$\varrho = 125 42 39.7$

$i = 2 12 23.9$

$q = 9 59 14.9$

$\mu = 640'' 89605$

$\log a = 0.4954793$

Diese Elemente sollen nun benützt werden, um die Störungswerthe von der Zeit der Osculationsepoche an nach rückwärts bis 1871 Juni 5 zu ermitteln; ich habe das Beispiel auf eine Rückrechnung angewendet, weil die Anwendung auf den Fall der Rechnung nach vorwärts etwas leichter ist, und ohne Missverständniß ausgeführt werden kann.

Für die in Betracht kommende Zeit gibt das Berliner Jahrbuch die Coordinaten der störenden Planeten bezogen auf das fixe Aequinoctium 1870.0, auf welches sich auch bereits die oben angeführten Elemente beziehen; wäre dieses nicht der Fall, so müssten dieselben mit Hilfe der bekannten Formeln I pag. 81 auf dieses Aequinoctium übertragen werden.

Wollte man beispielsweise die Störungsrechnung nach vorwärts führen, so müssten, da die Coordinaten der störenden Planeten von 1875.0 bis 1885.0 sich auf das mittlere Aequinoctium 1880.0 beziehen, auch die Elemente des gestörten Planeten auf dieses Aequinoctium reducirt werden. Man würde mit Hilfe der oben erwähnten Formeln als Correctionen der obigen Elemente für die Uebertragung von 1870.0 auf 1880.0 finden:

$$LL = La = + 8' 22'' 47$$

$$L\varrho = + 6' 56'' 72$$

$$Li = - 3'' 24.$$

Die erste Aufgabe besteht nun darin, das Intervall für die Störungsrechnung passend zu wählen. Die Erfahrung lehrt, dass man für kleine Planeten in der Regel allzugrosse Annäherung an Jupiter ausgenommen mit einem Intervalle von 40 Tagen ausreicht, welches auch hier gewählt wird. Man legt weiter zweckmässig die Osculationsepoche in die Mitte eines solchen Intervalles; es werden daher für die Störungsrechnung als Epochen zu gelten haben:

.... 1875 Febr. 24. 1875 Januar 15. 1874 Decbr. 6. 1874 Octbr. 27

womit man auf Epochen geführt wird, für welche die Publikationen der astronomischen Gesellschaft und das Berliner Jahrbuch in den neueren Jahrgängen die Coordinaten der störenden Planeten geben. Es könnte jedoch der Fall eintreten.

dass in Folge der gegebenen Osculationsepoche eine derartige Wahl nicht möglich ist; man wird in diesen Fällen aber dennoch trachten, die bereits gewählten Epochen festzuhalten und durch geeignete Bestimmung der Integrationsconstanten $f'(a)$ und $f(a - \frac{1}{2}w)$ der Bedingung genügen, dass die einfachen und doppelten Integrale für die Osculationsepoche verschwinden; hierfür bieten die Formeln II pag. 59 die geeigneten Hilfsmittel. Da dieser Fall aber selten eintreten wird, so begnüge ich mich mit diesem Hinweise und werde auf diesen Umstand in der Folge nicht weiter Rücksicht nehmen.

Die Rechnung legt man sich, so lange nicht mehr als 2 störende Planeten berücksichtigt werden, zweckmässig so an, dass auf einem Blatte hauptsächlich die von dem gestörten, auf einem anderen die von dem störenden Planeten abhängigen Grössen Aufnahme finden; ausserdem wird man für die Summation in den Coordinaten für jede Coordinate gesondert ein Blatt anlegen. Ich werde diese Blätter der Reihe nach mit Blatt A. B. X. Y. Z bezeichnen; die diesbezüglichen Rechnungen sind in dem folgenden Beispiele in extenso aufgenommen.

Zuerst wird man sich auf einem besonderen Blatte nach den Formeln pag. 83 die Constanten für die Ermittlung der ungestörten Coordinaten und damit schon in dem eigentlichen Rechnungsschema zunächst die von den Störungen unabhängigen Grössen rechnen; die Rechnung selbst führe ich für den gestörten Planeten und für Jupiter 6 stellig, für Saturn 5 stellig; im Allgemeinen wird aber eine 5 stellige, beziehungsweise 4 stellige Rechnung genügen.

Zur Ermittlung der Constanten hat man ein für allemal gesondert die Formeln zu rechnen:

$$\left. \begin{aligned} \sin a \sin A &= \cos \varrho & \sin b \sin B &= \sin \varrho & C &= 0 \\ \sin a \cos A &= -\sin \varrho \sin i & \sin b \cos B &= \cos \varrho \cos i & \sin c &= \sin i \\ \omega &= A - \varrho & e'' &= \frac{\sin q}{\sin i''} \\ A' &= A + \omega \\ B' &= B + \omega \\ C' &= C + \omega = \omega. \end{aligned} \right\} \quad 1$$

Im vorliegenden Beispiele findet sich:

$$\begin{aligned} \sin q_0 &= 9.239\ 131 & \cos q &= 9.993\ 368 \\ \log e'' &= 4.553\ 556 & a \cos q &= 0.488\ 847 \\ \sin \varrho &= 9.909\ 540 & A &= 215^\circ 43' 52'' 4 \\ \cos i &= 9.999\ 678 & \cos A &= 9.909\ 430 \\ \cos \varrho &= 9.9766\ 188 & \sin a &= 9.999\ 788 \\ \cos \varrho \cos i &= 9.9765\ 866 & B &= 125^\circ 41' 27'' 3 \\ \sin \varrho \cos i &= 9.909\ 218 & \sin B &= 9.909\ 650 \\ C' = \omega &= 272^\circ 44' 38'' 2 & \sin b &= 9.999\ 890 \\ \sin c = \sin i &= 8.585\ 501 & A' &= 128^\circ 28' 30'' 6 \\ & & B' &= 38^\circ 26' 5'' 5 \\ & & C' &= 272^\circ 44' 38'' 2 \end{aligned}$$

Mit diesen Constanten lassen sich sofort für alle Intervalle der ganzen Störungsrechnung die ungestörten Coordinaten x_0 , y_0 , z_0 nach den Formeln:

$$\begin{aligned} x_0 &= r_0 \sin a \sin (A' + e_a) \\ y_0 &= r_0 \sin b \sin (B' + e_a) \\ z_0 &= r_0 \sin c \sin (C' + e_a) \end{aligned}$$

berechnen; im vorliegenden Falle hat man also:

$$\begin{aligned} x_0 &= r_0 \cdot 0.999\,788 \sin (e_0 + 128^{\circ}28'36''6) \\ y_0 &= r_0 \cdot 0.999\,800 \sin (e_0 + 38^{\circ}26'5''5) \\ z_0 &= r_0 \cdot 8.585\,501 \sin (e_0 + 272^{\circ}44'38''2) \end{aligned}$$

Die hierbei noch nöthigen Grössen r_0 und e_0 erhält man durch das für jedes einzelne Störungsintervall zu rechnende Formelsystem:

$$\left. \begin{aligned} M &= M_0 + \mu t \\ M &= E - e'' \sin E \\ r_0 \sin e_0 &= a \cos q \sin E \\ r_0 \sin e_0 &= a \cos E - e \end{aligned} \right\} \quad (11)$$

ausserdem lassen sich nimmehr auch noch die von den Störungswerten ebenfalls unabhängigen Grössen:

$$h = \frac{rk^2}{r_0^3} \quad R^2 = r_0^2 \left(1 + \frac{1}{12} h \right) \quad \text{und} \quad h' = \frac{h}{1 + \frac{1}{12} h}$$

für den ganzen Umfang der Störungsrechnung auf einmal durchrechnen, und es ist hierbei unter Voraussetzung eines 10tägigen Intervalles $\log rk^2 = 9.675\,283$ zu nehmen.

Die diesbezügliche Rechnung ist ihrem ganzen Umfange nach auf den Blättern A_1 und A_2 durchgeführt. Ausserdem sind auf den A -Blättern die Coordinaten der störenden Planeten nach den Publikationen der astronomischen Gesellschaft, und auf den B -Blättern die Grössen X_2 , Y_2 , Z_2 , welche die Wirkung des störenden Planeten auf die Sonne darstellen, aufgenommen; diese Grössen sind gleichfalls den eben citirten Publikationen entnommen. Da an der genannten Stelle für Jupiter und Saturn nach Bessel beziehungsweise die Massen $\frac{1}{1045.879}$ und $\frac{1}{3501.6}$ angenommen sind, so wurde für die vorliegende Rechnung ebenfalls diese Massenannahme gewählt.

Wollte man für die Massen eine andere Annahme machen, so hätte man vorerst die Grössen X_2 , Y_2 , Z_2 mit dem Factor $\frac{m_a}{m_b}$ zu multipliciren, wo m_a die gewählte neue Massenannahme, m_b die den obigen Publikationen zu Grunde liegende Massenannahme wäre. Damit erscheinen nun alle Rechnungen, so weit dieselben ohne Kenntniss der Störungswerte durchführbar sind, beendet.

Nun werden die directen Glieder für die zwei der Osculationsepoche unmittelbar vorangehenden und die zwei unmittelbar folgenden Epochen berechnet; allerdings bedarf es hierzu der Kenntniss der Werthe ξ, η, ζ ; diese Störungswerthe sind aber in der Nähe der Osculationsepoche so klein, dass dieselben keinen sehr merkbaren Einfluss auf das Resultat ausüben können. Die diesbezüglichen Rechnungen sind auf dem Blatte *B* ausgeführt, wobei die Logarithmen der Grössen $x_1 - x, y_1 - y, z_1 - z$ leicht sofort hingeschrieben werden können, da die Coordinaten des störenden und des gestörten Planeten auf dem Blatte *A* unmittelbar über einander stehen.

Die Rechnung ist für jeden störenden Planeten gesondert durchzuführen und beruht auf folgendem Formelsystem:

$$\left. \begin{aligned} q \cos \vartheta \cos \theta &= x_1 - x \\ q \cos \vartheta \sin \theta &= y_1 - y \\ \sin \vartheta &= z_1 - z \\ X_1 &= wk^2 m_1 \frac{x_1 - x}{q^3} \\ Y_1 &= wk^2 m_1 \frac{y_1 - y}{q^3} \\ Z_1 &= wk^2 m_1 \frac{z_1 - z}{q^3} \\ (X &= X_1 + X_2 \\ Y &= Y_1 + Y_2 \\ Z &= Z_1 + Z_2 \\ \Sigma X &= (X)_{24} + (X)_{48} + \dots \\ \Sigma Y &= (Y)_{24} + (Y)_{48} + \dots \\ \Sigma Z &= (Z)_{24} + (Z)_{48} + \dots \end{aligned} \right\} \quad \text{III}$$

die Werthe für die Factoren $wk^2 m_1$ sind der Tafel XII zu entnehmen, dabei ist zu beachten, dass $w = 40$ Tagen angenommen ist und dass die Störungswerthe in Einheiten der 7^{ten} Decimale erhalten werden.

Um nun zur Kenntniss der indirecten Glieder zu gelangen, betrachtet man vorerst die directen Glieder als den vollständigen Ausdruck der zweiten Differentialquotienten der Störungswerthe und bildet die erste und zweite summirte Reihe. Da diese Rechnung blos eine vorläufige Bestimmung für die Störungswerthe ergeben soll, so wird dieselbe als Nebenrechnung auf einem gesonderten Blatte durchgeführt. Man hat zur Bestimmung der Anfangsconstanten, da das einfache und das Doppelintegral für die Epoche 1874 Dec. 26.0 verschwinden soll nach II pag. 53:

$$\left. \begin{aligned} f(a - \frac{1}{2}\omega) &= -\frac{1}{24}f''(a - \frac{1}{2}\omega) + \frac{17}{5760}f'''(a - \frac{1}{2}\omega) - \dots \\ f(a - \omega) &= -\frac{1}{24}f''(a) + \frac{17}{5760} \left\{ 2f'''(a) + f'''(a - \omega) \right\} + \dots \end{aligned} \right\} \quad \text{IV}$$

welche Bestimmung für jede der einzelnen Coordinaten auszuführen ist. Man er-

hält so, indem man die Werthe mit der fortschreitenden Zeit ansetzt, und ebenso die Differenzwerthe und Summenwerthe bildet, mit Benützung der auf dem Blatte *B* erlangten Werthe von ΣX , ΣY , ΣZ :

	f'''	f''	f'	f	f	${}^u f$	$S_{(x)}$
1874 Oct. 27				-710.99		-667.89	-727.13
			+64.88		+643.56		
Dec. 6		-3.69		-646.11		-24.33	-78.16
	-0.63		+61.19		-2.55		
1875 Jan. 15		-3.42		-584.92		-26.88	-75.61
			+56.87		-587.47		
Feb. 24				-528.05		-614.35	-658.34

						$S_{(y)}$
1874 Oct. 27			+281.64		+268.47	+291.96
			-21.95		-258.66	
Dec. 6		-2.56		+259.69	+9.81	+31.46
	+1.83		-24.51		+1.03	
1875 Jan. 15		-0.73		+235.18	+10.84	+30.44
			-25.24		+236.21	
Feb. 24				+209.94	+247.05	+264.53

						$S_{(z)}$
1874 Oct. 27			-10.01		-10.05	-10.88
			+0.31		+9.67	
Dec. 6		+0.38		-9.70	-0.38	-1.19
	-0.19		+0.69		-0.03	
1875 Jan. 15		+0.19		-9.01	-0.41	-1.16
			+0.88		-9.04	
Feb. 24				-8.13	-9.45	-10.13

Ich habe die Anfangsconstanten, um ihre Stellung und ihren Werth besonders hervortreten zu lassen, in dem voranstehenden Schema in eckige Klammern eingeschlossen. Nimmehr rechnet man die Werthe vergl. II pag. 79:

$$\left. \begin{aligned} S_{(x)} &= f_{(x)} (a + iw) + \frac{1}{12} \Sigma X - \frac{1}{240} f_{(x)}'' (a + iw) \\ S_{(y)} &= f_{(y)} (a + iw) + \frac{1}{12} \Sigma Y - \frac{1}{240} f_{(y)}'' (a + iw) \\ S_{(z)} &= f_{(z)} (a + iw) + \frac{1}{12} \Sigma Z - \frac{1}{240} f_{(z)}'' (a + iw) \end{aligned} \right\} \quad V$$

welche Werthe ich rechts neben die doppelt summirten Werthe oben angesetzt habe, und deren Logarithmen auf dem Blatte *A* Aufnahme finden könnten; um aber die Rechnung möglichst scharf zu gestalten, werden mit diesen Werthen die indirecten Glieder auf dem Nebenblatte nur provisorisch berechnet und nachher die damit verbesserten Werthe erst in das eigentliche Rechnungsschema eingetragen. Nun sind die Formeln 15 und 16 pag. 79, 80 heranzuziehen, dieselben lauten:

$$\left. \begin{aligned} a &= \frac{x_0 + \frac{1}{2} \xi}{R^2} \\ b &= \frac{y_0 + \frac{1}{2} \eta}{R^2} \\ c &= \frac{z_0 + \frac{1}{2} \zeta}{R^2} \\ q &= \frac{a S_{(x)} + b S_{(y)} + c S_{(z)}}{1 - \frac{1}{2} h f (a x + b y + c z)} \end{aligned} \right\} \quad \text{VI)}$$

wobei jetzt noch die Grössen ξ , η , ζ der Null gleich gesetzt und die Grössen x , y , z mit x_0 , y_0 , z_0 identificirt sind. Als Argument für die Ermittlung des Werthes von f kann in dieser ersten Annäherung hinreichend genau:

$$q = a S_{(x)} + b S_{(y)} + c S_{(z)}$$

genommen werden. Nunmehr erhält man:

$$\left. \begin{aligned} \frac{d^2 \xi}{dt^2} &= \Sigma X + h' f q x - S_{(x)} \\ \frac{d^2 \eta}{dt^2} &= \Sigma Y + h' f q y - S_{(y)} \\ \frac{d^2 \zeta}{dt^2} &= \Sigma Z + h' f q z - S_{(z)} \end{aligned} \right\} \quad \text{VII)}$$

wobei wieder x , y , z mit x_0 , y_0 , z_0 identificirt sind. Die Rechnung auf dem Nebenblatte, die ohne Nachtheil vierstellig geführt werden könnte, gestaltet sich demnach unter Zuziehung der auf den Blättern *A* und *B* erhaltenen Werthe folgendermassen:

	Febr. 24	Jan. 15	Dec. 6	Oct. 27.
$\log x = \log (x_0 + \frac{1}{2} \xi) = \log x_0 =$	$0_n 100715$	$0_n 438994$	$0_n 470322$	$0_n 495041$
$\log y = \log (y_0 + \frac{1}{2} \eta) = \log y_0 =$	$0_n 124995$	$0_n 385696$	$0_n 337869$	$0_n 279301$
$\log z = \log (z_0 + \frac{1}{2} \zeta) = \log z_0 =$	9.111641	$9_n 148099$	$9_n 150349$	9.147436
$\log a$	$9_n 272327$	$9_n 309028$	$9_n 310218$	$9_n 306839$
$\log b$	$9_n 296607$	$9_n 255730$	$9_n 207765$	$9_n 150589$
$\log c$	8.013253	8.018133	8.020245	8.019634
$\log S_{(x)}$	$2_n 818450$	$1_n 878579$	$1_n 892985$	$1_n 861612$
$\log S_{(y)}$	2.422475	1.483445	1.497759	2.465323
$\log S_{(z)}$	$1_n 005609$	$0_n 064458$	$0_n 045517$	$1_n 036629$
$a \cdot S_{(x)} +$	$+ 123.25$	$+ 15.40$	$+ 17.11$	$+ 169.22$
$b \cdot S_{(y)} -$	$- 52.37$	$- 5.48$	$- 5.08$	$- 41.30$
$c \cdot S_{(z)} -$	$- 0.10$	$- 0.01$	$- 0.01$	$- 0.11$
Zähler $+$	$+ 70.78$	$+ 9.91$	$+ 12.02$	$+ 127.81$
$a \cdot x +$	$+ 0.471023$	$+ 0.559786$	$+ 0.646457$	$+ 0.748585$
$b \cdot y +$	$+ 0.526747$	$+ 0.437951$	$+ 0.351264$	$+ 0.269111$
$c \cdot z +$	$+ 0.001429$	$+ 0.001466$	$+ 0.001481$	$+ 0.001473$
$H' +$	$+ 0.999199$	$+ 0.999203$	$+ 0.999202$	$+ 0.999199$

	Febr. 24	Jan. 15	Dec. 6	Oct. 27
$\log W$	9.999652	9.999653	9.999653	9.999652
$\frac{1}{2}h$	6.904042	6.901672	6.901465	6.903465
f	0.477113	0.477120	0.477120	0.477107
$\log (1-N)$	7.380807	7.378445	7.378238	7.380181
$\log N$	9.998955	9.998961	9.998961	9.998957
$\log \text{Zähler}$	1.849911	0.996074	1.079904	2.106565
$\log q$	1.850956	0.997113	1.080943	2.107608
$\log fq$	2.308069	1.474233	1.558063	2.584715
fqx	2.728784	1.913227	2.128385	3.080356
fqy	2.753064	1.859929	1.895932	2.864106
fqz	1.469710	0.622332	0.708308	1.733151
Add. oder Subtr. log: {	0.360447 0.166460 0.128234	8.919337 0.152368 0.106114	0.563293 0.146062 0.090942	9.816105 0.145887 0.079590
$fqx - S_{(x)}$	2.089231	0.9797916	1.456278	2.677717
$fqy - S_{(y)}$	2.919524	2.012297	2.041994	3.009994
$fqz - S_{(z)}$	1.597941	0.728446	0.799250	1.812741
h'	7.982875	7.980507	7.980300	7.982254
$I \Sigma (X)$	+ 1.18	— 0.06	— 0.27	— 4.57
$I \Sigma (Y)$	— 7.99	— 0.98	— 1.05	— 9.82
$I \Sigma Z$	+ 0.38	+ 0.05	+ 0.06	— 0.06

Vereinigt man diese indirecten Glieder $I \Sigma X$, $I \Sigma Y$, $I \Sigma Z$, mit den directen, so erhält man neue Werthe für die Differentialquotienten, die sich so wenig von der Wahrheit entfernen, dass man dieselben der definitiven Störungsrechnung zu Grunde legen kann. Man erhält so, wenn man neuerdings die Anfangsconstanten bestimmt, für die letzte auf einem Nebenblatte auszuführende Operation:

	f'''	f''	f'	f	f	$''f$	$S(x)$
1874 Oct. 27				— 715.56		— 668.16	— 727.36
» Dec. 6		— 7.78	+ 69.18	— 646.38	+ 643.83	— 24.33	— 78.14
	+ 4.49		+ 61.40		— 2.55		
1875 Jan. 15		— 3.29		— 584.98		— 26.88	— 75.62
			+ 58.11		— 587.53		
» Febr. 24				— 526.87		— 614.41	— 658.42

		f'''	f''	f'	f	f	$''f$	$S(y)$
1874	Oct. 27			13.18	+ 271.82		+ 267.15	+ 290.98
"	Dec. 6		- 11.26		+ 258.64		[+ 9.84]	+ 31.53
		+ 3.45		- 24.44		+ 1.03		
1875	Jan. 15		- 7.81		+ 234.20		+ 10.78	+ 30.40
				- 32.25		+ 235.23		
"	Febr. 24				+ 201.95		+ 246.10	+ 263.59
S_z								
1874	Oct. 27				- 9.39		- 9.99	- 10.82
"	Dec. 6		+ 0.93	- 0.25	- 9.64	+ 9.61	- 0.38]	- 1.19
		- 0.40		+ 0.68		[- 0.03]		
1875	Jan. 18		+ 0.53		- 8.96		- 0.41	- 1.16
				+ 1.21		- 8.99		
"	Febr. 24				- 7.75		- 9.40	- 10.08

Nun beginnt die definitive Rechnung nach den Formeln VI., da die aus III. resultirenden Werthe der directen Glieder für diese ersten vier Störungsintervalle keiner Verbesserung bedürfen, indem die Störungen rücksichtlich dieser Glieder nahezu unmerklich sind. Die für diese vier Orte in den Tafeln A, B, X, Y, Z. enthaltenen Grössen werden daher ohne weitere Erklärung verständlich sein und ich will demnach nur noch zeigen, wie die Rechnung für den nächsten Ort, Sept. 17 durchgeführt werden muss.

Vorerst geben die Tafeln X, Y, Z für Sept. 17 die doppelt summirten Werthe:

$$- 2027.57 \quad + 796.88 \quad - 28.99 ;$$

nach dem Gange der Funktion wird man für die am 17. Septbr. zu erwartenden Funktionswerthe:

$$- 798 . \quad + 271 \quad - 8$$

in Einheiten der siebenten Stelle annehmen können und nun mittelst der Formeln:

$$\xi = ''f_{(x)}(a+ir) + \frac{1}{12} f_{(x)}'(a+ir)$$

$$\eta = ''f_{(y)}(a+ir) + \frac{1}{12} f_{(y)}'(a+ir)$$

$$\zeta = ''f_{(z)}(a+ir) + \frac{1}{12} f_{(z)}'(a+ir)$$

hinreichend genährte Werthe für ξ , η , ζ erhalten, welche, auf die fünfte Decimale abgekürzt, an der entsprechenden Stelle in dem Bogen A eingetragen werden. Dieselben werden sein:

$$- 21 . \quad + 8 . \quad 0 .$$

und man sieht sofort, dass selbst ganz rohe Annahmen über die Funktionswerthe $f_{(x)}(a+ir)$, $f_{(y)}(a+ir)$, $f_{(z)}(a+ir)$ mehr als genügend genaue Annäherungen für ξ , η , ζ ergeben werden.

Man gelangt jetzt nach Durchführung der Rechnung mittelst der Formeln III) (pag. 108) zu den definitiven Werthen für $\Sigma(X)$, $\Sigma(Y)$, $\Sigma(Z)$ und bildet nun nach V (pag. 109) die Werthe $S_{(x)}$, $S_{(y)}$, $S_{(z)}$, die bis auf die geringfügigen, anfänglich ganz unerheblichen, durch $-\frac{1}{240} f''(a+ix)$ veranlassten, Correctionen direct berechnet werden können; man kann diese Correctionen in der Nähe der Osculations-epoche ganz übergehen, später wird man dieselben, da durch die Berechnung mehrerer Werthe der Gang der Funktion nahezu bekannt ist, leicht mit hinreichender Genauigkeit berücksichtigen können; doch werden diese Correctionsglieder, die übrigens Encke ganz übergeht, selten sehr merkbar werden.

Die so resultirenden Werthe für $S_{(x)}$, $S_{(y)}$, $S_{(z)}$ sind in den Summationsbögen rechts angesetzt und ohne weitere Aenderung der definitiven Rechnung zu Grunde gelegt. Dabei mag bemerkt werden, dass diese Werthe $S_{(x)}$, $S_{(y)}$, $S_{(z)}$ gegen die sich aus den thatsächlichen Differenzwerthen ergebenden etwas verschieden sein können, da bei deren Bildung eben die zweiten Differenzen bloss näherungsweise berücksichtigt werden konnten.

Die Rechnung gestaltet sich nunmehr ganz direct, und nur für die Ermittelung von f' wird man einen vorläufigen Werth von q annehmen müssen. Der Gang der äusserst regelmässig verlaufenden Funktion $\log N$ (Logarithmus des Nenners) wird in Verbindung mit dem völlig bekannten Werthe des Zählers für q stets ohne Mühe eine hinreichende Annäherung ergeben, um f' gleichsam als directen Werth betrachten zu können. Zu bemerken ist, dass der Werth von q hierbei in Einheiten der siebenten Stelle gegeben erscheint nach den oben gemachten Voraussetzungen.

In dieser Weise wird die Rechnung fortgeführt, und ich habe in dem unten folgenden Rechnungsbeispiele alle Zahlen der Rechnung innerhalb des ganzen Verlaufes derselben aufgenommen, so dass für den Anfänger ein hinreichend ausführliches Normalbeispiel vorliegt, nach welchem er sich in die Methode einführen kann, bevor an eine selbstständige Rechnung geschritten wird. Bei der Bezeichnung der Horizontalcolumnne ist im Allgemeinen kein Unterschied gemacht, ob die Funktion selbst oder deren Logarithmus Aufnahme gefunden hat, da hieraus wohl kein Irrthum zu befürchten ist. Zu den angesetzten Additions- und Subtractionslogarithmen wäre zu bemerken, dass dieselben den zweckmässigen sechsstelligen Tafeln von Bremiker entlehnt sind.

Die Vermeidung zufälliger Rechnungsfehler erscheint durch den regelmässigen Gang der Differenzen bestätigt, und diese Prüfung muss stets sorgsam durchgeführt werden. Hierbei werden grosse Fehler im Allgemeinen sofort erkannt und corrigirt werden können, kleine Fehler werden sich meist erst bemerkbar machen, wenn die Rechnung um einige Intervalle weiter fortgeschritten ist. Tritt die Nothwendigkeit einer Verbesserung ein, so wird im Allgemeinen, so lange der Fehler nicht allzu erheblich ist, die Neurechnung der directen Glieder selten nöthig werden; die indirecten Glieder dagegen müssen von der Fehlerstelle an wohl stets neu gerechnet werden, wenn man das Resultat nicht allzusehr schädigen will. Dieser Umstand macht die

Störungsrechnung für den Anfänger, der noch nicht die hinreichende Sicherheit im numerischen Rechnen erlangt hat, sehr beschwerlich, ein Uebelstand, der bei der Störungsrechnung nach der Variation der Constanten fast ganz vermieden wird. Es ist deshalb, falls nicht andere Umstände massgebend sind, für eine erste Störungsrechnung die Methode der Variation der Constanten zu wählen und die Berechnung der Störungen der Coordinaten erst dann vorzunehmen, wenn man eine hinreichende Sicherheit in den logarithmischen Rechnungsoperationen erlangt hat.

Ich stelle hier zum Schlusse die zur Rechnung nöthigen Formeln übersichtlich ohne weitere Erklärung zusammen, da eine solche Zusammenstellung bei der Rechnung als Gedächtnisshilfe nicht ganz ohne Werth ist:

I.

$$\sin q = e$$

$$\frac{\sin q}{\sin i''} = e''$$

$$\begin{array}{lll} \sin a \sin A = \cos \varrho & \sin b \sin B = \sin \varrho & C = 0 \\ \sin a \cos A = -\sin \varrho \cos i & \sin b \cos B = \cos \varrho \cos i & \sin c = \sin i \end{array}$$

$$\begin{array}{ll} \omega = \pi - \varrho, & A' = A + \omega \\ & B' = B + \omega \\ & C' = C + \omega = \omega. \end{array}$$

II.

$$M = M_0 + \mu t$$

$$M = E - e'' \sin E$$

$$r_0 \sin r_0 = a \cos q \sin E$$

$$r_0 \cos r_0 = a (\cos E - e$$

$$x_0 = r_0 \sin a \sin (A' + r_0$$

$$y_0 = r_0 \sin b \sin (B' + r_0)$$

$$z_0 = r_0 \sin c \sin (C' + r_0$$

$$h = \frac{wk^2}{r_0^3} \cdot \log wk^2 = 0.675283 \text{ Intervall } 40 \text{ Tage.}$$

$$R^2 = r_0^2 - 1 + \frac{1}{12} h$$

$$h' = \frac{h}{1 + \frac{1}{12} h}.$$

III.

$$\tilde{z} = {}^n f_{(x)} a + iw + \frac{1}{12} f_{(01)} a + iw - \dots$$

$$v_i = {}^n f_{(y)} a + iw + \frac{1}{12} f_{(y)} a + iw - \dots$$

$$\tilde{z} = {}^n f_{(z)} a + iw + \frac{1}{12} f_{(11)} a + iw - \dots$$

$$x = x_0 + \xi$$

$$y = y_0 + \eta$$

$$z = z_0 + \zeta$$

$$\varrho \cos \vartheta \cos \theta = x_1 - x$$

$$\varrho \cos \vartheta \sin \theta = y_1 - y$$

$$\varrho \sin \vartheta = z_1 - z$$

$$X_1 = (wk)^2 m_1 \frac{x_1 - x}{\varrho^3}$$

$$Y_1 = (wk)^2 m_1 \frac{y_1 - y}{\varrho^3}$$

$$Z_1 = (wk)^2 m_1 \frac{z_1 - z}{\varrho^3}$$

Ueber die Werthe von $(wk)^2 m_1$ siehe Tafel XII.

$$X = X_1 + X_2$$

$$Y = Y_1 + Y_2$$

$$Z = Z_1 + Z_2$$

X_2, Y_2, Z_2 aus den Ephemeriden oder den Publicationen der astronomischen Gesellschaft zu entnehmen, oder zu berechnen nach:

$$X_2 = (wk)^2 m_1 \frac{x_1}{r_1^3}$$

$$Y_2 = (wk)^2 m_1 \frac{y_1}{r_1^3}$$

$$Z_2 = (wk)^2 m_1 \frac{z_1}{r_1^3}.$$

$$\Sigma X = X_{\mathfrak{A}} + X_{\mathfrak{B}} + \dots$$

$$\Sigma Y = Y_{\mathfrak{A}} + Y_{\mathfrak{B}} + \dots$$

$$\Sigma Z = Z_{\mathfrak{A}} + Z_{\mathfrak{B}} + \dots$$

IV.

$$S_{(x)} = {}^n f_{(x)}(a + iw) + \frac{1}{12} \Sigma X - \frac{1}{240} f_{(x)}''(a + iw)$$

$$S_{(y)} = {}^n f_{(y)}(a + iw) + \frac{1}{12} \Sigma Y - \frac{1}{240} f_{(y)}''(a + iw)$$

$$S_{(z)} = {}^n f_{(z)}(a + iw) + \frac{1}{12} \Sigma Z - \frac{1}{240} f_{(z)}''(a + iw)$$

$$a = \frac{x_0 + \frac{1}{2} \xi}{R^2}$$

$$b = \frac{y_0 + \frac{1}{2} \eta}{R^2}$$

$$c = \frac{z_0 + \frac{1}{2} \zeta}{R^2}$$

$$q = \frac{a S_{(x)} + b S_{(y)} + c S_{(z)}}{1 - \frac{h}{12} f(ax + by + cz)}$$

f mit dem Argumente q aus Tafel XI.

V.

$$\frac{d^2 \xi}{dt^2} = f_{(x)}(a + iw) = \Sigma (X_i + h' \{fqx - S_{(x)}\})$$

$$\frac{d^2 \eta}{dt^2} = f_{(y)}(a + iw) = \Sigma (Y_i + h' \{fqy - S_{(y)}\})$$

$$\frac{d^2 \zeta}{dt^2} = f_{(z)}(a + iw) = \Sigma (Z_i + h' \{fqz - S_{(z)}\}) \quad .$$

Für die Anfangsconstanten der Integration hat man:

$${}^{(1)}f(a + \tfrac{1}{2}w) = -\frac{1}{24} f^{(1)}(a + \tfrac{1}{2}w) + \frac{17}{5 \cdot 60} f^{(11)}(a + \tfrac{1}{2}w) + \dots$$

$${}^{(11)}f(a + w) = +\frac{1}{24} f^{(1)}(a) - \frac{17}{5 \cdot 60} \left\{ 2 f^{(11)}(a) + f^{(11)}(a + w) \right\} + \dots$$

Ausführliches Beispiel
zu
Encke's Methode
der
Störungsrechnung.

Datum	1875		1874							
	Febr. 24	Jun. 15	Dec. 6	Oct. 27	Sept. 17	Aug. 6	June 29	Mai 20	April 10	
M	191°21'42"7	184°14'26"8	177°57'11"0	169°59'55"1	162°52'39"3	155°45'23"4	148°38'7"6	141°30'51"7	134°23'35"9	
E	189°41'21"8	183°36'51"7	177°32'43"1	171°28'19"9	165°23'5"7	159°16'23"9	153°9'37"5	146°56'8"7	140°41'19"3	
$\sin E$	0.9236102	0.9099621	0.8931742	0.8717110	0.8401959	0.8048894	0.7651511	0.7236858	0.6817770	
$\cos E$	0.9999376	0.9999136	0.9999601	0.9995172	0.9985159	0.9970941	0.9950370	0.9923275	0.9888581	
Subtract.	0.0003700	0.0069386	0.0069518	0.070175	0.073877	0.077160	0.081688	0.087837	0.087837	
$\cos E - e$	0.9999616	0.9999722	0.9999119	0.9995347	0.9985314	0.9970941	0.9950370	0.9923275	0.9888581	
$r_0 \sin r_0$	0.9974949	0.99288468	0.99120589	0.9859957	0.980806	0.975741	0.970698	0.965705	0.960717	
$\sin \lambda$	0.99995605	0.9999391	0.9999719	0.9996599	0.99989938	0.99979535	0.99965060	0.99946025	0.99921733	
$r_0 \cos r_0$	0.9549625	0.9564201	0.9564598	0.9560826	0.9552793	0.9540297	0.9523009	0.9500442	0.9471897	
r_0	188°8'16"5	183°2'1"6	177°56'23"0	172°50'19"8	167°42'50"8	162°32'54"0	157°19'25"9	152°1'21"0	146°37'30"4	
λr_0	-5°6'14"9	5°5'38"6	-5°6'3'2	-5°2'29"0	-5°9'56"8	-5°13'28"1	-5°18'4"9	-5°23'50"6	-5°30'47"1	
r_0	0.564020	0.564810	0.564879	0.564227	0.562855	0.560762	0.557949	0.554417	0.550164	
$A + r_0$	316°36'4"1	311°30'32"2	306°24'53"6	301°18'50"4	296°11'21"4	291°1'24"6	285°4'56"5	280°29'51"6	275°6'1"0	
$B + r_0$	226°34'22"0	221°28'1"6	216°22'28"5	211°16'23"3	206°8'56"3	200°58'56"5	195°45'31"4	190°27'26"5	185°3'35"9	
$C + r_0$	100°52'54"7	95°48'39"8	90°41'1'2	85°34'58"0	80°22'29"0	75°11'32"2	70°4'4"1	64°45'59"2	59°22'8"6	
$r_0 \sin a$	0.563808	0.564598	0.564667	0.564015	0.562643	0.560550	0.557737	0.554205	0.549952	
$\sin A + r_0$	0.9839907	0.9874396	0.9905655	0.9931626	0.9952958	0.9970083	0.9983275	0.9992669	0.9998277	
x_0	-2.51602	-2.74786	-2.95340	-3.13070	-3.27815	-3.39381	-3.47619	-3.52382	-3.53366	
$\frac{1}{2} \xi$	0	0	0	0	0	0	0	0	0	
ξ	-2.51602	-2.74786	-2.95340	-3.13070	-3.27815	-3.39381	-3.47619	-3.52382	-3.53366	
$x_1 A$	-5.02505	-5.13125	-5.22245	-5.29843	-5.35895	-5.40385	-5.43298	-5.44621	-5.44350	
$x_1 B$	+7.2581	+7.1169	+6.9723	+6.8243	+6.6730	+6.5185	+6.3608	+6.2000	+6.0363	
$r_0 \sin b$	0.563910	0.564000	0.564117	0.564117	0.562745	0.560652	0.557839	0.554307	0.550054	
$\sin B + r_0$	0.9861085	0.9882096	0.9897310	0.9915274	0.9934419	0.9953997	0.9973908	0.9993886	0.9994561	
y_0	-2.66069	-2.43050	-2.17705	-1.90279	-1.61025	-1.30211	-0.98118	-0.65042	-0.31298	
$\frac{1}{2} \eta$	0	0	0	0	0	0	0	0	0	
η	-2.66069	-2.43050	-2.17705	-1.90279	-1.61025	-1.30211	-0.98118	-0.65042	-0.31298	
$y_1 A$	-2.11212	-1.84491	-1.57230	-1.29512	-1.01418	-0.73026	-0.44421	-0.15686	+0.13095	
$y_1 B$	-6.7091	-6.8709	-7.0294	-7.1844	-7.3359	-7.4839	-7.6282	-7.7688	-7.9056	
$r_0 \sin c$	0.149521	0.150311	0.150380	0.149228	0.148356	0.146263	0.143450	0.139918	0.135665	
$\sin C + r_0$	0.992120	0.997788	0.999696	0.999708	0.999495	0.998551	0.997312	0.995646	0.993473	
z_0	+0.13856	+0.14064	+0.14137	+0.14075	+0.13877	+0.13544	+0.13080	+0.12483	+0.11759	
$\frac{1}{2} \zeta$	0	0	0	0	0	0	0	0	0	
ζ	+0.13856	+0.14064	+0.14137	+0.14075	+0.13877	+0.13544	+0.13080	+0.12483	+0.11759	
$z_1 A$	-0.12116	-0.12260	-0.12367	-0.12459	-0.12475	-0.12474	-0.12437	-0.12362	-0.12253	
$z_1 B$	-0.1794	-0.1710	-0.1626	-0.1541	-0.1455	-0.1368	-0.1280	-0.1192	-0.1104	
r_0^3	1.692060	1.694430	1.694637	1.692681	1.688565	1.682286	1.673847	1.663251	1.650492	
h	7.983223	7.980853	7.980646	7.982602	7.986718	7.992997	8.001436	8.012032	8.024791	
$1 + \frac{1}{2} h$	0.000348	0.000346	0.000346	0.000348	0.000351	0.000356	0.000363	0.000371	0.000383	
R^2	1.128388	1.129662	1.130104	1.128802	1.126661	1.121880	1.116261	1.109205	1.100711	
$x_0 + \frac{1}{2} \xi$	0.9400715	0.9438994	0.9470322	0.9495641	0.9515614	0.9530660	0.9541057	0.9546943	0.9548330	
$y_0 + \frac{1}{2} \eta$	0.9424995	0.9438596	0.9437869	0.9427931	0.9406883	0.9374621	0.9331691	0.9278306	0.921442	
$z_0 + \frac{1}{2} \zeta$	0.941641	0.9448099	0.9450349	0.9448436	0.9432296	0.9401779	0.9356608	0.9296310	0.9220370	
x	0.9400715	0.9438994	0.9470322	0.9495641	0.9515614	0.9530660	0.9541057	0.9546943	0.9548330	
y	0.9424995	0.9438596	0.9437869	0.9427931	0.9406882	0.9374621	0.9331691	0.9278306	0.921442	
z	0.941641	0.9448099	0.9450349	0.9448436	0.9432296	0.9401779	0.9356608	0.9296310	0.9220370	
a	9.272327	9.309028	9.340218	9.366839	9.384953	9.408780	9.424796	9.443773	9.464761	
b	9.296607	9.325570	9.350765	9.371586	9.388022	9.400741	9.409543	9.415385	9.418431	
c	8.013253	8.018133	8.020245	8.019634	8.016235	8.009899	8.000347	7.987114	7.969659	
$S_{(x)}$	2.818503	1.878637	1.892873	2.861749	3.320639	3.628801	3.864148	4.056488	4.220722	
$S_{(y)}$	2.420920	1.42874	1.498724	2.463803	2.914798	3.210457	3.428269	3.598452	3.736151	
$S_{(z)}$	1.003491	0.064458	0.075547	1.034227	1.474362	1.952336	2.494318	2.902140	3.2146283	
$f q x$	2.7730009	1.913665	2.027662	3.081001	3.610527	3.977436	4.260418	4.490133	4.681651	
$f q y$	2.7742408	1.860336	1.895209	2.864751	3.301771	3.561343	3.710043	3.7756046	3.762984	
$f q z$	1.470935	0.622770	0.707894	1.733766	2.3237195	2.584466	2.835889	3.039438	3.203578	
Subtract.	0.354128	0.124262	0.561007	0.811738	0.977422	0.990340	0.173305	0.800422	0.815580	
$f q x - S_{(x)}$	0.165380	0.152069	0.146544	0.145287	0.149290	0.160100	0.182307	0.229342	0.250306	
$f q y - S_{(y)}$	0.127371	0.106019	0.091058	0.079081	0.069168	0.060408	0.052314	0.044469	0.036485	
$f q z - S_{(z)}$	2.084137	0.802899	1.045380	2.079136	2.998061	3.719231	4.0937453	4.290555	4.497231	
h'	2.9194869	2.9012436	2.9041753	2.9010038	2.9011061	2.9021443	2.903250	2.9048388	2.906457	
h'	1.598306	0.728780	0.798747	1.812877	2.306363	2.638904	2.888203	3.083907	3.240072	
h'	7.982875	7.980507	7.980300	7.982254	7.986367	7.992641	8.001073	8.011661	8.024408	

1874		1873						
März 1	Jan. 20	Dec. 11	Nov. 1	Sept. 22	Aug. 13	Juli 4	Mai 25	April 15
127°16'20"0	120° 9' 4"2	113° 1'48"4	105°54'32"5	98°47'16"0	91°40' 0"8	84°32'45"0	77°25'29"1	70°18'13"3
134°22'29"8	127°59' 0"1	121°30' 9"1	114°55'14"7	108°13'34"9	101°24'27"1	94°57'10"1	88°21' 3"9	80° 5'32"8
9.854171	9.896631	9.930754	9.957555	9.977645	9.991334	9.998687	9.999535	9.993474
9.844696	9.8789180	9.918116	9.9624658	9.995227	9.996196	8.890004	8.664791	9.235677
0.096211	0.107822	0.124474	0.149711	0.191591	0.273434	0.160665	9.865415	7.902250
9.949097	9.897002	9.842590	9.774369	9.686818	9.569630	9.399796	9.104544	7.137927
0.343018	0.385478	0.419601	0.446402	0.466492	0.480181	0.487534	0.488382	0.482321
9.891189	9.852958	9.886447	9.920292	9.948072	9.970055	9.986247	9.996399	0.000000
0.436386	0.392481	0.338069	0.269848	0.182297	0.065109	9.845275	9.600023	7.633406
141° 6'43"3	135°27'42"9	129°39'11"2	123°39'42"8	117°27'49"4	111° 1'59"4	104°20'36"0	97°22' 5"5	90° 4'52"1
-5°39' 0"4	-5°48'31"7	-5°59'28"7	-6°11'53"4	-6°25'55"0	-6°41'22"7	-6°58'31"2	-7°17'13"4	-7°32'22"8
0.545197	0.539523	0.533154	0.526110	0.518420	0.510126	0.501287	0.491983	0.482321
269°35'13"9	263°56'13"5	258° 4'41"8	252° 8'13"4	245°56'20"0	239°30'30"0	232°49' 7"3	225°50'36"1	218°33'22"7
179°32'48"8	173°53'48"4	168° 5'16"7	162° 5'48"3	155°53'54"9	149°28' 4"9	142°46'42"2	135°48'11"0	128°30'57"6
53°51'21"5	48°12'21"1	42°23'49"4	36°24'21"0	30°12'22"6	23°46'37"6	17° 5'14"9	10° 6'43"7	2°49'30"3
0.544985	0.539311	0.532942	0.525898	0.518208	0.509914	0.501075	0.491771	0.482109
9.999989	9.997564	9.990610	9.978542	9.960524	9.935358	9.901310	9.855784	9.794685
-3.50731	-3.44251	-3.33851	-3.19477	-3.01115	-2.78787	-2.52572	-2.22615	-1.89145
- 116	- 157	- 206	- 265	- 334	- 415	- 509	- 615	- 733
- 232	- 313	- 411	- 529	- 668	- 831	- 1018	- 1231	- 1466
-3.50963	-3.44564	-3.34262	-3.20006	-3.01783	-2.79618	-2.53590	-2.23846	-1.90611
-5.42482	-5.39020	-5.33967	-5.27339	-5.19148	-5.09412	-4.98153	-4.85396	-4.71173
+5.8697	+5.7003	+5.5281	+5.3533	+5.1760	+4.9962	+4.8140	+4.6296	+4.4430
0.545087	0.539413	0.533044	0.526000	0.518310	0.510016	0.501177	0.491773	0.482211
7.898077	9.026615	9.314730	9.487719	9.611036	9.705880	9.781683	9.843312	9.893448
+0.02774	+0.36815	+0.70433	+1.03209	+1.34693	+1.64398	+1.91805	+2.16364	+2.37497
+ 35	+ 44	+ 55	+ 66	+ 81	+ 100	+ 127	+ 164	+ 218
+ 71	+ 89	+ 109	+ 132	+ 161	+ 200	+ 253	+ 328	+ 435
+0.02845	+0.36904	+0.70542	+1.03341	+1.34854	+1.64598	+1.92058	+2.16692	+2.37932
+0.41836	+0.70454	+0.98865	+1.26983	+1.54726	+1.82008	+2.08746	+2.34857	+2.60259
-8.0387	-8.1679	-8.2932	-8.4145	-8.5317	-8.6448	-8.7539	-8.8588	-8.9596
9.130698	9.125024	9.118655	9.111611	9.103921	9.095627	9.086788	9.077484	9.067822
9.907162	9.877247	9.848831	9.823421	9.801685	9.605498	9.468098	9.244494	8.992733
+0.10911	+0.09943	+0.08861	+0.07674	+0.06392	+0.05052	+0.03588	+0.02099	+0.00576
- 1	- 1	0	0	1	2	4	6	8
- 1	- 1	- 1	+ 1	+ 2	+ 5	+ 8	+ 12	+ 16
+0.10910	+0.09942	+0.08860	+0.07673	+0.06391	+0.05050	+0.03596	+0.02111	+0.00592
+0.12107	+0.11926	+0.11709	+0.11458	+0.11173	+0.10855	+0.10504	+0.10122	+0.09709
-0.1015	-0.0925	-0.0835	-0.0745	-0.0654	-0.0562	-0.0471	-0.0379	-0.0288
1.635591	1.618569	1.599462	1.578330	1.555260	1.530378	1.503861	1.475949	1.446963
8.039692	8.056714	8.075821	8.096953	8.120023	8.1444905	8.171422	8.199334	8.228320
0.000396	0.000431	0.000431	0.000432	0.000437	0.000435	0.000437	0.000437	0.000612
1.090394	1.079046	1.066308	1.052220	1.036840	1.020252	1.002574	0.983966	0.964642
1.090790	1.079459	1.066739	1.052672	1.037317	1.020757	1.003111	0.984538	0.965254
0.545117	0.537073	0.528280	0.519480	0.510424	0.501458	0.492360	0.483173	0.473847
8.448552	8.566544	8.848115	9.013995	9.129606	9.216161	9.283147	9.335514	9.376056
9.037825	8.997474	8.947483	8.885022	8.805705	8.701309	8.555356	8.373252	8.166413
0.545262	0.537270	0.528408	0.519518	0.510664	0.501456	0.492413	0.483499	0.473808
8.454082	9.567073	9.848448	10.014272	10.129864	10.216425	10.283432	10.335843	10.376453
9.037825	8.997474	8.947434	8.885078	8.805773	8.701368	8.555820	8.374488	8.167232
9.454327	9.457614	9.457081	9.452128	9.441897	9.425161	9.400149	9.366425	9.313220
7.357762	8.487085	8.781376	8.961323	9.092289	9.195454	9.280056	9.350976	9.410802
7.947035	7.918015	7.880744	7.832350	7.768388	7.680552	7.552225	7.338714	6.801159
4.365191	4.494992	4.6113409	4.722629	4.824110	4.918803	5.000721	5.080965	5.165912
3.850733	3.949089	4.037138	4.120871	4.200096	4.297992	4.400016	4.513015	4.635212
2.158543	2.075218	1.9722305	1.851671	1.7394184	1.6290391	1.5029494	1.3665893	1.193753
4.843350	4.980209	5.095282	5.190395	5.266498	5.323777	5.361585	5.378176	5.370128
2.752170	4.010012	4.419643	4.699509	4.916668	5.093637	5.240885	5.364070	5.466433
3.335913	3.440413	3.518629	3.570315	3.592577	3.578780	3.513273	3.352715	2.862302
9.824426	9.827900	9.826265	9.819154	9.805441	9.782778	9.750775	9.707610	9.654088
9.963931	9.177815	0.100053	9.866965	9.905942	9.924235	9.932345	9.934038	9.930697
0.027949	0.018340	0.006887	0.992272	9.971923	9.939866	9.877782	9.771104	0.058850
4.667776	4.808109	4.921547	5.009549	5.071939	5.106555	5.108026	5.064265	4.944320
3.814664	3.126904	4.187191	4.566474	4.822610	5.017872	5.173230	5.298108	5.397130
3.363862	3.458753	3.525516	3.562587	3.564500	3.518646	3.391055	3.036997	2.921152
8.039296	8.056301	8.075390	8.096501	8.119546	8.144400	8.170885	8.198762	8.227708

Datum	1873		1872						
	Mar. 6	Jan. 25	Dec. 16	Nov. 6	Sept. 27	Aug. 18	July 9	May 30	
M	63°10'55"5	56°3'41"7	48°56'25"8	41°49'10"0	34°41'54"1	2°34'38"3	20°2'22"5	13°20'6"6	
k	-2°40'4"2	65°4'22"3	57°18'10"1	49°21'35"1	41°15'1"0	32°54'15"2	24°35'29"3	16°5'20"4	
$\sin E$	0.979820	0.957533	0.925073	0.880135	0.819115	0.735964	0.619245	0.442684	
$\cos E$	0.474073	0.624762	0.732554	0.813786	0.876123	0.923653	0.958707	0.982648	
Subtract.	0.855931	0.155378	0.831836	0.865528	0.886108	0.899402	0.908092	0.913548	
$\cos E - e$	0.095062	0.394509	0.564390	0.679314	0.762231	0.823055	0.866799	0.896196	
$r_0 \sin r_0$	0.468667	0.446380	0.413920	0.368982	0.307962	0.224811	0.108092	0.931531	
$\sin A$	0.996227	0.983866	0.961164	0.925559	0.873160	0.801329	0.941333	0.975363	
$\cos f$									
$r_0 \cos r_0$	0.590541	0.889988	0.059869	0.174793	0.257710	0.318534	0.362278	0.391675	
r_0	82°2'29"3	4°28'44"1	66°7'43"9	5°24'10"2	48°18'26"9	38°51'54"2	29°6'55"8	19°7'2"8	
$f r_0$	-5°58'45"2	-8°21'0"2	-8°43'33"7	-9°5'43"3	-9°26'32"7	-9°44'58"4	-9°59'53"0	-10°10'14"3	
r_0	0.472440	0.462514	0.452756	0.443423	0.434802	0.427205	0.420945	0.416312	
$A + r_0$	210°55'59"9	202°5'14"7	194°36'14"5	185°52'40"8	176°46'57"5	167°20'24"8	157°35'26"4	147°35'33"4	
$B + r_0$	120°53'34"8	112°54'49"6	104°33'49"4	95°50'15"7	86°44'32"4	77°1'59"7	67°33'1"3	57°33'8"3	
$C + r_0$	355°12'55"5	347°13'22"5	338°52'22"1	330°8'48"4	321°3'5"1	311°36'32"4	301°51'34"0	291°51'41"0	
$r_0 \sin a$	0.472228	0.462302	0.452544	0.443211	0.434590	0.426993	0.420733	0.416100	
$\sin B + r_0$	0.971097	0.959105	0.940163	0.910345	0.874949	0.834764	0.791176	0.729113	
x_0	-1.52484	-1.13073	-0.71479	-0.28416	+0.15266	+0.58581	+1.00440	+1.39705	
$\frac{1}{2} \varepsilon$	-861	-993	-1125	-1247	-1349	-1417	-1438	-1400	
ε	-1721	-1986	-2250	-2495	-2698	-2833	-2875	-2801	
x	-1.54205	-1.15059	-0.7329	-0.30911	+0.12568	+0.55748	+0.97565	+1.36904	
x_1 / A	-4.55521	-4.38478	-4.20088	-4.00398	-3.79460	-3.57336	-3.34086	-3.09774	
x_1 / B	+4.2543	+4.0636	+3.8710	+3.6766	+3.4804	+3.2827	+3.0834	+2.8827	
$r_0 \sin b$	0.472330	0.462404	0.452646	0.443313	0.434692	0.427095	0.420835	0.416202	
$\sin B + r_0$	0.973352	0.964303	0.945816	0.917742	0.882927	0.842243	0.798773	0.752622	
y_0	+2.54614	+2.67121	+2.74449	+2.76093	+2.71637	+2.60818	+2.43561	+2.20031	
$\frac{1}{2} \varepsilon$	+292	+393	+526	+695	+903	+1147	+1421	+1713	
ε	+84	+786	+1052	+1391	+1806	+2294	+2842	+3427	
y	+2.55198	+2.67907	+2.75501	+2.77484	+2.73443	+2.63112	+2.46403	+2.23458	
y_1 / A	+2.84871	+3.08612	+3.31406	+3.53176	+3.73845	+3.93344	+4.11603	+4.28555	
y_1 / B	-0.95611	-0.91483	-0.87362	-0.83197	-0.79088	-0.74735	-0.70438	-0.66096	
$r_0 \sin c$	0.9057941	0.9048015	0.9038257	0.9028924	0.9020303	0.9012706	0.9006446	0.9001813	
$\sin C + r_0$	8.9422422	9.9344706	9.9556832	9.9697037	9.9798340	9.9873724	9.9929085	9.9967589	
z_0	-0.00956	-0.02404	-0.03936	-0.05321	-0.06587	-0.07699	-0.08620	-0.09320	
$\frac{1}{2} \varepsilon$	+20	+23	+26	+26	+24	+19	+10	+5	
ε	+20	+23	+26	+26	+24	+19	+10	+5	
z	-0.00936	-0.02447	-0.03910	-0.05295	-0.06563	-0.07680	-0.08610	-0.09323	
z_1 / A	+0.09266	+0.08796	+0.08299	+0.07775	+0.07227	+0.06655	+0.06066	+0.05455	
z_1 / B	-0.0196	-0.0104	-0.0012	+0.0080	+0.0172	+0.0264	+0.0356	+0.0447	
r_0^3	1.417320	1.387542	1.358268	1.330269	1.304406	1.281615	1.262835	1.248936	
$1 + \frac{1}{2} h$	8.257963	8.287741	8.317015	8.345014	8.372877	8.399668	8.426448	8.453247	
r_0^2	0.000655	0.000702	0.000751	0.000801	0.000849	0.000895	0.000935	0.000969	
R^2	0.044880	0.025082	0.005512	0.080846	0.866604	0.854410	0.841890	0.828264	
R^2	0.945535	0.925730	0.906263	0.887647	0.870453	0.855305	0.842825	0.833588	
$x_0 + \frac{1}{2} \varepsilon$	0.9185669	0.9057150	0.8960961	0.8942215	0.8943546	0.8957123	0.8995644	0.9040838	
$y_0 + \frac{1}{2} \varepsilon$	0.406380	0.427346	0.439293	0.442147	0.435430	0.418243	0.389134	0.345852	
$z_0 + \frac{1}{2} \varepsilon$	0.975891	0.960582	0.9459318	0.9324931	0.9187890	0.9048870	0.8905255	0.8769509	
x	0.9188098	0.9060920	0.8966738	0.89490113	0.8969266	0.89746229	0.8989294	0.90136416	
y	0.406878	0.427984	0.440124	0.443238	0.436867	0.420140	0.391646	0.349196	
z	0.971276	0.9588634	0.9492177	0.9423866	0.9317102	0.91885361	0.9035003	0.8769556	
a	9.240134	9.131426	9.054698	8.99584568	8.9523093	8.9201818	8.8982110	8.882250	
b	9.460845	9.501616	9.533030	9.554500	9.564977	9.562938	9.546309	9.512264	
c	9.030356	9.0464852	9.0687355	9.0872284	9.1047443	9.1205055	9.1342430	9.145921	
$S_{(1)}$	5.235631	5.208153	5.185255	5.167634	5.1541897	5.143508	5.1346182	5.1268977	
$S_{(2)}$	4.763668	4.802466	4.840589	4.8771317	4.9125262	4.9469643	4.9803148	5.0126834	
$S_{(3)}$	3.292780	3.364937	3.409299	3.421233	3.389846	3.287945	3.017680	2.642852	
$f q x$	5.7330972	5.7247700	5.7088001	5.685661	5.657735	5.624650	5.587503	5.546206	
$f q y$	5.549750	5.614764	5.661387	5.688786	5.695336	5.687861	5.634855	5.558086	
$f q z$	3.9144152	3.9575414	3.9813440	3.9909414	4.0075571	4.0143782	4.0178212	4.0179346	
Subtract.	9.340037	9.090591	9.021726	8.933226	8.835150	8.732179	8.6201943	8.502678	
	9.022505	9.008732	8.987538	8.955225	8.904128	8.835068	8.7515603	8.657300	
	0.220847	0.208440	0.144366	0.108234	0.081417	0.056664	0.029018	0.992222	
$f q x - S_{(1)}$	4.6625668	4.333291	5.010627	5.290960	5.467047	5.587687	5.662125	5.701655	
$f q y - S_{(2)}$	5.472257	5.523496	5.548925	5.544011	5.499164	5.394711	5.168751	4.292134	
$f q z - S_{(3)}$	3.9513597	3.9783834	3.9957806	4.0077648	4.0156988	4.0200446	4.0207230	4.0171568	
h'	8.257308	8.287039	8.316264	8.344213	8.372028	8.399773	8.427513	8.455238	

18-2			18-1					
April 20	März 11	Jan. 31	Dec. 22	Nov. 12	Oct. 3	Aug. 24	July 15	June 5
6 ^h 12 ^m 50 ^s 8	359 ^m 5 ^s 34 ^s 9	351 ^m 58 ^s 19 ^s 1	344 ^m 51 ^s 3 ^s 2	33 ^m 43 ^s 4 ^s 4	330 ^m 36 ^s 31 ^s 6	323 ^m 29 ^s 15 ^s 7	316 ^m 21 ^s 59 ^s 9	309 ^m 14 ^s 44 ^s 0
7 ^h 30 ^m 48 ^s 4	358 ^m 54 ^s 9 ^s 8	350 ^m 1 ^s 50 ^s 0	341 ^m 44 ^s 12 ^s 5	333 ^m 15 ^s 30 ^s 8	324 ^m 53 ^s 38 ^s 9	316 ^m 40 ^s 7 ^s 7	308 ^m 36 ^s 2 ^s 9	300 ^m 42 ^s 4 ^s 9
9.116471	8 _n 28216 ^m	9 _n 226696	9 _n 496075	9 _n 653179	9 _n 5935	9 _n 836460	9 _n 892935	9 _n 934418
9.996255	9.999920	9.993743	9.977553	9.950874	9.912801	9.861773	9.795109	9.708050
9.916488	9.917262	9.915954	9.912417	9.906225	9.896528	9.881711	9.858546	9.819749
9.912743	9.917182	9.909697	9.889970	9.857099	9.809329	9.743484	9.653655	9.527799
9.605318	8 _n 771014	9 _n 715543	9 _n 849222	0 _n 142026	0 _n 248582	0 _n 325307	0 _n 381782	0 _n 423265
9.994683	9.999887	9.991116	9.968126	9.930183	9.875783	9 _n 888394	9 _n 936037	9 _n 968053
0.408222	0.412661	0.405176	0.385449	0.352578	0.304808	0.238963	0.149134	0.023278
8 ^h 56 ^m 48 ^s 5	358 ^m 31 ^s 33 ^s 4	348 ^m 27 ^s 3 ^s 0	338 ^m 18 ^s 57 ^s 5	328 ^m 22 ^s 29 ^s 1	318 ^m 41 ^s 54 ^s 9	309 ^m 20 ^s 29 ^s 5	300 ^m 20 ^s 20 ^s 0	291 ^m 42 ^s 30 ^s 3
-10 ^h 15 ^m 15 ^s 1	-10 ^h 14 ^m 30 ^s 4	-10 ^h 8 ^m 5 ^s 3	-9 ^h 56 ^m 28 ^s 6	-9 ^h 40 ^m 34 ^s 2	-9 ^h 21 ^m 25 ^s 4	-9 ^h 0 ^m 9 ^s 5	-8 ^h 37 ^m 49 ^s 7	-8 ^h 12 ^m 8 ^s 5
0.413539	0.412774	0.414060	0.417323	0.422395	0.429025	0.436913	0.445745	0.455212
137 ^m 25 ^s 19 ^s 1	12 ^m 10 ^s 4 ^s 0	116 ^m 55 ^s 33 ^s 6	106 ^m 47 ^s 28 ^s 3	96 ^m 50 ^s 59 ^s 7	87 ^m 10 ^s 25 ^s 5	77 ^m 49 ^s 01 ^s 1	68 ^m 48 ^s 55 ^s 6	60 ^m 11 ^s 09 ^s 4
47 ^m 22 ^s 54 ^s 0	37 ^m 7 ^s 38 ^s 9	26 ^m 53 ^s 8 ^s 5	16 ^m 45 ^s 3 ^s 2	6 ^m 48 ^s 34 ^s 6	35 ^m 8 ^s 0 ^s 4	34 ^m 46 ^s 35 ^s 0	33 ^m 46 ^s 25 ^s 5	330 ^m 8 ^s 35 ^s 8
281 ^m 41 ^s 26 ^s 7	2 ^m 12 ^s 26 ^s 11 ^s 6	261 ^m 11 ^s 41 ^s 1	251 ^m 3 ^s 35 ^s 9	241 ^m 7 ^s 7 ^s 3	231 ^m 26 ^s 33 ^s 1	222 ^m 5 ^s 7 ^s 7	213 ^m 4 ^s 58 ^s 2	204 ^m 22 ^s 8 ^s 5
0.413327	0.412562	0.413848	0.417111	0.422183	0.428813	0.436701	0.445533	0.455000
9.830328	9.901388	9.950166	9.981077	9.996884	9.999472	9.990107	9.969608	9.938331
+ 1.75249	+ 2.06039	+ 2.31214	+ 2.50143	+ 2.62465	+ 2.68092	+ 2.67182	+ 2.60101	+ 2.47361
- 1297	- 1126	- 892	- 608	- 290	- 41	- 365	- 667	- 933
- 2594	- 2251	- 1783	- 1215	- 580	- 81	- 731	- 1334	- 1866
+ 1.72655	+ 2.03788	+ 2.29431	+ 2.48928	+ 2.61885	+ 2.68173	+ 2.67913	+ 2.61435	+ 2.49227
- 2.84470	- 2.58247	- 2.31183	- 2.03360	- 1.74866	- 1.45788	- 1.16219	- 0.86255	- 0.55997
+ 2.6806	+ 2.4773	+ 2.2729	+ 2.0674	+ 1.8609	+ 1.6535	+ 1.4454	+ 1.2367	+ 1.0274
0.413429	0.412664	0.413950	0.417213	0.422285	0.428915	0.436803	0.445635	0.455102
9.866808	9.90742	9.955342	9.989710	9.993977	9.999056	9.993257	9.958770	9.9697084
+ 1.90650	+ 1.56101	+ 1.17298	+ 0.75322	+ 0.31352	- 0.13427	- 0.57887	- 1.01020	- 1.41966
+ 2008	+ 2258	+ 2525	+ 2712	+ 2832	+ 2881	+ 2860	+ 2775	+ 2637
+ 4016	+ 4570	+ 5051	+ 5424	+ 5664	+ 5762	+ 5719	+ 5550	+ 5275
+ 1.94666	+ 1.60671	+ 1.22349	+ 0.80746	+ 0.37016	- 0.07665	- 0.52168	- 0.95474	- 1.36691
+ 4.44134	+ 4.58280	+ 4.70931	+ 4.82038	+ 4.91550	+ 4.99427	+ 5.05621	+ 5.10100	+ 5.12834
- 9.6709	- 9.7277	- 9.7799	- 9.8276	- 9.8707	- 9.9092	- 9.9428	- 9.9724	- 9.9970
8.999040	8.998275	8.999561	9.002824	9.007896	9.014526	9.022414	9.031246	9.040713
9.9990896	9.9994864	9.9994851	9.9975826	9.9942317	9.9893197	9.9826229	9.9737074	9.9616934
- 0.09771	- 0.09957	- 0.09872	- 0.09520	- 0.08917	- 0.08086	- 0.07057	- 0.05866	- 0.04546
- 10	- 20	- 31	- 43	- 53	- 63	- 71	- 77	- 81
- 20	- 40	- 62	- 85	- 107	- 126	- 143	- 155	- 163
- 0.09791	- 0.09997	- 0.09934	- 0.09605	- 0.09028	- 0.08212	- 0.07200	- 0.06021	- 0.04709
+ 0.04827	+ 0.04184	+ 0.03527	+ 0.02858	+ 0.02180	+ 0.01494	+ 0.00804	+ 0.00111	+ 0.00583
+ 0.0593	+ 0.0630	+ 0.0721	+ 0.0811	+ 0.0901	+ 0.0991	+ 0.1080	+ 0.1169	+ 0.1257
1.240617	1.238322	1.242180	1.241969	1.267185	1.287075	1.310739	1.337235	1.365636
8.434666	8.436961	8.433103	8.423314	8.408098	8.388208	8.364544	8.338048	8.309647
0.000943	0.000984	0.000980	0.000945	0.000928	0.000884	0.000837	0.000788	0.000738
0.827078	0.825548	0.828120	0.834646	0.844790	0.858050	0.873826	0.891490	0.910424
0.828061	0.826537	0.829100	0.835604	0.845715	0.858934	0.874663	0.892278	0.911162
0.240429	0.311569	0.362336	0.397131	0.418593	0.428350	0.427400	0.416255	0.394966
0.284787	0.199717	0.078540	9.892284	9.533821	9.9023088	9.9740576	9.9942310	9.9144042
8 _n 990383	8 _n 999000	8 _n 995767	8 _n 980594	8 _n 952792	8 _n 911104	8 _n 852968	8 _n 774006	8 _n 665299
0.237179	0.309179	0.360652	0.396074	0.418110	0.428415	0.427994	0.417363	0.396595
0.289290	0.205938	0.087600	9.907121	9.568389	9.8884512	9.9717404	9.9979867	9.9135740
8 _n 990827	8 _n 999870	8 _n 997124	8 _n 982497	8 _n 955399	8 _n 914449	8 _n 857332	8 _n 774669	8 _n 672929
9.412368	9.485032	9.533236	9.561527	9.572876	9.569416	9.552737	9.523977	9.483804
9.456726	9.373180	9.249440	9.056680	8.688108	8.164154	8.865913	9.9100032	9.9232808
8 _n 162322	8 _n 172463	8 _n 166660	8 _n 144900	8 _n 107077	8 _n 052170	8 _n 008335	8 _n 881728	8 _n 754137
5 _n 415822	5 _n 354409	5 _n 253315	5 _n 086573	4 _n 765344	3.915083	4.865958	5.127108	5.272525
5.604071	5.660524	5.704149	5.735169	5.754053	5.761453	5.758145	5.744966	5.722749
3 _n 294312	3 _n 601212	3 _n 793923	3 _n 930098	4 _n 029867	4 _n 103030	4 _n 155357	4 _n 190704	4 _n 211876
5.390824	5.376466	5.296728	5.118878	4.677577	3.0862376	5.105765	5.299027	5.399865
5.442935	5.273225	5.026766	4.620425	3.827856	3.083473	4.395175	4.861531	5.139010
4 _n 144472	4 _n 067157	3 _n 933200	3 _n 705301	3 _n 214866	3.113410	3.535103	3.661333	3.676199
0.288716	0.290142	0.279866	0.285178	0.254360	0.076699	0.197472	0.223522	0.242011
9.652255	0.158208	9.898340	9.964505	9.994821	9.999087	9.980752	9.939126	9.868779
9.933891	9.818210	9.577593	9.831242	9.927828	0.042346	0.093332	0.112454	0.111023
5.704533	5.666608	5.576594	5.404056	5.024704	4 _n 704365	5 _n 303237	5 _n 522549	5 _n 641876
5 _n 095400	5 _n 431433	5 _n 602484	5 _n 649674	5 _n 748874	5 _n 760540	5 _n 738897	5 _n 684092	5 _n 591528
4 _n 078363	3 _n 885367	3 _n 715116	3.536543	3.957695	4.145376	4.248689	4.303158	4.322899
8.433683	8.435972	8.432123	8.422356	8.407173	8.387324	8.363707	8.337200	8.308909

B₁

Datum	1875		1874							
	Febr. 1	Jan. 15	Dec. 6	Oct. 7	Sept. 17	Aug. 8	June 29	Mai 20	April 10	
$x_1 - x$	0 _n 399506	0 _n 377195	0 _n 355844	0 _n 336005	0 _n 318230	0 _n 303205	0 _n 291544	0 _n 283842	0 _n 280610	
$y_1 - y$	0 _n 39232	0 _n 367594	0 _n 34576	0 _n 32668	0 _n 307239	0 _n 29161	0 _n 279732	0 _n 269888	0 _n 2646786	
$z_1 - z$	8 _n 240519	8 _n 256237	8 _n 247973	8 _n 243783	8 _n 146748	8 _n 029384	7 _n 807535	7 _n 082785	7 _n 693727	
$u k^2 m_1 q^3$	2.426007	2.485167	2.542698	2.597643	2.648892	2.694663	2.733084	2.761926	2.778882	
$\cos \frac{1}{2} \theta$	0 _n 989861	0 _n 988272	0 _n 985098	0 _n 983573	0 _n 982879	0 _n 983108	0 _n 984250	0 _n 986160	0 _n 988581	
$\sin \frac{1}{2} \theta$	0.409645	0.389923	0.370746	0.352432	0.335351	0.320097	0.307294	0.297682	0.292029	
$q \cos \theta$	0.999990	0.999988	0.999988	0.999989	0.999991	0.999994	0.999998	0.000000	0.999999	
$\cos \theta$	0.409655	0.389935	0.370758	0.352443	0.335360	0.320103	0.307296	0.297682	0.292030	
$\frac{q}{q^3}$	1.228965	1.169805	1.112274	1.057329	1.006080	0.960309	0.921888	0.893046	0.876090	
X_1	669.13	728.39	791.67	858.32	927.09	995.10	1058.35	1111.14	1146.81	
X_2	+ 140.09	+ 142.89	+ 145.33	+ 147.41	+ 149.12	+ 150.46	+ 151.43	+ 152.02	+ 152.23	
X	529.04	585.50	646.34	710.91	777.97	844.64	906.92	959.12	994.58	
Y_1	+ 146.30	+ 178.96	+ 211.00	+ 240.61	+ 265.54	+ 283.02	+ 290.28	+ 285.05	+ 266.48	
Y_2	+ 58.87	+ 51.37	+ 43.76	+ 36.04	+ 28.23	+ 20.33	+ 12.38	+ 4.38	+ 3.66	
Y	+ 205.17	+ 230.33	+ 254.76	+ 276.65	+ 293.77	+ 303.35	+ 302.66	+ 289.43	+ 262.82	
Z_1	4.64	5.51	6.18	6.48	6.25	5.30	3.47	0.70	2.97	
Z_2	3.38	3.41	3.44	3.46	3.47	3.47	3.47	3.45	3.42	
Z	8.02	8.92	9.62	9.94	9.72	8.77	6.94	4.15	0.45	
$x_1 - x$	0.99008	0.99409	0.99676	0.99804	0.99787	0.99618	0.99286	0.98783	0.98099	
$y_1 - y$	0 _n 60228	0 _n 64742	0 _n 68596	0 _n 72277	0 _n 75783	0 _n 79113	0 _n 82265	0 _n 85241	0 _n 88042	
$z_1 - z$	0 _n 50243	0 _n 49360	0 _n 48287	0 _n 46953	0 _n 45378	0 _n 43489	0 _n 41296	0 _n 38739	0 _n 35793	
$w k^2 m_1 q^3$	0.05704	0.02803	0.00064	0.97490	0.95072	0.92810	0.90710	0.88769	0.86981	
$\cos \frac{1}{2} \theta$	0.99562	0.99994	0.99536	0.99615	0.99790	0.99866	0.99832	0.99681	0.98900	
$\sin \frac{1}{2} \theta$	1.02446	1.03415	1.04330	1.05189	1.05997	1.06752	1.07454	1.08102	1.08699	
$q \cos \theta$	0.999980	0.999932	0.999984	0.999985	0.999987	0.999988	0.999990	0.999991	0.999992	
$\cos \theta$	1.02466	1.03433	1.04346	1.05204	1.06010	1.06764	1.07464	1.08111	1.08707	
$\frac{q}{q^3}$	3.07398	3.10299	3.13038	3.15612	3.18030	3.20292	3.22392	3.24333	3.26121	
X_1	+ 11.15	+ 10.52	+ 9.94	+ 9.40	+ 8.88	+ 8.40	+ 7.94	+ 7.51	+ 7.09	
X_2	+ 10.16	+ 9.44	+ 9.71	+ 9.48	+ 9.25	+ 9.01	+ 8.77	+ 8.53	+ 8.29	
X	+ 0.99	+ 0.58	+ 0.23	+ 0.08	+ 0.37	+ 0.61	+ 0.83	+ 1.02	+ 1.20	
Y_1	+ 4.62	+ 4.74	+ 4.86	+ 4.99	+ 5.11	+ 5.24	+ 5.37	+ 5.50	+ 5.63	
Y_2	+ 9.39	+ 9.99	+ 9.79	+ 9.98	+ 10.17	+ 10.35	+ 10.53	+ 10.70	+ 10.86	
Y	+ 4.77	+ 4.85	+ 4.93	+ 4.99	+ 5.09	+ 5.11	+ 5.16	+ 5.20	+ 5.23	
Z_1	0.36	0.33	0.30	0.28	0.25	0.23	0.21	0.19	0.17	
Z_2	+ 0.25	+ 0.24	+ 0.22	+ 0.21	+ 0.20	+ 0.19	+ 0.17	+ 0.16	+ 0.15	
Z	+ 0.11	+ 0.09	+ 0.08	+ 0.07	+ 0.05	+ 0.04	+ 0.04	+ 0.03	+ 0.02	
$a S_{(x)}$	+ 123.26	+ 15.41	+ 17.10	+ 169.27	+ 513.09	+ 1010.62	+ 1945.11	+ 3120.51	+ 4659.52	
$b S_{(y)}$	+ 52.18	+ 5.48	+ 5.09	+ 41.16	+ 99.00	+ 159.66	+ 201.25	+ 200.59	+ 135.08	
$c S_{(z)}$	+ 0.10	+ 0.01	+ 0.01	+ 0.11	+ 0.31	+ 0.58	+ 0.88	+ 1.15	+ 1.31	
Zähler	+ 70.98	+ 9.92	+ 12.00	+ 128.00	+ 413.78	+ 930.38	+ 1742.98	+ 2918.77	+ 4523.13	
$a x$	+ 0.471023	+ 0.559789	+ 0.646457	+ 0.728585	+ 0.803861	+ 0.869896	+ 0.924485	+ 0.965500	+ 0.990952	
$b y$	+ 0.526747	+ 0.437951	+ 0.351264	+ 0.269141	+ 0.193952	+ 0.128037	+ 0.073631	+ 0.032869	+ 0.007748	
$c z$	+ 0.001429	+ 0.001466	+ 0.001481	+ 0.001473	+ 0.001441	+ 0.001386	+ 0.001309	+ 0.001212	+ 0.001097	
W	+ 0.999199	+ 0.999203	+ 0.999202	+ 0.999199	+ 0.999254	+ 0.999319	+ 0.999425	+ 0.999581	+ 0.999797	
$\log W$	0.999952	0.999953	0.999953	0.999952	0.999976	0.999979	0.999950	0.999818	0.999912	
$\frac{1}{2} h$	6.904042	6.901672	6.901465	6.903421	6.907537	6.913816	6.922255	6.932851	6.945610	
f	0.477113	0.477120	0.477120	0.477107	0.477076	0.477020	0.476932	0.476804	0.476629	
$1 - N$	7.380807	7.378445	7.378238	7.380181	7.384289	7.390540	7.398937	7.409473	7.422151	
N	9.998955	9.998961	9.998961	9.998955	9.998946	9.998931	9.998910	9.998884	9.998851	
$\log Zähler$	1.851136	0.996512	1.079181	2.107210	2.616769	2.668660	3.241262	3.465199	3.655439	
q	1.852181	0.997551	1.080220	2.108253	2.617823	2.669729	3.242382	3.466315	3.656588	
$f q$	2.320294	1.474671	1.557340	2.585300	3.094899	3.446749	3.719314	3.943119	4.133217	
ΔX	528.05	584.92	646.11	712.99	778.34	845.25	907.75	960.14	995.78	
ΔX	+ 1.17	+ 0.06	+ 0.27	+ 4.59	+ 19.25	+ 51.51	+ 109.28	+ 200.55	+ 332.38	
ΔY	+ 209.94	+ 235.18	+ 259.69	+ 281.64	+ 298.83	+ 308.46	+ 307.82	+ 294.63	+ 268.05	
ΔY	+ 7.99	+ 0.98	+ 1.05	+ 0.82	+ 27.38	+ 51.77	+ 78.40	+ 99.32	+ 102.55	
ΔZ	+ 8.13	+ 9.01	+ 9.70	+ 10.01	+ 9.77	+ 8.81	+ 6.98	+ 4.18	+ 0.47	
ΔZ	+ 0.38	+ 0.05	+ 0.06	+ 0.62	+ 1.96	+ 4.28	+ 7.75	+ 12.46	+ 18.39	

B₂

1874		1873							
März 1	Jan. 20	Dec. 11	Nov. 1	Sept. 22	Aug. 13	Juli 4	Mai 25	April 15	
0.282212	0.288821	0.300389	0.316668	0.337190	0.361339	0.388390	0.417555	0.448029	
9.590964	9.525693	9.452139	9.373684	9.298242	9.240799	9.222404	9.259235	9.348830	
8.078094	8.297542	8.454692	8.577836	8.679337	8.765296	8.839352	8.903687	8.959852	
2.781855	2.769336	2.740701	2.696337	2.637669	2.566809	2.486259	2.398563	2.306088	
9.991181	9.993631	9.995675	9.997194	9.998193	9.998757	9.998991	9.998955	9.998629	
0.291031	0.295190	0.304714	0.319474	0.338997	0.362582	0.389399	0.418600	0.449400	
9.999992	9.999978	9.999957	9.999929	9.999896	9.999861	9.999828	9.999797	9.999772	
0.291039	0.295212	0.304757	0.319545	0.339101	0.362721	0.389571	0.418803	0.449628	
0.873117	0.885636	0.914271	0.958635	1.017303	1.088163	1.168713	1.256409	1.348884	
-1158.96	-1143.29	-1099.23	-1030.40	-943.75	-847.52	-749.29	-654.81	-567.70	
+152.06	+151.50	+150.55	+149.20	+147.45	+145.31	+142.76	+139.80	+136.44	
-1006.90	-991.79	-948.68	-881.20	-796.30	-702.21	-606.53	-515.01	-431.26	
+235.95	+197.26	+155.90	+117.50	+86.28	+64.21	+51.13	+45.48	+45.18	
-11.72	-19.80	-27.87	-35.92	-43.95	-51.92	-59.82	-67.64	-75.37	
+224.23	+177.46	+128.03	+81.58	+42.33	+12.29	-8.69	-22.16	-30.19	
+7.24	+11.66	+15.68	+18.80	+20.75	+21.48	+21.16	+20.06	+18.45	
-3.39	-3.35	-3.30	-3.24	-3.18	-3.10	-3.01	-2.91	-2.81	
+3.85	+8.31	+12.38	+15.56	+17.57	+18.38	+18.15	+17.15	+15.64	
0.97217	0.96123	0.94796	0.93213	0.91349	0.89167	0.86628	0.83684	0.80271	
9.90672	9.93130	9.95417	9.97534	9.99477	1.01245	1.02854	1.04241	1.05457	
9.932346	9.928307	9.925578	9.921755	9.917160	9.91160	8.904960	8.897085	8.885403	
9.85358	9.83897	9.82610	9.81497	9.80567	9.79841	9.79316	9.79019	9.78965	
9.87975	9.86393	9.85257	9.847002	9.848634	9.850159	9.851573	9.852880	9.854078	
1.09242	1.09730	1.10160	1.10532	1.10843	1.11186	1.11261	1.11361	1.11379	
9.99994	9.99995	9.99996	9.99997	9.99998	9.99999	9.99999	0.00000	0.00000	
1.09248	1.09735	1.10164	1.10535	1.10845	1.11187	1.11262	1.11361	1.11379	
3.27744	3.29205	3.30492	3.31605	3.32535	3.33261	3.33786	3.34083	3.34137	
+6.69	+6.31	+5.94	+5.59	+5.24	+4.90	+4.56	+4.24	+3.91	
-8.05	-7.80	-7.55	-7.30	-7.04	-6.79	-6.53	-6.27	-6.01	
-1.36	-1.49	-1.61	-1.71	-1.80	-1.89	-1.97	-2.03	-2.10	
-5.76	-5.89	-6.03	-6.17	-6.32	-6.47	-6.63	-6.80	-6.99	
+11.02	+11.17	+11.32	+11.47	+11.61	+11.74	+11.87	+11.99	+12.11	
+5.26	+5.28	+5.29	+5.30	+5.29	+5.27	+5.24	+5.19	+5.12	
-0.15	-0.13	-0.12	-0.10	-0.08	-0.07	-0.05	-0.04	-0.02	
+0.14	+0.12	+0.11	+0.10	+0.09	+0.07	+0.06	+0.05	+0.04	
-0.01	-0.01	-0.01	0.00	+0.01	0.00	+0.01	+0.01	+0.02	
+6599.60	+8966.15	+11762.24	+14954.00	+18450.49	+22078.21	+25550.53	+28436.07	+30139.21	
+16.16	+23.01	+658.44	+1208.35	+1987.85	+3114.56	+4786.88	+7311.23	+11117.67	
-1.28	-0.98	-0.40	+0.45	+1.44	+2.35	+2.85	+2.54	+0.99	
+6614.48	+9238.18	+12420.28	+16162.80	+20439.75	+25195.12	+30340.26	+35749.84	+41257.87	
+0.999054	+0.988290	+0.975564	+0.960330	+0.934816	+0.894262	+0.837207	+0.761802	+0.672074	
+0.000065	+0.011328	+0.042641	+0.094535	+0.166783	+0.258124	+0.365989	+0.486204	+0.612710	
+0.000966	+0.000823	+0.000673	+0.000522	+0.000375	+0.000241	+0.000128	+0.000046	+0.000004	
+1.000085	+1.000441	+1.000878	+1.001387	+1.001974	+1.002627	+1.003324	+1.004052	+1.004788	
0.000037	0.000192	0.000381	0.000602	0.000857	0.001140	0.001441	0.001756	0.002075	
6.960511	6.977533	6.996640	7.017772	7.040842	7.065724	7.092241	7.120153	7.149139	
0.476402	0.476116	0.475771	0.475364	0.474899	0.474383	0.473826	0.473240	0.472643	
7.436950	7.453841	7.472792	7.493738	7.516598	7.541247	7.567508	7.595149	7.623857	
9.998810	9.998763	9.998708	9.998644	9.998571	9.998487	9.998393	9.998287	9.998170	
3.820496	3.965586	4.094132	4.208517	4.310476	4.401316	4.482020	4.553274	4.615507	
3.821686	3.966823	4.095424	4.209873	4.311905	4.402829	4.483627	4.554987	4.617337	
4.298088	4.442939	4.571195	4.685237	4.786804	4.877212	4.957453	5.028227	5.089980	
-1008.26	-993.28	-950.29	-882.91	-798.10	-704.10	-608.50	-517.04	-433.36	
-509.42	-731.83	-992.97	-1276.59	-1554.12	-1782.20	-1900.69	-1832.43	-1486.03	
+229.49	+182.74	+133.32	+86.88	+47.62	+17.56	-3.45	-16.97	-25.07	
-1.44	+15.25	+183.05	+460.23	+875.30	+1453.02	+2208.59	+3139.57	+4215.39	
+3.84	+8.30	+12.37	+15.56	+17.58	+18.38	+18.16	+17.16	+15.66	
+25.30	+32.74	+39.89	+45.61	+48.31	+46.03	+36.47	+17.21	+14.09	

Datum	1873		1872						
	März 6	Jan. 15	Dec. 16	Nov. 6	Sept. 27	Aug. 16	Juli 9	Mai 30	
$x_1 - x$	0,479022	0,509766	0,539527	0,567599	0,593317	0,616038	0,635133	0,649995	
$y_1 - y$	9,472361	9,609648	9,747451	9,879050	0,001743	0,114718	0,218010	0,311959	
$z_1 - z$	9,008685	9,050882	9,086680	9,116276	9,139564	9,156458	9,166608	9,169616	
$rk, 2m_1, q^3$	2,210880	2,114661	2,018853	1,924614	1,832880	1,744413	1,659870	1,579776	
$\cos \theta$	9,997905	9,996587	9,994416	9,991073	9,986205	9,979423	9,970318	9,958459	
$\sin \theta$	0,481117	0,513179	0,545111	0,576526	0,607112	0,636615	0,664815	0,691536	
$q \cos \theta$	9,999753	9,999742	9,999738	9,999740	9,999738	9,999762	9,999781	9,999804	
q	0,481364	0,513437	0,545373	0,576786	0,607364	0,636853	0,665034	0,691732	
q^3	1,144092	1,540311	1,636119	1,730358	1,822092	1,910559	1,995102	2,075196	
X_1	-489,67	-421,14	-361,73	-310,61	-266,81	-229,32	-197,24	-169,73	
X_2	+132,65	+128,46	+123,85	+118,83	+113,40	+107,55	+101,30	+94,65	
X	-357,02	-292,68	-237,88	-191,78	-153,41	-121,77	-95,94	-75,08	
Y_1	+48,22	+53,00	+58,59	+63,63	+68,33	+72,30	+75,49	+77,94	
Y_2	-82,96	-90,41	-97,71	-104,82	-111,72	-118,39	-124,81	-130,93	
Y	-34,74	-37,41	-39,32	-41,19	-43,39	-46,09	-49,32	-52,99	
Z_1	+16,58	+14,64	+12,75	+10,99	+9,39	+7,96	+6,71	+5,62	
Z_2	-2,70	-2,58	-2,45	-2,31	-2,16	-2,00	-1,84	-1,67	
Z	+13,88	+12,06	+10,30	+8,68	+7,23	+5,96	+4,87	+3,95	
$x_1 - x$	0,76315	0,71719	0,66354	0,60051	0,52565	0,43540	0,32383	0,18004	
$y_1 - y$	1,06476	1,00289	1,00788	1,008259	1,008398	1,008295	1,007946	1,007351	
$z_1 - z$	8,00860	8,14922	8,57864	8,78497	8,91803	9,01368	9,08529	9,13956	
$rk, 2m_1, q^3$	9,79172	9,79664	9,80468	9,81605	9,83105	9,84992	9,87281	9,89984	
$\cos \theta$	9,995166	9,996143	9,997009	9,997761	9,998400	9,998926	9,999341	9,999648	
$\sin \theta$	1,11310	1,11146	1,10878	1,10498	1,09998	1,09269	1,08605	1,07703	
$q \cos \theta$	0,00000	0,00000	0,00000	9,99999	9,99999	9,99999	9,99998	9,99997	
q	1,11310	1,11146	1,10878	1,10499	1,09999	1,09370	1,08607	1,07706	
q^3	3,33930	3,33438	3,32634	3,31497	3,29997	3,28110	3,25821	3,23118	
X_1	+3,59	+3,26	+2,94	+2,61	+2,27	+1,93	+1,57	+1,20	
X_2	-5,75	-5,48	-5,21	-4,94	-4,67	-4,40	-4,13	-3,86	
X	-2,16	-2,22	-2,27	-2,33	-2,40	-2,47	-2,56	-2,66	
Y_1	-7,19	-7,40	-7,65	-7,92	-8,22	-8,57	-8,96	-9,40	
Y_2	+12,22	+12,33	+12,43	+12,53	+12,62	+12,71	+12,79	+12,86	
Y	+5,03	+4,93	+4,78	+4,61	+4,40	+4,14	+3,83	+3,46	
Z_1	-0,01	+0,01	+0,02	+0,04	+0,06	+0,07	+0,09	+0,11	
Z_2	+0,02	+0,01	0,00	-0,01	-0,02	-0,04	-0,05	-0,06	
Z	+0,01	+0,02	+0,02	+0,03	+0,04	+0,05	+0,04	+0,05	
$a S_{(x)}$	+29906,47	+26889,37	+20288,64	+9598,47	+5069,79	+22663,45	+41020,50	+57046,25	
$b S_{(y)}$	+16746,08	+24778,89	+35695,92	+49638,33	+66105,71	+83672,20	+99875,00	+11454,62	
$c S_{(z)}$	-2,10	-6,76	-12,49	-18,13	-21,74	-20,82	-12,89	+3,67	
Zähler	+46650,45	+51661,50	+55972,07	+59218,67	+61014,18	+60987,93	+58841,61	+54412,04	
ax	+0,268060	+0,155721	+0,06426	+0,011876	+0,002357	+0,044468	+0,138712	+0,277755	
by	+0,737433	+0,850354	+0,940050	+0,99805	+1,004256	+0,961785	+0,866872	+0,726875	
cz	+0,000010	+0,000071	+0,000190	+0,000364	+0,000581	+0,000824	+0,001065	+0,001275	
H	+1,000303	+1,006146	+1,006672	+1,007045	+1,007194	+1,007077	+1,006649	+1,005907	
$\log H$	0,002383	0,002661	0,002888	0,003049	0,003113	0,003063	0,002878	0,002558	
$\frac{1}{2}h$	7,17882	7,208560	7,237834	7,265833	7,291696	7,314487	7,333267	7,347166	
f	0,472059	0,471516	0,471050	0,470698	0,470502	0,470503	0,470732	0,471209	
$1-N$	7,653224	7,682733	7,711772	7,739580	7,765311	7,788053	7,806877	7,820933	
N	9,998041	9,997903	9,997758	9,997609	9,997463	9,997326	9,997207	9,997114	
$\log \text{Zähler}$	4,668856	4,713167	4,747971	4,772459	4,785430	4,785244	4,766684	4,735695	
q	4,670815	4,715264	4,750213	4,774850	4,787967	4,787918	4,772477	4,738581	
$f q$	5,142874	5,186780	5,221293	5,245548	5,258469	5,258421	5,243209	5,209790	
$\frac{Y}{X}$	-359,18	-294,90	-240,15	-194,11	-155,81	-124,24	-98,50	-77,74	
$\frac{Y}{X}$	-763,79	+422,02	+2122,71	+4316,91	+6871,87	+9516,12	+11847,81	+13397,94	
$\frac{Y}{X}$	-29,71	+32,48	-34,54	+36,58	-38,99	+41,95	+45,49	+49,53	
$\frac{Y}{X}$	+5364,94	+6464,50	+7331,43	+7750,80	+7404,43	+6130,33	+3824,21	+521,82	
$\frac{Z}{X}$	+13,89	+12,08	+10,32	+8,71	+7,27	+5,99	+4,91	+4,00	
$\frac{Z}{X}$	59,71	117,73	187,06	264,16	356,52	461,94	581,00	715,32	

B₄

1872			1871						
April 20	März 11	Jan. 31	Dec. 22	Nov. 12	Oct. 3	Aug. 24	Juli 15	June 5	
a									
0.660035	0.664675	0.663337	0.655415	0.640234	0.616959	0.584480	0.541192	0.484619	
0.397015	0.473646	0.542305	0.603460	0.657567	0.705087	0.746470	0.782164	0.812596	
9.164888	9.151707	9.129077	9.095623	9.049373	8.987040	8.903307	8.787602	8.615529	
1.504530	1.434426	1.369635	1.310187	1.255998	1.206894	1.162608	1.122822	1.087182	
9.943392	9.924637	9.901676	9.873912	9.857978	9.849109	9.915712	9.938131	9.956673	
0.716643	0.740038	0.761661	0.781503	0.799589	0.815978	0.830758	0.844033	0.855923	
9.999829	9.999856	9.999882	9.999908	9.999931	9.999952	9.999970	9.999983	9.999993	
0.716814	0.740182	0.761779	0.781595	0.799658	0.816026	0.830788	0.844050	0.855930	
2.150442	2.220546	2.285337	2.344785	2.398974	2.448078	2.492364	2.532150	2.567790	
+146.07	+125.63	+107.89	+92.39	+78.75	+66.66	+55.86	+46.13	+37.31	
+87.59	+80.15	+72.34	+64.16	+55.63	+46.77	+37.60	+28.15	+18.43	
+58.48	+45.48	+35.55	+28.23	+23.12	+19.89	+18.26	+17.98	+18.88	
+79.72	+80.92	+81.65	+81.97	+81.95	+81.65	+81.11	+80.35	+79.39	
+136.75	+142.24	+147.36	+152.08	+156.39	+160.23	+163.60	+166.45	+168.77	
+57.03	+61.32	+65.71	+70.11	+74.44	+78.58	+82.49	+86.10	+89.38	
+4.67	+3.86	+3.15	+2.55	+2.02	+1.56	+1.16	+0.81	+0.50	
+1.49	+1.30	+1.10	+0.90	+0.69	+0.48	+0.26	+0.04	+0.19	
+3.18	+2.56	+2.05	+1.65	+1.33	+1.08	+0.90	+0.77	+0.69	
b									
9.97959	9.64286	8.933041	9.62521	9.87961	0.01208	0.09121	0.13912	0.16581	
1.06512	1.05440	1.04153	1.02674	1.01034	0.99267	0.97410	0.95509	0.93601	
9.19645	9.21219	9.23401	9.24822	9.25600	9.25816	9.25527	9.24822	9.23754	
9.93116	9.96671	0.00628	0.04960	0.09622	0.14572	0.19741	0.25048	0.30424	
9.99854	9.99967	0.00000	9.99966	9.99881	9.99764	9.99631	9.99499	9.99383	
1.06658	1.05473	1.04153	1.02708	1.01153	0.99503	0.97779	0.96010	0.94218	
9.99996	9.99996	9.99995	9.99994	9.99993	9.99993	9.99992	9.99992	9.99992	
1.06662	1.05477	1.04158	1.02714	1.01160	0.99510	0.97787	0.96018	0.94226	
3.19986	3.16431	3.12474	3.08142	3.03480	2.98530	2.93361	2.88054	2.82678	
+0.81	+0.41	+0.02	+0.47	+0.95	+1.44	+1.94	+2.45	+2.95	
+3.59	+3.31	+3.04	+2.76	+2.48	+2.20	+1.93	+1.65	+1.37	
+2.78	+2.90	+3.06	+3.23	+3.43	+3.64	+3.87	+4.10	+4.32	
+9.91	+10.50	+11.16	+11.92	+12.78	+13.75	+14.84	+16.05	+17.39	
+12.33	+13.00	+13.06	+13.12	+13.17	+13.21	+13.25	+13.29	+13.32	
+3.02	+2.50	+1.90	+1.20	+0.39	+0.54	+1.59	+2.76	+4.07	
+0.13	+0.15	+0.17	+0.20	+0.23	+0.25	+0.28	+0.32	+0.35	
+0.07	+0.08	+0.10	+0.11	+0.12	+0.13	+0.14	+0.16	+0.17	
+0.06	+0.07	+0.07	+0.09	+0.11	+0.12	+0.14	+0.16	+0.18	
+67327.1	+69094.1	+61171.7	+44473.4	+21788.1	+3051.4	+26223.8	+44780.1	+57059.6	
+115026.3	+108069.7	+89864.6	+61922.6	+27679.7	+8425.7	+42078.3	+69983.8	+90287.8	
+28.6	+59.4	+91.3	+118.9	+137.1	+143.0	+136.0	+118.1	+92.5	
+47727.8	+39035.0	+28784.2	+17508.1	+6028.7	+5231.3	+15718.5	+25085.6	+33135.7	
+0.446218	+0.622603	+0.783228	+0.906987	+0.979458	+0.995018	+0.956601	+0.873656	+0.759275	
+0.557206	+0.379418	+0.217290	+0.092003	+0.018051	+0.001119	+0.038310	+0.120199	+0.233679	
+0.001423	+0.001478	+0.001458	+0.001341	+0.001155	+0.000926	+0.000685	+0.000459	+0.000267	
+1.004847	+1.003508	+1.001976	+1.000331	+0.998664	+0.997063	+0.995596	+0.994314	+0.993221	
0.002100	0.001521	0.000857	0.000144	9.999420	9.998722	9.998083	9.997524	9.997045	
7.355485	7.357780	7.353922	7.344133	7.328917	7.309027	7.285363	7.258867	7.230466	
0.471931	0.472872	0.473984	0.475205	0.476403	0.477693	0.478840	0.479867	0.480750	
7.829516	7.832173	7.828763	7.819482	7.804800	7.785442	7.762286	7.736258	7.708261	
9.997057	9.997039	9.997062	9.997125	9.997220	9.997342	9.997480	9.997627	9.997776	
4.678771	4.591454	4.459154	4.247724	3.780224	3.718610	4.196411	4.399424	4.7520296	
4.671714	4.594415	4.462092	4.247599	3.783004	3.721268	4.198931	4.401797	4.7522520	
5.153645	5.067287	4.936076	4.722804	4.259467	4.198961	4.167771	4.181664	5.003370	
+61.26	+48.38	+38.61	+31.46	+26.55	+23.53	+22.13	+22.08	+23.20	
+13747.25	+12664.26	+10202.74	+6705.20	+2703.19	+1235.06	+4644.56	+241.17	+8928.64	
+54.01	+58.82	+63.81	+68.91	+74.05	+79.12	+84.08	+88.86	+93.45	
+3381.29	+368.93	+10829.60	+13244.33	+14323.43	+14056.06	+12664.97	+10503.93	+7951.28	
+3.24	+2.63	+2.12	+1.74	+1.44	+1.20	+1.04	+0.93	+0.87	
+325.12	+209.57	+63.63	+90.97	+231.67	+340.96	+404.63	+436.94	+428.36	

X

Datum	f^v	f^{iv}	f^{iii}	f^{ii}	f^i	$f = \frac{d^2 \xi}{dt^2}$	\dot{f}	${}^n f$	$S_{(x)}$
1871 Juni 5					+1688.59	-8951.84	-53293.05	+187299.36	+187294.3
Juli 15				+907.97	+2596.56	-7263.25	-60556.30	+134006.31	+134001.0
Aug. 24		-187.98	-96.43	+811.54	+3408.10	-4666.69	-65222.99	+73450.01	+73444.3
Oct. 3	+7.13	-180.85	-284.41	+527.13	+3935.23	-1258.59	-66481.58	+8227.02	+8224.0
Nov. 12	+77.53	-103.32	-465.26	+61.87	+3997.10	+2676.64	-63804.94	-58254.56	-58256.5
Dec. 22	+139.97	+36.65	-568.58	-506.71	+3490.39	+6673.74	-57131.20	-122059.50	-122060.0
1872 Jan. 31	+152.28	+188.93	-531.93	-1038.64	+2451.75	+10164.13	-46967.07	-179190.70	-179190.6
März 11	+99.81	+288.74	-343.00	-1381.64	+1070.11	+12615.88	-34351.19	-226157.77	-226156.2
April 20	-3.68	+285.06	-54.26	-1435.90	+365.79	+13685.99	-20665.20	-260508.96	-260508.60
Mai 30	-97.30	+187.76	+230.80	-1205.10	-1570.89	+13320.20	-7345.00	-281174.16	-281175.22
Juli 9	-138.17	+49.59	+418.56	-786.54	-2357.43	+11749.31	+4404.31	-288519.16	-288523.75
Aug. 18	-116.79	-67.20	+468.15	-318.39	-2675.82	+9391.88	-284114.85	-284123.89	-284123.89
Sept. 27	-63.29	-130.49	+400.95	+82.56	-2593.26	+6716.06	+13796.19	-270318.66	-270331.87
Nov. 6	-8.19	-138.68	+270.46	+353.02	-2240.24	+4122.80	+20512.25	-249806.41	-249824.02
Dec. 16	-27.45	-111.23	+131.78	+484.80	-1755.44	+1882.56	+24635.05	-225171.36	-225193.33
1873 Jan. 25	+39.00	+20.55	+20.55	+484.80	-1755.44	+127.12	+26517.61	-225171.36	-225193.33
Marz 6	+36.58	-72.23	-51.68	+505.35	-1250.09	+127.12	+26644.73	-198653.75	-198680.45
April 15	+27.00	-35.65	-87.33	+453.67	-796.42	-1122.97	+25521.76	-172009.02	-172040.87
Mai 25	+16.88	+8.65	-95.98	+366.34	-430.08	-1919.39	+23602.37	-146487.26	-146524.97
Juli 4	+8.10	+8.23	-87.75	+270.36	-159.72	-2349.47	+21252.90	-122884.89	-122929.13
Aug. 13	+1.44	+16.33	-71.42	+182.61	+22.89	-2486.30	+18743.71	-82888.28	-82947.42
Sept. 22	-1.44	+18.87	-52.55	+111.19	+134.08	-2352.22	+16257.41	-66630.87	-66697.61
Nov. 1	-3.92	+17.43	-35.12	+58.64	+192.72	-2159.50	+13905.19	-52725.68	-52799.37
Dec. 11	-4.53	+13.51	-21.61	+23.52	+216.24	-1943.26	+11745.69	-40979.99	-41059.13
1874 Jan. 20	-3.54	+8.98	-12.63	+1.91	+218.15	-125.11	+9802.43	-31177.56	-31260.25
Marz 1	-2.39	+5.44	-7.19	-10.72	+207.43	-1517.68	+8077.32	-23100.24	-23184.17
April 10		+3.05	-4.14	-17.91	+189.52	-1328.16	+6559.64	-16540.60	-16623.49
Mai 20		+2.38	-1.76	-22.05	+167.47	-1160.69	+5231.48	-11309.12	-11389.04
Juni 29		+2.18	+0.42	-23.81	+143.66	-1017.03	+4070.79	-7238.33	-7313.89
Aug. 8		+1.87	+2.29	-21.10	+120.27	-896.76	+3053.76	-4184.57	-4254.92
Sept. 17		+1.65	+3.94	-17.16	+99.17	-797.59	+2157.00	-2027.57	-2092.87
Oct. 27			+4.35	-12.81	+82.01	-715.58	+1359.41	-668.16	-727.36
Dec. 6			+5.01	-7.80	+69.20	-646.38	+643.83	-24.33	-78.14
1875 Jan. 15			+4.50		+61.40	-584.98	-2.55	-26.88	-75.62
Febr. 24				3.30	+58.10	-526.88	-587.53	-614.41	-658.42
							-1114.41	-1728.82	

Y

Datum	f^v	f^{iv}	f^{iii}	f^{ii}	f^i	$f = \frac{d^2 \epsilon}{dt^2}$	f	${}^u f$	$S_{(y)}$
1871 Juni 5					-2548.06	-8044.73		+ 528147.61	+ 528139.7
Juli 15				+ 391.80	-2156.26	-10592.79	+ 27722.11	+ 555869.72	+ 555860.8
Aug. 24		- 24.63	+ 378.33	+ 770.13	-1386.13	-12749.05	+ 17129.32	+ 572999.04	+ 572987.3
Oct. 3	- 106.36	- 130.99	+ 353.70	+ 1123.83	- 262.30	-14135.18	+ 4380.27	+ 577379.31	+ 577368.3
Nov. 12	- 102.67	- 233.66	+ 222.71	+ 1346.54	+ 1084.24	-14397.48	- 9754.91	+ 567624.40	+ 567613.4
Dec. 22	- 45.15	- 278.81	- 10.95	+ 1335.59	+ 2419.83	-13313.24	-24152.39	+ 543472.01	+ 543461.7
1872 Jan. 31	+ 49.53	- 229.28	- 289.76	+ 1045.83	+ 3465.66	-10893.41	-37465.63	+ 506006.38	+ 505997.3
März 11	+ 136.67	- 92.61	- 519.04	+ 526.79	- 84.86	- 7427.75	-48359.04	+ 457647.34	+ 457640.0
April 20	+ 167.96	+ 75.35	- 611.65	- 84.86	+ 3992.45	- 3435.30	-55786.79	+ 401860.55	+ 401856.10
Mai 30	+ 125.34	+ 200.69	- 536.30	- 621.16	+ 3907.59	+ 472.29	-59222.09	+ 342638.46	+ 342636.54
Juli 9	+ 39.09	+ 239.78	- 335.61	- 956.77	+ 3286.43	+ 3758.72	-58749.80	+ 283888.66	+ 283888.35
Aug. 18	- 39.63	+ 200.15	- 95.83	-1052.60	+ 2329.66	+ 6088.38	-54991.08	+ 228897.58	+ 228898.24
Sept. 27	- 82.30	+ 117.85	+ 104.32	- 948.28	+ 1277.06	+ 7365.44	-48902.70	+ 179994.88	+ 179995.77
Nov. 6	- 81.45	+ 36.40	+ 222.17	- 726.11	+ 328.78	+ 7694.22	-41537.26	+ 138457.62	+ 138457.73
Dec. 16	- 59.35	- 22.95	+ 258.57	- 467.54	- 397.33	+ 7296.89	-33843.04	+ 104614.58	+ 104613.73
1873 Jan. 25	- 28.87	+ 235.62	- 231.92	- 864.87	- 1096.79	+ 6432.02	-26546.15	+ 78068.43	+ 78066.72
März 6	- 6.67	+ 51.82	+ 183.80	- 48.12	-1144.91	+ 5335.23	-20114.13	+ 57954.30	+ 57952.03
April 15	+ 6.25	+ 125.31	+ 73.07	- 77.19	-1067.72	+ 4190.32	-14778.90	+ 43175.40	+ 43172.98
Mai 25	+ 11.81	- 40.43	+ 32.64	+ 150.26	- 917.46	+ 3122.60	-10588.58	+ 32586.82	+ 32584.77
Juli 4	+ 11.79	- 28.64	+ 4.00	+ 182.90	- 734.56	+ 2205.14	- 7465.98	+ 25120.84	+ 25119.77
Aug. 13	+ 9.59	- 19.05	- 15.05	+ 186.90	- 547.66	+ 1470.58	- 5260.84	+ 19860.00	+ 19860.59
Sept. 22	+ 7.32	- 11.73	- 26.78	+ 171.85	- 375.81	+ 922.92	- 3790.26	+ 16069.74	+ 16072.97
Nov. 1	+ 5.80	- 5.93	- 32.71	+ 145.07	- 230.74	+ 547.11	- 2867.34	+ 13202.40	+ 13209.03
Dec. 11	+ 4.72	- 1.21	+ 33.92	+ 112.36	- 118.38	+ 316.37	- 2320.23	+ 10882.17	+ 10892.75
1874 Jan. 20	+ 4.10	+ 2.89	- 31.03	+ 78.44	- 39.94	+ 197.99	- 2003.86	+ 8878.31	+ 8893.84
März 1	+ 3.05	+ 5.94	- 25.09	+ 47.41	+ 7.47	+ 158.05	- 1805.87	+ 7072.44	+ 7091.41
April 10	+ 1.15	+ 7.09	- 18.00	+ 22.32	+ 29.79	+ 165.52	- 1647.82	+ 5424.62	+ 5446.92
Mai 20		+ 6.84	- 11.16	+ 4.32	+ 34.11	+ 195.31	- 1482.30	+ 3942.32	+ 3966.91
Juni 29		+ 5.49	- 5.67	- 6.84	+ 27.27	+ 229.42	- 1286.99	+ 2655.33	+ 2681.01
Aug. 8		+ 3.79	- 1.88	- 12.51	+ 14.76	+ 256.69	- 1057.57	+ 1597.76	+ 1623.52
Sept. 17		+ 2.72	+ 0.84	- 14.39	+ 0.37	+ 271.45	- 800.88	+ 796.88	+ 821.86
Oct. 27		+ 1.45	+ 2.29	- 13.55	- 13.18	+ 271.82	- 529.43	+ 267.45	+ 290.98
Dec. 6		+ 1.16	+ 3.45	- 11.26	- 24.44	+ 258.64	- 257.61	+ 9.84	+ 31.53
1875 Jan. 15				- 7.81	- 32.25	+ 234.20	+ 1.03	+ 10.87	+ 30.40
Feb. 24						+ 201.95	+ 235.23	+ 246.10	+ 263.59
							+ 437.18	+ 683.28	



Datum	f^{v}	f^{iv}	f^{iii}	f^{ii}	f^{i}	$f = \frac{d^2 \zeta}{dt^2}$	f	${}^{\text{ii}}f$	$S_{(x)}$
18-1 Juni 5					+ 8.64	+ 429.23		16288.54	- 16288.3
Juli 15				- 35.84	- 27.20	+ 437.87	+ 774.83	15513.71	- 15513.3
Aug. 24		+ 6.24	- 5.47	- 41.31	- 68.51	+ 410.67	+ 1212.70	14301.01	- 14300.7
Oct. 3	+ 2.18	+ 8.42	+ 0.77	- 40.54	- 109.05	+ 342.16	+ 1623.37	12677.64	- 12677.4
Nov. 12	0.08		+ 9.19	- 31.35	- 140.40	+ 233.11	+ 1965.53	10712.11	- 10711.9
Dec. 22	- 3.26	+ 8.34	+ 17.53	- 13.82	- 154.22	+ 92.71	+ 2198.64	8513.47	- 8513.3
	- 5.99	+ 5.08	+ 22.61	- 13.82	- 154.22	+ 92.71	+ 2291.35	6222.12	- 6221.9
18-2 Jan. 31	- 5.78	- 0.91	+ 21.70	+ 8.79	- 145.43	- 61.51	+ 2229.84	3992.28	- 3992.2
März 11		6.69	+ 15.01	+ 30.49	- 114.94	- 206.94	+ 2022.90	1969.38	- 1969.30
April 20	+ 0.21	- 10.50	+ 4.51	+ 45.50	- 69.44	- 321.88	+ 1701.02	268.36	- 268.27
Mai 30	+ 3.74	- 10.29	- 5.78	+ 50.01	- 19.43	- 391.32	+ 1309.70	1041.34	+ 1041.55
Juli 9	+ 4.08	- 6.55	- 12.33	+ 44.23	+ 24.80	- 410.75	+ 898.95	1940.29	+ 1940.64
Aug. 18	+ 4.18	- 2.47	- 14.80	+ 31.90	+ 56.70	- 385.95	+ 513.00	2453.29	+ 2453.84
Sept. 27	+ 1.55	+ 1.71	- 13.09	+ 17.10	+ 73.80	- 329.25	+ 183.75	2637.04	+ 2637.75
Nov. 6	+ 0.93	+ 3.26	- 9.83	+ 4.01	+ 77.81	- 255.45	- 71.70	2565.34	+ 2566.25
Dec. 16		+ 4.19	- 5.82	- 5.82	+ 71.99	- 177.64	+ 249.34	2316.00	+ 2317.06
18-3 Jan. 25		+ 3.26	- 5.64	- 11.46	+ 60.53	- 105.65	+ 354.99	1961.01	+ 1962.23
März 6		+ 2.33	- 2.38	- 13.84	+ 46.69	- 45.12	+ 400.11	1560.90	+ 1562.26
April 15		+ 1.40	+ 1.35	- 13.89	+ 32.80	+ 1.57	- 398.54	1162.36	+ 1163.84
Mai 25		+ 0.71	+ 2.06	- 12.54	+ 20.26	+ 34.37	- 364.17	798.19	+ 799.74
Juli 4		+ 0.12	+ 2.18	- 10.48	+ 9.78	+ 54.63	- 309.54	488.65	+ 490.22
Aug. 13			+ 2.10	- 8.30	+ 1.48	+ 64.41	- 245.13	243.52	+ 245.01
Sept. 22			+ 2.01	- 6.20	- 4.72	+ 65.89	- 179.24	64.28	+ 65.58
Nov. 1			+ 1.88	- 4.19	- 8.91	+ 61.17	- 118.07	53.79	- 52.76
Dec. 11			+ 1.63	- 2.31	- 11.22	+ 52.26	- 65.81	119.60	- 118.91
18-4 Jan. 20			+ 1.36	- 0.68	- 11.90	+ 41.04	- 24.77	144.37	- 144.06
März 1			+ 0.90	+ 0.68	- 11.22	+ 29.14	+ 4.37	140.00	- 140.05
April 10			+ 0.55	+ 1.58	- 9.64	+ 17.92	+ 22.29	117.71	- 118.07
Mai 20			+ 0.08	+ 2.13	- 7.51	+ 8.28	+ 30.57	87.14	- 87.73
Juni 29			- 0.19	+ 2.21	- 5.30	+ 0.77	+ 31.34	55.80	- 56.54
Aug. 8			- 0.32	+ 2.02	- 3.28	- 4.53	+ 26.81	28.99	- 29.81
Sept. 17			- 0.37	+ 1.70	- 1.58	- 7.81	+ 19.00	9.99	- 10.82
Oct. 27			- 0.40	+ 1.33	- 0.25	- 9.39	+ 9.61	0.38	- 1.19
Dec. 6			- 0.40	+ 0.93	+ 0.68	- 9.64	- 0.03	0.41	- 1.16
18-5 Jan. 15				+ 0.53	+ 1.21	- 8.96	- 8.99	9.40	- 10.08
Febr. 24						- 7.75	- 16.74	26.14	

Das Beispiel zu den oben für den Uebergang auf osculirende Elemente entwickelten Formeln soll der vorstehenden Störungsrechnung für Erato entlehnt werden; die neue Osculationsepoche lege ich auf 1871 Sept. 13 (in die Mitte des Intervalles), um die Anwendung der mechanischen Quadraturen möglichst einfach zu gestalten; die Elemente, die der Störungsrechnung zu Grunde gelegt waren, sind wie oben:

(62) Erato

Epoche. Osculation 1874 Dec. 26.0 mittl. Berl. Zeit

mittl. Aeq. 1870.0

$$L_0 = 219^{\circ} \quad 8' \quad 6''8$$

$$M_0 = 180 \quad 40 \quad 48.9$$

$$A_0 = 38 \quad 27 \quad 17.9$$

$$D_0 = 125 \quad 42 \quad 39.7$$

$$i_0 = 2 \quad 12 \quad 23.9$$

$$q_0 = 9 \quad 59 \quad 14.9$$

$$\mu_0 = 640''89605$$

$$\log a_0 = 0.495 \quad 1793.$$

Wählt man als Zeiteinheit das Intervall von 40 Tagen, so berechnen sich die doppelten und einfachen Integrale, weil die neue Osculationsepoche in die Mitte eines Störungsintervalles fällt, nach der Formel (vergl. pag. 35, 53):

$$\begin{aligned} \iint f(x) dx^2 &= \frac{1}{24} f'(a + [i + \frac{1}{2}]w) - \frac{1}{24} f''(a + [i + \frac{1}{2}]w) + \frac{17}{1920} f'''(a + [i + \frac{1}{2}]w) - \\ &- \frac{367}{193536} f^{(iv)}(a + [i + \frac{1}{2}]w) + \frac{27859}{66355200} f^{(v)}(a + [i + \frac{1}{2}]w) - \dots \end{aligned}$$

$$\begin{aligned} \int f(x) dx &= f'(a + [i + \frac{1}{2}]w) + \frac{1}{24} f''(a + [i + \frac{1}{2}]w) - \frac{17}{5760} f'''(a + [i + \frac{1}{2}]w) + \\ &+ \frac{367}{967680} f^{(iv)}(a + [i + \frac{1}{2}]w) - \dots \end{aligned}$$

und man findet so unter Zugrundelegung der obigen Integraltafeln für:

1871 Sept. 13.

	ξ	η	ζ
$f'(a + [i + \frac{1}{2}]w)$	+ 40838.51	+ 575189.17	— 13189.32
$-\frac{1}{24} f''(a + [i + \frac{1}{2}]w)$	+ 123.41	+ 560.09	— 15.68
$+\frac{17}{1920} f'''(a + [i + \frac{1}{2}]w)$	+ 5.93	+ 8.38	— 0.36
$-\frac{367}{193536} f^{(iv)}(a + [i + \frac{1}{2}]w)$	+ 0.35	+ 0.15	— 0.01
$+\frac{27859}{66355200} f^{(v)}(a + [i + \frac{1}{2}]w)$	+ 0.02	— 0.01	0.00

$$\begin{array}{rcll}
 d\xi : dt & d\eta : dt & d\zeta : dt & \\
 f(a + [i + \frac{1}{2}]w) & = & 65222.99 + & 1380.27 = 1623.37 \\
 + \frac{1}{24} f'(a + [i + \frac{1}{2}]w) & + & 112.00 = & 57.76 + 2.85 \\
 = \frac{17}{5760} f''(a + [i + \frac{1}{2}]w) & + & 0.84 = & 1.04 \quad 0 \\
 + \frac{367}{967680} f'''(a + [i + \frac{1}{2}]w) & & 0 = & 0.04 \quad 0
 \end{array}$$

man erhält also, indem man beachtet, dass für t als Zeiteinheit das Störungsintervall (10 Tage) angenommen ist:

$$\begin{array}{lll}
 \xi = + 0.00409682 & , & \eta = + 0.05757578 & , & \zeta = - 0.00135054 \\
 d\xi : dt = - 0.00650801,5 & , & d\eta : dt = + 0.00043214,3 & , & d\zeta : dt = + 0.00016205,2
 \end{array}$$

Das erste Geschäft ist nun die Durchrechnung der Formeln I—IV (pag. 100); ich führe diese Rechnung 7stellig durch, um in den später anzuführenden Controlrechnungen die Berechnung dieser Formeln nicht wiederholen zu müssen; im Allgemeinen genügt eine 6stellige Rechnung völlig und ich werde mich für die späteren Formeln demnach auf eine solche 6stellige Rechnung beschränken.

Die Zwischenzeit zwischen der Ausgangsepoche und dem Zeitpunkte der neuen Osculation beträgt — 1200 Tage, man erhält daher zur Bestimmung der Werthe r_0 und u_0 die folgenden Zahlen:

M_0 327° 2' 53" 64	$r_0 \sin v_0$ 0,289 9304
$\sin q_0$ 9,239 1314	9,857 0086
$\cos q_0$ 9,993 3682	$r_0 \cos v_0$ 0,274 1266
$a_0 \cos q_0$ 0,488 8475	e_0 313° 58' 39" 07
$\sin q_0 : \sin 1''$ 4,553 5565	ω_0 272 44 38,20
E_0 320° 15' 15" 99	u_0 226 13 17,27
$\sin E_0$ 9,801 0829	$\log r_0$ 0,432 8318
$\cos E_0$ 9,889 0403	
Subtr. 0,110 0930	(wk) 9,837 6414
$\cos E_0 - e_0$ 9,778 9473	$\log p_0$ 0,482 2157
	$(wk) : \sqrt{p_0}$ 9,596 5336
	$(wk) : \sqrt{p_0}$ 0,078 7493

Für 1 findet sich nun:

$\cos i_0$ 9,999 6778	
$\sin i_0$ 8,585 5012	
$\cos \lambda_0 = \sin a \sin A$ 9,9766 1878	$\sin \lambda_0 = \sin b \sin B$ 9,909 5107
9,999 4308	9,909 6504
$\sin a \cos A$ 9,9909 2185	$\sin b \cos B$ 9,9765 8056
A 215° 43' 52" 21	B 125° 41' 27" 16
$\sin a$ 9,999 7877	$\sin b$ 9,999 8603

und es findet sich nach II :

$A + u_0$,	$B + u_0$,	u_0	82° 27' 9" 48	352° 24' 44" 43	226° 43' 17" 27
$\sin(A + u_0)$,	$\sin B + u_0$,	$\sin u_0$	0.996 2212	0.120 7150	0.862 1491
$r_0 \sin a$,	$r_0 \sin b$,	$r_0 \sin i_0$	0.432 6105	0.432 7221	0.018 3330
$\log x_0$,	$\log y_0$,	$\log z_0$	0.428 8407	0.553 1371	8.880 4821
x_0 ,	y_0 ,	z_0	+ 2.684 3596	— 0.357 6326	— 0.075 9420

Aus der Anwendung von III und IV₁ folgt :

$\cos r_0$	0.841 5948
Add.	0.096 8294
$\gamma \sin F$	0.857 0086
	9.886 3626
$\gamma \cos F$	0.938 4242
F	320° 20' 0" 50
$U = F + \omega$	233 4 38.70
γ	0.052 0616
$c = (wk : \gamma) \overline{p_0}$	9.648 5952

$(A + U)$,	$B + U$,	U	88° 48' 31" 00	358° 46' 5" 05	233° 4' 38" 70
$\cos(A + U)$,	$\cos B + U$,	$\cos U$	8.317 8096	0.099 8996	0.778 6830
$c \sin a$,	$c \sin b$,	$c \sin i_0$	9.648 3820	0.648 4855	8.234 0964
$\log(dx_0:dt)$,	$\log(dy_0:dt)$,	$\log(dz_0:dt)$	7.966 2825	0.648 3851	8.012 7794
$dx_0:dt$,	$dy_0:dt$,	$dz_0:dt$	+ 0.009 2530	+ 0.445 0257	— 0.010 2986

Es ist also:

$x = x_0 + \xi$	+ 2.688 4564	$dx:dt = dx_0:dt + d\xi:dt$	+ 0.002 7450
$y = y_0 + \eta$	— 0.300 0568	$dy:dt = dy_0:dt + d\eta:dt$	+ 0.445 4578
$z = z_0 + \zeta$	— 0.077 2925	$dz:dt = dz_0:dt + d\zeta:dt$	— 0.010 1365

Wählt man nun zum Uebergange auf die osculirenden Elemente die erste Methode (Incremente der Elemente durch Störungen , so genügt für die Folge eine 6stellige Rechnung ; man erhält darnach nach dem Systeme V [pag. 101 :

x ,	y ,	z	0.429 503	9.477 204	0.429 503
$d\eta$,	$d\zeta$,	$d\xi$	6.635 627	6.209 654	6.209 654
ξ ,	η ,	ζ	7.612 447	8.760 239	7.612 447
dy_0 ,	dz_0 ,	dx_0	9.648 385	8.012 779	8.012 779
X_1 ,	Y_1 ,	Z_1	7.065 130	5.686 858	6.639 157
X_2 ,	Y_2 ,	Z_2	7.260 832	6.773 018	5.625 226
Additionslog :			0.214 110	0.034 229	9.955 763
$X_1 + X_2$,	$(Y_1 + Y_2)$,	$(Z_1 + Z_2)$	7.474 942	6.807 247	6.594 920
y ,	z ,	x	9.477 204	8.888 137	8.888 137
$d\xi$,	$d\eta$,	$d\zeta$	7.813 449	6.635 627	7.813 449
η ,	ζ ,	ξ	8.760 239	7.130 508	7.130 508
dx_0 ,	dy_0 ,	dz_0	7.966 282	9.648 385	7.966 282

$-X_1$	$-Y_1$	$-Z_1$	7.290 653	5 _n 523 764	6.701 586
$-X_1$	$-Y_1$	$-Z_1$	6.726 521	6 _n 778 893	5 _n 096 790
Additionslog:			0.104 765	0.023 489	9.989 075
$-X_1+X_1$	$-Y_1+Y_1$	$-Z_1+Z_1$	7.395 418	6 _n 802 382	6.690 661
Subtractionslog:			9.303 082	8.051 727	9.392 065
X	Y	Z	6.698 500	4 _n 854 109	5 _n 986 985
$\log \left\{ \begin{array}{l} x d\xi, \quad y d\eta, \quad z d\zeta \\ \xi dx_0, \quad \eta dy_0, \quad \zeta dz_0 \\ x d\xi, \quad y d\eta, \quad z d\zeta \\ \xi dx_0, \quad \eta dy_0, \quad \zeta dz_0 \end{array} \right.$			8 _n 242 952	6 _n 112 831	5 _n 097 791
			5.578 720	8.408 624	5.143 287
			— 0.017 496 52	— 0.000 129 67	— 0.000 012 53
			+ 0.000 037 91	+ 0.025 622 65	+ 0.000 013 91
D				+ 0.008 035 75	
$2 dx_0$	$2 dy_0$	$2 dz_0$	8.267 312	9.949 415	8 _n 313 809
$d\xi$	$d\eta$	$d\zeta$	7 _n 813 449	6.635 627	6.209 654
Additionslog:			9.811 795	0.000 211	9.996 569
			8.079 107	9.949 626	8 _n 310 378
$(wk)^2 A_1$	$(wk)^2 A_2$	$(wk)^2 A_3$	— 0.000 078 083	+ 0.000 384 816	— 0.000 003 312
			$(wk)^2 A$	+ 0.000 303 421	
			$\log (wk)^2 A$	6.482 045	
			$(wk)^2$	9.675 283	
A				6.806 762	
(x_0+x)	(y_0+y)	(z_0+z)	+ 5.372 816	— 0.657 689	— 0.153 234
$\log (x_0+x)$	$\log (y_0+y)$	$\log (z_0+z)$	0.730 202	9 _n 818 020	9 _n 185 355
ξ	η	ζ	7.612 447	8.760 239	7 _n 130 508
B_1	B_2	B_3	+ 0.022 0114	— 0.037 8608	+ 0.000 2069
B				— 0.015 6485	
$\log B$				8 _n 194 473	

Aus VI) pag. 101 findet sich nun:

$m \sin M$	4 _n 854 109	$(wk) \sqrt{p_0} \sin i_0$	8.664 250	$n \cos N - \frac{1}{2} (i+i_0)$	6.699 881
	9 _n 998 826	$m \cos (M-\lambda_0)$	5.706 235	$(wk) \cos \frac{1}{2} (i-i_0)$	9.837 641
$m \cos M$	5 _n 986 985	Add.	0.000 478	$\log \mathcal{A} \sqrt{p}$	6.862 240
M	184°12'42"3	Nenner	8.664 728	$\mathcal{A} \sqrt{p} + 0.000 728 182$	
$(M-\lambda_0)$	58°30' 2"6	$m \sin (M-\lambda_0)$	5.918 928		
$\sin (M-\lambda_0)$	9.930 769	$\tan (\lambda-\lambda_0)$	7.254 200	$2 \sqrt{p_0}$	0.542 138
m	5.988 159	T	4.685 575	Add.	0.000 091
$\cos (M-\lambda_0)$	9.718 076	$\lambda-\lambda_0$	+ 6'10"361	$\log \mathcal{A} \sqrt{p}$	7.404 469
$\frac{1}{2} (\lambda-\lambda_0)$	+ 3' 5"1805	$wk \sqrt{p_0}$	0.078 749	p_0	0.482 216
$\frac{1}{2} (\lambda+\lambda_0)$	125°15'44"9	$n \cos N - i_0$	6.699 881	Add.	0.000 363
$M - \frac{1}{2} (\lambda+\lambda_0)$	58°26'57"4	Add.	0.000 181	p	0.482 579
$\cos M - \frac{1}{2} (\lambda+\lambda_0)$	9.718 712	Nenner	0.078 930	\sqrt{p}	0.241 289

$\sec \frac{1}{2} (\varrho - \varrho_0)$	0.000 000	$n \sin (N - i_0)$	5.500 362		
$n \sin N$	5.706 871	$\text{tang } (i - i_0)$	5.421 432	ϱ	125°48'50''06
	9.997755	T	4.685 575	i	2°12'29''34
$n \cos N$	6.698 500	$i - i_0$	+ 5''443		
N	5°49'15''5				
$N - i_0$	3°36'51''6	$\frac{1}{2} (i - i_0)$	+ 2''7		
$\sin (N - i_0)$	8.799 617	$\frac{1}{2} (i + i_0)$	2°12'26''6		
n	6.700 745	$N - \frac{1}{2} (i + i_0)$	3°36'48''9		
$\cos (N - i_0)$	9.999 136	$\cos (N - \frac{1}{2} (i + i_0))$	9.999 136		

Aus VII) (pag. 101) ergibt sich:

$s \sin S$	9.553 437	$\sigma \sin \Sigma$	8.760 230
	9.996 179		9.998 904
$s \cos S$	0.428 841	$\sigma \cos \Sigma$	7.612 447
S	352°24'40''6	Σ	85°55'47''8
$s - \frac{1}{2} (\varrho + \varrho_0)$	220°38'55''7	$\Sigma - \varrho$	320° 6'57''7
$\sin (S - \frac{1}{2} (\varrho + \varrho_0))$	9.861 629	$\sin (\Sigma - \varrho)$	9.807 017
$2 s \sin \frac{1}{2} (\varrho - \varrho_0)$	7.686 862	σ	8.761 335
$\cos (S - \frac{1}{2} (\varrho + \varrho_0))$	9.836 620	$\cos (\Sigma - \varrho)$	9.884 990
		X_1'	8.646 325
s	0.432 662	X_2'	7.548 491
2	0.301 030	Add.	9.963 868
$\sin \frac{1}{2} (\varrho - \varrho_0)$	6.953 170	Y_1'	8.568 352
		Y_2'	7.523 482
$m' \sin M'$	7.130 508	Subtr.	9.958 953
	9.999 651		
$m' \cos M'$	8.527 305	r_0	0.432 832
M'	182°17'47''9	$n' \cos (N' - u_0)$	7.532 027
$M' - \frac{1}{2} (i + i_0)$	180° 5'21''3	Add.	9.999 454
$\cos (M' - \frac{1}{2} (i + i_0))$	9.999 999	Nenner	0.432 286
m'	8.527 654	$n' \sin (N' - u_0)$	8.722 434
$\sec \frac{1}{2} (i - i_0)$	0.000 000	$\text{tang } u - u_0$	8.290 148
$n' \sin N'$	8.527 653	T	4.685 630
	9.886 857	$u - u_0$	1° 7' 2''70
$n' \cos N'$	8.610 193		
N'	320°24'44''0	$\frac{1}{2} (u - u_0)$	0°33'31''3
$N' - u_0$	93°41'26''7	$\frac{1}{2} (u + u_0)$	227°16'48''6
$\sin (N' - u_0)$	9.999 098	$N' - \frac{1}{2} (u + u_0)$	93° 7'55''4
n'	8.723 336	$\cos (N' - \frac{1}{2} (u + u_0))$	8.737 491
$\cos (N' - u_0)$	8.808 691	$\sec \frac{1}{2} (u - u_0)$	0.000 021
		$\log J r$	7.460 848
		Add.	9.999 536
		$\log r$	0.432 368

Die Formeln VIII) (pag. 102) lassen finden:

	$\mathcal{A}(r) \frac{dr_0}{dt}$	6.153 612
$\sin v_0$	$0_n 857\ 000$	D 7.905 026
$v_0 \sin r_0$	$0_n 096\ 230$	Subtr. 9.992 233
$dr_0 : dt$	$8_n 692\ 764$	Zähler 7.897 259
	$\log \mathcal{A} \left(\frac{dr}{dt} \right)$	7.464 891

Aus IX) und X) (pag. 102) rechnet sich nun:

$\left(\frac{dr_0}{dt} \right) \mathcal{A}(V\bar{p})$	$5_n 555\ 004$	e_0	$9.239\ 131$
$V\bar{p} \mathcal{A} \left(\frac{dr}{d} \right)$	$7.706\ 180$	$g \cos (G - v_0)$	$7_n 579\ 464$
Add.	$9\ 996\ 923$	Add.	$9.990\ 386$
$(rk) g \sin G$	$7.703\ 103$	Nenner	$9.229\ 517$
$p_0 : r_0$	$0.049\ 384$	$g \sin (G - v_0)$	$7.821\ 496$
$\frac{p_0}{r_0} \mathcal{A}(r)$	$7_n 510\ 232$	$\tan g (v - v_0)$	$8.591\ 979$
$\mathcal{A}(p)$	$7.404\ 469$	T	$4.685\ 796$
Subtr.	$0.251\ 360$	$v - v_0$	$+ 2^0 14' 17'' 18$
$r g \cos G$	$7.761\ 592$	$\frac{1}{2} (v - v_0)$	$1^0 7' 8'' 59$
$g \sin G$	$7.865\ 462$	$\frac{1}{2} (v + v_0)$	$315^0 5' 47'' 7$
	$9.982\ 359$	$G - \frac{1}{2} (v + v_0)$	$118^0 40' 59'' 0$
$g \cos G$	$7.329\ 224$	$\cos (G - \frac{1}{2} (v + v_0))$	$9_n 681\ 209$
G	$73^0 46' 46'' 7$	$\sec \frac{1}{2} (v - v_0)$	$0.000\ 083$
$G - v_0$	$119^0 48' 7'' 6$	$\log \mathcal{A}(e)$	$7_n 564\ 395$
$\sin (G - v_0)$	$9.938\ 393$		
g	$7.883\ 103$		
$\cos (G - v_0)$	$9_n 696\ 361$	$2 v_0$	$9.540\ 161$
Add.	$9.990\ 717$	Add.	$9.995\ 383$
$\sin q$	$9.229\ 848$	$\mathcal{A}(e^2)$	$7_n 099\ 939$
q	$9^0 46' 27'' 0$		
$\frac{1}{2} (q + q_0)$	$9\ 52\ 50.9$	$\omega - \omega_0$	$- 1^0 7' 14'' 48$
$\cos \frac{1}{2} (q + q_0)$	$9.993\ 510$	$\pi - \pi_0$	$- 1^0 1' 4'' 12$
$\frac{1}{2} \mathcal{A}(e)$	$7_n 263\ 365$		
$\sin \frac{1}{2} (q - q_0)$	$7_n 269\ 855$		
$S - \log 2$	$4.384\ 545$		
$q - q_0$	$- 12' 47'' 910$		

Aus XI) (pag. 102) findet sich nun:

2	$0.301\ 030$	$2 \sin \frac{1}{2} (v - v_0)$	$8.591\ 731$
$\sin \frac{1}{2} (v - v_0)$	$8.290\ 701$	$\sin \frac{1}{2} (v + v_0)$	$9_n 848\ 752$
$\cos \frac{1}{2} (v + v_0)$	$9.850\ 216$	\mathcal{A}^2	$8_n 440\ 483$
$\cos q$	$9.993\ 650$	Subtr.	$9.938\ 010$
σ_1	$8.435\ 597$	(v)	$8.378\ 493$

$2 \sin \frac{1}{2} (q - q_0)$	7 _n 570 885		
$\sin \frac{1}{2} (q + q_0)$	9.234 515	$-r : p$	9 _n 949 789
$\sin v_0$	9 _n 857 099	$g \cos G$	7.329 224
$(\sigma)_2$	6.662 499	(λ)	7 _n 279 013
Subtr.	9.992 615	$\sin E_0$	9 _n 801 083
(σ)	8.428 212	$\cos E_0$	9.889 040
$(\sigma) \frac{r}{p}$	8378 001		
$(\lambda) \sin E_0$	7.080 096	$g' \cos (G' - E_0)$	6 _n 708 137
Add.	0.021 339	Nemer	9.999 778
$(\gamma) \frac{r}{p}$	8.328 282	$g' \sin (G' - E_0)$	8.501 666
$(\lambda) \cos E_0$	7 _n 168 053	$\text{tang } (E' - E_0)$	8.504 888
Add.	9.968 881	T'	4.685 723
$g' \sin G'$	8.399 340	$E - E_0$	+1 ^u 49'54"24
	9.894 618		
$g' \cos G'$	8.297 163	$\frac{1}{2} E - E_0$	0°51'57"12
G'	51 ^u 40'43"3	$\frac{1}{2} E + E_0$	321 ^u 10'43"1
$G' - E_0$	90°54'57"3	$\cos \frac{1}{2} (E + E_0)$	9.894 618
$\sin (G' - E_0)$	9.999 944	$\sin \frac{1}{2} (E - E_0)$	8.203 691
g'	8.504 722	$2 \sin q_0 : \sin 1''$	4 _n 854 586
$\cos (G' - E_0)$	8 _n 203 715	$\log (J M_2)$	2 _n 952 895
		$J M_2$	-14'57"212
E	322°35'40"2	$J M_1$	-7'39"549
$-\sin E$	9.783 512	$M - M_0$	+1 ^u 27'17"48
$J \cdot e : \sin 1''$	2 _n 878 820		
$\log J M_1$	2 _n 662 332	$L - L_0$	+0°26'13"36

Für q erhält man nach XII pag. 102 in zweifacher Weise den entsprechenden Werth wie folgt:

$J(p)$	7.404 469	Add.	0.300 708	$a_0 P$	6 _n 663 909
$a_0 J(e^2)$	7 _n 595 118	$(r+r_0)$	0.733 630	$1-a_0 P$	0.000 200
p_0	0.482 216	$r r_0$	0.865 200	$\frac{1}{2} a_0 P$	6 _n 362 969
Subtr.	0.000 563	Nemer	1.598 830	$\log q$	6 _n 362 769
Add.	9.742 100	$2B$	8 _n 495 503	Beide Werthe stimmen innerhalb der Unsicherheit der Rechnung; es wird angenommen	
$p_0 - a_0 J(e^2)$	0.482 779	P_2	6 _n 896 673		
Nemer	0.783 809	A	6.806 762	$\log q$	6 _n 362 765
$J(p) + a_0 J(e^2)$	7 _n 146 569	Add.	9 361 758	$\log f$	0.477 371
$\log q$	6 _n 362 760	$\log P$	6 _n 168 520	$\log (-\mu_0)$	2 _n 806 787
q	-0.000 2305			$\log (\mu - \mu_0)$	9.646 923
				$\mu - \mu_0$	+0 ^u 44353

Die neuen Elemente sind also, wenn man die Epoche auf den neuen Osculationspunkt legt:

(62) Erato

Epoche und Osculation 1871 Sept. 13.0 mittl. Berl. Zeit

mittl. Aeq. 1870.0.

$$L = 5^{\circ}56'24''90$$

$$M = 328\ 30\ 11.12$$

$$A = 37\ 26\ 13.78$$

$$\lambda = 125\ 48\ 50.06$$

$$i = 2\ 12\ 29.34$$

$$q = 9\ 46\ 26.99$$

$$u = 641''33958$$

Um eine sichere Controle für die Richtigkeit der Rechnung zu erhalten, werden aus diesen Elementen die gestörten Coordinaten und Geschwindigkeiten abgeleitet; die 7stellige Rechnung stellt sich unter Benützung der Formeln I bis IV (pag. 100) wie folgt:

μ	2.807 0880	$r \sin e$	0.272 4409
k''	3.550 0066		9.858 5065
$a^{\frac{3}{2}}$	0.742 9186	$r \cos e$	0.290 8750
$a^{\frac{1}{2}}$	0.247 6395	r	316 ⁰ 12'56''26
a	0.495 2791	ϖ	271 37 23.72
$\cos q$	9.993 6498	u	227 50 19.98
$a \cos q$	0.488 9289	r	0.432 3685
$\sin q$	9.229 8485		
$\sin q : \sin i''$	4.544 2736	p	0.482 5787
M	328 ⁰ 30'11''12	$1 p$	0.241 2893
E	322 35 40.23	wk	9.837 6414
$\sin E$	9.9783 4420	$wk : 1 p$	9.506 3521
$\cos E$	9.900 0154		
Subtr.	0.104 4495		
$\cos E - e$	9.795 5959		

Aus I) erhält man:

$\cos i$	9.999 6774		
$\sin i$	8.585 7985		
$\cos \varrho = \sin a \sin A$	9.9767 2706	$\sin \varrho = \sin b \sin B$	9.908 9790
	9.9908 8685		9.909 0894
$\sin a \cos A$	9.9908 6564	$\sin b \cos B$	9.9766 9480
A	215 ⁰ 50'2''78	B	125 ⁰ 47'37''36
$\sin a$	0.999 7879	$\sin b$	9.999 8896

Und aus II pag. 100) folgt:

$A + u$, $B + u$, u	$83^{\circ}40'22''76$	$353^{\circ}37'57''34$	$227^{\circ}50'19''98$
$\sin(A + u)$, $\sin(B + u)$, $\sin u$	9.997 3467	9.044 9456	9.869 9708
$r \sin a$, $r \sin b$, $r \sin i$	0.432 1564	0.432 2581	9.018 1670
x , y , z	+ 2.688 4571	— 0.300 0570	— 0.077 2926

Die Unterschiede gegen $x_0 + \xi$, $y_0 + \eta$, $z_0 + \zeta$ sind in Einheiten der siebenten Decimale beziehungsweise:

$$+ 7 \quad - 2 \quad - 1$$

was eine gute Uebereinstimmung ist.

Weiter findet sich nach III) (pag. 100):

$\cos r$	9.858 5065	F	$322^{\circ}11'22''10$
Add.	0.091 7191	U	$233^{\circ}48'45''.88$
$\gamma \sin F$	9.840 0724	γ'	9.052 5751
	9.897 0505	c	9.648 9272
$\gamma \cos F$	9.950 2256		

$A + U$, $B + U$, U	$89^{\circ}38'48''66$	$350^{\circ}36'23''24$	$233^{\circ}48'45''.88$
$\cos(A + U)$, $\cos(B + U)$, $\cos U$	7.789 8338	9.990 9898	9.771 1056
$c \sin a$, $c \sin b$, $c \sin i$	0.648 7151	0.648 8108	8.234 7257
$dx : dt$, $dy : dt$, $dz : dt$	+ 0.002 7450	+ 0.445 4578	— 0.010 1366

so dass die Unterschiede wieder nur sind in Einheiten der siebenten Decimale:

$$0 \quad 0 \quad - 1$$

Es erscheinen demnach die obigen Elemente einer strengen Controle unterworfen.

Ich werde nun das zweite Formelsystem anwenden und direct aus den gestörten Coordinaten und Geschwindigkeiten die Elemente ableiten: hierbei wird wohl die Anwendung siebenstelliger Tafeln nöthig sein, um die wünschenswerthe Genauigkeit zu erhalten. Vorerst sind wieder die ungestörten Coordinaten und Geschwindigkeiten abzuleiten und nach XIII pag. 103 die der gestörten Bewegung entsprechenden Werthe derselben zu bestimmen. Der erste Theil der Rechnung fällt demnach mit der oben (pag. 130, 131) durchgeführten zusammen. Ich entlehne deshalb derselben die folgenden Werthe:

$\log x$	0.429 5030	$\log(dx : dt)$	7.438 5423
$\log y$	9.477 2035	$\log(dy : dt)$	9.648 8000
$\log z$	8.888 1373	$\log(dz : dt)$	8.005 8880

Nach V) pag. 103) findet sich:

$x dy$	0.078 3096	$y dz$	7.483 0915	$x dz$	8.435 3910
$y dx$	0.915 7458	$z dy$	8.530 9430	$z dx$	6.326 6796

Subtr.	0.000 2986	Subtr.	0.036 7038	Subtr.	0.003 3944
	0.078 6082		8.573 7077		8 _n 431 9966
		<i>wk</i>	9.8376414		
$V \bar{p} \sin i \sin \varrho$	8.736 0663	$V \bar{p} \sin i$	8.827 0864	$V \bar{p}$	0.241 2894
	9.9089799		9.909 6774	p	0.482 5788
$V \bar{p} \sin i \cos \varrho$	8 _n 504 3552	$V \bar{p} \cos i$	0.210 0668	$\sin i$	8.585 7970
	125°48'19"16		2°12'29"31	$\cos i$	9.9996774
				$\sin \varrho$	9.908 9799
				$\cos \varrho$	9 _n 767 2688

Aus VI pag. 103) findet sich:

$x \cos \varrho$	0 _n 196 7718	$x \cos u$	0 _n 259 2305	x^2	0.859 0060
$y \sin \varrho$	9 _n 386 1834		9 _n 869 9719	y^2	8.954 4070
Add.	0.062 4587	$x \sin u$	0 _n 302 3403	Add.	0.005 3764
$y \cos \varrho \cos i$	9.244 1497	u	227°50'20"57	$x^2 + y^2$	0.864 3824
$-x \sin \varrho \cos i$	0 _n 338 1603	r	0.432 3684	z^2	7.776 2746
Add.	0.036 4652			Add.	0.000 3544
$y \cos \varrho \cos i - x \sin \varrho \cos i$	0 _n 301 6951			r^2	0.864 7368
$z \sin i$	7 _n 473 9313			Probe: r	0.432 3684
Add.	0.000 6452				

Die Benützung der Formeln VII pag. 103 führt zu folgenden Zahlen:

$x dx$	7.868 0453	$p : r$	0.050 2104
$y dy$	9 _n 126 0101	$\sin q \sin r$	9 _n 069 9212
Add.	0.024 6657		9.858 5071
$x dx + y dy$	9 _n 101 3144	$\sin q \cos r$	0.088 3564
$z dz$	6.894 0253	r	316°12'56"52
Add.	0.002 7028	$\frac{1}{2} r$	158° 6'28"26
$r dr$	9 _n 008 6116	$\sin q$	9.229 8493
$V \bar{p} : wk$	0.403 6180	q	9°10'27"05
$1 : r$	0.567 0316	$\cos q$	9.993 6198

Nach VIII pag. 103 wird:

$45 + \frac{1}{2} q$	49°53'13"52	E	322°35'40"50
$\cot g 45 + \frac{1}{2} q$	9.925 5510	$\sin E$	9 _n 783 5112
$\tan g \frac{1}{2} r$	0.604 0513	$\sin q \sin E$	—5°54'30"89
$\frac{1}{2} E$	161°17'50"25	M	328°30'11"39

Durch die Anwendung von IX, pag. 103 findet sich:

$$\omega = 271^{\circ}37'24''05$$

$$\iota = 37^{\circ}26'13''51$$

Schliesslich folgt aus X_1 pag. 104 :

$$\begin{aligned}\log a & 0.405\ 2792 \\ \frac{1}{2} \log a & 0.247\ 6396 \\ \frac{3}{2} \log a & 0.742\ 9188 \\ \log k'' & 3.550\ 0066 \\ \mu & 641''3393\end{aligned}$$

Aus der Formel XI) (pag. 104) findet sich aber $\mu = 641''33958$, welcher Werth der genauere ist; die Berechnung dieser Formel habe ich nicht angesetzt, da sich die diesbezüglichen Zahlen in dem obigen Beispiele wieder finden, und zwar in den letzten zwei Formeln von V) pag. 101 und in XIIa und XIIb) pag. 102, 103). Als Controle hätte man wieder die Rückrechnung der Coordinaten und Geschwindigkeiten vorzunehmen, welche Controlrechnung ich aber hier übergehe, weil schon ein diesbezügliches Beispiel bei der ersten Methode ausführlich mitgetheilt erscheint. Durch Vergleichung der Zahlen erkennt man leicht die überwiegende Genauigkeit der ersten Methode und ich möchte dieselbe stets empfehlen; sie verursacht zwar einen grösseren Zeitaufwand, in Anbetracht aber, dass der Uebergang auf osculirende Elemente selten vorgenommen wird, und dass die Genauigkeitszunahme eine beträchtliche ist, kann dieser kaum allzusehr ins Gewicht fallen.

B. Specielle Störungen in den polaren Coordinaten.

§ 1. Aufstellung der Differentialgleichungen.

Die Bestimmung der Störungen nach polaren Coordinaten gewährt in vielen Fällen ganz wesentliche Vortheile gegen die eben vorgetragene Methode, nach welcher die Störungen der rechtwinkligen Coordinaten ermittelt werden, so dass es wünschenswerth erscheint, auf dieselbe hier näher einzugehen. Die Wahl der polaren Coordinaten kann in sehr verschiedener Weise vorgenommen werden, deren jede ihre gewissen Vortheile bei der Rechnung bietet; die zweckmässigste Form scheint mir aber jene von Hansen vorgeschlagene zu sein, mit den Modificationen, die Tietjen im Berliner Jahrbuche für 1877 veröffentlicht hat (dritte Methode), welche hier mit ganz geringen Abänderungen, auf welche übrigens Tietjen selbst schon hinweist, zum Vortrage gebracht wird.

Es dürfte zwar die von Hansen gewählte Form die Störungen im Allgemeinen etwas kleiner erscheinen lassen, als diese Methode, und deshalb der Uebergang auf osculirende Elemente für längere Zeit hinaus vermieden werden; doch ist der

Rechnungsmechanismus nach der letzteren Methode so bequem, dass er diesen Nachtheil wohl überwiegt.

Es sollen vorerst die Grundgleichungen der Störungstheorie hier wieder angesetzt werden, indem die Buchstaben in ihrer Bedeutung wie auf pag. 71 unverändert beibehalten sind; die Gleichungen sind nach einer einfachen Umsetzung:

$$\left. \begin{aligned} \frac{d^2 x}{dt^2} + \frac{k^2 x}{r^3} &= \Sigma k^2 m_1 \left\{ x_1 \left(\frac{1}{q^3} - \frac{1}{r_1^3} \right) - \frac{x}{q^3} \right\} \\ \frac{d^2 y}{dt^2} + \frac{k^2 y}{r^3} &= \Sigma k^2 m_1 \left\{ y_1 \left(\frac{1}{q^3} - \frac{1}{r_1^3} \right) - \frac{y}{q^3} \right\} \\ \frac{d^2 z}{dt^2} + \frac{k^2 z}{r^3} &= \Sigma k^2 m_1 \left\{ z_1 \left(\frac{1}{q^3} - \frac{1}{r_1^3} \right) - \frac{z}{q^3} \right\} \end{aligned} \right\} \quad 1)$$

Führt man die polaren Coordinaten ein durch die Relationen:

$$\begin{aligned} x &= r \cos b \cos l = r_1 \cos l & x_1 &= r_1 \cos B_1 \cos L_1 \\ y &= r \cos b \sin l = r_1 \sin l & y_1 &= r_1 \cos B_1 \sin L_1 \\ z &= r \sin b & z_1 &= r_1 \sin B_1 \end{aligned}$$

und betrachtet die Ebene der ungestörten Bahn als Fundamentalebene, so wird r_1 die Projection des Abstandes des gestörten Körpers von der Sonne auf die ungestörte Bahnebene darstellen. Ueber die Lage der X-Achse in dieser Ebene, die vorläufig willkürlich erscheint, wird später pag. 144 verfügt werden; überdies aber wird man sich über den Sinn, in welchem die positive Z-Achse zu zählen ist, zu einigen haben; es soll darüber die Annahme gemacht sein, dass vom Pole der positiven Z-Achse aus gesehen, der Himmelskörper sich umgekehrt wie der Zeiger einer Uhr bewegt.

Setzt man zur Abkürzung:

$$K = \frac{1}{q^3} - \frac{1}{r_1^3},$$

so wird man aus den beiden ersten Gleichungen 1 erhalten, wenn man die erste derselben mit $-y$, die zweite mit x multiplicirt und dann addirt:

$$x \frac{d^2 y}{dt^2} - y \frac{d^2 x}{dt^2} = \frac{d}{dt} \left(x \frac{dy}{dt} - y \frac{dx}{dt} \right) = \Sigma k^2 m_1 \{ x y_1 - y x_1 \} K;$$

Nun ist aber das angezeigte Differential nichts anderes, als das Differential des doppelten Sectordifferentials, für welches letztere man mit Benützung der polaren Coordinaten setzen darf:

$$2 d Fl = r^2 \frac{dl}{dt};$$

ersetzt man überdies in dem Factor von K die rechtwinkligen Coordinaten durch die polaren, so erhält man, wenn man zur Abkürzung die Grösse U einführt durch:

$$\Sigma k^2 m_1 \{ x y_1 - y x_1 \} K = \Sigma k^2 m_1 K r r_1 \cos B_1 \sin L_1 - l = \Sigma U,$$

als Resultat der Transformation:

$$\frac{d}{dt} \left\{ r^2 \frac{dl}{dt} \right\} = \Sigma U;$$

die Integration dieser Gleichung gibt:

$$r^2 \frac{dl}{dt} = \text{Const} + \int \Sigma U dt,$$

wobei man zu beachten haben wird, dass die Bestimmung des Werthes des angezeigten Integrales mit Hilfe der mechanischen Quadratur erlangt werden kann. Die Bestimmung der Integrations-Constante unterliegt keiner Schwierigkeit, wenn man beachtet, dass in der ungestörten Bewegung (vergl. I pag. 43) die Relation besteht:

$$r_0^2 \frac{dr_0}{dt} = k \sqrt{p_0}.$$

wo p_0 den Parameter der ungestörten Bahn vorstellt; nun kann, sobald man von den Störungen absieht, dl mit dr_0 und weiter r mit r_0 identificirt werden; in diesem Falle wird aber auch

$$\Sigma U = 0$$

und es verschwindet demnach das Integral dieses Ausdruckes; man hat daher die Constante richtig bestimmt durch:

$$\text{Const} = k \sqrt{p_0}$$

und die erste Fundamentalgleichung für die Ermittlung der Störungen in den polaren Coordinaten wird sein:

$$(r)^2 \frac{dl}{dt} = k \sqrt{p_0} + \int \Sigma U dt. \quad (1)$$

Da diese Gleichung nur eine Relation zwischen r und l aufstellt, muss man bestrebt sein, eine weitere, neue Bedingungen enthaltende, Gleichung aufzusuchen; dieselbe wird leicht aus den beiden ersten Gleichungen in 1 erhalten werden können, wenn man die erste derselben mit x , die zweite mit y multiplicirt und addirt; man erhält so:

$$\begin{aligned} x \frac{d^2 x}{dt^2} + y \frac{d^2 y}{dt^2} + \frac{k^2 (r^2)}{r^3} &= \frac{d}{dt} \left\{ x \frac{dx}{dt} + y \frac{dy}{dt} \right\} - \left\{ \left(\frac{dx}{dt} \right)^2 + \left(\frac{dy}{dt} \right)^2 \right\} + \frac{k^2 (r^2)}{r^3} \\ &= \Sigma k^2 m_1 \left\{ (x x_1 + y y_1) K - \frac{(r^2)}{q^3} \right\} \quad ; \end{aligned}$$

setzt man also, indem man unter dem Summenzeichen die rechtwinkligen Coordinaten durch die polaren ersetzt, zur Abkürzung:

$$\begin{aligned} \Sigma R &= \Sigma k^2 m_1 \frac{K r_1 \cos B_1 \cos L_1 - l_1}{r^2} \\ \Sigma w_1 &= \Sigma k^2 m_1 \frac{1}{q^3} \quad . \end{aligned}$$

so wird erhalten, wenn man linker Hand für die Differentialien der rechtwinkligen Coordinaten die polaren einführt:

$$d \left\{ (r)^2 \frac{dr}{dt} \right\} - \left\{ \left(\frac{dr}{dt} \right)^2 + (r^2) \left(\frac{dl}{dt} \right)^2 \right\} + \frac{k^2 (r^2)}{r^3} = r^2 \Sigma R - r^2 \Sigma w_1,$$

oder, indem man die angezeigte Differentiation ausführt und mit (r) beiderseits dividirt:

$$\frac{d^2 r}{dt^2} = r \left(\frac{dl}{dt} \right)^2 + \frac{k^2 r}{r^3} = r \Sigma R = r \Sigma w_1 .$$

Diese Gleichung enthält aber noch die Grösse r , die durch r_0 zu ersetzen ist; der Unterschied beider ist aber offenbar zweiter Ordnung in Bezug auf die Breitenstörungen und wird im Allgemeinen fast unmerklich sein; doch kann auch hier die völlige Strenge in einfacher Weise erreicht werden. Man hat vorerst:

$$r^2 = r_0^2 + z^2 ,$$

also ist

$$\frac{1}{r^3} = \frac{1}{r_0^3} \left\{ 1 + \frac{z^2}{r_0^2} \right\}^{-\frac{5}{2}} = \frac{1}{r_0^3} \left\{ 1 - \frac{5}{2} \frac{z^2}{r_0^2} \left(1 - \frac{5}{2} \frac{z^2}{r_0^2} + \frac{5 \cdot 7}{2 \cdot 3} \frac{z^4}{r_0^4} - \dots \right) \right\} ;$$

die in den runden Klammern angesetzte Reihe ist aber, wenn man setzt:

$$q = \frac{z^2}{r_0^2} ,$$

völlig identisch mit dem dritten Theile der von Encke bei seiner Methode benützten Grösse f . (vergl. pag. 75 und Tafel XI) man kann also setzen:

$$\frac{r}{r^3} = \frac{1}{r_0^2} - \frac{3}{2} \frac{z^2}{r_0^4} \left(\frac{f}{3} \right) ,$$

wobei man aber bei der Anwendung wohl stets wird annehmen dürfen:

$$\frac{1}{3} f = 1 ,$$

indem man hierbei nur Glieder vierter Ordnung in Bezug auf die Breitenstörungen übergeht; schreibt man also:

$$J \Sigma R = \frac{3}{2} k^2 \frac{z^2}{r_0^5} \left(\frac{f}{3} \right) ,$$

so wird man, wenn überdies, um abzukürzen, geschrieben wird:

$$\Sigma R = \Sigma w_1 + J \Sigma R = H_2$$

für die obige Differentialgleichung haben:

$$\frac{d^2 r}{dt^2} = r \left(\frac{dl}{dt} \right)^2 + \frac{k^2}{r^2} = r H_2 . \quad \text{II}$$

welches die zweite Fundamentalgleichung ist, die in Verbindung mit I (pag. 141) zur Kenntniss der Werthe r und l führen wird.

Um nun die dritte Gleichung in I (pag. 140) in eine für die Bestimmung der auf der Fundamentelebene senkrechten Coordinate z passende Form überzuführen, setze man:

$$\Sigma W_1 = \Sigma k^2 m_1 K r_1 \sin B_1 ,$$

und wie dieses schon oben geschehen ist:

$$\Sigma w_1 = \Sigma k^2 m_1 \frac{1}{q^3} ,$$

so wird man schreiben dürfen:

$$\frac{d^2 z}{dt^2} + z \left\{ \frac{k^2}{r_0^3} + \Sigma w_1 \right\} = \Sigma W_1 ;$$

Differentiirt man die Relation zwischen l , r und N , so wird:

$$\frac{dl}{dt} = \frac{dr}{dt} + \frac{dN}{dt} \quad 3)$$

und wenn nun beiderseits mit r^2 multiplicirt und die durch die Gleichung 2) ausgedrückte Bedingung einführt, so findet sich:

$$(r^2 \frac{dl}{dt} = r^2 \frac{dr}{dt} + \int \Sigma U dt; \quad 4)$$

vergleicht man diesen Ausdruck mit I (pag. 141) so resultirt sofort eine Bestimmung für r , indem beide Gleichungen gleichzeitig nur bestehen können, wenn man:

$$r^2 \frac{dr}{dt} = k \sqrt{p_0} \quad 5)$$

setzt, so dass r ebenfalls durch eine Differentialgleichung bestimmt erscheint, sobald über N eine der eben gewählten Bedingung entsprechende Annahme gemacht ist. Setzt man nun die erlangten Bedingungen in 3) ein, so wird:

$$\frac{dl}{dt} = \frac{k \sqrt{p_0}}{r^2} + \frac{1}{r^2} \int \Sigma U dt \quad 5a)$$

und hieraus folgt durch Integration:

$$l = \int \frac{k \sqrt{p_0}}{r^2} dt + \int \frac{1}{r^2} dt \int \Sigma U dt + \text{Const.}$$

Zur Bestimmung der Integrationsconstante wird man durch die folgenden Betrachtungen gelangen. Wären keine Störungen vorhanden, so würde das zweite Integral verschwinden, das erstere kann aber, da:

$$\frac{dr}{dt} = \frac{k \sqrt{p}}{r^2}$$

ist, wo r die wahre Anomalie vorstellt, als die wahre Anomalie aufgefasst werden und wir haben daher in dem Falle der ungestörten Bewegung:

$$l_0 = r_0 + \text{Const.}$$

Bei der Einführung der polaren Coordinaten statt der rechtwinkligen wurde zwar die XY -Ebene als Fundamentelebene bezeichnet, jedoch über die Lage der X -Achse oder über den Ausgangspunkt der Zählung von l wurde nichts festgesetzt; trifft man jetzt, um Alles unzweideutig bestimmt zu haben, die Verfügung, dass l vom aufsteigenden Knoten der ungestörten Bahn in der Ekliptik gezählt wird, so ist l das Argument der Breite und die Integrations-Constante ist demnach nichts anderes, als der Abstand des Perihels vom Knoten, eine Grösse, die durch ω_0 bezeichnet werden soll, indem der Index „0“ darauf hinweist, dass dieser Werth den ungestörten Elementen zu entlehnen ist.

Mit Rücksicht auf diese gewählte Bezeichnung möge weiter eingeführt werden:

$$\frac{dJ\omega}{dt} = \frac{1}{r^2} \int \Sigma U dt \quad \text{IVa)}$$

wobei man leicht erkennen wird, dass man durch eine mechanische Integration den Werth von $J\omega$ wird ermitteln können. Man hat dann statt des obigen Ausdruckes für l zu setzen:

$$l = r + \omega_0 + J\omega. \quad \text{IVb)}$$

Der gewählten Bestimmung gemäss wird sich demnach V nur um eine Grösse von der Ordnung der Störungen von der wahren Anomalie v unterscheiden und es wird daher möglich sein, an die ungestörte mittlere Anomalie M eine Correction ΔM von derselben Ordnung anzubringen, die bewirkt, dass durch Anwendung der bekannten Formeln zur Bestimmung der wahren Anomalie unter Benützung der ungestörten Elemente für dieselbe V resultirt. Indem vorerst diese Correction ΔM als bekannt vorausgesetzt wird und die Bestimmung derselben für später vorbehalten bleibt, ergibt sich das folgende Formelsystem:

$$\left. \begin{aligned} M &= M_0 + \mu_0 t + \Delta M \\ M &= E - e_0'' \sin E \\ (r_0') \sin V &= a_0 \cos q_0 \sin E \\ (r') \cos V &= a_0 \cos E - e_0 \end{aligned} \right\} \quad \text{V)}$$

In diesen Ausdrücken stellt, wie man leicht sieht, M_0 die ungestörte mittlere Anomalie zur Zeit der Epoche, t die seit der Epoche verfllossene Zeit in mittleren Sonnentagen, μ_0 , a_0 , $\sin q_0 = e_0''$, beziehungsweise die mittlere siderische Bewegung, die grosse Achse und die Excentricität der ungestörten Elemente vor. Es ist klar, dass der durch diese Formeln gefundene Radiusvector, der gleichsam den Radiusvector in der ungestörten Bahn zur gestörten mittleren Anomalie vorstellt, nicht mit r übereinstimmen, sondern sich ebenfalls um eine Grösse von der Ordnung der Störungen von demselben unterscheiden wird. Setzt man also:

$$(r) = (r_0) (1 + v) \quad \text{VI)}$$

so wird die Bestimmung des gestörten Ortes keine Schwierigkeit haben, sobald ΔM und v gegeben sind. Es wird daher als die nächste Aufgabe bezeichnet werden müssen, aus den Differentialgleichungen I und II pag. 141, 142, solche abzuleiten, welche die Bestimmung von ΔM und v ermöglichen, womit, falls diese Bestimmung gelungen ist, noch der Vortheil erreicht wird, dass die Rechnung statt der Gesamtbewegung nur die verhältnissmässig geringen Störungen zu bestimmen hat.

Ehe aber an die Lösung dieser Aufgabe geschritten werden soll, mag noch die Bemerkung Platz greifen, dass diese Wahl der Coordinaten ohne Schwierigkeit auf Bahnen von beliebiger Excentricität angewendet werden kann, und nicht auf solche von mässiger Excentricität beschränkt ist, wie dies auf den ersten Blick erscheinen könnte, da die Störung in der mittleren Anomalie hier auftritt. Es erweist sich sogar gerade in solchen Fällen die von Hansen getroffene Wahl der Coordinaten besonders vortheilhaft; doch kann auf die nothwendigen Aenderungen erst eingegangen werden, wenn die diesbezüglichen Formeln entwickelt sind.

Um nun die oben angesetzte Aufgabe zu lösen, muss die differentielle Relation zwischen r und v ermittelt werden. Aus der Gleichung VI resultirt sofort:

$$r) = \frac{p_0 (1 + v)}{1 + e_0 \cos V} ; \quad 6)$$

die Differentiation nach den mit der Zeit veränderlichen Grössen ergibt:

$$\frac{dr}{dt} = \frac{p_0}{1+e_0 \cos V} \cdot \frac{dr}{dt} + \frac{p_0(1+r)}{(1+e_0 \cos V)^2} e_0 \sin V \frac{dV}{dt}$$

welcher Ausdruck mit Rücksicht auf die Gleichungen 5) und 6) (pag. 144, 145) sich in:

$$\frac{dr}{dt} = \frac{r}{1+r} \cdot \frac{dr}{dt} + \frac{k e_0 \sin V}{(1+r) \sqrt{p_0}} \quad 7)$$

verwandelt; diese Gleichung ergibt durch weitere Differentiation:

$$\frac{d^2 r}{dt^2} = \frac{r}{1+r} \frac{d^2 r}{dt^2} - \frac{r}{(1+r)^2} \left(\frac{dr}{dt} \right)^2 + \frac{1}{1+r} \frac{d(r)}{dt} \cdot \frac{dr}{dt} + \frac{k e_0 \cos V}{(1+r) \sqrt{p_0}} \frac{dV}{dt} - \frac{k e_0 \sin V}{(1+r)^2 \sqrt{p_0}} \frac{dr}{dt};$$

führt man nun in dem mittleren Gliede dieses Ausdruckes für $\frac{dr}{dt}$ den Werth aus 7) ein, so erhält man:

$$\frac{d^2 r}{dt^2} = \frac{r}{1+r} \cdot \frac{d^2 r}{dt^2} + \frac{k e_0 \cos V}{(1+r) \sqrt{p_0}} \cdot \frac{dV}{dt},$$

und wenn jetzt noch $\frac{dV}{dt}$ durch die Relation aus 5) (pag. 144) ersetzt und dabei beachtet wird, dass zu Folge der Gleichung 6) (pag. 145):

$$e_0 \cos V = \frac{p_0(1+r)}{r} - 1$$

und zudem:

$$\frac{1}{1+r} = 1 - \frac{r}{1+r}$$

ist, so folgt:

$$\frac{d^2 r}{dt^2} - \frac{k^2 p_0}{r^3} + \frac{k^2}{r^2} = \frac{r}{1+r} \cdot \frac{d^2 r}{dt^2} + \frac{k^2}{r^2} \cdot \frac{r}{1+r}; \quad 8)$$

vergleicht man diesen Ausdruck mit II) (pag. 142), so findet man linker Hand vom Gleichheitszeichen bis auf das mittlere Glied eine völlige Uebereinstimmung; dasselbe lässt sich jedoch ohne Schwierigkeit so zerlegen, dass auch dieses Glied identisch gemacht wird. Die Quadrirung der Gleichung I) (pag. 141) gibt nämlich:

$$(r)^4 \left(\frac{dl}{dt} \right)^2 = k^2 p_0 + 2k \sqrt{\frac{p_0}{r}} \left\{ 1 + \frac{\int \Sigma U dt}{2k \sqrt{p_0}} \right\} \int \Sigma U dt;$$

schreibt man, um abzukürzen:

$$\int U' dt = \left(1 + \frac{\int \Sigma U dt}{2k \sqrt{p_0}} \right) \int \Sigma U dt$$

so bestimmt sich aus dieser Gleichung der Werth von $\frac{k^2 p_0}{r^3}$, wie folgt:

$$\frac{k^2 p_0}{r^3} = r \left(\frac{dl}{dt} \right)^2 - \frac{2k \sqrt{p_0}}{r^3} \int U' dt$$

und hiermit kann die Gleichung 8) geschrieben werden:

$$\frac{d^2 r}{dt^2} - r \left(\frac{dl}{dt} \right)^2 + \frac{k^2}{r^2} = \frac{r}{1+r} \frac{d^2 r}{dt^2} + \frac{k^2}{r^2} \cdot \frac{r}{1+r} - \frac{2k \sqrt{p_0}}{r^3} \int U' dt$$

welche nun in Verbindung mit II) (pag. 142) die sofortige Elimination von $d^2 r$ und dl gestattet. Führt man die Elimination aus und schreibt:

$$H_1 = \frac{k \sqrt{\rho_0}}{r^3} \int V' dt$$

$$H_1 + H_2 = H_0$$

$$h = \frac{k^2}{r^3} - H_0$$

so wird die verlangte Differentialgleichung:

$$\frac{d^2 r}{dt^2} + h r = H_0. \quad \text{VII)}$$

welche rücksichtlich der Form mit der Gleichung III (pag. 143) identisch ist und eine Differentialgleichung zur Bestimmung von r abgibt, während III) zur Bestimmung von z gedient hat. Da überdies ω bereits durch die Differentialgleichung IV (pag. 144) bestimmt erscheint, so erübrigt zur Bestimmung von l nichts weiter, als die Ermittlung des Differentialausdruckes für \mathcal{M} . Um diesen zu erhalten, nehme man die zwei Gleichungen:

$$\sin V = \frac{a_0 \cos q_0}{r} \sin E$$

$$(r = a_0 (1 - e_0 \cos E))$$

vor, aus denen man sofort:

$$\sin V = \frac{\cos q_0 \sin E}{1 - e_0 \cos E}$$

findet. Differentiirt man diesen Ausdruck vorerst logarithmisch, so wird:

$$\frac{\cos V}{\sin V} dV = \frac{\cos E}{\sin E} dE - \frac{e_0 \sin E}{1 - e_0 \cos E} dE = \frac{r}{a_0} \frac{\cos V}{\sin E} dE$$

und man hat somit:

$$dV = \frac{\sin V}{\sin E} dE = \frac{a_0 \cos q_0}{r} dE.$$

Ferner liefert die Gleichung:

$$\mathcal{M} = E - e_0 \sin E$$

durch Differentiation und eine leichte Substitution:

$$d\mathcal{M} = \frac{r}{a_0} dE;$$

es ist also:

$$\frac{dV}{d\mathcal{M}} = \frac{dV}{dE} \cdot \frac{dE}{d\mathcal{M}} = \frac{a_0^2 \cos q_0}{r^2} = \frac{k \sqrt{\rho_0}}{a_0 r^{\frac{3}{2}}}$$

wobei von der bekannten Relation:

$$a_0 = \frac{k}{a_0^{\frac{3}{2}}}$$

Gebrauch gemacht wurde. Aus der ersten Gleichung in V* findet sich aber durch Differentiation:

$$\frac{d\mathcal{M}}{dt} = u_0 + \frac{d\mathcal{M}}{dt}$$

also ist:

$$\frac{dV}{dt} = \frac{dV}{d\mathcal{M}} \cdot \frac{d\mathcal{M}}{dt} = \frac{k \sqrt{\rho_0}}{a_0 r^{\frac{3}{2}}} \left(u_0 + \frac{d\mathcal{M}}{dt} \right);$$

multiplieirt man nun beiderseits mit r^2 und beachtet die Relationen 5 [pag. 144] und VI [pag. 145], so findet sich leicht:

$$k(1-p_0) = k(1-p_0)(1+r^2) \left\{ 1 + \frac{1}{\mu_0} \frac{d\mathcal{M}}{dt} \right\}$$

woraus:

$$\frac{d\mathcal{M}}{dt} = \mu_0 \frac{1 - 1 + r^2}{1 + r^2}$$

folgt; setzt man also:

$$\sigma = 2 \frac{1 + \frac{1}{2}r}{1 + r^2}$$

so wird die letzte noch nöthige Differentialgleichung zur vollständigen Ermittlung der Störungen:

$$-\frac{d\mathcal{M}}{dt} = -\mu_0 r \sigma, \quad \text{VIII}$$

wobei σ mit dem Argument r leicht in eine Tafel gebracht werden kann. Eine solche Tafel, auf 6 Stellen berechnet*, ist diesem Werke als Tafel XIII angehängt; dieselbe gibt den Werth von $\log \sigma$ für $10^7 \frac{80 + 40r}{1 + r^2}$; weshalb gerade diese Form gewählt wurde, wird sofort bei der Zusammenstellung der Formeln für die praktische Rechnung klar werden. Will man übrigens von dieser Tafel, die kaum eine wesentliche Abkürzung der Rechnung bedingt, absehen, so hat man:

$$\sigma = \frac{1}{1+r} \left(1 + \frac{1}{1+r} \right)$$

zu setzen, welcher Ausdruck sich leicht mit Hilfe der Additionslogarithmen berechnet; es ist dann:

$$-\frac{d\mathcal{M}}{dt} = -w(\mu_0) \sigma r$$

wo w die für t geltende Zeiteinheit vorstellt.

Die Lösung des vorliegenden Problems ist demnach in den folgenden 4 Differentialgleichungen enthalten, die ich übersichtlich zusammengestellt aus der vorstehenden Entwicklung hier hervorhebe:

$$\left. \begin{aligned} \frac{d^2 r}{dt^2} + h r &= H_0 \\ \frac{d\mathcal{M}}{dt} &= -\mu_0 r \sigma \\ \frac{d^2 z}{dt^2} + [w] z &= H_0^* \\ \frac{d\mathcal{M}}{dt} &= \frac{1}{r^2} \int \Sigma U dt \end{aligned} \right\} \quad \text{IX}$$

Ehe ich daran gehe, den Nachweis zu liefern, dass diese Differentialgleichungen ohne allzugrosse Schwierigkeiten die angesetzte Lösung in aller Strenge erreichen lassen, will ich auf jene Modificationen aufmerksam machen, die bei Bahnen mit starker Excentricität, also bei Kometenbahnen mit mehr parabolischem

* Die Rechnung der Tafel selbst ist von R. Schram 10stellig durchgeführt worden.

Charakter, mit den obigen Gleichungen vorzunehmen wären. Man wird sofort gewahren, dass man nur die zweite Gleichung in IX zu modifiziren hat, indem die übrigen durch diesen Umstand nicht berührt erscheinen.

Um nun diese Gleichung in eine für alle Fälle brauchbare Form umzuändern, soll anstatt der Störung in der mittleren Anomalie die Störung der Zeit ermittelt werden, also jenes Zeitintervall, welches der Himmelskörper bedarf, um den Bogen $I - r_0$ für die gegebene Epoche in der ungestörten Bewegung zu durchlaufen. Nun ist aber:

$$\mu_0 Jt = JM$$

somit wird:

$$\frac{dJt}{dt} = - \sigma r \quad \text{X}$$

die Gleichung für die Störung in der Zeit, wodurch die verlangte Transformation erreicht ist.

Da bei Kometenbahnen die Hauptstörungen gewöhnlich die Zeit des Perihels treffen, so möchte ich gerade in der von Hansen getroffenen Wahl der polaren Coordinaten, wo die Störung des zur gestörten Anomalie gehörigen ungestörten Radiusvector ermittelt wird, einen ganz besonderen Vortheil erblicken und glaube, dass die Anwendung dieser Methode für periodische Kometen, falls man Störungen in den Coordinaten bestimmen will, besonders zu empfehlen ist. Will man jedoch die Störungen für eine Kometenbahn nur so weit entwickeln, dass man die Beobachtungen einer Erscheinung von den Störungen befreien will, ein Fall, der bei den meisten Kometen, die keine verhältnissmässig kurze Periode haben, statt hat, so wird in diesen Fällen wohl die Anwendung der Encke'schen Methode als besonders bequem empfohlen werden dürfen.

§ 2. Integration der Differentialgleichungen.

Die Integration der Differentialgleichungen wird bei dieser Methode, ähnlich so, wie es bei Encke's Methode geschehen ist, vorgenommen werden können, wobei jedoch der erleichternde Umstand hinzutritt, dass die die Rechnung erschwerenden mit q verbundenen Glieder hier nicht vorkommen. Eigentlich bedürfen nur die erste und dritte Gleichung in IX des vorangehenden Paragraphen einer näheren Betrachtung, da die anderen, als auf einer einfachen Integration beruhend, kein näheres Eingehen erfordern.

Die beiden angezogenen Gleichungen haben die gemeinsame Form:

$$\frac{d^2x}{dt^2} + px = P.$$

Diese Gleichungen kommen in doppelter Weise in Betracht, indem einerseits beim Beginn der Rechnung, wo nichts Anderes über x bekannt ist, als dass dasselbe in Anbetracht der Nähe des Osculationspunktes klein sein muss, ein zweck-

mässiges Verfahren anzugeben ist, um eine indirecte Rechnung zu vermeiden; andererseits werden sich im Verlaufe der Rechnung durch die mechanische Quadratur und durch die Kenntniss der vorangehenden Werthe, für x genügende Annäherungen finden lassen, um auch in diesen Fällen die lästige indirecte Rechnung zu umgehen, besonders wenn man die Methode zu Hilfe nimmt, die Tietjen im Berliner Jahrbuche für 1877 für diesen letzteren Fall publicirt hat. Es soll zunächst der Beginn der Rechnung in's Auge gefasst werden.

Am zweckmässigsten ist es unter allen Umständen, die Rechnung so anzulegen, dass dieselbe der Zeit nach in regelmässigen Intervallen fortschreitet und dass die Osculationsepoche in die Mitte zwischen zwei Werthe fällt; bezeichnet man daher irgend einen zweiten Differentialquotienten des Störungswerthes mit $f'(a + iw)$, so wird für den ersten Werth, der um ein halbes Intervall der Osculationsepoche nachfolgt $f'(a)$ zu setzen sein, für den vorangehenden Werth $f'(a - w)$ etc. Berücksichtigt man daher das Differenz- und Integrationsschema (pag. 4), welches bei der mechanischen Quadratur ausführlich auseinandergesetzt wurde, so kommt die Epoche der Osculation auf die Zeile $a - \frac{1}{2}w$.

Man wird für den Anfang der Rechnung 4 Werthe für die Differentialquotienten berechnen und zwar so, dass 2 Werthe der Osculationsepoche vorangehen und 2 Werthe nachfolgen, und hierbei die Störungen bei der Berechnung der Coefficienten der Differentialgleichungen ganz weglassen; aus dieser Vernachlässigung der zweiten Potenzen der störenden Massen kann bei der Nähe der Osculationsepoche wohl niemals ein merkbarer Fehler entstehen.

Hat man sich in dieser Weise 4 Werthe für die Coefficienten der Differentialgleichungen verschafft, so wird die Bestimmung der zweiten Differentialquotienten und die Bestimmung der Anfangsconstanten der mechanischen Quadraturen in der folgenden Weise vorgenommen werden können. Die 4 erlangten Werthe seien der Reihe nach:

$$\begin{array}{ll} p_{-2} & P_{-2} \\ p_{-1} & P_{-1} \\ p_0 & P_0 \\ p_{+1} & P_{+1} \end{array}$$

wobei der Index auf die gewählte Zeitepoche unzweideutig hinweist. Für x wird man, wenn mit t die Zeit in Einheiten des Intervalles bezeichnet wird, die Form aufstellen können:

$$x = \tau + \tau' t + \alpha t^2 + \beta t^3 + \gamma t^4 + \delta t^5 + \dots$$

wobei die Coefficienten τ , τ' , α , β , γ , δ einer näheren Bestimmung bedürfen. Differentiirt man, so wird:

$$\frac{dx}{dt} = \tau' + 2\alpha t + 3\beta t^2 + 4\gamma t^3 + 5\delta t^4 + \dots$$

und weiter:

$$\frac{d^2x}{dt^2} = 2\alpha + 2\cdot 3\beta t + 3\cdot 4\gamma t^2 + 4\cdot 5\delta t^3 + \dots$$

Zählt man die Zeit von der Osculationsepoche aus, so müssen für die Zeit $t = 0$, d. i. für die Zeit der Osculation sowohl die Coordinaten als auch die Geschwindigkeiten in der ungestörten und gestörten Bewegung nach der Idee der osculirenden Elemente identisch sein; man hat daher für x und x' sofort die Bestimmung erlangt, dass beide der Null gleich sein müssen. Man darf daher für x die Form aufstellen:

$$x = \alpha t^2 + \beta t^3 + \gamma t^4 + \delta t^5 + \dots$$

Die Werthe für p und P werden ebenfalls eine Entwicklung nach steigenden Potenzen der Zeit zulassen und man wird setzen dürfen:

$$P = A + Bt + Ct^2 + Dt^3 + \dots$$

$$p = a + bt + ct^2 + dt^3 + \dots$$

Da die numerischen Werthe für P und p gegeben sind, so wird man leicht aus dem Differenzschema die Coëfficienten dieser Gleichungen ableiten können. Es soll dies an den Werthen von P ausführlich erläutert werden; bildet man demnach das folgende Differenzschema, welches sofort verständlich ist, wenn man hiermit die Auseinandersetzungen auf pag. 4 vergleicht, so erhält man:

$$\begin{array}{r} P_{-2} \\ f^1 a - \frac{3}{2} \omega \\ P_{-1} \\ f^1 a - \frac{1}{2} \omega \quad f^1 a - \omega \\ P_0 \\ f^1 a + \frac{1}{2} \omega \quad f^1 a \quad f^1 a - \frac{1}{2} \omega \\ P_{+1} \end{array}$$

dann ist, wie dies eine leichte und offenkundige Entwicklung zeigt, die mit der auf pag. 26 ff. identisch ist:

$$\left. \begin{array}{l} A = \frac{1}{2} (P_{-1} + P_0) - \frac{1}{16} \{ f^1 a - \omega + f^1 a \} \\ B = f^1 a - \frac{1}{2} \omega - \frac{1}{24} f^1 a - \frac{1}{2} \omega \\ C = \frac{1}{4} \{ f^1 a - \omega + f^1 a \} \\ D = \frac{1}{6} f^1 a \end{array} \right\} \quad 1$$

Eine analoge Entwicklung kann für die Coëfficienten a , b , c und d vorgenommen werden, doch wird die Berechnung auf die beiden ersten, nämlich auf a und b beschränkt werden können, wie dies die sofort folgenden Ausführungen zeigen.

Substituirt man die für x , P und p aufgestellten Ausdrücke in die obige (pag. 149) Differentialgleichung, so findet sich:

$$2\alpha + 6\beta t + 12\gamma - \alpha\alpha t^2 + (20\delta + \beta\alpha + b\alpha)t^3 = A + Bt + Ct^2 + Dt^3,$$

woraus sich sofort durch die Vergleichung ergibt:

$$\left. \begin{array}{l} \alpha = \frac{A}{2} \quad \gamma = \frac{1}{12} \left(C - \frac{\alpha A}{2} \right) \\ \beta = \frac{B}{6} \quad \delta = \frac{1}{20} \left(D - \frac{\alpha B}{6} - \frac{b A}{2} \right) \end{array} \right\} \quad 2)$$

Der letzte Coëfficient δ wird in der Regel so klein, dass man denselben wird übergehen können. Setzt man nun der Reihe nach in dem Ausdrucke für x :

$$x = \alpha t^2 + \beta t^3 + \gamma t^4 + \delta t^5 + \dots \quad 3)$$

$t = -\frac{3}{2}, -\frac{1}{2}, +\frac{1}{2}$ und $+\frac{3}{2}$, so erhält man die vier zu den gegebenen Zeitmomenten gehörigen Werthe der Störung und kann dann berechnen:

$$\frac{d^2x}{dt^2} = P - px \quad . \quad 4)$$

Scheinbar einfacher gestaltet sich die Sache wenn man dieselbe Substitution in dem Ausdrücke für $\frac{d^2x}{dt^2}$ ausführt; es ist dann:

$$\frac{d^2x}{dt^2} = A + Bt + \left(C - \frac{aA}{2}\right)t^2 + \left(D - \frac{aB}{6} - \frac{bA}{2}\right)t^3;$$

hierbei wird es jedoch nothig, das letzte Glied mitzunehmen und die Coëfficienten genau zu berechnen, was im ersteren Falle wegen der Kleinheit des Factors p nicht nöthig ist.

Es sollen nun diese Formeln durch ein ausführliches Beispiel erläutert werden, und zwar nach der ersteren Form, der ich unter allen Umständen den Vorzug gebe.

Das für Erato unten ausführlich mitgetheilte Beispiel hat bei Beginn der Rechnung für die Berechnung der zweiten Differentialquotienten von r ergeben:

	$p = h$	$P = H_0$
1874 Oct. 27	+ 0.009590	+ 169.24
	— 37	— 55.55
Dec. 6	9553	+ 113.69
	+ 9 — 46 — 2	— 50.80 + 4.75 — 0.16
1875 Jan. 15	9562	+ 62.89
	+ 57 — 48	— 46.21 + 4.59
Febr. 24	9619	+ 16.68

Daraus erhält man, indem für diese Form der Rechnung die Mitnahme des Coëfficienten δ unnöthig ist, die Werthe der Coëfficienten durch 1 pag. 151:

$$\begin{aligned} A &= + 88.29 - 0.58 = + 87.71 \\ B &= - 50.80 + 0.01 = - 50.79 \\ C &= + 2.33 \\ \log a &= 7.980; \end{aligned}$$

es ist also nach 2) und 3) pag. 151:

$$r = + 43.85 t^2 - 8.465 t^3 + 0.101 t^4,$$

und demgemäss durch successive Substitution der Werthe $-\frac{3}{2}, -\frac{1}{2}, +\frac{1}{2}, +\frac{3}{2}$ für t :

$$\begin{aligned} r_- &= + 128.04 \\ r_{-1} &= + 12.03 \\ r_+ &= + 0.91 \\ r_{+1} &= + 70.92 \end{aligned}$$

und nach der Formel 4) finden sich demnach die gesuchten zweiten Differentialquotienten:

$$\frac{d^2 r_{-2}}{dt^2} = + 168.01$$

$$\frac{d^2 r_{-1}}{dt^2} = + 113.58$$

$$\frac{d^2 r_0}{dt^2} = + 62.80$$

$$\frac{d^2 r_{+1}}{dt^2} = + 16.00$$

Die eben entwickelte Methode der Bestimmung der zweiten Differentialquotienten wird bei der Hansen-Pietjen'schen Methode ebenfalls bei der Bestimmung der Störung der auf der Bahnebene senkrechten Coordinate z in Anwendung gezogen werden müssen, doch wird der Umstand, dass diese letztere Störung sehr klein ist, diese Rechnungsoperation ungemein rasch erledigen lassen.

Es wird also sein:

	$p = [r]$	$P = W_0$
1874 Oct. 27	0.009647	— 25.89
	— 48	+ 1.84
Dec. 6	9599	— 24.05
	0	+ 2.03
1875 Jan. 15	9599	— 22.02
	+ 49	+ 2.11
Febr. 24	9648	— 19.91
$z = - 11.526 t^2 + 0.339 t^3 + 0.015 t^4$		

also:

$$z_{-2} = - 27.00$$

$$z_{-1} = - 2.92$$

$$z_0 = - 2.84$$

$$z_{+1} = - 24.71$$

und

$$\frac{d^2 z_{-2}}{dt^2} = - 25.63$$

$$\frac{d^2 z_{-1}}{dt^2} = - 24.02$$

$$\frac{d^2 z_0}{dt^2} = - 21.99$$

$$\frac{d^2 z_{+1}}{dt^2} = - 19.67$$

Die übrigen in der Hansen-Pietjen'schen Methode auftretenden Integrale sind einfache Quadraturen und bedürfen daher keiner weiteren Entwicklungen.

Den Umstand, dass p stets klein ist, hat Hansen benützt, um für den Beginn der Rechnung ebenfalls ein directes Integrationsverfahren anzuwenden; denn es ist offenbar:

$$x = \iiint P dt^2 - \iint p dt^2 \iint P dt^2 + \iint p dt^2 \iint p dt^2 \iint P dt^2 - \dots$$

Ich begnüge mich jedoch mit dieser Andeutung, da dieses Verfahren, obwohl es den Vortheil einer viel ausgedehnteren Anwendung besitzt, bei weitem

unbehüllicher und mühsamer sich gestaltet, als die oben angegebene Methode. Der Vorwurf der Beschränkung auf die ersten Intervalle ist kein massgebender, da man, sobald die Rechnung im Gange ist, sofort einen anderen Weg einzuschlagen in der Lage ist, der sich sehr bequem erweist und den ich nunmehr auseinandersetzen will. Uebrigens lässt sich ein viel bequemer analytisches Verfahren angeben, von welchem im letzten Abschnitte der Störungsrechnung die Rede sein wird, doch sind die oben in Vorschlag gebrachten Methoden für die vorliegenden Zwecke bequemer, weshalb ich mich auf diesen Hinweis beschränke.

Sobald man also die vier zweiten Differentialquotienten ermittelt hat, wird man sofort in der bekannten Weise (vergl. pag. 53) die doppelte mechanische Quadratur auf dieselben anwenden, also zunächst die Anfangsconstanten für die erste und zweite summirte Reihe berechnen nach:

$$\begin{aligned} {}^1f(a - \tfrac{1}{2}w) &= -\tfrac{1}{24}f''(a - \tfrac{1}{2}w) + \tfrac{17}{5760}f^{(4)}(a - \tfrac{1}{2}w) - \dots \\ {}^2f(a - w) &= +\tfrac{1}{24}f''(a) - \tfrac{17}{5760}\{2f^{(4)}(a) + f^{(4)}(a - w)\} + \dots \end{aligned}$$

dann wird man die einfache und doppelte Summation ausführen und auf diese Art, wenn die Rechnung bis zum Werthe ${}^1f(a + i - 1)w$ durchgeführt ist, den genauen Werth von ${}^2f(a + iw)$ ermittelt haben.

Weiter wird man sich zu erinnern haben, dass nach der Theorie der mechanischen Quadraturen:

$$x_i = {}^2f(a + iw) + \tfrac{1}{12}f''(a + iw) - \tfrac{1}{240}f^{(4)}(a + iw) + \dots$$

ist; dieser Ausdruck wird, unter der Voraussetzung, dass die Berechnung der vorhergehenden Intervalle einschliesslich des Intervalles $a + (i - 1)w$ durchgeführt ist, eine genügende Näherung für den Werth von x_i ergeben, um hiermit den zweiten Differentialquotienten $\frac{d^2 x_i}{dt^2}$ mittelst der Relation:

$$\frac{d^2 x_i}{dt^2} = P - p x_i$$

näherungsweise berechnen zu können; in dem letzteren Ausdrucke bedarf es wegen des kleinen Factors p nur einer genäherten Kenntniss von x_i , so dass es vollkommen genügen wird, zu dem bereits genau bekannten Werthe von ${}^2f(a + iw)$ die Werthe von $\tfrac{1}{12}f''(a + iw)$ und $-\tfrac{1}{240}f^{(4)}(a + iw)$ nach dem Gange der Function in dem vorangehenden Differenzschema hypothetisch hinzuzufügen; ein Fehler in diesen Annahmen geht nach den eben gemachten Betrachtungen ganz wesentlich verringert ins Resultat über. Jedenfalls also wird dieses Verfahren für

$$\frac{d^2 x_i}{dt^2} = f''(a + iw)$$

einen hinreichend genauen Werth finden lassen, welcher, einer weiteren Rechnung zu Grunde gelegt, bei der nur noch $f^{(4)}(a + iw)$ hypothetisch anzunehmen wäre, den völlig strengen Werth wird finden lassen. Eine etwas fehlerhafte hypothetische An-

nahme für $f''(a+iw)$ wird aber niemals, weder in der ersten, noch in der zweiten Annäherung, einen merkbaren Fehler verursachen können, da das Resultat nur um das Product aus der fehlerhaften Annahme in $\frac{p}{240}$ verfälscht wird.

Dieses indirecte Verfahren hat indess manche Unannehmlichkeiten und vergrössert die Arbeit; dabei mag bemerkt werden, dass es, wie die Erfahrung lehrt, nicht immer möglich ist, für $f'(a+iw)$ nach dem Gange der Differenzen genügende Annäherungen einzuführen, um stets einer Wiederholung der Rechnung überhoben zu sein. Es lässt sich aber ein Verfahren angeben, welches die indirecte Rechnung völlig beseitigt; dasselbe ist von Tietjen im Berliner Jahrbuch für 1877 zuerst angegeben worden.

Den gemachten Auseinandersetzungen gemäss wird man stets in der Lage sein, den Ausdruck:

$$S_p = {}''f'(a+iw) - \frac{1}{240} f''(a+iw) + \frac{1}{12} P \quad 5)$$

mit völliger Schärfe zu berechnen, da die einzige unbekannte Grösse $f''(a+iw)$ stets mit genügender Annäherung aus dem Gange der Funktion ermittelt werden kann, wenn man dieselbe, was in den meisten Fällen ohne Nachtheil geschehen kann, nicht ganz übergelassen will. Es wird deshalb vorausgesetzt werden können, dass S_p ein völlig bekannter Werth ist.

Vergleicht man diesen Werth mit:

$$x_i = {}''f'(a+iw) + \frac{1}{12} f''(a+iw) - \frac{1}{240} f''(a+iw) + \dots$$

so sieht man, dass man wegen

$$f''(a+iw) = \frac{d^2 x_i}{dt^2} = P - p x_i$$

setzen darf:

$$p x_i = p S_p - \frac{1}{12} p^2 x_i;$$

schreibt man also:

$$p' = \frac{p}{1 + \frac{1}{12} p} \quad 6$$

so wird

$$p x_i = p' S_p$$

und hiermit:

$$f''(a+iw) = \frac{d^2 x_i}{dt^2} = P - p' S_p \quad 7$$

womit jede indirecte Rechnung vermieden ist, da die drei Grössen P , p' und S_p direct berechnet werden können.

Der hier erläuterten Methode entsprechend wird man daher die Integration der ersten und dritten Gleichung in IX pag. 148, ausführen können. Die übrigen Gleichungen sind direct berechenbar und führen auf einfache Integrationen. Für die einfachen Integrationen wird man den gemachten Voraussetzungen über die Lage der Osculationsepoche nach zur Bestimmung der Anfangsconstante die Formeln:

$$f\left(a - \frac{1}{2}w\right) = \frac{1}{24} f^{(1)}\left(a - \frac{1}{2}w\right) + \frac{17}{5760} f^{(3)}\left(a - \frac{1}{2}w\right) - \dots$$

$$\int_{a-\frac{1}{2}w}^{a+\frac{1}{2}w} f(x) dx = f\left(a + iw\right) - \frac{1}{12} f^{(1)}\left(a + iw\right) + \frac{11}{720} f^{(3)}\left(a + iw\right) - \dots$$

zu benützen haben, wobei zu beachten ist, dass in der letzteren Formel rechts vom Gleichheitszeichen die Funktionswerthe arithmetische Mittel sind.

§ 3. Berechnung der Coordinaten.

Die oben auseinandergesetzte Methode der Berechnung der Störungswerthe in den polaren Coordinaten setzt die Kenntniss der störenden Kräfte voraus, die in der Bahnebene in der Richtung des Radiusvector, senkrecht auf denselben, und senkrecht auf die Bahnebene wirken; diese Kräfte erscheinen in den obigen Formeln nicht unmittelbar, sondern es treten die Grössen:

$$U = k^2 m_1 K(r) r_1 \cos B_1 \sin (L_1 - l)$$

$$R = k^2 m_1 K \frac{r_1}{(r)} \cos B_1 \cos (L_1 - l)$$

$$w_1 = k^2 m_1 \frac{1}{q^3}$$

$$W = k^2 m_1 K r_1 \sin B_1$$

auf, wobei gesetzt ist:

$$K = \frac{1}{q^3} - \frac{1}{r_1^3}.$$

Die Grössen r und l berechnen sich in bekannter Weise aus den Elementen, r_1 kann aus den Ephemeriden direct entlehnt werden. B_1 und L_1 dagegen müssen aus den Ephemeridenangaben abgeleitet werden. Die Ephemeriden geben nämlich die heliocentrischen Längen λ' und Breiten β' . Vor Allem müssen diese Angaben auf das fixe Aequinoctium reducirt werden, auf welches sich die zu Grunde gelegten Elemente beziehen. Als fixes Aequinoctium wird man wohl am besten das mittlere Aequinoctium des nächsten Jahrzehentanfanges benützen, um für die Angaben des Berliner Jahrbuches die bequemste Anwendung zu erhalten.

L_1 und B_1 sind den Längen und Breiten analoge Grössen, jedoch anstatt auf die Ebene der Ekliptik auf die ungestörte Bahnebene bezogen, ferner liegt der Anfangspunkt der Zählung nicht im Frühlährungspunkte, sondern im aufsteigenden Knoten der ungestörten Bahn in der Ekliptik.

Betrachtet man daher das sphärische Dreieck zwischen dem Pole der Bahn, dem Pole der Ekliptik und dem heliocentrischen Orte des störenden Planeten auf der Himmelskugel, so erhält man leicht die folgenden Relationen, wenn man mit λ_0 und i_0 den aufsteigenden Knoten und die Neigung bezeichnet:

$$\left. \begin{aligned} \sin B_1 &= \sin \beta_0' \cos i_0 - \cos \beta_0' \sin i_0 \sin (\lambda_0' - \alpha_0) \\ \cos B_1 \cos L_1 &= \cos \beta_0' \cos (\lambda_0' - \alpha_0) \\ \cos B_1 \sin L_1 &= \sin \beta_0' \sin i_0 + \cos \beta_0' \cos i_0 \sin (\lambda_0' - \alpha_0) ; \end{aligned} \right\} \quad 1)$$

setzt man also, um die Formeln in eine bequeme Form zu bringen:

$$\left. \begin{aligned} q \sin Q &= \sin \beta_0' \\ q \cos Q &= \cos \beta_0' \sin (\lambda_0' - \alpha_0) \end{aligned} \right\} \quad 2)$$

so wird:

$$\left. \begin{aligned} \cos B_1 \cos L_1 &= \cos \beta_0' \cos (\lambda_0' - \alpha_0) \\ \cos B_1 \sin L_1 &= q \cos (Q - i_0) \\ \sin B_1 &= q \sin (Q - i_0) ; \end{aligned} \right\} \quad 3)$$

der Abstand des gestörten Körpers vom ungestörten q findet sich aus:

$$\left. \begin{aligned} q \cos \vartheta \cos \Theta &= r_1 \cos B_1 \cos (L_1 - l) = r_1 \\ q \cos \vartheta \sin \Theta &= r_1 \cos B_1 \sin (L_1 - l) \\ q \sin \vartheta &= r_1 \sin B_1 = z \end{aligned} \right\} \quad 4)$$

wobei:

$$l = l' + \omega_0 + \Delta \omega \quad \text{vergl. IVb pag. 144)}$$

ist.

Von diesen Formeln kann man Gebrauch machen, wenn man streng die Rechnung durchführen will auf Grundlage der heliocentrischen Coordinaten der störenden Planeten, die sich in den Ephemeriden finden. Beziehen sich die Coordinaten, wie dies im Berliner Jahrbuch bis 1867 inclusive und den übrigen astronomischen Ephemeriden der Fall ist, auf das jedesmalige wahre Aequinoctium, so wird man die auf pag. 82 angeführten Formeln zur Reduction auf das gewählte fixe Aequinoctium benutzen.

Im Berliner Jahrbuch für 1868, 1869 und 1870 finden sich die heliocentrischen Coordinaten nicht unmittelbar, indem die daselbst allein angeführten Längen in der Bahn mit den im Anhange angeführten Bahnlagen zur strengen Berücksichtigung der Breiten der störenden Planeten über dieser Bahnebene nicht ausreichend sind; dagegen werden die mitgetheilten rechtwinkligen Coordinaten die verlangten Grössen leicht geben, denn es ist:

$$\begin{aligned} r_1 \cos \lambda_0' \cos \beta_0' &= x_1 \\ r_1 \sin \lambda_0' \cos \beta_0' &= y_1 \\ r_1 \sin \beta_0' &= z_1 , \end{aligned}$$

wobei man ausser der Prüfung, die sich aus dem regelmässigen Gange der Differenzwerthe ergibt, als theilweise Controle für die Richtigkeit der Rechnung den Umstand benutzen kann, dass der so gefundene Werth von r_1 mit dem im Jahrbuche angegebenen übereinstimmen muss.

Vom Jahre 1871 ab geben die mit Rücksicht auf die pag. 83 gemachten Bemerkungen im Berliner Jahrbuche angeführten Angaben die Mittel an die Hand, unmittelbar die verlangten Grössen λ_0' , β_0' und r_1 demselben zu entnehmen.

Vom Jahre 1880 ab finden sich aber auf meinen Vorschlag Angaben im Berliner Jahrbuche, welche die Rechnung nach den Formeln 1, 2, und 3 des vorliegenden Paragraphen wesentlich erleichtern.

Es finden sich nämlich in der Columnne B_0 die Breiten des Planeten über der am Fusse der Tabelle angegebenen Bahnlage, welche letztere durch eine längere Reihe von Jahren constant angenommen wird. Es soll nun gezeigt werden, wie man diese Angaben für die Rechnung verwerten kann.

Betrachtet man zwei Ebenen im Raume, von denen man eine als die Fundamentalebene wählt und legt in die Richtung des aufsteigenden Knotens die gemeinsame positive X -Achse, während die Achsen der Y und Z den sonst üblichen Annahmen analog gewählt werden sollen, so erhält man, wenn J die Neigung der beiden Ebenen gegen einander bedeutet, in der bekannten Weise für den Uebergang von den rechtwinkligen auf die Fundamentalebene bezogenen Coordinaten ξ, η, ζ eines Punktes auf die analogen auf die andere Ebene bezogenen Coordinaten ξ', η', ζ' desselben Punktes (vergl. I pag. 12) die Gleichungen:

$$\begin{aligned}\xi &= \xi' \\ \eta &= \eta' \cos J - \zeta' \sin J \\ \zeta &= \eta' \sin J + \zeta' \cos J.\end{aligned}$$

Bezeichnet man den sphärischen Abstand (Breite) des Himmelskörpers von dem durch die Fundamentalebene mit der Himmelskugel gebildeten grössten Kreise mit b , in Bezug auf die andere Ebene mit b' , und den Winkelabstand des Fusspunktes dieses sphärischen Perpendikels mit der X -Achse, gezählt in der Bewegungsrichtung des Himmelskörpers, beziehungsweise mit u und u' , so wird man auch schreiben dürfen, wenn man mit r den im Allgemeinen willkürlich zu wählenden Abstand des Himmelskörpers vom Anfangspunkte der Coordinaten bezeichnet:

$$\left. \begin{aligned}r \cos b \cos u &= r \cos b' \cos u' \\ r \cos b \sin u &= r \cos b' \sin u' \cos J - r \sin b' \sin J \\ r \sin b &= r \cos b' \sin u' \sin J + r \sin b' \cos J\end{aligned} \right\} \quad 5,$$

Wählt man nun als Fundamentalebene die Ebene des gestörten Himmelskörpers zur Zeit der Osculationsepoche und beachtet, dass die polare Coordinate L_1 (vergl. II pag. 141) vom aufsteigenden Knoten Ω aus gezählt wird, so wird man, wenn man mit φ den Abstand des aufsteigenden Knotens der Bahnebene des störenden Planeten, in der Bahnebene des gestörten Himmelskörpers, gezählt in der Bewegungsrichtung, bezeichnet, die Relation:

$$L_1 = u + \varphi$$

haben, und weiter wird die in 5 durch b ausgedrückte Coordinate dann identisch mit der am oben angeführten Orte mit B_1 bezeichneten Grösse.

Bezeichnet man mit L die in den Ephemeriden mitgetheilte, auf das gewählte fixe Aequinoctium bezogene Länge in der Bahn, so wird, da L aus der Addition der Länge des aufsteigenden Knotens und des Argumentes der Breite entsteht, sein.

wenn man analog wie oben durch φ' den Abstand des aufsteigenden Knotens der Bahnebene des störenden in der Bahnebene des gestörten Planeten vom aufsteigenden Knoten der Bahn des störenden Körpers ϱ' in der Ekliptik darstellt:

$$u' = L - \varrho' + \varphi' ;$$

ausserdem wird die in 5) durch u' ausgedrückte Grösse offenbar mit B_0 identisch und man wird den Sinus dieses Bogens mit dem Bogen selbst vertauschen, dessen Cosinus aber der Einheit gleich setzen dürfen. Demgemäss hat man zur Berechnung von B_1 und L_1 das Formelsystem:

$$\left. \begin{aligned} u' &= L - \varrho' + \varphi' \\ \cos B_1 \cos u &= \cos u' \\ \cos B_1 \sin u &= \sin u' \cos J - B_0 \sin \varrho' \sin J \\ \sin B_1 &= \sin u' \sin J + B_0 \sin \varrho' \cos J \\ L_1 &= u + \varphi . \end{aligned} \right\} \quad 6$$

Hiermit sind die Grössen B_1 und L_1 bekannt und die weitere Rechnung nach den Formeln 4) pag. 157. hat keine Schwierigkeit, da wie oben:

$$l = l' + \omega_0 + J\omega$$

anzunehmen ist.

Die aus B_0 in den Formeln 6) resultirenden Correctionen können sehr leicht mit Hilfe der Additions- und Subtractionslogarithmen in Rechnung gebracht werden, doch kann es unter Umständen bequem sein, vorerst u und B_1 ohne Rücksicht auf B_0 zu rechnen. Werthe, die ich beziehungsweise mit u_0 und B_1^0 bezeichnen will, und nachträglich den Unterschied $u - u_0$ auf differentiellem Wege zu bestimmen; aus der Differentiation der Gleichungen 6) erhält man leicht nach einigen offenkundigen Reductionen:

$$\left. \begin{aligned} u - u_0 &= - \frac{\cos u'}{\cos B_1} \sin J \cdot B_0 \\ B_1 - B_1^0 &= \frac{\cos J}{\cos B_1} B_0 . \end{aligned} \right\} \quad 7$$

Wiewohl demnach die Berechnung der Grössen L_1 und B_1 nunmehr wenig an Bequemlichkeit zu wünschen übrig lässt, so lässt sich doch noch eine für viele Fälle wesentlich bequemere Form angeben. Ist nämlich die gegenseitige Neigung der in Betracht kommenden Ebenen J eine mässige Grösse, wie dies in der That für die meisten Planeten der Fall ist, so kann man zuerst B_0 ganz ausser Acht lassen, indem man die daraus entstehenden Correctionen einer nachträglichen Berücksichtigung mittelst der Formeln 7) vorbehält und man erhält dann durch Division der beiden ersten Gleichungen 6):

$$\tan u_0 = \tan u' \cos J ;$$

wendet man auf diesen Ausdruck, in welchem der Voraussetzung gemäss $\cos J$ wenig von der Einheit verschieden ist, die im ersten Bande pag. 28¹ angeführte Reihenentwicklung an, und beachtet, dass:

$$\frac{\cos J - 1}{\cos J + 1} = - \tan^2 \frac{1}{2} J \quad 8$$

ist, so wird sein, wenn man die erste Gleichung in 7 (pag. 159) sofort heranzieht:

$$u = u' - \frac{\cos u'}{\cos B_1} \sin J \cdot B_0 - \frac{\tan^2 \frac{1}{2} J}{\sin 1''} \sin 2 u' + \frac{\tan^4 \frac{1}{2} J}{2 \sin 1''} \sin 4 u' - \dots \quad 9$$

Die Benützung dieser Reihe kann von Fall zu Fall durch Anwendung einer kleinen Hilfstafel wesentlich erleichtert werden.

Für die Durchrechnung der Formeln ist nicht die Kenntniss des Bogens B_1 nöthig, sondern nur die Kenntniss der Werthe von $\sin B_1$ und $\cos B_1$; für die Berechnung des Sinus wird aus 6 (pag. 159) folgen:

$$\sin B_1 = \sin u' \sin J + B_0 \sin 1'' \cos J; \quad 10)$$

da $\sin B_1$ der Voraussetzung nach nicht gross ist, so wird man auch stets sicher den Uebergang auf den Cosinus machen können, dessen Kenntniss man für die Formel 9) und für die spätere Rechnung bedarf.

Die Anwendung der eben entwickelten Ausdrücke setzt noch die Kenntniss der Grössen Φ , Φ' und J voraus. Aus der Betrachtung des sphärischen Dreiecks, welches die Ekliptik mit den Bahnebenen des gestörten und des störenden Planeten bildet, ergibt sich sofort, wenn man die diesbezüglichen aufsteigenden Knoten und Neigungen beziehungsweise mit Ω , Ω' und i , i' bezeichnet, durch Anwendung der Gauss'schen Gleichungen:

$$\left. \begin{aligned} \sin \frac{1}{2} J \sin \frac{1}{2} (\Phi + \Phi') &= \sin \frac{1}{2} (\Omega' - \Omega) \sin \frac{1}{2} (i' + i) \\ \sin \frac{1}{2} J \cos \frac{1}{2} (\Phi + \Phi') &= \cos \frac{1}{2} (\Omega' - \Omega) \sin \frac{1}{2} (i' - i) \\ \cos \frac{1}{2} J \sin \frac{1}{2} (\Phi - \Phi') &= \sin \frac{1}{2} (\Omega' - \Omega) \cos \frac{1}{2} (i' + i) \\ \cos \frac{1}{2} J \cos \frac{1}{2} (\Phi - \Phi') &= \cos \frac{1}{2} (\Omega' - \Omega) \cos \frac{1}{2} (i' - i) \end{aligned} \right\} \quad 11)$$

welche Formeln die erforderlichen drei Grössen J , Φ und Φ' unzweideutig bestimmen; dabei wird man zweckmässig die an sich willkürliche Voraussetzung machen dürfen, dass J kleiner als 180° angenommen wird, also $\sin \frac{1}{2} J$ und $\cos \frac{1}{2} J$ stets positiv sind, wodurch sich die Quadranten für die Winkel $\frac{1}{2} (\Phi + \Phi')$ und $\frac{1}{2} (\Phi - \Phi')$ ergeben. Die so ermittelten 3 Grössen wird man so lange unverändert beibehalten können, als die Elemente Ω , Ω' , i und i' keine Aenderung erfahren; da dies nach der vorliegenden Methode mindestens für ein Jahrzehnt ohne Unbequemlichkeit geschehen darf, so wird die Berechnung dieses sphärischen Dreiecks selten genug auszuführen sein und kann demnach den vorbereitenden Rechnungen angeschlossen werden.

Es ist klar, dass bei der vorliegenden Methode der Störungsrechnung, da die Störungscoordinaten auf eine fixe Ebene bezogen sind, eine Aenderung des Aequinoctiums auf dieselbe ohne Einfluss ist; nur muss darauf geachtet werden, dass auf diese Aenderung bei der Berechnung der Coordinaten gehörig Rücksicht genommen wird. Man wird demgemäss in den Elementen die durch die Präcession im Knoten, in der Neigung und im Abstände des Perihels vom Knoten bewirkten Aenderungen in Rechnung ziehen (1 pag. 81) und mit den auf dasselbe Aequinoctium bezogenen Coordinaten des störenden Planeten verbinden; da aber voraussichtlich im Berliner Jahrbuch zu jenen Epochen, wo eine Aenderung des Aequinoctiums eintritt,

auch eine Aenderung der Grössen ϖ' und i' vorgenommen werden wird, so wird man die Berechnung der Formeln 11) stets auf die Epoche dieser Aenderungen beschränken dürfen.

Schliesslich dürfte es passend sein, an dieser Stelle zu erwähnen, wie man die nach dieser Methode erlangten Störungswerthe zur Berechnung einer strengen Ephemeride verwerthen kann.

Man wird sich zu dem Ende aus den Störungstabellen für die Epochen der Ephemeride die Werthe MM , Te , r und z ermitteln. Es wird hierbei zweckmässig sein, für einige der Ephemeride nahe liegende Störungsepochen und für die Mitte derselben die Störungswerthe zu bestimmen, und mit Hilfe der so gebildeten kleinen Störungstafeln die Zwischenwerthe zu interpoliren; es wird sich dieses Verfahren, bei welchem man eine Reihe von Werthen braucht, etwas kürzer erweisen, als die directe Rechnung für jeden einzelnen Werth mit Hilfe der P - und Q -Coëfficienten (vergl. Tafel VI—IX).

Man gelangt mit Hilfe der Formeln V und VI pag. 145 zur Kenntniss der Coordinaten des Planeten in der ungestörten Bahnlage; es ist also zu rechnen:

$$\left. \begin{aligned} M &= M_0 + \mu_0 t + MM \\ M &= E - e'' \sin E \\ (r) \sin E &= a_0 \cos q_0 \sin E \\ (r) \cos E &= a_0 \cos E - e_0 \\ l &= E + \omega_0 + Te \\ (r &= (r) (1 + v) \end{aligned} \right\} \quad 12$$

Um nun z bei der Berechnung der rechtwinkligen Aequatorial-Coordinaten zu berücksichtigen, denke man sich zwei rechtwinklige Coordinatensysteme mit einem gemeinsamen Anfangspunkt und mit gemeinsamer X -Achse, welche letztere mit der Knotenlinie der ungestörten Bahn in der Ekliptik ϖ_0 zusammenfallen soll; die XY -Ebene möge die gewählte fixe Ekliptik sein, die $X_1 Y_1$ -Ebene aber soll der ungestörten Bahnlage entsprechen und die diesbezüglichen Z -Coordinaten sollen in der üblichen Weise gezählt werden. Bezeichnet man mit i_0 die Neigung der ungestörten Bahnebene gegen die Ekliptik, so hat man sofort die Relationen:

$$\begin{aligned} x &= x_1 \\ y &= y_1 \cos i_0 - z_1 \sin i_0 \\ z &= y_1 \sin i_0 + z_1 \cos i_0 . \end{aligned}$$

Setzt man für x_1 , y_1 die polaren Coordinaten, so werden die ekliptikalen auf ϖ_0 als Ausgangspunkt bezogenen Coordinaten:

$$\begin{aligned} x &= (r) \cos l \\ y &= (r) \sin l \cos i_0 - z_1 \sin i_0 \\ z &= (r) \sin l \sin i_0 + z_1 \cos i_0 . \end{aligned}$$

Verlegt man nun den Ausgangspunkt der Zählung auf den Frühljahrspunkt, so wird sein:

$$\begin{aligned}x_{\varepsilon} &= x \cos \varrho_0 - y \sin \varrho_0 \\y_{\varepsilon} &= x \sin \varrho_0 + y \cos \varrho_0 \\z_{\varepsilon} &= z.\end{aligned}$$

und die Substitution ergibt:

$$\begin{aligned}x_{\varepsilon} &= r \{ \cos l \cos \varrho_0 - \sin l \sin \varrho_0 \cos i_0 \} + z_1 \sin \varrho_0 \sin i_0 \\y_{\varepsilon} &= r \{ \cos l \sin \varrho_0 + \sin l \cos \varrho_0 \cos i_0 \} - z_1 \cos \varrho_0 \sin i_0 \\z_{\varepsilon} &= r \sin l \sin i_0 + z_1 \cos i_0;\end{aligned}$$

verwandelt man diese Ekliptikalkoordinaten mit Hilfe der im ersten Bande (pag. 12) angesetzten Transformationsformeln, so wird man leicht finden:

$$\begin{aligned}x' &= r \{ \cos l \cos \varrho_0 - \sin l \sin \varrho_0 \cos i_0 \} + z_1 \sin \varrho_0 \sin i_0 \\y' &= r \{ \cos l \sin \varrho_0 \cos \varepsilon + \sin l \cos \varrho_0 \cos i_0 \cos \varepsilon - \sin l \sin i_0 \sin \varepsilon \} \\&\quad - z_1 \{ \cos \varrho_0 \sin i_0 \cos \varepsilon + \cos i_0 \sin \varepsilon \} \\z' &= r \{ \cos l \sin \varrho_0 \sin \varepsilon + \sin l \cos \varrho_0 \cos i_0 \sin \varepsilon + \sin l \sin i_0 \cos \varepsilon \} \\&\quad + z_1 \{ - \cos \varrho_0 \sin i_0 \sin \varepsilon + \cos i_0 \cos \varepsilon \}.\end{aligned}$$

Die Einführung einiger Hilfsgrößen wird die Berechnung dieser Ausdrücke erleichtern (vgl. I pag. 16); setzt man nämlich:

$$\left. \begin{aligned}n \sin N &= \sin i_0 \\n \cos N &= \cos \varrho_0 \cos i_0 \\m \sin M &= \cos \varrho_0 \sin i_0 \\m \cos M &= \cos i_0 \\\sin a \sin A &= \cos \varrho_0 \\\sin a \cos A &= - \sin \varrho_0 \cos i_0 \\\sin b \sin B &= \sin \varrho_0 \cos \varepsilon \\\sin b \cos B &= n \cos (N + \varepsilon) \\\sin c \sin C &= \sin \varrho_0 \sin \varepsilon \\\sin c \cos C &= n \sin (N + \varepsilon) \\\cos a &= \sin \varrho_0 \sin i_0 \\\cos b &= - m \sin (M + \varepsilon) \\\cos c &= m \cos (M + \varepsilon)\end{aligned} \right\} \quad 13)$$

so ist, wenn man statt z_1 den Buchstaben z schreibt und darunter die Störung in der auf der Bahnebene senkrechten Coordinate versteht:

$$\left. \begin{aligned}x' &= r \sin a \sin (A + l) + z \cos a \\y' &= r \sin b \sin (B + l) + z \cos b \\z' &= r \sin c \sin (C + l) + z \cos c.\end{aligned} \right\} \quad 14)$$

Als Probe für die Richtigkeit dieser Constanten kann benützt werden (vgl. I pag. 17):

$$\operatorname{tg} i = \frac{\sin b \sin c \sin (C - B)}{\sin a \cos A}.$$

§ 4. Uebergang auf osculirende Elemente nach Hansen-Tietjen's Methode.

Das Bedürfniss des Ueberganges auf osculirende Elemente tritt bei dieser Methode aus ähnlichen Ursachen ein, wie bei Encke's Methode; nur werden im Allgemeinen die Störungen weit mehr anwachsen können, als bei der letzteren Methode, bevor es nothwendig wird, diesen Uebergang zu machen.

Um nun diese Uebertragung, falls sie aus irgend einer Ursache wünschenswerth erscheinen sollte, ausführen zu können, bedarf man geeigneter Formeln und ich werde ähnlich, wie früher, zwei Arten des Ueberganges vornehmen, nämlich vorerst jene Methode, nach der man die Unterschiede der gestörten und ungestörten Elemente ermittelt, und welche einer grösseren Genauigkeit fähig ist, ohne allzugrosse logarithmische Tafeln anwenden zu müssen, und dann jene, in der man aus den gestörten Coordinaten und Geschwindigkeiten unmittelbar die Elemente ableitet.

Aus der Störungsrechnung sind für die gewählte Osculationsepoche zu bestimmen: $\mathcal{A}M$, $\mathcal{A}\omega$, ν , $\frac{dr}{dt}$, z , $\frac{dz}{dt}$ und $\int \Sigma U dt$; die erste Aufgabe, die zu lösen ist, besteht dann wieder darin, $\mathcal{A}r$, $\mathcal{A}\left(\frac{dr}{dt}\right)$ und $\mathcal{A}(\downarrow p)$ (vergl. über die Bedeutung dieser Symbole pag. 89) zu ermitteln, da dann die Herleitung der Elemente wie bei Encke's Methode möglich ist.

Man hat vorerst:

$$r = (r_0 + \nu) \cos b = (r_0 + \nu) \left(1 + \frac{2 \sin^2 \frac{1}{2} b}{\cos b}\right) \quad (1)$$

wobei der Winkel b bestimmt ist durch die Relation:

$$\tan b = \frac{z}{r} \quad (2)$$

Es soll also zunächst der Unterschied:

$$(r - r_0)$$

ermittelt werden. Es ist:

$$M_0 + \mathcal{A}M = E - e_0 \sin E$$

also findet sich der Unterschied der excentrischen Anomalien durch die Gleichung:

$$\mathcal{A}M = (E - E_0) - 2 e_0 \sin \frac{1}{2} (E - E_0) \cos \frac{1}{2} (E + E_0). \quad (3)$$

Da aber durch eine vorausgehende Rechnung sowohl E , als auch E_0 mit einem hohen Grade der Annäherung bekannt ist, so kann eine fast directe Bestimmung von $E - E_0$ leicht genug ausgeführt werden. Setzt man nämlich:

$$-\frac{\sin \frac{1}{2} (E - E_0)}{\frac{1}{2} (E - E_0)} = \beta$$

wo β die Bogenverwandlung ist, welche Grösse sich fast ohne Mühe aus den logarithmischen Tafeln ergibt und bei der Kleinheit von $(E - E_0)$ im Allgemeinen wenig von der Einheit verschieden ist, so wird:

$$E - E_0 = \frac{JM}{1 - e_0 \beta \cos \frac{1}{2} (E + E_0)} \quad 4)$$

Nun bestehen die Gleichungen:

$$\begin{aligned} (r) \sin I &= a_0 \cos q_0 \sin E + r_0 \sin e_0 + 2 a_0 \cos q_0 \sin \frac{1}{2} (E - E_0) \cos \frac{1}{2} (E + E_0) \\ (r_0) \cos I &= a_0 (1 - e_0 \cos E) = r_0 \cos e_0 + 2 a_0 \sin \frac{1}{2} (E - E_0) \sin \frac{1}{2} (E + E_0) ; \end{aligned}$$

setzt man also:

$$\begin{aligned} \cos q_0 \cos \frac{1}{2} (E + E_0) &= n' \cos N \\ \sin \frac{1}{2} (E + E_0) &= n' \sin N \\ 2 a_0 n' \sin \frac{1}{2} (E - E_0) &= a_0 \beta n' (E - E_0) \sin i'' = n \end{aligned} \quad 5)$$

so wird:

$$\begin{aligned} \tan (I - e_0) &= \frac{n' \cos (N - e_0)}{1 - \frac{n'}{r_0} \sin (N - e_0)} \\ (r_0) - r_0 &= - \frac{n \sin \frac{1}{2} (N - \frac{1}{2} (I + r_0))}{\cos \frac{1}{2} (I - r_0)} . \end{aligned} \quad 6)$$

Man kann aber $I - e_0$ und $(r_0) - r_0$ auch in anderer Weise ableiten, die mit Vortheil als Controle angewendet werden kann; es ist:

$$\begin{aligned} (r_0) &= a_0 (1 - e_0 \cos E) \\ r_0 &= a_0 (1 - e_0 \cos E_0) \end{aligned}$$

also wird:

$$\begin{aligned} (r_0) - r_0 &= 2 a_0 e_0 \sin \frac{1}{2} (E - E_0) \sin \frac{1}{2} (E + E_0) = \\ &= a_0 e_0 \beta (E - E_0) \sin i'' \sin \frac{1}{2} (E + E_0) \end{aligned} \quad 7a)$$

Um eine andere Form für die Berechnung von $I - e_0$ zu erhalten, erinnere man sich an die bekannten Gleichungen:

$$\begin{aligned} (r) \sin I &= \sin \frac{1}{2} I + \frac{1}{2} a_0 (1 + e_0) \sin \frac{1}{2} E \\ (r_0) \cos I &= \frac{1}{2} a_0 (1 - e_0 \cos E) \end{aligned}$$

multipliziert man die erste Gleichung links mit $\frac{1}{2} a_0 \cos \frac{1}{2} e_0$, rechts mit dem äquivalenten Werthe $\frac{1}{2} a_0 (1 - e_0 \cos \frac{1}{2} E_0)$ und ähnlich die zweite Gleichung beziehungsweise mit $\frac{1}{2} r_0 \sin \frac{1}{2} e_0$ und $\frac{1}{2} a_0 (1 + e_0) \sin \frac{1}{2} E_0$ und subtrahirt, so folgt sofort:

$$\sin \frac{1}{2} (I - e_0) = \frac{a_0 \cos q_0}{1 - e_0 \beta} \sin \frac{1}{2} (E - E_0) . \quad 7b)$$

Der Uebergang von (r) auf r' macht sich sehr einfach, da die Relation besteht:

$$(r) = (r') (1 + r') ;$$

es ist also:

$$r' = r = (r) (r) \quad 8)$$

schliesslich folgt aus 4 pag. 103 unmittelbar:

$$r' - r = 2 r' \frac{\sin^2 \frac{1}{2} b}{\cos b} ;$$

setzt man also:

$$\frac{r + 2 \sin^2 \frac{1}{2} b}{\cos b} = \gamma \quad (9)$$

so wird:

$$J(r) = r - r_0 = (r) - r_0 + (r) \gamma \quad (10)$$

wohei $(r) - r_0$ nach 6) oder 7a) zu berechnen sein wird.

Um $\left(\frac{dr}{dt} - \frac{dr_0}{dt}\right)$ zu erhalten, beachte man, dass:

$$r^2 = (r)^2 + z^2$$

ist, woraus durch Differentiation nach der Zeit:

$$r \frac{dr}{dt} = (r) \frac{d(r)}{dt} + z \frac{dz}{dt}$$

folgt, da nun:

$$r \cos b = (r)$$

ist, so kann man schreiben:

$$\frac{dr}{dt} \sec b = (r) \frac{d(r)}{dt} + \tan b \frac{dz}{dt} \quad (11)$$

aus der Gleichung 7) (pag. 146) folgt:

$$\frac{d(r)}{dt} = (r) \frac{dr}{dt} + \frac{k e_0 \sin I}{(1+r) \rho_0};$$

man hat also die Gleichungen:

$$\begin{aligned} \frac{dr}{dt} \sec b &= (r) \frac{dr}{dt} + \frac{k e_0 \sin I}{(1+r) \rho_0} + \tan b \frac{dz}{dt} \\ \frac{dr_0}{dt} \sec b &= \frac{k e_0 \sin e_0}{\rho_0} \sec b = \frac{k e_0 \sin e_0}{\rho_0} + \frac{2 \sin^2 \frac{1}{2} b}{\cos b} \frac{k e_0 \sin e_0}{\rho_0}, \end{aligned}$$

und durch Subtraction folgt hieraus:

$$\begin{aligned} \left(\frac{dr}{dt} - \frac{dr_0}{dt}\right) \sec b &= (r) \frac{dr}{dt} + \frac{k e_0}{\rho_0} \left\{ \frac{2 \sin \frac{1}{2} (I - e_0) \cos \frac{1}{2} (I + e_0)}{1+r} - \right. \\ &\quad \left. - \sin e_0 \left(\frac{r}{1+r} + \frac{2 \sin^2 \frac{1}{2} b}{\cos b} \right) \right\} + \tan b \frac{dz}{dt}; \end{aligned}$$

führt man hier nach Gleichung 9) den Werth von γ ein, so resultirt endlich:

$$\begin{aligned} J\left(\frac{dr}{dt}\right) = \frac{dr}{dt} - \frac{dr_0}{dt} &= \frac{\cos b}{1+r} (r) \frac{dr}{dt} + \frac{k e_0}{\rho_0} \left\{ 2 \sin \frac{1}{2} (I - e_0) \cos \frac{1}{2} (I + e_0) - \right. \\ &\quad \left. + \frac{z}{(r)} \frac{dz}{dt} \right\}. \quad (12) \end{aligned}$$

Die Bestimmung von $J(1/\rho)$ kann leicht mit der Bestimmung des Knotens K_0 , und der Neigung J der gestörten Bahn in der ungestörten Bahnebene verbunden werden.

Die Coordinaten und Geschwindigkeiten sind dargestellt durch:

$$\begin{aligned} x &= (r) \cos l \\ y &= (r) \sin l \\ z &= z \end{aligned}$$

$$\begin{aligned}\frac{dx}{dt} &= -(r) \sin l \frac{dl}{dt} + \cos l \frac{d(r)}{dt} \\ \frac{dy}{dt} &= -(r) \cos l \frac{dl}{dt} + \sin l \frac{d(r)}{dt} \\ \frac{dz}{dt} &= \frac{dz}{dt}.\end{aligned}$$

Man erhält also:

$$\left. \begin{aligned}k \vee p \cos J &= x \frac{dy}{dt} - y \frac{dx}{dt} = (r)^2 \frac{dl}{dt} \\ k \vee p \sin K_0 \sin J &= y \frac{dz}{dt} - z \frac{dy}{dt} = (r) \sin l \frac{dz}{dt} - z (r) \cos l \frac{dl}{dt} - z \sin l \frac{d(r)}{dt} \\ k \vee p \cos K_0 \sin J &= x \frac{dz}{dt} - z \frac{dx}{dt} = (r) \cos l \frac{dz}{dt} + z (r) \sin l \frac{dl}{dt} - z \cos l \frac{d(r)}{dt}.\end{aligned}\right\} \quad (13)$$

Zählt man alle Längen vom Punkte l aus und beachtet, dass nach Gleichung I) pag. 141:

$$(r)^2 \frac{dl}{dt} = k \vee \bar{p}_0 + \int \Sigma U dt,$$

ist, so erhält man:

$$\begin{aligned}k \vee \bar{p} \cos J &= k \vee p_0 + \int \Sigma U dt \\ k \vee p \sin (K_0 - l) \sin J &= - \frac{z}{(r)} \left\{ k \vee p_0 + \int \Sigma U dt \right\} \\ k \vee p \cos (K_0 - l) \sin J &= (r) \frac{dz}{dt} - z \frac{d(r)}{dt}.\end{aligned}$$

Beachtet man nun (vergl. Gleichung 7) pag. 146):

$$\frac{d(r)}{dt} = (r) \left\{ \frac{dr}{dt} + \frac{k c_0 \sin V}{(1+r) \vee p_0} \right\} \quad (14)$$

so findet sich:

$$\left. \begin{aligned}\sin l - K_0 \tan J &= \frac{z}{(r)} \\ \cos (l - K_0) \tan J &= \frac{(r) \frac{dz}{dt} - z \frac{d(r)}{dt}}{k \vee p_0 + \int \Sigma U dt}\end{aligned}\right\} \quad (15)$$

womit K_0 und J bestimmt erscheinen; dabei wird l erhalten durch die Gleichung:

$$l = V + \omega_0 + J \omega. \quad (16)$$

Aus

$$k \vee p = \left(k \vee \bar{p}_0 + \int \Sigma U dt \right) \sec J$$

folgt weiter:

$$J (\vee p - \vee p - \vee \bar{p}_0) = \left\{ \frac{1}{k} \int \Sigma U dt + 2 \vee \bar{p}_0 \sin^2 \frac{1}{2} J \right\} \sec J \quad (17)$$

und

$$J \vee p = p - p_0 = \left\{ 2 \vee p_0 + J \vee \bar{p}_0 \right\} J \vee p. \quad (18)$$

Es erscheint angemessen, gleich hier den Uebergang von K_0 und J auf $\omega - \omega_0$ und $i - i_0$ aufzuweisen, wobei sich die Bestimmung von $\omega - \omega_0$ unter Einem durchführen lässt.

Nennt man das Argument der Breite des Planeten in der gestörten Bahn in Bezug auf die ungestörte (u) , so ist:

$$\tan(u) = \tan(l - K_0) \sec J.$$

Erinnert man sich, dass Ausdrücke von der Form:

$$\tan \psi = n \tan \varphi$$

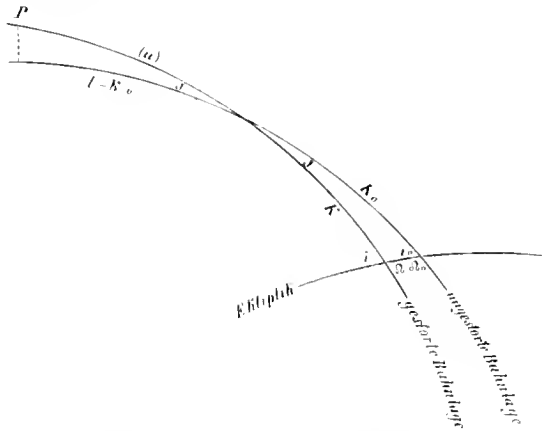
sich in die bekannte Reihe (vergl. I pag. 28):

$$\psi - \varphi = \frac{n-1}{n+1} \sin 2\varphi + \frac{1}{2} \left(\frac{n-1}{n+1} \right)^2 \sin 4\varphi + \dots + \frac{1}{m} \left(\frac{n-1}{n+1} \right)^m \sin 2m\varphi + \dots$$

aufösen lassen, so wird man mit Rücksicht auf die Kleinheit von J zweckmässig erhalten:

$$J(u) = (u) - (l - K_0) = \frac{\tan^2 \frac{1}{2} J}{\sin 1''} \sin 2(l - K_0) + \frac{1}{2} \frac{(\tan^2 \frac{1}{2} J)^2}{\sin 1''^2} \sin 4(l - K_0) + \dots \quad (9)$$

Um nun die Aenderung des Knotens, der Neigung und des Arguments der Breite in Bezug auf die Ekliptik zu finden, wird die Betrachtung des bezüglichen sphärischen Dreieckes leicht die verlangten Relationen finden lassen. Die Durchschnitte der in Betracht kommenden Ebenen mit der Himmelskugel seien durch Kreise dargestellt, bei P befinde sich der Planet zur Zeit der gewählten neuen Osculationsepoche, die punktirte Linie stelle das sphärische Perpendikel vom Punkte P auf den die ungestörte Bahnlage darstellendgrössten Kreis vor; die Bedeutung der Seiten und Winkel ist unmittelbar in die Figur eingesetzt und bedarf daher keiner näheren Erläuterung.



Setzt man also als Seiten:

$$a = K_0$$

$$b = K$$

$$c = \omega - \omega_0$$

als Winkel:

$$A = 180^\circ - i$$

$$B = i_0$$

$$C = J$$

so geben die Neper'schen Gleichungen:

$$\tan \frac{b+c}{2} = \tan \frac{1}{2} a \frac{\cos \frac{1}{2} B - C}{\cos \frac{1}{2} B + C}$$

$$\tan \frac{b-c}{2} = \tan \frac{1}{2} a \frac{\sin \frac{1}{2} B - C}{\sin \frac{1}{2} B + C}$$

sofort:

$$\left. \begin{aligned} \tan \frac{1}{2} \{ K + (\varrho - \varrho_0) \} &= \frac{\cos \frac{1}{2} (i_0 - J)}{\cos \frac{1}{2} (i_0 + J)} \tan \frac{1}{2} K_0 \\ \tan \frac{1}{2} \{ K - (\varrho - \varrho_0) \} &= \frac{\sin \frac{1}{2} (i_0 - J)}{\sin \frac{1}{2} (i_0 + J)} \tan \frac{1}{2} K_0 \end{aligned} \right\} \quad 20)$$

welche Formeln man zur Bestimmung von K und $(\varrho - \varrho_0)$ benützen kann. Ist aber i_0 nicht gar zu klein (nur wenige Bogenminuten), so wird man mit Vortheil von den folgenden Reihenentwicklungen Gebrauch machen, die man wohl stets bei den in der Regel stattfindenden Verhältnissen wird benützen können. Wendet man die oben in Erinnerung gebrachte Reihenentwicklung auf die Gleichung 20) an, so findet sich leicht:

$$\left. \begin{aligned} \frac{1}{2} \{ K + (\varrho - \varrho_0) \} - \frac{1}{2} K_0 &= \frac{\tan \frac{1}{2} J \tan \frac{1}{2} i_0}{\sin 1''} \sin K_0 + \frac{1}{2} \frac{(\tan \frac{1}{2} J \tan \frac{1}{2} i_0)^2}{\sin 1''} \sin 2 K_0 + \\ &\quad + \frac{1}{3} \frac{(\tan \frac{1}{2} J \tan \frac{1}{2} i_0)^3}{\sin 1''} \sin 3 K_0 + \dots = I \\ \frac{1}{2} \{ K - (\varrho - \varrho_0) \} - \frac{1}{2} K_0 &= - \frac{\tan \frac{1}{2} J \cotg \frac{1}{2} i_0}{\sin 1''} \sin K_0 + \frac{1}{2} \frac{(\tan \frac{1}{2} J \cotg \frac{1}{2} i_0)^2}{\sin 1''} \sin 2 K_0 - \\ &\quad - \frac{1}{3} \frac{(\tan \frac{1}{2} J \cotg \frac{1}{2} i_0)^3}{\sin 1''} \sin 3 K_0 + \dots = II \end{aligned} \right\} \quad 21)$$

und man hat:

$$\left. \begin{aligned} J(K) = K - K_0 &= I + II \\ J(\varrho) = \varrho - \varrho_0 &= I - II \end{aligned} \right\} \quad 22)$$

Weiter ist in der ungestörten Bahn:

$$\omega_0 = l_0 - v_0$$

dagegen der Abstand des Perihels vom Knoten in der gestörten Bahn:

$$\omega = (u + K - v = (l - K_0) + J(u) + K - v;$$

die Subtraction der letzteren Gleichungen ergibt:

$$\omega - \omega_0 = J(K) + J(u) + (l - l_0) - (v - v_0);$$

man hat aber zu beachten, dass ist:

$$l_0 = v_0 + \omega_0$$

$$l = l_0 + \omega_0 + J\omega$$

dennach ist:

$$l - l_0 = (l_0 - v_0) + J\omega$$

und man wird daher haben:

$$\left. \begin{aligned} \omega - \omega_0 &= J(K) + J(u) + J\omega + \{ (l_0 - v_0) - (v - v_0) \} \\ \pi - \pi_0 &= (\omega - \omega_0) + (\varrho - \varrho_0) \end{aligned} \right\} \quad 23)$$

wobei die Bestimmung von $v - v_0$ noch nöthig ist, die weiter unten vorgenommen wird.

Aus der Neper'schen Gleichung:

$$\tan \frac{1}{2} (A + B) = \frac{\cos \frac{1}{2} (a - b)}{\cos \frac{1}{2} (a + b)} \cotg \frac{1}{2} C$$

folgt sofort:

$$\tan \frac{1}{2} (i - i_0) = \frac{\cos \frac{1}{2} K_0 + \frac{1}{2} J(K)}{\cos \frac{1}{2} J(K)} \tan \frac{1}{2} J \quad 24)$$

womit $i - i_0$ bestimmt erscheint.

Zur Bestimmung von $(r-r_0)$, $(e-e_0)$, $(e^2-e_0^2)$, $(q-q_0)$, $(u-u_0)$ und $(M-M_0)$ wird man dieselben Formeln verwenden können, welche früher für den Uebergang auf osculirende Elemente bei rechtwinkligen Coordinaten aufgestellt wurden (pag. 102, 103), so dass hiermit die Entwicklung der Formeln für die erste Form des Uebergangs erledigt ist.

Will man aber unmittelbar die gestörten Elemente erhalten, so lassen sich auch hierfür recht bequeme Formeln angeben, deren Berechnung mit Vortheil dazu benützt werden kann, um die aus den eben entwickelten Formeln erhaltenen Resultate zu controliren.

Zur Berechnung der gestörten Bahnlage gegen die ungestörte Bahn wird man die Formeln 15 (pag. 166) benützen und weiter rechnen:

$$\left. \begin{aligned} \bar{p} &= k \bar{p}_0 + \int \Sigma U dt \sec J \\ l &= l' + \omega_0 + J \omega \\ \text{tang } u &= \text{tang } l - K_0 \sec J, \end{aligned} \right\} \quad 25$$

hierauf wird man die Formeln 20 und 24 (pag. 168) heranziehen, um daraus ϱ , i und K zu erhalten.

Die Excentricität und die wahre Anomalie resultiren aus (vergl. pag. 89):

$$\left. \begin{aligned} \sin q \sin r &= \frac{1}{h} p \frac{dr}{dt} \\ \sin q \cos r &= \frac{p}{r} - 1 \end{aligned} \right\} \quad 26)$$

wobei $\frac{dr}{dt}$ zu berechnen sein wird aus (pag. 165):

$$\frac{dr}{dt} = \frac{r}{r'} \frac{dr}{dt} + \frac{z}{r} \frac{dz}{dt}; \quad 27)$$

die Grösse $\frac{dr}{dt}$ fand schon bei Berechnung der Formeln 15 ihre Verwendung und ist nach Formel 14 (pag. 166) leicht zu erhalten; ferner ist nach pag. 168:

$$\left. \begin{aligned} \omega &= u + K - v \\ l &= \omega + \varrho, \end{aligned} \right\} \quad 28)$$

Weiter ist:

$$\left. \begin{aligned} \text{tang } \frac{1}{2} E &= \text{tang } \frac{1}{2} v \cotg \left(45 + \frac{1}{2} q \right) \\ M &= E - \frac{\sin q}{\sin i'} \sin E \end{aligned} \right\} \quad 29)$$

und:

$$\left. \begin{aligned} u &= - \frac{p}{\cos^2 q} \\ u &= \frac{k''}{a^{\frac{3}{2}}} \end{aligned} \right\} \quad 30)$$

Ich werde nun die für die Rechnung nöthigen Formeln hier zusammentragen. Es wird hierbei vorausgesetzt, dass für die neue Osculationsepoche aus der Störungsrechnung entlehnt sind die Werthe von:

$$JM, J\omega, r, \frac{dr}{dt}, z, \frac{dz}{dt} \text{ und } \int \Sigma U dt.$$

Man wird hierbei den Umstand zu berücksichtigen haben, dass für t als Einheit der Sonnentag gilt, wenn man für die Constante des Sonnensystems k den im ersten Bande pag. 45 angeführten Werth benützt. Um aber aus den Summationstabellen mit möglichster Bequemlichkeit die Integralwerthe entnehmen zu können, wird es sich empfehlen, als Zeiteinheit das bei der Störungsrechnung benützte Zeitintervall w zu wählen, man wird demnach in den folgenden Formeln überall dort, wo die Grösse k erscheint, sofort (wk) annehmen und kann dann w , soweit es bei den einfachen und doppelten Integralen in Betracht kommt, der Einheit gleich setzen.

Zunächst bestimmt man:

$$M_0 = M_{00} + \mu_0 t, \quad \text{I)}$$

wo M_{00} die mittlere Anomalie der Ausgangselemente ist, t die Zeit (in Einheiten des mittleren Sonnentages) die zwischen der Epoche dieser Elemente und der gewählten neuen Osculationsepoche verflossen ist. Bezeichnet man mit E_{00} die zur mittleren Anomalie M_0 , dagegen mit E_0 die zu $M_0 + JM$ gehörende excentrische Anomalie, so hat man zu rechnen:

$$\left. \begin{aligned} M_0 &= E_{00} - e_0'' \sin E_{00}, & M_0 + JM &= E_0 - e_0'' \sin E_0 \\ r_0 \sin e_0 &= a_0 \cos q_0 \sin E_{00}, & (r) \sin I &= a_0 \cos q_0 \sin E_0 \\ r_0 \cos e_0 &= a_0 \cos E_{00} - e_0', & (r) \cos I &= a_0 \cos E_0 - e_0 \\ r &= (r_0) (1 + v) \\ r &= (r) \sec b, \quad \operatorname{tg} b = \frac{z}{r} \\ \frac{d(r)}{dt} &= (r) \frac{dr}{dt} + \frac{(wk - e_0 \sin I)}{(1 + v)} \frac{1}{p_0} \end{aligned} \right\} \quad \text{II)}$$

Hierauf berechnet man:

$$\left. \begin{aligned} \sin I &= K_0 \operatorname{tg} J = \frac{z}{r} \\ \cos I &= K_0 \operatorname{tg} J = \frac{(r) \frac{dz}{dt} - z \frac{dr}{dt}}{(wk - e_0 \sin I) + \int \Sigma U dt} \\ I &= I' + \omega_0 + J\omega \\ J(1 + \bar{p}) &= \left\{ \frac{1}{wk} \int \Sigma U dt + 2(1 + \bar{p}_0) \sin^2 \frac{1}{2} J \right\} \sec J \\ J(p) &= \left\{ 2(1 + \bar{p}_0) + J(1 + \bar{p}) \right\} J(1 + p) \\ J(u) &= \frac{\operatorname{tg}^2 \frac{1}{2} J}{\sin 1''} \sin 2 I - K_0 + \frac{1}{2} \frac{\operatorname{tg}^2 \frac{1}{2} J^2}{\sin 1''} \sin 4 I - K_0 + \dots \end{aligned} \right\} \quad \text{III)}$$

Dann ist:

$$\left. \begin{aligned} \operatorname{tg} \frac{1}{2} J \operatorname{tg} \frac{1}{2} i_0 &= a \\ \operatorname{tg} \frac{1}{2} J \cotg \frac{1}{2} i_0 &= b \\ \text{I} &= - \frac{a}{\sin 1''} \sin K_0 + \frac{a^2}{2 \sin 1''} \sin 2 K_0 + \frac{a^3}{3 \sin 1''} \sin 3 K_0 + \dots \\ \text{II} &= - \frac{b}{\sin 1''} \sin K_0 + \frac{b^2}{2 \sin 1''} \sin 2 K_0 - \frac{b^3}{3 \sin 1''} \sin 3 K_0 + \dots \end{aligned} \right\} \quad \text{IV)}$$

$$\left. \begin{aligned} J(K) &= 1 + H \\ \varrho - \varrho_0 &= 1 - H \\ \operatorname{tg} \frac{1}{2} (i - i_0) &= \frac{\cos \frac{1}{2} (K_0 + \frac{1}{2} J(K))}{\cos \frac{1}{2} J(K)} \operatorname{tg} \frac{1}{2} J \end{aligned} \right\}$$

Hierauf schreitet man zur Bestimmung von $J(r)$ und $J\left(\frac{dr}{dt}\right)$. Bezeichnet man mit β die zu $\sin \frac{1}{2} (E - E_0)$ gehörige Bogenverwandlung also:

$$\log \beta = N - \log \sin i''$$

wobei N die bekannte Hilfsgrösse zur Berechnung des Logarithmus des Sinus der kleinen Bogen darstellt, so wird sein:

$$\left. \begin{aligned} E_0 - E_{00} &= \frac{JM}{1 - e_0 \beta \cos \frac{1}{2} (E_0 + E_{00})} \\ n' \cos N &= \cos q_0 \cos \frac{1}{2} (E_0 + E_{00}) \\ n' \sin N &= \sin \frac{1}{2} (E_0 + E_{00}) \\ n &= n' a_0 \beta (E_0 - E_{00}) \sin i'' \\ \operatorname{tg} (I' - e_0) &= \frac{n \cos (N - e_0)}{r_0 - n \sin (N - e_0)} \\ (r_i) - r_0 &= - \frac{n \sin \frac{1}{2} (N - \frac{1}{2} (I' + e_0))}{\cos \frac{1}{2} (I' - e_0)} \end{aligned} \right\} \quad \text{V)}$$

Zur Controle rechnet man:

$$\left. \begin{aligned} (r_i) - r_0 &= a_0 e_0 \beta (E_0 - E_{00}) \sin i'' \sin \frac{1}{2} (E_0 + E_{00}) \\ \sin \frac{1}{2} (I' - e_0) &= \frac{a_0 \cos q_0 \beta}{2 \frac{1}{2} (r_0 + r)} (E_0 - E_{00}) \sin i'' \end{aligned} \right\} \quad \text{VI)}$$

Man findet dann:

$$\left. \begin{aligned} \gamma &= \frac{r + 2 \sin^2 \frac{1}{2} b}{\cos b} \\ J(r) &= r - r_0 = \{ (r_i) - r_0 \} + (r - \gamma) \\ J\left(\frac{dr}{dt}\right) &= \frac{\cos b}{1 + r} \left[r \frac{dr}{dt} + \frac{wk e_0}{1 + p_0} \{ 2 \sin \frac{1}{2} (I' - e_0) \cos \frac{1}{2} (I' + e_0) - \gamma \sin e_0 \} + \frac{z}{r} \frac{dz}{dt} \right] \end{aligned} \right\} \quad \text{VII)}$$

Zur Bestimmung der Excentricität und der wahren Anomalie hat man:

$$\left. \begin{aligned} \frac{dr_0}{dt} &= \frac{wk}{1 + p_0} e_0 \sin e_0 \\ g \sin G &= \frac{1}{wk} \left\{ \frac{dr_0}{dt} J(1 + p) + 1 + p J\left(\frac{dr}{dt}\right) \right\} \\ g \cos G &= \frac{1}{r} \left\{ J(1 + p) - \frac{p_0}{r_0} J(r) \right\} \\ \operatorname{tg} (e - e_0) &= \frac{g \sin (G - e_0)}{e_0 + g \cos (G - e_0)} \\ J(e) = e - e_0 &= \frac{g \cos \frac{1}{2} (G - \frac{1}{2} (e + e_0))}{\cos \frac{1}{2} (e - e_0)} \\ \sin q &= e_0 + J(e) \\ J(e^2) &= \{ 2 e_0 + J(e) \} J(e) \\ \sin \frac{1}{2} (q - q_0) &= \frac{J(e)}{2 \cos \frac{1}{2} (q + q_0)} \end{aligned} \right\} \quad \text{VIII)}$$

Um den Unterschied der mittleren Anomalien anzugeben, hat man:

$$\left. \begin{aligned}
 \omega &= 2 \sin \frac{1}{2} (r - r_0) \cos \frac{1}{2} (r + r_0) \cos q = 2 \sin \frac{1}{2} (q - q_0) \sin \frac{1}{2} (q + q_0) \sin e_0 \\
 \gamma &= I(e) = 2 \sin \frac{1}{2} (r - r_0) \sin \frac{1}{2} (r + r_0) \\
 \dot{\lambda} &= -\frac{r}{p} g \cos G \\
 g' \sin G' &= (\dot{\lambda} \sin E_{00} + \sigma) \frac{r}{p} \\
 g' \cos G' &= (\dot{\lambda} \cos E_{00} + \gamma) \frac{r}{p} \\
 \operatorname{tang} (E - E_{00}) &= \frac{g' \sin (G' - E_{00})}{1 + g' \cos (G' - E_{00})} \\
 M - M_0 &= (E - E_{00}) - \frac{2e_0}{\sin 4''} \sin \frac{1}{2} (E - E_{00}) \cos \frac{1}{2} (E + E_{00}) - \frac{J e_0}{\sin 4''} \sin E
 \end{aligned} \right\} \text{IX)}$$

Weiter ist:

$$\left. \begin{aligned}
 \omega - \omega_0 &= I(K + J u) + J \omega + (r - r_0) - (r - r_0) \\
 \lambda - \lambda_0 &= (\omega - \omega_0) + (\varrho - \varrho_0)
 \end{aligned} \right\} \text{X)}$$

Zur Bestimmung des letzten Elementes μ hat man:

$$\left. \begin{aligned}
 q &= \frac{J p + a_0 J e^2}{2 \frac{1}{2} p_0 - a_0 J e^2} \\
 q \text{ als Argument für die } f\text{-Tafel (Tafel XI)} \\
 \mu - \mu_0 &= -f q u_0
 \end{aligned} \right\} \text{XI)}$$

Zur Controle der Richtigkeit der Rechnung wird man die Elemente durch die directe Rechnung bestimmen und haben indem man vorerst die Formelsysteme I und II pag. 170 wie oben erledigt:

$$\left. \begin{aligned}
 \sin (l - K_0) \operatorname{tg} J &= \frac{z}{r_0} \\
 \cos (l - K_0) \operatorname{tg} J &= \frac{r \frac{dz}{dt} - z \frac{dr}{dt}}{w k \sqrt{1 - p_0} + \int \Sigma U dt} \\
 l &= l + \omega_0 + J \omega \\
 w k \sqrt{1 - p} &= \left\{ w k \sqrt{1 - p_0} + \int \Sigma U dt \right\} \sec J \\
 \operatorname{tg} u &= \operatorname{tg} (l - K_0) \sec J
 \end{aligned} \right\} \text{III)}$$

Weiter ist:

$$\left. \begin{aligned}
 \operatorname{tg} \frac{1}{2} \{ K + (\varrho - \varrho_0) \} &= \frac{\cos \frac{1}{2} (i_0 - J)}{\cos \frac{1}{2} (i_0 + J)} \operatorname{tg} \frac{1}{2} K_0 \\
 \operatorname{tg} \frac{1}{2} \{ K - (\varrho - \varrho_0) \} &= \frac{\sin \frac{1}{2} (i_0 - J)}{\sin \frac{1}{2} (i_0 + J)} \operatorname{tg} \frac{1}{2} K_0 \\
 \operatorname{tg} \frac{1}{2} (i - i_0) &= \frac{\cos \frac{1}{2} K_0 + K}{\cos \frac{1}{2} K - K_0} \operatorname{tg} \frac{1}{2} J
 \end{aligned} \right\} \text{IV)}$$

Dann ist zu rechnen:

$$\left. \begin{aligned}
 \frac{dr}{dt} &= \frac{r}{r} \frac{dr}{dt} + \frac{z}{r} \frac{dz}{dt} \\
 \sin q \sin e &= \frac{1}{w k} \frac{p}{r} \frac{dr}{dt} \\
 \sin q \cos e &= \frac{p}{r} - 1
 \end{aligned} \right\} \text{V)}$$

$$\left. \begin{aligned} \omega &= u + K - v \\ r &= \omega + Q. \end{aligned} \right\}$$

Schliesslich ist:

$$\left. \begin{aligned} \tan \tfrac{1}{2} E &= \tan \tfrac{1}{2} v \cot g 45^{\circ} + \tfrac{1}{2} q \\ M &= E - \frac{\sin q}{\sin i''} \sin E \\ a &= \frac{p}{\cos^2 q} \\ \mu &= \frac{k''}{a^{\frac{3}{2}}}. \end{aligned} \right\} \quad \text{VI)}$$

§ 5. Rechnungsbeispiel zu Hansen-Tietjen's Methode.

Es sollen, um die voranstehenden Entwicklungen durch ein Beispiel zu erläutern, die Störungen ermittelt werden, die der Planet ⁶² Erato durch die Anziehung der Planeten Jupiter und Saturn erleidet, und zwar innerhalb desselben Intervalles und mit Annahme derselben Elemente, die zur Ermittlung der Störungen nach den rechtwinkligen Coordinaten gedient haben, um Anhaltspunkte zur Vergleichung der Resultate, die nach verschiedenen Methoden erhalten wurden, zu gewinnen. Indem ich betreffs der allgemeinen Bemerkungen, über die Wahl der Intervalle des fixen Aequinoctiums etc. auf den § 5 der Encke'schen Methode pag. 105 verweise, setze ich nochmals die der Störungsrechnung zu Grunde gelegten Elemente hier an:

⁶² Erato

Epoche und Osculation 187 $\frac{1}{2}$ Decbr. 26.0 mittlere Berliner Zeit.

mittl. Aeq. 1870.0

$$L_0 = 219^{\circ} 8' 6''.8$$

$$M_0 = 180 40 48.0$$

$$A_0 = 38 27 17.9$$

$$\lambda_0 = 125 42 39.7$$

$$i_0 = 2 12 23.9$$

$$q_0 = 9 59 14.9$$

$$\mu_0 = 640'' 89605$$

$$\log a_0 = 0.4954793.$$

Auf den unteren Rand eines Zettels schreibt man vorerst jene constanten Logarithmen hin, die im Verlaufe der Störungsrechnung auftreten; hierbei hat man zu beachten, dass:

$$\begin{aligned} e_0'' &= \frac{\sin q_0}{\sin i''} \\ e_0 &= \sin q_0 \\ p_0 &= a_0 \cos^2 q_0 \end{aligned}$$

ist. Mit Rücksicht auf die voranstehenden Elemente und Massennahmen (vergl. Tafel XII der störenden Planeten hat man:

$$\begin{array}{ll} \log e_0'' = 4.553\ 556 & \log \frac{3}{2} (w^2 k^2) 10^7 = 6.851 \\ \log e_0 = 9.239\ 131 & \log 2 k 10^7 \sqrt{p_0} = 7.379\ 778 \\ \log a_0 \cos q_0 = 0.488\ 847 & \log 2 k 1 \sqrt{p_0} = 0.379\ 778 \\ \log a_0 = 0.495\ 479 & \log (w^2 k^2) 10^7 = 6.675\ 283 \\ \omega = 272^{\circ} 44' 38''.2 & \log 12 = 1.079\ 181 \\ \log (w^2 k^2) m_{\text{g}} = 3.654\ 972 \quad w = 40' & \log \mu_0 = 2.806\ 788 \\ \log (w^2 k^2) m_{\text{h}} = 3.13102 & \log 10^{-7} : \sin 1'' = 8.314\ 425 \end{array}$$

wobei die Zahlen so angesetzt sind, dass die in Einheiten des Radius verstandenen Störungsgrössen in Einheiten der siebenten Decimale, die im Bogenmaass ansetzen in Einheiten der Bogensekunde erscheinen.

Hieran schliesst sich die Rechnung der Grössen:

$$\begin{aligned} M &= M_0 + \mu_0 t + JM \\ M &= E - e_0'' \sin E \\ (r) \sin I^* &= a_0 \cos q_0 \sin E \\ (r) \cos I^* &= a_0 (\cos E - e_0 \\ I &= I^* + \omega_0 + J\omega \\ r &= (r)(1 + r' \\ s &= 10^7 (w^2 k^2) : r^3 \end{aligned}$$

Bei den zwei der Osculationsepoche vorangehenden und folgenden Intervallen kann man, wenn sonst keine Näherungen bekannt sind, die Grössen JM , $J\omega$ und r der Null gleich setzen; man übergeht dadurch nur Glieder zweiter Ordnung in Bezug auf die Störungen, die bei der grossen Nähe der Osculationsepoche wohl stets unmerklich sein werden. Hat aber die Rechnung bereits die Anfangsintervalle überschritten, so bildet man, je nachdem die Rechnung der Zeit nach fortschreitet oder nach rückwärts fortgesetzt wird, die Grössen JM und $J\omega$ mit Benützung der diesbezüglichen Integraltafeln (vergl. pag. 68 Formel 2) und 3) durch die Formeln:

bei Rechnung nach Vorwärts:

$$\int_a^{a+[i+1]w} f(x) dx = f(a + [i + \frac{1}{2}]w) + \frac{1}{2} f(a + iw) + \frac{1}{24} \left[10 f''(a + [i - \frac{1}{2}]w) + \right. \\ \left. + 9 f'''(a + [i - 1]w) + 8 f^{(iv)}(a + [i - \frac{3}{2}]w) + \dots \right]$$

und bei Durchführung der Rechnung nach rückwärts:

$$\int_a^{a+[i-1]w} f(x) dx = f(a + [i - \frac{1}{2}]w) - \frac{1}{2} f(a + iw) + \frac{1}{24} \left[10 f''(a + [i + \frac{1}{2}]w) - \right. \\ \left. - 9 f'''(a + [i + 1]w) + 8 f^{(iv)}(a + [i + \frac{3}{2}]w) - \dots \right]$$

Für r und die später erforderliche Grösse z hat man Doppelintegrale nöthig. Man bildet also, je nachdem die Rechnung mit der Zeit vor- oder rückschreitet,

nach vorwärts:

$$f(a + [i + 1]w) = f(a + iw) + f'(a + [i - \frac{1}{2}]w) + f''(a + [i - 1]w) + \\ + f'''(a + [i - \frac{3}{2}]w) + \dots$$

nach rückwärts:

$$f(a + [i - 1]w) = f(a + iw) - f'(a + [i + \frac{1}{2}]w) + f''(a + [i + 1]w) - \\ - f'''(a + [i + \frac{3}{2}]w) + \dots$$

und hat damit die folgende für diese Zwecke genügende Annäherung:

$$\iint_{a+iw}^{a+iw} f(x) dx^2 = \frac{1}{12} f(a + [i \pm 1]w) + \frac{1}{12} f(a + [i \pm 1]w) \dots$$

Nun kann an die Berechnung der störenden Kräfte geschritten werden; da das Berliner Jahrbuch für das hier in Betracht kommende Intervall der Störungsrechnung die auf pag. 158 ff. erwähnten erleichternden Hilfsmittel noch nicht gibt, so wird es am zweckmässigsten sein, unmittelbar aus den heliocentrischen auf das fixe mittlere Aequinoctium bezogenen Längen λ_0' und Breiten β_0' der störenden Planeten (über die Ermittlung dieser Angaben vergl. pag. 82, 83, 150 und deren Radienvectoren, die nöthigen Grössen nach den Formeln 2 und 3 pag. 157 zu berechnen.

Man hat dann:

$$q \sin Q = \sin \beta_0' \\ q \cos Q = \cos \beta_0' \sin (\lambda_0' - \varpi_0) \\ \cos B_1 \cos L_1 = \cos \beta_0' \cos (\lambda_0' - \varpi_0) \\ \cos B_1 \sin L_1 = q \cos (Q - i_0) \\ \sin B_1 = q \sin (Q - i_0) \dots$$

Da aber die in diesem Paragraphen enthaltene Zusammenstellung der Formeln bei der practischen Verwendung als Leitfaden dienen soll, so muss hier auch die zweite Formelgruppe aufgeführt werden, die auf pag. 150 und 100 erläutert ist, und die allenfalls ohne erheblichen Irrthum angewendet werden kann, wenn man genähert richtige Annahmen über die Bahnlage des störenden Planeten macht und B_0 der Null gleich setzt. Man hat so vorerst zu rechnen:

$$\sin \frac{1}{2} J \sin \frac{1}{2} (\Phi + \Phi') = \sin \frac{1}{2} (\varpi' - \varpi) \sin \frac{1}{2} (\varrho' + i) \\ \sin \frac{1}{2} J \cos \frac{1}{2} (\Phi + \Phi') = \cos \frac{1}{2} (\varpi' - \varpi) \sin \frac{1}{2} (\varrho' - i) \\ \cos \frac{1}{2} J \sin \frac{1}{2} (\Phi - \Phi') = \sin \frac{1}{2} (\varpi' - \varpi) \cos \frac{1}{2} (\varrho' + i) \\ \cos \frac{1}{2} J \cos \frac{1}{2} (\Phi - \Phi') = \cos \frac{1}{2} (\varpi' - \varpi) \cos \frac{1}{2} (\varrho' - i) \dots$$

welche Rechnung zu den Vorbereitungsrechnungen gezählt werden kann.

Ist nun L die Länge in der Bahn bezogen auf das fixe Aequinoctium, B_0 die Breite über der durch ϖ' und ϱ' bestimmten Bahnebene, so ist zu rechnen:

$$u' = L - (\varpi' + \Phi') \\ \cos B_1 \cos u = \cos u' \\ \cos B_1 \sin u = \sin u' \cos J - B_0 \sin i'' \sin J \\ \sin B_1 = \sin u' \sin J + B_0 \sin i'' \cos J \\ L_1 = u + \Phi \dots$$

wodurch B_1 und L_1 bestimmt erscheinen.

Nun gestaltet sich die Rechnung für beide Methoden gleichmässig in folgender Weise:

$$\begin{aligned}\xi_1 &= r_1 \cos B_1 \cos (L_1 - l) \\ \eta_1 &= r_1 \cos B_1 \sin (L_1 - l) \\ \zeta_1 &= r_1 \sin B_1 \\ q \cos \vartheta \cos \Theta &= \xi_1 - (r) \\ q \cos \vartheta \sin \Theta &= \eta_1 \\ q \sin \vartheta &= \zeta_1 - z\end{aligned}$$

$$K = \frac{1}{q^3} - \frac{1}{r_1^3}$$

$$U = (n^2 k^2 / m_1 10^7) K t_{11} (r)$$

$$R = (n^2 k^2 / m_1 10^7) K \frac{\xi_1}{r}$$

$$W_1 = (n^2 k^2 / m_1 10^7) K \zeta_1$$

$$w_1 = (n^2 k^2 / m_1 10^7) \frac{1}{q^3}.$$

Die Werthe $(n^2 k^2 / m_1 10^7)$ sind in der Tafel XII für die verschiedenen Planeten aufgenommen. Die Rechnung nach den voranstehenden Formeln ist für jeden störenden Planeten gesondert durchzuführen; bei Beginn der Rechnung wird man für die beiden der Osculationsepoche vorangehenden und folgenden Intervalle wieder ohne Nachtheil $z = 0$ setzen dürfen; bei der Rechnung der Grössen U , R , W_1 und w_1 wird man sich auf die zweite Decimale der siebenten Stelle beschränken können und dem entsprechend ist die Rechnung für das folgende Beispiel durchgeführt.

Bezeichnet man die für die verschiedenen störenden Planeten erhaltenen Werthe von U , R , W_1 und w_1 durch die entsprechenden Indices, so bildet man jetzt:

$$\begin{aligned}\Sigma U &= U_4 + U_6 + U_5 + U_7 + \dots \\ \Sigma R &= R_4 + R_6 + R_5 + R_7 + \dots \\ \Sigma W_1 &= W_{14} + W_{16} + W_{15} + W_{17} + \dots \\ \Sigma w_1 &= w_{14} + w_{16} + w_{15} + w_{17} + \dots\end{aligned}$$

Ist die Störung in z schon beträchtlich angewachsen, was übrigens erst im weiteren Verlaufe der Rechnung eintreten wird, und jedenfalls bei den Werthen in der Nähe der Osculationsepoche nicht in Betracht kommt, so wird man zur Berücksichtigung des Einflusses der höheren Potenzen von z auf die Störungen noch zu rechnen haben:

$$\begin{aligned}I \Sigma R &= \frac{3}{2} (n^2 k^2 / 10^7) \left(\frac{f}{3} \right) \frac{z^2}{r^{5.5}} \\ I \Sigma W &= \frac{3}{2} (n^2 k^2 / 10^7) \left(\frac{f}{3} \right) \frac{z^3}{r^{6.5}},\end{aligned}$$

wobei z näherungsweise für die geforderte Epoche ohne Schwierigkeit aus dem doppelt summirten Werthe erhalten wird; in diesen Ausdrücken wird man unbe-

denklich $\frac{f}{3}$ der Einheit gleich setzen dürfen; sollte diese Annahme, was wohl kaum je eintreten wird, nicht genügend genau sein, so entlehne man mit dem Argumente:

$$q = \frac{z^2}{2 \cdot 17^2}$$

aus der Encke'schen f -Tafel (Tafel XI) den Werth von f .

Sobald der Werth ΣU bekannt ist, bildet man das Integral $\int \Sigma U dt$; für die Anfangsconstante und den Integralwerth gelten die folgenden Formeln (vergl. pag. 35):

$$f(a - \frac{1}{2}w) = -\frac{1}{24}f'(a - \frac{1}{2}w) + \frac{17}{5 \cdot 60}f'''(a - \frac{1}{2}w) - \dots$$

$$\int_{a-\frac{1}{2}w}^{a+iw} f(x) dx = f(a+iw) - \frac{1}{12}f'(a+iw) + \frac{11}{720}f'''(a+iw) - \dots$$

wobei die Funktionswerthe aus der U -Tafel zu entnehmen sind, die in dem unten folgenden Beispiele mitgetheilt ist. Die Bestimmung der Anfangsconstante hat keine Schwierigkeit, da sofort nach der Anlage der Rechnung vier Werthe für ΣU bekannt sind. Bei der Bildung der Integrale hat man zu beachten, dass die Funktionswerthe arithmetische Mittel sind und dass man die bei der Rechnung fehlenden Differenzwerthe nach dem Gange der Funktion bestimmen muss. Die Annahme für $f'''(a+iw)$ kann wegen des verhältnissmässig kleinen Factors $\frac{11}{720}$ leicht genug überschlagsweise gemacht werden, die Berechnung von $f'(a+iw)$ aber muss genauer durchgeführt werden. Man erhält leicht, wenn man auf die Bedeutung von $f'(a+iw)$ zurückgeht und nur auf jene Differenzwerthe Rücksicht nimmt, die in völliger Strenge gegeben sind (vergl. pag. 67) bei der Rechnung: nach vorwärts:

$$f'(a+iw) = f'(a+[i-\frac{1}{2}]w) + \frac{1}{2} \left[f''(a+[i-1]w) + f'''(a+[i-\frac{3}{2}]w) + \dots \right]$$

nach rückwärts:

$$f'(a+iw) = f'(a+[i+\frac{1}{2}]w) + \frac{1}{2} \left[f''(a+[i+1]w) - f'''(a+[i+\frac{3}{2}]w) + \dots \right]$$

In dem für die Summation von U bestimmten Bogen setzt man nun in die entsprechende Columnne $\log \int \Sigma U dt$ und $\log \int U dt$, wobei man sich zu erinnern hat, dass:

$$\int U dt = \left\{ 1 + \frac{\int \Sigma U dt}{2 \cdot 10^7 \cdot p_0} \right\} \cdot \int \Sigma U dt$$

ist. Sind die störenden Kräfte sehr bedeutend, so wird stets eine grosse Unsicherheit in der Berechnung von $\int U' dt$ in den letzten Stellen übrig bleiben, doch hat dieses auf das Resultat keine sehr schädigende Wirkung, weil dieses Integral schliesslich mit dem bei Störungsrechnungen stets kleinen Factor $\frac{2(wk)Y\rho_0}{(r)^4}$ zu multipliciren ist.

Hieran schliesst sich die Berechnung der Formeln:

$$\begin{aligned} H_1 &= \frac{2(wk)Y\rho_0}{(r)^4} \int U' dt \\ H_2 &= \Sigma R - \Sigma w_1 + J \Sigma R \\ H_0 &= H_1 + H_2 \\ h &= s - H_0 \\ h' &= \frac{h \cdot 10^{-7}}{1 + \frac{1}{2} h \cdot 10^{-7}}. \end{aligned}$$

Nunmehr hat die Berechnung des zweiten Differentialquotienten von ν keine Schwierigkeit; wie derselbe für die ersten Intervalle erlangt wird, ist oben pag. 151 ff. ausführlich auseinandergesetzt worden; ist die Rechnung einmal im Gange, so geben die doppelt summirten Werthe $\frac{d^2\nu}{dt^2}$, die aus dem ν -Bogen zu entnehmen sind, sofort:

$$\begin{aligned} S_h &= {}^{11}f(a+iw) - \frac{1}{240} f''(a+iw) + \frac{1}{12} H_0 \\ \frac{d^2\nu}{dt^2} &= H_0 - h' S_h, \end{aligned}$$

wobei der im Allgemeinen fast unmerkliche Werth von $\frac{1}{240} f''(a+iw)$ in Bezug auf $f''(a+iw)$ nach dem Gange der Funktion zu extrapoliren ist.

Nun rechnet man, da jetzt $f'(a+iw) = \frac{d^2\nu}{dt^2}$ bekannt ist genau:

$$\nu = {}^{11}f(a+iw) + \frac{1}{12} f'(a+iw) - \frac{1}{240} f''(a+iw) + \dots,$$

wobei jetzt über den Werth von $f''(a+iw)$ eine wesentlich genauere Annahme möglich ist, da es sich nunmehr bloss um eine Extrapolation um ein Intervall handelt.

Weiter hat man:

$$\frac{dJM}{dt} = -\mu_0 \sigma \nu.$$

wobei σ mit dem Argumente ν aus der Tafel XIII zu entnehmen ist; in dieser Tafel ist die Constante w gleich 40 Tagen bereits in die Grösse σ mit aufgenommen. Wollte man zur Ermittlung von σ nicht die Tafel benützen, so würde sich die Rechnung mit Hilfe der Additionslogarithmen am einfachsten in der Form gestalten:

$$\frac{dJM}{dt} = -w\mu_0 \frac{\nu}{1+\nu} \left(1 + \frac{\nu}{1+\nu} \right).$$

Die Summation dieser Werthe nebst derjenigen, die sich späterhin für $\frac{dJ\omega}{dt}$ ergeben, führe ich auf einem und demselben Bogen aus; zur Bestimmung der An-
fangseconante für diese einfachen Quadraturen wird man wieder haben:

$$f'(a - \frac{1}{2}w) = -\frac{1}{24}f''(a - \frac{1}{2}w) + \frac{17}{5760}f'''(a - \frac{1}{2}w) - \dots$$

Man hat nun, um zur Kenntniss von $\frac{d^2z}{dt^2}$ zu gelangen, zu rechnen:

$$W_0 = \Sigma W_1 + J \Sigma W$$

$$[w] = s + \Sigma w_1$$

$$[w'] = \frac{[w] 10^{-7}}{1 + \frac{1}{12}[w] 10^{-7}} ,$$

aus dem z -Bogen wird man erhalten:

$$S_w = f''(a + iw) - \frac{1}{240}f'''(a + iw) + \frac{1}{12}W_0 ,$$

wodurch

$$\frac{d^2z}{dt^2} = W_0 - [w'] S_w$$

wird. Schliesslich ist noch:

$$\frac{dJ\omega}{dt} = \frac{1}{(r)^2} \cdot \frac{10^{-7}}{\sin 1''} \int \Sigma U dt ,$$

wobei zu beachten ist, dass man in diesem Ausdrucke nicht irrthümlicher Weise den
früher benützten Werth von $\int U' dt$ verwendet.

Ich habe nun ausführlich die diessbezügliche Rechnung für Erato hier auf-
genommen, und es bedarf dieselbe nur einiger erläuternder Worte.

Vorerst ist zu beachten, dass die vier ersten Orte entsprechend den auf
pag. 151 ff. gemachten Auseinandersetzungen durchgeführt sind, demnach von dem
allgemeinen Rechnungsschema abweichen; sonst ist Alles gleichmässig durchgeführt.
Die Rechnung ist so abgetheilt, dass die mit ② überschriebenen Bogen wesentlich
Grössen, die von dem Orte des gestörten Planeten in der Bahn abhängig sind, ent-
halten, während auf den mit ④ und ⑤ bezeichneten Bogen die Berechnung der
störenden Kräfte für jeden einzelnen dieser Planeten aufgenommen ist. Ueberdies
sind auf den ④-Bogen die Summirungen der störenden Kräfte und der von
 z^2 und z^3 abhängigen Correctionen ausgeführt, welche letztere Correctionen je-
doch für das vorliegende Beispiel innerhalb des behandelten Zeitintervalles un-
merklich bleiben, da dieselben niemals den Werth 0.005 der siebenten Decimale
erreichen.

Die Berechnung der Annahmen für JM , $J\omega$, r und z für das jeweilige
nächste Intervall, nebst den Zwischenwerthen, die zur Kenntniss von $\int U' dt$ führen.

ist stets auf einem Nebepapiere ausgeführt; ich werde aber, um die in obiger Zusammenstellung enthaltenen Formeln durch ein Beispiel zu erläutern, hier eine solche Bestimmung ausführlich durchnehmen, und, um keinen Zweifel übrig zu lassen, mehr Zahlen hinschreiben, als man sonst mitzunehmen gezwungen ist.

Da die Rechnung nach rückwärts fortschreitet, so sind der obigen Zusammenstellung die diesbezüglichen Formeln zu entnehmen.

Die Rechnung sei etwa bis 1872 März 11 vorgeschritten, und man habe die Störungswerthe für 1872 Januar 31 zu berechnen. Wenn man also nur jene Summations- und Differenzwerthe in Betracht zieht, die in dieser Phase der Rechnung schon bekannt sind, und die Werthe von IM und $I\omega$ auf Zehnthelle der Bogensekunde, den Werth von p auf die sechste Decimale und jenen von z auf die siebente Decimale genau zu erhalten wünscht, so wird man haben:

	für IM	für $I\omega$
$f' (a + [i - \frac{1}{2}] w)$	+ 52'38"99	— 7'23"92
$f' a + iw$	— 3'21.88	+ 13.27
$f'' (a + [i + \frac{1}{2}] w)$	— 17.48	— 0.10
$f'' (a + [i + 1] w)$	+ 4.85	+ 0.11
$f''' (a + [i + \frac{3}{2}] w)$	+ 0.22	+ 0.04
$f''' (a + [i + 2] w)$	— 0.23	— 0.01 :

man findet also leicht, wenn man rechnet:

$$\gamma = \frac{1}{24} \left\{ 10f' (a + [i + \frac{1}{2}] w) - 9f'' (a + [i + 1] w) + 8f''' (a + [i + \frac{3}{2}] w) - \right. \\ \left. - 7f''' (a + [i + 2] w) \right\}$$

	IM	$I\omega$
$\frac{1}{2} f' (a + [i - \frac{1}{2}] w)$	+ 52'38"99	— 7'23"92
$-\frac{1}{2} f' a + iw$	+ 1'40.94	— 6.63
γ	— 8.96	— 0.08
$IM = + 54'11"0$		$I\omega = - 7'30"6$.

Für p und z wird man nach den betreffenden Summationsbogen haben:

$f' (a + [i - 1] w)$	+ 35354	— 447.1
$f' (a + iw)$	— 870	+ 20.7
$f'' (a + [i + \frac{1}{2}] w)$	— 89	+ 8.4
$f'' (a + [i + 1] w)$	+ 45	— 1.4 ;

setzt man wieder:

$$z = \frac{1}{12} \left[f' (a + iw) - f'' (a + [i + \frac{1}{2}] w) + f'' (a + [i + 1] w) - \right. \\ \left. - f''' (a + [i + \frac{3}{2}] w) + \dots \right]$$

so wird:

	r	z
${}^{II}f(a + [i-1]w)$	+ 35354	— 447.1
z	— 61	+ 0.9
$1 + r$	+ 1.003529	$z = - 0.0000446$

womit alle Werthe gegeben sind, deren man zur Berechnung der störenden Kräfte für 1872 Januar 31 bedarf.

Im Verlaufe der Rechnung tritt noch die Nothwendigkeit hervor, den Werth von $\int U dt$ für dieses Datum zu berechnen. Auf dem U -Bogen sind die diesbezüglichen Zahlen:

${}^I f(a + iw)$	$= \frac{1}{2} 4464.45 + 4365.21 = + 4414.83$
$f^I(a + [i + \frac{1}{2}]w)$	$= + 57.09$
$f^{II}(a + [i + 1]w)$	$= + 11.05$
$f^{III}(a + [i + \frac{3}{2}]w)$	$= + 0.83$
$f^{IV}(a + [i + 2]w)$	$= - 0.21$

Man findet also aus diesen Zahlen (vergl. pag. 177):

$$f^I(a + iw) = + 52.09.$$

Für $f^{III}(a + iw)$ wird man schätzungsweise $+ 0.95$ annehmen können; der genaue Werth hierfür ist, wie sich später zeigt $+ 0.99$. Nuncmehr hat man:

$${}^I f(a + iw) = \frac{1}{12} f^I(a + iw) + \frac{11}{720} f^{III}(a + iw)$$

$$\int \Sigma U dt = + 4414.83 \quad - 4.34 \quad + 0.01 = + 4410.50,$$

womit der für die weitere Rechnung nöthige Integralwerth bekannt ist.

Für die Berechnung von S_h und S_w wird man haben, wenn man für $f^{II}(a + iw)$ dem Gange der Funktion entsprechend beziehungsweise $+ 31$ und $- 0.3$ annimmt (die genauen Werthe dieser zweiten Differenzen sind beziehungsweise $+ 28.64$ und $- 0.22$).

	S_h	S_w
${}^{II}f(a + iw)$	+ 35353.87	— 447.15
$\frac{1}{12} H_0$	+ 17.17	$\frac{1}{12} W_0 = 0.04$
$-\frac{1}{240} f^{II}(a + iw)$	— 0.13	0.00
	$S_h = + 35370.91$	$S_w = - 447.19$

Als Anhang für die voranstehende Rechnung habe ich für die Zeit von 1860, Sept. 1 bis 1877 Dec. 30, mit Ausschluss der bereits im Beispiel enthaltenen Zahlen die einfach summirten Werthe von $\frac{dJ M}{dt}$ und $\frac{dJ w}{dt}$, dann die doppelt summirten

Werthe von $\frac{d^2 r}{dt^2}$ und $\frac{d^2 z}{dt^2}$ mitgetheilt, weil diese Werthe bei dem unten folgenden Beispiele der Ableitung der Erato-Elemente nothwendig sind.

Schliesslich will ich noch erwähnen, dass man als Probe für die Richtigkeit der Rechnung den regelmässigen Gang der Differenzen verwerthen kann. Man wird diese Prüfung durch Differenzen auch im Verlaufe der Rechnung mehrfach vornehmen können, um etwa vorhandene Fehler sofort zu erkennen und zu verbessern, ehe dieselben in das Resultat übergehen. Ich prüfe demgemäss stets die Werthe l , $\log r$, $\log \varrho_4$ und $\log \varrho_5$ durch Differenzen; ausserdem wird es sich empfehlen, auch die Differenzwerthe von E zu bilden; man wird daraus leicht einen sehr nahe richtigen Schluss auf die folgende excentrische Anomalie machen können und dadurch die Auflösung der transcendenten Gleichung (vergl. I pag. 49) wesentlich erleichtern.

Ausführliches Beispiel
zu
Hansen-Tietjen's Methode
der
Störungsrechnung.

Datum	1875		1874					
	Febr. 24	Jan. 15	Dec. 6	Oct. 27	Sept. 17	Aug. 8	Jun. 29	Mai 20
$\mathcal{L}\omega$						10"8	21"1	34"9
$\mathcal{L}M$	vergl.	pag. 151	ff.)			1"8	5"2	11"9
$M_0 + \mu_0 t$	191"21'42"7	184"14'26"8	177"7'11"0	169"59'55"1	162"52'39"3	155"45'23"4	148"38'7"6	141"30'51"7
M	191"21'42"7	184"14'26"8	177"7'11"0	169"59'55"1	162"52'41"1	155"45'28"6	148"38'19"5	141"31'15"3
E	189"41'21"8	183"36'51"7	177"32'43"1	171"28'19"9	165"23'7"2	159"16'28"3	153"7'47"8	146"56'29"3
$\sin E$	9 _n 226102	8 _n 799621	8.631742	9.171110	9.401947	9.548869	9.655108	9.736791
$\cos E$	9 _n 993760	9 _n 999136	9 _n 999601	9 _n 995172	9 _n 985716	9 _n 970945	9 _n 950382	9 _n 923303
Subtrl.	0.070386	0.069586	0.069518	0.070176	0.071600	0.073877	0.077158	0.081683
$\cos E - e_0$	0.064146	0.068722	0.069119	0.065348	0.057316	0.044822	0.027540	0.004986
$(r) \sin I'$	9 _n 14949	9 _n 288468	9.120589	9.659957	9.890794	0.037716	0.143955	0.225638
$\sin I'$ oder $\cos I''$	9 _n 995605	9 _n 999391	9 _n 999719	9 _n 996599	9 _n 989939	9 _n 979537	9 _n 965068	9 _n 946045
$(r) \cos I'$	0 _n 559625	0 _n 564201	0 _n 564598	0 _n 560827	0 _n 552795	0 _n 540301	0 _n 523019	0 _n 500465
I'	188"8'16"5	183"2'1"6	177"56'23"0	172"50'19"8	167"42'52"2	162"32'57"8	157"19'34"9	152"1'38"6
$\omega_0 + \mathcal{L}\omega$	272"44'38"2	272"44'38"2	272"44'38"2	272"44'38"2	272"44'38"2	272"44'17"1	272"44'3'3	272"43'46"3
l	100"52'54"7	95"46'39"8	90"41'1"2	85"34'58"0	80"27'19"6	75"1'14"9	70"3'38"2	64"45'24"9
$1 + r$					1.000041	1.000092	1.000171	1.000285
$\log 1 + r$	vergl.	pag. 151	ff.)		0.000018	0.000040	0.000074	0.000124
r					0.562856	0.560764	0.557951	0.554420
(r)	0.564020	0.564810	0.564879	0.564228	0.562874	0.560804	0.558025	0.554544
r^3	1.692060	1.694430	1.694637	1.692684	1.688622	1.682412	1.674075	1.663632
$2 \pi k \int p_0 f' U dt$	3 _n 864411	3 _n 400659	3.411549	3.896506	4.122474	4.268008	4.370913	4.445106
r^4	2.256080	2.259240	2.259516	2.256912	2.251496	2.243216	2.232100	2.218176
H_1	40.58	13.85	14.19	43.61	74.30	105.87	137.66	168.63
H_2	57.26	76.74	99.50	125.63	154.88	186.36	218.37	248.26
H_0	16.68	62.89	113.69	169.24	229.18	292.23	356.03	416.89
$2 \pi w_1$	+ 267.83	+ 306.68	+ 349.89	+ 396.90	+ 446.43	+ 495.92	+ 541.67	+ 578.78
s	+ 96210.6	+ 95687.0	+ 95641.4	+ 96072.5	+ 96975.2	+ 98371.8	+ 100278.6	+ 102719.0
h	+ 96193.9	+ 95624.1	+ 95527.7	+ 95903.3	+ 96746.0	+ 98079.6	+ 99922.6	+ 102302.1
$10^{-7} h$					7.985633	7.991578	7.999663	8.009885
$1 + \frac{1}{2} 10^{-7} h$					0.000350	0.000355	0.000362	0.000370
S_h					+ 412.60	+ 922.51	+ 1715.69	+ 2847.54
$\log S_h$	vergl.	pag. 151	ff		2.615529	2.964971	3.234438	3.454470
$h' S_h$					7.985283	7.991223	7.999301	8.009515
$h' S_h = h r$					+ 3.99	+ 9.04	+ 17.13	+ 29.11
$d^2 r : d t^2$	+ 16.00	+ 62.80	+ 113.58	+ 168.01	+ 225.19	+ 283.19	+ 338.90	+ 387.78
r	+ 70.93	+ 9.91	+ 12.03	+ 128.03	+ 412.29	+ 921.76	+ 1714.24	+ 2845.13
$\log r$	1.8508..	0.9961..	1.0803..	2.1073..	2.615203	2.964618	3.234071	3.454102
σ	4.9031..	4.9031..	4.9031..	4.9031..	4.903063	4.903030	4.902979	4.902905
$\log d \mathcal{L} M : d t$	9 _n 5607..	8 _n 7060..	8 _n 7902..	9 _n 8172..	0 _n 325054	0 _n 674436	0 _n 943836	1 _n 163795
$d \mathcal{L} M : d t$	0"364	0"051	0"062	0"656	2"114	4"225	8"787	14"581
$[w]$	+ 96478.4	+ 95993.7	+ 95991.3	+ 96469.4	+ 97421.6	+ 98867.7	+ 100820.3	+ 103297.8
$10^{-7} w$	7.984430	7.982243	7.982232	7.984390	7.988655	7.995054	8.003548	8.014091
$1 + \frac{1}{2} 10^{-7} w$					0.000352	0.000358	0.000365	0.000374
S_w					- 76.69	- 152.99	- 256.01	- 384.81
$\log S_w$					1 _n 884739	2 _n 184663	2 _n 408257	2 _n 585246
w'					- 7.988303	- 7.994696	- 8.003183	- 8.013717
$[w'] S_w = z(w)$					0.75	1.51	2.58	3.97
H_0'					27.38	28.32	28.45	27.59
$d^2 z : d t^2$	- 19.67	- 21.99	- 24.02	- 25.63	- 26.63	- 26.81	- 25.87	- 23.62
$10^{-7} \int \Sigma U dt \sin i''$	1 _n 799113	1 _n 335325	1.346177	1.831093	2.057021	2.202515	2.305383	2.379542
v^2	1.128040	1.126620	1.129758	1.128456	1.125748	1.121608	1.116050	1.109088
$d \mathcal{L} \omega : d t$	- 4"689	- 1"606	+ 1"646	+ 5"042	+ 8"536	+ 12"048	+ 15"464	+ 18"640

1874			1873						
April 10	Marz 1	Jan. 20	Dec. 11	Nov. 1	Sept. 22	Aug. 1	Jul. 4	May 25	April 15
— 1'11"9	— 1'34"2	— 1'58"7	— 2'24"3	— 2'50"2	— 3'15"9	— 3'40"7	— 4'4"4	— 4'26"5	— 4'47"1
+ 42"1	+ 1'8"6	+ 1'46"7	+ 2'38"6	+ 3'45"2	+ 5'9"2	+ 6'52"2	+ 8'55"1	+ 11'18"1	+ 14'1"3
134"23'35"9	12"16'20"0	120"9'4"2	113"1'48"4	105"54'32"5	98"47'16"7	91"40'0"8	84"32'45"0	77"25'29"1	70"18'13"3
134"24'18"0	12"17'28"6	120"10'50"9	113"4'27"0	105"58'17"7	98"52'25"9	91"46'53"0	84"41'40"1	77"36'47"2	70"32'14"6
140"41'56"4	134"23'31"0	128"0'36"6	121"32'34"5	114"58'44"6	108"18'28"2	101"31'5"7	94"35'57"9	87"32'27"3	80"19'59"7
9.801674	9.854045	9.896472	9.930566	9.957349	9.977441	9.991165	9.998599	9.999600	9.999789
9.888645	9.844827	9.84441	9.818615	9.8625608	9.8497099	9.8300335	8.904113	8.632517	9.225096
0.087825	0.096185	0.107765	0.124319	0.149434	0.190925	0.271505	0.165055	9.876569	8.516469
9.976470	9.941012	9.897206	9.842964	9.775042	9.688024	9.571840	9.404186	9.115700	7.741565
0.290521	0.342892	0.385319	0.419413	0.446196	0.466288	0.480012	0.487446	0.488447	0.482636
9.921778	9.891280	9.8553137	9.806218	9.720021	9.547771	9.366477	9.085969	9.096212	9.099993
0.471949	0.436491	0.392685	0.338443	0.270521	0.183503	0.067319	9.899665	9.611179	8.237044
146"38'27"8	141"7'37"0	135"26'9"0	129"11'22"3	123"42'55"6	117"32'23"7	111"8'18"6	104"29'9"4	97"33'23"8	90"19'31"7
272"43'26"3	272"43'47"0	272"42'39"5	272"42'13"9	272"41'48"0	272"41'22"3	272"40'57"5	272"40'33"8	272"40'11"7	272"39'51"1
59"21'29"1	53"50'41"0	48"11'48"5	42"23'36"2	36"24'43"6	30"13'46"0	23"49'16"1	17"9'43"2	10"13'35"5	2"59'22"8
1.000436	1.000630	1.000868	1.001149	1.001471	1.001826	1.002207	1.002603	1.003002	1.003392
0.000189	0.000273	0.000377	0.000499	0.000639	0.000792	0.000957	0.001129	0.001302	0.001471
0.550171	0.545211	0.539548	0.533195	0.526175	0.518517	0.510265	0.501477	0.492235	0.482643
0.550360	0.545484	0.539925	0.533694	0.526814	0.519399	0.511222	0.502606	0.493537	0.484114
1.651080	1.636452	1.619775	1.601082	1.580442	1.557927	1.533666	1.507818	1.480611	1.452342
4.496920	4.529682	4.545478	4.545958	4.532805	4.507855	4.473119	4.430700	4.382730	4.331288
2.201440	2.181936	2.159700	2.137776	2.107256	2.072549	2.044888	2.014224	1.974148	1.934456
+ 197.46	+ 222.71	+ 243.10	+ 257.74	+ 266.41	+ 269.54	+ 268.06	+ 263.19	+ 256.20	+ 248.22
+ 272.53	+ 287.55	+ 290.45	+ 280.14	+ 257.75	+ 226.34	+ 189.79	+ 151.87	+ 115.48	+ 82.47
+ 469.99	+ 510.26	+ 533.55	+ 537.88	+ 524.16	+ 495.88	+ 457.85	+ 415.06	+ 371.68	+ 330.69
+ 601.75	+ 605.86	+ 588.63	+ 551.10	+ 497.63	+ 434.80	+ 369.43	+ 306.99	+ 250.98	+ 202.96
+ 105731.2	+ 109353.0	+ 113633.9	+ 118631.7	+ 124406.0	+ 131025.5	+ 138553.2	+ 147050.0	+ 156556.8	+ 167086.5
+ 105261.2	+ 108842.7	+ 113100.4	+ 118093.8	+ 123881.8	+ 130529.6	+ 138095.4	+ 146634.9	+ 156185.1	+ 166755.8
8.022268	8.036800	8.053465	8.072227	8.093007	8.115709	8.140194	8.166237	8.193639	8.222081
0.000381	0.000394	0.000409	0.000427	0.000448	0.000472	0.000499	0.000530	0.000565	0.000603
+ 4366.52	+ 6308.52	+ 8690.71	+ 11506.72	+ 14725.30	+ 18280.60	+ 22094.63	+ 26061.34	+ 30061.37	+ 33964.40
3.640135	3.799927	3.939055	4.060951	4.168005	4.261990	4.342877	4.415997	4.478009	4.531024
8.021887	8.036406	8.053056	8.071800	8.092559	8.115237	8.139680	8.165707	8.193074	8.221478
+ 45.92	+ 68.60	+ 98.20	+ 135.75	+ 182.24	+ 237.52	+ 304.77	+ 381.68	+ 468.90	+ 565.59
+ 424.07	+ 441.66	+ 435.35	+ 402.43	+ 341.95	+ 258.36	+ 153.08	+ 33.38	+ 97.22	+ 234.90
+ 4362.71	+ 6302.81	+ 8682.56	+ 11495.39	+ 14708.10	+ 18260.74	+ 22069.24	+ 26029.54	+ 30022.30	+ 33917.26
3.639756	3.799555	3.938648	4.060524	4.167557	4.261519	4.343788	4.415466	4.477444	4.530420
4.902805	4.902679	4.902525	4.902342	4.902133	4.901902	4.901654	4.901397	4.901138	4.900884
1.349349	1.509002	1.647961	1.769654	1.876478	1.970209	2.052230	2.123651	2.185370	2.238092
— 22"354	— 32"285	— 44"459	— 58"837	— 77"157	— 101"370	— 131"370	— 167"938	— 213"239	— 265"018
+ 106332.9	+ 109958.9	+ 114222.5	+ 119182.8	+ 124903.6	+ 131460.3	+ 138922.6	+ 147357.0	+ 156807.8	+ 167289.5
8.026668	8.041231	8.057753	8.076213	8.096575	8.118795	8.142773	8.168371	8.195368	8.223469
0.000385	0.000398	0.000413	0.000431	0.000452	0.000475	0.000503	0.000533	0.000567	0.000605
— 537.15	— 709.31	— 896.17	— 1091.44	— 1288.12	— 1478.94	— 1656.77	— 1814.96	— 1974.53	— 2049.08
2.730096	2.850836	2.952390	3.038000	3.109957	3.169951	3.219262	3.258867	3.289484	3.311559
8.026283	8.040833	8.057338	8.075782	8.096123	8.118320	8.142270	8.167838	8.194801	8.222864
— 5.71	— 7.79	— 10.23	— 13.00	— 16.07	— 19.42	— 22.99	— 26.71	— 30.50	— 34.23
— 25.61	— 22.57	— 18.69	— 14.40	— 10.16	— 6.38	— 3.29	— 1.00	— 0.55	— 1.49
— 19.90	— 14.78	— 8.66	— 1.40	— 5.91	— 13.04	— 19.70	— 25.71	— 31.05	— 35.72
2.431330	2.464073	2.479860	2.480340	2.467195	2.442259	2.407542	2.365143	2.317195	2.265773
1.100722	1.090968	1.079850	1.067388	1.053628	1.038618	1.022444	1.005212	0.987074	0.968228
+ 21"410	+ 23"610	+ 25"119	+ 25"879	+ 25"916	+ 25"330	+ 24"272	+ 22"905	+ 21"386	+ 19"840

Datum	1873		1872						
	Marz 6	Jan. 25	Dec. 16	Nov. 6	Sept. 27	Aug. 18	Jul. 9	Mai 30	
$\Delta \omega$	5' 6"2	5' 23"8	5' 40"3	5' 55"7	6' 10"2	6' 24"2	6' 37"6	6' 50"9	
ΔM	+ 17' 3"7	+ 20' 23"9	+ 23' 59"3	+ 27' 4"2	+ 31' 43"9	+ 35' 45"2	+ 39' 46"3	+ 43' 42"5	
$M_0 + \mu_0 t$	63' 10' 5"5	56' 3' 41"7	48' 56' 25"8	41' 49' 10"0	34' 41' 54"1	27' 34' 38"3	20' 27' 22"5	13' 20' 6"6	
M	63' 28' 1"2	56' 24' 5"6	49' 20' 25"1	42' 16' 5"2	35' 13' 38"0	28' 10' 23"5	21' 7' 8"8	14' 3' 49"1	
E	72' 58' 5"3	65' 26' 22"0	57' 44' 3"2	49' 52' 53"3	41' 51' 28"8	33' 41' 3"9	25' 22' 40"7	16' 57' 45"9	
$\sin E$	9.980522	9.958814	9.927200	9.883499	9.824312	9.743994	9.632040	9.465011	
$\cos E$	9.466724	9.618733	9.727304	9.809136	9.872040	9.920179	9.955928	9.980682	
Subtrl.	9.838129	0.145083	9.829331	9.863828	9.884876	9.898491	9.907434	9.913113	
$\cos E - e_0$	9.077260	9.384214	9.556635	9.672964	9.756916	9.818670	9.863362	9.893795	
$r \sin F$	0.469369	0.447661	0.416047	0.372346	0.313159	0.232841	0.120887	9.953858	
$\sin F$ oder $\cos F$	9.996533	9.984675	9.962752	9.928334	9.877749	9.806356	9.937379	9.972571	
$r \cos F$	9.572739	9.876993	0.052114	0.168443	0.523955	0.314149	0.558841	0.389274	
F	82' 46' 9"6	74' 52' 5"6	66' 36' 2"4	57' 58' 54"3	48' 59' 44"9	39' 40' 3"5	30' 2' 4"8	20' 8' 58"6	
$\omega_0 + \Delta \omega$	272' 39' 32"0	272' 39' 14"4	272' 38' 5"9	272' 38' 42"5	272' 38' 28"0	272' 38' 14"0	272' 38' 0"6	272' 37' 47"3	
l	355' 25' 41"6	347' 31' 20"0	339' 15' 25"3	330' 37' 36"8	321' 38' 10"9	312' 18' 17"5	302' 40' 5"4	292' 46' 45"9	
$1 + r$	1.003758	1.004086	1.004363	1.004574	1.004709	1.004755	1.004705	1.004556	
$\log 1 + r$	0.001629	0.001771	0.001891	0.001982	0.002040	0.002060	0.002038	0.001974	
r_1	0.472836	0.462986	0.453295	0.444012	0.435410	0.427793	0.421462	0.416703	
r_2	0.474465	0.464757	0.455186	0.445994	0.437450	0.429853	0.423500	0.418677	
r_1^3	1.423395	1.394271	1.365558	1.337982	1.312350	1.289559	1.270500	1.256031	
$2 \omega h \int p_0 U dt$	4.278455	4.226226	4.176583	4.131399	4.092343	4.060763	4.037499	4.022804	
(r^{-1})	1.897860	1.859028	1.820744	1.783976	1.749800	1.719412	1.694000	1.674708	
H_1	+ 240.21	+ 232.92	+ 226.90	+ 222.55	+ 220.06	+ 219.46	+ 220.55	+ 222.89	
H_2	+ 53.76	+ 29.63	+ 10.01	+ 5.37	+ 16.91	+ 24.88	+ 29.68	+ 31.63	
H_0	+ 293.97	+ 262.55	+ 236.91	+ 217.18	+ 203.15	+ 194.58	+ 190.87	+ 191.26	
$\Delta \omega_1$	+ 163.13	+ 130.85	+ 105.08	+ 84.71	+ 68.74	+ 56.22	+ 46.45	+ 38.79	
s	+ 178602.8	+ 190990.5	+ 204044.5	+ 217421.0	+ 230638.9	+ 243066.1	+ 253970.6	+ 262574.1	
h	+ 178308.8	+ 190728.0	+ 203807.6	+ 217203.8	+ 230435.8	+ 242871.5	+ 253779.7	+ 262382.8	
$10^{-7} h$	8.251173	8.280414	8.309220	8.336868	8.362550	8.385377	8.404456	8.418935	
$1 + \frac{1}{12} 10^{-7} h$	0.000645	0.000689	0.000737	0.000785	0.000833	0.000878	0.000918	0.000949	
S_h	+ 37632.87	+ 40925.73	+ 43702.27	+ 45827.04	+ 47175.89	+ 47643.33	+ 47150.97	+ 45655.76	
$\log S_h$	4.575567	4.611991	4.640504	4.661121	4.673720	4.678002	4.673491	4.659496	
h'	8.250528	8.279725	8.308483	8.336083	8.361710	8.384499	8.403538	8.417986	
$h' S_h = h r$	+ 779.03	+ 779.33	+ 889.17	+ 993.58	+ 1085.02	+ 1154.78	+ 1194.07	+ 1195.31	
$d^2 r / dt^2$	376.06	516.78	652.26	776.40	881.87	960.20	1003.20	1004.05	
r	+ 37577.03	+ 40860.77	+ 43628.17	+ 45744.24	+ 47085.47	+ 47547.08	+ 47051.46	+ 45556.14	
$\log r$	4.574922	4.611306	4.639767	4.660336	4.672887	4.677124	4.672573	4.658547	
σ	4.900647	4.900434	4.900255	4.900118	4.900031	4.900001	4.900034	4.900130	
$\log d \Delta M : dt$	2.282357	2.218528	2.2346810	2.2367242	2.2379706	2.2383913	2.2379395	2.2395495	
$d \Delta M / dt$	- 3' 11" 583	- 3' 28" 223	- 3' 42" 234	- 3' 52" 939	- 3' 59" 721	- 4' 2" 054	- 3' 59" 549	- 3' 51" 688	
$\frac{[w]}{10^{-7} [w]}$	+ 178765.9	+ 191121.3	+ 204149.6	+ 217505.7	+ 230707.6	+ 243122.3	+ 254017.0	+ 262612.9	
$1 + \frac{1}{12} 10^{-7} [w]$	0.000647	0.000691	0.000739	0.000787	0.000834	0.000879	0.000918	0.000949	
S_w	2114.95	2141.13	2124.36	2062.30	1953.70	1798.60	1598.72	1357.52	
$\log S_w$	3.325300	3.330643	3.327228	3.314352	3.290858	3.254935	3.203772	3.132746	
$[w']$	8.251638	8.280618	8.309209	8.336683	8.362228	8.384946	8.403945	8.418367	
$[w] S_w = z [w]$	37.75	40.86	43.29	44.77	44.99	43.94	40.52	35.57	
H_0'	+ 1.97	+ 2.10	+ 2.01	+ 1.79	+ 1.50	+ 1.15	+ 0.80	+ 0.41	
$d^2 z / dt^2$	+ 39.72	+ 42.96	+ 45.30	+ 46.56	+ 46.49	+ 44.79	+ 41.32	+ 36.04	
$10^{-7} \int \frac{2}{r^2} U dt \sin \mu$	2.212958	2.160746	2.111117	2.065944	2.026896	1.995323	1.972063	1.957371	
$d \Delta \omega / dt$	0.948930	0.929514	0.910372	0.891988	0.874900	0.859706	0.847000	0.837354	
	+ 18" 36	+ 17" 031	+ 15" 876	+ 14" 926	+ 14" 190	+ 13" 665	+ 13" 337	+ 13" 183	

18-2

18-1

April 20	März 11	Jan. 31	Dec. 22	Nov. 12	Oct. 3	Aug. 24	Juli 15	Juni 5
— 4' 40"	— 4' 12"	— 3' 30"	— 4' 44"	— 4' 58"	— 8' 11"	— 8' 25"	— 8' 40"	— 8' 34"
+ 47' 28"	+ 50' 59"	+ 54' 11"	+ 56' 58"	+ 59' 18"	+ 1' 1' 9"	+ 1' 2' 28"	+ 1' 3' 14"	+ 1' 3' 28"
69' 12' 50"	359' 5' 34"	351' 58' 19"	344' 51' 32"	33' 43' 47"	330' 36' 31"	323' 29' 15"	316' 21' 59"	309' 14' 44"
70' 0' 19"	359' 5' 34"	352' 52' 30"	345' 48' 16"	338' 43' 6"	331' 3' 40"	324' 31' 43"	317' 25' 14"	310' 18' 12"
8' 28" 4"	359' 5' 51"	351' 23' 12"	342' 52' 22"	334' 25' 45"	326' 4' 59"	31' 51' 42"	309' 4' 41"	301' 51' 50"
9. 168120	7. 081076	9. 175403	9. 169039	9. 1635106	9. 1746625	9. 1826671	9. 1885620	9. 1929063
9. 995239	0. 000000	9. 995074	9. 980304	9. 955232	9. 918999	9. 870128	9. 806113	9. 722555
9. 916273	9. 917278	9. 916237	9. 913030	9. 907269	9. 898180	9. 884294	9. 862709	9. 827026
9. 911512	9. 917278	9. 911311	9. 893334	9. 862501	9. 817179	9. 754422	9. 668822	9. 549581
9. 656967	7. 569923	9. 664250	9. 6957886	9. 123953	9. 235472	9. 315518	9. 374467	9. 417910
9. 993241	0. 000000	9. 993007	9. 972033	9. 936388	9. 884666	9. 879825	9. 930076	9. 964133
0. 406991	0. 412757	0. 406790	0. 388813	0. 357980	0. 312658	0. 249901	0. 164301	0. 045060
10' 4' 58"	359' 5' 38"	349' 44' 44"	339' 59' 29"	329' 44' 25"	320' 3' 53"	310' 14' 16"	301' 3' 8"	292' 8' 02"
272' 37' 34"	272' 3' 21"	272' 3' 7"	272' 36' 54"	272' 36' 40"	272' 36' 26"	272' 36' 12"	272' 35' 58"	272' 35' 43"
282' 42' 32"	272' 32' 24"	262' 21' 51"	252' 16' 23"	242' 21' 56"	232' 40' 20"	223' 1' 29"	214' 14' 50"	205' 33' 43"
1. 004306	1. 003961	1. 003529	1. 003024	1. 002459	1. 001854	1. 001226	1. 000590	0. 999963
0. 001806	0. 001717	0. 001530	0. 001311	0. 001066	0. 000804	0. 000532	0. 000256	9. 999984
0. 413750	0. 412757	0. 413783	0. 416780	0. 421502	0. 427092	0. 435693	0. 444391	0. 453777
0. 415616	0. 414474	0. 415313	0. 418091	0. 422658	0. 428796	0. 436225	0. 444647	0. 453761
1. 246848	1. 243422	1. 245939	1. 254273	1. 267974	1. 286388	1. 308675	1. 333941	1. 361283
4. 016333	4. 017238	4. 024346	4. 036346	4. 051958	4. 070037	4. 089628	4. 109959	4. 130453
1. 662464	1. 657896	1. 661252	1. 672364	1. 690632	1. 715184	1. 744900	1. 778588	1. 815044
+ 225.88	+ 228.74	+ 230.72	+ 231.20	+ 229.79	+ 226.39	+ 221.17	+ 214.47	+ 206.73
— 31.15	— 28.68	— 24.64	— 19.56	— 13.85	— 7.93	— 2.09	+ 3.49	+ 8.65
+ 194.73	+ 200.06	+ 206.08	+ 211.64	+ 215.94	+ 218.46	+ 219.08	+ 217.96	+ 215.38
+ 32.80	+ 28.12	+ 24.43	+ 21.55	+ 19.28	+ 17.50	+ 16.12	+ 15.05	+ 14.23
+ 268185.3	+ 270309.4	+ 268747.5	+ 263639.4	+ 255451.8	+ 244847.2	+ 232598.9	+ 219453.2	+ 206062.9
+ 267990.6	+ 270104.3	+ 268541.2	+ 263427.8	+ 255235.9	+ 244628.7	+ 232379.8	+ 219235.2	+ 205847.5
8. 428120	8. 431540	8. 429011	8. 420661	8. 406942	8. 388508	8. 366199	8. 340910	8. 313546
0. 000969	0. 000977	0. 000971	0. 000952	0. 000923	0. 000885	0. 000840	0. 000792	0. 000744
+ 43156.79	+ 39698.72	+ 35370.91	+ 30301.45	+ 24674.00	+ 18580.64	+ 12278.97	+ 5911.38	— 367.72
4. 635049	4. 598777	4. 548046	4. 481463	4. 391764	4. 269061	4. 089162	3. 771689	2. 565517
8. 427151	8. 430563	8. 428010	8. 419709	8. 406019	8. 387623	8. 365359	8. 340118	8. 312802
+ 1153.98	+ 1069.89	+ 947.73	+ 796.47	+ 627.74	+ 453.61	+ 284.79	+ 129.36	— 7.56
— 959.25	— 869.83	— 741.65	— 584.83	— 411.80	— 235.15	— 65.71	+ 88.60	+ 222.94
+ 43060.63	+ 39609.56	+ 35291.94	+ 30235.07	+ 24594.69	+ 18542.84	+ 12255.21	+ 5900.60	— 367.08
4. 634080	4. 597800	4. 547675	4. 480511	4. 390841	4. 268176	4. 088321	3. 770896	2. 564761
4. 900292	4. 900315	4. 900966	4. 901124	4. 901490	4. 901884	4. 902292	4. 902705	4. 903114
2. 341160	2. 305103	2. 255259	2. 188423	2. 099119	1. 976848	1. 797401	1. 480389	0. 271663
— 3' 39' 361	— 3' 21' 885	— 2' 59' 994	— 2' 34' 320	— 2' 5' 637	— 1' 34' 809	— 1' 2' 19	— 30' 227	+ 1' 882
+ 268218.1	+ 270337.5	+ 268771.9	+ 263660.9	+ 255471.1	+ 244864.7	+ 232615.0	+ 219468.2	+ 206077.1
8. 428488	8. 431906	8. 429384	8. 421046	8. 407342	8. 388926	8. 366637	8. 341371	8. 314030
0. 000970	0. 000977	0. 000971	0. 000953	0. 000923	0. 000885	0. 000841	0. 000793	0. 000745
— 1080.31	— 774.08	— 447.19	— 108.83	+ 231.60	+ 565.07	+ 883.42	+ 1179.73	+ 1448.46
3. 033548	2. 888786	2. 7030492	2. 503749	2. 304739	2. 752102	2. 946167	3. 071783	3. 160906
8. 427518	8. 430929	8. 428413	8. 420093	8. 406419	8. 388041	8. 365796	8. 340578	8. 313285
— 28.91	— 20.88	— 11.99	— 2.86	+ 5.90	+ 13.81	+ 20.51	+ 25.84	+ 29.80
+ 0.11	— 0.22	— 0.52	— 0.80	— 1.06	— 1.30	— 1.54	— 1.75	— 1.95
+ 29.02	+ 20.66	+ 11.47	+ 2.06	— 6.96	— 15.11	— 22.05	— 27.59	— 31.75
1. 950902	1. 951806	1. 9528913	1. 953911	1. 9549520	2. 004595	2. 024182	2. 044509	2. 064998
0. 831232	0. 828948	0. 830926	0. 83182	0. 835316	0. 857592	0. 872450	0. 889294	0. 907522
+ 13' 173	+ 13' 270	+ 13' 437	+ 13' 637	+ 13' 842	+ 14' 028	+ 14' 182	+ 14' 296	+ 14' 371

Datum	1875		1874						
	Febr. 1	Jan. 1	Dec. 1	Oct. 7	Sept. 17	Aug.	June 29	May 10	
λ_0'	$1^{\circ}16'24''$	$1^{\circ}15'16''$	$1^{\circ}15'56''$	$1^{\circ}18'23''$	$1^{\circ}18'36''$	$1^{\circ}18'35''$	$1^{\circ}18'25''$	$1^{\circ}17'59''$	
λ_0'	$202^{\circ}17'52''$	$199^{\circ}46'32''$	$196^{\circ}45'19''$	$193^{\circ}44'0''$	$190^{\circ}42'59''$	$187^{\circ}41'46''$	$184^{\circ}40'27''$	$181^{\circ}38'59''$	
$\sin \lambda_0' \sin \lambda_0$	$5^{\circ}12'18''$	$4^{\circ}3'52''$	$1^{\circ}2'39''$	$68^{\circ}1'29''$	$65^{\circ}0'19''$	$61^{\circ}59'6''$	$58^{\circ}5'4''$	$55^{\circ}56'19''$	
$\cos \lambda_0'$	9.999893	9.999890	9.999888	9.999887	9.999886	9.999886	9.999887	9.999888	
$\cos \lambda_0' \sin \lambda_0$	9.349225	9.438625	9.511666	9.573110	9.625861	9.671821	9.712303	9.748250	
$\sin \lambda_0'$	8.346784	8.351747	8.355449	8.357921	8.359185	8.359249	8.358097	8.355728	
$\sin Q \text{ oder } \cos Q$	9.999887	9.999881	9.999875	9.999869	9.999862	9.999854	9.999846	9.999837	
$\cos \lambda_0' \sin \lambda_0 - Q$	9.988768	9.982872	9.975674	9.967128	9.957180	9.945761	9.932785	9.918148	
Q	$1^{\circ}18'22''$	$1^{\circ}20'21''$	$1^{\circ}22'24''$	$1^{\circ}24'31''$	$1^{\circ}26'44''$	$1^{\circ}29'3''$	$1^{\circ}31'30''$	$1^{\circ}34'8''$	
$Q - \lambda_0$	$-0^{\circ}54'1''$	$-0^{\circ}52'2''$	$-0^{\circ}49'59''$	$-0^{\circ}47'52''$	$-0^{\circ}45'39''$	$-0^{\circ}43'23''$	$-0^{\circ}40'53''$	$-0^{\circ}38'15''$	
$\sin Q - \lambda_0$	8.9196236	8.9179991	8.9162608	8.9143820	8.9123297	8.9100620	8.9075280	8.9046519	
Q	9.988881	9.982991	9.975799	9.967259	9.957318	9.945907	9.932939	9.918311	
$\cos Q - \lambda_0$	9.999946	9.999950	9.999954	9.999958	9.999962	9.999965	9.999969	9.999973	
$\cos B_1 \sin L_1$	9.988827	9.982941	9.975753	9.967217	9.957280	9.945872	9.932908	9.918284	
$\sin L_1 \text{ oder } \cos L_1$	9.988878	9.982987	9.975794	9.967254	9.957312	9.945899	9.932930	9.918303	
$\cos B_1 \cos L_1$	9.349118	9.438515	9.511554	9.572997	9.625747	9.671707	9.712190	9.748138	
L_1	$7^{\circ}5'18''$	$7^{\circ}4'11''$	$7^{\circ}2'51''$	$68^{\circ}1'43''$	$65^{\circ}0'37''$	$61^{\circ}59'28''$	$58^{\circ}58'13''$	$55^{\circ}56'49''$	
$\cos B_1$	9.999949	9.999954	9.999959	9.999963	9.999966	9.999973	9.999978	9.999981	
r_1	0.736575	0.736732	0.736828	0.736862	0.736885	0.736907	0.736929	0.736951	
$\sin B_1$	8.9185117	8.9162982	8.9138407	8.9111079	8.9080615	8.9046527	8.9008219	8.8966430	
$L_1 - l$	$336^{\circ}12'24''$	$338^{\circ}17'21''$	$340^{\circ}21'49''$	$342^{\circ}26'48''$	$344^{\circ}33'17''$	$346^{\circ}42'15''$	$348^{\circ}53'55''$	$351^{\circ}11'24''$	
$\cos L_1 - l$	9.961425	9.968046	9.973980	9.979260	9.984026	9.988200	9.991813	9.994846	
$r_1 \cos B_1$	0.736524	0.736686	0.736787	0.736825	0.736863	0.736900	0.736937	0.736974	
$\sin L_1 - l$	9.960577	9.9568107	9.9526399	9.9479437	9.9425394	9.9361702	9.9284102	9.9185138	
ξ_1	0.697949	0.704732	0.710767	0.716115	0.720826	0.724920	0.728388	0.731213	
r_1	0.564020	0.564810	0.564879	0.564228	0.562871	0.560804	0.558025	0.554544	
Subtract.	9.557774	9.579939	9.601221	9.621890	9.642117	9.662006	9.681553	9.700700	
ξ_1	8.9921692	8.9899714	8.9875235	8.9847941	8.9817450	8.9783274	8.9744816	8.9701216	
Subtract.	0	0	0	0	4.98949	$5.9185...$	$5.94082...$	$5.95843...$	
$\xi_1 - (r_1)$	0.121794	0.144749	0.166100	0.186118	0.204991	0.222810	0.239578	0.255244	
$\sin \theta \text{ oder } \cos \theta$	9.9932875	9.9915085	9.9892647	9.9864034	9.9826829	9.978091	9.972446	9.965705	
λ_1	0.342301	0.304793	0.263186	0.216262	0.162197	0.098422	0.020677	9.9921505	
$q \cos \theta$	0.409426	0.389708	0.370539	0.352228	0.335162	0.319919	0.307132	0.297539	
$\cos \theta$	9.99977	9.99973	9.99978	9.99978	9.99980	9.999817	9.999837	9.999861	
$q \sin \theta$	8.9921692	8.9899714	8.9875235	8.9847941	8.9817450	8.9783274	8.9744816	8.9701216	
q^{-1}	9.599344	9.610065	9.629239	9.647559	9.664638	9.679898	9.692705	9.702322	
q^{-3}	8.771032	8.830195	8.887717	8.942677	8.993914	9.039694	9.078115	9.106966	
r_1^{-1}	7.790275	7.789804	7.789516	7.789414	7.789495	7.78959	7.790209	7.790842	
Subtract.	9.952051	9.958507	9.963900	9.968359	9.971991	9.974860	9.977021	9.978503	
K	8.723083	8.778702	8.835161	8.8911039	8.9465905	9.0014554	9.055136	9.1085469	
$\xi_1 : r$	0.133929	0.139922	0.145888	0.151887	0.157955	0.164116	0.170363	0.176669	
$w k^{-2} m_1 10^7 K$	2.378055	2.443674	2.506589	2.566008	2.620877	2.669526	2.710108	2.740441	
$\lambda_1 : r$	0.906321	0.869603	0.828065	0.780490	0.725071	0.6659226	0.6057802	0.54476049	
L	-1924.76	-2057.20	-2160.99	-2220.74	-2271.93	-2311.83	-2344.51	-2366.23	
R	$+325.08$	$+383.35$	$+449.24$	$+522.27$	$+600.94$	$+681.78$	$+759.40$	$+826.25$	
W_1	-19.94	-22.05	-24.09	-25.94	-27.43	-28.37	-28.51	-27.65	
w_1	$+266.69$	$+305.61$	$+348.89$	$+395.96$	$+445.54$	$+495.07$	$+540.86$	$+578.01$	
ΣR	$+325.09$	$+383.42$	$+449.39$	$+522.53$	$+601.31$	$+682.28$	$+760.04$	$+827.04$	
Σw_1	$+267.83$	$+306.68$	$+349.89$	$+396.90$	$+446.43$	$+495.92$	$+541.67$	$+578.78$	
ΣW_1	-19.91	-22.02	-24.05	-25.89	-27.38	-28.32	-28.45	-27.59	
$\frac{1}{r^2}$	0	0	0	0	0	0	153	256	
$\frac{1}{r^3}$	0	0	0	0	0	0	0	384	
$\frac{1}{r^4}$	0	0	0	0	0	0	0	0	
$\frac{1}{r^5}$	0	0	0	0	0	0	0	0	
$\frac{1}{r^6}$	0	0	0	0	0	0	0	0	
$\frac{1}{r^7}$	0	0	0	0	0	0	0	0	
$\frac{1}{r^8}$	0	0	0	0	0	0	0	0	
$\frac{1}{r^9}$	0	0	0	0	0	0	0	0	
$\frac{1}{r^{10}}$	0	0	0	0	0	0	0	0	
$\frac{1}{r^{11}}$	0	0	0	0	0	0	0	0	
$\frac{1}{r^{12}}$	0	0	0	0	0	0	0	0	
$\frac{1}{r^{13}}$	0	0	0	0	0	0	0	0	
$\frac{1}{r^{14}}$	0	0	0	0	0	0	0	0	
$\frac{1}{r^{15}}$	0	0	0	0	0	0	0	0	
$\frac{1}{r^{16}}$	0	0	0	0	0	0	0	0	
$\frac{1}{r^{17}}$	0	0	0	0	0	0	0	0	
$\frac{1}{r^{18}}$	0	0	0	0	0	0	0	0	
$\frac{1}{r^{19}}$	0	0	0	0	0	0	0	0	
$\frac{1}{r^{20}}$	0	0	0	0	0	0	0	0	
$\frac{1}{r^{21}}$	0	0	0	0	0	0	0	0	
$\frac{1}{r^{22}}$	0	0	0	0	0	0	0	0	
$\frac{1}{r^{23}}$	0	0	0	0	0	0	0	0	
$\frac{1}{r^{24}}$	0	0	0	0	0	0	0	0	
$\frac{1}{r^{25}}$	0	0	0	0	0	0	0	0	
$\frac{1}{r^{26}}$	0	0	0	0	0	0	0	0	
$\frac{1}{r^{27}}$	0	0	0	0	0	0	0	0	
$\frac{1}{r^{28}}$	0	0	0	0	0	0	0	0	
$\frac{1}{r^{29}}$	0	0	0	0	0	0	0	0	
$\frac{1}{r^{30}}$	0	0	0	0	0	0	0	0	
$\frac{1}{r^{31}}$	0	0	0	0	0	0	0	0	
$\frac{1}{r^{32}}$	0	0	0	0	0	0	0	0	
$\frac{1}{r^{33}}$	0	0	0	0	0	0	0	0	
$\frac{1}{r^{34}}$	0	0	0	0	0	0	0	0	
$\frac{1}{r^{35}}$	0	0	0	0	0	0	0	0	
$\frac{1}{r^{36}}$	0	0	0	0	0	0	0	0	
$\frac{1}{r^{37}}$	0	0	0	0	0	0	0	0	
$\frac{1}{r^{38}}$	0	0	0	0	0	0	0	0	
$\frac{1}{r^{39}}$	0	0	0						

1874			1873						
April 10	März 1	Jan. 20	Dec. 11	Nov. 1	Sept. 22	Aug. 1,	Juli 4	Mai 25	April 15
+ 1° 17' 20" + 1° 16' 29" + 1° 15' 24" + 1° 14' 11" + 1° 12' 36" + 1° 10' 53" + 1° 8' 58" + 1° 6' 50" + 1° 4' 31" + 1° 2' 00"	+ 1° 16' 29" + 1° 15' 24" + 1° 14' 11" + 1° 12' 36" + 1° 10' 53" + 1° 8' 58" + 1° 6' 50" + 1° 4' 31" + 1° 2' 00"	+ 1° 15' 24" + 1° 14' 11" + 1° 12' 36" + 1° 10' 53" + 1° 8' 58" + 1° 6' 50" + 1° 4' 31" + 1° 2' 00"	+ 1° 14' 11" + 1° 12' 36" + 1° 10' 53" + 1° 8' 58" + 1° 6' 50" + 1° 4' 31" + 1° 2' 00"	+ 1° 12' 36" + 1° 10' 53" + 1° 8' 58" + 1° 6' 50" + 1° 4' 31" + 1° 2' 00"	+ 1° 10' 53" + 1° 8' 58" + 1° 6' 50" + 1° 4' 31" + 1° 2' 00"	+ 1° 8' 58" + 1° 6' 50" + 1° 4' 31" + 1° 2' 00"	+ 1° 6' 50" + 1° 4' 31" + 1° 2' 00"	+ 1° 4' 31" + 1° 2' 00"	+ 1° 2' 00"
1° 17' 20" 1° 16' 29" 1° 15' 24" 1° 14' 11" 1° 12' 36" 1° 10' 53" 1° 8' 58" 1° 6' 50" 1° 4' 31" 1° 2' 00"	1° 16' 29" 1° 15' 24" 1° 14' 11" 1° 12' 36" 1° 10' 53" 1° 8' 58" 1° 6' 50" 1° 4' 31" 1° 2' 00"	1° 15' 24" 1° 14' 11" 1° 12' 36" 1° 10' 53" 1° 8' 58" 1° 6' 50" 1° 4' 31" 1° 2' 00"	1° 14' 11" 1° 12' 36" 1° 10' 53" 1° 8' 58" 1° 6' 50" 1° 4' 31" 1° 2' 00"	1° 12' 36" 1° 10' 53" 1° 8' 58" 1° 6' 50" 1° 4' 31" 1° 2' 00"	1° 10' 53" 1° 8' 58" 1° 6' 50" 1° 4' 31" 1° 2' 00"	1° 8' 58" 1° 6' 50" 1° 4' 31" 1° 2' 00"	1° 6' 50" 1° 4' 31" 1° 2' 00"	1° 4' 31" 1° 2' 00"	1° 2' 00"
52° 54' 39" 49° 52' 44" 46° 50' 31" 43° 48' 44" 40° 45' 50" 37° 12' 30" 34° 38' 39" 31° 34' 15" 28° 29' 15" 25° 23' 35" 22° 12' 12"	49° 52' 44" 46° 50' 31" 43° 48' 44" 40° 45' 50" 37° 12' 30" 34° 38' 39" 31° 34' 15" 28° 29' 15" 25° 23' 35" 22° 12' 12"	46° 50' 31" 43° 48' 44" 40° 45' 50" 37° 12' 30" 34° 38' 39" 31° 34' 15" 28° 29' 15" 25° 23' 35" 22° 12' 12"	43° 48' 44" 40° 45' 50" 37° 12' 30" 34° 38' 39" 31° 34' 15" 28° 29' 15" 25° 23' 35" 22° 12' 12"	40° 45' 50" 37° 12' 30" 34° 38' 39" 31° 34' 15" 28° 29' 15" 25° 23' 35" 22° 12' 12"	37° 12' 30" 34° 38' 39" 31° 34' 15" 28° 29' 15" 25° 23' 35" 22° 12' 12"	34° 38' 39" 31° 34' 15" 28° 29' 15" 25° 23' 35" 22° 12' 12"	31° 34' 15" 28° 29' 15" 25° 23' 35" 22° 12' 12"	28° 29' 15" 25° 23' 35" 22° 12' 12"	25° 23' 35" 22° 12' 12"
9. 901839 9. 999800 9. 780322 8. 352122 8. 347257 8. 341121 8. 333608 8. 324690 8. 314301 8. 302378 8. 288778 8. 273395 8. 256044 8. 236093 8. 216044 8. 196095 8. 176146 8. 156197 8. 136248 8. 116299 8. 096350 8. 076401 8. 056452 8. 036503 8. 016554 7. 996605 7. 976656 7. 956707 7. 936758 7. 916809 7. 896860 7. 876911 7. 856962 7. 837013 7. 817064 7. 797115 7. 777166 7. 757217 7. 737268 7. 717319 7. 697370 7. 677421 7. 657472 7. 637523 7. 617574 7. 597625 7. 577676 7. 557727 7. 537778 7. 517829 7. 497880 7. 477931 7. 457982 7. 438033 7. 418084 7. 398135 7. 378186 7. 358237 7. 338288 7. 318339 7. 298390 7. 278441 7. 258492 7. 238543 7. 218594 7. 198645 7. 178696 7. 158747 7. 138798 7. 118849 7. 098900 7. 078951 7. 059002 7. 039053 7. 019104 6. 999155 6. 979206 6. 959257 6. 939308 6. 919359 6. 899410 6. 879461 6. 859512 6. 839563 6. 819614 6. 799665 6. 779716 6. 759767 6. 739818 6. 719869 6. 699920 6. 679971 6. 650022 6. 630073 6. 610124 6. 590175 6. 570226 6. 550277 6. 530328 6. 510379 6. 490430 6. 470481 6. 450532 6. 430583 6. 410634 6. 390685 6. 370736 6. 350787 6. 330838 6. 310889 6. 290940 6. 270991 6. 251042 6. 231093 6. 211144 6. 191195 6. 171246 6. 151297 6. 131348 6. 111399 6. 091450 6. 071501 6. 051552 6. 031603 6. 011654 0. 991705 0. 971756 0. 951807 0. 931858 0. 911909 0. 891960 0. 872011 0. 852062 0. 832113 0. 812164 0. 792215 0. 772266 0. 752317 0. 732368 0. 712419 0. 692470 0. 672521 0. 652572 0. 632623 0. 612674 0. 592725 0. 572776 0. 552827 0. 532878 0. 512929 0. 492980 0. 473031 0. 453082 0. 433133 0. 413184 0. 393235 0. 373286 0. 353337 0. 333388 0. 313439 0. 293490 0. 273541 0. 253592 0. 233643 0. 213694 0. 193745 0. 173796 0. 153847 0. 133898 0. 113949 0. 093900 0. 073951 0. 054002 0. 034053 0. 014104 0. 994155 0. 974206 0. 954257 0. 934308 0. 914359 0. 894410 0. 874461 0. 854512 0. 834563 0. 814614 0. 794665 0. 774716 0. 754767 0. 734818 0. 714869 0. 694920 0. 674971 0. 655022 0. 635073 0. 615124 0. 595175 0. 575226 0. 555277 0. 535328 0. 515379 0. 495430 0. 475481 0. 455532 0. 435583 0. 415634 0. 395685 0. 375736 0. 355787 0. 335838 0. 315889 0. 295940 0. 275991 0. 256042 0. 236093 0. 216144 0. 196195 0. 176246 0. 156297 0. 136348 0. 116399 0. 096450 0. 076501 0. 056552 0. 036603 0. 016654 0. 996705 0. 976756 0. 956807 0. 936858 0. 916909 0. 896960 0. 877011 0. 857062 0. 837113 0. 817164 0. 797215 0. 777266 0. 757317 0. 737368 0. 717419 0. 697470 0. 677521 0. 657572 0. 637623 0. 617674 0. 597725 0. 577776 0. 557827 0. 537878 0. 517929 0. 497980 0. 478031 0. 458082 0. 438133 0. 418184 0. 398235 0. 378286 0. 358337 0. 338388 0. 318439 0. 298490 0. 278541 0. 258592 0. 238643 0. 218694 0. 198745 0. 178796 0. 158847 0. 138898 0. 118949 0. 099000 0. 079051 0. 059102 0. 039153 0. 019204 0. 999255 0. 979306 0. 959357 0. 939408 0. 919459 0. 899510 0. 879561 0. 859612 0. 839663 0. 819714 0. 799765 0. 779816 0. 759867 0. 739918 0. 719969 0. 690020 0. 670071 0. 650122 0. 630173 0. 610224 0. 590275 0. 570326 0. 550377 0. 530428 0. 510479 0. 490530 0. 470581 0. 450632 0. 430683 0. 410734 0. 390785 0. 370836 0. 350887 0. 330938 0. 310989 0. 291040 0. 271091 0. 251142 0. 231193 0. 211244 0. 191295 0. 171346 0. 151397 0. 131448 0. 111499 0. 091550 0. 071601 0. 051652 0. 031703 0. 011754 0. 991805 0. 971856 0. 951907 0. 931958 0. 912009 0. 892060 0. 872111 0. 852162 0. 832213 0. 812264 0. 792315 0. 772366 0. 752417 0. 732468 0. 712519 0. 692570 0. 672621 0. 652672 0. 632723 0. 612774 0. 592825 0. 572876 0. 552927 0. 532978 0. 513029 0. 493080 0. 473131 0. 453182 0. 433233 0. 413284 0. 393335 0. 373386 0. 353437 0. 333488 0. 313539 0. 293590 0. 273641 0. 253692 0. 233743 0. 213794 0. 193845 0. 173896 0. 153947 0. 134008 0. 114059 0. 094110 0. 074161 0. 054212 0. 034263 0. 014314 0. 994365 0. 974416 0. 954467 0. 934518 0. 914569 0. 894620 0. 874671 0. 854722 0. 834773 0. 814824 0. 794875 0. 774926 0. 754977 0. 735028 0. 715079 0. 695130 0. 675181 0. 655232 0. 635283 0. 615334 0. 595385 0. 575436 0. 555487 0. 535538 0. 515589 0. 495640 0. 475691 0. 455742 0. 435793 0. 415844 0. 395895 0. 375946 0. 356007 0. 336058 0. 316109 0. 296160 0. 276211 0. 256262 0. 236313 0. 216364 0. 196415 0. 176466 0. 156517 0. 136568 0. 116619 0. 096670 0. 076721 0. 056772 0. 036823 0. 016874 0. 996925 0. 976976 0. 957027 0. 937078 0. 917129 0. 897180 0. 877231 0. 857282 0. 837333 0. 817384 0. 797435 0. 777486 0. 757537 0. 737588 0. 717639 0. 697690 0. 677741 0. 657792 0. 637843 0. 617894 0. 597945 0. 578006 0. 558057 0. 538108 0. 518159 0. 498210 0. 478261 0. 458312 0. 438363 0. 418414 0. 398465 0. 378516 0. 358567 0. 338618 0. 318669 0. 298720 0. 278771 0. 258822 0. 238873 0. 218924 0. 198975 0. 179026 0. 159077 0. 139128 0. 119179 0. 099230 0. 079281 0. 059332 0. 039383 0. 019434 0. 999485 0. 979536 0. 959587 0. 939638 0. 919689 0. 899740 0. 879791 0. 859842 0. 839893 0. 819944 0. 790005 0. 770056 0. 750107 0. 730158 0. 710209 0. 690260 0. 670311 0. 650362 0. 630413 0. 610464 0. 590515 0. 570566 0. 550617 0. 530668 0. 510719 0. 490770 0. 470821 0. 450872 0. 430923 0. 410974 0. 391025 0. 371076 0. 351127 0. 331178 0. 311229 0. 291280 0. 271331 0. 251382 0. 231433 0. 211484 0. 191535 0. 171586 0. 151637 0. 131688 0. 111739 0. 091790 0. 071841 0. 051892 0. 031943 0. 011994 0. 992045 0. 972096 0. 952147 0. 932198 0. 912249 0. 892300 0. 872351 0. 852402 0. 832453 0. 812504 0. 792555 0. 772606 0. 752657 0. 732708 0. 712759 0. 692810 0. 672861 0. 652912 0. 632963 0. 613014 0. 593065 0. 573116 0. 553167 0. 533218 0. 513269 0. 493320 0. 473371 0. 453422 0. 433473 0. 413524 0. 393575 0. 373626 0. 353677 0. 333728 0. 313779 0. 293830 0. 273881 0. 253932 0. 233983 0. 214034 0. 194085 0. 174136 0. 154187 0. 134238 0. 114289 0. 094340 0. 074391 0. 054442 0. 034493 0. 014544 0. 994595 0. 974646 0. 954697 0. 934748 0. 914799 0. 894850 0. 874901 0. 854952 0. 835003 0. 815054 0. 795105 0. 775156 0. 755207 0. 735258 0. 715309 0. 695360 0. 675411 0. 655462 0. 635513 0. 615564 0. 595615 0. 575666 0. 555717 0. 535768 0. 515819 0. 495870 0. 475921 0. 455972 0. 436023 0. 416074 0. 396125 0. 376176 0. 356227 0. 336278 0. 316329 0. 296380 0. 276431 0. 256482 0. 236533 0. 216584 0. 196635 0. 176686 0. 156737 0. 136788 0. 116839 0. 096890 0. 076941 0. 056992 0. 037043 0. 017094 0. 997145 0. 977196 0. 957247 0. 937298 0. 917349 0. 897400 0. 877451 0. 857502 0. 837553 0. 817604 0. 797655 0. 777706 0. 757757 0. 737808 0. 717859 0. 697910 0. 677961 0. 658012 0. 638063 0. 618114 0. 598165 0. 578216 0. 558267 0. 538318 0. 518369 0. 498420 0. 478471 0. 458522 0. 438573 0. 418624 0. 398675 0. 378726 0. 358777 0. 338828 0. 318879 0. 298930 0. 278981 0. 259032 0. 239083 0. 219134 0. 199185 0. 179236 0. 159287 0. 139338 0. 119389 0. 099440 0. 079491 0. 059542 0. 039593 0. 019644 0. 999695 0. 979746 0. 959797 0. 939848 0. 919899 0. 899950 0. 870001 0. 850052 0. 830103 0. 810154 0. 790205 0. 770256 0. 750307 0. 730358 0. 710409 0. 690460 0. 670511 0. 650562 0. 630613 0. 610664 0. 590715 0. 570766 0. 550817 0. 530868 0. 510919 0. 490970 0. 471021 0. 451072 0. 431123 0. 411174 0. 391225 0. 371276 0. 351327 0. 331378 0. 311429 0. 291480 0. 271531 0. 251582 0. 231633 0. 211684 0. 191735 0. 171786 0. 151837 0. 131888 0. 111939 0. 091990 0. 072041 0. 052092 0. 032143 0. 012194 0. 992245 0. 972296 0. 952347 0. 932398 0. 912449 0. 892500 0. 872551 0. 852602 0. 832653 0. 812704 0. 792755 0. 772806 0. 752857 0. 732908 0. 712959 0. 693010 0. 673061 0. 653112 0. 633163 0. 613214 0. 593265 0. 573316 0. 553367 0. 533418 0. 513469 0. 493520 0. 473571 0. 453622 0. 433673 0. 413724 0. 393775 0. 373826 0. 353877 0. 333928 0. 313979 0. 294030 0. 274081 0. 254132 0. 234183 0. 214234 0. 194285 0. 174336 0. 154387 0. 134438 0. 114489 0. 094540 0. 074591 0. 054642 0. 034693 0. 014744 0. 994795 0. 974846 0. 954897 0. 934948 0. 914999 0. 895050 0. 875101 0. 855152 0. 835203 0. 815254 0. 795305 0. 775356 0. 755407 0. 735458 0. 715509 0. 695560 0. 675611 0. 655662 0. 635713 0. 615764 0. 595815 0. 575866 0. 555917 0. 535968 0. 516019 0. 496070 0. 476121 0. 456172 0. 436223 0. 416274 0. 396325 0. 376376 0. 356427 0. 336478 0. 316529 0. 296580 0. 276631 0. 256682 0. 236733 0. 216784 0. 196835 0. 176886 0. 156937 0. 136988 0. 117039 0. 097090 0. 077141 0. 057192 0. 037243 0. 017294 0. 997345 0. 977396 0. 957447 0. 937498 0. 917549 0. 897600 0. 877651 0. 857702 0. 837753 0. 817804 0. 797855 0. 777906 0. 757957 0. 738008 0. 718059 0. 698110 0. 678161 0. 658212 0. 638263 0. 618314 0. 598365 0. 578416 0. 558467 0. 538518 0. 518569 0. 498620 0. 478671 0. 458722 0. 438773 0. 418824 0. 398875 0. 378926 0. 358977 0. 339028 0. 319079 0. 299130 0. 279181 0. 259232 0. 239283 0. 219334 0. 199385 0. 179436 0. 159487 0. 139538 0. 119589 0. 099640 0. 079691 0. 059742 0. 039793 0. 019844 0. 999895 0. 979946 0. 959997 0. 930048 0. 910099 0. 890150 0. 870201 0. 850252 0. 830303 0. 810354 0. 790405 0. 770456 0. 750507 0. 730558 0. 710609 0. 690660 0. 670711 0. 650762 0. 630813 0. 610864 0. 590915 0. 570966 0. 551017 0. 531068 0. 511119 0. 491170 0. 471221 0. 451272 0. 431323 0. 411374 0. 391425 0. 371476 0. 351527 0. 331578 0. 311629 0. 291680 0. 271731 0. 251782 0. 231833 0. 211884 0. 191935 0. 171986 0. 152037 0. 132088 0. 112139 0. 092190 0. 072241 0. 052292 0. 032343 0. 012394 0. 992445 0. 972496 0. 952547 0. 932598 0. 912649 0. 892700 0. 872751 0. 852802 0. 832853 0. 812904 0. 792955 0. 773006 0. 753057 0. 733108 0. 713159 0. 693210 0. 673261 0. 653312 0. 633363 0. 613414 0. 593465 0. 573516 0. 553567 0. 533618 0. 513669 0. 493720 0. 473771 0. 453822 0. 433873 0. 413924 0. 393975 0. 374026 0. 354077 0. 334128 0. 314179 0. 294230 0. 274281 0. 254332 0. 234383 0. 214434 0. 194485 0. 174536 0. 154587 0. 134638 0. 114689 0. 094740 0. 074791 0. 054842 0. 034893 0. 014944 0. 994995 0. 975046 0. 955097 0. 935148 0. 915199 0. 895250 0. 875301 0. 855352 0. 835403 0. 815454 0. 795505 0. 775556 0. 755607 0. 735658 0. 715709 0. 695760 0. 675811 0. 655862 0. 635913 0. 615964 0. 596015 0. 576066 0. 556117 0. 536168 0. 516219 0. 496270 0. 476321 0. 456372 0. 436423 0. 416474 0. 396525 0. 376576 0. 356627 0. 336678 0. 316729 0. 296780 0. 276831 0. 256882 0. 236933 0. 216984 0. 197035 0. 177086 0. 15									

Datum	1873		1872					
	Marz 10	Jan. 25	Dec. 10	Nov. 6	Sept. 27	Aug. 13	Juli 4	Mai 30
λ_0'	+0° 59' 17" 4	+0° 56' 23" 4	+0° 53' 18" 8	+0° 50' 3" 6	+0° 46' 38" 4	+0° 43' 3" 8	+0° 39' 20" 1	+0° 35' 28" 0
λ_0''	14" 58' 45" 3	14 11' 51' 40" 0	14 11' 43' 48" 6	13 8" 35' 8" 5	13 5" 25' 3" 6	13 2" 15' 13" 8	12 9" 3' 54" 8	12 5" 51' 38" 7
$\lambda_0' - \lambda_0''$	22" 16' 5" 6	19" 9' 0" 3	16" 1' 8" 9	12" 52' 28" 8	9" 42' 57" 9	6" 32' 34" 1	3" 21' 15" 1	0" 8' 59" 0
$\sin \lambda_0' - \lambda_0''$	9.578574	9.515932	9.440844	9.347952	9.227285	9.056697	8.767218	7.417163
$\cos \lambda_0'$	9.999935	9.999942	9.999948	9.999954	9.999960	9.999966	9.999972	9.999977
$\cos \lambda_0' - \lambda_0''$	9.966339	9.975277	9.982800	9.988942	9.993726	9.997162	9.999255	9.999999
$\sin Q$	8.236686	8.214909	8.190545	8.163201	8.132471	8.097822	8.058495	8.013539
$\sin Q$ oder $\cos Q$	9.999551	9.999457	9.999315	9.999075	9.998601	9.997391	9.991849	9.986499
$\cos \lambda_0' \sin (\lambda_0' - \lambda_0'')$	9.578509	9.515874	9.440792	9.347906	9.227245	9.056663	8.767190	7.417140
Q	2° 36' 22" 2	2° 51' 46" 2	3° 13' 0" 4	3° 44' 21" 8	4° 35' 47" 0	6° 16' 26" 2	11° 3' 56" 7	75° 47' 13" 3
$Q - \lambda_0'$	0° 23' 58" 3	0° 39' 22" 3	1° 0' 36" 5	1° 31' 5" 9	2° 23' 23" 1	4° 0' 4' 2" 3	8° 51' 32" 8	73° 34' 49" 4
$\sin Q - \lambda_0'$	7.843421	8.058900	8.246236	8.422297	8.620104	8.850819	9.187536	9.981917
q	9.578958	9.516417	9.441477	9.348831	9.228644	9.059272	8.775341	8.027040
$\cos Q - \lambda_0'$	9.999989	9.999972	9.999932	9.999844	9.999622	9.998905	9.994788	9.981279
$\cos B_1 \sin L_1$	9.578947	9.516389	9.441409	9.348675	9.228266	9.058177	8.770129	7.478319
$\sin L_1$ oder $\cos L_1$	9.966276	9.975221	9.982753	9.988904	9.993696	9.997142	9.999245	9.999998
$\cos B_1 \cos L_1$	9.966274	9.975219	9.982748	9.988896	9.993686	9.997128	9.999227	9.999976
L_1	22° 11' 18" 7	19° 10' 10" 2	16° 2' 26" 6	12° 53' 48" 1	9° 44' 18" 6	6° 33' 55" 6	3° 22' 36" 9	0° 10' 20" 5
$\cos B_1$	9.999998	9.999998	9.999998	9.999998	9.999998	9.999998	9.999998	9.999998
r_1	0.730250	0.729380	0.728465	0.727507	0.726509	0.725473	0.724406	0.723308
$\sin B_1$	7.422379	7.575317	7.687713	7.766128	7.848748	7.910091	7.962877	8.008957
$L_1 - l$	26° 51' 3" 1	31° 38' 56" 2	36° 47' 1" 4	42° 16' 11" 3	48° 6' 7" 2	54° 15' 38" 1	60° 42' 31" 5	67° 23' 34" 6
$\cos L_1 - l$	9.950419	9.930072	9.903579	9.869224	9.824650	9.766487	9.689530	9.584794
$r_1 \cos B_1$	0.730248	0.729378	0.728460	0.727509	0.726499	0.725459	0.724388	0.723286
$\sin L_1 - l$	9.654962	9.716922	9.777279	9.827771	9.871770	9.909386	9.940588	9.965278
ξ_1	0.680667	0.659450	0.632039	0.596723	0.551149	0.491946	0.413918	0.308080
η_1	0.474465	0.464757	0.455186	0.445994	0.437450	0.429853	0.423500	0.418677
Subtract.	9.783682	9.752543	9.701252	9.617955	9.476061	9.186677	8.348455	9.462430
ξ_1	8.152629	8.304697	8.416178	8.503635	8.575257	8.635564	8.687283	8.732265
η_1	6.324694	6.330008	6.326541	6.313656	6.290035	6.254064	6.202761	6.131619
Subtract.	0.006407	0.004579	0.003519	0.002795	0.002246	0.001800	0.001421	0.001088
$\xi_1 - r$	0.258147	0.217300	0.156438	0.063949	0.013511	0.016530	8.762373	9.770510
$\sin \theta$ oder $\cos \theta$	9.903852	9.935872	9.960378	9.978500	9.990919	9.998013	9.999666	9.999856
η_1	0.385210	0.449300	0.505739	0.555270	0.598269	0.634845	0.664976	0.688564
$q \cos \theta$	0.481358	0.513428	0.545361	0.576770	0.607350	0.636832	0.665010	0.691708
$\cos \theta$	9.999995	9.999992	9.999988	9.999984	9.999981	9.999978	9.999974	9.999970
$q \sin \theta$	8.159036	8.309276	8.419697	8.506430	8.577503	8.637364	8.688704	8.733353
$q - r$	9.518637	9.486564	9.454627	9.423214	9.392631	9.363146	9.334966	9.308266
$q - r$	8.555911	8.459692	8.363881	8.269642	8.177893	8.089438	8.004898	7.924798
$r_1 - r$	7.804250	7.811860	7.814605	7.817479	7.820473	7.823581	7.826782	7.830076
Subtract.	9.914237	9.889306	9.855938	9.810870	0.106293	9.926552	9.705015	9.386889
K	8.470148	8.348998	8.219819	8.080512	7.926766	7.750133	7.531797	7.216965
$\xi_1 - r$	0.206202	0.194693	0.176853	0.150729	0.113699	0.062093	9.990418	9.889403
$wh^2 m_1 10^7 K$	2.125120	2.003970	1.874791	1.738484	1.581738	1.405105	1.186769	0.871937
$\eta_1 - r$	0.859675	0.914057	0.960925	1.007264	1.035719	1.064698	1.088476	1.107241
r	+ 965.59	+ 827.99	+ 685.04	+ 545.44	+ 414.44	+ 294.99	+ 188.47	+ 95.32
R	+ 214.45	+ 158.00	+ 112.63	+ 76.95	+ 49.59	+ 29.32	+ 15.04	+ 5.77
H_1	+ 1.90	+ 2.04	+ 1.95	+ 1.73	+ 1.44	+ 1.10	+ 0.75	+ 0.40
m_1	+ 162.51	+ 130.22	+ 104.44	+ 84.06	+ 68.06	+ 55.51	+ 45.70	+ 38.00
ΣR	+ 216.89	+ 160.48	+ 115.09	+ 79.34	+ 51.83	+ 31.34	+ 16.77	+ 7.16
Σm_1	+ 163.13	+ 130.85	+ 105.08	+ 84.71	+ 68.74	+ 56.22	+ 46.45	+ 38.79
ΣH_1	+ 1.97	+ 2.10	+ 2.01	+ 1.79	+ 1.50	+ 1.15	+ 0.80	+ 0.44
Σ	2112	2138	2121	2059	1950	1795	1595	1354
Σ^2								
Σ^3								
Σ^4								
Σ^5								
Σ^6								
Σ^7								
Σ^8								
Σ^9								
Σ^{10}								
Σ^{11}								
Σ^{12}								
Σ^{13}								
Σ^{14}								
Σ^{15}								
Σ^{16}								
Σ^{17}								
Σ^{18}								
Σ^{19}								
Σ^{20}								
Σ^{21}								
Σ^{22}								
Σ^{23}								
Σ^{24}								
Σ^{25}								
Σ^{26}								
Σ^{27}								
Σ^{28}								
Σ^{29}								
Σ^{30}								
Σ^{31}								
Σ^{32}								
Σ^{33}								
Σ^{34}								
Σ^{35}								
Σ^{36}								
Σ^{37}								
Σ^{38}								
Σ^{39}								
Σ^{40}								
Σ^{41}								
Σ^{42}								
Σ^{43}								
Σ^{44}								
Σ^{45}								
Σ^{46}								
Σ^{47}								
Σ^{48}								
Σ^{49}								
Σ^{50}								
Σ^{51}								
Σ^{52}								
Σ^{53}								
Σ^{54}								
Σ^{55}								
Σ^{56}								
Σ^{57}								
Σ^{58}								
Σ^{59}								
Σ^{60}								
Σ^{61}								
Σ^{62}								
Σ^{63}								
Σ^{64}								
Σ^{65}								
Σ^{66}								
Σ^{67}								
Σ^{68}								
Σ^{69}								
Σ^{70}								
Σ^{71}								
Σ^{72}								
Σ^{73}								
Σ^{74}								
Σ^{75}								
Σ^{76}								
Σ^{77}								
Σ^{78}								
Σ^{79}								
Σ^{80}								
Σ^{81}								
Σ^{82}								
Σ^{83}								
Σ^{84}								
Σ^{85}								
Σ^{86}								
Σ^{87}								
Σ^{88}								
Σ^{89}								
Σ^{90}								
Σ^{91}								
Σ^{92}								
Σ^{93}								
Σ^{94}								
Σ^{95}								
Σ^{96}								
Σ^{97}								
Σ^{98}								
Σ^{99}								
Σ^{100}								

1872			1871						
April 20	Marz 11	Jan. 31	Dec. 22	Nov. 12	Oct. 3	Aug. 24	July 15	June 5	
+0°31'27"8 122°38'23"2 356°55'43"5	+0°22'20"5 119°24'6"7 353°41'2"0	+0°23'6"7 116°8'48"0 350°26'8"3	+0°18'46"7 112°52'25"3 34°4'45"6	+0°14'21"8 109°34'5"4 343°52'1"7	+0°9'52"5 106°16'23"0 340°33'43"3	+0°5'19"6 102°56'41"4 33°14'1"7	+0°0'44"1 99°35'51"5 333°53'11"8	+0°3'53"1 96°13'53"4 330°31'13"7	
8.728984 9.999982 9.999976	9.904091 9.999986 9.997361	9.220514 9.999990 9.993920	9.346712 9.999993 9.989007	9.443719 9.999996 9.982562	9.522165 9.999998 9.974513	9.587679 9.999999 9.964774	9.643599 0.000000 9.953240	9.692064 0.000000 9.939784	
7.961525 9.993753 8.728966 170°18'21"1 168°5'5"2	7.900546 9.998866 9.904095 175°01'37"6 173°39'13"7	7.827554 9.9999645 9.220504 177°40'58"6 175°28'34"7	7.737381 9.9999869 9.346836 178°35'29"9 176°23'6"0	7.620980 9.9999951 9.443715 179°8'17"9 176°55'54"0	7.458263 9.9999984 9.522163 179°30'16"6 177°1'55"7	7.190181 9.999996 9.587678 179°46'14"1 177°33'50"2	6.330014 0.000000 9.643599 179°58'19"8 177°45'55"9	7.053117 9.999999 9.692064 180°7'53"7 177°55'29"8	
9.314325 8.735213 9.999564	9.043502 9.042091 9.999731	8.896919 9.220859 9.9988645	8.799697 9.346836 9.999135	8.728572 9.443764 9.999137	8.673273 9.522179 9.999518	8.628434 9.587682 9.999607	8.590942 9.643599 9.999970	8.558813 9.692065 9.999715	
8.725777 9.999384 9.999358 356°57'4"3	9.039422 9.997380 9.997347 353°42'46"5	9.219504 9.993448 9.993910 350°27'26"0	9.345971 9.989043 9.989000 347°11'11"4	9.443141 9.982605 9.982558 343°53'30"4	9.521697 9.974564 9.974511 340°34'52"8	9.587289 9.964832 9.964773 33°15'7"6	9.643269 9.953304 9.953240 333°54'13"9	9.691780 9.939854 9.939784 330°32'11"4	
9.999974 0.722180 8.049538	9.999967 0.721028 8.085593	9.999966 0.719851 8.117778	9.999957 0.718657 8.146533	9.999953 0.717448 8.172336	9.999947 0.716231 8.195452	9.999941 0.715006 8.216116	9.999936 0.713777 8.234541	9.999930 0.712551 8.250878	
74°14'31"9 9.433884 0.722154 9.983364	81°10'21"7 9.185986 0.720995 9.994826	88°5'34"3 8.522179 0.719813 9.999759	94°54'3"8 8.932471 0.718614 9.998834	101°32'24"8 9.011151 0.717401 9.999131	107°54'32"6 9.098785 0.716178 9.978429	113°57'38"6 9.1608644 0.714947 9.960862	119°39'23"0 9.1694427 0.713713 9.939024	124°58'27"5 9.1758313 0.712481 9.913501	
0.156038 0.415616 9.912718	9.906981 0.414474 9.838334	9.241992 0.415313 9.969838	9.9951085 0.418091 0.068556	0.098552 0.422658 0.144375	0.204033 0.428796 0.203030	0.323591 0.435225 0.248354	0.408140 0.444647 0.283160	0.470794 0.453761 0.292597	
8.771718 6.932619 0.000791	8.806621 5.887617 0.000523	8.837629 5.949335 0.000281	8.865190 5.937426 0.000064	8.889784 5.936612 9.999871	8.911683 5.935129 9.999699	8.931122 5.945469 9.999551	8.948318 6.000766 9.999324	8.963429 6.160168 9.999316	
0.068756 9.988771 0.705518 0.716782 9.999977 8.772509	0.252808 9.975668 0.715821 0.740153 9.999970 8.807144	0.385151 9.957825 0.719572 0.761747 9.999969 8.837910	0.486647 9.935454 0.717017 0.781563 9.999968 8.865254	0.567033 9.908907 0.708532 0.799625 9.999967 8.889655	0.631826 9.878615 0.694607 0.813992 9.999966 8.911382	0.684579 9.853826 0.675809 0.830753 9.999965 8.930673	0.727807 9.883792 0.672737 0.844015 9.999965 8.947742	0.763391 9.907497 0.625982 0.855894 9.999964 8.962745	
9.283185 7.849555 7.833460 8.576973 6.410433	9.259817 7.779451 7.836916 9.156667 6.930118	9.238222 7.714666 7.840447 9.526238 7.240904	9.218405 7.655215 7.844029 9.736071 7.391286	9.200342 7.601020 7.847656 9.883398 7.484424	9.183974 7.551922 7.851307 9.999704 7.548626	9.169212 7.507636 7.854982 0.088165 7.595801	9.155950 7.467850 7.858669 0.164158 7.632008	9.144070 7.432210 7.862347 9.798362 7.660709	
9.740422 0.065405 1.121134 + 15.3 + 0.64	9.492507 0.585090 1.130295 - 51.93 - 1.20	8.826679 0.895876 1.134885 - 107.34 - 0.53	9.232994 1.046258 1.135108 - 151.83 + 1.90	9.595894 1.133996 1.131190 - 186.49 + 5.44	9.775237 1.203598 1.123403 - 212.32 + 9.52	9.887366 1.250773 1.112034 - 230.57 + 13.74	9.963493 1.286980 1.097384 - 242.31 + 17.80	0.017033 1.315681 1.079743 - 248.56 + 21.51	
+ 0.07 + 31.95	- 0.25 + 27.19	- 0.54 + 23.42	- 0.82 + 20.43	- 1.07 + 18.03	- 1.30 + 16.10	- 1.52 + 14.54	- 1.72 + 13.27	- 1.90 + 12.22	
+ 1.65 + 32.80 + 0.11	- 0.56 + 28.12 - 0.22	- 0.21 + 24.43 - 0.52	+ 1.99 + 21.55 - 0.80	+ 5.43 + 19.28 - 1.06	+ 9.57 + 17.50 - 1.30	+ 14.03 + 16.12 - 1.54	+ 18.54 + 15.05 - 1.75	+ 22.88 + 14.23 - 1.95	
- 10.78	- 77.2	- 44.6	- 109	+ 231	+ 564	+ 882	+ 1177	+ 1446	
0 - 31.15	0 - 28.68	0 - 24.64	0 - 19.56	0 13.85	0 7.93	0 - 2.09	0 + 3.49	0 + 8.65	
0 0 0 0 0	0 0 0 0 0	0 0 0 0 0	0 0 0 0 0	0 0 0 0 0	0 0 0 0 0	0 0 0 0 0	0 0 0 0 0	0 0 0 0 0	

b₁

Datum	18°5		18°4					
	Febr. 1	Jan. 15	Dec. 6	Oct. 7	Sept. 17	Aug. 3	Juni 29	Mai 20
λ_0'	1° 2' 23"	0° 59' 26"	0° 56' 25"	0° 53' 25"	0° 50' 25"	0° 47' 23"	0° 44' 19"	0° 41' 19"
λ_0'	31° 1' 5' 3"	31° 0' 2' 2"	31° 4' 5' 59"	31° 3' 1' 39"	31° 2' 1' 26"	31° 1' 3' 21"	30° 4' 49' 23"	30° 8' 35' 32"
$\lambda_0' - \lambda_0$	101° 32' 23"	196° 1' 4"	189° 3' 19"	185° 4' 59"	186° 34' 46"	185° 20' 41"	184° 6' 43"	182° 52' 52"
$\sin \lambda_0' - \lambda_0$	9,930113	9,925222	9,919697	9,913354	9,905911	8,996917	8,985555	8,970125
$\cos \lambda_0'$	9,999993	9,999993	9,999994	9,999995	9,999995	9,999996	9,999996	9,999997
$\cos \lambda_0' - \lambda_0$	9,999913	9,999295	9,999455	9,999595	9,999713	9,999811	9,999888	9,999945
$\sin \lambda_0'$	8,925877	8,923773	8,921537	8,919166	8,916628	8,913934	8,911028	8,907984
$\sin Q$ oder $\cos Q$	9,999822	9,999798	9,999765	9,999718	9,999647	9,999530	9,999309	9,998793
$\cos \lambda_0' \sin \lambda_0' - \lambda_0$	9,9930106	9,992515	9,9919691	9,9913349	9,9905906	8,9996913	8,9985551	8,9970122
Q	185° 11' 3"	185° 31' 31"	185° 5' 24"	186° 31' 21"	187° 1' 40"	188° 25' 4"	190° 11' 32"	193° 26' 53"
$Q - i_0$	182° 58' 38"	183° 19' "	183° 45' 0"	184° 18' 5"	185° 5' 16"	186° 12' 40"	187° 59' 8"	191° 14' 29"
$\sin Q - i_0$	8,971549	8,962550	8,981560	8,988653	8,994783	9,990320	9,984278	9,978991
Q	9,30284	9,25417	9,19926	9,13631	9,06259	8,97383	8,86242	8,71329
$\cos Q - i_0$	9,999941	9,999927	9,999907	9,999877	9,999828	9,999744	9,999577	9,999159
$\cos B_1 \sin L_1$	9,9930225	9,9925344	9,9919833	9,9913508	9,9906087	8,9997127	8,9985819	8,9970488
$\sin L_1$ oder $\cos L_1$	9,9999109	9,9999291	9,9999452	9,9999592	9,9999711	9,9999809	9,9999887	9,9999944
$\cos B_1 \cos L_1$	9,9999106	9,9999288	9,9999449	9,9999590	9,9999708	9,9999807	9,9999884	9,9999942
L_1	191° 34' 14"	190° 19' 35"	189° 5' 4"	188° 50' 41"	186° 36' 24"	185° 22' 51"	184° 8' 14"	182° 54' 19"
$\cos B_1$	9,999997	9,999997	9,999997	9,999998	9,999997	9,999998	9,999997	9,999998
i_1	0,99500	0,99537	0,99573	0,99608	0,99642	0,99676	0,99708	0,99740
$\sin B_1$	8,9901833	8,9901676	8,9901486	8,9901284	8,9901042	8,9900803	8,9900520	8,9900320
$L_1 - l$	90° 41' 19"	94° 32' 55"	98° 24' 3"	102° 15' 43"	106° 9' 4"	110° 5' 0"	114° 4' 36"	118° 8' 54"
$\cos L_1 - l$	0,99497	0,99534	0,99570	0,99606	0,99639	0,99674	0,99705	0,99738
$r_1 \cos B_1$	9,999997	9,999863	9,999532	9,998998	9,998251	9,997276	9,996047	9,994534
ξ_1	9,9907481	9,9989464	9,9916034	9,9932318	9,9944070	9,9953252	9,9960767	9,9967110
r	0,56402	0,56481	0,56488	0,56423	0,56287	0,56080	0,55802	0,55454
Subtract.	0,01386	0,08412	0,14425	0,19702	0,24423	0,28712	0,32769	0,36655
ξ_1	9,9901333	9,9901213	9,9901059	9,9900892	9,9900684	9,9900479	9,9900228	9,9900060
ξ	0	0	0	0	4,989...	5,9185...	5,94082...	5,95843...
Subtract.	0	0	0	0	9,99997	9,99993	9,99989	9,99983
$\xi_1 - r$	9,9957788	9,9964893	9,9970913	9,9976125	9,9980710	9,9984792	9,9988458	9,9991775
$\sin \theta$ oder $\cos \theta$	9,997031	9,995966	9,994758	9,993401	9,991882	9,990188	9,988291	9,986161
ξ_1	0,99494	0,99397	0,99102	0,98604	0,97840	0,96950	0,95752	0,94272
$q \cos \theta$	1,02463	1,03431	1,04344	1,05203	1,06008	1,06762	1,07461	1,08111
$\cos \theta$	9,999998	9,999998	9,999998	9,999998	9,999998	9,999998	9,999998	9,999999
$q \sin \theta$	9,9901333	9,9901213	9,9901059	9,9900892	9,9900681	9,9900472	9,9900217	9,9900043
$q - r$	8,997535	8,996567	8,995654	8,994795	8,993990	8,993236	8,992537	8,991888
$q - r$	6,92605	6,89701	6,86662	6,83385	6,81970	6,80708	6,79611	6,78664
$r_1 - r$	7,04500	7,01389	7,01281	7,01176	7,01074	7,00972	7,00876	7,00780
Subtract.	9,35059	9,34890	9,350169	9,357395	9,374236	9,390051	9,405042	9,419378
K	6,928264	6,938671	6,946131	6,951780	6,956206	6,959759	6,962653	6,965042
$\xi_1 - r$	8,9951079	9,9932983	9,9919546	9,9907589	9,989783	9,989172	9,988965	9,9891656
$wh^2 m_1 10^7 K$	9,9941366	9,9951773	9,9959233	9,9964882	9,9969308	9,9972861	9,9975755	9,9978144
$\xi_1 (r$	1,555896	1,55878	1,55590	1,55027	1,54177	1,53030	1,51554	1,49726
L	9,39	11,93	14,07	15,82	17,17	18,15	18,75	19,00
R	+ 0,01	+ 0,07	+ 0,15	+ 0,26	+ 0,37	+ 0,50	+ 0,64	+ 0,79
H_1	+ 0,03	+ 0,03	+ 0,04	+ 0,05	+ 0,05	+ 0,05	+ 0,06	+ 0,06
w_1	+ 1,14	+ 1,07	+ 1,00	+ 0,94	+ 0,89	+ 0,85	+ 0,81	+ 0,77

b₂

1874			1873						
April 10	März 1	Jan. 20	Dec. 11	Nov. 1	Sept. 22	Aug. 13	Juli 4	Mai 25	April 15
0°38' 9"	0°35' 3"	0°31' 56"	0°28' 48"	0°25' 40"	0°22' 31"	0°19' 22"	0°16' 13"	0°13' 3"	0° 9' 54"
307°21' 48"	306° 8' 10"	304°54' 38"	303°41' 12"	302°22' 53"	301°14' 39"	300° 1' 30"	298°48' 22"	297°35' 29"	296°22' 36"
181°39' 8"	180°25' 30"	179°11' 58"	177°58' 32"	176°45' 13"	175°31' 59"	174°18' 50"	173° 5' 47"	171°52' 49"	170°39' 56"
8 _n 45988	7 _n 87026	8. 14525	8. 54809	8. 75305	8. 89145	8. 99598	9. 07990	9. 14997	9. 21004
9. 99997	9. 99998	9. 99998	9. 99998	9. 99999	9. 99999	9. 99999	0. 00000	0. 00000	0. 00000
9 _n 99982	9 _n 99999	9 _n 99996	9 _n 99973	9 _n 99930	9 _n 99868	9 _n 99786	9 _n 99684	9 _n 99562	9 _n 99421
8 _n 04521	8 _n 00841	7 _n 96796	7 _n 92311	7 _n 87309	7 _n 81623	7 _n 75078	7 _n 67369	7 _n 57934	7 _n 45936
9 _n 97000	9 _n 90776	9. 92051	9. 98812	9. 99626	9. 99847	9. 99930	9. 99967	9. 99984	9. 99993
8 _n 45985	7 _n 87024	8. 14523	8. 54807	8. 75304	8. 89144	8. 99597	9. 07990	9. 14997	9. 21004
201° 3' 8"	233°57' 52"	326°22' 54"	346°39' 30"	352°29' 22"	355°11' 34"	356°44' 44"	357°45' 9"	358°27' 38"	358°58' 58"
198°50' 44"	231°45' 28"	324°10' 30"	344°27' 6"	350°16' 58"	352°59' 10"	354°32' 20"	355°32' 45"	356°15' 14"	356°46' 34"
9 _n 50922	9 _n 89509	9 _n 76759	9 _n 42822	9 _n 22733	9 _n 08675	8 _n 97850	8 _n 89021	8 _n 81515	8 _n 75003
8. 48985	8. 10065	8. 22472	8. 55995	8. 75678	8. 89297	8. 99667	9. 08023	9. 15013	9. 21011
9 _n 97607	9 _n 79168	9. 90892	9. 98381	9. 99372	9. 99674	9. 99802	9. 99869	9. 99907	9. 99931
8 _n 46592	7 _n 89233	8. 13364	8. 54376	8. 75050	8. 88971	8. 99469	9. 07892	9. 14920	9. 20942
9 _n 99981	9 _n 99999	9 _n 99996	9 _n 99973	9 _n 99931	9 _n 99869	9 _n 99787	9 _n 99685	9 _n 99564	9 _n 99423
9 _n 99979	9 _n 99997	9 _n 99994	9 _n 99971	9 _n 99929	9 _n 99867	9 _n 99785	9 _n 99684	9 _n 99562	9 _n 99421
181°40' 32"	180°26' 50"	179°13' 14"	177°59' 44"	176°46' 21"	175°33' 3"	174°19' 50"	173° 6' 43"	171°53' 39"	170°40' 43"
9. 99998	9. 99998	9. 99998	9. 99998	9. 99998	9. 99998	9. 99998	9. 99999	9. 99998	9. 99998
0. 99770	0. 99800	0. 99829	0. 99857	0. 99884	0. 99909	0. 99934	0. 99958	0. 99981	1. 00003
7 _n 99907	7 _n 99574	7 _n 99211	7 _n 98817	7 _n 98411	7 _n 97972	7 _n 97517	7 _n 97044	7 _n 96528	7 _n 96014
122°19' 3"	126°36' 9"	131° 1' 26"	135°36' 8"	140°21' 37"	145°16' 17"	150°30' 34"	155°54' 0"	161°40' 4"	167°41' 20"
9 _n 77804	9 _n 77544	9 _n 81715	9 _n 85401	9 _n 88653	9 _n 91506	9 _n 93973	9 _n 96056	9 _n 97738	9 _n 98990
0. 99768	0. 99798	0. 99829	0. 99855	0. 99882	0. 99907	0. 99932	0. 99957	0. 99979	1. 00001
9. 92691	9. 90460	9. 87762	9. 84487	9. 80479	9. 75504	9. 69221	9. 61016	9. 49766	9. 32883
0 _n 72572	0 _n 77342	0 _n 81542	0 _n 85256	0 _n 88535	0 _n 91413	0 _n 93905	0 _n 96013	0 _n 97717	0 _n 98991
0. 55036	0. 54548	0. 53992	0. 53369	0. 52681	0. 51931	0. 51122	0. 50261	0. 49354	0. 48411
0. 22214	0. 20185	0. 18477	0. 17023	0. 15775	0. 14702	0. 13780	0. 12992	0. 12332	0. 11794
8 _n 99677	8 _n 99374	8 _n 99040	8 _n 98674	8 _n 98295	8 _n 97881	8 _n 97451	8 _n 97002	8 _n 96509	8 _n 96017
5 _n 7300.	5 _n 8506.	5 _n 9518.	6 _n 0374.	6 _n 1096.	6 _n 1647.	6 _n 21880	6 _n 27840	6 _n 32892	6 _n 371091
9. 99977	9. 99969	9. 99960	9. 99951	9. 99942	9. 99933	9. 99924	9. 99916	9. 99908	9. 99902
0 _n 94786	0 _n 97527	1 _n 00019	1 _n 02279	1 _n 04310	1 _n 06115	1 _n 07685	1 _n 09005	1 _n 10049	1 _n 10785
9 _n 86081	9 _n 88280	9 _n 90286	9 _n 92115	9 _n 93776	9 _n 95272	9 _n 96599	9 _n 97744	9 _n 98689	9 _n 99407
0. 92459	0. 90258	0. 87589	0. 84342	0. 80361	0. 75416	0. 69153	0. 60973	0. 49745	0. 32884
1. 08705	1. 09247	1. 09733	1. 10164	1. 10534	1. 10843	1. 11086	1. 11261	1. 11360	1. 11378
9. 99999	9. 99999	9. 99999	9. 99999	9. 99999	9. 99999	9. 99999	9. 99999	9. 99999	9. 99999
8 _n 99654	8 _n 99343	8 _n 99000	8 _n 98625	8 _n 98237	8 _n 97814	8 _n 97375	8 _n 96918	8 _n 96417	8 _n 95919
8. 91294	8. 90752	8. 90266	8. 89835	8. 89465	8. 89156	8. 88913	8. 88738	8. 88639	8. 88621
6. 73882	6. 72256	6. 70798	6. 69505	6. 68395	6. 67468	6. 66739	6. 66214	6. 65917	6. 65863
7. 00690	7. 00600	7. 00513	7. 00429	7. 00348	7. 00273	7. 00198	7. 00126	7. 00057	6. 99991
9. 93139	9. 96408	9. 99220	0. 01627	0. 03624	0. 05246	0. 06471	0. 07311	0. 07730	0. 07708
6 _n 67021	6 _n 68664	6 _n 70018	6 _n 71132	6 _n 72019	6 _n 72714	6 _n 73210	6 _n 73525	6 _n 73647	6 _n 73571
0 _n 17536	0 _n 22794	0 _n 27550	0 _n 31887	0 _n 35854	0 _n 39482	0 _n 42783	0 _n 45752	0 _n 48363	0 _n 50580
9 _n 80123	9 _n 81766	9 _n 83120	9 _n 84234	9 _n 85121	9 _n 85816	9 _n 86312	9 _n 86627	9 _n 86749	9 _n 86673
1. 47495	1. 44806	1. 41581	1. 37711	1. 33042	1. 27347	1. 20275	1. 11234	0. 99099	0. 81295
18. 89	18. 44	17. 66	16. 57	15. 19	13. 54	11. 64	9. 52	7. 22	4. 78
+ 0. 95	+ 1. 11	+ 1. 28	+ 1. 45	+ 1. 62	+ 1. 79	+ 1. 95	+ 2. 11	+ 2. 24	+ 2. 36
+ 0. 06	+ 0. 06	+ 0. 07	+ 0. 07	+ 0. 07	+ 0. 07	+ 0. 07	+ 0. 07	+ 0. 07	+ 0. 07
+ 0. 74	+ 0. 71	+ 0. 69	+ 0. 67	+ 0. 65	+ 0. 64	+ 0. 63	+ 0. 62	+ 0. 62	+ 0. 62

Datum	1873		1872					
	Marz 6	Jan. 25	Dec. 16	Nov. 6	Sept. 27	Aug. 18	Jul. 9	Mai 30
λ_0'	0° 6' 44"	0° 3' 34"	0° 0' 25"	+ 0° 2' 35"	+ 0° 5' 54"	+ 0° 9' 3"	+ 0° 12' 11"	+ 0° 15' 19"
λ_0'	295° 9' 47"	293° 57' 2"	292° 44' 21"	291° 31' 45"	290° 19' 12"	289° 6' 43"	287° 54' 17"	286° 41' 54"
$\lambda_0' - \lambda_0$	169° 27' 57"	168° 14' 22"	167° 1' 41"	165° 49' 5"	164° 36' 32"	163° 24' 3"	162° 11' 37"	160° 59' 14"
$\sin \lambda_0' - \lambda_0$	9.26259	9.30925	9.35117	9.38917	9.42391	9.45587	9.48544	9.51293
$\cos \lambda_0'$	0.00000	0.00000	0.00000	0.00000	0.00000	0.00000	0.00000	0.00000
$\cos \lambda_0' - \lambda_0$	9.99260	9.99079	9.98887	9.98656	9.98414	9.98151	9.97868	9.97563
$\sin \lambda_0'$	7.729196	7.701599	6.608351	6.90306	7.23458	7.42037	7.54949	7.64889
$\sin Q$ oder $\cos Q$	9.99998	9.99999	0.00000	0.00000	9.99999	9.99999	9.99997	9.99996
$\cos \lambda_0' \sin (\lambda_0' - \lambda_0)$	9.26259	9.30925	9.35117	9.38917	9.42391	9.45587	9.48544	9.51293
Q	359° 23' 13"	359° 42' 30"	359° 58' 9"	0° 11' 13"	0° 22' 14"	0° 31' 41"	0° 39' 50"	0° 47' 11"
$Q - \lambda_0$	357° 10' 49"	357° 30' 6"	357° 45' 45"	357° 58' 49"	358° 9' 50"	358° 19' 17"	358° 27' 26"	358° 34' 37"
$\sin (Q - \lambda_0)$	8.69191	8.63939	8.59153	8.54708	8.50570	8.46676	8.43013	8.39505
Q	9.26261	9.30926	9.35117	9.38917	9.42392	9.45589	9.48547	9.51297
$\cos (Q - \lambda_0)$	9.99947	9.99959	9.99967	9.99973	9.99978	9.99981	9.99984	9.99987
$\cos B_1 \sin I_1$	9.26208	9.30885	9.35084	9.38890	9.42370	9.45570	9.48531	9.51284
$\sin I_1$ oder $\cos I_1$	9.99262	9.99080	9.98877	9.98656	9.98414	9.98151	9.97868	9.97563
$\cos B_1 \cos I_1$	9.99260	9.99079	9.98877	9.98656	9.98414	9.98151	9.97868	9.97563
I_1	169° 27' 51"	168° 15' 0"	167° 2' 14"	165° 49' 36"	164° 36' 57"	163° 24' 25"	162° 11' 55"	160° 59' 26"
$\cos B_1$	9.99998	9.99999	9.99998	9.99998	9.99999	9.99999	9.99999	9.99998
r_1	1.00024	1.00044	1.00063	1.00081	1.00098	1.00114	1.00128	1.00142
$\sin B_1$	7.995452	7.994865	7.994270	7.993625	7.992962	7.992265	7.991560	7.990802
$I_1 - l$	1° 4' 2' 9"	180° 43' 40"	187° 46' 49"	195° 11' 59"	202° 58' 46"	211° 6' 8"	219° 31' 50"	228° 12' 40"
$\cos I_1 - l$	9.999764	9.99996	9.99998	9.99998	9.99999	9.99999	9.99999	9.99999
$r_1 \cos B_1$	1.00022	1.00043	1.00061	1.00079	1.00097	1.00113	1.00127	1.00140
$\sin (I_1 - l)$	9.01664	8.910386	9.913154	9.911860	9.915915	9.917312	9.9180379	9.9187251
ξ_1	0.99786	1.00039	0.99659	0.98532	0.96506	0.93373	0.88849	0.82513
r_1	0.47446	0.46476	0.45519	0.44599	0.43745	0.42985	0.42350	0.41868
Subtract.	0.11382	0.11103	0.10974	0.11020	0.11286	0.11840	0.12800	0.14371
ξ_1	8.995476	8.994909	8.994333	8.993706	8.993060	8.992379	8.991688	8.990944
z	6.992469	6.993001	6.993264	6.993366	6.993003	6.9925406	6.9920276	6.9913162
Subtract.	9.99898	9.99896	9.99895	9.99897	9.99901	9.99907	9.99916	9.99927
$\xi_1 - r_1$	1.11168	1.11142	1.10633	1.09552	1.07792	1.05213	1.01649	0.96884
$\sin \theta$ oder $\cos \theta$	9.998860	9.99998	9.999757	9.99956	9.997794	9.995844	9.993042	9.989180
λ_1	0.01686	9.910429	0.13215	0.41939	0.95248	0.971425	0.980506	0.987391
$q \cos \theta$	1.11308	1.11144	1.10876	1.10496	1.09998	1.09369	1.08607	1.07704
$\cos \theta$	9.99999	9.99999	9.99999	9.99999	9.99999	9.99999	9.99999	9.99999
$q \sin \theta$	8.995374	8.994805	8.994228	8.993603	8.992961	8.992286	8.991604	8.990871
q^2	8.88691	8.88855	8.89123	8.89503	8.90001	8.90630	8.91392	8.92295
q^3	6.66073	6.66565	6.67369	6.68509	6.70003	6.71890	6.74176	6.76885
r_1^3	6.99928	6.99868	6.99811	6.99757	6.99706	6.99658	6.99616	6.99574
Subtract.	0.07205	0.06180	0.04558	0.02261	9.99196	9.95197	9.90112	9.83640
K	6.973278	6.972745	6.971927	6.970770	6.969199	6.967087	6.964288	6.960525
$\xi_1 - r_1$	0.952340	0.953563	0.954140	0.953937	0.952761	0.950388	0.946499	0.940645
$w k^2 m_1 10^7 K$	9.986380	9.985847	9.985029	9.983872	9.982301	9.980189	9.977390	9.973627
$\lambda_1 - r_1$	0.49132	0.956905	0.958734	0.96538	1.02993	1.14410	1.22856	1.29259
R	+ 2.27	+ 0.27	+ 2.74	+ 5.06	+ 7.13	+ 8.83	+ 10.06	+ 10.69
	+ 2.44	+ 2.48	+ 2.46	+ 2.39	+ 2.24	+ 2.02	+ 1.73	+ 1.39
W_1	+ 0.07	+ 0.06	+ 0.06	+ 0.06	+ 0.06	+ 0.05	+ 0.05	+ 0.04
w_1	+ 0.62	+ 0.63	+ 0.64	+ 0.65	+ 0.68	+ 0.71	+ 0.75	+ 0.79

b₄

1872			1871					
April 20	März 11	Jan. 31	Dec. 22	Nov. 12	Oct. 3	Aug. 24	Juli 15	Juni 5
+ 0°18'27" 285°29'34" 159°46'54" 9.53857 9.99999 9.997238	+ 0°21'34" 284°17'16" 158°34'36" 9.56260 9.99999 9.996891	+ 0°24'40" 283°5'0" 157°22'20" 9.58517 9.99999 9.996521	+ 0°27'46" 281°52'47" 156°10'7" 9.60643 9.99999 9.996130	+ 0°30'50" 280°40'35" 154°57'55" 9.62651 9.99998 9.995715	+ 0°33'54" 279°28'25" 153°45'45" 9.64551 9.99998 9.995278	+ 0°36'57" 278°16'17" 152°33'37" 9.66352 9.99997 9.994817	+ 0°39'59" 277°4'10" 151°21'30" 9.68063 9.99997 9.994331	+ 0°43'0" 275°52'3" 150°9'23" 9.69691 9.99997 9.993821
7.72972 9.99995 9.53856 0°53'23" 358°40'59"	7.79751 9.99994 9.56259 0°59'2" 358°46'38"	7.85583 9.99992 9.58516 1°4'6" 358°51'42"	7.90724 9.99991 9.60642 1°8'43" 358°56'19"	7.95274 9.99990 9.62649 1°12'51" 359°0'2"	7.99392 9.99989 9.64549 1°16'40" 359°4'16"	8.03133 9.99988 9.66349 1°20'10" 359°7'46"	8.06559 9.99987 9.68060 1°23'24" 359°11'0"	8.09718 9.99986 9.69688 1°26'24" 359°14'0"
8.36141 9.53861 9.99989	8.32919 9.56265 9.99990	8.29812 9.58524 9.99991	8.26773 9.60651 9.99993	8.23859 9.62659 9.99993	8.20982 9.64560 9.99994	8.18166 9.66361 9.99995	8.15391 9.68073 9.99996	8.12647 9.69702 9.99996
9.53850 9.997238 9.997237 159°47'3"	9.56255 9.996891 9.996890 158°34'43"	9.58515 9.996521 9.996520 157°22'22"	9.60644 9.996130 9.996129 156°10'4"	9.62652 9.995715 9.995713 154°57'50"	9.64554 9.995277 9.995276 153°45'37"	9.66356 9.994816 9.994814 152°33'26"	9.68069 9.994329 9.994328 151°21'12"	9.69698 9.993819 9.993818 150°9'2"
9.99999 1.00155 7.90002	9.99999 1.00166 7.89184	9.99999 1.00177 7.88336	9.99999 1.00186 7.87424	9.99998 1.00195 7.86518	9.99999 1.00202 7.85552	9.99998 1.00208 7.84527	9.99999 1.00214 7.83464	9.99999 1.00218 7.82349
237°4'31" 9.73523 1.00154 9.92396	246°2'18" 9.60866 1.00165 9.96086	255°0'30" 9.41276 1.00176 9.99496	263°53'41" 9.2676 1.00185 9.99753	272°36'44" 9.5184 1.00193 9.99955	281°5'17" 9.28402 1.00201 9.99182	289°15'57" 9.51845 1.00206 9.97497	299°6'21" 9.65861 1.00213 9.94947	304°35'18" 9.75410 1.00217 9.91553
0.73677 0.41562 0.16949	0.61031 0.41447 0.21406	0.41452 0.41531 0.30063	0.28661 0.41809 0.14856	9.66067 0.42266 9.91751	0.28603 0.42880 9.59019	0.52051 0.43622 9.33082	0.66074 0.44465 9.80937	0.75627 0.45376 0.00295
8.90157 6.03262 9.99941	8.89350 5.88762 9.99957	8.88513 5.64933 9.99975	8.87610 5.03743 9.99994	8.86713 5.36361 0.00014	8.85754 5.75128 0.00034	8.84735 5.94547 0.00054	8.83678 6.07078 0.00074	8.82567 6.16017 0.00094
0.90626 9.85890 0.92550 1.06660 9.99999 8.90098	0.82437 9.90775 0.96251 1.05476 9.99999 8.89307	0.71594 9.94515 0.98672 1.04157 9.99999 8.88488	0.56665 9.97225 0.99938 1.02713 9.99999 8.87604	0.34017 9.98991 0.99383 1.01157 9.99999 8.86727	9.87622 9.99874 0.99383 0.99509 9.99999 8.85788	9.76704 9.99918 0.97703 0.97785 9.99999 8.84789	0.25402 9.99143 0.95160 0.96017 9.99999 8.83752	0.45671 9.97545 0.91770 0.94225 9.99999 8.82661
8.93339 6.80017 6.99535 9.75389 6.55406	8.94523 6.83569 6.99502 9.64661 6.48230	8.95842 6.87526 6.99469 9.50041 6.37567	8.97286 6.91858 6.99442 9.28059 6.19917	8.98842 6.96526 6.99415 8.83749 5.80275	9.00490 7.01470 6.99394 8.68987 5.68381	9.02214 7.06642 6.99376 9.26035 6.25411	9.03982 7.11946 6.99358 9.52663 6.52021	9.05774 7.17322 6.99346 9.70989 6.70335
0.32115 9.68508 1.34112 + 10.62 + 1.01	0.19584 9.61332 1.37698 + 9.78 + 0.64	9.99921 9.50669 1.40203 + 8.10 + 0.32	9.61052 9.33019 1.41774 + 5.59 + 0.09	9.23801 8.93377 1.42414 + 2.28 + 0.01	9.85723 8.81483 1.42263 + 1.73 + 0.05	0.08429 9.38513 1.41325 + 6.29 + 0.29	0.21609 9.65123 1.39625 + 11.16 + 0.74	0.30251 9.83437 1.37146 + 16.06 + 1.37
+ 0.04 + 0.85	+ 0.03 + 0.93	+ 0.02 + 1.01	+ 0.02 + 1.12	+ 0.01 + 1.25	+ 0.00 + 1.40	+ 0.02 + 1.58	+ 0.03 + 1.78	+ 0.05 + 2.01

Datum	f^{IV}	f^{III}	f^{II}	f^I	ΣU	f	$\int \Sigma U dt$	$\log \int \Sigma U dt$	$\log \int U^2 dt$
1871 Juni 5				+ 11.15	264.62		+ 5630.84	3.750573	3.750675
Juli 15			+ 5.46	+ 16.61	253.47	+ 5499.25	+ 5371.36	3.730084	3.730181
Aug. 24	+ 0.12	+ 0.74	+ 6.20	+ 22.81	236.86	+ 5245.78	+ 5125.75	3.709757	3.709850
Oct. 3	+ 0.15	+ 1.01	+ 7.06	+ 29.87	214.05	+ 5008.92	+ 4899.71	3.690170	3.690259
Nov. 12	- 0.02	+ 0.99	+ 8.07	+ 37.94	184.18	+ 4794.87	+ 4699.97	3.672095	3.672180
Dec. 22	+ 0.04	+ 0.99	+ 9.06	+ 47.00	146.24	+ 4610.69	+ 4534.05	3.656486	3.656568
1872 Jan. 31	- 0.07	+ 1.03	+ 10.09	+ 57.09	99.24	+ 4464.45	+ 4410.50	3.644488	3.644568
Marz 11	- 0.13	+ 0.96	+ 11.05	+ 68.14	42.15	+ 4395.21	+ 4338.91	3.637381	3.637460
April 20	- 0.21	+ 0.83	+ 11.88	+ 80.02	25.99	+ 4323.06	+ 4229.89	3.636477	3.636555
Mai 30	0.35	+ 0.62	+ 12.50	+ 92.52	106.01	+ 4249.05	+ 4194.87	3.629436	3.629526
Juli 9	- 0.58	+ 0.27	+ 12.77	+ 105.29	198.53	+ 4155.06	+ 4146.09	3.627638	3.627721
Aug. 18	- 0.97	- 0.31	+ 12.46	+ 117.75	303.82	+ 4053.59	+ 4096.21	3.620898	3.620985
Sept. 27	- 1.55	- 1.28	+ 11.18	+ 128.93	421.57	+ 3957.41	+ 4157.88	3.712471	3.712565
Nov. 6	- 2.32	- 2.83	+ 8.35	+ 137.28	550.50	+ 3878.98	+ 5943.11	3.751519	3.751621
Dec. 16	3.47	- 5.15	+ 3.20	+ 140.48	687.78	+ 3729.48	+ 6261.70	3.796692	3.796805
1873 Jan. 25	- 4.49	- 8.62	- 5.42	+ 135.06	828.26	+ 3617.26	+ 7019.73	3.846321	3.846448
Marz 6	5.40	- 13.11	- 18.53	+ 116.53	963.32	+ 3445.52	+ 7916.50	3.898533	3.898677
April 15	5.12	- 18.51	- 37.04	+ 79.49	1079.85	+ 3408.84	+ 8940.23	3.951348	3.951510
Mai 25	- 2.44	- 23.63	- 60.67	+ 19.49	1159.34	+ 3288.69	+ 10063.98	4.002770	4.002952
Juli 4	+ 3.01	- 26.07	- 86.74	+ 18.82	1178.16	+ 3168.03	+ 11238.75	4.050718	4.050922
Aug. 13	+ 11.91	- 23.06	- 109.80	- 67.92	1110.24	+ 3126.19	+ 12391.32	4.093117	4.093341
Sept. 22	+ 20.40	+ 9.25	- 120.95	- 298.67	932.52	+ 3036.43	+ 13422.51	4.127834	4.128077
Nov. 1	+ 24.39	+ 33.64	- 111.70	- 410.37	633.85	+ 3068.95	+ 14215.76	4.152770	4.153027
Dec. 11	+ 18.70	+ 52.34	- 78.06	- 488.43	223.48	+ 2952.80	+ 14652.59	4.165915	4.166180
1874 Jan. 20	+ 5.13	+ 57.47	- 25.72	- 514.15	264.95	+ 2826.28	+ 14636.44	4.165435	4.165700
Marz 1	- 10.55	+ 46.92	+ 31.75	- 482.40	779.10	+ 2761.33	+ 14113.93	4.149648	4.149904
April 10	19.89	+ 27.03	+ 78.67	- 403.73	1261.50	+ 2682.23	+ 13088.96	4.116905	4.117142
Mai 20	21.42	+ 5.61	+ 105.70	- 298.03	1665.23	+ 2555.50	+ 11617.61	4.065117	4.065328
Juni 29	15.32	- 9.71	+ 111.31	- 186.72	1993.26	+ 2492.24	+ 9793.95	3.990958	3.991135
Aug. 8	- 8.23	- 17.94	+ 101.60	- 85.12	2149.98	+ 2442.26	+ 7728.40	3.888090	3.888230
Sept. 17	2.76	- 20.70	+ 83.66	- 1.46	2235.10	+ 2407.16	+ 5528.36	3.742596	3.742696
Oct. 27	+ 2.17	- 18.53	+ 62.96	+ 61.50	2236.56	+ 2170.60	+ 3286.00	3.516668	3.516728
Dec. 6	+ 3.15	15.38	+ 44.43	+ 105.93	2175.06	- 4.46	+ 1075.85	3.031752	3.031771
1875 Jan. 15			+ 29.05	+ 134.98	2099.13		- 1049.30	3.020900	3.020881
Febr. 24					1954.15	2073.59	- 3052.73	3.484688	3.484633

}

Datum	f^{IV}	f^{III}	f^{II}	f^I	$\frac{d^2 v}{dt^2}$	f	nf
1871 Juni 5					+ 222.94		— 385.75
Juli 15			— 19.97	— 134.34	+ 88.60	+ 6278.89	+ 5893.14
Aug. 24	+ 3.08	+ 4.84	— 15.13	— 154.31	— 65.71	+ 6367.49	+ 12260.63
Oct. 3	+ 2.91	+ 7.92	— 7.21	— 169.44	— 235.15	+ 6301.78	+ 18562.41
Nov. 12	+ 1.76	+ 10.83	+ 3.62	— 176.65	— 411.80	+ 6066.63	+ 24629.04
Dec. 22	— 0.16	+ 12.59	+ 16.21	— 173.03	— 584.83	+ 5654.83	+ 30283.87
1872 Jan. 31	— 2.31	+ 12.43	+ 28.64	— 156.82	+ 5070.00		+ 35353.87
Marz 11	— 4.26	+ 10.12	+ 28.64	— 128.18	— 741.65	+ 4328.35	+ 39682.22
April 20	— 4.83	+ 5.86	+ 38.76	— 89.42	— 869.83	+ 3458.52	+ 43140.74
Mai 30	— 4.53	+ 1.03	+ 44.62	— 44.80	— 959.25	+ 2499.27	+ 45640.01
Juli 9	— 3.32	— 3.50	+ 45.65	+ 0.85	— 1004.05	+ 1495.22	+ 47135.23
Aug. 18	— 1.37	— 6.82	+ 42.15	+ 43.00	— 1003.20	+ 492.02	+ 47627.25
Sept. 27	— 0.28	— 8.19	+ 35.33	+ 78.33	— 960.20	— 468.18	+ 47159.07
Nov. 6	+ 1.14	— 8.47	+ 27.14	+ 105.47	— 881.87	1350.05	+ 45809.02
Dec. 16	+ 1.23	— 7.33	+ 18.67	+ 124.14	— 776.40	— 2126.45	+ 43682.57
1873 Jan. 25	+ 1.30	— 6.10	+ 11.34	+ 135.48	— 652.26	— 2778.71	+ 40903.86
Marz 6	+ 0.88	— 4.80	+ 5.24	+ 140.72	— 516.78	3295.49	+ 37608.37
April 15	+ 0.32	— 3.92	+ 0.44	+ 141.16	— 376.06	3671.55	+ 33936.82
Mai 25	— 0.22	— 3.60	— 3.48	+ 137.68	— 234.90	— 3906.45	+ 30030.37
Juli 4	— 0.54	— 3.82	— 7.08	+ 130.60	— 97.22	— 4003.67	+ 26026.70
Aug. 13	— 0.39	— 4.36	— 10.90	+ 119.70	+ 33.38	— 3970.29	+ 22056.41
Sept. 22	+ 0.51	— 4.75	— 15.26	+ 104.44	+ 153.08	— 3817.21	+ 18239.20
Nov. 1	+ 1.53	— 4.24	— 20.01	+ 84.43	+ 257.52	— 3559.69	+ 14679.51
Dec. 11	+ 2.70	— 2.71	— 24.25	+ 60.18	+ 341.95	— 3217.74	+ 11461.77
1874 Jan. 20	+ 2.96	+ 0.05	— 26.96	+ 33.22	+ 402.13	— 2815.61	+ 8646.16
Marz 1	+ 2.19	+ 3.01	— 26.91	+ 6.31	+ 435.35	— 2380.26	+ 6265.90
April 10	+ 0.91	+ 5.20	— 23.90	— 17.59	+ 441.66	— 1938.60	+ 4327.30
Mai 20	— 0.35	+ 6.11	— 18.70	— 36.29	+ 424.07	— 1514.53	+ 2812.77
Juni 29	— 1.22	+ 5.76	— 12.59	— 48.88	+ 387.78	— 1126.75	+ 1686.02
Aug. 8	— 1.43	+ 4.54	— 6.83	— 55.71	+ 338.90	— 787.85	+ 898.17
Sept. 17	— 1.18	+ 3.11	— 2.29	— 58.00	+ 283.19	— 504.66	+ 393.51
Oct. 27	— 1.03	+ 1.93	+ 0.82	— 57.18	+ 225.19	— 279.47	+ 114.04
Dec. 6	— 0.57	+ 0.90	+ 2.75	— 54.43	+ 168.01	— 111.46	+ 2.58
1875 Jan. 15		+ 0.33	+ 3.65	— 50.78	+ 113.58	+ 2.12	+ 4.70
Feb. 24			+ 3.98	— 46.80	+ 62.80	+ 64.92	+ 69.62
					+ 16.00	+ 80.92	+ 150.54

z

Datum	f^{iv}	f^{iii}	f^{ii}	f^i	$\frac{d^2z}{dt^2}$	f	$''f$
1871 Juni 5				+ 4.16	— 31.75	— 268.74	+ 1448.63
Juli 15		+ 0.02	+ 1.38	+ 5.54	— 27.59	— 296.33	+ 1179.89
Aug. 24	0.21	— 0.19	+ 1.40	+ 6.94	— 22.05	— 318.38	+ 883.56
Oct. 3	0.15	— 0.34	+ 1.21	+ 8.15	— 15.11	— 333.49	+ 565.18
Nov. 12	0.14	— 0.48	+ 0.87	+ 9.02	— 6.96	— 340.45	+ 231.69
Dec. 22	0.13	— 0.61	+ 0.39	+ 9.41	+ 2.06	— 338.39	— 108.76
1872 Jan. 31	0	— 0.61	— 0.22	+ 9.19	+ 11.47	— 326.92	— 447.15
Marz 11	+ 0.07	— 0.54	— 0.83	+ 8.36	+ 20.66	— 306.26	— 774.07
April 20	+ 0.23	— 0.31	— 1.37	+ 6.99	+ 29.02	— 277.24	— 1080.33
Mai 30	+ 0.15	— 0.16	— 1.68	+ 5.31	+ 36.01	— 241.23	— 1357.57
Juli 9	+ 0.23	+ 0.07	— 1.84	+ 3.47	+ 41.32	— 199.91	— 1598.80
Aug. 18	+ 0.07	+ 0.14	— 1.77	+ 1.70	+ 44.79	— 155.12	— 1798.71
Sept. 27	+ 0.16	+ 0.30	— 1.63	+ 0.07	+ 46.49	— 108.63	— 1953.83
Nov. 6	— 0.05	+ 0.25	— 1.33	— 1.26	+ 46.56	— 62.07	— 2062.46
Dec. 16	— 0.07	+ 0.18	— 1.08	— 2.34	+ 45.30	— 16.77	— 2124.53
1873 Jan. 25	— 0.04	+ 0.14	— 0.90	— 3.24	+ 42.96	+ 26.19	— 2141.30
Marz 6	— 0.05	+ 0.09	0.76	— 4.00	+ 39.72	+ 65.91	— 2115.11
April 15	— 0.09	0	— 0.67	— 4.67	+ 35.72	+ 101.63	— 2049.20
Mai 25	0	0	— 0.67	— 5.34	+ 31.05	+ 132.68	— 1947.57
Juli 4	+ 0.02	+ 0.02	— 0.67	— 6.01	+ 25.71	+ 158.39	— 1814.89
Aug. 13	+ 0.16	+ 0.18	0.65	— 6.66	+ 19.70	+ 178.09	— 1656.50
Sept. 22	+ 0.11	+ 0.29	— 0.47	— 7.13	+ 13.04	+ 191.13	— 1478.41
Nov. 1	+ 0.14	+ 0.43	— 0.18	— 7.31	+ 5.91	+ 197.04	— 1287.28
Dec. 11	+ 0.06	+ 0.49	+ 0.25	— 7.06	— 1.40	+ 195.64	— 1090.24
1874 Jan. 20	— 0.03	+ 0.46	+ 0.74	— 6.32	— 8.46	+ 187.18	— 894.60
März 1	0.26	+ 0.20	+ 1.20	— 5.12	— 14.78	+ 172.40	— 707.42
April 10	— 0.13	+ 0.07	+ 1.40	— 3.72	— 19.90	+ 152.50	— 535.02
Mai 20	— 0.23	— 0.16	+ 1.47	— 2.25	— 23.62	+ 128.88	— 382.52
Juni 29	— 0.03	— 0.19	+ 1.31	— 0.94	— 25.87	+ 103.01	— 253.64
Aug. 8	— 0.11	— 0.30	+ 1.12	+ 0.18	— 26.81	+ 76.20	— 150.63
Sept. 17	+ 0.09	— 0.21	+ 0.82	+ 1.00	— 26.63	+ 49.57	— 74.43
Oct. 27	+ 0.02	— 0.19	+ 0.61	+ 1.61	— 25.63	+ 23.94	— 24.86
Dec. 6	+ 0.06	— 0.13	+ 0.42	+ 2.03	— 24.02	— 0.08	— 0.92
1875 Jan. 15			+ 0.20	+ 2.32	— 21.99	— 22.07	— 1.00
Febr. 24					— 19.67	— 41.74	— 64.81

IM

Datum	f^{IV}	f^{III}	f^{II}	f^{I}	$\frac{dIM}{dt}$	f
1871 Juni 5					+ 1''882	+ 1' 3'24''810
Juli 15			— 0''383	— 32''109	— 30''227	+ 1' 3'26''692
Aug. 24	+ 0''075	+ 0''885	+ 0.402	— 32.492	— 1' 2''19	+ 1' 2'56''465
Oct. 3	+ 0.023	+ 0.860	+ 1.262	— 32.090	— 1'34''809	+ 1' 1'53''746
Nov. 12	— 0.019	+ 0.883	+ 2.145	— 30.828	— 2' 5''637	+ 1' 0'18''937
Dec. 22	— 0.090	+ 0.864	+ 3.009	— 28.683	— 2'34''320	+ 58'13''300
1872 Jan. 31	— 0.142	+ 0.774	+ 3.783	— 25.674	— 2'59''994	+ 55'38''980
März 11	— 0.198	+ 0.632	+ 4.415	— 21.891	— 3'21''885	+ 52'38''986
April 20	— 0.217	+ 0.434	+ 4.849	— 17.476	— 3'39''361	+ 49'17''101
Mai 30	— 0.227	+ 0.217	+ 5.066	— 12.627	— 3'51''988	+ 45'37''240
Juli 9	— 0.208	— 0.010	+ 5.056	— 7.561	— 3'59''549	+ 41'45''552
Aug. 18	— 0.171	— 0.218	+ 4.838	— 2.505	— 4' 2''054	+ 37'46''203
Sept. 27	— 0.137	— 0.389	+ 4.449	+ 2.333	— 3'59''221	+ 33'44''149
Nov. 6	— 0.091	— 0.526	+ 3.923	+ 6.782	— 3'52''939	+ 29'44''428
Dec. 16	— 0.060	— 0.617	+ 3.306	+ 10.705	— 3'42''234	+ 25'51''489
1873 Jan. 25	— 0.027	— 0.677	+ 2.629	+ 14.011	— 3'28''223	+ 22' 9''255
März 6	— 0.007	— 0.704	+ 1.925	+ 16.640	— 3'11''583	+ 18'41''032
April 15	+ 0.019	— 0.711	+ 1.214	+ 18.565	— 2'53''018	+ 15'29''449
Mai 25	+ 0.028	— 0.692	+ 0.522	+ 19.779	— 2'33''239	+ 12'36''431
Juli 4	+ 0.056	— 0.664	— 0.142	+ 20.301	— 2'12''938	+ 10' 3''192
Aug. 13	+ 0.074	— 0.608	— 0.750	+ 20.159	— 1'52''779	+ 7'50''254
Sept. 22	+ 0.101	— 0.534	— 1.284	+ 19.409	— 1'33''370	+ 5'57''475
Nov. 1	+ 0.120	— 0.433	— 1.717	+ 18.125	— 1'15''245	+ 4'24''105
Dec. 11	+ 0.139	— 0.313	— 2.030	+ 16.408	— 58''837	+ 3' 8''860
1874 Jan. 20	+ 0.135	— 0.174	— 2.204	+ 14.378	— 44''459	+ 2'10''023
März 1	+ 0.124	— 0.059	— 2.243	+ 12.174	— 32''285	+ 1'25''564
April 10	+ 0.094	+ 0.085	— 2.158	+ 9.931	— 22''354	+ 0'53''279
Mai 20	+ 0.068	+ 0.179	— 1.979	+ 7.773	— 14''581	+ 30''925
Juni 29	+ 0.034	+ 0.247	— 1.732	+ 5.794	— 8''87	+ 16''344
Aug. 8	+ 0.017	+ 0.281	— 1.451	+ 4.062	— 4''25	+ 7''557
Sept. 17	— 0.009	+ 0.298	— 1.153	+ 2.611	— 2''114	+ 2''832
Oct. 27	— 0.008	+ 0.289	— 0.864	+ 1.458	— 0''656	+ 0''718
Dec. 6	— 0.022	+ 0.281	— 0.583	+ 0.594	— 0''062	+ 0''062
1875 Jan. 15		+ 0.259	— 0.324	+ 0.011	— 0''051	0''000
Febr. 24				— 0.313	— 0''364	0''051
						— 0''415

Datum	f^{iv}	f^{iii}	f^{ii}	f^i	$\frac{dJ\omega}{dt}$	Jf
1871 Juni 5					+ 14"371	— 9' 1"718
Juli 15			— 0"039	— 0"075	+ 14.296	— 8'47"347
Aug. 24	+ 0"009	— 0"001	— 0.040	— 0.114	+ 14.182	— 8'33"051
Oct. 3	+ 0.005	+ 0.008	— 0.032	— 0.154	+ 14.028	— 8'18"869
Nov. 12	+ 0.011	+ 0.013	— 0.019	— 0.186	+ 13.842	— 8' 4"841
Dec. 22	+ 0.004	+ 0.024	+ 0.005	— 0.205	+ 13.637	— 7'50"999
1872 Jan. 31	+ 0.009	+ 0.028	+ 0.033	— 0.200	+ 13.437	— 7'37"362
März 11	0	+ 0.037	+ 0.070	— 0.167	+ 13.270	— 7'23"925
April 20	0	+ 0.037	+ 0.107	— 0.097	+ 13.173	— 7'10"655
Mai 30	— 0.007	+ 0.037	+ 0.144	+ 0.010	+ 13.183	— 6'57"482
Juli 9	— 0.007	+ 0.030	+ 0.174	+ 0.154	+ 13.337	— 6'44"299
Aug. 18	— 0.009	+ 0.023	+ 0.197	+ 0.328	+ 13.665	— 6'30"962
Sept. 27	— 0.011	+ 0.014	+ 0.211	+ 0.525	+ 14.190	— 6'17"297
Nov. 6	— 0.012	+ 0.003	+ 0.214	+ 0.736	+ 14.926	— 6' 3"107
Dec. 16	— 0.015	— 0.009	+ 0.205	+ 0.950	+ 15.876	— 5'48"181
1873 Jan. 25	— 0.020	— 0.024	+ 0.181	+ 1.155	+ 17.031	— 5'32"305
März 6	— 0.020	— 0.044	+ 0.137	+ 1.336	+ 18.367	— 5'15"274
April 15	— 0.036	— 0.064	+ 0.073	+ 1.473	+ 19.840	— 4'56"907
Mai 25	— 0.025	— 0.100	— 0.027	+ 1.546	+ 21.586	— 4'37"067
Juli 4	— 0.032	— 0.125	— 0.152	+ 1.519	+ 22.905	— 4'15"681
Aug. 13	— 0.006	— 0.157	— 0.309	+ 1.367	+ 24.272	— 3'52"776
Sept. 22	+ 0.012	— 0.163	— 0.472	+ 1.058	+ 25.330	— 3'28"504
Nov. 1	+ 0.051	— 0.151	— 0.623	+ 0.586	+ 25.916	— 3' 3"174
Dec. 11	+ 0.074	— 0.100	— 0.723	— 0.037	+ 25.879	— 2'37"258
1874 Jan. 20	+ 0.084	— 0.029	— 0.749	— 0.760	+ 25.119	— 2'11"379
März 1	+ 0.063	+ 0.058	— 0.691	— 1.509	+ 23.610	— 1'46"260
April 10	+ 0.043	+ 0.121	— 0.570	— 2.200	+ 21.410	— 1'22"650
Mai 20	+ 0.002	+ 0.164	— 0.406	— 2.770	+ 18.640	— 1' 1"240
Juni 29	— 0.022	+ 0.166	— 0.240	— 3.176	+ 15.464	— 42"600
Aug. 8	— 0.030	+ 0.144	— 0.096	— 3.416	+ 12.048	— 27"136
Sept. 17	— 0.034	+ 0.114	+ 0.018	— 3.512	+ 8.536	— 15"088
Oct. 27	— 0.034	+ 0.080	+ 0.098	— 3.494	+ 5.042	— 6"552
Dec. 6	0.021	+ 0.046	+ 0.144	— 3.396	+ 1.646	— 1"510
1875 Jan. 15		+ 0.025	+ 0.169	— 3.252	1.606	+ 0"136
Febr. 24				— 3.083	4.689	— 1"470
						— 6"159

Datum			$\Sigma \frac{d \Delta M}{dt}$	$\Sigma \frac{d \Delta \omega}{dt}$	$\Sigma \Sigma \frac{d^2 r}{dt^2}$	$\Sigma \Sigma \frac{d^2 z}{dt^2}$
1860	Juni	22	+ 3° 7' 16" 749	— 39' 25" 450	— 59172.01	+ 8844.62
	Aug.	1	+ 3° 11' 3" 545	— 39' 11" 278	— 44051.97	+ 7708.41
	Sept.	10	+ 3° 13' 25" 366	— 38' 57" 288	— 27625.01	+ 6384.95
	Oct.	20	+ 3° 14' 17" 824	— 38' 43" 615	— 10257.87	+ 4899.22
	Nov.	29	+ 3° 13' 38" 818	— 38' 30" 383	+ 7614.36	+ 3284.52
1861	Jan.	8	+ 3° 11' 28" 729	— 38' 17" 694	+ 25509.36	+ 1581.28
	Febr.	17	+ 3° 7' 50" 448	— 38' 5" 611	+ 42927.36	— 165.17
	März	29	+ 3° 2' 49" 247	— 37' 54" 152	+ 59385.22	— 1907.51
	Mai	8	+ 2° 56' 32" 489	— 37' 43" 283	+ 74449.26	— 3599.63
	Juni	17	+ 2° 49' 9" 219	— 37' 32" 923	+ 87761.20	— 5199.52
	Juli	27	+ 2° 40' 49" 111	— 37' 22" 948	+ 99053.77	— 6671.46
	Sept.	5	+ 2° 31' 44" 991	— 37' 13" 201	+ 108155.12	— 7987.28
	Oct.	15	+ 2° 22' 6" 405	— 37' 3" 499	+ 114983.78	— 9126.67
	Nov.	24	+ 2° 12' 5" 249	— 36' 53" 645	+ 119537.17	— 10076.78
1862	Jan.	3	+ 2° 1' 52" 473	— 36' 43" 431	+ 121877.04	— 10831.36
	Febr.	12	+ 1° 51' 38" 463	— 36' 32" 644	+ 122114.33	— 11389.70
	März	24	+ 1° 41' 32" 883	— 36' 21" 066	+ 120395.52	— 11755.50
	Mai	3	+ 1° 31' 44" 569	— 36' 8" 478	+ 116890.99	— 11935.88
	Juni	12	+ 1° 22' 21" 474	— 35' 54" 658	+ 111785.97	— 11940.54
	Juli	22	+ 1° 13' 30" 624	— 35' 39" 383	+ 105273.76	— 11781.08
	Aug.	31	+ 1° 5' 18" 107	— 35' 22" 430	+ 97551.02	— 11470.55
	Oct.	10	+ 0° 57' 49" 075	— 35' 3" 576	+ 88814.59	— 11023.08
	Nov.	19	+ 0° 51' 7" 739	— 34' 42" 606	+ 79259.63	— 10453.71
	Dec.	29	+ 0° 45' 17" 381	— 34' 19" 317	+ 69078.57	— 9778.27
1863	Febr.	7	+ 0° 40' 20" 357	— 33' 53" 533	+ 58460.57	— 9013.36
	März	19	+ 0° 36' 18" 108	— 33' 25" 121	+ 47591.30	— 8176.34
	April	28	+ 0° 33' 11" 167	— 32' 54" 013	+ 36652.51	— 7285.32
	Juni	7	+ 0° 30' 59" 170	— 32' 20" 234	+ 25821.25	— 6359.08
	Juli	17	+ 0° 29' 40" 878	— 31' 43" 933	+ 15268.28	— 5416.83
	Aug.	26	+ 0° 29' 14" 213	— 31' 5" 403	+ 5155.57	— 4477.77
	Oct.	5	+ 0° 29' 36" 310	— 30' 25" 095	— 4367.28	— 3560.43
	Nov.	14	+ 0° 30' 43" 596	— 29' 43" 603	— 13167.29	— 2681.78
	Dec.	24	+ 0° 32' 31" 892	— 29' 1" 628	— 21132.32	— 1856.31

Datum			$\Sigma \frac{dJM}{dt}$	$\Sigma \frac{dJ\omega}{dt}$	$\Sigma \Sigma \frac{d^2r}{dt^2}$	$\Sigma \Sigma \frac{d^2z}{dt^2}$
1864	Febr.	2	+ 0°34'56"534	— 28'19"911	— 28174.28	— 1095.25
	Marz	13	+ 0°37'52"502	— 27'39"166	— 34230.37	— 406.10
	April	22	+ 0°41'14"546	— 27' 0"008	— 39261.96	+ 207.30
	Juni	1	+ 0°44'57"298	— 26'22"912	— 43251.31	+ 744.28
	Juli	11	+ 0°48'55"363	— 25'48"193	— 46197.12	+ 1206.49
	Aug.	20	+ 0°53' 3"383	— 25'16"013	— 48109.97	+ 1597.03
	Sept.	29	+ 0°57'16"087	— 24'46"402	— 49008.37	+ 1919.65
	Nov.	8	+ 1° 1'28"322	— 24'19"286	— 48916.09	+ 2178.15
	Dec.	18	+ 1° 5'35"080	— 23'54"517	— 47860.61	+ 2375.96
	Jan.	27	+ 1° 9'31"518	— 23'31"897	— 45872.82	+ 2515.97
	Marz	8	+ 1°13'12"980	— 23'11"197	— 42987.54	+ 2600.48
	April	17	+ 1°16'35"036	— 22'52"169	— 39244.94	+ 2631.26
1865	Mai	27	+ 1°19'33"515	— 22'34"558	— 34692.46	+ 2609.68
	Juli	6	+ 1°22' 4"561	— 22'18"106	— 29387.26	+ 2536.89
	Aug.	15	+ 1°24' 4"696	— 22' 2"558	— 23398.97	+ 2414.07
	Sept.	24	+ 1°25'30"902	— 21'47"663	— 16812.52	+ 2242.66
	Nov.	3	+ 1°26'20"707	— 21'33"178	— 9730.85	+ 2024.66
	Dec.	13	+ 1°26'32"288	— 21'18"874	— 2277.02	+ 1762.93
	Jan.	22	+ 1°26' 4"571	— 21' 4"538	+ 5404.88	+ 1461.46
	Marz	3	+ 1°24'57"328	— 20'49"983	+ 13150.62	+ 1125.61
	April	12	+ 1°23'11"251	— 20'35"057	+ 20779.32	+ 762.25
	Mai	22	+ 1°20'47"995	— 20'19"650	+ 28099.94	+ 379.72
	Juli	1	+ 1°17'50"172	— 20' 3"701	+ 34920.71	— 12.36
	Aug.	10	+ 1°14'21"291	— 19'47"202	+ 41060.70	— 403.54
1866	Sept.	19	+ 1°10'25"635	— 19'30"194	+ 46361.97	— 783.12
	Oct.	29	+ 1° 6' 8"092	— 19'12"760	+ 50700.16	— 1140.84
	Dec.	8	+ 1° 1'33"951	— 18'55"011	+ 53991.71	— 1467.57
	Jan.	17	+ 0°56'48"689	— 18'37"073	+ 56196.56	— 1555.79
	Febr.	26	+ 0°51'57"768	— 18'19"071	+ 57316.18	— 1999.93
	April	7	+ 0°47' 6"456	— 18' 1"123	+ 57388.03	— 2196.43
	Mai	17	+ 0°42'19"695	— 17'43"327	+ 56477.94	— 2343.62
	Juni	26	+ 0°37'42"001	— 17'25"763	+ 54671.82	— 2441.49
	Aug.	5	+ 0°33'17"402	— 17' 8"488	+ 52067.96	— 2491.34

Datum			$\Sigma \frac{dM}{dt}$	$\Sigma \frac{d\omega}{dt}$	$\Sigma \Sigma \frac{d^2 r}{dt^2}$	$\Sigma \Sigma \frac{d^2 z}{dt^2}$
1867	Sept.	14	+ 0°29' 9"412	— 16'51"541	+ 48770.61	— 2495.50
	Oct.	24	+ 0°25'21"024	— 16'34"944	+ 44885.04	— 2457.00
	Dec.	3	+ 0°21'54"20	— 16'18"706	+ 40514.04	— 2379.34
1868	Jan.	12	+ 0°18'52"498	— 16' 2"823	+ 35755.66	— 2266.27
	Febr.	21	+ 0°16'15"894	— 15'47"285	+ 30701.94	— 2121.68
	April	1	+ 0°14' 6"019	— 15'32"075	+ 25438.35	— 1949.46
	Mai	11	+ 0°12'23"585	— 15'17"170	+ 20043.66	— 1753.44
	Juni	20	+ 0°11' 8"938	— 15' 2"546	+ 14590.21	— 1537.34
	Juli	30	+ 0°10'22"089	— 14'48"175	+ 9144.32	— 1304.75
	Sept.	8	+ 0°10' 2"734	— 14'34"028	+ 3766.80	— 1059.14
	Oct.	18	+ 0°10'10"282	— 14'20"076	— 1486.47	— 803.80
	Nov.	27	+ 0°10'43"874	— 14' 6"289	— 6564.03	— 541.89
1869	Jan.	6	+ 0°11'42"403	— 13'52"637	— 11418.30	— 276.45
	Febr.	15	+ 0°13' 4"529	— 13'39"091	— 16005.12	— 10.39
	März	27	+ 0°14'48"693	— 13'25"622	— 20283.32	+ 253.50
	Mai	6	+ 0°16'53"132	— 13'12"202	— 24214.35	+ 512.53
	Juni	15	+ 0°19'15"887	— 12'58"804	— 27762.01	+ 764.08
	Juli	25	+ 0°21'54"820	— 12'45"404	— 30892.18	+ 1005.60
	Sept.	3	+ 0°24'47"616	— 12'31"979	— 33572.71	+ 1234.62
	Oct.	13	+ 0°27'51"802	— 12'18"509	— 35773.36	+ 1448.73
	Nov.	22	+ 0°31' 4"749	— 12' 4"977	— 37465.81	+ 1645.56
1870	Jan.	1	+ 0°34'23"692	— 11'51"370	— 38623.81	+ 1822.78
	Febr.	10	+ 0°37'45"736	— 11'37"677	— 39223.40	+ 1978.11
	März	22	+ 0°41' 7"876	— 11'23"892	— 39243.30	+ 2109.31
	Mai	1	+ 0°44'27"011	— 11'10"012	— 38665.44	+ 2214.21
	Juni	10	+ 0°47'39"972	— 10'56"038	— 37475.65	+ 2290.71
	Juli	20	+ 0°50'43"543	— 10'41"972	— 35664.53	+ 2336.81
	Aug.	29	+ 0°53'34"496	— 10'27"820	— 33228.57	+ 2350.64
	Oct.	8	+ 0°56' 9"631	— 10'13"590	— 30171.54	+ 2330.52
	Nov.	17	+ 0°58'25"823	— 9'59"291	— 26506.10	+ 2275.03
	Dec.	27	+ 1° 0'20"078	— 9'44"936	— 22255.75	+ 2183.09
1871	Febr.	5	+ 1° 1'49"605	— 9'30"541	— 17457.10	+ 2054.09
	März	17	+ 1° 2'51"894	— 9'16"126	— 12162.34	+ 1888.01

Datum			$\Sigma \frac{dJ M}{dt}$	$\Sigma \frac{dJ \omega}{dt}$	$\Sigma \Sigma \frac{d^2 r}{dt^2}$	$\Sigma \Sigma \frac{d^2 z}{dt^2}$
1871	April	26	+ 1" 3' 24" 810	— 9' 1" 718	— 6441.70	+ 1685.62
	Juni	5	+ 1" 3' 26" 692	— 8' 47" 347	— 385.75	+ 1448.63
	Juli	15	+ 1" 2' 56" 465	— 8' 33" 051	+ 5893.14	+ 1179.89
	Aug.	24	+ 1" 1' 53" 746	— 8' 18" 869	+ 12260.63	+ 883.56
1875	Jan.	15	— 0" 051	— 1" 470	+ 4.70	— 1.00
	Febr.	24	— 0" 415	— 6" 159	+ 69.62	— 23.07
	April	5	— 1" 175	— 13" 756	+ 150.54	— 64.81
	Mai	15	— 2" 196	— 24" 093	+ 204.58	— 123.74
	Juni	24	— 3" 139	— 37" 012	+ 192.53	— 197.26
	Aug.	3	— 3" 484	— 52" 375	+ 78.56	— 282.71
	Sept.	12	— 2" 542	— 1' 10" 060	— 170.05	— 377.39
	Oct.	22	+ 0" 530	— 1' 29" 966	— 583.14	— 478.57
	Dec.	1	+ 6" 713	— 1' 52" 011	— 1187.79	— 583.49
1876	Jan.	10	+ 17" 115	— 2' 16" 131	— 2008.31	— 689.36
	Febr.	19	+ 32.952	— 2' 42" 277	— 3066.08	— 793.36
	März	30	+ 55" 535	— 3' 10" 414	— 4379.25	— 892.64
	Mai	9	+ 1' 26" 252	— 3' 40" 519	— 5962.23	— 984.33
	Juni	18	+ 2' 6" 541	— 4' 12" 575	— 7824.98	— 1065.52
	Juli	28	+ 2' 57" 867	— 4' 46" 570	— 9972.04	— 1133.32
	Sept.	6	+ 4' 1" 686	— 5' 22" 488	— 12401.39	— 1184.86
	Oct.	16	+ 5' 19" 406	— 6' 0" 302	— 15103.00	— 1217.36
	Nov.	25	+ 6' 52" 336	— 6' 39" 966	— 18057.28	— 1228.23
1877	Jan.	4	+ 8' 41" 628	— 7' 21" 399	— 21233.47	— 1215.17
	Febr.	13	+ 10' 48" 215	— 8' 4" 472	— 24588.09	— 1176.35
	März	25	+ 13' 12" 733	— 8' 48" 993	— 28063.85	— 1110.57
	Mai	4	+ 15' 55" 453	— 9' 34" 697	— 31589.29	— 1017.47
	Juni	13	+ 18' 56" 208	— 10' 21" 238	— 35079.71	— 897.73
	Juli	23	+ 22' 14" 338	— 11' 8" 203	— 38439.78	— 753.17
	Sept.	1	+ 25' 48" 658	— 11' 55" 132	— 41568.16	— 586.81
	Oct.	11	+ 29' 37" 457	— 12' 41" 550	— 44363.85	— 402.74
	Nov	20	+ 33' 38" 539	— 13' 27" 011	— 46733.46	— 205.92
	Dec.	30	+ 37' 49" 294	— 14' 11" 129	— 48598.29	— 1.79
					— 49899.82	+ 204.11

Als Beispiel zu den Formeln zum Uebergang auf osculirende Elemente leite ich die osculirenden Elemente für 1871 Sept. 13 ab. Es tritt zwar, wie die im obigen Beispiele ausgeführte Störungsrechnung erweist, durchaus nicht die Nothwendigkeit auf, die Störungen auf die Elemente zu übertragen, da der Gang der Störungen noch hinreichend regelmässig ist und selbst bei der Fortführung der Rechnung bis zum Jahre 1860 zurück, vom Anfang 1875 ausgehend, niemals allzu unregelmässig wird. Der Uebergang wird also hier nur als Beispiel aufzufassen sein, welches vergleichende Anhaltspunkte für die Leistungsfähigkeit der verschiedenen Methoden der Störungsrechnung abgeben soll; denn für dieselbe Epoche wurden bereits osculirende Elemente abgeleitet bei dem Beispiele der Störungsrechnung nach den rechtwinkligen Coordinaten, wobei jedoch für diese letztere Methode der Uebergang auf osculirende Elemente dringend nothwendig war. Die Elemente, welche der Störungsrechnung zu Grunde liegen, sind wie oben pag. 173):

62) Erato

Epoche, Osculation 1874 Dec. 26,0 mittl. Berl. Zeit
mittl. Aeq. 1870.0

$$\begin{aligned} L_0 &= 219^\circ \quad 8' \quad 6''8 \\ M_0 &= 180 \quad 40 \quad 48.9 \\ \pi_0 &= 38 \quad 27 \quad 17.9 \\ Q_0 &= 125 \quad 42 \quad 39.7 \\ i_0 &= 2 \quad 12 \quad 23.9 \\ q_0 &= 9 \quad 59 \quad 14.9 \\ \mu_0 &= 0.40''89605 \\ \log a_0 &= 0.495 \quad 4793 . \end{aligned}$$

Wählt man wieder als Zeiteinheit das Intervall der Störungsrechnung (40 Tage, also für k überall $40k$, für w aber die Einheit einzusetzen), so finden sich die der Rechnung zu Grunde zu legenden einfachen und Doppelintegrale, weil die neue Osculationsepoche in die Mitte eines Störungsintervalles fällt, nach den Formeln (vergl. pag. 35, 53):

$$\begin{aligned} \int_{a+[i+\frac{1}{2}]w}^{a+[i+\frac{1}{2}]w} f(x) dx &= f(a+[i+\frac{1}{2}]w) + \frac{1}{24} f''(a+[i+\frac{1}{2}]w) - \frac{17}{5760} f'''(a+[i+\frac{1}{2}]w) + \\ &+ \frac{367}{967680} f^{(4)}(a+[i+\frac{1}{2}]w) - \dots \\ \iint_{a+[i+\frac{1}{2}]w}^{a+[i+\frac{1}{2}]w} f(x) dx^2 &= \frac{1}{24} f(a+[i+\frac{1}{2}]w) - \frac{1}{24} f(a+[i+\frac{1}{2}]w) + \frac{17}{1920} f''(a+[i+\frac{1}{2}]w) - \\ &- \frac{367}{193536} f'''(a+[i+\frac{1}{2}]w) + \dots \end{aligned}$$

und man findet demnach unter Zugrundelegung der beim obigen Beispiele erhaltenen Integraltafeln, zunächst für die einfachen Integrale leicht:

$$\begin{array}{r}
 AM \quad \quad \quad A\omega \quad \quad \quad d\nu : dt \quad \quad \quad dz : dt \quad \int \Sigma U dt \\
 f(a + [i + \frac{1}{2}]w) + 1^{\circ}1'53''7.46 - 8'18''869 + 6301.78 - 318.38 + 5008.92 \\
 + \frac{1}{24} f''(a + [i + \frac{1}{2}]w) - 1''337 - 0.006 - 7.06 + 0.29 + 0.95 \\
 - \frac{17}{5760} f'''(a + [i + \frac{1}{2}]w) - 0.003 \quad 0 - 0.02 \quad 0 \quad 0 \\
 \int_{a+[i+\frac{1}{2}]w}^{a+[i+\frac{1}{2}]w} f(x) dx \quad + 1^{\circ}1'52''406 - 8'18''875 + 6294.70 - 318.09 + 5009.87
 \end{array}$$

und für die Doppelintegrale:

	ν	z
$f(a + [i + \frac{1}{2}]w)$	+ 15411.52	+ 724.37
$-\frac{1}{24} f''(a + [i + \frac{1}{2}]w)$	+ 6.27	+ 0.77
$+\frac{17}{2920} f'''(a + [i + \frac{1}{2}]w)$	- 0.10	+ 0.01
$-\frac{367}{193536} f^{(iv)}(a + [i + \frac{1}{2}]w)$	- 0.01	0.00
$\iint f(x) dx^2$	+ 15417.68	+ 725.15

Die Rechnung nach dem Formelsystem II (pag. 170) führe ich 7stellig durch, weil man die aus derselben resultirenden Zahlen später bei der Controlrechnung mit grösserer Genauigkeit braucht, als dies die 6stellige Rechnung gewähren kann:

M_0 327° 2' 53" 64	M 328° 4' 46" 05
E_{00} 320° 45' 45" 99	E_0 321° 57' 20" 09
$\sin E_{00}$ 0.801 0829	$\sin E_0$ 0.9789 7726
$\cos E_{00}$ 0.889 0403	$\cos E_0$ 0.896 2688
Subtr. 0.110 0930	Subtr. 0.108 0295
$\cos E_{00} - e_0$ 0.778 9473	$\cos E_0 - e_0$ 0.788 2393
$r_0 \sin e_0$ 0.289 9304	$((r)) \sin I'$ 0.278 6201
0.857 0986	0.852 0193
$r_0 \cos e_0$ 0.274 4266	$((r)) \cos I'$ 0.283 7186
e_0 313° 58' 39" 07	I' 315° 20' 10" 71
r_0 0.432 8318	$((r))$ 0.431 6993
	$\log 1 + r$ 0.000 6691
z 5.860 4279	$((r))$ 0.432 3684
$\tan b$ 5.428 0595	r 0.432 3684
$\cos b$ 0.000 0000	
$(wk) : 1 \overline{p_0}$ 9.596 5336	$dr : dt$ 6.798 9750
$(wk) e_0 : \sqrt{p_0}$ 8.835 6650	$d(r_1$ 7.230 6743
$\sin I'$ 0.846 9208	Add. 0.015 6437
$(1 + r)^{-1}$ 9.999 3309	$d(r) : dt$ 8.666 2730
$d(r)_2$ 8.681 9167	

Von hier ab kann die Rechnung bestellig geführt werden; man erhält so nach III) (pag. 170):

$dz:dt$	5 _n 502 550	$\sin (l-K_0) \tan g J$	5.428 059
$(r) dz:dt$	5 _n 934 918		9 _n 969 477
$z dr:dt$	4 _n 526 701	$\cos (l-K_0) \tan g J$	5 _n 838 682
Subtr.	9.982 694	$l-K_0$	158°46'10"2
$wk) \downarrow \bar{p}_0$	0.078 749	$l=V+\omega_0+J\omega$	227°56'30"0
$\int \Sigma U dt$	6.699 826	K_0	69°10'19"8
Add.	0.000 181		
Nenner	0.078 930	$\tan g J$	5.869 205
Zähler	5 _n 917 612	$\tan g \frac{1}{2} J$	5.568 175
		$\sin^2 \frac{1}{2} J$	1.136 ...
$\left(\frac{1}{wk}\right) \int \Sigma U dt$	6.862 185	$2 \downarrow \bar{p}_0$	0.542 138
$2 \downarrow \bar{p}_0 \sin^2 \frac{1}{2} J$	1.678 ...	log. Add.	0.000 091
Add.	0.000 003	$2 \downarrow \bar{p}_0 + J \downarrow p$	0.542 229
sec J	0.000 000	log $J p$	7.404 417
log $J (\downarrow p)$	6.862 188	$J u$	0"000

weiter lässt IV) (pag. 170, 171) finden:

$\frac{1}{2} i_0$	1°6'11"95	$2 K_0$	138°20'39"6
$\tan g \frac{1}{2} i_0$	8.284 632	$\sin K_0$	9.970 651
a	3.852 807	$\sin 2 K_0$	9.822 595
b	7.283 543	$\sin K_0 : \sin 1''$	5.285 07
b^2	4.567 086	$\sin 2 K_0 : \sin 2''$	4.835 990
$(II)_1$	— 6'10"356	$J K$	— 6'9"966
$(II)_2$	+ 0"253	$\lambda-\lambda_0$	+ 6'10"240
II	— 6'10"103		
I	+ 0.137	$\frac{1}{2} J (K)$	— 3' 5"0
$K_0 + \frac{1}{2} J (K)$	69° 7'14"8	$\tan g \frac{1}{2} (i-i_0)$	5.120 112
$\cos \{ K_0 + \frac{1}{2} J (K) \}$	9.551 937	T	4.685 575
$\tan g \frac{1}{2} J$	5.568 175	$\frac{1}{2} (i-i_0)$	+ 2"720
$\sec \frac{1}{2} J (K)$	0.000 000	$i-i_0$	+ 5"440

Nun kann an die Berechnung der Formeln V. (pag. 171) geschritten werden.

$\frac{1}{2} (E_0+E_{00})$	321°21'33"0	$\cos q_0$	9.993 368
β	9.999 992	$n' \cos N$	9.886 061
$\cos \frac{1}{2} (E_0+E_{00})$	9.892 693		9.890 083
$\sin q_0$	9.239 131	$n' \sin N$	9 _n 795 488
$e_0 \beta \cos \frac{1}{2} (E_0+E_{00})$	9.131 816	N	320°55'54"2

Nenner	9.936 784	n'	9.995 978
$.1 M''$	3.569 656	$a_0 \beta$	0.495 471
$E_0 - E_{00} + 1^{\circ}11'34''10$		$E_0 - E_{00}$	3.632 872
		$\sin 1''$	4.685 575
$N - v_0$	$6^{\circ}57'15''1$		
$\cos (N - v_0)$	9.996 793	$\frac{1}{2} (V - v_0)$	$0^{\circ}40'45''8$
n	8.809 896	$\frac{1}{2} (V + v_0)$	$314^{\circ}39'24''9$
$\sin (N - v_0)$	9.083 057	$N - \frac{1}{2} (V + v_0)$	$6^{\circ}16'29.3$
$n \sin (N - v_0)$	7.892 953	$\sin \{ N - \frac{1}{2} (V + v_0) \}$	9.038 610
r_0	0.432 832	$- n$	$8_n 809 896$
Subtr.	9.998 746	$\sec \frac{1}{2} (V - v_0)$	0.000 031
Nenner	0.431 578	$\log \{ ((r) - r_0) \}$	$7_n 848 537$
$n \cos (N - v_0)$	8.806 689		
$\text{tang} (V - v_0)$	8.375 111		
T	4.685 656		
$V - v_0 + 1^{\circ}21'31''64$			

Zur Controle der eben erhaltenen Werthe findet man aus VI) (pag. 171):

$a_0 \beta (E_0 - E_{00} \sin 1''$	8.813 918	$\frac{1}{2} a_0 \cos q_0$	0.187 817
$e_0 \sin \frac{1}{2} (E_0 + E_{00})$	$9_n 034 619$	$\text{compl. } \sqrt{r_0 ((r))}$	9.567 734
$\log [((r)) - r_0]$	$7_n 848 537$	$\beta \sin 1'' (E_0 - E_{00})$	8.318 439
		$\sin \frac{1}{2} (V - v_0)$	8.073 990
		S	4.685 565
		$\frac{1}{2} (V - v_0) +$	$4^{\circ}45''82$
		$V - v_0 + 1^{\circ}21'31''64$	

Die Controlwerthe stimmen somit vollkommen; aus VII) (pag. 171) ergibt sich nun:

$\sin \frac{1}{2} b$	5.127 029	$(r : \gamma$	$7.619 718$
$2 \sin^2 \frac{1}{2} b$	0.555 088	Add.	9.841 129
ν	7.188 019	$J(r)$	$7_n 460 847$
Add.	0.000 000		
$\nu + 2 \sin^2 \frac{1}{2} b$	7.188 019	$\sin v_0$	$9_n 857 099$
γ	7.188 019		
$2 \sin \frac{1}{2} (V - v_0)$	8.375 020	$dv : dt$	6.798 975
$\cos \frac{1}{2} (V + v_0)$	9.846 869	$(r) dv : dt$	7.231 343
$2 \sin \frac{1}{2} (V - v_0) \cos \frac{1}{2} (V + v_0)$	8.221 889	$(wk) e_0 \{ \dots \} : \bar{p}_0$	7.085 540
$\gamma \sin v_0$	7_n 045 118	Add.	0.234 219
Subtr.	0.027 986	$dz : dt$	$5_n 502 550$
$\{ \dots \}$	8.249 875	$\{ z : (r) \} \{ dz : dt \}$	$0_n 930 609$
$(wk) e_0 : \bar{V} \bar{p}_0$	8.835 665	$(1) + (2)$	7.465 562
		Add.	0

$$\sqrt{p} \quad 0.241 \ 289$$

$$p \quad 0.482 \ 578$$

$$\cos b : (1 + p) \quad 9.999 \ 331$$

$$\mathcal{J} \left(\frac{dr}{dt} \right) \quad 7.464 \ 893$$

Nun kann an die Bestimmung der Excentricität und der wahren Anomalie geschritten werden; die Formel VIII (pag. 171) liefern hierfür:

$$dr_0 : dt \quad 8_n 692 \ 764$$

$$\text{I} \quad 5_n 554 \ 952$$

$$\text{II} \quad 7.706 \ 182$$

$$\text{Add.} \quad 9.996 \ 924$$

$$\text{Compl. } (rk) \quad 0.162 \ 359$$

$$p_0 : r_0 \quad 0.049 \ 384$$

$$\text{II} \quad 7_n 510 \ 231$$

$$\text{I} \quad 7.404 \ 417$$

$$\text{Subtr.} \quad 0.251 \ 338$$

$$\text{Compl. } r \quad 9.567 \ 632$$

$$G - \frac{1}{2} (v + r_0) \quad 118^0 41' \ 2'' 1$$

$$\cos \{ G - \frac{1}{2} (v + r_0) \} \quad 9_n 681 \ 222$$

$$g \cos \{ G - \frac{1}{2} (v + r_0) \} \quad 7_n 564 \ 326$$

$$\sec \frac{1}{2} (v - r_0) \quad 0.000 \ 083$$

$$\mathcal{J} (e) \quad 7_n 564 \ 409$$

$$e_0 \quad 9.239 \ 131$$

$$\text{Add.} \quad 9.990 \ 717$$

$$\sin q \quad 9.229 \ 848$$

$$q \quad 9^0 46' 27'' 0$$

$$\frac{1}{2} (q + q_0) \quad 9^0 52' 50.0$$

$$\cos \frac{1}{2} (q + q_0) \quad 9.993 \ 510$$

$$\frac{1}{2} \mathcal{J} (e) \quad 7_n 203 \ 379$$

$$\sin \frac{1}{2} (q - q_0) \quad 7_n 269 \ 869$$

$$S \quad 4.685 \ 575$$

$$\frac{1}{2} (q - q_0) = 6' 23'' 967$$

$$q - q_0 = 12' 47'' 934$$

$$g \sin G \quad 7.865 \ 465$$

$$9.982 \ 361$$

$$g \cos G \quad 7.329 \ 201$$

$$G \quad 73^0 46' 50'' 0$$

$$G - e_0 \quad 119^0 48' 10'' 9$$

$$\sin (G - e_0) \quad 9.938 \ 389$$

$$g \quad 7.883 \ 104$$

$$\cos (G - e_0) \quad 9_n 696 \ 373$$

$$g \cos (G - e_0) \quad 7_n 579 \ 477$$

$$e_0 \quad 9.239 \ 131$$

$$\text{Add.} \quad 9.990 \ 385$$

$$\text{Nenner} \quad 9.229 \ 516$$

$$g \sin (G - e_0) \quad 7.821 \ 493$$

$$\text{tang } r - r_0 \quad 8.591 \ 977$$

$$T \quad 4.685 \ 796$$

$$r - r_0 \quad 2^0 14' 17'' 14$$

$$\frac{1}{2} r - r_0 \quad 1^0 \ 7' \ 8'' 57$$

$$\frac{1}{2} r + r_0 \quad 315^0 \ 5' 47'' 0$$

$$2 e_0 \quad 9.540 \ 161$$

$$\text{Add.} \quad 9.695 \ 383$$

$$2 e_0 + \mathcal{J} e \quad 9.535 \ 544$$

$$\mathcal{J} e^2 \quad 7_n 099 \ 953$$

Aus IX (pag. 172) findet sich weiter:

$$\log 2 \quad 0.301 \ 030$$

$$\sin \frac{1}{2} (r - r_0) \quad 8.290 \ 699$$

$$\cos \frac{1}{2} (r + r_0) \quad 9.850 \ 216$$

$$\cos q \quad 9.993 \ 650$$

$$(\sigma)_1 \quad 8.435 \ 595$$

$$2 \sin \frac{1}{2} (q - q_0) \quad 7_n 570 \ 899$$

$$\sin \frac{1}{2} (q + q_0) \quad 9.234 \ 515$$

$$2 \sin \frac{1}{2} (r - r_0) \quad 8.591 \ 729$$

$$\sin \frac{1}{2} (r + r_0) \quad 9_n 848 \ 752$$

$$r^2 \quad 8_n 440 \ 481$$

$$\text{Subtr.} \quad 9.938 \ 007$$

$$(r \quad 8.378 \ 488$$

$$(r : p) \quad 9.949 \ 790$$

$\sin e_0$	9 _n 857 009	$-g \cos G$	7 _n 329 201
a_2	6.662 513	λ	7 _n 278 991
Subtr.	9 992 614	$\sin E_{00}$	9 _n 801 083
a	8.428 206	$\cos E_{00}$	9.889 040
$a_j : r : p$	8.377 999	$g' \cos (G' - E_{00})$	6 _n 708 394
$\lambda \sin E_{00}$	7.080 074	Nenner	9.999 778
Add.	0.021 338	$g' \sin (G' - E_{00})$	8.504 663
$\gamma : r : p$	8.328 278	$\text{tang } (E - E_{00})$	8.504 885
$\lambda \cos E_{00}$	7 _n 168 031	T	4.685 723
Add.	9.968 883	$E - E_{00}$	1°49'54"20
$g' \sin G'$	8.399 337	$\frac{1}{2} (E - E_{00})$	0°54'57"10
	9.894 618	$\frac{1}{2} (E + E_{00})$	321°40'43"1
$g' \cos G'$	8.297 161	$\cos \frac{1}{2} (E + E_{00})$	9.894 618
G'	51°40'43"0	$\sin \frac{1}{2} (E - E_{00})$	8.203 688
$G' - E_{00}$	99°54'57"0	$-2 \sin q_0 : \sin 1''$	4 _n 854 586
$\sin (G' - E_{00})$	9.999 914	$\log JM_2$	2 _n 952 892
g'	8.504 719	$JM_2 -$	14'57"206
$\cos (G' - E_{00})$	8 _n 203 675	$JM_3 -$	7'39"564
		$M - M_0 +$	1°27'17"43
E	322°35'40"2		
$-\sin E$	9.783 512		
$Jc : \sin 1''$	2 _n 878 834		
$\log JM :$	2 _n 662 346		

Nach X pag. 172 erhält man:

$JK -$	6' 9"966	$\omega - \omega_0 -$	1° 7' 14"34
Ju	0.000	$\lambda - \lambda_0 -$	1° 1' 1"10
$J\omega -$	8' 18"875	$L - L_0 +$	0°26'13"33
$E - e_0 +$	1°21'31"64	$\mu_0 t -$	213°37'55"26
$e - e_0 -$	2°14'17"14		

Aus XI pag. 172 leitet man schliesslich ab mit Benützung der Tafel XI:

Jp	7.404 417	$Jp + a_0 J e^2$	7 _n 146 703
$a_0 J e^2$	7 _n 505 432	$\log q$	6 _n 362 894
p_0	0.482 210	$q -$	0.000 2306
Subtr.	0.000 503	f	0.477 371
Add.	9.742 286	$- \mu_0$	2 _n 800 787
$p_0 - a_0 J e^2$	0.482 779	$\log (\mu - \mu_0)$	9.647 052
Nenner	0.783 800	$\mu - \mu_0 +$	0°44'366

Die neuen Elemente sind also, wenn man die Epoche auf den Osculationspunkt legt:

(62) Erato

Epoche und Osculation 1871 Sept. 13.0 mittl. Berl. Zeit.

mittl. Aeq. 1870.0.

$$L = 5^{\circ} 56' 24'' 87$$

$$M = 328\ 30\ 11.07$$

$$x = 37\ 26\ 13.80$$

$$\Omega = 125\ 48\ 49.94$$

$$i = 2\ 12\ 20.34$$

$$q = 9\ 46\ 26.07$$

$$\mu = 641'' 33.71$$

Vergleicht man diese Elemente mit jenen, die auf pag. 136 mitgetheilt sind und in ganz anderer Weise durch eine völlig verschiedene Methode der Störungsrechnung erhalten wurden, so findet man die befriedigendste Uebereinstimmung; doch ist den hier erhaltenen Elementen das grössere Vertrauen zu schenken, weil die Störungsrechnung nach Encke's Methode, in Folge des Anwachsens der Störungen, nicht mehr die hinreichende Sicherheit bot und eigentlich länger fortgesetzt wurde, als es gestattet erscheint; man kann aber aus dem hohen Grade der Uebereinstimmung den Schluss ziehen, dass selbst in diesen extremen Fällen die mechanischen Quadraturen alles geleistet haben, was von denselben verlangt werden kann. Die unten durchgeführte Störungsrechnung nach der Variation der Constanten bestätigt die eben hier gemachten Schlüsse.

Zur Controle kann man die Formeln III — VI (pag. 172, 173) benützen; man erhält aus III, wenn man die Rechnung 7stellig durchführt:

$dz : dt$	5 _n 502	5500		$\sin l - K_0 \tan J$	5.428	0505
$(v) dz : dt$	5 _n 934	9184			9 _n 969	4760
$z dr : dt$	4 _n 526	7000		$\cos l - K_0 \tan J$	5 _n 838	6820
Subtr.	0.017	3058		$l - K_0$	158 ⁿ 46'10''	03
Zähler	5 _n 917	6120		$l + \omega_0 + J\omega = l$	227 ⁿ 56'30''	04
$(wk) \sqrt{p_0}$	0.078	7492		K_0	60 ⁿ 10'20''	01
$\int \Sigma U dt$	6.699	8265				
Add.	0.000	1814		$\tan J$	5.869	2051
Nemer	0.078	9306		T	4.685	5749
$(wk) \sqrt{p}$	0.078	9306		J	15.263	
				$u = 158^{\circ} 46' 10'' 03$		

Aus IV) pag. 172 findet sich nun:

$\frac{1}{2} i_0$	1 ⁿ 6'11''	05		$\cos \frac{1}{2} i_0 - J$	9.999	9198
$\frac{1}{2} J$	0 ⁿ 0'7''	631		$\sec \frac{1}{2} i_0 + J$	0.000	0809

$\frac{1}{2} i_0 + J$	$1^0 6' 10'' 581$	$\lg \frac{1}{2} \{K + (\varpi - \varpi_0)\}$	$9.838 5325$
$\frac{1}{2} i_0 - J$	$1^0 6' 1'' 319$	$\frac{1}{2} \{K + (\varpi - \varpi_0)\}$	$34^0 35' 10'' 16$
$\frac{1}{2} K_0$	$34^0 35' 10'' 00$	K	$69^0 4' 10'' 07$
$\text{tang } \frac{1}{2} K_0$	$9.838 5318$	$\frac{1}{2} K + K_0$	$69^0 7' 15'' 04$
$\sin \frac{1}{2} i_0 - J$	$8.283 7167$	$\cos \frac{1}{2} K + K_0$	$9.551 9354$
$\text{cosec } \frac{1}{2} i_0 + J$	$1.714 6147$	$\sec \frac{1}{2} K - K_0$	$0.000 0002$
$\lg \frac{1}{2} \{K - (\varpi - \varpi_0)\}$	$9.836 8632$	$\text{tang } \frac{1}{2} J$	$5.568 1751$
$\frac{1}{2} \{K - (\varpi - \varpi_0)\}$	$34^0 28' 50'' 91$	$\text{tang } \frac{1}{2} i - i_0$	$5.120 1107$
$\varpi - \varpi_0 + 6' 10'' 25$		$T - \log 2$	$4.384 5449$
$\varpi - 125^0 48' 40'' 95$		$i - i_0 + 5'' 440$	

Aus V pag. 172, 173 erhält man nun:

$\frac{dr}{dt}$	$8_n 666 2730$	$\sin q \sin e$	$9_n 069 9208$
$r : r$	$0.000 0000$		$9.858 5055$
$\frac{z}{r} \left(\frac{dz}{dt} \right)$	$0_n 930 6095$	$\sin q \cos e$	$9.088 3528$
Add.	$0.000 0000$	e	$316^0 12' 55'' 76$
$dr : dt$	$8_n 666 2730$	$\sin q$	$9.229 8473$
$1 p : wk$	$0.103 6478$	q	$9^0 46' 26'' 89$
p	$0.482 5784$	$K - e$	$112^0 51' 14'' 31$
$p : r$	$0.050 2100$	ω	$271^0 37' 24'' 34$
		π	$37^0 26' 11'' 29$

Schliesslich findet sich nach VI (pag. 173 :

$(15^0 + \frac{1}{2} q)$	$49^0 53' 13'' 44$	$\sin E$	$9_n 783 5134$
$\frac{1}{2} e$	$158^0 6' 27.88$	$\sin q : \sin 1''$	$4.544 2724$
$\cotg 45 + \frac{1}{2} q)$	$9.925 5514$	AM	$- 5^0 54' 30'' 90$
$\text{tang } \frac{1}{2} r$	$9_n 604 0536$	M	$328^0 36' 10'' 62$
$\frac{1}{2} E$	$161^0 17' 49'' 86$		
E	$322^0 35' 39'' 72$	$\cos q$	$9.993 6498.5$
$\cos q^2$	$9.987 2997$	$\log a^{\frac{3}{2}}$	$0.742 9180$
$\log a$	$0.405 2787$	k''	$3.550 0066$
$\frac{1}{2} \log a$	$0.247 6393$	μ	$641'' 3404$

Die Uebereinstimmung ist eine im Ganzen genügende, zeigt aber ganz deutlich den überwiegenden Vortheil, den die Bestimmung der neuen osculirenden Elemente durch die Differenzen gewährt.

C. Variation der Constanten.

§ 1. Aufstellung der Differentialgleichungen.

In den vorausgehenden Paragraphen wurden die Methoden der Störungsrechnung zum Vortrage gebracht, die den Einfluss der Störungen auf die Coordinaten finden lassen. Man kann aber auch die Störungen dadurch bestimmen, dass man durch Variation der sechs willkürlichen Constanten des Problemcs für jeden gegebenen Augenblick den Ort und die Geschwindigkeit des gestörten Himmelskörpers darstellt; diese Methode bewährt auch in der Anwendung die hohen Vorzüge, welche dieselbe in der Analyse in Anspruch nimmt und ich stehe nicht an, zu erklären, dass mir dieselbe in den meisten Fällen als das geeignetste Mittel erscheint, die Störungen mit der grössten Schärfe zu bestimmen.

Eine verhältnissmässig kurze Ableitung der diesbezüglichen Formeln lässt sich auf die bereits vorhandenen Entwicklungen gründen, und ich werde hierzu die Formeln heranziehen, die oben beim Uebergange auf die osculirenden Elemente entwickelt wurden; man kann dieselben nämlich sofort für das vorliegende Problem verwerthen, wenn man die Störungen in den Coordinaten selbst der Null gleich setzt, die Geschwindigkeiten aber den störenden Kräften entsprechend abändert, und nur die ersten Potenzen der Störungen mitnimmt, da man es thatsächlich nur mit differentiellen Aenderungen zu thun hat.

Als störende Kräfte sollen eingeführt werden: die Störung im Radiusvector R_0 , positiv gezählt, wenn der Radius vector vergrössert wird; die Störung senkrecht auf denselben in der Bahnebene S_0 , positiv in der Richtung der Bewegung des Himmelskörpers und endlich die auf der Bahnebene senkrechte Störungscomponente W_0 . Die positive Richtung der Zählung für die letzte Coordinate ist dadurch bestimmt, dass, vom Pol der positiven Z-Achse gesehen, sich der Himmelskörper im umgekehrten Sinne wie der Zeiger einer Uhr bewegt. Es soll vorerst vorausgesetzt werden, dass die Kräftecomponenten berechnet vorliegen; wie dieselben bestimmt werden, wird im folgenden Paragraphen erläutert werden.

Um zunächst den Einfluss der Störungen auf die Lage der Bahnebene zu bestimmen, nehmen wir die Gleichungen 15 (pag. 166 vor; mit Rücksicht darauf, dass die Störungen in den Coordinaten selbst der Null gleich gesetzt, die Geschwindigkeiten aber um den Betrag der angreifenden Kräfte vermehrt, und dass die Glieder zweiter Ordnung weggelassen werden müssen, nehmen diese Gleichungen die Gestalt an:

$$\left. \begin{aligned} \sin l - K_0 \tan g J &= 0 \\ \cos l - K_0 \tan g J &= \frac{r \frac{dz}{dt}}{k \downarrow p} = \frac{r W_0}{k \downarrow p} ; \end{aligned} \right\} \quad 1)$$

es ist l in diesem Falle mit dem Argumente der Breite u identisch, denn es berechnet sich l aus:

$$l = r + \omega_0 + J\omega;$$

da aber die Elemente osculiren, so ist r identisch mit r und $J\omega$ ist der Null gleich, wodurch:

$$l = u$$

wird; hieraus erschliesst man sofort mit Rücksicht auf die erste Relation in 1), (pag. 213), dass auch

$$K_0 = u$$

ist, welche Relation übrigens sofort aus der geometrischen Anschauung klar wird. Mit Rücksicht auf diesen Umstand ist also, wenn man wieder den Bogen mit der Tangente vertauscht:

$$J = \frac{r W_0}{k \sqrt{p}}. \quad 2)$$

Man erhält daher statt der Formeln 21) (pag. 168) sofort:

$$\begin{aligned} \frac{1}{2} \delta K + \frac{1}{2} \delta Q &= \frac{1}{2} J \tan \frac{1}{2} i \sin u \\ \frac{1}{2} \delta K - \frac{1}{2} \delta Q &= -\frac{1}{2} J \cotg \frac{1}{2} i \sin u, \end{aligned} \quad \left. \vphantom{\begin{aligned} \frac{1}{2} \delta K + \frac{1}{2} \delta Q \\ \frac{1}{2} \delta K - \frac{1}{2} \delta Q \end{aligned}} \right\} 3)$$

wobei ich von nun an die Variationen der Elemente durch die Störungen, soweit dieselben von der Ordnung differentieller Grössen sind, durch ein vorgesetztes δ von den Differentiationen unterscheide; es wird also aus 3) erhalten:

$$\delta Q = \frac{J \sin u}{\sin i} = \left(\frac{W_0}{k \sqrt{p}} \right) \frac{r \sin u}{\sin i} \quad 4)$$

$$\delta K = -J \cotg i \sin u = - \left(\frac{W_0}{k \sqrt{p}} \right) r \cotg i \sin u. \quad 5)$$

und aus der Gleichung 24) (pag. 168) folgt sofort:

$$\delta i = J \cos u = \left(\frac{W_0}{k \sqrt{p}} \right) r \cos u. \quad 6)$$

Die erste Gleichung in 13) (pag. 166) gibt, da $\cos J$ der Einheit gleich gesetzt werden kann:

$$k \sqrt{p} = x \frac{dy}{dt} - y \frac{dx}{dt};$$

legt man die X-Achse, wie es von nun ab vorausgesetzt werden soll, in den Radiusvector, so wird:

$$x = r, \quad y = 0$$

und nothwendig:

$$\frac{dy}{dt} = \frac{dy_0}{dt} + S_0.$$

wenn durch $\frac{dy_0}{dt}$ die ungestörte Geschwindigkeit in der Y-Coordinate dargestellt wird; nun ist aber wegen:

$$\frac{dy_0}{r_0} = dr$$

auch:

$$r_0 \frac{dy_0}{dt} = k \sqrt{p_0}$$

und man hat also, da r_0 mit r identificirt werden muss:

$$k \delta \sqrt{p} = r S_0$$

oder:

$$\left. \begin{aligned} \delta \sqrt{p} &= \frac{r S_0}{k} \\ \delta p &= \frac{2 r S_0}{k} \sqrt{p} \end{aligned} \right\} \quad 7)$$

Beim Uebergange auf osculirende Elemente wurden auf pag. 89 die Gleichungen gefunden:

$$\begin{aligned} e \sin v &= e_0 \sin v_0 + \frac{1}{k} \left\{ \frac{dr_0}{dt} \sqrt{p} + \sqrt{p} \frac{dr}{dt} \right\} \\ e \cos v &= e_0 \cos v_0 + \frac{1}{r} \left\{ \sqrt{p} - \frac{p_0}{r_0} \sqrt{r} \right\} \end{aligned}$$

Setzt man nun in diesen Gleichungen für die Aenderungen des Parameters die Variationen aus 7) ein und beachtet die Relationen:

$$\begin{aligned} \frac{dr}{dt} &= e \sin v \sqrt{\frac{k}{p}} \\ \sqrt{\frac{dr}{dt}} &= R_0 \\ \sqrt{r} &= 0 \end{aligned}$$

so wird:

$$\left. \begin{aligned} \delta (e \sin v) &= \sin v \delta e + e \cos v \delta v = \frac{1}{k} \left\{ \frac{e \sin v}{\sqrt{p}} r S_0 + \sqrt{p} R_0 \right\} \\ \delta (e \cos v) &= \cos v \delta e - e \sin v \delta v = \frac{2 S_0}{k} \sqrt{p} \end{aligned} \right\} \quad 8)$$

Bei diesen Gleichungen hat man, um späteren Missverständnissen vorzubeugen, zu beachten, dass unter δe die Variation zu verstehen ist, welche die wahre Anomalie durch die momentanen Störungen allein erleidet; es ist also δr wohl zu trennen von dem Ausdrücke $\left(\frac{dr}{dt} \right) dt$; dieser Umstand wird später nochmals ausführlich besprochen werden.

Um δe und δv aus den Gleichungen 8) zu bestimmen, hat man zunächst, wenn man statt e den Excentricitätswinkel q einführt,

$$\begin{aligned} \delta e &= \cos q \delta q \\ \cos q \delta q &= \{ e r \sin v^2 + 2 p \cos v \} \left(-\frac{S_0}{k \sqrt{p}} \right) + p \sin v \left(\frac{R_0}{k \sqrt{p}} \right); \end{aligned}$$

ersetzt man nun r durch den Werth $\frac{p}{1+e \cos v}$, so findet sich leicht:

$$\begin{aligned} e r \sin v^2 + 2 p \cos v &= p \left\{ \frac{e \sin v^2}{1+e \cos v} + 2 \cos v \right\} = p \left\{ \frac{\cos v + e}{1+e \cos v} + \frac{\cos v + e \cos v^2}{1+e \cos v} \right\} = \\ &= p \{ \cos v + \cos E \}, \end{aligned}$$

und man hat, wenn man p durch $a \cos q^2$ ersetzt, sofort:

$$\delta q = a \cos q \{ \cos v + \cos E \} \left(\frac{S_0}{k \sqrt{p}} \right) + a \cos q \sin v \left(\frac{R_0}{k \sqrt{p}} \right). \quad 9.$$

Weiter folgt aus 8) (pag. 215):

$$e \delta v = \sin v \{ e r \cos v - 2 p \} \left(\frac{S_0}{k \sqrt{p}} \right) + p \cos v \left(\frac{R_0}{k \sqrt{p}} \right);$$

man ist aber:

$$e \cos v = \frac{p}{r} - 1$$

wodurch erhalten wird:

$$\delta v = - \frac{\sin v}{\sin q} \{ p + r \} \left(\frac{S_0}{k \sqrt{p}} \right) + \frac{p \cos v}{\sin q} \left(\frac{R_0}{k \sqrt{p}} \right). \quad 10)$$

Die Formel 23) pag. 168, gibt weiter die Relation:

$$\mathcal{A} = \mathcal{A}(K) + \mathcal{A}(u) + \mathcal{A}(w) + \{ r - r_0 \} - \{ v - v_0 \} + \{ \varpi - \varpi_0 \};$$

hierbei ist den gemachten Voraussetzungen und Entwicklungen nach zu setzen:

$$\mathcal{A}(K) = - r \sin u \cot g i \left(\frac{W_0}{k \sqrt{p}} \right)$$

$$\mathcal{A}(u) = 0$$

$$\mathcal{A}(w) = 0$$

$$r - r_0 = 0$$

$$v - v_0 = \delta v$$

$$\varpi - \varpi_0 = \delta \varpi = \frac{r \sin u}{\sin i} \left(\frac{W_0}{k \sqrt{p}} \right);$$

demnach wird man haben:

$$\delta \mathcal{A} = \frac{\sin v}{\sin q} \{ p + r \} \left(\frac{S_0}{k \sqrt{p}} \right) - \frac{p \cos v}{\sin q} \left(\frac{R_0}{k \sqrt{p}} \right) + r \sin u \operatorname{tg} \frac{1}{2} i \left(\frac{W_0}{k \sqrt{p}} \right) \dots \quad 11)$$

Um die Variation der täglichen mittleren siderischen Bewegung μ zu finden, soll zuerst der in dem Ausdrucke

$$\delta \mu = - f q \mu$$

(vergl. pag. 92) auftretende Factor $f q$ näher erörtert werden.

Wenn man beachtet, dass q von der Ordnung der Störungen ist, und dass der Factor f sich von dem numerischen Werthe 3 nur um Grössen von der Ordnung der Störungen unterscheidet, so wird man auf die hier gestellten Bedingungen sich stützend schreiben dürfen:

$$\delta \mu = - 3 q \mu, \quad 12)$$

und es stellt sich demnach die Aufgabe, den Factor q durch die störenden Kräfte auszudrücken, wobei man q nach pag. 92 annimmt, sofort aber die Glieder zweiter Ordnung fortlässt und statt

$$\mathcal{A}(e^2) = 2 e \delta v$$

schreibt; man hat so zunächst:

$$q = \frac{\delta p + 2ae\delta c}{2p} = \frac{\delta p}{2p} + \tan g \varphi \delta \varphi ;$$

die Substitution der Variationen aus 7 und 9 gibt, wenn man beachtet, dass

$$r + a \sin \varphi \{ \cos r + \cos E \} = a (1 + \sin \varphi \cos r = \frac{ap}{r}$$

ist, sofort:

$$q = \frac{ap}{r} \left(\frac{S_0}{k \mid p} \right) + a \sin \varphi \sin r \left(\frac{R_0}{k \mid p} \right) ;$$

führt man diesen Werth in 12 ein und ersetzt μ durch $\frac{k}{a^3}$, so findet sich:

$$\delta \mu = - \frac{3k}{1 \mid a} \cdot \frac{p}{r} \left(\frac{S_0}{k \mid p} \right) - \frac{3k}{1 \mid a} \sin \varphi \sin r \left(\frac{R_0}{k \mid p} \right) . \quad (13)$$

Wir haben nun noch die Störung des letzten Elementes, nämlich der mittleren Anomalie zu betrachten. Diese bedarf einer besonderen Erwägung.

Will man die ungestörte mittlere Anomalie M zur Zeit T finden, so hat man, wenn man mit M_0 die mittlere Anomalie zur Zeit T_0 darstellt:

$$M = M_0 + \int_{T_0}^T \left(\frac{dM_0}{dt} \right) dt . \quad (14)$$

Da aber in der ungestörten Bewegung

$$\frac{dM_0}{dt} = \mu_0$$

ist, so kann die Gleichung 14) in der gewöhnlichen Form

$$M = M_0 + (T - T_0) \mu_0$$

geschrieben werden, doch bietet die erstere Schreibweise für die vorliegenden Betrachtungen wesentliche Vortheile.

Die gestörte mittlere Anomalie zur Zeit T , die mit M bezeichnet werden soll, erscheint von der Zeit in zweifacher Weise abhängig, indem dieselbe vorerst eine explicite Funktion der Zeit ist und andererseits durch die Störungen Änderungen erfährt. Wir haben hier also Differentiationen und Variationen getrennt von einander zu halten.

Ich bezeichne daher die Zeit mit t , wenn eine gewöhnliche Differentiation nach der Zeit verstanden werden soll, und mit τ , wenn es sich um eine Variation durch die Störungen handelt; ausserdem unterscheide ich die erstere Operation von der letzteren durch die beziehungsweise vorgesetzten Operationszeichen d und δ .

Will man nun die gestörte mittlere Anomalie zur Zeit T kennen und durch die Gleichung 14 darstellen, indem man derselben durch die Variation der Constanten Genüge leistet, so wird offenbar sein:

$$M = M_0 + \int_{T_0}^T \left(\frac{dM_0}{dt} + \delta \frac{dM_0}{dt} \right) dt . \quad (15)$$

wobei δM_0 die unmittelbare Variation von M_0 durch die Störungen vorstellt. $\int \frac{dM_0}{dt}$ jedoch der Idee des Integrales entsprechend, die Variation für die unbestimmt gelassene Zeit t bezeichnet; es ist aber leicht einzusehen, dass

$$\delta M_0 = \int_{T_0}^T \left(\frac{\partial M}{\partial t} \right) dt$$

$$\int \frac{dM_0}{dt} = \int_{T_0}^T \left(\frac{\partial \mu}{\partial t} \right) dt$$

ist, man hat also statt 15) (pag. 217) zu schreiben:

$$M = M_0 + \mu_0 (T - T_0) + \int_{T_0}^T \left(\frac{\partial M}{\partial t} \right) dt + \int_{T_0}^T dt \int_{T_0}^T \left(\frac{\partial \mu}{\partial t} \right) dt \quad 16)$$

Die Störung der mittleren Anomalie δM zerfällt also in zwei wesentlich verschiedene Theile: der erste Theil entsteht aus einer einfachen Integration der Variation des Elementes M_0 , der zweite Theil beruht auf der integrierten Variation von μ nach der Zeit. Da aber in dem vorliegenden Falle die Variation und Integration nach derselben Grösse stattfinden, indem $dt = dr$ ist, so kann man, wenn auch in nicht ganz correcter Weise dafür das Doppelintegral (eigentlich iterirtes Integral)

$$\iint_{T_0}^T \left(\frac{\partial \mu}{\partial t} \right) dt^2$$

schreiben, und erhält so die allgemein übliche Schreibweise für dasselbe.

Bildet man nach 16) die Variation von δM nach t , so erhält man sogleich:

$$\delta \delta M = \delta M|_T + \int_{T_0}^T \left(\frac{\partial \mu}{\partial t} \right) dt, \quad 17)$$

wobei der dem ersten Gliede angehängte Index anzeigt, dass für δM die für den Zeitpunkt T geltende Variation einzusetzen ist, ebenso ist im zweiten Gliede die obere Grenze dem entsprechend eingeführt. Beide Bestimmungen erklären sich einfach aus der Bedeutung des Differentialen eines bestimmten Integrales. Es stellt sich nun die Aufgabe, die Variation von δM durch die störenden Kräfte auszudrücken, und hierbei kann man sich auf das Glied $\delta M|_T$ allein beschränken, da die Variationen von μ durch die störenden Kräfte bereits oben entwickelt sind und daher auf die bekannte Anwendung der mechanischen Quadraturen reducirt erscheinen. Man wird übrigens diesen zweiten Theil bei der Anwendung zweckmässig nicht mit dem ersten Gliede von $\delta \delta M$ vereinigen, sondern, um zur Kenntniss von δM zu gelangen, die Integration der Variation von δM durch eine einfache Quadratur für sich allein ausführen und nach der Integration das Doppelintegral, welches aus $\frac{\partial \mu}{\partial t}$ entsteht, nachträglich hinzufügen.

Um zur Kenntniss der Variation δM zu gelangen, bieten die vorangehenden

Entwickelungen hinreichende Anhaltspunkte, doch wird die hierfür nöthige Reduction ziemlich weitläufig.

Die Formeln 8) (pag. 91) geben mit Weglassung der Glieder zweiter Ordnung und unter Berücksichtigung der Formel 7) (pag. 215):

$$(\sigma) = \cos q \cos v \delta v - \sin q \sin v \delta q$$

$$(\gamma) = \cos q \delta q - \sin v \delta v$$

$$(\lambda) = - \frac{2r S_0}{k \downarrow p}$$

und es findet sich demnach:

$$\sin E = \sin E_0 - \frac{2r S_0}{k \downarrow p} \sin E_0 + \frac{r}{p} \left\{ \cos q \cos v \delta v - \sin q \sin v \delta q \right\}$$

$$\cos E = \cos E_0 - \frac{2r S_0}{k \downarrow p} \cos E_0 + \frac{r}{p} \left\{ \cos q \delta q - \sin v \delta v \right\}$$

woraus sofort folgt:

$$\delta E = \frac{r}{p} \left\{ \cos q \cos v \cos E + \sin v \sin E \delta v - \sin q \sin v \cos E + \cos q \sin E \delta q \right\}; \quad 18)$$

ausserdem hat man:

$$M = E - e \sin E,$$

es ist also:

$$\delta M = \frac{r}{a} \delta E - \sin E \cos q \delta q;$$

die Vereinigung dieses Ausdruckes mit 18) gibt:

$$\delta M = \frac{r^2}{ap} \left\{ \cos q \cos v \cos E + \sin v \sin E \left\{ \delta v - \frac{r^2}{ap} (\sin q \sin v \cos E + \cos q \sin E + \cos q \sin E) \delta q \right\} \right\}. \quad 19)$$

Dieser Ausdruck ist einer wesentlichen Reduction fähig: vorerst soll in dieser Richtung der Coefficient von δv vorgenommen werden.

Setzt man die bekannten Relationen

$$\cos v = \frac{a \cos E - e}{r}$$

$$\sin v = \frac{a \sin E \cos q}{r}$$

ein, so wird

$$\frac{\delta M}{\delta v} = \frac{r}{p} \cos q (1 - e \cos E) = \frac{r^2}{a^2 \cos q}. \quad 20)$$

Die Reduction des Ausdruckes $\frac{\delta M}{\delta q}$ ergibt, wenn man $\sin v$ wie oben durch die excentrische Anomalie ersetzt, vorerst

$$\begin{aligned} \frac{\delta M}{\delta q} &= - \left\{ \cos q \sin E (1 + \frac{r}{p} e \cos E) + \frac{r^2}{ap} \cos q \sin E \right\} \\ &= - \left\{ \frac{p}{r} + \frac{r}{a} + e \cos E \right\} \frac{r^2 \sin v}{pa}; \end{aligned}$$

man ist aber bekanntlich:

$$e \cos E = 1 - \frac{r}{a}.$$

so dass schliesslich

$$\frac{\delta M}{\delta q} = - \left(\frac{p+r}{r} \right) \frac{r^2 \sin v}{a^2 \cos q^2} \quad (21)$$

wird.

Es findet sich demnach die Variation von M als Funktion der Variationen δv und δq nach den obigen Formeln:

$$\delta M = \frac{r^2}{a^2 \cos q} \delta v - (p+r) \frac{r \sin v}{a^2 \cos q^2} \delta q \quad (22)$$

Da aber die Variationen von v und q durch die störenden Kräfte mittelst der Formeln 9 und 10 (pag. 216) gegeben sind, so enthält die Gleichung 22) bereits die Lösung des Problems.

Ehe ich jedoch diese Substitution ausführe, soll noch statt der Variation von M die Variation der mittleren Länge δL eingeführt werden, da bei der häufigen Anwendung dieser Methode auf die Berechnung der speciellen Störungen der kleinen Planeten diese Transformation zweckmässig erscheint. Denn bei der meist nicht allzugrossen Excentricität der Bahnen der kleinen Planeten werden, da δv nahezu gleich $-\delta \pi$ ist, die Variationen von π und M nahe gleich, erhalten aber das entgegengesetzte Vorzeichen und sind überdies meist gross, da dieselben im Nenner den Factor $\sin q$ enthalten; es ist aber

$$L = M + \pi,$$

also:

$$\delta L = \delta M + \delta \pi, \quad (23)$$

und das Element L erscheint demnach von den eben angeführten Nachtheilen befreit. Nach Gleichung 11 (pag. 216) ist:

$$\delta \pi = -\delta v + r \sin u \tan \frac{1}{2} i \left(\frac{H_0}{k \Gamma p} \right);$$

es ist also auch:

$$\delta L = \left(\frac{r^2}{a^2 \cos q} - 1 \right) \delta v - (p+r) \frac{r \sin v}{a^2 \cos q^2} \delta q + r \sin u \tan \frac{1}{2} i \left(\frac{H_0}{k \Gamma p} \right). \quad (24)$$

Der Coëfficient von δv lässt sich aber schreiben, wenn man für r die excentrische Anomalie einführt:

$$\frac{\delta L}{\delta v} = \frac{2 \sin \frac{1}{2} q^2 + e^2 \cos E^2 - 2 e \cos E}{\cos q};$$

man ist aber:

$$2 \sin \frac{1}{2} q = \frac{e}{\cos \frac{1}{2} q} \cdot \cos E (2 - e \cos E) = \cos E \left(1 + \frac{r}{a} \right);$$

man kann daher statt 24) setzen:

$$\delta L = \frac{a \tan \frac{1}{2} q - a + r \cos E}{a \cos q} e \delta v - \frac{p+r}{a^2 \cos q^2} r \sin v \delta q + r \sin u \tan \frac{1}{2} i \left(\frac{H_0}{k \Gamma p} \right). \quad (25)$$

Substituiert man nun für δv und δq die Werthe aus den Gleichungen 9 und 10 (pag. 216), so erhält man, wenn man diejenigen Glieder zusammenzieht, die mit dem Factor $\left(\frac{R_0}{k \Gamma p} \right)$ multiplicirt erscheinen, den Coëfficienten von $\left(\frac{R_0}{k \Gamma p} \right)$

$$\frac{p \cos v}{a \cos q} \left\{ a \tan \frac{1}{2} q - (a + r) \cos E \right\} = \frac{r(p + r) \sin v^2}{a \cos q} . \quad 26)$$

Setzt man also für $a \cos E$ den Werth $(r \cos v + a e)$ und beachtet, dass

$$\frac{\tan \frac{1}{2} q - \sin q}{\cos q} = - \tan \frac{1}{2} q \quad 27)$$

ist, so verwandelt sich 26) in

$$- \frac{r}{a \cos q} \left\{ (p + r) \sin v^2 + p \cos v (\cos v + \cos E) \right\} = p \cos v \tan \frac{1}{2} q ,$$

oder:

$$- \frac{r \cos q}{p} \left\{ p + r \sin v^2 + p \cos v \cos E \right\} = p \cos v \tan \frac{1}{2} q .$$

Nun ist aber:

$$\cos E = \frac{\cos v + e}{1 + e \cos v}$$

$$r = \frac{p}{1 + e \cos v} ;$$

es wird also der Coefficient von $\left(\frac{R_0}{k \sqrt{p}} \right)$ schliesslich:

$$= (2 r \cos q + p \cos v \tan \frac{1}{2} q) . \quad 28)$$

Der Coefficient von $\left(\frac{S_0}{k \sqrt{p}} \right)$ findet sich zunächst:

$$= \frac{\cos v + \cos E}{a \cos q} (p + r) \sin v = \frac{a \tan \frac{1}{2} q - a + r \cos E}{a \cos q} (p + r) \sin v$$

oder:

$$= \frac{(p + r) \sin v}{a \cos q} \left\{ r \cos v - a \cos E + a \tan \frac{1}{2} q \right\} ;$$

da nun

$$r \cos v = a (\cos E - e)$$

ist, so erhält man mit Rücksicht auf 27) sofort den Coefficienten von $\left(\frac{S_0}{k \sqrt{p}} \right)$ in der schliesslichen Form:

$$(p + r) \sin v \tan \frac{1}{2} q . \quad 29)$$

Für die Variation von L wird man also durch Vereinigung der Resultate der Gleichungen 25), 28), 29) anzunehmen haben:

$$\delta L = - (2 r \cos q + p \cos v \tan \frac{1}{2} q) \left(\frac{R_0}{k \sqrt{p}} \right) + (p + r) \sin v \tan \frac{1}{2} q \left(\frac{S_0}{k \sqrt{p}} \right) + r \sin v \tan \frac{1}{2} q \left(\frac{H_0}{k \sqrt{p}} \right) , \quad 30)$$

und hiermit ist die gesammte für die Variation der Constanten nöthige Entwicklung beendet.

Trägt man alle Formeln übersichtlich zusammen und wählt als Zeiteinheit das bei der Störungsrechnung zu Grunde gelegte Zeitintervall w , so erhält man das

folgende Formelsystem, in welchem entsprechend der gewählten Zeiteinheit w abkürzend

$$\left. \begin{aligned} S &= \frac{S_0}{(wk) + p} \\ R &= \frac{R_0}{(wk) + p} \\ W &= \frac{W_0}{(wk) + p} \end{aligned} \right\} \quad 31)$$

gesetzt, und ausserdem, um das Resultat der doppelten Integration für AL unverändert beibehalten zu können, der Zeiteinheit w gemäss, $w\delta\mu$ statt $\delta\mu$ eingeführt ist:

$$\left. \begin{aligned} \delta i &= r \cos u W \\ \delta \Omega &= \frac{r \sin u}{\sin i} W \\ w\delta\mu &= -\frac{3}{1+a} \frac{(wk)}{a} \sin q \sin v R - \frac{3}{1+a} \frac{(wk)}{a} \frac{p}{r} S \\ \delta L &= -2r \cos q + p \cos v \operatorname{tg} \frac{1}{2} q \left(R + (r+p) \sin v \operatorname{tg} \frac{1}{2} q S + r \sin u \operatorname{tg} \frac{1}{2} i W \right) \\ \delta \lambda &= -\frac{p \cos v}{\sin q} R + (r+p) \frac{\sin v}{\sin q} S + r \sin u \operatorname{tg} \frac{1}{2} i W \\ \delta q &= a \cos q \sin v R + a \cos q (\cos v + \cos E) S \\ AL &= \int -\frac{\delta L}{dt} dt + \int dt \int \frac{\delta \mu}{dt} dt \end{aligned} \right\} \quad 32)$$

Die Ermittlung der gestörten Elemente hat daher keine Schwierigkeiten, indem die Variationen der Elemente durch einfache numerische Quadraturen erhalten werden, und die hierfür geltenden Formeln im ersten Abschnitte des vorliegenden Bandes entwickelt sind. Man wird natürlich die Anfangsconstanten der einfachen Integrale und des doppelten Integrales so zu bestimmen haben, dass die Integrale für die Zeit der Osculationsepoche verschwinden.

Die Anwendung des oben stehenden Formelsystems 32) erscheint unter Umständen unzulässig oder sehr unbequem. Nähert sich nämlich die Bahn einem Kreise, so werden die Störungen in λ wegen des Nenners $\sin q$ sehr gross und unendlich für eine Kreisbahn; ähnliche Verhältnisse treten auf, wenn die Neigung gegen die Ekliptik verschwindend klein wird, wegen des Nenners $\sin i$ in $\delta\Omega$; endlich werden wegen der Wahl der Elemente, deren Variationen hier bestimmt erscheinen, die obigen Formeln für die Anwendung auf Kometen, wenn deren Bahn nahezu parabolisch ist, unbrauchbar.

Wir wollen vorerst den Ausnahmefall der kleinen Neigungen vornehmen. Das erste und naheliegendste Hilfsmittel wäre darin zu suchen, dass man die Elemente i und Ω auf eine andere Fundamentalebene beziehen würde, etwa auf den Aequator; diese Transformation würde jedoch besonders bei der Ermittlung der störenden Kräfte manche Unbequemlichkeit mit sich bringen. Zweckmässiger wird es sein, in diesen Fällen anstatt i und Ω als Elemente einzuführen:

$$\Xi = \frac{\sin i \sin \Omega}{\sin i''}$$

$$\Omega = \frac{\sin i \cos \Omega}{\sin i''}$$

und die Variationen dieser Elemente zu bestimmen. Die Variation nach der Zeit ergibt:

$$\delta \Xi = \cos i \sin \Omega \delta i + \sin i \cos \Omega \delta \Omega$$

$$\delta \Omega = \cos i \cos \Omega \delta i - \sin i \sin \Omega \delta \Omega ;$$

führt man nun die Ausdrücke aus 32 ein, so findet sich:

$$\delta \Xi = r \{ \sin \Omega \cos u \cos i + \cos \Omega \sin u \} W$$

$$\delta \Omega = r \{ \cos \Omega \cos u \cos i - \sin \Omega \sin u \} W .$$

In den Fällen nun, in denen diese Formeln in Anwendung kommen, wird i stets sehr klein sein; man erhält daher die folgende für die Rechnung bequeme Form, wenn man beachtet, dass $u = v + \pi - \Omega$ ist:

$$\delta \Xi = r \sin (v + \pi) W - 2r \sin \frac{1}{2} i^2 \sin \Omega \cos u W$$

$$\delta \Omega = r \cos (v + \pi) W - 2r \sin \frac{1}{2} i^2 \cos \Omega \cos u W . \quad \left. \vphantom{\delta \Xi} \right\} 33$$

wobei man wohl das zweite Glied meist wird weglassen, oder sich auf dessen Berücksichtigung nur bei bedeutenden Störungen wird beschränken können.

Ebenso wird man sich im Falle sehr nahe kreisförmiger Bahnen zu behelfen in der Lage sein. Setzt man:

$$\Phi = \frac{\sin q \sin \pi}{\sin i''}$$

$$\Psi = \frac{\sin q \cos \pi}{\sin i''} .$$

so erhält man wieder durch die Variation nach der Zeit leicht:

$$\delta \Phi = \sin q \cos \pi \delta \pi + \sin \pi \cos q \delta q$$

$$\delta \Psi = - \sin q \sin \pi \delta \pi + \cos \pi \cos q \delta q .$$

Die Substitution aus 32₁ lässt daher finden:

$$\delta \Phi = - p \cos (v + \pi) R + \{ r + p \sin v \cos \pi + p \cos v + \cos E \sin \pi \} S$$

$$+ \sin q \cos \pi r \sin u \tan \frac{1}{2} i W$$

$$\delta \Psi = - p \sin (v + \pi) R + \{ -(r + p) \sin v \sin \pi + p \{ \cos v + \cos E \cos \pi \} S$$

$$- \sin q \sin \pi r \sin u \tan \frac{1}{2} i W .$$

oder wenn man beachtet, dass

$$\cos E = \frac{\cos v + e}{1 + e \cos v} = \cos v + e \frac{r}{p}$$

ist, auch:

$$\delta \Phi = - p \cos (v + \pi) R + \left\{ \begin{aligned} & p + r \sin (v + \pi) + r \Phi \sin i'' \} S + \\ & + r \sin u \tan \frac{1}{2} i \Psi \sin i'' W \end{aligned} \right\}$$

$$\delta \Psi = - p \sin (v + \pi) R + \left\{ \begin{aligned} & p + r \cos (v + \pi) + r \Psi \sin i'' \} S - \\ & - r \sin u \tan \frac{1}{2} i \Phi \sin i'' W . \end{aligned} \right\} 34$$

Die durch die Formeln 33) und 34) eingeführten Variationen der Elemente können in der That praktische Bedeutung erlangen, wiewohl die unten angegebene Methode der Anwendung der Formeln 32. derartig beschaffen ist, dass wohl kaum je die Nothwendigkeit eintreten wird, von diesen Abänderungen Gebrauch zu machen.

So einfach die Sache vorstehend sich gestaltet hat, um für sehr nahe kreisförmige Bahnen und für sehr geringe Neigungen die obigen Formeln in geeignete Ausdrücke umzugestalten, um so schwieriger wird das Problem, wenn es sich um nahezu parabolische Bahnen handelt, und man wird sich hierbei leicht überzeugen können, dass die Variation der Constanten in Folge der Discontinuität des Elementes a für parabolische Bahnen überhaupt nicht mit Vortheil angewendet werden kann und gerade hier die früher zum Vortrag gebrachten Methoden, die die Variation der Coordinaten ermitteln, den Vorzug verdienen. Ich will aber doch hier zeigen, wie man den Nachtheil, so weit als thunlich, beheben kann.

Führt man statt der Störung der mittleren Länge die Störung der Perihelzeit T , und statt der Störung der mittleren täglichen siderischen Bewegung die Störung der Periheldistanz q ein, so erhält man die Störungen in den Elementen ausgedrückt, die sonst bei nahezu parabolischen Bahnen angewendet werden.

Bildet man zuerst die Variation von M , so ist zunächst:

$$\begin{aligned} M &= L - \pi \\ \delta M &= \delta L - \delta \pi \end{aligned}$$

und die Verbindung der entsprechenden Ausdrücke in 32) (pag. 222) ergibt:

$$\delta M = \{-2r \cos q + p \cos r \cotg q\} R - (r+p) \sin r \cotg q S \quad 35)$$

da

$$\operatorname{cosec} q - \tan \frac{1}{2} q = \cotg q$$

ist. Der hier für δM gefundene Ausdruck enthält die vollständige Variation von M nach r ; denn variirt man den Ausdruck 16) (pag. 218) nach der Zeit t , so sieht man sofort, dass das von der Zeit t abhängige Doppelintegral verschwindet; nun ist aber:

$$M = (t - T) \mu$$

oder:

$$T = t - \frac{M}{\mu}$$

also, wenn man nach r variirt:

$$\delta T = -\frac{\delta M}{\mu} + \frac{M}{\mu^2} \delta \mu = -\frac{a^{\frac{3}{2}}}{k} \delta M + \frac{t-T}{\mu} \delta \mu.$$

Substituirt man nun die Variationen von M und μ nach den Gleichungen 35) und 32), so erhält man nach einigen leichten Reductionen und Einführung der Grösse e statt $\sin q$:

$$\left. \begin{aligned} \delta T &= \frac{a \sqrt{p}}{k} \left\{ 2r - \frac{p \cos r}{e} - \frac{3k(t-T)}{1 \overline{p}} e \sin r \right\} R \\ &+ \frac{a \sqrt{p}}{k} \left\{ \frac{r+p}{e} \sin r - \frac{3k(t-T)}{r} - 1 \overline{p} \right\} S. \end{aligned} \right\} \quad 36)$$

Zur Ermittlung der Variation von q hat man, ausgehend von den Gleichungen:

$$q = \frac{p}{1+e} = a(1-e) \quad \mu = \frac{k}{a^{\frac{3}{2}}}$$

$$\delta q = (1-e) \delta a - a \delta e = -\frac{2}{3}(1-e) \frac{a^{\frac{5}{2}}}{k} \delta \mu - a \cos q \delta q.$$

In diesem Ausdrucke nun hat man die Variationen von μ und q aus 32) (pag. 222) einzuführen, durch deren Substitution man zunächst findet:

$$\delta q = \{2 \sin q (1 - \sin q) - \cos q^2\} a^2 \sin r R + \{2(1-e) \frac{p}{r} - \cos q^2 (\cos r + \cos E)\} a^2 S;$$

berücksichtigt man die Relationen:

$$\frac{p}{r} = 1 + e \cos r \\ \cos E = \frac{\cos r + e}{1 + e \cos r}.$$

so erhält man nach einigen leichten Reductionen:

$$\delta q = -q^2 \sin r R + \frac{q^2}{1+e \cos r} \left\{ 2(1 - \cos r) + e \sin r^2 \right\} S$$

oder schliesslich:

$$\delta q = -q^2 \sin r R + \frac{4qr \sin \frac{1}{2} r^2}{1+e} \left\{ 1 + e \cos \frac{1}{2} r^2 \right\} S. \quad 37)$$

Die Berechnung des Ausdruckes 37) bietet keine Schwierigkeit, anders jedoch verhält es sich mit dem Ausdrucke 36); der Factor a zeigt sofort an, dass der Klammerausdruck nothwendig nahe gleich Null sein muss für nicht allzuweit vom Perihel gelegene Epochen; für die Parabel wird derselbe in der That, wie dieses eine einfache Substitution zeigt, die unbestimmte Form $0 \cdot \infty$ annehmen. Dieser Nachtheil lässt sich aber leicht umgehen mit Hilfsmitteln, die später bei der Entwicklung der Differentialquotienten für nahezu parabolische Bahnen abgeleitet werden; ich weise in den folgenden Zeilen nur kurz auf dieselben hin, da, wie schon oben erwähnt, nach meiner Ansicht, die Methode der Variation der Constanten für die Ermittlung der Störungen in nahezu parabolischen Bahnen nicht sehr geeignet ist und die Methoden der Coordinatenstörungen den Vorzug verdienen. Es werden an dem angeführten Orte die Differentialquotienten von $\frac{dr}{de}$ und $\frac{dr}{dv}$ in strenge und für die Rechnung bequeme Ausdrücke übergeführt. Setzt man nämlich:

$$\theta = \frac{1-e}{1+e} \operatorname{tg} \frac{1}{2} r^2$$

und entlehnt mit diesem Argumente aus der Tafel XVI die Coëfficienten E_2^r , E_4^r , E_0^r und E_4^v , so ist:

$$\left. \begin{aligned} \frac{dv}{de} &= \frac{\sin r \cos \frac{1}{2} r^2}{2(1+e)} \left\{ 1 + E_2^r \operatorname{tg} \frac{1}{2} r^2 + E_4^r \operatorname{tg} \frac{1}{2} r^4 \right\} \\ \frac{dr}{de} &= \frac{r \sin r^2}{4(1+e)} \left\{ E_0^r + \operatorname{tg} \frac{1}{2} r^2 + E_4^r \operatorname{tg} \frac{1}{2} r^4 \right\} \end{aligned} \right\} \quad 38)$$

andererseits ist die ursprüngliche Form dieser Differentialquotienten:

$$\left. \begin{aligned} \frac{dr}{de} &= \left\{ \left(1 + \frac{p}{r}\right) \sin e - \frac{3}{2} \frac{k(t-T)}{r^2} (1+e) \sqrt{p} \right\} \frac{1}{1-e^2} \\ \frac{dr}{de} &= \left\{ r - q \cos e - \frac{3}{2} \frac{k(t-T)}{p} e \sin e \right\} \frac{1}{1-e} \end{aligned} \right\} \quad 39)$$

Beachtet man die Relationen:

$$a = \frac{q}{1-e}, \quad p = q(1+e), \quad \frac{1+e}{2e} = 1 + \frac{1-e}{2e}$$

so wird man leicht den Ausdruck 36) (pag. 224) auf die Form bringen können:

$$\delta T = \frac{2q^{\frac{3}{2}}}{k} \sqrt{1+e} \left\{ \frac{dr}{de} - \frac{q \cos e}{2e} \right\} R + \frac{2q^{\frac{3}{2}}}{k} \sqrt{1+e} \left\{ r \frac{dr}{de} + \frac{(r+p) \sin e}{2e(1+e)} \right\} S \quad 40)$$

welche ohne Schwierigkeit das vorgesteckte Ziel erreichen lässt, wenn man beachtet, dass die Berechnung der auftretenden Differentialquotienten nach 38) (pag. 225) leicht ausgeführt werden kann.

§ 2. Berechnung der Coordinaten und der störenden Kräfte.

Die Berechnung der störenden Kräfte kann hier ganz kurz vorgenommen werden, indem auf den § 3 bei Hansen-Tietjen's Methode (pag. 156) hingewiesen werden kann, und hier nur die geringen Abänderungen berührt werden, die durch die etwas abweichenden Vorschriften geboten sind.

Man bedarf der Kenntniss der störenden Kräfte in der Richtung des Radiusvectors, senkrecht auf diesen in der Bahnebene im Sinne der Bewegung und endlich in der auf der Bahnebene senkrechten Richtung. Legt man demnach ein rechtwinkeliges Coordinatensystem, dessen Anfangspunkt im Sonnenmittelpunkte liegt, so, dass die positive X-Achse mit dem Radiusvector und die X-Y-Ebene mit der Bahnebene zusammenfällt, und zählt die Y- und Z-Coordinaten in der bereits festgestellten Weise (vergl. pag. 213), so transformiren sich die Summen der angreifenden Kräfte nach pag. 213 in:

$$\begin{aligned} \sum k^2 m_1 \left\{ \frac{\xi_1 - r}{q^3} - \frac{\xi_1}{r_1^3} \right\} &= R_0 \\ \sum k^2 m_1 \left\{ \frac{\eta_1}{q^3} - \frac{\eta_1}{r_1^3} \right\} &= S_0 \\ \sum k^2 m_1 \left\{ \frac{\zeta_1}{q^3} - \frac{\zeta_1}{r_1^3} \right\} &= W_0 \end{aligned}$$

oder wenn man:

$$\frac{1}{q^3} - \frac{1}{r_1^3} = K$$

setzt, die Relation 31) (pag. 222) berücksichtigt und w als Zeiteinheit annimmt, so erhält man:

$$R = \sum \frac{w k_1}{p} m_1 \left\{ \xi_1 K - \frac{r}{q^3} \right\} \quad 1)$$

$$\left. \begin{aligned} S &= \sum \frac{(wk)}{Vp} m_1 \eta_1 K \\ W &= \sum \frac{(wk)}{Vp} m_1 \zeta_1 K. \end{aligned} \right\} \quad 1)$$

Hierbei wird man k in Bogensekunden ansetzen, um die Störungen der Elemente in Bogensekunden zu erhalten. Die Werthe für $(wk'') m_1$ finden sich unter der Annahme $w = 40$ für die einzelnen Planeten in der Tafel XII aufgenommen.

Die Bestimmung der Coordinaten ξ_1 , η_1 und ζ_1 unterliegt keinen Schwierigkeiten. Sind nämlich die heliocentrischen Längen λ_0' und Breiten β_0' (vergl. pag. 82) des störenden Himmelskörpers bezogen auf das gewählte fixe Aequinoctium gegeben, so hat man, wenn man die Formeln 2), 3) und 4) pag. 157 vergleicht, zu rechnen:

$$\begin{aligned} q \sin Q &= \sin \beta_0' \\ q \cos Q &= \cos \beta_0' \sin (\lambda_0' - \varpi) \\ \cos B_1 \cos L_1 &= \cos \beta_0' \cos (\lambda_0' - \varpi) \\ \cos B_1 \sin L_1 &= q \cos (Q - i_0) \\ \sin B_1 &= q \sin (Q - i_0) \\ \xi_1 - r &= q \cos \vartheta \cos \vartheta = r_1 \cos B_1 \cos (L_1 - l) - r \\ \eta_1 &= q \cos \vartheta \sin \vartheta = r_1 \cos B_1 \sin (L_1 - l) \\ \zeta_1 &= q \sin \vartheta = r_1 \sin B_1, \end{aligned}$$

wobei offenbar:

$$l = r + w$$

sein wird (vergl. IVb pag. 144).

Mit Hilfe dieser Formeln ist es leicht mit strenger Berücksichtigung des Ortes des störenden Planeten die störenden Kräfte zu ermitteln. Die zweite früher angegebene Form (pag. 158 ff. mit Hilfe der Grösse B_0 die Coordinaten des störenden Planeten zu berechnen, bietet in dem vorliegenden Falle keinen Vortheil, weil wegen der Veränderlichkeit der Grössen i und ϖ die Berechnung der Grössen φ , ψ und J von Fall zu Fall vorgenommen werden müsste.

Indem die Zusammenstellung der Formeln auf den nächstfolgenden Paragraphen verwiesen wird, in welchem dieselben an der Hand eines Beispiels erläutert werden sollen, mögen hier noch einige Bemerkungen eingeschaltet werden.

Man wird die Rechnung nach den obigen Formeln für jeden der störenden Planeten durchzuführen haben; dann kann man entweder die Summen der Kräfte für dieselben Coordinaten bilden und mit diesen Summen nach den Formeln 32) (pag. 222) die Variationen der Elemente bilden, oder, man bildet für jeden einzelnen Planeten, ohne die Summirung auszuführen, die Variationen der Elemente, und summirt erst die letzteren nachträglich. Das letztere Verfahren erfordert zwar eine gewisse Mehrarbeit, scheint aber Vortheile zu bieten, wenn man die berechneten Störungswerthe allenfalls wegen Correctionen der Planetenmassen verbessern will. Ich gebe daher dem zweiten Verfahren stets den Vorzug. In diesem Umstande, ohne erhebliche Mühe die Wirkungen der einzelnen Planeten gesondert

berechnen zu können, liegt ein grosser Vortheil der Methode der Variation der Constanten, gegenüber der Methode, die Störungen der Coordinaten zu ermitteln.

Die Störungen in den Elementen \varOmega , i , λ und L sind von der Lage der gewählten Fundamentalebene abhängig und werden gewissen Veränderungen unterworfen sein, sobald man dieselbe ändert, also wenn das fixe Aequinoctium auf eine andere Epoche übertragen wird, welche Uebertragung nach einem Zeitraume von 10 Jahren nöthig ist, wenn man die Angaben des Berliner Jahrbuches mit der möglichsten Bequemlichkeit in Anwendung ziehen will.

An sich werden die ungestörten Elemente (\varOmega_0 , i_0 , λ_0 und L_0) durch diese Aequinoctialänderung beeinflusst; diese Aenderung kann aber leicht nach den bei der Präcession entwickelten Formeln (I, 81) in Rechnung gezogen werden; dem Umstande aber, dass im Momente der Uebertragung die Elemente die Werthe \varOmega , i , λ und L haben, welche Werthe dadurch erhalten werden, dass man zu den ungestörten Werthen die durch die Störungsrechnung ermittelten Incremente hinzufügt, würde dadurch Rechnung getragen werden können, dass man zur Berechnung des Einflusses der Präcession auf die Elemente die durch die Störungen veränderten Elemente verwendet. Ausserdem müssten bei völliger Strenge die Integrationsconstanten eine geringe Abänderung erfahren, weil die Differenzwerthe an der Uebertragungsstelle selbst Funktionen der Lage des Aequinoctiums und der Grösse der Störungen sind; doch ist der Einfluss dieser Correction, wie dieses eine einfache Ueberlegung zeigt, so gering, dass sie selbst für die schärfsten Rechnungen ohne Bedenken übergangen werden darf; ich werde daher auf diesen Umstand weiter keine Rücksicht nehmen.

Dieses eben angedeutete Verfahren ist aber nicht ganz bequem, indem man zur Bestimmung sehr kleiner Correctionen die Differenzen verhältnissmässig grosser Zahlen verwerthen muss. Ueberdies wird gewöhnlich der Einfluss der Präcession auf die ungestörten Elemente ein für allemal durch eine einmalige scharfe Rechnung nach Potenzen der Zeit entwickelt sein; es wird daher zweckmässig erscheinen, nur jene Correctionen zu berechnen, welche durch den Einfluss der Störungen in diesen Werthen entstehen und dieselben an der Stelle der Aequinoctialänderung mit den betreffenden Differentialquotienten zu vereinigen. Differentiirt man daher die 1 pag. 81 gegebenen Ausdrücke nach den Elementen \varOmega und i , indem man nur die Glieder erster Ordnung mitnimmt und bezeichnet die Störungen zur Zeit der Aequinoctialänderung mit $\mathcal{J}\varOmega$ und $\mathcal{J}i$, so erhält man sofort, wenn man $\mathcal{J}\varOmega$ und $\mathcal{J}i$ in Bogensekunden angesetzt nimmt:

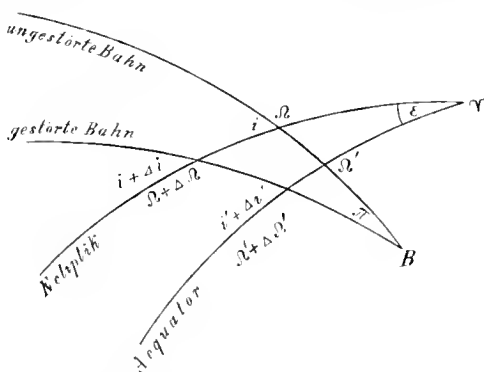
$$\begin{aligned}\delta \mathcal{J}\varOmega &= \cot g i_0 \cos (\varOmega_0 - H) \lambda \mathcal{J}\varOmega \sin 1'' - \frac{\sin (\varOmega_0 - H)}{\sin i_0^2} \lambda \mathcal{J}i \sin 1'' \\ \delta \mathcal{J}L &= \delta \mathcal{J}\lambda = - \tan g \frac{1}{2} i_0 \cos (\varOmega_0 - H) \lambda \mathcal{J}\varOmega \sin 1'' - \frac{\sin (\varOmega_0 - H)}{2 \cos \frac{1}{2} i_0^2} \lambda \mathcal{J}i \sin 1'' \\ \delta \mathcal{J}i &= \sin (\varOmega_0 - H) \lambda \mathcal{J}\varOmega \sin 1'',\end{aligned}$$

wobei die Werthe für H und λ für die entsprechende Epoche und das Intervall nach 1 pag. 81 anzunehmen sind.

Hierbei wäre nur noch zu bemerken, dass, wenn im Verlaufe der Rechnung

eine solche Uebertragung bereits stattgefunden hat, man von dem Resultate der zweiten Uebertragung das der ersten in Abzug bringen muss, oder man ermittelt die vorstehenden Correctionen dadurch, dass man für $J\Omega$ und Ji die Incremente der Störungen innerhalb des Zeitintervalles zwischen der ersten und zweiten Uebertragung allein in Rechnung zieht; ähnlich wird man bei allen folgenden Uebertragungen vorzugehen haben.

Die Störungen beziehen sich der gemachten Voraussetzung nach auf die Ekliptik; es kann aber unter Umständen erwünscht sein, dieselben auf den Aequator zu übertragen. Die strenge Lösung gestaltet sich, wie folgt: Nennt man die Länge des aufsteigenden Knotens der gestörten Bahn in der ungestörten H , die Neigung α , so wird das sphärische Dreieck $\Omega B \Omega' + I \Omega$ haben:



die Seiten	die Winkel
$J\Omega$	α
$180 - \Psi$	$180 - i$
$180 - H$	$i + Ji$

wobei Ψ die Länge des absteigenden Knotens der ungestörten Bahn in der gestörten bezeichnet. Die hier auftretenden Grössen α und H sind nicht mit den obigen gleich bezeichneten Präcessionsgrössen zu verwechseln.

Aus diesem Dreiecke ergeben sich nun die Relationen:

$$\left. \begin{aligned} \sin \frac{1}{2} \alpha \sin \frac{1}{2} (\Psi + H) &= \sin \frac{1}{2} J\Omega \sin i + \frac{1}{2} Ji \\ \sin \frac{1}{2} \alpha \cos \frac{1}{2} (\Psi + H) &= \cos \frac{1}{2} J\Omega \sin \frac{1}{2} Ji \\ \cos \frac{1}{2} \alpha \sin \frac{1}{2} (H - \Psi) &= \sin \frac{1}{2} J\Omega \cos i + \frac{1}{2} Ji \\ \cos \frac{1}{2} \alpha \cos \frac{1}{2} (H - \Psi) &= \cos \frac{1}{2} J\Omega \cos \frac{1}{2} Ji \end{aligned} \right\} \quad 1$$

Von diesen Grössen werden in der weiteren Entwicklung die Werthe von α , H und $H - \Psi$ gebraucht; die Werthe von α und $H - \Psi$ werden selbst bei Anwendung kleiner logarithmischer Tafeln mit grosser Genauigkeit erhalten werden, da beide Winkel nur von der Ordnung der Störungen sind.

Betrachtet man das sphärische Dreieck $B \Omega' (\Omega' + J\Omega')$, so sind in demselben bekannt die Winkel $180 - i'$ und α , ferner die Seiten $B \Omega' = 180 - H - \sigma$, wobei σ den Bogen $\Omega \Omega'$ vorstellt, welcher Bogen aus der einmaligen strengen Uebertragung der ekliptikalen Elemente in die äquatorealen (1 pag. 9) bekannt ist; zu ermitteln sind $J\Omega'$, Ji' und $J\omega'$.

Letztere Grösse setzt sich aus mehreren Correctionen zusammen; ist q der Bogen $(\Omega + J\Omega' - (\Omega' + J\Omega'))$, so ist, wenn der Index 0 für die ungestörte, der Index 1 für die gestörte Bahn angenommen wird:

$$\begin{aligned} \omega_0' &= \omega_0 + \sigma \\ \omega_1' &= \omega_1 + q; \end{aligned}$$

daraus folgt:

$$J\omega' = J\omega + \varrho - \sigma$$

und:

$$\varrho - \sigma = (iP + \varrho) - (H + \sigma) + (H - iP)$$

in welcher Relation $iP + \varrho$ vorerst unbekannt ist. Das oben erwähnte sphärische Dreieck ergibt aber:

$$\begin{aligned} \tan \frac{1}{2} (iP + \varrho - JQ) &= \frac{\sin \frac{1}{2} (i' - \pi)}{\sin \frac{1}{2} (i' + \pi)} \tan \frac{1}{2} (H + \sigma) \\ \tan \frac{1}{2} (iP + \varrho + JQ) &= \frac{\cos \frac{1}{2} (i' - \pi)}{\cos \frac{1}{2} (i' + \pi)} \tan \frac{1}{2} (H + \sigma) . \end{aligned}$$

Die Berechnung dieser Ausdrücke würde bei der fast nothwendigen Kleinheit von π sehr beschwerlich sein. Ist aber π klein, so wird man mit Vortheil die folgende Reihe anwenden dürfen (vergl. I pag. 27 und 28). Hat man nämlich Ausdrücke von der Form:

$$\tan q' = n \tan q ,$$

so ist:

$$q' - q = \frac{n-1}{n+1} \sin 2q + \frac{1}{2} \left(\frac{n-1}{n+1} \right)^2 \sin 4q + \frac{1}{3} \left(\frac{n-1}{n+1} \right)^3 \sin 6q + \dots$$

Ersetzt man nun die beiden obigen Gleichungen durch diese Reihe und schreibt vorerst:

$$\left. \begin{aligned} - \tan \frac{1}{2} \pi \cotg \frac{1}{2} i' &= a \\ \tan \frac{1}{2} \pi \tan \frac{1}{2} i' &= b \end{aligned} \right\} \quad \text{II)}$$

so wird man berechnen:

$$\left. \begin{aligned} A &= \frac{a}{\sin 1''} \sin (H + \sigma) + \frac{a^2}{2 \sin 1''} \sin 2 (H + \sigma) + \frac{a^3}{3 \sin 1''} \sin 3 (H + \sigma) + \dots \\ B &= \frac{b}{\sin 1''} \sin (H + \sigma) + \frac{b^2}{2 \sin 1''} \sin 2 (H + \sigma) + \frac{b^3}{3 \sin 1''} \sin 3 (H + \sigma) + \dots \end{aligned} \right\} \quad \text{III)}$$

woraus folgt:

$$\left. \begin{aligned} J\omega' &= J\omega + (A + B) + (H - iP) \\ JQ' &= B - A \end{aligned} \right\} \quad \text{IV)}$$

Das eben betrachtete sphärische Dreieck gibt aber auch:

$$\tan \frac{1}{2} J i' = \frac{\cos \frac{1}{2} (H + \sigma + \frac{1}{2} (A + B))}{\cos \frac{1}{2} (A + B)} \tan \frac{1}{2} \pi . \quad \text{V)}$$

Die Gleichungen I., II., III., IV. und V) enthalten die strenge Auflösung des Problems; will man aber nur die ersten Potenzen der Aenderungen mitnehmen, was meistens ausreicht, weil die bei den Planeten meist kleinen Störungen der Bahnlage nur in Betracht kommen, so werden die Ausdrücke weit einfacher und man erhält leicht aus den voranstehenden Formeln durch diese Abkürzung:

$$\left. \begin{aligned} \pi \sin H &= JQ \sin i \\ \pi \cos H &= Ji \\ H - iP &= JQ \cos i \end{aligned} \right\} \quad \text{Ia)}$$

$$\left. \begin{aligned} \mathcal{A}\omega' &= \mathcal{A}\omega - \frac{\pi \sin (H + \sigma)}{\tan g i'} + (H - \psi) \\ \mathcal{A}\Omega' &= \frac{\pi \sin (H + \sigma)}{\sin i'} \\ \mathcal{A}i' &= \pi \cos (H + \sigma) . \end{aligned} \right\} \quad \text{Ia)}$$

Will man den Ort eines Himmelskörpers mit den Elementen unter Berücksichtigung der Störungen vergleichen, so wird man sich erst aus den Integraltafeln die Störungen der Elemente ableiten und mit diesen gestörten Elementen den Ort des Himmelskörpers berechnen. Hierbei können die Formeln Ia), wenn die Coordinaten des Planeten sich auf den Aequator beziehen, und die Vergleichung mehrmals mit veränderten Elementen aber unveränderten Störungen vorgenommen werden muss, zur Abkürzung der Rechnung nützlich sein.

Hat man aber eine Ephemeride zu rechnen, und hat dieselbe keine allzugrosse Ausdehnung, so kann man mit den beiläufig für die Mitte der Zeit osculirenden Elementen dieselbe ableiten, ohne weiter auf Störungen Rücksicht zu nehmen; hat die Ephemeride aber eine grössere Ausdehnung und will man dieselbe strenge den Beobachtungen anschliessen, so kann man ganz zweckmässig sich für die Ermittlung dieser Störungen der Encke'schen Methode bedienen, indem man von der gewählten Osculationsepoche, die der Mitte der Zeit nahe entsprechen soll, ausgeht; es führt diese Methode in diesem Falle auf eine sehr kurze Rechnung, da man selbst für Ephemeriden, die sich auf ein halbes Jahr erstrecken, mit der Doppelintegration der directen Glieder ausreichend genaue Resultate erhält und die indirecten Glieder ganz unberücksichtigt lassen kann.

§ 3. Rechnungsbeispiel zur Variation der Constanten.

Ich werde wieder, um die voranstehenden Entwicklungen durch ein Beispiel zu erläutern, die Störungen ermitteln, welche der Planet ⁽⁶²⁾ Erato durch die Anziehung der Planeten Jupiter und Saturn erleidet, und zwar innerhalb desselben Intervalles und mit Annahme derselben Elemente, die zur Ermittlung der Störungen nach den rechtwinkligen und polaren Coordinaten gedient haben; es werden damit neue Gesichtspunkte zur Beurtheilung der verschiedenen Methoden gewonnen. Indem ich wieder betreffs der Wahl des Intervalles, des fixen Aequinoctiums etc. auf die bei der Encke'schen Methode gemachten allgemeinen Bemerkungen verweise, führe ich nochmals die der Störungsrechnung zu Grunde gelegten Elemente hier an.

(⁶²) Erato

Epoche und Osculation 1874 Decbr. 26.0 mittlere Berliner Zeit.

mittl. Aeq. 1870,0

$L = 219^{\circ} 8' 6''8$

$M = 180\ 40\ 48.9$

$$\begin{aligned}\alpha &= 38^{\circ}27'17''9 \\ \Omega &= 125\ 42\ 39.7 \\ i &= 2\ 12\ 23.9 \\ \varphi &= 9\ 59\ 14.9 \\ \mu &= 640''89605 \\ \log a &= 0.4954793 .\end{aligned}$$

Das Zeitintervall w für die Störungsrechnung mit 40 Tagen annehmend, wird im Beginn der Rechnung für zwei der Osculationsepoche vorangehende und nachfolgende Orte die Variation der Elemente unter Annahme der obigen constanten Elemente auf einem Nebenblatte berechnet. Die in Betracht kommenden Zeitepochen der Rechnung sind also für diese 4 Orte:

1874 Oct. 27, Dec. 6, 1875 Jan. 15 und Febr. 24.

Die Rechnung wird ganz nach den weiter unten folgenden Vorschriften ausgeführt, nur werden jene vorbereitenden Rechnungen, die die Elemente, den Störungen entsprechend, variiren, fortgelassen; es entstehen auf diese Art Fehler zweiter Ordnung in Bezug auf die störenden Massen, welche übrigens bei der Nähe der Osculationsepoche als völlig verschwindend betrachtet werden können, umso mehr, da diese so gewonnenen Werthe erst der definitiven Rechnung zu Grunde gelegt werden, also Fehler dritter Ordnung veranlassen.

Mit diesen provisorischen Werthen der Elementenänderungen:

$$w \left(\frac{di}{dt} \right), \quad w \left(\frac{d\Omega}{dt} \right), \quad w \left(\frac{dL}{dt} \right), \quad w \left(\frac{d\pi}{dt} \right), \quad w \left(\frac{d\varphi}{dt} \right) \quad w^2 \left(\frac{d\mu}{dt} \right)$$

für die obigen vier Orte bildet man für die sechs Elemente einzeln die einfach summirten Reihen und bestimmt die Anfangsconstanten so, dass die einfachen Integrale für die Osculationsepoche verschwinden; man hat hierfür vergleiche pag. 35):

$${}^1f(a - \tfrac{1}{2}w) = -\tfrac{1}{24}f''(a - \tfrac{1}{2}w) + \tfrac{17}{5760}f'''(a - \tfrac{1}{2}w) - \dots$$

Für das letzte Element wird man eine Doppelintegration auszuführen haben und man wird als Anfangsconstante für die Bildung der zweiten summirten Reihe den Werth

$${}^1f(a) = \tfrac{1}{24}f''(a-w) - \tfrac{17}{5760}\{2f''(a-w) + f''(a)\} + \dots$$

annehmen (vergl. pag. 53).

Nunmehr ergeben sich die einfachen und Doppel-Integrale für die vier oben genannten Zeitepochen mit genügender Genauigkeit durch die Formeln:

$$\begin{aligned}\int_{a+iw}^{a+iv} f(x) dx &= {}^1f(a+iv) - \tfrac{1}{12}f''(a+iv) \\ \iint_{a+iw}^{a+iv} f(x) dx^2 &= {}^1f(a+iv) + \tfrac{1}{12}f''(a+iv) .\end{aligned}$$

Indem man diese so gewonnenen Incremente zu den constanten Elementen hinzufügt, wobei zu beachten ist, dass man für die Störung der täglichen mittleren siderischen Bewegung den w -fachen Betrag (hier den 40-fachen Betrag) erhält und überdiess setzt:

$$L = L_0 + \mu_0 t + \int \left(\frac{dL}{dt} \right) dt + \iint \left(\frac{d\mu}{dt} \right) dt^2$$

erhält man die für die obigen Zeitepochen osculirenden Elemente, die nun der definitiven Rechnung zu Grunde gelegt werden, wobei eventuell schliesslich eine Neubestimmung der Anfangsconstanten der Integrale vorgenommen werden kann.

Ist die Rechnung einmal im Gange, so werden, je nachdem dieselbe nach vorwärts oder nach rückwärts fortschreitet, aus den bekannten Differenz- und Summenwerthen leicht die für das nächste Intervall geltenden Störungsgrössen ermittelt werden nach den Formeln (vergl. pag. 68 :

für die Rechnung nach vorwärts:

$$\begin{aligned} \int \int f(x) dx = & f(a + [i + \frac{1}{2}]w) + \frac{1}{2} f(a + iw) + \frac{1}{24} \left[10 f''(a + [i - \frac{1}{2}]w) + \right. \\ & \left. + 9 f''(a + [i - 1]w) + 8 f'''(a + [i - \frac{3}{2}]w) + 7 f^{(iv)}(a + [i - 2]w) + \dots \right] \end{aligned}$$

für die Rechnung nach rückwärts:

$$\begin{aligned} \int \int f(x) dx = & f(a + [i - \frac{1}{2}]w) - \frac{1}{2} f(a + iw) + \frac{1}{24} \left[10 f''(a + [i + \frac{1}{2}]w) - \right. \\ & \left. - 9 f''(a + [i + 1]w) + 8 f'''(a + [i + \frac{3}{2}]w) - 7 f^{(iv)}(a + [i + 2]w) + \dots \right] \end{aligned}$$

Die Bestimmung des Incrementes von n entspricht hier natürlich wieder dem w -fachen Betrage.

Für das Doppelintegral hat man zunächst zu ermitteln:

für die Rechnung nach vorwärts:

$$f(a + [i + 1]w) - f(a + iw) + f''(a + [i - \frac{1}{2}]w) + f''(a + [i - 1]w) + f'''(a + [i - \frac{3}{2}]w) + \dots$$

für die Rechnung nach rückwärts:

$$f(a + [i - 1]w) - f(a + iw) - f''(a + [i + \frac{1}{2}]w) + f''(a + [i + 1]w) - f'''(a + [i + \frac{3}{2}]w) + \dots$$

und hat dann mit genügender Annäherung:

$$\iint f(x) dx^2 = \frac{1}{2} f(a + [i \pm 1]w) + \frac{1}{12} f''(a + [i \pm 1]w) \dots$$

Dann ist:

$$L = L_0 + \mu_0 t + \int \left(\frac{dL}{dt} \right) dt + \iint \left(\frac{d\mu}{dt} \right) dt^2,$$

wobei man, da $L_0 + \mu_0 t$ von den Störungen unabhängig ist, die Rechnung dieser Grösse gleich im Beginne der Störungsrechnung für den ganzen Verlauf derselben erledigen kann.

Ich entlehne zur Erläuterung dieser Formeln aus dem unten folgenden ausführlichen Beispiele die Bestimmung der Störungen der Elemente für 1871 Dec. 16, wobei vorausgesetzt ist, dass die Rechnung nach rückwärts geführt werde und bis 1872 Januar 25 fortgesetzt sei. Die in Betracht kommenden völlig bekannten Summen- und Differenzwerthe, die ich der Deutlichkeit halber hier aus dem später folgenden Rechnungsschema herausschreibe und, was vollkommen genügt, auf zwei Decimalstellen abkürze, sind also:

	μ	L	A	q	λ	i
$f(a + [i - 1]w)$	+ 9'52"45	—	—	—	—	—
$f(a + [i - \frac{1}{2}]w)$	+ 5"72	+ 21'12"37	- 51'0"45	- 12'21"20	+ 6'8"76	+ 5"80
$f(a + iw)$	— 6.23	— 6.22	+ 159.20	+ 14.23	— 0.60	+ 0.10
$f'(a + [i + \frac{1}{2}]w)$	— 0.92	— 7.21	+ 30.68	+ 0.93	+ 0.39	0.00
$f''(a + [i + 1]w)$	+ 0.13	— 2.14	— 1.25	— 0.20	— 0.06	— 0.02
$f'''(a + [i + \frac{3}{2}]w)$	+ 0.10	— 0.15	— 2.70	+ 0.24	— 0.22	— 0.01
$f^{iv}(a + [i + 2]w)$	+ 0.02	+ 0.25	— 0.42	+ 0.12	— 0.08	
$f^{v}(a + [i + \frac{5}{2}]w)$	— 0.02	+ 0.15	+ 0.42			

Nach der oben angesetzten Formel findet sich für $f(a + [i - 1]w)$ der Werth — 5"24 und hiermit für 1871 Dec. 16

$$(JL)_2 = \iint \left(\frac{d\mu}{dt} \right) dt^2 = + 9'52"0.$$

Für die einfache Integration findet sich der Reihe nach, wenn man den Klammerausdruck

$$10f''(a + [i + \frac{1}{2}]w) - 9f''(a + [i + 1]w) + 8f'''(a + [i + \frac{3}{2}]w) - \dots$$

mit γ bezeichnet:

$$\begin{array}{r}
 40J\mu \quad (JL)_1 \quad JA \quad Jq \quad J\lambda \quad Ji \\
 f(a + [i - \frac{1}{2}]w) + 5"72 + 21'12"37 - 51'0"45 - 12'21"20 + 6'8"76 + 5"80 \\
 - \frac{1}{2}f(a + iw) + 3.11 + 3.11 - 119.60 - 7.11 + 0.30 - 0.05 \\
 + \frac{1}{24}\gamma \quad - 0.41 \quad - 2.29 + 12.58 + 0.51 + 0.13 \\
 \hline
 + 8"42 + 21'13"2 - 52'7"5 - 12'27"8 + 6'9"2 + 5"8
 \end{array}$$

Hieraus folgt für $J\mu$ der Werth + 0"210 und ausserdem für

$$L = \begin{cases} L_0 + \mu_0 t = 87^0 23' 43" 7 \\ + (JL)_1 = + 21' 13" 2 \\ + (JL)_2 = + 9' 52" 0; \end{cases}$$

demnach sind die Elemente, die man zur Berechnung der Störungen für 1871 Dec. 16 anzuwenden hat:

$$\begin{array}{ll}
 L & 87^0 54' 48" 0 \\
 A & 37 \ 35 \ 10.4 \\
 q & 9 \ 46 \ 47.1 \\
 \lambda & 125 \ 48 \ 48.0 \\
 i & 2 \ 12 \ 20.7 \\
 \mu & 0.41''106
 \end{array}$$

Dieses hier auseinandergesetzte Verfahren weicht von dem sonst hierbei üblichen ab; man liess die Elemente gewöhnlich durch mehrer Intervalle unverändert. Man wird sich aber, wenn man einmal an den hier vorgeschlagenen Rechnungsmechanismus gewöhnt ist, bald überzeugen, dass keine wesentliche Mehrarbeit aus dieser Modification entsteht, insbesondere, wenn man beachtet, dass man bei der älteren Methode, um sich vor constanten Fehlern zu schützen, häufig genug den Anschlussort doppelt rechnen muss. Zudem erreicht man mit der hier vorgeschlagenen Methode den Vortheil, dass man frei wird von Sprüngen im Gange der Funktionen, die sonst unvermeidlich sind und das Resultat keineswegs so wenig schädigen, als man es bisher anzunehmen gewohnt war.

Sind die bezüglichen osculirenden Elemente ermittelt, die ich auf dem Bogen, der mit ⑥2 überschrieben ist, in die ersten sechs Zeilen aufnehme, dann kann an die Rechnung der Zerlegungscoëfficienten geschritten werden, die sich auf diesem Bogen erledigt. Die zur Ausführung dieser Rechnung nöthigen Formeln sind mit Rücksicht auf 32) (pag. 222):

$$\begin{aligned} a^3 &= \frac{k''}{\mu} & \log k'' &= 3.550\ 007 \\ e'' &= \frac{\sin q}{\sin i''} & \log \frac{1}{\sin i''} &= 5.314\ 425 \end{aligned}$$

$$M = L - \pi$$

$$E - e'' \sin E = M$$

$$r \sin v = a \cos q \sin E$$

$$r \cos v = a \cos E - \sin q$$

$$w = \pi - \lambda$$

$$u = v + w$$

$$p = a \cos q^2$$

$$\{i : W\} = r \cos u$$

$$\{Q : W\} = \frac{r \sin u}{\sin i}$$

$$\left. \begin{aligned} \{\mu : R\} &= - \frac{3kw}{1+a} \sin q \sin v \\ \{\mu : S\} &= - \frac{3kw}{\sqrt{a}} \cdot \frac{p}{r} \end{aligned} \right\} \begin{array}{l} w \text{ das Intervall in Tagen; unter} \\ \text{der Annahme } w = 40 \text{ wird:} \\ 3kw = 0.314763 \end{array}$$

$$\{L : R\} = - p \tan \frac{1}{2} q \cos v - 2 r \cos q$$

$$\{L : S\} = (p + r) \sin v \tan \frac{1}{2} q$$

$$\{L : W\} = r \sin u \tan \frac{1}{2} i$$

$$\{\pi : R\} = - \frac{p}{\sin q} \cos v$$

$$\{\pi : S\} = p + r \frac{\sin v}{\sin q}$$

$$\{q : R\} = a \cos q \sin v$$

$$\{q : S\} = a \cos q (\cos v + \cos E)$$

grationsbogen eingetragen, welche wohl keiner näheren Erklärung bedürfen. Der Ausdruck

$$L_0 + \mu_0 t$$

wurde vor Beginn der Störungsrechnung für alle vorgelegten Intervalle an der betreffenden Stelle eingesetzt.

Schliesslich muss ich noch erwähnen, dass für die vier ersten Orte des hier ausführlich aufgenommenen Rechnungsbeispiels die Störungswerthe einer früheren auf anderen weniger genauen Elementen beruhenden Rechnung entlehnt wurden, welcher Umstand keine wesentlichen Fehler hervorbringen kann; in der That unterscheiden sich die gemachten Annahmen nicht merklich von den definitiven Störungswerthen.

Es wurden angenommen für:

	1875 Febr. 24	1875 Jan. 15	1874 Dec. 6	1874 Oct. 27
$(LL)_1 + LL_2$	— 36"2	— 16"7	+ 21"0	+ 1'21"4
$L\mu$	+ 0"347	+ 0"110	— 0"124	— 0"368
$L\lambda$	+ 2'39"6	+ 51"4	— 48"9	— 2'20"4
Lq	+ 1'27"3	+ 30"0	— 30"7	— 1'36"5
$L\varrho$	— 52"4	— 18"4	+ 17"3	+ 1'0"2
Li	+ 0"2	+ 0"1	0"0	+ 0"1

Ermittelt man mit den Ergebnissen des unten folgenden Beispiels für die Epoche 1871 Sept. 13, d. i. für jenen Zeitpunkt, für welchen bei den früher behandelten Methoden der Störungsrechnung von Encke und von Hansen-Tietjen der Uebergang auf osculirende Elemente gemacht wurde, die Werthe der Störungen, wie sie jetzt durch die Methode der Variation der Constanten erhalten werden und setzt die aus den drei verschiedenen Methoden erhaltenen Störungswerthe zur Vergleichung neben einander, so hat man:

	Encke	Hansen-Tietjen	Variation d. Const.
$L_0 - L_{00}$	+ 0'26'13"30	+ 0'26"13"33	+ 0'26'13"30
$\lambda - \lambda_0$	— 1'0'1'4"12	— 1'0'1'4"10	— 1'0'1'4"08
$\varrho - \varrho_0$	+ 6'16"30	+ 6'16"24	+ 6'16"27
$i - i_0$	+ 5"44	+ 5"44	+ 5"44
$q - q_0$	— 12'47"91	— 12'47"93	— 12'47"94
$\mu - \mu_0$	+ 0"44353	+ 0"44366	+ 0"44367

Die Uebereinstimmung ist eine sehr befriedigende; dennoch aber zeigt sich die überwiegende Genauigkeit der Hansen-Tietjen'schen Methode gegen die Encke'sche, wenn die Störungen stark anwachsen, denn das für die künftige Uebereinstimmung wichtigste Element $\mu - \mu_0$ ist nach der letzteren Methode fast identisch

mit dem nach der Variation der Constanten sich ergebenden Werthe gefunden worden, während der aus Encke's Methode resultirende Werth schon eine kleine Abweichung zeigt. Uebrigens ist dieser Fehler nur dem Umstande zuzuschreiben, dass die Rechnung nach Encke's Methode länger fortgesetzt wurde, als es die Grösse der Störungen rathsam erscheinen lässt und man hätte früher auf osculirende Elemente übergehen müssen. Auch hierin zeigt sich ein eminenter Vortheil der Hansen-Tietjen'schen Methode, denn die Störungsrechnung liess sich nach dieser Methode für mehr als 10 Jahre, innerhalb welcher Zeit sich noch einmal die Jupiternähe ereignete, fortführen, ohne dass die Rechnung sehr beschwerlich und unsicher wurde, so dass im Allgemeinen für diese Methode wohl nur erst nach sehr langer Zeit ein Uebergang auf osculirende Elemente nöthig wird.

Ausführliches Beispiel
zur
Methode der Variation
der
Constanten.

Datum	1875		1874					
	Febr. 14	Jan. 15	Dec. 6	Oct. 27	Sept. 17	Aug. 8	June 29	Mai 20
u	641''243	641''015	640''775	640''528	640''280	640''042	639''825	639''641
L	229''48'24''4	222''41'28''0	215''34'50''8	208''28'34''4	201''22'40''8	194''17'10''0	187''12'1''8	180''17'13''9
π	38''29'5''5	38''28'9''0	38''26'29''0	38''24'5''8	38''23'3''3	38''22'1''3	38''20'5''6	38''19'25''1
q	10''0'41''2	9''59'44''9	9''58'44''2	9''57'38''4	9''56'29''8	9''55'20''0	9''54'10''6	9''53'3''9
i	125''41'4''3	125''42'21''3	125''42'5''0	125''43'39''9	125''44'23''2	125''45'7''6	125''45'51''5	125''46'33''0
i	2''12'24''1	2''12'24''0	2''12'23''9	2''12'24''0	2''12'24''1	2''12'24''5	2''12'25''0	2''12'25''7
$\frac{1}{2}i$	1''6'12''0	1''6'12''0	1''6'11''9	1''6'12''0	1''6'12''0	1''6'12''2	1''6'12''5	1''6'12''8
$\frac{1}{2}q$	5''0'20''6	4''59'52''4	4''59'22''1	4''58'49''2	4''58'14''9	4''57'40''0	4''57'5''3	4''56'31''9
μ	2.807023	2.806868	2.806705	2.806538	2.806370	2.806208	2.806061	2.805937
a^2	0.742084	0.743139	0.743302	0.743469	0.743637	0.743799	0.743946	0.744070
a^2	0.247661	0.247713	0.247767	0.247823	0.247879	0.247933	0.247982	0.248023
a	0.495323	0.495426	0.495535	0.495646	0.495758	0.495866	0.495964	0.496047
$\cos q$	9.993337	9.993357	9.993379	9.993404	9.993429	9.993455	9.993481	9.993505
$\sin q$	9.240162	9.239490	9.238764	9.237976	9.237153	9.236313	9.235477	9.234672
$\log e''$	4.554587	4.553915	4.553189	4.552401	4.551578	4.550738	4.549902	4.549097
M	191''18'26''9	184''13'19''0	177''8'21''8	170''3'36''6	162''59'7''5	155''54'56''3	148''51'8''2	141''47'48''8
E	189''38'22''5	183''35'52''3	177''33'42''4	171''31'1''0	165''28'3''2	159''23'26''7	153''16'56''8	147''8'3''5
$\sin E$	9.223885	8.996636	8.628819	9.168616	9.399549	9.546533	9.652819	9.734537
$u \cos q$	0.488660	0.488783	0.488914	0.489050	0.489187	0.489321	0.489445	0.489552
$\cos E$	9.993324	9.999143	9.999606	9.999527	9.998587	9.997127	9.995096	9.992425
Subtract	0.070531	0.069638	0.069462	0.069995	0.071274	0.073386	0.076472	0.080761
$\cos E - e$	0.064355	0.068781	0.069068	0.065222	0.055752	0.044663	0.032437	0.020512
$r \sin r$	9.9712545	9.9286419	9.9117733	9.9657666	9.9888736	9.9935854	9.996264	9.998089
$r \cos r$	9.995954	9.9999397	9.999923	9.9996635	9.9990036	9.9979725	9.9965375	9.9946515
r	0.559678	0.564207	0.564603	0.560868	0.552910	0.540529	0.523401	0.501059
r	188''5'33''4	183''1'10''1	177''5'11''6	172''5'36''5	166''46'26''2	162''37'41''2	157''25'24''5	152''8'39''8
ω	272''48'10''2	272''45'4''7	272''43'32''0	272''41'1''9	272''39'10''1	272''37'6''1	272''35'2''1	272''32'52''1
u	100''53'43''6	95''46'5''8	90''40'43''6	85''33'54''4	80''25'36''3	75''14'47''3	70''0'26''6	64''41'31''9
r	0.564024	0.564810	0.564880	0.564233	0.562874	0.560804	0.558026	0.554544
p	0.481997	0.482140	0.482293	0.482454	0.482616	0.482764	0.482926	0.483057
Add.	0.343977	0.344326	0.344284	0.343841	0.343010	0.341796	0.340201	0.338243
$r + p$	0.825974	0.826466	0.826577	0.826095	0.825884	0.825600	0.825227	0.824799
$\sin r$	9.9148521	8.9721609	8.552853	9.093433	9.325862	9.475050	9.584238	9.669515
$\cos r$	9.995954	9.9999397	9.999923	9.9996635	9.9990036	9.9979725	9.9965375	9.9946515
Add.	0.300116	0.300903	0.300973	0.300327	0.298956	0.296826	0.293885	0.290041
$\cos r + \cos E$	0.295770	0.300903	0.300973	0.296962	0.288992	0.276551	0.259260	0.236556
$\sin u$	9.992100	9.997784	9.999970	9.998698	9.993910	9.985440	9.973006	9.956180
$\cos u$	9.9276502	9.9003272	8.9073595	8.888326	8.820914	8.740594	8.653898	8.5630917
$\lg \frac{1}{2}i$	8.284638	8.284638	8.284627	8.284638	8.284638	8.284660	8.284692	8.284725
$r \sin u$	0.556124	0.562594	0.564850	0.562931	0.556784	0.546244	0.531032	0.510724
$\sin i$	8.585512	8.585506	8.585501	8.585506	8.585512	8.585534	8.585561	8.585599
$-p \sin q$	1.241835	1.242650	1.243529	1.244478	1.245463	1.246463	1.247449	1.248385
$(p+r) \sin r$	9.9774495	9.9548078	9.9379430	9.919728	9.894188	9.869620	9.840365	9.808445
$\lg \frac{1}{2}i$	8.942582	8.941767	8.941052	8.940231	8.939396	8.938544	8.937694	8.936876
$\sin q \sin r$	8.9388683	7.9961099	7.791617	8.331409	8.563015	8.711363	8.819715	8.904217
$3kr - 1a$	0.067102	0.067050	0.066996	0.066940	0.066884	0.066830	0.066781	0.066740
p/r	9.917973	9.917330	9.917413	9.918221	9.919742	9.921972	9.924900	9.928513
$-p \lg \frac{1}{2}i$	9.9424579	9.9423907	9.9423325	9.9422685	9.9422012	9.9421320	9.9420620	9.9419933
$-2 \cos q$	0.294367	0.294338	0.294409	0.294434	0.294459	0.294485	0.294511	0.294535
$-2 \cos q \cdot r$	0.858391	0.8594197	0.859289	0.858667	0.857333	0.855289	0.852537	0.849079
$-p \lg \frac{1}{2}i \cos r$	9.420233	9.423304	9.423048	9.419320	9.412048	9.401045	9.385995	9.366448
Add.	9.983869	9.983783	9.983796	9.983944	9.984137	9.984366	9.984607	9.984855
$\{e: H\}$	9.9840526	9.9568082	8.9638475	9.452559	9.783788	9.966768	0.091924	0.185461
$\{p: H\}$	1.970612	1.970088	1.970349	1.977425	1.971272	1.960710	1.945471	1.925125
$\{u: R\}$	8.455785	8.028149	7.858613	8.398349	8.629849	8.778193	8.886496	8.970957
$\{L: R\}$	9.9845705	9.984380	9.984149	9.983816	9.983366	9.982802	9.982161	9.981523
$\{L: R\}$	0.842260	0.842980	0.843085	0.842581	0.841470	0.839755	0.837444	0.834544
$\{L: S\}$	8.911077	8.489489	8.320462	8.859959	9.090884	9.238164	9.345059	9.427721
$\{L: H\}$	8.840762	8.847232	8.849477	8.847569	8.841422	8.830904	8.815724	8.795449
$\{r: R\}$	1.237489	1.242047	1.243252	1.241113	1.235499	1.226188	1.212824	1.194900
$\{r: S\}$	0.734333	0.7308588	0.730666	0.731752	0.734335	0.736307	0.737188	0.736173
$\{q: R\}$	9.9637181	9.9210392	9.041767	9.582483	9.815049	9.964371	0.073683	0.159097
$\{q: S\}$	0.784430	0.784083	0.784608	0.784612	0.784179	0.785872	0.784805	0.7826108
$\{p\}$	0.240998	0.241070	0.241146	0.241227	0.241308	0.241388	0.241463	0.241528

1874			1873						
April 10	März 1	Jan. 20	Dec. 11	Nov. 1	Sept. 22	Aug. 13	Juli 4	Mai 25	
639°506 173° 2'42"1 38° 17'39"0 9° 52' 2"1 125° 47'10"5 2° 12'26"5	639°430 165° 58'20"4 38° 15'25"8 9° 51' 7"3 125° 47'42"1 2° 12'27"3	639°422 158° 54' 0"5 38° 12'38"6 9° 50'20"4 125° 48' 7"2 2° 12'28"0	639°482 151° 49'34"9 38° 9'15"1 9° 49'41"6 125° 48'25"2 2° 12'28"7	639°603 144° 44'55"0 38° 5'19"2 9° 49'10"2 125° 48'37"1 2° 12'29"3	639°771 137° 39'55"3 38° 0'59"7 9° 48'44"6 125° 48'43"6 2° 12'29"7	639°970 130° 34'32"4 37° 56'29"2 9° 48'23"2 125° 48'46"8 2° 12'29"9	640°185 123° 28'45"1 37° 52' 0"8 9° 48' 4"5 125° 48'47"8 2° 12'30"0	640°401 116° 22'34"5 37° 47'46"2 9° 47'47"3 125° 48'47"8 2° 12'30"0	
1° 6'13"2 4° 56' 1"0 2.805845 0.744162 0.248054 0.496108	1° 6'13"6 4° 55'33"6 2.805793 0.744214 0.248071 0.496143	1° 6'14"0 4° 55'10"2 2.805787 0.744220 0.248073 0.496147	1° 6'14"3 4° 54'50"8 2.805828 0.744179 0.248060 0.496119	1° 6'14"6 4° 54'35"1 2.805910 0.744097 0.248032 0.496065	1° 6'14"8 4° 54'22"3 2.806025 0.743982 0.247994 0.495988	1° 6'14"9 4° 54'11"6 2.806160 0.743847 0.247949 0.495898	1° 6'15"0 4° 54' 2"2 2.806305 0.743702 0.247901 0.495801	1° 6'15"0 4° 53'53"6 2.806452 0.743555 0.247852 0.495703	
9.993527 9.233924 4.548349	9.993548 9.233200 4.547685	9.993565 9.232692 4.547117	9.993579 9.232221 4.546646	9.993591 9.231838 4.546203	9.993600 9.231527 4.545952	9.993608 9.231297 4.545692	9.993614 9.231039 4.545404	9.993621 9.230829 4.545254	
134° 45' 3"1 140° 56'17"1 9.799451 0.489635	127° 42'54"6 134° 41' 7"0 9.851857 0.489691	120° 41'21"9 128° 21'57"4 9.894350 0.489712	113° 40'19"8 121° 58' 8"3 9.928567 0.489698	106° 39'35"8 115° 28'51"4 9.955557 0.489656	99° 38'55"6 108° 53'15"0 9.975962 0.489588	92° 38' 3"2 102° 10'24"4 9.990123 0.489506	85° 36'44"3 95° 19'25"5 9.998123 0.489415	78° 34'48"3 88° 19'29"0 9.999814 0.489324	
9.890122 0.086609 9.9976731 0.289086 9.9922478 0.0472839 146° 46'29"6 272° 30'28"5 59° 16'58"1	9.8947086 0.094582 9.9941668 0.341548 9.892325 0.0437811 141° 17'54"8 272° 27'43"7 53° 45'38"5	9.8972869 0.105616 9.898485 0.384062 9.8954706 0.0394932 135° 41'49"8 272° 24'31"4 48° 6'21"2	9.8972333 0.121361 9.8945194 0.418265 9.884570 0.0341313 129° 57' 0"9 272° 20'46"9 42° 17'50"8	9.8933681 0.145017 9.8928698 0.445213 9.918398 0.027463 124° 2' 3"9 272° 16'42"1 36° 18'46"0	9.8910157 0.183687 9.8969384 0.465550 9.946241 0.0189832 117° 55'26"1 272° 12'16"1 30° 7'42"2	9.8924018 0.257126 9.8958114 0.479629 9.968406 0.0077042 111° 35'26"4 272° 7'42"4 23° 43' 9"3	8.996470 0.188941 9.8941980 0.485338 9.984931 9.915781 105° 0'22"6 272° 3'13"0 17° 3'35"6	8.465902 9.918125 9.8948954 0.489138 9.995601 9.894657 9.898294 271° 58'58"4 10° 2'27"8	
0.550361 0.483162 0.335927 0.819089	0.545486 0.483239 0.332688 0.816507	0.539926 0.483277 0.330277 0.813554	0.533695 0.483277 0.326971 0.810248	0.526815 0.483247 0.323390 0.806607	0.519309 0.483188 0.319466 0.802654	0.511223 0.483114 0.315312 0.798426	0.502607 0.483029 0.310430 0.793959	0.493537 0.482945 0.306358 0.789303	
9.738725 9.9922478 0.285153 0.207631	9.796062 9.892325 0.278999 0.171324	9.844136 9.8954706 0.271211 0.125917	9.884570 9.897618 0.261155 0.068773	9.918398 9.897948 0.247644 9.8995592	9.946241 9.8970523 0.228207 9.8988730	9.968406 9.895819 0.196745 9.8976504	9.984931 9.8941374 0.133009 9.8946183	9.995601 9.8951120 9.899583 9.8950703	
9.934347 9.708252	9.906634 9.771704	9.871795 9.824618	9.828002 9.869032	9.772463 9.906225	9.700651 9.936967	9.604502 9.901672	9.467418 9.980457	9.244984 9.993184	
8.284769 0.484708 8.585643	8.284812 0.452120 8.585687	8.284856 0.411721 8.585725	8.284889 0.361697 8.585763	8.284922 0.299278 8.585796	8.284944 0.219960 8.585818	8.284955 0.115725 8.585829	8.284966 9.770025 8.585834	8.284966 9.738521 8.585834	
1.249238 0.557814 8.936118	1.249979 0.612569 8.935444	1.250585 0.657690 8.934867	1.251056 0.694818 8.934389	1.251409 0.725005 8.933685	1.251661 0.748895 8.933685	1.251847 0.766832 8.933421	1.251990 0.778890 8.933189	1.252116 0.784904 8.932976	
8.972649 0.066709 9.932801	9.029322 0.066692 9.937753	9.076828 0.066690 9.943351	9.116791 0.066703 9.949582	9.150236 0.066731 9.956432	9.177768 0.066769 9.963879	9.199673 0.066814 9.971891	9.215970 0.066862 9.980422	9.226430 0.066911 9.989408	
9.9419280 0.294557 0.844918 9.341758 9.986147	9.941863 0.294578 0.840064 9.311008 9.986962	9.9418144 0.294595 0.834521 9.278550 9.987918	9.9417666 0.294621 0.828304 9.252284 9.989029	9.9417248 0.294630 0.821436 9.165196 9.990309	9.9416873 0.294638 0.813939 9.087396 9.991771	9.9416535 0.294638 0.805861 9.842354 9.993430	9.9416212 0.294644 0.797251 8.829392 9.995298	9.9415921 0.294651 0.788188 8.567041 9.997382	
0.258613 1.899065	0.317190 1.866433	0.364544 1.825996	0.402727 1.775934	0.433040 1.713482	0.456276 1.634142	0.472895 1.529866	0.483064 1.384191	0.486721 1.152687	
9.9039358 9.9999510	9.9096014 0.000445	9.9143518 0.010041	9.9183494 0.016285	9.9216967 0.023163	9.9244537 0.030648	9.9266487 0.038705	9.9282832 0.047284	9.9293341 0.056319	
0.831065 9.493932 8.769477	0.827026 9.548013 8.736932	0.822439 9.592557 8.696577	0.817333 9.629207 8.646586	0.811745 9.659006 8.584200	0.805710 9.682580 8.504904	0.799291 9.700253 8.400680	0.792549 9.712079 8.254991	0.785570 9.717880 8.023487	
1.171716 1.323890	1.142304 1.379309	1.105291 1.424998	1.058674 1.462597	0.999357 1.493167	0.922184 1.517368	0.816666 1.535565	0.665164 1.547851	0.403236 1.554075	
0.228360 0.697266	0.285753 0.661015	0.333848 0.615629	0.374268 0.558471	0.408054 0.485248	0.435829 0.5388318	0.457912 0.552070	0.474346 0.565598	0.484925 0.5740027	
0.241581	0.241619	0.241638	0.241638	0.241623	0.241594	0.241557	0.241514	0.241472	

Datum	1873			1872				
	April 15	Marz 6	Jan. 25	Dec. 16	Nov. 6	Sept. 27	Aug. 18	Juli 9
n	640''607	640''796	640''963	641''106	641''225	641''320	641''391	641''441
L	109°16'2''7	102°9'12''6	95°2'7''0	87°54'48''9	80°47'21''1	73°39'45''8	66°32'5''3	59°24'21''2
n	37°43'53''8	37°40'29''1	37°37'34''5	37°35'10''4	37°33'15''0	37°31'45''3	37°30'37''6	37°29'47''3
q	9°47'31''0	9°47'15''5	9°47'0''8	9°46'47''1	9°46'34''9	9°46'24''5	9°46'16''2	9°46'10''2
p	125°48'47''6	125°48'47''7	125°48'48''1	125°48'48''9	125°48'49''9	125°48'51''1	125°48'52''2	125°48'53''2
i	2°12'30''0	2°12'29''9	2°12'29''7	2°12'29''7	2°12'29''6	2°12'29''5	2°12'29''5	2°12'29''4
$\frac{1}{2}t$	1°6'15''0	1°6'14''9	1°6'14''8	1°6'14''8	1°6'14''8	1°6'14''7	1°6'14''7	1°6'14''7
$\frac{1}{2}q$	4°53'45''5	4°53'37''7	4°53'30''4	4°53'23''5	4°53'17''4	4°53'12''2	4°53'8''1	4°53'5''1
$\frac{1}{2}p$	2.806592	2.806720	2.806833	2.806930	2.807010	2.807075	2.807123	2.807157
$a^{\frac{3}{2}}$	0.743415	0.743287	0.743174	0.743077	0.742997	0.742932	0.742884	0.742850
$a^{\frac{1}{2}}$	0.247805	0.247762	0.247725	0.247692	0.247666	0.247644	0.247628	0.247617
a	0.495610	0.495525	0.495449	0.495385	0.495331	0.495288	0.495256	0.495233
$\cos q$	9.993627	9.993632	9.993638	9.993642	9.993647	9.993651	9.993654	9.993656
$\sin q$	9.230630	9.230441	9.230262	9.230094	9.229945	9.229818	9.229717	9.229643
$\log e''$	4.545055	4.544866	4.544687	4.544519	4.544370	4.544243	4.544142	4.544068
M	71°32'8''9	64°28'43''5	57°24'32''5	50°19'38''5	43°14'6''1	36°8'0''5	29°1'27''7	21°54'33''9
E	81°9'52''3	73°50'1''3	66°19'32''8	58°38'15''8	50°46'17''0	42°44'0''8	34°32'14''0	26°12'7''8
$\sin E$	9.994816	9.982478	9.961822	9.931404	9.889094	9.831608	9.753538	9.644970
$a \cos q$	0.489237	0.489157	0.489087	0.489027	0.488978	0.488939	0.488910	0.488889
$\cos E$	9.186385	9.444711	9.603725	9.716377	9.801003	9.866002	9.915799	9.952909
Subtract.	9.030390	9.804708	0.134495	9.828418	9.864215	9.885865	9.898807	9.908957
$\cos E - r$	9.994816	9.035149	9.364757	9.544795	9.65218	9.751867	9.815606	9.861866
$r \sin v$	0.484053	0.471635	0.450909	0.420431	0.378072	0.320547	0.242448	0.133859
$r \cos r$	9.999938	9.997169	9.986151	9.965244	9.932077	9.883095	9.811009	9.733598
r	89°12'38''5	9.530674	9.860206	0.040180	0.160549	0.247155	0.310862	0.357099
v	90°58'9''1	83°22'52''5	75°36'25''6	67°22'55''2	58°47'1''9	49°49'6''0	40°30'20''5	30°52'58''3
ω	271°55'6''2	271°51'41''4	271°48'46''4	271°46'21''5	271°44'25''1	271°42'54''2	271°41'45''4	271°40'54''1
u	2°53'15''3	355°19'33''9	347°25'12''0	339°9'16''7	330°31'2''0	321°32'0''2	312°12'5''9	302°33'52''4
r	0.484115	0.474466	0.464758	0.455187	0.445995	0.437452	0.429853	0.423501
p	0.482864	0.482789	0.482725	0.482669	0.482625	0.482590	0.482564	0.482545
Add.	0.301655	0.296888	0.292139	0.287507	0.283101	0.279047	0.275474	0.272511
$r + p$	0.784519	0.779677	0.774864	0.770166	0.765726	0.761637	0.758038	0.755056
$\sin r$	9.999938	9.997169	9.986151	9.965244	9.932077	9.883095	9.812595	9.710358
$\cos r$	89.228270	9.056208	9.395448	9.584993	9.714554	9.809703	9.881009	9.933598
Add.	9.949329	0.148845	0.209259	0.240288	0.259953	0.273792	0.283983	0.291482
$\cos r + \cos E$	9.135714	9.593556	9.812984	9.956665	0.060956	0.139794	0.199782	0.244391
$\sin u$	8.702228	8.911077	9.9338063	9.9551263	9.9692015	9.9793831	9.9866963	9.9925717
$\cos u$	9.999448	9.998553	9.998447	9.9970600	9.9939800	9.9893745	9.9827205	9.9739984
$\lg \frac{1}{2}i$	8.284966	8.284955	8.284944	8.284944	8.284944	8.284933	8.284933	8.284933
$r \sin u$	9.186343	9.9385543	9.9802821	0.000450	0.138010	0.231283	0.2995467	0.349218
$\sin i$	8.585834	8.585829	8.585818	8.585818	8.585812	8.585807	8.585807	8.585802
$-(p + r) \sin q$	1.252224	1.252238	1.252263	1.252575	1.252680	1.252772	1.252847	1.252902
$(p + r) \sin r$	0.784457	0.776846	0.761015	0.735420	0.697803	0.644732	0.570633	0.465414
$\lg \frac{1}{2}q$	8.932775	8.932582	8.932401	8.932230	8.932079	8.931950	8.931848	8.931773
$\sin q \sin r$	9.230568	9.227610	9.216413	9.195338	9.162022	9.112913	9.042312	8.940001
$-3kr : a$	0.0606948	0.067001	0.067038	0.067071	0.067097	0.067119	0.067135	0.067146
$p : r$	9.998749	0.008323	0.017967	0.027482	0.036630	0.045138	0.052711	0.059044
$-p \lg \frac{1}{2}q$	9.9415639	9.9415571	9.9415126	9.9414899	9.9414704	9.9414540	9.9414412	9.9414318
$-2 \cos q$	0.294657	0.294662	0.294668	0.294672	0.294677	0.294681	0.294684	0.294686
$-2 \cos q : r$	0.077872	0.0769128	0.0759426	0.0749859	0.0740672	0.0732133	0.0724537	0.0718187
$-p \lg \frac{1}{2}q \cos r$	7.643909	8.941579	8.9810574	8.9999892	9.129258	9.224243	9.295421	9.347916
Add.	9.999681	0.002183	0.004859	0.007656	0.010498	0.013281	0.016875	0.021831
$\{i : H\}$	0.483563	0.473019	0.454205	0.425787	0.385795	0.331197	0.257058	0.154485
$\{p : H\}$	0.000509	0.0079714	1.217003	1.420632	1.9552198	1.645476	1.773739	1.9763416
$\{u : R\}$	9.9297526	9.9294611	9.9283451	9.9262409	9.9229119	9.9180032	9.9109447	9.9007147
$\{u : S\}$	0.0065707	0.0075324	0.0085005	0.0094553	0.0103727	0.0112257	0.0119846	0.0126190
$\{L : R\}$	0.778453	0.771311	0.764285	0.757515	0.751170	0.745414	0.740412	0.736318
$\{L : S\}$	9.717232	9.709428	9.693416	9.667650	9.629882	9.576682	9.502481	9.397187
$\{L : H\}$	7.471309	7.670498	8.087765	8.291394	8.422954	8.516216	8.584479	8.634151
$\{r : R\}$	9.480504	0.208556	0.647911	0.837568	0.967234	1.062475	1.133856	1.186500
$\{r : S\}$	1.553827	1.546405	1.530753	1.505326	1.467858	1.414914	1.340916	1.255771
$\{q : R\}$	0.489175	0.486326	0.475238	0.454271	0.421055	0.372034	0.301505	0.199247
$\{q : S\}$	9.624951	0.082713	0.302071	0.445692	0.549934	0.628733	0.688692	0.733280
$1/p$	0.241432	0.241394	0.241362	0.241334	0.241312	0.241295	0.241282	0.241272

1872				1871			
Mal 30	April 20	Marz 11	Jan. 31	Dec. 22	Nov. 12	Oct. 3	Aug. 24
641"471 52"16'35"1 37"29'10"1 9"16' 6"6 125"48'53"7 2"12'29"4	641"484 45" 8'48"2 37"28'41"6 9"16' 5"2 125"48'54"0 2"12'29"4	641"481 38" 1' 1"6 37"28'17"6 9"46' 6"0 125"48'54"0 2"12'29"4	641"465 30"53'16"3 37"27'54"9 9"46' 8"7 125"48'53"6 2"12'29"4	641"439 23"45'32"6 37"27'30"8 9"46'12"8 125"48'52"8 2"12'29"4	641"404 16"37'51"4 37"27' 3"4 9"46'18"0 125"48'51"8 2"12'29"4	641"362 9"30'13"0 37"26'51"6 9"46'23"9 125"48'50"6 2"12'29"4	641"316 2"22'37"6 37"25'54"9 9"46'30"1 125"48'49"3 2"12'29"3
1" 6'14"7 4'53' 3"3 2.807177 0.742830 0.247610 0.495220	1" 6'14"7 4'53' 2"6 2.807186 0.742821 0.247607 0.495214	1" 6'14"7 4'53' 3"0 2.807184 0.742823 0.247608 0.495215	1" 6'14"7 4'53' 3"0 2.807173 0.742834 0.247611 0.495223	1" 6'14"7 4'53' 6"4 2.807155 0.742852 0.247617 0.495235	1" 6'14"7 4'53' 9"0 2.807132 0.742875 0.247625 0.495250	1" 6'14"7 4'53'11"9 2.807103 0.742904 0.247635 0.495269	1" 6'14"6 4'53'15"0 2.807072 0.742935 0.247645 0.495290
9.993657 9.229599 4.544024	9.993658 9.229582 4.544007	9.993658 9.229592 4.544017	9.993657 9.229625 4.544050	9.993655 9.229675 4.544100	9.993653 9.229739 4.544164	9.993651 9.229811 4.544236	9.993649 9.229886 4.544311
14"47'25"0 17"45'16"9 9.484218 0.488877	7"40' 6"6 9"13'38"1 9.205070 0.488872	0"32'44"0 0"39'25"3 8.059451 0.488873	353"25'21"4 352" 5' 1"2 9.139019 0.488880	346"18' 1"8 343"32'47"9 9.452147 0.488890	339"10'48"0 335" 4'59"1 9.624595 0.488893	332" 3'41"4 326"43'31"1 9.39298 0.488892	324"56'42"7 318"29'57"8 9.821270 0.488893
9.978806 9.914791 9.893597 9.973095 9.970139 0.388817 21" 0'16"0 271"40'16"4 292"40'32"4	9.994344 9.918091 9.912435 9.919219 9.992032 0.407649 10"56'30"6 271"39'47"6 282"36'18"2	9.999971 9.919248 9.919219 8.548324 9.999960 0.414434 0"46'47"3 271"39'23"6 272"26'10"9	9.999841 9.918392 9.914233 9.962789 9.994142 0.409456 355"36'36"9 271"39' 1"3 262"15'38"2	9.981842 9.915430 9.892759 9.941037 9.974416 0.392507 340"31'32"4 271"38'38"0 252"10'10"4	9.957569 9.910015 9.867584 9.911349 9.940175 0.362834 330"36'42"2 271"38'11"6 242"14'53"8	9.922232 9.901437 9.823669 9.922821 9.890141 0.318938 320"56'28"4 271"37'41"0 232"11'19"6	9.874452 9.888353 9.762805 9.910209 9.873982 0.288095 311"34'14"0 271"37' 5"6 223"11'19"6
0.418678 0.482534 0.270275 0.752809	0.415617 0.482530 0.268861 0.751391	0.414474 0.482531 0.268333 0.751084	0.415314 0.482537 0.268717 0.751253	0.418091 0.482545 0.269997 0.752542	0.422659 0.482556 0.272113 0.754669	0.428797 0.482571 0.274975 0.755546	0.436227 0.482588 0.278408 0.761058
9.554417 9.970139 0.296718 0.275524	9.278325 9.992032 0.299876 0.294220	8.133850 9.999960 0.301024 0.300905	9.121258 9.994142 0.300181 0.296022	9.522946 9.974416 0.297333 0.279175	9.690839 9.940175 0.292420 0.249989	9.979421 9.890141 0.285281 0.207513	9.873982 9.821868 0.275534 0.149986
9.965062 9.586040 8.284933 0.983740 8.585802	9.989404 9.338913 8.284933 0.405021 8.585802	9.999960 8.628489 8.284933 0.414081 8.585802	9.999602 9.129263 8.284933 0.411339 8.585802	9.978622 9.946930 9.948606 8.284933 0.936913 8.585802	9.946930 9.968052 9.946933 8.284933 0.936913 8.585802	9.946930 9.946933 9.946933 8.284933 0.936913 8.585802	9.946933 9.946933 9.946933 8.284933 0.936913 8.585802
1.252935 0.307226 8.931729 8.845016 0.067153 0.063856	1.252948 0.029716 8.931712 8.507907 0.067156 0.066413	1.252939 8.884714 8.931722 7.363442 0.067155 0.068057	1.252942 9.993839 8.931753 8.442210 0.067152 0.067223	1.252870 0.275488 8.931806 8.975262 0.067146 0.064454	1.252817 0.445508 8.931806 8.920578 0.067138 0.059897	1.252760 0.556667 8.931942 9.920232 0.067128 0.053774	1.252702 0.635038 8.932019 9.910386 0.067118 0.046361
9.414263 0.294687 0.713365 9.384402 0.019899	9.414242 0.294688 0.710305 9.406274 0.021047	9.414253 0.294688 0.709462 9.414213 0.021481	9.414290 0.294687 0.710001 9.408432 0.021164	9.414351 0.294685 0.712776 9.388767 0.020123	9.414426 0.294683 0.713342 9.354601 0.018441	9.414513 0.294681 0.723478 9.304654 0.016259	9.414607 0.294679 0.730906 9.236475 0.013693
0.004718 1.797938 8.851169 0.131009	9.754530 1.819219 8.857506 0.134069	9.042963 1.828279 7.430597 0.135212	9.544577 1.825537 8.509362 0.134375	9.904097 1.810911 8.819767 0.131600	0.909711 1.783787 8.687716 0.127035	0.212559 1.742864 9.096300 0.120902	0.299016 1.685744 9.170986 0.113479
0.733264 9.238955 8.668673	0.731352 8.961428 8.689954	0.730643 7.816436 8.699014	0.731165 8.895592 8.696272	0.732899 9.207294 8.681646	0.735783 9.377738 8.654522	0.739727 9.488909 8.613599	0.744599 9.567057 8.556462
1.223074 1.077627 0.043294 0.764401	1.244980 0.800134 9.767197 0.783092	1.252899 9.655122 8.622723 0.789868	1.247054 9.734214 9.701465 0.784902	1.227286 1.045813 0.011830 0.768065	1.192992 1.215769 0.779742 0.738992	1.142901 1.327156 0.288341 0.696433	1.074570 1.405152 0.362921 0.638925
0.241267	0.241265	0.241265	0.241268	0.241272	0.241278	0.241285	0.241294

Datum	1875		1874					
	Febr. 24	Jan. 15	Dec. 6	Oct. 27	Sept. 17	Aug. 8	June 29	Mai 20
λ_0'	$+1^{\circ}16'24.0''$	$+1^{\circ}17'16.7''$	$+1^{\circ}17'56.4''$	$+1^{\circ}18'23.1''$	$+1^{\circ}18'36.8''$	$+1^{\circ}18'37.5''$	$+1^{\circ}18'25.0''$	$+1^{\circ}17'59.4''$
λ_0''	$202^{\circ}47'52.5''$	$199^{\circ}46'32.6''$	$196^{\circ}45'19.1''$	$193^{\circ}44'9.0''$	$190^{\circ}42'59.1''$	$187^{\circ}41'46.3''$	$184^{\circ}40'27.3''$	$181^{\circ}38'59.2''$
$\lambda_0 - \Omega$	$125^{\circ}41'47.3''$	$125^{\circ}42'21.3''$	$125^{\circ}42'57.0''$	$125^{\circ}43'39.9''$	$125^{\circ}44'23.2''$	$125^{\circ}45'7.6''$	$125^{\circ}45'51.5''$	$125^{\circ}46'33.0''$
$\sin(\lambda_0' - \Omega)$	$77^{\circ}6'5.2''$	$74^{\circ}4'11.3''$	$71^{\circ}2'22.1''$	$68^{\circ}0'29.1''$	$64^{\circ}58'35.9''$	$61^{\circ}56'38.7''$	$58^{\circ}54'35.8''$	$55^{\circ}52'26.2''$
$\cos \lambda_0'$	9.988901	9.982993	9.975773	9.967190	9.957193	9.945710	9.932655	9.917928
$\cos(\lambda_0' - \Omega)$	9.999893	9.999890	9.999888	9.999887	9.999886	9.999886	9.999887	9.999888
$\sin \beta_0'$	9.348744	9.438488	9.511772	9.573424	9.626327	9.672405	9.712974	9.748975
$\cos \beta_0' \sin(\lambda_0' - \Omega)$	8.346784	8.351747	8.355449	8.357921	8.359185	8.359249	8.358097	8.355728
Q	9.999887	9.999881	9.999875	9.999869	9.999861	9.999854	9.999846	9.999837
$Q - i$	9.988794	9.982883	9.975661	9.967077	9.957079	9.945596	9.932542	9.917816
i	$1^{\circ}18'22.6''$	$1^{\circ}20'21.8''$	$1^{\circ}22'24.6''$	$1^{\circ}24'32.0''$	$1^{\circ}26'45.2''$	$1^{\circ}29'5.4''$	$1^{\circ}31'33.9''$	$1^{\circ}34'12.3''$
$Q - i$	$2^{\circ}12'24.1''$	$2^{\circ}12'24.0''$	$2^{\circ}12'23.9''$	$2^{\circ}12'24.0''$	$2^{\circ}12'24.1''$	$2^{\circ}12'24.5''$	$2^{\circ}12'25.0''$	$2^{\circ}12'25.7''$
$\sin(Q - i)$	$-0^{\circ}54'1.5''$	$-0^{\circ}52'2.2''$	$-0^{\circ}49'59.3''$	$-0^{\circ}47'52.0''$	$-0^{\circ}45'38.9''$	$-0^{\circ}43'19.1''$	$-0^{\circ}40'51.1''$	$-0^{\circ}38'13.4''$
$\cos(Q - i)$	8.1196303	8.1180019	8.1162579	8.1143745	8.1123138	8.1103087	8.1074926	8.1046046
$\cos B_1 \sin L_1$	9.988907	9.983002	9.975780	9.967208	9.957218	9.945742	9.932696	9.917979
$\cos B_1 \cos L_1$	9.999946	9.999950	9.999954	9.999958	9.999962	9.999965	9.999969	9.999973
$\cos B_1$	9.988853	9.982952	9.975740	9.967166	9.957180	9.945707	9.932665	9.917952
$\sin B_1$	9.988904	9.982998	9.975782	9.967203	9.957211	9.945734	9.932687	9.917971
L_1	9.988637	9.98378	9.978311	9.973311	9.968213	9.962291	9.956281	9.950261
$\cos B_1$	$77^{\circ}6'11.3''$	$74^{\circ}4'20.0''$	$71^{\circ}2'33.6''$	$68^{\circ}0'43.6''$	$64^{\circ}58'54.4''$	$61^{\circ}57'0.8''$	$58^{\circ}55'1.5''$	$55^{\circ}52'56.1''$
$\sin B_1$	9.999949	9.999954	9.999958	9.999963	9.999969	9.999973	9.999978	9.999981
$L_1 - u$	0.736575	0.736732	0.736828	0.736862	0.736835	0.736747	0.736597	0.736386
$\cos(L_1 - u)$	8.110510	8.110305	8.110095	8.109885	8.109675	8.109465	8.109255	8.109045
$r_1 \cos B_1$	$336^{\circ}12'27.7''$	$338^{\circ}17'22.2''$	$340^{\circ}21'50.0''$	$342^{\circ}26'49.2''$	$344^{\circ}33'18.1''$	$346^{\circ}42'13.5''$	$348^{\circ}54'34.9''$	$351^{\circ}11'24.2''$
$\sin(L_1 - u)$	9.961428	9.968046	9.973980	9.979293	9.984026	9.988200	9.991813	9.994846
$r_1 \cos B_1$	0.736524	0.736686	0.736786	0.736825	0.736804	0.736720	0.736575	0.736367
$\sin(L_1 - u)$	9.960576	9.968104	9.974239	9.979414	9.984252	9.988610	9.992410	9.995138
ξ_1	0.697952	0.704732	0.710766	0.716118	0.720830	0.724920	0.728388	0.731213
r	0.564024	0.564810	0.564880	0.564233	0.562874	0.560804	0.558026	0.554544
Subtract.	9.557770	9.579939	9.601214	9.621883	9.642120	9.662006	9.681550	9.700700
$\xi_1 - r$	0.132794	0.144749	0.166094	0.186116	0.204994	0.222810	0.239576	0.255244
r_1	9.932870	9.915084	9.892648	9.864024	9.829831	9.790289	9.745445	9.695705
θ	0.342284	0.304790	0.263184	0.216239	0.162196	0.098422	0.020681	9.921505
$\cos \theta$	0.409414	0.389706	0.370536	0.352215	0.335163	0.319919	0.307131	0.297539
ξ_1	9.999770	9.999773	9.999778	9.999788	9.999800	9.999817	9.999838	9.999861
$\xi_1 - r$	8.921785	8.909753	8.895193	8.878815	8.861191	8.842876	8.824119	8.804411
θ^{-1}	9.590356	9.610067	9.629242	9.647573	9.664637	9.679898	9.692707	9.702322
θ^{-2}	8.771068	8.802014	8.827226	8.847219	8.863911	8.876944	8.886121	8.891966
θ^{-3}	7.902275	7.898004	7.894516	7.891414	7.888495	7.885759	7.883209	7.880842
Subtract.	9.952055	9.958508	9.963901	9.968362	9.971991	9.974860	9.977022	9.978503
K	8.723123	8.788709	8.851627	8.911081	8.967902	9.021454	9.071433	9.118469
$\xi_1 K$	9.421075	9.493441	9.562393	9.627199	9.686732	9.740474	9.788331	9.831682
$r \cdot \theta^3$	9.335092	9.395011	9.452006	9.506490	9.556785	9.602498	9.639147	9.666510
Subtract.	9.340328	9.405486	9.458817	9.503800	9.542573	9.576496	9.606441	9.632923
R_0	8.675420	8.800497	8.911423	9.010752	9.099358	9.176994	9.242588	9.294433
S_0	9.065407	9.093499	9.114811	9.127320	9.132098	9.139276	9.147824	9.156697
W_0	7.644908	7.688462	7.726820	7.758896	7.783093	7.800430	7.811362	7.815880
$r k'' m_1 \cdot 1 p$	1.890757	1.890685	1.890609	1.890528	1.890447	1.890367	1.890292	1.890227
R	0.566177	0.691182	0.802032	0.901280	0.984805	1.057331	1.113280	1.154660
S	0.956164	0.984184	1.005420	1.018748	1.025845	1.029343	1.029616	1.029201
W	9.9535665	9.9579147	9.9614249	9.9649424	9.9673540	9.9687797	9.9696544	9.9697107
\mathcal{J}_i	$+ 0^{\circ}283$	$+ 0^{\circ}140$	$+ 0^{\circ}018$	$- 0^{\circ}126$	$- 0^{\circ}287$	$- 0^{\circ}451$	$- 0^{\circ}605$	$- 0^{\circ}727$
\mathcal{J}_j	$- 32^{\circ}083$	$- 35^{\circ}994$	$- 39^{\circ}516$	$- 42^{\circ}350$	$- 44^{\circ}138$	$- 44^{\circ}515$	$- 45^{\circ}164$	$- 45^{\circ}924$
\mathcal{J}_{μ_1}	$+ 0^{\circ}1052$	$+ 0^{\circ}0524$	$+ 0^{\circ}0358$	$+ 0^{\circ}1994$	$+ 0^{\circ}4166$	$+ 0^{\circ}7007$	$+ 1^{\circ}0456$	$+ 1^{\circ}4309$
\mathcal{J}_{μ_2}	$+ 8^{\circ}345$	$+ 9^{\circ}3017$	$+ 9^{\circ}6085$	$+ 10^{\circ}0695$	$+ 10^{\circ}1198$	$+ 9^{\circ}8208$	$+ 9^{\circ}0740$	$+ 7^{\circ}8065$
\mathcal{J}_{μ}	$+ 8^{\circ}8397$	$+ 9^{\circ}3341$	$+ 9^{\circ}2227$	$+ 9^{\circ}8701$	$+ 9^{\circ}0032$	$+ 9^{\circ}1201$	$+ 8^{\circ}0284$	$+ 6^{\circ}3756$
\mathcal{J}_{L_1}	$- 24^{\circ}612$	$- 34^{\circ}211$	$- 44^{\circ}109$	$- 55^{\circ}445$	$- 1^{\circ}7808$	$- 1^{\circ}20745$	$- 1^{\circ}337395$	$- 1^{\circ}447521$
\mathcal{J}_{L_2}	$+ 0^{\circ}747$	$+ 0^{\circ}298$	$+ 0^{\circ}212$	$+ 0^{\circ}55$	$+ 1^{\circ}287$	$+ 1^{\circ}744$	$+ 2^{\circ}047$	$+ 2^{\circ}113$
\mathcal{J}_{L_3}	$- 0^{\circ}024$	$- 0^{\circ}027$	$- 0^{\circ}029$	$- 0^{\circ}031$	$- 0^{\circ}033$	$- 0^{\circ}033$	$- 0^{\circ}032$	$- 0^{\circ}030$
\mathcal{J}_{L_4}	$- 24^{\circ}889$	$- 33^{\circ}940$	$- 44^{\circ}410$	$- 56^{\circ}231$	$- 1^{\circ}9127$	$- 1^{\circ}22722$	$- 1^{\circ}35474$	$- 1^{\circ}467664$
\mathcal{J}_{π_1}	$+ 1^{\circ}37031$	$+ 1^{\circ}25749$	$+ 1^{\circ}15090$	$+ 1^{\circ}03801$	$+ 0^{\circ}52998$	$+ 0^{\circ}41685$	$+ 0^{\circ}30368$	$+ 0^{\circ}19068$
\mathcal{J}_{π_2}	$+ 49^{\circ}034$	$+ 19^{\circ}623$	$+ 13^{\circ}999$	$+ 50^{\circ}073$	$+ 1^{\circ}257680$	$+ 1^{\circ}567587$	$+ 2^{\circ}17405$	$+ 2^{\circ}227355$
\mathcal{J}_{π}	$+ 1^{\circ}527641$	$+ 1^{\circ}457345$	$+ 1^{\circ}367962$	$+ 1^{\circ}287607$	$+ 1^{\circ}227285$	$+ 1^{\circ}197905$	$+ 1^{\circ}147231$	$+ 1^{\circ}097256$
\mathcal{J}_{q_1}	$- 1^{\circ}597$	$- 0^{\circ}797$	$- 0^{\circ}698$	$- 3^{\circ}046$	$- 6^{\circ}380$	$- 10^{\circ}778$	$- 16^{\circ}090$	$- 22^{\circ}068$
\mathcal{J}_{q_2}	$+ 55^{\circ}029$	$+ 59^{\circ}329$	$+ 1^{\circ}27378$	$+ 1^{\circ}37659$	$+ 1^{\circ}27622$	$+ 0^{\circ}58778$	$+ 0^{\circ}17859$	$+ 42^{\circ}006$
\mathcal{J}_{q}	$+ 53^{\circ}432$	$+ 58^{\circ}532$	$+ 1^{\circ}37076$	$+ 1^{\circ}67705$	$+ 1^{\circ}97002$	$+ 1^{\circ}97536$	$+ 1^{\circ}77949$	$+ 1^{\circ}47074$

1874			1873					
April 10	März 1	Jan. 20	Dec. 11	Nov. 1	Sept. 22	Aug. 13	Juli 4	Mai 25
+1° 17' 20" 7	+1° 16' 29" 0	+1° 15' 24" 6	+1° 14' 7" 0	+1° 12' 36" 6	+1° 10' 53" 6	+1° 8' 58" 4	+1° 6' 50" 8	+1° 4' 31" 2
178° 37' 19" 2	175° 35' 24" 2	172° 33' 11" 4	169° 30' 37" 4	166° 27' 39" 3	163° 24' 14" 2	160° 20' 19" 1	15° 15' 51" 6	154° 10' 48" 3
125° 47' 10" 5	125° 45' 42" 1	125° 48' 7" 2	125° 48' 25" 2	125° 48' 3" 1	125° 48' 43" 6	125° 48' 46" 8	125° 48' 47" 8	125° 48' 47" 8
52° 50' 8" 7	49° 47' 42" 1	46° 45' 4" 2	43° 42' 12" 2	40° 39' 2" 2	37° 35' 30" 6	34° 31' 32" 3	31° 27' 3" 8	28° 22' 0" 5
9.901408	9.882946	9.862361	9.839431	9.813877	9.785353	9.753411	9.717479	9.676798
9.999890	9.999892	9.999896	9.999899	9.999903	9.999908	9.999913	9.999918	9.999924
9.781111	9.809913	9.835797	9.859094	9.880068	9.898932	9.915860	9.930993	9.944445
8.352122	8.347257	8.341121	8.333608	8.324690	8.314301	8.302378	8.288778	8.273395
9.999827	9.999816	9.999803	9.999788	9.999772	9.999752	9.999728	9.999699	9.999662
9.901298	9.882838	9.862257	9.839330	9.813780	9.785261	9.753224	9.717397	9.676722
1° 37' 2" 8	1° 40' 7" 9	1° 43' 30" 9	1° 47' 15" 2	1° 51' 26" 3	1° 56' 11" 1	2° 1' 39" 6	2° 8' 4" 3	2° 15' 44" 6
2° 12' 26" 5	2° 12' 27" 3	2° 12' 28" 0	2° 12' 28" 7	2° 12' 29" 3	2° 12' 29" 7	2° 12' 29" 9	2° 12' 30" 0	2° 12' 30" 0
-0° 35' 23" 7	-0° 32' 19" 4	-0° 28' 57" 1	-0° 25' 13" 5	-0° 21' 3" 0	-0° 16' 18" 6	-0° 10' 50" 3	-0° 4' 25" 7	+0° 3' 14" 6
8,012660	7,9973236	7,9925395	7,9865553	7,9806976	7,9761188	7,9719967	7,9681096	6,974718
9.901471	9.883022	9.862454	9.839542	9.814008	9.785509	9.753596	9.717698	9.677060
9.999977	9.999981	9.999985	9.999988	9.999992	9.999995	9.999998	0.000000	0.000000
9.901448	9.883003	9.862439	9.839530	9.814000	9.785504	9.753594	9.717698	9.677060
9.901463	9.883014	9.862447	9.839542	9.814008	9.785509	9.753596	9.717698	9.677060
9.781001	9.809805	9.835693	9.859093	9.880068	9.898932	9.915860	9.930993	9.944445
52° 50' 43" 0	49° 48' 20" 7	46° 45' 4" 4	43° 42' 59" 8	40° 39' 53" 7	37° 35' 26" 4	34° 31' 32" 2	31° 28' 7" 4	28° 23' 7" 6
9.999985	9.999989	9.999992	9.999995	9.999999	9.999999	0.000000	0.000000	0.000000
0.736113	0.735780	0.735387	0.734934	0.734427	0.733864	0.733246	0.732574	0.731849
7,911131	7,9856258	7,9787849	7,9705095	7,9600984	7,9481687	7,9352284	7,9216655	7,9071788
353° 33' 44" 9	356° 2' 42" 2	358° 34' 26" 2	1° 25' 9" 0	4° 21' 7" 7	7° 28' 44" 2	10° 49' 22" 9	14° 24' 31" 8	18° 15' 39" 8
9.997253	9.998964	9.999881	9.999867	9.999846	9.999820	9.999795	9.999769	9.999743
0.736098	0.735769	0.735379	0.734929	0.734424	0.733863	0.733246	0.732574	0.731849
9,049682	8,9836273	8,9369824	8,8933866	8,8500163	8,8061633	8,7620184	8,7176655	8,6731188
0.733351	0.734733	0.735260	0.734966	0.733170	0.730153	0.725451	0.718694	0.709407
0.550361	0.545486	0.539926	0.533695	0.526815	0.519309	0.511223	0.502607	0.493353
9.719346	9.737300	9.754314	9.770054	9.784086	9.795855	9.804600	9.809359	9.808805
0.269707	0.282786	0.294240	0.303749	0.310901	0.315164	0.318232	0.319666	0.320342
9.977792	9.991837	9.999092	9.999032	9.999130	9.999608	9.999104	9.999294	9.999542
9,785780	9,9574442	9,9105203	9.128795	9.614587	9.484347	0.006886	0.128495	0.227875
0.291915	0.290949	0.295148	0.304717	0.319451	0.339096	0.362719	0.389572	0.418800
9.999887	9.999913	9.999938	9.999959	9.999977	9.999989	0.000000	0.000000	0.000000
8,650244	8,9592038	8,9523236	8,9440029	8,9335411	8,9195551	8,9055530	8,8916029	8,8776655
9.707972	9.708964	9.704790	9.695242	9.680366	9.660893	9.637277	9.610328	9.581200
9.123916	9.126892	9.114370	9.085226	9.041368	8.982679	8.911831	8.831284	8.743600
7.791661	7.792660	7.793839	7.795198	7.796719	7.798408	7.800262	7.802278	7.804453
9.979306	9.979402	9.978726	9.977164	9.974543	9.970615	9.965040	9.957349	9.946923
9.103222	9.106294	9.093096	9.062880	9.015911	8.953294	8.868711	8.768633	8.660523
9.836573	9.841027	9.828356	9.807686	9.779081	9.743447	9.692322	9.627327	9.559930
9.674277	9.672378	9.654296	9.619421	9.568183	9.501988	9.423054	9.333891	9.237137
9.656197	9.656250	9.662848	9.705459	9.713232	9.714879	9.708432	9.690955	9.665778
9.330474	9.348628	9.347144	9.324880	9.281415	9.216867	9.131486	9.024846	8.894924
8,888002	8,888002	8,888002	8,888002	8,888002	8,888002	8,888002	8,888002	8,888002
7,953466	7,9698332	7,9616332	7,9502919	7,9351322	7,9148845	6,89862401	6,8834882	6,8684150
1.890174	1.890136	1.890117	1.890117	1.890132	1.890161	1.890198	1.890241	1.890283
1.220648	1.238764	1.237261	1.214997	1.171547	1.107028	1.021684	0.915087	0.785207
0,6779176	0,6570872	0,6088416	0.081802	0.520630	0.691802	0.779955	0.807367	0.808681
9,663640	9,6588468	9,6506449	9,6493036	9,641454	9,6399006	9,6385599	9,6371113	9,6356433
- 0° 58' 9	- 0° 805	- 0° 43	- 0° 625	- 0° 473	- 0° 313	- 0° 168	- 0° 053	+ 0° 028
- 34° 890	- 28° 504	- 21° 500	- 14° 56	- 9° 014	- 4° 111	- 1° 916	- 0° 420	+ 0° 131
- 1° 8197	- 2° 1616	- 2° 4031	- 2° 5032	- 2° 4463	- 2° 2468	- 1° 9416	- 1° 5773	- 1° 1983
+ 6° 0074	+ 3° 6111	+ 1° 2545	+ 1° 2534	+ 3° 4978	+ 5° 2778	+ 6° 4962	+ 7° 1555	+ 7° 3282
+ 4° 1877	+ 1° 5995	+ 1° 1486	+ 3° 566	+ 5° 9441	+ 7° 5246	+ 8° 4378	+ 8° 330	+ 8° 5265
- 1° 52' 645	- 1° 56' 356	- 1° 54' 236	- 1° 47' 28	- 1° 36' 226	- 1° 21' 79	- 1° 6' 218	- 51' 008	- 37' 220
- 1° 875	- 1° 315	- 0° 480	+ 0° 514	+ 1° 512	+ 2° 368	+ 2° 480	+ 3° 307	+ 3° 362
- 0° 026	- 0° 021	- 0° 016	- 0° 011	- 0° 007	- 0° 003	- 0° 001	- 0° 000	- 0° 000
- 1° 54' 546	- 1° 57' 692	- 1° 55' 232	- 1° 47' 225	- 1° 34' 221	- 1° 19' 432	- 1° 3' 239	- 47' 001	- 33' 858
+ 4' 6' 811	+ 4' 0' 474	+ 3' 40' 065	+ 3' 7' 90	+ 2' 28' 219	+ 1' 46' 958	+ 1' 9' 080	+ 38' 041	+ 15' 433
- 2' 6' 784	- 1' 29' 162	- 32' 615	+ 35' 027	+ 1' 43' 228	+ 2' 41' 871	+ 3' 23' 948	+ 3' 46' 578	+ 3' 50' 545
+ 2' 0' 001	+ 2' 31' 291	+ 3' 7' 434	+ 3' 42' 806	+ 4' 11' 440	+ 4' 28' 826	+ 4' 33' 027	+ 4' 24' 619	+ 4' 5' 977
+ 28' 120	+ 33' 459	+ 37' 248	+ 38' 839	+ 37' 984	+ 34' 903	+ 30' 171	+ 24' 515	+ 18' 627
+ 29' 603	+ 17' 056	+ 5' 059	- 4' 368	- 10' 136	- 12' 026	- 10' 618	- 6' 966	- 2' 232
+ 58' 073	+ 50' 515	+ 42' 307	+ 34' 471	+ 27' 848	+ 22' 877	+ 19' 553	+ 17' 549	+ 16' 395

Datum	1873			1872				
	April 15	Marz 6	Jan. 25	Dec. 16	Nov. 6	Sept. 27	Aug. 18	Juli 9
λ_0'	+1° 2' 0"0	+0° 59' 1"4	+0° 56' 23"4	+0° 53' 18"8	+0° 50' 3"6	+0° 46' 38"4	+0° 43' 3"8	+0° 39' 20"1
λ_0	151° 5' 7"1	147° 58' 45"3	144° 51' 40"0	141° 43' 48"6	138° 35' 8"5	135° 25' 37"6	132° 15' 13"8	129° 3' 54"8
$\sin \lambda_0' - \lambda_0$	125° 48' 47"6	125° 48' 47"7	125° 48' 48"1	125° 48' 48"9	125° 48' 49"0	125° 48' 51"1	125° 48' 52"2	125° 48' 53"2
$\cos \lambda_0'$	25° 16' 19"5	22° 9' 57"6	19° 2' 51"9	15° 54' 59"7	12° 46' 18"6	9° 36' 46"5	6° 26' 21"6	3° 15' 1"6
$\cos (\lambda_0' - \lambda_0)$	9.630344	9.576677	9.513692	9.438127	9.344528	9.222693	9.049804	8.753587
$\cos (\lambda_0' - \lambda_0)$	9.999929	9.999935	9.999942	9.999948	9.999954	9.999960	9.999966	9.999972
$\cos (\lambda_0' - \lambda_0)$	9.956308	9.966655	9.975545	9.983022	9.989120	9.993858	9.997252	9.999301
$\sin \lambda_0'$	8.256094	8.236686	8.214909	8.190545	8.163201	8.132471	8.097822	8.058495
$\cos \lambda_0' \sin \lambda_0' - \lambda_0$	9.999613	9.999547	9.999452	9.999307	9.999059	9.998572	9.997308	9.991331
Q	9.630273	9.576612	9.513634	9.438075	9.344482	9.222653	9.049770	8.753559
$Q - i$	2° 25' 9"4	2° 37' 3"2	2° 52' 39"4	3° 14' 12"9	3° 46' 8"0	4° 38' 42"1	6° 22' 24"6	11° 24' 34"0
i	2° 12' 39"0	2° 12' 29"9	2° 12' 29"7	2° 12' 29"7	2° 12' 29"6	2° 12' 29"5	2° 12' 29"5	2° 12' 29"4
$Q - i$	0° 12' 39"4	0° 24' 33"3	0° 40' 9"7	1° 1' 43"2	1° 33' 38"4	2° 26' 12"6	4° 9' 55"1	9° 12' 4"6
$\sin (Q - i)$	7.566044	7.853862	8.067528	8.254129	8.435134	8.628572	8.861142	9.203857
q	9.630660	9.577065	9.514182	9.438768	9.345423	9.224081	9.052462	8.762228
$\cos (Q - i)$	9.999997	9.999989	9.999970	9.999930	9.999839	9.999607	9.998851	9.994376
$\cos B_1 \sin L_1$	9.630657	9.577054	9.514152	9.438698	9.345262	9.223668	9.051313	8.756604
$\cos B_1 \cos L_1$	9.956237	9.966592	9.975490	9.982975	9.989082	9.993830	9.997232	9.999291
L_1	9.956237	9.966592	9.975487	9.982970	9.989074	9.993818	9.997218	9.999273
L_1	25° 17' 39"0	22° 11' 11"0	19° 4' 7"9	15° 56' 1"9	12° 47' 38"5	9° 38' 7"6	6° 27' 43"4	3° 16' 23"7
$\cos B_1$	9.999999	9.999998	9.999997	9.999995	9.999992	9.999988	9.999986	9.999982
r_1	0.731074	0.730250	0.729380	0.728465	0.727507	0.726509	0.725473	0.724406
$\sin B_1$	7.196704	7.430927	7.581710	7.692897	7.805557	7.852635	7.913604	7.966085
$L_1 - u$	22° 24' 14"7	20° 51' 37"1	31° 38' 55"9	36° 47' 1"2	42° 16' 11"5	48° 6' 7"4	54° 15' 37"5	60° 42' 31"3
$\cos (L_1 - u)$	9.965916	9.950419	9.930072	9.903579	9.869223	9.824650	9.766488	9.689531
$r_1 \cos B_1$	0.731073	0.730248	0.729377	0.728460	0.727499	0.726497	0.725459	0.724388
$\sin (L_1 - u)$	9.581080	9.654962	9.719921	9.777278	9.827772	9.871769	9.909385	9.940588
ξ_1	0.696989	0.680667	0.659449	0.632039	0.596722	0.551147	0.491947	0.413919
r	0.484115	0.474466	0.464758	0.455187	0.445995	0.437452	0.429853	0.423501
Subtract.	9.801115	9.783679	9.752538	9.701248	9.617948	9.476043	9.186685	8.348455
$\xi_1 - r$	0.285230	0.258145	0.217296	0.156435	0.063943	9.913495	9.616538	8.762374
r_1	9.862530	9.903853	9.935872	9.960379	9.978500	9.990920	9.998013	9.999966
r_1	0.312153	0.385210	0.449298	0.505738	0.555271	0.598266	0.634844	0.664976
$q \cos \theta$	0.449623	0.481357	0.513426	0.545539	0.576771	0.607346	0.636831	0.665010
ξ_1	9.999998	9.999995	9.999992	9.999988	9.999984	9.999981	9.999978	9.999976
ξ_1	7.927778	8.161177	8.311090	8.421362	8.508064	8.579162	8.639077	8.690491
q^{-1}	9.550375	9.518638	9.486566	9.454629	9.423213	9.392635	9.363147	9.334966
q^{-3}	8.651125	8.555914	8.459608	8.363887	8.269639	8.177905	8.089441	8.004898
$r_1 - 3$	7.806778	7.809250	7.811860	7.814605	7.817479	7.820473	7.823581	7.826782
Subtract	9.932928	9.914238	9.889308	9.855940	9.810868	9.756314	9.692659	9.705015
K	8.584053	8.470152	8.349006	8.219827	8.080507	7.926787	7.750140	7.531797
$\xi_1 K$	9.281042	9.150819	9.008455	8.851866	8.677229	8.477934	8.242087	7.945716
$r \cdot q^3$	9.135240	9.030380	8.924456	8.819074	8.715634	8.615357	8.519294	8.428399
Subtract	9.600918	9.504592	9.329167	8.894486	8.965950	9.570796	9.950990	9.826663
R_0	8.736158	8.534972	8.253623	7.713560	7.643179	8.048730	8.193077	8.255062
S_0	8.896206	8.855362	8.798304	8.725565	8.635778	8.525053	8.384984	8.196773
H_0	6.511816	6.631329	6.660006	6.641189	6.588571	6.505949	6.389217	6.222888
$w k'' m_1 : \lambda \rho$	1.890323	1.890361	1.890393	1.890421	1.890443	1.890460	1.890473	1.890483
R	0.626481	0.425333	0.144016	9.603981	9.533622	9.9939190	0.083550	0.145545
S	0.786529	0.745723	0.688697	0.615986	0.526221	0.415513	0.275457	0.087256
H	8.402154	8.521690	8.550489	8.531610	8.479014	8.396409	8.279690	8.112771
λi	+ 0° 0' 7"	+ 0° 0' 9"	+ 0° 0' 10"	+ 0° 0' 9"	+ 0° 0' 7"	+ 0° 0' 5"	+ 0° 0' 3"	+ 0° 0' 1"
λj	+ 0° 0' 10"	+ 0° 0' 21"	+ 0° 0' 38"	+ 0° 0' 46"	+ 0° 0' 53"	+ 0° 0' 53"	+ 0° 0' 53"	+ 0° 0' 52"
λm_1	- 0° 8' 39"	- 0° 5' 24"	- 0° 2' 6"	- 0° 0' 73"	+ 0° 0' 59"	+ 0° 1' 16"	+ 0° 1' 56"	+ 0° 1' 42"
λm_2	- 0° 1' 16"	- 0° 6' 22"	- 0° 5' 38"	- 0° 1' 35"	+ 0° 2' 53"	+ 0° 3' 11"	+ 0° 4' 84"	+ 0° 1' 634"
λm	- 0° 9' 55"	- 0° 1' 47"	- 0° 6' 20"	- 0° 5' 20"	- 0° 4' 20"	- 0° 3' 29"	- 0° 2' 32"	- 0° 1' 492"
λL_1	- 25° 40'	- 15° 72'	- 8° 09'	- 2° 209	+ 1° 927	+ 4° 837	+ 6° 667	+ 7° 618
λL_2	+ 3° 190	+ 2° 852	+ 2° 411	+ 1° 921	+ 1° 433	+ 0° 982	+ 0° 600	+ 0° 305
λL_3	0° 000	0° 000	0° 000	0° 001	0° 001	0° 001	0° 001	0° 001
λL	+ 22° 216	- 12° 875	- 5° 686	- 0° 379	+ 3° 359	+ 5° 818	+ 7° 266	+ 7° 922
$\lambda \pi_1$	+ 1° 279	+ 5° 419	- 6° 193	- 2° 764	+ 3° 169	+ 10° 038	+ 16° 497	+ 21° 481
$\lambda \pi_2$	+ 3° 387	+ 3° 159	+ 2° 457	+ 2° 122	+ 1° 387	+ 1° 767	+ 1° 340	+ 2° 039
$\lambda \pi$	+ 3° 407	+ 3° 107	+ 2° 397	+ 2° 946	+ 1° 418	+ 1° 177	+ 5° 836	+ 42° 519
λq_1	+ 13° 051	+ 8° 159	+ 4° 162	+ 1° 144	- 0° 901	- 2° 047	- 2° 427	- 2° 212
λq_2	+ 2° 579	+ 6° 739	+ 9° 990	+ 11° 526	+ 11° 917	+ 11° 073	+ 9° 208	+ 6° 615
λq	+ 15° 630	+ 14° 896	+ 13° 952	+ 12° 670	+ 11° 016	+ 9° 026	+ 6° 781	+ 4° 403

1872

1871

Mai 30	April 20	März 11	Jan. 31	Dec. 22	Nov. 12	Oct. 3	Aug. 24
+0° 35' 28" 0	+0° 31' 27" 8	+0° 27' 20" 5	+0° 23' 6" 7	+0° 18' 46" 7	+0° 14' 21" 8	+0° 9' 52" 5	+0° 5' 19" 6
125° 51' 38" 7	122° 38' 23" 2	119° 24' 6" 7	116° 8' 48" 0	112° 52' 25" 3	109° 34' 5" 4	106° 16' 23" 0	102° 56' 41" 4
125° 48' 53" 7	125° 48' 54" 0	125° 48' 54" 0	125° 48' 53" 6	125° 48' 52" 8	125° 48' 51" 8	125° 48' 50" 6	125° 48' 49" 3
0° 2' 45" 0	356° 49' 29" 2	353° 35' 12" 7	350° 19' 54" 4	34° 3' 32" 5	343° 46' 5" 6	340° 2' 32" 4	33° 0' 52" 1
6.903059	8.743429	9.048041	9.225161	9.350145	9.446419	9.524372	9.589529
9.999977	9.999982	9.999986	9.999990	9.999993	9.999996	9.999998	9.999999
0.000000	9.999333	9.997274	9.993787	9.988827	9.982334	9.974237	9.964447
8.013539	7.961525	7.900546	7.827554	7.737381	7.620980	7.458263	7.190181
9.998699	9.994151	9.998902	9.999653	9.999871	9.999952	9.999984	9.999997
6.903036	8.743411	9.048027	9.225151	9.350138	9.446415	9.524370	9.589528
85° 33' 59" 2	170° 37' 2" 1	175° 55' 37" 4	177° 42' 27" 3	178° 36' 9" 8	179° 8' 3" 1	179° 30' 28" 6	179° 46' 1" 6
2° 12' 29" 4	2° 12' 29" 4	2° 12' 29" 4	2° 12' 29" 4	2° 12' 29" 4	2° 12' 29" 4	2° 12' 29" 4	2° 12' 29" 3
83° 21' 29" 8	168° 24' 32" 7	173° 43' 8" 0	175° 29' 57" 9	176° 23' 40" 4	176° 56' 7" 4	177° 17' 59" 2	177° 33' 48" 3
9.997076	9.303033	9.039043	8.894700	8.798549	8.728034	8.673116	8.628528
8.014840	8.749260	9.049125	9.225498	9.350267	9.446463	9.524386	9.589531
9.063185	9.9991052	9.999385	9.998659	9.999140	9.999379	9.999518	9.999607
7.078025	8.740312	9.046510	9.224157	9.349407	9.445842	9.523904	9.589138
0.000000	9.999342	9.997293	9.993815	9.988863	9.982379	9.974289	9.964506
9.999977	9.999315	9.997260	9.993777	9.988820	9.982330	9.974235	9.964446
0° 4' 6" 9	356° 50' 50" 3	353° 36' 32" 5	350° 21' 12" 4	34° 4' 48" 2	343° 47' 18" 6	340° 28' 42" 2	33° 0' 8' 58" 5
9.999977	9.999973	9.999967	9.999962	9.999957	9.999951	9.999946	9.999940
0.723308	0.722180	0.721028	0.719871	0.718657	0.717448	0.716231	0.715006
8.011916	8.052293	8.088168	8.120198	8.148816	8.174497	8.197502	8.218059
67° 23' 34" 5	74° 14' 32" 1	81° 10' 21" 6	88° 5' 34" 2	94° 54' 37" 8	101° 32' 24" 8	107° 54' 32" 8	113° 5' 38" 9
9.584794	9.433882	9.185987	8.522185	8.993241	9.930115	9.984856	9.960846
0.723285	0.722153	0.720995	0.719813	0.718641	0.717399	0.716177	0.714946
9.965278	9.983364	9.994826	9.999759	9.998403	9.991131	9.978429	9.960862
0.308079	0.156035	9.906982	9.241998	9.651085	0.018550	0.204033	0.9323592
0.418678	0.415617	0.414474	0.415314	0.418091	0.422659	0.428797	0.436227
9.462439	9.912727	9.838333	9.969838	0.068556	0.144374	0.203029	0.248354
9.770518	0.068762	0.252807	0.385152	0.486647	0.567033	0.631826	0.684581
9.996856	9.988730	9.975668	9.957825	9.935454	9.908906	9.878614	9.845387
0.688563	0.705517	0.715821	0.719572	0.717017	0.708530	0.694606	0.675808
0.691707	0.716787	0.740153	0.761747	0.781563	0.799624	0.815992	0.830754
9.999973	9.999972	9.999970	9.999969	9.999968	9.999967	9.999966	9.999965
8.735224	8.774473	8.809196	8.840049	8.867473	8.891945	8.913733	8.933065
9.308266	9.283185	9.259817	9.238222	9.218405	9.200343	9.183974	9.169211
7.942798	7.849555	7.779451	7.714666	7.655215	7.601029	7.551922	7.507633
7.830076	7.833460	7.836916	7.840447	7.844029	7.847656	7.851307	7.854982
9.386889	8.576973	9.150667	9.526238	9.736071	9.883391	9.996704	0.088171
7.216965	6.410433	6.993018	7.240904	7.391286	7.484420	7.548626	7.595804
7.525044	6.566468	6.837100	6.9482902	7.042371	7.102970	7.1752659	7.249396
8.343476	8.265172	8.193925	8.129980	8.073306	8.023688	7.980719	7.943860
9.928445	9.991221	0.018689	0.004679	9.957547	9.844169	9.839273	8.763033
8.271921	8.256393	8.212614	8.139659	8.030853	7.867857	7.591932	6.682429
7.905528	7.115950	7.645939	7.960476	8.108303	8.192950	8.243232	8.271612
5.952189	5.184906	5.739314	6.080953	6.258759	6.376365	6.462359	6.528869
1.890488	1.890490	1.890490	1.890487	1.890483	1.890477	1.890470	1.890461
0.162209	0.146883	0.103104	0.030146	9.921336	9.758334	9.482402	8.557890
9.796016	9.006440	9.536429	9.850963	9.998786	0.083427	0.133702	0.162073
7.842677	7.075396	7.7629804	7.971440	8.149242	8.266842	8.352829	8.419330
+ 0"007	+ 0"001	+ 0"000	+ 0"003	+ 0"011	+ 0"023	+ 0"037	+ 0"052
- 0"437	- 0"078	+ 0"287	+ 0"627	+ 0"912	+ 1"124	+ 1"247	+ 1"274
+ 0"1032	+ 0"0527	+ 0"0034	- 0"0346	- 0"0551	- 0"0557	- 0"0379	- 0"0055
- 0"8453	- 0"1382	+ 0"4695	+ 0"9668	+ 1"3502	+ 1"6235	+ 1"7972	+ 1"8860
- 0"7421	- 0"0855	+ 0"4729	+ 0"9322	+ 1"2951	+ 1"5678	+ 1"7593	+ 1"8805
+ 7"865	+ 7"555	+ 6"819	+ 5"772	+ 4"511	+ 3"120	+ 1"668	+ 0"208
+ 0"108	+ 0"009	- 0"002	+ 0"056	+ 0"161	+ 0"288	+ 0"419	+ 0"536
0"000	0"000	0"000	0"000	+ 0"001	+ 0"001	+ 0"001	+ 0"001
+ 7"973	+ 7"564	+ 6"817	+ 5"828	+ 4"673	+ 3"410	+ 2"088	+ 0"745
+ 24"293	+ 24"653	+ 22"699	+ 18"932	+ 14"081	+ 8"940	+ 4"220	+ 0"444
+ 7"476	+ 0"641	- 0"155	+ 3"847	+ 11"082	+ 19"016	+ 28"897	+ 36"917
+ 31"769	+ 25"294	+ 22"544	+ 22"779	+ 25"164	+ 28"857	+ 33"118	+ 37"362
- 1"606	- 0"821	- 0"053	+ 0"539	+ 0"857	+ 0"867	+ 0"590	+ 0"086
+ 3"634	+ 0"616	- 2"120	- 4"324	- 5"846	- 6"642	- 6"763	- 6"324
+ 2"028	- 0"205	- 2"173	- 3"785	- 4"989	- 5"775	- 6"173	- 6"238

Datum	1875		1874					
	Febr. 24	Jan. 15	Dec. 6	Oct. 27	Sept. 17	Aug. 8	Jun. 29	Mai 20
λ_0'	1° 2' 23"	0° 59' 26"	0° 56' 27"	0° 53' 27"	0° 50' 25"	0° 47' 23"	0° 44' 19"	0° 41' 19"
λ_0'	317° 15' 3"	316° 0' 27"	314° 45' 59"	313° 31' 39"	312° 17' 26"	311° 3' 21"	309° 49' 23"	308° 35' 32"
λ_0'	125° 41' 47"	125° 42' 21"	125° 42' 57"	125° 43' 40"	125° 44' 23"	125° 45' 8"	125° 45' 51"	125° 46' 33"
$\lambda_0' - \lambda$	191° 33' 16"	190° 18' 6"	189° 3' 2"	187° 47' 59"	186° 33' 3"	185° 18' 13"	184° 3' 32"	182° 48' 59"
$\sin(\lambda_0' - \lambda)$	9.930168	9.925244	9.919675	9.913261	9.905723	8.996583	8.984992	8.969140
$\cos \lambda_0'$	9.99993	9.99993	9.99994	9.99995	9.99995	9.99996	9.99996	9.99997
$\cos(\lambda_0' - \lambda)$	9.999111	9.999294	9.999456	9.999596	9.999716	9.999814	9.999891	9.999948
$\sin \lambda_0'$	8.925877	8.923773	8.921537	8.919166	8.916628	8.913934	8.911028	8.907984
$\cos \lambda_0' \sin(\lambda_0' - \lambda)$	9.99822	9.99798	9.99765	9.99717	9.99644	9.99523	9.99291	9.98738
Q	9.930161	9.925237	9.919669	9.913256	9.905718	8.996579	8.984988	8.969137
i	185° 10' 38"	185° 31' 21"	185° 57' 35"	186° 32' 11"	187° 19' 32"	188° 28' 54"	190° 19' 21"	193° 44' 42"
$Q - i$	2° 12' 24"	2° 12' 24"	2° 12' 24"	2° 12' 24"	2° 12' 24"	2° 12' 24"	2° 12' 25"	2° 12' 26"
$Q - i$	182° 58' 14"	183° 18' 57"	183° 45' 11"	184° 19' 47"	185° 7' 8"	186° 16' 30"	188° 6' 56"	191° 32' 16"
$\sin(Q - i)$	8.971452	8.976223	8.981595	8.987792	8.995047	9.003862	9.014974	9.030106
q	9.30339	9.25439	9.19904	9.13539	9.06074	8.97056	8.85697	8.70399
$\cos(Q - i)$	9.99942	9.99927	9.99907	9.99876	9.99826	9.99739	9.99563	9.99113
$\cos B_1 \sin I_1$	9.930281	9.925366	9.919811	9.913415	9.905900	8.996795	8.985260	8.969512
$\cos B_1 \cos I_1$	9.999106	9.999290	9.999452	9.999593	9.999713	9.999812	9.999890	9.999947
I_1	9.999104	9.999287	9.999450	9.999591	9.999711	9.999810	9.999887	9.999945
$\cos B_1$	191° 35' 8"	190° 19' 54"	189° 4' 47"	187° 49' 41"	186° 34' 41"	185° 19' 47"	184° 5' 3"	182° 50' 27"
r_1	9.99998	9.99997	9.99998	9.99998	9.99998	9.99998	9.99997	9.99998
$\sin B_1$	0.99500	0.99537	0.99573	0.99608	0.99642	0.99676	0.99708	0.99740
$I_1 - u$	8.901791	8.901662	8.901499	8.901331	8.901121	8.900918	8.900671	8.900505
$\cos(I_1 - u)$	90° 41' 24"	94° 32' 56"	98° 24' 3"	102° 15' 47"	106° 9' 5"	110° 5' 0"	114° 4' 36"	118° 8' 55"
$r_1 \cos B_1$	8.908072	8.909333	9.916464	9.927115	9.944432	9.963578	9.981062	9.997372
$\sin(I_1 - u)$	0.99498	0.99534	0.99571	0.99607	0.99640	0.99674	0.99705	0.99738
ξ_1	9.99997	9.999863	9.999532	9.998997	9.998251	9.997276	9.996047	9.994533
r	9.97570	9.98467	9.996035	9.993221	9.9944072	9.9953252	9.9960767	9.9967110
Subtract.	0.56402	0.56481	0.56488	0.56423	0.56287	0.56080	0.55803	0.55454
$\xi_1 - r$	0.01388	0.08412	0.14426	0.19703	0.24424	0.28712	0.27692	0.24665
$\xi_1 - r$	0.957790	0.964893	0.970914	0.976126	0.980711	0.984792	0.988459	0.991775
ι_1	9.97031	9.95966	9.94758	9.93400	9.91882	9.90188	9.88291	9.86161
$q \cos \theta$	0.99495	0.99397	0.99103	0.98603	0.97891	0.96950	0.95752	0.94271
ξ_1	1.02464	1.03431	1.04345	1.05203	1.06009	1.06762	1.07461	1.08110
q^{-1}	9.99998	9.99998	9.99998	9.99998	9.99998	9.99998	9.99998	9.99998
q^{-3}	9.901291	9.901199	9.901072	9.900939	9.900763	9.900594	9.900379	9.900245
r_1^{-1}	8.97534	8.96567	8.95653	8.94795	8.93989	8.93236	8.92537	8.91888
r_1^{-3}	6.92602	6.89701	6.86959	6.84385	6.81967	6.79708	6.77611	6.75664
Subtract.	7.01500	7.01389	7.01281	7.01176	7.01074	7.00972	7.00876	7.00780
K	9.35676	9.34870	9.34180	9.33495	9.32844	9.32241	9.31685	9.31178
$\xi_1 K$	6.928278	6.938671	6.946139	6.951780	6.956211	6.959759	6.962653	6.965042
$\xi_1 K$	5.35848	6.28138	6.62174	6.84101	7.00283	7.13011	7.23420	7.32152
$r: q^3$	7.49004	7.46182	7.43447	7.40808	7.38254	7.35788	7.33414	7.31118
Subtract.	9.99678	9.97035	9.92742	9.86274	9.74527	9.58356	9.41288	8.18192
R_0	7.948682	7.943217	7.936189	7.927082	7.914810	7.898667	7.864708	7.81310
S_0	7.927773	7.938068	7.945242	7.950383	7.954102	7.956709	7.958405	7.959313
W_0	5.29569	5.39870	5.47211	5.52719	5.56974	5.60353	5.63032	5.65287
$w k'' m_1: 1/p$	1.36680	1.36673	1.36665	1.36657	1.36649	1.36641	1.36634	1.36627
R	8.985362	8.979890	8.972854	8.963739	8.951459	8.933508	8.901342	7.85937
S	8.964453	8.974741	8.981907	8.987040	8.990751	8.993350	8.995039	8.995940
W	6.66248	6.76543	6.83876	6.89376	6.93623	6.96994	6.99666	7.01914
J_i	0° 000	0° 000	0° 000	0° 000	0° 001	0° 001	0° 001	0° 002
$J_{i,2}$	+ 0° 043	+ 0° 055	+ 0° 066	+ 0° 074	+ 0° 081	+ 0° 085	+ 0° 088	+ 0° 088
J_{u_1}	- 0° 0020	- 0° 0007	+ 0° 0004	+ 0° 0011	+ 0° 0014	+ 0° 0013	+ 0° 0008	- 0° 0001
J_{u_2}	+ 0° 0426	+ 0° 0539	+ 0° 0636	+ 0° 0717	+ 0° 0784	+ 0° 0836	+ 0° 0875	+ 0° 0901
J_u	+ 0° 0406	+ 0° 0532	+ 0° 0640	+ 0° 0728	+ 0° 0798	+ 0° 0849	+ 0° 0883	+ 0° 0900
J_{I_1}	+ 0° 496	+ 0° 438	+ 0° 373	+ 0° 302	+ 0° 227	+ 0° 150	+ 0° 071	- 0° 008
J_{I_2}	+ 0° 004	+ 0° 002	- 0° 001	- 0° 005	- 0° 010	- 0° 015	- 0° 020	- 0° 024
J_{I_3}	0	0	0	0	0	0	0	0
J_{I_4}	+ 0° 500	+ 0° 440	+ 0° 372	+ 0° 297	+ 0° 217	+ 0° 135	+ 0° 051	- 0° 032
J_{π_1}	- 1° 233	- 1° 099	- 0° 937	- 0° 756	- 0° 562	- 0° 364	- 0° 168	+ 0° 018
J_{π_2}	+ 0° 239	+ 0° 114	- 0° 091	- 0° 357	- 0° 664	- 0° 993	- 1° 325	- 1° 643
J_{π}	- 0° 994	- 0° 985	- 1° 028	- 1° 113	- 1° 226	- 1° 357	- 1° 493	- 1° 625
J_{q_1}	+ 0° 031	+ 0° 010	- 0° 006	- 0° 017	- 0° 021	- 0° 020	- 0° 012	+ 0° 002
J_{q_2}	+ 0° 268	+ 0° 344	+ 0° 406	+ 0° 453	+ 0° 485	+ 0° 500	+ 0° 500	+ 0° 485
J_q	+ 0° 249	+ 0° 354	+ 0° 400	+ 0° 436	+ 0° 464	+ 0° 480	+ 0° 488	+ 0° 487

1874			1873					
April 10	März 1	Jan. 20	Dec. 11	Nov. 1	Sept. 22	Aug. 13	Juli 4	Mai 25
— 0° 38' 9"	— 0° 35' 3"	— 0° 31' 56"	— 0° 28' 48"	— 0° 25' 40"	— 0° 22' 31"	— 0° 19' 22"	— 0° 16' 13"	— 0° 13' 3"
307° 21' 48"	306° 8' 10"	304° 54' 38"	303° 41' 12"	302° 27' 53"	301° 14' 39"	300° 1' 30"	298° 48' 27"	297° 35' 29"
125° 47' 10"	125° 47' 42"	125° 48' —"	125° 48' 25"	125° 48' 37"	125° 48' 44"	125° 48' 4"	125° 48' 48"	125° 48' 48"
181° 34' 38"	180° 20' 28"	179° 6' 31"	177° 52' 47"	176° 39' 16"	175° 25' 55"	174° 12' 43"	172° 59' 39"	171° 46' 41"
8 _n 43972	7 _n 77477	8.19193	8.56817	8.76610	8.90115	9.00367	9.08626	9.15536
9.99997	9.99998	9.99998	9.99998	9.99999	9.99999	9.99999	0.00000	0.00000
9 _n 99984	9 _n 99999	9 _n 99995	9 _n 99970	9 _n 99926	9 _n 99862	9 _n 99778	9 _n 99675	9 _n 99551
8 _n 04521	8 _n 00841	7 _n 96796	7 _n 92311	7 _n 87309	7 _n 81623	7 _n 75078	7 _n 67369	7 _n 57934
9 _n 96729	9 _n 93630	9.93378	9.98914	9.99647	9.99854	9.99932	9.99968	9.99985
8 _n 43969	7 _n 77475	8.19191	8.56815	8.76609	8.90114	9.00366	9.08626	9.15536
201° 57' 33"	239° 43' 10"	329° 9' 30"	34° 14' 27"	352° 42' 34"	355° 17' 55"	356° 48' 9"	357° 47' —"	358° 28' 46"
2° 12' 26"	2° 12' 27"	2° 12' 28"	2° 12' 29"	2° 12' 29"	2° 12' 30"	2° 12' 30"	2° 12' 30"	2° 12' 30"
199° 45' 7"	237° 30' 43"	326° 57' 2"	345° 1' 58"	350° 30' 5"	353° 5' 25"	354° 35' 59"	355° 34' 37"	356° 16' 16"
9 _n 52885	9 _n 92609	9 _n 73668	9 _n 41207	9 _n 21754	9 _n 08028	8 _n 97409	8 _n 88717	8 _n 81315
8.07240	8.07211	8.25813	8.57901	8.76942	8.90260	9.00436	9.08658	9.15551
9 _n 97366	9 _n 73007	9.92335	9.98501	9.99400	9.99683	9.99806	9.99871	9.99908
8 _n 44606	7 _n 80218	8.18148	8.56402	8.76362	8.89943	9.00240	9.08529	9.15459
9 _n 99983	9 _n 99999	9 _n 99995	9 _n 99971	9 _n 99927	9 _n 99863	9 _n 99779	9 _n 99676	9 _n 99553
9 _n 99981	9 _n 99997	9 _n 99993	9 _n 99968	9 _n 99925	9 _n 99861	9 _n 99777	9 _n 99675	9 _n 99551
181° 36' 2"	180° 21' 48"	179° 7' 7"	177° 53' 59"	176° 40' 24"	175° 26' 59"	174° 13' 43"	173° 0' 35"	171° 47' 33"
9.99998	9.99998	9.99998	9.99997	9.99998	9.99998	9.99998	9.99998	9.99998
0.99770	0.99800	0.99829	0.99857	0.99884	0.99909	0.99934	0.99958	0.99981
8 _n 00125	7 _n 99820	7 _n 99481	7 _n 99108	7 _n 98716	7 _n 98288	7 _n 97843	7 _n 97375	7 _n 96866
122° 19' 4"	126° 36' 9"	131° 1' 26"	135° 36' 8"	140° 21' 38"	145° 19' 17"	150° 30' 34"	155° 56' 59"	161° 40' 5"
9 _n 72804	9 _n 77544	9 _n 81715	9 _n 85401	9 _n 88654	9 _n 91506	9 _n 94973	9 _n 98056	9 _n 97738
0.99768	0.99798	0.99827	0.99854	0.99882	0.99907	0.99932	0.99957	0.99979
9.92691	9.90460	9.87762	9.84487	9.80479	9.75504	9.69221	9.61017	9.49765
0 _n 72572	0 _n 77342	0 _n 81542	0 _n 85255	0 _n 88456	0 _n 91413	0 _n 93905	0 _n 96013	0 _n 97717
0.55036	0.54549	0.53993	0.53369	0.52681	0.51931	0.51122	0.50261	0.49354
0.22214	0.20185	0.18477	0.17023	0.15775	0.14592	0.13780	0.12992	0.12332
0 _n 94786	0 _n 97527	1 _n 00019	1 _n 02278	1 _n 04311	1 _n 06115	1 _n 07885	1 _n 09005	1 _n 10049
9 _n 86081	9 _n 88280	9 _n 90286	9 _n 92115	9 _n 93776	9 _n 95272	9 _n 96595	9 _n 97744	9 _n 98889
0.92459	0.90258	0.87589	0.84341	0.80361	0.75416	0.69153	0.60977	0.49744
1.08705	1.09247	1.09733	1.10163	1.10535	1.10843	1.11086	1.11261	1.11360
9.99999	9.99999	9.99999	9.99999	9.99999	9.99999	9.99999	9.99999	9.99999
8 _n 99895	8 _n 99620	8 _n 99310	8 _n 98965	8 _n 98600	8 _n 98197	8 _n 97777	8 _n 97333	8 _n 96847
8.91294	8.90752	8.90266	8.89836	8.89464	8.89156	8.88913	8.88738	8.88639
6.73882	6.72256	6.70798	6.69508	6.68392	6.67468	6.66739	6.66214	6.65917
7.00690	7.00600	7.00513	7.00429	7.00348	7.00273	7.00204	7.00148	7.00095
9.93139	9.96408	9.99220	0.01621	0.03030	0.04249	0.06474	0.09311	0.12730
6 _n 67021	6 _n 68664	6 _n 70018	6 _n 71129	6 _n 72022	6 _n 72714	6 _n 73210	6 _n 73525	6 _n 73667
7.39593	7.46006	7.51560	7.56384	7.60558	7.64127	7.67115	7.69538	7.71364
7.28918	7.26805	7.24791	7.22877	7.21093	7.19399	7.17861	7.16475	7.15271
9.44505	9.44507	9.43055	0.06561	0.17043	0.28018	0.38312	0.48388	0.58604
6.73423	7.01312	7.17846	7.29438	7.38166	7.44945	7.50257	7.54376	7.57408
7 _n 59480	7 _n 58922	7 _n 57607	7 _n 55470	7 _n 52383	7 _n 48130	7 _n 42363	7 _n 34499	7 _n 23391
5.66916	5.68284	5.69328	5.70094	5.70622	5.70911	5.70988	5.70858	5.70494
1.36622	1.36618	1.36616	1.36616	1.36618	1.36621	1.36624	1.36629	1.36633
8.10045	8.37930	8.54462	8.66054	8.74784	8.81566	8.86881	8.91005	8.94041
8 _n 96102	8 _n 95540	8 _n 94223	8 _n 92086	8 _n 89001	8 _n 84751	8 _n 78987	8 _n 71128	8 _n 60024
7.03538	7.04902	7.05944	7.06710	7.07240	7.07532	7.07611	7.07487	7.07127
+ 0° 002	+ 0° 002	+ 0° 003	+ 0° 003	+ 0° 003	+ 0° 003	+ 0° 004	+ 0° 004	+ 0° 004
+ 0° 086	+ 0° 082	+ 0° 077	+ 0° 070	+ 0° 064	+ 0° 051	+ 0° 040	+ 0° 029	+ 0° 017
— 0° 0014	— 0° 0030	— 0° 0049	— 0° 0070	— 0° 0094	— 0° 0115	— 0° 0137	— 0° 0161	— 0° 0177
+ 0° 0913	+ 0° 0912	+ 0° 0846	+ 0° 0865	+ 0° 0819	+ 0° 0755	+ 0° 0674	+ 0° 0574	+ 0° 0453
+ 0° 0899	+ 0° 0882	+ 0° 0847	+ 0° 0795	+ 0° 0727	+ 0° 0640	+ 0° 0537	+ 0° 0418	+ 0° 0282
— 0° 085	— 0° 161	— 0° 233	— 0° 301	— 0° 363	— 0° 418	— 0° 466	— 0° 504	— 0° 532
— 0° 029	— 0° 032	— 0° 034	— 0° 035	— 0° 035	— 0° 034	— 0° 031	— 0° 027	— 0° 021
— 0° 114	— 0° 193	— 0° 267	— 0° 336	— 0° 398	— 0° 452	— 0° 497	— 0° 531	— 0° 553
+ 0° 187	+ 0° 332	+ 0° 447	+ 0° 524	+ 0° 559	+ 0° 547	+ 0° 486	+ 0° 376	+ 0° 221
— 1° 027	— 2° 161	— 2° 329	— 2° 418	— 2° 416	— 2° 317	— 2° 116	— 1° 816	— 1° 427
— 1° 740	— 1° 828	— 1° 882	— 1° 894	— 1° 857	— 1° 770	— 1° 630	— 1° 440	— 1° 206
+ 0° 021	+ 0° 046	+ 0° 076	+ 0° 108	+ 0° 143	+ 0° 178	+ 0° 212	+ 0° 242	+ 0° 266
+ 0° 455	+ 0° 413	+ 0° 361	+ 0° 302	+ 0° 237	+ 0° 172	+ 0° 110	+ 0° 056	+ 0° 014
+ 0° 476	+ 0° 459	+ 0° 437	+ 0° 410	+ 0° 380	+ 0° 350	+ 0° 312	+ 0° 298	+ 0° 280

Datum	1873			1872				
	April 15	Marz 6	Jan 25	Dec 10	Nov 6	Sept 27	Aug. 18	July 6
λ_0'	— 0° 9'54"	— 0° 6'44"	— 0° 3'34"	— 0° 0'23"	+ 0° 2'45"	+ 0° 5'54"	+ 0° 9' 3"	+ 0° 12'11"
λ_0''	296° 22'36"	295° 9'4"	293° 58' 2"	292° 44'21"	291° 31'45"	290° 19'12"	289° 6'13"	287° 54'11"
λ_0'	125° 48'48"	125° 48'48"	125° 48'48"	125° 48'48"	125° 48'50"	125° 48'51"	125° 48'52"	125° 48'53"
$\lambda_0' - \lambda_0''$	170° 33'48"	169° 20'59"	168° 8'14"	166° 55'32"	165° 42'55"	164° 30'21"	163° 17'51"	162° 5'24"
$\sin \lambda_0' - \lambda_0''$	0.21173	0.26673	0.31296	0.35452	0.39224	0.42674	0.45849	0.48788
$\cos \lambda_0'$	0.00000	0.00000	0.00000	0.00000	0.00000	0.00000	0.00000	0.00000
$\cos \lambda_0' - \lambda_0''$	0.999908	0.9999245	0.999962	0.9998859	0.9998636	0.9998392	0.9998128	0.9997842
$\sin \lambda_0'$	7.745936	7.729196	7.701599	7.664730	7.619306	7.56458	7.492037	7.40949
$\cos \lambda_0' \sin \lambda_0' - \lambda_0''$	0.999993	0.999998	0.999999	0.999999	0.999999	0.999999	0.999998	0.999997
Q	9.21473	9.26673	9.31296	9.35452	9.39224	9.42674	9.45849	9.48788
i	358° 59'35"	359° 23'34"	359° 42'39"	359° 58'18"	0° 11' 9"	0° 22' 5"	0° 31'29"	0° 39'35"
$Q - i$	2° 12'30"	2° 12'30"	2° 12'30"	2° 12'30"	2° 12'30"	2° 12'29"	2° 12'29"	2° 12'29"
$Q - i$	359° 47' 7"	357° 11' 4"	355° 30' 9"	355° 48'48"	355° 58'39"	358° 9'36"	358° 19' 0"	358° 27' 8"
$\sin (Q - i)$	8.74879	8.69127	8.63924	8.59137	8.54768	8.50662	8.46799	8.43153
Q	9.21480	9.26675	9.31296	9.35452	9.39224	9.42675	9.45851	9.48791
$\cos (Q - i)$	0.99932	0.99948	0.99959	0.99967	0.99973	0.99978	0.99981	0.99984
$\cos B_1 \sin L_1$	9.21412	9.26623	9.31256	9.35419	9.39197	9.42653	9.45832	9.48775
$\cos B_1 \cos L_1$	0.999910	0.999924	0.999964	0.9998861	0.9998638	0.9998393	0.9998129	0.9997844
L_1	0.999908	0.9999245	0.999962	0.9998859	0.9998636	0.9998392	0.9998128	0.9997842
L_1	170° 34'35"	169° 21'42"	168° 8'52"	166° 55' 7"	165° 43'26"	164° 30'46"	163° 18'14"	162° 5'40"
$\cos B_1$	0.999998	0.999998	0.999998	0.999998	0.999998	0.999998	0.999999	0.999998
r_1	1.00003	1.000024	1.000044	1.000063	1.000081	1.000098	1.000114	1.000128
$\sin B_1$	7.796359	7.7995221	7.795221	7.794589	7.793992	7.793337	7.792630	7.791944
$L_1 - u$	162° 41'20"	172° 2' 8"	180° 43'40"	182° 46'50"	195° 11'59"	202° 58'46"	211° 6' 8"	216° 31'48"
$\cos L_1 - u$	0.9998990	0.999764	0.999996	0.9999598	0.9998453	0.9996409	0.9993260	0.9988722
$r_1 \cos B_1$	1.000001	1.000022	1.000044	1.000064	1.000079	1.000096	1.000113	1.000126
$\sin L_1 - u$	9.32883	9.01666	8.10386	9.13155	9.11860	9.99151	9.91312	9.80379
ξ_1	0.999991	0.999786	1.000038	0.9999659	0.9998532	0.9996505	0.9993373	0.9988548
r	0.48411	0.47447	0.46476	0.45519	0.44599	0.43745	0.42985	0.42350
Subtract.	0.11794	0.11383	0.11104	0.10974	0.11020	0.11286	0.11840	0.12801
$\xi_1 - r$	1.10785	1.11169	1.11142	1.10933	1.09552	1.07791	1.05213	1.01649
ξ_1	0.9999407	0.999860	0.999998	0.999957	0.9999056	0.999794	0.9995844	0.9993043
ξ_1	0.32884	0.01688	0.10428	0.13216	0.14939	0.15924	0.17425	0.18505
$q \cos \theta$	1.11378	1.11309	1.11144	1.10876	1.10496	1.09997	1.09369	1.08606
ξ_1	9.99999	9.99999	9.99999	9.99999	9.99999	9.99999	9.99999	9.99999
ξ_1	8.99562	8.995826	8.995265	8.994652	8.994073	8.993435	8.992764	8.992072
q^{-1}	8.88621	8.88690	8.88855	8.88123	8.87503	8.86002	8.84630	8.83393
q^{-3}	6.66863	6.66800	6.66565	6.66361	6.66159	6.65906	6.65690	6.65479
r_1^{-3}	6.99991	6.99928	6.99868	6.99811	6.99757	6.99706	6.99658	6.99616
Subtract.	0.07708	0.07211	0.06180	0.04558	0.02261	0.00190	0.00197	0.00106
K	6.73571	6.73281	6.72745	6.71927	6.70770	6.69196	6.67087	6.64285
$\xi_1 K$	7.72562	7.73067	7.72783	7.71386	7.69302	7.66701	7.63460	7.59333
$r^{-3} Q^3$	7.14274	7.13517	7.13741	7.12888	7.11908	7.10751	7.14875	7.16529
Subtract.	9.86847	9.87285	9.87350	9.86992	9.86082	9.84364	9.81287	9.77154
R_0	7.59499	7.60352	7.60133	7.58578	7.56384	7.53065	7.48747	7.42683
S_0	7.06455	7.07499	5.83173	6.85143	7.12709	7.28443	7.38512	7.44790
H_0	5.69933	5.69107	5.68010	5.66579	5.64843	5.62631	5.59881	5.56557
$w h'' m_1 \downarrow p$	1.36637	1.36641	1.36644	1.36647	1.36649	1.36651	1.36652	1.36653
R	8.96046	8.96093	8.96777	8.95225	8.92033	8.86716	8.78399	8.65336
S	8.43092	8.41610	7.19817	8.21790	8.49358	8.65093	8.75164	8.81443
H	7.06570	7.05748	7.04654	7.03226	7.01492	6.99282	6.96503	6.93010
$J \lambda$	+ 0°004	+ 0°003	+ 0°003	+ 0°003	+ 0°003	+ 0°002	+ 0°002	+ 0°001
$J \lambda$	+ 0°005	+ 0°007	+ 0°018	+ 0°028	+ 0°037	+ 0°043	+ 0°048	+ 0°049
$J \mu_1$	+ 0°0181	+ 0°0184	+ 0°0178	+ 0°0164	+ 0°0141	+ 0°0111	+ 0°0087	+ 0°0046
$J \mu_2$	+ 0°0314	+ 0°0155	+ 0°0019	+ 0°0205	+ 0°0396	+ 0°0580	+ 0°0744	+ 0°0872
$J \mu$	+ 0°0133	+ 0°0129	+ 0°0197	+ 0°0369	+ 0°0537	+ 0°0691	+ 0°0822	+ 0°0918
$J L_1$	+ 0°548	+ 0°551	+ 0°540	+ 0°513	+ 0°469	+ 0°410	+ 0°335	+ 0°245
$J L_2$	+ 0°014	+ 0°007	+ 0°001	+ 0°008	+ 0°013	+ 0°017	+ 0°018	+ 0°016
$J L_3$	0	0	0	0	0	0	0	0
$J L_4$	+ 0°562	+ 0°558	+ 0°539	+ 0°505	+ 0°456	+ 0°393	+ 0°317	+ 0°229
$J L_1$	+ 0°028	+ 0°0190	+ 0°0113	+ 0°01616	+ 0°0229	+ 0°03850	+ 0°05828	+ 0°0692
$J L_2$	+ 0°065	+ 0°0160	+ 0°0054	+ 0°0229	+ 0°0415	+ 0°07164	+ 0°1238	+ 0°1123
$J L_3$	+ 0°037	+ 0°0050	+ 0°0039	+ 0°0087	+ 0°0143	+ 0°0214	+ 0°0310	+ 0°0431
$J q_1$	+ 0°282	+ 0°286	+ 0°277	+ 0°255	+ 0°219	+ 0°173	+ 0°122	+ 0°071
$J q_2$	+ 0°011	+ 0°016	+ 0°003	+ 0°016	+ 0°011	+ 0°019	+ 0°026	+ 0°035
$J q$	+ 0°071	+ 0°070	+ 0°080	+ 0°091	+ 0°093	+ 0°093	+ 0°098	+ 0°104

b₁

1872				1871			
Mai 30	April 20	März 11	Jan. 31	Dec. 22	Nov. 12	Oct. 3	Aug. 24
+ 0° 15' 19"	+ 0° 18' 27"	+ 0° 21' 34"	+ 0° 24' 40"	+ 0° 27' 46"	+ 0° 30' 50"	+ 0° 33' 54"	+ 0° 36' 57"
286° 41' 54"	285° 29' 34"	284° 17' 16"	283° 5' 0"	281° 52' 47"	280° 40' 35"	279° 28' 25"	278° 16' 17"
125° 48' 54"	125° 48' 54"	125° 48' 54"	125° 48' 54"	125° 48' 53"	125° 48' 52"	125° 48' 51"	125° 48' 49"
160° 53' 0"	159° 40' 40"	158° 28' 22"	157° 16' 6"	156° 3' 54"	154° 51' 43"	153° 39' 34"	152° 27' 28"
9.51520	9.54070	9.56460	9.58705	9.60820	9.62819	9.64709	9.66502
0.00000	9.99999	9.99999	9.99999	9.99999	9.99998	9.99998	9.99997
9.97536	9.97209	9.96859	9.96489	9.96095	9.95678	9.95239	9.94776
7.64889	7.72972	7.79751	7.85583	7.90724	7.95274	7.99392	8.03133
9.99996	9.99995	9.99994	9.99993	9.99991	9.99990	9.99989	9.99988
9.51520	9.54069	9.56459	9.58704	9.60819	9.62817	9.64707	9.66499
0° 46' 46"	0° 53' 7"	0° 58' 46"	1° 3' 50"	1° 8' 26"	1° 12' 34"	1° 16' 24"	1° 19' 54"
2° 12' 29"	2° 12' 29"	2° 12' 29"	2° 12' 29"	2° 12' 29"	2° 12' 29"	2° 12' 29"	2° 12' 29"
358° 34' 17"	358° 40' 38"	358° 46' 17"	358° 51' 21"	358° 55' 57"	359° 0' 57"	359° 3' 55"	359° 7' 25"
8.99675	8.99633	8.99612	8.99604	8.99602	8.99612	8.99612	8.99612
9.51524	9.54071	9.56465	9.58711	9.60828	9.62827	9.64718	9.66511
9.99987	9.99988	9.99990	9.99991	9.99992	9.99993	9.99994	9.99995
9.51511	9.54062	9.56455	9.58702	9.60820	9.62820	9.64712	9.66506
9.97537	9.97210	9.96860	9.96489	9.96095	9.95678	9.95238	9.94774
9.97536	9.97208	9.96858	9.96488	9.96094	9.95676	9.95237	9.94773
160° 53' 13"	159° 40' 52"	158° 28' 27"	157° 16' 12"	156° 3' 53"	154° 51' 36"	153° 39' 25"	152° 27' 14"
9.99999	9.99998	9.99998	9.99999	9.99999	9.99999	9.99999	9.99999
1.00142	1.00155	1.00166	1.00177	1.00186	1.00195	1.00202	1.00208
7.99119	7.99040	7.98959	7.98875	7.98785	7.98692	7.98597	7.98497
228° 12' 41"	235° 4' 34"	246° 2' 16"	255° 0' 34"	263° 53' 43"	272° 36' 42"	281° 5' 16"	289° 15' 54"
9.98237	9.97352	9.96086	9.94427	9.92672	9.90864	9.88401	9.85184
1.00141	1.00153	1.00164	1.00176	1.00185	1.00193	1.00201	1.00207
9.98721	9.98239	9.97906	9.97649	9.97453	9.97295	9.97182	9.97098
0.82514	0.87365	0.91031	0.94449	0.97285	0.99555	0.99802	0.99950
0.41868	0.41562	0.41447	0.41531	0.41809	0.42266	0.42880	0.43423
0.14371	0.16949	0.21406	0.30062	0.41855	0.59153	0.75923	0.93371
0.96885	0.97062	0.97243	0.97453	0.97664	0.97819	0.97987	0.98164
9.98918	9.98890	9.98907	9.98915	9.98922	9.98931	9.98938	9.98947
9.98739	9.98549	9.98362	9.98172	9.97982	9.97791	9.97598	9.97405
1.07705	1.06659	1.05476	1.04157	1.02713	1.01157	0.99509	0.97787
9.99999	9.99999	9.99999	9.99999	9.99999	9.99999	9.99999	9.99999
8.99134	8.99052	8.98957	8.98862	8.98766	8.98671	8.98574	8.98475
8.92204	8.93340	8.94523	8.95842	8.97286	8.98842	9.00490	9.02212
6.76882	6.80020	6.83569	6.87526	6.91858	6.96526	7.01470	7.06636
6.99574	6.99535	6.99502	6.99469	6.99442	6.99414	6.99394	6.99376
9.83648	9.75381	9.64661	9.50041	9.28949	8.97499	8.60987	8.25966
6.96053	6.95540	6.94823	6.93767	6.92417	6.90825	6.89381	6.88032
7.43044	7.29076	7.09261	6.79017	6.22774	5.54332	5.06983	6.77422
7.18750	7.21582	7.25016	7.29057	7.33667	7.38792	7.44350	7.50259
9.87483	9.27494	9.64079	9.83510	9.96482	0.00051	0.98516	9.91014
7.06233	6.49076	6.97340	7.12567	7.30149	7.53936	7.82866	7.41273
7.47922	7.47950	7.44480	7.36239	7.19855	6.80423	6.26764	7.23077
5.51871	5.45963	5.37987	5.26489	5.07953	4.67422	4.15455	5.10547
1.36653	1.36653	1.36653	1.36653	1.36653	1.36653	1.36653	1.36653
8.42886	7.85729	8.09993	8.49220	8.96680	8.95958	8.9518	8.94924
8.84575	8.84603	8.84133	8.83892	8.83658	8.83405	8.83146	8.82888
6.88524	6.82616	6.74640	6.63142	6.44606	6.04074	5.91207	6.47198
+ 0° 001	0° 000	0° 000	0° 000	0° 000	0° 000	0° 000	0° 001
- 0° 048	- 0° 044	- 0° 038	- 0° 029	- 0° 018	- 0° 007	+ 0° 005	+ 0° 014
- 0° 0019	- 0° 0003	- 0° 0000	- 0° 0010	- 0° 0031	- 0° 0056	- 0° 0087	- 0° 0089
- 0° 0048	- 0° 0055	- 0° 0084	- 0° 0130	- 0° 0149	- 0° 0199	- 0° 0246	- 0° 0314
- 0° 0067	- 0° 0058	- 0° 0084	- 0° 0140	- 0° 0228	- 0° 0255	+ 0° 0068	+ 0° 0425
- 0° 145	- 0° 039	+ 0° 068	+ 0° 167	+ 0° 252	+ 0° 313	+ 0° 343	+ 0° 334
+ 0° 012	+ 0° 006	0° 000	- 0° 004	- 0° 006	- 0° 004	+ 0° 003	+ 0° 015
- 0° 133	- 0° 033	+ 0° 068	+ 0° 163	+ 0° 246	+ 0° 309	+ 0° 346	+ 0° 349
- 0° 449	- 0° 127	+ 0° 225	+ 0° 549	+ 0° 866	+ 0° 807	+ 0° 867	+ 0° 814
+ 0° 838	+ 0° 443	+ 0° 029	- 0° 290	- 0° 408	- 0° 244	+ 0° 235	+ 1° 006
+ 0° 389	+ 0° 316	+ 0° 254	+ 0° 259	+ 0° 378	+ 0° 553	+ 1° 102	+ 1° 720
+ 0° 030	+ 0° 004	- 0° 001	+ 0° 016	+ 0° 048	+ 0° 087	+ 0° 121	+ 0° 139
+ 0° 408	+ 0° 426	+ 0° 399	+ 0° 326	+ 0° 215	+ 0° 081	- 0° 055	- 0° 172
+ 0° 438	+ 0° 430	+ 0° 398	+ 0° 342	+ 0° 263	+ 0° 168	+ 0° 066	- 0° 033

Datum	f^A	f^B	f^C	f^D	f^E	$w^2\left(\frac{d^2u}{dt^2}\right)$	f^F	uf	$40J\mu$	$J\mu$	JL_2	JL_1	u_0t+L_0	L
18-1 Aug. 24						$+1''9230$	$+15''8305$	$+5'3''-15''$	$+16''81$	$+0''420$	$+5'53''$	$+20'10''3$	$1'56'33''6$	$2'22'3''6$
Oct. 3						$+1''-661$	$+1''-535$	$+6'11''299''$	$+18.65$	$+0.466$	$+6'11''4$	$+20'12''1$	$9'3'49''5$	$9'30'13''0$
Nov 12						$+1.5423$	$+10.5196$	$+6'30''8193$	$+20.31$	$+0.508$	$+6'30''9$	$+20'15''2$	$16'11''53$	$16'3'51''4$
Dec. 22						$+1.2423$	$+21.0619$	$+6'51''9812$	$+21.71$	$+0.543$	$+6'52''0$	$+20'19''5$	$23'18'21''1$	$23'45'52''6$
18-2 Jan. 31						$+0.8582$	$+22.3042$	$+7'14''1854$	$+22.77$	$+0.569$	$+7'14''3$	$+20'25''0$	$30'25'3''0$	$30'53'16''3$
Marz 11						$+0.3845$	$+23.1624$	$+7'5''3478$	$+23.40$	$+0.585$	$+7'5''4$	$+20'31''4$	$37'32'52''8$	$38'1'1''6$
April 20						-0.1813	$+23.5499$	$+8'0''8947$	$+23.51$	$+0.588$	$+8'0''9$	$+20'38''6$	$44'40''8''$	$45'8'48''2$
Mai 30						-0.8388	$+23.3056$	$+8'24''3603$	$+23.00$	$+0.575$	$+8'24''2$	$+20'46''4$	$51'4'24''5$	$52'16'35''1$
July 9						-1.5844	$+22.5208$	$+8'46''8-1$	$+21.80$	$+0.545$	$+8'46''6$	$+20'54''2$	$58'54'40''4$	$59'24'21''2$
Aug. 18						-2.4111	$+20.9424$	$+9''-295$	$+19.82$	$+0.495$	$+9''-5$	$+21'1''6$	$66'1'56''2$	$66'32'5''3$
Sept. 27						-3.3086	$+18.5313$	$+9'26''2608$	$+16.95$	$+0.424$	$+9'26''0$	$+21'7''8$	$73'9'12''0$	$73'39'45''8$
Nov 6						-4.2611	$+15.2227$	$+9'41''4835$	$+13.17$	$+0.329$	$+9'41''1$	$+21'12''1$	$82'0'16'2''9$	$82'0'4'21''1$
Dec 16						-5.2454	$+10.6916$	$+9'52''4451$	$+8.42$	$+0.210$	$+9'52''0$	$+21'13''2$	$82'23'43''7$	$82'0'54'48''9$
18-3 Jan. 25						-6.2261	$+5.7162$	$+9'58''1613$	$+2.68$	$+0.067$	$+9'55''6$	$+21'9''8$	$94'30'59''6$	$95'2'-'0$
Marz 6						-7.1305	-0.5069	$+9'5''6514$	-4.02	-0.100	$+9'55''1$	$+21'0''1$	$101'38'15''4$	$102'9'12''6$
April 15						-7.9422	-0.6024	$+9'49''9910$	-11.57	-0.289	$+9'49''3$	$+20'42''2$	$108'45'31''2$	$109'16'2''7$
Mai 25						-8.4983	-13.6026	$+9'34''3884$	-19.81	-0.495	$+9'33''7$	$+20'13''7$	$115'52'4''1$	$116'22'31''5$
July 4						-8.6912	-24.1009	$+9'10''2875$	-28.44	-0.711	$+9'9''6$	$+19'32''6$	$123'0'2''9$	$123'28'45''1$
Aug 13						-8.3841	-32.7021	$+8'3''4954$	-37.03	-0.926	$+8'36''8$	$+18'36''8$	$130'1'18''8$	$130'34'32''4$
Sept. 22						-7.4606	$-41'1-62$	$+7'56''3192$	-45.01	-1.125	$+7'55''7$	$+17'25''0$	$137'14'34''6$	$137'39'55''3$
Nov. 1						-5.8714	-48.6368	$+7'1''6824$	-51.74	-1.293	$+7'1''2$	$+15'5''3$	$144'21'50''5$	$144'44'55''0$
Dec. 11						-3.6771	-54.5082	$+6'13''1422$	-56.56	-1.414	$+6'13''0$	$+14'15''6$	$151'29'6''3$	$151'49'34''9$
18-4 Jan. 20						-1.0939	-58.1853	$+5'14''0889$	-58.95	-1.474	$+5'14''9$	$+12'23''5$	$158'36'22''1$	$158'54'0''5$
Marz 1						$+2.5616$	-59.2192	$+4'15''-397$	-58.63	-1.466	$+4'15''9$	$+10'26''5$	$165'43'38''0$	$165'58'20''4$
April 10						$+4.2776$	-57.5615	$+3'18''1-82$	-55.62	-1.390	$+3'18''5$	$+8'29''8$	$172'50'53''8$	$173'2'42''1$
Mai 20						$+6.4656$	-53.2839	$+2'24''8943$	-50.20	-1.255	$+2'25''4$	$+6'38''8$	$179'58'9''7$	$180'1'13''9$
Jun 29						$+8.1116$	-46.8183	$+1'38''0-60$	-42.85	-1.071	$+1'38''8$	$+4'57''5$	$182'5'25''5$	$182'0'12'1''8$
Aug. 8						$+9.2050$	$-38'016$	$+59'3'44$	-34.17	-0.854	$+1'0''1$	$+3'28''5$	$194'12'41''4$	$194'0'1'10''0$
Sept. 17						$+9.9429$	-29.4966	$+29'8'78$	-24.64	-0.616	$+30''7$	$+2'12''9$	$201'19'5''2$	$201'22'40''8$
Oct. 27						$+9.7830$	-19.7136	$+10'1642$				$208'2'13''0$		
Dec. 6						$+9.7707$	$-9'7707$	$+0''3935$				$215'3'28''9$		
18-5 Jan. 15						$+0.0160$	$+0.0160$	$+0''4095$				$222'0'14''7$		
Feb. 24						$+9.4233$	$+9.4233$	$+9'8328$				$229'49'0''6$		

Datum	f^v	f^w	f^{III}	f^I	$w\left(\frac{dL}{dt}\right)$	if	LL_1	f^v	f^{III}	f^I	$w\left(\frac{d\pi}{dt}\right)$	if	$J\pi$
18-1 Aug. 24					+ 1''094	+20' 9''8-3	+20 10''3				+ 39''082	-1'' 1'42''960	-1'' 1'23''0
Oct. 3					+ 2''434	+20' 10''96-	+20' 12''1				+ 34''220	-1'' 1' 3''8-8	-1'' 0'46''3
Nov. 12					+ 3''119	+20' 13''401	+20' 15''2				+ 29''510	-1'' 0'29''638	-1'' 0'14''5
Dec. 22					+ 4''919	+20' 17''120	+20' 19''5				+ 25''542	-1'' 0' 0''148	-59'4''1
18-2 Jan. 31					+ 5''691	+20 22''039	+20 25''0				+ 23''038	-59'34''606	-59'23''0
März 11					+ 6''885	+20' 28''030	+20' 31''4				+ 22''798	-59'11''568	-59' 0''3
April 20					+ 7''531	+20' 34''915	+20' 38''6				+ 25''610	-58'48''-0	-58'36''3
Mai 30					+ 7''840	+20' 42''446	+20' 46''4				+ 32''158	-58'23''160	-58' 7''8
Juli 9					+ 7''603	+20' 50''286	+20' 54''2				+ 42''950	-57'51''002	-57'30''6
Aug 18					+ 6''649	+20' 5''9-9	+21' 1''6				+ 0'58''246	-56' 9''806	-56'40''3
Sept 27					+ 5''425	+21' 4''928	+21' 7''8				+ 1'18''026	-55'32''6	-55'32''6
Nov 6					+ 2''603	+21' 10''353	+21' 12''1				+ 1'41''95-	-54'51''-80	-54' 2''9
Dec. 16					+ 0''884	+21' 13''256	+21' 13''2				+ 2' 9''5-3	-53' 9''825	-52' 7''5
18-3 Jan. 25					+ 6''225	+21' 12''3-2	+21' 9''8				+ 2' 39''197	-51' 0''450	-49'43''4
März 6					+ 13''433	+21' 6''14-	+21' 0''1				+ 3' 9''8-3	-48'21''253	-46'48''8
April 15					+ 22''-8	+20' 52''-14	+20' 42''2				+ 3' 39''297	-45'11''380	-43'24''1
Mai 25					+ 34''411	+20' 29''036	+20' 13''-				+ 4' 4''7-2	-41'32''083	-39'31''-
Juli 4					+ 48''232	+19' 55''525	+19' 32''6				+ 4' 23''179	-37'2''311	-35'1''1
Aug 13					+ 1' 3''-36	+19' 2''293	+18' 36''8				+ 4' 31''397	-33' 4''132	-30'48''-
Sept. 22					+ 1' 19''884	+18' 3''55-	+17' 25''0				+ 4' 2''056	-28'32''-35	-26'18''2
Nov. 1					+ 1' 35''119	+16' 43''6-3	+15' 5''-5				+ 4' 9''583	-24' 5''6-9	-21'58''-
Dec. 11					+ 1' 4''561	+15' 8''554	+14' 15''6				+ 3' 40''912	-19'56''096	-18' 2''8
18-4 Jan. 20					+ 1' 55''499	+13' 20''993	+12 23''5				+ 3' 5''552	-16'15''184	-14'39''3
März 1					+ 1' 5''885	+11' 25''494	+10' 26''5				+ 2' 29''462	-13' 9''632	-11'52''1
April 10					+ 1' 54''600	+9' 2''609	+8' 29''8				+ 1' 58''261	-10'40''1-0	-9'38''9
Mai 20					+ 1' 46''006	+7' 32''049	+6' 38''8				+ 1' 55''631	-8'41''909	-7'52''8
Junii 29					+ 1' 35''423	+5' 46''253	+4' 5''-5				+ 1' 22''-38	-5'43''540	-6'24''3
Aug. 8					+ 1' 22''38-	+4' 10''850	+3' 28''5				+ 1' 18''608	-5'43''540	-5' 4''2
Sept. 17					+ 1' 8''610	+2' 48''443	+2' 12''9				+ 1' 21''059	-4'24''932	-3' 3''8-3
Oct. 27					+ 55''934	+43''509	+3''509				+ 1' 2''584	-1'36''289	-1'36''289
Dec. 6					+ 44''038	+35''500	+0''439				+ 1' 35''934	-0''355	-0''355
18-5 Jan. 15					+ 35''500	+35''930	+35''930				+ 1' 44''360	-1'44''360	-1'44''360
Febr. 24					+ 24''389	+24''389	+24''389				+ 1' 51''64-	-1'51''64-	-1'51''64-

Datum	f^v	f^{iv}	f^u	f^t	$w\left(\frac{dq}{dt}\right)$	if	Jq	f^{iv}	f^{iii}	f^{ii}	f^i	$w\left(\frac{d^2}{dt^2}\right)$	if	$J\sigma$	f^{iv}	f^{iii}	f^{ii}	f^i	$w\left(\frac{d^3}{dt^3}\right)$	if	$J\dot{f}$	f^i
1871 Aug. 24					6"21	-12'41"08	-12'44"8					+1"288	-6'8"982	+6'9"6					+0"053	-5"386	-5"4	
Oct. 3					6"10	-12'41"049	-12'51"0					-0"036	+6'10"2-0	+6'10"9					+0"03	-5"436	-5"4	
Nov. 12					5"60	-12'54"056	-12'56"9					-0"088	+6'11"522	+6'12"1					+0"023	-5"436	-5"4	
Dec. 22					4"26	-12'59"663	-13'2"1					-0"073	+6'12"639	+6'13"1					+0"011	-5"469	-5"4	
1872 Jan. 31					3"443	-13'4"389	-13'6"2					-0"053	+6'13"533	+6'13"9					+0"003	-5"510	-5"4	
Marz 11					1"25	-13'6"832	-13'8"9					-0"002	+6'14"131	+6'14"3					0"000	-5"513	-5"4	
April 20					0"225	-13'6"80	-13'9"2					+0"008	+6'14"380	+6'14"3					+0"001	-5"513	-5"4	
Mai 30					2"466	-13'9"382	-13'9"2					-0"047	+6'14"258	+6'14"0					+0"008	-5"514	-5"4	
Jul. 9					4"82	-13'6"916	-13'8"3					+0"084	+6'15"5	+6'15"5					+0"020	-5"522	-5"4	
Aug. 18					11"346	-13'2"089	-12'58"2					+0"121	+6'12"9-2	+6'12"5					+0"036	-5"532	-5"4	
Sept. 27					12"9-1	-12'54"910	-12'50"4					+0"143	+6'11"959	+6'11"4					+0"055	-5"538	-5"4	
Nov. 6					15"106	-12'45"321	-12'40"0					+0"156	+6'10"95	+6'10"2					+0"076	-5"563	-5"4	
Dec. 16					16"6-5	-11'51"006	-12'2"08					-0"063	+6'9"583	+6'9"2					+0"094	-5"566	-5"4	
1873 Jan. 25					10"6-5	-11'51"006	-11'43"9					+0"281	+6'8"50	+6'8"4					+0"104	-5"566	-5"4	
Marz 6					10"6-5	-11'51"006	-11'59"4					-0"063	+6'8"156	+6'8"0					+0"102	-5"566	-5"4	
April 15					10"6-5	-11'51"006	-11'43"9					+0"281	+6'8"50	+6'8"4					+0"081	-5"566	-5"4	
Mai 25					10"6-5	-11'51"006	-11'2"06					-0"063	+6'8"156	+6'8"0					+0"032	-5"566	-5"4	
Jul. 4					10"6-5	-11'51"006	-11'10"4					+0"581	+6'8"193	+6'8"1					+0"049	-5"566	-5"4	
Aug. 13					10"6-5	-11'51"006	-10'51"2					-0"063	+6'8"156	+6'8"0					+0"104	-5"566	-5"4	
Sept. 22					10"6-5	-11'51"006	-10'30"3					+0"281	+6'8"156	+6'8"4					+0"032	-5"566	-5"4	
Nov. 1					10"6-5	-11'51"006	-10'14"2					-0"063	+6'8"156	+6'8"0					+0"049	-5"566	-5"4	
Dec. 11					10"6-5	-11'51"006	-9'53"3					+0"281	+6'8"156	+6'8"4					+0"032	-5"566	-5"4	
1874 Jan. 20					10"6-5	-11'51"006	-8'54"5					-0"063	+6'8"156	+6'8"0					+0"049	-5"566	-5"4	
Marz 1					10"6-5	-11'51"006	-8'12"8					+0"281	+6'8"156	+6'8"4					+0"032	-5"566	-5"4	
April 10					10"6-5	-11'51"006	-7'53"3					-0"063	+6'8"156	+6'8"0					+0"049	-5"566	-5"4	
Mai 20					10"6-5	-11'51"006	-7'12"8					+0"281	+6'8"156	+6'8"4					+0"032	-5"566	-5"4	
Jun. 29					10"6-5	-11'51"006	-6'11"0					-0"063	+6'8"156	+6'8"0					+0"049	-5"566	-5"4	
Aug. 8					10"6-5	-11'51"006	-5'4"3					+0"281	+6'8"156	+6'8"4					+0"032	-5"566	-5"4	
Sept. 17					10"6-5	-11'51"006	-4'59"007					-0"063	+6'8"156	+6'8"0					+0"049	-5"566	-5"4	
Oct. 27					10"6-5	-11'51"006	-3'54"9					+0"281	+6'8"156	+6'8"4					+0"032	-5"566	-5"4	
Dec. 6					10"6-5	-11'51"006	-2'45"1					-0"063	+6'8"156	+6'8"0					+0"049	-5"566	-5"4	
1875 Jan. 15					10"6-5	-11'51"006	-1'3"284					+0"281	+6'8"156	+6'8"4					+0"032	-5"566	-5"4	
Febr. 24					10"6-5	-11'51"006	0"192					-0"063	+6'8"156	+6'8"0					+0"049	-5"566	-5"4	

D. Allgemeine Uebersicht der Methoden zur strengen Berechnung der speciellen Störungen.

Ueberblickt man die für jede der drei vorangehend entwickelten Methoden nöthigen numerischen Operationen so wird man leicht wahrnehmen, dass die Encke'sche Methode am wenigsten Arbeit bedingt; etwas mehr Mühe erfordert die Hansen-Pietjen'sche Methode, die meiste Arbeit verursacht die Methode der Variation der Constanten, ohne dass übrigens dieser Arbeitszuwachs ein allzu bedeutender zu nennen ist. Diese Bemerkungen verlieren jedoch ihre Gültigkeit, wenn die Störungsrechnungen durch längere Zeit fortgesetzt werden und die Störungen anzuwachsen beginnen; dann drehen sich die Verhältnisse völlig um; bei Encke's Methode wird zuerst die Nothwendigkeit auftreten, auf osculirende Elemente überzugehen, und diese Arbeit ist als eine nicht ganz geringe anzusehen, um so mehr, da beif. Beginn der Rechnung an der neuen Osculationsepoche die Integration von Neuem zu beginnen ist. Bei Hansen-Pietjen's Methode kann dieser Uebergang sehr lange hinausgeschoben werden, doch wird derselbe endlich nöthig; denn, wenn die Störungen sehr bedeutend anwachsen, so wird der Gang der zu ermittelnden Differentialquotienten ein sehr unregelmässiger; die Principien der mechanischen Quadratur fordern aber, dass sich die vorgelegte Function innerhalb der Störungsintervalle nach Potenzen der Argumente entwickeln lässt, dass also die Differenzwerthe an Grösse verhältnissmässig rasch abnehmen. Man sieht, wenn man dieses Erforderniss zusammenhält mit der Thatsache, dass bei der Bestimmung der Coordinatenstörungen selbst bei mässigen Störungen endlich stets der Zeitpunkt eintritt wo der Gang der Differenzen ein sehr unregelmässiger wird, dass die Methode der Variation der Constanten sich den Forderungen der mechanischen Quadratur am besten anschliesst. Ich stehe daher nicht an, zu behaupten, dass, wenn es sich darum handelt, für ein sehr langes Zeitintervall die Störungen zu bestimmen, man das genaueste und sicherste Resultat nach dieser Methode erhalten wird, denn der sonst als das radikalste Mittel empfohlene Uebergang auf osculirende Elemente ist ein Nothbehelf, der leicht so viel Mehrarbeit verursacht, als durch die frühere kürzere Rechnung gewonnen wurde; andererseits kann die Discontinuität in der Rechnung leicht die Quelle eines Rechnungsfehlers werden, während bei der Variation der Constanten der regelmässige Gang der Differenzwerthe für immer vor constanten Fehlern schützen wird. Beachtet man überdies, da wohl kaum ein Rechner behaupten darf, dass er niemals fehle, dass die Ausmerzung der Fehler bei der Methode der Coordinatenstörungen viel schwieriger ist, indem kleine, das Resultat merkbar schädigende Fehler erst nach einigen Intervallen entdeckt werden und ein grosser Theil der Rechnung von der Stelle des Fehlers an corrigirt werden muss, so wird man sich wohl der von mir auf Grundlage vielfältiger Erfahrungen aufgestellten Behauptung anschliessen, dass die Variation der Constanten in der numerischen Anwendung ebenso, wie in der Analyse

ihren Vorrang behauptet. Nur in jenen Fällen, wo die Bahnen sehr excentrisch sind, wird die Folge des Umstandes, dass die Constanten bei verhältnissmässig geringen Störungen starke Variationen erfahren, die Hansen-Tietjen'sche Methode den Vorrang behaupten.

Hat man aber die Störungen nur für einen sehr beschränkten Zeitraum zu ermitteln, etwa für die Erscheinung eines Kometen oder für einen Planeten für die Zeit einer Opposition, dann wird Encke's Methode unstreitig den Vorzug verdienen. Als ein Vortheil der Methode der Coordinatenstörungen muss auch die Bequemlichkeit betrachtet werden, mit welcher die Störungen an die ungestörten Coordinaten angebracht werden können.

Bei den kleinen Planeten wird man in der Regel zuerst mit sehr rohen Elementen die Störungsrechnung beginnen können; es wird daher wohl stets nothwendig werden, dieser genäherten Störungsrechnung eine zweite nachfolgen zu lassen, die aber auf den Zeitpunkt zu verschieben sein wird, bis das vorhandene Beobachtungsmaterial in Verbindung mit den genäherten Störungswerthen die Ermittlung hinreichend sicherer Elemente zur Bestimmung der definitiven Störungswerthe gestattet. Zur Berechnung dieser provisorischen Störungen kann, wenn man die Variation der Constanten zur Ermittlung derselben benützt, in Anbetracht der Ungenauigkeit der zu Grunde gelegten Elemente, durch längere Zeit ein und dasselbe Elementensystem zur Auswerthung der Differentialquotienten verwendet werden, und ebenso können bei Anwendung der Methode der Coordinatenstörungen alle Glieder, die zweiter Ordnung sind, fortgelassen werden: ich lege aber auf solche Abkürzungen keinen besonderen Werth, indem nicht allzuviel Arbeit erspart wird. Will man sich aber mit Resultaten begnügen, die bloß die ersten Potenzen der Massen berücksichtigen, so wird man sich mit Vortheil der im folgenden Abschnitte auseinandergesetzten Methoden bedienen können, die den Vortheil gewähren, dass dieselben die Kürze und Genauigkeit der Coordinatenstörungen gewähren, jedoch die den letzteren anhaftenden Uebelstände, die durch die Einführung der indirecten Glieder entstehen, ganz beseitigen.

Schliesslich ist noch auf einen Umstand aufmerksam zu machen, der bei der Methode der Störungsrechnung nach der Variation der Coordinaten möglicher Weise in Betracht kommt. Es wird sich nämlich häufig genug Veranlassung finden, nachdem man längere Zeit die Störungen mit nahe richtigen Elementen fortgeführt hat, die zu Grunde gelegten Elemente nach neueren Beobachtungen zu verbessern; die Fortsetzung der Störungsrechnung wird dann offenbar an der Stelle, wo man den Wechsel in den Elementen hat eintreten lassen, einen mehr minder hervortretenden Sprung in den Differenzwerthen der Störungscomponenten zeigen, der um so auffälliger sein wird, je grösser die in den Elementen vorgenommenen Verbesserungen sind. Dieser Sprung erklärt sich einfach genug aus den vernachlässigten Producten der Incremente der Elemente in die Störungswerthe. Hierbei wird man aber die auffällige Bemerkung machen, dass eine nach der Variation der Constanten durchgeführte Rechnung diesen Sprung kaum merklich hervortreten lässt, während

bei der Variation der Coordinaten in Folge der grossen indirecten Glieder derselbe viel auffälliger hervortritt; man wird daher voraussichtlich der Wahrheit näher kommen und bessere Resultate erlangen, wenn man die Störungsrechnung nach der Variation der Coordinaten durchgeführt vorausgesetzt an der Stelle, von wo ab die Störungsrechnung mit den verbesserten Werthen der Elemente fortgeführt werden soll, auf osculirende Elemente übergeht, und hierbei zur Ermittlung der ungestörten Coordinaten und Geschwindigkeiten die der bisherigen Störungsrechnung zu Grunde gelegten Elemente benützt. Man findet so jene Incremente, welche die Störungen von der Osculationsepoche an den Elementen hinzugefügt haben, und erhält somit ein mit der Variation der Constanten identisches Resultat. Diese so bestimmten Incremente wird man an die verbesserten Ausgangselemente anbringen und mit diesen Werthen die Störungsrechnung von der neuen Osculationsepoche ab nach der Variation der Coordinaten fortsetzen.

Mit Rücksicht auf die oben gemachten Einschränkungen möchte ich als Resultat der hier gemachten Betrachtungen den Satz hinstellen, dass von den in diesem Werke entwickelten Methoden der strengen Störungsrechnung die Methode der Variation der Constanten in der Anwendung den unbedingten Vorzug verdient.

E. Ermittlung der Störungswerthe mit Rücksicht auf die ersten Potenzen derselben.

Es kann unter Umständen eine blos genäherte Kenntniss der Störungswerthe erwünscht sein, in welchem Falle man sich auf die Glieder erster Ordnung in Bezug auf die störenden Kräfte beschränken darf; da sich unter dieser Voraussetzung für die Rechnung wesentlich bequemere Vorschriften angeben lassen, als dies bei den vorstehenden Methoden möglich ist, so werde ich hier auf dieselben eingehen, um so mehr, da mir nicht bekannt ist, dass von den hier zur Entwicklung gelangenden (Laplace'schen Integrationsmethoden zur Ermittlung der speciellen Störungswerthe irgendwo Gebrauch gemacht ist. Ich werde die Methode auf die Hansen-Tietjen'sche Form der Störung der polaren Coordinaten anwenden, wodurch sich Formen ergeben werden, welche die Vortheile der Coordinatenstörungen mit jenen der Variation der Constanten verbinden, indem jede indirecte Rechnung vermieden ist, ohne dass die Glieder zweiter Ordnung, die bei der Variation der Constanten sehr bald merklich hervortreten, einen allzu nachtheiligen Einfluss äussern. Es lassen sich allerdings noch wesentlich veränderte und bequemere Integrationsmethoden angeben, auf welche ich jedoch vorerst hier nicht eingehe.

Die Differentialgleichungen, welche in der Hansen-Tietjen'schen Methode die indirecte Rechnung bedingen, haben die Form vergl. pag. 149 :

$$\frac{d^2 \xi}{dt^2} + \frac{\mu}{r^3} \xi = A . \quad 1)$$

Verbindet man diesen Ausdruck mit den beiden für die ungestörte Bewegung geltenden Differentialgleichungen 1 pag. 42 :

$$\left. \begin{aligned} \frac{d^2 x_0}{dt^2} + \frac{\mu}{r_0^3} x_0 &= 0 \\ \frac{d^2 y_0}{dt^2} + \frac{\mu}{r_0^3} y_0 &= 0 \end{aligned} \right\} \quad 2)$$

so erhält man zunächst, wenn man r_0 mit r identificirt, was gestattet ist, ohne mehr als Glieder zweiter Ordnung in Bezug auf die Massen zu vernachlässigen, weil $\frac{1}{r^3}$ mit einem Störungswerthe ξ selbst multiplicirt erscheint, durch die Elimination von $\frac{1}{r^3}$ aus der ersten Gleichung 2) und der Gleichung 1):

$$x_0 \frac{d^2 \xi}{dt^2} - \xi \frac{d^2 x_0}{dt^2} = x_0 A,$$

und ebenso aus der zweiten Gleichung in 2):

$$y_0 \frac{d^2 \xi}{dt^2} - \xi \frac{d^2 y_0}{dt^2} = y_0 A;$$

die Integration dieser Ausdrücke gibt zufolge der Relation:

$$\frac{d}{dt} \left\{ x_0 \frac{d\xi}{dt} - \xi \frac{dx_0}{dt} \right\} = x_0 \frac{d^2 \xi}{dt^2} - \xi \frac{d^2 x_0}{dt^2},$$

sofort die Formen

$$\left. \begin{aligned} x_0 \frac{d\xi}{dt} - \xi \frac{dx_0}{dt} &= \int A x_0 dt + C' \\ y_0 \frac{d\xi}{dt} - \xi \frac{dy_0}{dt} &= \int A y_0 dt + C'' \end{aligned} \right\} \quad 3)$$

Knüpft man an diese Integrale die Bedingung, dass dieselben für die Osculations-epoche der Null gleich werden, so resultirt daraus, dass die Integrations-Constanten ebenfalls der Null gleich zu setzen sind; diese Bestimmung wird in der Folge festgehalten werden. Multiplicirt man nun die erste der Gleichungen 3) mit $+y_0$, die zweite mit $-x_0$ und addirt die Resultate, so erhält man sofort:

$$\xi \left\{ x_0 \frac{dy_0}{dt} - y_0 \frac{dx_0}{dt} \right\} = y_0 \int A x_0 dt - x_0 \int A y_0 dt. \quad 4)$$

Betrachtet man als die xy -Ebene die ungestörte Bahnenebene, so ist der in der Klammer stehende Ausdruck nichts anderes, als das doppelte Sectordifferential (vergl. 1 pag. 42 und 45; man kann daher schreiben:

$$x_0 \frac{dy_0}{dt} - y_0 \frac{dx_0}{dt} = r^2 \frac{dr}{dt} = k \sqrt{p_0(1 + m)}; \quad 5)$$

vernachlässigt man, wie dies schon oben geschehen ist, die zweiten und höheren Potenzen der Massen, und lässt überall den Nullindex weg, so erhält man:

$$\xi = \frac{y}{k \sqrt{p}} \int A x dt - \frac{x}{k \sqrt{p}} \int A y dt, \quad 6)$$

in welchem Ausdrücke der Parameter und die auftretenden Coordinaten der ungestörten Bewegung entlehnt werden dürfen, ohne die gesetzte Genauigkeitsgrenze zu überschreiten.

Durch die Gleichung 6. ist demnach eine directe Integration der vorgelegten Differentialgleichung ermöglicht, welche bis auf Grössen von der zweiten Ordnung der Massen richtig ist. Man könnte das eben angezeigte Verfahren ohne allzugrosse Schwierigkeiten auf strenge Formen hinführen, doch würden in diesem Falle vielfache Complicationen auftreten, so dass die früher entwickelten strengen Störungsmethoden für die Anwendung bequemer erscheinen. Uebrigens bietet diese Methode noch die Möglichkeit, jene Correctionen der Störungswerthe zu ermitteln, die aus einer Abänderung der zu Grunde gelegten Elemente entstehen; doch gehe ich auf diese Entwicklungen hier nicht näher ein.

Bei der Gleichung 6. wurde vorerst über die Wahl des Coordinatensystemes für x und y nichts weiter festgesetzt, ausser dass die xy -Ebene mit der ungestörten Bahnebene zusammenfällt, was durch die Einführung der Gleichung 5) geschah. Legt man die positive x -Achse in das Perihel, so wird

$$\begin{aligned}x &= r \cos v \\y &= r \sin v ;\end{aligned}$$

da aber bei der gewöhnlich üblichen Einheit in r durch die Multiplication mit x und y bei der Anwendung dieser Methode auf die kleinen Planeten eine Vergrösserung der numerischen Werthe eintreten würde, so setze ich:

$$\begin{aligned}x &= \cos E - e \\y &= \sin E \cos q ,\end{aligned}$$

wo E die excentrische Anomalie vorstellt, also die Grösse a die halbe grosse Achse als Einheit eingeführt erscheint; die hier auftretenden Grössen sind übrigens durch die vorbereitenden Rechnungen bereits bekannt.

Das Resultat der bisherigen Untersuchungen lässt sich also dahin aussprechen, dass ein bis auf Grössen zweiter Ordnung richtiger Werth aus der Integration der Differentialgleichung 1. hervorgeht durch:

$$\xi = \frac{a^2}{kVp} \left\{ \sin E \cos q \int A (\cos E - e) dt - (\cos E - e) \int A \sin E \cos q dt \right\} . \quad 7$$

Es soll nun diese Form, die einer sehr allgemeinen Anwendung fähig ist, für die Hansen-Tietjen'sche Wahl der polaren Coordinaten verwendet werden. Die Anwendung der ursprünglichen Hansen'schen Form wäre zwar in diesem Falle zweckmässiger, doch wird es unter der Voraussetzung, dass einer nach der vorliegenden Methode geführten vorläufigen Störungsrechnung seiner Zeit eine strenge Berechnung der Störungen etwa nach der Hansen-Tietjen'schen Methode nachfolgen soll, angemessener und bequemer sein, diese Form bereits in Rechnung gezogen zu haben.

Nimmt man nur auf die ersten Potenzen der Massen Rücksicht, so lassen sich die bei der Entwicklung der Hansen-Tietjen'schen Methode gegebenen Differentialgleichungen pag. 148 in der Form schreiben:

$$\left. \begin{aligned} \frac{d^3 r}{dt^3} + \frac{k^2 r}{r^3} &= \sum (R - w_1) + 2 \frac{h^2 \mu}{r^4} \int \sum (U) dt \\ \frac{d \mathcal{M}}{dt} &= - 2 \mu r \\ \frac{d^3 z}{dt^3} + \frac{k^2 z}{r^3} &= \sum (W_1) \\ \frac{d \mathcal{M}}{dt} &= \frac{1}{r^2} \int \sum (U) dt, \end{aligned} \right\} \quad 8j)$$

wobei die Bedeutung der in diesen Formeln vorkommenden Grössen leicht aus den dortigen Entwicklungen klar gelegt werden kann. In diesen Ausdrücken wollen wir einige unwesentliche Abänderungen vornehmen, um die Anwendung des Integrals 7 zu erleichtern; dadurch werden die Buchstaben in den obigen Formeln eine etwas geänderte Bedeutung gegen früher erlangen. Setzt man nämlich, um nicht nachträglich die Multiplication mit a^2 ausführen zu müssen:

$$z = \frac{a^2}{1/p} m_1 w k \cdot 10^7$$

und

$$\begin{aligned} U &= z K r \iota_1' \\ R &= z \left\{ \frac{K \xi'}{r} - \frac{1}{q^3} \right\} \\ W &= z K \zeta' \end{aligned}$$

welche Grössen für jeden einzelnen störenden Planeten gerechnet werden müssen, und bezeichnet durch ein vorgesetztes Summenzeichen die Summen der so ermittelten störenden Kräfte für die verschiedenen in Betracht gezogenen Planeten, so wird man zunächst in den Formeln 8j zu setzen haben:

$$\left. \begin{aligned} U &= \int \sum (U) dt \\ R &= \sum (R) + \frac{2 w k \frac{1}{p}}{r^4} \int U \end{aligned} \right\} \quad 9$$

und die erforderlichen einfachen Integrale sind dann:

$$\left. \begin{aligned} Z_s &= \int \sum (W \{ \cos E - e \} dt \\ Z_c &= \int \sum (W) \sin E \cos q dt \\ N_s &= \int \sum (R \{ \cos E - e \} dt \\ N_c &= \int \sum (R \sin E \cos q dt \end{aligned} \right\} \quad 10$$

sobald diese mit Hilfe der mechanischen Quadratur ermittelt sind, ergeben sich die Integrale der in 8 auftretenden Störungsgrössen durch die Ausdrücke:

$$\left. \begin{aligned} r &= N_s \sin E \cos q - N_c \cos E - e \\ \mathcal{M} &= - \frac{2 w \mu}{10^7} \int r dt \end{aligned} \right\} \quad 11$$

$$\left. \begin{aligned} t \omega &= \frac{u k \cdot 1}{a^2 10^7 \sin 1''} \int \frac{1}{r^2} dt \\ z &= Z_s \sin E \cos q - Z_c \cos E - e \end{aligned} \right\} \quad \text{II}$$

wobei zu beachten ist, dass die drei letzten Integrale aus den einfach summirten Werthen nur für jene bestimmten Zeitepochen berechnet zu werden brauchen, für welche deren Kenntniss, etwa zum Zwecke des Vergleichens der Rechnung mit den Beobachtungen, erforderlich ist.

Wie man sieht, ist jede indirecte Rechnung vermieden, und man ist in der Lage, die Störungsrechnung durchaus ephemeridenartig für das ganze vorgelegte Zeitintervall zu erledigen, und so alle in der Rechnung auftretenden und im weiteren Verlaufe derselben nöthigen Grössen vor ihrer Verwendung durch Bildung der Differenzwerthe streng auf ihre Richtigkeit prüfen zu können.

Vergleicht man die nöthigen Rechnungsoperationen bei den strengen Methoden mit den hier erforderlichen, so wird man eine sehr wesentliche Abkürzung nicht wahrnehmen, doch verursacht die zuletzt erwähnte Anlage und Durchführung der Rechnung eine solche Erleichterung bei der thatsächlichen Anwendung, dass über die Vortheile der eben entwickelten Methode kein Zweifel bestehen kann.

Trägt man nun alle für die Rechnung nöthigen Formeln zusammen, so wird man zunächst die gegenseitige Bahnlage des gestörten und des störenden Planeten zu berechnen haben nach:

$$\left. \begin{aligned} \sin \frac{1}{2} J \sin \frac{1}{2} (\Phi + \Phi') &= \sin \frac{1}{2} (\varrho' - \varrho) \sin \frac{1}{2} (i' + i) \\ \sin \frac{1}{2} J \cos \frac{1}{2} (\Phi + \Phi') &= \cos \frac{1}{2} (\varrho' - \varrho) \sin \frac{1}{2} (i' - i) \\ \cos \frac{1}{2} J \sin \frac{1}{2} (\Phi - \Phi') &= \sin \frac{1}{2} (\varrho' - \varrho) \cos \frac{1}{2} (i' + i) \\ \cos \frac{1}{2} J \cos \frac{1}{2} (\Phi - \Phi') &= \cos \frac{1}{2} (\varrho' - \varrho) \cos \frac{1}{2} (i' - i) \end{aligned} \right\} \quad \text{I}$$

Ich finde so, indem ich für Erato die bei den vorhergehenden Störungsrechnungen (pag. 173) benützten Elemente verwende und für Jupiter und Saturn annehme:

$$\begin{aligned} \varrho'_A &= 99^\circ 0' 36'' & \varrho'_B &= 112^\circ 31' 36'' \\ i'_A &= 1^\circ 18' 46'' & i'_B &= 2^\circ 12' 24'' \end{aligned}$$

nach I:

$$\begin{aligned} J_A &= 1^\circ 11' 30'' & J_B &= 0^\circ 36' 22'' \\ \varrho' + \Phi'_A &= 335^\circ 17' 50'' & \varrho' + \Phi'_B &= 56^\circ 25' 26'' \\ \Phi - \omega_A &= -63^\circ 8' 48'' & \Phi - \omega_B &= 17^\circ 58' 48'' \end{aligned}$$

Ist L' die aus den astronomischen Ephemeriden zu entnehmende Länge in der Bahn, so wird für jeden störenden Planeten zu setzen sein:

$$\left. \begin{aligned} u' &= L' - \varrho' + \Phi' \\ \tan u &= \tan u' \cos J \\ \sin B_1 &= \sin u' \sin J \\ L_1' &= u + \Phi - \omega \end{aligned} \right\} \quad \text{II}$$

Im vorliegenden Falle wurde aber von der Kleinheit der Neigung Vorthail gezogen, indem unmittelbar u aus u' abgeleitet wurde (vergl. pag. 160) mittelst der Formel:

$$u = u' - \frac{\tan \frac{1}{2} J^2}{\sin i''} \sin 2 u'$$

welche Rechnung durch eine kleine Tafel, die mit dem Argumente u' den Correctionswerth gab, erleichtert wurde.

Die ungestörten wahren Anomalien und Radienvectoren für Erato wurden der Rechnung entlehnt, welche bei der Encke'schen Methode als Beispiel gedient hat, und ebenso die Logarithmen der Grössen $(\cos E - e)$ und $\sin E \cos q$; dieselben stehen auf dem mit 62) bezeichneten Bogen pag. 266 ff. .

Man hat nun für jeden einzelnen störenden Planeten, indem dessen Radius-vector r_1 aus den Ephemeriden entlehnt wird, weiter zu berechnen:

$$\left. \begin{aligned} q \cos \vartheta \cos \Theta &= r_1 \cos B_1 \cos (L'_1 - v) - r = \xi' - r \\ q \cos \vartheta \sin \Theta &= r_1 \cos B_1 \sin (L'_1 - v) &= \eta' \\ q \sin \vartheta &= r_1 \sin B_1 &= \zeta' \\ \frac{1}{q^3} - \frac{1}{r_1^3} &= K \\ wk \cdot 10^7 m_1 \frac{a^2}{1 p} &= z \\ \log wk \cdot 10^7 m_1 &= 3.81733 \quad \left. \begin{array}{l} \text{40 tägiges} \\ \text{Intervall.} \end{array} \right\} \\ \log wk \cdot 10^7 m_6 &= 3.2934 \quad \left. \begin{array}{l} \text{40 tägiges} \\ \text{Intervall.} \end{array} \right\} \\ U &= z K r_1' \\ R &= \frac{z K \xi'}{r} - \frac{z}{q^3} \\ W &= z K \zeta'' \end{aligned} \right\} \text{III)}$$

Dann bildet man:

$$\left. \begin{aligned} \Sigma U &= U_1 + U_6 + \dots \\ \Sigma R &= R_1 + R_6 + \dots \\ \Sigma W &= W_1 + W_6 + \dots \end{aligned} \right\} \text{IV}$$

Die hierfür nöthigen Rechnungen habe ich im Umfange der früher ausgeführten Beispiele berechnet und für Jupiter durchaus fünfstellig durchgeführt, um später (pag. 264) die Fehler der Methode mit Sicherheit nachweisen zu können; sonst würde im Allgemeinen eine vierstellige Rechnung genügen. Die Rechnung selbst ist auf dem mit 9) und 1) bezeichneten Bogen pag. 268 ff. durchgeführt, und zwar steht oben die Rechnung für Jupiter, unten jene für Saturn.

Nun schreitet man zur Bildung des Integrales von ΣU ; man wird für dieses und die folgenden Integrale nach der mechanischen Quadratur die oben entwickelten Formeln (pag. 35) anzuwenden haben, und zwar:

Für die Bildung der Anfangsconstanten hat man die Formel:

$$f'(a - \frac{1}{2}w) = -\frac{1}{24}f''(a - \frac{1}{2}w) + \frac{17}{5760}f'''(a - \frac{1}{2}w) - \dots$$

Für die Bildung des Integrales die Formel:

$$\int_a^{a+iw} f(x) dx = f(a+iw) - \frac{1}{12}f''(a+iw) + \frac{11}{720}f'''(a+iw) - \dots$$

V

In dem letzteren Ausdrucke sind die angesetzten Functionswerte arithmetische Mittel. Ausserdem bildet man die Integrale Z_s und Z_e ; man hat also:

$$\begin{aligned} (U) &= \int \Sigma U dt \\ Z_s &= \int \Sigma W (\cos E - e) dt \\ Z_e &= \int \Sigma (W) \sin E \cos q dt \\ z &= Z_s \sin E \cos q - Z_e (\cos E - e) \end{aligned}$$

VI

Hat man diese Integralwerthe für die Epochen der Rechnung mittelst der Formeln V) hergestellt, so hat die Bildung der folgenden Grössen keine Schwierigkeit:

$$\begin{aligned} (R) &= \Sigma (R + \frac{2wk}{r^4} \frac{1}{r} (U)) \\ \log 2 (wk) &= 0.13867 \text{ (40tägiges Intervall)} \\ \mathcal{M} &= \frac{wk}{a^2 10^7 \sin^2 i} \int \frac{1}{r^2} (U) dt \\ N_s &= \int (R) (\cos E - e) dt \\ N_e &= \int (R) \sin E \cos q dt \end{aligned}$$

VII

Aus diesen letzteren Grössen, welche ebenfalls ohne Schwierigkeit nach V) hergestellt werden können, bildet man schliesslich:

$$\begin{aligned} v &= N_s \sin E \cos q - N_e (\cos E - e) \\ \mathcal{M} &= -\frac{2w}{10^7} \int v dt \\ \log \left\{ -\frac{2w}{10^7} \right\} &= 4.90309 \text{ (40tägiges Intervall)} \end{aligned}$$

VIII

Die in VII) und VIII) auftretenden constanten Factoren der Integrale wird man bei der Rechnung sogleich unter das Integralzeichen bringen und beachten, dass die in den Formelsystemen VI, VII und VIII mit \int bezeichneten Integrale aus den summirten Reihen nur an jenen Stellen abzuleiten sind, wo die Kenntniss der Störungswerthe aus anderen Gründen nöthig ist.

Nach diesen Bemerkungen wird das nachfolgende Beispiel wohl leicht verständlich sein. Ich habe das Resultat dieser genäherten Störungsrechnung mit den früher streng ermittelten Werthen von 120 zu 120 Tagen verglichen und erhalte

die nachstehenden Unterschiede im Sinne: strenge — genäherte Rechnung; es sind also die aus der Vernachlässigung der höheren Potenzen entstehenden Correctionen angesetzt, wobei die Fehler von z und r in Einheiten der siebenten Stelle verstanden werden:

		dz	dr	dLM	$d\omega$
1875	Febr. 24	0	0	0''0	0''0
1874	Octbr. 27	0	0	0.0	0.0
1874	Juni 29	0	0	0.0	0.0
1874	März 1	0	+ 2	0.0	0.0
1873	Nov. 1	0	+ 13	— 0.2	+ 0.1
1873	Juli 4	— 1	+ 32	— 0.8	+ 0.5
1873	März 6	— 3	+ 66	— 2.5	+ 1.4
1872	Nov. 6	— 10	+ 137	— 5.0	+ 2.7
1872	Juli 9	— 19	+ 257	— 7.1	+ 4.5
1872	März 11	— 31	+ 390	— 6.5	+ 6.6
1871	Nov. 12	— 38	+ 415	— 2.7	+ 8.7
1870	Juli 15	— 36	+ 259	+ 2.1	+ 10.5

Betrachtet man die in der vorstehenden Zusammenstellung enthaltenen Werthe, so wird man den hohen Grad der Annäherung, der durch das eben entwickelte Verfahren erreicht wurde, sofort erkennen. In dem vorgelegten Beispiele sind mit Absicht sehr ungünstige Verhältnisse gewählt worden: Jupiternähe; in der Regel werden sich die Annäherungen noch weit günstiger gestalten. Ausserdem ist die Rechnung weiter fortgeführt worden, als man dies in ähnlichen Fällen thun wird, was bei der ausserordentlichen Grösse der Störungen Encke's strenge Methode wird am Schlusse kaum mehr mit Sicherheit anwendbar, bedeutende Differenzen hervorbringen muss; man wird von dieser Methode in der Regel Gebrauch machen, wenn etwa nicht mehr als drei oder vier Oppositionen zur Bahnbestimmung vorliegen; legt man dann die Osculationsepoche nahe in die Mitte, so werden selbst bei noch ungünstigeren Verhältnissen, als sie im vorliegenden Beispiele auftreten, die obigen Formeln nahezu strenge Werthe liefern. Bestimmt man nun mit Hilfe dieser genäherten Störungswerthe die Elemente nach den vorhandenen Beobachtungen, so wird man vom Zeitpunkte der gewählten Osculationsepoche an, nach einer der oben entwickelten Methoden die strengen Störungswerthe neu zu berechnen haben. Die Ermittlung der Störungen von der Osculationsepoche nach rückwärts wird wohl in der Regel unterbleiben können, da meist in den hier in Betracht kommenden Fällen eine Rückrechnung auf entferntere Epochen nicht nöthig sein wird und für den naheliegenden Zeitraum die vorhandenen Näherungswerthe selbst strengen Anforderungen genügen werden.

Schliesslich mache ich darauf aufmerksam, dass ich im LXII. Bande (November-Heft) der Sitzungsberichte der kais. Academie der Wissenschaften zu Wien eine

Methode der Störungsrechnung publicirt habe, die ebenfalls nur die ersten Potenzen der Massen berücksichtigt und ganz ausserordentliche Vortheile und Abkürzungen liefert, wenn es sich darum handelt, die Störungwerthe für mehrre Revolutionen eines periodischen Kometen zu berechnen. Da aber diese Forderung selten eintreten wird, so gehe ich hier nicht näher auf diese Methode ein und begnüge mich mit dem eben angeführten Hinweis.

62₁

Datum	1875		1874					
	Febr. 24	Jan. 15	Dec. 6	Oct. 27	Sept. 17	Aug. 8	Juni 29	Mai 20
r	188" 8' 16"	183" 2' 2"	177" 56' 23"	172" 50' 20"	167" 42' 51"	162" 32' 54"	157" 19' 26"	152" 1' 21"
r	0.56402	0.56481	0.56488	0.56423	0.56285	0.56076	0.55795	0.55442
$\cos E - e$	0.06415	0.06872	0.06912	0.06535	0.05731	0.04482	0.02753	0.00496
$\sin E \cos q$	9.21947	8.79299	8.62511	9.16448	9.39533	9.54226	9.64852	9.73023
ΔH	— 162.9	— 180.0	— 196.7	— 211.8	— 223.9	— 231.5	— 232.4	— 225.2
$\log \Delta H$	2.21192	2.25527	2.29380	2.32593	2.35005	2.36455	2.36624	2.35257
$2. w k \sqrt{p} \sqrt{U}$	4.77666	4.31281	4.32372	4.80867	5.03454	5.18003	5.28286	5.35697
r^4	2.25608	2.25924	2.25952	2.25692	2.25140	2.24304	2.23180	2.21768
$\Delta \Sigma R$	— 331.6	— 113.1	+ 115.9	+ 356.2	+ 606.9	+ 864.9	+ 1124.8	+ 1378.1
ΣR	+ 467.8	+ 627.0	+ 812.9	+ 1026.3	+ 1265.0	+ 1521.8	+ 1782.6	+ 2025.8
$\log R$	2.13418	2.71088	2.96792	3.14067	3.27229	3.37780	3.46351	3.53198
$w k \sqrt{p} \sqrt{U}$	1.79910	1.33525	1.34616	1.83111	2.05698	2.20247	2.30530	2.37941
$\frac{10^7}{a^2} r^2$	1.12804	1.12962	1.12996	1.12846	1.12570	1.12152	1.11590	1.10884
N_s	1.64444	1.02119	0.84510	2.07737	2.64777	3.03523	3.33047	3.56790
N_s	2.86617	2.55654	2.68305	3.26203	3.56819	3.78491	3.95293	4.08828
$-v_2$	+ 51	+ 12	+ 8	+ 139	+ 507	+ 1202	+ 2280	+ 3740
$+v_1$	+ 122	+ 22	+ 20	+ 267	+ 919	+ 2124	+ 3994	+ 6584
$\log v$	1.85126	1.00000	1.07918	2.10721	2.61490	2.96473	3.23401	3.45393

62₂

Datum	1874			1873				
	April 10	März 1	Jan. 20	Dec. 11	Nov. 1	Sept. 22	Aug. 13	Juli 4
r	146" 3' 30"	141" 6' 43"	135" 27' 43"	129" 39' 11"	123" 39' 43"	117" 27' 49"	111" 1' 59"	104" 20' 37"
r	0.55016	0.54520	0.53952	0.53315	0.52611	0.51842	0.51013	0.50129
$\cos E - e$	0.067642	0.064091	0.060700	0.0584259	0.057437	0.056882	0.056663	0.056980
$\sin E \cos q$	9.79514	9.84754	9.89000	9.92412	9.95092	9.97101	9.98470	9.99205
ΔH	— 208.9	— 183.9	— 152.2	— 117.0	— 82.4	— 51.6	— 26.6	— 8.1
$\log \Delta H$	2.31994	2.26458	2.18241	2.06819	1.91593	1.71265	1.42488	0.90849
$2. w k \sqrt{p} \sqrt{U}$	5.40871	5.44142	5.45719	5.45770	5.44467	5.41996	5.38560	5.34375
r^4	2.20064	2.18080	2.15808	2.13260	2.10444	2.07368	2.04052	2.00516
$\Delta \Sigma R$	+ 1614.6	+ 1822.3	+ 1991.2	+ 2114.0	+ 2188.9	+ 2219.6	+ 2213.5	+ 2180.6
ΣR	+ 2222.7	+ 2343.8	+ 2365.9	+ 2280.6	+ 2096.5	+ 1839.2	+ 1540.3	+ 1230.6
$\log R$	3.58402	3.61973	3.63920	3.64292	3.63199	3.60840	3.57447	3.53291
$w k \sqrt{p} \sqrt{U}$	2.43115	2.46386	2.47963	2.48014	2.46711	2.44240	2.40804	2.36619
$\frac{10^7}{a^2} r^2$	1.10032	1.09040	1.07904	1.06630	1.05222	1.03684	1.02026	1.00258
N_s	3.76408	3.92825	4.06611	4.18167	4.27801	4.35779	4.42346	4.47721
N_s	4.19886	4.28912	4.36197	4.41952	4.46367	4.49623	4.51893	4.53341
$-v_2$	+ 5502	+ 7399	+ 9186	+ 10575	+ 11282	+ 11082	+ 9842	+ 7534
$+v_1$	+ 9863	+ 13698	+ 17864	+ 22062	+ 25977	+ 29325	+ 31888	+ 33532
$\log v$	3.63959	3.79927	3.93742	4.06021	4.16717	4.26109	4.34333	4.41494

(62)₃

1873				1872				
Mai 25	April 15	März 6	Jan. 25	Dec. 16	Nov. 6	Sept. 27	Aug. 18	Juli 9
97°22' 5"	90° 4' 52"	82°27' 29"	74°28' 44"	66° 7' 44"	57°24' 10"	48°18' 27"	38°51' 54"	29° 6' 56"
0.49198	0.48232	0.47244	0.46251	0.45276	0.44342	0.43480	0.42720	0.42094
9.10454	7.13793	9.09506	9.39451	9.56439	9.67931	9.76223	9.82305	9.86680
9.99290	9.98684	9.97319	9.95090	9.91844	9.87350	9.81248	9.72933	9.61261
+ 4.5	+ 11.9	+ 15.7	+ 16.7	+ 16.0	+ 14.2	+ 11.8	+ 8.9	+ 6.1
0.65321	1.07559	1.19590	1.22272	1.20412	1.15229	1.07188	0.94939	0.78533
5.29656	5.24616	5.19464	5.14402	5.09623	5.05313	5.01627	4.98685	4.96561
1.96792	1.92928	1.88976	1.85004	1.81104	1.77368	1.73920	1.70880	1.68376
+ 2131.3	+ 2074.3	+ 2017.8	+ 1967.8	+ 1928.4	+ 1903.0	+ 1862.7	+ 1866.9	+ 1913.6
+ 933.4	+ 664.1	+ 429.8	+ 233.2	+ 73.7	— 51.2	— 143.9	— 207.6	— 244.7
3.48639	3.43749	3.38874	3.34262	3.30148	3.26759	3.24274	3.22771	3.22243
2.31900	2.26860	2.21708	2.16646	2.11867	2.07557	2.03871	2.00929	1.98805
0.98396	0.96464	0.94488	0.92502	0.90552	0.88684	0.86960	0.85440	0.84188
4.52103	4.55664	4.58553	4.60892	4.62785	4.64312	4.65537	4.66505	4.67245
4.54117	4.54354	4.54160	4.53619	4.52998	4.51739	4.50468	4.48991	4.47305
+ 4222	+ 49	— 4793	— 10079	— 15568	— 21010	— 26158	— 30768	— 34614
+ 34203	+ 33914	+ 32718	+ 30696	+ 27952	+ 24597	+ 20757	+ 16567	+ 12180
4.47685	4.52975	4.57416	4.61039	4.63869	4.65903	4.67131	4.67518	4.67019

(62)₄

1872				1871				
Mai 30	April 20	März 11	Jan. 31	Dec. 22	Nov. 12	Oct.	Aug. 24	Juli 15
19° 7' 3"	8°56' 48"	358°41' 53"	348°27' 3"	338°18' 58"	328°22' 29"	318°41' 55"	309°20' 29"	300°20' 20"
0.41631	0.41354	0.41277	0.41406	0.41732	0.42239	0.42902	0.43691	0.44574
9.89620	9.91274	9.91718	9.90970	9.88997	9.85710	9.80933	9.74348	9.65365
9.43605	9.10984	8.27553	9.22006	9.48944	9.64655	9.775310	9.82983	9.88630
+ 3.3	+ 0.5	— 2.0	— 4.5	— 6.8	— 9.0	— 11.0	— 12.8	— 14.5
0.51851	9.69897	0.30103	0.65321	0.83251	0.95424	1.04139	1.10721	1.16137
4.95263	4.94746	4.94923	4.95679	4.96886	4.98423	5.00186	5.02082	5.04044
1.66524	1.65416	1.65108	1.65624	1.66928	1.68956	1.71608	1.74764	1.78296
+ 1938.2	+ 1964.7	+ 1986.8	+ 1997.8	+ 1993.3	+ 1970.9	+ 1931.0	+ 1875.8	+ 1809.2
— 258.5	— 252.2	— 229.6	— 194.9	— 151.8	— 104.2	— 55.3	— 7.7	+ 37.4
3.22523	3.23363	3.24482	3.25598	3.26517	3.27107	3.27316	3.27141	3.26637
1.97507	1.96990	1.97167	1.97923	1.99130	2.00667	2.02430	2.04326	2.06288
0.83262	0.82708	0.82554	0.82812	0.83464	0.84478	0.85804	0.87382	0.89148
4.67770	4.68080	4.68165	4.68015	4.67620	4.66976	4.66086	4.64967	4.63640
4.45398	4.43265	4.40911	4.38362	4.35675	4.32934	4.30249	4.27743	4.25544
— 37488	— 39223	— 39704	— 38891	— 36827	— 33640	— 29525	— 24726	— 19501
+ 7763	+ 3487	— 484	— 4015	— 7018	— 9460	— 11366	— 12801	— 13859
4.65563	4.63053	4.59351	4.54253	4.47435	4.38346	4.25910	4.07646	3.75143

Datum	1875		1874						
	Febr. 4	Jan. 15	Dec. 6	Oct. 27	Sept. 17	Aug. 8	June 29	May 20	
u'	22°20'50"	224°28'33"	221°2'22"	218°26'15"	215°25'27"	212°23'58"	209°22'41"	206°21'16"	
Δn	22	22	22	21	21	20	19	17	
$\sin u'$	$9_n 86.761$	$9_n 84.548$	$9_n 82.089$	$9_n 79.355$	$9_n 76.379$	$9_n 72.901$	$9_n 69.070$	$9_n 64.730$	
$\sin B_1$	$8_n 18561$	$8_n 16348$	$8_n 13889$	$8_n 11155$	$8_n 08109$	$8_n 04701$	$8_n 00870$	$7_n 96530$	
r_1	0.73657	0.73673	0.73683	0.73686	0.73683	0.73675	0.73660	0.73639	
$\cos B_1$	9.99995	9.99995	9.99996	9.99996	9.99997	9.99997	9.99998	9.99998	
L_1	164°20'40"	161°19'23"	158°18'12"	155°17'6"	152°15'58"	149°14'50"	146°13'34"	143°12'11"	
$L_1 - r$	336°12'24"	338°17'21"	340°21'49"	342°26'46"	344°33'7"	346°41'56"	348°54'8"	351°10'50"	
$\cos L_1 - r$	9.96142	9.96804	9.97398	9.97929	9.98402	9.98819	9.99180	9.99483	
$r_1 \cos B_1$	0.73652	0.73668	0.73679	0.73682	0.73680	0.73672	0.73665	0.73657	
$\sin L_1 - r$	$9_n 60578$	$9_n 56811$	$9_n 52641$	$9_n 47944$	$9_n 42547$	$9_n 36186$	$9_n 28439$	$9_n 18560$	
z'	0.69794	0.70472	0.71077	0.71611	0.72082	0.72491	0.72838	0.73120	
r	0.56402	0.56481	0.56488	0.56423	0.56285	0.56076	0.55795	0.55442	
Subtr.	9.55774	9.57990	9.60123	9.62187	9.64217	9.66211	9.68176	9.70103	
$z' - r$	0.12176	0.14471	0.16611	0.18610	0.20502	0.22287	0.23971	0.25545	
r_1	$9_n 93289$	$9_n 91509$	$9_n 89265$	$9_n 86404$	$9_n 82981$	$9_n 79026$	$9_n 73421$	$9_n 65766$	
$q \cos \theta$	0.34230	0.30479	0.26320	0.21626	0.16227	0.09848	0.02097	9.92197	
r	0.40941	0.38970	0.37055	0.35222	0.33521	0.32001	0.30730	0.29779	
z'	9.99977	9.99977	9.99978	9.99979	9.99980	9.99981	9.99984	9.99986	
z'	$8_n 92218$	$8_n 90021$	$8_n 87572$	$8_n 84841$	$8_n 81792$	$8_n 78376$	$8_n 74530$	$8_n 70169$	
q^3	9.59036	9.61007	9.62923	9.64757	9.66459	9.67981	9.69354	9.70607	
q^3	8.77108	8.83021	8.88769	8.94271	8.99377	9.03943	9.07762	9.10621	
r_1^3	7.79029	7.78981	7.78951	7.78942	7.78951	7.78950	7.79020	7.79083	
Subtr.	9.95205	9.95851	9.96390	9.96836	9.97198	9.97484	9.97700	9.97847	
K	8.72313	8.78872	8.85159	8.91107	8.96575	9.01427	9.05462	9.08468	
$z' - r$	0.13392	0.13991	0.14589	0.15188	0.15797	0.16415	0.17043	0.17678	
$z K$	3.20931	3.35599	3.41877	3.47825	3.53293	3.58145	3.62180	3.65186	
$r_1^3 r$	$9_n 90632$	$9_n 86960$	$9_n 82808$	$9_n 78049$	$9_n 72512$	$9_n 65934$	$9_n 57892$	$9_n 47639$	
$z K z' r$	3.42423	3.49581	3.56466	3.63013	3.69000	3.74560	3.79223	3.82864	
$z q^3$	3.33826	3.39739	3.45487	3.50989	3.56095	3.60661	3.64480	3.67339	
Subtr.	9.34026	9.40544	9.45883	9.50377	9.54258	9.57654	9.60660	9.63318	
r	+ 477.0	+ 635.1	+ 819.8	+ 1031.9	+ 1269.2	+ 1524.6	+ 1784.0	+ 2025.7	
r	— 157.26	— 168.07	— 176.54	— 181.44	— 181.15	— 174.10	— 158.75	— 134.35	
H	— 163.1	— 180.3	— 197.0	— 212.2	— 224.3	— 231.9	— 232.9	— 225.7	
u'	260°50'8"	259°36'2"	258°21'7"	257°7'3"	255°53'0"	254°38'9"	253°24'9"	252°11'0"	
Δn	0.0	0.0	0.0	0.0	0.0	0.1	0.1	0.1	
$\sin u'$	$9_n 9944$	$9_n 9928$	$9_n 9910$	$9_n 9889$	$9_n 9867$	$9_n 9843$	$9_n 9815$	$9_n 9786$	
$\sin B_1$	$8_n 0188$	$8_n 0172$	$8_n 0154$	$8_n 0133$	$8_n 0111$	$8_n 0087$	$8_n 0059$	$8_n 0030$	
r_1	0.99950	0.99954	0.99957	0.99961	0.99964	0.99968	0.99971	0.99974	
$\cos B_1$	0.00000	0.00000	0.00000	0.00000	0.00000	0.00000	0.00000	0.00000	
L_1	278°49'6"	277°35'0"	276°20'5"	275°6'1"	273°51'8"	272°37'6"	271°23'6"	270°9'7"	
$L_1 - r$	90°41'3"	94°33'0"	98°24'1"	102°15'8"	106°7'0"	110°4'7"	114°0'4"	118°8'4"	
$\cos L_1 - r$	$9_n 0797$	$9_n 8994$	$9_n 1647$	$9_n 3272$	$9_n 4443$	$9_n 5357$	$9_n 6105$	$9_n 6736$	
$r_1 \cos B_1$	0.99950	0.99954	0.99957	0.99961	0.99964	0.99968	0.99971	0.99974	
$\sin L_1 - r$	0.00000	0.99986	9.99953	9.99900	9.9825	9.9728	9.9605	9.9454	
z'	$9_n 0747$	$9_n 8948$	$9_n 1604$	$9_n 3233$	$9_n 4407$	$9_n 5325$	$9_n 6076$	$9_n 6710$	
r	0.5640	0.5648	0.5649	0.5642	0.5628	0.5608	0.5579	0.5544	
Subtr.	0.0139	0.0841	0.1443	0.1971	0.2443	0.2871	0.3269	0.3666	
$z' - r$	$9_n 5779$	$9_n 6489$	$9_n 7092$	$9_n 7613$	$9_n 8071$	$9_n 8479$	$9_n 8845$	$9_n 9176$	
r_1	9.9703	9.9797	9.9746	9.9730	9.9788	9.9709	9.9630	9.9517	
$q \cos \theta$	0.9950	0.9940	0.9910	0.9861	0.9789	0.9696	0.9576	0.9428	
r	1.0247	1.0343	1.0434	1.0521	1.0601	1.0677	1.0746	1.0811	
z'	0.0000	0.0000	0.0000	0.0000	0.0000	0.0000	0.0000	0.0000	
z'	$9_n 0138$	$9_n 0126$	$9_n 0111$	$9_n 0094$	$9_n 0075$	$9_n 0055$	$9_n 0030$	$9_n 0004$	
q^3	8.9753	8.9657	8.9566	8.9479	8.9399	8.9323	8.9254	8.9189	
q^3	6.9259	6.8971	6.8698	6.8437	6.8197	6.7969	6.7762	6.7567	
r_1^3	7.0150	7.0139	7.0128	7.0118	7.0107	7.0097	7.0088	7.0078	
Subtr.	9.3574	9.4484	9.5010	9.5745	9.6422	9.7009	9.7503	9.7936	
K	$6_n 2833$	$6_n 2865$	$6_n 2608$	$6_n 2182$	$6_n 1519$	$6_n 05978$	$6_n 0265$	$6_n 0503$	
$z' - r$	$8_n 5107$	$9_n 3300$	$9_n 5955$	$9_n 7591$	$9_n 8779$	$9_n 9717$	$9_n 0497$	$9_n 1166$	
$z K$	$9_n 3265$	$9_n 4297$	$9_n 5040$	$9_n 5614$	$9_n 6051$	$9_n 6410$	$9_n 6697$	$9_n 6935$	
$r_1^3 r$	1.5590	1.5588	1.5559	1.5503	1.5417	1.5304	1.5155	1.4972	
$z K z' r$	8.8372	9.7597	10.9905	12.3205	13.4830	14.6127	15.7194	16.8101	
$z q^3$	9.9991	9.9903	9.9730	9.9469	9.9129	9.8701	9.8194	9.7699	
Subtr.	9.9968	9.9704	9.9266	9.8625	9.7786	9.6737	9.5432	9.3759	
r	— 9.2	— 8.1	— 6.9	— 5.6	— 4.2	— 2.8	— 1.4	— 0.1	
r	—	—	—	—	—	—	—	—	
H	+ 0.2	+ 0.3	+ 0.5	+ 0.4	+ 0.4	+ 0.4	+ 0.5	+ 0.5	

A. u. D. 2

1874			1873					
April 10	März 1	Jan. 20	Dec. 11	Nov. 1	Sept. 22	Aug. 13	Juli 4	Mai 25
203°19'39"	200°1'46"	19°41'536"	194°13'5"	191°10'9"	188°6'45"	185°2'52"	181°58'26"	178°53'24"
16	14	12	10	9	6	4	2	1
9.59768	9.54017	9.47233	9.39025	9.28714	9.14958	8.94442	8.53711	8.28717
7.91568	7.85817	7.79033	7.70825	7.60514	7.46758	7.26242	6.85511	6.60517
0.73611	0.73578	0.73539	0.73493	0.73443	0.73386	0.73325	0.73257	0.73185
9.99999	9.99999	9.99999	9.99999	0.00000	0.00000	0.00000	0.00000	0.00000
140°10'35"	13°8'44"	134°6'36"	131°4'7"	128°1'12"	124°5'51"	121°0'44"	118°49'36"	115°44'37"
353°33'5"	356°2'1"	358°38'53"	1°24'56"	4°21'26"	7°30'2"	10°52'1"	14°28'59"	18°22'32"
9.99724	9.99896	9.99988	9.99987	9.99874	9.99627	9.99214	9.98597	9.97727
0.73610	0.73577	0.73538	0.73492	0.73443	0.73386	0.73325	0.73257	0.73185
9.05042	8.83993	8.63279	8.39276	8.18805	7.91153	7.62538	7.34810	7.04864
0.73334	0.73473	0.73526	0.73479	0.73317	0.73013	0.72539	0.71854	0.70912
0.55016	0.54520	0.53652	0.53315	0.52911	0.51842	0.51013	0.50129	0.49198
9.71990	9.73810	9.75544	9.77151	9.78595	9.79810	9.80725	9.81232	9.81204
0.27006	0.28330	0.29496	0.30466	0.31206	0.31952	0.32738	0.33561	0.34402
9.97775	9.99181	9.99908	9.99904	9.99410	9.97608	9.94566	9.92223	9.88316
9.978652	9.95750	9.910817	9.12768	9.61518	9.84959	0.00863	0.13067	0.23049
0.29231	0.29149	0.29588	0.30562	0.32066	0.34044	0.36432	0.39138	0.42086
9.99999	9.99991	9.99994	9.99996	9.99998	9.99999	0.00000	0.00000	0.00000
8.65179	8.55995	8.45252	8.34438	8.23395	8.12044	7.99567	7.85878	7.73372
9.70758	9.70842	9.70406	9.69434	9.67932	9.65955	9.63568	9.60862	9.57914
9.12274	9.12526	9.11218	9.08302	9.03796	8.97865	8.90704	8.82586	8.73742
7.79167	7.79266	7.79383	7.79521	7.79671	7.79842	7.80025	7.80229	7.80445
9.97925	9.97932	9.97862	9.97702	9.97434	9.97033	9.96564	9.96078	9.95611
9.10199	9.10458	9.10908	9.10604	9.10123	8.94498	8.87168	8.78264	8.68353
0.18318	0.18953	0.19574	0.20164	0.20709	0.21171	0.21526	0.21725	0.21714
3.66917	3.67176	3.67598	3.67222	3.67948	3.68166	3.68386	3.68582	3.68701
0.33568	0.33209	0.32679	0.32083	0.31429	0.30680	0.29876	0.29019	0.28127
3.85235	3.86129	3.86572	3.86886	3.87054	3.87287	3.87412	3.87577	3.87685
3.68992	3.69244	3.69436	3.69500	3.69514	3.69483	3.69422	3.69304	3.69160
9.65663	9.65688	9.65375	9.65063	9.64717	9.64358	9.63970	9.63562	9.63125
+ 2221.0	+ 2340.6	+ 2361.1	+ 2274.2	+ 2088.6	+ 1829.8	+ 1529.4	+ 1218.4	+ 920.1
— 10136	— 6204	— 2021	+ 1941	+ 5257	+ 7659	+ 9070	+ 9589	+ 9401
— 209.4	— 184.4	— 152.7	— 117.6	— 83.0	— 52.2	— 27.2	— 8.7	+ 3.9
250°5'2	249°43'5	248°29'9	24°16'4	246°3'0	244°49'7	243°3'9	242°23'4	241°10'3
0.1	0.1	0.1	0.1	0.1	0.1	0.1	0.1	0.1
9.97956	9.9722	9.96687	9.9649	9.9609	9.9567	9.9522	9.9475	9.9421
8.0000	7.9966	7.9931	7.9893	7.9853	7.9811	7.9766	7.9719	7.9669
0.9977	0.9980	0.9983	0.9986	0.9988	0.9991	0.9993	0.9996	0.9998
0.0000	0.0000	0.0000	0.0000	0.0000	0.0000	0.0000	0.0000	0.0000
268°55'9	267°42'2	266°28'6	265°15'1	264°1'7	262°48'4	261°35'2	260°22'1	259°9'0
122°18'4	126°35'5	131°0'9	135°35'9	140°22'0	145°20'6	150°33'2	156°1'5	161°46'9
9.97279	9.97753	9.98170	9.98540	9.98866	9.99152	9.99399	9.99608	9.99777
0.9977	0.9980	0.9983	0.9986	0.9988	0.9991	0.9993	0.9996	0.9998
9.9269	9.9047	9.8777	9.8449	9.8047	9.7549	9.6916	9.6089	9.4951
0.7256	0.7233	0.72153	0.7226	0.7204	0.7143	0.70592	0.69604	0.68775
0.5502	0.5452	0.53652	0.53315	0.52911	0.51842	0.51013	0.50129	0.49198
0.2221	0.2018	0.1847	0.1700	0.1575	0.1470	0.1375	0.1295	0.1229
0.99477	0.99511	1.00000	1.00226	1.00429	1.00610	1.00767	1.00899	1.01004
9.8607	9.8827	9.9027	9.9211	9.9377	9.9527	9.9660	9.9776	9.9870
0.9246	0.9027	0.8760	0.8435	0.8035	0.7540	0.6909	0.6085	0.4949
1.0870	1.0924	1.0973	1.1015	1.1052	1.1083	1.1107	1.1123	1.1134
0.0000	0.0000	0.0000	0.0000	0.0000	0.0000	0.0000	0.0000	0.0000
8.9977	8.9946	8.9944	8.9987	8.99841	8.99802	8.99759	8.99715	8.99667
8.9130	8.9076	8.9027	8.8985	8.8948	8.8917	8.8893	8.8877	8.8866
6.7390	6.7228	6.7081	6.6953	6.6844	6.6751	6.6679	6.6631	6.6598
7.0069	7.0060	7.0051	7.0043	7.0035	7.0027	7.0020	7.0013	7.0006
9.9310	9.9636	9.9919	0.0155	0.0354	0.0516	0.0638	0.0714	0.0762
6.6700	6.6864	6.6900	6.69110	6.69148	6.69267	6.69371	6.69455	6.69530
0.91754	0.92281	0.92758	0.93195	0.93593	0.93959	0.94291	0.94591	0.94855
0.91732	0.92296	0.92742	0.93195	0.93630	0.94049	0.94449	0.94777	0.95092
1.4748	1.4479	1.4155	1.3766	1.3296	1.2724	1.2010	1.1098	0.9869
0.8886	0.9577	1.0190	1.0737	1.1223	1.1658	1.2040	1.2368	1.2647
0.7822	0.7660	0.7513	0.7387	0.7260	0.7111	0.6937	0.6703	0.6403
9.4434	9.7442	9.9306	0.0655	0.1707	0.2803	0.3816	0.4783	0.5607
+ 1.7	+ 3.2	+ 4.8	+ 6.4	+ 7.9	+ 9.4	+ 10.9	+ 12.2	+ 13.3
— 154	— 150	— 144	— 135	— 124	— 110	— 95	— 77	— 58
+ 0.5	+ 0.5	+ 0.5	+ 0.6	+ 0.6	+ 0.6	+ 0.6	+ 0.6	+ 0.6

(9 u. b)₄

1872				1871				
Mai 30	April 20	März 11	Jan. 31	Dec. 22	Nov. 12	Oct. 3	Aug. 24	Juli 15
150°34'10"	147°20'53"	144°0'34"	140°51'13"	137°34'48"	134°1'11"	130°58'40"	127°38'55"	124°18'27"
+ 19	+ 20	+ 21	+ 22	+ 22	+ 22	+ 22	+ 21	+ 20
9.69141	9.73202	9.76808	9.80024	9.82902	9.85482	9.87793	9.89860	9.91703
8.00941	8.05002	8.08608	8.11824	8.14702	8.17282	8.19593	8.21660	8.23503
0.72331	0.72218	0.72103	0.71985	0.71866	0.71745	0.71623	0.71501	0.71378
9.99998	9.99997	9.99997	9.99996	9.99996	9.99995	9.99995	9.99994	9.99994
87°25'41"	84°12'25"	80°58'7"	77°42'47"	74°26'22"	71°8'51"	67°50'14"	64°30'28"	61°9'34"
68°18'38"	75°15'37"	82°16'34"	89°15'44"	96°17'24"	102°46'22"	109°8'19"	115°9'59"	120°49'14"
9.56770	9.40556	9.12840	8.10979	9.02804	9.93456	9.95156	9.96286	9.97095
0.72329	0.72215	0.72100	0.71981	0.71862	0.71740	0.71618	0.71495	0.71372
9.96811	9.98547	9.99604	9.99996	9.99752	9.98912	9.97531	9.95668	9.93388
0.29099	0.12771	9.84940	8.82960	9.74666	9.66166	9.53186	9.34359	9.12329
0.41631	0.41354	0.41177	0.41006	0.41732	0.42239	0.42902	0.43691	0.44574
9.52440	9.96905	9.86136	9.98854	0.08403	0.15718	0.21354	0.25687	0.28995
9.981539	9.909676	9.827413	9.740260	9.657135	9.575957	9.494256	9.409378	9.325569
9.99619	9.98734	9.97345	9.95468	9.93134	9.90381	9.87257	9.836028	9.794910
0.69140	0.7062	0.71704	0.71977	0.71914	0.70652	0.69149	0.67163	0.64760
0.69521	0.72028	0.74359	0.76509	0.78480	0.80271	0.81892	0.83350	0.84659
9.99997	9.99997	9.99997	9.99997	9.99997	9.99997	9.99997	9.99997	9.99997
8.73272	8.77220	8.80711	8.83809	8.86568	8.89027	8.91216	8.93161	8.94881
9.30476	9.27969	9.25638	9.23188	9.21517	9.19726	9.18105	9.16647	9.15338
7.91428	7.83907	7.76914	7.70464	7.64551	7.59178	7.54315	7.49941	7.46014
7.83007	7.83346	7.83691	7.84045	7.84402	7.84765	7.85131	7.85497	7.85866
9.33037	8.11400	9.22757	9.56482	9.76303	9.90443	0.01415	0.10297	0.17706
7.16044	5.94746	6.99697	7.26946	7.44954	7.62921	7.80853	7.98623	7.95320
9.87468	9.71417	9.43663	8.41554	9.32034	9.63957	9.80284	9.90668	9.97755
1.72762	0.51464	1.956389	1.83664	1.97572	2.06339	2.11248	2.16956	2.20438
1.10771	1.12116	1.12681	1.13383	1.13346	1.12891	1.12051	1.10854	1.09334
1.60230	0.22881	1.00052	0.25218	1.30506	1.70296	1.92732	2.07624	2.18193
2.48146	2.40625	2.33932	2.27182	2.21269	2.15896	2.11033	2.06659	2.02732
9.93848	9.99710	0.01960	0.00413	9.94265	9.81295	9.71940	8.55159	9.63105
— 263.0	— 253.1	— 226.9	— 188.8	— 143.0	— 93.7	— 44.3	— 2.6	— 45.5
+ 684	+ 43	— 494	— 934	— 1286	— 1557	— 1758	— 1897	— 1985
+ 2.9	+ 0.2	— 2.3	— 4.7	— 6.9	— 9.0	— 10.9	— 12.6	— 14.2
230°16'1	229°3'7	228°51'4	226°39'0	225°26'7	224°14'5	223°2'3	221°50'1	220°37'9
— 0.1	— 0.1	— 0.1	— 0.1	— 0.1	— 0.1	— 0.1	— 0.1	— 0.1
9.98860	9.98782	9.98701	9.98617	9.98528	9.98437	9.98341	9.98241	9.98137
7.99104	7.99026	7.98945	7.98861	7.98772	7.98681	7.98585	7.98485	7.98381
1.1014	1.0015	1.0017	1.0018	1.0019	1.0019	1.0020	1.0021	1.0021
0.0000	0.0000	0.0000	0.0000	0.0000	0.0000	0.0000	0.0000	0.0000
248°14'8	247°2'4	245°50'1	244°3'7	243°25'4	242°13'2	241°1'0	239°48'8	238°36'6
226°7'8	238°5'6	247°8'6	256°10'7	265°1'6	273°50'7	282°16'1	290°28'3	298°16'3
9.98158	9.97231	9.96893	9.96782	9.96709	9.96604	9.96491	9.96377	9.96254
1.0014	1.0015	1.0017	1.0018	1.0019	1.0019	1.0020	1.0021	1.0021
9.98787	9.98288	9.97945	9.97872	9.97804	9.97729	9.97649	9.97564	9.97474
0.98172	0.98246	0.98310	0.98380	0.98428	0.98473	0.98511	0.98548	0.98585
0.4163	0.4135	0.4118	0.4101	0.4173	0.4224	0.4290	0.4369	0.4457
0.1453	0.1728	0.2210	0.2843	0.1231	9.8724	9.4029	9.4548	9.8484
9.99625	9.98974	9.98120	9.97694	9.97540	9.97484	9.97430	9.97374	9.97317
9.98868	9.98635	9.98432	9.98249	9.98075	9.97917	9.97763	9.97613	9.97467
9.98801	9.98603	9.98422	9.98249	9.98083	9.97924	9.97769	9.97617	9.97467
1.0757	1.0650	1.0530	1.0396	1.0250	1.0092	0.9926	0.9753	0.9575
0.0000	0.0000	0.0000	0.0000	0.0000	0.0000	0.0000	0.0000	0.0000
8.99118	8.99041	8.98962	8.98879	8.98791	8.98700	8.98605	8.98506	8.98402
8.9243	8.9350	8.9470	8.9604	8.9750	8.9908	9.0074	9.0247	9.0425
6.7729	6.8050	6.8410	6.8812	6.9250	6.9724	7.0222	7.0741	7.1275
6.9957	6.9953	6.9950	6.9947	6.9944	6.9941	6.9939	6.9938	6.9938
9.8263	9.7403	9.6290	9.4752	9.2387	8.9096	8.4822	9.3077	9.5569
6.95992	6.95453	6.94700	6.93564	6.91637	5.8820	5.8221	6.3015	6.5507
0.94009	0.93111	0.91782	9.90659	9.91555	9.9059	9.9021	0.1089	0.2138
0.96424	0.95885	0.95132	9.93966	0.92069	9.91252	9.90653	0.3447	0.5939
1.29664	1.3438	1.3790	1.4031	1.4176	1.4233	1.4209	1.4107	1.3927
1.0433	0.8996	0.6914	0.3655	9.7224	9.91311	9.7674	0.4536	0.8257
0.8161	0.8482	0.8842	0.9244	0.9682	1.0165	1.0654	1.1173	1.1707
9.8372	9.0991	9.7473	9.8597	9.9746	0.0063	9.9776	9.8938	0.0839
+ 4.5	+ 0.9	— 2.7	— 6.1	— 8.8	— 10.5	— 11.0	— 10.3	— 8.1
+ 87	+ 86	+ 78	+ 63	+ 42	+ 14	— 19	— 57	— 97
+ 0.4	+ 0.3	+ 0.3	+ 0.2	+ 0.1	— 0.0	— 0.1	— 0.2	— 0.3

Datum			f'''	f''	f'	ΣUdt	f	U	$\log(U)$
1871	Juli	15				— 2082	+ 46828	+ 45778	4.66066
	Aug.	24			+ 128	— 1954	+ 44746	+ 43756	4.64104
	Oct.	3	+ 8	+ 49	+ 177	— 1777	+ 42792	+ 41887	4.62208
	Nov.	12	+ 8	+ 57	+ 234	— 1543	+ 41015	+ 40221	4.60445
	Dec.	22	+ 9	+ 65	+ 299	— 1244	+ 39472	+ 38822	4.58908
1872	Jan.	31	+ 8	+ 74	+ 373	— 871	+ 38228	+ 37758	4.57701
	März	11	+ 8	+ 82	+ 455	— 416	+ 37357	+ 37107	4.56945
	April	20	+ 7	+ 90	+ 545	+ 129	+ 36941	+ 36956	4.56768
	Mai	30	+ 6	+ 97	+ 642	+ 771	+ 37070	+ 37398	4.57285
	Juli	9	+ 3	+ 103	+ 745	+ 1516	+ 37841	+ 38533	4.58583
	Aug.	18	— 4	+ 106	+ 851	+ 2367	+ 39357	+ 40464	4.60707
	Sept.	27	10	+ 102	+ 953	+ 3320	+ 41724	+ 43300	4.63649
	Nov.	6	21	+ 92	+ 1045	+ 4365	+ 45044	+ 47136	4.67335
	Dec.	16	43	+ 71	+ 1116	+ 5481	+ 49409	+ 52054	4.71645
			69	+ 28	+ 1144	+ 5481	+ 54890		
1873	Jan.	25	— 105	— 41	+ 1103	+ 6625	+ 61515	+ 58108	4.76424
	Marz	6	— 153	— 146	+ 957	+ 7728	+ 69243	+ 65291	4.81486
	April	15	— 190	— 209	+ 658	+ 8685	+ 77928	+ 73516	4.86638
	Mai	25	— 217	— 489	+ 169	+ 9343	+ 87271	+ 82562	4.91678
	Juli	4	— 183	— 706	+ 169	+ 9512	+ 96783	+ 92039	4.96397
	Aug.	13	— 101	— 889	— 537	+ 8975	+ 105758	+ 101350	5.00582
	Sept.	22	+ 79	— 990	— 2416	+ 7549	+ 113307	+ 109692	5.04018
	Nov.	1	+ 267	— 911	— 3327	+ 5133	+ 118440	+ 116115	5.06489
	Dec.	11	+ 426	— 644	— 3971	+ 1806	+ 120246	+ 119652	5.07792
			+ 471	— 218	— 4189	— 2165	+ 118081	+ 119510	5.07741
1874	Jan.	20	+ 383	+ 253	— 3936	— 6354	+ 111727	+ 115249	5.06164
	März	1	+ 226	+ 636	— 3300	— 10290	+ 101437	+ 106888	5.02893
	April	10	+ 46	+ 862	— 2438	— 13590	+ 87847	+ 94883	4.97719
	Mai	20	— 75	+ 908	— 1530	— 16028	+ 71819	+ 79998	4.90308
	Juni	29	— 154	+ 833	— 697	— 17558	+ 54261	+ 63131	4.80025
	Aug.	8	— 157	+ 679	— 18	— 18255	+ 36006	+ 45161	4.65476
	Sept.	17	— 161	+ 522	+ 504	— 18273	+ 17733	+ 26847	4.42889
	Oct.	27	— 125	+ 361	+ 865	— 17769	— 36	+ 8789	3.94394
	Dec.	6		+ 236	+ 1101	— 16904	— 16940	— 8571	3.93303
						— 15803	— 32743	— 24939	4.39688

Datum	f^{III}	f^{II}	f^{I}	$d(Z_s)$	f	f^{III}	f^{II}	f^{I}	$d(Z_e)$	f
1871 Juli 15				— 6.5	— 2110.0				+ 11.2	+ 912.5
Aug. 24			— 0.6	— 7.1	— 2116.5			— 2.5	+ 8.7	+ 923.7
Oct. 3			0.0	— 7.1	— 2123.6			— 2.5	+ 6.2	+ 932.4
Nov. 12			+ 0.6	— 6.5	— 2130.7			— 2.2	+ 4.0	+ 938.6
Dec. 22			+ 1.2	— 5.3	— 2137.2			— 1.9	+ 2.1	+ 942.6
1872 Jan. 31			+ 1.6	— 3.7	— 2142.5		+ 0.7	— 1.4	+ 0.7	+ 944.7
März 11			+ 2.0	— 1.7	— 2146.2		+ 0.8	— 0.7	0.0	+ 945.4
April 20			+ 2.1	+ 0.4	— 2147.9		+ 0.7	+ 0.1	+ 0.1	+ 945.4
Mai 30			+ 2.2	+ 2.6	— 2147.5		+ 0.8	+ 0.8	+ 0.9	+ 945.5
Juli 9		— 0.5	+ 1.9	+ 4.5	— 2144.9		+ 0.7	+ 1.6	+ 2.5	+ 946.4
Aug. 18		— 0.5	+ 1.4	+ 5.9	— 2140.4		+ 0.6	+ 2.3	+ 4.8	+ 948.9
Sept. 27		— 0.9	+ 0.9	+ 6.8	— 2134.5		0.0	+ 2.9	+ 7.7	+ 953.7
Nov. 6		— 0.9	0.0	+ 6.8	— 2127.7		— 0.2	+ 2.9	+ 10.6	+ 961.4
Dec. 16		— 0.9	— 0.9	+ 5.9	— 2120.9		— 1.1	+ 2.7	+ 13.3	+ 972.0
1873 Jan. 25		— 0.3	— 1.8	+ 4.1	— 2115.0	— 0.6	+ 1.6	+ 14.9	+ 985.3	
Marz 6	+ 0.4	+ 0.1	— 2.1	+ 2.0	— 2110.9	— 1.5	— 1.7	— 0.1	+ 14.8	+ 1000.2
April 15	+ 1.3	+ 1.4	— 2.0	0.0	— 2108.9	— 0.6	— 3.2	— 3.3	+ 11.5	+ 1015.0
Mai 25	+ 1.8	+ 3.2	— 0.6	— 0.6	— 2108.9	— 1.5	— 7.1	+ 4.4	+ 1026.5	
Juli 4	+ 2.1	+ 5.3	+ 2.6	+ 2.0	— 2109.5	0.0	— 5.3	— 12.4	+ 8.0	+ 1030.9
Aug. 13	+ 2.0	+ 7.3	+ 7.9	+ 9.9	— 2107.5	+ 0.4	— 4.9	— 17.7	+ 25.7	+ 1022.9
Sept. 22	+ 1.4	+ 8.7	+ 15.2	+ 25.1	— 2097.6	+ 1.8	— 22.6	— 48.3	+ 997.2	
Nov. 1	— 0.2	+ 8.5	+ 23.9	+ 49.0	— 2072.5	+ 3.4	— 25.3	— 73.6	+ 948.9	
Dec. 11	— 2.2	+ 6.3	+ 32.4	+ 81.4	— 2023.5	+ 4.0	— 24.6	— 98.2	+ 875.3	
1874 Jan. 20	— 4.6	+ 1.7	+ 38.7	+ 120.1	— 1942.1	+ 3.8	— 19.9	— 118.1	+ 777.1	
März 1	— 4.7	— 3.0	+ 40.4	+ 160.5	— 1822.0	+ 2.1	+ 10.6	— 129.5	+ 659.0	
April 10	— 4.5	— 7.5	+ 37.4	+ 197.9	— 1661.5	— 0.5	+ 10.1	— 130.3	+ 529.5	
Mai 20	— 3.6	— 10.1	+ 29.9	+ 227.8	— 1463.6	— 1.9	+ 8.2	— 121.0	+ 399.2	
Juni 29	— 0.6	— 10.7	+ 19.8	+ 247.6	— 1235.8	— 2.9	+ 5.3	— 103.5	+ 278.2	
Aug. 8	+ 0.4	— 10.3	+ 9.1	+ 256.7	— 988.2	— 3.0	+ 2.3	— 80.7	+ 174.7	
Sept. 17	+ 2.2	— 8.1	— 1.2	+ 255.5	— 731.5	— 2.7	+ 25.1	— 55.6	+ 94.0	
Oct. 27	+ 1.8	— 6.3	— 9.3	+ 246.2	— 476.0	— 1.7	+ 24.7	— 30.9	+ 38.4	
Dec. 6	+ 2.2	— 4.1	— 15.6	+ 230.6	— 229.8	— 1.0	+ 22.6	— 8.3	+ 7.5	
1875 Jan. 15	+ 1.7	— 2.4	— 19.7	+ 210.9	+ 0.8	— 0.6	+ 19.5	+ 11.2	+ 0.8	
Febr. 24			— 22.1	+ 188.8	+ 211.7		+ 15.8	+ 27.0	+ 10.4	
					+ 400.5				+ 37.4	

Datum	f^{III}	f^{II}	dN_8	if	N_8	f^{IV}	f^{III}	f^{II}	f^{I}	dN_6	if	N_6
1871 Juli 15			+ 831.8	+1608.9	+1800.0				+158.8	-1421.3	-42566.8	-43290.6
Aug. 24	-11.4	-28.8	+1034.9	+18440.7	+18042.2			+41.4	+200.2	-1262.5	-43988.1	-44634.3
Oct. 3	-7.8	-40.2	+1200.2	+19455.6	+20067.2	-6.5		+34.9	+235.1	-1062.3	-45250.6	-45799.9
Nov. 12	-3.0	-48.0	+1343.3	+20684.8	+21547.3	-11.1		+25.8	+258.9	-827.2	-46312.9	-46747.3
Dec. 22	+3.5	-51.0	+1429.4	+22028.1	+22737.8	-13.7		+10.1	+269.0	-568.3	-47140.1	-47446.4
1872 Jan. 31	+8.6	-47.5	+1464.5	+23457.5	+24188.9	-12.9		-2.8	+266.2	-299.3	-47708.4	-47880.5
Marz 11	+12.0	-38.9	+1452.1	+24922.0	+25650.9	-9.8		-12.6	+253.6	-33.1	-48007.7	-48046.0
April 20	+10.6	-26.9	+1400.8	+26574.1	+27080.1	-3.1		-15.7	+237.9	+220.5	-48040.8	-47951.0
Mai 30	+6.7	-16.3	+1322.6	+27774.9	+28443.6	+3.4		-12.3	+225.6	+458.4	-47820.3	-47610.3
Juli 9	+1.3	-9.6	+1228.1	+29097.5	+29719.9	+8.5		-3.8	+221.8	+684.0	-47361.9	-47038.4
Aug. 18	-6.0	-8.3	+1124.0	+30325.6	+30896.6	+11.8		+8.0	+229.8	+905.8	-46677.9	-46243.7
Sept. 27	-9.6	-14.3	+1011.6	+31449.6	+31965.3	+10.4		+18.4	+248.2	+1135.6	-45772.1	-45224.1
Nov. 6	-13.9	-23.9	+884.9	+32461.2	+32915.0	+8.9		+27.3	+275.5	+1383.8	-44636.5	-43966.3
Dec. 16	-15.1	-37.8	+734.3	+33346.1	+33727.1	+3.6		+30.9	+306.4	+1659.3	-43252.7	-42447.3
1873 Jan. 25	-14.2	-52.9	+545.9	+34080.4	+34371.0	-1.9		+29.0	+335.4	+1965.7	-41593.4	-40657.4
Marz 6	-10.6	-67.1	+304.6	+34626.3	+34801.3	-8.3		+20.1	+355.5	+2301.1	-39627.7	-38506.1
April 15	-2.8	-77.7	-3.8	+34930.9	+34957.8	-9.8		+2.9	+358.4	+2056.6	-37320.6	-36028.4
Mai 25	+10.1	-80.5	-389.9	+34927.1	+34767.7	-8.7		-27.0	+334.3	+3015.0	-34670.0	-33191.9
Juli 4	+27.5	-70.4	-856.5	+34537.2	+34151.2	-35.7		-59.8	+274.5	+3349.3	-31655.0	-30006.3
Aug. 13	+47.3	-42.9	-1393.5	+33680.7	+33031.2	+1.3		-101.6	+172.9	+3623.8	-28305.7	-26513.1
Sept. 22	+61.5	+4.4	-1973.4	+32287.2	+31349.5	+14.4		-142.1	+30.8	+3796.7	-24681.9	-22792.5
Nov. 1	+65.0	+65.9	-2548.9	+30313.8	+29085.5	+23.8		-168.2	+137.4	+3827.5	-20885.2	-18967.2
Dec. 11	+48.8	+130.9	-3058.5	+27764.9	+26273.5	+31.2		-170.5	-307.9	+3690.1	-17057.7	-15193.9
1874 Jan. 20	+21.0	+179.7	-3437.2	+24706.4	+23012.4	+23.7		-141.6	+49.5	+3382.2	-13307.6	-11644.3
Marz 1	-10.9	+200.7	-3656.2	+21269.2	+19459.2	+42.6		-84.0	+538.5	+2032.7	-9985.4	-8477.1
April 10	-35.9	+189.8	-3034.5	+17933.0	+15807.4	+9.7		-26.7	+565.2	+2394.2	-7052.7	-5808.7
Mai 20	-47.9	+153.9	-3443.0	+13998.5	+12254.0	+5.1		+30.5	-534.7	+1829.0	-4688.5	-3697.4
Jun. 29	-47.2	+106.0	-3097.6	+10555.5	+8972.8	+15.4		+2.3	+462.4	+1294.3	-2820.5	-2140.3
Aug. 8	-40.0	+58.8	-2646.2	+7457.9	+6094.1	+18.4		+95.7	+366.7	+831.9	-1535.2	-1084.5
Sept. 17	-20.8	+18.8	-2136.0	+4811.7	+3699.9	+15.7		+103.4	+263.3	+465.2	-703.3	-444.4
Oct. 27	-20.0	-11.0	-1607.0	+2675.7	+1828.2	+10.5		+100.6	+162.7	+201.9	-238.1	-119.5
Dec. 6	-11.9	-31.0	-1089.0	+1068.7	+482.0	+6.2		+91.6	-71.1	+39.2	-36.2	-7.0
1875 Jan. 15		-42.9	-602.0	-20.3	-360.2	-2.2		+80.4	+9.3	-31.9	+3.0	-10.5
Febr. 24			-157.9	-622.3	-734.8	-11.2				-22.6	-28.9	-44.1
				-780.2							-51.5	

Datum	f^{III}	f^{II}	f^{I}	$d(M)$	f	f^{II}	f^{I}	$d(M)$	f
1871 Juli 15				— 28"93	+ 1" 3'23"95				— 8'58"16
Aug. 24		+0"24	—32"21	— 1' 1"14	+ 1" 2'55"02	—0"07		+14"84	— 8'43"32
Oct. 3	+0"86	+1.10	—31.97	— 1'33"11	+ 1" 1'53"88	—0.11		+14.66	— 8'28"55
Nov. 12	+0.91	+2.01	—30.87	— 2' 3"98	+ 1" 0'20"77	—0.14		+14.52	— 8'13"89
Dec. 22	+0.87	+2.88	—28.86	— 2'32"84	+ 58'16"79	—0.18		+14.34	— 7'59"37
1872 Jan. 31	+0.83	+3.71	—25.98	— 2'58"82	+ 55'43"95	—0.18		+14.16	— 7'45"03
März 11	+0.67	+4.38	—22.27	— 3'21"09	+ 52'45"13	—0.16		+14.00	— 7'30"87
April 20	+0.48	+4.86	—17.89	— 3'38"98	+ 49'24"04	+0.10	—0.11	+13.89	— 7'16"87
Mai 30	+0.26	+5.12	—13.03	— 3'52"01	+ 45'45"06	+0.13	—0.01	+13.88	— 7' 2"98
Juli 9	+0.02	+5.14	— 7.91	— 3'59"92	+ 41'53"05	+0.17	+0.12	+14.00	— 6'49"10
Aug. 18	—0.22	+4.92	— 2.77	— 4' 2"69	+ 37'53"13	+0.18	+0.29	+14.29	— 6'35"10
Sept. 27	—0.37	+4.55	+ 2.15	— 4' 0"54	+ 33'50"44	+0.21	+0.47	+14.76	— 6'20"81
Nov. 6	—0.55	+4.00	+ 6.70	— 3'53"84	+ 29'49"90	+0.22	+0.68	+15.44	— 6' 6"05
Dec. 16	—0.62	+3.38	+10.70	— 3'43"14	+ 25'56"06	+0.20	+0.90	+16.34	— 5'50"61
1873 Jan. 25	—0.73	+2.65	+14.08	— 3'29"06	+ 22'12"92	+0.18	+1.10	+17.44	— 5'34"27
März 6	—0.68	+1.97	+16.73	— 3'12"33	+ 18'43"86	+0.14	+1.28	+18.72	— 5'16"83
April 15	—0.76	+1.21	+18.70	— 2'53"63	+ 15'31"53	+0.07	+1.42	+20.14	— 4'58"11
Mai 25	—0.70	+0.51	+19.91	— 2'33"72	+ 12'37"90	+0.01	+1.49	+21.63	— 4'37"97
Juli 4	—0.66	—0.15	+20.42	— 2'13"30	+ 10' 4"18	—0.17	+1.48	+23.10	— 4'16"34
Aug. 13	—0.62	—0.77	+20.27	— 1'53"03	+ 7'50"88	—0.29	+1.31	+24.42	— 3'53"24
Sept. 22	—0.54	—1.31	+19.50	— 1'33"53	+ 5'57"85	—0.47	+1.02	+25.44	— 3'28"82
Nov. 1	—0.44	—1.75	+18.19	— 1'15"34	+ 4'24"32	—0.61	+0.55	+25.99	— 3' 3"38
Dec. 11	—0.28	—2.03	+16.44	— 58"90	+ 3' 8"98	—0.72	—0.06	+25.93	— 2'37"39
1874 Jan. 20	—0.19	—2.22	+14.41	— 44"49	+ 2'10"08	—0.74	—0.78	+25.15	— 2'11"46
März 1	—0.03	—2.25	+12.19	— 32"30	+ 1'25"59	—0.69	—1.52	+23.63	— 1'46"31
April 10	+0.09	+ 9.94	— 22"36	— 22"36	+ 53"29	—0.56	—2.21	+21.42	— 1'22"68
Mai 20	+0.17	+ 7.78	— 14"58	— 14"58	+ 30"93	—0.42	—2.77	+18.65	— 1' 1"26
Juni 29	+0.26	+ 5.79	— 8"79	— 8"79	+ 16"35	—0.22	—3.19	+15.47	— 42"61
Aug. 8	+0.29	—1.44	+ 4.06	— 4"73	+ 7"56	—0.22	—3.41	+12.05	— 27"14
Sept. 17	+0.27	—1.17	+ 2.62	— 2"11	+ 2"83	—0.10	—3.51	+ 8.54	— 15"09
Oct. 27	+0.32	—0.85	+ 1.45	— 0"66	+ 0"72	+0.01	—3.50	+ 5.04	— 6"55
Dec. 6	+0.26	—0.59	+ 0.60	— 0"06	+ 0"06	+0.10	—3.40	+ 1.65	— 1"51
1875 Jan. 15	+0.27	—0.32	+ 0.01	— 0"05	0	+0.15	—3.25	+ 0"14	— 0"14
Febr. 24		—0.31	— 0"36	— 0"36	— 0"05	+0.17	—3.08	— 4.69	— 1"47
					— 0"41				— 6"16

Methode der kleinsten Quadrate.

A. Theoretische Grundlage der Methode der kleinsten Quadrate und deren Anwendung auf die einfachsten Fälle.

§. 1. Allgemeine Betrachtungen.

Alle Bestimmungen, die sich auf Beobachtungen gründen, sind von begrenzter Genauigkeit; hat man daher mehrere Beobachtungen einer und derselben Grösse, so werden jene im Allgemeinen nahe identische Resultate geben; die Abweichungen selbst untereinander werden aber ganz wesentlich von der Güte der angewandten Instrumente, der Geschicklichkeit des Beobachters und den bei der Beobachtung stattfindenden Umständen abhängig sein. Liegen nun mehrere solche directe Bestimmungen einer und derselben Grösse vor, denen man Allen a priori dieselbe Genauigkeit zuschreiben darf, so wird das arithmetische Mittel der einzelnen Beobachtungsergebnisse wohl als der wahrscheinlichste Werth betrachtet werden dürfen; dieser Satz soll gleichsam als Axiom ohne Beweis hingestellt werden, da derselbe so viel Wahrscheinlichkeit für sich in Anspruch nimmt, dass man die Annahme als evident anzunehmen sich erlauben kann.

Als Grundlage für die Methode der kleinsten Quadrate wird man dem entsprechend den folgenden Satz anzusehen haben: »Ist eine Grösse durch eine Reihe unmittelbarer Bestimmungen von gleicher Verlässlichkeit bestimmt worden, so ist das aus diesen Beobachtungen gezogene arithmetische Mittel der wahrscheinlichste Werth«, d. h. der Werth, der voraussichtlich der Wahrheit am nächsten kommt.

Bezeichnet man die durch die directe Beobachtung erhaltenen Werthe der Unbekannten mit $M_1, M_2, M_3, \dots, M_m$, das arithmetische Mittel mit x , so ist, wenn die Anzahl der Einzelbeobachtungen durch m bezeichnet wird, der wahrscheinlichste Werth der Unbekannten bestimmt durch

$$x = \frac{M_1 + M_2 + M_3 + \dots + M_m}{m}.$$

oder auch

$$m x = M_1 + M_2 + M_3 + \dots + M_m.$$

Bildet man nun die Differenzen zwischen den einzelnen Beobachtungen und dem wahrscheinlichsten Werth, so werden diese Differenzen der Hauptsache nach als

Beobachtungsfehler angesehen werden können, und bildet man die Summe derselben, so wird sein:

$$(M_1 - x) + (M_2 - x) + \dots + (M_m - x) = M_1 + M_2 + \dots + M_m - mx = 0. \quad 1$$

Es ist also die Summe der Beobachtungsfehler oder genauer ausgedrückt, die Summe der Differenzen zwischen den Beobachtungsergebnissen und dem arithmetischen Mittel der Null gleich, eine Relation, die übrigens unmittelbar aus der Idee des arithmetischen Mittels resultirt. Diese Relation kann aber auch in einer anderen Weise gefasst werden, die für die folgenden Untersuchungen von besonderen Nutzen ist und deren Gültigkeit weiter unten auf einem anderen Wege nachgewiesen werden wird. Sucht man nämlich für die Funktion:

$$(M_1 - x)^2 + (M_2 - x)^2 + \dots + (M_m - x)^2$$

die Bedingung des Minimums, so erhält man durch Differentiation dieses Ausdruckes nach x und durch die nachträgliche Nullsetzung der Derivation ebenfalls einen mit der Relation 1) identischen Ausdruck; es findet sich nämlich nach Ausführung der angezeigten Operationen:

$$M_1 - x + M_2 - x + \dots + M_m - x = 0.$$

Bedenkt man, dass diese Ableitung auch für das Maximum gilt, dass aber die Funktion in der hier auftretenden Form kein geschlossenes Maximum besitzt, da mit unendlich wachsendem x der Werth der Summe der Quadrate unendlich gross wird, so wird man ebenfalls das oben hingestellte Axiom umformen können in das folgende: «der wahrscheinlichste Werth einer Unbekannten, die durch mehrere gleich verlässliche Beobachtungen bestimmt ist, ist derjenige, welcher die Summe der Quadrate der Differenzen, die zwischen der Beobachtung und Rechnung auftreten, zu einem Minimum macht.» In dieser Form hingestellt hat das Axiom des arithmetischen Mittels der Methode den Namen gegeben.

Es dürfte aber angemessen sein, den Nachweis zu liefern, dass keine andere Funktion dieser Minimumbedingung genügt. Es sei F eine Funktion des Beobachtungsfehlers $M - x$, welche Differenz der Kürze halber mit J bezeichnet werden soll; das Axiom des arithmetischen Mittels sagt aber aus:

$$J_1 + J_2 + \dots + J_m = 0.$$

Es wird also zu untersuchen sein, welche Formen der Funktion der Bedingung

$$F J_1 + F J_2 + \dots + F J_m = \text{Minimum}$$

in Verbindung mit der ersteren Relation genügen können. Für die Bedingung des Minimums kann aber gesetzt werden:

$$\frac{dF J_1}{dJ_1} + \frac{dF J_2}{dJ_2} + \dots + \frac{dF J_m}{dJ_m} = 0. \quad 2$$

Um nun aus dieser Funktionalgleichung die Form der Funktion selbst zu bestimmen, wird man diese Gleichung nochmals differentiiiren mit Rücksicht auf die Bedingung des arithmetischen Mittels. Man wird dieser letzteren Bedingung einfach dadurch genügen, dass man für J_m den Werth

$$J_m = -J_1 - J_2 - \dots - J_{m-1} \quad 3)$$

einführt, wodurch die übrigen Unterschiede J_1, J_2, \dots, J_{m-1} von einander völlig unabhängig erscheinen. Beachtet man, dass ist:

$$\frac{d(J_1 + J_2 + \dots + J_{m-1})}{dJ_1} = 1$$

$$\frac{d(J_1 + J_2 + \dots + J_{m-1})}{dJ_2} = 1$$

n. s. f.

und schreibt der Kürze halber für

$$\frac{dF(J)}{dJ} = F'(J),$$

so erhält man durch Differentiation des Ausdruckes 2) nach J_1 , wenn man der Relation 3) entsprechend das Differential des letzten Gliedes, welches nebst dem ersten bei der Differentiation nach J_1 nicht verschwindet:

$$\frac{dF'(J)}{dJ_1} = \frac{dF'(J_1 + J_2 + \dots + J_{m-1})}{d(J_1 + J_2 + \dots + J_{m-1})}$$

ähnlich erhält man durch die Differentiation von 2) nach J_2, J_3 n. s. w.:

$$\begin{aligned} \frac{dF'(J)}{dJ_2} &= \frac{dF'(J_1 + J_2 + \dots + J_{m-1})}{d(J_1 + J_2 + \dots + J_{m-1})} \\ &\vdots \\ \frac{dF'(J)}{dJ_{m-1}} &= \frac{dF'(J_1 + J_2 + \dots + J_{m-1})}{d(J_1 + J_2 + \dots + J_{m-1})} \end{aligned}$$

Da also nun J_1, J_2, \dots, J_{m-1} völlig von einander unabhängig erscheinen, so kann die Gleichheit dieser Differentialquotienten nur dann bestehen, wenn diese selbst einer Constanten gleich sind. Es resultirt demnach für die vorgelegte Funktion die Relation:

$$\frac{dF'(J)}{dJ} = c_0.$$

Die Integration ergibt, wenn man wieder für $F'(J)$ die ursprüngliche Form restituiert:

$$F(J) = c_0 J + c_1. \quad 4)$$

Es lässt sich jedoch leicht erweisen, dass die Constante c_1 der Null gleich gesetzt werden muss, denn führt man diese eben gewonnene Relation in die Gleichung 2) ein, so erhält man:

$$c_0(J_1 + J_2 + \dots + J_m) + mc_1 = 0.$$

Da aber der Coefficient von c_0 nach der Idee des arithmetischen Mittels der Null gleich ist, so muss ebenfalls c_1 der Null gleich sein; man kann also statt 4) schreiben:

$$\frac{dF(J)}{dJ} = c_0 J.$$

Integriert man nun diese Gleichung nochmals, so erhält man:

$$F(J) = \frac{1}{2} c_0 J^2 + c_2,$$

woraus unmittelbar resultirt, dass die einzige Funktion, die der gestellten Bedingung

genügt, diejenige ist, die die Summe der Fehlerquadrate zu einem Minimum macht; die willkürliche Constante kommt natürlich hier nicht weiter in Betracht, da dieselbe die Bedingung des Minimums nicht afficirt.

Indem so die oben aufgestellten Axiome als völlig identisch angesehen werden können, sieht man sofort ein, dass der Lösung des Problems in dem einfachen, hier in Betracht gezogenen Falle keine wesentlichen Schwierigkeiten mehr entgegenstehen; doch complicirt sich die Sache sofort, wenn es sich um die Bestimmung von mehreren Unbekannten aus vielen Beobachtungen handelt; es wird sich aber in der Folge zeigen, dass man mit dem aufgestellten Principe ausreichen und durch consequente Anwendung desselben die complicirtesten Fälle der Rechnung unterwerfen kann.

Es wurde bisher vorausgesetzt, dass die zum wahrscheinlichsten Resultate zusammenzufassenden Beobachtungen oder Theilresultate von gleicher Verlässlichkeit sind; ist nun dies nicht der Fall, so muss auf diesen Umstand gehörig Rücksicht genommen werden. Bei der Lösung der vorgelegten Aufgabe wird im weiteren Verlaufe der Entwicklungen ein grosser Vorzug der Methode der kleinsten Quadrate sich herausstellen, indem man durch dieselbe in den Stand gesetzt wird, die wahrscheinliche Unsicherheit des Resultates nach den übrigbleibenden Differenzen zwischen den Beobachtungen und der Rechnung zu bestimmen, also die Vertrauenswürdigkeit des Resultates auf ein numerisches Maass zurückzuführen. So wünschenswerth es ist, Methoden zu besitzen, welche die Ermittlung der wahrscheinlichsten Werthe der Unbekannten gestatten, so wenig befriedigend wären dieselben für sich allein, wenn man nicht durch dieselben ein nach bestimmten Principien bestimmtes Maass für die Genauigkeit der gewonnenen Resultate erhalten würde; die durch die Methode der kleinsten Quadrate gebotene Möglichkeit, dieser Forderung zu genügen, muss zu einem nicht immer gehörig gewürdigten Hauptvorzug derselben gezählt werden.

Sollen Beobachtungen oder Theilresultate von differenter Genauigkeit mit einander verbunden werden, so muss man sich vor Allem die Ursachen klar machen, welche diese Verschiedenheit bedingen; der einfachste Fall ist etwa der, wo man die einzelnen Beobachtungsdaten als Resultate verschiedener Beobachtungsreihen aufzufassen in der Lage ist, so dass also das Resultat einer Beobachtungsreihe als eine Beobachtung hingestellt wird und die Einzelbeobachtungen innerhalb dieser verschiedenen Reihen von gleicher Genauigkeit angesehen werden dürfen. Die Anzahl der zum Theilresultate vereinigten Einzelbeobachtungen wird offenbar als ein Maassstab für die Genauigkeit desselben angesehen werden, und es soll die denselben ausdrückende Zahl den Namen »Gewicht« erhalten. Es sei der Werth der Unbekannten x bestimmt worden durch eine Reihe von m' Beobachtungen, die einzelnen Beobachtungen sind von gleicher Vertrauenswürdigkeit, haben also das gleiche Gewicht, diese Einzelbeobachtungen seien: $M_1', M_2', \dots, M_{m'}'$. Man erhält den wahrscheinlichsten Werth x' aus dieser Reihe für die Unbekannte nach dem Obigen:

$$x' = \frac{M_1' + M_2' + \dots + M_{m'}'}{m'}$$

Eine zweite Beobachtungsreihe ähnlich behandelt ergäbe:

$$x'' = \frac{M_1'' + M_2'' + \dots + M_{m''}''}{m''}$$

eine dritte:

$$x''' = \frac{M_1''' + M_2''' + \dots + M_{m'''}'''}{m'''} \text{ u. s. f.}$$

Hält man hierbei die gemachte Voraussetzung fest, dass allen Beobachtungen in jeder dieser Beobachtungsreihen eine gleiche Genauigkeit a priori zugeschrieben wird, so kann man auch den wahrscheinlichsten Werth der Unbekannten x aus der Gesamtheit dieser Beobachtungen nach dem Satze des arithmetischen Mittels finden:

$$x = \frac{M_1' + M_2' + \dots + M_1'' + M_2'' + \dots + M_1''' + M_2''' + \dots}{m' + m'' + m''' + \dots}$$

welche Gleichung mit Rücksicht auf die oben aufgestellten Theilresultate geschrieben werden kann:

$$x = \frac{m'x' + m''x'' + m'''x''' + \dots}{m' + m'' + m''' + \dots} \quad 5)$$

welcher Ausdruck sofort zu dem folgenden Satze führt: Wenn aus Beobachtungsergebnissen, denen verschiedene aber bekannte Gewichtszahlen zugeschrieben werden, der wahrscheinlichste Werth gefunden werden soll, so erhält man denselben, wenn man die Beobachtungsergebnisse mit dem zugehörigen Gewichte multiplicirt und die Summe dieser Producte durch die Summe der Gewichte dividirt. Das Gewicht dieser Bestimmung selbst ist offenbar der Summe der Gewichte gleich.

Weiter resultirt, dass nothwendig sein muss:

$$m'(x' - x) + m''(x'' - x) + \dots = 0 \quad 6)$$

An dem Ausdrucke 5) wird seinem Werthe nach nichts geändert, wenn man den Zähler und Nenner mit einem beliebigen Factor a multiplicirt, also setzt:

$$x = \frac{am'x' + am''x'' + am'''x''' + \dots}{am' + am'' + am''' + \dots}$$

woraus man sofort schliessen kann, dass die Gewichte nur Relativzahlen sind und keineswegs ganze Zahlen zu sein brauchen. Eine Beobachtung mit dem Gewichte »Null« ist verfehlt, und wird gleichsam nicht mitgezählt, wird verworfen, ein negatives Gewicht hat aber nach der Idee desselben keine Bedeutung. Bezeichnet man mit p das Gewicht, so wird man sich stets vor Augen halten müssen, dass p einen positiven Werth hat; es würde sich daher einigermaßen aus diesem und anderen später hervortretenden Gründen empfehlen für das Gewicht das Symbol pp einzuführen; da dies aber nicht üblich ist, so bleibe ich bei der gewählten Bezeichnung.

Man kann sich die oben angeführten Theilresultate x' , x'' , x''' ... auf die verschiedenartigste Weise entstanden denken, so z. B. sei x' mit Hilfe eines genaueren Instrumentes erhalten worden als x'' , x''' wäre durch einen anderen Beobachter von geringerer Geschicklichkeit geliefert u. s. w., so sind dies Umstände,

die den Theilresultaten verschiedenes Gewicht ertheilen; die Discussion einer jeden dieser Beobachtungsreihen wird, geleitet durch die Principien, die in der Folge entwickelt werden, aus den Beobachtungen selbst eine Gewichtsbestimmung ermöglichen, eine Bestimmung, die bisher stillschweigend als vollzogen betrachtet wurde; es wird nämlich offenbar jenen Beobachtungen der einzelnen Reihen, die innerhalb derselben kleinere Differenzen zwischen den Beobachtungen und der Rechnung übrig lassen, ein grösseres Gewicht zuzuschreiben sein und damit das Gewicht gewissermassen a posteriori bestimmt. Man wird aber hierbei zu bemerken haben, dass offenbar nur dann eine einigermassen sichere Bestimmung des Gewichtes der Beobachtungen in den verschiedenen Reihen a posteriori erlangt werden kann, wenn die Beobachtungen einer jeden Reihe zahlreich sind, weil ja nur in diesem Falle auf eine Ausgleichung der zufälligen Fehlerquellen, die die einzelne Beobachtung betreffen, mit einiger Sicherheit gerechnet werden darf, ein Umstand, der nicht immer gehörig berücksichtigt wird.

§ 2. Die gesetzmässige Vertheilung der Beobachtungsfehler.

Nach den vorausgehenden allgemein orientirenden Bemerkungen wird es angemessen erscheinen, vorerst die Gesetze zu finden, nach denen die Beobachtungsfehler trotz ihrer scheinbaren Regellosigkeit sich halten und anordnen; hierbei werden aber nur die rein zufälligen Fehler in Betracht gezogen werden, da die Methode der kleinsten Quadrate kein Mittel an die Hand geben kann, eine die Beobachtungen in constanter Weise entstellende Fehlerquelle zu finden und ihrer Grösse nach zu bestimmen. Es ist in diesem Falle die Aufgabe des Beobachters, die Anordnung und die Reduction der Beobachtungen so zu treffen, dass solche constante Fehler möglichst wenig in den Vordergrund treten; hierüber lassen sich aber offenbar keine allgemeinen Vorschriften geben, doch wird man beachten, dass es nur in den seltensten Fällen gelingen wird, trotz aller darauf angewendeten Mühen, die Beobachtungen völlig von diesen constanten Fehlerquellen zu befreien; es wird daher im Allgemeinen die durch die Methode der kleinsten Quadrate gefundene Unsicherheit des Resultates, die sich nur auf die zufällig auftretenden Fehler gründet, zu klein gefunden werden und die thatsächliche grösser sein, entsprechend dem begangenen, seiner Grösse nach aber unbekannten constanten Fehler. Diese Betrachtung, welche durch die Erfahrung allseitig bestätigt wird, muss man sich stets bei der Beurtheilung der theoretisch bestimmten Unsicherheit des Resultates aus der Uebereinstimmung der Beobachtungen vor Augen halten, und würde man dies stets gethan haben, so würden manche Vorwürfe, die man der Methode in ungerechtfertigter Weise zugeschoben hat, nicht gemacht worden sein.

Dass die zufälligen Fehler in der That eine gewisse Anordnung in Bezug auf ihre Grösse zeigen müssen, lässt sich leicht in den allgemeinsten Zügen nachweisen;

so wird z. B. der Fadenantritt eines Aequator-Sternes an einem grösseren Meridian-instrumente im Durchschnitt auf etwa 0.07 Zeitsecunden für einen mässig geübten Beobachter genau aufzufassen sein; ein Fehler von einer halben Secunde wird daher äusserst selten auftreten, Fehler von 0.1 aber sehr häufig. Diese Betrachtung berechtigt also zu dem Schlusse, dass die Wahrscheinlichkeit des Eintretens einer gewissen Fehlergrösse selbst eine Funktion der letzteren ist.

Man wird daher behaupten können,

$$q(J)$$

wird die Wahrscheinlichkeit des Eintretens einer gewissen Fehlergrösse J darstellen, wobei vorläufig die Form der Funktion q selbst unbekannt ist. Die Wahrscheinlichkeit, dass der Fehler J eintritt, wird also durch $q(J)$ ausgedrückt werden können. Lässt man nun die Werthe $J, J', J'' \dots$ der Reihe nach alle Werthe annehmen zwischen den Grenzen $-c$ und $+c$, so wird die Wahrscheinlichkeit, dass ein Fehler sich innerhalb dieser Grössen findet, offenbar gleich sein der Summe der Wahrscheinlichkeiten der innerhalb dieser Grenzen befindlichen Fehler, und sei diese Summe durch P bezeichnet, so ist:

$$P = \sum_{J=-c}^{J=+c} q(J);$$

bei einer grossen Beobachtungsreihe kann man aber wohl annehmen, dass die Fehler selbst ihrer Grösse nach nahe continuirlich in einander übergehen. Erlaubt man sich diese allerdings nur theilweise gerechtfertigte Annahme, so wird man diese Summe durch ein Integral ersetzen dürfen und die Form erhalten:

$$P = \int_{-c}^{+c} q(J) dJ. \quad 1)$$

Dieser für die weitere Behandlung notwendige Uebergang von einer Summe auf ein Integral wird uns zur Vorsicht mahnen, wenn Resultate aus einer geringen Zahl von Beobachtungen nach der Methode der kleinsten Quadrate abgeleitet werden sollen; die Methode fordert, dass mindestens in einer gewissen Annäherung die Summe durch das Integral ersetzt werden darf; diese Voraussetzung wird um so fehlerhafter sein, je geringer die Anzahl der Beobachtungen ist. Dieser hier hervorgehobene Umstand tritt nicht nur bei der eben angestellten Betrachtung nachtheilig hervor, sondern auch bei den weiter unten folgenden Betrachtungen.

In dem Ausdruck 1) wird nothwendig P stets kleiner als die Einheit sein müssen, denn die Wahrscheinlichkeit des Eintretens eines gewissen Falles drückt das Verhältniss desselben zu allen möglichen aus; dieses Verhältniss kann daher nur dann der Einheit gleich gesetzt werden, wenn die Fehlergrenzen so weit gezogen werden, dass dieselben alle möglichen Fälle in sich schliessen, denn dann geht die Wahrscheinlichkeit in die Gewissheit $= 1$ über.

Durch diese Betrachtungen ist man in der Lage, das obige bestimmte Integral für einen bestimmten Grenzwertb seinem numerischen Werthe nach anzugeben,

eine Auswerthung, die seiner Zeit von besonderem Nutzen sein wird zur Bestimmung einer Integrationsconstante. Die Gewissheit, dass der Fehler innerhalb der gesteckten Grenzen liegt, wird man nur dann haben, wenn man die Fehlergrenzen unendlich weit steckt, also für $c = \pm \infty$ substituirt, es wird dann $P = 1$ und es besteht daher die für die Folge wichtige Relation:

$$1 = \int_{-\infty}^{+\infty} q'(\mathcal{J}) d\mathcal{J} . \quad 2)$$

Diese Betrachtungen selbst führen aber nicht zur Kenntniss der Form der Function; zu diesem Ende muss man das Problem von einer anderen Seite fassen. Mag man die Unbekannte x , die durch die Beobachtung bestimmt wird, wie immer wählen, so werden, sobald eine bestimmte Annahme über dieselbe gemacht wird, ganz bestimmte Differenzen auftreten zwischen dieser Annahme und den beobachteten Werthen, die durch \mathcal{J}' , \mathcal{J}'' , $\mathcal{J}''' \dots$ dargestellt werden sollen. Die Wahrscheinlichkeiten eines jeden dieser einzelnen Fehler ist aber bestimmt durch $q(\mathcal{J}')$, $q(\mathcal{J}'')$, $q(\mathcal{J}''') \dots$ die Wahrscheinlichkeit aber, dass diese bestimmten Fehler \mathcal{J}' , \mathcal{J}'' , $\mathcal{J}''' \dots$ gleichzeitig vorhanden sind, also mit einer bestimmten Annahme über die Unbekannte eintreten, wird gleich sein dem Producte dieser Wahrscheinlichkeiten, nämlich der zusammengesetzten Wahrscheinlichkeit. Bezeichnet man diese letztere mit W , so wird man haben:

$$W = q(\mathcal{J}') \cdot q(\mathcal{J}'') \cdot q(\mathcal{J}''') \dots \quad 3$$

Diese Productform rechtfertigt sich durch die folgende Betrachtung aus der Wahrscheinlichkeitsrechnung. Tritt unter y Fällen das geforderte Ereigniss nur l mal ein, so ist die Wahrscheinlichkeit seines Eintretens bestimmt durch: $\frac{l}{y}$; sind etwa in einer Urne 10 Kugeln, von denen 6 weiss und 4 schwarz sind, so wird die Wahrscheinlichkeit, dass man mit einem Zuge eine weisse Kugel zieht, sein: $\frac{6}{10}$. Nimmt man weiter eine Urne mit z Kugeln, von denen n weiss sind, so wird die Wahrscheinlichkeit des Zuges einer weissen Kugel sein $\frac{n}{z}$; will man nun die Wahrscheinlichkeit kennen, welche sich darbietet, dass bei gleichzeitigen Zügen aus beiden Urnen zwei weisse Kugeln gehoben werden, so bedenke man, dass im Ganzen yz verschiedene Fälle möglich sind, weil jede Kugel aus der ersten Urne gleichzeitig mit einer jeden Kugel der zweiten Urne gezogen werden kann. Da nun in der ersten Urne l weisse, in der zweiten n vorhanden sind, so ist die Anzahl der möglichen Züge, bei der gleichzeitig weisse Kugeln zum Vorschein kommen, nach demselben Principe ln ; also ist das Verhältniss zwischen den günstigen Fällen (ln) zu den möglichen Fällen (yz) die Wahrscheinlichkeit des Eintretens, somit wird die zusammengesetzte Wahrscheinlichkeit sein: $\frac{l \cdot n}{y \cdot z}$. Die Betrachtungen könnten beliebig fortgesetzt werden und führen zu dem Resultate, dass die zusammengesetzte Wahrscheinlichkeit gleich ist dem Producte der einfachen Wahrscheinlichkeiten der einzelnen Ereignisse. Es ist klar, dass hierbei die völlige

Unabhängigkeit der einzelnen Ereignisse von einander gesichert sein muss. Hiermit erscheint die obige Productform 3) gerechtfertigt.

Es muss nun hervorgehoben werden, dass derjenige Werth der Unbekannten der wahrscheinlichste ist, der W zu einem Maximum macht, da derselbe zu der wahrscheinlichsten Fehlercombination führt. Ist, wie oben, x die Unbekannte, so wird jede Aenderung in x , da dadurch die Fehler J' , J'' , $J''' \dots$ geändert werden, auch den Werth von W beeinflussen; für die Bedingung des Maximums wird man daher haben:

$$\frac{dW}{dx} = 0. \quad 4)$$

Geht man auf die Entstehung der Grössen J' , J'' , $J''' \dots$ zurück, wonach ist:

$$\begin{aligned} J' &= M' - x \\ J'' &= M'' - x \\ J''' &= M''' - x, \\ &\dots \end{aligned}$$

so wird, da die beobachteten Werthe M' , M'' , $M''' \dots$ in einem gegebenen Falle Constante sind, sein:

$$dJ' = dJ'' = dJ''' = -dx,$$

oder:

$$\frac{dJ'}{dx} = \frac{dJ''}{dx} = \frac{dJ'''}{dx} = \dots = -1. \quad 5)$$

Differentirt man also 3) nach x , so erhält man:

$$\begin{aligned} \frac{dW}{dx} &= \{q(J') \cdot q(J'') \cdot \dots\} \frac{dq(J')}{dx} + \{q(J') \cdot q(J''') \cdot \dots\} \frac{dq(J'')}{dx} + \\ &\quad + \{q(J') \cdot q(J'') \cdot \dots\} \frac{dq(J''')}{dx} + \dots \end{aligned}$$

oder auch mit Rücksicht auf die Bedingung des Maximum 4) nach einer offenkundigen Transformation:

$$0 = \frac{W}{q(J')} \frac{dq(J')}{dx} + \frac{W}{q(J'')} \frac{dq(J'')}{dx} + \dots \quad 6)$$

Führt man nun zur Abkürzung für die erste Derivation der Funktion q das Symbol q' ein, so wird sein:

$$\frac{dq(J')}{dJ'} = q'(J'), \quad \frac{dq(J'')}{dJ''} = q'(J''), \dots$$

und die Gleichung 6) kann geschrieben werden, wenn man den gemeinsamen Factor W wegen der links vom Gleichheitszeichen stehenden Null weglässt:

$$\frac{q'(J')}{q(J')} \left(\frac{dJ'}{dx} \right) + \frac{q'(J'')}{q(J'')} \left(\frac{dJ''}{dx} \right) + \dots = 0,$$

oder mit Rücksicht auf 5):

$$\frac{q'(J')}{q(J')} + \frac{q'(J'')}{q(J'')} + \frac{q'(J''')}{q(J''')} + \dots + \frac{q'(J''')}{q(J''')} = 0. \quad 7)$$

Der Satz des arithmetischen Mittels ergab:

$$J' + J'' + J''' + \dots + J''' = 0. \quad 8)$$

welche Relation mit 7) gleichzeitig der Voraussetzung nach bestehen muss. Man könnte geneigt sein, da vorerst die Fehler J' , J'' , $J''' \dots$ von einander unabhängig sind, die einzelnen Glieder der beiden Gleichungen 7 und 8, zu identificiren, nachdem man eine derselben mit dem unbestimmten Factor k multiplicirt hat; letzteres ist nothwendig, da in Folge der Form der Gleichungen (beiderseits steht rechts die Null) constante Factoren verschwunden sein können, wie es auch in der That der Fall ist; man würde durch dieses Verfahren auch richtige Formen erhalten, doch erscheint es strenger zum Nachweise den folgenden Weg einzuschlagen. Aus der Gleichung 8) folgt:

$$J^m = - (J' + J'' + J''' + \dots + J^{m-1}) ,$$

substituirt man diesen Werth in die Gleichung 7, so resultirt:

$$\frac{q'(J')}{q(J')} + \frac{q'(J'')}{q(J'')} + \dots + \frac{q'(J^{m-1})}{q(J^{m-1})} + \frac{q'(-J'-J''-\dots-J^{m-1})}{q(-J'-J''-\dots-J^{m-1})} = 0 .$$

Differentiirt man diesen Ausdruck nach J' , J'' , J''' u. s. w., und schreibt man der Kürze halber:

$$f(J) = \frac{q'(J)}{q(J)} ,$$

so ist, weil

$$\frac{d(-J'-J''-\dots-J^{m-1})}{dJ'} = -1 ,$$

da

$$\frac{df(J')}{dJ'} = \frac{df(-J'-J''-\dots-J^{m-1})}{d(-J'-J''-\dots-J^{m-1})}$$

$$\frac{df(J'')}{dJ''} = \frac{df(-J'-J''-\dots-J^{m-1})}{d(-J'-J''-\dots-J^{m-1})}$$

u. s. f.

also:

$$\frac{df(J')}{dJ'} = \frac{df(J'')}{dJ''} = \frac{df(J''')}{dJ'''} = \dots$$

Da aber nunmehr J' , J'' , $J''' \dots$ völlig unabhängig sind, so kann diese Gleichheit der Differentialquotienten nur bestehen, wenn dieselben einer Constante gleich sind, und man hat also:

$$\frac{df(J)}{dJ} = k .$$

Die Integration dieser Gleichung ergibt:

$$f(J) = \frac{q'(J)}{q(J)} = kJ + c .$$

Die Integrationsconstante c ist aber der Null gleich, wie man sich leicht überzeugt, wenn man das Resultat dieser Gleichung in die Gleichung 7 substituirt und mit der Bedingung 8) vergleicht. Man hat also:

$$\frac{q'(J)}{q(J)} = kJ . \quad 9)$$

Es ist hiermit eine Relation erlangt, die zwischen der Function q und ihrer ersten Derivation besteht, und es wird dadurch die Möglichkeit geboten, die Form

der Funktion zu erüben. Setzt man nun in 9) die früher als Abkürzung eingeführte Relation:

$$q'(J) = \frac{dq(J)}{dJ}$$

ein, so findet sich

$$\frac{dq(J)}{q(J)} = k J dJ,$$

und die Integration lässt finden, wenn man die Integrationsconstante durch log. nat. z darstellt:

$$\log. \text{ nat. } \{q(J)\} = \frac{1}{2} k J^2 + \log. \text{ nat. } z,$$

oder:

$$\log. \text{ nat. } \frac{q(J)}{z} = \frac{1}{2} k J^2,$$

und schliesslich:

$$q(J) = z e^{\frac{1}{2} k J^2}, \quad (10)$$

wobei e die Basis der natürlichen Logarithmen vorstellt.

Ueber das Zeichen von z und k lässt sich aber sofort eine Entscheidung treffen. Da die Wahrscheinlichkeit eine positive Grösse sein muss, so wird zunächst z nothwendig positiv sein müssen, und da weiter z , e und $\frac{1}{2} k$ Constante sind, so wird, wenn J vergrössert und k positiv vorausgesetzt wird, der Werth links vom Gleichheitszeichen ein grösserer, und es tritt der der Erfahrung widersprechende Fall ein, dass die Wahrscheinlichkeit grösserer Fehler grösser ist, als die kleinerer, während gerade das Gegentheil stattfindet; ist aber k negativ, so tritt sofort die erwünschte Uebereinstimmung mit der Erfahrung hervor; um dies anzuzeigen, soll in der Folge gesetzt werden:

$$\frac{1}{2} k = -h^2,$$

und man hat also:

$$q(J) = z e^{-h^2 J^2} \quad (11)$$

welche Gleichung nun q der Form nach vollkommen bestimmt. Die Constanten z und h bedürfen aber noch einer näheren Bestimmung, und es soll zunächst die Bestimmung von z vorgenommen werden. Es ist oben pag. 283 die Gleichung gefunden worden:

$$\int_{-\infty}^{+\infty} q(J) dJ = 1.$$

hervorgegangen aus der Betrachtung, dass man mit Gewissheit voraussetzen darf, dass die Fehler innerhalb der Grenzen $\pm \infty$ eingeschlossen sind; ersetzt man nun die Funktion q durch ihre jetzt bekannte Form, so hat man:

$$z \int_{-\infty}^{+\infty} e^{-h^2 J^2} dJ = 1, \quad (12)$$

woraus sofort resultirt, dass eine Bestimmung der Constante z durch diese Relation möglich ist, sobald der Werth des vorliegenden bestimmten Integrales, welches ein

Euler'sches Integral (Gammafunktion) ist, bekannt ist. Um dasselbe zu entwickeln, setze man:

$$\begin{aligned} h J &= t \\ dJ &= \frac{dt}{h} \end{aligned}$$

und man hat die Form:

$$\frac{x}{h} \int_{-\infty}^{+\infty} e^{-t} dt = 1. \quad 13$$

Es ist aber:

$$\int_{-\infty}^{+\infty} e^{-t} dt = \int_{-\infty}^0 e^{-t} dt + \int_0^{+\infty} e^{-t} dt.$$

und vermöge der Form der Funktion t erscheint nur in quadratischer Form:

$$\frac{1}{2} \int_{-\infty}^{+\infty} e^{-t} dt = \int_0^{+\infty} e^{-t} dt = J. \quad 14$$

Da nun der Werth eines bestimmten Integrales nicht geändert werden kann, wenn man statt der Variablen eine andere Bezeichnung einführt, so wird man haben:

$$\int_0^{+\infty} e^{-vv} dv = J. \quad 15$$

Multipliziert man die beiden Gleichungen 14) und 15) und beachtet, dass die Integrationsordnung beliebig ist, so erhält man:

$$J^2 = \int_0^{+\infty} \int_0^{+\infty} e^{-(t+vv)} dt dv.$$

Setzt man nun:

$$v = tu; \quad \text{also} \quad dv = t du,$$

so wird auch:

$$J^2 = \int_0^{+\infty} du \int_0^{+\infty} t e^{-t(1+uu)} dt.$$

Führt man zuerst die Integration nach t aus, so muss u als Constante angesehen werden, man hat also setzend:

$$t^2 - 1 + u^2 = x,$$

auch:

$$t dt = \frac{dx}{2(1+u^2)},$$

und es wird:

$$\int_0^{+\infty} t e^{-t(1+uu)} dt = \frac{1}{2(1+u^2)} \int_0^{+\infty} e^{-x} dx = \left[-\frac{e^{-x}}{2(1+u^2)} \right]_{x=0}^{x=+\infty}.$$

Für die obere Grenze verschwindet der Werth des Integrales, für die untere wird er aber:

$$= \frac{1}{2(1+u^2)}.$$

man hat also:

$$J^2 = \int_0^{\infty} \frac{du}{2(1+u^2)} = \left[\frac{1}{2} \arctan u \right]_{u=0}^{u=\infty}.$$

Für die obere Grenze wird aber der Werth des Integrales $\frac{\pi}{4}$, für die untere verschwindet er; man hat demnach:

$$J^2 = \frac{\pi}{4}.$$

oder:

$$\int_{-\infty}^{+\infty} e^{-u^2} du = \sqrt{\pi}. \quad (16)$$

Setzt man also diesen Werth des bestimmten Integrales in die Gleichung 13., so resultirt:

$$\frac{z}{h} \sqrt{\pi} = 1$$

oder

$$z = \frac{h}{\sqrt{\pi}}.$$

und die Gleichung 11. erhält die Form:

$$q(J) = \frac{h}{\sqrt{\pi}} e^{-h^2 J^2} \quad (17)$$

welche Gleichung nur mehr die Constante h enthält, auf welche weiter unten näher eingegangen werden soll; hier sei nur vorläufig bemerkt, dass dieselbe ganz wesentlich mit der Güte der Beobachtungen im Zusammenhang steht und daher den Namen »Maass der Präcision« erhalten hat.

Mit der Gleichung 17. ist die Eingangs dieses Paragraphen vorgelegte Frage beantwortet, indem dieselbe die Wahrscheinlichkeit des Eintretens des Fehlers J als Funktion von J darstellt. Die Form selbst ist symmetrisch, erreicht ihr Maximum für $J=0$, und wird erst der Null gleich für $J=\infty$.

§ 3. Das Maass der Präcision.

Die Gleichung 17. des vorausgehenden Paragraphen enthält die Constante h , deren Bedeutung noch klar zu legen ist. $q(J)$ drückt die Wahrscheinlichkeit aus des Eintretens eines Fehlers von der Grösse J ; je genauer eine Beobachtungsreihe ist, um so kleiner werden die zu erwartenden Fehler sein, während die Wahrscheinlichkeit als das Verhältniss der günstigen zu allen möglichen Fällen

offenbar nicht von der Genauigkeit der Beobachtungsreihe abhängig sein kann; es hat demnach die Constante h die Aufgabe, die geforderte Ausgleichung vorzunehmen. Bevor aber weiter vorgegangen werden kann, muss der Inhalt des Begriffes, welchen man durch das Wort Genauigkeit ausdrückt, näher definiert werden. Vorerst wird man sofort erkennen, dass die Genauigkeit eine Relativzahl sein muss, die das Verhältniss der Güte der Beobachtungen gegen einander bestimmt; wenn nun die Wahrscheinlichkeit, dass der Fehler irgend einer Beobachtung oder irgend eines Resultates aus Beobachtungen zwischen den Grenzen $-\gamma$ und $+\gamma$ liegt, der Wahrscheinlichkeit gleich ist, dass der Fehler irgend einer anderen Beobachtung oder eines Beobachtungsergebnisses zwischen den Grenzen $-\delta$ und $+\delta$ liegt, so wollen wir die Voraussetzung machen, dass sich die Genauigkeit des ersten Resultates zum zweiten, wie δ zu γ verhält; oder in Worten: die Genauigkeiten verhalten sich umgekehrt zu einander, wie die den Resultaten zuzuschreibenden Fehler. Es ist somit der Begriff »Genauigkeit«, wie derselbe in der Folge genommen werden soll, definiert.

Die Wahrscheinlichkeiten, dass ein Fehler beziehungsweise zwischen den Grenzen $-\gamma$ und $+\gamma$ und $-\delta$ und $+\delta$, enthalten ist, ist aber (vergl. 1. pag. 282) bestimmt durch:

$$\int_{-\gamma}^{+\gamma} \frac{h}{\sqrt{\pi}} e^{-hhJJ} dJ, \quad \int_{-\delta}^{+\delta} \frac{H}{\sqrt{\pi}} e^{-HHJJ} dJ,$$

wobei sofort für die Constante h in beiden Systemen verschiedene Buchstaben gewählt wurden, da man schon aus den diesen Paragraphen einleitenden Betrachtungen weiss, dass die Constante h eine Funktion der Genauigkeit sein wird. Sollen aber die obigen Fehlergrenzen für die beiden Systeme dieselbe Wahrscheinlichkeit haben, so wird sein müssen:

$$\int_{-\gamma}^{+\gamma} h e^{-hhJJ} dJ = \int_{-\delta}^{+\delta} H e^{-HHJJ} dJ.$$

Setzt man nun

$$hJ = x, \quad HJ = y,$$

so wird die Einführung der neuen Variablen in die obigen Integrale mit Rücksicht auf die Aenderung der Grenzen ergeben:

$$\int_{-\gamma h}^{+\gamma h} e^{-x^2} dx = \int_{-\delta H}^{+\delta H} e^{-y^2} dy.$$

Da bei den bestimmten Integralen der Unterschied der Buchstaben x und y ohne Bedeutung ist, so können diese beiden Integrale im Allgemeinen einander nur gleich werden, wenn ist:

$$\gamma h = \delta H,$$

oder auch:

$$h : H = \delta : \gamma.$$

d. h. die verschiedenen Werthe der Grösse h verhalten sich zu einander, wie umgekehrt die den Resultaten mit gleicher Wahrscheinlichkeit zuzuschreibenden Fehler. Hält man dieses Resultat mit der obigen Definition über die Genauigkeit zusammen, so resultirt der Satz, dass sich die verschiedenen h zu einander verhalten, wie die Genauigkeiten; deshalb nennt Gauss die Constante h »das Maass der Präcision«, wobei aber wohl zu beachten ist, dass das Maass der Präcision von dem Ausdrucke Gewicht, der oben (pag. 279) näher erläutert wurde, streng zu trennen ist. Auf die Relation, die jedoch zwischen diesen beiden Begriffen zweifellos besteht, wird später zurückgekommen werden.

Da nun die Bedeutung der Constante h erkannt ist, wird es möglich sein, den oben pag. 277 auf ganz anderem Wege bewiesenen Satz, dass der wahrscheinlichste Werth, der durch das arithmetische Mittel defnirt wird, auch dadurch bestimmt ist, dass die Summe der Fehlerquadrate ein Minimum ist, in einfacher Weise zu verificiren.

Die Wahrscheinlichkeit eines Fehlersystemes W ist oben (pag. 283) dargestellt worden durch:

$$W = q \cdot f' \cdot q \cdot f'' \cdot q \cdot f''' \dots$$

Sind nun der Zahl nach m Beobachtungen von gleicher Präcision vorhanden, so würde sich nach Gleichung 17) pag. 288 hierfür schreiben lassen:

$$W = \left(\frac{h}{\sqrt{\pi}} \right)^m e^{-hh(f'^2 + f''^2 + \dots + f_m^2)};$$

man ist aber für W das Maximum zu suchen, da der wahrscheinlichste Werth verlangt wird; es wird aber, da π und e an sich Constante sind und h es ebenfalls ist für einen bestimmten Fall, dies nur dann erreicht werden können, wenn man den Exponenten von e zu einem Minimum macht, welche Bedingung sofort den Schluss gestattet, dass die Summe der Fehlerquadrate ein Minimum sein muss.

Mit Rücksicht auf die Bedeutung der Grösse h kann man das eben erhaltene Princip auf Beobachtungen von verschiedener Präcision ausdehnen; wären die Präcisionen der verschiedenen Beobachtungen beziehungsweise h' , h'' , h''' u. s. f., so wird für die Wahrscheinlichkeit eines Systemes von m Fehlern sich ähnlich wie oben ergeben:

$$W = \frac{h' \cdot h'' \cdot \dots h^m}{\sqrt{\pi^m}} e^{-(h'h'f'^2 + h''h''f''^2 + \dots + h^m h^m f_m^2)}.$$

Nun ist aber in einem concreten Falle das Product $h' \cdot h'' \dots h^m$ eine Constante, demnach wird W ein Maximum, wenn

$$h' h' f'^2 + h'' h'' f''^2 + \dots + h^m h^m f_m^2$$

ein Minimum ist. Bei Beobachtungen verschiedener Genauigkeit bestimmt sich daher der wahrscheinlichste Werth der Unbekannten dadurch, dass man die Summe der Quadrate aus dem Producte der Fehler in die Präcisionen zu einem Minimum macht.

Differentiirt man den eben erhaltenen Ausdruck nach f' , $f'' \dots f^m$ und setzt das Resultat der Null gleich, so ist der Bedingung des Minimums, mit Rücksicht dass in einem gegebenen Falle $d f' = d f'' = d f''' \dots$ ist, genügt durch:

$$h' h' f' + h'' h'' f'' + \dots + h^m h^m f^m = 0.$$

Vergleicht man mit diesem Resultate die Bestimmung des wahrscheinlichsten Werthes einer Unbekannten (Gleichung 6 pag. 280) aus Beobachtungen mit verschiedenem Gewichte und schreibt in der citirten Gleichung statt m' und $(x' - x)$ die Buchstaben p' und f' und analog die übrigen Grössen, so wird man zufolge dieser Gleichung haben:

$$p' f' + p'' f'' + \dots + p^m f^m = 0.$$

und daraus unmittelbar den Schluss ziehen dürfen, unbeschadet dass die beiden Gleichungen mit willkürlichen constanten Factoren durchmultiplicirt sein können, dass die Quadrate der Präcisionen sich zu einander verhalten, wie die Gewichte oder die Präcisionen sich zu einander verhalten wie die Quadratwurzeln der Gewichte. Dieser wichtige Satz wird sich später wieder auf einem ganz andern Wege beweisen lassen.

§ 4. Der wahrscheinliche Fehler.

Ein mit dem Maasse der Präcision sehr nahe verwandter Ausdruck ist in der Methode der kleinsten Quadrate der Begriff des wahrscheinlichen Fehlers. Es soll unter dem Ausdrücke wahrscheinlicher Fehler jener Fehler definirt erscheinen, der die Eigenschaft hat, dass in einem gegebenen Falle der Wahrscheinlichkeit nach, sowohl ebenso viele Fehler grösser als auch kleiner gefunden werden wie er selbst ist, so dass er, wenn man die Fehler ihrer absoluten Grösse nach geordnet hinschreibt, in die Mitte derselben zu stehen kommt.

Mit Rücksicht auf die bisherigen Entwicklungen hat man:

$$\frac{2h}{\sqrt{\pi}} \int_0^x e^{-hh f f} d f = 1.$$

Es sei durch r der wahrscheinliche Fehler bezeichnet; zerfällt man das oben hingeschriebene Integral dieser Grenze entsprechend, so hat man auch:

$$\frac{2h}{\sqrt{\pi}} \int_0^r e^{-hh f f} d f + \frac{2h}{\sqrt{\pi}} \int_r^x e^{-hh f f} d f = 1.$$

Da diese Integrale die Wahrscheinlichkeit des Vorkommens der Fehler zwischen den bezüglichen Grenzen darstellen, so muss der Definition nach für den wahrscheinlichen Fehler sein:

$$\int_0^r e^{-hh f f} d f = \int_r^x e^{-hh f f} d f,$$

oder mit Rücksicht auf die erstere Relation:

$$\frac{2}{1-\pi} \int_0^1 e^{-h h \pi \pi} d\pi = \frac{1}{2}; \quad 1)$$

setzt man, um die weiteren Entwicklungen bequemer zu gestalten:

$$t = h \pi \\ dt = h d\pi,$$

so wird für die Grenze $\pi = r$ zu setzen sein: $t = hr$; da aber dieser Werth von t in einem gegebenen Falle ein völlig bestimmter ist, so soll für denselben der Buchstabe T eingeführt werden; man hat also:

$$T = hr \quad \text{oder} \quad r = \frac{T}{h}.$$

Man erhält demnach mit Rücksicht auf 1) für die Bestimmung der Grenze T die Gleichung:

$$\int_0^T e^{-t} dt = \frac{1}{4}. \quad 2)$$

Es ist sofort klar, dass diese Gleichung nur durch Versuche gelöst werden kann, etwa in der Weise, dass man sich eine Integraltafel für das vorliegende Integral mit dem Argumente »obere Grenze« entwirft und jenen Werth des Argumentes durch Interpolation zu finden sucht, der der Relation 2) genügt. Es stellt sich daher vorerst die Aufgabe, das vorgelegte Integral numerisch auszuwerthen. Es lassen sich hierzu sehr verschiedene analytische Methoden angeben, die aber alle sehr beschwerlich in der Ausführung werden, wenn T nahe der Einheit gleich ist; ich will hier nur einige dieser Methoden kurz anführen.

Ist T klein, so kann man mit Vortheil die Integration durch Theilung anwenden; man erhält sofort:

$$\int e^{-t} dt = t e^{-t} + 2 \int t^2 e^{-t} dt.$$

Setzt man dieses Verfahren fort, so findet sich:

$$\int e^{-t} dt = t e^{-t} + \frac{2}{3} t^3 e^{-t} + \frac{2}{3} \cdot 2 \int t^4 e^{-t} dt,$$

und man erhält schliesslich die Reihe:

$$\int e^{-t} dt = t e^{-t} \left\{ 1 + \frac{2}{3} t^{2.1} + \frac{(2/3)^2}{3.5} + \frac{(2/3.5)^3}{3.5.7} + \dots \right\}$$

und durch Einführung der Grenzen:

$$\int_0^T e^{-t} dt = T e^{-T} \left\{ 1 + \frac{2}{3} T^{2.1} + \frac{2}{3.5} T^{2.2} + \frac{2}{3.5.7} T^{2.3} + \dots \right\},$$

welche Reihe jedoch nur mit Vortheil angewendet wird, so lange $T < 1$ ist, wiewohl dieselbe theoretisch für jeden endlichen Werth von T convergirt.

Ist aber $T > 1$, so empfiehlt sich die folgende von Laplace ausgeführte Verwandlung des obigen Integrales in einen Kettenbruch. Setzt man:

$$e^{tu} \int e^{-tu} dt = u_0 ,$$

so ist:

$$\begin{aligned} \frac{du_0}{dt} &= 2t e^{tu} \int e^{-tu} dt + 1 = 2t u_0 + 1 = u_1 \\ \frac{d^2 u_0}{dt^2} &= \frac{du_1}{dt} = 2u_1 t + 2u_0 = u_2 \\ \frac{d^3 u_0}{dt^3} &= \frac{du_2}{dt} = 2u_2 t + 4u_1 = u_3 \\ \frac{d^4 u_0}{dt^4} &= \frac{du_3}{dt} = 2u_3 t + 6u_2 = u_4 . \end{aligned}$$

oder allgemein:

$$u_{n+1} = 2u_n t + 2n u_{n-1} ,$$

in welchem Ausdruck n der Reihe nach die Werthe 1, 2, 3 ... annehmen kann. Dividirt man nun diesen Ausdruck beiderseits mit u_n , um das Verhältniss von zwei auf einander folgenden Differentialquotienten zu kennen, so wird:

$$\frac{u_{n+1}}{u_n} = 2t + 2n \frac{u_{n-1}}{u_n} ,$$

woraus folgt:

$$\frac{\frac{u_{n+1}}{u_n} - 2t}{2n} = \frac{u_{n-1}}{u_n} ,$$

und es wird dann sein:

$$\frac{u_n}{u_{n-1}} = - \frac{2n}{2t - \frac{u_{n+1}}{u_n}} = - \frac{\frac{2n}{2t}}{1 - \frac{1}{2t} \frac{u_{n+1}}{u_n}} .$$

schreibt man also:

$$k = \frac{1}{2t^2} ,$$

so erhält man auch:

$$\frac{u_n}{u_{n-1}} = - \frac{2n \sqrt{\frac{k}{2}}}{1 - \frac{u_{n+1}}{u_n} \sqrt{\frac{k}{2}}} .$$

3

wodurch das Verhältniss zweier auf einander folgender Differentialquotienten durch das Verhältniss des höheren derselben gegen den nächst höheren ausgedrückt erscheint unter dem Vorbehalte, dass nicht $n = 0$ ist, indem in diesem Falle die obige allgemeine Formel ihre Gültigkeit verliert. Es soll nun das Verhältniss in diesem speciellen Falle untersucht werden, also u_0 durch $\frac{u_1}{u_0}$ ausgedrückt werden. Es war aber oben die Relation gefunden worden:

$$u_1 = 2u_0 t + 1 .$$

also ist:

$$\frac{u_1}{u_0} = 2t + \frac{1}{u_0}, \quad \frac{1}{u_0} = \frac{u_1}{u_0} - 2t,$$

wonach nun geschrieben werden kann:

$$e^{2t} \int e^{-2t} dt = u_0 = - \frac{1}{2t - \frac{u_1}{u_0}};$$

multipliziert man linker Hand mit $2t$ und dividirt den Nenner rechter Hand durch $2t$ und ersetzt diese letztere Grösse durch k , so findet sich sofort:

$$2t \cdot e^{2t} \int e^{-2t} dt = - \frac{1}{1 - \frac{u_1}{u_0} \sqrt{\frac{k}{2}}} \quad 4)$$

welche Relation die Bestimmung des Integrales von der Kenntniss des Werthes $\frac{u_1}{u_0}$ abhängig macht, es ist aber nach 3 (pag. 293):

$$\frac{u_1}{u_0} = - \frac{2 \sqrt{\frac{k}{2}}}{1 - \frac{u_2}{u_1} \sqrt{\frac{k}{2}}}$$

$$\frac{u_2}{u_1} = - \frac{2 \cdot 2 \sqrt{\frac{k}{2}}}{1 - \frac{u_3}{u_2} \sqrt{\frac{k}{2}}}$$

$$\frac{u_3}{u_2} = - \frac{2 \cdot 3 \sqrt{\frac{k}{2}}}{1 - \frac{u_4}{u_3} \sqrt{\frac{k}{2}}}$$

n. s. w.

Substituirt man successive diese Werthe in 4), so findet sich leicht der folgende Kettenbruch:

$$2te^{2t} \int e^{-2t} dt = - \frac{1}{1 + \frac{k}{1 + \frac{2k}{1 + \frac{3k}{1 + \frac{4k}{\dots}}}}}$$

dessen Bildungsgesetz klar ist. Führt man nun in diesem Ausdrucke die Grenze $0 = T$ ein, so wird der Ausdruck die unbestimmte Form $\frac{0}{0}$ erhalten; nun ist aber (vergl. 16) pag. 288):

$$\int_0^T e^{-2t} dt = \frac{1}{2} \sqrt{\frac{k}{2}},$$

also ist auch:

$$\int_0^T e^{-2t} dt = \frac{1}{2} \sqrt{\frac{k}{2}} - \int_T^{\infty} e^{-2t} dt.$$

Man erhält demnach durch Einsetzung der Grenzen T und ∞ in dem Kettenbruche unter Berücksichtigung der Bedeutung von k :

$$\int_0^T e^{-u} dt = \frac{1}{2} \{ \pi - \frac{e^{-TT}}{2T} \left\{ \frac{1}{1 + \frac{1}{2T^2}} \right. \\ \left. \frac{2}{1 + \frac{2}{2T^2}} \right. \\ \left. \frac{3}{1 + \frac{3}{2T^2}} \right\} \} .$$

Viel rascher als nach irgend einer Methode erhält man den numerischen Werth, wenn man auf das vorgelegte Integral die mechanische Quadratur anwendet, welches Beispiel ausführlich pag. 36 u. ff. behandelt ist. Es soll nun mit Hilfe der daselbst gefundenen Zahlen der numerische Werth von T bestimmt werden, der der Gleichung 2, pag. 292 genügt; es ist bekanntlich:

$$\frac{1}{4} \pi = 0.443\ 1134\ 627 .$$

Vergleicht man diesen Werth mit der Integraltafel Tafel X, so sieht man sofort, dass die gesuchte Grenze zwischen die Argumentwerthe 0.47 und 0.48 fällt; interpolirt man das betreffende Intervall in engere Grenzen, so erhält man die folgende Specialtafel:

	J			f^I	f^{II}	f^{III}
0.475	0.441	5697	030			
				+ 7976	381	
0.476	0.442	3073	411		— 7590	
				+ 7968	701	— 9
0.477	0.443	1642	202		— 7509	
				+ 7961	102	— 8
0.478	0.443	9603	394		— 7607	
				+ 7953	585	
0.479	0.444	7556	979			

Der zu suchende Werth liegt daher sehr nahe dem Argumente 0.477.

Stellt man daher mit Hilfe der Differenzwerthe vom Argumente 0.477 ausgehend die Funktion nach Potenzen von u , dem Abstände vom nächsten Argumente in Einheiten des Intervalles, dar, so erhält man als Bestimmungsgleichung für u

$$0.443\ 1134\ 627 = 0.443\ 1642\ 202 + 0.000\ 7964\ 903\ u - 0.000\ 0003\ 799\ u^2 ,$$

woraus folgt:

$$u = - 0.0637\ 239 .$$

es ist mithin der gesuchte Werth von T , der als Specialwerth mit q bezeichnet werden soll:

$$q = 0.476\ 9362\ 761 .$$

der nur um wenige Einheiten der zehnten Decimale unrichtig sein kann. Es ist also, wenn wie oben (pag. 292 mit r der wahrscheinliche Fehler, mit h das Maass der Präcision bezeichnet wird,

$$q = hr . \quad h = \frac{q}{r} , \quad r = \frac{q}{h} . \quad 5$$

wobei durch die numerische Bestimmung von q erreicht wird, dass man der durch die Gleichung 1 (pag. 292) ausgedrückten Bedingung genügt.

Das Maass der Präcision ist demnach umgekehrt proportional dem wahrscheinlichen Fehler und kann bestimmt werden, sobald der wahrscheinliche Fehler r bekannt ist. Indem es sofort klar ist, dass eine Bestimmung des wahrscheinlichen Fehlers möglich sein wird, wenn man sich nur vergegenwärtigt, dass nach der Definition für denselben aus einer grösseren Beobachtungsreihe schon ein Näherungswerth erlangt werden muss, wenn man die Beobachtungsfehler ihrer Grösse nach ordnet und den Fehler der bei dieser Anordnung in die Mitte fallenden Beobachtung (ungerade Anzahl der Beobachtungen) oder das Mittel der Fehler der beiden mittleren Beobachtungen (gerade Anzahl) als Werth für r annimmt. Wiewohl später schärfere Methoden angegeben werden zur Erlangung des Werthes von r , so genügt doch dieser Hinweis, dass die Möglichkeit geboten ist, im gegebenen Falle das Maass der Präcision h numerisch festzustellen und hiermit erscheint das Integral

$$\int_a^b \frac{h}{\sqrt{\pi}} e^{-hh^2 JJ} dJ, \quad 6)$$

welches die Wahrscheinlichkeit angibt für das Auftreten eines bestimmten Fehlers innerhalb der willkürlichen Grenzen a und b , vollständig bestimmt.

Wenn man die bisherigen Entwicklungen überblickt, so sieht man, dass aus dem Axiom des arithmetischen Mittels allein die Herstellung des eben hingeschriebenen Integrales möglich war; die gemachten Schlussfolgerungen erscheinen aber nur dann völlig streng, wenn eine unendliche Anzahl von Beobachtungen, die frei von constanten Fehlern sind, vorliegt; man wird demnach, da in einem speciellen Falle doch nur eine endliche Anzahl von Beobachtungen vorliegen kann, mit einem halbwegs annehmbaren Grade von Sicherheit den Resultaten dieser Formel nur dann Vertrauen schenken dürfen, wenn die Beobachtungen zahlreich sind; sind sie es aber nicht, so werden die nach diesen Principien abgeleiteten Resultate zwar im grossen Durchschnitte den thatsächlichen Verhältnissen entsprechen, können aber im speciellen Falle trügerisch sein.

Die Formel 6) wird eine zweckmässige Gelegenheit bieten, die theoretisch gefundene Form durch die Beobachtungen selbst zu prüfen; setzt man vorerst voraus, dass r in irgend einer Weise für eine specielle Beobachtungsreihe bestimmt vorliege, also h bestimmbar ist nach 5) (pag. 295) (die Zahl der Beobachtungen sei m) so wird, wenn man, da das Auftreten negativer und positiver Fehler nach der quadratischen Form von 6) gleiche Wahrscheinlichkeit hat, die Fehler ihrer absoluten Grösse nach in Rechnung zieht, die Wahrscheinlichkeit des Auftretens eines bestimmten Fehlers innerhalb der Grenzen $\pm J_1$ bestimmt sein durch:

$$m \int_{-J_1}^{+J_1} \frac{h}{\sqrt{\pi}} e^{-hh^2 JJ} dJ.$$

wobei sich die Multiplication mit m daraus erklärt, dass das vorgelegte Integral der Bestimmung der Constanten gemäss für die Grenzen $-\infty$ und $+\infty$ der Einheit (Gewissheit) gleich wird. Um nun dieses Integral in eine Tafel bringen zu können, wollen wir die schon mehrfach ausgeführte Substitution

$$h \cdot J = t$$

anwenden und erhalten hierfür:

$$m \int_{-hJ_1}^{+hJ_1} e^{-\frac{t^2}{h^2}} dt = m \cdot \frac{2}{\sqrt{\pi}} \int_0^{hJ_1} e^{-t^2} dt.$$

Das zuletzt angeführte Integral ist bereits numerisch durch die Tafel X gegeben; zur bequemen Anwendung habe ich aber aus dieser Tafel durch Multiplication mit $\frac{2}{\sqrt{\pi}}$ eine kleinere Tafel (Tafel XIV) abgeleitet, die auf 5 Decimalen, was für die vorliegenden Zwecke mehr als ausreichend ist, den Werth des bestimmten Integrales

$$J = \frac{2}{\sqrt{\pi}} \int_0^{hJ} e^{-t^2} dt$$

mit dem Argumente obere Grenze $= hJ_1$ angibt; es wird also die Anzahl der Fehler A_1 sein, die der Wahrscheinlichkeit gemäss ihrer absoluten Grösse nach zwischen den Grenzen 0 und J_1 liegen für eine Beobachtungsreihe von m Beobachtungen, deren Maass der Präcision h ist:

$$A_1 = m J_{hJ_1}.$$

für die Fehlergrenze J_2 erhält man ähnlich:

$$A_2 = m J_{hJ_2},$$

u. s. f., es wird daher die Anzahl der Fehler A_2 zwischen den Grenzen J_1 und J_2 bestimmt sein, wenn man sich vorstellt, dass $J_2 > J_1$ ist, durch:

$$A_2 = m \{ J_{hJ_2} - J_{hJ_1} \}. \quad 7$$

Theilt man demnach für eine gegebene Beobachtungsreihe die Fehler entsprechend ihrer Grösse in Gruppen, so erhält man empirisch das Gesetz der Fehlervertheilung; vergleicht man diese Erfahrungsergebnisse mit der Formel 7, so erhält man ein Bild, in wie weit die theoretisch gefundenen Grundlagen mit der Erfahrung stimmen. Indem weiter unten ein ausführliches Beispiel für die Behandlung einer Beobachtungsreihe nach den hier dargelegten Methoden vorgenommen werden wird, schalte ich hier nur die Bemerkung ein, dass die Erfahrung in der That das Resultat der Formel 7) bestätigt, wenn nur den allgemein notwendigen Forderungen genügt wird; es zeigt sich nur im Allgemeinen die Abweichung, dass grosse Fehler in der Praxis etwas häufiger vorkommen, als es die Theorie gestattet, was wohl darin seine Erklärung findet, dass selbst bei den sorgfältigst angestellten Beobachtungsreihen eine oder die andere Beobachtung durch ein zufälliges Versehen im höheren Maasse entstellt wird, eine Discontinuität, die den Forderungen der Methode entgegen ist.

§ 5. Der Durchschnittsfehler und der mittlere Fehler.

Zieht man aus allen Beobachtungsfehlern das Mittel ohne Rücksicht auf das Vorzeichen derselben, also ihrem absoluten numerischen Werthe nach, so soll das so gewonnene Resultat mit dem Namen »Durchschnittsfehler« bezeichnet und für denselben der Buchstabe η gesetzt werden; man bezeichnet wohl auch diesen so bestimmten Fehler als »Mittel der Fehler«. Bildet man aber das arithmetische Mittel aus den Fehlerquadraten und zieht aus diesem Mittel die Quadratwurzel, so erhält man den »mittleren Fehler«, der mit dem Buchstaben ε bezeichnet werden soll. Man wird zu beachten haben, dass beide Definitionen völlig willkürlich sind, durch dieselben aber ganz bestimmte Begriffe bezeichnet werden. Sind also (\mathcal{J}) , (\mathcal{J}') , \dots , (\mathcal{J}^m) die wahren Beobachtungsfehler ohne Rücksicht auf das Vorzeichen ihrer absoluten Grösse nach, und m die Zahl der Beobachtungen, so bestehen den obigen Definitionen gemäss die Relationen:

$$\begin{aligned} \text{Durchschnittsfehler} &= \eta = \frac{1}{m} \{ (\mathcal{J}) + (\mathcal{J}') + \dots + (\mathcal{J}^m) \} \\ \text{mittlerer Fehler} &= \varepsilon = \sqrt{\frac{\mathcal{J}^2 \mathcal{J}^2 + \mathcal{J}'^2 \mathcal{J}'^2 + \dots + \mathcal{J}^m \mathcal{J}^m}{m}}. \end{aligned}$$

Mit Hilfe dieser Relationen wird man in der Lage sein, das Verhältniss der eben hingeschriebenen Fehler zu dem wahrscheinlichen Fehler zu bestimmen. Es ist bekannt, dass durch $q(\mathcal{J})$, wo die Form der Funktion nunmehr durch die vorstehenden Untersuchungen völlig festgestellt ist, die Wahrscheinlichkeit des Eintretens eines Fehlers von der Grösse \mathcal{J} dargestellt wird: ist m die Anzahl der Beobachtungen, so werden $m q(\mathcal{J})$ Fehler von der Grösse \mathcal{J} auftreten; man wird also, wenn man die Summe der Fehler ihrem absoluten Werthe nach bildet, demnach für diese Summe erhalten aus jenen Fehlern die die Grösse \mathcal{J}_1 haben: $\mathcal{J}_1 m q(\mathcal{J}_1)$, aus jenen Fehlern von der Grösse \mathcal{J}_2 wird sich die Summe bilden $\mathcal{J}_2 m q(\mathcal{J}_2)$ u. s. f.; es ist demnach:

$$(\mathcal{J}) + (\mathcal{J}') + \dots + (\mathcal{J}^m) = m \{ \mathcal{J}_1 q(\mathcal{J}_1) + \mathcal{J}_2 q(\mathcal{J}_2) + \mathcal{J}_3 q(\mathcal{J}_3) + \dots \},$$

oder auch:

$$\eta = \Sigma \mathcal{J} q(\mathcal{J}).$$

Setzt man nun wieder eine grosse Beobachtungsreihe voraus, so ist es erlaubt sich die obige Summe näherungsweise durch ein Integral ersetzt zu denken und man erhält mit Rücksicht auf die bisherigen Entwicklungen:

$$\eta = \int_{-\infty}^{+\infty} \mathcal{J} q(\mathcal{J}) d\mathcal{J} = \frac{2}{h\sqrt{\pi}} \int_0^{\infty} h\mathcal{J} e^{-h^2 \mathcal{J}^2} d\mathcal{J}.$$

Um nun das eben aufgestellte Integral auszuwerthen, setze man $h\mathcal{J} = t$, es wird demnach:

$$\eta = \frac{1}{h\sqrt{\pi}} \int_0^{\infty} 2t e^{-t^2} dt = \left(-\frac{e^{-t^2}}{h\sqrt{\pi}} \right)_0^{\infty}.$$

nach Einführung der Grenzen resultirt:

$$v_i = \frac{1}{h \sqrt{\pi}} .$$

man war oben (pag. 295) gefunden worden

$$h = \frac{q}{r} ,$$

wobei q eine Constante ($q = 0.17694$) vorstellt und r der wahrscheinliche Fehler ist. Substituirt man diesen Werth für h in dem Ausdruck für v_i , so erhält man die folgende lineare Relation, die zwischen dem Durchschnittsfehler v_i und dem wahrscheinlichen Fehler r besteht:

$$v_i = \frac{r}{q \sqrt{\pi}} = 1.1829 r ,$$

oder:

$$r = q \sqrt{\pi} \cdot v_i = 0.8453 v_i . \quad 1)$$

In ganz ähnlicher Weise wird sich die Relation zwischen dem mittleren Fehler ϵ und dem wahrscheinlichen r herstellen lassen. Sind wieder m Beobachtungen vorhanden, so werden Fehler von der Grösse J_1 vorhanden sein $m q \cdot J_1$, also der Beitrag zur Summe der Fehlerquadrate $m J_1^2 q \cdot J_1$, ebenso erhält man als den Beitrag für die Summe der Fehlerquadrate aus den Fehlern von der Grösse J_2 den Werth $m J_2^2 q \cdot J_2$, es ist also, ähnlich wie früher:

$$\epsilon^2 = \sum J^2 q \cdot J .$$

Ersetzt man wieder, eine grosse Beobachtungsreihe voraussetzend, die Summe durch ein Integral, führt für $q \cdot J$ die bereits bekannte Form ein und dehnt die Grenzen, um alle Fehler zu umfassen, bis auf ∞ aus, so wird:

$$\epsilon^2 = \frac{h}{\sqrt{\pi}} \int_{-\infty}^{+\infty} J^2 e^{-h^2 J^2} dJ = \frac{2h}{\sqrt{\pi}} \int_0^{\infty} J^2 e^{-h^2 J^2} dJ .$$

Zur Auswerthung dieses bestimmten Integrales setze man $hJ = t$, so erhält man zunächst:

$$\epsilon^2 = \frac{1}{h^2 \sqrt{\pi}} \int_0^{\infty} 2 t t e^{-t^2} dt ,$$

dieses Integral lässt sich aber leicht auf bekannte Formen zurückführen. Wendet man darauf die theilweise Integration an, so ist, wenn man setzt:

$$y = e^{-t^2} , \quad dx = dt$$

$$\int_0^{\infty} 2 t t e^{-t^2} dt = \left[-t e^{-t^2} \right]_0^{\infty} + \int_0^{\infty} e^{-t^2} dt .$$

Das erste Glied wird durch Einsetzung der Grenzen der Null gleich, das zweite Glied ist aber bereits oben (pag. 288) entwickelt und gleich $\frac{\sqrt{\pi}}{2}$, es ist also:

$$\epsilon^2 = \frac{1}{h^2 \sqrt{\pi}} \cdot \frac{\sqrt{\pi}}{2} = \frac{1}{2 h^2} .$$

daher:

$$\epsilon = \frac{1}{h \sqrt{2}} ,$$

ersetzt man wieder h durch $\frac{q}{r}$, so wird:

$$\left. \begin{aligned} \epsilon &= \frac{r}{q \sqrt{2}} = 1.4826 r \\ r &= q \sqrt{2} \cdot \epsilon = 0.6745 \epsilon . \end{aligned} \right\} \quad 2)$$

Der Zusammenhang zwischen ϵ und r ist demnach wieder ein linearer und der Factor von ϵ nahezu gleich $\frac{2}{3}$. Vergleicht man nun die beiden gewonnenen Relationen 1) und 2), so resultirt noch eine Relation zwischen η und ϵ , es wird sein:

$$\eta = \epsilon \sqrt{\frac{2}{\pi}} , \quad \epsilon = \eta \sqrt{\frac{\pi}{2}} .$$

§. 6. Das Verhältniss der Genauigkeit des arithmetischen Mittels zu der einer Einzelbeobachtung.

Sei x der wahre Werth der Unbekannten, die durch die Beobachtungen M , M' , M'' , ... bestimmt werden soll, so sind die Beobachtungsfehler selbst offenbar:

$$J' = M' - x , \quad J'' = M'' - x , \quad J''' = M''' - x \text{ u. s. f. ,}$$

oder

$$x = M' - J' , \quad x = M'' - J'' , \quad x = M''' - J''' \text{ u. s. f. ,}$$

zieht man aus diesen m Gleichungen das Mittel, so erhält man:

$$x = \frac{1}{m} (M' + M'' + M''' + \dots) - \frac{1}{m} (J' + J'' + J''' + \dots) .$$

Das erste Glied stellt demnach das arithmetische Mittel selbst, also den wahrscheinlichsten Werth dar, das zweite Glied den Fehler desselben; bezeichnet man mit E den mittleren Fehler des arithmetischen Mittels, so ist in diesem Falle das Quadrat des mittleren Fehlers bestimmt durch:

$$E^2 = \frac{1}{m^2} \{ J' + J'' + J''' + \dots \}^2 ,$$

oder:

$$m^2 E^2 = (J'^2 + J''^2 + J'''^2 + \dots + 2 J' J'' + J' J''' + \dots + J'' J''' + \dots)$$

Das zweite Glied dieses Ausdruckes enthält die Summe der Producte aus den Aemben ohne Wiederholung, die sich aus den Beobachtungsfehlern bilden lassen; da nun positive und negative Fehler mit gleicher Wahrscheinlichkeit zu erwarten sind, so wird man bei einer grösseren Beobachtungsreihe wohl die Behauptung aufstellen dürfen, dass sich diese Producte in der Summe grossentheils aufheben, oder dass mindestens diese Summe gegen das erste aus nothwendig positiven Grössen sich summirende Glied sehr klein wird. Es wird also genähert gesetzt werden dürfen:

$$m^2 E^2 = \Sigma J J .$$

Da in der Folge häufig die Summenzeichen vorkommen, so werde ich hierfür die bequeme Gauss'sche Bezeichnung einführen, indem man statt des Summenzeichens die zu summirende Funktion in eckige Klammer setzt, es ist also:

$$\Sigma (J J) = [J J] = m^2 E^2.$$

Ist nun ε der mittlere Fehler einer Beobachtung, so ist nach der Definition des mittleren Fehlers:

$$m \varepsilon^2 = [J J],$$

und es besteht demnach die Relation:

$$E = \frac{\varepsilon}{\sqrt{m}}, \quad 1$$

da aber die mittleren, wahrscheinlichen und Durchschnitts-Fehler in linearer Relation zu einander stehen, so ist auch:

$$E : \varepsilon = R : r = H : \eta = 1 : \sqrt{m}, \quad 2)$$

d. h. der mittlere, wahrscheinliche und Durchschnitts-Fehler des arithmetischen Mittels verhält sich zum mittleren, wahrscheinlichen und Durchschnitts-Fehler einer einzelnen Beobachtung, wie sich umgekehrt die Quadratwurzel aus der Anzahl der Beobachtungen zur Einheit verhält. Bezeichnet man aber durch H das Maass der Präcision des arithmetischen Mittels, mit h das der einzelnen Beobachtung, so resultirt auch:

$$1 : \sqrt{m} = h : H, \quad 3$$

d. h. die Genauigkeit nimmt im Verhältniss der Quadratwurzeln aus der Anzahl der Beobachtungen zu; hält man diess mit der oben (pag. 270) gegebenen Definition des Gewichtes p zusammen, wonach dasselbe der Anzahl der Beobachtungen proportional wächst und bezeichnet mit P das Gewicht des arithmetischen Mittels, so erhält man eine bereits anderweitig (pag. 291) erwiesene Relation:

$$h : H = \sqrt{p} : \sqrt{P}, \quad 4$$

d. h. die Quadrate der Präcisionen verhalten sich zu einander wie die Gewichte, und die Präcisionen verhalten sich zu einander, wie die Quadratwurzeln der Gewichte; daraus resultirt auch:

$$\left. \begin{aligned} E : \varepsilon &= \sqrt{p} : \sqrt{P} \\ R : r &= \sqrt{p} : \sqrt{P} \\ H : \eta &= \sqrt{p} : \sqrt{P} \end{aligned} \right\} \quad 5$$

d. h. die Quadrate der Präcisionen verhalten sich umgekehrt zu einander wie die mittleren, wahrscheinlichen und Durchschnitts-Fehler.

§ 7. Bestimmung des mittleren und des Durchschnitts-Fehlers aus gleichwerthigen Beobachtungen.

Es war bisher immer vorausgesetzt worden, dass die wahren Beobachtungsfehler J' , J'' ... bekannt seien, und aus diesen wurden die verschiedenen Fehlerarten hergeleitet. Nun sind aber die wahren Beobachtungsfehler niemals in voller

Strenge bekannt und es stellt sich daher die Aufgabe, aus den nur nahe richtig zu bestimmenden Beobachtungsfehlern (Beobachteter Werth — arithmetisches Mittel nach dem Principe der Wahrscheinlichkeit die verschiedenen Fehlerarten zu bestimmen.

Sind M' , M'' , $M''' \dots$ die beobachteten Grössen und M der Werth des arithmetischen Mittels, und werden die durch die Rechnung gefundenen Fehler (Beob. Werth — arithm. Mittel) durch r bezeichnet, so ist:

$$r' = M' - M, \quad r'' = M'' - M, \quad r''' = M''' - M, \dots$$

welche Werthe mit den wahren Beobachtungsfehlern identisch wären, wenn M dem wahren Werthe der Unbekannten x entsprechen würde, welche Voraussetzung nur dann statthaft ist, wenn eine sehr grosse Anzahl von Beobachtungen vorliegt. Sei nun der Fehler des arithmetischen Mittels durch δ bezeichnet, so ist:

$$M - x = \delta$$

und offenbar:

$$r' = M' - x, \quad r'' = M'' - x, \quad r''' = M''' - x, \dots$$

oder

$$r' = r' + \delta, \quad r'' = r'' + \delta, \quad r''' = r''' + \delta, \dots$$

Sind nun m derartige Beobachtungen vorhanden, so wird die Summe der Fehlerquadrate bestimmt sein durch:

$$[r r] = [r r] + 2[r] \delta + m \delta^2.$$

Nun ist aber nach der Bestimmung des arithmetischen Mittels M nothwendig:

$$[r] = 0,$$

also besteht auch die wichtige Relation:

$$[r r] = [r r] + m \delta^2, \tag{1}$$

in welcher aber δ unbekannt ist und den Unterschied zwischen dem wahren Werth und dem arithmetischen Mittel angibt; es wird aber das Quadrat dieses Unterschiedes mit dem Quadrate des mittleren Fehlers des Resultates im Durchschnitte übereinkommen. Ist also ϵ der mittlere Fehler der einzelnen Beobachtung, so ist auch nach Gleichung 2. des vorausgehenden Paragraphen (pag. 301):

$$\delta^2 = \frac{\epsilon^2}{m};$$

andererseits ist aber nach der Definition des mittleren Fehlers:

$$m \epsilon^2 = [r r],$$

daher schreibt sich statt 1):

$$m \epsilon^2 = [r r] + \epsilon^2,$$

oder:

$$\epsilon^2 = \frac{r r}{m-1}, \quad \epsilon = \pm \sqrt{\frac{[r r]}{m-1}}. \tag{2}$$

nach welcher Formel der mittlere Fehler zu bestimmen ist, aus den zwischen den Beobachtungen und dem arithmetischen Mittel auftretenden Differenzen r .

Geht man sofort auf die Relationen über, die den mittleren Fehler mit dem wahrscheinlichen Fehler verbinden, so erhält man:

$$r = \pm 0.6745 \sqrt{\frac{[rr]}{m-1}}. \quad 3)$$

und die bezüglichen Fehler der arithmetischen Mittel werden:

$$E = \pm \sqrt{\frac{[rr]}{m(m-1)}}, \quad R = \pm 0.6745 \sqrt{\frac{[rr]}{m(m-1)}}. \quad 4)$$

Hiermit ist die Möglichkeit geboten aus den Beobachtungen selbst r und demnach auch h zu bestimmen und so die Bedeutung von q (I) völlig festzustellen; man ist also jetzt in der Lage, an jeder gegebenen Beobachtungsreihe die theoretisch gewonnenen Resultate über die Fehlervertheilung zu prüfen. Ehe ich aber daran gehe, will ich noch zeigen, wie man zur Kenntniss des Werthes r auch durch die Summe der Unterschiede zwischen den Beobachtungen und dem arithmetischen Mittel genommen im absoluten Sinne $[+r]$ gelangen kann, ein Verfahren, welches bei gleichwerthigen Beobachtungen auf eine bequemere Rechnung führt. Setzt man vorerst eine sehr umfassende Beobachtungsreihe voraus, so wird sehr nahe sein:

$$m \mu = [+r], \quad m \epsilon^2 = [rr],$$

und mit Rücksicht auf die Relation pag. 300:

$$\mu = \epsilon \sqrt{\frac{2}{\pi}}.$$

wird im grossen Durchschnitte sein:

$$[+r] = \pm \sqrt{\frac{2}{\pi}} \sqrt{m[rr]} \quad \text{oder} \quad \sqrt{[rr]} = \pm \frac{[+r]}{\sqrt{m}} \sqrt{\frac{\pi}{2}},$$

womit also jene Relation hergestellt ist, die im Allgemeinen zwischen $[rr]$ und $[+r]$ bestehen wird; setzt man dieselbe in die Gleichung 2), 3) und 4) ein, so erhält man:

$$\left. \begin{aligned} \epsilon &= \pm 1.2533 \sqrt{\frac{[+r]}{m(m-1)}}, & E &= \pm 1.2533 \frac{[+r]}{m \sqrt{m-1}}, \\ r &= \pm 0.8453 \sqrt{\frac{[+r]}{m(m-1)}}, & R &= \pm 0.8453 \frac{[+r]}{m \sqrt{m-1}}. \end{aligned} \right\} \quad 5)$$

§ 8. Erläuterung und Prüfung der vorstehenden Methoden durch die Beobachtungen.

Es soll nun zur Erläuterung und Prüfung der vorstehenden Methoden ein Beispiel vorgenommen werden, welches allerdings nicht ganz die genügende Ausdehnung hat, doch würde ein grösseres Beispiel zu viel Raum in Anspruch nehmen. Es wurde mit Hilfe einer Mikrometerschraube ein Intervall von 000" 10mal gemessen

um den Gangfehler der Schraube zu bestimmen; ich setze neben eine jede Beobachtung sofort den Unterschied zwischen dem angenommenen Mittel und derselben im Sinne: Beobachtung-Rechnung, und ausserdem das Quadrat dieses Unterschiedes an; man erhält so:

	M'	v	vv		M'	v	vv		M'	v	vv
1	600"0	— 2"2	4"81	15	601"4	— 0"8	0"64	28	600"9	— 1"3	1"69
2	599.7	— 2.5	6.25	16	601.4	— 0.8	0.64	29	601.4	— 0.8	0.64
3	599.5	— 2.7	7.29	17	603.4	+ 1.2	1.44	30	600.8	— 1.4	1.96
4	604.6	+ 2.4	5.76	18	603.1	+ 0.9	0.81	31	600.0	— 2.2	4.84
5	603.9	+ 1.7	2.89	19	601.8	— 0.4	0.16	32	600.7	— 1.5	2.25
6	604.8	+ 2.6	6.76	20	600.6	— 1.6	2.56	33	601.4	— 0.8	0.64
7	606.1	+ 3.9	15.21	21	602.0	— 0.2	0.04	34	602.9	+ 0.7	0.49
8	604.7	+ 2.5	6.25	22	602.7	+ 0.5	0.25	35	602.9	+ 0.7	0.49
9	602.1	— 0.1	0.01	23	603.7	+ 1.5	2.25	36	602.4	+ 0.2	0.04
10	602.2	0.0	0.00	24	602.1	— 0.1	0.01	37	602.4	+ 0.2	0.04
11	600.7	— 1.5	2.25	25	602.3	+ 0.1	0.01	38	602.1	— 0.1	0.01
12	602.4	+ 0.2	0.04	26	602.6	+ 0.4	0.16	39	603.6	+ 1.4	1.96
13	601.6	— 0.6	0.36	27	602.7	+ 0.5	0.25	40	603.6	+ 1.4	1.96
14	601.7	— 0.5	0.25								

Da allen Beobachtungen das gleiche Gewicht zuerkannt ist, so ist der wahrscheinlichste Werth der Unbekannten gleich dem arithmetischen Mittel, es ist also:

$$M = 602''2 \text{ ,}$$

und die Unterschiede dieses Mittelwerthes gegen die Beobachtungen finden sich in der mit v überschriebenen Columnne; bildet man überdies die Quadrate dieser Fehler, so hat man sich vorerst die nöthigen Hilfsgrössen verschafft, um den wahrscheinlichen Fehler r zu bestimmen; man erhält zunächst:

$$[+v] = 15.1 \qquad [vv] = 84.39 \text{ ,}$$

Zur Berechnung des wahrscheinlichen Fehlers kann man beide Werthe benutzen; es ist klar, dass eine völlige Uebereinstimmung beider Zahlen nicht hervortreten wird, indem ja die Identität nur bei einer unendlichen Anzahl der Beobachtungen hervortreten könnte; man hat nach § 7 Gleichung 3) und 5) pag. 303) hierfür die Relationen, wenn man sofort die auftretenden Coëfficienten logarithmisch ansetzt und zu den Formeln das aus den obigen Zahlen gewonnene Resultat hinzufügt:

$$r = \pm [\bar{0.8240}] \sqrt{\frac{[vv]}{m-1}} = \pm 0''092$$

$$r = \pm [0.0270] \frac{[+v]}{\sqrt{m-1}} = \pm 0''962 \text{ .}$$

Man sieht, dass beide Resultate in sehr befriedigender Weise stimmen; da aber in der Regel die mit Hilfe des mittleren Fehlers berechneten Werthe von r der Wahrheit näher kommen, als die aus dem Durchschnittsfehler erhaltenen, so soll für die

folgenden Rechnungen der erstere Werth $r = \pm 0''992$ beibehalten werden, wie-
wohl es klar ist, dass man keine wesentlich anderen Resultate erhalten würde,
wenn man den zweiten allein benützen würde. Berechnet man nun den wahr-
scheinlichen Fehler des arithmetischen Mittels (vergl. 2 pag. 301), so findet sich:

$$R = \frac{r}{1/m} = \pm 0''157.$$

Das Maass der Präcision findet sich nach § 4 pag. 295:

$$h = \frac{9.6785}{r} = 0.481.$$

Um nun die Theorie mit der Erfahrung durch die Formel § 4 (Gleichung 7)
(pag. 297) vergleichen zu können, ordne ich die obigen Fehler ihrer Grösse nach.
Man findet so, wenn man jeden Fehler mit der Nummer der Beobachtung versehen
ansetzt:

$+v$	$+v$	$+v$	$+v$
10 0''0	26 0''4	33 0''8	20 1''0
9 0.1	14 0.5	18 0.9	5 1.7
24 0.1	22 0.5	17 1.2	1 2.2
25 0.1	27 0.5	28 1.3	31 2.2
38 0.1	13 0.6	30 1.4	4 2.4
12 0.2	34 0.7	39 1.4	2 2.5
21 0.2	35 0.7	40 1.4	8 2.5
36 0.2	15 0.8	11 1.5	6 2.6
37 0.2	16 0.8	23 1.5	3 2.7
19 0.4	29 0.8	32 1.5	7 3.9

Fasst man nun die Fehler in Gruppen zusammen, die zwischen den Grenzen
0.0—0.5, 0.5—1.0, 1.0—1.5, 1.5—2.0, 2.0—2.5 und 2.5— ∞ liegen, und zählt
die Hälfte jener Fehler, die genau an der Grenze liegen, zur Hälfte zur voraus-
gehenden und zur Hälfte zur nachfolgenden Gruppe, so erhält man als Resultat
jene Zahlen, die ich weiter unten in der mit »beobachtet« überschriebenen Columnne
aufgenommen habe. Bildet man nun die Argumente hJ für die Integraltafel XIV
(vergl. § 4 pag. 297), so erhält man mit Hilfe derselben:

J	hJ	J_{Jh}	$J_{hJ_2} - J_{hJ_1}$
0.0	0.000	0.000	0.266
0.5	0.240	0.266	0.238
1.0	0.481	0.504	0.188
1.5	0.721	0.692	0.134
2.0	0.962	0.826	0.085
2.5	1.202	0.911	0.089
∞	∞	1.000	

Multipliziert man nun die in der letzten Columnne als erste Differenzwerthe an-
gesetzten Zahlen mit der Anzahl der Beobachtungen (vergl. § 4 pag. 297), so findet
man die nach der Theorie innerhalb der gegebenen Grenzen sich vorfindende Fehler-
anzahl; dieselbe steht in der Columnne »berechnet«.

Grenzen	beobachtet	berechnet
0,0—0,5	12,5	10,6
0,5—1,0	9,5	9,5
1,0—1,5	6,5	7,5
1,5—2,0	3,5	5,4
2,0—2,5	4,0	3,4
2,5—∞	4,0	3,6

Die Vergleichung zeigt also, dass in der That die Theorie mit der Erfahrung
in sehr befriedigender Weise stimmt.

§ 9. Bestimmung des mittleren Fehlers aus ungleichwerthigen Beobachtungen.

Es ist bei den letzten Entwicklungen stets der einfachste Fall in Betracht
gezogen worden, wo eine Unbekannte aus einer bestimmten Anzahl directer Be-
obachtungen von gleichem Gewichte abgeleitet wurde; es soll nun die Aufgabe ge-
löst werden, aus Beobachtungen von verschiedenen Gewichten den mittleren und den
wahrscheinlichen Fehler einer Beobachtung mit der Gewichtseinheit zu ermitteln.
Die Resultate der Beobachtungen wären M', M'', M''', \dots , diesen Resultaten wären
beziehungsweise die Gewichte $p', p'', p''' \dots$ zugetheilt, dann ist der durch das
arithmetische Mittel bestimmte wahrscheinlichste Werth der Unbekannten (vergl.
pag. 280) M bestimmt durch:

$$M = \frac{p' M' + p'' M'' + p''' M''' + \dots}{p' + p'' + p''' + \dots} = \frac{[p M]}{[p]}, \quad 1)$$

in welchem Ausdrücke die Gewichtseinheit offenbar willkürlich ist. Einigt man
sich aber über eine Einheit und sei dann ε der mittlere Fehler einer Beobachtung,
die das Gewicht 1 erhält, so ist offenbar der mittlere Fehler des Endresultates be-
stimmt durch:

$$E = \frac{\varepsilon}{\sqrt{[p]}}.$$

Bezeichnet man ähnlich wie früher mit x den wahren Werth der Unbekannten
und setzt wieder:

$$M - x = \delta,$$

so wird die Relation zwischen den wirklichen Beobachtungsfehlern f' , f'' , $f''' \dots$ und den Differenzen zwischen den beobachteten Werthen und dem angenommenen Mittelwerthe bestimmt sein durch:

$$f' = v' + \delta, \quad f'' = v'' + \delta, \quad f''' = v''' + \delta, \dots$$

der Fehler f' wird zur Beobachtung M' gehören, die das Gewicht p' erhält und ähnlich für die übrigen. Statt aber einer Beobachtung das Gewicht p' zuzuschreiben, kann man sich vorstellen, dass dieselbe das Resultat ist von p' Einzelbeobachtungen mit der Gewichtseinheit, es wird also in dieser der Fehler f' , p' mal vorkommen, ebenso der Fehler f'' , p'' mal u. s. f.; es wird demnach sein:

$$[p f f] = [p v v] + 2 [p v] \delta + [p] \delta^2.$$

Hier ist aber der Bildung der Grösse M gemäss streng:

$$[p v] = 0.$$

demnach hat man auch:

$$[p f f] = [p v v] + [p] \delta^2.$$

Für δ^2 wird aber, wie oben, das Quadrat des mittleren Fehlers des Gesamtresultates zu setzen sein, also da ist:

$$\delta^2 = E^2 = \frac{\varepsilon^2}{[p]},$$

so wird man haben:

$$[p f f] = [p v v] + \varepsilon^2. \quad 2$$

Es erübrigt nur noch die Grösse $[p f f]$ durch ε auszudrücken. Es ist aber im Durchschnitte für die wahrscheinlichen Fehlerquadrate anzunehmen:

$$f f = \frac{\varepsilon^2}{p'}, \quad f'' f'' = \frac{\varepsilon^2}{p''}, \quad f''' f''' = \frac{\varepsilon^2}{p'''} \dots$$

also:

$$[p f f] = m \varepsilon^2,$$

wenn m die Anzahl der Beobachtungen, die verschiedenes Gewicht haben, vorstellt, welche Zahl jedoch nicht mit der Summe der Gewichte verwechselt werden darf. Führt man nun diese Relation in Gleichung 1 ein, so findet sich sofort:

$$\varepsilon = \pm \sqrt{\frac{p v v}{m-1}}, \quad E = \pm \sqrt{\frac{p v v}{[p] m-1}}. \quad 3)$$

und für die wahrscheinlichen Fehler:

$$r = \pm 0.6745 \sqrt{\frac{p v v}{m-1}}, \quad R = \pm 0.6745 \sqrt{\frac{p v v}{[p] m-1}}. \quad 4)$$

Man wird beachten, dass man ganz dasselbe Resultat für ε und r erhalten würde, wenn man jede einzelne Beobachtung mit der Quadratwurzel des Gewichtes (also mit der Präcision) multipliciren würde und dann die gefundenen Zahlen so behandelt hätte, wie Beobachtungen mit gleichem Gewichte. Es wird sich später herausstellen, dass auch in complicirteren Fällen dieses Verhältniss hervortritt und man hat demnach ein sehr einfaches und radicales Hilfsmittel gewonnen, um Beobachtungsresultate von verschiedenem Gewichte nach jenen Methoden behandeln zu können, die für gleichwerthige Beobachtungen gelten.

Schliesslich kann noch bemerkt werden, dass man für die Rechnung des wahrscheinlichen Fehlers auch die absoluten Fehler verwerthen kann; mit Hilfe der zuletzt gemachten Bemerkung wird man aber statt der Relation:

$$|x - \bar{x}| = \pm \sqrt{\frac{1}{m}} \sqrt{\frac{\pi}{2}},$$

die pag. 303 gefunden wurde, zu schreiben haben:

$$|p - \bar{p}| = \pm \sqrt{\frac{1}{m}} \sqrt{\frac{\pi}{2}},$$

und erhalten:

$$r = \pm 0.8453 \sqrt{\frac{1}{m(m-1)}}, \quad R = \pm 0.8453 \sqrt{\frac{1}{p'm'(m'-1)}}. \quad 5)$$

doch bieten diese Formeln im vorliegenden Falle geringere practische Vortheile als oben.

Es sollen nun die vorstehenden Formeln durch ein Beispiel erläutert werden; ich werde das früher gewählte Beispiel wieder vornehmen, aber dasselbe durch eine willkürliche Zusammenfassung der Einzelbeobachtungen in Resultate von verschiedenen Gewicht verwandeln; ich erhalte so:

	M	Gewicht	r	rx	$p r x$
1—5	601"5	5	— 0"7	0.49	2.45
6—8	605"2	3	+ 3.0	9.00	27.00
9	602.1	1	— 0.1	0.01	0.01
10—12	601.8	3	— 0.4	0.16	0.48
13—17	601.9	5	— 0.3	0.09	0.45
18	603.1	1	+ 0.9	0.81	0.81
19—20	601.2	2	— 1.0	1.00	2.00
21—30	602.1	10	— 0.1	0.01	0.10
31—34	601.2	4	— 1.0	1.00	4.00
35—40	602.8	6	+ 0.6	0.36	2.16

daneben habe ich in die Columnen r und rx die Unterschiede der Beobachtung gegen die mit Rücksicht auf Gewicht abgeleiteten Mittelwerthe und die Quadrate derselben gesetzt. In der Columnen $p r x$ finden sich die letztgenannten Fehlerquadrate mit ihrem Gewichte multiplicirt; für M findet sich nach Gleichung 1 pag. 306:

$$M = 602"2; \quad \text{und weiter } |p r x| = 39.46.$$

se wird also nach Gleichung 3 und 4 pag. 307:

$$r = \pm 1"41$$

$$R = \pm 0"22.$$

Vergleicht man diese Zahl mit der oben (pag. 305) für R gefundenen $\pm 0"16$, so findet man allerdings keine ganz genügende Uebereinstimmung, wie dies zu erwarten ist, da in dem letzteren Falle die Anzahl der Beobachtungen, die man den Principien der Wahrscheinlichkeit unterworfen hat, nur gleich 10 ist; man wird daher bei einer so geringen Zahl nicht erwarten dürfen, dass sich alle Zufälligkeiten völlig

eliminiren können und dies als erneuten Hinweis betrachten dürfen, dass die Methode der kleinsten Quadrate nur dann, und hier auch nur unter gewissen oben erwähnten Vorbehalten, verlässliche Resultate liefern kann, wenn eine grosse Anzahl von Beobachtungen vorliegt. Da bei der Durchführung des obigen Beispiels aber nur die Absicht vorlag, die Rechnung nach den Formeln klar zu legen, so mag dasselbe für diesen nächsten Zweck genügen.

§ 10. Ermittlung des mittleren Fehlers eines Resultates aus der Summe und Differenz directer Beobachtungen.

Indem durch die vorstehenden Entwicklungen die Anwendung der Methode der kleinsten Quadrate auf den Fall directer Beobachtungen der Unbekannten erledigt erscheint, soll der durch die Ueberschrift bezeichnete Specialfall anhangsweise hier näher vorgenommen werden, hauptsächlich aus dem Grunde, weil derselbe in einer völlig unabhängigen Art eine bereits in zweifacher Weise erwiesene theoretische Grundlage der Methode bestätigt. — Die bisherigen Betrachtungen waren bislang den Fällen angepasst worden, wo unmittelbar die zu bestimmende Grösse beobachtet wurde, in der Anwendung wird man aber meist mit complicirteren Fällen zu thun haben, welche sich jedoch meist ohne Schwierigkeit auf die bisher in Betracht gezogenen einfachen Fälle reduciren lassen; bevor jedoch an die Lösung dieser allgemeinen Aufgabe geschritten wird, soll hier noch der verhältnissmässig einfache Fall in Betracht gezogen werden, wo eine Grösse durch die Summe und Differenz unmittelbar beobachteter Werthe bestimmt wird, wobei jedoch die beobachteten Werthe als völlig von einander unabhängig gedacht werden. Es ist also x bestimmt durch die Relation:

$$x = y_1 \pm y_2 .$$

wobei durch y_1 und y_2 die wahren Werthe der Funktionen vorgestellt werden, die durch ihre Summe oder Differenz den wahren Werth von x finden lassen. Die Beobachtungen selbst werden aber den wahren Werth von y_1 und y_2 nicht genau wiedergeben und der mittlere Fehler der einzelnen Beobachtungen einer jeden solchen Beobachtungsreihe sei beziehungsweise ε_1 und ε_2 . Die Beobachtungen werden hier:

$$\begin{array}{l} \text{für } y_1 \text{ die Fehler } J_1', J_1'', J_1''' \dots \\ \text{» } y_2 \text{ » » } J_2', J_2'', J_2''' \dots \end{array}$$

ergeben, demnach wird der Fehler von x sein, der sich aus Combination der ersten Beobachtungen ergibt, je nachdem man die Summen und Differenzen zu nehmen hat

$$(J_1' \pm J_2') .$$

und ähnlich erhält man aus der Combination der zweiten und folgenden Beobachtungen:

$$J_1'' \pm J_2'' \quad J_1''' \pm J_2''' \dots$$

Bildet man nun die Summe der Fehlerquadrate und nennt ε_n den mittleren Fehler einer Bestimmung von x und setzt voraus, dass sowohl y_1 als auch y_2 , m mal

beobachtet wurde, so dass m Bestimmungen von x vorliegen, so muss nach der Definition des mittleren Fehlers sein:

$$m \epsilon_0^2 = [J_1 - J_1] \pm 2 [J_1 J_2] + [J_2 - J_2] .$$

Ist aber die Anzahl der Beobachtungen gross, so wird bald das mittlere Glied, welches aus der Summe von Gliedern mit verschiedenen Zeichen gebildet wird, gegen die äusseren Glieder, die sich aus Quadraten summiren, verhältnissmässig klein werden und man wird mit einem gewissen Grade der Annäherung schreiben dürfen:

$$m \epsilon_0^2 = [J_1 - J_1] + [J_2 - J_2] .$$

Bedenkt man aber, das ist:

$$[J_1 - J_1] = m \epsilon_1^2 , \quad [J_2 - J_2] = m \epsilon_2^2 ,$$

so erhält man unmittelbar:

$$\epsilon_0 = \pm \sqrt{\epsilon_1^2 + \epsilon_2^2} , \quad 1)$$

d. h. der mittlere Fehler einer solchen combinirten Beobachtung ist gleich der Quadratwurzel aus der Summe der Quadrate der mittleren Fehler der directen Beobachtungen.

Wie man sieht, könnte man leicht diese Betrachtungen auf solche Beobachtungen ausdehnen, die sich aus mehreren directen Beobachtungen additiv und subtractiv combiniren, man würde den mittleren Fehler der Bestimmung von x_1 dann erhalten aus:

$$\epsilon_0 = \pm \sqrt{\epsilon \epsilon} ,$$

wobei gesetzt ist:

$$\epsilon \epsilon = \epsilon_1^2 + \epsilon_2^2 + \epsilon_3^2 + \dots \quad 2)$$

und sich die verschiedenen $\epsilon_1, \epsilon_2, \dots$ auf die Resultate der directen Messung beziehen; natürlich gilt auch dieselbe Relation für den wahrscheinlichen Fehler, man hat daher:

$$r_0 = \pm \sqrt{r r} .$$

Wollte man das Gewicht einer solchen Bestimmung von x bestimmen, so hat man nur zu beachten, dass nach dem obigen (vgl. pag. 301) sich die Gewichte direct wie die Quadrate der Präcisionen oder umgekehrt wie die Quadrate der wahrscheinlichen Fehler verhalten; seien nun die Gewichte der einzelnen Bestimmungen p_1, p_2, p_3, \dots , so wird sein:

$$\epsilon_1^2 = \frac{1}{p_1} , \quad \epsilon_2^2 = \frac{1}{p_2} , \quad \epsilon_3^2 = \frac{1}{p_3} , \dots$$

und man hat:

$$p = \frac{p_1 p_2 p_3 \dots}{p_1 + p_2 + p_3 + \dots} . \quad 3)$$

Hätte man die Unbekannte durch die Summation von m gleich genauen Beobachtungen, deren mittlerer Fehler ϵ sei, bestimmt, so ist der mittlere Fehler dieser Summe ϵ_0 nach den eben angestellten Betrachtungen bestimmt durch:

$$\epsilon_0^2 = m \epsilon^2 \quad \text{oder} \quad \epsilon_0 = \pm \epsilon \sqrt{m} .$$

dividirt man nun beiderseits durch m , so erhält man eine schon früher auf eine ganz andere Weise (pag. 301) bewiesene Relation, nämlich:

$$\frac{\varepsilon_0}{m} = \frac{\varepsilon}{\sqrt{m}}.$$

wobei man zu beachten hat, dass $\frac{\varepsilon_0}{m}$ der mittlere Fehler des arithmetischen Mittels ist. Es nimmt also der mittlere Fehler des arithmetischen Mittels im umgekehrten Verhältniss zur Quadratwurzel der Anzahl der zum Mittel vereinigten Beobachtungen ab. Der früher betrachtete Fall der Ermittlung des mittleren Fehlers eines Resultates aus der Summe und Differenz directer Beobachtungen ist einer Erweiterung fähig, die häufig genug in der Anwendung vorkommt; es seien nämlich die einzelnen Summenwerthe y_1, y_2, y_3, \dots bevor dieselben zum Resultate zusammenzufassen sind, mit den constanten, aber bekannt vorausgesetzten Factoren beziehungsweise a_1, a_2, a_3, \dots zu multipliciren, dann hat die vorgelegte Funktion die Form:

$$x = \pm a_1 y_1 \pm a_2 y_2 \pm a_3 y_3 \pm \dots$$

Sind nun die bezüglichen mittleren Fehler der Beobachtungsergebnisse y_1, y_2, y_3, \dots ausgedrückt durch $\varepsilon_1, \varepsilon_2, \varepsilon_3, \dots$, so ist sofort klar, dass die a Factoren bedingen werden, dass der mittlere Fehler des ersten Productes $a_1 \varepsilon_1$ sein wird, der zweite $a_2 \varepsilon_2$ u. s. f., daraus kann man unmittelbar den Schluss ziehen mit Rücksicht auf die für den einfacheren Fall gemachten Betrachtungen, dass der mittlere Fehler des Resultates x , der wieder durch ε_0 bezeichnet wird, sich darstellt durch:

$$\varepsilon_0 = \pm \sqrt{a_1^2 \varepsilon_1^2 + a_2^2 \varepsilon_2^2 + a_3^2 \varepsilon_3^2 + \dots} = \pm \sqrt{a^2 \varepsilon^2}; \quad 4$$

sind die wahrscheinlichen Fehler $\varepsilon_1, \varepsilon_2, \varepsilon_3, \dots$ alle gleich, so erhält man:

$$\varepsilon_0 = \pm \varepsilon \sqrt{aa} \quad 5$$

B. Anwendung der Methode der kleinsten Quadrate auf die Bestimmung einer oder mehrer unabhängiger Unbekannten aus Beobachtungen.

§ 1. Allgemeines.

Es kann nun daran gegangen werden, die Lösung der allgemeinen Aufgabe durchzuführen, nämlich die Ermittlung der wahrscheinlichsten Werthe einer beliebigen Anzahl von Unbekannten, welche Funktionen der beobachteten Grössen sind; die oben betrachteten speciellen Fälle der directen Beobachtung sind natürlich in dieser allgemeinen Auflösung mit inbegriffen.

Dieses allgemeine Problem umfasst zwei Klassen von Aufgaben, welche von einander abgetrennt werden müssen. In der ersten Klasse sind die Unbekannten

unabhängig independent von einander, sind also keinen weiteren Bedingungen unterworfen als den Beobachtungen möglichst zu genügen, so dass vor Anstellung der Beobachtungen jedes beliebige System von Werthen dieselbe Wahrscheinlichkeit für sich in Anspruch nimmt: in der zweiten Klasse sind schon a priori gewisse Bedingungen vorhanden, die streng erfüllt sein müssen, und ausserdem muss der möglichst gute Anschluss an die Beobachtungen erzielt werden. Dieser letztere Fall spielt insbesondere bei den geodätischen Ausgleichsrechnungen eine wichtige Rolle, kann aber für den Zweck des vorliegenden Werkes übergangen werden, da in den wenigen hier in Betracht kommenden Fällen leicht der richtige Weg mit Hilfe der Methoden der ersten Klasse gefunden werden kann; es wird daher in der Folge nur auf die Bestimmung von einander unabhängiger Unbekannten Rücksicht genommen. Wiewohl dadurch die Aufgabe schon wesentlich eingeschränkt ist, so muss noch eine weitere Einschränkung vorgenommen werden, die daraus resultirt, dass die folgenden Betrachtungen einen linearen Zusammenhang der Unbekannten mit den Beobachtungen fordern, ein Fall, der selten genug bei der Anwendung hervortreten wird; ist also das Verhältniss, wie es in der Regel der Fall, kein lineares, so wird man sich von Fall zu Fall dadurch helfen können, dass man die lineare Form herstellt, indem man sich in irgend einer durch das Problem bestimmten Weise sehr genäherte Werthe für die Unbekannten verschafft und die Verbesserungen dieser Näherungen sucht; betrachtet man diese als Grössen erster Ordnung, so wird der Zusammenhang zwischen den Incrementen der Unbekannten zu der dadurch bedingten Aenderung in der Beobachtung durch den diesbezüglichen Differentialquotienten in linearer Weise ausgedrückt sein. Es kann unter Umständen die Ermittlung der genäherten Werthe der Unbekannten und die Entwicklung der Differentialquotienten Schwierigkeiten machen, für diese Lösung lassen sich aber keine allgemeinen Regeln geben, da dieselben von der Natur des vorgelegten Problems abhängig sind. Es wird in der Folge vorausgesetzt, dass für die gestellte Aufgabe den eben ausgesprochenen Forderungen genügt ist.

Es ist demnach die vorgelegte Aufgabe dadurch wesentlich erleichtert, dass die Form der Abhängigkeit der Unbekannten von den Beobachtungen eine lineare ist. Ist also M der beobachtete Werth, $x, y, z \dots$ die Unbekannten, $a, b, c \dots$ die durch das Problem bestimmten Coëfficienten, so ist die allgemeine Form der Relation zwischen der Beobachtung und den Unbekannten dargestellt durch:

$$ax + by + cz + \dots + l = M.$$

Eine solche Gleichung allein gibt nur eine Relation zwischen den Unbekannten, ist aber nicht zur Bestimmung derselben ausreichend; es müssen nothwendig mindestens ebensovielen essential verschiedene Gleichungen vorhanden sein, als Unbekannte zu bestimmen sind; in dem letzteren Falle ist die Bestimmung derselben eben möglich, soll aber die Methode der kleinsten Quadrate angewendet werden, so ist es klar, dass mehr Gleichungen als Unbekannte vorhanden sein müssen. Sind nun $M_1, M_2, M_3 \dots$ die beobachteten Werthe, so wird man als Bedingungsgleichungen haben:

wird der mittlere Fehler einer Beobachtung sein mit dem Gewichte p_1 offenbar $\frac{\varepsilon}{\sqrt{p_1}}$, mit dem Gewichte p_2 aber $\frac{\varepsilon}{\sqrt{p_2}}$ u. s. w. Würde man jeder der eben hingestellten Gleichungen die Gewichtseinheit zutheilen, so würde der mittlere Fehler von v_1 , v_2 , v_3 u. s. w. im Allgemeinen gleich werden ε ; es sollen aber entsprechend den angenommenen Gewichten die Fehler $\frac{\varepsilon}{\sqrt{p_1}}$, $\frac{\varepsilon}{\sqrt{p_2}}$... gefunden werden, dies wird man aber erreichen können, wenn man die oben hingeschriebenen Gleichungen mit $\sqrt{p_1}$, $\sqrt{p_2}$ u. s. w. durchmultiplicirt; man hat dann:

$$\left. \begin{aligned} \sqrt{p_1} a_1 x + \sqrt{p_1} b_1 y + \sqrt{p_1} c_1 z + \dots + \sqrt{p_1} v_1 &= \sqrt{p_1} u_1 \\ \sqrt{p_2} a_2 x + \sqrt{p_2} b_2 y + \sqrt{p_2} c_2 z + \dots + \sqrt{p_2} v_2 &= \sqrt{p_2} u_2 \\ \sqrt{p_3} a_3 x + \sqrt{p_3} b_3 y + \sqrt{p_3} c_3 z + \dots + \sqrt{p_3} v_3 &= \sqrt{p_3} u_3 \\ &\dots \dots \dots \end{aligned} \right\} \quad 1)$$

Behandelt man nun diese Gleichungen unter Annahme gleicher Gewichte für dieselben, so wird jede Gleichung als mittleren Fehler ε geben; es wird also sein:

$$\begin{aligned} \varepsilon &= \sqrt{p_1} v_1 \quad \text{oder} \quad v_1 = \frac{\varepsilon}{\sqrt{p_1}} \\ \varepsilon &= \sqrt{p_2} v_2 \quad \text{oder} \quad v_2 = \frac{\varepsilon}{\sqrt{p_2}} \end{aligned}$$

und die mittleren Fehler von v_1 , v_2 ... sind entsprechend den ihnen zugetheilten Gewichten bestimmt. Man leitet daraus die Regel ab, dass Beobachtungen mit verschiedenen Gewichten ebenso behandelt werden können, wie Beobachtungen von gleichen Gewichten, wenn man alle Bedingungsgleichungen vorher mit der Quadratwurzel des Gewichtes oder mit der Präcision durchmultiplicirt.

Die vorausgehenden Betrachtungen haben also gezeigt, dass man unter allen Bedingungen das Problem reduciren kann auf den einfachsten Fall, nämlich auf lineare Gleichungen mit gleichem Gewichte.

§ 2. Bildung der Normalgleichungen.

Den im vorstehenden Paragraphen aufgestellten Bedingungsgleichungen:

$$\left. \begin{aligned} a_1 x + b_1 y + c_1 z + \dots - u_1 &= 0 \\ a_2 x + b_2 y + c_2 z + \dots - u_2 &= 0 \\ a_3 x + b_3 y + c_3 z + \dots - u_3 &= 0 \\ &\dots \dots \dots \end{aligned} \right\} \quad 1)$$

kann im Allgemeinen in den hier in Betracht kommenden Fällen nicht völlig genügt werden; es werden Unterschiede übrig bleiben, wenn für x , y , z bestimmte

Werthe eingesetzt werden, die, im Sinne: Beobachtung-Rechnung genommen, durch $v_1, v_2, v_3 \dots$ bezeichnet werden sollen; man wird also haben:

$$\left. \begin{aligned} a_1 x + b_1 y + c_1 z + \dots - n_1 &= -v_1 \\ a_2 x + b_2 y + c_2 z + \dots - n_2 &= -v_2 \\ a_3 x + b_3 y + c_3 z + \dots - n_3 &= -v_3 \\ \dots &\dots \end{aligned} \right\} \quad 2)$$

Die Unbekannten $x, y, z \dots$ sind aber so zu bestimmen, dass die Fehler v auf das geringste Maass herabgedrückt werden; das wahrscheinlichste System wird aber nach den bisherigen theoretischen Betrachtungen dasjenige sein, welches die Summe der Fehlerquadrate zu einem Minimum macht; man wird also der Relation genügen müssen:

$$[v v] = v_1 v_1 + v_2 v_2 + v_3 v_3 + \dots = \text{Minimum.} \quad 3)$$

Da aber $x, y, z \dots$ völlig von einander unabhängig vorausgesetzt werden, so muss die Bedingung des Minimum für jede dieser Unbekannten erfüllt sein; und es ist daher nothwendig:

$$\frac{d[v v]}{dx} = 0, \quad \frac{d[v v]}{dy} = 0, \quad \frac{d[v v]}{dz} = 0 \dots \quad 4)$$

Diese Differentialrelation gilt auch für das Maximum, doch schliesst sich das letztere sofort hier nach der Gestalt der Gleichungen aus, indem dasselbe nur für unendliche Werthe der Unbekannten eintritt.

Den durch die Gleichungen 4) aufgestellten Bedingungen allein und keinen weiteren, ist die Bestimmung der wahrscheinlichsten Werthe der Unbekannten unterworfen, gelingt es also, wie es in der That der Fall ist, mit Hilfe dieser Relationen ohne weitere Voraussetzungen die Unbekannten zu bestimmen, so ist das vorgesteckte Ziel erreicht.

Führt man in Gleichung 4) die angezeigten Operationen mit Hilfe der Gleichung 3) aus, so erhält man:

$$\left. \begin{aligned} r_1 \frac{dr_1}{dx} + r_2 \frac{dr_2}{dx} + r_3 \frac{dr_3}{dx} + \dots &= 0 \\ r_1 \frac{dr_1}{dy} + r_2 \frac{dr_2}{dy} + r_3 \frac{dr_3}{dy} + \dots &= 0 \\ r_1 \frac{dr_1}{dz} + r_2 \frac{dr_2}{dz} + r_3 \frac{dr_3}{dz} + \dots &= 0 \\ \dots &\dots \end{aligned} \right\} \quad 5)$$

Die Anzahl dieser Gleichungen ist gleich der in der Gleichung 4) aufgestellten Anzahl der Bedingungen, die aber wieder nur von der Anzahl der Unbekannten bestimmt ist; es sind in Gleichung 5) also so viel Gleichungen von verschiedener Zusammensetzung enthalten als Unbekannte vorhanden sind, und es erübrigt daher nichts zur Bestimmung der Unbekannten als die Coefficienten der Gleichungen 5) auf bekannte Werthe zu reduciren. Vorerst werden sich die Differentialquotienten von v nach Gleichung 2) sehr leicht bestimmen; man erhält aus diesen letzteren Gleichungen sofort durch Differentiation:

$$\left. \begin{aligned} a_1 &= -\frac{dr_1}{dx}, \quad b_1 = -\frac{dr_1}{dy}, \quad c_1 = -\frac{dr_1}{dz}, \quad \dots \\ a_2 &= -\frac{dr_2}{dx}, \quad b_2 = -\frac{dr_2}{dy}, \quad c_2 = -\frac{dr_2}{dz}, \quad \dots \\ a_3 &= -\frac{dr_3}{dx}, \quad b_3 = -\frac{dr_3}{dy}, \quad c_3 = -\frac{dr_3}{dz}, \quad \dots \end{aligned} \right\} \quad 6)$$

Man kann daher statt Gleichung 5 auch schreiben:

$$\left. \begin{aligned} a_1 r_1 + a_2 r_2 + a_3 r_3 + \dots &= 0 \\ b_1 r_1 + b_2 r_2 + b_3 r_3 + \dots &= 0 \\ c_1 r_1 + c_2 r_2 + c_3 r_3 + \dots &= 0 \\ \dots &\dots \end{aligned} \right\} \quad 7)$$

Ersetzt man nun den Werth von r_1, r_2, r_3, \dots durch die Relationen in der Gleichung 2 (pag. 315), so verwandelt sich die erste Gleichung 7 in:

$$\left. \begin{aligned} a_1 a_1 x + a_1 b_1 y + a_1 c_1 z + \dots - a_1 n_1 \\ + a_2 a_2 x + a_2 b_2 y + a_2 c_2 z + \dots - a_2 n_2 \\ + a_3 a_3 x + a_3 b_3 y + a_3 c_3 z + \dots - a_3 n_3 \\ \dots \end{aligned} \right\} = 0,$$

ähnlich wird die zweite Gleichung 7 sich schreiben lassen:

$$\left. \begin{aligned} a_1 b_1 x + b_1 b_1 y + b_1 c_1 z + \dots - b_1 n_1 \\ + a_2 b_2 x + b_2 b_2 y + b_2 c_2 z + \dots - b_2 n_2 \\ + a_3 b_3 x + b_3 b_3 y + b_3 c_3 z + \dots - b_3 n_3 \\ \dots \end{aligned} \right\} = 0$$

n. s. f. — Führt man nun die abkürzende Gauss'sche Summenbezeichnung (pag. 301) ein, so wird man statt der Gleichungen 7 schreiben können die folgenden, in welchen die Coëfficienten völlig bekannte Grössen sind:

$$\left. \begin{aligned} a a' x + a b' y + a c' z + \dots &= [a n'] \\ a b' x + b b' y + b c' z + \dots &= [b n'] \\ a c' x + b c' y + c c' z + \dots &= [c n'] \\ \dots &\dots \end{aligned} \right\} \quad 8)$$

Die Anzahl dieser Gleichungen kommt gleich der Anzahl der Unbekannten, die Auflösung dieser Gleichungen bestimmt die Unbekannten nach dem Axiome, dass die Summe der Fehlerquadrate ein Minimum ist; man nennt diese Gleichungen die Normalgleichungen, weil dieselben für die Bestimmung der Unbekannten maassgebend normirend sind.

Die Bildung und Herstellung der Normalgleichungen ist nunmehr theoretisch völlig bestimmt, nur wird die thatsächliche Durchführung der zahlreichen Multiplicationen und Additionen, besonders wenn die Anzahl der Unbekannten und der Bedingungsgleichungen anwächst, das Bedürfniss fühlbar machen, die nothwendigen Rechnungsoperationen möglichst übersichtlich zu gestalten, so dass nicht leicht ein

Product übergangen werden kann, und geeignete Prüfungsmittel für die Richtigkeit der Rechnung herbeizuschaffen.

Letzteres Verlangen kann leicht durch Bildung einiger Hilfsgrössen befriedigt werden. Bildet man nämlich die Summe aller zu einer Bedingungsgleichung gehöriger Coëfficienten und bezeichnet dieselbe durch s mit einem entsprechenden Index, so hat man:

$$\left. \begin{aligned} a_1 + b_1 + c_1 + \dots + n_1 &= s_1 \\ a_2 + b_2 + c_2 + \dots + n_2 &= s_2 \\ a_3 + b_3 + c_3 + \dots + n_3 &= s_3 \\ \dots & \dots \end{aligned} \right\} \quad 9$$

und man wird sofort zur Prüfung der Coëfficienten der Normalgleichungen, wenn man sich die Bedeutung des Gauss'schen Summenzeichens klar macht, haben:

$$\left. \begin{aligned} [a\ a] + [a\ b] + [a\ c] + \dots + [a\ n] &= [a\ s] \\ [a\ b] + [b\ b] + [b\ c] + \dots + [b\ n] &= [b\ s] \\ [a\ c] + [b\ c] + [c\ c] + \dots + [c\ n] &= [c\ s] \\ \dots & \dots \\ [a\ n] + [b\ n] + [c\ n] + \dots + [n\ n] &= [n\ s] \end{aligned} \right\} \quad 10$$

welchen Relationen innerhalb der Unsicherheit der Rechnungsoperationen genügt werden muss. Hierbei könnte aber eine beträchtliche Unsicherheit dadurch entstehen, dass die Coëfficienten der verschiedenen Unbekannten sehr different in Bezug auf ihre Grösse sind. Es muss nämlich die Rechnung, um dieselbe nicht allzu weitläufig zu gestalten, auf eine gewisse Anzahl von Decimalen beschränkt bleiben; bei den Producten der grossen Zahlen wird aber die Unsicherheit der Rechnung schon Stellen beeinflussen, die bei den Producten der kleinen Zahlen noch ganz sicher erscheinen und es muss gewiss ganz erwünscht sein, sich auch der Richtigkeit dieser kleinen Producte zu versichern; hierbei ist natürlich vorausgesetzt, dass die kleinen Coëfficienten sich mit derselben Unbekannten verbinden, denn es ist klar, dass ein kleiner oder mehrere kleine Coëfficienten bei einer Unbekannten, wenn nur ein grosser Coëfficient derselben vorhanden ist, einer derartigen Prüfung nicht bedürfen. Man kann nun leicht dieser Forderung genügen, wenn man für die Unbekannten andere Grössen einführt, welche die zugehörigen Coëfficienten für die verschiedenen Unbekannten nahe gleichwerthig machen, und es wird sich stets lohnen, diese kleine Mühe nicht zu scheuen und stets die auftretenden Factoren möglichst homogen der Rechnung zu Grunde zu legen. Es ist mir stets am bequemsten und sichersten erschienen, den grössten Coëfficienten, mit dem die Unbekannte multiplicirt erscheint, herauszuheben und mit demselben alle Coëfficienten dieser Unbekannten zu dividiren. Seien der Reihe nach $\alpha, \beta, \gamma, \dots$ die grössten Coëfficienten von x, y, z, \dots und sei ν der grösste Werth in der Reihe der Werthe $n_1\ n_2\ n_3 \dots$ so erhalten die Bedingungsgleichungen nunmehr die Form:

$$\left. \begin{aligned} \frac{a_1}{\alpha} (\alpha x) + \frac{b_1}{\beta} (\beta y) + \frac{c_1}{\gamma} (\gamma z) \dots &= \frac{n_1}{r} \\ \frac{a_2}{\alpha} (\alpha x) + \frac{b_2}{\beta} (\beta y) + \frac{c_2}{\gamma} (\gamma z) \dots &= \frac{n_2}{r} \\ \frac{a_3}{\alpha} (\alpha x) + \frac{b_3}{\beta} (\beta y) + \frac{c_3}{\gamma} (\gamma z) \dots &= \frac{n_3}{r} \\ \dots &\dots \end{aligned} \right\} \quad (11)$$

aus welchen nun die Unbekannten αx , βy , γz ... mit Hilfe der Normalgleichungen in Einheiten von r erhalten werden. Man wird demnach vor Beginn der Rechnungsoperationen zur Ermittlung der Normalgleichungen den eben gemachten Vorschriften gemäss die Coëfficienten erst homogen gestalten, und mit diesen dann die Operationen beginnen; es ist klar, dass, um von der in 10) angedeuteten Summenprüfung möglichst bequiem Vorthail zu ziehen, die Summen s nach 9) erst mit dem homogen gemachten Coëfficienten berechnet werden. Es mögen vielleicht einem in diesen Gebiete der Rechnung wenig erfahrenen Rechner die hier angegebenen Vorschriften auf den ersten Blick die Rechnung zu erschweren scheinen, die häufigere Anwendung aber wird denselben bald lehren, dass sie ganz wesentlich zur Sicherung und Bequemlichkeit der Rechnung beitragen.

Ich werde nun zeigen, wie man die weitere Rechnung zur Bildung der Normalgleichungen und zur Lösung derselben übersichtlich anlegen kann und setze die ursprüngliche Form der Bedingungsgleichungen

$$\begin{aligned} a_1 x + b_1 y + c_1 z + \dots &= n_1 \\ a_2 x + b_2 y + c_2 z + \dots &= n_2 \\ \dots &\dots \end{aligned}$$

voraus, wobei jedoch nunmehr die Coëfficienten und die Unbekannten der Bedingung der Homogenität unterworfen sind. Die Bildung der Produkte kann nun leicht entweder mit Hilfe der gewöhnlichen Logarithmentafeln oder nach Bessel's Vorschlag mit Hilfe von Quadrattafeln vorgenommen werden; ich werde zuerst das erstere Verfahren auseinandersetzen.

Man wird sich zunächst auf einen mit Horizontallinien überzogenen Bogen so viel Verticalcolumnen vorbereiten, als Bedingungsgleichungen vorhanden sind; in die erste Horizontalzeile setzt man nun die logarithmischen Coëfficienten der Unbekannten x , in die zweite die von y u. s. f.; in die vorletzte Zeile kommen die Logarithmen von n , in die letzte die von s , nachdem man sich vorerst auf einem Nebenblatte nach den Gleichungen 9) dieselben durch Summation verschafft hat. Man hat also zwei Horizontalzeilen mehr auszufüllen, als Unbekannte vorhanden sind; das Schema gestaltet sich also wie folgt, wobei die Ziffern in den Köpfen der Columnen den Hinweis auf die Nummer der Bedingungsgleichung vorstellen sollen.

Nummer der Bedingungsgleichung	1	2	3
Coëfficient von x	$\log a_1$	$\log a_2$	$\log a_3$
» » y	$\log b_1$	$\log b_2$	$\log b_3$
» » z	$\log c_1$	$\log c_2$	$\log c_3$
⋮	⋮	⋮	⋮	
⋮	⋮	⋮	⋮	
Fehler	$\log u_1$	$\log u_2$	$\log u_3$
Summe	$\log s_1$	$\log s_2$	$\log s_3$

Auf demselben Folioblatte wird man nun, wenn die Bedingungsgleichungen und die Unbekannten nicht zu zahlreich sind, Platz für die gebildeten Producte finden; man wird sich zu diesem Ende, wenn man durch μ die Anzahl der Unbekannten bezeichnet:

$$\frac{\mu + 2}{1 \cdot 2} \frac{\mu + 3}{1 \cdot 2} \dots 1 \quad 12)$$

Verticalcolumnen bilden, die um zwei Horizontalzeilen mehr enthalten als Bedingungsgleichungen vorhanden sind. In die erste Zeile jeder dieser Verticalcolumnen setzt man als Aufschrift das bezeichnende Product, also $aa, ab, ac \dots, bb, bc \dots, nn, ns$, in die letzte Zeile wird dann die Summe der Producte der Verticalcolumnen eingesetzt. Sollte die Anzahl der Bedingungsgleichungen gross sein, so wird man die Zahl der Horizontallinien um einige vermehren und zwar nach einer bestimmten Anzahl von Bedingungsgleichungen die Summen der Producte bilden, um durch die später zu erwähnenden Prüfungsgleichungen den Ort eines eventuellen Fehlers zu bestimmen. Nun schreibt man auf den unteren Rand eines Papiere die Logarithmen von $a_1, a_2, a_3 \dots$ und hält dieselben über die a Reihe zum Zwecke der Addition; hierbei wird man wohl ohne Mühe die Addition der Logarithmen von links nach rechts führend, sofort die zugehörige Zahl aus den Logarithmentafeln hinschreiben können; man erlangt so der Reihe nach die Producte $a_1 a_1, a_2 a_2, a_3 a_3 \dots$ die man in die Columnen aa sofort einsetzt; hierauf rückt man den Papierstreifen über die nächste Horizontalreihe, und erhält durch die analogen Operationen $a_1 b_1, a_2 b_2, a_3 b_3 \dots$ und so rückt man bis zur s Reihe herab und findet schliesslich $a_1 s_1, a_2 s_2, a_3 s_3 \dots$; sind so die Partialproducte gebildet, so addirt man die Zahlen einer jeden Verticalcolumnen und sieht nach, ob der Relation (vgl. Gleichung 10. pag. 317)

$$[aa] + [ab] + [ac] \dots + [an] = [as]$$

genügt wird. Zeigt sich eine Differenz und ist man sonst geübt in der Ausführung numerischer Rechnungen, so wird man vorerst den Fehler auf sich beruhen lassen können, da die weiteren Prüfungsgleichungen, wenn man sonst keinen merklichen Fehler begeht, den Ort des Fehlers näher bezeichnen werden; hat man aber nicht die nöthige Sicherheit, so wird es wohl angemessen sein, die einzelnen Horizontalzeilen durch die Relationen

$$\begin{aligned} a_1 a_1 + a_1 b_1 + a_1 c_1 + \dots + a_1 n_1 &= a_1 s_1 \\ a_2 a_2 + a_2 b_2 + a_2 c_2 + \dots + a_2 n_2 &= a_2 s_2 \\ \dots &\dots \end{aligned}$$

zu prüfen und den Fehler zu ermitteln; ist so die genügende Uebereinstimmung hergestellt, so schreibt man sich auf den unteren Rand eines Papierees die *b* Coëfficienten und hält dieselben vorerst über die Reihe der *b* Coëfficienten, man erhält so der Reihe nach die Producte $b_1 b_1, b_2 b_2$, die sofort in die entsprechende Columnne *b b* eingetragen werden; nun rückt man den Papierstreifen über die *c* Coëfficienten und erhält so $b_1 c_1, b_2 c_2 \dots$ und rückt so vorwärts, bis man die Reihen der *b s* Coëfficienten berechnet hat, und kann wieder die zweite Gleichung in 10) zur Probe heranziehen; dann behandelt man ähnlich die *c* Coëfficienten und setzt das Verfahren so lange fort, bis man die *nn* und die *ns* Reihe gebildet hat, womit die Bildung der Producte vollständig erledigt ist. Die letzteren zwei Productsummen sind zwar für die Bildung der Normalgleichungen nicht erforderlich, sie werden aber später von Nutzen sein.

Verschiebt man die Bildung der Prüfungsrechnung 10) bis zum Schluss der Rechnung, ein Verfahren, welches nur einem sehr geübten Rechner empfohlen werden kann, so wird sich leicht der Ort des Fehlers entdecken lassen; denn jede Summe ist, mit Ausnahme der quadratischen Summen, in den Prüfungsgleichungen zweimal vertreten, stimmen alle zwei Summenprüfungen nicht, so ist der Fehler in der beiden Prüfungsgleichungen gemeinsamen Summe enthalten; stimmt nur eine Gleichung nicht, so ist der Fehler in der quadratischen Summe dieser Prüfungsgleichung enthalten.

Es dürfte angemessen sein, das obige Verfahren durch ein ausführliches Beispiel zu erläutern, und ich entlehne das Beispiel der in diesem Buche durchgeführten Ermittlung der Erato-Elemente, für welche neun Normalorte als Grundlage gewählt haben. Es werden die Verbesserungen der Elemente *L', μ, Φ, Ψ, Q'* und *i'* gesucht; die Ausgangs-Elemente selbst lassen die in der ersten Verticalcolumnne aufgeführten Fehler übrig; die Bedingungsgleichungen, deren Entstehung in dem Abschnitte über Bahnverbesserung ausführlich erläutert wird, stellen sich wie folgt, wobei die ersten neun Gleichungen den Rectascensionen, die letzteren neun Gleichungen den Declinationen angehören (die Coëfficienten der Unbekannten sind logarithmisch angesetzt):

1. $-3''.05 = 0.30905 \delta L' + 4.02489 \delta \mu + 0.55422 \delta \Phi + 9.84755 \delta \Psi + 9.49648 \sin i' \delta Q' + 7.52654 \delta i'$					
2. $-12''.73 = 0.19343$	3.86719	0.06517	0.45225	9.26378	9.41113
3. $+10.29 = 9.98284$	3.61616	0.33255	9.07498	9.42941	8.56894
4. $-9.87 = 0.29157$	3.36846	0.55121	8.23311	9.47252	9.02028
5. $-0.05 = 0.24141$	3.09724	9.89428	0.50920	9.39733	9.16190
6. $+22.28 = 9.99830$	2.43954	0.34646	8.80219	9.43667	8.22679
7. $+27.09 = 9.99289$	2.14609	0.04135	0.29030	8.82060	9.42796
8. $+17.07 = 0.16524$	2.92722	0.27582	0.35475	9.20162	9.40554
9. $+1.69 = 0.33893$	3.36051	0.39441	0.47186	9.90340	9.53201

10) $-13.43 = 9.91933 \delta L' + 3_n 63584 \delta \mu + 2_n 16726 \delta \psi + 9.40052 \delta \varphi + 0_n 20387 \sin i' \delta i' + 7_n 91601 \delta i''$					
11) $+ 3.39 = 9_n 47080$	3.14361	$9_n 37231$	$9_n 72809$	9.73292	0.12685
12) $- 5.19 = 9_n 59488$	3.22932	$9_n 94427$	8.48426	0.13569	$8_n 95724$
13) $- 7.56 = 9.89620$	$2_n 97590$	$0_n 15707$	$8_n 41814$	$0_n 19554$	$9_n 41379$
14) $- 0.64 = 9_n 24551$	2.09786	$8_n 92589$	$9_n 51281$	9.67384	0.15635
15) $- 8.24 = 9_n 61165$	2.06824	$9_n 95831$	$8_n 63121$	0.14366	8.61533
16) $- 7.35 = 9_n 38470$	$1_n 48233$	$9_n 45701$	9.67595	9.93704	$0_n 03399$
17) $+ 4.13 = 9.45671$	2.22118	$9_n 57067$	$9_n 64269$	$9_n 84854$	$0_n 11500$
18) $- 1.30 = 9.80366$	2.82036	$9_n 87793$	9.92280	$0_n 03453$	0.06537

Vor Allem hat man nun die Gleichungen gleichwerthig zu machen und hat dieselben zu diesem Ende (vergl. § 1 pag. 314 mit den Quadratwurzeln der Gewichte durchzumultipliciren; in diesem Falle kann aber das sonst nöthige Hinschreiben der gleichwerthigen Gleichungen umgangen werden, da alle Normalorte das Gewicht 1 erhalten mit Ausnahme des dritten Ortes, dem das Gewicht $\frac{1}{2}$ zugeschrieben werden soll; ich denke mir daher die Gleichungen 3) und 12 mit $\frac{1}{\sqrt{2}}$ durchmultiplicirt. Dem Gleichungssystem 11) (pag. 318) entsprechend setze ich, um die Coëfficienten möglichst homogen zu machen (die Coëfficienten logarithmisch :

$$\begin{aligned} x &= 0.33803 \delta L' \\ y &= 1.02489 \delta \mu \\ z &= 0.55422 \delta \psi \\ t &= 0.50020 \delta \varphi \\ u &= 0.20387 \delta i' \sin i'' \\ v &= 0.15035 \delta i'' \\ r &= 37''05 \end{aligned}$$

und erhalte so (vergl. pag. 319) das folgende Werthtableau, in welchem alle Werthe logarithmisch auf vier Stellen, was genügend ist, angesetzt sind und wobei s durch die Summation aller Coëfficienten derselben Verticalreihe (in pag. 317 erhalten wurde:

	1	2	3	4	5	6	7	8	9
log Coëff. v. x	0.9701	0.8515	0.1934	0.9526	0.9024	0.6594	0.6540	0.8203	0.0000
» » » y	0_n 0000	0_n 8423	0_n 4408	0_n 3430	0_n 0723	8_n 1140	8.1212	8.9023	0.3356
» » » z	0_n 0000	0.5109	0.6278	0_n 0970	0.3400	0.7922	0.4871	0_n 7216	0_n 8402
» » » t	0.3383	0.9430	8_n 4153	7.7239	0.0000	8.2930	0_n 7811	0_n 8455	9.9627
» » » u	0.2920	0_n 0599	0.0750	0.2680	0_n 1935	0.2328	8_n 6107	8_n 9977	7_n 6995
» » » v	7.3702	0.2518	8_n 2621	8.8039	0.0055	8.0704	0_n 2716	0.2492	0_n 3757
log u	0_n 0000	0_n 5390	0.2931	0_n 4255	7_n 1302	0.7791	0.8040	0.6634	8.6717
log s	0_n 2170	0.9713	0.8038	0_n 5040	0.2656	0.2081	0.8200	8.7889	0.0957

	10	11	12	13	14	15	16	17	18
log Coeff. v. x	9,5804	9,1319	9,1054	9,5573	8,9066	9,2727	9,0458	9,1178	9,4647
" " y	9,6109	9,1187	9,0539	8,9051	8,0730	8,0433	7,9457	8,1963	8,7955
" " z	9,6130	8,8181	9,2395	9,6028	8,5717	9,4041	8,9928	9,0164	9,3237
" " t	8,8913	9,2189	7,8246	7,9989	9,0036	8,1220	9,1667	9,1335	9,4136
" " u	9,0000	9,5200	9,7813	9,9947	9,4700	9,9398	9,7332	9,6447	9,8397
" " w	7,7597	9,9705	8,6504	9,2574	0,0000	8,4590	9,8776	9,9586	9,9990
log n	9,5593	8,9614	8,9959	9,3997	8,2374	9,3474	9,2975	9,0471	8,5451
log s	9,2375	9,0520	9,4462	9,1770	9,0353	9,3688	9,6617	9,1245	9,6999

Es wurden nun 12 pag. 319 entsprechend 35 Verticalcolumnen vorbereitet; da aber die Anzahl der Gleichungen eine bedeutende, wurde die Summe der ersten und letzten neun Horizontalzeilen gebildet und diese stets der Prüfungsgleichung unterzogen, man hatte dann:

	aa	ab	ac	ad	ae	af	an	as	bb	bc	bd	be
1	+0,8714	-0,9335	-0,9335	+0,2034	+0,1831	-0,0022	-0,9335	-1,5407	+1,0000	+1,0000	-0,2179	-0,1961
2	+0,5117	-0,4975	+0,2319	+0,6273	-0,0821	+0,1287	-0,2458	+0,6742	+0,4838	-0,2255	-0,6100	+0,0798
3	+0,0970	-0,0859	+0,1322	-0,0081	+0,0370	-0,0057	+0,0612	+0,2276	+0,0761	-0,1171	+0,0072	-0,0328
4	+0,8038	-0,1978	-0,8904	+0,0047	+0,1664	+0,0655	-0,2388	-0,2865	+0,0487	+0,2191	-0,0012	-0,0409
5	+0,6380	-0,0943	+0,1748	-0,7988	-0,1247	+0,7809	-0,0011	+1,4723	+0,0140	-0,0258	-0,1181	+0,0184
6	+0,2083	-0,0119	+0,2829	+0,0090	+0,0780	+0,0054	+0,2745	+0,8462	+0,0007	-0,0161	-0,0005	-0,0044
7	+0,2032	+0,0060	+0,1384	-0,2723	-0,0187	-0,0843	+0,3296	+0,3020	+0,0002	+0,0041	-0,0080	-0,0005
8	+0,4494	+0,0535	-0,3531	-0,4697	-0,0667	+0,1190	+0,3988	+0,0412	+0,0064	-0,0421	-0,0559	-0,0079
9	+1,0000	+0,2165	-0,6922	+0,9178	-0,0050	-0,2375	+0,0470	+1,2466	+0,0469	-0,1499	+0,1987	-0,0011
Δ	+4,7828	-1,5449	-1,9090	+1,8109	+0,1673	+0,0742	-0,3981	-2,9829	+1,6768	+0,6467	-0,8057	-0,1855
	ba	bb	bc	bd	be	bf	bn	bs	cb	cc	cd	ce
10	+0,1448	-0,1554	-0,1561	+0,0296	-0,3805	-0,0022	-0,1379	-0,6575	+0,1667	+0,1675	-0,0318	+0,4082
11	+0,0184	-0,0178	+0,0089	+0,0224	-0,0458	-0,1266	-0,0124	-0,1529	+0,0173	-0,0086	-0,0218	+0,0444
12	+0,0192	-0,0144	+0,0221	-0,0009	-0,0770	-0,0057	-0,0126	-0,0356	+0,0128	-0,0196	+0,0008	+0,0684
13	+0,1302	-0,0322	-0,1446	-0,0029	-0,3340	-0,0653	-0,0736	-0,5424	+0,0080	+0,0358	+0,0007	+0,0876
14	+0,0065	-0,0010	+0,0019	+0,0081	-0,0238	-0,0806	+0,0014	-0,0875	+0,0001	-0,0003	-0,0012	+0,0035
15	+0,0351	-0,0021	+0,0475	-0,0025	-0,1631	-0,0054	+0,0417	-0,0438	+0,0001	-0,0028	-0,0001	+0,0096
16	+0,0123	+0,0003	+0,0089	-0,0163	-0,0901	+0,0838	+0,0220	+0,0510	-0,0000	+0,0002	-0,0004	-0,0016
17	+0,0172	+0,0021	-0,0136	-0,0178	-0,0579	-0,1192	+0,0146	-0,1747	+0,0002	-0,0016	-0,0021	-0,0069
18	+0,0850	+0,0182	-0,0914	+0,0756	-0,1974	+0,2364	-0,0102	+0,1491	+0,0039	-0,0132	+0,0162	-0,0423
Δ	+0,4657	-0,2023	-0,2864	+0,1003	-1,3596	-0,0734	-0,1418	-1,4973	+0,2091	+0,1574	-0,0397	+0,5709
	bf	bn	bs	cb	cd	ce	cf	cn	cs	dd	de	df
1	-0,0023	+1,0000	+1,6504	+1,0000	-0,2179	-0,1961	-0,0023	+1,0000	+1,6504	+0,0475	+0,0427	+0,0005
2	-0,1251	+0,2389	-0,6556	+0,1051	+0,2844	-0,0372	+0,0583	-0,1115	+0,3056	+0,7692	-0,1007	+0,1577
3	+0,0050	-0,0512	-0,2016	+0,1801	-0,0110	-0,0704	-0,0078	+0,0833	-0,3121	+0,0007	-0,0031	+0,0005
4	-0,0161	+0,0588	-0,0705	+0,9802	-0,0053	-0,1813	-0,0726	+0,2646	+0,3174	-0,0000	+0,0010	+0,0004
5	-0,0120	-0,0002	-0,2177	+0,0479	+0,2188	-0,0341	+0,0222	-0,0033	+0,4033	+1,0000	-0,1561	+0,1013
6	-0,0003	-0,0156	-0,0342	+0,3841	+0,0122	+0,1059	+0,0073	+0,3757	+1,1489	+0,0094	+0,0034	+0,0002
7	-0,0035	+0,0097	-0,0779	+0,0942	-0,1854	-0,0127	-0,0574	+0,2244	+0,2056	+0,3649	+0,0250	+0,1129
8	+0,0142	+0,0368	+0,0049	+0,2775	+0,3991	+0,0524	-0,0935	-0,2427	-0,0324	+0,4999	+0,0697	-0,1244
9	-0,0514	+0,0102	+0,2099	+0,4791	-0,6351	+0,0035	+0,1644	-0,0325	-0,8628	+0,8422	-0,0046	-0,2178
Δ	-0,1905	+1,2818	+0,8815	+3,5542	-0,1702	-0,2523	+0,0186	+1,5580	+3,4491	+3,5158	-0,1227	+0,0313
	ba	bb	bc	bd	be	bf	bn	bs	cb	cc	cd	ce
10	+0,0023	+1,1480	-0,7553	-0,1683	-0,3199	+0,4112	-0,1724	-0,1487	-0,7788	+0,0061	-0,0779	-0,0004
11	+0,1228	-0,2120	-0,1783	-0,0443	-0,9109	-0,0222	-0,0915	-0,2096	-0,0742	+0,0274	-0,0360	-0,1547
12	-0,0051	-0,0112	-0,0516	-0,0311	-0,0012	-0,1049	-0,0078	+0,0172	-0,0485	-0,0000	+0,0040	-0,0003
13	+0,0162	+0,0482	-0,0313	+0,1006	-0,0322	+0,3911	-0,0725	+0,2817	-0,0623	+0,7001	+0,0080	+0,0015
14	+0,0118	-0,0102	-0,0124	+0,0009	-0,0034	-0,0099	-0,0235	-0,0004	-0,0255	+0,0102	-0,0298	-0,1008
15	-0,0003	-0,0023	-0,0026	-0,0643	+0,2034	-0,2177	-0,0073	+0,0564	-0,0593	+0,0002	-0,0115	-0,0004
16	+0,0022	+0,0009	-0,0013	+0,0004	-0,0117	-0,0432	-0,0605	-0,0159	+0,0367	+0,0215	+0,0794	-0,1107
17	-0,0143	+0,0046	-0,0799	+0,0103	-0,0141	-0,0458	+0,0944	-0,0116	+0,1383	+0,0185	+0,0600	+0,1236
18	-0,0196	-0,0022	-0,0313	+0,0444	-0,0546	+0,1427	-0,1799	+0,0074	-0,1736	+0,0672	-0,1755	+0,2102
Δ	-0,0167	+0,1615	+0,0466	+0,1890	-0,0000	-0,5039	-0,0778	+0,3101	+1,1750	+0,1012	-0,1993	-0,0320

	du	ds	ee	ef	eu	es	ff	fu	fs	uu	us
1	-0.2179	0.3597	+0.0385	+0.0005	-0.1961	0.3238	0.0000	-0.0023	-0.0039	+1.0000	+1.6504
2	-0.3013	+0.8266	+0.0132	-0.0206	+0.0394	-0.1082	+0.0323	-0.0618	+0.1695	+0.1180	-0.3238
3	-0.0051	-0.0190	+0.0141	-0.0022	+0.0233	+0.0869	+0.0003	-0.0036	-0.0134	+0.0386	+0.1435
4	-0.0014	-0.0017	+0.0344	+0.0136	-0.0494	-0.0593	+0.0053	-0.0195	-0.0234	+0.0710	+0.0851
5	-0.0013	+1.8433	+0.0244	-0.0158	+0.0002	-0.2878	+0.0103	-0.0001	+0.1867	0.0000	-0.0025
6	+0.0118	+0.0364	+0.0292	+0.0020	+0.1028	+0.3169	+0.0001	+0.0071	+0.0218	+0.3616	+1.1149
7	-0.4417	-0.4046	+0.0017	+0.0077	-0.0302	-0.0277	+0.0349	-0.1367	-0.1252	+0.5346	+0.4868
8	-0.3228	-0.0431	+0.0099	-0.0177	-0.0458	-0.0061	+0.0315	+0.0818	+0.0109	+0.2122	+0.0283
9	+0.0431	+1.1439	0.0000	+0.0012	-0.0002	-0.0062	+0.0564	-0.0112	-0.2961	+0.0022	+0.0585
Σ	-1.2366	+3.0221	+0.1654	-0.0313	-0.1560	0.4153	+0.1711	-0.1463	0.0731	+2.3382	+3.2442
10	-0.0282	-0.1345	+1.0000	+0.0057	+0.3625	+1.7280	0.0000	+0.0021	+0.0099	+0.1314	+0.6263
11	-0.0151	-0.1869	+0.1143	+0.3159	+0.0309	+0.5816	+0.8730	+0.0855	+1.0346	+0.0084	+0.1033
12	-0.0007	+0.0019	+0.3952	-0.0270	0.0599	+0.1648	+0.0020	+0.0044	-0.0125	+0.0098	-0.0277
13	+0.0017	+0.0122	+0.9625	+0.1775	+0.2002	+1.4747	+0.0327	+0.0369	+0.2719	+0.0416	+0.3767
14	+0.0017	-0.1094	+0.0871	+0.2951	-0.0051	+0.3201	+1.0000	0.0175	+1.0847	+0.0003	-0.0187
15	+0.0029	-0.0031	+0.7578	+0.0250	0.1936	+0.2035	+0.0008	0.0064	+0.0067	+0.0495	-0.0520
16	-0.0291	-0.0674	+0.2927	-0.4081	-0.1073	-0.2482	+0.5691	+0.1497	+0.3462	+0.0394	+0.0910
17	-0.0152	+0.1811	+0.1947	+0.4012	-0.0492	+0.5877	+0.8264	-0.1015	+1.2108	+0.0124	-0.1181
18	-0.0091	+0.1299	+0.4586	-0.5491	+0.0238	-0.5593	+0.6577	-0.0285	+0.1664	+0.0012	-0.0076
Σ	-0.0911	-0.1762	+4.2329	+0.2362	+0.2023	+4.2769	+3.9617	+0.1251	+4.3787	+0.2940	+0.8629

Bildet man nun, den Prüfungsgleichungen 10 pag 317 gemäss, die Proben so erhält man:

	1-9		10-18	
	Summe	direct. Werth	Summe	direct. Werth
as	+ 2.9832	+ 2.9829	- 1.4975	- 1.4973
bs	+ 0.8817	+ 0.8815	+ 1.0497	+ 1.0499
cs	+ 3.4460	+ 3.4461	+ 1.1739	+ 1.1739
ds	+ 3.0228	+ 3.0221	0.1700	0.1702
es	- 0.1151	0.1153	+ 4.2773	+ 4.2769
fs	- 0.0729	- 0.0731	+ 4.3780	+ 4.3787
us	+ 3.2449	+ 3.2442	+ 0.8634	+ 0.8620

so dass eine für die vierstellige Rechnung völlig befriedigende Uebereinstimmung zu Tage tritt; vereinigt man die zwei zusammengehörigen Partialsummen, so erhält man für die Normalgleichungen die folgenden Coefficienten:

$$\begin{aligned}
 [aa] &= +5.2485, [bb] = +1.8859, [cc] = +4.0440, [dd] = +3.0070, [ee] = +4.3083 \\
 [ab] &= -1.7472, [be] = +0.8011, [cd] = -0.2350, [de] = -0.3220, [ef] = +0.2040 \\
 [ac] &= -2.1054, [bd] = -0.8454, [ce] = +0.3416, [df] = -0.0007, [eu] = +0.0493 \\
 [ad] &= +1.0112, [be] = +0.3854, [cf] = -0.0672, [du] = +1.3277, [ff] = +4.4321 \\
 [ae] &= -1.1023, [bf] = -0.0037, [eu] = +1.8681, [fu] = -0.0212 \\
 [af] &= +0.0008, [bu] = +1.1493, \\
 [au] &= -0.5309.
 \end{aligned}$$

und überdiess ist die Summe der auftretenden Fehlerquadrate:

$$[uu] = + 2.6322.$$

von welcher Summe später Gebrauch gemacht wird.

Etwas abgeändert wird man die Bildung der Normalgleichungen vornehmen müssen, wenn man nach Bessel's Vorgange Quadrattafeln zur Herstellung derselben anwenden will; die Anwendung dieser letzteren bietet nach meinen eigenen Erfahrungen über diesen Gegenstand so wesentliche Vorzüge vor dem zuerst ausinandergesetzten Verfahren, dass ich nicht anstehe, dasselbe als besonders zweckmässig zu empfehlen; einer der wesentlichsten Vortheile ist darin zu suchen, dass das Zeichen der Producte nicht in Betracht kommt, sondern durchaus positive Werthe in das Product-Schema einzutragen sind; es ist hierdurch eine wesentliche Fehlerquelle vermieden, die selbst dem geübtesten Rechner gefährlich ist, nämlich die Zeichenfehler; ausserdem ist die Anzahl der zu bildenden Verticalcolumnen wesentlich vermindert; die Verminderung beträgt μ Columnen, wenn μ die Anzahl der Unbekannten vorstellt. Um aber das Bessel'sche Verfahren mit Vortheil anwenden zu können, ist es erwünscht, bequem eingerichtete Quadrattafeln zu besitzen; ich habe deshalb als Tafel XV eine solche Tafel eingefügt, die innerhalb der Grenzen 0—2 die Quadrate für jeden Hunderttheil des Argumentes auf vier Stellen angibt, eine für die vorliegenden Zwecke meist ausreichende Genauigkeitsgrenze.

Die Grenzen dieser Tafel werden niemals bei der Bildung der Producte der Coëfficienten überschritten werden, wenn man nur die Coëfficienten durch entsprechende Abänderung der Unbekannten nach den in diesem Abschnitte bereits empfohlenen Regeln homogen macht; nur die Prüfungscoëfficienten s , [von denen man für die folgenden Prüfungsgleichungen nur die Quadrate benützt] können hiervon eine Ausnahme machen; man wird sich aber hierbei erinnern, dass identisch ist:

$$s^2 = 2\alpha s - \alpha^2 + s - \alpha^2,$$

wo für α jene ganze Zahl zu wählen sein wird, die $s - \alpha$ kleiner als 2 macht und wobei natürlich das Zeichen von s stets positiv gedacht wird. Mit dieser Formel wird man leicht die die Grenzen dieser Quadrattafel ausnahmsweise überschreitenden Coëfficienten berechnen können.

Um mit Hilfe einer Quadrattafel ein Product zu berechnen, erinnere man sich dass offenbar ist:

$$a b = \frac{1}{2} \{ a + b^2 - a^2 - b^2 \};$$

es ist also:

$$\left. \begin{array}{l} a_1 b_1 = \frac{1}{2} \{ a_1 + b_1^2 - a_1^2 - b_1^2 \} \\ a_2 b_2 = \frac{1}{2} \{ a_2 + b_2^2 - a_2^2 - b_2^2 \} \\ \vdots \qquad \qquad \qquad \vdots \qquad \qquad \qquad \vdots \end{array} \right\} \quad 13$$

dennoch auch mit Benutzung des symbolischen Summenzeichen

$$ab = \frac{1}{2} \{ a + b^2 - aa - bb \}.$$

Man bedarf daher, wenn man die in den Normalgleichungen auftretenden Coëfficienten und ausserdem uu bilden will, der folgenden Quadratsummen:

und indem man beide Coefficienten mit Rücksicht auf ihre Vorzeichen addirt, erhält man das nunmehr vom Zeichen unabhängige Argument für die Quadrattafel und bildet so die $a + b^2$ Reihe; nun rückt man um eine Zeile tiefer und erhält die $a + c^2$ Reihe u. s. f. bis zum Schlusse, dann beginnt man mit den b Coefficienten dieselbe Operation, indem man zuerst die $b + c^2$ Reihe ableitet u. s. f. Das sich so bildende Schema wird also das folgende sein:

	aa	bb	cc	\dots	ss	$a+b^2$	$a+c^2$	\dots	$a+n^2$	$b+c^2$	\dots
1	$a_1 a_1$	$b_1 b_1$	$c_1 c_1$	\dots	$s_1 s_1$	$(a_1+b_1)^2$	$a_1+c_1^2$	\dots	$a_1+n_1^2$	$(b_1+c_1)^2$	\dots
2	$a_2 a_2$	$b_2 b_2$	$c_2 c_2$	\dots	$s_2 s_2$	$(a_2+b_2)^2$	$a_2+c_2^2$	\dots	$a_2+n_2^2$	$(b_2+c_2)^2$	\dots
3	$a_3 a_3$	$b_3 b_3$	$c_3 c_3$	\dots	$s_3 s_3$	$(a_3+b_3)^2$	$a_3+c_3^2$	\dots	$a_3+n_3^2$	$(b_3+c_3)^2$	\dots
\dots	\dots	\dots	\dots	\dots	\dots	\dots	\dots	\dots	\dots	\dots	\dots
\dots	\dots	\dots	\dots	\dots	\dots	\dots	\dots	\dots	\dots	\dots	\dots
	aa	bb	cc	\dots	ss	$a+b^2$	$a+c^2$	\dots	$a+n^2$	$b+c^2$	\dots
	$aa+bb$		$aa+cc$		\dots	$aa+nn$	$bb+cc$	\dots			

Um sich von der Richtigkeit der Rechnung zu überzeugen, quadriert man die Gleichungen 14 (pag. 325), addirt dieselben und denkt sich die Producte nach 13 (pag. 324) zerlegt, so resultiren leicht die folgenden Prüfungsgleichungen, in welchen wieder durch μ die Anzahl der Unbekannten dargestellt wird:

$$\left. \begin{aligned}
 ss + \mu - 1 \{ aa + bb + cc + \dots + nn \} = \\
 = [a + b^2 + (a + c^2) + (a + d^2) + \dots + (a + n^2)] \\
 + [b + c^2 + (b + d^2) + \dots + (b + n^2)] \\
 + [c + d^2 + \dots + (c + n^2)] \\
 + \dots \\
 + \dots
 \end{aligned} \right\} \quad 15$$

d. h. die Summe ss vermindert um die $\mu - 1$ fache Summe der Quadrate der quadratischen Coefficienten ist gleich der Summe der Quadrate der übrigen Coefficienten. Lässt diese Prüfung Fehler vermuthen, so wird die Anwendung dieser Formel auf die einzelnen Glieder den Ort des Fehlers entdecken lassen, denn es ist ja allgemein:

$$\begin{aligned}
 s_i s_i + \mu - 1 \{ a_i a_i + b_i b_i + c_i c_i + \dots + n_i n_i \} = \\
 = (a_i + b_i^2 + (a_i + c_i^2) + (a_i + d_i^2) + \dots + (a_i + n_i^2) \\
 + (b_i + c_i^2) + (b_i + d_i^2) + \dots + (b_i + n_i^2) \\
 + (c_i + d_i^2) + \dots + (c_i + n_i^2) \\
 + \dots
 \end{aligned}$$

Hat man sich so eine sichere Prüfung der Richtigkeit der berechneten Grossen verschafft, so bildet man die für die Normalgleichungen nöthigen Formen durch

$$a_i \beta_i = \frac{1}{2} \{ [a + \beta^2] - [aa] - [\beta \beta] \} \quad 16$$

es wird also z. B. sein:

$$\begin{aligned} ab &= \frac{1}{2} \{ (a+b)^2 - aa - bb \} \\ ac &= \frac{1}{2} \{ (a+c)^2 - aa - cc \} \\ \text{u. s. w. } \end{aligned}$$

welche Operation durch die Angaben in der letzten Zeile einer jeden Verticalcolumnne sehr sicher durchgeführt wird, und man erhält so leicht alle die für die Normalgleichungen nöthigen Coëfficienten; dass man sich in dieser letzteren Operation keinen Fehler hat zu Schulden kommen lassen, prüft man leicht durch die folgende, ohne Schwierigkeit zu verificirende Relation; es ist nämlich, wenn man setzt:

$$\left. \begin{aligned} S &= \{ ab + ac + ad + \dots + an \\ &\quad + bc + bd + \dots + bn \\ &\quad + cd + \dots + cn \\ &\quad \dots \dots \dots \} \\ 2S &= ss - \{ aa + bb + cc + \dots + nn \} \end{aligned} \right\} \quad 17$$

womit demnach der letzte Schritt in der Bildung der Normalgleichungen geprüft erscheint.

Die für den Kometen 11866 im Beispiele des letzten Abschnittes gebildeten homogen gemachten Differentialquotienten finden sich nach dem obigen Schema (pag. 326) zusammengestellt, wenn man die Summe der Coëfficienten mit s bezeichnet, wie folgt:

Rectascensionen.

	1	2	3	4	5	6	7
a	+ 1.0000	+ 0.7834	+ 0.3711	+ 0.2530	+ 0.1661	+ 0.1014	+ 0.0239
b	+ 0.9856	+ 0.5986	+ 0.3210	+ 0.2509	+ 0.2012	+ 0.1650	+ 0.1228
c	+ 0.5987	+ 0.1417	+ 0.0226	+ 0.0530	+ 0.0721	+ 0.0847	+ 0.0982
d	+ 1.0000	+ 0.5704	+ 0.2754	+ 0.2077	+ 0.1648	+ 0.1390	+ 0.1188
e	+ 0.3398	+ 0.0237	+ 0.0485	+ 0.0573	+ 0.0615	+ 0.0631	+ 0.0620
f	+ 0.0868	+ 0.0716	+ 0.0265	+ 0.0096	+ 0.0095	+ 0.0220	+ 0.0557
u	+ 0.4440	+ 1.0000	+ 0.0505	+ 0.2242	+ 0.1275	+ 0.4748	+ 0.1407
s	+ 2.7137	+ 3.1420	+ 0.9694	+ 0.4983	+ 0.5845	+ 0.1130	+ 0.3343

Declinationen.

	8	9	10	11	12	13	14
a	+ 0.0313	+ 0.8942	+ 0.5436	+ 0.3819	+ 0.2546	+ 0.1567	+ 0.0371
b	+ 0.8798	+ 1.0000	+ 0.6679	+ 0.5697	+ 0.5000	+ 0.4499	+ 0.3927
c	+ 1.0000	+ 0.5280	+ 0.1953	+ 0.1407	+ 0.1108	+ 0.0942	+ 0.0805
d	+ 0.0815	+ 0.0451	+ 0.0970	+ 0.0907	+ 0.0827	+ 0.0763	+ 0.0703
e	+ 1.0000	+ 0.5371	+ 0.1997	+ 0.1388	+ 0.1032	+ 0.0815	+ 0.0603
f	+ 1.0000	+ 0.4154	+ 0.0721	+ 0.0146	+ 0.0179	+ 0.0369	+ 0.0530
u	+ 0.1670	+ 0.4989	+ 0.1846	+ 0.3077	+ 0.4483	+ 0.0132	+ 0.1275
s	+ 0.1744	+ 0.9257	+ 1.2226	+ 0.5405	+ 1.1457	+ 0.5931	+ 0.3052

Die Bildung der Quadrate nach dem auf pag. 326 gegebenen Schema unter Benutzung der Tafel XV ergibt:

Nr.	aa	bb	cc	dd	ee	ff	nn	ss	$a+b^2$	$a+c^2$	$a+d^2$	$a+e^2$	$a+f^2$	$a+n^2$	$b+c^2$
1	1.0000	0.9714	0.3584	1.0000	0.1155	0.0076	0.1971	7.3642	3.9426	2.5558	4.0000	0.4359	0.8340	0.3091	2.5100
1	0.6137	0.3583	0.0201	0.3253	0.0006	0.0051	1.0000	9.8722	1.9099	0.8558	1.8328	0.5771	0.7310	3.1805	0.5480
3	0.1377	0.1030	0.0005	0.0758	0.0023	0.0007	0.0025	0.9398	0.4790	0.1214	0.4179	0.1761	0.1581	0.1028	0.0890
4	0.0640	0.0629	0.0028	0.0431	0.0033	0.0000	0.0503	0.2483	0.2539	0.0400	0.2122	0.0963	0.0674	0.0008	0.0392
5	0.0276	0.0405	0.0052	0.0271	0.0037	0.0001	0.0162	0.1478	0.1349	0.0088	0.1095	0.0518	0.0245	0.0015	0.0166
6	0.0103	0.0272	0.0072	0.0193	0.0040	0.0005	0.2254	0.0128	0.0710	0.0003	0.0578	0.0270	0.0063	0.1394	0.0065
7	0.0006	0.0151	0.0096	0.0141	0.0038	0.0013	0.0198	0.1118	0.0215	0.0055	0.0203	0.0074	0.0001	0.0271	0.0006
8	0.0010	0.0740	1.0000	0.0066	1.0000	1.0000	0.0279	0.0304	0.8301	1.0636	0.0127	0.9384	0.9384	0.0184	3.5336
6	0.7996	1.0000	0.2788	0.0020	0.2885	0.1726	0.2489	0.8569	3.5880	2.0227	0.7210	0.1275	0.2292	0.1562	2.3348
10	0.2955	0.4461	0.0381	0.0094	0.0399	0.0052	0.0341	1.4947	1.4677	0.5459	0.1994	0.1182	0.2223	0.5303	0.7451
11	0.1458	0.3246	0.0198	0.0082	0.0192	0.0002	0.0947	0.2921	0.9055	0.2731	0.0848	0.0590	0.1349	0.0055	0.5047
12	0.0648	0.2500	0.0125	0.0068	0.0106	0.0003	0.2010	1.3126	0.5694	0.1335	0.0296	0.0229	0.0742	0.4941	0.3731
13	0.0245	0.2024	0.0088	0.0058	0.0066	0.0014	0.0002	0.3517	0.3679	0.0629	0.0065	0.0056	0.0374	0.0289	0.2960
14	0.0014	0.1542	0.0065	0.0043	0.0036	0.0028	0.0162	0.0931	0.1847	0.0138	0.0011	0.0005	0.0081	0.0082	0.2239
	3.1865	4.7297	1.7681	1.5484	1.5016	1.1978	2.1343	23.1284	14.7261	7.7031	7.7056	2.6437	3.4659	5.0028	11.2211
									7.9162	4.9546	4.7349	4.6881	4.3843	5.3208	6.4978

Nr.	$b+d^2$	$b+e^2$	$b+f^2$	$b+n^2$	$c+d^2$	$c+e^2$	$c+f^2$	$c+n^2$	$d+e^2$	$d+f^2$	$d+n^2$	$e+f^2$	$e+n^2$	$f+n^2$
1	3.9426	0.4170	0.8078	0.2434	2.5558	0.0670	0.2620	0.0239	0.4359	0.8340	0.3091	0.1820	0.6144	0.2818
2	1.3666	0.3305	0.4492	2.5555	0.5070	0.0139	0.0455	1.3035	0.2989	0.4122	2.4661	0.0023	0.9532	1.1483
3	0.3557	0.1365	0.1207	0.0731	0.0639	0.0007	0.0000	0.0053	0.1049	0.0911	0.0506	0.0056	0.0000	0.0006
4	0.2103	0.0950	0.0663	0.0007	0.0239	0.0000	0.0021	0.0768	0.0702	0.0459	0.0003	0.0041	0.0279	0.0473
5	0.1340	0.0690	0.0368	0.0054	0.0086	0.0001	0.0067	0.0398	0.0512	0.0241	0.0014	0.0027	0.0044	0.0188
6	0.0924	0.0520	0.0204	0.0960	0.0029	0.0005	0.0113	0.3130	0.0408	0.0137	0.1128	0.0017	0.1695	0.2468
7	0.0584	0.0341	0.0076	0.0694	0.0004	0.0013	0.0180	0.0018	0.0327	0.0069	0.0673	0.0007	0.0411	0.0110
8	0.9241	0.0144	0.0144	0.5081	1.1696	0.0000	0.0000	0.6939	0.8436	0.8436	0.0073	4.0000	1.3619	1.3619
9	0.9118	0.2143	0.3418	0.2511	0.2332	0.0001	0.0127	0.0008	0.3389	0.2120	0.2959	0.9072	1.0733	0.8359
10	0.3259	0.2192	0.3550	0.7267	0.0097	0.0000	0.0152	0.1443	0.0880	0.0286	0.0077	0.0739	0.0002	0.0126
11	0.2294	0.1857	0.3081	0.0686	0.0025	0.0000	0.0159	0.0279	0.0526	0.0111	0.1587	0.0235	0.1939	0.1039
12	0.1741	0.1574	0.2682	0.8993	0.0008	0.0001	0.0165	0.3126	0.0346	0.0042	0.1337	0.0073	0.1191	0.2174
13	0.1396	0.1357	0.2370	0.2145	0.0003	0.0002	0.0172	0.0115	0.0249	0.0015	0.0040	0.0020	0.0047	0.0025
14	0.1059	0.1105	0.1986	0.0703	0.0001	0.0004	0.0178	0.0022	0.0171	0.0003	0.0391	0.0000	0.0352	0.0055
	8.9688	2.1713	3.2319	5.8321	4.5787	0.0843	0.4409	2.9573	2.4343	2.5292	3.6540	5.2130	4.6042	4.2943
	6.2781	6.2313	5.9275	6.8640	3.3165	3.2697	2.9659	3.9024	3.0500	2.7462	3.6827	2.6994	3.6359	3.3321

Die Probergleichung 15) (pag. 326) ergibt das folgende befriedigende Resultat:

$$16.0664 \mu - 1 = 80.3320$$

$$ss = 23.1284$$

$$\text{Summe} = 103.4604$$

$$\text{Summe der nichtquadrat. Gl.} = 103.4626.$$

Aus der Verbindung der Zahlen der beiden letzten Zeilen findet sich nach 16) pag. 326 für die übrigen Coefficienten der Normalgleichungen:

$$ab = + 3.4049, \quad [bc] = + 2.3616, \quad [cd] = + 0.6311, \quad [de] = - 0.3078$$

$$[ae] = + 1.3742, \quad [bd] = + 1.3453, \quad [ce] = - 1.5927, \quad [df] = - 0.1085$$

$$[ad] = + 1.4853, \quad [be] = - 2.0300, \quad [ef] = - 1.2625, \quad [dn] = - 0.0143$$

$$ae = - 1.0222, \quad [bf] = - 1.3478, \quad en = - 0.4725, \quad [ef] = + 1.2568$$

$$af = - 0.4502, \quad [bn] = - 0.5150, \quad en = + 0.4811$$

$$[an] = - 0.1590, \quad [fn] = + 0.4811$$

Die Summe dieser Coëfficienten ist nach 17 (pag. 327) gleich N ; setzt man für ss jenen Werth ein, der sich ergeben würde, wenn die Probegleichung 15) (pag. 326) völlig stimmen würde, so hätte man zu setzen $ss = 23.1306$ (pag. 328), es ist also:

$$\begin{aligned} ss &= 23.1306 \\ \text{Summe der Quadrate} &= 16.0664 \\ \text{Differenz} &= 2\ N = 7.0642 \\ N &= 3.5321 \\ \text{die Summe der Coëff. } N &= 3.5320 \end{aligned}$$

was eine gute Uebereinstimmung ist; um diese stets zu erhalten, wird es immer gut sein, von der wie oben corrigirten Summe ss Gebrauch zu machen.

§ 3. Bestimmung der Eliminationsgleichungen.

Die Auflösung der Normalgleichungen wird am zweckmässigsten ebenfalls in geordneter und übersichtlicher Form durchgeführt, um einerseits die Auflösung möglichst vor Rechenfehlern zu sichern, und anderseits die Bestimmung der Unbekannten so genau als thunlich zu erhalten. Die Ordnung in der man die Unbekannten ansetzt, ist an sich gleichgültig, doch wird es sich später als vorthellhaft erweisen, falls die Bestimmung einer oder mehrer Unbekannten sehr unsicher ausfällt, dieselben als die letzten anzusehen; auf diesen Fall einer besonderen Unsicherheit in der Auflösung der Normalgleichungen werde ich am Schlusse dieses Abschnittes, der die Methode der kleinsten Quadrate behandelt, ausführlich eingehen, da er in der Anwendung der vorliegenden Methode auf Bahnbestimmungen ziemlich häufig auftritt. Ich werde, um hier die Anordnung der Rechnung anschaulich zu machen, annehmen, dass sechs Unbekannte zur Bestimmung vorliegen, es ist dies der bei astronomischen Untersuchungen überwiegend häufig eintretende Specialfall und es wird ein leichtes sein, von Fall zu Fall das vorliegende Schema zu verengern oder zu erweitern. Es sind also die Normalgleichungen:

$$\left. \begin{aligned} [aa]x + [ab]y + [ac]z + [ad]t + [ae]u + [af]w &= [an] \\ [ab]x + [bb]y + [bc]z + [bd]t + [be]u + [bf]w &= [bn] \\ [ac]x + [bc]y + [cc]z + [cd]t + [ce]u + [cf]w &= [cn] \\ [ad]x + [bd]y + [cd]z + [dd]t + [de]u + [df]w &= [dn] \\ [ae]x + [be]y + [ce]z + [de]t + [ee]u + [ef]w &= [en] \\ [af]x + [bf]y + [cf]z + [df]t + [ef]u + [ff]w &= [fn] \end{aligned} \right\} \quad A$$

Man kann nun die Auflösung dieser Gleichungen so einrichten, dass man durch die entsprechende Elimination einer Unbekannten vorerst auf fünf Gleichungen hingeführt wird, die ebenso symmetrisch construirt sind, wie die sechs ursprünglichen Normalgleichungen. Die Unbekannte x wird sich nothwendig am sichersten aus

der ersten Gleichung bestimmen, da in dieser die zu x gehörigen Factoren in der quadratischen Form mit einander summiert erscheinen. Man hat daher zur Bestimmung von x aus der ersten Gleichung in A :

$$x = \frac{an}{[aa]} - \frac{ab}{aa} y - \frac{ac}{[aa]} z - \frac{ad}{aa} t - \frac{ae}{[aa]} u - \frac{af}{[aa]} w, \quad 1)$$

welcher Werth in die folgenden Gleichungen zum Zwecke der Elimination einzusetzen wäre. Durch die Substitution wird jeder der neu entstehenden Coëfficienten ein Binom, für welche eine weitere symbolische Bezeichnung eingeführt werden soll; man wird also schreiben für die in der zweiten Gleichung auftretenden Binome:

$$\begin{aligned} [bb] &= \frac{[ab]}{[aa]} [ab] = [bb_1], & [bc] &= \frac{[ab]}{[aa]} [ac] = [bc_1] \\ [bc] &= \frac{[ab]}{[aa]} [ac] = [bc_1], & [bf] &= \frac{[ab]}{[aa]} [af] = [bf_1] \\ [bd] &= \frac{[ab]}{[aa]} [ad] = [bd_1], & [bn] &= \frac{[ab]}{[aa]} [an] = [bn_1], \end{aligned}$$

in der dritten Gleichung werden auftreten:

$$\begin{aligned} [ce] &= \frac{[ac]}{[aa]} [ac] = [ce_1], & [cf] &= \frac{[ac]}{[aa]} [af] = [cf_1] \\ [cd] &= \frac{[ac]}{[aa]} [ad] = [cd_1], & [cn] &= \frac{[ac]}{[aa]} [an] = [cn_1] \\ [ce] &= \frac{[ac]}{[aa]} [ae] = [ce_1], \end{aligned}$$

die vierte:

$$\begin{aligned} [dd] &= \frac{[ad]}{[aa]} [ad] = [dd_1], & [df] &= \frac{[ad]}{[aa]} [af] = [df_1] \\ [de] &= \frac{[ad]}{[aa]} [ae] = [de_1], & [dn] &= \frac{[ad]}{[aa]} [an] = [dn_1] \end{aligned}$$

die fünfte:

$$\begin{aligned} [ee] &= \frac{[ae]}{[aa]} [ae] = [ee_1], & [en] &= \frac{[ae]}{[aa]} [an] = [en_1] \\ [ef] &= \frac{[ae]}{[aa]} [af] = [ef_1], \end{aligned}$$

und endlich die sechste Gleichung fordert die Berechnung von:

$$[ff] = \frac{[af]}{[aa]} [af] = [ff_1], \quad [fn] = \frac{[af]}{[aa]} [an] = [fn_1].$$

Hat man nun die vorstehend eingeführten Hilfsgrößen berechnet, so reducirt sich das System der sechs Gleichungen in A auf das folgende ebenfalls symmetrisch angeordnete System von fünf Gleichungen:

$$\left. \begin{aligned} [bb_1] y + [bc_1] z + [bd_1] t + [be_1] u + [bf_1] w &= [bn_1] \\ [bc_1] y + [cc_1] z + [cd_1] t + [ce_1] u + [cf_1] w &= [cn_1] \\ [bd_1] y + [cd_1] z + [dd_1] t + [de_1] u + [df_1] w &= [dn_1] \\ [be_1] y + [ce_1] z + [de_1] t + [ee_1] u + [ef_1] w &= [en_1] \\ [bf_1] y + [cf_1] z + [df_1] t + [ef_1] u + [ff_1] w &= [fn_1] \end{aligned} \right\} \quad \text{B}$$

Ehe ich weiter gehe, will ich noch eine Frage erörtern, die für die Folge von Wichtigkeit ist, nämlich ob die neu eingeführten Symbole $[bb_1]$, $[bc_1]$, $[bd_1]$... in analoger Weise wie die Symbole $[aa]$, $[ab]$, $[ac]$... aus Productsummen von gleicher Verbindung entstanden gedacht werden können, etwa in der folgenden Weise:

$$\begin{aligned} [bb_1] &= (b_1 1) (b_1 1) + (b_2 1) (b_2 1) + (b_3 1) (b_3 1) + \dots \\ [bc_1] &= (b_1 1) (c_1 1) + (b_2 1) (c_2 1) + (b_3 1) (c_3 1) + \dots \\ &\text{u. s. f.} \end{aligned}$$

Diese Frage kann den folgenden Betrachtungen zu Folge bejaht werden. Die allgemeine Form dieser neuen und auch in der Folge einzuführenden Symbole ist, wenn man auf die Entstehung und Entwicklung der Hilfsgrössen zurückgeht:

$$[pr_1] = (p_1 r_1 + p_2 r_2 + p_3 r_3 + \dots) = \frac{q_1 p_1 + q_2 p_2 + q_3 p_3 + \dots}{q_1 q_1 + q_2 q_2 + q_3 q_3 + \dots}$$

wobei $p_1, p_2, \dots, r_1, r_2, \dots$ die Coefficienten zweier beliebiger Unbekannten darstellen, während durch q_1, q_2, \dots die Factoren der zu eliminirenden Unbekannten bezeichnet werden. Multiplicirt man beiderseits mit dem Nenner, für welchen auch das Symbol qq geschrieben werden kann und beachtet, dass sich nach der Ausführung der Multiplicationen die Glieder, in denen alle 4 Indices gleich werden, rechts vom Gleichheitszeichen aufheben, so erhält man vorerst die Form:

$$[qq] [pr_1] = \begin{pmatrix} p_1 r_1 - q_2 q_2 + q_3 q_3 + \dots - q_1 p_1 q_2 r_2 - q_2 p_2 q_1 r_1 - \dots \\ + p_2 r_2 - q_1 q_1 + q_3 q_3 + \dots - q_1 p_1 q_3 r_3 - q_2 p_2 q_3 r_3 - \dots \\ + p_3 r_3 - q_1 q_1 + q_2 q_2 + \dots - q_1 p_1 q_1 r_1 - q_2 p_2 q_1 r_1 - \dots \\ \dots \dots \dots \dots \dots \dots \dots \dots \dots \dots \dots \dots \dots \end{pmatrix}$$

für welche auch geschrieben werden kann:

$$\begin{aligned} [qq] [pr_1] &= p_1 r_2 - q_1 p_2 - r_1 q_2 - q_1 r_2 + p_2 q_3 - q_2 p_3 - r_2 q_3 - q_2 r_3 + \dots \\ &+ p_1 q_3 - q_1 p_3 - r_1 q_3 - q_1 r_3 + p_2 q_1 - q_2 p_1 - r_2 q_1 - q_2 r_1 + \dots \\ &+ p_1 q_1 - q_1 p_1 - r_1 q_1 - q_1 r_1 + p_2 q_3 - q_2 p_3 - r_2 q_3 - q_2 r_3 + \dots \\ &\dots \dots \dots \dots \dots \dots \dots \dots \dots \dots \dots \dots \dots \end{aligned}$$

war die Anzahl der ursprünglichen Bedingungsgleichungen m , so wird die Anzahl der Glieder in diesem Ausdrücke sein $\frac{m(m-1)}{2}$; vergleicht man demnach die neu eingeführten Hilfsgrössen mit diesem Resultate und beachtet insbesondere die einzelnen Factoren, so sieht man sofort, dass man in der That sich dieselben in ähnlicher Weise, wie die ursprünglichen Summensymbole entstanden denken kann, nur steigt der höchste Index, da in den letzteren m angenommen wurde, auf $\frac{m(m-1)}{2}$. Für die quadratischen Symbole $[bb_1]$, $[cc_1]$, $[dd_1]$... ist für p und r derselbe Buchstabe zu setzen, man erhält daher rechts vom Gleichheitszeichen eine Summe quadratischer Glieder; man kann daraus den wichtigen Schluss ziehen, dass die quadratischen Symbole stets positiv sein müssen. Ferner kann man hervorheben, dass wenn zwischen den Coefficienten der verschiedenen Unbekannten ein nahe proportionales Verhältniss besteht, so dass z. B. in den Relationen:

$$p_1 = s q_1 + \lambda_1$$

$$p_2 = s q_2 + \lambda_2$$

$$p_3 = s q_3 + \lambda_3$$

.

$\lambda_1, \lambda_2, \lambda_3$ nothwendig klein wird, die obigen Coëfficienten für die quadratischen Glieder die Form annehmen:

$$(\lambda_1 q_2 - \lambda_2 q_1)^2 + (\lambda_2 q_3 - \lambda_3 q_2)^2 + \dots$$

$$(\lambda_1 q_3 - \lambda_3 q_1)^2 + \dots$$

.

d. h. der für die Unbekannten bestimmende Coëfficient wird der Null gleich bis auf Glieder zweiter Ordnung von λ , und eine Bestimmung wird also, wenn λ klein wird, nicht möglich, was übrigens aus der allgemeinen Theorie der Gleichungen folgt, doch wird man aus dem obigen Ausdrücke leicht die Bemerkung ableiten, dass der Fall der Kleinheit der Coëfficienten nur unter dieser Bedingung auftreten kann.

Aus den Gleichungen B. nun eliminirt man y in ähnlicher Weise wie früher x aus A., und man wird aus ähnlichen Gründen, wie früher, y zunächst aus der ersten bestimmen und das Resultat in die folgenden einsetzen; es ist:

$$y = \frac{[b n 1]}{[b b 1]} z - \frac{[b c 1]}{[b b 1]} t - \frac{[b d 1]}{[b b 1]} u - \frac{[b e 1]}{[b b 1]} v - \frac{[b f 1]}{[b b 1]} w \quad 2.$$

Man wird also neue Hilfsgrößen zu bestimmen haben:

$$[c c 1] - \frac{[b c 1]}{[b b 1]} [b c 1] = [c c 2] \quad , \quad [c f 1] - \frac{[b c 1]}{[b b 1]} [b f 1] = [c f 2]$$

$$[c d 1] - \frac{[b c 1]}{[b b 1]} [b d 1] = [c d 2] \quad , \quad [c n 1] - \frac{[b c 1]}{[b b 1]} [b n 1] = [c n 2]$$

$$[c e 1] - \frac{[b c 1]}{[b b 1]} [b e 1] = [c e 2] \quad ,$$

$$[d d 1] - \frac{[b d 1]}{[b b 1]} [b d 1] = [d d 2] \quad , \quad [d f 1] - \frac{[b d 1]}{[b b 1]} [b f 1] = [d f 2]$$

$$[d e 1] - \frac{[b d 1]}{[b b 1]} [b e 1] = [d e 2] \quad , \quad [d n 1] - \frac{[b d 1]}{[b b 1]} [b n 1] = [d n 2]$$

$$[e c 1] - \frac{[b e 1]}{[b b 1]} [b c 1] = [e c 2] \quad , \quad [e n 1] - \frac{[b e 1]}{[b b 1]} [b n 1] = [e n 2]$$

$$[e f 1] - \frac{[b e 1]}{[b b 1]} [b f 1] = [e f 2] \quad ,$$

$$[f f 1] - \frac{[b f 1]}{[b b 1]} [b f 1] = [f f 2] \quad , \quad [f n 1] - \frac{[b f 1]}{[b b 1]} [b n 1] = [f n 2] \quad .$$

Nach Einführung dieser Hilfsgrößen erhält man das System:

$$\left. \begin{aligned} [c c 2] z + [c d 2] t + [c e 2] u + [c f 2] w &= [c n 2] \\ [c d 2] z + [d d 2] t + [d e 2] u + [d f 2] w &= [d n 2] \\ [c e 2] z + [d e 2] t + [e e 2] u + [e f 2] w &= [e n 2] \\ [c f 2] z + [d f 2] t + [e f 2] u + [f f 2] w &= [f n 2] \end{aligned} \right\} \quad C$$

Bestimmt man daraus z nach der ersten Gleichung:

$$z = \frac{[en2]}{[ee2]} - \frac{[ed2]}{[ee2]} t - \frac{[ee2]}{[ee2]} u - \frac{[ef2]}{[ee2]} w \quad 3)$$

substituiert diesen Werth in die folgenden und bildet:

$$\begin{aligned} [dd2] - \frac{[ed2]}{[ee2]} [cd2] &= [dd3] \quad , \quad [df2] - \frac{[ed2]}{[ee2]} [cf2] = [df3] \\ [de2] - \frac{[ed2]}{[ee2]} [ce2] &= [de3] \quad , \quad [du2] - \frac{[ed2]}{[ee2]} [cu2] = [du3] \\ [ee2] - \frac{[ee2]}{[ee2]} [ee2] &= [ee3] \quad , \quad [eu2] - \frac{[ee2]}{[ee2]} [eu2] = [eu3] \\ [ef2] - \frac{[ee2]}{[ee2]} [ef2] &= [ef3] \quad , \\ [ff2] - \frac{[ef2]}{[ee2]} [cf2] &= [ff3] \quad , \quad [fu2] - \frac{[ef2]}{[ee2]} [cu2] = [fu3] \quad , \end{aligned}$$

so hat man daher die drei Gleichungen:

$$\left. \begin{aligned} [dd3] t + [de3] u + [df3] w &= [du3] \\ [de3] t + [ee3] u + [ef3] w &= [eu3] \\ [df3] t + [ef3] u + [ff3] w &= [fu3] \end{aligned} \right\} \quad 4)$$

bestimmt man also wieder t nach

$$t = \frac{[du3]}{[dd3]} - \frac{[de3]}{[dd3]} u - \frac{[df3]}{[dd3]} w \quad 4)$$

und berechnet als neue Hilfsgrössen:

$$\begin{aligned} [ee3] - \frac{[de3]}{[dd3]} [de3] &= [ee4] \quad , \quad [eu3] - \frac{[de3]}{[dd3]} [du3] = [eu4] \\ [ef3] - \frac{[de3]}{[dd3]} [df3] &= [ef4] \quad , \\ [ff3] - \frac{[df3]}{[dd3]} [df3] &= [ff4] \quad , \quad [fu3] - \frac{[df3]}{[dd3]} [du3] = [fu4] \quad , \end{aligned}$$

so hat man Alles zurückgeführt auf die zwei Gleichungen:

$$\left. \begin{aligned} [ee4] u + [ef4] w &= [eu4] \\ [ef4] u + [ff4] w &= [fu4] \end{aligned} \right\} \quad E)$$

bestimmt man nun u nach:

$$u = \frac{[eu4]}{[ee4]} - \frac{[ef4]}{[ee4]} w \quad 5)$$

und berechnet die Hilfsgrössen:

$$[ff4] - \frac{[ef4]}{[ee4]} [ef4] = [ff5] \quad , \quad [fu4] - \frac{[ef4]}{[ee4]} [eu4] = [fu5] \quad ,$$

so wird man schliesslich haben:

$$[ff5] w = [fu5] \quad , \quad F)$$

so ist, wenn man $[bs]$ und $[as]$ seiner Bedeutung nach auflöst:

$$[bs] = [bb] - \frac{[ab]}{[aa]} [ab] + [bc] - \frac{[ab]}{[aa]} [ac] + \dots + [bn] - \frac{[ab]}{[aa]} [an]$$

und mit Berücksichtigung der oben [pag. 330] eingeführten Hilfsgrößen auch:

$$[bs] = [bb] + [bc] + \dots + [bn],$$

wodurch eine zweckmässige Controlgleichung hergestellt ist. Um also den Uebergang von den sechs Normalgleichungen A auf die Gleichungen B zu prüfen, bildet man die Hilfsgrößen:

$$[bs] - \frac{[ab]}{[aa]} [as] = [bs_1], \quad [cs] - \frac{[ac]}{[aa]} [as] = [cs_1],$$

$$[cs] - \frac{[ac]}{[aa]} [as] = [cs_1], \quad [fs] - \frac{[af]}{[aa]} [as] = [fs_1]$$

$$[ds] - \frac{[ad]}{[aa]} [as] = [ds_1],$$

und hat dann die Prüfungsgleichungen:

$$\begin{aligned} [bs_1] &= [bb_1] + [bc_1] + [bd_1] + [be_1] + [bf_1] + [bn_1] \\ [cs_1] &= [bc_1] + [ce_1] + [cd_1] + [ee_1] + [cf_1] + [cn_1] \\ [ds_1] &= [bd_1] + [cd_1] + [dd_1] + [de_1] + [df_1] + [dn_1] \\ [es_1] &= [be_1] + [ee_1] + [de_1] + [ee_1] + [ef_1] + [en_1] \\ [fs_1] &= [bf_1] + [cf_1] + [df_1] + [ef_1] + [ff_1] + [fn_1] \end{aligned}$$

von denen jedoch nur die erstere in der Regel zur Prüfung Anwendung findet, der andern aber wird man bedürfen, um die Richtigkeit der folgenden Prüfungsgleichungen zu erweisen; ich werde, da sich die Beweise für das Bestehen dieser und der folgenden Relationen in der oben durchgeführten Weise leicht herstellen lassen, nur die erforderlichen Hilfsgrößen und Prüfungsgleichungen aufstellen.

$$\begin{aligned} [cs_1] - \frac{[bc_1]}{[bb_1]} [bs_1] &= [cs_2], \quad [cs_1] - \frac{[bc_1]}{[bb_1]} [bs_1] = [cs_2] \\ [ds_1] - \frac{[bd_1]}{[bb_1]} [bs_1] &= [ds_2], \quad [fs_1] - \frac{[bf_1]}{[bb_1]} [bs_1] = [fs_2] \end{aligned}$$

$$\begin{aligned} [cs_2] &= [ce_2] + [cd_2] + [ee_2] + [cf_2] + [cn_2] \\ [ds_2] &= [cd_2] + [dd_2] + [de_2] + [df_2] + [dn_2] \\ [es_2] &= [ee_2] + [de_2] + [ee_2] + [ef_2] + [en_2] \\ [fs_2] &= [ef_2] + [df_2] + [ef_2] + [ff_2] + [fn_2] \end{aligned}$$

$$\begin{aligned} [ds_2] - \frac{[cd_2]}{[ce_2]} [cs_2] &= [ds_3], \quad [fs_2] - \frac{[cf_2]}{[ce_2]} [cs_2] = [fs_3] \\ [es_2] - \frac{[ce_2]}{[ce_2]} [cs_2] &= [es_3], \end{aligned}$$

$$\begin{aligned} [ds_3] &= [dd_3] + [de_3] + [df_3] + [dn_3] \\ [es_3] &= [de_3] + [ee_3] + [ef_3] + [en_3] \\ [fs_3] &= [df_3] + [ef_3] + [ff_3] + [fn_3] \end{aligned}$$

$$[es3] = \frac{de3}{dd3} [ds3] = [es4] \quad , \quad [fs3] = \frac{df3}{dd3} [ds3] = [fs4]$$

$$[es4] = [ee4] + [ef4] + [en4]$$

$$[fs4] = [ef4] + [ff4] + [fn4]$$

$$[fs4] = \frac{[ef4]}{[ee4]} [es4] = [fs5]$$

$$[fs5] = [ff5] + [fn5] \quad ,$$

womit die Rechnung einer sehr durchgreifenden Controle unterworfen erscheint.

Ich könnte nun daran gehen, das unten ausführlich vorgelegte Schema, welches ich für die Anwendung zusammengestellt in den Text aufgenommen habe, zu erläutern. Es finden sich die Eliminationsrechnungen auf der linken Seite des aufgeschlagenen Buches pag. 340., die Prüfungsgleichungen nebst einigen erläuternden Noten auf der rechten. Nachdem es aber zweckmässig erscheint, in das Schema auch jene Rechnungen aufzunehmen, welche die Herabminderung der Summe der Fehlerquadrate nn durch die Bestimmung der einzelnen Unbekannten enthalten und schliesslich die minimale Fehlerquadratsumme kennen lehren, so sollen vorerst die hierzu nöthigen Ableitungen gemacht werden. Diese Grösse gibt eine sehr durchgreifende Prüfung für die Richtigkeit der gesamten Rechnungen, indem die Substitution der Unbekannten in die Bedingungsgleichungen die einzelnen übrig bleibenden Fehler erkennen lässt, deren Quadratsumme mit dem bei der Elimination hierfür gefundenen Werthe innerhalb der Unsicherheit der Rechnung stimmen muss. Ueberdiess hat die Ermittlung dieser Grössen eine Bedeutung, wenn man die Unsicherheit in den Unbekannten auf ein numerisches Maass zurückführen will. Es fanden sich oben pag. 315 die Gleichungen:

$$\left. \begin{aligned} a_1 x + b_1 y + c_1 z + \dots - n_1 &= -e_1 \\ a_2 x + b_2 y + c_2 z + \dots - n_2 &= -e_2 \\ a_3 x + b_3 y + c_3 z + \dots - n_3 &= -e_3 \\ \dots &\dots \dots \dots \dots \dots \end{aligned} \right\} \quad 8$$

in welchen die Grössen $e_1, e_2, e_3 \dots$ die nach der Bestimmung der Unbekannten auftretenden Unterschiede zwischen der Beobachtung und Rechnung sind, wenn für $x, y, z \dots$ die aus den Normalgleichungen resultirenden Werthe eingesetzt werden; die Summe dieser Fehlerquadrate

$$e_1 e_1 + e_2 e_2 + e_3 e_3 + \dots = [ee]$$

kann auch dadurch gebildet werden, dass man die Gleichungen 8) rechts und links mit dem zugehörigen $-e$ durchmultiplirt und Alles addirt, man erhält so, wenn man zur Abkürzung einführt:

$$\begin{aligned} a_1 e_1 + a_2 e_2 + a_3 e_3 + \dots &= [ar] \\ b_1 e_1 + b_2 e_2 + b_3 e_3 + \dots &= [br] \\ c_1 e_1 + c_2 e_2 + c_3 e_3 + \dots &= [cr] \\ \dots &\dots \dots \dots \dots \dots \\ n_1 e_1 + n_2 e_2 + n_3 e_3 + \dots &= [nr] \end{aligned}$$

die Relation:

$$[nr] = [ar]x + [br]y + [cr]z + [dr]t + [er]u + [fr]w = rr \quad ,$$

Nun ist aber nach Gleichung 7 (pag. 316) für die Bedingung des Minimums der Fehlerquadrate, welches durch die Auflösung der Normalgleichungen erhalten wird:

$$[ar] = 0, [br] = 0, [cr] = 0, [dr] = 0, [er] = 0, [fr] = 0,$$

woraus man die wichtige Relation ableitet:

$$[rn] = [rv] \quad , \quad (9)$$

Multipliziert man die Gleichungen 8 (pag. 336) mit den zugehörigen $-n$ durch und addirt, so erhält man:

$$[nn] = [an]x + [bn]y + [cn]z + [dn]t + [en]u + [fn]w = rn + [rr] \quad , \quad (10)$$

welche Gleichung also sofort die Grösse rn finden lässt, sobald die Unbekannten x, y, z, \dots den Normalgleichungen gemäss bestimmt sind. Es ist aber oben (pag. 330) x bestimmt worden durch:

$$x = \frac{[an]}{[aa]} - \frac{[ab]}{[aa]}y - \frac{[ac]}{[aa]}z - \frac{[ad]}{[aa]}t - \frac{[ae]}{[aa]}u - \frac{[af]}{[aa]}w;$$

setzt man also diesen Werth von x in Gleichung 10 ein und schreibt überdiess:

$$nn = \frac{[an]}{[aa]} [an] = nn1 \quad ,$$

so wird mit Rücksicht auf die oben (pag. 330) eingeführten Hilfsgrössen gesetzt werden dürfen:

$$[nn1] = [bn1]y + [cn1]z + [dn1]t + [en1]u + [fn1]w = rr$$

Ersetzt man wieder y nach der Gleichung 20 (pag. 332) und schreibt:

$$[nn1] = \frac{[bn1]}{[bb1]} [bn1] = nn2 \quad ,$$

so wird:

$$nn2 = [cn2]z + [dn2]t + [en2]u + [fn2]w = rr \quad ,$$

welches Verfahren bis zur letzten Unbekannten in ähnlicher Weise fortgesetzt werden kann: man hat also für die vorliegenden Gleichungen mit sechs Unbekannten die folgenden sechs Hilfsgrössen zu berechnen:

$$\left. \begin{aligned} [nn1] &= nn - \frac{[an]}{[aa]} [an] \quad , \quad [nn4] = [nn3] - \frac{[dn3]}{[dd3]} [dn3] \\ [nn2] &= [nn1] - \frac{[bn1]}{[bb1]} [bn1] \quad , \quad [nn5] = [nn4] - \frac{[en4]}{[ee4]} [en4] \\ [nn3] &= [nn2] - \frac{[cn2]}{[ce2]} [cn2] \quad , \quad [nn6] = [nn5] - \frac{[fn5]}{[ff5]} [fn5] \end{aligned} \right\} \quad (11)$$

und hat dann die folgenden Bestimmungsgleichungen für die Summe der übrig-

bleibenden Fehlerquadrate $[ee]$, von denen man gewöhnlich nur die letzte in Anwendung bringen wird:

$$\left. \begin{aligned} [uu] &= [a u x + b u y + c u z + d u t + e u u + f u w = [ee] \\ [uu1] &= [b u1 y + c u1 z + d u1 t + e u1 u + f u1 w = [ee] \\ [uu2] &= [c u2 z + d u2 t + e u2 u + f u2 w = [ee] \\ [uu3] &= [d u3 t + e u3 u + f u3 w = [ee] \\ [uu4] &= [e u4 u + f u4 w = [ee] \\ [uu5] &= [f u5 w = [ee] \\ [uu6] &= [ee] \end{aligned} \right\} \quad (12)$$

Die Grösse $[uu6] = ee$ kann aber auch mit Hilfe der Summengrössen in ganz anderer Weise erhalten werden und diese Bestimmung wird, da dieselbe ebenfalls im Ganzen die Bildung von nur sechs Hilfsgrössen erfordert, als zweckmässige Controle benützt werden dürfen. Diese Prüfung ist eine der durchgreifendsten, doch wird dieselbe nur dann gut übereinstimmende Resultate geben, wenn die Auflösung der Normalgleichungen keiner besonderen Unsicherheit unterworfen ist. Der Fall des Eintretens einer solchen besonderen Unsicherheit wird am Schlusse dieses Abschnittes ausführlicher behandelt werden. Beachtet man die Bedeutung der Summengrösse

$$[us] = [au + bu + cu + du + eu + fu + uu],$$

und bildet die Hilfsgrösse:

$$[us1] = [us] - \frac{au}{aa} [as],$$

so wird nach Auflösung der mit s verbundenen Summenglieder rechts vom Gleichheitszeichen geschrieben werden dürfen:

$$[us1] = bu - \frac{au}{aa} ab + cu - \frac{au}{aa} ac + \dots + [uu - \frac{au}{aa} au]$$

oder durch Einführung der oben benützten Hilfsgrössen:

$$[us1] = [bu1 + cu1 + du1 + eu1 + fu1] + [uu1].$$

Ähnlich vorgehend, wird man die Hilfsgrössen:

$$\left. \begin{aligned} [us1] &= [us] - \frac{au}{aa} [as] \\ [us2] &= [us1] - \frac{bu1}{bb1} [bs1] \\ [us3] &= [us2] - \frac{cu2}{cc2} [cs2] \\ [us4] &= [us3] - \frac{du3}{dd3} [ds3] \\ [us5] &= [us4] - \frac{eu4}{ee4} [es4] \\ [us6] &= [us5] - \frac{fu5}{ff5} [fs5] \end{aligned} \right\} \quad 13$$

bilden und die Relationen haben:

$$\left. \begin{aligned} [ns1] &= [bn1] + [en1] + [dn1] + [cn1] + [fn1] + [nn1] \\ [ns2] &= [en2] + [dn2] + [cn2] + [fn2] + [nn2] \\ [ns3] &= [dn3] + [cn3] + [fn3] + [nn3] \\ [ns4] &= [en4] + [fn4] + [nn4] \\ [ns5] &= [fn5] + [nn5] \\ [ns6] &= [nn6] \end{aligned} \right\} 14$$

womit die geforderten Prüfungsgleichungen erlangt sind, von denen man bei der practischen Anwendung jedoch nur die letzte Gleichung benützen wird.

Ich gehe nun daran, an der Hand des auf pag. 340 aufgenommenen Schemas zu zeigen, in welcher einfachen und übersichtlichen Weise die für die Elimination nothwendigen Rechnungen und Controlen durchgeführt werden können.

Zunächst ziehe man auf einem mit Horizontallinien überzogenen Blatte zwei Verticalcolumnen mehr aus, als Unbekannte vorhanden sind. In die erste Zeile setzt man neben einander die Werthe, die mit a verbunden sind, also aa , ab , $[ac]$... $[an]$, $[as]$ und darunter in die zweite Zeile die Logarithmen derselben und macht diese zweite Zeile etwa durch ein angehängtes E besonders kenntlich, denn es ist dies die erste Eliminationsgleichung, welche die Bestimmung von x (vgl. pag. 330) vermittelt. In die dritte Zeile kommen die mit b verbundenen Werthe bb , bc ... $[bs]$ und man rückt hierbei um eine Verticalcolumn nach rechts ein, so dass die mit b verbundenen Buchstaben dieselben werden, die früher in denselben Verticalcolumnen mit a combinirt waren. In die erste Verticalcolumn der vierten Zeile setzt man $\log \frac{[ab]}{[aa]}$; dieser und alle in derselben Verticalcolumnne enthaltenen Logarithmen müssen sorgfältig auf ihre Richtigkeit geprüft werden, da sich ein Fehler in denselben der Summencontrole leicht entzieht: ich habe diese wichtige Bemerkung deshalb im Schema hervorgehoben. Nun schreibt man diesen Logarithmus von $\frac{ab}{aa}$ auf den unteren Rand eines Zettellebens und addirt denselben der Reihe nach zu den Logarithmen von $[ab]$, ac ... $[as]$, die alle in der zweiten Zeile stehen: indem man die Ziffern der beiden Logarithmen von vorn addirt, wird man das Hinschreiben der so entstehenden Logarithmen gänzlich vermeiden können, wenn man sofort die Zahlen aufsucht, und sie in die vierte Zeile und zwar in dieselbe Verticalcolumnne, in der das Product gebildet wurde, einträgt. Es kommt also zu stehen:

$$\begin{array}{rcccl} \frac{ab}{aa} & [ab] & \text{unter} & [bb] & \\ \frac{[ab]}{aa} & [ac] & & [bc] & \\ \vdots & \vdots & & \vdots & \\ \frac{ab}{aa} & [as] & \text{unter} & [bs] & . \end{array}$$

$\log \frac{aa}{aa}$	$\log \frac{ab}{ab}$	$\log \frac{ac}{ac}$	$\log \frac{ad}{ad}$	$\log \frac{ae}{ae}$	$\log \frac{af}{af}$	$\log \frac{an}{an}$	$\log \frac{as}{as}$	E
$\log \frac{[ab]}{aa}$	$\frac{bb}{aa} \frac{ab}{ab}$	$\frac{bc}{aa} \frac{ac}{ac}$	$\frac{bd}{aa} \frac{ad}{ad}$	$\frac{be}{aa} \frac{ae}{ae}$	$\frac{bf}{aa} \frac{af}{af}$	$\frac{bn}{aa} \frac{an}{an}$	$\frac{bs}{aa} \frac{as}{as}$	E
$\log \frac{[ac]}{aa}$	$\frac{bb_1}{\log bb_1}$	$\frac{bc_1}{\log bc_1}$	$\frac{bd_1}{\log bd_1}$	$\frac{be_1}{\log be_1}$	$\frac{bf_1}{\log bf_1}$	$\frac{bn_1}{\log bn_1}$	$\frac{bs_1}{\log bs_1}$	E
		$\frac{[ce]}{aa} \frac{ac}{ac}$	$\frac{[ed]}{aa} \frac{ad}{ad}$	$\frac{[ee]}{aa} \frac{ae}{ae}$	$\frac{[ef]}{aa} \frac{af}{af}$	$\frac{[en]}{aa} \frac{an}{an}$	$\frac{[es]}{aa} \frac{as}{as}$	
$\log \frac{[be]}{bb_1}$		$\frac{[ce_1]}{bb_1} \frac{bc_1}{bc_1}$	$\frac{[ed_1]}{bb_1} \frac{bd_1}{bd_1}$	$\frac{[ee_1]}{bb_1} \frac{be_1}{be_1}$	$\frac{[ef_1]}{bb_1} \frac{bf_1}{bf_1}$	$\frac{[en_1]}{bb_1} \frac{bn_1}{bn_1}$	$\frac{[es_1]}{bb_1} \frac{bs_1}{bs_1}$	$2)$
		$\frac{[ce_2]}{\log ce_2}$	$\frac{[ed_2]}{\log ed_2}$	$\frac{[ee_2]}{\log ee_2}$	$\frac{[ef_2]}{\log ef_2}$	$\frac{[en_2]}{\log en_2}$	$\frac{[es_2]}{\log es_2}$	E
$\log \frac{[ad]}{aa}$			$\frac{[dd]}{aa} \frac{ad}{ad}$	$\frac{[de]}{aa} \frac{ae}{ae}$	$\frac{[df]}{aa} \frac{af}{af}$	$\frac{[dn]}{aa} \frac{an}{an}$	$\frac{[ds]}{aa} \frac{as}{as}$	
$\log \frac{[bd]}{bb_1}$			$\frac{[dd_1]}{bb_1} \frac{bd_1}{bb_1}$	$\frac{[de_1]}{bb_1} \frac{be_1}{bb_1}$	$\frac{[df_1]}{bb_1} \frac{bf_1}{bb_1}$	$\frac{[dn_1]}{bb_1} \frac{bn_1}{bb_1}$	$\frac{[ds_1]}{bb_1} \frac{bs_1}{bb_1}$	$4)$
$\log \frac{[ed]}{ce_2}$			$\frac{[dd_2]}{[ce_2]} \frac{ed_2}{ce_2}$	$\frac{[de_2]}{[ce_2]} \frac{ee_2}{ce_2}$	$\frac{[df_2]}{[ce_2]} \frac{ef_2}{ce_2}$	$\frac{[dn_2]}{[ce_2]} \frac{en_2}{ce_2}$	$\frac{[ds_2]}{[ce_2]} \frac{es_2}{ce_2}$	$5)$
			$\frac{[dd_3]}{\log dd_3}$	$\frac{[de_3]}{\log de_3}$	$\frac{[df_3]}{\log df_3}$	$\frac{[dn_3]}{\log dn_3}$	$\frac{[ds_3]}{\log ds_3}$	E
$\log \frac{[ae]}{aa}$				$\frac{[ee]}{aa} \frac{ae}{ae}$	$\frac{[ef]}{aa} \frac{af}{af}$	$\frac{[en]}{aa} \frac{an}{an}$	$\frac{[es]}{aa} \frac{as}{as}$	
$\log \frac{[be]}{bb_1}$				$\frac{[ee_1]}{bb_1} \frac{be_1}{bb_1}$	$\frac{[ef_1]}{bb_1} \frac{bf_1}{bb_1}$	$\frac{[en_1]}{bb_1} \frac{bn_1}{bb_1}$	$\frac{[es_1]}{bb_1} \frac{bs_1}{bb_1}$	$7)$
$\log \frac{[ce]}{ce_2}$				$\frac{[ee_2]}{[ce_2]} \frac{ee_2}{ce_2}$	$\frac{[ef_2]}{[ce_2]} \frac{ef_2}{ce_2}$	$\frac{[en_2]}{[ce_2]} \frac{en_2}{ce_2}$	$\frac{[es_2]}{[ce_2]} \frac{es_2}{ce_2}$	$8)$
$\log \frac{[de]}{dd_3}$				$\frac{[ee_3]}{[de_3]} \frac{de_3}{dd_3}$	$\frac{[ef_3]}{[de_3]} \frac{ef_3}{dd_3}$	$\frac{[en_3]}{[de_3]} \frac{en_3}{dd_3}$	$\frac{[es_3]}{[de_3]} \frac{es_3}{dd_3}$	$9)$
				$\frac{[ee_4]}{\log ee_4}$	$\frac{[ef_4]}{\log ef_4}$	$\frac{[en_4]}{\log en_4}$	$\frac{[es_4]}{\log es_4}$	E
$\log \frac{[af]}{aa}$	$\log \frac{[an]}{aa}$	$\frac{[nn]}{aa} \frac{an}{an}$	$\frac{[ns]}{aa} \frac{as}{as}$		$\frac{[ff]}{aa} \frac{af}{af}$	$\frac{[fn]}{aa} \frac{an}{an}$	$\frac{[fs]}{aa} \frac{as}{as}$	
$\log \frac{[bf]}{bb_1}$	$\log \frac{[bn]}{bb_1}$	$\frac{[nn_1]}{bb_1} \frac{bn_1}{bb_1}$	$\frac{[ns_1]}{bb_1} \frac{bs_1}{bb_1}$	16	$\frac{[ff_1]}{bb_1} \frac{bf_1}{bb_1}$	$\frac{[fn_1]}{bb_1} \frac{bn_1}{bb_1}$	$\frac{[fs_1]}{bb_1} \frac{bs_1}{bb_1}$	$11)$
$\log \frac{[cf]}{ce_2}$	$\log \frac{[cn]}{ce_2}$	$\frac{[nn_2]}{[ce_2]} \frac{cn_2}{ce_2}$	$\frac{[ns_2]}{[ce_2]} \frac{cs_2}{ce_2}$	17	$\frac{[ff_2]}{[ce_2]} \frac{cf_2}{ce_2}$	$\frac{[fn_2]}{[ce_2]} \frac{cn_2}{ce_2}$	$\frac{[fs_2]}{[ce_2]} \frac{cs_2}{ce_2}$	$12)$
$\log \frac{[df]}{dd_3}$	$\log \frac{[dn]}{dd_3}$	$\frac{[nn_3]}{[dd_3]} \frac{dn_3}{dd_3}$	$\frac{[ns_3]}{[dd_3]} \frac{ds_3}{dd_3}$	18	$\frac{[ff_3]}{[dd_3]} \frac{df_3}{dd_3}$	$\frac{[fn_3]}{[dd_3]} \frac{dn_3}{dd_3}$	$\frac{[fs_3]}{[dd_3]} \frac{ds_3}{dd_3}$	$13)$
$\log \frac{[ef]}{ee_4}$	$\log \frac{[en]}{ee_4}$	$\frac{[nn_4]}{[ee_4]} \frac{en_4}{ee_4}$	$\frac{[ns_4]}{[ee_4]} \frac{es_4}{ee_4}$	19	$\frac{[ff_4]}{[ee_4]} \frac{ef_4}{ee_4}$	$\frac{[fn_4]}{[ee_4]} \frac{en_4}{ee_4}$	$\frac{[fs_4]}{[ee_4]} \frac{es_4}{ee_4}$	$14)$
	$\log \frac{[fn]}{[ff_5]}$	$\frac{[nn_5]}{[ff_5]} \frac{fn_5}{ff_5}$	$\frac{[ns_5]}{[ff_5]} \frac{fs_5}{ff_5}$	20	$\frac{[ff_5]}{\log ff_5}$	$\frac{[fn_5]}{\log fn_5}$	$\frac{[fs_5]}{\log fs_5}$	E
		$\frac{[nn_6]}{[ff_5]}$	$\frac{[ns_6]}{[ff_5]}$	21		$\log w$		

Probegleichungen.

- 1) $[bs1] = [bb1] + [bc1] + [bd1] + [be1] + [bf1] + [bn1] \quad !$
- 2) $[cs1] = [bc1] + [ce1] + [cd1] + [ee1] + [cf1] + [en1]$
- 3) $[cs2] = [ce2] + [ed2] + [ee2] + [ef2] + [en2] \quad !$
- 4) $[ds1] = [bd1] + [ed1] + [dd1] + [de1] + [df1] + [dn1]$
- 5) $[ds2] = [ed2] + [dd2] + [de2] + [df2] + [dn2]$
- 6) $[ds3] = [dd3] + [de3] + [df3] + [dn3] \quad !$
- 7) $[es1] = [be1] + [ee1] + [de1] + [ee1] + [ef1] + [en1]$
- 8) $[es2] = [ee2] + [de2] + [ee2] + [ef2] + [en2]$
- 9) $[es3] = [de3] + [ee3] + [ef3] + [en3]$
- 10) $[es4] = [ee4] + [ef4] + [en4] \quad !$
- 11) $[fs1] = [bf1] + [ef1] + [df1] + [ef1] + [ff1] + [fn1]$
- 12) $[fs2] = [ef2] + [df2] + [ef2] + [ff2] + [fn2]$
- 13) $[fs3] = [df3] + [ef3] + [ff3] + [fn3]$
- 14) $[fs4] = [ef4] + [ff4] + [fn4]$
- 15) $[fs5] = [ff5] + [fn5] \quad !$
- 16) $[ns1] = [bn1] + [en1] + [dn1] + [en1] + [fn1] + [nn1]$
- 17) $[ns2] = [en2] + [dn2] + [en2] + [fn2] + [nn2]$
- 18) $[ns3] = [dn3] + [en3] + [fn3] + [nn3]$
- 19) $[ns4] = [en4] + [fn4] + [nn4]$
- 20) $[ns5] = [fn5] + [nn5]$
- 21) $[ns6] = [nn6] \quad !$

Bei der Anwendung wird man sich in der Regel mit den mit einem Ausrufungszeichen versehenen Probegleichungen, bei denen sich alle Werthe in derselben Horizontalzeile befinden, begnügen können. Die mit *E* bezeichneten Werthereihen entsprechen den Eliminationsgleichungen, die mit einem * versehenen Logarithmen müssen besonders nachgesehen werden, da sich ein Fehler in denselben leicht der Controle entzieht.

Zieht man nun die Zahlen dieser vierten Zeile von jenen der darüber stehenden dritten Zeile ab und setzt die so entstehenden Differenzwerthe in die fünfte Zeile, so hat man die Hilfsgrössen:

$$[bb_1], [bc_1], [bd_1], [be_1], [bf_1], [bu_1], [bs_1]$$

erhalten. Das dieser Zeile angehängte Zeichen ν weist auf die auf pag. 341 stehende Prüfungsgleichung hin, welche Bemerkung für dieses und die ähnlichen Anmerkungszeichen für die Folge hier hervorgehoben werden soll. Dieser Probe muss völlig innerhalb der Unsicherheit der logarithmischen Rechnung genügt werden.

Ich kann mir aber wohl sparen, den weiteren Vorgang der Rechnung auseinanderzusetzen, indem die bisherigen Andeutungen in Verbindung mit dem auf pag. 310 in extenso mitgetheilten Eliminationschema wohl genügen werden, um die zweckmässige Anlage der Rechnung und die Bildung der notwendigen Hilfsgrössen anschaulich zu machen. Ist die Elimination beendet, so wird man an die Bildung der Grösse nnb schreiten, die wohl auch durch das Schema selbst hinreichend erläutert ist.

Ich werde nun die oben (pag. 323) ermittelten Coëfficienten der Normalgleichungen den hier gegebenen Vorschriften gemäss auflösen und glaube, dass ich mich hierbei weiterer Erläuterungen enthalten kann; um die Elimination nicht zu unsicher zu machen, habe ich mich fünfstelliger logarithmischer Tafeln bedient; der Vorschlag, der hier und da gemacht wurde, im Falle einer besonderen Unsicherheit der Auflösung grössere logarithmische Tafeln hierbei anzuwenden, muss als unzweckmässig bezeichnet werden, wie dies eine einfache Ueberlegung zeigt. Sind die Normalgleichungen nämlich mit Hilfe kleinerer Tafeln gebildet, so erhält man dann nur eine Lösung, die von der Unsicherheit dieser logarithmischen Rechnung abhängt. In der folgenden Rechnung sind die Eliminationsgleichungen durch ein angehängtes E und die aus den Coëfficienten der Normalgleichungen gebildeten Zeilen durch ein vorgesetztes Sternchen bezeichnet, ausserdem sind die dem Resultate entsprechenden Probegleichungen in der letzten Verticalcolumn neben den direct berechneten Werthen angesetzt:

x	y	z	t	u	v	w	s	Proben
+ 5.24850 0.72003	- 1.74720 0 _n 24234	- 2.19540 0 _n 34151	+ 1.91120 0.28131	- 1.19230 0 _n 07639	+ 0.00080 6.90309	- 0.53990 9 _n 73231	+ 1.48570 0.17193	E
* 9 _n 52231	+ 1.88590 + 0.58164	+ 0.80410 + 0.73083	- 0.84540 - 0.63624	+ 0.38540 + 0.39692	- 0.00370 - 0.00027	+ 1.44930 + 0.17973	+ 1.92840 - 0.49459	
	+ 1.30426 0.11537	+ 0.07327 8.86493	- 0.20916 9 _n 32048	- 0.01152 8 _n 06145	- 0.00343 7 _n 53529	+ 1.26957 0.10365	+ 2.42299 0.38435	+ 2.42299 E
9 _n 62148		+ 4.04400 + 0.91832	- 0.23560 - 0.79945	+ 0.34160 + 0.49873	- 0.00720 - 0.00033	+ 1.86810 + 0.22583	+ 4.61960 - 0.62146	
8 74956		+ 3.12568 + 0.00412	+ 0.56385 - 0.01175	- 0.15713 - 0.00065	- 0.00687 - 0.00019	+ 1.64227 + 0.07132	+ 5.24106 + 0.13612	
		+ 3.12156 0.49437	+ 0.57560 9.76012	- 0.15648 9 _n 19446	- 0.00668 7 _n 82478	+ 1.57095 0.19617	+ 5.10494 0.70799	+ 5.10495 E
9.56128			+ 3.66700 + 0.69597	- 0.32200 - 0.43418	- 0.00070 + 0.00029	- 1.32770 - 0.19660	+ 2.84680 + 0.54101	
9 _n 20511			+ 2.97103 + 0.03354	+ 0.11218 + 0.00185	- 0.00099 + 0.00055	- 1.13110 - 0.20359	+ 2.30579 - 0.38856	
9.26575			+ 2.93749 + 0.10614	+ 0.11033 - 0.02885	- 0.00154 - 0.00123	- 0.92751 + 0.28968	+ 2.69435 + 0.94132	
			+ 2.83135 0.45199	+ 0.13918 9.14358	- 0.00031 6 _n 49136	- 1.21719 0 _n 08536	+ 1.75303 0.24379	+ 1.75303 E
9 _n 35636			* + 4.39830 + 0.27086	+ 0.20490 - 0.00018	+ 0.04630 + 0.12265	+ 3.86220 - 0.33752		
7 _n 94608			+ 4.12744 + 0.00010	+ 0.20508 + 0.00003	- 0.07635 - 0.01121	+ 4.19972 - 0.02140		
8 _n 7 009			+ 4.12734 + 0.00784	+ 0.20505 + 0.00033	- 0.06514 - 0.07875	+ 4.22112 - 0.25591		
8.69159			+ 4.11950 + 0.00684	+ 0.20472 - 0.00002	+ 0.01361 - 0.05983	+ 4.47703 + 0.08617		
		nn ns	+ 4.11266 0.61412	+ 0.20474 9.31120	+ 0.07344 8.86593	+ 4.39086 0.64255	+ 4.39084 E	
6.18306	9 _n 01228	+ 2.63220 + 0.05554	+ 4.10710 - 0.15283		* + 4.13280 0.00000	- 0.02120 - 0.00008	+ 4.30570 + 0.00023	
7 _n 41992	9.98828	+ 2.57666 + 1.23574	+ 4.25093 + 2.35847		+ 4.13280 + 0.00001	- 0.02112 - 0.00334	+ 4.30547 - 0.00637	
7 _n 33041	9.70180	+ 1.34092 + 0.79062	+ 1.90146 + 2.56918		+ 4.13279 + 0.00001	- 0.01778 - 0.00336	+ 4.31184 - 0.01092	
6 _n 03937	9 _n 63337	+ 0.55030 + 0.52328	- 0.66772 - 0.75363		+ 4.13278 0.00000	- 0.01442 + 0.00013	+ 4.32276 - 0.00019	
8.69708	8.25181	+ 0.02702 + 0.00131	+ 0.08591 + 0.07841		+ 4.13278 + 0.01019	- 0.01455 + 0.00366	+ 4.32295 + 0.21859	
	7 _n 64514	+ 0.02571 + 0.00008	+ 0.00750 - 0.01813		+ 4.12259 0.61517	- 0.01821 8 _n 26031	+ 4.10436 E	+ 4.10438
		+ 0.02563 + 0.02563				7 _n 64514		

Wie man sieht, stimmen alle Proben in sehr befriedigender Weise, ausserdem zeigt die starke Herabminderung der Fehlerquadrate von $+ 2.63220$ auf $+ 0.02563$, dass eine sehr wesentliche Verbesserung in der Darstellung der Beobachtungen erreicht werden wird.

§ 4. Bestimmung der Unbekannten aus den Eliminationsgleichungen.

Liegt blos die Aufgabe vor, die wahrscheinlichsten Werthe der Unbekannten zu ermitteln, ohne auf die Bestimmung der Unsicherheit derselben eingehen zu wollen, so wird es sich wohl am meisten empfehlen, durch successive Rücksubstitutionen in den vorliegenden Eliminationsgleichungen die Werthe der Unbekannten zu ermitteln; das Schema der Rechnung gestaltet sich hierfür wie folgt:

$+ [en 4]$ $- w [ef 4]$	$+ [dn 3]$ $- w [df 3]$ $- u [de 3]$	$+ [en 2]$ $- w [ef 2]$ $- u [ce 2]$ $- t [ed 2]$	$+ [bn 1]$ $- w [bf 1]$ $- u [be 1]$ $- t [bd 1]$ $- z [bc 1]$	$+ [an]$ $- w [af]$ $- u [ae]$ $- t [ad]$ $- z [ac]$ $y [ab]$	
Σu $\log \Sigma u$ $\log [ee 4]$	Σt $\log \Sigma t$ $\log [dd 3]$	Σz $\log \Sigma z$ $\log [cc 2]$	Σy $\log \Sigma y$ $\log [bb 1]$	Σx $\log \Sigma x$ $\log [aa]$	
$\log w$	$\log u$	$\log t$	$\log z$	$\log y$	$\log x$

welches Schema wohl an sich verständlich ist; man hat hierbei nur zu beachten, dass die erste Zeile sofort hingeschrieben werden kann, die zweite Zeile aber mit Benützung des bereits im Eliminationsschema aufgenommenen Werthes von w ; die dritte Zeile erhält man mit Hilfe des Werthes u , der durch die bisherigen Rechnungen bekannt ist u. s. f.; hierbei stellen die Zeichen Σ die Summen der übereinanderstehenden Werthe vor. Die erforderlichen Producte bildet man am einfachsten, indem man den Logarithmus der betreffenden Unbekannten auf den untersten Rand eines Zettels schreibt und denselben hierauf successive über die entsprechenden Logarithmen der Eliminationsgleichungen hält. Man hat hierbei zu beachten, dass man im Eliminationsschema Seite 340 bei dem untersten links vorspringenden Logarithmus zu beginnen und stets in derselben Verticalcolumnne von einer der mit E bezeichneten Eliminationsgleichungen zur anderen nach aufwärts fortzurücken hat; dies wird sofort klar, wenn man sich die Eliminationsgleichungen ausgeschrieben hinstellt, nämlich:

$$\begin{aligned}
 a u x + a b y + a c z + [a d t + a e u + a f w] &= [a n] \\
 + [b b_1 y + b c_1 z + b d_1 t + b e_1 u + b f_1 w] &= [b n_1] \\
 + [c c_2 z + c d_2 t + c e_2 u + c f_2 w] &= [c n_2] \\
 + [d d_3 t + d e_3 u + d f_3 w] &= [d n_3] \\
 + e e_4 u + e f_4 w &= [e n_4] \\
 + f f_5 w &= [f n_5] .
 \end{aligned}$$

Zur Controle der Richtigkeit dieser Elimination kann man die Summe der vorstehenden Gleichungen benutzen; es wird nämlich der folgenden Gleichung nach Einsetzung der Werthe der Unbekannten innerhalb der Unsicherheit der logarithmischen Rechnung genügt werden müssen:

$$\left. \begin{aligned} &[aa]x \\ &+ \{ [ab] + [bb1] \} y \\ &+ \{ [ac] + [bc1] + [cc2] \} z \\ &+ \{ [ad] + [bd1] + [cd2] + [dd3] \} t \\ &+ \{ [ae] + [be1] + [ce2] + [de3] + [ee4] \} u \\ &+ \{ [af] + [bf1] + [cf2] + [df3] + [ef4] + [ff5] \} w \end{aligned} \right\} = \begin{aligned} &an + bn1 + cn2 \\ &+ dn3 + en4 + fn5; \end{aligned} \quad 1)$$

Ich ziehe es jedoch vor, die Controle mit Hilfe des weiter unten angesetzten Verfahrens herzustellen, welches zwar etwas mehr Arbeit verursacht, aber dann besondere Vortheile bietet, wenn man die Gewichte der Unbekannten bestimmen will. Vorerst werde ich jedoch die Zahlen des obigen Beispieles hier auführen. Nimmt man das obige Schema zum Muster, so ergeben die Eliminationsgleichungen des vorangehenden Paragraphen die Werthe:

	+ 0.07344	— 1.21719	+ 1.57095	+ 1.26957	— 0.53990
	+ 0.00090	— 0.00252	+ 0.24796	— 0.04276	+ 1.52297
		0.00000	+ 0.00283	— 0.09011	+ 1.28121
			— 0.00003	+ 0.00021	+ 0.82334
				— 0.00002	+ 0.02155
					0.00000
	+ 0.07434	1.21971	+ 1.82171	+ 1.13689	+ 3.10917
	8.87122	0.08626	0.26048	0.05572	0.49264
	0.61412	0.45199	0.49437	0.11537	0.72003
7.64514	8.25710	9.63427	9.76611	9.94035	9.77261

Die in der letzten Reihe stehenden Werthe sind also die Logarithmen der nunmehr ermittelten Unbekannten w, u, t, z, y und x . Hierbei hat man aber zu beachten, dass in Folge des Homogenmachens (vergl. pag. 321) diese Unbekannten mit der oben angenommenen Fehlereinheit durchzumultipliciren sind, und durch die bezüglichlichen Homogenitätsfactoren zu dividiren wären; ich werde jedoch später auf diesen Umstand nochmals zurückkommen und die entsprechenden Transformationen vornehmen.

Es soll nun jenes Verfahren vorgenommen werden, welches zur unabhängigen Bestimmung einer jeden einzelnen Unbekannten führt; es scheint dasselbe, falls man die Gewichte der Unbekannten bestimmen will, worüber der nächste Paragraph handeln wird, das zweckmässigste zu sein; da ausserdem dieses Verfahren in der That sehr wenig Mehrarbeit verursacht, so möchte ich es stets zur Controle der vorstehend entwickelten Werthe empfehlen, auch wenn man nicht die Gewichte der Unbekannten selbst bestimmen will. Nimmt man die Gleichungen 1), 2), 3., 4. u. 5. pag. 330, 332, 333 des vorangehenden Paragraphen vor, so gestalten sich dieselben nach einer einfachen Umsetzung:

$$\left. \begin{aligned} x + \frac{ab}{aa} y + \frac{ac}{aa} z + \frac{ad}{aa} t + \frac{ae}{aa} u + \frac{af}{aa} w &= \frac{an}{aa} \\ y + \frac{bc1}{bb1} z + \frac{bd1}{bb1} t + \frac{be1}{bb1} u + \frac{bf1}{bb1} w &= \frac{bn1}{bb1} \\ z + \frac{cd2}{cc2} t + \frac{ce2}{cc2} u + \frac{cf2}{cc2} w &= \frac{cn2}{cc2} \\ t + \frac{de3}{dd3} u + \frac{df3}{dd3} w &= \frac{dn3}{dd3} \\ u + \frac{ef4}{ee4} w &= \frac{en4}{ee4} \\ w &= \frac{fn5}{ff5} \end{aligned} \right\} \quad 2)$$

Multiplieirt man mit Ausschluss der ersten Gleichung die folgenden der Reihe nach mit den unbestimmten Factoren A_1, A_2, \dots, A_5 und addirt dann diese neuen Gleichungen zu der ersten in 2), so kann man diesen unbestimmten Factoren die Bedingung unterlegen, dass nach der Addition der Reihe nach die Coëfficienten der Unbekannten y, z, t, u und w der Null gleich werden; diesen Bedingungen gemäss wird man daher für die Bestimmung dieser Coëfficienten die Gleichungen aufstellen können:

$$\left. \begin{aligned} 0 &= \frac{ab}{aa} + A_1 \\ 0 &= \frac{ac}{aa} + \frac{bc1}{bb1} A_1 + A_2 \\ 0 &= \frac{ad}{aa} + \frac{bd1}{bb1} A_1 + \frac{cd2}{cc2} A_2 + A_3 \\ 0 &= \frac{ae}{aa} + \frac{be1}{bb1} A_1 + \frac{ce2}{cc2} A_2 + \frac{de3}{dd3} A_3 + A_4 \\ 0 &= \frac{af}{aa} + \frac{bf1}{bb1} A_1 + \frac{cf2}{cc2} A_2 + \frac{df3}{dd3} A_3 + \frac{ef4}{ee4} A_4 + A_5 \end{aligned} \right\} \quad 3)$$

Diese Gleichungen lassen in der That die successive Bestimmung der Coëfficienten in sehr einfacher Weise durchführen; sind diese einmal ermittelt, so hat die directe Bestimmung von x keine Schwierigkeit, denn man hat offenbar:

$$x = \frac{an}{aa} + \frac{bn1}{bb1} A_1 + \frac{cn2}{cc2} A_2 + \frac{dn3}{dd3} A_3 + \frac{en4}{ee4} A_4 + \frac{fn5}{ff5} A_5.$$

Um eine ähnliche Gleichung für die folgende Unbekannte zu erhalten, wird man in den Gleichungen 2) die dritte mit B_2 , die vierte mit B_3 u. s. f. multipliciren und dann das Resultat dieser Multiplication zur zweiten Gleichung addiren; legt man den B Coëfficienten wieder die Eigenschaft unter, dass die in dieser Summe auftretenden Factoren der Unbekannten z, t, u und w verschwinden sollen, so müssen dieselben den Bedingungen genügen:

$$\left. \begin{aligned} 0 &= \frac{bc1}{bb1} + B_2 \\ 0 &= \frac{bd1}{bb1} + \frac{cd2}{cc2} B_2 + B_3 \\ 0 &= \frac{be1}{bb1} + \frac{ce2}{cc2} B_2 + \frac{de3}{dd3} B_3 + B_4 \\ 0 &= \frac{bf1}{bb1} + \frac{cf2}{cc2} B_2 + \frac{df3}{dd3} B_3 + \frac{ef4}{ee4} B_4 + B_5 \end{aligned} \right\} \quad 4)$$

Indem man dieses Verfahren fortsetzt, erhält man als weitere Bedingungen-
gleichungen:

$$\begin{array}{lcl}
 0 = \begin{array}{c} [cd2] \\ [ce2] \end{array} + C_3 & & \\
 0 = \begin{array}{c} [ce2] \\ [ee2] \end{array} + \begin{array}{c} [dc3] \\ [dd3] \end{array} C_3 + C_4 & & \\
 0 = \begin{array}{c} [cf2] \\ [ee2] \end{array} + \begin{array}{c} [df3] \\ [dd3] \end{array} C_3 + \begin{array}{c} [ef4] \\ [ee4] \end{array} C_4 + C_5 & & \\
 & & \left. \vphantom{\begin{array}{c} [cd2] \\ [ce2] \end{array}} \right\} \quad 5 \\
 \\
 0 = \begin{array}{c} [dc3] \\ [dd3] \end{array} + D_4 & & \\
 0 = \begin{array}{c} [df3] \\ [dd3] \end{array} + \begin{array}{c} [ef4] \\ [ee4] \end{array} D_4 + D_5 & & \\
 & & \left. \vphantom{\begin{array}{c} [dc3] \\ [dd3] \end{array}} \right\} \quad 6 \\
 \\
 0 = \begin{array}{c} [ef4] \\ [ee4] \end{array} + E_5 & & 7
 \end{array}$$

Hat man sich die bezüglichen Coëfficienten den vorstehenden Gleichungen
3), 4), 5), 6) und 7) gemäss bestimmt, so findet man offenbar für die Unbekannten
die Werthe:

$$\begin{array}{lcl}
 x = \begin{array}{c} [an] \\ [aa] \end{array} + \begin{array}{c} [bn1] \\ [bb1] \end{array} A_1 + \begin{array}{c} [cn2] \\ [ee2] \end{array} A_2 + \begin{array}{c} [dn3] \\ [dd3] \end{array} A_3 + \begin{array}{c} [en4] \\ [ee4] \end{array} A_4 + \begin{array}{c} [fn5] \\ [ff5] \end{array} A_5 & & \\
 y = & & \\
 \begin{array}{c} [bn1] \\ [bb1] \end{array} + \begin{array}{c} [cn2] \\ [ee2] \end{array} B_2 + \begin{array}{c} [dn3] \\ [dd3] \end{array} B_3 + \begin{array}{c} [en4] \\ [ee4] \end{array} B_4 + \begin{array}{c} [fn5] \\ [ff5] \end{array} B_5 & & \\
 z = & & \\
 \begin{array}{c} [cn2] \\ [ee2] \end{array} + \begin{array}{c} [dn3] \\ [dd3] \end{array} C_3 + \begin{array}{c} [en4] \\ [ee4] \end{array} C_4 + \begin{array}{c} [fn5] \\ [ff5] \end{array} C_5 & & \\
 t = & & \\
 \begin{array}{c} [dn3] \\ [dd3] \end{array} + \begin{array}{c} [en4] \\ [ee4] \end{array} D_4 + \begin{array}{c} [fn5] \\ [ff5] \end{array} D_5 & & \\
 u = & & \\
 \begin{array}{c} [en4] \\ [ee4] \end{array} + \begin{array}{c} [fn5] \\ [ff5] \end{array} E_5 & & \\
 w = & & \\
 \begin{array}{c} [fn5] \\ [ff5] \end{array} & & \\
 & & \left. \vphantom{\begin{array}{c} [an] \\ [aa] \end{array}} \right\} \quad 8
 \end{array}$$

Die Rechnung nach diesen Formeln gestaltet sich ausserordentlich einfach
und bequem, wenn man dieselbe in der folgenden Weise ausführt; ich werde wieder
zunächst das Rechnungsschema hinschreiben und dann durch den erläuternden Text
dasselbe näher ausführen. In die erste Zahlenreihe setze man die Logarithmen der
Grössen: $\frac{[ab]}{[aa]}, \frac{[ac]}{[aa]}, \dots, \frac{[af]}{[aa]}$ mit umgekehrten Zeichen, in die zweite eine Vertical-
columnne einrückend $\log \left(-\frac{[bc1]}{[bb1]} \right), \dots, \log \left(-\frac{[bf1]}{[bb1]} \right)$ u. s. f. Alle diese Logarithmen
findet man schon nur mit Abänderung des Zeichens in der ersten Verticalcolumnne
des Eliminationsschemas (pag. 340) mit *) bezeichnet, und zwar in einer ganz
analogen Anordnung, so dass kaum das Hinschreiben dieser ersten Zahlengruppe
nöthig wäre; doch ziehe ich es vor, diese kleine Mehrarbeit vorzunehmen, weil sich
in dieser Anordnung die weiteren Operationen sehr einfach gestalten. Nun beginnt
die Rechnung der A-Coëfficienten; zu diesem Ende schlägt man mit Ausschluss
des ersten Logarithmus die Zahlen zu den Logarithmen der ersten Reihe auf, bringt
sie in die erste Reihe unter den ersten stärker markirten Horizontalstrich und setzt

1	2	3	4	5
$\log \left(-\frac{ab}{aa} \right)$	$\log \left(-\frac{ac}{aa} \right)$ $\log \left(-\frac{bc_1}{bb_1} \right)$	$\log \left(-\frac{ad}{aa} \right)$ $\log \left(-\frac{bd_1}{bb_1} \right)$ $\log \left(-\frac{cd_2}{cc_2} \right)$	$\log \left(-\frac{ae}{aa} \right)$ $\log \left(-\frac{be_1}{bb_1} \right)$ $\log \left(-\frac{ce_2}{cc_2} \right)$ $\log \left(-\frac{de_3}{dd_3} \right)$	$\log \left(-\frac{af}{aa} \right)$ $\log \left(-\frac{bf_1}{bb_1} \right)$ $\log \left(-\frac{cf_2}{cc_2} \right)$ $\log \left(-\frac{df_3}{dd_3} \right)$ $\log \left(-\frac{ef_4}{cc_4} \right)$
	$-\frac{ac}{aa}$ $-\frac{bc_1}{bb_1} A_1$	$-\frac{ad}{aa}$ $-\frac{bd_1}{bb_1} A_1$ $-\frac{cd_2}{cc_2} A_2$	$-\frac{ae}{aa}$ $-\frac{be_1}{bb_1} A_1$ $-\frac{ce_2}{cc_2} A_2$ $-\frac{de_3}{dd_3} A_3$	$\frac{af}{aa}$ $-\frac{bf_1}{bb_1} A_1$ $-\frac{cf_2}{cc_2} A_2$ $-\frac{df_3}{dd_3} A_3$ $-\frac{ef_4}{cc_4} A_4$
$\log A_1$	$\log A_2$	$\log A_3$	$\log A_4$	$\log A_5$
		$-\frac{bd_1}{bb_1}$ $-\frac{cd_2}{cc_2} B_2$	$-\frac{be_1}{bb_1}$ $-\frac{ce_2}{cc_2} B_2$ $-\frac{de_3}{dd_3} B_3$	$-\frac{bf_1}{bb_1}$ $-\frac{cf_2}{cc_2} B_2$ $-\frac{df_3}{dd_3} B_3$ $-\frac{ef_4}{cc_4} B_4$
	$\log B_2$	$\log B_3$	$\log B_4$	$\log B_5$
			$-\frac{ce_2}{cc_2}$ $-\frac{de_3}{dd_3} C_3$	$-\frac{cf_2}{cc_2}$ $-\frac{df_3}{dd_3} C_3$ $-\frac{ef_4}{cc_4} C_4$
		$\log C_3$	$\log C_4$	$\log C_5$
				$\frac{df_3}{dd_3}$ $-\frac{ef_4}{cc_4} D_4$
			$\log D_4$	$\log D_5$
				$\log E_5$

sofort an der entsprechenden Stelle in der Verticalcolumnne 1 den Werth von $\log A_1$ an, der schon in der ersten Zeile enthalten ist (es ist $A_1 = - \frac{[ab]}{[aa]}$). Diesen Logarithmus bringt man auf den unteren Rand eines Zettels und hält nun diesen über die Logarithmen der zweiten Reihe und schreibt die so erhaltenen Producte in die zweite Zeile der A -Gruppe. Die Addition der zwei Werthe in der zweiten Verticalcolumnne gibt den Werth A_2 , zu dem sofort der Logarithmus aufgeschlagen und an entsprechender Stelle eingetragen wird. Diesen Logarithmus nun schreibt man wieder auf den unteren Rand eines Zettels und hält diesen über die Logarithmen der dritten Zeile; die so gebildeten Producte werden nun in die dritte Zeile der A -Gruppe eingetragen. Die drei Werthe der dritten Verticalcolumnne ergeben den Werth von A_3 . Analog das Verfahren fortsetzend, gelangt man schliesslich bis zum Werthe A_5 . Die B , C , D und E -Werthe werden ganz in der gleichen Weise gebildet, nur denkt man sich die Logarithmen der ersten Zeile für die Ermittlung von B , die zwei ersten Zeilen für die Ermittlung von C u. s. f. weggestrichen. Durch dieses einfache Verfahren, dessen Mechanismus man sich bald zu eigen machen wird, werden die erforderlichen Factoren leicht erhalten.

Nun schreibt man sich auf den unteren Rand eines Zettels der Reihe nach die in der zweiten Verticalcolumnne des Eliminationsschemas (pag. 340 mit dem Zeichen \cdot versehenen Logarithmen von $\frac{[an]}{[aa]}, \frac{[bn]}{[bb]}, \dots, \frac{[fn]}{[ff]}$, man erhält so einen Zahlenwerth mehr als Verticalcolumnnen in dem vorstehenden Schema sind; hält man nun diesen Zettel so über die Reihe der A -Werthe, dass der Logarithmus von $\frac{[fn]}{[ff]}$ über den Logarithmus von A_5 zu stehen kommt, schlägt zu $\frac{[an]}{[aa]}$ die Zahl auf, dann die Zahlen der Producte $A_1 \frac{[bn]}{[bb]}, A_2 \frac{[cn]}{[cc]}$ u. s. f., und bringt diese Werthe in eine Verticalcolumnne, die mit x überschrieben ist, so ist die Summe dieser Werthe der Werth der Unbekannten x . Nun rückt man den Zettel über die $\log B$ -Reihe, ohne seine Lage gegen die Verticalcolumnnen zu ändern und beachtet nur den ersten Werth, der keinen Logarithmus unter sich stehen hat; zu diesem schlägt man wieder den Werth auf und bildet die Producte $B_2 \frac{[cn]}{[cc]}, B_3 \frac{[dn]}{[dd]}$ u. s. f., die man in die mit y überschriebene Verticalcolumnne bringt; die Summe dieser Werthe ist die Unbekannte y , und in analoger Weise bilden sich die übrigen Unbekannten.

Das Schema der Rechnung stellt sich wie folgt:

x	y	z	t	u	w
an	bn	cn	dn	en	fn
aa	ba	ca	da	ea	fa
bn	cn	dn	en	fn	
ba A_1	ca B_2	da C_3	ea D_4	fa E_5	
cn A_2	dn B_3	en C_4	fn D_5		
ca A_3	da B_4	ea C_5			
dn A_4	en B_5				
da A_5					
en A_6					
fn A_7					
fa A_8					
x	y	z	t	u	w
$\log x$	$\log y$	$\log z$	$\log t$	$\log u$	$\log w$

Benützt man wieder, um diese Schemen durch Zahlenbeispiele zu erläutern, die im vorhergehenden Paragraphen erhaltenen Eliminationsgleichungen, so stellt sich die Rechnung, wie folgt (vergl. Schema pag. 348):

1	2	3	4	5
9.52231	9.62148 8_n74956	9_n56128 9.20511 9_n26575	9.35636 7.94608 8.70009 8_n69159	6_n18306 7.41992 7.33041 6.03937 8_n69708
	+ 0.41829 — 0.01870	— 0.36415 + 0.05338 — 0.07368	+ 0.22717 + 0.00294 + 0.02003 + 0.01890	— 0.00015 + 0.00088 + 0.00086 — 0.00004 — 0.01339
A	+ 0.39959 9.52231	— 0.38445 9_n58484	+ 0.26904 9.42981	— 0.01184 8_n07335
		+ 0.16037 + 0.01036	+ 0.00883 — 0.00282 — 0.00839	+ 0.00263 — 0.00012 + 0.00002 + 0.00012
B	8_n74956	+ 0.17073 9.23231	— 0.00238 7_n37658	+ 0.00265 7.42325
			+ 0.05013 + 0.00406	+ 0.00214 — 0.00002 — 0.00295
C		9_n26575	+ 0.05919 8.77225	— 0.00083 6_n91908
				+ 0.00011 + 0.00245
D			8_n69159	+ 0.00256 7.40824
E				8_n69708

$$\begin{aligned}
 \log \delta L' &= 1.0025 \\
 \log \delta \mu &= 7.1842 \\
 \log \delta \Phi &= 0.7807 \\
 \log \delta \Psi &= 0.6039 \\
 \log \delta \varrho' \sin i' &= 9.6220 \\
 \log \delta i' &= 9.0576 .
 \end{aligned}$$

Schreibt man sich auf den unteren Rand eines Papierses die Logarithmen dieser Grössen mit veränderten Zeichen hin und setzt in die erste Zeile des folgenden Schemas die ursprünglichen Fehler u und darunter die Producte der Unbekannten in die diesbezüglichen Coëfficienten (pag. 320, 321), so wird man durch die Summirung der über einander stehenden Werthe zur Kenntniss der übrig bleibenden Fehler in den einzelnen Coordinaten gelangen; man erhält so die folgenden Resultate:

Rectascensionen.

No.	1	2	3	4	5	6	7	8	9
u	$-37''05$	$-12''73$	$+10''29$	$-9''87$	$-0''05$	$+22''28$	$+27''09$	$+17''07$	$+1''69$
Correct. v. $\delta L'$	-20.49	-15.70	-9.67	-19.68	-17.54	-10.02	-9.89	-14.71	-21.95
" " $\delta \mu$	$+32.29$	$+22.46$	$+12.60$	$+7.12$	$+3.81$	$+0.84$	-0.43	-2.58	-6.99
" " $\delta \Phi$	$+21.62$	-7.01	-12.98	$+21.47$	-4.73	-13.40	-6.64	$+11.39$	$+14.97$
" " $\delta \Psi$	$+3.48$	$+14.00$	-0.59	$+0.08$	$+15.96$	$+0.31$	-9.64	-11.18	$+14.65$
" " $\delta \varrho'$	-0.13	$+0.08$	-0.11	-0.12	$+0.10$	-0.11	$+0.03$	$+0.07$	0.00
" " $\delta i'$	0.00	$+0.03$	0.00	$+0.01$	$+0.02$	0.00	-0.03	$+0.03$	-0.04
r	-0.28	$+1.13$	-0.46	-0.99	-2.43	-0.10	$+0.49$	$+0.17$	$+2.32$
r^2	0.08	1.28	0.21	0.98	5.90	0.01	0.24	0.03	5.38

Declinationen.

No.	10	11	12	13	14	15	16	17	18
u	$-13''43$	$+3''39$	$-5''19$	$-7''56$	$-0''64$	$-8''24$	$-7''35$	$+4''13$	$-1''30$
Correct. v. $\delta L'$	-8.35	$+2.97$	$+3.96$	-7.92	$+1.77$	$+4.11$	$+2.44$	-2.88	-6.40
" " $\delta \mu$	$+13.18$	-4.24	-5.17	$+2.88$	-0.38	-0.56	$+0.09$	-0.51	-2.02
" " $\delta \Phi$	$+8.87$	$+1.42$	$+5.31$	$+8.67$	$+0.51$	$+5.48$	$+1.73$	$+2.25$	$+4.56$
" " $\delta \Psi$	$+1.24$	-2.64	$+0.15$	-0.13	-1.61	-0.21	$+2.34$	-2.17	$+4.14$
" " $\delta \varrho'$	$+0.67$	-0.23	-0.57	$+0.66$	-0.20	-0.58	-0.36	$+0.30$	$+0.45$
" " $\delta i'$	0.00	$+0.15$	-0.01	-0.03	$+0.16$	0.00	-0.12	-0.15	$+0.13$
r	$+2.18$	$+0.82$	-1.52	-3.43	-0.39	$+0.20$	-1.23	$+0.97$	-0.44
r^2	4.75	0.67	2.31	11.76	0.15	0.04	1.51	0.94	0.19

addirt man nun diese Fehlerquadrate, nachdem man dieselben mit ihren Gewichten durchmultiplirt hat, was im vorliegenden Falle wenig Mühe macht, da alle Bedingungsgleichungen das Gewicht 1 haben, mit Ausnahme der Gleichungen No. 3 und 12, denen nur das Gewicht 0.5 zugeschrieben ist, so findet sich:

$$rr' = 35''17 .$$

Aus der Zahl $nub = 0.02563$ resultirt aber, wenn man dieselbe mit dem Quadrate der angenommenen Fehlereinheit multiplicirt:

$$nub = 35''18$$

was eine befriedigende Uebereinstimmung ist, und eine durchgreifende Controle aller bisherigen Rechnungen abgibt.

Denkt man sich nun ein analoges Gleichungssystem von der Form:

$$\left. \begin{aligned} [aa] Q_1 + [ab] Q_2 + [ac] Q_3 + \dots &= 1 \\ [ab] Q_1 + [bb] Q_2 + [bc] Q_3 + \dots &= 0 \\ [ac] Q_1 + [bc] Q_2 + [cc] Q_3 + \dots &= 0 \\ &\vdots \end{aligned} \right\} \quad 3)$$

so erhält man durch Auflösung dieses Systemes die Werthe der Grösse $Q_1, Q_2, Q_3 \dots$; addirt man nun die Normalgleichungen, nachdem man dieselben der Reihe nach mit $Q_1, Q_2, Q_3 \dots$ durchmultiplieirt hat, so erhält man mit Rücksicht auf die in 3) aufgestellten Bedingungen nach der Addition:

$$x = [an] Q_1 + [bn] Q_2 + [cn] Q_3 + \dots$$

Löst man nun in dieser Gleichung die Summen auf und ordnet nach den Grössen n , so werden die Coëfficienten der verschiedenen n mit den a -Coëfficienten der Gleichung 1) identisch werden und man wird durch die Gleichsetzung erhalten:

$$\left. \begin{aligned} a_1 &= a_1 Q_1 + b_1 Q_2 + c_1 Q_3 + \dots \\ a_2 &= a_2 Q_1 + b_2 Q_2 + c_2 Q_3 + \dots \\ a_3 &= a_3 Q_1 + b_3 Q_2 + c_3 Q_3 + \dots \\ &\vdots \end{aligned} \right\} \quad 4)$$

Um nun die geforderte Bestimmung von aa zu erhalten, denke man sich vorerst diese Gleichungen links und rechts mit $a_1, a_2, a_3 \dots$ multiplicirt und addirt, dann folgt sofort mit Rücksicht auf die erste Gleichung und 3):

$$a_1 a_1 + a_2 a_2 + a_3 a_3 + \dots = [aa] = 1 \quad 5)$$

ebenso wird die Multiplication mit b, c u. s. w. ergeben:

$$\left. \begin{aligned} a_1 b_1 + a_2 b_2 + a_3 b_3 + \dots &= [ab] = 0 \\ a_1 c_1 + a_2 c_2 + a_3 c_3 + \dots &= [ac] = 0 \\ &\vdots \end{aligned} \right\} \quad 6)$$

weiter gibt aber die Multiplication der Gleichungen 4) mit den zugehörigen a und Addition derselben mit Rücksicht auf die Relationen 5) und 6):

$$[aa] = Q_1 \quad 7)$$

womit also die Bestimmung des reciproken Werthes des Gewichtes von x erreicht ist, da ja die Bestimmung von Q_1 aus den Gleichungen 3) keinen weiteren Schwierigkeiten unterworfen ist. Wollte man in analoger Weise die Bestimmung der Werthe $\beta\beta, \gamma\gamma \dots$ durchführen, so würde man nun in den Gleichungen 3) für die erstere Bestimmung in der zweiten Gleichung rechts vom Gleichheitszeichen die Einheit zu setzen haben, für die anderen Gleichungen aber die Null einsetzen, für die Bestimmung von $\gamma\gamma$ würde man die dritte Gleichung der Einheit gleich setzen u. s. f. Man gelangt dadurch zu dem Schlusse, dass man den reciproken Werth des Gewichtes einer jeden Unbekannten leicht erhält, wenn man in die Normalgleichungen der Reihe nach rechts vom Gleichheitszeichen für x die erste

Gleichung, für y die zweite Gleichung u. s. f. der Einheit, die übrigen Coëfficienten rechts vom Gleichheitszeichen der Null gleich setzt und die Gleichungen diesen Bedingungen entsprechend μ mal auflöst, wobei μ die Anzahl der Unbekannten vorstellt; der an Stelle der betreffenden Unbekannten auftretende Werth ist der gesuchte. So einfach scheinbar diese Methode ist, so würde dieselbe in der eben hingestellten Form doch recht beschwerlich ausfallen, weil man das Gleichungssystem μ mal auflösen hätte; es lassen sich aber Methoden der Rechnung angeben, welche diese Arbeit mit Benützung der bereits berechneten Coëfficienten auf eine höchst unbedeutende reduciren.

Dehnt man die folgenden Entwicklungen auf den Fall von 6 Unbekannten aus, so hat man zur Bestimmung des Gewichtes von x nach dem Vorausgehenden in den Normalgleichungen zu setzen:

$$\begin{aligned} [an] &= 1, & [cn] &= 0, & [en] &= 0 \\ [bn] &= 0, & [dn] &= 0, & [fn] &= 0; \end{aligned}$$

beachtet man, dass nach der vorliegenden Methode der Gewichtsbestimmung die Auswerthung des reciproken Werthes des Gewichtes durch die successive Elimination sich genau so gestaltet, wie die Ermittlung des Werthes von x , so sieht man sofort, dass nur jene Hilfsgrößen Abänderungen erfahren werden, die mit n verbunden erscheinen, die übrigen bleiben unverändert; man wird also zu setzen haben, wenn man die bei der directen Bestimmung der Unbekannten pag. 346. 347 benützten Hilfsgrößen einführt:

$$\left. \begin{aligned} [bn1] &= -\frac{[ab]}{[aa]} = A_1, & [cn2] &= -\frac{[ac]}{[aa]} - \frac{[bc1]}{[bb1]} A_1 = A_2, \\ & & [dn3] &= -\frac{[ad]}{[aa]} - \frac{[bd1]}{[bb1]} A_1 - \frac{[cd2]}{[cc2]} A_2 = A_3, \\ [cn1] &= -\frac{[ac]}{[aa]}, & [dn2] &= -\frac{[ad]}{[aa]} - \frac{[bd1]}{[bb1]} A_1, \\ & & [en3] &= -\frac{[ac]}{[aa]} - \frac{[bc1]}{[bb1]} A_1 - \frac{[cd2]}{[cc2]} A_2, \\ [dn1] &= -\frac{[ad]}{[aa]}, & [en2] &= -\frac{[ac]}{[aa]} - \frac{[bc1]}{[bb1]} A_1, \\ & & [fn3] &= -\frac{[af]}{[aa]} - \frac{[bf1]}{[bb1]} A_1 - \frac{[cf2]}{[cc2]} A_2, \\ [en1] &= -\frac{[ac]}{[aa]}, & [fn2] &= -\frac{[af]}{[aa]} - \frac{[bf1]}{[bb1]} A_1, \\ [fn1] &= -\frac{[af]}{[aa]}, \\ [en4] &= -\frac{[ac]}{[aa]} - \frac{[bc1]}{[bb1]} A_1 - \frac{[cc2]}{[cc2]} A_2 - \frac{[dc3]}{[dd3]} A_3 = A_4, \\ [fn4] &= -\frac{[af]}{[aa]} - \frac{[bf1]}{[bb1]} A_1 - \frac{[cf2]}{[cc2]} A_2 - \frac{[df3]}{[dd3]} A_3, \\ [fn5] &= -\frac{[af]}{[aa]} - \frac{[bf1]}{[bb1]} A_1 - \frac{[cf2]}{[cc2]} A_2 - \frac{[df3]}{[dd3]} A_3 - \frac{[cf4]}{[cc4]} A_4 = A_5. \end{aligned} \right\} 8$$

Oben (pag. 347) war für die directe Bestimmung von x gefunden worden die Gleichung:

$$x = \frac{[a n]}{[a a]} + \frac{[b n 1]}{[b b 1]} A_1 + \frac{[c n 2]}{[c c 2]} A_2 + \frac{[d n 3]}{[d d 3]} A_3 + \frac{[e n 4]}{[e e 4]} A_4 + \frac{[f n 5]}{[f f 5]} A_5 .$$

Man hat also in dem vorliegenden Falle gemäss den Gleichungen 8) (pag. 355) in diesen Ausdruck statt $[a n]$, $[b n 1]$, $[c n 2]$, $[d n 3]$, $[e n 4]$, $[f n 5]$ beziehungsweise die Werthe 1, A_1 , A_2 , A_3 , A_4 und A_5 zu setzen und erhält also zur Bestimmung des reciproken Werthes des Gewichtes von x die Gleichung:

$$\frac{1}{P_x} = \frac{1}{[a a]} + \frac{A_1 A_1}{[b b 1]} + \frac{A_2 A_2}{[c c 2]} + \frac{A_3 A_3}{[d d 3]} + \frac{A_4 A_4}{[e e 4]} + \frac{A_5 A_5}{[f f 5]} . \quad 9)$$

Will man das Gewicht von y bestimmen, so hat man zu setzen:

$$[a n] = 0, [b n] = 1, [c n] = 0, [d n] = 0, [e n] = 0, [f n] = 0 . .$$

oder was auf dasselbe hinauskommt:

$$\begin{aligned} [b n 1] &= 1, & [d n 1] &= 0, & [f n 1] &= 0, \\ [c n 1] &= 0, & [e n 1] &= 0, \end{aligned}$$

verfährt man nun in ganz ähnlicher Weise wie oben, so wird man leicht finden, dass für die Bestimmung des Gewichtes von y , welches durch P_y bezeichnet ist, resultirt:

$$\frac{1}{P_y} = \frac{1}{[b b 1]} + \frac{B_2 B_2}{[c c 2]} + \frac{B_3 B_3}{[d d 3]} + \frac{B_4 B_4}{[e e 4]} + \frac{B_5 B_5}{[f f 5]} .$$

Zur Bestimmung des Gewichtes von z wird man zu setzen haben:

$$\begin{aligned} [c n 2] &= 1 & [e n 2] &= 0 \\ [d n 2] &= 0, & [f n 2] &= 0 . \end{aligned}$$

von t :

$$\begin{aligned} [d n 3] &= 1, & [f n 3] &= 0 \\ [e n 3] &= 0, \end{aligned}$$

von u :

$$[e n 4] = 1, \quad [f n 4] = 0$$

von w :

$$[f n 5] = 1 .$$

Es bestimmen sich also die reciproken Werthe der Gewichte der einzelnen Unbekannten durch die Gleichungen:

$$\left. \begin{aligned} \frac{1}{P_x} &= \frac{1}{[a a]} + \frac{A_1 A_1}{[b b 1]} + \frac{A_2 A_2}{[c c 2]} + \frac{A_3 A_3}{[d d 3]} + \frac{A_4 A_4}{[e e 4]} + \frac{A_5 A_5}{[f f 5]} \\ \frac{1}{P_y} &= \frac{1}{[b b 1]} + \frac{B_2 B_2}{[c c 2]} + \frac{B_3 B_3}{[d d 3]} + \frac{B_4 B_4}{[e e 4]} + \frac{B_5 B_5}{[f f 5]} \\ \frac{1}{P_z} &= \frac{1}{[c c 2]} + \frac{C_3 C_3}{[d d 3]} + \frac{C_4 C_4}{[e e 4]} + \frac{C_5 C_5}{[f f 5]} \\ \frac{1}{P_t} &= \frac{1}{[d d 3]} + \frac{D_4 D_4}{[e e 4]} + \frac{D_5 D_5}{[f f 5]} \\ \frac{1}{P_u} &= \frac{1}{[e e 4]} + \frac{E_5 E_5}{[f f 5]} \\ \frac{1}{P_w} &= \frac{1}{[f f 5]} \end{aligned} \right\} \quad 10)$$

Aus den Gleichungen 10) erhält man also mit Hilfe der bereits vorhandenen Hilfsgrößen in sehr einfacher Weise die reciproken Werthe der Gewichte, wobei man zu beachten haben wird, dass dies eigentlich jene Werthe sind, deren man zur Bestimmung der mittleren Fehler bedarf, da ja die Quadrate der mittleren Fehler umgekehrt proportional den Gewichten sind. Ausserdem ist es klar, dass von einer Gewichtsbestimmung ganz wohl die Rede sein kann, wenn die Anzahl der Bedingungsgleichungen der Anzahl der Unbekannten gleich ist.

Die Bestimmung der mittleren Fehler der Unbekannten wird also sofort thunlich sein, wenn der mittlere Fehler einer Beobachtung mit dem Gewichte 1 bekannt ist; es sollen nun die zur Bestimmung der letzteren Grösse nöthigen Ableitungen vorgenommen werden, wobei die schon früher berechnete Grösse $vv = [nn]$ ihre Verwendung findet.

Es sei der mittlere Fehler einer Beobachtung mit der Gewichtseinheit ε und es wird vorausgesetzt, dass alle Bedingungsgleichungen das gleiche Gewicht haben, was stets dadurch erreicht wird (vergl. pag. 314), dass man vor Beginn der Anwendung der Methode der kleinsten Quadrate alle vorhandenen Bedingungsgleichungen mit der Quadratwurzel des zugehörigen Gewichtes durchmultipliziert; das Gewicht einer solchen Gleichung soll nun der Einheit gleich sein, also der mittlere Fehler derselben ε ; bezeichnet man wieder mit $v_1, v_2, v_3 \dots$ die Unterschiede zwischen der Beobachtung und Rechnung nach erfolgter Ausgleichung, mit $A_1, A_2, A_3 \dots$ die wirklichen Beobachtungsfehler, sind $x, y, z \dots$ die durch die Ausgleichungsrechnungen gefundenen Werthe der Unbekannten, $x + \delta x, y + \delta y, z + \delta z \dots$ die wahren Werthe derselben, so hat man offenbar (vergl. pag. 315) die zwei Gleichungssysteme:

$$\left. \begin{aligned} a_1 x + b_1 y + c_1 z + \dots - n_1 &= -v_1 \\ a_2 x + b_2 y + c_2 z + \dots - n_2 &= -v_2 \\ a_3 x + b_3 y + c_3 z + \dots - n_3 &= -v_3 \\ &\dots \dots \dots \end{aligned} \right\} \quad 11)$$

$$\left. \begin{aligned} a_1 (x + \delta x) + b_1 (y + \delta y) + c_1 (z + \delta z) + \dots - n_1 &= -A_1 \\ a_2 (x + \delta x) + b_2 (y + \delta y) + c_2 (z + \delta z) + \dots - n_2 &= -A_2 \\ a_3 (x + \delta x) + b_3 (y + \delta y) + c_3 (z + \delta z) + \dots - n_3 &= -A_3 \\ &\dots \dots \dots \end{aligned} \right\} \quad 12)$$

Multipliziert man nun die Gleichungen 11) der Reihe nach mit $v_1, v_2, v_3 \dots$ und addirt, so erhält man, da die Relation (vergl. pag. 337) besteht:

$$[av] = [bv] = [cv] = \dots = 0,$$

sofort:

$$[vn] = [vv] \quad 13)$$

Verfährt man ebenso mit den Gleichungen 12), so findet sich andererseits:

$$[vA] = [vA] \quad 14)$$

Die Vereinigung der Resultate der Gleichungen 13) und 14) ergibt:

$$[vv] = [vA] \quad 15)$$

Um nun die Summe der thatsächlichen Fehlerquadrate $[J J]$ mit der minimalen vv' mit Hilfe der Fehler der Unbekannten in Verbindung zu bringen, multiplicirt man die Gleichungen 11) und 12) der Reihe nach mit $J_1, J_2, J_3 \dots$ und erhält so durch Addition:

$$\begin{aligned} [a J] x + [b J] y + [c J] z + \dots - [n J] &= - [v J] = - [v v] \\ [a J] (x + \delta x) + [b J] (y + \delta y) + [c J] (z + \delta z) + \dots - [n J] &= - [J J] \end{aligned}$$

Die Subtraction dieser Gleichungen ergibt:

$$[J J] = [v v] - [a J] \delta x - [b J] \delta y - [c J] \delta z - \dots \quad 16)$$

wobei offenbar nach der Idee des mittleren Fehlers zu setzen sein wird:

$$[J J] = m \varepsilon \varepsilon, \quad 17)$$

wenn m die Anzahl der Bedingungsgleichungen vorstellt. Die Bestimmung von $[J J]$ aus der Gleichung 16) hätte keine weitere Schwierigkeit, wenn die Fehler der für die Unbekannten gefundenen Werthe bekannt wären, eine Bestimmung die offenbar unthunlich ist; doch soll sofort gezeigt werden, welche Werthe man diesen Fehlern nach den Principien der Wahrscheinlichkeit beimes sen kann. Multiplicirt man die Gleichungen 12) der Reihe nach mit $a_1, a_2, a_3 \dots$ und addirt dieselben so findet sich leicht:

$$\left. \begin{aligned} [a a] x + [a b] y + [a c] z + \dots - [a n] \\ + [a a] \delta x + [a b] \delta y + [a c] \delta z + \dots \end{aligned} \right\} = - [a J] \quad 18)$$

Nun ist aber die erste Zeile in diesem Ausdrucke der Bestimmung der Normalgleichungen entsprechend der Null gleich, man hat daher, wenn man die analogen Resultate hinschreibt, die die Multiplication mit den $b, c \dots$ Coëfficienten ergibt:

$$\left. \begin{aligned} [a a] \delta x + [a b] \delta y + [a c] \delta z + \dots + [a J] &= 0 \\ [a b] \delta x + [b b] \delta y + [b c] \delta z + \dots + [b J] &= 0 \\ [a c] \delta x + [b c] \delta y + [c c] \delta z + \dots + [c J] &= 0 \\ \dots \dots \dots \dots \dots \dots \dots \dots \dots \dots \end{aligned} \right\} \quad 19)$$

Die Gleichungen 19) sind wie Normalgleichungen zusammengesetzt, nur stehen an Stelle der Unbekannten die Fehler derselben und anstatt n die Grössen $-J$; es wird daher die Bestimmung dieser Fehler durch die Grössen $-J$ in derselben Weise vorgenommen werden dürfen, wie die Bestimmung der Unbekannten aus n und man wird deshalb die in der Gleichung 1) pag. 353 auftretenden $\alpha, \beta, \gamma \dots$ Coëfficienten ohne Abänderung benützen dürfen und die Relationen erhalten:

$$\left. \begin{aligned} \delta x &= - \{ \alpha_1 J_1 + \alpha_2 J_2 + \alpha_3 J_3 + \dots \} \\ \delta y &= - \{ \beta_1 J_1 + \beta_2 J_2 + \beta_3 J_3 + \dots \} \\ \delta z &= - \{ \gamma_1 J_1 + \gamma_2 J_2 + \gamma_3 J_3 + \dots \} \\ \dots \dots \dots \end{aligned} \right\} \quad 20)$$

Setzt man diese Werthe in die Gleichungen 16) ein, so wird man, wenn man die Summe $[a J]$ auflöst, für die einzelnen Glieder erhalten:

$$\left. \begin{aligned} - [aJ] \delta x &= (a_1 J_1 + a_2 J_2 + a_3 J_3 + \dots) (a_1 J_1 + a_2 J_2 + a_3 J_3 + \dots) \\ - [bJ] \delta y &= (b_1 J_1 + b_2 J_2 + b_3 J_3 + \dots) (\beta_1 J_1 + \beta_2 J_2 + \beta_3 J_3 + \dots) \\ - [cJ] \delta z &= (c_1 J_1 + c_2 J_2 + c_3 J_3 + \dots) (\gamma_1 J_1 + \gamma_2 J_2 + \gamma_3 J_3 + \dots) \\ &\dots \dots \dots \end{aligned} \right\} 21)$$

Man wird vor Allem behaupten können, dass diese Producte nothwendig positiv sein müssen, denn die Constanten sind so bestimmt, dass $[xx]$ ein Minimum ist; jede von der durch die Normalgleichung erhaltenen Bestimmung der Unbekannten abweichende Bestimmung wird daher diese Fehlerquadratsumme vermehren müssen, woraus unmittelbar mit Berücksichtigung der Gleichung 16 die aufgestellte Behauptung bestätigt wird.

Führt man nun die in 21 angezeigten Multiplicationen durch und beschränkt sich auf die erste Gleichung allein, indem die übrigen in gleicher Weise behandelt werden können, so kann das Resultat dieser Multiplication in der folgenden Weise hingeschrieben werden:

$$- [aJ] \delta x = a_1 a_1 J_1 J_1 + a_2 a_2 J_2 J_2 + a_3 a_3 J_3 J_3 + \dots + \sum q J_p J_p$$

wobei unter den Zeichen Σ alle jene Producte zusammengefasst gedacht erscheinen, die verschiedenen Fehlern angehören, während die ersteren Glieder die Quadrate dieser Fehler enthalten; setzt man nun für $J_1 J_1, J_2 J_2, J_3 J_3 \dots$ ihre mittleren Fehlerquadrate $\epsilon \epsilon$ und beachtet, dass nach Gleichung 5 pag. 354 ist:

$$[aa] = 1,$$

so erhält man:

$$- [aJ] \delta x = \epsilon \epsilon + \sum q J_p J_p;$$

der erste Theil rechter Hand wird als Quadrat nothwendig positiv sein, also der obigen Forderung, dass $- [aJ] \delta x$ positiv ist, genügen; im letzteren Theile wird aber wegen der Combination der verschiedenen Fehler mit einander, und da positive und negative Fehler die gleiche Wahrscheinlichkeit haben, die angezeigte Summe bald positive bald negative Werthe erhalten, die aber im Allgemeinen gegen das erstere Glied klein sein werden; man darf daher im Durchschnitte annehmen, dass ist

$$- [aJ] \delta x = \epsilon \epsilon;$$

durch ganz ähnliche Schlüsse erhält man die Relationen:

$$- [bJ] \delta y = - [cJ] \delta z = \dots = \epsilon \epsilon.$$

Setzt man diese Relationen in die Gleichung 16 ein, so erhält man also, wenn man mit μ die Anzahl der Unbekannten bezeichnet, mit Rücksicht auf 17):

$$m \epsilon \epsilon = [vv] + \mu \epsilon \epsilon$$

in welcher Gleichung m die Anzahl der Bedingungsgleichungen vorstellt; bestimmt man daraus ϵ , so findet sich:

$$\epsilon = \pm \sqrt{\frac{[vv]}{m-\mu}} \quad 22$$

womit die verlangte Bestimmung des mittleren Fehlers der Gewichtseinheit erlangt ist. Die Bestimmung des wahrscheinlichen Fehlers nach dieser Formel zeigt, dass

an eine solche nur gedacht werden kann, wenn mehr Bedingungsgleichungen vorhanden sind, als die Anzahl der Unbekannten beträgt. Verbindet man diese so gewonnenen Werthe von ϵ mit den durch die Gleichung 10 (pag. 356) bestimmten Gewichten, so erhält man die mittleren Fehler der Unbekannten bestimmt durch:

$$\left. \begin{aligned} \epsilon_x &= \frac{\epsilon}{\sqrt{P_x}} \\ \epsilon_y &= \frac{\epsilon}{\sqrt{P_y}} \\ \epsilon_z &= \frac{\epsilon}{\sqrt{P_z}} \\ &\vdots \end{aligned} \right\} \quad 23)$$

Indem somit die letzte gestellte Aufgabe erledigt erscheint, wird es wieder angemessen erscheinen, die Rechnungsschemen anzugeben und durch ein Beispiel zu erläutern. Zur Berechnung der Formeln 10 wird man sich in das Schema in der unmittelbar ersichtlichen Weise die Logarithmen der Quadrate der bereits ermittelten Hilfsgrößen eintragen, auf den unteren Rand eines Papiere die Complementary der Logarithmen von $[aa]$, $[bb1]$, $[cc2]$, $[dd3]$, $[ee4]$, $[ff5]$ aufschreiben und diese Logarithmen über die A^2 Zeile halten, so dass $\log \frac{1}{[ff5]}$ über $\log A_5^2$ zu stehen kommt; hierbei wird der $\log \frac{1}{[aa]}$ über die Zahlen des Schemas hinausragen; zu diesem letzteren Logarithmus wird man die Zahl aufschlagen und unter dieselbe in eine Vertikalcolumne die übrigen Produkte der Horizontalzeile bringen, die Summe dieser Zahlen ist der reciproke Werth des Gewichtes von x ; nun rückt man das Papier vertikal um eine Horizontalzeile herab, schlägt zum ersten nach links vorstehenden Logarithmus die Zahl und die übrigen Produkte auf und bringt alles wieder in eine Vertikalcolumne, die Summe dieser Werthe ist $\frac{1}{P_y}$ u. s. f.; das Schema stellt sich also wie folgt:

	1	2	3	4	5
	$\log A_1^2$	$\log A_2^2$ $\log B_2^2$	$\log A_3^2$ $\log B_3^2$ $\log C_3^2$	$\log A_4^2$ $\log B_4^2$ $\log C_4^2$ $\log D_4^2$	$\log A_5^2$ $\log B_5^2$ $\log C_5^2$ $\log D_5^2$ $\log E_5^2$
1	1	1	1	1	
aa	$[bb1]$	$[cc2]$	$[dd3]$	$[ee4]$	
$A_1 A_1$	$B_2 B_2$	$C_3 C_3$	$D_4 D_4$	$E_5 E_5$	
$bb1$	$[cc2]$	$[dd3]$	$[ee4]$	$[ff5]$	
$A_2 A_2$	$B_3 B_3$	$C_4 C_4$	$D_5 D_5$		
$[cc2]$	$[dd3]$	$[ee4]$	$[ff5]$		
$A_3 A_3$	$B_4 B_4$	$C_5 C_5$			
$[dd3]$	$[ee4]$	$[ff5]$			
$A_4 A_4$	$B_5 B_5$				
$[ee4]$	$[ff5]$				
$A_5 A_5$					
$[ff5]$					
1 P_x	1 P_y	1 P_z	1 P_t	1 P_u	
$\log (1 : P_x)$	$\log (1 : P_y)$	$\log (1 : P_z)$	$\log (1 : P_t)$	$\log (1 : P_u)$	$\log (1 : P_v)$

Die Fortsetzung des oben gegebenen Rechnungsbeispiels gibt also mit Rücksicht auf das obige Schema:

	9.04462	9.20324	9.16968	8.85962	6.14670
		7.49912	8.46462	4.75316	4.84650
			8.53150	7.54450	3.83816
				7.38318	4.81648
					7.39416
+0.19053	+0.76670	+0.32035	+0.35319	+0.24316	
+0.08496	+0.00101	+0.01201	+0.00059	+0.00060	
+0.05115	+0.01029	+0.00085	+0.00000		
+0.05220	+0.00000	+0.00000			
+0.01760	+0.00000				
+0.00003					
+0.39647	+0.77800	+0.33321	+0.35378	+0.24376	
9.5982	9.8910	9.5227	9.5487	9.3870	9.3848

Die Summe der übrig bleibenden Fehlerquadrate ist vergl. pag. 343:

$$[v v] = n n 6 = 0.02563 .$$

Da im vorliegenden Falle $m = 18$ und $\mu = 6$ ist, so findet sich der mittlere Fehler einer Bedingungsgleichung nach der Formel 23 (pag. 360):

$$\log \varepsilon = 8.6047 .$$

Will man diesen mittleren Fehler in Bogensekunden kennen, so wird man dieses so gefundene ε mit der Fehlereinheit, deren Logarithmus oben mit 1.5088 angenommen wurde, zu multipliciren haben und es findet sich also:

$$\varepsilon = \pm 1''712 ;$$

will man nun die Unsicherheit, d. h. den mittleren Fehler der Elemente selbst kennen, so wird man zu beachten haben, dass die vorliegende Auflösung nicht die Unbekannten selbst gibt, sondern Unbekannte, die in einer linearen Relation zu den ersteren stehen; die diesbezüglichen Factoren wurden oben (pag. 321) angenommen die Coëfficienten sind logarithmisch angesetzt:

$$x = 0.33893 \partial L' , \quad t = 0.50920 \partial \Psi$$

$$y = 4.02489 \partial \mu , \quad u = 0.20387 \partial \Omega' \sin i'$$

$$z = 0.55422 \partial \Phi , \quad w = 0.15035 \partial i'$$

man wird also die Quadratwurzeln der gefundenen Reciproken der Gewichte mit ε zu multipliciren und durch die diesbezüglichen Homogenitätscoëfficienten zu dividiren haben, um die mittleren Fehler der Elemente zu erhalten, und mit Benützung der vorstehenden Zahlen finden:

$$\text{mittlerer Fehler von } \partial L' = \pm 0''104$$

$$" \quad " \quad " \partial \mu = \pm 0.00014 ;$$

$$" \quad " \quad " \partial \Phi = \pm 0.276$$

$$" \quad " \quad " \partial \Psi = \pm 0.315$$

$$" \quad " \quad \partial \Omega' \sin i' = \pm 0.529$$

$$" \quad " \quad " \partial i' = \pm 0.588 .$$

§ 6. Behandlung der vorgelegten Aufgabe im Falle, dass die Auflösung der Normalgleichungen besonderen Unsicherheiten unterworfen ist.

Die in den vorausgehenden Paragraphen gegebenen Vorschriften bedürfen unter Umständen einer etwas veränderten Behandlung, wenn nämlich die Auflösung der Normalgleichungen besondere Unsicherheiten bietet; man erkennt diese Unsicherheiten, wenn man nicht schon vor Beginn der Lösung von diesem Umstande Kenntniss hat, sofort daran, dass der erste Coëfficient einer oder mehrer Eliminationsgleichungen sehr klein wird; es sind diese Coëfficienten oben mit den Symbolen aa , bb_1 , cc_2 , dd_3 , ... identificirt worden. Diese Coëfficienten müssen, wie man dies aus ihrer Entstehung sofort ableitet (vergl. pag. 331), nothwendig positiv sein, es kann aber in Fällen besonderer Unsicherheit, wo dann der fragliche Coëfficient unter die Grenze der Sicherheit der Rechnung tritt, der paradoxe Fall eintreten, dass dieser Coëfficient thatsächlich negativ gefunden wird. Die Ursache dieser Erscheinung ist oben (pag. 332) erklärt worden, als bedingt durch das nahe proportionale Verhältniss zweier oder mehrer Coëfficientenreihen. Ist der Zusammenhang zwischen den Unbekannten und den Beobachtungen ein völlig linearer, so kann dem eben bemerkten Nachtheile dadurch begegnet werden, dass man die ganze Rechnung auf eine grössere Anzahl von Decimalen, als im Endresultate verlangt werden, anlegt; doch macht diese Ausdehnung der Rechnung auf mehr Decimalen die Arbeit bei den zahlreichen Multiplicationen sehr mühsam und zeitraubend. Bei der Anwendung auf die in dem vorliegenden Werke auftretenden Probleme hat man aber niemals mit solchen linearen Functionen zu thun, so dass das oben in Vorschlag gebrachte Verfahren wenig Aussicht auf Erfolg hätte, denn die in Anwendung gebrachten Differentialquotienten zwischen den Incrementen der Unbekannten und den beobachteten Werthen werden bei so bedeutenden Aenderungen nicht constant angenommen werden dürfen. Man wird aber hieraus die im Allgemeinen zu wenig beachtete Bemerkung ableiten, dass man die Wahl der Unbekannten des Problemes so vorzunehmen hat, dass der Zusammenhang zwischen den Aenderungen derselben und den Beobachtungen ein möglichst linearer wird; hierfür können aber keine allgemeinen Methoden gegeben werden, und man wird von Fall zu Fall für das vorgelegte Problem die entsprechendsten Hilfsmittel einzuführen trachten. So viel kann man aber im Allgemeinen bemerken, dass man durch die Lösung des Problemes unter Voraussetzung der Linearität der Functionen den gesuchten Resultaten näher kommen wird; trifft diese Annäherung nicht hinreichend zu, so wird die Anwendung der mit Hilfe des zuletzt gewonnenen Resultates neu berechneten Differentialquotienten eine abermalige Verbesserung finden lassen, welches Verfahren fortgesetzt im Allgemeinen eine mehr minder rasche Convergence zeigen wird. Man wird aber leicht bemerken, dass dieser Vorgang viel an Kürze zu wünschen übrig lassen wird, denn man hat für jede Verbesserung die Rechnungen ganz vom Anfang an neu durchzuführen; die in diesem Werke

angeführten Methoden sind jedoch so gewählt, dass man wohl nur in sehr seltenen Fällen auf dieses beschwerliche Verfahren zurückgeführt wird.

Man wird meist schon bei Beginn der Rechnungen theils durch anderweitig gewonnene Erfahrungen, theils aus theoretischen Betrachtungen wissen können, ob in dem vorgelegten Falle besondere Unsicherheiten in der Lösung des Problemcs zu erwarten sind; so wird z. B. die Bestimmung der Bahnelemente eines kleinen Planeten aus den Beobachtungen einer Opposition meist in zwei Elementen eine besondere Unsicherheit hervortreten lassen, aus zwei Oppositionen in einem; die Bestimmung einer Kometenbahn aus den Beobachtungen einer Erscheinung wird im Allgemeinen meist nur eine Unbekannte besonders unsicher erscheinen lassen. Man wird sich hierbei klar zu machen haben, dass diese Unsicherheit, wenn nicht die Wahl der Unbekannten besonders zweckmässig vorgenommen werden kann, sich meist auf die übrigen Unbekannten erstreckt, indem sich diese als Functionen des unsicheren Elementes darstellen lassen; die Bestimmung der übrigen Elemente erscheint sofort sicher, wenn man eine Relation einführt, die die Unsicherheit in dem fraglichen Elemente aufhebt. Bei Bahnbestimmungen werden aber solche, die Unsicherheit behebende Relationen selten genug herbeigeschafft werden können, wenn nicht anderweitige neue, der Zeit nach weit abstehende Beobachtungen herangezogen werden können: doch wird zum Beispiel der Umstand, dass die meisten Kometen nahezu parabolische Bahnen haben, benützt werden können, bei der Lösung des Problemcs in diesem Falle $e = 1$ zu setzen; es wird durch diese Specialisirung in den meisten Fällen die Unsicherheit in der Auffindung der Elemente behoben.

Nach diesen einleitenden Bemerkungen will ich nun noch auf die Methode eingehen, die man im Falle einer besonderen Unsicherheit in der Auflösung der Normalgleichungen anwenden kann, um so weit als thunlich Resultate zu erlangen, die den Principien der Wahrscheinlichkeit gemäss bestimmt sind. Es ist klar, dass, da im Allgemeinen zu dieser Lösung keine neuen theoretischen Bedingungen eingeführt werden können und dürfen, eigentlich das Bestreben nur dahin gerichtet werden muss, die Auflösung der Normalgleichungen derartig einzurichten, dass der Unsicherheit der Rechnung der möglichst geringe Einfluss eingeräumt wird. Ich werde wieder, wie oben, voraussetzen, dass sechs Unbekannte zu bestimmen seien, von denen zwei einer besonderen Unsicherheit unterworfen sind; es wird diese letztere Beschränkung für die vorliegenden Zwecke ausreichend sein und die Zurückführung auf den einfacheren Fall, wo nur eine Unbekannte unsicher bestimmt erscheint, sich leicht machen lassen. Man wird vorerst die Rechnung so anlegen, dass die voraussichtlich mit besonderen Unsicherheiten behafteten zwei Unbekannten als die letzten erscheinen, was meist a priori entschieden werden kann: wenn dies nicht möglich wäre, so wird eine vorläufige Lösung der Normalgleichung die gewünschte Aufklärung geben; ich setze also voraus, dass die Bestimmung der Unbekannten u und w besonderen Unsicherheiten unterworfen ist; es werden demnach in der vollständigen Elimination die Coëfficienten $1ee_4$ und ff_5 ausserordentlich klein. Ich hebe hier nochmals hervor, dass sich diese Unsicherheit gewöhnlich auch

den anderen Unbekannten in verschiedenem Maasse mittheilt. Unter den eben gemachten Voraussetzungen wird also die Bildung der Eliminationsgleichungen bis zur fünften Gleichung Elimination von w keine Unsicherheit bieten; man wird deshalb ohne Bedenken nach der bisherigen Methode die folgenden Eliminationsgleichungen bilden können:

$$\left. \begin{aligned} [aa_1]x + [ab_1]y + [ac_1]z + [ad_1]t + [ae_1]u + [af_1]w &= [an_1] \\ [bb_1]y + [bc_1]z + [bd_1]t + [be_1]u + [bf_1]w &= [bn_1] \\ [cc_2]z + [cd_2]t + [ce_2]u + [cf_2]w &= [cn_2] \\ [dd_3]t + [de_3]u + [df_3]w &= [dn_3] \end{aligned} \right\} \quad 1)$$

Diese Eliminationsgleichungen werden aber offenbar die Unbekannten als Funktionen von u und w darstellen lassen, durch successive Substitution oder durch irgend ein zweckmässiges Eliminationsverfahren, indem hier die vier ersten Unbekannten die Formen erhalten:

$$\left. \begin{aligned} t &= [\alpha t] + [\beta t]u + [\gamma t]w \\ z &= [\alpha z] + [\beta z]u + [\gamma z]w \\ y &= [\alpha y] + [\beta y]u + [\gamma y]w \\ x &= [\alpha x] + [\beta x]u + [\gamma x]w \end{aligned} \right\} \quad 2)$$

wobei jetzt die in runden Klammern stehenden Coëfficienten von Fall zu Fall bekannte Grössen sind. Man wird zu 2) bemerken können, dass, wofern man auf eine Bestimmung der Unbekannten u und w verzichtet, und dieselben der Null gleich setzt, die erste verticale Coëfficientenreihe die wahrscheinlichsten Werthe der Unbekannten unter der gemachten Voraussetzung ergibt. Andererseits wird die Grösse der β und γ Coëfficienten die aus der Unsicherheit der Elemente u und w entstehende Unsicherheit in den anderen Elementen aufweisen, wobei häufig der Fall eintreten wird, dass einer oder mehrere dieser Coëfficienten klein werden; man wird daraus den Schluss ableiten dürfen, dass in diesem Falle für das betreffende Element die Unsicherheit von u und w ohne wesentlichen Nachtheil ist. Hat man für u und w in der That die unsichersten Elemente gesetzt, so wird keiner der β und γ Coëfficienten die Einheit überschreiten; sollte dies aber doch der Fall sein, so deutet dieser Umstand darauf hin, dass man dieses Element hätte als letztes wählen sollen, doch wird dies keinen wesentlichen Nachtheil für die Rechnung haben, so lange nicht ein solcher Coëfficient die Einheit um ein Vielfaches überschreitet.

Die Bestimmung dieser in 2) auftretenden Coëfficienten muss sorgfältig controlirt werden, da diese Coëfficienten die Grundlage für alle späteren Rechnungen abgeben. Indem vorausgesetzt ist, dass diese durch die Methode der unmittelbaren Substitution erhalten sind, kann zu deren Controle in sehr übersichtlicher Weise mit Hilfe der bereits oben (pag. 346, 347) eingeführten $A, B, C \dots$ Coëfficienten eine nochmalige Bestimmung erhalten werden; man findet leicht, wenn man beachtet, dass die mit dem Index 5 versehenen Coëfficienten sich der Voraussetzung nach einer sicheren Berechnung entziehen:

so wird man vorerst zu beachten haben, dass man als Controle der bisherigen Rechnungen (vgl. pag. 337) benützen kann:

$$[u \ u \ 4] = [u' \ u'] . \quad 7$$

Mit Hilfe der Relationen 4) und 6) pag. 365 hat man also den Zusammenhang zwischen den Unbekannten u und w mit den Beobachtungen auf die einfachste und directeste Weise hergestellt, man hat nämlich jetzt die Gleichungen:

$$\left. \begin{aligned} (\beta_1) u + (\gamma_1) w &= u_1' \\ (\beta_2) u + (\gamma_2) w &= u_2' \\ (\beta_3) u + (\gamma_3) w &= u_3' \\ &\vdots \quad \quad \quad \vdots \quad \quad \quad \vdots \end{aligned} \right\} \quad 8)$$

die zur Bestimmung von u und w verwerthet werden können. Es ist also hiermit das anfangs angedeutete Ziel erreicht, die Bestimmung der Unbekannten u und w aus den Beobachtungen selbst durch möglichst wenig Zwischenrechnungen herstellen zu können, und mehr ist, wie schon oben angedeutet wurde, nicht zu leisten. Diese Gleichungen 8) werden einen sehr sicheren Maassstab abgeben, ob die Bestimmung der Unbekannten u und w oder einer derselben überhaupt möglich ist; werden nämlich die Coëfficienten (β) und (γ) alle gleichzeitig so klein, dass dieselben gleich geachtet werden können der Unsicherheit der angewandten Rechnungsmethode, so ist eine Bestimmung beider Unbekannten völlig unthunlich, haben aber diese Coëfficienten eine angemessene Grösse, so kann dennoch die Bestimmung der einen Unbekannten unmöglich sein, wenn die zusammengehörigen β und (γ) Coëfficienten nahe proportional sind; dieser Umstand braucht jedoch vorerst hier nicht beachtet zu werden, er tritt ohnehin bei den weiteren Schritten der Auflösung von selbst hervor. Es soll nun vorausgesetzt werden, dass diese Coëfficienten, wie dies wohl in der Regel der Fall sein wird, eine angemessene Grösse haben, welche die unvermeidliche Unsicherheit der Rechnung wesentlich überschreitet. Die Bedingungsgleichungen 8) enthalten zwar keine neuen Bedingungen gegen die ursprünglichen Gleichungen und dürfen dieselben auch nicht enthalten, gewähren aber den Vortheil, dass denselben bereits vier Bedingungen (allgemein $(u-2)$ Bedingungen) der Normalgleichungen genügen, daher die noch zu erfüllenden Bedingungen einfacher präcisirt werden können. Es kann hier noch darauf aufmerksam gemacht werden, dass es sich für die Bequemlichkeit der Rechnung empfiehlt, die Gleichungen 8) ähnlich wie dies mit den ursprünglichen Bedingungsgleichungen geschehen ist, durch Einführung von Homogenitätsfactors (vergl. pag. 318) umzugestalten; man wird nur schliesslich bei der Bestimmung der Werthe der Unbekannten diese Factors gehörig zu berücksichtigen haben. Bildet man nun nach den bekannten Regeln aus den Gleichungen 8) die Normalgleichungen, so erhalten dieselben die Gestalt:

$$\left. \begin{aligned} [\beta \beta] u + [\beta \gamma] w &= [\beta u'] \\ [\beta \gamma] u + [\gamma \gamma] w &= [\gamma u'] \end{aligned} \right\} \quad 9$$

doch wird man nur nöthig haben, die Coëfficienten der ersten Gleichung allein

zu berechnen, da vorerst nur die Absicht vorliegt, u als Funktion von w darzustellen. Es ist klar, dass bis auf eventuell eingeführte Homogenitätsfactoren, die leicht in Rechnung zu ziehen sind, nothwendig nach der Herstellung und den Bedingungen der Gleichungen sein muss:

$$[\beta\beta] = [ec_4] \cdot [\beta\gamma] = [ef_4] \cdot [\beta u'] = [en_4], \quad (10)$$

doch wird diese Identität nur theoretisch bestehen, in der Anwendung werden mehr oder minder grosse Unterschiede auftreten, je nach dem Maasse der vorhandenen Unsicherheit in der Lösung der Normalgleichungen; es werden jedoch die aus den Gleichungen g) resultirenden Werthe den Vorzug verdienen, da dieselben aus einer fast directen Rechnung erlangt sind, und in der That das hier vorgeschlagene modificirte Verfahren angewendet wurde, um eine grössere Sicherheit zu erhalten. Man ist also dahin gelangt, die vorletzte Eliminationsgleichung hinschreiben zu können mit der Ueberzeugung, dass die Coëfficienten im Allgemeinen numerisch nahe richtig festgelegt erscheinen. Setzt man demnach:

$$\gamma' u = -\frac{\beta\gamma}{\beta\beta}, \quad \alpha' u = \frac{\beta u'}{\beta\beta}, \quad (11)$$

so ist die Relation zwischen u und w bestimmt durch:

$$u = (\alpha' u) + (\gamma' u) w, \quad (12)$$

wobei wieder $(\alpha' u)$ der wahrscheinlichste Werth von u sein wird, wenn man w der Null gleich setzt. Die durch diese Substitution erlangte verminderte Summe der Fehlerquadrate wird nach den bekannten Regeln bestimmt sein durch:

$$u'' u'' = (u' u') - \frac{[\beta u']^2}{\beta\beta}, \quad (13)$$

führt man die Relation 12 in die Gleichungen 2) pag. 30) ein, so nehmen dieselben die Gestalt an:

$$\left. \begin{aligned} u &= (\alpha' u) + (\gamma' u) w \\ t &= (\alpha' t) + (\gamma' t) w \\ z &= (\alpha' z) + (\gamma' z) w \\ y &= (\alpha' y) + (\gamma' y) w \\ x &= (\alpha' x) + (\gamma' x) w \end{aligned} \right\} \quad (14)$$

wobei also allgemein gesetzt ist:

$$\alpha' E = \alpha E + \beta E - \alpha' u; \quad (15)$$

führt man aber 12) in die Gleichungen 8) ein und setzt:

$$\left. \begin{aligned} u_1'' &= u_1' - \beta_1 (\alpha' u) \\ u_2'' &= u_2' - \beta_2 (\alpha' u) \\ u_3'' &= u_3' - \beta_3 (\alpha' u) \\ &\vdots \quad \quad \quad \vdots \end{aligned} \right\} \quad (16)$$

und:

$$\left. \begin{aligned} \gamma_1' &= (\gamma_1) + \beta_1 (\gamma' u) \\ \gamma_2' &= (\gamma_2) + \beta_2 (\gamma' u) \\ \gamma_3'' &= (\gamma_3) + \beta_3 (\gamma' u) \\ &\vdots \quad \quad \quad \vdots \end{aligned} \right\} \quad (17)$$

so erhalten nunmehr die Gleichungen 8) (pag. 366) die Form:

$$\left. \begin{aligned} \gamma_1' w &= n_1'' \\ \gamma_2' w &= n_2'' \\ \gamma_3' w &= n_3'' \\ &\vdots \end{aligned} \right\} \quad 18)$$

wobei man sich durch die Relation 13) (pag. 367) eine theilweise Controle für die Richtigkeit der Rechnung verschafft; aus diesen Gleichungen wird die Bestimmung von w nach eventueller Einführung von Homogenitätsfactoren durch:

$$w = \frac{[\gamma' n'']}{[\gamma' \gamma']} \quad 19)$$

bewirkt. Man wird wieder bemerken, dass theoretisch

$$[\gamma' \gamma'] = [f' f' 5] \quad [\gamma' n''] = [f' n' 5] \quad 20)$$

sein muss, dass aber bei den vorausgesetzten Verhältnissen wieder eine nahe Uebereinstimmung nicht erwartet werden kann. Die auf das Minimum herabgebrachte Summe der Fehlerquadrate wird sein:

$$v v' = [n n 6] = [n'' n''] - \frac{[\gamma' n'']^2}{[\gamma' \gamma']} \quad 21)$$

Ist nun einmal $[v v']$ bekannt, so bestimmt sich nach der Formel 22) (pag. 359) der mittlere Fehler einer Bedingungsgleichung, und da durch 10) (pag. 367) und 20), die für die Rechnung der Hilfsgrössen A_5 , B_5 , C_5 , D_5 und E_5 nöthigen Factoren (pag. 346, 347) mit hinreichender Genauigkeit bekannt sind, (auf eventuell eingeführte Homogenitätsfactoren zu achten), so wird die Rechnung der Gewichte nach der Formel 10) (pag. 356) keine weitere Schwierigkeit haben, und hiernit erscheint das vorgelegte Problem mit einer nach Thunlichkeit maximalen Präcision gelöst. Diese letzteren Bestimmungen werden aber in der Regel in den vorgelegten Fällen nicht vorgenommen werden, da es sich meist darum handelt, neben dem wahrscheinlichsten Elementensysteme jene Grenze zu suchen, bis zu welcher hinaus dieselben abgeändert werden dürfen ohne den Beobachtungen zu widersprechen. Grenzen, die nach den vorgelegten Beobachtungen und der subjectiven Anschauung sehr dehnbar sind.

Die Gleichungen 14) (pag. 367) stellen die Unbekannten als Funktionen der unabhängig Variablen w dar; betrachtet man aber überdiess u in so weit unabhängig variabel, als dasselbe abgeändert werden darf, ohne w zu variiren, so sind die maassgebenden Coefficienten für u in den Gleichungen 2) (pag. 364) enthalten; man wird deshalb sagen können, dass in den folgenden Gleichungen u und w unabhängig variabel sind:

$$\left. \begin{aligned} t &= \alpha' t + \beta' t u + \gamma' t w \\ z &= \alpha' z + \beta' z u + \gamma' z w \\ y &= \alpha' y + \beta' y u + \gamma' y w \\ x &= \alpha' x + \beta' x u + \gamma' x w \end{aligned} \right\} \quad 22)$$

wobei aber zu beachten ist, dass wenn man w allein als unabhängig variabel betrachtet, u bestimmt werden muss nach 12) (pag. 367) nämlich:

$$u = \alpha' u + \gamma' u w.$$

Unter diesen einschränkenden Voraussetzungen erscheint also in der Folge u als unabhängig variabel. Indem man den nach 19) (pag. 368) bestimmten Werth in die Bedingungsgleichungen 18) einsetzt, gelangt man zur Kenntniss der minimalen Fehler, setzt man also:

$$\left. \begin{aligned} n_1'' - (\gamma_1') w &= e_1 \\ n_2'' - (\gamma_2') w &= e_2 \\ n_3'' - (\gamma_3') w &= e_3 \\ &\vdots \quad \quad \quad \vdots \end{aligned} \right\} \quad 23)$$

so muss die auf diese Weise gefundene Summe der Fehlerquadrate $[ee]$ mit dem durch 21) (pag. 368) bestimmten Werthe innerhalb der Unsicherheitsgrenzen der Rechnung stimmen, womit eine gute Controle erreicht ist. Man kann nun daran gehen, eine umfassende Controle noch dadurch herzustellen, dass man den durch 19) bestimmten Werth von w in 12) (pag. 367) einführt und dadurch $(u'$ erhält. Die Substitution dieser Werthe in 21) (pag. 364) gibt die übrigen Unbekannten; die so gefundenen Werthe der Unbekannten setzt man in die ursprünglichen Bedingungsgleichungen ein, und muss die eben angeführten minimalen Fehler $e_1, e_2, e_3 \dots$ bestätigt finden.

Den Gleichungen 22) (pag. 368) analog, kann man die übrig bleibenden Fehler als Funktionen von w und u darstellen, beide unter den gemachten Einschränkungen als unabhängig variabel betrachtend; man erhält dann die Fehler, die in den Orten übrig bleiben, bestimmt durch:

$$\left. \begin{aligned} f_1 &= n_1'' - \{(\beta_1) u + (\gamma_1') w\} \\ f_2 &= n_2'' - \{(\beta_2) u + (\gamma_2') w\} \\ f_3 &= n_3'' - \{(\beta_3) u + (\gamma_3') w\} \\ &\dots \dots \dots \end{aligned} \right\} \quad 24)$$

In diesen Ausdrücken wird, wenn man für w den wahrscheinlichsten Werth substituirt und u nach 12) (pag. 367) bestimmt, $u = 0$ zu setzen und f in e zu verwandeln sein; variirt man aber w in $w + \Delta w$, und u in $u + \Delta u$, so erhält man sofort, wenn man diese Werthe in 24) einführt:

$$\left. \begin{aligned} f_1 &= e_1 - \{(\beta_1) \Delta u + (\gamma_1') \Delta w\} \\ f_2 &= e_2 - \{(\beta_2) \Delta u + (\gamma_2') \Delta w\} \\ f_3 &= e_3 - \{(\beta_3) \Delta u + (\gamma_3') \Delta w\} \\ &\dots \dots \dots \end{aligned} \right\} \quad 25)$$

welche Gleichungen also die Aenderungen der übrig bleibenden Beobachtungsfehler darstellen, wenn man u und w unter den gemachten Einschränkungen willkürlich variirt. Quadriert und addirt man die vorstehenden Gleichungen, so erhält man:

$$[ff'] = [ee] + [\beta\beta] \Delta u^2 + [\gamma'\gamma'] \Delta w^2, \quad 26)$$

da nothwendig nach Gleichung 7) (pag. 316)

$$\begin{aligned} [\beta' r] &= 0 \\ [\gamma' r] &= 0 \end{aligned}$$

ist, und nach 17) (pag. 367) wenn man daselbst beiderseits mit dem entsprechenden β multiplicirt und die Relation 11) (pag. 367) beachtet,

$$[\beta \gamma'] = 0$$

wird.

Der Ausdruck 26) zeigt unmittelbar in welcher Weise die Summe der Fehlerquadrate zunimmt, wenn man für u und w Annahmen macht, die von den wahrscheinlichsten Werthen um die Beträge Ju und Jw abweichen. Da nun nach Gleichung 22) pag. 359) in einem gegebenen Falle der mittlere Fehler ϵ einer Bedingungsgleichung von der Summe der Fehlerquadrate abhängig erscheint, so wird stets derselbe Werth von ϵ erhalten, wenn man nur die Quadratsummen gleich macht. Man leitet hieraus den Schluss ab, dass alle jene Systeme die gleiche Wahrscheinlichkeit für sich in Anspruch nehmen, für welche die Summe der Quadrate der Fehler f identisch wird; für $Ju = Jw = 0$ erhält man die minimale Summe. Man kann der Gleichung 26) noch eine andere Gestalt geben, die für die Folge sich bequem erweist. Setzt man nämlich:

$$\left. \begin{aligned} u \sin N &= Ju \\ u \cos N &= Jw \end{aligned} \right\} \quad 27)$$

so nimmt dieselbe die Gestalt an:

$$ff' = rr' + n^2 \{ [\beta \beta' + \gamma' \gamma'] \}. \quad 28)$$

d. h. alle jene Systeme, für die n identisch ist, haben die gleiche Wahrscheinlichkeit, der Winkel N bleibt völlig willkürlich.

Die vorstehend entwickelten Vorschriften werde ich später bei dem für den Planeten Hilda gewählten Beispiele ausführlich erläutern und verweise demnach in dieser Richtung auf das betreffende Kapitel. Das weiter unten durchgeführte Beispiel für den Kometen I 1866, behandelt den einfacheren Fall, wo nämlich nur die Bestimmung einer Unbekannten einer besonderen Unsicherheit unterworfen ist.

Ableitung der Elemente aus einer beliebig grossen Zahl von Beobachtungen.

A. Bildung der Normalorte.

Mit Rücksicht auf die 1 pag. 94 gemachten Bemerkungen ist es sofort klar, dass, wenn die Zahl der vollständigen Beobachtungen 3 überschreitet, denselben nur durch ein Elementensystem nach Maassgabe der Beobachtungsfehler genügt werden kann; es stellt sich also die Aufgabe, aus einer beliebig grossen Zahl von Beobachtungen die wahrscheinlichsten Elemente zu ermitteln, und es werden daher jene Principien, die in der Methode der kleinsten Quadrate aufgestellt wurden, hier zur Verwerthung kommen. Es wird aber nicht immer nöthig sein, die daselbst aufgestellten Grundsätze in aller Strenge durchzuführen, wenn nicht die äusserste Genauigkeit verlangt wird, und man wird sich je nach den Umständen Abkürzungen erlauben können. Es werden daher in der Folge sowohl die strengen, als auch die genähert richtigen Methoden zur Erreichung des Zweckes mitgetheilt werden; vor Allem soll aber vorerst die Vereinfachung der Rechnung, die durch die Bildung der Normalorte erlangt wird, näher beleuchtet werden.

Es wird in den folgenden Untersuchungen stets vorausgesetzt, dass genähert richtige Elemente in irgend einer Weise bekannt sind; aus diesen kann man sich den geocentrischen Lauf des Himmelskörpers Ephemeride berechnen; vergleicht man die aus dieser Rechnung folgenden Orte mit den Beobachtungen, so ist klar, dass innerhalb gewisser Zeitgrenzen die Unterschiede zwischen den beobachteten und berechneten Orten in jeder der zwei polaren Coördinaten auf die Form:

$$u = a + bt + ct^2 + dt^3 + \dots$$

gebracht werden können. Die Coefficienten $a, b, c \dots$ werden im Allgemeinen um so kleiner sein, je näher die zu Grunde gelegten Elemente der Wahrheit kommen; ausserdem werden im Allgemeinen die Coefficienten mit den Potenzen von t rasch kleiner werden. Seien nun n Beobachtungen, die innerhalb des vorgesetzten Zeitraumes liegen, angestellt zur Zeit t_1, t_2, \dots, t_n ; die Unterschiede zwischen der Beobachtung und Rechnung im Sinne »Beobachtung-Rechnung« angesetzt, seien der Reihe nach $u_1, u_2 \dots u_n$; ist nun T irgend ein bestimmtes Zeitmoment, innerhalb der gesetzten Zeitgrenzen, welches man als Ausgangspunkt der Zeitzählung wählt,

so erhält man vorerst für die Bestimmung der Coëfficienten $a, b, c \dots$ die folgenden Bedingungsgleichungen:

$$\left. \begin{aligned} u_1 &= a + b(t_1 - T) + c(t_1 - T)^2 + \dots \\ u_2 &= a + b(t_2 - T) + c(t_2 - T)^2 + \dots \\ &\vdots \quad \quad \quad \vdots \quad \quad \quad \vdots \\ u_n &= a + b(t_n - T) + c(t_n - T)^2 + \dots \end{aligned} \right\} \quad 1)$$

aus welchen Gleichungen nach der Methode der kleinsten Quadrate die Coëfficienten $a, b, c \dots$ bestimmt werden können; sind dieselben bestimmt, so wird der Coëfficient a jene Correction angeben, die man an den für die Zeit T berechneten Ephemeridenort anzubringen hat, um den aus den n Beobachtungen für diese Zeit resultirenden Ort, den Normalort, zu erhalten. An die Gleichungen 1) wird man aber noch mehrere Bemerkungen zu knüpfen haben. Es ist zunächst klar, dass man in diesem Systeme allen beobachteten Unterschieden $u_1, u_2 \dots u_n$ genügen könnte, wenn man nur rechter Hand vom Gleichheitszeichen eine der Anzahl n entsprechende Zahl von zu bestimmenden Coëfficienten einführt; doch wird dieses scheinbar strenge Verfahren zu wesentlichen Ungenauigkeiten führen; es ist aus dem Umstande, dass die Ephemeride verhältnissmässig nahe richtig ist, also selbst für weit ausserhalb der gesetzten Zeitgrenzen liegende Epochen die Beobachtungen noch nahe darstellt, klar, dass die Coëfficienten a, b, c, \dots mit den Potenzen von t rasch abnehmen müssen, und um so rascher, je genauer die der Rechnung der Ephemeride zu Grunde gelegten Elemente sind; man wird daher in der Lösung der Gleichungen 1) eine erheblich grössere Genauigkeit erhalten, wenn man von der theoretisch nothwendig stattfindenden Bedingung der Kleinheit der höheren Coëfficienten Gebrauch macht und dieselben der Null gleich setzt, und sich je nach Maassgabe der Umstände höchstens auf die Bestimmung der drei ersten Coëfficienten beschränkt. Es erscheint mir sogar erwünscht, stets so nahe richtige Ephemeriden zu benützen, dass man auch den c -Coëfficienten vernachlässigen kann, in diesem Falle wird sich aber die Rechnung ganz ausserordentlich einfach gestalten lassen; bestimmt man nämlich T_1 so, dass dasselbe dem Mittel der Beobachtungszeiten entspricht, nämlich:

$$T = \frac{1}{n} (t_1 + t_2 + \dots + t_n) . \quad 2)$$

so sieht man sofort ein, dass die Bestimmung des eigentlich nur zur Ermittlung der Ephemeridencorrection für die Zeit T nothwendigen a -Coëfficienten erlangt wird durch:

$$a = \frac{1}{n} (u_1 + u_2 + \dots + u_n) . \quad 3)$$

weil im Mittel, der hier gewählten Bestimmung von T gemäss, der Factor von b verschwindet. Ist die Ephemeride nur einigermaassen zutreffend, so wird man ohne merklichen Fehler für die Zeit T die dem Mittel der Zeiten nächste Epoche der Ephemeride benützen dürfen.

Zu den vorstehenden Betrachtungen kann man noch hinzufügen, dass wenn

die einzelnen Beobachtungen verschiedenes Gewicht, beziehungsweise g_1, g_2, \dots, g_n , hätten, die in Betracht kommenden Werthe T und a zu berechnen wären nach:

$$\left. \begin{aligned} T &= \frac{g_1 t_1 + g_2 t_2 + \dots + g_n t_n}{g_1 + g_2 + \dots + g_n} \\ a &= \frac{g_1 u_1 + g_2 u_2 + \dots + g_n u_n}{g_1 + g_2 + \dots + g_n} \end{aligned} \right\} \quad 4)$$

Hat aber die Ephemeride nicht die gewünschte Annäherung, so dass man fürchten muss, nicht mit den aus 2 und 3 (pag. 372) resultirenden Näherungen auszureichen, so wird man, was ich für das genaueste halte, sich eine bessere Ephemeride herzustellen trachten, welcher Forderung meist leicht genügt werden kann, oder man wird nach den bei der Methode der kleinsten Quadrate auseinandergesetzten Methoden die Gleichungen 1 (pag. 372 zur Bestimmung der a , b und c Coëfficienten verwenden, oder was am schnellsten zum Ziele führt, wenn auch die Genauigkeit dadurch am meisten leidet, man wird sich die Abweichungen der Beobachtungen von der Rechnung als Ordinaten in ein im entsprechenden Maassstabe ausgeführtes Coordinatensystem eintragen und als Abscissen die Beobachtungszeiten nehmen; eine nach dem Augenmaasse gezogene, diesen festgelegten Punkten möglichst entsprechende Curve von einfachem Zuge wird ebenfalls sehr nahe den Fehler der Ephemeride darstellen; die Ordinate dieser Curve zu einer der Mitte der Beobachtungszeiten nahe gelegenen Abscisse wird also die Correction der Ephemeride für dieses Moment ergeben; ich brauche aber wohl kaum hier hervorzuheben, dass ich das letztere Verfahren nur als einen wenig befriedigenden Nothbehelf betrachte und den zuerst genannten Methoden den Vorzug gebe.

Bei der Anwendung der vorstehenden Methoden kommt es hauptsächlich an auf die Herstellung der Ephemeride und auf die Vergleichung derselben mit den Beobachtungen, und es wird sich empfehlen, hier auf diese Sache näher einzugehen.

Die Ephemeride gibt den Ort des Himmelskörpers für bestimmte Zeitpunkte an, die durch gleiche Zeitabstände getrennt sind: sind diese sehr gross gewählt, so wird die Interpolation wegen der höheren Differenzwerthe schwierig, kann sogar unter Umständen zu ungenauen Resultaten führen; sind die Abstände der Epochen aber wieder sehr eng gewählt, so wird zwar die Interpolation wesentlich erleichtert, man hat aber eine nicht ganz unbeträchtliche Mehrarbeit geleistet, indem mehr Ephemeridenorte gerechnet wurden, als unumgänglich nöthig sind. Hierbei das richtige Maass zu finden, ist im Allgemeinen nicht leicht; die Bemerkung aber, dass die Interpolation anfängt lästig zu werden, falls die zweiten Differenzwerthe ein gewisses Maass überschreiten, gibt in mancher Beziehung die nöthige Leitung und die folgenden Betrachtungen werden eine zwar nicht ganz sichere, aber doch mindestens orientirende Richtschnur geben.

Im Allgemeinen wird man die Betrachtungen zunächst auf die rechtwinkligen heliocentrischen Coordinaten beschränken können, denn hat man dieselben in für die Interpolation genügend kleinen Intervallen berechnet (diese Rechnung macht die grösste Arbeit bei der Herstellung einer Ephemeride) so wird man, falls

die polaren geocentrischen Coordinaten allzu unregelmässig gingen, durch eventuell wiederholte Interpolation in die Mitte für die letzteren die hinreichend kleinen Intervalle erhalten können. Für die rechtwinkligen Coordinaten geben aber die bekannten Bewegungsgleichungen (I pag. 10) die Form:

$$\frac{d^2 x}{dt^2} = \frac{x}{r^3} ,$$

da man aber x auf die Form $r \cos \psi$ bringen kann, und die zweiten Differentiale ein Maass für die zweiten Differenzwerthe abgeben, so wird man daraus die Bemerkung ableiten können, dass die Differenzen zweiter Ordnung nahezu umgekehrt proportional den zweiten Potenzen der heliocentrischen Entfernung sein werden; man wird also für das Intervall der Ephemeridenepochen T die Form erhalten:

$$J = c r^2 , \quad 5)$$

wo c eine Constante ist, die leicht durch die Erfahrung sich bestimmen lässt. Für die Erde würde, wenn nicht der Mond Störungen von sehr kurzer Periode veranlassen würde, eine Rechnung von 3 zu 3 Tagen genügend sein, um die Interpolation der rechtwinkligen Coordinaten bis auf die siebente Stelle sicher ausführen zu können; daraus leitet man den Schluss ab, dass c etwa gleich 3 gesetzt werden darf, da für die Erde ohne merklichen Fehler für die vorliegenden Zwecke, r der Einheit gleich gesetzt werden kann.

Man wird aus 5) zunächst die Bemerkung ableiten, dass man für Himmelskörper mit mässiger Excentricität Planeten wohl das Intervall für alle Theile der Bahn constant annehmen darf; sind aber die Excentricitäten gross, so muss das Intervall variiert werden, und man wird sich zu entscheiden haben, welche Wahl man trifft; man wird demnach in diesem Falle nur immer für gewisse Bahntheile das Intervall constant annehmen dürfen.

Beim Uebergange auf den geocentrischen Ort wäre zu beachten, dass vorerst die Differenzen der Coordinaten des Himmelskörpers und der Erde in Betracht kommen; man wird daher zu berücksichtigen haben, dass bei der Vereinigung der beiden Coordinaten sich die zweiten Differenzwerthe ebenfalls summiren; man wird also in diesem Falle das Intervall im Allgemeinen nicht grösser wählen dürfen als 3 Tage für alle Himmelskörper, für die r grösser als die Einheit wird; man hat also die Bedingungen:

$$\begin{aligned} r > 1 & , \quad J = 3 \\ r < 1 & \quad J = 3 r^2 . \end{aligned}$$

Da man aber stets von den geocentrischen rechtwinkligen Coordinaten den Uebergang auf die polaren macht, so werden die Aenderungen der polaren Coordinaten im Allgemeinen proportional dem reciproken Werthe der geocentrischen Distanz J sein; beachtet man, dass überdies mindestens für die eine Coordinate auch eine Multiplication mit $\sec \delta$, wo δ die auf der Fundamentalebene senkrechte polare Coordinate vorstellt, zur Reduction aufs Parallel erforderlich ist, so wird man für die Bestimmung von J für die geocentrischen polaren Coordinaten zunächst erhalten für die zwei Fälle:

$$\left. \begin{array}{l} r > 1 \quad J = 3 J \cos \delta \\ r < 1 \quad J = 3 r^2 J \cos \delta, \end{array} \right\} \quad 6)$$

wobei J in Tagen ausgedrückt erscheint; man darf aber bei Benützung der Formeln 6 nicht vergessen, dass dieselben nur eine annähernd richtige Leitung geben; man erhält also die folgende Uebersicht für die Bestimmungen von J in Tagen:

	$r > 1$	$r < 1$
heliocentrische rechth. Coord.	$J = 3 r^2$	$J = 3 r^2$
geocentrische rechth. " "	$J = 3$	$J = 3 r^2$
geocentrische polare " "	$J = 3 J \cos \delta$	$J = 3 r^2 J \cos \delta.$

Der Umstand, dass das Intervall auch von $\cos \delta$ abhängig ist, also im Falle, wo sich der Himmelskörper den Polen des gewählten Coordinatensystems nähert, auf sehr kleine Werthe für J führt, zeigt, dass die Herstellung einer Ephemeride zur Bildung von Normalorten, wenn sich der Himmelskörper dem Pole nähert, auf Schwierigkeiten stossen kann; man kann sich in solchen Fällen theilweise damit behelfen, dass man auf die Ephemeride mit polaren Coordinaten Verzicht leistet, und unmittelbar für die Zeit die vorgelegten Coordinaten interpolirt und aus diesen erst die polaren berechnet; doch ist dieses Auskunftsmittel keineswegs sehr geeignet, da gerade in diesen Fällen der Fehler der Ephemeride, zerlegt nach den Componenten der polaren Coordinaten, nothwendig rasche Aenderungen zeigen muss, und im Falle der Polpassage in beiden Coordinaten eine völlige Discontinuität eintritt. Man hat daher in ähnlichen Fällen, das Coordinatensystem des Aequators, welches gewöhnlich als Grundlage für die Berechnung der Ephemeride dient, verlassen und dafür das der Ekliptik eingesetzt; man muss aber dieses Verfahren ebenfalls als ein wenig zweckmässiges bezeichnen, indem durch viel leichtere und einfachere Rechnungen radicalere Abhilfe geschafft werden kann; man darf nämlich nicht vergessen, dass die Transformation aller auf den Aequator bezogenen Beobachtungen in Länge und Breite keine ganz geringe Arbeit ist, und dass wegen der verhältnissmässig geringen Entfernung der Pole des Aequators und der Ekliptik Abstand 23°5) immerhin die Unregelmässigkeit in den polaren Coordinaten nicht ganz behoben erscheint. Das radicale Auskunftsmittel, welches ich in diesem Falle empfehle, ist das folgende: ich lege das neue Coordinatensystem so, dass der Pol desselben in den Frühljahrspunkt zu liegen kommt, die Fundamentalebene geht also durch die Pole des Aequators und ich wähle den Nordpol des Aequators als Ausgangspunkt der Zählung; denkt man sich in denselben die positive x' Achse des neuen Systems gelegt, die y' Achse in den Punkt, dessen Rectascension 90° ist, die positive z' Achse in den Frühljahrspunkt und bezeichnet die Coordinaten des neuen Systems durch Accente, so hat man die Relationen:

$$\begin{array}{l} x' = z \\ y' = y \\ z' = x. \end{array}$$

Es entsteht also dieses neue Coordinatensystem aus dem Aequatorealsystem durch

Drehung des letzteren Systems um 90° um die gemeinsame y Achse. Man kann demnach ohne weitere Transformationen die bereits berechneten geocentrischen Coordinaten benützen und wird, wenn man dieselben für das System des Aequators, mit ξ , η und ζ bezeichnet zur Berechnung der neuen polaren Coordinaten die Relationen haben:

$$\begin{aligned} r \cos \alpha' \cos \delta' &= \zeta \\ r \sin \alpha' \cos \delta' &= \eta \\ r \sin \delta' &= \xi; \end{aligned}$$

auch die Verwandlung der beobachteten äquatorialen Coordinaten in die des neuen Systems gestaltet sich ganz einfach; man wird haben, wie dies aus der Transformation der Coordinaten unmittelbar ersichtlich ist:

$$\begin{aligned} \cos \alpha' \cos \delta' &= \sin \delta \\ \sin \alpha' \cos \delta' &= \sin \alpha \cos \delta \\ \sin \delta' &= \cos \alpha \cos \delta \end{aligned}$$

wodurch, da $\cos \delta'$ stets positiv zu nehmen ist, die polaren Coordinaten unzweideutig bestimmt erscheinen.

Hat man also eine Ephemeride in geeigneter Weise hergestellt, so tritt zunächst die Nothwendigkeit ein, die Angaben derselben mit den Beobachtungen zu vergleichen; es wird sich hierbei als nothwendig herausstellen, für gewisse Zeitmomente die Positionen der Ephemeride durch Interpolation zu ermitteln: man wird aber, wenn man mit n den Abstand des Beobachtungsmomentes seiner absoluten Grösse nach von der nächsten Ephemeridenepoche ausgedrückt in Einheiten des Intervalles bezeichnet, durch die bekannten Interpolationsformeln das gewünschte Resultat erlangen; man hat nämlich für die Interpolation nach vorwärts (vergl. über die Bezeichnung pag. 3 ff.):

$$\begin{aligned} f(a+nw) &= f(a) + nf'(a+\tfrac{1}{2}w) + \frac{n(n-1)}{1 \cdot 2} f''(a) + \frac{n+1}{1 \cdot 2 \cdot 3} \frac{n(n-1)}{3} f'''(a+\tfrac{1}{2}w) + \\ &+ \frac{(n+1)(n-1)(n-2)}{1 \cdot 2 \cdot 3 \cdot 4} f^{(iv)}(a) + \dots \end{aligned}$$

nach rückwärts:

$$\begin{aligned} f(a-nw) &= f(a) - nf'(a-\tfrac{1}{2}w) + \frac{n(n-1)}{1 \cdot 2} f''(a) - \frac{n+1}{1 \cdot 2 \cdot 3} \frac{n(n-1)}{3} f'''(a-\tfrac{1}{2}w) + \\ &+ \frac{(n+1)(n-1)(n-2)}{1 \cdot 2 \cdot 3 \cdot 4} f^{(iv)}(a) \dots, \end{aligned}$$

so dass man n stets kleiner als $\frac{1}{2}$ wählen kann. Hat man aber sehr zahlreiche Beobachtungen, was wohl nur bei sehr hellen Kometen der Fall ist, für dasselbe Intervall mit der Ephemeride zu vergleichen, dann verlohnt es sich wohl der Mühe, die obigen Formeln nach Potenzen von n zu ordnen und die so gebildeten Coefficienten statt der Differenzwerthe der Ephemeride beizufügen. Ordnet man die obigen Ausdrücke nach Potenzen von n und führt überdies die arithmetischen Mittel (vergl. pag. 1 der ungeraden Differenzen ein, so erhält man leicht die Form:

$$\begin{aligned} f(a+nw) &= f(a) + An + Bn^2 + Cn^3 + Dn^4 \dots \text{ für die Interpol. nach vorwärts} \\ f(a-nw) &= f(a) - An + Bn^2 - Cn^3 + Dn^4 \dots \text{ » » » » rückwärts,} \end{aligned}$$

wobei gesetzt ist:

$$\begin{aligned} A &= \frac{1}{1!} \{ f^{\text{I}}(a) - \frac{1}{6} f^{\text{III}}(a) + \frac{1}{30} f^{\text{V}}(a) - \frac{1}{140} f^{\text{VII}}(a) + \dots \} \\ B &= \frac{1}{2!} \{ f^{\text{II}}(a) - \frac{1}{12} f^{\text{IV}}(a) + \frac{1}{90} f^{\text{VI}}(a) - \dots \} \\ C &= \frac{1}{3!} \{ f^{\text{III}}(a) - \frac{1}{4} f^{\text{V}}(a) + \frac{7}{120} f^{\text{VII}}(a) - \dots \} \\ D &= \frac{1}{4!} \{ f^{\text{IV}}(a) - \frac{1}{6} f^{\text{VI}}(a) + \dots \} \\ E &= \frac{1}{5!} \{ f^{\text{V}}(a) - \frac{1}{3} f^{\text{VII}}(a) + \dots \} \\ F &= \frac{1}{6!} \{ f^{\text{VI}}(a) - \dots \} \\ G &= \frac{1}{7!} \{ f^{\text{VII}}(a) - \dots \} \end{aligned}$$

wobei die Formeln in einer weit die Grenzen der gewöhnlichen Anwendung überschreitenden Vollständigkeit angesetzt sind. Man wird beachten, dass man diese Formeln eigentlich angemessener nicht zerfällt in ein System für die Interpolation nach vorwärts und eines für die Interpolation nach rückwärts, sondern sich, indem man u stets kleiner als $\frac{1}{2}$ annimmt, dasselbe im ersten Fall mit dem positiven, im letzteren Falle mit dem negativen Vorzeichen behaftet vorstellt.

Um für einen speciellen Fall u zu bestimmen, hat man unter Berücksichtigung des Umstandes, dass die Ephemeriden die Orte für das wahre Aequinoctium geben, zunächst die auf den Normalmeridian reducirte Beobachtungszeit um die Lichtzeit zu vermindern (vgl. I pag. 71) und für diese so verminderte Zeit den Ephemeridenort zu interpoliren. Die Lichtzeit in Zeitsekunden findet sich nach:

$$\text{Aberrzt} = \overline{2.6971} \mathcal{A},$$

wo \mathcal{A} die geocentrische Distanz in Einheiten der Erdbahnhalfachse vorstellt und statt des Coëfficienten der Logarithmus desselben angesetzt ist. Der für diese so corrigirte Zeit aus der Ephemeride entlehnte Ort ist identisch mit dem scheinbaren zur Zeit der Beobachtung und umgekehrt; man erhält nach Ausführung der hier angezeigten Operationen einen unmittelbaren Vergleich des beobachteten und berechneten Ortes, doch ist noch vorher, wenn dies nicht schon geschehen ist, die Beobachtung vom Einflusse der Parallaxe zu befreien (vgl. I pag. 32), da die Ephemeriden geocentrische Orte geben. Indem man so zur Kenntniss des Ephemeridenfehlers gelangt, den man aus dem Unterschiede Beobachtung-Rechnung ableitet, hat man ferner zu beachten, dass der Fehler in Rectascension eigentlich noch mit $\cos \delta$ zu multipliciren ist, um denselben auf den grössten Kreis zu reduciren; man wird aber, sofern der Himmelskörper sich nicht den Polen allzusehr nähert und einen mässigen Bogen in der Declination innerhalb der Zeitgrenzen der zu einem Normalorte verbundenen Beobachtungen zurücklegt, meist von dieser Multiplication Abstand nehmen können. Man hat aber, wenn man diese Correction berücksichtigt, wohl zu beachten, dass man bei der Bildung des Normalortes, indem man die im Mittel resultirende Correction der Ephemeride an den Ephemeridenort anbringt,

diese Quantität vorher durch die Multiplication mit $\sec \delta$ auf das Parallel zurückführen muss.

Die mehrfachen Operationen, die man mit den Daten der Beobachtung vorzunehmen hat, machen es erwünscht, dieselben möglichst übersichtlich zu gestalten; man wird dies am Besten dadurch erreichen, dass man jede Beobachtung auf einen entsprechend aus etwas stärkerem Papiere geschnittenen Zettel ausschreibt, der etwa $0^m 20$ Breite $0^m 15$ Höhe hat, und auf denselben alle erforderlichen Bemerkungen und Angaben einträgt. Links oben in die Ecke setzt man den Namen des Himmelskörpers; gehört die Beobachtung einem kleinen Planeten an und ist eine Schätzung seiner Helligkeit (Grösse) vom Beobachter angegeben, so kann dieselbe dort ihren Platz finden. In der Mitte oben setzt man gleichsam als Aufschrift den Namen des Beobachtungsortes, rechts oben in die Ecke kommen die Notizen über die Art der Beobachtung und etwaige Bemerkungen des Beobachters über die Sicherheit derselben; ist diese Beobachtung eine Meridianbeobachtung, so kann man dies durch den Buchstaben *M* bezeichnen, ist dieselbe aber eine differentielle, so wird man, falls dies die Mittheilungen des Beobachters gestatten, anführen die Art des Mikrometers, die beobachteten Differenzen zwischen dem Himmelskörper und dem Vergleichsterne, die Anzahl der Einzelbeobachtungen, die zur Ableitung dieses Resultates gedient haben, und schliesslich die angenommenen mittleren und scheinbaren Positionen des Vergleichsternes nebst Angabe der Quellen, die der Beobachter zur Ableitung der angeführten Positionen benützt hat. An sich wären diese Notizen nicht von Erheblichkeit, wenn man stets sicher sein könnte, dass keine Versehen bei der Reduction der Beobachtungen vorgefallen sind, alle diese Notizen werden sich aber bei der näheren Discussion der Beobachtungen, auf die allerdings hier nicht eingegangen werden kann, sehr nützlich erweisen und allenfalls bei der Vergleichung sich zeigende auffallende Unterschiede oft genug erklären. Jetzt füllt man die erste Zeile des Zettels aus; dieselbe enthält zuerst die Jahreszahl, den Monat und das Datum, unter den Namen des Beobachtungsortes stellt man die mittlere Zeit des Beobachtungsortes (hierbei kann man erwähnen, dass häufig die englischen Beobachter statt der mittleren Ortszeit die mittlere Greenwicher Zeit ansetzen, ein nicht ganz zu lobender Vorgang); dann folgt weiter nach rechts die beobachtete Rectascension und Declination, neben jede dieser Coordinaten setzt man auf 3 und 4 Stellen die allenfalls von den Beobachtern mitgetheilten parallaktischen Factoren; doch sind dieselben von den verschiedenen Beobachtern sehr verschieden mitgetheilt; bald enthalten sie bereits die mittlere Sonnenparallaxe, bald nicht, sind bald in Bogenmaass für Rectascension angesetzt, bald in Zeitmaass, bald stehen die Logarithmen, bald die Zahlen u. s. w. Man wird daher gut thun, sich niemals auf diese Angaben allzusehr zu verlassen und durch directe Nachrechnung die parallaktischen Factoren (I pag. 32) prüfen, die selbst gewonnenen Resultate, nachdem man sich von deren Richtigkeit überzeugt, an Stelle der von den Beobachtern mitgetheilten Zahlen ansetzen, und die letzteren nur mehr als beiläufige Controlen gelten lassen; man wird sich bald überzeugen, dass in der That selbst bei sehr sorgfältig reducirenden

Beobachtern in diesen Zahlen häufig genug Irrthümer vorhanden sind. Einige Beobachter geben gleich die geocentrischen Orte selbst, und man ist dadurch der Rechnung der Correction für Parallaxe überhoben; doch ziehe ich es vor, diese Correctionen dem Rechner zu überlassen und aus den Händen des Beobachters die reinen Beobachtungsdaten zu erhalten.

Unter die mittlere Ortszeit in die zweite Zeile setzt man die mittlere Zeit des angenommenen Normalmeridians, welche man erhält, wenn man an die Ortszeit die Längendifferenz anbringt bei östlich von dem Hauptmeridiane gelegenen Orten subtractiv, bei westlichen additiv; unter diese Zahl setzt man die wohl meist mit ausreichender Genauigkeit durch lineare Interpolation aus der Ephemeride entlehnte Aberrationszeit, die stets an die obige Zahl subtractiv anzubringen ist; zur Ableitung von u , jenem numerischen Werthe, der zur Interpolation nöthig ist, wird man die in Stunden, Minuten und Secunden angegebene corrigirte Beobachtungszeit in Decimaltheile des Tages mit den bekannten Hilfsmitteln verwandeln. Unter die scheinbaren Rectascensionen und Declinationen setzt man in die zweite Zeile die für Parallaxe erforderlichen Correctionen und in die dritte Zeile setzt man die aus diesen Correctionen resultirenden geocentrischen Coordinaten; links unten setzt man die Ephemeridencoordinaten der der Beobachtung zunächst gelegenen Epoche an und lässt unter denselben so viel Raum, um die durch die Interpolation gefundenen Reductionen auf die Epoche der Beobachtung anbringen und darunter den resultirenden Ephemeridenort ansetzen zu können; den übrigen Raum des Zettels benützt man für die nöthigen Interpolationsrechnungen, die sich meist durch die Benützung zweckmässig angelegter Hilfstafeln wesentlich erleichtern lassen; rechts unten in die Ecke setzt man die zwischen der Beobachtung und der Rechnung resultirenden Unterschiede im Sinne Beobachtung-Rechnung und setzt also da eventuell $\cos \delta \, da$ und $d\delta$ an, und fügt sofort eine Bemerkung bei, wenn die Beobachtung kein Vertrauen verdient.

In dieser Weise gelangt man zur Kenntniss der Fehler der Ephemeriden für jede einzelne Beobachtung und indem man die Beobachtungen in entsprechender Weise, wie es die Umstände gerade gestatten und fordern, gruppiert, gelangt man mit Hilfe der eben besprochenen Methode zur Kenntniss der Normalorte, die sich der Bedeutung der Zahlen der Ephemeride gemäss, auf das wahre Aequinoctium der Zeit des Normalortes beziehen; man wird aber die Normalorte zweckmässig auf gewisse mittlere Aequinoctien beziehen; die hierfür erforderlichen Correctionen für Nutation und Präcession sind ausführlich im ersten Bande (I pag. 88 u. ff.) erläutert worden. Der Nutzen der Einführung der Normalorte ist offenbar darin begründet, dass man, ohne die Genauigkeit des Resultates in irgend einer Weise erheblich zu schädigen, die Zahl der Bedingungsgleichungen wesentlich einschränkt, ein Vortheil der bei der Anwendung die Rechnung ganz wesentlich abkürzt. Gelingt es in einem gegebenen Falle, die Beobachtungen in 3 Normalorte zusammenzufassen, so kann man diesen Orten jene Methoden für die erste Bahnbestimmung zu Grunde legen, die im ersten Bande dieses Werkes auseinandergesetzt sind.

Es soll nun die Bildung eines Normalortes und die Zurückführung desselben auf ein bestimmtes mittleres Aequinoctium durchgeführt werden, wobei aber die sonst auf die verschiedenen Zettel zu vertheilenden Zahlen hier übersichtlich neben einander gesetzt werden müssen; ich entlehne das Beispiel dem Planeten ⁽⁶²⁾ Erato. Es finden sich für diesen Planeten aus dem Jahre 1871 neben anderen die folgenden Beobachtungen, wobei ein dem Namen des Beobachtungsortes zugefügtes *M* anzeigt, dass die Beobachtung im Meridian angestellt ist.

No.	Datum	Beobachtungsort	Ortszeit	Beob. Rectasc.	Beob. Decl.
1	1871 Sept. 12	Leiden <i>M</i>	12 ^h 22 ^m 27 ^s	23 ^h 48 ^m 38 ^s 21	— 4° 3' 39" 5
2	" 12	Paris (<i>M</i>)	12 22 26	23 48 38.34	— 4 3 35.7
3	" 14	Leiden (<i>M</i>)	12 13 9	23 47 12.15	— 4 14 30.8
4	" 15	Berlin	11 37 1	23 46 30.69	— 4 19 37.2
5	" 16	Berlin	11 1 39	23 45 48.39	— 4 24 55.6
6	" 22	Greenwich <i>M</i>	11 35 49	23 41 21.33	— 4 57 14.7

Eine aus sehr nahe richtigen Elementen abgeleitete Ephemeride ergab die folgenden wahren Orte:

12 ^h mittl. B. Zt.	Rectasc.	1. Diff.	2. Diff.	Decl.	1. Diff.	2. Diff.	log <i>A</i>	Abrrzt.
1871 Sept. 11	23 ^h 49 ^m 22 ^s 04		— 0 ^s 43	— 3° 57' 58" 1		— 1" 1	0.2324	14 ^m 10 ^s
		— 42 ^s 62			— 5' 24" 5			
" 12	48 30.42		— 0.37	— 4 3 22.6		— 0.8	0.2318	14 9
		— 42.99			— 5 25.3			
" 13	47 50.43		— 0.33	— 4 8 47.9		— 0.4	0.2313	14 8
		— 43.32			— 5 25.7			
" 14	47 13.11		— 0.28	— 4 14 13.6		+ 0.1	0.2308	14 7
		— 43.60			— 5 25.0			
" 15	46 29.51		— 0.22	— 4 19 39.2		+ 0.4	0.2304	14 6
		— 43.82			— 5 25.2			
" 16	45 45.69		— 0.17	— 4 25 4.4		+ 0.8	0.2301	14 6
		— 43.99			— 5 24.4			
" 17	45 1.70		— 0.10	— 4 30 28.8		+ 1.3	0.2298	14 5
		— 44.09			— 5 23.1			
" 18	44 17.61		— 0.03	— 4 35 51.9		+ 1.6	0.2296	14 5
		— 44.12			— 5 21.5			
" 19	43 33.49		+ 0.02	— 4 41 13.4		+ 2.0	0.2294	14 4
		— 44.10			— 5 19.5			
" 20	42 49.39		+ 0.08	— 4 46 32.9		+ 2.5	0.2294	14 4
		— 44.02			— 5 17.0			
" 21	42 5.37		+ 0.13	— 4 51 49.9		+ 2.8	0.2294	14 4
		— 43.89			— 5 14.2			
" 22	41 21.48		+ 0.18	— 4 57 4.1		+ 3.2	0.2295	14 4

Die folgende Zusammenstellung gibt in der ersten Columnne die Nummer der Beobachtung, in der zweiten sind die auf den Normalmeridian bezogenen Zeiten der Beobachtung, in der dritten die zugehörige Aberrationszeit, in der vierten der Abstand von der nächsten Epoche in der Ephemeride angegeben, die fünfte und sechste mit *Aα* und *Aδ* überschriebene Columnne gibt die mit Hilfe der ersten und zweiten Differenzen abgeleiteten Bewegungen des Planeten in der Zeit des Abstandes von der nächsten Epoche der Ephemeride an, welche Zahlen an die entsprechenden

Werthe der Ephemeride angebracht, den scheinbaren Ort für die Beobachtungszeit angeben; die siebente und achte Columnne geben die Parallaxen, welche mit ihren Zeichen an die beobachteten Werthe anzubringen sind, um geocentrische Orte zu erhalten, endlich geben die zwei letzten Columnnen die so gefundenen Unterschiede im Sinne Beobachtung — Rechnung:

					Parall. in		B—R		
Berl. Zeit	Abrrzt.	Δt	$\Delta \alpha$	$\Delta \delta$	α	δ	α	δ	
1 12 ^h 58 ^m 6 ^s	14 ^m 9 ^s	+	13 ^m 9 ^s	—1 ^s 31	— 9 ^{''} 9	0 ^{''} 00	+4 ^{''} 3	+0 ^{''} 10	—2 ^{''} 7
2 13 6 40	14 9	+	52 31	—1.56	—11.9	0.00	+4.1	+0.48	+2.9
3 12 48 48	14 7	+	34 41	—1.05	— 7.8	0.00	+4.3	+0.09	—5.1
4 11 37 1	14 6	—	37 5	+1.13	+ 8.1	—0.03	+4.3	+0.02	—2.1
5 11 1 39	14 6	—1 ^h 12 27	+2.21	+16.3	—0.06	+4.3	+0.43	—3.2	
6 12 29 24	14 4	+	15 20	—0.47	— 3.3	0.00	+4.3	+0.32	—1.0

Das Mittel der Correctionen ist in Rectascension +0^s24 in Decl. —2^{''}2, das Mittel der Zeiten entspricht nahe Sept. 15.5; bei der geringen Zahl der Beobachtungen einerseits und anderseits bei dem nahen Anschlusse der Ephemeride an die Beobachtungen, der sich durch weiter abstehende Beobachtungen bestätigt, wird man wohl mit Recht von der Bestimmung der mit der Zeit und dem Quadrate der Zeit verbundenen Coëfficienten der Ephemeridencorrection absehen, und die obigen Mittelwerthe einfach an die Angaben der Ephemeride für die betreffende Epoche anbringen; setzt man die so erhaltene Rectascension im Bogenmaasse an, so erhält man den folgenden Normalort:

$$\begin{array}{cc} \alpha & \delta \\ 1871 \text{ Sept. } 15.5 & 356^{\circ}37'26''2 \quad -4^{\circ}19'41''4. \end{array}$$

der sich auf das zugehörige wahre Aequinoctium bezieht; die Reduction auf das mittlere Aequinoctium des Jahresanfanges mit Hilfe der f , g und G Grössen (vergl. I pag. 89) nach den Angaben des Berliner Jahrbuches ergibt, wenn man beachtet, dass die daselbst gegebenen Formeln die Reduction vom mittleren Aequinoctium des Jahresanfanges auf das wahre des Datum liefern, für die verlangte Reduction:

$$\text{in Rectasc. } -17''1 \quad \text{in Decl. } -7''3;$$

will man aber z. B. den Normalort auf das mittlere Aequinoctium 1870.0 beziehen, so findet sich der Einfluss der Präcession (vergl. I pag. 84):

$$\text{in Rectasc. } -46''1 \quad \text{in Decl. } -20''0$$

und man erhält demnach für den auf das mittl. Aequ. 1870.0 bezogenen Normalort

$$\begin{array}{cc} \alpha & \delta \\ 1871 \text{ Sept. } 15.5 & 356^{\circ}36'23''0 \quad -4^{\circ}20'8''7. \end{array}$$

Die neueren Jahrgänge des Berliner Jahrbuches gestatten aber bekanntlich die Reduction eines beliebigen wahren Aequinoctium auf das mittlere des nächstgelegenen Jahrzehntes direct auszuführen.

Da ich in der Folge zur Erläuterung der angeführten Methoden als Beispiel die ausführliche Bearbeitung des Planeten Erato wähle, so führe ich gleich hier die Orte an, die sich aus der ähnlichen Behandlung der Beobachtungen der übrigen Oppositionen ergeben, und setze daneben die auf dasselbe Aequinoctium bezogenen äquatorealen Sonnenkoordinaten nach Le Verrier^{*)}; die dem Datum in der Klammer nachfolgende Zahl zeigt die Anzahl der zum Normalorte verbundenen Beobachtungen an:

	α	δ	X	Y	Z	mittl. Aequinoct.
1860 Sept. 19.5(5)	8° 11' 29" 8	+ 0° 30' 6" 2	- 1.0024059	+ 0.0152085	+ 0.0196157	1860.0
1861 Dec. 28.5(4)	124 11 40.1	+ 18 57 53.2	+ 0.1242279	- 0.8948019	- 0.3882817	
1863 April 10.5(1)	184 30 25.5	+ 0 55 11.0	+ 0.9389739	+ 0.3221833	+ 0.1399321	
1871 Sept. 15.5(6)	356 36 23.0	- 4 20 8.7	- 0.9966609	+ 0.1184494	+ 0.0513987	1870.0
1873 Jan. 16.5(5)	110 10 58.2	+ 21 19 43.8	+ 0.4457436	- 0.8046120	- 0.3491156	
1874 März 22.5(4)	183 28 45.8	+ 1 17 38.5	+ 0.9965770	+ 0.0338177	+ 0.0146734	
1875 Mai 21.5(4)	235 16 33.9	- 16 43 4.2	+ 0.4985747	+ 0.8085520	+ 0.3508195	1880.0
1876 Juli 18.5(2)	305 9 24.3	- 19 14 35.0	- 0.1552539	+ 0.8334188	+ 0.3616114	
1877 Nov. 24.5(6)	46 46 31.3	+ 14 3 47.2	- 0.4500626	- 0.8054688	- 0.3494796	

B. Anschluss der Elemente an die Beobachtungen mit strenger Berücksichtigung der Principien der Methode der kleinsten Quadrate.

§ 1. Allgemeines.

Verbindet man die Forderungen der Methode der kleinsten Quadrate mit dem hier vorgelegten Probleme, so sieht man sofort, dass man in dem gegebenen Falle die daselbst verlangte lineare Form zwischen den Fehlern und den Unbekannten nur dadurch herstellen kann, dass man als Ausgangspunkt der Untersuchung genäherte richtige Elemente, die man sich stets wird verschaffen können, annimmt, und die Verbesserungen der zu Grunde gelegten Elemente als Unbekannte in das Problem einführt, so dass man diese Incremente als Grössen erster Ordnung (also adäquat den differentiellen Aenderungen) auffassen kann; es wird jede Aenderung in einer beobachteten Coordinate δB dargestellt werden können durch:

$$\delta B = a_1 \delta E_1 + a_2 \delta E_2 + a_3 \delta E_3 + a_4 \delta E_4 + a_5 \delta E_5 + a_6 \delta E_6$$

wobei E_1, E_2, \dots, E_6 die Elemente darstellen und a_1, a_2, \dots, a_6 die entsprechenden Differentialquotienten, es können unter Umständen noch mehr Glieder ein-

* Die Correction der Le Verrierschen Nutation um das Glied $+0''128 \sin (\odot - P)$ ist hierbei berücksichtigt, vergleiche hierbei die diesbezügliche Bemerkung in den erläuternden Anhängen der Berliner Jahrbücher.

treten, wenn man z. B. auf Grössen von der Ordnung der Störungen Rücksicht nimmt und etwa Verbesserungen der angewandten störenden Massen auffinden will u. s. w., es wird sich aber in der Form der obigen Gleichungen durch diese Erweiterungen nichts ändern; hierbei könnte noch erwähnt werden, dass eigentlich 7 Elemente in Betracht zu ziehen sind, wenn man die Maasse des betreffenden Körpers und deren Verbesserung aufsuchen wollte; doch würde aus diesen Gleichungen aus leicht ersichtlichen Gründen eine Bestimmung dieses siebenten Elementes mit Sicherheit niemals möglich sein, und ausserdem wird die Masse derjenigen Himmelskörper, die hier in Betracht kommen, so wenig von der Null verschieden sein, dass man ohne Bedenken den Nullwerth für deren Masse substituiren kann; ich werde daher auf diesen Umstand nicht weiter Rücksicht nehmen.

Man erhält für jede vollständige Beobachtung oder für jeden Normalort, da derselbe 2 Coordinaten gibt, 2 Bedingungsgleichungen von der oben aufgestellten Form; überschreitet nun die Anzahl der Bedingungsgleichungen die Zahl der Elemente (in unserem Falle 6), so wird man nach der Methode der kleinsten Quadrate die erforderlichen Incremente der Elemente suchen, um die wahrscheinlichsten Elemente zu erhalten. Um aber diese Rechnungen ausführen zu können, muss die Berechnung der Differentialquotienten ermöglicht werden und es sollen in den folgenden Paragraphen die hierfür nothigen Entwicklungen vorgenommen werden.

§ 2. Darstellung der Variationen der Beobachtungen durch die Variationen des Knotens, der Neigung, der Länge in der Bahn und des Radiusvectors.

Die Ausdrücke für die rechtwinkligen heliocentrischen Coordinaten, denen dasselbe Coordinatensystem zu Grunde liegt, auf welches sich die Elemente beziehen, sind (vergl. I pag. 16):

$$\left. \begin{aligned} x &= r \cos u \cos \varrho - \sin u \sin \varrho \cos i \\ y &= r \cos u \sin \varrho + \sin u \cos \varrho \cos i \\ z &= r \sin u \sin i \end{aligned} \right\} \quad 1$$

denkt man sich für das Argument der Breite u geschrieben:

$$u = v + \lambda - \varrho$$

wobei v die wahre Anomalie und λ die Länge des Perihels vorstellt, so wird $v + \lambda$ die Länge in der Bahn sein; diese Zerlegung erweist sich in der Folge besonders bei Bahnen mit kleinen Neigungen als sehr zweckmässig. Man erhält durch Differentiation der Ausdrücke 1) nach $v + \lambda$, r , ϱ und i leicht:

$$\begin{aligned} \frac{\partial x}{\partial (v + \lambda)} &= -r (\sin u \cos \varrho + \cos u \sin \varrho \cos i) \\ \frac{\partial y}{\partial (v + \lambda)} &= -r (\sin u \sin \varrho - \cos u \cos \varrho \cos i) \\ \frac{\partial z}{\partial (v + \lambda)} &= r \cos u \sin i \end{aligned}$$

$$\begin{aligned}
 \frac{\partial x}{\partial r} &= \cos u \cos \varrho - \sin u \sin \varrho \cos i \\
 \frac{\partial y}{\partial r} &= \cos u \sin \varrho + \sin u \cos \varrho \cos i \\
 \frac{\partial z}{\partial r} &= \sin u \sin i \\
 \frac{\partial x}{\partial \varrho} &= 2 r \sin \frac{1}{2} i^2 \sin (u - \varrho) \\
 \frac{\partial y}{\partial \varrho} &= 2 r \sin \frac{1}{2} i^2 \cos (u - \varrho) \\
 \frac{\partial z}{\partial \varrho} &= - r \cos u \sin i \\
 \frac{\partial x}{\partial i} &= r \sin u \sin \varrho \sin i \\
 \frac{\partial y}{\partial i} &= - r \sin u \cos \varrho \sin i \\
 \frac{\partial z}{\partial i} &= r \sin u \cos i .
 \end{aligned}$$

Um die voranstehenden Formeln sofort einfacher zu gestalten, soll als Ausgangspunkt der Zählung in der Fundamentalebene der Punkt ϱ gewählt werden; dann ist in den obigen Ausdrücken $\varrho = 0$ zu setzen und man erhält:

$$\left. \begin{aligned}
 \frac{\partial x}{\partial r + \pi} &= - r \sin u & \frac{\partial x}{\partial r} &= \cos u \\
 \frac{\partial y}{\partial r + \pi} &= r \cos u \cos i & \frac{\partial y}{\partial r} &= \sin u \cos i \\
 \frac{\partial z}{\partial r + \pi} &= r \cos u \sin i & \frac{\partial z}{\partial r} &= \sin u \sin i \\
 \frac{\partial x}{\sin i \partial \varrho} &= r \sin u \operatorname{tg} \frac{1}{2} i & \frac{\partial x}{\partial i} &= 0 \\
 \frac{\partial y}{\sin i \partial \varrho} &= r \cos u \operatorname{tg} \frac{1}{2} i & \frac{\partial y}{\partial i} &= - r \sin u \sin i \\
 \frac{\partial z}{\sin i \partial \varrho} &= - r \cos u & \frac{\partial z}{\partial i} &= r \sin u \cos i
 \end{aligned} \right\} \quad 2)$$

Um nun die Aenderungen der rechtwinkligen heliocentrischen Coordinaten auf die geocentrischen polaren zu übertragen, erinnere man sich der (I pag. 31) gegebenen Ausdrücke; man erhält dann mit Rücksicht auf den Ausgangspunkt der Zählung, wenn man mit α und δ die polaren Coordinaten, denen das oben gewählte System zu Grunde liegt, und mit ϱ die geocentrische Entfernung bezeichnet:

$$\begin{aligned}
 \delta \alpha \cos \delta &= - \frac{\sin \alpha - \varrho}{\varrho} \delta x + \frac{\cos \alpha - \varrho}{\varrho} \delta y \\
 \delta \delta &= - \frac{\cos \alpha - \varrho}{\varrho} \sin \delta \delta x - \frac{\sin \alpha - \varrho}{\varrho} \sin \delta \delta y + \frac{\cos \delta}{\varrho} \delta z .
 \end{aligned}$$

Substituirt man in diesen Ausdrücken die Variationen aus 2), so erhält man leicht für die Variationen der in der Fundamentalebene gezählten polaren Coordinaten:

$$\left. \begin{aligned} \frac{\cos \delta \partial \alpha}{\partial (r+\pi)} &= \frac{r}{\int} \{ \sin (\alpha-\varrho) \sin u + \cos (\alpha-\varrho) \cos u \cos i \} \\ \frac{\cos \delta \partial \alpha}{\partial r} &= \frac{1}{\int} \{ -\sin (\alpha-\varrho) \cos u + \cos (\alpha-\varrho) \sin u \cos i \} \\ \frac{\cos \delta \partial \alpha}{\sin i \partial \varrho} &= \frac{r}{\int} \operatorname{tang} \frac{1}{2} i \cos (\alpha-\varrho+u) \\ \frac{\cos \delta \partial \alpha}{\partial i} &= -\frac{r}{\int} \sin u \cos (\alpha-\varrho) \sin i ; \end{aligned} \right\} \quad 3)$$

für die vertical auf die Fundamentalebene gezählte Coordinate findet sich:

$$\left. \begin{aligned} \frac{\partial \delta}{\partial (r+\pi)} &= \frac{r}{\int} \{ \cos (\alpha-\varrho) \sin u \sin \delta - \sin (\alpha-\varrho) \cos u \cos i \sin \delta + \cos u \sin i \cos \delta \} \\ -\frac{\partial \delta}{\partial r} &= \frac{1}{\int} \{ -\cos (\alpha-\varrho) \cos u \sin \delta - \sin (\alpha-\varrho) \sin u \cos i \sin \delta + \sin u \sin i \cos \delta \} \\ \frac{\partial \delta}{\sin i \partial \varrho} &= -\frac{r}{\int} \{ \sin (\alpha-\varrho+u) \sin \delta \operatorname{tang} \frac{1}{2} i + \cos u \cos \delta \} \\ -\frac{\partial \delta}{\partial i} &= \frac{r}{\int} \{ \sin (\alpha-\varrho) \sin \delta \sin i + \cos \delta \cos i \} \sin u . \end{aligned} \right\} \quad 4)$$

Die Einführung einiger Hilfswinkel wird die Berechnung der Variationen nach der Länge in der Bahn und dem Radiusvector wesentlich erleichtern; setzt man nämlich:

$$\left. \begin{aligned} A \sin A' &= \cos (\alpha-\varrho) \cos i, \quad m \sin M = \sin i, & B \sin B' &= m \sin (M+\delta) \\ A \cos A' &= \sin (\alpha-\varrho), & m \cos M &= -\sin (\alpha-\varrho) \cos i, & B \cos B' &= \cos (\alpha-\varrho) \sin \delta \end{aligned} \right\} \quad 5$$

so wird:

$$\left. \begin{aligned} \frac{\cos \delta \partial \alpha}{\partial (r+\pi)} &= \frac{r}{\int} A \sin (A'+u), & \frac{\partial \delta}{\partial (r+\pi)} &= \frac{r}{\int} B \sin (B'+u) \\ \frac{\cos \delta \partial \alpha}{\partial r} &= -\frac{1}{\int} A \cos (A'+u), & \frac{\partial \delta}{\partial r} &= -\frac{1}{\int} B \cos (B'+u) . \end{aligned} \right\} \quad 6$$

welche Formen sich in den späteren Rechnungen sehr bequem erweisen werden. Die Variationen nach den Elementen ϱ und i haben in den Ausdrücken 3 und 4 bereits hinlänglich bequeme Formen für die Rechnung.

Um den Vortheil der eben angegebenen Formeln zu erweisen, denken wir uns die Variation von $(r+\pi)$ und r nach irgend einem Elemente dargestellt durch:

$$\frac{\partial (r+\pi)}{\partial E} = F, \quad \frac{\partial r}{\partial E} = R;$$

setzt man nun:

$$\begin{aligned} -\frac{1}{r} \frac{\partial r}{\partial E} &= -\frac{R}{r} = N \sin N' \\ F &= N \cos N' , \end{aligned}$$

und beachtet, dass ist:

$$\begin{aligned} \frac{\cos \delta \partial \alpha}{\partial E} &= \left(\frac{\cos \delta \partial \alpha}{\partial (r+\pi)} \right) \left(\frac{\partial (r+\pi)}{\partial E} \right) + \left(\frac{\cos \delta \partial \alpha}{\partial r} \right) \left(\frac{\partial r}{\partial E} \right) \\ -\frac{\partial \delta}{\partial E} &= \left(\frac{\partial \delta}{\partial (r+\pi)} \right) \left(\frac{\partial (r+\pi)}{\partial E} \right) + \left(\frac{\partial \delta}{\partial r} \right) \left(\frac{\partial r}{\partial E} \right) . \end{aligned}$$

so wird die gemeinsame Form aller Differentialquotienten zwischen den vier Elementen, welche $(r+\pi)$ und r bestimmen, und den beobachteten Orten die folgende sein:

$$\begin{aligned}\frac{\cos \delta \, \delta \alpha}{\delta E} &= \frac{r}{a} A N \sin (N' + A' + u) \\ - \frac{\delta \delta}{\delta E} &= \frac{r}{a} A N \sin (N' + B' + u) ,\end{aligned}$$

welche Form für die logarithmische Rechnung eine sehr bequeme ist.

§ 3. Entwicklung der Differentialquotienten von r und r' nach den Elementen in Bahnen mit mässiger Excentricität.

Die vorstehend ermittelten Differentialausdrücke der Coordinaten eines Himmelskörpers sind vorerst nach den Elementen Q und i entwickelt und ausserdem durch die Variationen der Coordinaten $(r + \mu)$ und r ausgedrückt, welche letzteren Variationen in solche der Elemente umgesetzt werden müssen. Diese Aufgabe muss, um practisch brauchbare Resultate zu erlangen, in zweifacher Weise gelöst werden, je nachdem der kreisförmige oder der parabolische Character der Bahn überwiegt. Indem ich die Lösung der letzteren Aufgabe auf den folgenden Paragraphen verschiebe, soll hier die Entwicklung vorgenommen werden, die in elliptischen Bahnen von mässiger Excentricität Anwendung findet, wobei ich bemerke, dass hierunter keineswegs die Beschränkung auf kleine Excentricitäten zu verstehen ist; so werden beispielsweise die folgenden Formeln bei allen periodischen Kometen mit mässiger Umlaufszeit mit Vorthail benützt werden können.

Die wahre Anomalie v wird in elliptischen Bahnen bestimmt durch die Gleichungen (vergl. I pag. 15 und 46)

$$M_0 + \mu t = E - e \sin E , \quad 1)$$

$$\tan \frac{1}{2} v = \tan (45^\circ + \frac{1}{2} q) \tan \frac{1}{2} E , \quad 2)$$

wobei die Zeit t in Einheiten des mittleren Sonnentages von derjenigen Epoche an zu zählen ist, für welche die mittlere Anomalie M_0 gilt. Die Variation der ersten Gleichung gibt unter Anwendung einiger offenkundiger Reductionen:

$$\delta M_0 + t \, \delta \mu = \frac{r}{a} \delta E - \sin E \cos q \, \delta q ;$$

Da aber die Relation besteht:

$$\cos q \sin E = \frac{r}{a} \sin v ,$$

so wird:

$$\delta E = \frac{a}{r} \delta M_0 + t \, \delta \mu + \sin v \, \delta q . \quad 3)$$

Denkt man sich die Gleichung 2) logarithmisch geschrieben und bildet dann die Variation derselben, so findet sich leicht:

$$\frac{\delta v}{\sin v} = \frac{\delta q}{\cos q} + \frac{\delta E}{\sin E} ;$$

verbindet man diesen Ausdruck mit 3), so resultirt sofort, wenn man auf die Relation

$$\partial (v + \pi) = \partial v + \partial \pi$$

Rücksicht nimmt, der Ausdruck:

$$\partial (v + \pi) = \partial \pi + \frac{a^2}{r^2} \cos q (\partial M_0 + t \partial \mu + \frac{\sin v}{\cos q} (2 + e \cos v) \partial q) \quad 4)$$

Um die Variation des Radiusvector zu finden, differentiire man die Gleichung:

$$r = a (1 - e \cos E);$$

man erhält dadurch:

$$\partial r = \frac{r}{a} \partial a + a \sin q \sin E \partial E - a \cos E \cos q \partial q; \quad 5$$

man ist aber:

$$\mu = \frac{k}{a^{\frac{3}{2}}}, \quad \partial \mu = -\frac{3}{2} \frac{\mu}{a} \partial a;$$

ersetzt man überdiess ∂E in 5) durch den Ausdruck in 3) pag. 380, so findet sich zunächst:

$$\partial r = a \operatorname{tg} q \sin v \partial M_0 + \left(t a \operatorname{tg} q \sin v - \frac{2}{3} \frac{r}{\mu} \right) \partial \mu + a \sin q \sin E \sin v - \cos E \cos q \partial q.$$

Der Coëfficient von ∂q lässt sich wesentlich vereinfachen; berücksichtigt man nämlich die Relationen:

$$\cos E = \frac{\cos v + e}{1 + e \cos v}, \quad \sin E = \frac{\sin v \cos q}{1 + e \cos v},$$

so wird:

$$\begin{aligned} \frac{\partial r}{\partial q} &= \frac{a}{1 + e \cos v} \{ \sin q \cos q \sin v^2 - \cos q \cos v - \sin q \cos q \} = \\ &= \frac{a \cos q \cos v}{1 + e \cos v} (1 + e \cos v); \end{aligned}$$

demgemäss wird man haben:

$$\partial r = a \operatorname{tang} q \sin v \partial M_0 + \left(t \cdot a \operatorname{tang} q \sin v - \frac{2}{3} \frac{r}{\mu \sin 1''} \right) \partial \mu - a \cos q \cos v \partial q, \quad 6$$

wobei ich sofort μ mit $\sin 1''$ multiplicirt angesetzt habe, weil μ gewöhnlich in Bogensekunden gegeben wird.

Die Formeln 4) und 6) stellen also die Variationen der Coordinaten $(v + \pi)$ und r durch die Variationen der Elemente π (die Länge des Perihels), M_0 (die mittlere Anomalie zur Zeit der Epoche), μ (die mittlere tägliche siderische Bewegung) und q (der Excentricitätswinkel $\sin q = e$) dar, womit das gestellte Problem gelöst erscheint. Doch werden noch weitere Transformationen in dem Falle nöthig, wo sich die Bahn sehr wenig vom Kreise unterscheidet, und in der That werden sich die folgenden Transformationen bei der Anwendung auf alle Planetenbahnen empfehlen, während die Anwendung auf die Bahnen periodischer Kometen kurzer Umlaufzeit die Beibehaltung der obigen Formeln wünschenswerth erscheinen lässt.

Ist nämlich die Bahn sehr nahe kreisförmig, so wird in 4) der Coëfficient von $\partial \pi$ und ∂M_0 nahe gleich und man wird grosse Aenderungen des einen

Elementes bei entsprechender umgekehrter Aenderung des anderen vornehmen können, ohne dass der Ort in der Bahn sich wesentlich ändert; aus diesem Umstande aber entsteht ein Nachtheil für die Bequemlichkeit und Sicherheit der Rechnung, da die obigen Differentialformeln nur kleine Aenderungen der Elemente vorsezen. In Etwas wird man diesen Nachtheil beheben, so dass nur grosse Aenderungen das eine Element treffen können, wenn man statt der mittleren Anomalie die mittlere Länge L_0 zur Zeit der Epoche einführt; es ist:

$$L_0 = M_0 + \lambda,$$

also

$$\partial M_0 = \partial L_0 - \partial \lambda,$$

und man erhält demnach für 4) und 6) (pag. 387) die folgenden Formen;

$$\left. \begin{aligned} \partial (r + \lambda) &= \frac{a^2}{r^2} \cos q \left\{ \partial L_0 + t \partial \mu \right\} + \left\{ 1 - \frac{a^2}{r^2} \cos q \right\} \partial \lambda + \frac{\sin r}{\cos q} \left\{ 2 + e \cos v \right\} \partial q \\ \partial r &= a \operatorname{tg} q \sin v \partial L_0 + \left(t \cdot a \operatorname{tg} q \sin v - \frac{2}{3} \frac{r}{a \sin v} \right) \partial \mu - a \operatorname{tg} q \sin v \partial \lambda - \\ &\quad - a \cos q \cos v \partial q; \end{aligned} \right\} \quad 7)$$

diese Form hat indess immer noch den Nachtheil, dass für nahezu kreisförmige Bahnen der Coëfficient von $\partial \lambda$ sich der Null nähert, da derselbe von der Ordnung der Excentricität wird, so dass grosse Variationen, die die Grenzen der differentiellen Aenderungen weit überschreiten, in λ vorgenommen werden können, ohne den Ort der Bahn wesentlich zu verschieben.

Beachtet man, dass für nahe kreisförmige Bahnen mit Weglassung der Glieder von der Ordnung der Excentricität in die Variation des Elementes geschrieben werden kann:

$$\frac{\partial (r + \lambda)}{\partial \lambda} = -2 \cos v \sin q, \quad \frac{\partial (r + t)}{\partial q} = 2 \sin v,$$

so ergibt sich sofort, dass die Einführung der Elemente:

$$\left. \begin{aligned} \Phi &= \frac{\sin q}{\sin i''} \sin \lambda \\ \Psi &= \frac{\sin q}{\sin i''} \cos \lambda \end{aligned} \right\} \quad 8)$$

für den Kreis jede Unsicherheit schwinden lässt, und dass durch dieselbe ein wesentlich linearer Character der Funktionen erreicht wird.

Um nun diese Elemente, die ich wegen der Gleichförmigkeit mit den übrigen in Bogenmaass angesetzt habe, in die Gleichungen 7) einführen zu können, bedenke man, dass die Differentiation von 8) ergibt:

$$\begin{aligned} \partial \Phi &= \sin q \cos \lambda \partial \lambda + \sin \lambda \cos q \partial q \\ \partial \Psi &= -\sin q \sin \lambda \partial \lambda + \cos \lambda \cos q \partial q, \end{aligned}$$

wobei die Aenderungen $\partial \lambda$ und ∂q ebenfalls in Bogenmaass angenommen sind; daraus bestimmt sich leicht:

$$\left. \begin{aligned} \sin q \partial \lambda &= \cos \lambda \partial \Phi - \sin \lambda \partial \Psi \\ \cos q \partial q &= \sin \lambda \partial \Phi + \cos \lambda \partial \Psi \end{aligned} \right\} \quad 9)$$

Die Substitution der Ausdrücke 9 in 7, pag. 388, ergibt:

$$\left. \begin{aligned} \delta(v + \pi) &= \frac{a^2}{r^2} \cos q \left(\delta L_0 + t \delta \mu \right) + \\ &+ \left\{ \left(1 - \frac{a^2}{r^2} \cos q \right) \frac{\cos \pi}{\sin q} + \frac{\sin v}{\cos q^2} (2 + e \cos v) \sin \pi \right\} \delta \Phi \\ &+ \left\{ - \left(1 - \frac{a^2}{r^2} \cos q \right) \frac{\sin \pi}{\sin q} + \frac{\sin v}{\cos q^2} (2 + e \cos v) \cos \pi \right\} \delta \Psi \\ \delta r &= a \tan q \sin v \delta L_0 + \left(t \cdot a \tan q \sin v - \frac{2}{3} \frac{r}{\mu \sin v} \right) \delta \mu - \\ &- a \left(\frac{\sin v}{\cos q} \cos \pi + \cos v \sin \pi \right) \delta \Phi \\ &+ a \left(\frac{\sin v}{\cos q} \sin \pi - \cos v \cos \pi \right) \delta \Psi . \end{aligned} \right\} 10)$$

Diese Formen können, so weit dieselben die Coefficienten von $\delta \Phi$ und $\delta \Psi$ in dem Ausdrücke für $\delta r + \pi$ betreffen, so transformirt werden, dass der Berechnung derselben keine weitere Unsicherheit anhaftet; die analogen Coefficienten in δr sind diesem Nachtheile ohnehin nicht unterworfen.

Man kann schreiben:

$$\left(1 - \frac{a^2}{r^2} \cos q \right) \operatorname{cosec} q = \frac{\operatorname{cosec} q}{\cos q^2} \left\{ 1 - e^2 - \frac{1 + e \cos v^2}{\cos q} \right\} ;$$

nun ist aber:

$$\frac{1}{\cos q} = \frac{1 - 2 \sin \frac{1}{2} q^2 + 2 \sin \frac{1}{2} q^2}{\cos q} = 1 + \frac{2 \sin \frac{1}{2} q^2}{\cos q} ;$$

man hat also:

$$\begin{aligned} \left(1 - \frac{a^2}{r^2} \cos q \right) \operatorname{cosec} q &= \frac{\operatorname{cosec} q}{\cos q^2} \left\{ 1 - e^2 - \frac{1 + e \cos v^2}{\cos q} - 2 \left(\frac{p}{r} \right)^2 \frac{\sin \frac{1}{2} q^2}{\cos q} \right\} \\ &= - \frac{1}{\cos q^2} \left\{ \cos v^2 + e \cos v + e \left(1 + \left(\frac{p}{r} \right)^2 \frac{1}{2 \cos q \cos \frac{1}{2} q^2} \right) \right\} ; \end{aligned}$$

demnach ist:

$$\left. \begin{aligned} \frac{\delta(v + \pi)}{\delta \Phi} &= - \left\{ \cos(v + \pi) \frac{2 + e \cos v}{\cos q^2} + \frac{q \sin v''}{\cos q^2} \left(1 + \frac{1 + e \cos v^2}{2 \cos q \cos \frac{1}{2} q^2} \right) \right\} \\ \frac{\delta(v + \pi)}{\delta \Psi} &= \left\{ \sin(v + \pi) \frac{2 + e \cos v}{\cos q^2} + \frac{q \sin v''}{\cos q^2} \left(1 + \frac{1 + e \cos v^2}{2 \cos q \cos \frac{1}{2} q^2} \right) \right\} \end{aligned} \right\} 11)$$

Will man, was nicht gerade nöthig ist, die Ausdrücke für δr ähnlich transformiren, so findet sich leicht:

$$\left. \begin{aligned} \frac{\delta r}{\delta \Phi} &= - a \left\{ \sin(v + \pi) + \frac{q \sin v'' \tan \frac{1}{2} q}{\cos q} \sin v \right\} \\ \frac{\delta r}{\delta \Psi} &= - a \left\{ \cos(v + \pi) - \frac{q \sin v'' \tan \frac{1}{2} q}{\cos q} \sin v \right\} \end{aligned} \right\} 12)$$

Stellt man daher die gewonnenen Resultate zusammen, so erhält man für die Anwendung auf Planetenbahnen:

$$\begin{aligned}
\delta(r + \pi) &= \frac{a^2}{r^2} \cos q \delta L_0 + \frac{a^2}{r^2} \cos q \cdot t \cdot \delta \mu - \\
&\quad - \left\{ \cos(r + \pi) \frac{2 + e \cos v}{\cos q^2} + \frac{q' \sin \pi''}{\cos q^2} \left(1 + \frac{1 + e \cos v}{2 \cos q \cos \frac{1}{2} q^2} \right) \right\} \delta \Phi \\
&\quad + \left\{ \sin(r + \pi) \frac{2 + e \cos v}{\cos q^2} + \frac{\phi \sin \pi''}{\cos q^2} \left(1 + \frac{1 + e \cos v}{2 \cos q \cos \frac{1}{2} q^2} \right) \right\} \delta \Psi \\
\delta r &= a \operatorname{tg} q \sin v \delta L_0 + \left(t \cdot a \operatorname{tg} q \sin v - \frac{2}{3} \frac{r}{\mu \sin \pi''} \right) \delta \mu - \\
&\quad - a \left\{ \sin(r + \pi) + \frac{q' \sin \pi'' \operatorname{tang} \frac{1}{2} q}{\cos q} \sin v \right\} \delta \Phi \\
&\quad - a \left\{ \cos(r + \pi) - \frac{\phi \sin \pi'' \operatorname{tang} \frac{1}{2} q}{\cos q} \sin v \right\} \delta \Psi.
\end{aligned} \quad \left. \vphantom{\begin{aligned} \delta(r + \pi) \\ \delta r \end{aligned}} \right\} 13)$$

Für die Bahnen der periodischen Kometen wird man aber die Formeln 4) und 6) pag. 387) unverändert anwenden, also haben:

$$\begin{aligned}
\delta(r + \pi) &= \delta \pi + \frac{a^2}{r^2} \cos q \delta M_0 + \frac{a^2}{r^2} \cos q t \cdot \delta \mu + \frac{\sin v}{\cos q} (2 + e \cos v) \delta q \\
\delta r &= a \operatorname{tg} q \sin v \delta M_0 + \left(t \cdot a \operatorname{tg} q \sin v - \frac{2}{3} \frac{r}{\mu \sin \pi''} \right) \delta \mu - a \cos q \cos v \delta q.
\end{aligned} \quad \left. \vphantom{\begin{aligned} \delta(r + \pi) \\ \delta r \end{aligned}} \right\} 14)$$

Um endlich die Differentialquotienten demoben (§ 2 pag. 385) angegebenen Kunstgriffe entsprechend zu verwerthen, hat man für jeden Ort zu rechnen:

Bei Planetenbahnen:

$$\begin{aligned}
A \sin A' &= \cos(\alpha - \varrho) \cos i \\
A \cos A' &= \sin(\alpha - \varrho) \\
m \sin M &= \sin i \\
m \cos M &= -\sin(\alpha - \varrho) \cos i \\
B \sin B' &= m \sin(M + \delta) \\
B \cos B' &= \cos(\alpha - \varrho) \sin \delta \\
u &= v + \omega
\end{aligned} \quad \left. \vphantom{\begin{aligned} A \sin A' \\ A \cos A' \\ m \sin M \\ m \cos M \\ B \sin B' \\ B \cos B' \\ u \end{aligned}} \right\} 1)$$

dann weiter:

$$\begin{aligned}
F' \sin F' &= -\frac{a}{r} \operatorname{tg} q \sin v \\
F' \cos F' &= \frac{a^2}{r^2} \cos q \\
G' \sin G' &= t \cdot F' \sin F' + \frac{2}{3 \mu \sin \pi''} \\
G' \cos G' &= t \cdot F' \cos F' \\
\frac{q' \sin \pi'' \operatorname{tg} \frac{1}{2} q}{\cos q} &= l, \quad \frac{q' \sin \pi''}{\cos q^2} = n, \quad \frac{2 + \sin q \cos v}{\cos q^2} = d \\
\frac{\phi \sin \pi'' \operatorname{tg} \frac{1}{2} q}{\cos q} &= m, \quad \frac{\phi \sin \pi''}{\cos q^2} = q, \quad 1 + \frac{1 + \sin q \cos v}{2 \cos q \cos \frac{1}{2} q^2} = f \\
H \sin H' &= \frac{a}{r} \left\{ \sin(r + \pi) + l \sin v \right\} \\
H \cos H' &= -\left\{ d \cos(r + \pi) + n f \right\} \\
K \sin K' &= \frac{a}{r} \left\{ \cos(r + \pi) - m \sin v \right\} \\
K \cos K' &= \left\{ d \sin(r + \pi) + q f \right\}
\end{aligned} \quad \left. \vphantom{\begin{aligned} F' \sin F' \\ F' \cos F' \\ G' \sin G' \\ G' \cos G' \\ \frac{q' \sin \pi'' \operatorname{tg} \frac{1}{2} q}{\cos q} \\ \frac{\phi \sin \pi'' \operatorname{tg} \frac{1}{2} q}{\cos q} \\ H \sin H' \\ H \cos H' \\ K \sin K' \\ K \cos K' \end{aligned}} \right\} 11)$$

wobei t in mittleren Sonnentagen von der Zeit der Epoche an zu zählen ist.
Dann ist:

$$\left. \begin{aligned}
 \frac{\cos \delta \partial \alpha}{\partial L_0} &= \frac{r}{J} A F \sin (F' + A' + u) \\
 \frac{\partial \delta}{\partial L_0} &= \frac{r}{J} B F \sin (F' + B' + u) \\
 \frac{\cos \delta \partial \alpha}{\partial \mu} &= \frac{r}{J} A G \sin (G' + A' + u) \\
 \frac{\partial \delta}{\partial \mu} &= \frac{r}{J} B G \sin (G' + B' + u) \\
 \frac{\cos \delta \partial \alpha}{\partial \phi} &= \frac{r}{J} A H \sin (H' + A' + u) \\
 \frac{\partial \delta}{\partial \phi} &= \frac{r}{J} B H \sin (H' + B' + u) \\
 \frac{\cos \delta \partial \alpha}{\partial q} &= \frac{r}{J} A K \sin (K' + A' + u) \\
 \frac{\partial \delta}{\partial q} &= \frac{r}{J} B K \sin (K' + B' + u) \\
 \frac{\cos \delta \partial \alpha}{\sin i \partial \varrho} &= \frac{r}{J} \operatorname{tg} \frac{1}{2} i \cos (\alpha - \varrho + u) \\
 \frac{\partial \delta}{\sin i \partial \varrho} &= - \frac{r}{J} \{ \sin (\alpha - \varrho + u) \sin \delta \operatorname{tg} \frac{1}{2} i + \cos u \cos \delta \} \\
 \frac{\cos \delta \partial \alpha}{\partial i} &= - \frac{r}{J} \sin u \cos (\alpha - \varrho) \sin i \\
 \frac{\partial \delta}{\partial i} &= \frac{r}{J} \{ \sin (\alpha - \varrho) \sin \delta \sin i + \cos \delta \cos i \} \sin u .
 \end{aligned} \right\} \quad \text{III)}$$

Bei Bahnen periodischer Kometen kurzer Umlaufszeit:

Die Formeln I) werden ungeändert benützt und ebenso die Bestimmung von F , F' und G , G' ; dagegen hat man zu setzen:

$$\left. \begin{aligned}
 P \sin P' &= \frac{a}{r} \cos q \cos r \\
 P \cos P' &= \frac{\sin r}{\cos q} (2 + e \cos r)
 \end{aligned} \right\} \quad \text{II)}$$

dann wird:

$$\left. \begin{aligned}
 \frac{\cos \delta \partial \alpha}{\partial M_0} &= \frac{r}{J} A P \sin (P' + A' + u) \\
 \frac{\partial \delta}{\partial M_0} &= \frac{r}{J} B P \sin (P' + B' + u) \\
 \frac{\cos \delta \partial \alpha}{\partial \mu} &= \frac{r}{J} A G \sin (G' + A' + u) \\
 \frac{\partial \delta}{\partial \mu} &= \frac{r}{J} B G \sin (G' + B' + u) \\
 \frac{\cos \delta \partial \alpha}{\partial q} &= \frac{r}{J} A P \sin (P' + A' + u) \\
 \frac{\partial \delta}{\partial q} &= \frac{r}{J} B P \sin (P' + B' + u) \\
 \frac{\cos \delta \partial \alpha}{\partial \pi} &= \frac{r}{J} A \sin (A' + u) \\
 \frac{\partial \delta}{\partial \pi} &= \frac{r}{J} B \sin (B' + u)
 \end{aligned} \right\} \quad \text{III)}$$

Die Formeln für $\partial \varrho$ und ∂i bleiben ungeändert.

Werden die Neigungen gegen die Fundamentalebene verschwindend klein, so wird man mit den obigen Formeln für δQ nicht ausreichen, man wird ähnlich wie in der Störungsrechnung (pag. 223) die Elemente

$$\sin i \sin Q \quad \text{und} \quad \sin i \cos Q$$

eingeführen; doch gehe ich auf diese Formeln hier nicht näher ein, weil man von denselben wohl niemals Gebrauch machen wird.

Die vorstehend entwickelten Formeln bedürfen noch zweier Zusätze; man erhält, wenn man von den Formeln für Planetenbahnen Gebrauch macht, nicht die Elemente λ und e , sondern die dieselben ersetzenden Grössen φ und ψ ; man muss daher den Einfluss kennen, den die Aenderungen der letzteren Grössen auf die ersteren ausüben; hierbei wird es aber nicht zweckmässig sein, sich auf die differentiellen Verhältnisse zu beschränken, da eben die Aenderungen von φ und ψ in λ durch die im Allgemeinen geringe Excentricität dividirt erscheinen. Die strengen Formeln ergeben sich leicht auf folgendem Wege. Es ist:

$$\begin{aligned} e \sin \lambda &= e_0 \sin \lambda_0 + \delta \varphi \\ e \cos \lambda &= e_0 \cos \lambda_0 + \delta \psi, \end{aligned}$$

woraus unmittelbar folgt:

$$\begin{aligned} e \sin (\lambda - \lambda_0) &= \delta \varphi \cos \lambda_0 - \delta \psi \sin \lambda_0 \\ e \cos (\lambda - \lambda_0) &= e_0 + \delta \varphi \sin \lambda_0 + \delta \psi \cos \lambda_0; \end{aligned} \quad \left. \vphantom{\begin{aligned} e \sin (\lambda - \lambda_0) \\ e \cos (\lambda - \lambda_0) \end{aligned}} \right\} \quad \text{15)}$$

setzt man daher:

$$\begin{aligned} \delta \varphi &= n \sin N \\ \delta \psi &= n \cos N, \end{aligned} \quad \left. \vphantom{\begin{aligned} \delta \varphi \\ \delta \psi \end{aligned}} \right\} \quad \text{IV)}$$

so ist:

$$\tan (\lambda - \lambda_0) = \tan \delta \lambda = \frac{n \sin (N - \lambda_0)}{e_0 + n \cos (N - \lambda_0)},$$

welche Formel der strenge Ausdruck der gesuchten Aenderung ist. Die Grösse n erscheint hierbei im Bogenmaasse; macht man daher von der bekannten Reihenentwicklung (vergl. I. pag. 28) Gebrauch und setzt:

$$\frac{n}{\sin q_0} = p, \quad \text{V)}$$

so ist:

$$\delta \lambda = p \sin (N - \lambda_0) + \frac{1}{2} p^2 \sin 1'' \sin 2 (N - \lambda_0) + \frac{1}{3} p^3 (\sin 1''^2 \sin 3 (N - \lambda_0) + \dots \quad \text{VI)}$$

Multiplieirt man die Gleichungen 15) beziehungsweise mit $\sin \frac{1}{2} (\lambda - \lambda_0)$ und $\cos \frac{1}{2} (\lambda - \lambda_0)$ und addirt, so erhält man leicht:

$$e - e_0 = \frac{\sin \frac{1}{2} (\lambda + \lambda_0)}{\cos \frac{1}{2} (\lambda - \lambda_0)} \delta \varphi + \frac{\cos \frac{1}{2} (\lambda - \lambda_0)}{\cos \frac{1}{2} (\lambda - \lambda_0)} \delta \psi,$$

oder mit Einführung des Werthes N :

$$e - e_0 = \frac{n \cos \frac{1}{2} (N - \frac{1}{2} (\lambda + \lambda_0))}{\cos \frac{1}{2} (\lambda - \lambda_0)} = \delta e \quad \text{VII)}$$

Um aber δc auf q zu übertragen, kann man consequenter Weise sich auf die ersten Potenzen von δc beschränken und man hat dann:

$$\delta q = \frac{\mathcal{J}^c}{\cos q_0} . \quad \text{VIII}$$

Ein weiterer Zusatz resultirt daraus, dass die gefundenen Aenderungen sich auf äquatorale Elemente beziehen und eine Uebertragung auf die Aenderungen der ekliptikalen Elemente erwünscht ist. Zu diesem Zwecke wird es angemessen sein, zunächst die diesbezüglichen Differentialformeln der sphärischen Trigonometrie zu entwickeln.

Geht man von den beiden Gleichungen aus:

$$\sin a \sin C = \sin c \sin A$$

$$\cos a \sin C = \cos A \sin B + \sin A \cos B \cos c$$

und differentiiert nach allen Grössen, so erhält man, da

$$\cos A \cos B - \sin A \sin B \cos c = - \cos C$$

ist,

$$- \sin C \sin a \cdot da + \cos a \cos C dC = - \cos C dB - \sin B \sin A - \cos A \cos B \cos c dA \\ - \sin A \cos B \sin c dc ,$$

$$\sin C \cos a da + \sin a \cos C dC = \sin c \cos A dA + \sin A \cos c dc .$$

Multiplieirt man die erste Gleichung mit $-\sin a$, die zweite mit $\cos a$ und addirt, so wird, wenn man beachtet, dass

$$\sin A \cos B \sin c \sin a + \cos c \cos a = \sin A \cos b$$

ist, jetzt:

$$\sin C da = \sin a \cos C dB + \cos b \sin A dc$$

$$+ dA \{ \sin B \sin A \sin a - \cos A \cos B \cos c \sin a + \cos A \sin c \cos a \} .$$

Der letzte Coëfficient ist aber $\sin b$; denn setzt man im ersten Gliede:

$$\sin a \sin B = \sin b \sin A ,$$

und im zweiten Gliede:

$$\sin a \cos B = \cos b \sin c - \cos c \sin b \cos A ,$$

so wird derselbe geschrieben werden können:

$$\sin b - \sin b \cos A^2 + \cos A \sin c \cos a - \cos b \cos c + \cos A^2 \cos c^2 \sin b ;$$

beachtet man noch die Relation:

$$\cos a - \cos b \cos c = \sin b \sin c \cos A ,$$

so erhält unmittelbar die eben aufgestellte Behauptung.

Man hat also:

$$\sin C da = \sin a \cos C dB + \sin b dA + \sin A \cos b dc ,$$

eine Formel, die man selten angeführt findet.

Andererseits resultirt aus der Formel:

$$\cos A = \sin B \sin C \cos a - \cos B \cos C$$

durch Differentiation:

$$- \sin A dA = \cos B \sin C \cos a + \sin B \cos C dB \\ + \sin B \cos C \cos a + \cos B \sin C dC \\ - \sin B \sin C \sin a da ,$$

Es ist aber

$$\begin{aligned}\cos B \sin C \cos a + \sin B \cos C &= \sin A \cos c \\ \sin B \cos C \cos a + \cos B \sin C &= \sin A \cos b \\ \sin B \sin a &= \sin A \sin b .\end{aligned}$$

somit

$$d A = - \cos c d B - \cos b d C + \sin b \sin C d a .$$

Betrachtet man nun das sphärische Dreieck zwischen der Ekliptik, dem Aequator und der Bahnlage, wobei der Bogen zwischen dem Aequator und der Ekliptik, welcher durch die Uebertragung der ekliptikalischen Elemente auf den Aequator (vergl. I. pag. 9 ff.) bekannt ist, mit σ bezeichnet werden möge, setzt im Falle der Anwendung der ersten Formeln:

$$\begin{aligned}a &= \varrho & A &= 180 - i' \\ b &= \sigma & B &= \varepsilon \\ c &= \varrho' & C &= i\end{aligned}$$

im zweiten Falle:

$$\begin{aligned}a &= \sigma & A &= \varepsilon \\ b &= \varrho & B &= 180 - i' \\ c &= \varrho' & C &= i .\end{aligned}$$

und beachtet, dass die Variation von ε der Null gleich zu setzen ist, so erhält man die folgenden Formeln, denen ich sogleich auch die aus den zweiten Differentialformeln folgende Variation von i beigelegt habe, die sich ergibt, wenn man:

$$\begin{aligned}a &= \varrho' & A &= i \\ b &= \sigma & B &= \varepsilon \\ c &= \varrho & C &= 180 - i\end{aligned}$$

setzt

$$\begin{aligned}\sin i d \varrho &= \cos \sigma \sin i' d \varrho' - \sin \sigma d i' \\ \sin i d \sigma &= \sin \varepsilon \cos \varrho d \varrho' - \sin \sigma \cos i d i' \\ d i &= \sin \sigma \sin i' d \varrho' + \cos \sigma d i' .\end{aligned}$$

Diese Formeln lassen sich noch zweckmässig transformiren.

Setzt man nämlich:

$$\begin{aligned}\sin i' d \varrho' &= p \sin P \\ d i' &= p \cos P ,\end{aligned}$$

so erscheint im ersten Ausdrucke jene Grösse, die durch die obigen Formeln als Unbekannte erhalten wird und es ist:

$$\begin{aligned}d \varrho &= \frac{p}{\sin i} \sin P - \sigma \\ d i &= p \cos P - \sigma' ;\end{aligned}$$

beachtet man, dass nach einer Fundamentalrelation der sphärischen Trigonometrie, wenn man das Dreieck zwischen der Bahn, der Ekliptik und dem Aequator betrachtet, die Gleichung gilt:

$$\sin \epsilon \cos \varrho = -\cos i' \sin i + \sin i' \cos i \cos \sigma ,$$

so erhält der Ausdruck für $d\sigma$ die Form:

$$d\sigma = \cotg i \cdot p \sin (P - \sigma) - \cos i' d\varrho' .$$

Zu Folge der Relationen $\omega = \pi - \varrho = \omega' - \sigma = \pi' - \varrho' - \sigma$ wird jetzt:

$$d\pi = d\pi' - d\varrho' - d\sigma + d\varrho .$$

Man hat also:

$$d\pi = d\pi' - 2 \sin^2 \frac{1}{2} i' d\varrho' + p \sin (P - \sigma) \left\{ \frac{1}{\sin i} - \frac{1}{\tg i} \right\}$$

oder

$$d\pi = d\pi' + p \tg \frac{1}{2} i \sin (P - \sigma) - \tg \frac{1}{2} i' \sin i' d\varrho' .$$

Hierzu kommt noch, da:

$$L = \pi + M$$

$$L' = \pi' + M$$

ist, die weitere Relation:

$$L = L' + \pi - \pi'$$

woraus

$$dL = dL' + p \tg \frac{1}{2} i \sin (P - \sigma) - \tg \frac{1}{2} i' \sin i' d\varrho'$$

folgt.

Die gesammten Formeln für diese Uebertragung sind demnach die folgenden, wenn man wieder die Differentiation durch Variation ersetzt:

$$\left. \begin{aligned} p \sin P &= \sin i' \delta \varrho' \\ p \cos P &= \delta i' \\ \delta i &= p \cos (P - \sigma) \\ \delta \varrho &= \frac{p}{\sin i} \sin (P - \sigma) \\ \delta \pi &= p \tg \frac{1}{2} i \sin (P - \sigma) - \tg \frac{1}{2} i' \sin i' \delta \varrho' \\ \delta \pi &= \delta \pi' + \delta \pi \\ \delta L &= \delta L' + \delta \pi . \end{aligned} \right\} \quad \text{IX}$$

Will man aber, was vielleicht weniger bequem ist, Alles durch $\sin i' d\varrho'$ und $d i'$ ausgedrückt erhalten, so hätte man zu schreiben:

$$\left. \begin{aligned} \delta i &= \cos \sigma \delta i' + \sin \sigma (\sin i' \delta \varrho') \\ \delta \varrho &= -\frac{\sin \sigma}{\sin i} \delta i' + \frac{\cos \sigma}{\sin i} (\sin i' \delta \varrho') \\ \delta \pi &= -\sin \sigma \tg \frac{1}{2} i \delta i' + (\cos \sigma \tg \frac{1}{2} i - \tg \frac{1}{2} i' \sin i' \delta \varrho') \\ \delta \pi &= \delta \pi' + \delta \pi \\ \delta L &= \delta L' + \delta \pi . \end{aligned} \right\} \quad \text{X)$$

§ 1. Entwicklung der Differentialquotienten von r und r' nach den Elementen in nahezu parabolischen Bahnen.

Die im vorstehenden Paragraphen für die Ellipse entwickelten Differentialquotienten von r und r' nach den Elementen sind für parabolische und hyperbolische Bahnen nicht anwendbar und werden selbst in Ellipsen, die sich wenig von der Parabel unterscheiden, bei der Rechnung höchst beschwerlich und unsicher. Der zuerst hervorgehobene Nachtheil der Beschränkung lässt sich aber durch eine geeignete Wahl der willkürlichen Constanten Elemente umgehen, und es werden leicht Formeln erlangt werden, die reell bleiben für jede Kegelschnittsgattung; ich werde diese Formeln aus den obigen für die Ellipse hergestellten Relationen ableiten, was gestattet ist, da die für die Ellipse gefundenen Formen sich von jenen für die Hyperbel nur dadurch unterscheiden, dass gewisse Grössen in der letzteren imaginär werden; da aber die Imaginären denselben Rechnungsoperationen, wie die Reellen, unterworfen werden dürfen, im Endresultate aber das Imaginäre eliminirt erscheint, so führt der eingeschlagene Vorgang auf richtige Resultate. Es war oben (pag. 387) gefunden worden:

$$\left. \begin{aligned} \delta r &= \frac{a^2}{r^2} \cos q \delta M_0 + t \delta \mu + (2 + \sin q \cos e \frac{\sin r}{\cos q}) \delta q \\ \delta r' &= a \operatorname{tg} q \sin r \delta M_0 + \left(t \cdot a \operatorname{tg} q \sin r - \frac{2r}{3\mu} \right) \delta \mu - a \cos q \cos r \delta q \end{aligned} \right\} \quad (1)$$

Führt man statt der Elemente M_0 , μ und q die Elemente T die Zeit des Periheldurchganges, q der Perihelabstand und e die Excentricität ein, so hat man zunächst:

$$\begin{aligned} M_0 &= t - T - \mu \quad , \quad a = \frac{q}{1-e} \quad , \quad \delta \mu = -\frac{3}{2} k \frac{\delta a}{a^2} \\ \delta M_0 &= -\mu \delta T \quad , \quad \delta a = \frac{\delta q}{1-e} + \frac{q}{1-e^2} \delta e \quad , \quad \delta e = \cos q \delta q \quad , \\ \mu_0 &= \frac{k}{a^{\frac{3}{2}}} \quad , \quad p = q(1+e) \quad . \end{aligned}$$

Transformirt man mit Hilfe dieser Relationen die Ausdrücke 1, so erhält man nach einigen leicht ersichtlichen Umsetzungen die Relationen:

$$\left. \begin{aligned} \delta r &= -\frac{k}{r^2} \left\{ \frac{q}{1+e} \delta T - \frac{3}{2} \frac{t-T-k}{r^2} \right\} \frac{1+e}{q} \delta q \\ &\quad + \left\{ \left[1 + \frac{q}{r} \frac{1+e}{1+e} \right] \sin r - \frac{3}{2} \frac{t-T-k}{r^2} (1+e)^{\frac{3}{2}} \right\} q \left\{ \frac{\delta e}{1-e^2} \right. \\ \delta r' &= -\frac{k e \sin r}{1+e} \delta T + \left\{ \frac{r}{q} - \frac{3}{2} \frac{t-T-k}{q^2} \cdot \frac{e \sin r}{1+e} \right\} \delta q \\ &\quad \left. + \left\{ r - q \cos r - \frac{3}{2} \frac{t-T-k}{1+e} \right\} \frac{\delta e}{1-e} \right\} \quad (2) \end{aligned}$$

Das Formelsystem 2 erscheint nunmehr von der Gattung des Kegelschnittes unabhängig und würde in der That in jeder Beziehung sehr vorthellhaft sein, wenn nicht gerade in jenen Fällen, in denen man diese Formeln in Anwendung zieht, die

Bahnen einen nahezu parabolischen Charakter hätten, da sich in diesem Falle e nur wenig von der Einheit unterscheiden kann, so erhalten die Differentialquotienten von $\frac{dr}{de}$ und $\frac{dr}{dq}$ wegen des Nenners $1 - e$ eine für die numerische Anwendung sehr unsichere Form, für die Parabel selbst bleiben diese Differentialquotienten durch die obigen Ausdrücke völlig unbestimmt, weil dieselben nothwendig die unbestimmte Form $0 \cdot \infty$ erhalten müssen. Man wird also im Falle der Parabel nothwendig die Relationen haben:

$$r - q \cos v = \frac{3}{2} \frac{t - T}{1 + e} \frac{k \sin v}{q} \\ \left[1 + \frac{q(1+e)}{r} \right] \sin v = \frac{3}{2} \frac{t - T}{r^2} \frac{k}{(1+e)^{\frac{3}{2}}} \frac{1}{q}$$

wobei natürlich e der Einheit gleich gesetzt werden muss; thut man dies, so wird sich zunächst durch die erstere Relation der Coefficient von $\frac{\partial r}{\partial q}$ für die Parabel wesentlich vereinfachen lassen; man erhält nach einigen leichten Substitutionen sofort:

$$\frac{\partial r}{\partial q} = \cos v \quad 3$$

wodurch der etwas complicirtere Coefficient von $\frac{\partial r}{\partial q}$ eine sehr einfache Gestalt im Specialfalle der Parabel annimmt. Der Coefficient von $\frac{\partial r}{\partial q}$ ist in den Formeln 2) in einer für die logarithmische Rechnung bequemen und sicheren Form enthalten, man kann aber für die Parabel mit Rücksicht auf die obige 2. Relation $e = 1$ gesetzt) denselben auch die Form geben:

$$\frac{\partial r}{\partial q} = - \left(1 + \frac{\cos v}{2} \right) \frac{\sin v}{q} \quad 4)$$

welcher Ausdruck für die Parabel bei der Anwendung von Additionslogarithmen vielleicht noch bequemer erscheint, als der obige in 2) enthaltene Ausdruck.

Die für die Parabel hier näher ausgeführten Andeutungen geben deutlich den Weg an, den man bei der weiteren Verwerthung der Formeln 2) für die Rechnung einschlagen muss. Die erste Aufgabe wird demnach sein, die Differentialquotienten von ∂e von ihrer unbestimmten Form zu befreien und die zweite, unter Beibehaltung der für $\frac{\partial r}{\partial q}$ für die Parabel gefundenen Form die Correction für die von der Parabel abweichenden Bahnen zu suchen; eine ähnliche Transformation der Formel 4) würde bei der ohnehin so bequemen strengen Form keine Vortheile bieten.

Die erstere Aufgabe ist in völliger Strenge, so weit mir bekannt, noch nicht gelöst worden, den Fall der Parabel ausgenommen; man hat sich begnügt mit mehr oder minder genauen Annäherungen; da aber die Abschätzung der dadurch begangenen Fehler einigermaassen schwierig ist, so habe ich unter zu Grundelegung des Gauss'schen Verfahrens zur Bestimmung der wahren Anomalie in sehr excentrischen Bahnen (I pag. 60 ff.) strenge Ausdrücke entwickelt, und hiermit die der Lösung der

Aufgabe entgegenstehenden Hindernisse definitiv beseitigt; die hierfür nöthigen Hilfstafeln hat Herr F. K. Ginzel auf mein Ersuchen berechnet und dieselben sind in der angehängten Tafelsammlung als Tafel XVI aufgenommen.

Ich nehme vorerst die Entwicklung des Ausdruckes $\frac{dr}{dc}$ vor und beziehe mich durchaus auf die Formeln und Bezeichnungen, die im ersten Bande des vorliegenden Werkes pag. 60 u. ff. bei der Auseinandersetzung der Gauss'schen Methode bewiesen und angewendet wurden. Setzt man:

$$\theta = \frac{1-e}{1+e} \operatorname{tg} \frac{1}{2} e^2 \quad 5)$$

so wird sein:

$$r = \frac{q}{\cos^2 \frac{1}{2} e (1+\theta)}$$

und hiermit wird das erste Glied im Klammerausdrucke für $\frac{dr}{dc}$ sich schreiben lassen:

$$\left(1 + \frac{q(1+e)}{r}\right) \sin e = \sin e + (1+e)(1+\theta) \cos \frac{1}{2} e^2 \sin e \quad 6)$$

Für die Bestimmung des zweiten Theiles ziehe ich die folgenden am citirten Orte entwickelten Relationen heran. es ist:

$$\frac{k(t-T)}{2Bq^{\frac{3}{2}}} \sqrt{\frac{1+9e}{5}} = \operatorname{tg} \frac{1}{2} w + \frac{1}{3} \operatorname{tg} \frac{1}{2} w^3$$

$$\operatorname{tg} \frac{1}{2} e = \delta C \operatorname{tg} \frac{1}{2} w = \sqrt{\frac{5(1+e)}{1+9e}} C \operatorname{tg} \frac{1}{2} w$$

man erhält also für den zweiten Theil ohne Rücksicht auf das negative Vorzeichen:

$$3(1+e) \frac{B}{C} \cos \frac{1}{2} e^2 (1+\theta)^2 \left\{ \operatorname{tg} \frac{1}{2} e + \frac{1}{3} \frac{\operatorname{tg}^3 \frac{1}{2} e^3}{e^2 C^2} \right\}$$

oder:

$$\sin e \frac{1+e}{2} \cdot \frac{B}{\delta^2 C^3} (1+\theta)^2 + \sin e \cos \frac{1}{2} e^2 \left\{ \frac{3}{2} (1+e) \frac{B}{C} (1+\theta)^2 - \frac{1+e}{2} \frac{B}{\delta^2 C^3} (1+\theta)^2 \right\} \quad 7)$$

Vereinigt man nun die Resultate aus 6) und 7), so erhält man mit Rücksicht auf 2) sofort:

$$\frac{dr}{dc} = \sin e \left\{ 1 + \frac{1+e}{2\delta^2 C^3} \frac{B}{1+e} (1+\theta)^2 + \frac{\cos \frac{1}{2} e^2}{1+e} \left[(1+\theta) + \frac{B(1+\theta)^2}{2\delta^2 C^3} - \frac{3}{2} \frac{B}{C} (1+\theta)^2 \right] \right\} \quad 8)$$

Dieser Ausdruck kann als Ausgangspunkt für Reihenentwicklungen dienen, die nach steigenden Potenzen von θ fortschreiten, wobei zu beachten ist, dass θ eine Grösse von der Ordnung $1-e$ ist.

Die Reihen für $\frac{B}{C} (1+\theta)^2$ und $\frac{B}{C^3} (1+\theta)^2$ können mit Rücksicht auf die I pag. 61 u. ff. gemachten Entwicklungen leicht genug aufgestellt werden; es ist nämlich daselbst gesetzt worden:

$$A = \frac{15}{9} \frac{a-\beta}{a+\beta}, \quad B = \frac{9a+\beta}{20(1-A)}, \quad C = \frac{A}{\theta}$$

und die Reihen für diese Ausdrücke sind:

$$\begin{aligned} 15(\alpha - \beta = 20) \sqrt{\theta} & \left\{ \theta - \frac{6}{5} \theta^2 + \frac{9}{7} \theta^3 - \frac{12}{9} \theta^4 + \dots \right\} \\ 9\alpha + \beta = 20 & \sqrt{\theta} \left\{ 1 - \frac{6}{15} \theta + \frac{7}{25} \theta^2 - \frac{8}{35} \theta^3 + \dots \right\} \end{aligned}$$

in welche Reihen das Fortschreitungs-gesetz klar ist. Die Verwerthung dieser Ausdrücke für den vorgelegten Zweck ergibt leicht:

$$\frac{B}{C} = \frac{9\alpha + \beta}{20\sqrt{\theta}}, \quad \frac{B}{C^3} = \frac{(9\alpha + \beta)A}{20\theta\sqrt{\theta}} = \frac{15(\alpha - \beta)}{20\theta\sqrt{\theta}}$$

es ist also:

$$\frac{B}{C} = 1 - \frac{6}{15} \theta + \frac{7}{25} \theta^2 - \frac{8}{35} \theta^3 + \dots = \sum_{n=0}^{n=\infty} (-1)^n \frac{n+5}{5} \theta^{n+1} \quad (9)$$

$$\frac{B}{C^3} = 1 - \frac{6}{5} \theta + \frac{9}{5} \theta^2 - \frac{12}{9} \theta^3 + \dots = \sum_{n=0}^{n=\infty} (-1)^n \frac{3n+4}{2n+3} \theta^{n+1} \quad (10)$$

Multiplieirt man nun die eben hingeschriebenen Ausdrücke mit $(1 + \theta)^2$, so findet sich leicht:

$$\frac{B}{C} (1 + \theta)^2 = 1 + \frac{8}{5} \theta + \frac{36}{5} \sum_{n=2}^{n=\infty} \frac{(-1)^n \theta^n}{2n-3} = 1 + \frac{n}{2n+1} \theta^{n+1} \quad (11)$$

und

$$\frac{B}{C^3} (1 + \theta)^2 = 1 + 12 \sum_{n=1}^{n=\infty} \frac{(-1)^n \theta^n}{2n-1} = 1 + 12 \sum_{n=2}^{n=\infty} \frac{(-1)^n \theta^{n-1}}{2n-3} = 1 + \frac{n-1}{2n+1} \theta^{n+1} \quad (12)$$

Hiermit sind also jene Reihenentwickelungen gegeben, deren man zur weiteren Umgestaltung des Ausdruckes 8) bedarf; in demselben wird man aber noch weiter einführen:

$$\left. \begin{aligned} \frac{1}{\theta^2} &= \frac{1+9e}{5(1+e)} = 1 - \frac{4(1-e)}{5(1+e)} \\ \frac{1+e}{2\theta^2} &= \frac{1+9e}{10} = 1 - \frac{9}{10}(1-e) \end{aligned} \right\} \quad (13)$$

Mit Rücksicht auf 12) und 13) wird man in dem ersten Gliede in der Klammer des Ausdruckes 8) schreiben dürfen:

$$\begin{aligned} \frac{1+e}{2\theta^2} \frac{B}{C^3} (1+\theta)^2 &= 1 + 12 \sum_{n=1}^{n=\infty} \frac{(-1)^n \theta^n}{2n-1} = \\ &= \frac{9}{10} (1-e) \left\{ 1 + 12 \sum_{n=2}^{n=\infty} \frac{(-1)^n \theta^{n-1}}{2n-3} = 1 + \frac{n-1}{2n+1} \theta^{n+1} \right\} \quad (14) \end{aligned}$$

in diesem Ausdruck kann aber zu Folge 5) pag. 308 gesetzt werden:

$$\sum_{n=1}^{n=\infty} \frac{(-1)^n \theta^n}{2n-1} = \frac{1-e}{1+e} \operatorname{tg} \frac{1}{2} e^2 \sum_{n=1}^{n=\infty} \frac{(-1)^n \theta^{n-1}}{2n-1} = \frac{n-1}{2n+1} \theta^{n+1}$$

Wegen

$$\frac{1}{1+e} = \frac{1}{2} + \frac{1-e}{2(1+e)}$$

ist

$$\sum_{n=0}^{\infty} \frac{(-1)^n \theta^n}{2n+1} = \frac{1-e}{2} \operatorname{tg} \frac{1}{2} e^2 \left\{ 1 - 15 \sum_{n=0}^{\infty} \frac{(-1)^n \theta^{n+1}}{(2n+1)(2n+3)} \right\} -$$

$$- \frac{1-e}{2} \sum_{n=0}^{\infty} \frac{(-1)^n \theta^{n+1}}{(2n+3)(2n+1)(2n+5)}.$$

Subtrahirt man den Ausdruck (15) mit Rücksicht auf die eben gemachten Transformationen von der Einheit, so wird erhalten:

$$1 - \frac{1+e}{2\theta^2} \frac{B}{e^3} (1+\theta)^2 = \frac{2}{3} (1-e) \operatorname{tg} \frac{1}{2} e^2 \left\{ 1 - 15 \sum_{n=0}^{\infty} \frac{(-1)^n \theta^{n+1}}{(2n+1)(2n+3)} \right\} + \left\{ \right.$$

$$\left. + \frac{9}{10} (1-e) + \frac{24}{5} (1-e) \sum_{n=2}^{\infty} \frac{(-1)^n \theta^{n+1}}{(2n-3)(2n-1)(2n+1)} \right\} \quad (15)$$

dividirt man nun diesen Ausdruck durch $(1-e)(1+e)$, so wird das erste Glied des Klammerausdruckes 8₁, welches ich der Kürze halber mit 1 bezeichne, geschrieben werden dürfen:

$$1 = \frac{1}{1+e} \left\{ \frac{9}{10} + \frac{24}{5} \sum_{n=2}^{\infty} \frac{(-1)^n \theta^{n+1}}{(2n-3)(2n-1)(2n+1)} - \right.$$

$$\left. - \frac{2}{3} \operatorname{tg} \frac{1}{2} e^2 \left(1 - 15 \sum_{n=0}^{\infty} \frac{(-1)^n \theta^{n+1}}{(2n+1)(2n+3)} \right) \right\} \quad (16)$$

Das zweite Glied des Ausdruckes 8₁ kann in ähnlicher Weise transformirt werden: es ist, wenn man die eben angewendeten Principien auf die 3 Glieder des zweiten Ausdruckes in 8₁ anwendet und die Glieder einzeln hinschreibt:

$$1 + \theta = 1 + \theta$$

$$\frac{B(1+\theta)^2}{2\theta^2 e^3} = \frac{1}{2} + \frac{2}{5} \theta - 6 \sum_{n=0}^{\infty} \frac{(-1)^n \theta^n}{(2n+1)(2n+3)} -$$

$$- \frac{2}{3} \frac{1-e}{1+e} \left\{ 1 + 12 \sum_{n=2}^{\infty} \frac{(-1)^n \theta^{n+1}}{(2n-3)(2n-1)(2n+1)} \right\}$$

$$- \frac{3}{2} \frac{B}{e} (1+\theta)^2 = -\frac{3}{2} - \frac{1}{5} \theta - \frac{54}{5} \sum_{n=2}^{\infty} \frac{(-1)^n \theta^n}{(2n-3)(2n-1)(2n+1)}$$

die Addition ergibt rechter Hand:

$$= \theta \left\{ 1 + \frac{24}{5} \sum_{n=2}^{\infty} \frac{(-1)^n (n+3) \theta^{n+1}}{(4n^2-9)(4n^2-1)} \right\} - \frac{2}{3} \frac{1-e}{1+e} \left\{ 1 + 12 \sum_{n=2}^{\infty} \frac{(-1)^n \theta^{n+1}}{(2n-3)(2n-1)(2n+1)} \right\}$$

führt man nun für θ den Werth $\frac{1-e}{1+e} \operatorname{tg} \frac{1}{2} e$ ein, so wird das zweite Glied in 8₁ geschrieben werden dürfen:

$$A1 = - \frac{\cos \frac{1}{2} e^2}{1+e} \left\{ \operatorname{tg} \frac{1}{2} e^2 \left\{ 1 + \frac{24}{5} \sum_{n=2}^{\infty} \frac{(-1)^n (n+3) \theta^{n+1}}{(4n^2-9)(4n^2-1)} \right\} + \right.$$

$$\left. + \frac{2}{3} \left\{ 1 + 12 \sum_{n=2}^{\infty} \frac{(-1)^n \theta^{n+1}}{(2n-3)(2n-1)(2n+1)} \right\} \right\} \quad (17)$$

Denkt man sich $\frac{\partial r}{\partial e}$ geschrieben in der Form:

$$\frac{\partial r}{\partial e} = \frac{\sin r \cos \frac{1}{2} r^2}{2(1+e)} \left\{ \frac{2(1+e)}{\cos \frac{1}{2} r^2} + \frac{2(1+e) \Pi}{\cos \frac{1}{2} r^2} \right\}$$

so wird man 16) und 17) mit $\frac{2(1+e)}{\cos \frac{1}{2} r^2}$ zu multipliciren haben; in 17) kürzt sich dann der gemeinschaftliche Factor $\cos \frac{1}{2} r^2$ im Zähler und Nenner ab, in 16) denkt man sich die Multiplicationen mit dem identischen Werthe $2(1+e)/(1+\operatorname{tg} \frac{1}{2} r^2)$ durchgeführt; man erhält so vorerst:

$$\begin{aligned} \frac{\partial r}{\partial e} = \frac{\sin r \cos \frac{1}{2} r^2}{2(1+e)} & \left\{ \frac{9}{5} + \frac{48}{5} \sum_{n=2}^{\infty} \frac{(-1)^n \theta^{n-1}}{2n-3 \cdot 2n-1 \cdot 2n+1} - \frac{4}{5} - \frac{48}{5} \sum_{n=2}^{\infty} \frac{(-1)^n \theta^{n-1}}{2n-3 \cdot 2n-1 \cdot 2n+1} \right. \\ & - \operatorname{tg} \frac{1}{2} r^2 \left[2 + \frac{48}{5} \sum_{n=2}^{\infty} \frac{(-1)^n \cdot 7n+3 \cdot \theta^{n-1}}{4n^2-9 \cdot 4n^2-1} - \frac{9}{5} - \frac{48}{5} \sum_{n=2}^{\infty} \frac{(-1)^n \theta^{n-1}}{2n-3 \cdot 2n-1 \cdot 2n+1} + \right. \\ & \left. \left. + \frac{4}{5} - 12 \sum_{n=2}^{\infty} \frac{(-1)^n \theta^{n-1}}{2n-1 \cdot 2n+1 \cdot 2n+3} \right] \right. \\ & \left. - \operatorname{tg} \frac{1}{2} r^2 \left[\frac{4}{5} - 12 \sum_{n=2}^{\infty} \frac{(-1)^n \theta^{n-1}}{2n-1 \cdot 2n+1 \cdot 2n+3} \right] \right\} \end{aligned}$$

Vereinigt man nun die einzelnen numerischen Werthe und Reihen und setzt zur Abkürzung:

$$\left. \begin{aligned} E_2^r &= - \left\{ 1 + 12 \sum_{n=2}^{\infty} \frac{(-1)^n \theta^{n-1}}{2n-3 \cdot 2n-1 \cdot 2n+1} \right\} \\ E_1^r &= - \left\{ \frac{4}{5} - 12 \sum_{n=2}^{\infty} \frac{(-1)^n \theta^{n-1}}{2n-1 \cdot 2n+1 \cdot 2n+3} \right\} \end{aligned} \right\} \quad 18$$

so wird die schliessliche Berechnung des gesuchten Differentialquotienten enthalten sein in:

$$\frac{\partial r}{\partial e} = \frac{\sin r \cos \frac{1}{2} r^2}{2(1+e)} \left\{ 1 + E_2^r \operatorname{tg} \frac{1}{2} r^2 + E_1^r \operatorname{tg} \frac{1}{2} r^4 \right\} \quad 19$$

in welchem Ausdrücke die Coëfficienten E_2^r und E_1^r leicht in Tafeln mit dem Argumente θ gebracht werden können und für die Parabel beziehungsweise die Werthe -1 und $-\frac{4}{5}$ annehmen. Ehe ich jedoch daran gehe, die Construction und den Gebrauch der hierfür erforderlichen Tafeln zu erläutern, will ich die Entwicklungen für $\frac{\partial r}{\partial e}$ vornehmen. Es wird nicht nöthig sein, hierbei von dem in 2. enthaltenen Ausdrücke auszugehen, da durch die Differentiation der Relation:

$$r = \frac{q(1+e)}{1+e \cos r}$$

sich ergibt:

$$\frac{\partial r}{\partial e} = \frac{q}{1+e \cos r} \left\{ 1 - \frac{1+e \cos r}{1+e \cos r} \right\} + e \frac{q(1+e) \sin r}{(1+e \cos r)^2} \frac{\partial r}{\partial e}$$

oder

$$\frac{\partial r}{\partial e} = \frac{r^2 \sin r}{q(1+e)} \left\{ \operatorname{tg} \frac{1}{2} r + e(1+e) \frac{\partial r}{\partial e} \right\} \quad 20$$

so dass mit den bisher entwickelten Hilfsmitteln die Berechnung von $\frac{\partial r}{\partial e}$ keine

Schwierigkeiten mehr hat. Da sich aber für diesen Differentialquotienten eine dem Ausdrücke 19) (pag. 401) ähnliche Form herstellen lässt, deren Berechnung durch geeignet construirte Hilfstafeln sehr erleichtert werden kann, so werde ich zuerst die diesbezüglichen Transformationen vornehmen. Substituirt man in 20) (pag. 401) die Werthe nach 18) und 19) (pag. 401), nachdem man in 20) $\frac{\sin r \cos \frac{1}{2} r^2}{2}$ als gemeinschaftlichen Factor herausgehoben hat, wobei ist:

$$\frac{2 \operatorname{tg} \frac{1}{2} r}{\sin r \cos \frac{1}{2} r^2} = 1 + \operatorname{tg} \frac{1}{2} r^2 \cdot 2,$$

so erhält man leicht:

$$\begin{aligned} \frac{dr}{dv} = & \frac{r^2 \sin r^2 \cos \frac{1}{2} r^2}{2q(1+c)} \left\{ 1 + \frac{\operatorname{tg} \frac{1}{2} r^2}{1+c} \left[2 - r - 12c \sum_{n=2}^{n=\infty} \frac{-1^n \theta^{n-1}}{2n-3} \cdot \frac{1}{2n-1} \cdot \frac{1}{2n+1} \right] \right. \\ & \left. + \frac{\operatorname{tg} \frac{1}{2} r^4}{1+c} \left[1 - \frac{4}{3}r + 12c \sum_{n=2}^{n=\infty} \frac{-1^n \theta^{n-1}}{2n-1} \cdot \frac{1}{2n+1} \cdot \frac{1}{2n+3} \right] \right\} \end{aligned}$$

Es ist aber:

$$\frac{2-c}{1+c} = \frac{1}{2} + \frac{3}{2} \frac{1-c}{1+c}, \quad \frac{c}{1+c} = \frac{1}{2} - \frac{1-c}{2(1+c)}, \quad \frac{1-\frac{4}{3}c}{1+c} = \frac{1}{6} + \frac{9}{10} \frac{1-c}{1+c},$$

damit wird, wenn hier statt r geschrieben wird $\cos \frac{q}{2} r^2 = 1 + \theta$ (vergl. I pag. 61):

$$\begin{aligned} \frac{dr}{dv} = & \frac{r \sin r^2}{2(1+c)(1+\theta)} \left\{ 1 + \frac{3}{2}\theta + 6 \sum_{n=2}^{n=\infty} \frac{-1^n \theta^{n-1}}{2n-3} \cdot \frac{1}{2n-1} \cdot \frac{1}{2n+1} \right. \\ & \left. + \frac{1}{2} \operatorname{tg} \frac{1}{2} r^2 \left[1 + \frac{3}{2}\theta - 12 \sum_{n=2}^{n=\infty} \frac{-1^n \theta^{n-1}}{2n-3} \cdot \frac{1}{2n-1} \cdot \frac{1}{2n+1} - 12 \sum_{n=2}^{n=\infty} \frac{-1^n \theta^{n-1}}{2n-1} \cdot \frac{1}{2n+1} \cdot \frac{1}{2n+3} \right] \right. \\ & \left. + \frac{1}{10} \operatorname{tg} \frac{1}{2} r^4 \left[1 + 60 \sum_{n=2}^{n=\infty} \frac{-1^n \theta^{n-1}}{2n-1} \cdot \frac{1}{2n+1} \cdot \frac{1}{2n+3} \right] \right\} \quad (21) \end{aligned}$$

Nun ist aber nach 11) (pag. 300):

$$6 \sum_{n=2}^{n=\infty} \frac{-1^n \theta^{n-1}}{2n-3} \cdot \frac{1}{2n-1} \cdot \frac{1}{2n+1} = \frac{5}{6} \left\{ \frac{B}{C} - 1 + \theta^2 - 1 - \frac{5}{3}\theta \right\},$$

es ist also:

$$\frac{1}{1+\theta} \left\{ 1 + \frac{3}{2}\theta + 6 \sum_{n=2}^{n=\infty} \frac{-1^n \theta^{n-1}}{2n-3} \cdot \frac{1}{2n-1} \cdot \frac{1}{2n+1} \right\} = \frac{1}{6} + \frac{5}{6} \frac{B}{C} - 1 + \theta,$$

man erhält also durch 6) (pag. 300) für den von $\operatorname{tg} \frac{1}{2} r$ freien Coefficienten des Klammerausdruckes 21) für $\frac{dr}{dv}$, den ich mit I bezeichnen will:

$$I = \frac{1}{1+\theta} \left\{ \frac{1}{6} + \frac{5}{6} \sum_{n=2}^{n=\infty} \frac{-1^n (n+5)\theta^n}{5(2n+1)} + \frac{5}{6} \sum_{n=2}^{n=\infty} \frac{-1^n (n+5)\theta^{n+1}}{5(2n+1)} \right\},$$

oder:

$$I = \frac{1}{1+\theta} \left\{ 1 - \frac{5}{2} \sum_{n=1}^{n=\infty} \frac{-1^n \theta^n}{4n-1} \right\} \quad (22)$$

Für den Coëfficienten von $\frac{1}{2} \operatorname{tg} \frac{1}{2} v^2$ im Ausdrucke 21) pag. 402, der mit (II) bezeichnet werden soll, ergibt sich:

$$\frac{(II)}{1+\theta} = \frac{1}{1+\theta} \left(1 + \frac{2}{3}\theta - \frac{4}{3}\theta^2 - 12 \sum_{n=3}^{\infty} \frac{(-1)^n \theta^{n-1}}{(2n-3)(2n-1)(2n+1)} - 12 \sum_{n=2}^{\infty} \frac{(-1)^n \theta^n}{(2n-1)(2n+1)(2n+3)} \right)$$

oder:

$$\frac{(II)}{1+\theta} = 1 \quad . \quad 23$$

Schreibt man für den Coëfficienten von $\frac{1}{10} \operatorname{tg} \frac{1}{2} v^4$ in 21) pag. 402 das Symbol (III), so wird man haben:

$$\frac{(III)}{1+\theta} = \frac{1}{1+\theta} \left\{ 1 + 60 \sum_{n=2}^{\infty} \frac{(-1)^n \theta^{n-1}}{(2n-1)(2n+1)(2n+3)} \right\} .$$

Dieser Ausdruck lässt sich durch die folgende, leicht zu verificirende Relation umgestalten, es ist:

$$(1 + \theta) 2 \sum_{n=0}^{\infty} \frac{(-1)^n (n+1) \theta^n}{(2n+3)} = \frac{1}{5} - 12 \sum_{n=1}^{\infty} \frac{(-1)^n \theta^n}{(2n+1)(2n+3)(2n+5)} ,$$

es wird also zunächst sein:

$$1 + 60 \sum_{n=2}^{\infty} \frac{(-1)^n \theta^{n-1}}{(2n-1)(2n+1)(2n+3)} = 1 - 60 \sum_{n=1}^{\infty} \frac{(-1)^n \theta^n}{(2n+1)(2n+3)(2n+5)} .$$

also mit Rücksicht auf die obige Relation erhält man:

$$\frac{(III)}{1+\theta} = 5 (1 + \theta) \sum_{n=0}^{\infty} \frac{(-1)^n (n+1) \theta^n}{(2n+3)} ,$$

oder nach einer leichten Reduction:

$$\frac{(III)}{1+\theta} = 1 + 15 \sum_{n=1}^{\infty} \frac{(-1)^n \theta^n}{(2n+3)(2n+5)} \quad 24$$

Setzt man also:

$$\left. \begin{aligned} E_0^r &= 2 - 3 \sum_{n=1}^{\infty} \frac{(-1)^n \theta^n}{4n^2-1} \\ E_1^r &= \frac{1}{5} + 3 \sum_{n=1}^{\infty} \frac{(-1)^n \theta^n}{(2n+3)(2n+5)} \end{aligned} \right\} \quad 25)$$

so erhält man mit Rücksicht auf 22), 23) und 24):

$$\frac{\partial r}{\partial v} = \frac{r \sin v^2}{4(1+v)} \{ E_0^r + \operatorname{tg} \frac{1}{2} v^2 + E_1^r \operatorname{tg} \frac{1}{2} v^4 \} . \quad 26)$$

in welchem Ausdrucke die Coëfficienten E_0^r und E_1^r leicht mit dem Argumente θ in Tafeln gebracht werden können und in der Tafel XVI aufgenommen sind.

Was die Construction dieser Tafel anlangt, so beachte man, dass sich die in 18) (pag. 401) und 25) aufgestellten Reihen mit Hilfe zweier Reihen darstellen lassen; setzt man nämlich:

$$S = 1 - \frac{1}{105} \theta - \frac{1}{315} \theta^2 + \frac{1}{693} \theta^3 - \frac{1}{1287} \theta^4 + \dots + \sum_{n=2}^{\infty} \frac{(-1)^{n+1} \theta^n}{(2n+1)(2n+3)(2n+5)} \left\{ \right.$$

$$\sigma = -\frac{1}{3} \left\{ \frac{1}{35} \theta - \frac{1}{63} \theta^2 + \frac{1}{99} \theta^3 - \frac{1}{143} \theta^4 + \dots + \sum_{n=2}^{\infty} \frac{(-1)^{n+1} \theta^n}{(2n+3)(2n+5)} \right\}.$$

so wird sein:

$$E_2^r = -1 - \frac{1}{5} \theta + \theta S$$

$$E_1^r = -\frac{1}{5} + S$$

$$E_0^r = 2 + \theta - \frac{1}{5} \theta^2 + \sigma \theta^2$$

$$E_4^r = \frac{1}{5} - \sigma.$$

nach welchen Formeln die Tafel XVI berechnet ist. Sie gibt mit dem Argumente

$$\theta = \frac{1}{1+c} \lg \frac{1}{2} r^2$$

die Werthe $\log E_2^r$, $\log E_1^r$, $\log E_0^r$ und $\log E_4^r$ auf fünf Decimalen für jeden Tausendtheil des Argumentes, was wohl für die Fälle der Anwendung der vorstehenden Formeln stets ausreichen wird. Die letzte Stelle wird selten um mehr als eine halbe Einheit fehlerhaft sein, da Herr F. K. Ginzell, der auf mein Ersuchen diese Tafel berechnet hat, die Rechnung sorgfältig 7stellig durchführte. Das Argument θ selbst ist innerhalb der Grenzen -0.4 und $+0.4$ angenommen, was wohl stets ausreichen wird; sollte jemals die Ausdehnung der Tafel nicht ausreichen, so kann man immer mit Sicherheit die diesbezüglichen Formeln in 2) (pag. 396) anwenden, doch nehme ich auf diesen Umstand bei der unten folgenden Zusammenstellung keine Rücksicht, da mit Ausschluss der periodischen Kometen von kurzer Umlaufzeit, für welche diese Differentialquotienten nach den Elementen, zweckmässiger nach den Formeln für mässige Excentricitäten berechnet werden, kein Komet in solcher Sonnenferne unseren optischen Hilfsmitteln erreichbar ist, wo die Grenzen der vorliegenden Tafel überschritten werden.

Vergleicht man den Ausdruck 26) (pag. 393) mit der entsprechenden Formel in 2) (pag. 396), so resultirt sofort:

$$r = q \cos r = \frac{3}{2} \frac{k(t-T) \epsilon \sin r}{1+q} \quad (1 - \epsilon \frac{\partial r}{\partial \epsilon}).$$

ersetzt man nun dieser Relation gemäss den Factor $\frac{3}{2} \frac{k(t-T) \epsilon \sin r}{q^2 (1+q)}$ in $\frac{\partial r}{\partial q}$, so erhält man sofort:

$$\frac{\partial r}{\partial q} = \cos r + \frac{1-\epsilon}{q} \left(\frac{\partial r}{\partial \epsilon} \right), \quad (27)$$

welche Formel viel bequemer ist, als die ursprüngliche in 2) (pag. 396) enthaltene, in der Voraussetzung, wie dies wohl in diesen Fällen stets eintreten wird, dass die hierfür nöthige Berechnung von $\frac{\partial r}{\partial \epsilon}$ aus anderen Gründen vorgenommen werden muss.

Die Bestimmung von $\frac{\partial r}{\partial q}$ durch ähnliche Ausdrücke bietet keine wesentlichen Vortheile gegen die ohnehin bequeme logarithmische Form des Coëfficienten in 2) (pag. 396) weshalb ich es unterlasse, diese Form hier anzuführen.

In Bezug auf die Differentialquotienten von q kann noch bemerkt werden, dass es im Allgemeinen etwas bequemer erscheint, als Element $\log q$ einzuführen; es ist aber:

$$\delta \log q = \text{Mod } \frac{\delta q}{q},$$

es wird also sein:

$$\left. \begin{aligned} \frac{\delta r}{\delta \log q} &= \frac{1}{\text{Mod}} \left\{ q \cos_* r + (1-e) \left(\frac{\delta r}{\delta e} \right) \right\} \\ \frac{\delta r}{\delta \log q} &= - \frac{3}{2} \frac{t-T}{\text{Mod } r^2} \frac{1}{q} (1+e) \end{aligned} \right\} \quad (28)$$

Mit Rücksicht auf die in den vorstehenden Paragraphen aufgenommenen Entwicklungen gestalten sich daher die Formeln zur Berechnung der Differentialquotienten für Kometenbahnen wie folgt, wobei zu achten ist, dass sich die Coordinaten α und δ auf dieselbe Fundamentalebene beziehen müssen, auf welche die Grössen Q , i und a bezogen sind:

$$\left. \begin{aligned} A \sin A' &= \cos \alpha - \gamma \cos i \\ A \cos A' &= \sin \alpha - \gamma \\ m \sin M &= \sin i \\ m \cos M &= - \sin \alpha - \gamma \cos i \\ B \sin B' &= m \sin M + \delta \\ B \cos B' &= \cos \alpha - \gamma \sin \delta \\ a &= r + e \end{aligned} \right\} \quad I$$

weiter ist:

$$\left. \begin{aligned} F \sin F' &= \frac{k e \sin r}{r + p} \\ F \cos F' &= - \frac{k \frac{1}{2} p}{r^2} \\ G \sin G' &= - \frac{\sin r^2}{4(1+e)} \{ E_0 r + \text{tg } \frac{1}{2} e^2 + E_1 r \text{tg } \frac{1}{2} e^4 \} \\ G \cos G' &= \frac{\sin r \cos \frac{1}{2} r^2}{2(1+e)} \{ 1 + E_2 r \text{tg } \frac{1}{2} e^2 + E_3 r \text{tg } \frac{1}{2} e^4 \} \\ H \sin H' &= - \frac{1}{\text{Mod}} \left\{ \frac{q}{r} \cos r - (1+e) G \sin G' \right\} \\ H \cos H' &= - \gamma \frac{t-T}{r^2} \frac{1}{p} \end{aligned} \right\} \quad II$$

wobei zu setzen ist:

$$\begin{aligned} p &= q(1+e) \\ \log k &= 8.23558 - 10 \\ \log (1-\gamma) &= 8.77380 - 10 \\ \log \left(- \frac{1}{\text{Mod}} \right) &= 0.36222 \end{aligned}$$

* Für die Parabel wird offenbar $F' = 180 - \frac{1}{2} r$.

und hiermit δT in Einheiten des mittleren Sonnentages erhalten wird; mit dem Argumente

$$\theta = \frac{1-r}{1+e} \operatorname{tg} \frac{1}{2} \epsilon^2$$

sind aus der Tafel XVI $\log E_2'$, $\log E_1'$, $\log E_0'$ und $\log E_1'$ zu entnehmen.

Dann ist

$$\left. \begin{aligned} \frac{\cos \delta \delta \alpha}{\delta T} &= \frac{r}{\int} A F \sin (F' + A' + u) \\ \frac{\delta \delta}{\delta T} &= \frac{r}{\int} B F \sin (F' + B' + u) \\ \frac{\cos \delta \delta \alpha}{\delta e} &= \frac{r}{\int} A G \sin (G' + A' + u) \\ \frac{\delta \delta}{\delta e} &= \frac{r}{\int} B G \sin (G' + B' + u) \\ \frac{\cos \delta \delta \alpha}{\delta \log q} &= \frac{r}{\int} A H \sin (H' + A' + u) \\ \frac{\delta \delta}{\delta \log q} &= \frac{r}{\int} B H \sin (H' + B' + u) \\ \frac{\cos \delta \delta \alpha}{\delta \pi} &= \frac{r}{\int} A \sin (A' + u) \\ \frac{\delta \delta}{\delta \pi} &= \frac{r}{\int} B \sin (B' + u) \\ \frac{\cos \delta \delta \alpha}{\sin i \delta \varphi} &= \frac{r}{\int} \operatorname{tg} \frac{1}{2} i \cos (\alpha - \varphi + u) \\ \frac{\delta \delta}{\sin i \delta \varphi} &= - \frac{r}{\int} \left\{ \sin (\alpha - \varphi + u) \sin \delta \operatorname{tg} \frac{1}{2} i + \cos u \cos \delta \right\} \\ \frac{\cos \delta \delta \alpha}{\delta i} &= - \frac{r}{\int} \sin u \cos (\alpha - \varphi) \sin i \\ \frac{\delta \delta}{\delta i} &= \frac{r}{\int} \left\{ \sin (\alpha - \varphi) \sin \delta \sin i + \cos \delta \cos i \right\} \sin u \end{aligned} \right\} \text{IIIa}$$

wobei noch zu bemerken ist, dass für die ersten drei Elemente der Radius als Einheit gilt, während die letzteren drei Elemente schon im Bogenmaasse verstanden werden; es müssen deshalb die für die drei ersteren Elemente gefundenen Correctionen mit $\sin 1''$ multiplicirt werden, wenn die Unterschiede zwischen der Beobachtung und Rechnung, wie es wohl gewöhnlich der Fall ist, in Bogensekunden angesetzt werden.

Die eben hingeschriebenen Formeln werden aber einer theilweisen Transformation bedürfen, wenn die Neigung der Kometenbahn nahe 180° gegen die gewählte Fundamentalebene ist, denn in diesem Falle wird jede Aenderung von π durch die doppelte Aenderung von φ im verkehrten Sinne nahezu aufgehoben; führt man daher das Element

$$J = \pi - 2 \varphi$$

ein, so wird anstatt $\delta \pi$ in der Differentialformel zu setzen sein:

$$\delta \pi = - \delta J + 2 \delta \varphi.$$

* Für retrograde Kometen wird man mit Vortheil die Formeln IIIb benutzen.

Nach den Formeln 3) und 4) (pag. 385) wird man haben:

$$\begin{aligned}\frac{\cos \delta \partial \alpha}{\partial \pi} &= \frac{r}{J} \left\{ \sin (\alpha - \varOmega) \sin u + \cos (\alpha - \varOmega) \cos u \cos i \right\} \\ \frac{\cos \delta \partial \alpha}{\partial \varOmega} &= 2 \frac{r}{J} \sin \frac{1}{2} i^2 \cos (\alpha - \varOmega + u) \\ \frac{\partial \delta}{\partial \pi} &= \frac{r}{J} \left\{ \cos (\alpha - \varOmega) \sin u \sin \delta - \sin (\alpha - \varOmega) \cos u \cos i \sin \delta + \cos u \sin i \cos \delta \right\} \\ \frac{\partial \delta}{\partial \varOmega} &= - \frac{r}{J} \left\{ 2 \sin (\alpha - \varOmega + u) \sin \delta \sin \frac{1}{2} i^2 + \cos u \cos \delta \sin i \right\},\end{aligned}$$

addirt man die zusammengehörigen Formeln, nachdem man die Differentialquotienten nach π mit 2 multiplicirt hat, so erhält man nach einigen leichten und offenkundigen Reductionen sofort:

$$\left. \begin{aligned}A &= A' - 2 \varOmega \\ \frac{\cos \delta \partial \alpha}{\partial A} &= \frac{r}{J} A \sin A' + u \\ \frac{\partial \delta}{\partial A} &= \frac{r}{J} B \sin B' + u \\ \frac{\cos \delta \partial \alpha}{\sin i \partial \varOmega} &= \frac{r}{J} \cos (\alpha - \varOmega - u) \cotg \frac{1}{2} i \\ \frac{\partial \delta}{\sin i \partial \varOmega} &= \frac{r}{J} \left\{ \cos u \cos \delta - \sin (\alpha - \varOmega - u) \sin \delta \cotg \frac{1}{2} i \right\},\end{aligned} \right\} \quad \text{IIIb}$$

welche Ausdrücke in den vorstehenden Formeln IIIa an die Stelle von $\frac{\cos \delta \partial \alpha}{\partial A}$ und $\frac{\partial \delta}{\partial A}$, $\frac{\cos \delta \partial \alpha}{\sin i \partial \varOmega}$ und $\frac{\partial \delta}{\partial i}$ zu treten haben, wenn sich die Neigungen gegen die Fundamentalebene wenig von 180° unterscheiden. Man wird dieselben aber stets mit Vortheil anwenden, wenn die Neigung der Kometen grösser als 90° also die Bewegung retrograd ist. Würden aber die Neigungen fast völlig mit 180° zusammenfallen, so würden natürlich auch diese Formeln nicht ausreichen, und man hätte ähnlich wie bei der Störungsrechnung (pag. 22) die Elemente $\sin i \sin \varOmega$ und $\sin i \cos \varOmega$ einzuführen; doch gehe ich auf diese Formeln hier nicht näher ein, weil man dieselben wohl niemals in Anwendung ziehen wird.

Es ist klar, dass man von vorstehenden Formeln ebenfalls Gebrauch machen wird, wenn man sich nur die Ermittlung parabolischer Elemente vorsetzt; man wird nur die von den Grössen G und G' abhängigen Grössen nicht zu berechnen brauchen. Stellt sich im Verlaufe der Rechnung heraus, dass die Parabel den Beobachtungen nicht völlig genügt, so wird man die Berechnung dieser Grössen nachtragen, unter der Voraussetzung $e = 1$; man wird so in den meisten Fällen mit genügender Genauigkeit die elliptischen oder hyperbolischen Elemente des betreffenden Himmelskörpers erlangen. Diese Methode würde nur in jenen Fällen ungenauere Resultate liefern, wenn die Abweichung von der Parabel sehr beträchtlich ist; im letzteren Falle wird man wohl stets, vor Beginn solcher definitiven Ausgleichungen, von diesem Umstande Kenntniss haben und in der Lage sein, genügende Annäherungen für die Elemente sich anderweitig zu beschaffen; auch wird

im Falle einer nicht allzu bedeutenden Abweichung von der Parabel die wiederholte Auflösung der Bedingungsgleichungen mit den Werthen der ersten Annäherung das Ziel meist erreichen lassen, falls die erste Auflösung keine genügende Uebereinstimmung zwischen den Resultaten der directen Rechnung und der aus den Differentialquotienten abgeleiteten Darstellung der Orte ergeben würde.

§ 5. Die Differentialquotienten mit Rücksicht auf die Störungen.

Die in den vorstehenden Formeln auftretenden Coëfficienten müssen in etwas verschiedener Weise gewählt werden, wenn man die Störungsrechnung nach verschiedenen Methoden durchgeführt hat; erlaubt man sich aber, die Producte der Incremente der Elemente in die Störungen zu übergehen, so gestaltet sich die Lösung dadurch sehr einfach, dass man die nahe richtige Voraussetzung machen darf, dass die Störungswerthe in beiden Elementensystemen identisch gefunden werden. Es sollen dem entsprechend die verschiedenen Methoden der Störungsrechnung für die vorliegenden Aufgaben vorgenommen werden.

Vergleicht man die Form der heliocentrischen Coordinaten, die in § 11) (pag. 383) als Ausgangspunkt für die Ermittlung der Differentialquotienten gedient haben, mit der folgenden Form, die Encke's Methode der Störungsrechnung gibt:

$$\begin{aligned}x &= r_0 \cos u_0 \cos \varpi_0 - \sin u_0 \sin \varpi_0 \cos i_0 + \xi \\y &= r_0 (\cos u_0 \sin \varpi_0 + \sin u_0 \cos \varpi_0 \cos i_0 + \eta) \\z &= r_0 \sin u_0 \sin i_0 + \zeta\end{aligned}$$

und beachtet, dass der Voraussetzung nach ξ , η und ζ constant sind, so leitet man leicht die Bemerkung ab, dass die Variationen der heliocentrischen Coordinaten in diesem Falle dadurch erhalten werden, dass man in den früher entwickelten Formeln durchaus die ungestörten Grössen einführt. Der Uebergang auf die geocentrischen Orte durch die Formeln:

$$\begin{aligned}\cos \delta \, \delta \alpha &= - \sin \frac{\alpha - \delta}{2} \, \delta x + \cos \frac{\alpha - \delta}{2} \, \delta y \\ \delta \delta &= - \cos \frac{\alpha - \delta}{2} \sin \delta \, \delta x - \sin \frac{\alpha - \delta}{2} \sin \delta \, \delta y + \frac{\cos \delta}{2} \delta z\end{aligned}$$

erfordert aber für die Berechnung der Coëfficienten der Variationen der Coordinaten, wie man sich leicht überzeugt, die thatsächlichen geocentrischen Coordinaten, die man sofort dadurch erhält, dass man für α und δ die beobachteten Coordinaten, für die geocentrische Entfernung r aber die mit Rücksicht auf die Störungen erlangten Werthe einsetzt. Werthe, die ohnedies schon stets durch anderweitige Rechnungen bekannt sind. Es ist klar, dass man von den gemachten Vorschriften, ohne mehr als die Eingangs als zulässig betrachtete Vernachlässigung der Producte der Störungen in die Incremente der Elemente zu übergehen, abweichen kann und

untermischt die mit Rücksicht oder ohne Rücksicht auf Störungen erhaltenen Werthe als Grundlage für die Berechnung der Differentialquotienten benützen kann; doch wird die Befolgung der obigen Vorschriften den Vortheil bieten, dass man in dem vorgelegten Falle die Variationen der geocentrischen Orte durch die Variationen der Elemente streng ausgedrückt erhält, wenn man die Störungswerthe als unabhängig von den letzteren betrachtet. Von diesem Gesichtspunkte aus ist auch das Folgende zu betrachten.

Bei Hansen-Tietjen's Methode hat man für die heliocentrischen Coordinaten die Form:

$$\begin{aligned} x &= (r') (1 + v) \{ \cos (I' + \omega_0 + J\omega) \cos \varrho_0 - \sin (I' + \omega_0 + J\omega) \sin \varrho_0 \cos i_0 \} + z \cos a \\ y &= (r') (1 + v) \{ \cos (I' + \omega_0 + J\omega) \sin \varrho_0 + \sin (I' + \omega_0 + J\omega) \cos \varrho_0 \cos i_0 \} + z \cos b \\ z &= (r') (1 + v) \sin u_0 \sin i_0 + z \cos c; \end{aligned}$$

gestattet man sich die Variationen der Grössen $\cos a$, $\cos b$ und $\cos c$ in die stets kleine Störung der verticalen Coordinate zu vernachlässigen, so hat man in den Formeln 1) pag. 383) nach der Vergleichung zu setzen:

$$\begin{aligned} &\text{statt } r \text{ den Werth } I' \\ &'' \quad r \quad '' \quad '' \quad (r, \\ &'' \quad u \quad '' \quad '' \quad (I' + \omega_0 + J\omega) \quad . \end{aligned}$$

Mit Rücksicht auf den Uebergang auf die geocentrischen Coordinaten wird man daher für diese Methode die Bemerkung ableiten, dass bei der Berechnung der Differentialquotienten durchaus die Coëfficienten der eben gemachten Identification zufolge zu bestimmen sind, dass für α und δ die beobachteten Grössen, für J die geocentrische Distanz mit Rücksicht auf Störungen zu substituiren ist, dass aber in dem allen Quotienten gemeinsamen Factor $\frac{r'}{r}$ für r der Werth: $r = (r' - 1 + v)$ einzusetzen ist (die zweiten Potenzen von z übergehend), da nach der Differentiation der obigen Ausdrücke rechts vom Gleichheitszeichen der gemeinsame Factor $(1 + v)$ auftritt.

Endlich sind bei der Methode der Variation der Constanten durchaus jene Werthe für die in den Differentialformeln auftretenden Grössen zu substituiren, die sich aus den für die Zeit des Ortes osculirenden Elementen, die man ohnehin zur Darstellung der Orte gebraucht, ergeben.

Erreichen aber die Störungen halbwegs grosse Werthe, so werden die hier angegebenen Formeln auf arge Widersprüche führen, die sich dahin aussprechen lassen, dass dieselben Incremente der Elemente zur Zeit der Ausgangsepoche verschiedene Aenderungen in denselben Orten bei Anwendung verschiedener Methoden der Störungsrechnung bedingen werden, da die nach den obigen Vorschriften entwickelten Differentialformeln für die verschiedenen Störungsmethoden nicht identisch gefunden werden können. Diese Unterschiede hängen innig mit der bei der Störungsrechnung bereits erörterten Frage zusammen, was zu thun ist, wenn man die Störungsrechnung nach der Variation der Coordinaten mit etwas veränderten

Elementen fortsetzen will. Macht man wie dort die Voraussetzung, dass die Elemente hinreichend genau sind zur Darstellung der Kräfte, so wird man zu dem Schlusse gelangen, dass die nach der Variation der Constanten entwickelten Werthe für die Differentialformeln jene sind, die voraussichtlich der Wahrheit am nächsten kommen; man sieht hieraus, dass durch diese Betrachtungen ein neuer wesentlicher Vorzug für die Methode der Variation der Constanten resultirt. Es wird also als das Richtigste erscheinen, für jeden Ort osculirende Elemente abzuleiten und aus diesen die Differentialformeln abzuleiten; dies würde aber auf sehr weitläufige Rechnungen führen und es wird im Allgemeinen vorzuziehen sein, auf diese Unterschiede nicht weiter Rücksicht zu nehmen und sich an die obigen Vorschriften zu halten.

§ 6. Beispiele.

Es sollen nun die in den vorstehenden Paragraphen entwickelten Methoden zur Ableitung der wahrscheinlichsten Bahnelemente einer Planeten und einer Kometenbahn verwerthet werden, und ich wähle als erstes Beispiel den Planeten Erato, für den die der Rechnung zu Grunde zu legenden Daten nahe vollständig in den vorangehenden Abschnitten als Beispiele aufgenommen sind. Die Normalorte und die Sonnencoordinaten finden sich auf pag. 382, die Störungswerthe auf pag. 196 ff.

Zunächst wurden aus den Störungstafeln mit Hilfe der bei den mechanischen Quadraturen pag. 35, 39, 53, 55 entwickelten Formeln die Störungswerthe für die Zeiten der Normalorte gebildet; es fand sich so:

	MM	Me	$\log 1+v$	z
1860 Sept. 19.5	+ 3 ^h 12 ^m 52 ^s .96	— 39' 0"95	9.998 9782	+ 0.000 6033
1861 Dec. 28.5	+ 2 8 23.59	— 36 40.97	0.005 2451	— 0.001 0723
1863 Apr. 10.5	+ 0 36 7.19	— 33 23.14	0.001 7959	— 0.000 7677
1871 Sept. 15.5	+ 1 1 47.42	— 8 18.00	0.000 6861	+ 0.000 0705
1873 Jan. 10.5	+ 0 21 8.44	— 5 27.49	0.001 7985	— 0.000 2138
1874 März 22.5	+ 0 0 52.69	— 1 21.89	0.000 2260	— 0.000 0614
1875 Mai 21.5	— 0 0 1.85	— 0 20.41	0.000 0088	— 0.000 0136
1876 Juli 18.5	+ 0 2 19.35	— 4 21.39	9.999 5890	— 0.000 1117
1877 Nov. 24.5	+ 0 32 4.26	— 13 9.48	9.997 9572	— 0.000 0183

Der Ausgleichung zu Grunde gelegt wurden die folgenden genähert richtigen Elemente der Erato, welche auch für die Ermittlung der Störungswerthe gedient haben:

62) Erato

Epoche und Osculation 1874 Dec. 26.0 mittl. Berl. Zeit.

Mittl. Aeq. 1870.0.

$$L = 219^{\circ} 8' 6''8$$

$$M = 180 40'48.9$$

$$A = 38 27 17.9$$

$$\Omega = 125 42 39.7$$

$$i = 2 12 23.0$$

$$q = 9 59 14.9$$

$$\mu = 640''89605$$

$$\log a = 0.405 4793 .$$

Da man noch der auf das mittlere Aequ. 1860.0 und 1880.0 bezogenen Elemente bedarf, so wurde nach den diesbezüglichen Formeln (I pag. 81) der Einfluss der Präcession gerechnet und für die nöthigen Reductionen gefunden:

	1860.0	1880.0
$\Delta L = \Delta A$	$- 8'22''45$	$+ 8'22''47$
$\Delta \Omega$	$- 6'50''69$	$+ 6'50''72$
Δi	$+ 3''24$	$- 3''24$

Damit fand sich nach den Ausdrücken (3 pag. 162):

	1860	1870	1880
ω_0	272°43' 6''44	272°44'38''20	272°46' 0''05
A	215 37 1.51	215 43'52.21	215 50 12.97
B	126 20 54.17	126 27 30.46	126 34 24.86
C	121 13 19.66	121 20 35.84	121 27 52.16
$\sin a$	9.999 7869	9.999 7877	9.999 7884
$\sin b$	9.966 6719	9.966 6852	9.966 6985
$\sin c$	9.578 0699	9.577 9845	9.577 8993
$\cos a$	8.495 84	8.495 04	8.494 24
$\cos b$	9.576 58	9.576 50	9.576 42
$\cos c$	9.966 42	9.966 44	9.966 45

Hierbei wurde die mittlere Schiefe der Ekliptik nach Le Verrier angenommen und zwar:

	ε
1860	23°27'27''07
1870	22.31
1880	17.55 ;

hierauf wurden die Störungen in der verticalen Coordinate (vergl. pag. 410) z mit den entsprechenden Cosinusfunctionen multiplicirt und die für die drei Coordinaten gefundenen Correctionen mit den Sonnencoordinaten verbunden, wodurch in den ferneren Rechnungen die auf der Bahnebene verticalen Störungscomponenten die

einfachste Berücksichtigung finden: die so veränderten Sonnencordinaten nebst der Anzahl der Tage, die von der Zeit der Epoche an verlossen sind, finden sich in der folgenden Zusammenstellung:

	t	$X + z \cos a$	$Y + z \cos b$	$Z + z \cos c$
1860 Sept. 19.5	— 5210.5	— 1.002 3870	+ 0.044 9809	+ 0.020 1741
1861 Dec. 28.5	— 4745.5	+ 0.124 1913	— 0.894 3974	— 0.389 2742
1863 Apr. 10.5	— 4277.5	+ 0.938 9499	+ 0.322 7729	+ 0.139 2215
1871 Sept. 15.5	— 1197.5	— 0.996 6587	+ 0.118 4228	+ 0.051 4640
1873 Jan. 16.5	— 708.5	+ 0.445 7369	— 0.804 5314	— 0.349 3135
1874 März 22.5	— 278.5	+ 0.996 5751	+ 0.033 8400	+ 0.014 6166
1875 Mai 21.5	+ 116.5	+ 0.498 5743	+ 0.808 5571	+ 0.350 8069
1876 Juli 18.5	+ 570.5	— 0.455 2574	+ 0.833 4609	+ 0.361 5080
1877 Nov. 24.5	+ 1004.5	— 0.450 0632	— 0.805 4619	— 0.349 4965

Leitet man nun mit Hilfe der Formeln 14 pag. 162 die heliocentrischen Co-ordinaten nach den obigen Elementen ab und verbindet dieselben mit den entsprechenden Sonnencoordinaten, so finden sich die folgenden Unterschiede zwischen den Beobachtungen und den berechneten Orten:

	Beobachtung-Rechnung	
	$\cos \delta \delta \alpha$	$\delta \delta$
1860 Sept. 19.5	— 37"05	— 13"43
1861 Dec. 28.5	— 12.73	+ 3.39
1863 Apr. 10.5	+ 10.29	— 5.19
1871 Sept. 15.5	— 9.87	— 7.56
1873 Jan. 16.5	— 0.05	— 0.64
1874 März 22.5	+ 22.28	— 8.24
1875 Mai 21.5	+ 27.09	— 7.35
1876 Juli 18.5	+ 17.07	+ 4.13
1877 Nov. 24.5	+ 1.69	— 1.30

welche dazu benützt werden können, um diejenigen Verbesserungen zu finden, die man an die obigen Elemente anzubringen hat, um die wahrscheinlichsten zu finden. Zur Herstellung der Relationen zwischen den Aenderungen der Elemente und den geocentrischen Orten wurden die auf pag. 390 ff. zusammengestellten Formeln benützt und mit Rücksicht auf die pag. 400 gemachten Bemerkungen stellt sich die Rechnung, bei welcher in Bezug auf den Aequator $\varrho = 4^{\circ}44'48''$, $i' = 22^{\circ}14'28''$ und $\omega' = 33^{\circ}56'26''$ angenommen wurde, und die ich hier übrigens der Kürze halber nur für den ersten Normalort mittheile, wie folgt:

Aus I pag. 300 folgt:

$$\begin{array}{lll}
 \alpha - \varrho = 3^{\circ}56'42'' & \sin i' = m \sin M \quad 9.57807 & \sin \delta \quad 7.94229 \\
 \cos \alpha - \varrho = 9.99897 & & 9.99394 \quad B \sin B' \quad 9.57741 \\
 A \cos A' = \sin \alpha - \varrho = 8.83758 & m \cos M \quad 8.880400 & 9.99988
 \end{array}$$

9.99880	M 99°33'0"	$B \cos B'$ 7.94120
$A \sin A'$ 9.96539	$M + \delta$ 100° 3'6"	B' 88°40'34"
A' 85°44'20"	$\sin M + \delta$ 9.99328	$\log B$ 9.57753
$\log A$ 9.96659	m 9.58413	u' 359°40'52"

Aus II (pag. 390) resultirt:

$-a: r'$ 0.07180	$\cos I'$ 9.92050	$-d \cos(I' + \alpha)$ 0.34286
$\sin I'$ 9.971314	$e \cos I' + 0.14444$	$-uf'$ 9.936753
$a^2: r')^2$ 0.11372	$2 + e \cos I'$ 0.33131	Add. 0.04309
$F' \sin F''$ 9.96076	$\log d$ 0.34457	$d \sin I' + \alpha$ 9.29155
9.99848	$1 + e \cos I'$ 0.05860	gf' 9.27103
$F' \cos F''$ 0.13709	$(1 + e \cos I')^2$ 0.11720	Add. 0.31141
F'' 4°47'42"	$f' - 1$ 9.82610	$II \sin II'$ 8.98493
$\log F$ 0.13861	$\log f'$ 0.22273	9.99966
$\log t$ 3.71688	$I' + \alpha$ 5°4'40"	$II \cos II'$ 0.938055
$t F' \sin I''$ 2.977764	$\sin I' + \alpha$ 8.94608	II' 177°43'43"
Add. 9.80752	$t \sin I'$ 7.982271	$\log II$ 0.38689
$G' \sin G''$ 2.958516	Add. 9.96609	$K' \sin K''$ 0.07246
9.99937	$\cos I' + \alpha$ 9.99820	9.97838
$G' \cos G''$ 3.985397	$-m \sin I'$ 7.72621	$K' \cos K''$ 9.58244
G'' 183°4'57"	Add. 0.00231	K'' 72°4'10"
$\log G$ 3.85460	$II \sin II' \frac{r'}{a}$ 8.91397	$\log K$ 0.09408
	$K' \sin K' \frac{r'}{a}$ 0.00060	

Weiter findet sich:

r' 0.42260
\angle 0.21875
$(r): \angle$ 0.20385
$A' + u'$ 85°25'12"
$B' + u'$ 88°21'26
$r: A: \angle$ 0.17044
$r: B: \angle$ 9.78138

Die Rechnung nach III pag. 391 stellt sich wie folgt:

$F' + A' + u$ 90°12'54"	$G' + A' + u$ 268°30'9"	$II' + A' + u$ 263°8'55"	$K' + A' + u$ 157°29'22"
$\sin(F' + A' + u)$ 0.00000	$\sin G' + A' + u$ 9.999085	$\sin II' + A' + u$ 9.999089	$\sin K' + A' + u$ 9.58303
$(r) AF: \angle$ 0.30905	$(r) AG: \angle$ 4.02504	$(r) AH: \angle$ 0.55733	$r AK: \angle$ 0.26452
$\cos \delta \delta \alpha: dL'$ 0.30905	$\cos \delta \delta \alpha: \delta \mu$ 4.902489	$\cos \delta \delta \alpha: \delta \Phi$ 0.955422	$\cos \delta \delta \alpha: \delta \Psi$ 9.84755
$F' + B' + u$ 93° 9' 8"	$G' + B' + u$ 271°26'23"	$II' + B' + u$ 266°5' 9"	$K' + B' + u$ 160°25'36"
$\sin F' + B' + u$ 9.99934	$\sin G' + B' + u$ 9.99986	$\sin II' + B' + u$ 9.99899	$\sin K' + B' + u$ 9.52506
$(r) BF: \angle$ 9.91999	$r BG: \angle$ 3.63598	$(r) BH: \angle$ 0.16827	$r BK: \angle$ 9.87546
$\delta \delta = dL'$ 9.91933	$\delta \delta: \delta \mu$ 3.963584	$\delta \delta: \delta \Phi$ 0.916726	$\delta \delta: \delta \Psi$ 9.40052

$\alpha - \varrho' + u'$	$3^{\circ}37'31''$	$\sin u'$	$7_{n}74565$
$\cos (\alpha - \varrho' + u')$	0.99913	$\cos (\alpha - \varrho') \sin i'$	9.57704
$\varrho' \operatorname{tg} \frac{1}{2} i' : I$	9.49735	$\cos \delta \delta \alpha : \delta i'$	7.52654
$\cos \delta \delta \alpha : \sin i' \delta \varrho$	9.49648	$\sin (\alpha - \varrho') \sin i'$	8.41565
$\sin (\alpha - \varrho' + u')$	8.80103	$\sin \delta$	7.94229
$\sin \delta \operatorname{tg} \frac{1}{2} i'$	7.23579	Add.	0.00011
$\cos u'$	0.99999	$\cos \delta \cos i'$	9.96640
$\cos \delta$	0.99998	I	6.35794
I	0.03682	{...}	9.96651
II	0.99997	$\varrho' \sin u' : I$	$7_{n}94950$
Add.	0.00005	$\delta \delta : \delta i'$	$7_{n}91601$
{...}	$0_{n}00002$		
$\delta \delta : \sin i' \delta \varrho'$	$0_{n}20387$		

Als Probe für die Richtigkeit der Rechnung kann man das Verfahren einschlagen, dass man mit variirten Elementen die Darstellung der Orte sucht und nachsieht, ob die auf diese Weise gefundenen Aenderungen in den Orten mit den aus den Differentialformeln folgenden innerhalb der Unsicherheit der Rechnung stimmen, doch darf man die Aenderungen nicht allzu gross nehmen, weil sonst der Einfluss der Glieder zweiter Ordnung zu nachtheilig wird.

Behandelt man in ähnlicher Weise die übrigen Orte, so erhält man die auf pag. 320 ff. bereits angeführten Bedingungsgleichungen. An dem citirten Orte wird sofort die Ableitung der Normalgleichungen aus denselben vorgenommen und pag. 343 die Herstellung der Eliminationsgleichungen erläutert; pag. 345 findet sich die Bestimmung der Unbekannten aus den letzteren durch successive Substitution, pag. 350, 351 dieselbe Bestimmung unabhängig für jede Unbekannte durchgeführt, pag. 352 ist die Darstellung der Orte nach den Differentialformeln hergestellt; man wird stets als Controle für die Richtigkeit der Rechnung diese Darstellung auch durch die directe Rechnung prüfen. Auf pag. 352 finden sich die Correctionen der Elemente logarithmisch in Bogensekunden verstanden:

$$\begin{array}{ll}
 \log \delta L' = 1.0025 & \log \delta \varphi = 0_{n}6939 \\
 \log \delta \mu = 7.4842 & \log \sin i' \delta \varrho' = 9.6220 \\
 \log \delta \vartheta = 0.7807 & \log \delta i' = 0_{n}0576
 \end{array}$$

Um zunächst die Elementenänderungen von ϑ und φ in solche von π' und q zu übertragen, wird man sich der Formeln IV), VII) und VIII) (pag. 392, 393) bedienen und finden:

$$\begin{array}{l}
 \pi' - \pi'_0 = + 44''09 \\
 q - q_0 = - 0''07.
 \end{array}$$

Die Ausgangselemente selbst sind auf die Ekliptik bezogen, während sich die hier gefundenen Verbesserungen auf äquatorale Elemente beziehen; zu der hier nöthigen Transformation wird man die Formel IX) pag. 305 heranziehen und finden, wenn man nun alle Correctionen zusammenbringt:

$$\begin{aligned}\delta L &= + 9''98 \\ \delta \alpha &= + 14.91 \\ \delta \Omega &= - 3.12 \\ \delta i &= + 0.42 \\ \delta q &= - 0.07 \\ \delta u &= + 0.003049\end{aligned}$$

und die verbesserten Elemente der Erato werden sein:

(62) Erato

Epoche und Oscul. 1874 Dec. 26.0 mittl. Berl. Zeit

mittl. Aequ. 1870.0.

$$L = 219^{\circ} 8' 16'' 78$$

$$M = 180 40 13.97$$

$$\alpha = 38 28 2.81$$

$$\Omega = 125 42 36.58$$

$$i = 2 12 24.32$$

$$q = 9 59 14.83$$

$$\mu = 640'' 899099$$

$$\log a = 0.4954779$$

Rechnet man nun nach diesen Elementen die Darstellung der Orte mit Rücksicht auf die obigen Störungswerthe, so erhält man die folgenden Unterschiede zwischen der Beobachtung und Rechnung, denen ich jene auf pag. 352 durch die Differentialformeln erhaltenen beisetze; die Uebereinstimmung beider Resultate innerhalb der Unsicherheit einer siebenstelligen Rechnung gibt eine höchst befriedigende Controle. Es findet sich:

	directe Rechnung		Differentialformeln	
	$\cos \delta \delta \alpha$	$\delta \delta$	$\cos \delta \delta \alpha$	$\delta \delta$
1.	— 0''27	+ 2''18	— 0''28	+ 2.18
2.	+ 1.14	+ 0.82	+ 1.13	+ 0.82
3.	— 0.58	— 1.49	— 0.40	— 1.52
4.	— 1 09	— 3.47	— 0.99	— 3.43
5.	— 2.31	— 0.32	— 2.43	— 0.39
6.	— 0.15	+ 0.22	— 0.10	+ 0.20
7.	+ 0.37	— 1.23	+ 0.49	— 1.23
8.	+ 0.04	+ 0.91	+ 0.17	+ 0.97
9.	+ 2.20	— 0.42	+ 2.32	— 0.44

Schliesslich wäre noch erwähnen, dass auf pag. 301 die Gewichte und die mittleren Fehler der Unbekannten abgeleitet sind; es ist an der betreffenden Stelle gefunden worden:

$$\begin{aligned}\delta L' &= \pm 0''494 & \delta \Psi &= \pm 0''315 \\ \delta \mu &= \pm 0.000143 & \delta \varphi' \sin i' &= \pm 0.529 \\ \delta \Phi &= \pm 0.270 & \delta i' &= \pm 0.588.\end{aligned}$$

Zunächst wird man die Unsicherheit der Elemente λ' und q mit Hilfe der Formeln a) pag. 388 ableiten. Dieselben ergeben:

$$\begin{aligned}\delta \lambda' &= \frac{\cos \lambda'}{\sin q} \delta \Phi - \frac{\sin \lambda'}{\sin q} \delta \Psi \\ \delta q &= \frac{\sin \lambda'}{\cos q} \delta \Phi + \frac{\cos \lambda'}{\cos q} \delta \Psi,\end{aligned}$$

mit Rücksicht auf die bei der Methode der kleinsten Quadrate auseinandergesetzten Principien wird man, wenn man durch E den mittleren Fehler vorstellt und durch den Index das Element, auf das er sich bezieht, bezeichnet erhalten:

$$\begin{aligned}E(\lambda') &= \pm \sqrt{\left(\frac{\cos \lambda'}{\sin q} E(\Phi)\right)^2 + \left(\frac{\sin \lambda'}{\sin q} E(\Psi)\right)^2} \\ E(q) &= \pm \sqrt{\left(\frac{\sin \lambda'}{\cos q} E(\Phi)\right)^2 + \left(\frac{\cos \lambda'}{\cos q} E(\Psi)\right)^2}\end{aligned}$$

und unter den Annahmen $\lambda' = 38^{\circ}49'6$ und $q = 9^{\circ}59'2$ wird folgen:

$$\begin{aligned}E(\lambda') &= \pm 1''683 \\ E(q) &= \pm 0.305.\end{aligned}$$

Ähnlich wird man aus den Formeln N) pag. 395 erhalten ($i = 2^{\circ}12'4$, $i' = 22^{\circ}14'2$, $\sigma = 121^{\circ}20'6$):

$$\begin{aligned}E(i) &= \pm \sqrt{(\cos \sigma E(i)^2 + (\sin \sigma E(\varrho') \sin i')^2} \\ E(\varrho) &= \pm \sqrt{\left(\frac{\sin \sigma}{\sin i} E(i')\right)^2 + \left(\frac{\cos \sigma}{\sin i} E(\varrho' \sin i')\right)^2} \\ E(L) &= \pm \sqrt{E(\lambda')^2 + (\sin \sigma \operatorname{tg} \frac{1}{2} i' E(i')^2 + (\cos \sigma \operatorname{tg} \frac{1}{2} i' - \operatorname{tg} \frac{1}{2} i) E(\varrho' \sin i')^2} \\ E(L) &= \pm \sqrt{E(L')^2 + (\sin \sigma \operatorname{tg} \frac{1}{2} i' E(i')^2 + (\cos \sigma \operatorname{tg} \frac{1}{2} i' - \operatorname{tg} \frac{1}{2} i) E(\varrho' \sin i')^2}\end{aligned}$$

nach Einführung der obigen numerischen Werthe:

$$\begin{aligned}E(L) &= \pm 0''506 \\ E(\mu) &= \pm 0.000143 \\ E(L) &= \pm 1.687 \\ E(q) &= \pm 0.305 \\ E(\varrho) &= \pm 14.873 \\ E(i) &= \pm 0.546.\end{aligned}$$

Um die für die periodischen Cometen in Vorschlag gebrachten Formeln zu erläutern, will ich dieselben auf einen Ort des Winnecke'schen Cometen (III, 1819) anwenden; für den auf den mittleren Aequator 1880.0 bezogenen Ort des Cometen hat man:

$$1875 \text{ Febr. } 0.5 \text{ mittl. Berl. Zeit } a = 276^{\circ}38'1 \quad \delta = -16^{\circ}16'2;$$

die aus den Elementen zu entnehmenden Grössen sind:

$$\begin{aligned}\varrho' &= 29^{\circ}17'7 & r &= -17^{\circ}43'3 \\ i' &= 21.50.0 & \log r &= 9.9837 \\ \omega' &= 249.35.0 & \log J &= 0.1340 \\ q &= 47.49.1 & \log a &= 0.5053 \\ \mu &= 619''61 & \log t &= 3.7874\end{aligned}$$

wobei also wieder, wie im früheren Beispiele der Aequator als Fundamentelebene und für die Zeit t als Ausgangsepoche 1858 Mai 1.0 angenommen ist. Nach den Formeln I) (pag. 390) erhält man:

$\alpha - \varrho'$	247°26'4	$m \sin M$	9.5704
$\sin \delta$	9 _n 1474		9.9625
$\cos(\alpha - \varrho')$	9 _n 5858	$m \cos M$	9.9328
$\cos i'$	9.9677	M	23°28'0
$\sin(\alpha - \varrho')$	9 _n 0651	$M + \delta$	7 11 8
$A \sin A'$	9 _n 5535	$\sin(M + \delta)$	9.0979
— —	9 _n 9696	m	9.9703
$A \cos A'$	9 _n 9651	$B \sin B'$	9.0682
A'	201°11'3		9.8663
$\log A$	9.9955	$B \cos B'$	9.0332
a'	201°51'7	B'	47°18'1
$A' + a'$	43° 3'0	$\log B$	9.2019
$B' + a'$	249 10 1	$r : I$	9.8497
$A r : I$	9.8452	$\cos e$	9.8278
$B r : I$	9.0516	$\sin e$	9 _n 8602

nach II) (pag. 390, 391) wird sich finden:

$\cos q \cos e$	9.6548	$I F \sin F''$	4.2210	$\sin q \cos e$	9.6076
$a : r$	0.5216	$2 : 3 \mu \sin i''$	2.3462	$2 + \sin q \cos e$	0.3977
$-\lg q \sin e$	9.9120	Add.	0.0058	$\sin e \sec q$	9 _n 0422
$a^2 : r^2$	1.0432	$G \sin G'$	4.2208	$P \sin P'$	0.1764
$F \sin F'$	0.4336		9.0721		9 _n 0435
	9.9727	$G \cos G'$	4.0576	$P \cos P'$	9 _n 4399
$F \cos F'$	0.8702	G'	26°26'8	P'	151°24'3
F''	20°5'9	$\log G$	4.0855	$\log P$	0.4064
$\log F$	0.8075				

aus III) (pag. 391) erhält man, wenn man die analogen Operationen für die 4 Elemente neben einander durchführt (die angesetzte Bezeichnung ist demnach für die 4 verschiedenen Columnen entsprechend verändert zu denken):

	M_0	μ	q	A'
$F' + A' + a'$	63°8'9	63°23'8	104°27'3	43°3'0
$\sin F' + A' + a'$	9.9504	9.9514	9 _n 3073	9.8342
$r A F : I$	0.7427	4.5307	0.3416	9.8452
$\cos \delta \delta \alpha : \delta M_0$	0.6931	4.4821	9 _n 7389	9.6704
$F'' + B' + a'$	269°16'0	269°30'9	40°34'1	249°10'1
$\sin F'' + B' + a'$	0 _n 0000	0 _n 0000	9.8132	9 _n 9706
$r A F' : I$	9.9491	3.7371	0.5480	9.0516
$\delta \delta : \delta M_0$	9 _n 9491	3 _n 7371	9.3612	9 _n 0222

für $\partial \varrho'$ und $\partial i'$ erhält man aus III pag. 391:

$\alpha - (\varrho' + \mu')$	89°12'1	$\sin \mu'$	9,95709
$\cos (\alpha - (\varrho' + \mu'))$	8,1441	$\cos (\alpha - (\varrho' + \sin i'))$	9,1562
$r \operatorname{tg} \frac{1}{2} i'' : I$	9,1350	$\cos \delta \partial \alpha : \partial i'$	8,95768
$\cos \delta \partial \alpha : \partial \varrho' \sin i''$	7,2791	$\sin (\alpha - (\varrho')) \sin i''$	9,95355
$\sin (\alpha - (\varrho' + \mu'))$	0,0000	$\sin \delta$	9,94474
$\sin \delta \operatorname{tg} \frac{1}{2} i''$	8,97327	Add.	0,0445
$\cos \mu'$	9,99676	$\cos \delta \cos i'$	9,9500
$\cos \delta$	9,9823	1	8,9829
I	8,97327	{...}	9,9945
II	9,99499	$r' \sin \mu' : J$	9,94206
Add.	0,0256	$\partial \delta : \partial i''$	9,94151
{...}	9,9755		
$\partial \delta : \partial \varrho' \sin i''$	9,8252		

man hat also zwischen den Variationen der Elemente und den Variationen der geocentrischen Orte die folgenden Relationen, deren Coefficienten logarithmisch zu verstehen sind:

$$\begin{aligned} \cos \delta \partial \alpha &= 0,6931 \partial M_0 + 4,4821 \partial \mu_0 + 9,97389 \partial q + 9,6794 \partial \pi' + 7,2791 \sin i' \partial \varrho' + 8,95768 \partial i' \\ \partial \delta &= 9,99491 \partial M_0 + 3,97371 \partial \mu_0 + 9,3612 \partial q + 9,90222 \partial \pi' + 9,8252 \sin i' \partial \varrho' + 9,94151 \partial i' \end{aligned}$$

Um die Richtigkeit dieser Formeln zu prüfen, kann man sich durch willkürliche Variation der Elemente und directe Rechnung aus denselben eine zweckmässige Controle verschaffen. Setzt man nämlich:

$$\begin{aligned} \partial M &= - 60'' \\ \partial \mu &= + 0''01 \\ \partial q &= - 300'' \\ \partial \pi' &= - 40'' \\ \partial \varrho' \sin i'' &= + 100'' \\ \partial i' &= + 100'' \end{aligned}$$

so erhält man durch eine directe 6stellige Rechnung als Variationen der geocentrischen Orte die Werthe:

$$\cos \delta \partial \alpha = + 149''1 \quad \partial \delta = - 25''4$$

die Substitution der obigen Variationen in die früher ermittelte Relation ergibt hierfür:

$$\cos \delta \partial \alpha = + 149''2 \quad \partial \delta = - 25''0$$

was in Anbetracht, dass die Rechnung nur 6stellig geführt wurde, eine mehr als genügende Uebereinstimmung ist.

Um nun endlich ein Beispiel für die Anwendung der Formeln, die für mehr parabolische Bahnen gelten, vorzuführen, wähle ich hierfür die Bahnbestimmung des Cometen I 1860, und werde das Beispiel ausführlich hier mittheilen, weil es Gelegenheit bietet, jenen bei der Methode der kleinsten Quadrate aufgeführten Fall pag. 362 ff. , wo die Bestimmung einer Unbekannten mit einer besonderen Unsicher-

heit behaftet ist, näher zu erläutern. Als Grundlagen der Rechnung wurden die folgenden Normalorte und Sonnenkoordinaten angenommen, die sich auf den mittleren Aequator 1866.0 beziehen:

mittl. Berl. Zeit	α	δ	X	Y	Z
1. 1865 Dec. 22.5	333°18'17".3	+59°41'14".9	+0.0206905	-0.9010836	-0.3913801
2. " 27.0	348.16 3.2	+26 58 14.3	+0.0992222	-0.8974048	-0.3893961
3. 1866 Jan. 4.0	352 58 28.8	+ 7 12 57.5	+0.2369292	-0.8753931	-0.3798464
4. " 9.0	354 140.8	+ 2 21 55.0	+0.3207984	-0.8527856	-0.3700335
5. " 15.0	354 45 57.7	- 1 5 42.3	+0.4181360	-0.8169047	-0.3544614
6. " 22.0	355 18 6.2	- 3 37 25.5	+0.5256975	-0.7634815	-0.3312834
7. Febr. 5.0	355 59 26.5	- 6 35 35.4	+0.7152903	-0.6229677	-0.2703121

Als genähert richtige Elemente, deren Verbesserungen gesucht werden sollen, wurden die folgenden äquatorealen Elemente angenommen:

$$\begin{array}{l}
 T = 1866 \text{ Januar } 11.171697 \text{ mittl. Berl. Zeit} \\
 \left. \begin{array}{l} \pi' = 342^{\circ}28'24''.88 \\ \lambda' = 202 \ 54 \ 49.06 \\ i' = 143 \ 19 \ 36.10 \end{array} \right\} \begin{array}{l} \text{mittl. Aequ.} \\ 1866.0. \end{array} \\
 \log q = 9.9896805 \\
 e = 0.9053669
 \end{array}$$

Rechnet man in der bekannten Weise die Fehler, welche diese Elemente in den obigen Normalorten übrig lassen, so finden sich dieselben im Sinne Beobachtung — Rechnung, wie folgt:

	$\cos \delta \, \delta \alpha$	$\delta \delta$	r	$\log r$	$\log J$	$\log t - T$
1.	-2".02	+0.76	-26°46'26"	0.01239	9.30736	1.20354
2.	+4.55	+2.27	-20 56 14	0.00352	9.48685	1.18103
3.	-0.23	-0.84	-10 3 42	9.99287	9.70731	0.85562
4.	-1.02	+1.40	- 3 3 37	9.98997	9.88562	0.33680
5.	-0.58	-2.04	+ 5 23 23	9.99059	6.99336	0.58301
6.	-2.16	-0.06	+15 5 54	9.99686	0.08850	1.03456
7.	+0.64	+0.58	+33 8 45	0.02463	0.21886	1.39495

ausserdem habe ich die aus diesen Elementen für die Zeiten der Normalorte resultirenden wahren Anomalien (x), Radiusvectoren (r), geocentrischen Distanzen (J) und die seit der Perihelpassage verflossene Zeit ($t - T$) in mittleren Sonnentagen genähert angesetzt, weil die Kenntniss dieser Grössen bei der Berechnung der Differentialquotienten nöthig ist; die Rechnung nach den Formeln 1) (pag. 405) stellt sich wie folgt:

	1	2	3	4	5	6	7
$\alpha \quad \alpha'$	130°23'28"	145°21'14"	150°13'40"	151°06'52"	151°51'09"	152°23'17"	153°04'37"
$\sin \delta$	9.93615	9.65661	9.09903	8.61564	8.28130	8.80075	9.06001
$\cos \alpha \quad \alpha'$	9.81158	9.91523	9.93780	9.91230	9.94534	9.94749	9.95018
$\sin \alpha \quad \alpha'$	9.88175	9.75474	9.69817	9.68400	9.67370	9.66603	9.65590
	9.91699	9.87943	9.90970	9.91588	9.92007	9.92305	9.92679
$M \sin M'$	9.71578	9.81943	9.84200	9.84650	9.84954	9.85169	9.85438
M'	31°18'32"	49°15'05"	54°19'07"	55°28'40"	56°17'40"	56°53'24"	57°39'34"
$\log M$	9.96476	9.94000	9.93230	9.93062	9.92947	9.92864	9.92759
$m \sin M$	9.77616	9.77616	9.77616	9.77616	9.77616	9.77616	9.77616
	9.85433	9.90028	9.91944	9.92373	9.92673	9.92890	9.93168
$m \cos M$	9.78595	9.65894	9.60237	9.58820	9.57790	9.57023	9.56010
M	44°21'15"	52°38'25"	56°10'10"	57°01'44"	57°38'46"	58°06'06"	58°41'54"
$M + \delta$	104°23'0	79°36'39	63°23'07	59°23'39	56°33'04	54°28'41	52°06'19
$\sin (M + \delta)$	9.98683	9.99282	9.95136	9.93485	9.92136	9.91057	9.89716
m	9.93162	9.87588	9.85072	9.85243	9.84943	9.84726	9.84448
$B \sin B'$	9.91845	9.86870	9.80808	9.78728	9.77079	9.75783	9.74164
	9.91848	9.95070	9.99386	9.99925	9.99982	9.99793	9.99265
$B \cos B'$	9.974773	9.957184	9.903683	8.955794	8.22604	8.74824	9.01019
B'	124°01'4"	116°47'08"	99°36'40"	93°22'30"	88°21'49"	84°24'48"	79°29'10"
$\log B$	9.99997	9.91800	9.81422	9.78803	9.77097	9.75990	9.74899
B'	142°47'10"	118°37'22"	129°29'54"	130°29'59"	141°56'59"	151°39'30"	172°42'21"

aus II pag. 405 findet sich:

	1	2	3	4	5	6	7
$\sin r$	9.965306	9.955309	9.924234	8.972743	8.97281	9.41577	9.73781
r	0.04239	0.00352	9.99287	9.98007	9.99659	9.99686	0.02463
$\cos r$	9.95075	9.97034	9.99327	9.99038	9.99808	9.98475	9.92287
$\sin r : r$	9.964427	9.954957	9.924944	8.973740	8.98222	9.41891	9.71318
r^2	0.02478	0.00704	9.98574	9.97094	9.98118	9.99372	0.04926
$F \sin F'$	7.999885	7.999715	7.999702	6.999504	7.99980	7.97649	7.77076
	9.998022	9.999343	9.999849	9.999080	9.999957	9.999659	9.998343
$F \cos F'$	8.934502	8.930330	8.938466	8.939046	8.938022	8.937668	8.932114
F'	102°42'36"	189°56'35"	181°46'50"	181°27'05"	177°26'20"	172°49'40"	164°16'24"
$\log F$	8.35640	8.36093	8.38617	8.39000	8.38905	8.38009	8.33771
$\lg \frac{1}{2} r$	9.937950	9.920003	8.994463	8.942673	8.97274	9.12230	9.47363
$\lg \frac{1}{2} r^2$	8.75312	8.53326	7.88926	6.85346	7.34548	8.24460	8.94720
$\theta + 0.00281$	+0.00170	+0.00038	+0.00004	+0.00011	+0.00087	+0.00440	
$\lg \frac{1}{2} r^4$	7.50624	7.06652	5.77852	3.70692	4.69006	6.48920	7.89452
$E_1 r$	9.330054	9.30074	9.30006	9.30102	9.30101	9.30086	9.30021
$E_0 r$	+2.00281	+2.00170	+2.00038	+2.00004	+2.00011	+2.00087	+2.00440

	1	2	3	4	5	6	7
$\operatorname{tg} \frac{1}{2} v^2 + 0.05664 + 0.03414 + 0.00775 + 0.00071 + 0.00222 + 0.01756 + 0.08856$							
$E_1^r \operatorname{tg} \frac{1}{2} v^4 + 0.00064 + 0.00023 + 0.00001 + 0.00000 + 0.00000 + 0.00000 + 0.00157$							
$\{ \dots \} + 2.06009 + 2.03607 + 2.00814 + 2.00075 + 2.00233 + 2.01849 + 2.09453$							
$\log \{ \dots \}$	0.31389	0.30879	0.30279	0.30119	0.30153	0.30503	0.32109
$\sin v^2$	0.30732	0.10618	8.48462	7.45486	7.94562	8.83154	9.47562
E_2^r	0.000097	0.000059	0.000013	0.000001	0.000004	0.000030	0.000153
E_4^r	0.000291	0.000299	0.000307	0.000309	0.000308	0.000304	0.000282
$1 + E_2^r \operatorname{tg} \frac{1}{2} v^2 + 0.94323 + 0.96581 + 0.99225 + 0.99929 + 0.99778 + 0.98242 + 0.91112$							
$E_4^r \operatorname{tg} \frac{1}{2} v^4 - 0.00257 - 0.00093 - 0.00005 + 0.00000 + 0.00000 - 0.00025 - 0.00027$							
$\log \{ \dots \}$	9.97343	9.98447	9.99600	9.99969	9.99903	9.99219	9.95657
$\cos \frac{1}{2} v^2$	9.97007	9.98542	9.99605	9.99969	9.99904	9.99244	9.96315
$\sin v : 2 (1 + v)$	0.07266	8.97209	8.66131	8.14643	8.30181	8.83477	9.15681
$G \sin G'$	8.73918	8.53294	7.90538	6.87402	7.36512	8.25454	8.91468
	0.04787	0.00927	0.00321	0.00038	0.00807	0.08416	0.01507
$G \cos G'$	0.02210	8.94198	8.65450	8.14581	8.38988	8.81040	9.07653
$G' - 207^{\circ} 31' 40'' - 201^{\circ} 18' 3'' - 190^{\circ} 0' 7'' - 183^{\circ} 3' 41'' - 5^{\circ} 23' 40'' - 15^{\circ} 14' 8'' - 34^{\circ} 33' 15''$							
$\log G$	0.07429	8.97271	8.66135	8.14643	8.30181	8.83494	9.16086
<hr/>							
$\cos v : r$	0.93830	9.96682	0.00040	0.00941	0.00749	9.98789	9.89824
$q \cos v : r$	0.92804	9.95950	9.99008	9.99909	9.99717	9.97757	9.88792
$-(1 - v) G \sin G'$	7.71522	7.50948	6.88142	5.85006	6.34110	7.23958	7.80072
Add.	0.00265	0.00155	0.00034	0.00003	0.00010	0.00078	0.00435
$\log \{ \dots \}$	9.93069	9.95805	9.99042	9.99912	9.99727	9.97835	9.89227
$(t - T) : r^2$	1.26906	1.17399	0.86988	0.35986	0.60183	1.04984	1.31569
$H \sin H'$	0.29291	0.32027	0.35264	0.36134	0.35649	0.34957	0.25119
	0.89951	0.93729	0.98508	0.99861	0.99569	0.96080	0.84953
$H \cos H'$	0.17777	0.08270	0.77859	0.26557	0.51054	0.91955	0.25440
$H' - 52^{\circ} 30' 27'' - 59^{\circ} 56' 36'' - 75^{\circ} 4' 9'' - 85^{\circ} 24' 51'' - 201^{\circ} 56' 27'' - 247^{\circ} 52' 55'' - 225^{\circ} 0' 22''$							
$\log H$	0.39340	0.38208	0.36756	0.36273	0.36380	0.37377	0.40496

Bei der Anwendung des Formelsystems III_a pag. 406 wurden jene Abänderungen in Rechnung gezogen, die in der Formel III_b pag. 407 enthalten sind, da der Comet sich in Bezug auf die gewählte Fundamentalebene als retrograd erweist, es wird also statt α' das Element α' eingeführt; die Rechnung stellt sich wie folgt:

	1	2	3	4	5	6	7
$\alpha' + \alpha'$	147° 5' 42"	167° 52' 27"	183° 19' 1"	191° 58' 39"	201° 14' 39"	211° 32' 54"	230° 21' 55"
$\beta' + \alpha'$	236 48 14	235 24 30	229 0 34	229 52 20	233 18 48	239 4 18	252 11 31
$\alpha r : I$	0.66079	0.45667	0.15780	0.03407	0.02670	0.83700	9.73336
$\beta r : I$	0.70500	0.43467	0.03078	0.89238	0.76820	0.66826	0.55476

	1	2	3	4	5	6	7
$A' + P' + u'$	339°18'18"	357°49' 2"	8°35'51"	13°25'14"	18°40'59"	24°22'34"	34°38'19"
$\sin (A' + P' + u')$	9 _n 53800	8 _n 58078	9.17161	9.36594	9.50560	9.61566	9.75466
$P'Ar : A$	9.02610	8.82660	8.54403	8.42557	8.31635	8.21709	8.07107
$\cos \delta \delta \alpha : \delta T$	8 _n 50428	7 _n 40738	7.71864	7.79151	7.82195	7.83275	7.82573
$B' + P' + u'$	69°30'50"	65°21' 5"	53°53'24"	51°19'34"	50°15' 8"	51°53'58"	56°27'55"
$\sin (B' + P' + u')$	9.97163	9.95851	9.90735	9.89249	9.88898	9.89594	9.92093
$P'Br : A$	9.06140	8.80460	8.42595	8.28298	8.15785	8.04835	7.89247
$\delta \delta : \delta T$	9.03303	8.76311	8.33330	8.17517	8.04683	7.94429	7.81340
$A' + G' + u'$	354°37'28"	9°10'30"	13°55' 8"	15° 2'20"	195°50'53"	196°18'46"	195°48'10"
$\sin (A' + G' + u')$	8 _n 97166	9.20263	9.38120	9.41409	9 _n 43630	9 _n 44852	9 _n 43509
$G'Ar : A$	9.74408	9.42938	8.81921	8.18140	8.31851	8.67194	8.89422
$\cos \delta \delta \alpha : \delta e$	8 _n 71574	8.63201	8.20041	7.59549	7 _n 75481	8 _n 12046	8 _n 32931
$B' + G' + u'$	84°20' 0"	76°42'33"	59°12'41"	52°56'10"	227°55' 2"	223°50'10"	217°37'46"
$\sin (B' + G' + u')$	9.99787	9.98821	9.93402	9.90198	9 _n 87050	9 _n 84048	9 _n 78572
$G'Br : A$	9.77929	9.40738	8.70113	8.03881	8.16001	8.50320	8.71562
$\delta \delta : \delta e$	9.77716	9.39559	8.63515	7.94079	8 _n 03051	8 _n 34368	8 _n 50134
$A' + H' + u'$	94°35'15"	107°55'51"	108°44'52"	106°33'48"	103°11' 6"	99°25'49"	95°22'17"
$\sin (A' + H' + u')$	9.99861	9.97838	9.97633	9.98159	9.98840	9.99409	9.99809
$H'Ar : A$	1.06319	0.83965	0.52542	0.39770	0.29050	0.21077	0.13832
$\cos \delta \delta \alpha : \delta \log q$	1.06180	0.81803	0.50175	0.37929	0.27890	0.20486	0.13641
$B' + H' + u'$	184°17'47"	175°27'54"	154° 2'25"	144°27'38"	135°15'15"	126°57'13"	117°11'53"
$\sin (B' + H' + u')$	8 _n 87458	8.89800	9.04122	9.70438	9.84755	9.90261	9.94912
$H'Br : A$	1.09840	0.81765	0.40734	0.25511	0.13200	0.04203	9.95972
$\delta \delta : \delta \log q$	9 _n 97298	9.71565	0.04856	0.01949	9.97955	9.94464	9.90884
$\sin (A' + u')$	9.73499	9.32234	8 _n 82327	9 _n 31708	9 _n 55912	9 _n 71868	9 _n 88656
$\cos \delta \delta \alpha : \delta A'$	0.40478	0.77001	8 _n 98113	9 _n 35205	9 _n 48582	9 _n 55568	9 _n 61992
$\sin (B' + u')$	9 _n 02202	9 _n 91552	9 _n 87850	9 _n 88346	9 _n 90413	9 _n 93339	9 _n 97868
$\delta \delta : \delta A$	9 _n 02762	9 _n 35019	9 _n 01828	9 _n 77584	9 _n 67233	9 _n 60165	9 _n 53344
$\alpha - \beta' - u'$	17°36'18"	26°43'52"	20°33'40"	14°36'53"	6°54'10"	357°43'47"	340°22'16"
$\cos (\alpha - \beta' - u')$	0.97917	0.95092	0.97141	9.98572	9.99684	9.99966	9.97400
$r \cot g \frac{1}{2} \beta' : A$	0.22542	0.03706	0.74595	9.62474	9.51702	9.42875	9.32616
$\cos \delta \delta \alpha : \sin \beta' \delta \beta'$	0.20450	9.08708	0.71739	0.61046	9.51446	9.42841	9.30016
$\cos u'$	9 _n 58804	9 _n 68037	9 _n 80349	9 _n 86056	9 _n 91310	9 _n 95606	9 _n 99647
$\cos \delta$	0.70305	9.95000	9.99655	9.99903	9.99902	9.99913	9.99712
$\sin (\alpha - \beta' - u')$	9.48060	9.05302	9.54500	9.40104	9.07985	8 _n 50784	9 _n 52624
$\sin \delta \cot g \frac{1}{2} \beta'$	9.45054	9.17700	8.61942	8.13003	7 _n 80169	8 _n 32114	8 _n 58040

	1	2	3	4	5	6	7
log I	9 _n 29109	9 _n 63037	9 _n 80004	9 _n 86019	9 _n 91392	9 _n 95519	9 _n 99359
log — II)	8 _n 93720	8 _n 83002	8 _n 16502	7 _n 53797	6.88154	6 _n 91898	8 _n 10664
Add.	0.15918	0.06384	0.06095	0.00206	0.99960	0.00040	0.00560
log { . . . }	9 _n 15027	9 _n 69421	9 _n 86999	9 _n 86225	9 _n 91262	9 _n 95550	9 _n 99919
$\delta \delta : \sin i' \delta \delta'$	9 _n 15530	9 _n 21088	9 _n 03555	9 _n 90660	9 _n 90085	9 _n 86395	9 _n 80496
$\sin u'$	9.00471	9.04339	9.88742	9.83781	9.75913	9.63146	9.10368
$\cos (\alpha - \varrho') \sin i'$	9 _n 58774	9 _n 69139	9 _n 71390	9 _n 71840	9 _n 72150	9 _n 72365	9 _n 72634
$\cos \delta \delta \alpha : \delta i'$	0.25748	0.15145	0.82694	9.00062	9.17786	9.20347	8.63579
$\sin \delta \sin (\alpha - \varrho')$	9.81700	9.41135	8.79720	8.29964	7 _n 95500	8 _n 10678	8 _n 71591
log I	9.59406	9.18751	8.57330	8.07580	7 _n 73116	8 _n 24204	8 _n 49207
log II	9 _n 60725	9 _n 85120	9 _n 90075	9 _n 90383	9 _n 90412	9 _n 90333	9 _n 90132
Add.	8.18007	9.89463	9.97007	9.99350	0.00291	0.00039	0.01660
log { . . . }	8 _n 08313	9 _n 74883	9 _n 87982	9 _n 89733	9 _n 90703	9 _n 91272	9 _n 91792
$r \sin u : A$	0.60974	0.16006	0.11208	0.94216	9.75630	9.53082	8.00045
$\delta \delta : \delta i'$	8 _n 75287	9 _n 20889	9 _n 99280	9 _n 83949	9 _n 60339	9 _n 45254	8 _n 82737

Bei der Ausgleichung wird allen Normalorten das gleiche Gewicht gegeben, man kann also sofort daran gehen, nach den bei der Methode der kleinsten Quadrate angeführten Vorschriften pag. 318, die Coefficienten homogen zu machen und man wird als neue Unbekannte ansetzen Coefficienten logarithmisch :

$$\begin{array}{l}
 x = 0.25748 \delta i' \\
 y = 0.21088 \sin i' \delta \delta' \\
 z = 0.62762 \delta \delta' \\
 t = 1.06180 \delta \log q \\
 u = 9.03303 \delta T \\
 w = 9.77710 \delta c
 \end{array}
 \left. \vphantom{\begin{array}{l} x \\ y \\ z \\ t \\ u \\ w \end{array}} \right\} \alpha$$

log Fehlereinheit = 0.6580 .

Hier ist schon die Anordnung der Unbekannten so gewählt, dass die mit besonderer Unsicherheit zu bestimmende Excentricität, als die letzte erscheint. Die logarithmisch angesetzten, homogen gemachten Bedingungsgleichungen sind also:

$$\begin{array}{l}
 9_n6474 = 0.0000x + 9.9937y + 9.7772z + 0.0000t + 9_n5312u + 8_n9386w \\
 0.0000 = 9.8940 \quad 9.7771 \quad 9.1514 \quad 9.7562 \quad 8_n3745 \quad 8.8548 \\
 8_n7037 = 9.5695 \quad 9.5065 \quad 8_n3535 \quad 9.4399 \quad 8.6856 \quad 8.4232 \\
 9_n3506 = 9.4031 \quad 9.3996 \quad 8_n7244 \quad 9.3175 \quad 8.7585 \quad 7.8183 \\
 9_n1054 = 9.2204 \quad 9.3036 \quad 8_n8582 \quad 9.2171 \quad 8.7889 \quad 7_n9776 \\
 9_n6765 = 9.0000 \quad 9.2175 \quad 8_n9281 \quad 9.1431 \quad 8.7997 \quad 8_n3433 \\
 9.1482 = 8.3783 \quad 9.0893 \quad 8_n9023 \quad 9.0740 \quad 8.7927 \quad 8_n5521 \\
 9.2228 = 8_n4954 \quad 9_n9444 \quad 0_n0000 \quad 8_n9112 \quad 0.0000 \quad 0.0000 \\
 9.6980 = 9_n9514 \quad 0_n0000 \quad 9_n7226 \quad 8.6538 \quad 9.7301 \quad 9.6184
 \end{array}
 \left. \vphantom{\begin{array}{l} 9_n6474 \\ 0.0000 \\ 8_n7037 \\ 9_n3506 \\ 9_n1054 \\ 9_n6765 \\ 9.1482 \\ 9.2228 \\ 9.6980 \end{array}} \right\} \beta$$

$$\begin{array}{rclclclcl}
 q_{n2663} & q_{n7353}x & + & q_{n8217}y & + & q_{n2907}z & + & 8.9868t & + & 9.3003u & + & 8.8580w \\
 9.1881 & = & q_{n5820} & q_{n7557} & q_{n1182} & 8.9577 & 9.1424 & 8.1636 \\
 q_{n6510} & = & q_{n4059} & q_{n6990} & q_{n9417} & 8.9177 & 9.0138 & 8_{n2533} \\
 8_{n1202} & = & q_{n1951} & q_{n6531} & 8_{n9740} & 8.8828 & 8.9113 & 8_{n5665} \\
 9.1051 & = & 8_{n5699} & q_{n5941} & 8_{n9058} & 8.8470 & 8.7804 & 8_{n7242}
 \end{array}$$

Die Bildung der Normalgleichungen aus diesen Coëfficienten ist ausführlich bei der Methode der kleinsten Quadrate (pag. 327 ff. behandelt. Entlehnt man nun dieser Rechnung die für die Bildung der Eliminationsgleichungen notwendigen Grössen, und bildet die Controlgrössen $[as]$, $[bs]$ etc. (vergl. pag. 317) so gestaltet sich die Elimination nach den früher (pag. 339 ff.) gegebenen Vorschriften wie folgt, wobei jedoch mit Rücksicht auf die im § 6 der Methode der kleinsten Quadrate (pag. 303 ff. gemachte Bemerkung die Elimination nur bis zur vorletzten Unbekannten durchgeführt wurde:

x	y	z	t	u	w	v	s	Proben
$+ 3.1865$ 0.50331	$+ 3.4049$ 0.53211	$+ 1.3742$ 0.13805	$+ 1.4853$ 0.17182	$- 1.0222$ 0_{n00954}	$- 0.4592$ 9_{n66200}	$- 0.1590$ 9_{n20141}	$+ 7.8105$ 0.89268	E
0.02880	$+ 4.7297$ $+ 3.6384$	$+ 2.3616$ $+ 1.4684$	$+ 1.3453$ $+ 1.5871$	$- 2.0300$ $- 1.0923$	$- 1.3478$ $- 0.4907$	$- 0.5159$ $- 0.1699$	$+ 7.9478$ $+ 8.3460$	
	$+ 1.0913$ 0.03794	$+ 0.8932$ 9.95095	$- 0.2418$ 9_{n38346}	$- 0.9377$ 9_{n97206}	$- 0.8571$ 9_{n93303}	$- 0.3460$ 9_{n53908}	$- 0.3982$ 9_{n60010}	$- 0.3981$ E
9.63474		$+ 1.7681$ $+ 0.5926$	$+ 0.6311$ $+ 0.6406$	$- 1.5927$ $- 0.4408$	$- 1.2625$ $- 0.1980$	$- 0.4725$ $- 0.0686$	$+ 2.8073$ $+ 3.3684$	
9.91301		$+ 1.1755$ $+ 0.7311$	$- 0.0095$ $- 0.1979$	$- 1.1519$ $- 0.7675$	$- 1.0645$ $- 0.7015$	0.4039 0.2832	0.5611 $- 0.3259$	
	$+ 0.4444$ 9.64777	$+ 0.1884$ 9.27508	$- 0.3844$ 9_{n58478}	$- 0.5630$ 9_{n55994}	$- 0.1207$ 9_{n08171}	$- 0.2352$ 9_{n37144}	$- 0.2353$ E	
9.66851		$+ 1.5484$ $+ 0.6924$	$- 0.3078$ $- 0.4765$	$- 0.1085$ $- 0.2140$	$- 0.0143$ $- 0.0741$	$+ 4.5795$ $+ 3.6407$		
9_{n34552}		$+ 0.8560$ $+ 0.0536$	$+ 0.1687$ $+ 0.2078$	$+ 0.1055$ $+ 0.1899$	$+ 0.0598$ $+ 0.0767$	$+ 0.9388$ $+ 0.0882$		
9.62731		$+ 0.8024$ $+ 0.0769$	$- 0.0391$ $- 0.1630$	$- 0.0844$ $- 0.1539$	$- 0.0169$ $- 0.0512$	$+ 0.8506$ $- 0.0997$		
	$+ 0.7225$ 9.85884	$+ 0.1239$ 9.09307	$+ 0.0695$ 8.84198	$+ 0.0343$ 8.53529	$+ 0.9503$ 9.97786	$+ 0.9502$ E		
9_{n50023}		$+ 1.5016$ $+ 0.3279$	$+ 1.2568$ $+ 0.1473$	$+ 0.4841$ $+ 0.0510$	$- 1.7102$ $- 2.5056$			
9_{n93112}		$+ 1.1737$ $+ 0.8057$	$+ 1.1095$ $+ 0.7365$	$+ 0.4331$ $+ 0.2973$	$+ 0.7954$ $+ 0.3422$			
9_{n93701}		$+ 0.3680$ $+ 0.3325$	$+ 0.3730$ $+ 0.3140$	$+ 0.1358$ $+ 0.1044$	$+ 0.4532$ $+ 0.2034$			
9.23423		$+ 0.0355$ $+ 0.0212$	$+ 0.0590$ $+ 0.0119$	$+ 0.0314$ $+ 0.0059$	$+ 0.2498$ $+ 0.1630$			
	$+ 0.0143$ 8.15554	$+ 0.0471$ 8.67302	$+ 0.0255$ 8.40954	$+ 0.0868$ E	$+ 0.0869$ E			

Um zu zeigen, dass in der That die Bestimmung der letzten Unbekannten, mit einem einigermaassen genügenden Grade der Annäherung aus diesen Gleichungen nicht möglich ist, will ich des Beispiels halber die Elimination vollenden, man erhält so, das Schema fortsetzend:

$$\begin{array}{rcl}
 & + 1.1978 & + 0.4811 \\
 9_n 15869 & + 0.0662 & + 0.0229 \\
 & + 1.1316 & + 0.4582 \\
 9_n 89509 & + 0.6732 & + 0.2718 \\
 & + 0.4584 & + 0.1864 \\
 9_n 91214 & + 0.2965 & + 0.0986 \\
 & + 0.1619 & + 0.0878 \\
 8.98314 & + 0.0067 & + 0.0033 \\
 & + 0.1552 & + 0.0845 \\
 0.51708 & + 0.1551 & + 0.0840 \\
 & + 0.0001 & + 0.0005
 \end{array}$$

so dass in der That der für die Bestimmung der letzten Unbekannten notwendige Coëfficient weit innerhalb der Grenzen der Unsicherheit der Rechnung liegt und wohl auch in ähnlichen Fällen der theoretischen Ableitung entgegen pag. 334 negativ gefunden wird.

Bestimmt man die Summe der Fehlerquadrate nach den bekannten Formeln pag. 337. 338, die übrig bleiben, wenn man von der letzten Unbekannten absieht, so erhält man:

$$nn5 = 1.9368. \quad 7$$

Aus der letzten Eliminationsgleichung folgt aber logarithmische Coëfficienten:

$$u = 0.25120 + 0_n 51708 w$$

da der Coëfficient von w grösser als die Einheit wird, so lehrt dieser Umstand vergl. pag. 364, dass es in der That zweckmässiger gewesen wäre, als letzte Unbekannte u anzusetzen, doch ist dieser Factor hinreichend klein, so dass ein wesentlicher Nachtheil für die Rechnung daraus nicht entstehen kann. Substituirt man nun diesen Werth von u der Reihe nach in die einzelnen Eliminationsgleichungen vergl. pag. 424, so erhält man alle Unbekannten als Functionen von w ausgedrückt; man findet so, indem wieder alle Coëfficienten logarithmisch verstanden werden:

$$\left. \begin{array}{l}
 u = 0.25120 + 0_n 51708 w \\
 t = 9_n 41207 + 9.67085 w \\
 z = 0.14004 + 0_n 34848 w \\
 y = 8.44778 + 9_n 06030 w \\
 x = 8.23547 + 8_n 66312 w
 \end{array} \right\} \delta$$

Die erste Columnne rechts vom Gleichheitszeichen gibt also die wahrscheinlichsten Correctionen der Elemente, wenn man $w = 0$ setzt; substituirt man dem-

nach die Werthe von δ pag. 425, in die Gleichungen ρ' pag. 423 und schafft die von w unabhängigen Correctionen auf die linke Seite des Gleichheitszeichens, so erhält man als neue Bedingungsgleichungen zur Bestimmung von w sofort Coefficienten nicht logarithmisch :

Rectascensionen.	Declinationen.	
$- 0.4510 = + 0.0061 w$	$- 0.2318 = + 0.0016 w$	} $\epsilon)$
$+ 0.9636 = - 0.0042 w$	$+ 0.3249 = + 0.0012 w$	
$- 0.0502 = - 0.0079 w$	$- 0.2180 = - 0.0027 w$	
$- 0.2111 = - 0.0071 w$	$+ 0.3004 = - 0.0031 w$	
$- 0.1035 = - 0.0046 w$	$- 0.4396 = - 0.0026 w$	
$- 0.4406 = + 0.0007 w$	$+ 0.0064 = - 0.0006 w$	
$+ 0.1426 = + 0.0195 w$	$+ 0.1609 = + 0.0077 w$	

Die Grössen links vom Gleichheitszeichen stellen also die minimalen Fehler dar, wenn man $w = 0$ setzt; die Summe dieser Fehlerquadrate muss daher mit dem oben gefundenen Werthe γ pag. 425 von $[uu5]$ stimmen, in der That ist:

$$u' u' = 1.9368.$$

so dass die Uebereinstimmung zufällig vollkommen ist; man sieht aus den Gleichungen $\epsilon)$ sofort, dass die Bestimmung von w sehr unsicher ausfallen muss, da alle Coefficienten dieser Unbekannten klein sind, doch übersteigen die meisten weit die Unsicherheit der Rechnung; vergleicht man also dieses Resultat mit dem der obigen Elimination, so sieht man sofort ein, dass die Zurückführung des Zusammenhangs der unsicheren Unbekannten mit den Beobachtungen auf die einfachste Form in der That ganz wesentliche Vortheile bringt.

Führt man nun wieder, um die Rechnung einfacher zu gestalten logarithmisch :

$$w' = 8.2900 w$$

ein, so erhält man durch die Anwendung der Methode der kleinsten Quadrate w' bestimmt durch:

$$w' = \frac{[a' n']}{[a' a']};$$

es ist aber:

$$\begin{aligned} [a' n'] &= + 0.0551 \\ [a' a'] &= + 1.7278, \end{aligned}$$

$$\begin{aligned} \text{also } \log w' &= 8.5038 \\ \log w &= 0.2138. \end{aligned}$$

substituirt man diesen Werth von w in die Gleichungen δ pag. 425, so resultirten aus denselben die Werthe der Unbekannten, die mit Rücksicht auf die in α pag. 423 eingeführten Homogenitätsfactoren und unter Beachtung des Umstandes, dass die Unbekannten $\delta \log q$, δT und δc zunächst im Bogenmaasse erscheinen, also durch die

Multiplikation mit dem Sinus einer Bogensekunde auf Einheiten des Radius zurückgeführt werden müssen, in die Aenderungen der Elemente leicht umgesetzt werden können:

$$\begin{array}{lll} \log w = 0.2138 & \delta e = + 0.0000603 & \\ \log u = 0.5570 & \delta T = 0.000737 & \\ \log t = 9.7062 & \delta \log q = + 0.0000010 & \\ \log z = 0.3560 & \delta \lambda' = - 2''43 & \delta \lambda'' = 3''93 \\ \log y = 9.2041 & \delta \lambda'' = - 0.75 & \\ \log x = 8.7643 & \delta \lambda''' = - 0.15 & \end{array}$$

Substituirt man den oben gefundenen Werth von w in die Gleichungen ϵ verwandelt alles in Bogenmaass und führt überdies statt w die Unbekannte δe ein, so erhält man nach den Differentialformeln die folgende Darstellung der Orte, wobei aber für das wahrscheinlichste System $\delta e = 0$ zu setzen ist:

	$\cos \delta d\alpha$	$d\delta$	
1865 Dec. 22.5	$- 2''10 - 0''75 10^3 \delta e$	$- 1''07 - 0''20 10^3 \delta e$	}
» 27.0	$+ 4.42 + 0.52$	$+ 1.47 - 0.15$	
1866 Jan. 4.0	$- 0.17 + 0.98$	$- 0.97 + 0.33$	
» 9.0	$- 0.91 + 0.88$	$+ 1.39 + 0.38$	
» 15.0	$- 0.44 + 0.57$	$- 1.98 + 0.32$	
» 22.0	$- 2.01 - 0.09$	$+ 0.03 + 0.07$	
Febr. 5.0	$+ 0.73 - 2.41$	$+ 0.67 - 0.95$	

Die verbesserten Elemente selbst werden erhalten durch die Hinzufügung der Correctionen:

$$\begin{array}{l} \text{J. 1. 1866} \\ T = 1866 \text{ Januar } 11.170960 \text{ mittl. Berl. Zeit.} \\ \left. \begin{array}{l} \lambda' = 342^{\circ}28'20''95 \\ \lambda'' = 202^{\circ}54'48''31 \\ \lambda''' = 143^{\circ}19'35''95 \end{array} \right\} \begin{array}{l} \text{mittl. Aequat.} \\ 1866.0 \end{array} \\ \log q = 9.9896815 \\ e = 0.9054272 \end{array}$$

Rechnet man aus diesen Elementen die Darstellung der Orte direct, so findet man eine völlige Uebereinstimmung mit den Werthen in \tilde{z} innerhalb der Unsicherheit der siebenstelligen Rechnung; würden aber die erforderlichen Correctionen der Elemente wesentlich grösser sein als in dem vorliegenden Falle, so könnten leicht ganz erhebliche Differenzen zwischen den Resultaten der directen Rechnung und jenen der Differentialformeln auftreten: man würde in einem solchen Falle die Auflösung der Normalgleichungen zu wiederholen haben: hierbei wird es aber, wenn nicht die zu Grunde gelegten Elemente allzu fehlerhaft waren, nur nöthig sein, die mit u verbundenen Coefficienten, also $[au]$, $[bu]$, \dots , $[fu]$ neu zu rechnen, und demnach bei der Auflösung der Normalgleichungen nur die vorletzte Columnne, die die u -Werthe enthält, abzuändern. Für die Werthe von u müssen natürlich die Resultate der directen Vergleichung der verbesserten Elemente mit den Normalorten

zu Grunde gelegt werden. Die Gleichungen 2 (pag. 127) zeigen, dass man wohl δe innerhalb der Grenzen ± 0.003 abändern darf, ohne gerade mit den Beobachtungen in Widerspruch zu gerathen; jede Aenderung von δe bewirkt aber nach den Gleichungen 6 (pag. 125) eine Aenderung von q , man erhält aus diesen die diesbezügliche Relation:

$$\delta \log q = 8.3862 \delta e,$$

also sind die in $\delta \log q$ bewirkten Aenderungen $\pm 0.000\ 0730$, wenn man δe um ± 0.003 abändert. Die grosse Achse und die Umlaufszeit in siderischen Jahren bestimmt sich nach:

$$a = \frac{q}{1-e} \qquad U = a^3$$

ist also nach den obigen Elementen:

$$\log a = 1.0139152$$

$$U = 33.17973 \text{ sid. Jahre.}$$

Macht man aber von den obigen als möglich bezeichneten Aenderungen Gebrauch, so findet man für:

$$\begin{array}{ll} \delta e = + 0.003 & \delta e = - 0.003 \\ \delta \log q = + 0.000\ 0730 & \delta \log q = - 0.0000730 \\ \log a = 1.0279880 & \log a = 1.0002797 \\ U = 34.83 & U = 31.65, \end{array}$$

d. h. die Umlaufszeit kann zwischen den Grenzen 31.65 und 34.83 Jahren angenommen werden, ohne mit den Beobachtungen in Widerspruch zu gerathen.

§ 7. Bestimmung der Bahnelemente eines kleinen Planeten aus den Beobachtungen einer Opposition.

Die Anwendung der in dem vorausgehenden Paragraphen entwickelten Methoden auf die Bestimmung der Bahnelemente eines kleinen Planeten aus den Beobachtungen einer Opposition scheint auf den ersten Blick keinen theoretischen Schwierigkeiten unterworfen zu sein, doch wird man sich derselben sofort bewusst werden, wenn man erwägt, dass die Bahnelemente in dem vorliegenden Falle niemals mit einem hohen Grade von Genauigkeit bestimmt werden können, da der von den Planeten innerhalb des Zeitraumes der vorhandenen Beobachtungen zurückgelegte heliocentrische Bogen ein mässiger sein wird; man wird deshalb in der Lage sein, die Elemente der Planeten innerhalb verhältnissmässig weiter Grenzen zu variiren, ohne auf eine gute Darstellung der Beobachtungen verzichten zu müssen. Sind aber die an die Elemente anzubringenden Elemente gross, so wird man nicht erwarten dürfen, dass der Zusammenhang derselben mit den Beobachtungen ein linearer bleibt; genügen aber die Bedingungsgleichungen nicht völlig diesen Bedingungen,

so wird jede auf diese Voraussetzung begründete Lösung mit Fehlern behaftet sein, die unter Umständen ganz beträchtlich sein können. Der durch die Methode der kleinsten Quadrate gestellten Forderung des linearen Zusammenhanges wird man aber in verschiedener Weise durch entsprechende Wahl der willkürlichen Constanten des Problems genügen können, und in der That lässt sich für den vorliegenden Fall eine Wahl derselben treffen, die in viel höherem Maasse der gestellten Forderung entspricht, als die in den vorstehenden Methoden eingeführten Elemente. Man gelangt dadurch zu einer Lösung der vorgelegten Aufgabe, die eine sonst mehrfach zu wiederholende Aufstellung der Bedingungsgleichungen in kurzer und sicherer Weise umgeht, und um so werthvoller wird, wenn man sich nicht begnügt die wahrscheinlichsten Elemente allein zu bestimmen, sondern auch jene Elemente aufsucht, die die Eigenschaft haben, noch in erträglicher Weise sich den Beobachtungen anzuschliessen, eine Untersuchung, die insbesondere bei in Verlust gerathenen Planeten oft von grosser Bedeutung sein kann.

Es lässt sich nach I pag. 108 jede heliocentrische Coordinate x, y, z innerhalb mässiger Zeitgrenzen mit Vortheil als Funktion der Ausgangscoordinaten x_0, y_0, z_0 und deren Geschwindigkeiten $\frac{dx_0}{dt}, \frac{dy_0}{dt}, \frac{dz_0}{dt}$ darstellen; nämlich:

$$\left. \begin{aligned} x &= ax_0 + b \frac{dx_0}{dt} \\ y &= ay_0 + b \frac{dy_0}{dt} \\ z &= az_0 + b \frac{dz_0}{dt} \end{aligned} \right\} \quad 1)$$

wo a und b für jede der drei Coordinaten identische Functionen der Ausgangscoordinaten, Geschwindigkeiten und der Zwischenzeit t sind: in der ersten Annäherung kann aber $a = 1$ und $b = t$ gesetzt werden, woraus man den Schluss ziehen kann, dass die Variationen der Coordinaten und der Geschwindigkeiten für die Ausgangsepoche im Allgemeinen einen geringen Einfluss auf a und b zeigen werden. Hierbei wird die Zeit von der Epoche der Ausgangscoordinaten gezählt gedacht, ausgedrückt in Einheiten des mittleren Sonnentages multiplicirt in die Constante des Sonnensystems k , man hat also die ebenfalls am citirten Orte angeführten Relationen:

$$k t = \tau, \quad k dt = d\tau.$$

Setzt man der Kürze halber:

$$\frac{dx_0}{dt} = \xi_0, \quad \frac{dy_0}{dt} = \eta_0, \quad \frac{dz_0}{dt} = \zeta_0, \quad 2)$$

so wird man statt 1) zu schreiben haben:

$$\left. \begin{aligned} x &= ax_0 + b \xi_0 \\ y &= ay_0 + b \eta_0 \\ z &= az_0 + b \zeta_0 \end{aligned} \right\} \quad 3)$$

Setzt man:

$$x_0^2 + y_0^2 + z_0^2 = r_0^2.$$

also:

$$x_0 \xi_0 + y_0 \eta_0 + z_0 \zeta_0 = r_0 \left(\frac{dr_0}{dt} \right), \quad 4)$$

so hat man für a und b nach I pag. 109 die Reihen:

$$\left. \begin{aligned} a &= 1 - \frac{1}{2} \frac{r^2}{r_0^3} + \frac{1}{2} \frac{r^3}{r_0^4} \left(\frac{dr_0}{dt} \right) + \left\{ \frac{1}{r_0^5} - \frac{12}{r_0^5} \left(\frac{dr_0}{dt} \right)^2 + \frac{3}{r_0^4} \left(\frac{d^2 r_0}{dt^2} \right) \right\} \frac{r^4}{24} + \dots \\ b &= r - \frac{1}{6} \frac{r^3}{r_0^3} + \frac{1}{4} \frac{r^4}{r_0^4} \left(\frac{dr_0}{dt} \right) + \dots \end{aligned} \right\} \quad 5)$$

welche wohl stets innerhalb der hier in Aussicht genommenen Ausdehnung ausreichen werden. Zur Berechnung von $\left(\frac{dr_0}{dt} \right)$ kann man wohl die Relation 4) benutzen, kürzer wird sich aber die Rechnung gestalten (vergl. pag. 89), wenn man berechnet:

$$\frac{dr_0}{dt} = \frac{\sin q_0 \sin r_0}{p_0}, \quad 6)$$

wo also q_0 , p_0 der Excentricitätswinkel und der Parameter der Ausgangselemente ist und die aus den letzteren folgende wahre Anomalie zur Zeit der Ausgangsepoche durch r_0 bezeichnet wird. Die nochmalige Differentiation nach der Zeit gibt in Verbindung mit der bekannten Relation (vergl. I pag. 45):

$$\left. \begin{aligned} r^2 \frac{dr}{dt} &= \frac{1}{p} \frac{dp}{dt} \\ \frac{d^2 r_0}{dt^2} &= \frac{\sin q_0 \cos r_0}{r_0^2} \end{aligned} \right\} \quad 7)$$

Durch die Gleichungen 6 und 7 werden also die in den Gleichungen 5) auftretenden Differentialquotienten leicht berechnet werden können. Setzt man also:

$$\left. \begin{aligned} A_2 &= -\frac{1}{2r_0^3} \\ A_3 &= \frac{1}{2r_0^4} \left(\frac{dr_0}{dt} \right) = \frac{1}{2r_0^5} \left(r_0 \frac{dr_0}{dt} \right) \\ A_4 &= \frac{1}{24r_0^5} \left\{ \frac{1}{r_0} + 3r_0 \left(\frac{d^2 r_0}{dt^2} \right) - 12 \left(\frac{dr_0}{dt} \right)^2 \right\} \\ B_3 &= -\frac{1}{6r_0^3} \\ B_4 &= -\frac{1}{4r_0^4} \left(\frac{dr_0}{dt} \right) = -\frac{1}{4r_0^5} \left(r_0 \frac{dr_0}{dt} \right) \end{aligned} \right\} \quad 8)$$

so sind die in 8 bestimmten Coefficienten in einem gegebenen Falle bestimmte numerische Constanten und man hat zur Berechnung von a und b die bequemen Formen:

$$\left. \begin{aligned} a &= 1 + A_2 r^2 + A_3 r^3 + A_4 r^4 + \dots \\ b &= r + B_3 r^2 + B_4 r^3 + \dots \end{aligned} \right\} \quad 9)$$

Es sollen nun als die sechs Constanten des Problemcs Elemente die Größen x_0 , y_0 , z_0 , ξ_0 , η_0 und ζ_0 gewählt werden, ohne noch vorerst über die Lage des

A_4 kann noch berechnet werden nach $\frac{1}{8r_0^5} g^2 - \frac{5}{8r_0^5} \left(\frac{dr_0}{dt} \right)^2 - \frac{1}{12r_0^6}$, welche Transformation sich leicht aus den folgenden Entwicklungen ergibt (vgl. Gleichung 14).

Coordinatensystemes, ausser der Bedingung, dass der Anfangspunkt in den Sonnenmittelpunkt gelegt ist, weitere Bestimmungen zu treffen. Es wird sich also mit Rücksicht auf die Gleichung 3¹⁾ (pag. 429¹⁾ jede Variation einer heliocentrischen Coordinate als Variation der obigen Elemente darstellen lassen und man erhält, indem man die Ermittlung der Variationen der Grössen a und b vorerst symbolisch darstellt und deren Entwicklung auf später vorbehält, das folgende System:

$$\left. \begin{aligned} \frac{\partial x}{\partial x_0} &= a + x_0 \left(\frac{\partial a}{\partial x_0} \right) + \xi_0 \left(\frac{\partial b}{\partial x_0} \right), & \frac{\partial x}{\partial \xi_0} &= b + x_0 \left(\frac{\partial a}{\partial \xi_0} \right) + \xi_0 \left(\frac{\partial b}{\partial \xi_0} \right) \\ \frac{\partial x}{\partial y_0} &= x_0 \left(\frac{\partial a}{\partial y_0} \right) + \xi_0 \left(\frac{\partial b}{\partial y_0} \right), & \frac{\partial x}{\partial \eta_0} &= x_0 \left(\frac{\partial a}{\partial \eta_0} \right) + \xi_0 \left(\frac{\partial b}{\partial \eta_0} \right) \\ \frac{\partial x}{\partial z_0} &= x_0 \left(\frac{\partial a}{\partial z_0} \right) + \xi_0 \left(\frac{\partial b}{\partial z_0} \right), & \frac{\partial x}{\partial \zeta_0} &= x_0 \left(\frac{\partial a}{\partial \zeta_0} \right) + \xi_0 \left(\frac{\partial b}{\partial \zeta_0} \right) \\ \frac{\partial y}{\partial x_0} &= y_0 \left(\frac{\partial a}{\partial x_0} \right) + \eta_0 \left(\frac{\partial b}{\partial x_0} \right), & \frac{\partial y}{\partial \xi_0} &= y_0 \left(\frac{\partial a}{\partial \xi_0} \right) + \eta_0 \left(\frac{\partial b}{\partial \xi_0} \right) \\ \frac{\partial y}{\partial y_0} &= a + y_0 \left(\frac{\partial a}{\partial y_0} \right) + \eta_0 \left(\frac{\partial b}{\partial y_0} \right), & \frac{\partial y}{\partial \eta_0} &= b + y_0 \left(\frac{\partial a}{\partial \eta_0} \right) + \eta_0 \left(\frac{\partial b}{\partial \eta_0} \right) \\ \frac{\partial y}{\partial z_0} &= y_0 \left(\frac{\partial a}{\partial z_0} \right) + \eta_0 \left(\frac{\partial b}{\partial z_0} \right), & \frac{\partial y}{\partial \zeta_0} &= y_0 \left(\frac{\partial a}{\partial \zeta_0} \right) + \eta_0 \left(\frac{\partial b}{\partial \zeta_0} \right) \\ \frac{\partial z}{\partial x_0} &= z_0 \left(\frac{\partial a}{\partial x_0} \right) + \zeta_0 \left(\frac{\partial b}{\partial x_0} \right), & \frac{\partial z}{\partial \xi_0} &= z_0 \left(\frac{\partial a}{\partial \xi_0} \right) + \zeta_0 \left(\frac{\partial b}{\partial \xi_0} \right) \\ \frac{\partial z}{\partial y_0} &= z_0 \left(\frac{\partial a}{\partial y_0} \right) + \zeta_0 \left(\frac{\partial b}{\partial y_0} \right), & \frac{\partial z}{\partial \eta_0} &= z_0 \left(\frac{\partial a}{\partial \eta_0} \right) + \zeta_0 \left(\frac{\partial b}{\partial \eta_0} \right) \\ \frac{\partial z}{\partial z_0} &= a + z_0 \left(\frac{\partial a}{\partial z_0} \right) + \zeta_0 \left(\frac{\partial b}{\partial z_0} \right), & \frac{\partial z}{\partial \zeta_0} &= b + z_0 \left(\frac{\partial a}{\partial \zeta_0} \right) + \zeta_0 \left(\frac{\partial b}{\partial \zeta_0} \right) \end{aligned} \right\} \quad 10.)$$

Die nächste Aufgabe wird nun darin bestehen, die Bedeutung der symbolisch angezeigten Differentialquotienten näher zu entwickeln. Beachtet man die Ausdrücke 5 (pag. 430), so sieht man sofort, dass die Differentiation nach jeder Coordinate und deren Geschwindigkeit völlig analoge Ausdrücke ergeben muss; da die angeführten Ausdrücke die Coordinaten und Geschwindigkeiten nur in r_0 und deren Derivationen enthalten, die selbst völlig symmetrisch in Bezug auf die letzteren gebaut sind. Es wird also die Durchführung der Differentiation nach x_0 und ξ_0 allein genügen, um die analogen Formen für die Derivationen von y_0 , η_0 , z_0 und ζ_0 hinschreiben zu können; und auch diese Operationen lassen sich wesentlich vereinfachen, wenn man die folgenden Bemerkungen beachtet.

Zunächst wird man berücksichtigen, das ist:

$$\frac{\partial r_0}{\partial x_0} = \frac{x_0}{r_0}, \quad \frac{\partial r_0}{\partial \xi_0} = 0. \quad 11.)$$

setzt man weiter:

$$\left(r_0 \frac{\partial r_0}{\partial t} \right) = h'.$$

so ist offenbar nach 4¹⁾ (pag. 430):

$$\frac{\partial h'}{\partial x_0} = \xi_0, \quad \frac{\partial h'}{\partial \zeta_0} = x_0. \quad 12.)$$

Um für die zweiten Differentialquotienten von r_0 die entsprechenden Differentiationen ausführen zu können, werde ich die bei der Hansen-Tietjen'schen Methode (pag. 142) der Störungsrechnung aufgestellte Gleichung heranziehen; dieselbe wurde an der citirten Stelle gefunden:

$$\frac{d^2(r-r)}{dt^2} \left(\frac{dl}{dt} \right)^2 + \frac{k^2 r}{r^3} = (r) \Sigma R - (r) \Sigma w ;$$

bemerkt man, dass für die ungestörte Bewegung der Ausdruck rechter Hand verschwindet und (r) mit r und $\frac{dl}{dt}$ mit $\frac{dr}{dt}$ identificirt werden darf, so wird geschrieben werden können:

$$\frac{d^2 r_0}{dt^2} = r_0 \left(\frac{dr_0}{dt} \right)^2 - \frac{1}{r_0^2} .$$

Das Quadrat der Geschwindigkeit, dividirt durch das Quadrat der Constante des Sonnensystems, sei durch g^2 bezeichnet, so wird g^2 leicht (vergl. I pag. 44) berechnet werden können nach:

$$g^2 = \frac{2}{r_0} - \frac{1}{a_0} ; \quad 13)$$

es ist aber überdiess:

$$g^2 = \xi_0^2 + \eta_0^2 + \zeta_0^2 = \left(r_0 \frac{dr_0}{dt} \right)^2 + \left(\frac{dr_0}{dt} \right)^2 ,$$

man wird also haben:

$$r_0^2 \frac{d^2 r_0}{dt^2} = r_0 g^2 - r_0 \left(\frac{dr_0}{dt} \right)^2 - 1 .$$

Führt man diese Relation in A_1 (8) pag. 430 ein, so findet sich:

$$A_1 = \frac{1}{24 r_0^6} \left\{ -2 - 15 r_0 \left(\frac{dr_0}{dt} \right)^2 + 3 r_0 g^2 \right\} = -\frac{1}{12 r_0^6} - \frac{5}{8 r_0^7} h'^2 + \frac{1}{8 r_0^5} g^2 , \quad 14$$

wobei ist:

$$\frac{\partial g}{\partial x_0} = 0 \quad g \frac{\partial g}{\partial \xi_0} = \xi_0 ; \quad 15$$

es wird also:

$$\left. \begin{aligned} \frac{\partial A_2}{\partial x_0} &= \frac{3}{2} \frac{x_0}{r_0^5} , & \frac{\partial A_2}{\partial \xi_0} &= 0 \\ \frac{\partial A_3}{\partial x_0} &= -\frac{5 x_0}{2 r_0^6} \left(\frac{dr_0}{dt} \right)^2 + \frac{\xi_0}{2 r_0^5} , & \frac{\partial A_3}{\partial \xi_0} &= \frac{x_0}{2 r_0^5} \\ \frac{\partial A_4}{\partial x_0} &= \left\{ \frac{1}{4 r_0^6} + \frac{35}{8 r_0^7} \left(\frac{dr_0}{dt} \right)^2 - \frac{5}{8 r_0^7} g^2 \right\} \xi_0 - \frac{5}{4 r_0^6} \left(\frac{dr_0}{dt} \right) x_0 \\ \frac{\partial A_4}{\partial \xi_0} &= -\frac{5 x_0}{4 r_0^6} \left(\frac{dr_0}{dt} \right)^2 + \frac{\xi_0}{4 r_0^5} \\ \frac{\partial B_3}{\partial x_0} &= \frac{x_0}{2 r_0^5} , & \frac{\partial B_3}{\partial \xi_0} &= 0 \\ \frac{\partial B_4}{\partial x_0} &= -\frac{5 x_0}{4 r_0^6} \left(\frac{dr_0}{dt} \right)^2 + \frac{\xi_0}{4 r_0^5} , & \frac{\partial B_4}{\partial \xi_0} &= \frac{x_0}{4 r_0^5} \end{aligned} \right\} \quad 16$$

es ist aber offenbar nach 9) (pag. 430):

$$\begin{aligned}\frac{\partial a}{\partial x_0} &= \frac{\partial A_2}{\partial x_0} r^2 + \frac{\partial A_3}{\partial x_0} r^3 + \frac{\partial A_4}{\partial x_0} r^4 \\ \frac{\partial a}{\partial \xi_0} &= \frac{\partial A_2}{\partial \xi_0} r^2 + \frac{\partial A_3}{\partial \xi_0} r^3 + \frac{\partial A_4}{\partial \xi_0} r^4 \\ \frac{\partial b}{\partial x_0} &= \frac{\partial B_3}{\partial x_0} r^3 + \frac{\partial B_4}{\partial x_0} r^4 \\ \frac{\partial b}{\partial \xi_0} &= \frac{\partial B_3}{\partial \xi_0} r^3 + \frac{\partial B_4}{\partial \xi_0} r^4.\end{aligned}$$

Substituiert man nun in diese Ausdrücke die in 16) (pag. 432) gefundenen Differentialquotienten und setzt abkürzend:

$$\begin{aligned}\alpha &= \frac{3}{2} \frac{r^2}{r_0^5} \left\{ 1 - \frac{5}{3} \frac{r}{r_0} \left(\frac{dr_0}{dt} \right) + \frac{r^2}{12 r_0^2} \left[\frac{4}{r_0} + 35 \left(\frac{dr_0}{dt} \right)^2 - 5 g^2 \right] \right\} \\ \beta &= \frac{1}{2} \frac{r^3}{r_0^5} \left\{ 1 - \frac{5}{2} \frac{r}{r_0} \left(\frac{dr_0}{dt} \right) \right\} \\ \gamma &= \frac{1}{4} \frac{r^4}{r_0^5}\end{aligned}$$

welchen Ausdrücken man auch die folgende Gestalt geben kann:

$$\left. \begin{aligned}\alpha &= \alpha_2 r^2 \left\{ 1 + \alpha_3 r + \alpha_4 r^2 \right\} \\ \beta &= \beta_3 r^3 \left\{ 1 + \beta_4 r \right\} \\ \gamma &= \gamma_4 r^4 \\ \alpha_2 &= \frac{3}{2 r_0^5} \\ \alpha_3 &= - \frac{5}{3 r_0} \left(\frac{dr_0}{dt} \right) \\ \alpha_4 &= \frac{1}{12 r_0^2} \left[\frac{4}{r_0} + 35 \left(\frac{dr_0}{dt} \right)^2 - 5 g^2 \right] \\ \beta_3 &= \frac{1}{2 r_0^5} \\ \beta_4 &= - \frac{5}{2 r_0} \left(\frac{dr_0}{dt} \right) \\ \gamma_4 &= \frac{1}{4 r_0^5}\end{aligned} \right\} \quad 17$$

so findet sich leicht:

$$\left. \begin{aligned}\frac{\partial a}{\partial x_0} &= \alpha x_0 + \beta \xi_0, & \frac{\partial b}{\partial x_0} &= \frac{\partial a}{\partial \xi_0} = \beta x_0 + \gamma \xi_0, & \frac{\partial b}{\partial \xi_0} &= \gamma x_0 \\ \frac{\partial a}{\partial y_0} &= \alpha y_0 + \beta \eta_0, & \frac{\partial b}{\partial y_0} &= \frac{\partial a}{\partial \eta_0} = \beta y_0 + \gamma \eta_0, & \frac{\partial b}{\partial \eta_0} &= \gamma y_0 \\ \frac{\partial a}{\partial z_0} &= \alpha z_0 + \beta \zeta_0, & \frac{\partial b}{\partial z_0} &= \frac{\partial a}{\partial \zeta_0} = \beta z_0 + \gamma \zeta_0, & \frac{\partial b}{\partial \zeta_0} &= \gamma z_0.\end{aligned} \right\} \quad 18$$

Es ist somit die Möglichkeit geboten, die Variationen der rechtwinkligen heliocentrischen Coordinaten für Zeiten, die nicht zu weit von der Ausgangsepoche abstehen, durch die Variationen der Coordinaten und Geschwindigkeiten zur Zeit der Ausgangsepoche darzustellen. Die Beschränkung, dass die Zwischenzeiten nicht zu gross sind, kommt für kleine Planeten, die nur in einer Opposition beobachtet wurden, nicht weiter in Betracht, da in der That für diese die obigen Formeln eine

stets ausreichende Genauigkeit liefern werden, um so mehr, wenn man als Ausgangsepoche einen Zeitpunkt annimmt, der nahe mit der Mitte der Zeiten der Normalorte zusammenfällt. Uebrigens kann man im Falle grosser Zwischenzeiten die von Kühnert Astr. Nachr. No. 2266 entwickelten geschlossenen Ausdrücke benützen.

Die Variationen der heliocentrischen rechtwinkligen Coordinaten können leicht in Variationen der geocentrischen polaren Coordinaten übertragen werden (vergl. I pag. 31) durch:

$$\left. \begin{aligned} \cos \beta \, \delta \lambda &= - \frac{\sin \lambda}{J} \, \delta x + \frac{\cos \lambda}{J} \, \delta y \\ \delta \beta &= - \frac{\cos \lambda \sin \beta}{J} \, \delta x - \frac{\sin \lambda \sin \beta}{J} \, \delta y + \frac{\cos \beta}{J} \, \delta z, \end{aligned} \right\} \quad 19)$$

in welchen Ausdrücken J die geocentrische Entfernung darstellt, λ und β die geocentrischen polaren Coordinaten vorstellen und an welche blos die Bedingung geknüpft ist, dass sie sich auf dasselbe Coordinatensystem beziehen, auf welches die Variationen der Coordinaten bezogen sind. Da aber das letztere bezüglich der Richtungen der Achsen völlig willkürlich war, so wird es zweckmässig erscheinen für die Lage derselben eine solche Wahl zu treffen, dass sich einerseits die Rechnungen nach der Methode der kleinsten Quadrate möglichst einfach gestalten und andererseits, was noch wesentlich ist, die Unsicherheit in den Elementen so weit als thunlich auf zwei Elemente zurückgedrängt wird; es sollen für diese letzteren Elemente die Grössen x_0 und ξ_0 gewählt werden.

Da sich die scheinbare Bahn eines kleinen Planeten in einer Opposition nie allzuweit von einem grössten Kreise entfernt, so wird man zweckmässig den grössten Kreis als Fundamentalebene wählen, der sich den beobachteten Orten möglichst nahe anschliesst, und als Anfangspunkt der Zählung in diesem grössten Kreise jenen Punkt annehmen, der die Quadratsumme der Entfernungen der Orte von demselben zu einem Minimum macht. Da aber die Lage des Coordinatensystemes nur näherungsweise diesen Bedingungen zu entsprechen braucht, so wird es genügen, ein nahe richtiges Verfahren einzuschlagen. Die hierfür anzuwendenden Formeln werden sich sehr leicht ergeben, wenn man die Sinus aller auftretenden kleinen Bogen mit den Bogen, die Cosinus mit der Einheit vertauscht. Seien $\alpha_1, \alpha_2, \alpha_3 \dots \alpha_n$ und $\delta_1, \delta_2, \delta_3 \dots \delta_n$ die Rectascensionen und Declinationen der n zu Grunde gelegten Beobachtungen, so bestimmt man zunächst:

$$\left. \begin{aligned} \alpha_m &= \frac{1}{n} \, (\alpha_1 + \alpha_2 + \alpha_3 + \dots + \alpha_n) \\ \delta_m &= \frac{1}{n} \, (\delta_1 + \delta_2 + \delta_3 + \dots + \delta_n) \end{aligned} \right\} \quad 20)$$

und rechnet:

$$\left. \begin{aligned} x_1 &= \alpha_1 - \alpha_m \cos \delta_m, & y_1 &= \delta_1 - \delta_m \\ x_2 &= \alpha_2 - \alpha_m \cos \delta_m, & y_2 &= \delta_2 - \delta_m \\ &\vdots & &\vdots \\ x_n &= \alpha_n - \alpha_m \cos \delta_m, & y_n &= \delta_n - \delta_m \end{aligned} \right\} \quad 21)$$

so wird α_m und δ_m nahe jenem Punkte der Fundamentalebene entsprechen, der als Ausgangspunkt der Zählung den obigen Bedingungen zufolge gewählt werden

kann. Bezeichnet man mit ε den Winkel, den der gesuchte grösste Kreis mit dem durch den Punkt (α_m, δ_m) gehenden Parallelkreise einschliesst, so wird der Abstand des Normalortes von diesem grössten Kreise y' innerhalb der gestatteten Annäherungen dargestellt werden durch:

$$y' = y \cos \varepsilon - x \sin \varepsilon,$$

eine solche Gleichung wird jeder Normalort geben; quadriert man und addirt, so erhält man:

$$\Sigma (y'_a)^2 = \Sigma (y_a \cos \varepsilon)^2 + \Sigma (x_a \sin \varepsilon)^2 - \Sigma (x_a y_a \sin 2\varepsilon), \quad 22$$

wobei sich das Summenzeichen auf den Index a von x und y bezieht und den Gleichungen 21) entsprechend der Reihe nach für a die Indices 1, 2 ... n einzusetzen sind.

Statt der Relation 22, kann noch geschrieben werden:

$$\Sigma (y'_a)^2 = \frac{1}{2} \Sigma (y_a)^2 + \Sigma (x_a)^2 + \frac{1}{2} \cos 2\varepsilon \{ \Sigma (y_a)^2 - \Sigma (x_a)^2 \} - \sin 2\varepsilon \Sigma (x_a y_a).$$

Soll nun $\Sigma (y'_a)^2$ ein Minimum werden, so erhält man, da rechter Hand vom Gleichheitszeichen nur ε variabel ist, sofort zur Bestimmung von 2ε die Gleichung:

$$0 = \{ \Sigma (x_a)^2 - \Sigma (y_a)^2 \} \sin 2\varepsilon - 2 \Sigma y_a x_a \cos 2\varepsilon,$$

daher

$$\operatorname{tg} 2\varepsilon = \frac{2 \Sigma x_a y_a}{\Sigma (x_a)^2 - \Sigma (y_a)^2}. \quad 23'$$

Diese Gleichung gibt für 2ε zwei um 180° verschiedene Winkel, von denen die eine Bestimmung dem hier geforderten Minimum, die andere dem Maximum entspricht; man wird meist leicht auf den ersten Blick entscheiden können, welchen Quadranten man zu wählen hat, jedenfalls wird man also denselben so zu bestimmen haben, dass der Ausdruck:

$$\{ \Sigma (x_a)^2 - \Sigma (y_a)^2 \} \cos 2\varepsilon + 2 \Sigma x_a y_a \sin 2\varepsilon$$

positiv wird. Diese Bedingung kann man aber einfach dadurch ausdrücken, dass man sagt, dass $\cos 2\varepsilon$ das Zeichen des Nenners von 23), $\sin 2\varepsilon$ das Zeichen des Zählers erhält; denn dividirt man etwa den letzteren Ausdruck durch den Coefficienten von $\cos 2\varepsilon$, und ersetzt in dem Ausdrücke den so entstandenen Coefficienten durch die Relation 23'), so erhält man den Schluss, dass $\cos 2\varepsilon + \operatorname{tg} 2\varepsilon \sin 2\varepsilon = \sec 2\varepsilon$ das Zeichen des Nenners von 23') haben muss.

Ist einmal ε bestimmt, so folgt leicht aus dem in Betracht kommenden rechtwinkligen sphärischen Dreiecke für die Rectascension des aufsteigenden Knotens II und die Neigung des Aequators J , die stets kleiner als 90° angenommen werden darf:

$$\begin{aligned} \operatorname{tg} J \sin (\alpha_m - II) &= \operatorname{tg} \delta_m \\ \operatorname{tg} J \cos (\alpha_m - II) &= \operatorname{tg} \varepsilon \sec \delta_m \end{aligned} \quad \left. \vphantom{\begin{aligned} \operatorname{tg} J \sin (\alpha_m - II) &= \operatorname{tg} \delta_m \\ \operatorname{tg} J \cos (\alpha_m - II) &= \operatorname{tg} \varepsilon \sec \delta_m \end{aligned}} \right\} \quad 24)$$

Für den Abstand $(\perp J)$ des Ausgangspunktes der Zählung in diesem grössten Kreise vom aufsteigenden Knoten wird man aus demselben sphärischen Dreiecke haben:

$$\operatorname{tg} \perp J = \operatorname{tg} (\alpha_m - II) \sec J. \quad 25)$$

Es wird zunächst das Bedürfniss hervortreten, die Beobachtungen α , δ und die rechtwinkligen äquatorealen Coordinaten der Sonne X , Y und Z auf dieses neue Coordinatensystem zu beziehen; man wird hierfür leicht aus den Gleichungen für die Transformation der Coordinaten finden, wenn man mit λ und β die polaren Coordinaten des Normalortes, mit X , (Y) und Z die auf dieses Coordinatensystem bezogenen rechtwinkligen Coordinaten der Sonne bezeichnet:

$$\left. \begin{aligned} \cos \beta \cos (\lambda + \angle I) &= \cos \delta \cos (\alpha - H) \\ \cos \beta \sin (\lambda + \angle I) &= \cos \delta \sin (\alpha - H) \cos J + \sin \delta \sin J \\ \sin \beta &= -\cos \delta \sin (\alpha - H) \sin J + \sin \delta \cos J \end{aligned} \right\} \quad 26)$$

$$\left. \begin{aligned} n \sin N &= \sin \angle I \cos J, & m \sin M &= \sin \angle I \\ n \cos N &= \cos \angle I, & m \cos M &= \cos \angle I \cos J \end{aligned} \right\} \quad 27)$$

$$\left. \begin{aligned} X &= n \cos N + H \cdot X + n \sin N + H \cdot Y + \sin \angle I \sin J \cdot Z \\ Y &= -m \sin M + H \cdot X + m \cos M + H \cdot Y + \cos \angle I \cos J \cdot Z \\ Z &= \sin H \sin J \cdot X - \cos H \sin J \cdot Y + \cos J \cdot Z \end{aligned} \right\} \quad 28)$$

Schliesslich wird man die der Rechnung zu Grunde gelegten Elemente, die ebenfalls auf den Aequator bezogen angenommen werden, auf dieses Coordinatensystem zu übertragen haben. Sei ϱ' , i' , ω' beziehungsweise der Knoten, die Neigung und der Abstand des Perihels vom Knoten bezogen auf den Aequator; (ϱ), (i) und ω die analogen Grössen in Bezug auf das neue Coordinatensystem, so wird man haben:

$$\left. \begin{aligned} \sin \frac{1}{2} (i) \sin \frac{1}{2} (\sigma + \sigma') &= \sin \frac{1}{2} (\varrho' - H) \sin \frac{1}{2} (i' + J) \\ \sin \frac{1}{2} (i) \cos \frac{1}{2} (\sigma + \sigma') &= \cos \frac{1}{2} (\varrho' - H) \sin \frac{1}{2} (i' - J) \\ \cos \frac{1}{2} (i) \sin \frac{1}{2} (\sigma - \sigma') &= \sin \frac{1}{2} (\varrho' - H) \cos \frac{1}{2} (i' + J) \\ \cos \frac{1}{2} (i) \cos \frac{1}{2} (\sigma - \sigma') &= \cos \frac{1}{2} (\varrho' - H) \cos \frac{1}{2} (i' - J) \\ \omega &= \omega' - \sigma' \\ \varrho &= \sigma - \angle I \end{aligned} \right\} \quad 29)$$

Zur Berechnung der heliocentrischen Coordinaten hat man dann:

$$\left. \begin{aligned} x &= r \sin a \sin (A' + v) \\ y &= r \sin b \sin (B' + v) \\ z &= r \sin c \sin (C' + v) \end{aligned} \right\} \quad 30)$$

wobei gesetzt ist:

$$\left. \begin{aligned} \sin a \sin A &= \cos (i) & \sin b \sin B &= \sin \varrho \\ \sin a \cos A &= -\cos (i) \sin \varrho, & \sin b \cos B &= \cos (\varrho \cos i) \\ A' &= A + \omega & C' &= \omega \\ B' &= B + \omega & \sin c &= \sin (i) \end{aligned} \right\} \quad 31)$$

und zur Berechnung der geocentrischen Coordinaten wird sein:

$$\left. \begin{aligned} I \cos \lambda \cos \beta &= x + X \\ I \sin \lambda \cos \beta &= y + Y \\ I \sin \beta &= z + Z \end{aligned} \right\} \quad 32)$$

Man wird durch Anwendung vorstehender Formeln zur Kenntniss der Fehler gelangen, die das der Untersuchung zu Grunde gelegte Elementensystem in den Beobachtungen übrig lässt, wobei der Strenge halber für die Fehler in λ , $\cos \beta \delta \lambda$ zu setzen sein wird, wenngleich sich $\cos \beta$ der getroffenen Wahl des Coordinatensystems wegen nicht wesentlich von der Einheit unterscheiden kann.

Um nun alle Bedingungsgleichungen aufstellen zu können, wird es nöthig sein, die Formeln hinzuschreiben, welche die Bestimmung der Grössen x_0 , y_0 , z_0 , ξ_0 , η_0 und ζ_0 für die gewählte Ausgangsepoche gestatten. Für die Berechnung der Coordinaten sind die nöthigen Formeln bereits oben angeführt; für die Berechnung der Geschwindigkeiten wird man haben vergl. pag. 95 :

$$\left. \begin{aligned} \gamma \sin I &= \sin e_0 \\ \gamma \cos I &= \cos e_0 + \sin q_0 \\ \xi_0 &= \frac{\gamma}{1 p_0} \sin a \cos A' + I' \\ \eta_0 &= \frac{\gamma}{1 p_0} \sin b \cos B' + I' \\ \zeta_0 &= \frac{\gamma}{1 p_0} \sin c \cos C' + I' \end{aligned} \right\} \quad 33$$

Hiermit sind alle Hilfsmittel zusammengestellt, um die Bedingungsgleichungen zwischen den gewählten Elementen (Coordinaten und Geschwindigkeiten) und den geocentrischen Orten herzustellen; die Auflösung nach der Methode der kleinsten Quadrate wird also die wahrscheinlichsten Werthe für diese Elemente finden lassen; es seien dieselben x_1 , y_1 , z_1 , ξ_1 , η_1 und ζ_1 . Um aus diesen Werthen die Elemente in der gewöhnlichen Form herzustellen, eine Form, die für die Bestimmung der Coordinaten für eine beliebige Zeit nöthig wird, muss man den Uebergang auf die gewöhnlichen Elemente nach den folgenden Formeln ausführen vergl. pag. 103, die den früher gegebenen Ausdrücken für den Uebergang auf osenhirende Elemente bei Encke's Methode der Störungsrechnung völlig entsprechen :

$$\left. \begin{aligned} \sqrt{p} \cos i &= x_1 \eta_1 - y_1 \xi_1 \\ \sqrt{p} \sin i \sin \varOmega &= y_1 \zeta_1 - z_1 \eta_1 \\ \sqrt{p} \sin i \cos \varOmega &= x_1 \zeta_1 - z_1 \xi_1 \\ r \cos u &= x_1 \cos \varOmega + y_1 \sin \varOmega \\ r \sin u &= -x_1 \sin \varOmega \cos i + y_1 \cos \varOmega \cos i + z_1 \sin i \\ \sin q \sin v &= \frac{\sqrt{p}}{r} \{ x_1 \xi_1 + y_1 \eta_1 + z_1 \zeta_1 \} \\ \sin q \cos v &= \frac{p}{r} - 1 \\ \operatorname{tg} \frac{1}{2} E &= \cotg 45^\circ + \frac{1}{2} q \operatorname{tg} \frac{1}{2} v \\ M &= E - \frac{\sin q}{\sin 1''} \sin E \\ (\omega) &= u - v \quad , \quad a = p \sec q^2 \\ (\pi) &= \omega + \varOmega \quad , \quad \mu = k'' a^{-\frac{3}{2}} \end{aligned} \right\} \quad 34.$$

Um schliesslich die gefundenen Elemente auf die Fundamentalebene des Aequators zu übertragen, dienen die folgenden Gleichungen:

$$\left. \begin{aligned} \sigma &= -I + J \\ \cos \frac{1}{2} i' \sin \frac{1}{2} j' - H + \sigma' &= \sin \frac{1}{2} \sigma \cos \frac{1}{2} \{ i - J \} \\ \cos \frac{1}{2} i' \cos \frac{1}{2} j' - H + \sigma' &= \cos \frac{1}{2} \sigma \cos \frac{1}{2} \{ i \} + J \\ \sin \frac{1}{2} i' \sin \frac{1}{2} j' - H - \sigma' &= \sin \frac{1}{2} \sigma \sin \frac{1}{2} \{ i - J \} \\ \sin \frac{1}{2} i' \cos \frac{1}{2} j' - H - \sigma' &= \cos \frac{1}{2} \sigma \sin \frac{1}{2} \{ i + J \} \\ \omega' &= \omega + \sigma' \end{aligned} \right\} 35,$$

Ich nehme Umgang von einer für die Anwendung geordneten Zusammenstellung der Formeln, indem das folgende Beispiel die sichere Leitung bei der Rechnung gewähren wird; das Beispiel entlehne ich dem Planeten 130 Hilda. Es wurden nach den Rechnungen des Herrn Kühnert, Assistenten bei der k. k. Gradmessung, die folgenden Normalorte und zugehörigen Sonneneordinaten, die sich auf den mittleren Aequator 1875.0 beziehen, angenommen:

	mittl. Berl. Zeit	α	δ	$\log X$	$\log Y$	$\log Z$
1.	1875 Nov. 4.500000	45° 2' 16".00	+17° 26' 31".59	9 _n 8661038	9 _n 7853712	9 _n 1227537
2.	" 22.517315	42 11 21.04	+16 15 23.54	9 _n 6894747	9 _n 8957301	9 _n 5331075
3.	Dec. 19.441574	39 15 53.49	+14 51 49.38	8 _n 6085560	9 _n 9550137	9 _n 5923907
4.	" 30.335914	38 49 59.06	+14 33 3.84	9.1743212	9 _n 9501404	9 _n 5875199

Die nächste Aufgabe besteht nun darin, die Lage des zu wählenden Coordinatensystemes zu bestimmen, hierzu genügt aber eine genäherte Rechnung; nach 20 pag. 434 erhielt man für α_m und δ_m :

$$\alpha_m = 41^\circ 19' 9 \quad \delta_m = + 15^\circ 46' 7 .$$

nach 21 pag. 134) wurde erhalten, wenn man als Einheit die Bogenminute einführt und sich mit der Mitnahme der Zehntheile derselben begnügt:

$$\begin{aligned} \log x_1 &= 2.3305 & \log y_1 &= 1.9991 \\ " \quad x_2 &= 1.6051 & " \quad y_2 &= 1.4579 \\ " \quad x_3 &= 2_n0767 & " \quad y_3 &= 1_n7396 \\ " \quad x_4 &= 2_n1591 & " \quad y_4 &= 1_n8669 \end{aligned}$$

darnach ist:

$$\begin{aligned} \Sigma x_a^2 &= + 8.334 \\ \Sigma y_a^2 &= + 1.921 \\ \Sigma (x_a y_a) &= + 3.995 \end{aligned}$$

Die Bestimmung des Winkels ϵ nach 23 (pag. 435) stellt sich unter Beachtung der Regel, dass der Sinus von 2ϵ das Zeichen von $\Sigma (x_a y_a)$ erhält, wie folgt:

$$\begin{aligned} \log 2 \Sigma (x_a y_a) &= 0.9025 \\ \log \{ \Sigma x_a^2 - \Sigma y_a^2 \} &= 0.8009 \\ 2\epsilon &= 51^\circ 15' 4 \\ \epsilon &= 25^\circ 37.7 \end{aligned}$$

Für J , H und A wird nach 24 und 25 pag. 435 zu rechnen sein:

$$\begin{aligned} \operatorname{tg} \varepsilon &= 9.6810 & H &= 11^{\circ}47'2 \\ \operatorname{tg} J \sin (\alpha_m - H) &= 9.4511 & J &= 29^{\circ}49'0 \\ &9.9395 & \cos J &= 9.9384 \\ \operatorname{tg} J \cos (\alpha_m - H) &= 9.6977 & \operatorname{tg} \alpha_m - H &= 9.7534 \\ (\alpha_m - H) &= 29^{\circ}32'7 & A &= 33^{\circ}8'9 \end{aligned}$$

Hiermit erscheint die Lage des zu wählenden Coordinatensystems bestimmt und von nun ab ist die Rechnung absolut streng zu führen, wobei also die für H , J und A gefundenen Werthe als völlig genau gegeben zu betrachten sind. Man wird zunächst mit Hilfe der Formeln 26 pag. 436 die Normalorte auf dieses Coordinatensystem übertragen und, indem man annimmt,

$$\begin{aligned} \cos J & 9.9383300 & \cos A & 9.9228592 & \sin H & 9.3102009 \\ \sin J & 9.6965541 & \sin A & 9.7378352 & \cos H & 9.9907449 \end{aligned}$$

erhalten:

	1	2	3	4
$\alpha - H$	33°15' 4"00	30°24' 9"04	27°28'41"40	27° 2'17"00
$\cos (\alpha - H)$	9.9223493	9.9357548	9.9480150	9.9497015
$\cos \delta$	9.9795577	9.9822793	9.9852192	9.9858413
$\sin \alpha - H$	9.7390259	9.7042120	9.6640879	9.6577364
$\cos \delta \sin (\alpha - H)$	9.7185836	9.6864913	9.6493071	9.6435777
$\sin \delta$	9.4767477	9.4470628	9.4091220	9.4000930
$\cos \delta \sin \alpha - H \cos J$	9.6560136	9.6248213	9.5876371	9.5819077
$\sin \delta \sin J$	9.1733018	9.1430109	9.1056707	9.0966477
Add.	0.1233252	0.1239215	0.1237340	0.1229183
$-\cos \delta \sin (\alpha - H) \sin J$	9.94151377	9.93830154	9.93458012	9.93401318
$\sin \delta \cos J$	9.4150777	9.3853928	9.3474520	9.3384230
Add.	3.8595...	2.26602...	2.43522...	2.40438...
$\cos \beta \sin (\lambda + A)$	9.7802388	9.7487428	9.7113711	9.7048200
	9.9019060	9.9180345	9.9332343	9.9355429
$\cos \beta \cos (\lambda + A)$	9.9019070	9.9180341	9.9332342	9.9355428
$\sin \beta$	5.95556...	7.11703...	6.91064...	6.93404...
$\lambda + A$	37° 4'38"01	34° 6'19"27	30°57'46"52	30°27' 0"37
λ	3 55 44.01	0 57 25.27	-2 11 7.48	-2 41 53.63
β	- 7.41	+ 4 30.05	+ 2 47.91	- 2 57.20

nach 27) (pag. 436) wird sein:

$$\begin{aligned} n \sin N & 9.6761652 & m \sin M & 9.7378352 \\ & 9.9395356 & & 9.9025181 \\ n \cos N & 9.9228592 & m \cos M & 9.8011892 \\ N & 29^{\circ}32'15''19 & M & 36^{\circ}58'13''08 \\ \log n & 0.0833230 & \log m & 9.9586711 \end{aligned}$$

Die Berechnung der constanten Coëfficienten in 28 (pag. 436) wird:

$$\begin{array}{ll} N + H & 11^{\circ}10'27''19 \\ \sin (N + H) & 0.8197539 \\ \cos (N + H) & 0.8756313 \end{array} \qquad \begin{array}{ll} M + H & 48^{\circ}45'25''08 \\ \sin (M + H) & 0.8761716 \\ \cos (M + H) & 0.8190530 \end{array}$$

damit findet sich weiter:

$$\begin{array}{l} n \cos (N + H) = (x'x) = 0.8589519 \\ n \sin (N + H) = (x'y) = 0.8030775 \\ \sin A \sin J = (x'z) = 0.4313893 \\ - \sin (M + H) = (y'x) = 0.8348427 \\ m \cos (M + H) = (y'y) = 0.7777241 \\ \cos A \sin J = (y'z) = 0.6194133 \\ \sin H \sin J = (z'x) = 0.0067550 \\ - \cos H \sin J = (z'y) = 0.6872990 \\ \cos J = (z'z) = 0.9383300 \end{array}$$

man erhält also für die Transformation der Coordinaten:

	1	2	3	4
$x'y \cdot X$	— 0.5310662	— 0.3535327	— 0.0293434	+ 0.1079633
$x'y \cdot Y$	— 0.3876579	— 0.1998131	— 0.5729163	— 0.5665235
$x'z \cdot Z$	— 0.0719686	— 0.0927891	— 0.1063604	— 0.1051742
(X)	— 0.9906927	— 0.9461349	— 0.7086201	— 0.5637344
$y'x \cdot X$	+ 0.5023848	+ 0.3344394	+ 0.0277587	— 0.1021325
$y'y \cdot Y$	— 0.3656750	— 0.4714701	— 0.5404280	— 0.5343977
$z'z \cdot Z$	— 0.1101963	— 0.1420760	— 0.1628561	— 0.1610398
(Y)	+ 0.0265135	— 0.2791067	— 0.6755254	— 0.7975690
$z'x \cdot X$	— 0.0746361	— 0.0496855	— 0.0041230	+ 0.0151732
$z'y \cdot Y$	+ 0.2969410	+ 0.3828504	+ 0.4388466	+ 0.4339497
$z'z \cdot Z$	— 0.2296591	— 0.2960994	— 0.3391070	— 0.3356216
(Z)	— 0.0073542	+ 0.0370655	+ 0.0953157	+ 0.1135013

Stellt man also die bis jetzt gewonnenen Resultate zusammen, so erhält man als Grundlage für die weiteren Rechnungen:

mittl. Berl. Zeit	λ	β	X	Y	(Z)
1. Nov. 4.500000	+3 ^h 55'44"01	0' 7"41	—0.9906927	+0.0265135	—0.0073542
2. " 22.517315	+0 57 25.27	+4 30.05	—0.9461349	—0.2791067	+0.0370655
3. Dec. 10.141574	—2 41 7.48	+2 47.01	—0.7086201	—0.6755254	+0.0953157
4. " 30.335011	—2 41 53.63	—2 57.20	—0.5637344	—0.7975690	+0.1135013

Als Ausgangselemente wurden angenommen ;

133 Hilda

Epoche 1875 Dec. 2.0 mittl. Berl. Zeit.

$$\begin{array}{l} M = 107^{\circ}45'18''.66 \\ i' = 283\ 48\ 18.52 \\ \varrho' = 341\ 50\ 37.72 \\ i'' = 19\ 6\ 23.94 \\ q = 9\ 23\ 15.50 \\ \mu = 451''9050 \end{array} \left\{ \begin{array}{l} \text{mittl. Aequator} \\ 1875.0 \end{array} \right.$$

Die Uebertragung der die Bahnlage bestimmenden Elemente auf das obige Coordinatensystem ist nach 29 (pag. 136) auszuführen; die Rechnung hierfür gestaltet sich wie folgt:

$$\begin{array}{ll} \frac{1}{2} i'' & 9^{\circ}33'11''.07 \\ \frac{1}{2} J & 14\ 54\ 30.00 \\ \frac{1}{2} i' + J & 24\ 27\ 41.07 \\ \frac{1}{2} i' - J & -5\ 21\ 18.03 \\ \varrho' - H & 330\ 3\ 25.72 \\ \frac{1}{2} \varrho' - H & 165\ 1\ 42.86 \\ \sin \frac{1}{2} i' \sin \frac{1}{2} \sigma + \sigma' & 9.0292759 \\ & 9.8834598 \\ \sin \frac{1}{2} i' \cos \frac{1}{2} \sigma + \sigma' & 8.9550067 \\ \frac{1}{2} \sigma + \sigma' & 49^{\circ}52'31''.45 \\ \sin \frac{1}{2} i & 9.1458161 \\ \frac{1}{2} i & 8^{\circ}\ 2'31''.31 \\ i & 16\ 5' 2''.62 \\ \omega' & 301\ 57\ 40.80 \\ - \sigma' & 116\ 23\ 11.40 \\ \sin \frac{1}{2} i'' + J & 9.6170887 \\ \sin \frac{1}{2} i' - H & 9.4121872 \\ \cos \frac{1}{2} i'' + J & 9.9591552 \\ \sin \frac{1}{2} i'' - J & 8.9700050 \\ \cos \frac{1}{2} i' - H & 9.9850017 \\ \cos \frac{1}{2} i'' - J & 9.9981004 \\ \cos \frac{1}{2} i \sin \frac{1}{2} \sigma - \sigma' & 9.3713424 \\ & 9.9873013 \\ \cos \frac{1}{2} i \cos \frac{1}{2} \sigma - \sigma' & 9.9831021 \\ \frac{1}{2} \sigma - \sigma' & 106^{\circ}15'42''.85 \\ \cos \frac{1}{2} i & 9.9957078 \\ \sigma & 216^{\circ}\ 8'14.30 \\ \varrho & 182\ 59\ 20.30 \\ \omega & 58\ 20\ 52.20 \\ \varrho & 241^{\circ}20'12''.50 \end{array}$$

Um nun die Darstellung der obigen Orte nach diesen Elementen zu finden, rechnet man nach 31 (pag. 136) die Hilfsgrößen:

$$\begin{array}{ll} \sin \varrho & 8.7172022 \\ \cos i & 9.9820584 \\ \cos \varrho & 9.9994088 \\ & 9.9994541 \\ \sin a \cos A & 8.6998006 \\ A & 272^{\circ}52'19''.82 \\ \sin a & 9.9999547 \\ A' & 331^{\circ}13'12''.02 \\ \sin c & 9.4425540 \\ C' & 58^{\circ}20'52''.30 \\ \sin b \sin B & 8.7172022 \\ & 9.9993597 \\ \sin b \cos B & 9.9820072 \\ B & 183^{\circ}\ 6'37''.81 \\ \sin b & 9.9827075 \\ B' & 241^{\circ}27'30''.01 \end{array}$$

Die Rechnung gestaltet sich nach 30 und 32 (pag. 136) für die vier Normalorte wie folgt:

	1	2	3	4
M	101°18'11"27	106°33'53"39	109°56'10"59	111°18'13"80
E	112 51 41 18	115 1 57.54	118 10 56.49	119 27 0.85
$\sin E$	0.9613102	0.9571602	0.9451972	0.9399100
$\cos E$	0 _n 5902917	0 _n 6261786	0 _n 6711990	0 _n 6916715
Add.	0.1519766	0.116026	0.1288131	0.1241243
$\cos E + e$	0 _n 7422713	0 _n 7680812	0 _n 8030421	0 _n 8160958
$r \sin r$	0.5550913	0.5179113	0.5359813	0.5306941
	0.9317161	0.9223192	0.9071117	0.9005512
$r \cos r$	0 _n 3389110	0 _n 3617209	0 _n 3996818	0 _n 4127355
r	121°17'10"25	123°15'25"84	126° 9'11"43	127°18'46"43
$\log r$	0.6233779	0.6256251	0.6288696	0.6301429
$A' + r$	92°30'52"27	94°28'37"86	97°22'23"45	98°31'58"45
$B' + r$	2 45 10 26	1 42 55.85	7 36 41.44	8 46 16.44
$C' + r$	179 38 32.15	181 36 18.04	184 36 3.63	185 39 38.63
$r \sin a$	0.6233326	0.6255798	0.6288243	0.6300976
$\sin (A' + r)$	0.9995816	0.9986727	0.9963941	0.9951659
r	+4 1997606	+4.2097135	+4.2190864	+4.2195243
X	—0.9906927	—0.9161349	—0.7086201	—0.5637344
$r \sin b$	0.6060854	0.6083326	0.6115771	0.6128504
$\sin (B' + r)$	8.6814928	8.9149160	9.1220701	9.1832404
y	+0.1039002	+0.3336173	+0.5415607	+0.6253034
Y	+0.0265135	—0.2791067	—0.6755254	—0.7975690
$r \sin c$	0.6659319	0.6681791	0.6711236	0.6726969
$\sin (C' + r)$	7.7953361	8 _n 4472986	8 _n 8947404	8 _n 9940431
z	+0.0072655	—0.0327701	—0.0925047	—0.1166111
Z	—0.0073542	+0.0370655	+0.0953157	+0.1135013
$I \sin \lambda \cos \beta$	9.3132386	8.7364809	9 _n 1269904	9 _n 2361986
	0.9989761	0.9999394	0.9996840	0.9995184
$I \cos \lambda \cos \beta$	0.5059727	0.5136041	0.5453648	0.5629812
$I \sin \beta$	5 _n 94792..	7.63300..	7.44886..	7 _n 49273..
$I \cos \beta$	0.5069966	0.5137547	0.5456808	0.5634628
λ	5°55'58"20	6°57'24"86	—2°11' 7"56	—2°41'52"28
β	— 0 5.69	+ 4 31.44	+ 2 45.05	— 2 55.27
$\log I$	0.50700	0.51375	0.54568	0.56346
$\cos \beta \delta \lambda$	— 14"19	+ 0"41	+ 0"08	— 1"35
$\delta \beta$	— 1.72	— 1.39	+ 2.86	— 1.93

Um nun die Differentialquotienten zur Ausgleichung der Elemente entwickeln zu können, wird man sich vorerst über die Ausgangsepoche zu entscheiden haben:

da das Datum 1876 Dec. 2.0 der Zeit nach nahe in die Mitte fällt, so wähle ich diesen Zeitpunkt hierfür und es wird sich daher als nächste Aufgabe stellen, für diese Epoche die Coordinaten nach 30) und 32 pag. 436 und die Geschwindigkeiten nach 33. (pag. 437) zu berechnen; man erhält darnach:

M_0	107°45'18"66	$\cos v_0$	9 _n 7507149
E_0	116 8 40.80	Add.	0.148 4870
$\sin E_0$	9.953 1237	$\gamma \sin I$	9.917 1243
$\cos E_0$	9 _n 644 0830		9.954 2484
Add.	0.136 7757	$\gamma \cos I$	9 _n 602 2279
$\cos E_0 - e$	9 _n 780 8587	I	115°50'25"24
$r_0 \sin v_0$	0.543 9078	$\log \gamma$	9.962 8759
	9.917 1243	$\log \bar{p}_0$	0.292 4642
$r_0 \cos v_0$	0.377 4984	$\gamma' = \gamma : \bar{p}_0$	9.670 4117
e_0	124°16'55"52	$A' + I$	87" 3'37"26
$\log r_0$	0.626 7835	$B' + I$	357 17 55.25
$A' + v_0$	95°30' 7"54	$C' + I$	174 11 17.44
$B' + v_0$	5 44 25.53	$\cos A' + I$	8.709 9824
$C' + v_0$	182 37 47.72	$\gamma' \sin a$	9.670 3664
$\sin (A' + v_0)$	9.997 9944	$\cos B' + I$	9.999 5171
$r \sin a$	0.626 7382	$\gamma' \sin b$	9.653 1192
$\sin (B' + v_0)$	9.000 0946	$\cos (C' + I)$	9 _n 997 7619
$r \sin b$	0.609 4910	$\gamma' \sin c$	9.112 9657
$\sin (C' + v_0)$	8 _n 661 6678		
$r \sin c$	0.069 3375		
x_0	+4.214 3692	ξ_0	+0.024 0076
y_0	+0.406 9918	η_0	+0.449 4033
z_0	-0.053 8276	ζ_0	-0.129 0410

Jetzt kann an die Berechnung der Differentialquotienten geschritten werden, für welche eine fünfstellige Rechnung mehr als ausreichend ist. Zunächst findet sich nach 6) (pag. 430) und 13) (pag. 432):

$\sin v_0 \sin q$	9.12961	$2 : r_0$	9.67425
$\log \bar{p}_0$	0.29246	$1 : a$	9.40336
$\log (dr_0 : dr)$	8.83715	Subtr.	9.93747
$\log (dr_0 : dr)^2$	7.67430	$\log g^2$	9.34083 ;

ferner erhält man nach 8) pag. 430 mit Rücksicht auf 7 (pag. 430 oder was bequemer ist, durch Anwendung der in der Anmerkung angeführten Form, wobei für die Berechnung von A_1 die Zahlen in Einheiten der zehnten Decimale angesetzt sind:

$1 : r_0$	9.37322	$\log g^2 : r_0^5$	6.20691
$1 : r_0^2$	8.74643	$\log \left(\frac{dr_0}{dr} \right)^2 : r_0^5$	4.54038
$1 : r_0^3$	8.11965	(1)	+201290

$1 : r_0^4$	7.49287	t_2	—21690
$1 : r_0^5$	6.86008	3	—144583
$1 : r_0^6$	6.23930	A_1	+35017
$\log A_2$	7.81862	$\log A_1$	+54428
$\log A_3$	6.02899		
$\log B_3$	7.34150		
$\log B_1$	5.72796		

nach 17 pag. 433, fand sich:

$\log a_2$	7.04217	$\log \beta_3$	6.56505
$\log a_3$	8.43222	$\log \beta_1$	8.60831
$\frac{4}{r_0}$	9.97528	$\log \gamma_1$	6.26202
$35 \left(\frac{dr_0}{dt}\right)^2$	9.21837		
Add.	0.07004		
	0.04532		
$5 g^2$	0.03980		
Subtr.	8.10700		
$\log a_4$	8.13680		

Mit Hilfe dieser Zahlen stellt sich nun die Rechnung von a und b nach 9 pag. 430 und von α , β und γ nach 17 pag. 433 wie folgt, wenn man beachtet, dass $r = k t$ und $\log k = 8.23558$ anzunehmen ist.

	1	2	3	4
t	—27.50000	—9.48269	+17.44157	+28.33591
$\log t$	1.43933	0.97693	1.24159	1.45234
$\log r$	0.67491	0.21251	0.47717	0.68792
$\log r^2$	0.34982	8.42502	8.95434	9.37584
$\log r^3$	0.02473	7.63753	8.43151	9.06376
$\log r^4$	8.09964	6.85004	7.90868	8.75168
$A_2 r^2$	— 0.00147	—0.00018	—0.00059	—0.00156
$A_3 r^3$	— 1	0	0	+ 1
$A_1 r^4$	0	0	0	0
a	+ 0.99852	+0.99982	+0.99941	+0.99845
$B_3 r^2$	— 0.00044	—0.00006	—0.00020	—0.00052
$B_1 r^3$	— 1	0	0	+ 1
$\log \{ \dots \}$	9.99978	9.99998	9.99991	9.99978
$\log b$	0.67469	0.21249	0.47708	0.68770

	1	2	3	4
$\alpha_3 r$	+0.01280	+0.00441	-0.00812	-0.01319
$\alpha_1 r^2$	+1	0	+1	+1
$\log \{ \dots \}$	0.00553	0.00191	9.99646	9.99424
$\alpha_2 r^2$	6.39199	5.46719	5.99651	6.41801
$\log \alpha$	6.39752	5.46910	5.99297	6.41225
$\log (1 + \beta_4 r)$	0.00826	0.00286	9.99468	9.99132
$\beta_3 r^3$	5 _n 58978	4 _n 20258	4.99656	5.62881
$\log \beta$	5 _n 59804	4 _n 20544	4.99124	5.62013
$\log \gamma$	4.96366	3.11406	4.17270	5.01570

Nun werden die Differentialquotienten von a und b nach den gewählten Elementen nach 18) (pag. 433) zu entwickeln sein; schreibt man sich für die folgende Rechnung die Logarithmen der Coordinaten und Geschwindigkeiten für die 4 Orte auf den unteren Rand eines Zettels, so erhält man leicht:

	1	2	3	4
αx_0	7.02225	6.09383	6.61770	7.03698
$\beta \xi_0$	3 _n 97839	2 _n 58574	3.37159	4.00048
Add.	9.99961	9.99987	0.00025	0.00041
$\delta a : \delta x_0$	7.02186	6.09370	6.61795	7.03739
αy_0	6.00711	5.07869	5.60256	6.02184
$\beta \eta_0$	5 _n 25068	3 _n 85808	4.64388	5.27277
Add.	9.91634	9.97305	0.04532	0.07123
$\delta a : \delta y_0$	5.92345	5.05174	5.64788	6.09307
αz_0	5 _n 12853	4 _n 20011	4 _n 72398	5 _n 14326
$\beta \zeta_0$	4.70877	3.31617	4 _n 10197	4 _n 73086
Add.	9.79211	9.93920	0.09299	0.14205
$\delta a : \delta z_0$	4 _n 92064	4 _n 13931	4 _n 81697	5 _n 28531
βx_0	6 _n 22277	4 _n 83017	5.61597	6.24486
$\gamma \xi_0$	3.34401	1.49441	2.55305	3.39605
Add.	9.99943	9.99980	0.00038	0.00062
$\delta b : \delta x_0$	6 _n 22220	4 _n 82997	5.61635	6.24548
βy_0	5 _n 20763	3 _n 81503	4.60083	5.22972
$\gamma \eta_0$	4.61630	2.76670	3.82534	4.66834
Add.	9.87142	9.95930	0.06733	0.10536
$\delta b : \delta y_0$	5 _n 07905	3 _n 77433	4.66816	5.33508
βz_0	4.32905	2.93645	3 _n 72225	4 _n 35114
$\gamma \zeta_0$	4 _n 07439	2 _n 22479	3 _n 28343	4 _n 12643
Add.	9.90171	9.90621	0.13484	0.20305
$\delta b : \delta z_0$	3.97610	2.84266	3 _n 85709	4 _n 55419

	1	2	3	4
$\partial b : \partial \xi_0$	5.58839	3.73879	4.79743	5.64043
$\partial b : \partial \iota_0$	4.57325	2.72365	3.78229	4.62529
$\partial b : \partial \tilde{z}_0$	3 _n 69467	1 _n 84507	2 _n 90371	3 _n 74671

Indem man nun die hier bestimmten Differentialquotienten zur Erleichterung der folgenden Rechnungen auf den unteren Rand eines Zettels schreibt, erhält man die Aenderungen der Coordinaten durch die Variationen der Elemente nach 10) (pag. 431) durch die folgenden Zahlen:

	1	2	3	4
$x_0 (\partial a : \partial x_0)$	+0.00143	+0.00052	+0.00175	+0.00459
$\xi_0 (\partial b : \partial x_0)$	0	0	0	0
$\partial x : \partial x_0$	+1.00205	+1.00034	+1.00116	+1.00304
$\log \partial x : \partial x_0$	0.00128	0.00015	0.00050	0.00132
$x_0 (\partial a : \partial y_0)$	6.54818	5.67647	6.27261	6.71780
$\xi_0 (\partial b : \partial y_0)$	3 _n 45940	2 _n 15468	3.04851	3.71543
Add.	9.99964	9.99987	0.00026	0.00043
$\log \partial x : \partial y_0$	6.54782	5.67634	6.27287	6.71823
$x_0 (\partial a : \partial z_0)$	5 _n 54537	4 _n 76404	5 _n 44170	5 _n 91004
$\xi_0 (\partial b : \partial z_0)$	2.35645	1.22301	2 _n 23744	2 _n 93454
Add.	9.99972	9.99988	0.00027	0.00046
$\log \partial x : \partial z_0$	5 _n 54509	4 _n 76392	5 _n 44197	5 _n 91050
$x_0 (\partial a : \partial \xi_0)$	-0.00070	-0.00003	+0.00017	+0.00074
$\xi_0 (\partial b : \partial \xi_0)$	0	0	0	0
$\partial x : \partial \xi_0$	-0.47351	-0.16314	+0.30014	+0.48793
$\log \partial x : \partial \xi_0$	9 _n 67533	9 _n 21256	9.47733	9.68836
$x_0 (\partial a : \partial \iota_0)$	5 _n 70378	4 _n 39906	5.29289	5.95981
$\xi_0 (\partial b : \partial \iota_0)$	2.95360	1.10400	2.16264	3.00564
Add.	9.99923	9.99978	0.00032	0.00048
$\log \partial x : \partial \iota_0$	5 _n 70301	4 _n 39884	5.29321	5.96029
$x_0 (\partial a : \partial \tilde{z}_0)$	4.60083	3.46739	4 _n 48182	5 _n 17892
$\xi_0 (\partial b : \partial \tilde{z}_0)$	2 _n 07502	0 _n 22542	1 _n 28406	2 _n 12706
Add.	9.99970	9.99975	0.00028	0.00039
$\log \partial x : \partial \tilde{z}_0$	4.59953	3.46714	4 _n 48210	5 _n 17931
$y_0 (\partial a : \partial x_0)$	6.63145	5.70329	6.22754	6.64698
$\iota_0 (\partial b : \partial x_0)$	5 _n 87484	4 _n 48261	5.26899	5.89812
Add.	9.91638	9.97305	0.04533	0.07125
$\log \partial y : \partial x_0$	6.54783	5.67634	6.27287	6.71823

	1	2	3	4
$y_0 (\partial a : \partial y_0)$	+0.00003	0.00000	+0.00002	+0.00005
$\eta_0 (\partial b : \partial y_0)$	-0.00001	0.00000	0.00000	+0.00001
$\log (\partial y : \partial y_0)$	9.99937	9.99992	9.99975	9.99935
$y_0 (\partial a : \partial z_0)$	4 _n 53023	3 _n 74890	4 _n 42656	4 _n 89490
$\eta_0 (\partial b : \partial z_0)$	3.62874	2.49530	3 _n 50973	4 _n 20683
Add.	9.94178	9.97508	0.04965	0.08102
$\log (\partial y : \partial z_0)$	4 _n 47201	3 _n 72398	4 _n 47621	4 _n 97592
$y_0 (\partial a : \partial \xi_0)$	5 _n 83179	4 _n 43956	5.22594	5.85507
$\eta_0 (\partial b : \partial \xi_0)$	5.24103	3.39143	4.45007	5.29307
Add.	9.87123	9.95927	0.06727	0.10522
$\log (\partial y : \partial \xi_0)$	5 _n 70302	4 _n 39883	5.29321	5.96029
$y_0 (\partial a : \partial \eta_0)$	0.00000	0.00000	0.00000	+0.00001
$\eta_0 (\partial b : \partial \eta_0)$	0.00000	0.00000	0.00000	0.00000
$\log (\partial y : \partial \eta_0)$	9 _n 67469	9 _n 21249	9.47708	9.68771
$y_0 (\partial a : \partial \zeta_0)$	3.58569	2.45225	3 _n 46668	4 _n 16378
$\eta_0 (\partial b : \partial \zeta_0)$	3 _n 34731	1 _n 49771	2 _n 55635	3 _n 39935
Add.	9.86411	9.94888	0.05035	0.06893
$\log (\partial y : \partial \zeta_0)$	3.21142	2.40113	3 _n 51703	4 _n 23271
$z_0 (\partial a : \partial x_0)$	5 _n 75287	4 _n 82471	5 _n 34896	5 _n 76840
$\zeta_0 (\partial b : \partial x_0)$	5.33293	3.94070	4 _n 72708	5 _n 35621
Add.	9.79222	9.93921	0.09302	0.14210
$\log (\partial z : \partial x_0)$	5 _n 54509	4 _n 76392	5 _n 44108	5 _n 91050
$z_0 (\partial a : \partial y_0)$	4 _n 65446	3 _n 78275	4 _n 37889	4 _n 82408
$\zeta_0 (\partial b : \partial y_0)$	4.18978	2.88506	3 _n 77889	4 _n 44581
Add.	9.81755	9.94123	0.09732	0.15184
$\log (\partial z : \partial y_0)$	4 _n 47201	3 _n 72398	4 _n 47621	4 _n 97592
$z_0 (\partial a : \partial z_0)$	0.00000	0.00000	0.00000	0.00000
$\zeta_0 (\partial b : \partial z_0)$	0.00000	0.00000	0.00000	0.00000
$\log (\partial z : \partial z_0)$	9.99936	9.99992	9.99974	9.99932
$z_0 (\partial a : \partial \xi_0)$	4.95321	3.56098	4 _n 34736	4 _n 97649
$\zeta_0 (\partial b : \partial \xi_0)$	4 _n 69912	2 _n 84952	3 _n 90816	4 _n 75116
Add.	9.90043	9.90616	0.13473	0.20282
$\log (\partial z : \partial \xi_0)$	4.59955	3.46714	4 _n 48209	5 _n 17931
$z_0 (\partial b : \partial \eta_0)$	3.81006	2.50534	3 _n 39917	4 _n 06609
$\zeta_0 (\partial b : \partial \eta_0)$	3 _n 68398	1 _n 83438	2 _n 89302	3 _n 73602
Add.	9.52743	9.89580	0.11786	0.16663
$\log (\partial z : \partial \eta_0)$	3.21141	2.40114	3 _n 51703	4 _n 23272

	1	2	3	4
$z_0 (\partial a : \partial \xi_0)$	0.00000	0.00000	0.00000	0.00000
$\xi_0 (\partial b : \partial \xi_0)$	0.00000	0.00000	0.00000	0.00000
$\log \partial z : \partial \xi_0$	9 _n 67469	9 _n 21249	9.47708	9.68770

Nun ermittelt man die in 19) (pag. 434) auftretenden Coëfficienten und findet:

	1	2	3	4
$\sin \lambda$	8.83581	8.22278	8 _n 58131	8 _n 67279
$\sin \beta$	5 _n 55560	7.11703	6.91064	6 _n 93404
$\cos \lambda$	9.99898	9.99994	9.99968	9.99952
$\cos \beta$	0.00000	0.00000	0.00000	0.00000
$\cos \lambda \sin \beta$	5 _n 55458	7.11697	6.91032	6 _n 93356
$\sin \lambda \sin \beta$	1 _n 39141	5.33981	5 _n 49195	5.60683
λ	0.50700	0.51375	0.54568	0.56346
$\cos \beta \partial \lambda : \partial x$	8 _n 32881	7 _n 70903	8.03563	8.10933
$\cos \beta \partial \lambda : \partial y$	9.49198	9.48619	9.45400	9.43606
$\partial \beta : \partial x$	5.04758	6 _n 60322	6 _n 36464	6.37010
$\partial \beta : \partial y$	3.88441	4 _n 82600	4.94627	5 _n 04337
$\partial \beta : \partial z$	9.49300	9.48625	9.45432	9.43654

Ersetzt man nun ∂x durch:

$$\partial x = \left(\frac{\partial x}{\partial x_0} \right) \partial x_0 + \left(\frac{\partial x}{\partial y_0} \right) \partial y_0 + \left(\frac{\partial x}{\partial z_0} \right) \partial z_0 + \left(\frac{\partial x}{\partial \xi_0} \right) \partial \xi_0 + \left(\frac{\partial x}{\partial \eta_0} \right) \partial \eta_0 + \left(\frac{\partial x}{\partial \zeta_0} \right) \partial \zeta_0$$

und analog ∂y und ∂z , und vereinigt die zu der gleichen Variation in 10) (pag. 431) ermittelten Coëfficienten, so hat man schliesslich noch die folgende Operation durchzuführen, wobei man die früher ermittelten Differentialquotienten auf den unteren Rand eines Papiere schreiben wird; die nöthigen Multiplicationen werden dann durch entsprechendes Rücken des Zettels sehr übersichtlich durchgeführt werden können:

	1	2	3	4
$\cos \beta \partial \lambda : \partial x \quad \partial x : \partial x_0$	8 _n 33009	7 _n 70918	8.03613	8.11065
$(\cos \beta \partial \lambda : \partial y \quad \partial y : \partial x_0)$	0.03981	5.16253	5.72687	6.15429
Add.	9.99777	9.99877	0.00212	0.00477
$\cos \beta \partial \lambda : \partial x_0$	8 _n 3279	7 _n 7079	8.0383	8.1154
$\cos \beta \partial \lambda : \partial x \quad (\partial x : \partial y_0)$	4 _n 87663	3 _n 38537	4.30850	4.82756
$\cos \beta \partial \lambda : \partial y \quad \partial y : \partial y_0$	9.49137	9.48611	9.45375	9.43541
Add.	9.99999	0.00000	0.00000	9.99999
$\cos \beta \partial \lambda : \partial y_0$	9.4914	9.4861	9.4537	9.4354
$\cos \beta \partial \lambda : \partial x \quad \partial x : \partial z_0$	3.87390	2.47295	3 _n 47760	4 _n 01983
$\cos \beta \partial \lambda : \partial y \quad \partial y : \partial z_0$	3 _n 90399	3 _n 21017	3 _n 93021	4 _n 41198
Add.	9.36272	9.91215	0.13120	0.14779
$\cos \beta \partial \lambda : \partial z_0$	3 _n 2306	3 _n 1223	4 _n 0614	4 _n 5598

	1	2	3	4
$(\cos \beta \, \delta \lambda : \delta x) \, (\delta x : \delta \xi_0)$	8.00414	6.92159	7.51296	7.79769
$(\cos \beta \, \delta \lambda : \delta y) \, (\delta y : \delta \xi_0)$	5 _n 19500	3 _n 88502	4.74721	5.39635
Add.	9.99933	9.99960	0.00074	0.00172
$\cos \beta \, \delta \lambda : \delta \xi_0$	8.0035	6.9212	7.5137	7.79941
$(\cos \beta \, \delta \lambda : \delta x) \, (\delta x : \delta \eta_0)$	4.03182	2.10787	3.32884	4.06962
$(\cos \beta \, \delta \lambda : \delta y) \, (\delta y : \delta \eta_0)$	9 _n 16667	8 _n 69868	8.93108	9.12377
Add.	0.00000	0.00000	0.00000	0.00000
$\cos \beta \, \delta \lambda : \delta \eta_0$	9 _n 1667	8 _n 6987	8.9311	9.1238
$(\cos \beta \, \delta \lambda : \delta x) \, (\delta x : \delta \zeta_0)$	2 _n 92834	1 _n 17617	2 _n 51773	3 _n 28864
$(\cos \beta \, \delta \lambda : \delta y) \, (\delta y : \delta \zeta_0)$	2.70340	1.88732	2 _n 97103	3 _n 66877
Add.	9.83160	9.90608	0.13102	0.15133
$\cos \beta \, \delta \lambda : \delta \zeta_0$	2 _n 5350	1.7934	3 _n 1020	3 _n 8201
$(\delta \beta : \delta x) \, (\delta x : \delta x_0)$	5.04886	6 _n 60337	6 _n 36514	6.37142
$(\delta \beta : \delta y) \, (\delta y : \delta x_0)$	0.43224	0 _n 50240	1.21914	1 _n 76160
$(\delta \beta : \delta z) \, (\delta z : \delta x_0)$	5 _n 03809	4 _n 25017	4 _n 89630	5 _n 34704
Add.	0.00001	0.00000	0.00000	9.99999
{I + II}	5.04887	6 _n 60337	6 _n 36514	6.37141
Add.	8.40020	0.00192	0.01451	9.95687
$\delta \beta : \delta x_0$	3.4383	6 _n 6053	6 _n 3796	6.3283
$(\delta \beta : \delta x) \, (\delta x : \delta y_0)$	1.59540	2 _n 27956	2 _n 63751	3.08833
$(\delta \beta : \delta y) \, (\delta y : \delta y_0)$	3.88378	4 _n 82598	4.94602	5 _n 04272
$(\delta \beta : \delta z) \, (\delta z : \delta y_0)$	3 _n 96501	3 _n 21023	3 _n 93053	4 _n 41246
Add.	0.00223	0.00123	9.99786	9.99515
{I + II}	3.88601	4 _n 82721	4.94388	5 _n 03787
Add.	9.29994	0.01037	9.95570	0.09234
$\delta \beta : \delta y_0$	3 _n 1859	4 _n 8376	4.8996	5 _n 1302
$(\delta \beta : \delta x) \, (\delta x : \delta z_0)$	0 _n 59267	1.36714	1.80661	2 _n 28061
$(\delta \beta : \delta y) \, (\delta y : \delta z_0)$	8 _n 35642 *	8.55004	9 _n 42248	0.01929
$(\delta \beta : \delta z) \, (\delta z : \delta z_0)$	9.49236	9.48617	9.45406	9.43586
Add.	0.00000	0.00000	0.00000	0.00000
$\delta \beta : \delta z_0$	9.4924	9.4862	9.4541	9.4359
$(\delta \beta : \delta x) \, (\delta x : \delta \xi_0)$	4 _n 72291	5.81578	5 _n 84197	6.05846
$(\delta \beta : \delta y) \, (\delta y : \delta \xi_0)$	9 _n 58743	9.22489	0.23948	1 _n 00366
$(\delta \beta : \delta z) \, (\delta z : \delta \xi_0)$	4.09255	2.95339	3 _n 93641	4 _n 61585
Add.	9.88410	0.00060	0.00536	9.98404
$\delta \beta : \delta \xi_0$	4 _n 6070	5.8164	5 _n 8473	6.0425

*) Der Strich über der Charakteristik zeigt an, dass dieselbe um 20 Einheiten zu vermindern ist, während die übrigen nur um 10 Einheiten vermindert verstanden sind.

	1	2	3	4
$(\partial \beta : \partial x) (\partial x : \partial \iota_0)$	0 _n 75059	1.00206	1 _n 65785	2.33039
$(\partial \beta : \partial y) (\partial y : \partial \iota_0)$	3 _n 55910	1.03855	4.42335	4 _n 73108
$(\partial \beta : \partial z) (\partial z : \partial \iota_0)$	2.70111	1.88739	2 _n 97135	3 _n 66926
Add.	0.00067	0.00040	0.99925	9.99827
{1 + II}	3 _n 55977	1.03895	4.42260	4 _n 72935
Add.	9.93474	0.00305	9.98436	0.03626
$\partial \beta : \partial \iota_0$	3 _n 4945	4.0420	4.4070	4 _n 7656
<hr/>				
$(\partial \beta : \partial x) (\partial x : \partial \ddot{z}_0)$	9.64711	0.07039	0.84674	1 _n 54941
$(\partial \beta : \partial y) (\partial y : \partial \ddot{z}_0)$	7.09583	7 _n 22719	8 _n 16330	9.27608
$(\partial \beta : \partial z) (\partial z : \partial \ddot{z}_0)$	9 _n 16769	8 _n 69874	8.93140	9.12424
$\partial \beta : \partial \ddot{z}_0$	9 _n 1677	8 _n 6987	8.9314	9.1242.

Hiermit ist die Rechnung der Differentialquotienten beendet; sie fordert zwar etwas mehr Mühe, als die bei den früheren Methoden entwickelten Ausdrücke, doch macht sich die Rechnung wegen der zahlreichen kleinen Coëfficienten sehr schnell und einfach; letztere veranlassen es auch, dass eine ganz wesentliche Vereinfachung bei der Bildung der Normalgleichungen eintritt, welcher Vorthail die etwas mühsamere Rechnung der obigen Coëfficienten mehr als aufwiegt. Von der Richtigkeit der entwickelten Differentialformeln kann man sich leicht durch willkürliche Variation der Elemente und Vergleichung der Resultate der directen Rechnung und der oben hingestellten Differentialformeln überzeugen.

Um diese Control-Rechnungen möglichst einfach zu gestalten, wird man x_0 , y_0 , z_0 , ξ_0 , η_0 und ζ_0 willkürlich variiren und zwar um solche Beträge, dass wenn man den grössten Coëfficienten der eben ermittelten Differentialquotienten einer jeden Unbekannten heraushebt, das Product dieses Coëfficienten in die zugehörige willkürliche Variation für alle 6 Grössen nahe gleichwerthig wird, und ausserdem darauf achten, dass man diese Variationen weder zu klein noch zu gross wählt; meistens wird es genügen, dieselben so zu wählen, dass das Product aus dieser Variation mit dem zugehörigen grössten Coëfficienten in dem geocentrischen Orte eine Aenderung von 20—30" bedingt. Indem man nun den Werth von r_0 , $\frac{dr_0}{dt}$ und g nach

$$r_0^2 = x_0^2 + y_0^2 + z_0^2$$

$$r_0 \left(\frac{dr_0}{dt} \right) = x_0 \xi_0 + y_0 \eta_0 + z_0 \zeta_0$$

$$g^2 = \xi_0^2 + \eta_0^2 + \zeta_0^2$$

ermittelt, hat die Berechnung der A - und B -Coëfficienten aus 8) (pag. 430) keine Schwierigkeit; bestimmt man nach 9) (pag. 430) für die in Betracht kommenden Orte die a - und b -Coëfficienten und rechnet nach 3) (pag. 429) die geocentrischen Coordinaten, so werden dieselben leicht mit Rücksicht auf 32) (pag. 436) die geocentrischen polaren finden lassen. Die durch diese Rechnung erhaltenen Aenderungen in den geocentrischen Orten müssen innerhalb der Unsicherheit der Rechnung mit den durch die obigen Differentialquotienten gefundenen stimmen.

Sammelt man alle gewonnenen Coëfficienten und setzt auch die früher in den Orten gefundenen Fehler an, so erhält man die folgenden logarithmisch angesetzten Bedingungsgleichungen, in welchen die aus dem ersten Orte resultirenden zwei Gleichungen mit der Präcision $1\overline{3}$ durchmultipliziert erscheinen; es wurde nämlich dem ersten Orte als Normalort das Gewicht 3 ertheilt.

Längen

$$\begin{aligned}
 1_n3906 &= 8_n5665 \delta x_0 + 9.7300 \delta y_0 + 3_n4752 \delta z_0 + 8.2421 \delta \xi_0 + 9_n4053 \delta \iota_0 + 2_n7736 \delta \ddot{z}_0 \\
 9.6128 &= 7_n7079 \quad 9.4861 \quad 3_n1223 \quad 6.0212 \quad 8_n6987 \quad 1.7934 \\
 8.9031 &= 8.0383 \quad 9.4537 \quad 4_n0014 \quad 7.5137 \quad 8.9311 \quad 3_n1020 \\
 0_n1303 &= 8.1154 \quad 9.4354 \quad 4_n5598 \quad 7.7994 \quad 9.1238 \quad 3_n8201
 \end{aligned}$$

Breiten

$$\begin{aligned}
 0_n4741 &= 3.6769 \delta x_0 + 3_n4245 \delta y_0 + 9.7310 \delta z_0 + 4_n8456 \delta \xi_0 + 3_n7331 \delta \iota_0 + 9_n4063 \delta \ddot{z}_0 \\
 0_n1430 &= 6_n6053 \quad 4_n8370 \quad 9.4862 \quad 5.8164 \quad 4.0420 \quad 8_n6987 \\
 0.4564 &= 6_n3790 \quad 4.8990 \quad 9.4541 \quad 5_n8473 \quad 4.1070 \quad 8.9314 \\
 0_n2856 &= 6.3283 \quad 5_n1302 \quad 9.4359 \quad 6.0425 \quad 4_n7056 \quad 9.1242.
 \end{aligned}$$

Vor Allem wird man diese Coëfficienten dadurch für die Methode der kleinsten Quadrate vorbereiten, dass man dieselben durch Einführung anderer Unbekannten möglichst homogen (pag. 318) macht. Setzt man also:

$$\begin{aligned}
 a &= 8.5665 \delta x_0 & d &= 8.2421 \delta \xi_0 \\
 b &= 9.7300 \delta y_0 & e &= 9.4053 \delta \iota_0 \\
 c &= 9.7310 \delta z_0 & f &= 9.4063 \delta \ddot{z}_0
 \end{aligned}$$

$$\log \text{Fehlereinheit} = 1.3906.$$

so erhält man zur Bildung der Normalgleichungen das folgende Schema (vergl. pag. 319), in welchem bereits die Prüfungscoefficienten s ihre Aufnahme gefunden haben:

log Coëff.	a	0_n0000	9_n1414	9.4718	9.5489	5.1104	8_n0388	7_n8131	7.7618
"	b	0.0000	9.7561	9.7237	9.7054	3_n6945	5_n1070	5.1696	5_n4002
"	c	3_n7442	3_n3913	4_n3304	4_n8288	0.0000	9.7552	9.7231	9.7049
"	d	0.0000	8.6791	9.2716	9.5573	6_n6035	7.5743	7_n6052	7.8004
"	e	0_n0000	9_n2934	9.5258	9.7185	4_n3278	4.6367	5.0017	5_n3603
"	f	3_n3673	2.3871	3_n6957	4_n4138	0_n0000	9_n2924	9.5251	9.7179
"	n	0_n0000	8.2222	7.5125	8_n7397	9_n0835	8_n7524	9.0058	8_n8950
"	s	0_n0000	9.4768	0.1307	0.2270	9_n0850	9.4904	9.9865	$9.9835.$

Ehe ich an die Bildung der Normalgleichungen gehe, will ich noch bemerken, dass die Fehler oben in Bogensekunden angesetzt sind, während der Natur der Sache nach die Correctionen der Coordinaten und Geschwindigkeiten in Einheiten des Radius verstanden werden; will man demnach die aus den folgenden Auflösungen gefundenen Werthe der Unbekannten unmittelbar zur Bestimmung der Correctionen der Elemente verwerthen, so muss man ausserdem, dass man jede Unbekannte durch den Homogenitätsfactor dividirt, und dieselbe mit der oben ange-

genommenen Fehlereinheit multiplicirt, noch mit dem Sinus einer Bogensekunde multipliciren; man wird also für diesen Uebergang haben (logarithmisch):

$$\begin{aligned}(\delta x_0) &= 7.5097 \, a \\(\delta y_0) &= 6.3462 \, b \\(\delta z_0) &= 6.3452 \, c \\(\delta \xi_0) &= 7.8341 \, d \\(\delta \eta_0) &= 6.6709 \, e \\(\delta \zeta_0) &= 6.6699 \, f\end{aligned}$$

welche Coëfficienten ich als Uebertragungs-Coëfficienten bezeichnen will.

Ich setze die Bildung der Normalgleichungen hier vollständig an, um die grossen Vortheile anschaulich zu machen, welche diese Methode in der Anwendung gewährt; etwa die Hälfte der Coëfficienten verschwindet. Man erhält so:

<i>aa</i>	<i>ab</i>	<i>ac</i>	<i>ad</i>	<i>ae</i>	<i>af</i>	<i>an</i>	<i>as</i>	<i>bb</i>	<i>bc</i>	<i>bd</i>	
+1.0000	—1.0000	0	—1.0000	+1.0000	0	+1.0000	+1.0000	+1.0000	0	+1.0000	
+0.0191	—0.0790	0	—0.0066	+0.0272	0	—0.0023	—0.0415	+0.3252	0	+0.0272	
+0.0878	+0.1568	0	+0.0554	+0.0994	0	+0.0010	+0.4004	+0.2801	0	+0.0989	
+0.1253	+0.1796	0	+0.1277	+0.1851	0	—0.0194	+0.5981	+0.2575	0	+0.1831	
0.0000	0	0	0	0	0	0	0	0	0	0	
+	1	0	—0.0062	0	0	+0.0021	+	6	—	34	
0	0	0	—0.0034	0	0	—0.0022	—	8	—	63	
0	0	0	+0.0029	0	0	+0.0030	—	5	+	56	
+1.2323	—0.7426	—0.0067	—0.8235	+1.3117	+0.0029	+0.9786	+1.9529	+1.8628	0	+1.3092	
<i>be</i>	<i>bf</i>	<i>bn</i>	<i>bs</i>	<i>ce</i>	<i>cd</i>	<i>ce</i>	<i>cf</i>	<i>cn</i>	<i>cs</i>	<i>dd</i>	<i>de</i>
—1.0000	0	—1.0000	—1.0000	0	0	0	0	0	0	+1.0000	—1.0000
—0.1121	0	+0.0095	+0.1710	0	0	0	0	0	0	+0.0023	—0.0094
+0.1776	0	+0.0017	+0.7152	0	0	0	0	0	0	+0.0349	+0.0627
+0.2654	0	—0.0279	+0.8576	0	0	0	0	0	0	+0.1302	+0.1887
0	0	0	0	+1.0000	—0.0004	0	—1.0000	—0.01212	—0.1216	0	0
0	0	0	0	+0.3239	+0.0021	0	—0.1116	—0.0322	+0.1760	0	0
0	0	0	0	+0.2794	—0.0021	0	+0.1771	+0.0615	+0.5124	0	0
0	0	0	0	+0.2569	+0.0032	0	+0.2648	—0.0398	+0.4880	0	0
—0.6691	0	—1.0167	+0.7438	+1.8602	+0.0028	0	—0.6697	—0.1317	+1.0548	+1.1674	—0.7580
<i>df</i>	<i>dn</i>	<i>ds</i>	<i>ce</i>	<i>cf</i>	<i>en</i>	<i>es</i>	<i>ff</i>	<i>fn</i>	<i>fs</i>	<i>nn</i>	
0	—1.0000	—1.0000	+1.0000	0	+1.0000	+1.0000	0	0	0	+1.0000	
0	+	8	+0.0142	+0.0386	0	—0.0033	—0.0589	0	0	0	+0.0003
0	+	6	+0.2525	+0.1126	0	+0.0011	+0.4534	0	0	0	0.0000
0	—0.0198	+0.6099	+0.2735	0	—0.0287	+0.8838	0	0	0	0	+0.0030
+0.0004	0	0	0	0	0	0	+1.0000	+0.1212	+0.1216	+0.0147	
—0.0007	—	2	+	12	0	0	0	+0.0384	+0.0111	—0.0606	+0.0032
—0.0013	—	5	—	39	0	0	0	+0.1123	+0.0390	+0.3248	+0.0135
+0.0033	—	5	+	61	0	0	0	+0.2728	—0.0410	+0.5028	+0.0062
+0.0017	—1.0196	—0.1200	+1.4247	0	+0.9691	+2.2783	+1.4235	+0.1303	+0.8886	+1.0409	

Ordnet man nun die Unbekannten nach der Reihe *b*, *c*, *e*, *f*, *a* und *d*, so gestaltet sich die Elimination bis *f* inclusive fortgeführt, wie folgt (vergl. pag. 340):

	<i>b</i>	<i>c</i>	<i>e</i>	<i>f</i>	<i>a</i>	<i>d</i>	<i>n</i>	<i>s</i>
	+1.8628	0.0000	—0.6691	0.0000	—0.7426	+1.3092	—1.0167	+0.7436
<i>E.</i>	0.27016	— ∞	9 _n 82549	— ∞	9 _n 87075	0.11701	0 _n 00719	9.87134
	+1.8602	0.0000	—0.6697	—0.0067	+0.0028	—0.1317	+1.0549	
	0	0	0	0	0	0	0	0
	+1.8602	0.0000	—0.6697	—0.0067	+0.0028	—0.1317	+1.0549	
<i>E.</i>	0.26956	— ∞	9 _n 82588	7 _n 82607	7.44716	9 _n 11959	0.02321	
	+1.4247	0.0000	+1.3117	—0.7580	+0.9691	+2.2784		
	+0.24034	0	+0.26674	—0.47027	+0.36519	—0.26710		
	+1.18436	0.00000	+1.04496	—0.28773	+0.60391	+2.54550		
	0	0	0	0	0	0	0	0
	+1.18436	0.00000	+1.04496	—0.28773	+0.60391	+2.54550		
<i>E.</i>	0.07348	— ∞	0.01910	9 _n 45898	9.78098	0.40577		
	+1.4235	+0.0029	+0.0017	+0.1303	+0.8887			
	0	0	0	0	0	0	0	0
	+1.4235	+0.0029	+0.0017	+0.1303	+0.8887			
[<i>nn</i> 1]	0.4860	+0.24110	+0.00241	—0.00101	+0.04741	—0.37978		
[<i>nn</i> 2]	0.4767	+1.18240	+0.00049	+0.00271	+0.08289	+1.26848		
[<i>nn</i> 3]	0.1688	0	0	0	0	0	0	0
[<i>nn</i> 4]	0.1630	+1.18240	+0.0049	+0.00271	+0.08289	+1.26849		
<i>E.</i>	6.07276	6.69020	7.43297	8.91850	0.10329.			

Man wird bemerken, dass auch die Auflösung der Normalgleichungen wegen der kleinen Coëfficienten sehr merklich erleichtert erscheint. Würde es sich in diesem Falle nur um die Ermittlung der wahrscheinlichsten Elemente allein handeln, und sollte hier nicht ein Beispiel durchgeführt werden, wo zwei Unbekannte einer besonderen Unsicherheit unterworfen sind, so könnte die Elimination zu Ende geführt werden, ohne allzugrosse Unsicherheit. Diesen Vortheil verdankt man nur der zweckmässigen Wahl der Elemente.

Bestimmt man sich aus der letzten mit *E* bezeichneten Gleichung die Unbekannte *f* als Function von *a*, *d* und den Beobachtungsfehlern, so erhält man sofort (logarithmisch):

$$f = 8.84574 + 6_n61744a + 7_n36021d;$$

führt man diesen Werth in der vorletzten obigen Gleichung *E* ein, so findet man leicht:

$$e = 9.70750 + 9_n94562a + 9.38550d$$

und so weiter durch Rücksubstitution:

$$c = 8_n65858 + 7.53798a + 7_n36693d$$

$$b = 9_n55948 + 8.91239a + 9_n78927d;$$

mit Rücksicht auf die Uebertragungscoefficienten (pag. 452) erhält man als Relationen zwischen den Elementen (logarithmisch):

$$\left. \begin{aligned} \delta \xi_0 &= 5.5156 + 5.7776 \delta x_0 + 6.1160 \delta u \\ \delta \eta_0 &= 6.3784 + 9.1068 \delta x_0 + 8.2223 \delta \xi_0 \\ \delta z_0 &= 5.0038 + 6.3735 \delta x_0 + 5.8780 \delta \xi_0 \\ \delta y_0 &= 5.9057 + 7.7489 \delta x_0 + 8.3014 \delta \xi_0 \end{aligned} \right\} A_1)$$

Hiermit sind die Formen 2) pag. 364) erlangt. Um nun den Uebergang auf 1) pag. 365) zu machen, hat man diese Relationen in die ursprünglichen Bedingungsgleichungen einzusetzen, und man wird, um Alles in Bogensekunden zu erhalten, die obigen Coëfficienten vor deren Substitution durch sin 1" dividiren; ausserdem habe ich, um den Zusammenhang zwischen den Elementen und den Orten möglichst klar zu legen, die zwei Gleichungen für den ersten Ort ohne Berücksichtigung ihres Gewichtes benützt; man erhält so die neuen Bedingungsgleichungen, indem man die von δx_0 und $\delta \xi_0$ freien Glieder mit den Fehlern in den Orten verbindet:

$$\left. \begin{aligned} &\lambda \\ - 1''807 &= - 157''5 \delta x_0 + 293''0 \delta \xi_0 \\ + 7.957 &= + 619.5 \quad \quad - 1264.4 \quad \quad \\ + 0.593 &= + 330.0 \quad \quad - 206.8 \quad \quad \\ - 3.382 &= - 502.2 \quad \quad + 632.4 \quad \quad \\ &\mu \\ - 0.078 &= + 17.04 \delta x_0 - 0.01 \delta \xi_0 \\ - 0.415 &= - 67.61 \quad \quad + 10.40 \quad \quad \\ + 2.875 &= - 36.70 \quad \quad - 21.73 \quad \quad \\ - 2.262 &= + 55.71 \quad \quad + 14.22 \quad \quad \end{aligned} \right\} A_2)$$

welche Gleichungen nun die Form der Gleichungen 8) pag. 366 haben.

Hier findet nun die in 7) pag. 366) angezeigte Prüfung statt. Bildet man die Summe der Fehlerquadrate (also von n') und addirt dieselben, nachdem man die für den ersten Ort geltenden Quadrate, dem Gewichte entsprechend, mit 3 multiplicirt hat, so erhält man:

$$[n'n'] = 98''4;$$

oben fand sich $[nn'] = 0.1630$, was in Verbindung mit der Fehlereinheit ergibt:

$$[nn'] = 98''5$$

in guter Uebereinstimmung mit dem obigen Werthe. Uebrigens erscheinen die Coëfficienten von δx_0 und $\delta \xi_0$ durch die Controle nicht geprüft und müssen besonders revidirt werden. Die obigen Gleichungen können nun zur Bestimmung von δx_0 und $\delta \xi_0$ verwerthet werden, da in der That die Coëfficienten der beiden Unbekannten nicht allzu klein sind (vergl. pag. 366); gibt man wieder dem ersten Orte das Gewicht 3 und macht die Coëfficienten homogen durch:

$$\begin{aligned} 2.7920 \delta x_0 &= p \\ 3.1019 \delta \xi_0 &= q \\ \log \text{Fehlereinheit} &= 0.9007 \end{aligned}$$

so erhält man (logarithmisch) :

$$\begin{array}{rcl} 9_n 5949 & = & 9_n 6439 \, p + 9.6049 \, q \\ 0.0000 & = & 0.0000 \quad 0_n 0000 \\ 8.8724 & = & 9.7277 \quad 9_n 2137 \\ 9_n 6285 & = & 9_n 9089 \quad 9.6991 \\ 8_n 2300 & = & 8.6780 \quad 7_n 0957 \\ 8_n 7173 & = & 9_n 0380 \quad 7.9151 \\ 9.5579 & = & 8_n 7727 \quad 8_n 2352 \\ 9_n 4538 & = & 8.9540 \quad 8.0510 . \end{array}$$

aus welchen Gleichungen sich die folgenden Eliminationsgleichungen ergeben :

$$\left. \begin{array}{l} + 2.1625 \, p - 1.6692 \, q = + 1.5157 \\ + 0.1511 \, q = - 0.2231 . \end{array} \right\} \quad a)$$

Die Summe der Fehlerquadrate beträgt in der hier gewählten Einheit 1.5555. Aus der ersten Gleichung allein leitet man ab logarithmisch :

$$p = 9.8456 + 9.8875 \, q ,$$

oder mit Rücksicht auf die oben eingeführten Homogenitäts-factoren logarithmisch :

$$\partial x_0 = 7.9543 + 0.1974 \, \partial \xi_0 \quad B$$

Der eben gefundene Werth für p wäre in die obigen Gleichungen einzuführen, worauf man leicht die Formen 18) (pag. 368) erhalten würde, doch ist die Auflösung in dem vorliegenden Falle aus den letzteren Eliminationsgleichungen für die Bestimmung der Unbekannten hinreichend sicher; man erhält so:

$$\log q = 0_n 1693$$

oder

$$\log \partial \xi_0 = 7_n 9681 \quad C)$$

Die Summe der Fehlerquadrate geht herab auf:

$$[nn6] = 0.1638 ,$$

oder mit Rücksicht auf die oben eingeführte Fehlereinheit:

$$[nn6] = 10''_4 .$$

Substituirt man den Werth von C in B und A , so erhält man die wahrscheinlichsten Correctionen der angewandten Elemente, und zwar:

$$\begin{array}{l} \partial x_0 = - 0.005 \, 6375 \\ \partial y_0 = + 0.000 \, 0739 \\ \partial z_0 = - 0.000 \, 0107 \\ \partial \xi_0 = - 0.009 \, 2920 \\ \partial \eta_0 = + 0.000 \, 8050 \\ \partial \zeta_0 = + 0.000 \, 0346 . \end{array}$$

* Da der Coëfficient von $\partial \xi_0$ grösser als die Einheit ist, so kann man daraus den Schluss ziehen, dass es etwas zweckmässiger gewesen wäre, ∂x_0 als die letzte Unbekannte zu wählen.

Die Einführung dieser Correctionen in die Bedingungsgleichungen ergibt als übrigbleibende minimale Fehler:

	$\cos \beta \delta \lambda$	$\delta \beta$	Gewicht	
1	+ 0''04	+ 0''01	3	} D)
2	— 0.30	— 0.70	1	
3	+ 0.54	+ 2.47	1	
4	— 0.34	— 1.82	1	

Die Summe der Fehlerquadrate ist in der That 10''⁴, wodurch eine sehr gute Controle erreicht ist.

Bringt man die hier gefundenen Correctionen an die oben (pag. 443) ermittelten Ausgangswerthe an, so erhält man:

$$\begin{aligned} x_1 &= + 4.208\ 7317, & \xi_1 &= + 0.014\ 7156 \\ y_1 &= + 0.407\ 0657, & \eta_1 &= + 0.450\ 2083 \\ z_1 &= - 0.053\ 8383, & \zeta_1 &= - 0.129\ 0064; \end{aligned}$$

aus diesen Coordinaten und Geschwindigkeiten sind die osculirenden Elemente nach 34 (pag. 437) abzuleiten; die Rechnung stellt sich wie folgt:

$\log x_1$	0.624 1513	$1 \bar{p} \sin i \sin \Omega$	8 _n 451 4142
$\log y_1$	9.609 6645		9 _n 999 4101
$\log z_1$	8 _n 731 0913	$1 \bar{p} \sin i \cos \Omega$	6 _n 734 1285
$\log \xi_1$	8.167 7780	$1 \bar{p} \sin i$	9.734 7184
$\log \eta_1$	9.653 4135	$1 \bar{p} \cos i$	0.276 1896
$\log \zeta_1$	9 _n 110 6113	$V \bar{p}$	0.293 4265
$x_1 \eta_1$	0.277 5648	p	0.586 8530
$y_1 \xi_1$	7.777 4425	i	16° 2' 10'' 04
Subtr.	0 001 3752	(Ω)	182 59 7 71
$y_1 \zeta_1$	8 _n 720 2758	$\cos (\Omega)$	9 _n 999 4101
$z_1 \eta_1$	8 _n 384 5048	$\sin (\Omega)$	8 _n 716 6940
Subtr.	0.268 8634	$\cos i$	9.982 7631
$x_1 \zeta_1$	9 _n 734 7626	$\sin i$	9.441 2918
$z_1 \xi_1$	6 _n 898 8693	$\cos (\Omega \cos i)$	9 _n 982 1732
Subtr.	0.000 6341	— $\sin (\Omega) \cos i$	8.699 4571
$x_1 \xi_1$	8.791 9293	$y_1 \cos (\Omega) \cos i$	9 _n 591 8377
$y_1 \eta_1$	9.263 0780	— $x_1 \sin (\Omega) \cos i$	9.323 6084
Add.	0.126 4396	Add.	0.336 5119
{I + II}	9.389 5176	{I + II}	9 _n 255 3258
$z_1 \zeta_1$	7.841 7026	$z_1 \sin i$	8 _n 172 3831
Add.	0.012 1308	Add.	0.034 4739
$\sin \varphi \sin \epsilon \frac{r}{1 \bar{p}}$	9.401 6484	$x_1 \cos (\Omega)$	0 _n 623 5614
		$y_1 \sin \Omega$	8 _n 326 3585
		Add.	0.002 1852

$r \sin u$	9 _n 289 7997	$\sin q \sin v$	9.068 8665
	9 _n 999 5382		9.905 3147
$r \cos u$	0 _n 625 7466	$\sin q \cos v$	8 _n 937 6909
u	182°38'29''78	v	126°28'32''70
r	0.626 2084	$\sin q$	9.163 5518
$r : p$	9.960 6446	q	8°22'46''59
$p : r$	9.667 2181	$45^\circ + \frac{1}{2} q$	40°11'23.29
$\frac{1}{2} v$	63°14'16.35	ω	56°9'57''08
$\operatorname{tg} \frac{1}{2} v$	0.297 3051	π	239°9' 4''79
$\operatorname{cotg} (45^\circ + \frac{1}{2} q)$	9.936 2560	$\cos q^2$	9.990 6774
$\frac{1}{2} E$	59°42'48''86	a	0.596 1756
E	119 25 37.73	\sqrt{a}	0.298 0878
$\sin E$	9.940 0086	$a^{\frac{3}{2}}$	0.894 2634
$\sin q : \sin 1''$	4.477 9769	$\log \mu$	2.655 7432
$e'' \sin E$	7°16'20''96	μ	452''0299
M	112° 9'16''77		

womit die Rechnung der Elemente vollendet erscheint. Ueberträgt man weiter die Elemente nach 35) (pag. 438) auf den Aequator als Fundamentalebene, und diese nach den im ersten Bande des Lehrbuches angegebenen Formeln (1 pag. 11) auf die Ekliptik, so finden sich die wahrscheinlichsten Elemente in der gewöhnlichen Form:

(133) Hilda.

Epoche 1875 Dec. 2.0 mittl. Berl. Zeit.

mittleres Aequinoctium 1875.0

L	34°58'54''95
M	112 9 16.77
π	282 49 38.18
Ω	228 20 0.73
i	7 48 0.22
q	8 22 46.59
μ	452''6299
$\log a$	0.596 1756 .

Rechnet man nun aus diesen Elementen die Darstellung der Orte bezogen auf das früher gewählte Coordinatensystem, so ergibt die directe siebenstellige Rechnung hierfür:

	$\cos \beta \delta \lambda$	$\delta \beta$
1875 Nov. 4	+ 0''09	0.00
» 22	— 0.32	— 0.71
Dec. 19	+ 0.57	+ 2.55
» 30	— 0.31	— 1.82 ,

welche Werthe mit den in D (pag. 450) angesetzten in befriedigender Weise stimmen, so dass die bisherigen Rechnungen einer sehr scharfen Controle unterzogen erscheinen.

Wenn es sich blos darum handelt, die wahrscheinlichsten Elemente für einen kleinen Planeten aus den Beobachtungen einer Opposition zu erhalten, so erscheinen hiernüt die Rechnungen vollendet; es knüpft sich aber häufig genug auch die Frage an diese Bestimmungen, innerhalb welcher Grenzen man die Elemente variiren darf, ohne den Beobachtungen geradezu zu widersprechen, und zur Erledigung dieser Frage eignet sich die hier aufgestellte Methode im besonderen Maasse, da in der That der Zusammenhang zwischen den Variationen der Elemente und den Aenderungen in den geocentrischen Orten, innerhalb der in Betracht kommenden Grenzen ein fast völlig linearer ist.

Wir nehmen zu diesem Ende die Gleichung B pag. 455) vor und substituiren dieselbe einerseits in A_1) und A_2); denkt man sich dann unter $\delta \xi$ die Variation des wahrscheinlichsten Werthes von ξ_0 , so ist es klar, dass man in den Gleichungen A_1) und B) pag. 454, 455) für die constanten Coëfficienten Null zu setzen hat, wenn man unter $\delta \xi$, δi , δz , δy und δx die Variationen der wahrscheinlichsten Elemente verstehen soll, bedingt durch die Variationen von $\delta \xi$ und ebenso hat man linker Hand in A_2) statt der dort angesetzten Fehler die aus D pag. 456) resultirenden einzufügen; man findet dann logarithmisch:

$$\begin{aligned}\delta x &= 0.1074 \delta \xi \\ \delta y &= 8.0484 \delta \xi \\ \delta z &= 6.4725 \delta \xi \\ \delta i &= 0.2666 \delta \xi \\ \delta \xi &= 0.4001 \delta \xi.\end{aligned}$$

Beachtet man, dass die übrig bleibenden Fehler in D pag. 456) identisch sind mit $e_1, e_2 \dots$ der Formel 25) pag. 369 und bezeichnet man mit $f_1, f_2 \dots$ die Fehler, welche übrig bleiben, wenn man den wahrscheinlichsten Werth von ξ um den Betrag $\delta \xi$ variirt, so erhält man aus der Substitution in B leicht:

$$\begin{aligned}f_1 &= + 0.04 - 15.8 \delta \xi, & f_5 &= + 0.01 - 25.9 \delta \xi \\ f_2 &= - 0.30 + 288.4 \delta \xi, & f_6 &= - 0.70 + 96.1 \delta \xi \\ f_3 &= + 0.54 - 314.5 \delta \xi, & f_7 &= + 2.47 + 70.5 \delta \xi \\ f_4 &= - 0.34 + 158.8 \delta \xi, & f_8 &= - 1.82 - 102.0 \delta \xi.\end{aligned}$$

Bedenkt man überdiess, dass der wahrscheinlichste Werth von x ebenfalls stark variirt werden kann, ohne den Beobachtungen zu widersprechen, und versteht man unter δx die Variation unter der Einschränkung, dass $\delta \xi = 0$ gesetzt ist (pag. 368), so kann man zu diesem Zwecke unmittelbar die Coëfficienten von δx_0 aus A_1) und A_2) hinschreiben, wobei nur zu beachten ist, dass man in den letzteren das Zeichen wegen der Umsetzung auf die andere Seite des Gleichheitszeichens zu ändern hat und erhält so logarithmisch:

$$\left. \begin{aligned}\delta x &= 0.1074 \delta \xi \\ \delta y &= 7.7489 \delta x + 8.0484 \delta \xi \\ \delta z &= 6.3735 \delta x + 6.4725 \delta \xi \\ \delta y &= 0.1068 \delta x + 0.2666 \delta \xi \\ \delta \xi &= 5.7776 \delta x + 0.4001 \delta \xi.\end{aligned} \right\} E)$$

und ausserdem für die Fehler in den Orten:

$$\begin{array}{cc} \cos \beta \, \delta \lambda & \delta \beta \\ \left. \begin{array}{l} f_1 = + 0''04 + 157''5 \, \delta x - 45''8 \, \delta \xi, \quad f_5 = + 0''01 - 17''0 \, \delta x - 25''9 \, \delta \xi \\ f_2 = - 0 \, 30 - 619.5 \, \delta x + 288.4 \, \delta \xi, \quad f_6 = - 0.70 + 67.5 \, \delta x + 96.1 \, \delta \xi \\ f_3 = + 0 \, 54 - 330.9 \, \delta x + 314.5 \, \delta \xi, \quad f_7 = + 2.47 + 36.7 \, \delta x + 79.5 \, \delta \xi \\ f_4 = - 0.34 + 502.2 \, \delta x + 158.8 \, \delta \xi, \quad f_8 = - 1.82 - 55.7 \, \delta x - 102.0 \, \delta \xi \end{array} \right\} & P) \end{array}$$

womit also die durch die Gleichung 25) pag. 369) verlangte Form hergestellt erscheint. Die Relation 26. pag. 369) ergibt also mit diesen Zahlen:

$$[ff] = 10''4 + \overline{5.9190} \, \delta x^2 + \overline{5.3830} \, \delta \xi^2, \quad G)$$

wobei die Coëfficienten logarithmisch verstanden und in Bogensekunden angesetzt sind; sie sind also in der That nichts anderes als die entsprechenden Quadratsummen der in $P)$ enthaltenen Zahlen, wobei jedoch die aus den Gleichungen resultirenden Werthe von f_1 und f_5 dem Gewichte entsprechend mit 3 multiplicirt wurden. Die Ermittlung dieser Coëfficienten kann aber viel einfacher aus den Zahlen der Gleichung α pag. 455 erhalten werden, denn der Coëfficient von p in der ersten Gleichung ist einfach mit dem Quadrate des Homogenitätsfactors der Logarithmus des Factors ist daselbst angenommen 2.7920 zu multipliciren und gibt den obigen Coëfficienten von δx^2 , ebenso ist der Factor von q in der zweiten Gleichung zu behandeln (log Factor 3.1010), der dann den Factor von $\delta \xi^2$ finden lässt; es wird der Controle halber erwünscht sein, die Coëfficienten der Gleichung $G)$ auf beiden Wegen zu ermitteln.

Man wird vorerst sich über die Grenzen, über die man bei der Bestimmung der Grenzelemente wohl nicht hinauszugehen braucht, zu einigen haben; eine Ansicht der Gleichungen $P)$ zeigt wohl, dass ein Werth von $[ff]$, der etwa bei 100'' liegt, keine grosse Wahrscheinlichkeit für sich in Anspruch nehmen kann; es wird also eine Vergrösserung der minimalen Fehlerquadrate (10''4 um 89''6 wenig wahrscheinlich sein; um aber mit einer fast an die Gewissheit grenzenden Wahrscheinlichkeit die äussersten Grenzelemente zu erhalten, wollen wir die Vermehrung um den vierfachen Betrag als noch möglich in Betracht ziehen, daher $[ff]$ die Form geben:

$$[ff] = 10''4 + 358''4 \, n^2, \quad H)$$

für $n = \frac{1}{2}$, wird also die Summe der Fehlerquadrate 100'', für $n = 1$ erreicht dieselbe den Werth 368''8. Setzt man nach 27. pag. 370):

$$\begin{array}{l} 1 \, \overline{358.4} \, n \sin N = \overline{2.9595} \, dx \\ 1 \, \overline{358.4} \, n \cos N = \overline{2.6915} \, d\xi, \end{array}$$

also:

$$\left. \begin{array}{l} n \sin N = \overline{1.0823} \, dx \\ n \cos N = \overline{1.4143} \, d\xi \end{array} \right\} \quad J$$

und führt statt der beiden Unbekannten $d\xi$ und dx die Unbekannten n und N der Gleichung J) entsprechend ein, so ist die Summe der Fehlerquadrate nach G) (pag. 459 :

$$[ff] = 10''^4 + 358''^4 n^2.$$

Für gleiche Werthe von n wird demnach die Summe der Fehlerquadrate den gleichen Werth erhalten, also, da die wahrscheinlichen Fehler der Unbekannten nur von der Fehlerquadratsumme abhängig sind Systeme, von gleicher Wahrscheinlichkeit (vergl. pag. 370) für jeden beliebigen Werth des Winkels N ergeben. Nach den obigen Betrachtungen kann man wohl als die obere Grenze für n die Einheit annehmen, da für diesen Werth die Darstellung der Beobachtungen ganz unbefriedigend ist; der Werth $n = 0$ führt auf das wahrscheinlichste System. Indem für den Winkel N die Peripherie in 8 Theile getheilt wurde und für n einmal der Werth $\frac{1}{2}$ und dann 1 substituiert wurde, erhielt man aus E) (pag. 458) 16 verschiedene Systeme der Coordinaten und Geschwindigkeiten, aus denen nach 34) (pag. 437) die Elemente abgeleitet wurden. Es seien die für 8 Punkte der Peripherie ermittelten Werthe einer Funktion bezeichnet durch $Y_0, Y_1 \dots Y_7$, so wird es ein leichtes sein, dieselben numerisch in eine periodische Funktion zu verwandeln; man erhält 5 Cosinus-Coefficienten und 3 Sinus-Coefficienten, die der vorgelegten Funktion die Gestalt geben:

$$E = c_0 + c_1 \cos N + c_2 \cos 2N + c_3 \cos 3N + c_4 \cos 4N \\ + s_1 \sin N + s_2 \sin 2N + s_3 \sin 3N.$$

Seien durch die obigen Y -Funktionen die acht Incremente dargestellt, die unter einer bestimmten Annahme für n hier entweder 0.5 oder 1.0 irgend ein Element gegen den wahrscheinlichsten Werth erfährt, wenn N der Reihe nach die Werthe 0, 45°, 90° ... 315° annimmt, und bezeichnet weiter symbolisch:

$$\begin{array}{ll} 0.4 = Y_0 + Y_1 & \frac{0}{4} = Y_0 - Y_1 \\ 1.5 = Y_1 + Y_5 & \frac{1}{3} = Y_1 - Y_5 \\ 2.6 = Y_2 + Y_6 & \frac{2}{6} = Y_2 - Y_6 \\ 3.7 = Y_3 + Y_7 & \frac{3}{7} = Y_3 - Y_7 \end{array}$$

dann ist offenbar:

$$\begin{aligned} 4 c_0 + c_4 &= 0.4 + (2.6) & 2 c_1 + c_3 &= \frac{0}{4} & , & 2 (s_1 + s_3) &= \left\{ \frac{1}{5} + \frac{3}{7} \right\} \frac{1}{\sqrt{2}} \\ 4 c_0 - c_4 &= 1.5 + (3.7) & 2 (c_1 - c_3) &= \left\{ \frac{1}{5} - \frac{3}{7} \right\} \frac{1}{\sqrt{2}} & , & 2 (s_1 - s_3) &= \frac{2}{8} \\ 4 c_2 &= 0.4 - (2.6) & & & & 4 s_2 &= (1.5) - (3.7) . \end{aligned}$$

Die Anlage der Rechnung stellt sich also wie folgt:

Y_0 Y_1	Y_2 Y_6	Y_1 Y_5	Y_3 Y_7	
(0.4) (2.6)	(1.5) (3.7)	$\left(\frac{1}{3}\right)$ $\left(\frac{3}{7}\right)$	$\left(\frac{1}{3}\right) - \left(\frac{3}{7}\right)$ $\left(\frac{1}{3} + \frac{3}{7}\right)$	$\log \left\{ \left(\frac{1}{3} - \frac{3}{7}\right) \right\}$ $\log \left\{ \left(\frac{1}{3} + \frac{3}{7}\right) \right\}$
(0.4) + (2.6) (1.5) + (3.7)		$\left(\frac{0}{4}\right)$ $\left\{ \left(\frac{1}{3}\right) - \left(\frac{3}{7}\right) \right\} \frac{1}{2}$	$\left\{ \left(\frac{1}{3}\right) + \frac{3}{7} \right\} \frac{1}{\sqrt{2}}$ $\left(\frac{2}{6}\right)$	
$8c_0$ $8c_4$	$4c_2$ $4c_2$	$4c_1$ $4c_3$	$4s_1$ $4s_3$	

Man erhält so für $n = \frac{1}{2}$ und indem man statt (χ) und φ die einen lineareren Charakter aufweisenden Elemente:

$$\varphi = \frac{\sin \varphi}{\sin 1''} \sin (\chi)$$

$$\psi = \frac{\sin \varphi}{\sin 1''} \cos (\chi)$$

einführt, die folgenden Zahlen nach 34 pag. 437 :

	(0)	(1)	(2)	(3)	(4)	(5)	(6)	(7)
x	+4.2390745	+4.2377345	+4.2191222	+4.1946232	+4.1783888	+4.1799288	+4.1983412	+4.2228401
y	+0.4068504	+0.4069546	+0.4071240	+0.4072591	+0.4072810	+0.4071767	+0.4070074	+0.4068722
z	-0.0538326	-0.0538325	-0.0538358	-0.0538406	-0.0538440	-0.0538441	-0.0538407	-0.0538360
ξ	+0.0339747	+0.0283338	+0.0147156	+0.0010973	-0.0045435	+0.0010973	+0.0147156	+0.0283338
η	+0.4466499	+0.4467525	+0.4488795	+0.4517848	+0.4537666	+0.4536640	+0.4515371	+0.4486317
ζ	-0.1290112	-0.1290102	-0.1290070	-0.1290033	-0.1290015	-0.1290025	-0.1290058	-0.1290094

(Q)	182°59'14"18	182°59'15"05	182°59'11"63	182°59' 5"86	182°59' 1"14	182°59' 0"25	182°59' 3"77	182°59' 9"53
(i)	16°11'33"52	16°10'43"86	16° 4'52"71	15°55'31"34	15°52'5"12	15°53'44"97	15°59'28"20	16° 6'51"33
(π)	242°15' 7"95	240°53'17"39	238°10'34"54	234°56'13"02	233°50'48"53	236°34' 2"51	240° 8'24"19	242° 5'37"13
φ	10°32'38"65	9°57'14"70	8°27' 5"74	6°55'38"73	6°15'19"24	6°48'58"73	8°18'37"47	9.51'43"85
(θ)	-33404"31	-31150"50	-25758"31	-20363"16	-18146"89	-20430"18	-25854"90	-31220"53
(U)	-17573"22	-17346"58	-15985"61	-14291"86	-13258"76	-13487"90	-14843"19	-16534"85
(L)	346°43'28"34	348° 4'37"82	351°19'17"69	354°32' 4"49	355°50'34"51	354°30'12"91	351°17'25"34	348° 3'50"71
μ	449°6879	450°8328	452°7368	453°6152	453°6484	453°4862	452°5279	450°6672

Daraus resultirt:

$$n = \frac{1}{2}$$

$$(L) = 351^{\circ}18'21''56 - 40''08 - 16414''08 \cos N - 40''05 \cos 2N + 1''00 \cos 3N - 0''00 \cos 4N \\ + 56.14 \sin N - 16.12 \sin 2N - 0.03 \sin 3N$$

$$(\vartheta) = -25866''53 + 15''44 - 7628''80 \cos N + 15''50 \cos 2N + 0''09 \cos 3N - 0''01 \cos 4N \\ + 48.36 \sin N + 0.76 \sin 2N + 0.07 \sin 3N$$

$$(\psi) = -15413''51 - 1''74 - 2157''25 \cos N - 0''79 \cos 2N + 0''02 \cos 3N + 0''05 \cos 4N \\ - 571.23 \sin N - 1.94 \sin 2N - 0.01 \sin 3N$$

$$\begin{aligned}
 100\mu &= 45262''99 - 17''96 - 198''03 \cos N - 48''21 \cos 2N + 0''01 \cos 3N - 0''01 \cos 4N \\
 &\quad + 10.43 \sin N + 0.91 \sin 2N - 0.01 \sin 3N \\
 \varphi &= 182''59'7''71 - 0.03 + 6''52 \cos N - 0''02 \cos 2N - 0''00 \cos 3N - 0''00 \cos 4N \\
 &\quad + 3.93 \sin N - 0.02 \sin 2N \\
 i &= 16^0 2' 10''04 + 2''84 + 558''21 \cos N + 2''43 \cos 2N - 0''01 \cos 3N - 0''00 \cos 4N \\
 &\quad + 162.25 \sin N + 1.54 \sin 2N + 0.00 \sin 3N
 \end{aligned}$$

Führt man nun dieselben Rechnungen aus unter der Annahme $n = 1$, so findet sich in ganz ähnlicher Weise:

$$\begin{aligned}
 n &= 1 \\
 L &= 351^0 18' 21''56 - 160''21 - 32810''44 \cos N - 159''94 \cos 2N + 7''96 \cos 3N + 0''08 \cos 4N \\
 &\quad + 112.11 \sin N - 64.42 \sin 2N - 0.25 \sin 3N \\
 \varphi &= 35806''53 + 61''70 - 15255''83 \cos N + 62''00 \cos 2N + 0''05 \cos 3N - 0''00 \cos 4N \\
 &\quad - 97.16 \sin N + 3.05 \sin 2N + 0.58 \sin 3N \\
 \psi &= -15413''51 + 6''98 - 1314''03 \cos N - 3''02 \cos 2N + 0''12 \cos 3N + 0''01 \cos 4N \\
 &\quad - 1142.36 \sin N - 7.77 \sin 2N + 0.17 \sin 3N \\
 100\mu &= 45262''99 - 191''66 - 395''66 \cos N - 192''68 \cos 2N + 0''22 \cos 3N + 0''06 \cos 4N \\
 &\quad + 20.82 \sin N + 3.60 \sin 2N - 0.11 \sin 3N \\
 \lambda &= 182''59'7''71 - 0''12 + 13''05 \cos N - 0''08 \cos 2N - 0''00 \cos 3N + 0''00 \cos 4N \\
 &\quad + 7.87 \sin N - 0.09 \sin 2N + 0.01 \sin 3N \\
 i &= 16^0 2' 10''04 + 11''47 + 1116''05 \cos N + 9''74 \cos 2N + 0''05 \cos 3N + 0''00 \cos 4N \\
 &\quad + 324.58 \sin N + 6.18 \sin 2N + 0.07 \sin 3N.
 \end{aligned}$$

Rechnet man mit irgend einem dieser äussersten Grenzsyste \ddot{u} die Darstellung der Orte direct siebenstellig, so wird man durchaus eine befriedigende Uebereinstimmung mit der aus den Differentialformeln abgeleiteten aus J und F_j (pag. 459) erhalten, welche die Unsicherheit der siebenstelligen Rechnung kaum überschreitet; man leitet daraus den Schluss ab, dass in der That die hier getroffene Wahl der Elemente den Forderungen der Methode der kleinsten Quadrate (linearer Zusammenhang) in fast unerwartet befriedigendem Maasse entspricht.

Bedenkt man, dass die obigen Formen für die Elemente nichts anderes sind, als die empirische Entwicklung derselben nach den Potenzen von $n \sin N$ und $n \cos N$, so wird man sofort einsehen, dass die mit geraden Vielfachen von N verbundenen Coëfficienten nur gerade Potenzen von n , die mit ungeraden verbundenen nur ungerade enthalten können; die niedrigste Potenz von n kann aber nicht kleiner sein, als der Factor von N . Mit Hilfe dieser Bemerkungen sieht man daher sofort ein, dass man den Elementen demnach die folgende Form ertheilen kann:

(13) Hilda.

Epoche 1875 Dec. 2.0 mittl. Berl. Zeit.

$$\begin{aligned}
 L &= 351^0 18' 21''56 + (-160''38 n^2 + 0''17 n^4) + (-32834''08 n + 23''04 n^3) \cos N \\
 &\quad + (+112''34 n - 0''23 n^3) \sin N + (-160''20 n^2 + 0''32 n^4) \cos 2N \\
 &\quad + (-64''46 n^2 + 0''08 n^4) \sin 2N + 7''96 n^3 \cos 3N \\
 &\quad - 0''25 n^3 \sin 3N + 0''08 n^4 \cos 4N
 \end{aligned}$$

$$\begin{aligned}
 (\mathcal{Q}) = & -25806''53 + (+61''77 n^2 - 0''07 n^4) & + (-15258''20 n + 2''37 n^3 \cos N \\
 & + (+06''59 n + 0''57 n^3) \sin N & + + 62''01 n^2 - 0''01 n^4 \cos 2 N \\
 & + (+3''06 n^2 - 0''01 n^4) \sin 2 N & + 0''05 n^3 \cos 3 N \\
 & + 0''58 n^3 \sin 3 N & + 0''00 n^4 \cos 4 N \\
 (\mathcal{P}) = & -15413''51 + (-6''93 n^2 - 0''05 n^4) & + (-4314''65 n + 0''62 n^3) \cos N \\
 & + (-1142''51 n + 0''15 n^3) \sin N & + (-3''23 n^2 + 0''21 n^4) \cos 2 N \\
 & + (-7''77 n^2 + 0''00 n^4) \sin 2 N & + 0''12 n^3 \cos 3 N \\
 & + 0''17 n^3 \sin 3 N & + 0''01 n^4 \cos 4 N \\
 100\mu = & 45262''99 + (-191''89 n^2 + 0''23 n^4) & + (-396''19 n + 0''53 n^3) \cos N \\
 & + (+26''87 n - 0''05 n^3) \sin N & + (-192''89 n^2 + 0''21 n^4) \cos 2 N \\
 & + (+3''65 n^2 + 0''01 n^4) \sin 2 N & + 0''22 n^3 \cos 3 N \\
 & - 0''11 n^3 \sin 3 N & + 0''00 n^4 \cos 4 N \\
 (\mathcal{Q}_1) = & 182''59'7''71 + (-0''11 n^2 + 0''02 n^4) & + (+13''05 n + 0''00 n^3) \cos N \\
 & + (+7''86 n + 0''01 n^3) \sin N & + (-0''08 n^2 + 0''00 n^4) \cos 2 N \\
 & + (-0''09 n^2 + 0''00 n^4) \sin 2 N & + 0''00 n^3 \cos 3 N \\
 & + 0''01 n^3 \sin 3 N & + 0''00 n^4 \cos 4 N \\
 (\mathcal{I}) = & 160'2'10''04 + (+11''33 n^2 + 0''11 n^4) & + (+1116''34 n + 0''31 n^3) \cos N \\
 & + (+324''47 n + 0''11 n^3) \sin N & + (+9''73 n^2 + 0''01 n^4) \cos 2 N \\
 & + (+6''15 n^2 + 0''03 n^4) \sin 2 N & + 0''05 n^3 \cos 3 N \\
 & + 0''07 n^3 \sin 3 N & + 0''00 n^4 \cos 4 N .
 \end{aligned}$$

Die Summe der Fehlerquadrate ist nach *H* pag. 459 :

$$[ff] = 10''4 + 358''4 n^2 ,$$

die Darstellung der Orte nach *J* und *F* pag. 459 :

$$\begin{array}{rcll}
 & \cos \beta \delta \lambda & & \\
 1875 \text{ Nov. } 4 & + 0.04 & - 1''76 n \cos N & + 3''27 n \sin N \\
 \text{» } 22 & - 0.30 & + 11.11 n \cos N & - 12.87 n \sin N \\
 \text{Dec. } 19 & + 0.54 & - 12.12 n \cos N & - 6.88 n \sin N \\
 \text{» } 30 & - 0.34 & + 6.12 n \cos N & + 10.44 n \sin N
 \end{array}$$

$$\begin{array}{rcll}
 & \delta \beta & & \\
 1875 \text{ Nov. } 4 & + 0''01 & - 1''00 n \cos N & - 0''35 n \sin N \\
 \text{» } 22 & - 0.70 & + 3.70 n \cos N & + 1.41 n \sin N \\
 \text{Dec. } 19 & + 2.47 & + 3.06 n \cos N & + 0.76 n \sin N \\
 \text{» } 30 & - 1.82 & - 3.93 n \cos N & - 1.10 n \sin N ,
 \end{array}$$

wobei zu bemerken ist, dass bei dem eminent linearen Charakter der eingeführten Funktionen die Uebereinstimmung in einer der siebenstelligen Rechnung nahe adäquaten Genauigkeit bis $n = 1$ hervortreten muss; für ein gleiches n erhält man bei beliebiger Wahl von N Systeme gleicher Wahrscheinlichkeit, für $n = 0$ das wahrscheinlichste System.

C. Anschluss der Elemente an die Beobachtungen mit genäherter Berücksichtigung der Principien der Methode der kleinsten Quadrate.

§ 1. Die Lambert'sche Gleichung.

Bevor ich an die Lösung der in diesem Abschnitte gestellten Aufgaben schreite, muss ich vorerst mehrer Entwicklungen ausführen, die für die folgenden Ableitungen nöthig sein werden, und vor Allem nehme ich die Lambert'sche Gleichung vor, die eine sehr merkwürdige und wichtige Relation aufstellt, welche zwischen der Sehne s , den umschliessenden Radienvectoren r und r' , und der grossen Halbachse a einerseits und der Zwischenzeit $t' - t$ andererseits besteht und von der ein Specialfall ($a = \infty$ bereits im ersten Bande (Euler'sche Gleichung I pag. 101) erhalten wurde.

Lässt man die XY -Ebene eines Coordinatensystemes mit der Bahnebene zusammenfallen und verlegt den Anfangspunkt desselben in den Sonnenmittelpunkt, so ist der Abstand zweier Punkte s , deren Coordinaten x, y , und x', y' sind, bestimmt durch:

$$s^2 = x'^2 - x^2 + (y' - y)^2. \quad 1)$$

Legt man nun die positive Achse in die Richtung des Perihels und gehören die beiden in Betracht gezogenen Punkte einer bestimmten Bahn an, so kann man auch setzen:

$$\begin{aligned} x &= r \cos v, & x' &= r' \cos v' \\ y &= r \sin v, & y' &= r' \sin v', \end{aligned}$$

wo v und v' die zugehörigen wahren Anomalien vorstellen. Ich werde von nun ab die Entwicklungen mit Relationen durchführen, die für die Ellipse reell sind, für die Hyperbel aber imaginäre Beziehungen geben; da im Schlussresultate das Imaginäre eliminirt erscheint, so hat man unmittelbar der Rechnung zugängliche Resultate erhalten, die für alle Kegelschnitte gleichmässige Gültigkeit haben, da man mit dem Imaginären bekanntlich alle Operationen mit derselben Berechtigung durchführen kann, wie mit den reellen Grössen.

Es ist nach I pag. 48:

$$r \cos v = a (\cos E - e), \quad r \sin v = a \cos q \sin E,$$

wo E die excentrische Anomalie, $e = \sin q$ die Excentricität vorstellt; man hat also für 1:

$$s^2 = a^2 (\cos E' - \cos E)^2 + a^2 \cos^2 q (\sin E' - \sin E)^2.$$

Setzt man also wie I pag. 218:

$$g = \frac{1}{2} (E' - E), \quad G = \frac{1}{2} (E' + E),$$

so erhält man sofort:

$$s^2 = 4a^2 \sin^2 g (1 - e^2 \cos^2 G). \quad 2)$$

Führt man nun mittelst der Relation

$$e \cos G = \cos h$$

den Hilfswinkel h ein, so kann man an denselben die willkürliche, aber zulässige Bestimmung knüpfen, dass derselbe stets im ersten oder zweiten Quadranten zu nehmen ist, was mit der Bedingung zusammenfällt, dass $\sin h$ stets positiv wird; die Gleichung 2) (pag. 464) erhält dadurch die einfachere Gestalt:

$$s = 2a \sin g \sin h, \quad 3)$$

in welcher Gleichung s stets positiv angenommen ist; das Product $a \sin g$ hat auch in der That dieses Zeichen. Für die Radienvectoren I pag. 48 kann weiter gesetzt werden:

$$(r + r') = a(1 - \cos E) + a(1 - \cos E') = 2a(1 - \cos g \cos h); \quad 4)$$

setzt man noch überdiess:

$$\left. \begin{aligned} h - g &= \delta \\ h + g &= \varepsilon \end{aligned} \right\} \quad 5$$

so gehen die Gleichungen 3) und 4) über in:

$$\begin{aligned} s &= -a \cos \varepsilon + a \cos \delta \\ r + r' &= 2a - a \cos \delta - a \cos \varepsilon, \end{aligned}$$

und es wird demnach:

$$\left. \begin{aligned} r + r' + s &= 2a(1 - \cos \varepsilon) = 4a \sin^2 \frac{1}{2} \varepsilon \\ r + r' - s &= 2a(1 - \cos \delta) = 4a \sin^2 \frac{1}{2} \delta \end{aligned} \right\} \quad 6)$$

oder:

$$\left. \begin{aligned} \sin^2 \frac{1}{2} \varepsilon &= \frac{r + r' + s}{4a} \\ \sin^2 \frac{1}{2} \delta &= \frac{r + r' - s}{4a} \end{aligned} \right\} \quad 7$$

Zählt man die mittlere Anomalie M von der Zeit des Perihels aus, so bestehen bekanntlich, wenn die Masse vernachlässigt wird, die Relationen:

$$M = \frac{kt}{a^{\frac{3}{2}}}, \quad M' = \frac{kt'}{a^{\frac{3}{2}}},$$

und es wird somit:

$$\frac{k(t' - t)}{a^{\frac{3}{2}}} = M' - M = E' - e \sin E' - E + e \sin E,$$

oder:

$$\frac{k(t' - t)}{a^{\frac{3}{2}}} = 2g - 2 \sin g \cos h = 2g - \sin \varepsilon + \sin \delta \quad 8$$

also schliesslich:

$$k(t' - t) = a^{\frac{3}{2}} \{ (\varepsilon - \sin \varepsilon) - (\delta - \sin \delta) \}. \quad 9$$

Die Gleichung 9) in Verbindung mit den Gleichungen 7) enthält die Lösung des vorgelegten Problems: da aber die Bestimmung von δ und ε aus den Gleichungen 7) wegen der quadratischen Form derselben in doppelter Weise vorgenommen werden kann, je nachdem man das positive oder das negative Zeichen wählt, so könnte auf den ersten Blick eine vierfache Lösung möglich erscheinen. Allein nach 5) ist ε durch die Summe zweier Bogen bestimmt, die einerseits durch die Voraussetzung über h , andererseits in Folge der Annahme, dass der Himmelskörper nicht mehr als einen Umlauf vollendet hat, niemals grösser als 180° angenommen

werden darf. Es wird also $\frac{1}{2}\epsilon$ stets im ersten oder zweiten Quadranten liegen und demnach für $\sin \frac{1}{2}\epsilon$ stets der positive Werth angenommen werden dürfen; allerdings bleibt die Bestimmung von h insoweit zweifelhaft, dass noch zu unterscheiden ist, ob man den Bogen h oder $180-h$ wählen soll, und in der That bedingt dieser Umstand eine doppelte Lösung, die übrigens für die hier folgenden Entwicklungen, bei welchen der Werth $\sin \frac{1}{2}\epsilon$ unmittelbar Verwendung findet, ohne Bedeutung ist.

Man hat weiter nach (1 pag. 48):

$$\begin{aligned} 1) r \sin \frac{1}{2}\epsilon &= 1) a(1+c) \sin \frac{1}{2}E, & 1) r' \sin \frac{1}{2}\epsilon' &= 1) a(1+c) \sin \frac{1}{2}E' \\ 1) r \cos \frac{1}{2}\epsilon &= 1) a(1-c) \cos \frac{1}{2}E, & 1) r' \cos \frac{1}{2}\epsilon' &= 1) a(1-c) \cos \frac{1}{2}E', \end{aligned}$$

woraus durch entsprechende Multiplication und Addition folgt:

$$1) rr' \cos \frac{1}{2}(\epsilon' - \epsilon) = a \cos \frac{1}{2}(E' - E) - a c \cos \frac{1}{2}(E' + E) = a(\cos g - \cos h),$$

oder weiters unmittelbar die Gleichung:

$$1) rr' \cos \frac{1}{2}(\epsilon' - \epsilon) = 2a \sin \frac{1}{2}\delta \sin \frac{1}{2}\epsilon \quad (10)$$

resultirt.

Da die bisherigen Entwicklungen der Bedeutung der Buchstaben nach für die Ellipse gelten, also a positiv ist, da ferner $1) rr'$ stets positiv vorausgesetzt wird und den obigen Bemerkungen gemäss auch für $\sin \frac{1}{2}\epsilon$ das positive Vorzeichen in Anspruch genommen wird, so resultirt aus der Gleichung 10, dass $\sin \frac{1}{2}\delta$ stets mit $\cos \frac{1}{2}(\epsilon' - \epsilon)$ dasselbe Vorzeichen haben muss, d. h. $\sin \frac{1}{2}\delta$ ist positiv zu nehmen, wenn die heliocentrische Bewegung kleiner als 180° ist, dagegen negativ, wenn dieselbe zwischen die Grenzen 180° und 360° fällt.

So vorbereitet soll die Gleichung 9 (pag. 465) durch Reihenentwicklungen der Rechnung zugänglicher gemacht werden; denn da in den hier in Betracht kommenden Fällen ϵ und δ fast nothwendig mässig grosse Bogen sein werden, so wird die Bestimmung des Ueberschusses des Bogens über den Sinus in der hier hingeschriebenen Form ohne weitere Hilfsmittel, als die gewöhnlichen Logarithmentafeln, ziemlich misslich werden.

Um nun diesen Ueberschuss zu ermitteln, so soll derselbe in eine Reihe entwickelt werden, die entsprechend den Ausdrücken in 7) (pag. 465) nach Potenzen von $\sin \frac{1}{2}\epsilon$ und $\sin \frac{1}{2}\delta$ geordnet sein soll; naturgemäss gestalten sich die Entwicklungen für beide Bogen ganz gleichmässig; ich werde die Entwicklung deshalb allgemein für den Bogen χ durchführen.

Es ist:

$$\sin \chi = 2 \sin \frac{1}{2}\chi \cos \frac{1}{2}\chi = 2 \sin \frac{1}{2}\chi (1 - \sin^2 \frac{1}{2}\chi);$$

setzt man also zur Abkürzung:

$$\sigma = \sin \frac{1}{2}\chi, \quad (11)$$

so gibt die Entwicklung von $\sin \chi$ nach Potenzen von σ :

$$\sin \chi = 2\sigma \left\{ 1 - \frac{1}{2}\sigma^2 + \frac{1 \cdot 1}{2 \cdot 4}\sigma^4 - \dots \right\} = 2\sigma - \sigma^3 - \sum_{n=1}^{\infty} \frac{1 \cdot 3 \cdot 5 \dots 2n-3}{4 \cdot 6 \dots 2n} \sigma^{n+1}; \quad (12)$$

andererseits gibt die bekannte Reihe für $\arcsin x$:

$$\operatorname{arc} \sin x = x + \frac{1}{3} \cdot \frac{1}{2} x^3 + \frac{1}{5} \cdot \frac{1 \cdot 3}{2 \cdot 4} x^5 + \frac{1}{7} \cdot \frac{1 \cdot 3 \cdot 5}{2 \cdot 4 \cdot 6} x^7 + \dots$$

Diese Reihe gilt nur, wenn $\sin x$ kleiner als die Einheit, somit der Bogen im ersten Quadranten zu nehmen ist; daraus resultirt, dass die unten folgenden Reihen nur mit der einen Lösung übereinkommen, wo $\sin \frac{1}{2} x$ (vergl. oben pag. 466) im ersten Quadranten genommen wurde. Es ist also:

$$\frac{1}{2} x = \sigma + \frac{1}{3} \cdot \frac{1}{2} \sigma^3 + \frac{1}{5} \cdot \frac{1 \cdot 3}{2 \cdot 4} \sigma^5 + \dots$$

oder

$$x = 2 \sigma + \frac{1}{3} \sigma^3 + \sum_{n=2}^{n=\infty} \frac{1}{2n+1} \cdot \frac{3 \cdot 5 \dots 2n-1}{4 \cdot 6 \dots 2n} \sigma^{2n+1}; \quad 13$$

die Verbindung der Gleichungen 12) und 13) gibt also:

$$x - \sin x = \frac{1}{3} \sigma^3 + \sum_{n=2}^{n=\infty} \frac{1}{(2n+1)} \cdot \frac{1 \cdot 3 \cdot 5 \dots 2n-1}{2 \cdot 4 \cdot 6 \dots 2n} \sigma^{2n+1}; \quad 14$$

führt man diese Relation in 9) (pag. 465) ein und beachtet, dass nach 7) (pag. 465):

$$\begin{aligned} \sin \frac{1}{2} x &= + \frac{1}{2} \sqrt{\frac{r+r'+s}{a}} \\ \sin \frac{1}{2} \delta &= \pm \frac{1}{2} \sqrt{\frac{r+r'-s}{a}} \end{aligned}$$

zu setzen ist, wo das obere Zeichen gilt, wenn die heliocentrische Bewegung kleiner, das untere, wenn dieselbe grösser als 180° ist, so folgt sofort die Lambert'sche Gleichung:

$$\left. \begin{aligned} k(t' - t) &= \frac{1}{6} \left\{ (r+r'+s)^{\frac{3}{2}} \mp (r+r'-s)^{\frac{3}{2}} \right\} + \\ &+ \frac{1}{5} \cdot \frac{1}{2} \cdot \frac{1}{2^{\frac{5}{2}}} \left\{ \frac{(r+r'+s)^{\frac{5}{2}}}{a} \mp \frac{(r+r'-s)^{\frac{5}{2}}}{a} \right\} + \\ &+ \frac{1}{7} \cdot \frac{1 \cdot 3}{2 \cdot 4} \cdot \frac{1}{2^{\frac{7}{2}}} \left\{ \frac{(r+r'+s)^{\frac{7}{2}}}{a^2} \mp \frac{(r+r'-s)^{\frac{7}{2}}}{a^2} \right\} + \\ &+ \frac{1}{9} \cdot \frac{1 \cdot 3 \cdot 5}{2 \cdot 4 \cdot 6} \cdot \frac{1}{2^{\frac{9}{2}}} \left\{ \frac{(r+r'+s)^{\frac{9}{2}}}{a^3} \mp \frac{(r+r'-s)^{\frac{9}{2}}}{a^3} \right\} + \dots \end{aligned} \right\} \quad 15$$

in welcher Gleichung für jeden Kegelschnitt alle Zahlen reell bleiben; für die Ellipse wird $\frac{1}{a}$ positiv, für die Hyperbel negativ, für die Parabel Null.

Es würde höchst unbequem sein, diese Reihe von Fall zu Fall direct zu berechnen, besonders wenn der grossen Halbachse a kein allzu bedeutender Werth zukömmt; man kann die Rechnung indess leicht bequemer gestalten; setzt man nämlich:

$$\left. \begin{aligned} \frac{r+r'+s}{4a} &= S, \quad \frac{r+r'-s}{4a} = D \\ Q_s &= \frac{1}{2} \left\{ \frac{1}{3} + \frac{1}{5} \cdot \frac{1}{2} S + \frac{1}{7} \cdot \frac{1 \cdot 3}{2 \cdot 4} S^2 + \frac{1}{9} \cdot \frac{1 \cdot 3 \cdot 5}{2 \cdot 4 \cdot 6} S^3 + \dots \right\}, \\ Q_d &= \frac{1}{2} \left\{ \frac{1}{3} + \frac{1}{5} \cdot \frac{1}{2} D + \frac{1}{7} \cdot \frac{1 \cdot 3}{2 \cdot 4} D^2 + \frac{1}{9} \cdot \frac{1 \cdot 3 \cdot 5}{2 \cdot 4 \cdot 6} D^3 + \dots \right\} \end{aligned} \right\} \quad 16$$

so geht die Gleichung 15 (pag. 467) über in:

$$k' - l = r + r' + s_{\frac{1}{2}} Q_s \mp (r + r' - s_{\frac{1}{2}} Q_d. \quad (17)$$

Da die Reihen für Q_s und Q_d vollkommen gleich gebaut sind, so wird sich leicht eine Tafel rechnen lassen, aus welcher man, mit dem Argumente S oder D eingehend, den Werth von Q_s und Q_d sofort erhält. Es ist klar, dass sich die Ausdrücke für Q_s und Q_d auch in geschlossener Form darstellen lassen; man hat nämlich unter Berücksichtigung der früher gegebenen Relationen:

$$Q_s = \frac{\varepsilon - \sin \varepsilon}{8 \sin \frac{1}{2} \varepsilon^3}, \quad Q_d = \frac{\delta - \sin \delta}{8 \sin \frac{1}{2} \delta^3},$$

welche Gleichungen eine interessante Beziehung auf die von Gauss aufgestellte Gleichung I pag. 191 enthalten.

Herr F. K. Ginzl hat die Logarithmen der Q -Funktionen nach der oben gegebenen Reihe mit dem Argumente $A = \frac{r+r'+s}{4a}$ sorgfältig neunstellig berechnet und in eine Tafel gebracht; diese Tafel findet sich auf sieben Stellen abgekürzt als Tafel XVII diesem Werke angehängt; dieselbe gibt mit dem Argumente $\frac{r+r'+s}{4a}$ den Logarithmus von Q_s , und mit dem Argumente $\frac{r+r'-s}{4a}$ den Logarithmus von Q_d für jeden Tausendtheil des Argumentes. Die Grenzen des Argumentes sind -0.25 und 0.25 und zwar gehören die negativen Argumente der Hyperbel, die positiven der Parabel an. Die Grenzen der Tafel werden wohl selbst für die Bahnen der Kometen von kurzer Umlaufszeit kaum jemals überschritten werden.

Zu der Gleichung 17 ist zu bemerken, dass dieselbe bei kurzen Zwischenzeiten sich für die Rechnung unbequem gestaltet (vergl. I pag. 101 § 4); doch würde es bei dem seltenen Gebrauche, den man bei sehr kurzen Zwischenzeiten von diesen Formeln machen wird, kaum der Mühe lohnen, entsprechende Reihenentwickelungen vorzunehmen und die für solche Fälle nöthigen ziemlich ausgedehnten Hilfstafeln zu construiren; doch soll hier ein Näherungsausdruck aufgestellt werden, welcher sich bei grossen Werthen von a für die Rechnung recht bequem gestaltet und blos Grössen vernachlässigt von der Ordnung: »dritte Potenz der Sehne in die zweiten und höheren Potenzen des reciproken Werthes der grossen Achse«; derselbe ist also unabhängig von der Annahme, dass s klein ist, wird aber, da man von diesem Ausdrücke nur Gebrauch machen wird, wenn s einen mässigen Werth hat, selbst bei nicht ganz grossen Werthen von a eine sehr befriedigende Annäherung gewähren. Entwickelt man, um diesen Ausdruck zu erhalten, die Lambert'sche Gleichung 15 (pag. 467), indem man naturgemäss nur das obere Zeichen berücksichtigt, nach Potenzen von:

$$\beta = \frac{s}{r+r'}, \quad (18)$$

so erhält man leicht die folgenden Reihen, bei welchen ich, um das Gesetz des Fortschreitens leichter kenntlich zu machen, jeden einzelnen Factor mit dem Vorzeichen eingeführt habe.

$$\begin{aligned}
 k(t' - t) &= \frac{1}{2} (r + r')^{\frac{3}{2}} \beta \left\{ 1 + \frac{1 \cdot -1}{4 \cdot 6} \beta^2 + \frac{1 \cdot -1 \cdot -3 \cdot -5}{4 \cdot 6 \cdot 8 \cdot 10} \beta^4 + \dots \right\} + \\
 &+ \frac{1}{2} \cdot \frac{1}{2^3} \frac{(r + r')^{\frac{5}{2}}}{a} \beta \left\{ 1 + \frac{3 \cdot +1}{4 \cdot 6} \beta^2 + \frac{3 \cdot +1 \cdot -1 \cdot -3}{4 \cdot 6 \cdot 8 \cdot 10} \beta^4 + \dots \right\} + \\
 &+ \frac{1}{2 \cdot 4} \cdot \frac{1}{2^5} \frac{(r + r')^{\frac{7}{2}}}{a} \beta \left\{ 1 + \frac{5 \cdot +3}{4 \cdot 6} \beta^2 + \frac{5 \cdot +3 \cdot +1 \cdot -1}{4 \cdot 6 \cdot 8 \cdot 10} \beta^4 + \dots \right\} + \\
 &+ \dots
 \end{aligned}$$

Ordnet man nach Potenzen von β und setzt der Kürze halber:

$$\gamma = \frac{r + r'}{4a} \quad (19)$$

so erhält man:

$$\left. \begin{aligned}
 \frac{2k(t' - t)}{(r + r')^{\frac{3}{2}}} &= \beta \left\{ 1 + \frac{1}{2} \gamma + \frac{1 \cdot 3}{2 \cdot 4} \gamma^2 + \frac{1 \cdot 3 \cdot 5}{2 \cdot 4 \cdot 6} \gamma^3 + \dots \right\} \\
 &- \frac{1}{4 \cdot 6} \beta^3 \left\{ 1 - \frac{3}{2} \gamma - \frac{45}{8} \gamma^2 - \dots \right\} \\
 &- \frac{1 \cdot 3 \cdot 5}{4 \cdot 6 \cdot 8 \cdot 10} \beta^5 \left\{ 1 - \frac{3}{10} \gamma + \dots \right\} \\
 &- \frac{1 \cdot 3 \cdot 5 \cdot 7 \cdot 9}{4 \cdot 6 \cdot 8 \cdot 10 \cdot 12 \cdot 14} \beta^7 \left\{ 1 - \dots \right\}
 \end{aligned} \right\} \quad (20)$$

Man wird leicht bemerken, dass der Coefficient von β mit $(1 - \gamma)^{-\frac{1}{2}}$ identisch ist; setzt man für β den Werth aus 18) ein, so kann man, nachdem man beiderseits mit $(1 - \gamma)^{\frac{3}{2}}$ multiplicirt hat, statt der Gleichung 20) nahe richtig schreiben:

$$2k(t' - t) \left(\frac{1 - \gamma}{r + r'} \right)^{\frac{3}{2}} = s \left(\frac{1 - \gamma}{r + r'} \right) - \frac{1}{4 \cdot 6} s^3 \left(\frac{1 - \gamma}{r + r'} \right)^3 - \frac{1 \cdot 3 \cdot 5}{4 \cdot 6 \cdot 8 \cdot 10} s^5 \left(\frac{1 - \gamma}{r + r'} \right)^5 - \dots \quad (21)$$

hierbei ist also der Coefficient von β in der Gleichung 20) vollständig berücksichtigt; für den Coefficienten von β^3 findet das mit γ multiplicirte Glied noch Berücksichtigung, während in demselben die höheren Potenzen von γ schon andere Coefficienten erhalten; für die übrigen Potenzen, von β^5 angefangen, finden nur die von γ freien Glieder vollständige Berücksichtigung. Der Ausdruck 21) schliesst sich also dem wahren Werthe innerhalb der oben bezeichneten Vernachlässigungen an. Für die Parabel ist $\gamma = 0$, man hat daher für dieselbe den Ausdruck:

$$\frac{2k(t' - t)}{(r + r')^{\frac{3}{2}}} = \frac{s}{r + r'} - \frac{1}{4 \cdot 6} \left(\frac{s}{r + r'} \right)^3 - \frac{1 \cdot 3 \cdot 5}{4 \cdot 6 \cdot 8 \cdot 10} \left(\frac{s}{r + r'} \right)^5 - \dots \quad (22)$$

so dass beide Formelsysteme identisch werden, wenn man nur anstatt $(r + r')$ in der letzten Formel $\frac{r + r'}{1 - \gamma}$ setzt. Eine Reihe von der Form 22) ist, wie dies Encke gezeigt hat (vergl. I pag. 101), summirbar, und von demselben in eine Tafel gebracht worden, die mit dem Argumente:

$$\mu = \frac{2k(t' - t)}{(r + r')^{\frac{3}{2}}}$$

und mit Hilfe der μ -Tafel (Band I Tafel VIII pag. 334) für s den Werth gibt:

$$s = \frac{2k(t' - t)}{\sqrt{r + r'}} \mu.$$

Man wird also die von Encke gegebenen Hilfsmittel hier ohne Weiteres benützen dürfen und nur zu setzen haben:

$$\left. \begin{aligned} q + q' &= \frac{r + r'}{1 - \frac{r + r'}{4a}} \\ t &= \frac{2k \frac{r' - r}{q + q'} - \frac{r' - r}{2}}{q + q'} \\ s &= \frac{2k \frac{r' - r}{q + q'}}{1 + \frac{r' - r}{q + q'}} \mu \end{aligned} \right\} \quad 23)$$

womit also mit meist hinreichender Näherung die Berechnung der Sehne aus der Lambert'schen Gleichung mit Bequemlichkeit möglich ist. Der Ausdruck wird in jenen Fällen, wo gleichzeitig s und $\frac{1}{a}$ klein sind, sehr genaue Werthe geben.

Man könnte durch Einführung weiterer Transformationen, ohne allzusehr an Bequemlichkeit der Rechnung zu verlieren, die Formeln 23) noch mehr an die strengen Werthe annähern, doch wird in jenen Fällen, wo die Formeln 23) nicht mehr ausreichen sollten, stets die Benützung der Formel 17) hinreichend bequem und sicher sein. Wir wollen diese Formeln durch ein Beispiel erläutern. Es sei $a = 100$, $r = 0.8950000$, $r' = 0.0050000$, $s = 0.10000000$; dann findet sich nach 17) (pag. 468) nach einer strengen 9stelligen Rechnung:

$$\log 2k \frac{r' - r}{q + q'} = 9.1285602 .$$

Es stellt sich nun die Rechnung nach 23) wie folgt:

$$\begin{aligned} r + r' &= 0.2552725 \\ \log \left(1 - \frac{r + r'}{4a} \right) &= 9.0980413 \\ q + q' &= 0.2572312 \\ 1 + \frac{r' - r}{q + q'} &= 0.1286156 \\ q + q' \frac{r' - r}{2} &= 0.3858468 \\ t &= 0.055209 \\ \mu &= 0.0000554 \quad \text{[Tafel VIII des ersten Bandes]} \\ 2k \frac{r' - r}{q + q'} : 1 + \frac{r' - r}{q + q'} &= 9.0000446 \\ \log s &= 9.0000000 . \end{aligned}$$

Die Uebereinstimmung mit der ursprünglichen Annahme ist somit eine vollständige.

Die Lambert'sche Gleichung wird in der Folge noch eine wesentliche Verwendung darin finden, dass, wenn die Radienvectoren, die Sehne und die Zwischenzeit gegeben sind, dieselbe zur Bestimmung der grossen Achse verwerthet werden kann; es stellt sich nämlich als höchst zweckmässig heraus, bei nahezu parabolischen Bahnen dieses Element zuerst zu bestimmen; in diesem Falle wird auch die Convergenz der Reihe eine so bedeutende sein, dass man mit den vier ersten Gliedern derselben ausreicht; setzt man der Kürze halber die nunmehr völlig bekannten Grössen:

$$\left. \begin{aligned} 80 \{ (r+r'+s)^{\frac{3}{2}} \mp (r+r'-s)^{\frac{3}{2}} \} &= A \\ \{ (r+r'+s)^{\frac{5}{2}} \mp (r+r'-s)^{\frac{5}{2}} \} &= B \\ \frac{15}{112} \{ (r+r'+s)^{\frac{7}{2}} \mp (r+r'-s)^{\frac{7}{2}} \} &= C \\ \frac{25}{1152} \{ (r+r'+s)^{\frac{9}{2}} \mp (r+r'-s)^{\frac{9}{2}} \} &= D \\ \frac{175}{45056} \{ (r+r'+s)^{\frac{11}{2}} \mp (r+r'-s)^{\frac{11}{2}} \} &= E \end{aligned} \right\} \quad (24)$$

so stellt sich die Lambert'sche Gleichung, wie folgt:

$$A = B \cdot \frac{1}{a} + C \cdot \frac{1}{a^2} + D \cdot \frac{1}{a^3} + E \cdot \frac{1}{a^4} + \dots$$

Setzt man also weiter:

$$\frac{A}{B} = \alpha, \quad -\frac{C}{B} = \beta, \quad -\frac{D}{B} = \gamma, \quad -\frac{E}{B} = \delta \dots \quad (25)$$

und kehrt die Reihe um, so findet man sofort für $\frac{1}{a}$ den Ausdruck:

$$\frac{1}{a} = \alpha + \alpha^2 \beta + \alpha^3 \{ 2\beta^2 + \gamma \} + \alpha^4 \{ 5\beta^3 + 5\beta\gamma + \delta \} + \dots \quad (26)$$

Hierbei wird man beachten, dass eine Lösung, die einen genauen Werth für a gibt, in den hier in Betracht kommenden Fällen aus leicht begreiflichen Gründen nicht möglich ist. Sollte dieser Ausdruck sich als nicht ausreichend erweisen, wenn a nicht gross ist, so wird eine mit diesem Näherungswerthe ausgeführte versuchsweise Lösung mit Hilfe der Gleichung 17) alles Erforderliche erreichen lassen.

Schliesslich muss noch erwähnt werden, dass die Differentiation der Lambert'schen Gleichung nach der Zeit auf geschlossene, für die Rechnung bequeme Ausdrücke hinführt, die in der Folge Verwendung finden.

Differentiirt man die Gleichung 9 (pag. 465) nach den mit der Zeit veränderlichen Grössen, so erhält man:

$$\begin{aligned} k dt &= a^{\frac{3}{2}} \{ (1 - \cos \varepsilon) d\varepsilon - (1 - \cos \delta) d\delta \} \\ &= \frac{1}{2} a^{\frac{1}{2}} \tan \frac{1}{2} \varepsilon d(r+r'+s) - \frac{1}{2} a^{\frac{1}{2}} \tan \frac{1}{2} \delta d(r+r'-s) \end{aligned}$$

oder mit Benützung der in 16) eingeführten Symbole, nämlich:

$$\begin{aligned} S &= \frac{r+r'+s}{4a}, \quad D = \frac{r+r'-s}{4a} \\ + k dt &= -\frac{1}{\sqrt{1-S}} d(r+r'+s) \mp \frac{1}{\sqrt{1-D}} d(r+r'-s), \quad (27) \end{aligned}$$

wobei die Zeichenunsicherheit, die durch die Einführung der Wurzelgrössen entsteht, den früheren Auseinandersetzungen gemäss zu beheben ist. In dem Ausdrucke 27) sind alle Wurzeln ihrem absoluten, positiven Werthe nach zu nehmen; das obere Zeichen gilt für heliocentrische Bewegungen, die kleiner sind als 180° , das untere für jene, die zwischen 180° und 360° liegen.

§ 2. Ableitung der Elemente aus zwei heliocentrischen Orten.

Die Ableitung der Elemente aus zwei heliocentrischen Orten ist der Hauptsache nach bereits im ersten Bande dieses Werkes (I pag. 221 und 226) erledigt worden, nur wird der Umstand, dass bei der hier in Frage kommenden Lösung häufig sehr grosse heliocentrische Bogen in Betracht kommen, während dort hauptsächlich die Fälle der ersten Bahnbestimmung mit mässigen Bogen berücksichtigt wurden, gewisse Aenderungen bedingen; ausserdem werde ich hier für nahezu parabolische Bahnen völlig andere Vorschriften angeben. Obgleich die im ersten Bande gegebenen Methoden auch hier in der Regel eine sehr bequeme Anwendung gestatten, da selbst bei sehr grossen heliocentrischen Bogen die Grösse $x = \frac{m}{r^2} - l$ klein bleibt, so bedingt doch häufig der Umstand, dass die zur bequemen Lösung der Aufgabe nöthige Tafel IX des ersten Bandes oft nicht ausreicht, den Nachtheil, dass die cubische Gleichung:

$$h = \frac{(r-1)r^2}{r + \frac{1}{h}}$$

in diesem Falle ohne Zuhilfenahme der oben genannten Tafel gelöst werden muss.

Zunächst wird man aus den beiden heliocentrischen Orten die Bahnlage ableiten; sind l und l' die beiden heliocentrischen Längen, b und b' die beiden heliocentrischen Breiten, so ist nach den bekannten Formeln (vergl. I pag. 142), die Neigung i und der Knoten \varOmega bestimmt durch:

$$\left. \begin{aligned} \operatorname{tang} i \sin (l - \varOmega) &= \operatorname{tang} b \\ \operatorname{tang} i \cos (l - \varOmega) &= \frac{\operatorname{tang} b' - \operatorname{tang} b \cos l' - l}{\sin (l' - l)} \end{aligned} \right\} \quad \text{I)}$$

wobei i im ersten Quadranten anzunehmen, also $\operatorname{tang} i$ positiv ist bei directer Bewegung, im zweiten Quadranten dagegen also $\operatorname{tang} i$ negativ bei retrograder Bewegung. Die Argumente der Breite u und u' finden unter allen Umständen eine sichere Bestimmung durch:

$$\left. \begin{aligned} \operatorname{tang} u &= \frac{\sin (l - \varOmega) \cos i + \operatorname{tg} b \sin i}{\cos (l - \varOmega)} \\ \operatorname{tang} u' &= \frac{\sin (l' - \varOmega) \cos i + \operatorname{tg} b' \sin i}{\cos (l' - \varOmega)} \end{aligned} \right\} \quad \text{II)}$$

Der Quadrant, in welchem u zu nehmen ist, bestimmt sich leicht nach der Regel, dass der Sinus das Zeichen des Zählers, der Cosinus das Zeichen des Nenners hat.

Die Rechnung nach dieser Formel ist in der That nicht unbequem, da der Additionslogarithmus für beide Fälle gleich ist; es ist nämlich das Argument für denselben entweder $\operatorname{tang} i^2$ oder $\operatorname{cotg} i^2$. Die Bestimmung der Grösse f kann zur Controle leicht direct aus den heliocentrischen Coordinaten erhalten werden. Aus der Relation:

$$\cos 2f = \sin b \sin b' + \cos b \cos b' \cos l' - l$$

ergeben sich leicht folgende Ausdrücke für die Berechnung von f :

$$\left. \begin{aligned} \sin \frac{1}{2} (t' - t) \mid \cos b \cos \overline{b'} &= p \sin P \\ \sin \frac{1}{2} (b - b') &= p \cos P \\ \cos \frac{1}{2} (t' - t) \mid \overline{\cos b \cos b'} &= q \sin Q \\ \sin \frac{1}{2} (b' + b) &= q \cos Q \\ \operatorname{tang} f &= \pm \frac{p}{q} . \end{aligned} \right\} \text{IIIa.}$$

Bei der Ermittlung von Bahnen mit nahezu parabolischem Charakter wird man ausser den Radienvectoren r und r' auch noch den Werth der Sehne kennen, welche die Endpunkte der Radienvectoren verbindet; dann wird man $\operatorname{tang} f$ einfacher rechnen können (vergl. I pag. 143) nach:

$$\left. \begin{aligned} \Sigma &= \frac{1}{2} (r + r' + s) \\ \operatorname{tang} f &= \pm \sqrt{\frac{\left(1 - \frac{r'}{\Sigma}\right) \left(1 - \frac{r'}{\Sigma}\right)}{\left(1 - \frac{s}{\Sigma}\right)}} \end{aligned} \right\} \text{IIIaa)}$$

wobei die Formeln so angesetzt sind, dass dieselben sich bei der Anwendung von Subtractionslogarithmen besonders bequem gestalten, doch ist die erste Form sicherer, wenn $2f$ nahe an 180° liegt.

Ist $(t' - t)$ die Zwischenzeit in Sonnentagen, k die Constante des Sonnensystemes (I pag. 45), so wird sich nunmehr die Rechnung verschieden gestalten, je nach dem Charakter der Bahnen. Für Bahnen mit mässiger Excentricität wird man rechnen:

$$\left. \begin{aligned} t &= k (t' - t) \\ m &= \frac{r^2}{\{2 \cos f \mid \overline{rr'}\}^3} \\ \operatorname{tang} 45 + \omega &= \sqrt[4]{\frac{r'}{r}} \\ l &= \frac{\sin \frac{1}{2} f^2 + \operatorname{tg} 2 \omega^2}{\cos f} . \end{aligned} \right\} \text{IVa}$$

Ist nun der heliocentrische Bogen mässig, so dass die Differenz der excentrischen Anomalien ($2g$) 60° nicht wesentlich überschreitet, so wird man, indem ξ aus der Tafel X des ersten Bandes mit dem aus genäherten Elementen sind diese nicht vorhanden, so wird man in der ersten Näherung $\xi = 0$ nehmen abzuleitenden Argumente:

$$x = \sin \frac{1}{2} g^2$$

entlehnt wird, rechnen:

$$\left. \begin{aligned} h &= \frac{m}{a + l + \xi} \\ x &= \frac{m}{r^2} - l \\ \sin \frac{1}{2} g^2 &= x \end{aligned} \right\} \text{Va.}$$

wobei $\log r^2$ mit dem Argumente h aus der Tafel IX des ersten Bandes (vergl. I pag. 195) zu entnehmen ist; mit dem so erhaltenen Werthe von x wird nöthigenfalls

die Rechnung zu wiederholen sein, wenn eine Aenderung von x gegen die ursprüngliche Annahme eine Aenderung in ξ bedingen sollte.

Ist der heliocentrische Bogen und somit in dem vorgelegten Falle auch die Differenz der excentrischen Anomalien gross, so wird man mit Hilfe genäherter Werthe von g (vergl. I pag. 191) die folgenden Gleichungen durch Versuche lösen:

$$\left. \begin{aligned} \alpha &= \frac{2g - \sin 2g}{\sin g^3} \\ \beta &= l + \sin \frac{1}{2} g^2 \\ m &= \alpha\beta + r^2\beta; \end{aligned} \right\} \text{Vaa)}$$

ist der Werth von g ermittelt, welcher der dritten Gleichung völlig genügt, so rechnet man noch:

$$i = \alpha\beta + 1$$

welche Grösse bei den folgenden Rechnungen als Controle benützt werden kann; die eben hingeschriebenen Formeln können indess, wenn die heliocentrische Bewegung nahe 180° ist, in der Anwendung sehr unsicher werden. Wenn nun dieser Fall auch in den hier in Betracht kommenden Fällen aus anderen Gründen ausgeschlossen ist, so dürfte es doch angenehm sein, hier diejenigen Abänderungen kennen zu lernen, die man in einem solchen Falle eintreten lassen muss. Die Rechnung der Grösse α bleibt unverändert. Multiplicirt man die letzte Gleichung in Vaa) beiderseits mit $\cos f^3$, so erhält man:

$$m \cos f^3 = \{\alpha\beta \cos f + \cos f\}^2 \beta \cos f;$$

setzt man also, wenn man auf die Bedeutung der Grössen m und l zurückgeht (vergl. I pag. 189):

$$\begin{aligned} m' &= \frac{r^2}{\{2 + r r'\}^3} \\ \beta' &= \sin \frac{1}{2} f^2 + \tan 2\omega^2 + \sin \frac{1}{2} g^2 \cos f, \end{aligned}$$

so wird die durch Versuche aufzulösende Gleichung die Form haben:

$$m' = \{\alpha\beta' + \cos f\}^2 \beta'$$

die nunmehr von dem bemerkten Nachtheile frei ist. Ist also g durch eine der eben angeführten Methoden bekannt, so stellt sich die weitere Rechnung der Elemente wie folgt (vergl. I pag. 218 u. f. f.):

$$\left. \begin{aligned} \sin \frac{1}{2} (F - G) \cos \frac{1}{2} q \gamma'^2 &= \cos \frac{1}{2} (f + g) \tan 2\omega \\ \cos \frac{1}{2} (F - G) \cos \frac{1}{2} q \gamma'^2 &= \sin \frac{1}{2} (f + g) \sec 2\omega \\ \sin \frac{1}{2} (F + G) \sin \frac{1}{2} q \gamma'^2 &= \cos \frac{1}{2} (f - g) \tan 2\omega \\ \cos \frac{1}{2} (F + G) \sin \frac{1}{2} q \gamma'^2 &= \sin \frac{1}{2} (f - g) \sec 2\omega \\ \text{Probe: } \gamma'^2 &= \frac{1 - 2\overline{m} \cos t}{i} \end{aligned} \right\} \text{VIa)}$$

$$\left. \begin{aligned} e' &= F + f, & E' &= G + g \\ e &= F - f, & E &= G - g \\ x &= u + \varnothing - v = u' + \varnothing - v' \\ \text{Probe: } \tan \frac{1}{2} e &= \tan \frac{1}{2} E \tan 45^\circ + \frac{1}{2} q \\ \tan \frac{1}{2} e' &= \tan \frac{1}{2} E' \tan 45^\circ + \frac{1}{2} q \end{aligned} \right\} \text{VIIa)}$$

$$\left. \begin{aligned}
 e'' &= \sin q : \sin i'' \\
 M &= E - e'' \sin E \\
 M' &= E' - e'' \sin E' \\
 u &= \frac{M' - M}{i' - i} \\
 a^3 &= \frac{k''}{\mu} \\
 \log k'' &= 3.5500066 \\
 \text{Probe: } p &= \left(\frac{r r' \sin 2f}{i} \right)^2 \\
 a &= p \sec^2 q
 \end{aligned} \right\} \text{VIIIa}$$

wobei aber in der Regel der für a aus der Probe erhaltene Werth minder genau ist.

Für nahezu parabolische Bahnen setze ich vorerst voraus, dass der Werth der halben grossen Achse a bekannt sei, eine Annahme, die in diesen Fällen erlaubt ist; denn entweder ist in einer der folgenden Methoden schon eine Annahme über diese Grösse gemacht, oder man kann dieselbe leicht durch die Gleichung 26) (pag. 471) erlangen; es stellt sich nunmehr die Aufgabe, alle Elemente direct aus den beiden heliocentrischen Orten und dem bekannten Werthe von a zu ermitteln.

Im Bande I findet sich auf pag. 190 eine zwischen den Gleichungen 5) und 6) stehende Relation angeführt, die nach einer einfachen Umsetzung lautet:

$$2a \sin g^2 = r + r' - 2 \cos g \cos f \sqrt{r r'}, \quad 1)$$

aus dieser Gleichung kann offenbar $\sin g^2$ bestimmt werden. Setzt man:

$$z = a \sin g^2, \quad 2)$$

so wird z unter allen Umständen eine positive Grösse sein, da für hyperbolische Bahnen a und $\sin g^2$ gleichzeitig negativ sind. Man erhält aus 1) zunächst durch Quadrirung:

$$\{2z - (r + r')\}^2 = 4 \cos^2 f r r' \left\{1 - \frac{z}{a}\right\}$$

oder

$$z^2 - \left(r + r' - \frac{r r' \cos^2 f}{a}\right) z = -\frac{1}{4} \{ (r + r')^2 - 4 r r' \cos^2 f \}.$$

Beachtet man, dass, wenn wie oben mit s die Sehne zwischen den beiden heliocentrischen Orten bezeichnet wird, der Klammerausdruck rechts vom Gleichheitszeichen mit s^2 identisch wird, da ja

$$s^2 = r^2 + r'^2 - 2 r r' \cos 2f$$

ist, so gibt, wenn man zur Abkürzung

$$\tilde{z} = (r + r') - \frac{r r' \cos^2 f}{a} \quad 3)$$

setzt, die Lösung der quadratischen Gleichung für z sofort den Werth

$$z = \frac{1}{2} \tilde{z} \mp \frac{1}{2} \sqrt{\tilde{z}^2 - s^2}$$

Vor Allem wird man bemerken, dass eine doppelte Lösung für z stattfindet; das obere Zeichen gilt, wenn die heliocentrische Bewegung kleiner, das untere, wenn dieselbe grösser als 180° ist, eine Entscheidung, die sich sofort durch die

Gleichung 1 rechtfertigt, unter dem Vorbehalte, dass $\cos g$ als eine stets positive Grösse angesehen wird, was in den hier in Betracht kommenden Fällen, wo g stets ein sehr kleiner Pogen sein wird, zutrifft. Die Berechnung von z vereinfacht sich sehr durch die folgende offenkundige Transformation:

$$\left. \begin{aligned} z &= r + r' - \frac{rr' \cos f^2}{a} \\ \frac{s}{z} &= \sin \alpha \\ 2f &< 180^\circ \quad 2f > 180^\circ \\ z &= \frac{s}{2} \sin \frac{1}{2} \alpha^2 \quad z = \frac{s}{2} \cos \frac{1}{2} \alpha^2. \end{aligned} \right\} \text{IVb)}$$

Diese Formeln können in jenen Fällen, wo $2f$ nahe an 180° liegt, besonders unsicher werden, was sich durch die Einführung der Sehne s erklärt, die in solchen Fällen kein sicheres Maass für den Winkel $2f$ abgibt. Wenn auch, wie schon oben bemerkt wurde, diese Fälle sich aus anderen Gründen von der Betrachtung ausschliessen, so wird es doch erwünscht sein, sofort jene Abänderungen angegeben zu finden, die man in solchen Fällen eintreten lassen muss.

Behält man den Winkel f , der aus II) und III) (pag. 472, 473) stets mit genügender Sicherheit resultirt, in den Gleichungen bei, so findet sich leicht:

$$z = \frac{1}{2} \frac{s}{\cos f} \sqrt{rr' \left\{ 1 - \frac{r+r'}{2a} + \frac{rr' \cos f^2}{4a^2} \right\}} \quad \text{IVbb)}$$

wobei der Wurzel Ausdruck stets positiv zu nehmen ist, da $\cos f$ selbst die Entscheidung über das Zeichen bringt; da die Berechnung von z nach dieser zweiten Form nicht wesentlich erschwert ist, so dürfte sich die Rechnung nach derselben zur Controle empfehlen.

Es hätte nun keine Schwierigkeit, die Grösse $x = \sin \frac{1}{2} g^2$ als Argument für die ξ -Tafel direct zu erhalten, und von da ab auf die Berechnung der Formeln Va) einzugehen, wenn nicht ein anderer Weg den Vorzug verdienen würde; ich werde demnach nur kurz auf die Ableitung von x aus z hinweisen.

Es wird sein:

$$\sin g^2 = 4 \sin \frac{1}{2} g^2 \cos \frac{1}{2} g^2;$$

man hat also mit Eliminirung des Imaginären sofort:

$$\frac{z}{a} = 4x(1-x)$$

wo x leicht durch eine quadratische Gleichung aus z bestimmt werden könnte, doch wird die indirecte Lösung in der Form:

$$x = \frac{z}{4a(1-x)}$$

bei der vorausgesetzten Kleinheit von x rascher und bequemer das Ziel erreichen lassen.

Ist z ermittelt, so kann die Bestimmung der übrigen Elemente in der folgenden Weise erlangt werden. Aus den Gleichungen I pag. 48):

$$\begin{aligned}\sqrt{r} \cos \frac{1}{2} v &= \sqrt{a(1-e)} \cos \frac{1}{2} E \\ \sqrt{r} \sin \frac{1}{2} v &= \sqrt{a(1+e)} \sin \frac{1}{2} E \\ \sqrt{r'} \cos \frac{1}{2} v' &= \sqrt{a(1-e)} \cos \frac{1}{2} E' \\ \sqrt{r'} \sin \frac{1}{2} v' &= \sqrt{a(1+e)} \sin \frac{1}{2} E'\end{aligned}$$

folgt, wenn man das Product der zweiten und dritten Gleichung von dem Producte der ersten und vierten abzieht, und wie früher:

$$\begin{aligned}2f &= v' - v \\ 2g &= E' - E\end{aligned}$$

setzt, sofort:

$$a \sin g \sqrt{1-e^2} = \sqrt{r r'} \sin f; \quad 6)$$

berücksichtigt man, dass:

$$p = a \cos q^2 = a(1-e^2)$$

ist, so resultirt:

$$p = \frac{r r' \sin^2 f}{z}. \quad 6b)$$

Auch die Bestimmung der Excentricität ist jetzt unmittelbar möglich: denn man erhält leicht aus 6):

$$\left. \begin{array}{ll} a \text{ positiv:} & a \text{ negativ:} \\ \frac{\sin f \sqrt{r r'}}{\sqrt{z a}} = \sin \gamma & \frac{\sin f \sqrt{r r'}}{\sqrt{-z a}} = \tan \gamma' \\ e = \cos \gamma & e = \sec \gamma' \\ 1-e = 2 \sin \frac{1}{2} \gamma^2 & e-1 = 2 \sin \frac{1}{2} \gamma'^2 \sec \gamma' \\ \varepsilon = \frac{1-e}{1+e} = \tan^2 \frac{1}{2} \gamma^2 & \varepsilon = \frac{1-e}{1+e} = -\tan^2 \frac{1}{2} \gamma'^2 \end{array} \right\} \quad 7)$$

wobei die Berechnung des Unterschiedes von e gegen die Einheit und des Ausdruckes für ε deshalb besonders angeführt ist, weil die genaue Kenntniss dieser Werthe bisweilen erwünscht sein kann; doch werden sich leicht Formeln finden, durch welche die Rechnung noch bequemer gestaltet wird.

Nach der bekannten Polargleichung der Kegelschnitte ist:

$$\begin{aligned}\frac{1}{r} &= \frac{1+e \cos v}{p} \\ \frac{1}{r'} &= \frac{1+e \cos v'}{p};\end{aligned}$$

wenn man also zur Abkürzung:

$$\frac{1}{2}(v+v') = F$$

setzt, so erhält man durch Addition und Subtraction:

$$\left. \begin{aligned}\frac{1}{r} - \frac{1}{r'} &= \frac{2e}{p} \sin f \sin F \\ \frac{1}{r} + \frac{1}{r'} &= \frac{2}{p} + \frac{2e}{p} \cos f \cos F;\end{aligned} \right\} \quad 8)$$

ersetzt man den Parameter in der ersten Gleichung durch den Werth aus Vb), so findet sich:

$$2ez \sin F = r' - r \sin f; \quad 9)$$

multiplirt man die zweite Gleichung in 8) beiderseits mit $\cos f$, so wird zunächst

$$\frac{r+r'}{rr'} \cos f = \frac{2 \cos f}{p} + \frac{2e \cos F}{p} - \frac{2e}{p} \sin f^2 \cos F;$$

ersetzt man im letzten Gliede $\frac{\sin f^2}{p}$ nach der Gleichung Vb) durch $\frac{z}{rr'}$ und multiplicirt beiderseits mit rr' , so findet sich weiter:

$$2ez \cos F = - (r+r') \cos f + \frac{2(\cos f + e \cos F) rr'}{p};$$

nun ist aber nach I pag. 188 Gleichung 2):

$$\cos f + e \cos F = \frac{p}{1 - \frac{z}{a}} \cos g;$$

wenn man also, um Imaginäres zu vermeiden

$$\cos g = \sqrt{1 - \frac{z}{a}}$$

setzt, so erhält man schliesslich:

$$2ez \cos F = 2 \sqrt{rr' \left(1 - \frac{z}{a}\right)} - (r+r') \cos f. \quad 10)$$

Man hat demnach zur Berechnung von F und $2ez$, welche letztere Grösse, da sie stets positiv ist, die Bestimmung des Quadranten von F ermöglicht, und zudem, da z bekannt, eine Bestimmung der Grösse e ergibt, die folgenden Gleichungen:

$$\left. \begin{aligned} 2ez \sin F &= r' - r \sin f \\ 2ez \cos F &= 2 \sqrt{rr' \left(1 - \frac{z}{a}\right)} - (r+r') \cos f \\ v &= F - f \\ v' &= F + f \\ q &= \frac{p}{1+e} \\ 1-e &= \frac{q}{a} \\ r &= a + Q - r = a' + Q - v' \end{aligned} \right\} \text{ VIb)}$$

Aus v und v' kann die Perihelzeit nach irgend einer für nahezu parabolische Bahnen I pag. 55 f. f. geltenden Methode ermittelt werden; doch werden geeignet construirte Hilfstafeln die Rechnung wesentlich erleichtern. Führt man die I pag. 60 angezeigte Integration durch Reihen aus, so erhält man sofort, wenn man:

$$\theta = \frac{1-e}{1+e} \tan \frac{1}{2} v^2$$

setzt, und die Zeit vom Perihel aus zählt:

$$\frac{k}{2} \frac{1 - \frac{1}{a} + \frac{e}{a}}{q^{\frac{3}{2}}} = \tan \frac{1}{2} v \left\{ 1 - \frac{2}{3} \theta + \frac{3}{5} \theta^2 - \frac{1}{7} \theta^3 + \dots \right\} + \frac{1}{3} \tan \frac{1}{2} v^3 \left\{ 1 - \frac{6}{5} \theta + \frac{9}{7} \theta^2 - \frac{1}{9} \theta^3 + \dots \right\},$$

Diese Reihen können mit dem Argumente θ leicht in Tafeln gebracht werden. Herr F. K. Ginzel hat eine solche Tafel sorgfältig neunstellig berechnet, und ich theile dieselbe auf 7 Stellen abgekürzt als Tafel XVIII mit; diese Tafel gibt mit dem Argumente θ die Werthe der obigen Reihen, noch mit dem Factor $\frac{2}{k}$ multiplicirt, so dass

$$\frac{t \sqrt{1+e}}{q^2} = P_1 \tan \frac{1}{2} v + P_3 \tan \frac{1}{2} v^3$$

ist, wobei für k der bekannte Gauss'sche Werth benützt wurde.

Man hat daher zur Bestimmung der Perihelzeit T zunächst:

$$\theta = \frac{1-e}{1+e} \tan \frac{1}{2} v^2;$$

zu bestimmen und die Tafel XVIII gibt mit θ als Argument die Werthe von $\log P_1$ und $\log P_3$; dann ist:

$$T = t - \frac{q^{\frac{3}{2}}}{1+e} \left\{ P_1 \tan \frac{1}{2} v + P_3 \tan \frac{1}{2} v^3 \right\}. \quad \text{VIIb}$$

Diese Formel muss, wenn dieselbe auch auf v' angewendet wird, innerhalb der Unsicherheit der Rechnung denselben Werth für T finden lassen, welche werthvolle Controle auszuführen niemals unterlassen werden sollte.

Man wird bemerken, dass man die eben gegebenen Formelsysteme wohl auch für die Rechnung parabolischer Elemente benützen kann; es ergeben sich hierbei einige interessante Relationen. Zunächst ist offenbar (vergl. I pag. 475):

$$2z = r + r' - 2 \sqrt{rr'} \cos f,$$

und hiermit der Perihelabstand und das Mittel der wahren Anomalien:

$$q = \frac{r r' \sin^2 f}{2z}$$

$$\operatorname{tg} F = \frac{r' - r \sin f}{2 \sqrt{rr' - (r+r') \cos f}}.$$

wobei der Quadrant von F wieder so zu wählen ist, dass $\sin F$ das Zeichen des Zählers, $\cos F$ das Zeichen des Nenners erhält. Doch wird man für die Parabel auch die in I pag. 143 angeführten Methoden zur Ermittlung der Elemente mit Vortheil verwenden können.

Schliesslich möge noch der Zusammenhang der Grösse z mit dem in den Gauss'schen Entwicklungen eine so wichtige Rolle spielenden Verhältnisse des Sectors zum Dreiecke, l , angeführt werden; es ist nach I pag. 188:

$$l^2 = \frac{r^2 p}{4 r r' \sin^2 f \cos f^2};$$

führt man für den Parameter den Werth aus VIb (pag. 477) ein, so findet sich sofort:

$$l = \frac{r}{2 \cos f \sqrt{r r' z}}.$$

§ 3. Variation der Distanzen.

Es wird nicht immer nöthig sein, die in dem Abschnitte B vorgetragenen Methoden, die den Anschluss der Elemente an die Beobachtungen mit strenger Berücksichtigung der Principien der Wahrscheinlichkeitsrechnung ermöglichen, anzuwenden. Man wird sich häufig genug mit solchen Elementen begnügen können, die nur näherungsweise den durch die Methode der kleinsten Quadrate gestellten Forderungen entsprechen. Eine derartige Methode ist bereits im ersten Bande (1 pag. 146 § 12) erwähnt worden; ich werde mich aber darauf beschränken, nur wenige Methoden vorzunehmen, die als sicher und bequem empfohlen werden können und die sich sowohl vom theoretischen, als auch vom practischen Standpunkte bewährt haben.

Es seien die vorhandenen Beobachtungen eines Himmelskörpers in eine entsprechende Anzahl von Normalorten zusammengefasst; man wähle zwei der Normalorte unter Berücksichtigung gewisser weiter unten näher zu erörternder Umstände; diese zwei Orte wird man durch ein System von Elementen vollständig darstellen, während an die übrigen Orte nur ein Anschluss nach den Principien der Wahrscheinlichkeit erreicht werden soll. Dieser Forderung wird am bequemsten entsprochen werden, wenn man vorerst ein Elementensystem herstellt, welches den zwei gewählten Orten und zugleich denjenigen geocentrischen Distanzen entspricht, die sich aus den besten vorhandenen Näherungselementen für diese beiden Orte ergeben. Seien diese letzteren q und q' , so wird man zunächst die geocentrischen Coordinaten des Himmelskörpers rechnen nach:

$$\begin{aligned}\xi &= q \cos \lambda \cos \beta, & \xi' &= q' \cos \lambda' \cos \beta' \\ \eta &= q \sin \lambda \cos \beta, & \eta' &= q' \sin \lambda' \cos \beta' \\ \zeta &= q \sin \beta & \zeta' &= q' \sin \beta'.\end{aligned}$$

wobei es dem Ermessen des Rechners überlassen bleibt, welches Coordinatensystem er der Rechnung zu Grunde legen will; es wird sich wohl empfehlen, das System des Aequators oder der Ekliptik als maassgebend zu betrachten, und namentlich wird das erstere den Vorzug verdienen, insbesondere, wenn die Anzahl der Normalorte gross ist. Nun macht man den Uebergang auf die heliocentrischen Orte mittelst der Formeln:

$$\begin{aligned}r \cos l \cos b &= \xi - X, & r' \cos l' \cos b' &= \xi' - X' \\ r \sin l \cos b &= \eta - Y, & r' \sin l' \cos b' &= \eta' - Y' \\ r \sin b &= \zeta - Z, & r' \sin b' &= \zeta' - Z',\end{aligned}$$

in welchen Ausdrücken die grossen römischen Buchstaben die geocentrischen Sonnen-coordinaten bezogen auf die gewählte Fundamentalebene vorstellen. Man erhält so zwei heliocentrische Orte und die zugehörigen Radienvectoren, aus welchen in Verbindung mit der bekannten Zwischenzeit nach den angegebenen Methoden leicht Elemente ermittelt werden können. Diese so erhaltenen Elemente haben die Eigenschaft, dass dieselben den zwei ausgewählten Normalorten völlig genügen und es

wird sich stets empfehlen, zur Controle der durchgeführten Rechnungen die Darstellung der Orte durch die gefundenen Elemente zu rechnen; man muss innerhalb der Unsicherheit der Rechnung die der Berechnung zu Grunde gelegten Werthe q , λ , β und q' , λ' , β' wieder erhalten. Ueberdiess rechnet man die geocentrischen Orte, welche diese Elemente für die übrigen Normalorte finden lassen. Es werden sich im Allgemeinen Unterschiede zwischen den Normalorten und den so gerechneten geocentrischen Orten ergeben, die mit $\delta\lambda_1$, $\delta\lambda_2$, ... $\delta\lambda_1$, $\delta\beta_2$... bezeichnet, und im Sinne: Beobachtung — Rechnung angesetzt werden sollen; ausserdem ist zu beachten, dass man für die Rectascensionen, eventuell Längen, die gefundenen Unterschiede durch Multiplication mit dem Cosinus der Declination, eventuell der Breite, auf den Parallel zu reduciren hätte. Es wird übrigens auf diesen Umstand später gehörig Rücksicht genommen werden.

Die aus diesen Elementen gefundenen geocentrischen Coordinaten selbst sollen mit A_1^0 , A_2^0 , ... B_1^0 , B_2^0 ... bezeichnet werden, wobei also der untere Index auf den Normalort, der obere auf die Hypothese hinweist, wenn man die zu Grunde gelegten geocentrischen Distanzen als hypothetische Annahmen gelten lässt, was sie thatsächlich sind.

Die diesem ersten Elementensysteme zu Grunde gelegten geocentrischen Entfernungen werden von dem wahren Werthe mehr oder weniger abweichen; denkt man sich demnach die erste Distanz mit einem von der Einheit wenig verschiedenen Factor multiplicirt, so wird dies bedingen, dass der zu Grunde gelegte Logarithmus von q einen etwas veränderten Werth erhält; man wird also in einer zweiten Hypothese annehmen:

für den Logarithmus der ersten geocentrischen Entfernung $\log q + \delta x$,

» » » » zweiten » » $\log q'$,

d. h. für q' den Werth der ersten Hypothese verwenden. Rechnet man unter diesen Annahmen wieder ein Elementensystem, und mit diesem die Darstellung der Orte, so werden sich für die übrigen Normalorte die geocentrischen Coordinaten:

$$A_1^1, A_2^1 \dots B_1^1, B_2^1 \dots$$

ergeben; bildet man nun die Unterschiede

$$\begin{aligned} A_1^1 - A_1^0 \\ A_2^1 - A_2^0 \\ \vdots \\ B_1^1 - B_1^0 \\ B_2^1 - B_2^0 \\ \vdots \end{aligned}$$

so wird man, wenn δx nicht allzu gross genommen wurde, annehmen dürfen, dass beispielsweise die Grösse:

$$\frac{A_1^1 - A_1^0}{\delta x}$$

den Differentialquotienten der ersten geocentrischen Rectascension (Länge) in Bezug auf die Variation des Logarithmus der ersten geocentrischen Distanz mit ge-

annimmt, wobei für δy dieselben Bemerkungen wie oben gelten, so gelangt man zu einem dritten Elementensysteme, welches für die übrigen, dieser Rechnung nicht zu Grunde gelegten Orte, die geocentrischen Coordinaten:

$$A_1^2, A_2^2, \dots B_1^2, B_2^2, \dots$$

finden lassen wird; man erhält also wie oben:

$$\left. \begin{aligned} A_1^2 - A_1^0 &= \frac{\partial \lambda_1}{\partial y}, & B_1^2 - B_1^0 &= \frac{\partial \beta_1}{\partial y} \\ A_2^2 - A_2^0 &= \frac{\partial \lambda_2}{\partial y}, & B_2^2 - B_2^0 &= \frac{\partial \beta_2}{\partial y} \\ A_3^2 - A_3^0 &= \frac{\partial \lambda_3}{\partial y}, & B_3^2 - B_3^0 &= \frac{\partial \beta_3}{\partial y} \\ \vdots & & \vdots & \\ \vdots & & \vdots & \end{aligned} \right\} B,$$

und hat daher für die Bestimmung der Unbekannten Ax und Ay aus $A)$ und $B)$ die Bedingungsgleichungen:

$$\left. \begin{aligned} \delta \lambda_1 &= \left(\frac{\partial \lambda_1}{\partial x} \right) Ax + \left(\frac{\partial \lambda_1}{\partial y} \right) Ay \\ \delta \lambda_2 &= \left(\frac{\partial \lambda_2}{\partial x} \right) Ax + \left(\frac{\partial \lambda_2}{\partial y} \right) Ay \\ \vdots & \\ \delta \beta_1 &= \left(\frac{\partial \beta_1}{\partial x} \right) Ax + \left(\frac{\partial \beta_1}{\partial y} \right) Ay \\ \delta \beta_2 &= \left(\frac{\partial \beta_2}{\partial x} \right) Ax + \left(\frac{\partial \beta_2}{\partial y} \right) Ay \end{aligned} \right\} C$$

in welchen Gleichungen die partiellen Differentialquotienten mit Rücksicht auf die Gleichungen $A)$ und $B)$ bekannte Grössen sind. Ehe man diese Gleichungen nach der Methode der kleinsten Quadrate auflöst, wird man aber die ersteren die zu den Rectascensionen Längen gehören, mit denen der zweiten Gruppe homogen machen, indem man dieselben durch die Multiplication mit dem Cosinus der Declination (Breite) auf den Parallel reducirt. Haben die Gleichungen selbst verschiedene Gewichte, so wird diese Multiplication mit der Quadratwurzel der Gewichte vereinigt durchgeführt werden können.

Man erlangt dann durch die Methode der kleinsten Quadrate die wahrscheinlichsten Werthe von Ax und Ay , welche beziehungsweise an die ursprünglichen Werthe von $\log \varrho$ und $\log \varrho'$ angebracht, die nunmehr definitiven Werthe von $\log \varrho$ und $\log \varrho'$ geben. Mit Zugrundelegung dieser so verbesserten Distanzen und der beiden zugehörigen Normalorte ist es nun leicht, die definitiven Elemente zu rechnen. Der sonst häufig zu findende Vorschlag, dieses neue Elementensystem durch Interpolation zwischen den vorigen drei Systemen abzuleiten, scheint in denjenigen Fällen, für welche diese Methode gewöhnlich in Anwendung kommt, aus leicht begreiflichen Gründen nicht empfehlenswerth zu sein, weil die Elemente bei kleinen heliocentrischen Bogen vielfach grössere Aenderungen erfahren, als die eingeführten Variationen δx und δy , und demnach der lineare Charakter leicht verloren geht; wendet man aber diese

Methode an, wenn grosse heliocentrische Bogen zur Verfügung stehen und die Aenderungen in den Elementen gering sind, so wird man wohl das letzt erwähnte Verfahren einschlagen können. Bezeichnet man etwa mit E_0 , E_1 , E_2 die beziehungsweise in der ersten, zweiten und dritten Hypothese gefundenen Werthe für irgend eines der Elemente, so wird der neue, der vierten Hypothese entsprechende Werth E dieses Elementes gegeben sein durch:

$$E = E_0 + (E_1 - E_0) \cdot x + (E_2 - E_0) \cdot y,$$

wenn man durch x und y die durch die obigen Gleichungen bestimmten Werthe in Einheiten der angenommenen Aenderungen δx und δy darstellt.

Bei der Auswahl der zwei der Rechnung zu Grunde zu legenden Orte muss man bedacht sein, dieselben nicht allzu nahe an einander zu wählen, da sonst die kleinen, den Orten anhaftenden Fehler allzu nachtheilig hervortreten würden. Man wird daher, wenn es nur irgend möglich ist, die äussersten Orte als diejenigen annehmen, welche vollkommen dargestellt werden sollen. Doch wird man bisweilen von dieser Bestimmung absehen müssen, da in der Regel der erste und letzte Ort in Folge der hierbei obwaltenden Beobachtungsverhältnisse wesentlich unsicherer sein kann, als andere Normalorte; man wird indessen von dieser Wahl nur dann abgehen, wenn die vermittelte Unsicherheit eine sehr beträchtliche ist.

Die Methode wird aber auch dann unsichere Resultate gewähren, wenn die zu den beiden geocentrischen Orten gehörenden heliocentrischen Orte nahe zusammenfallen oder um 180° von einander abstehen. Es ist klar, dass in diesem Falle eine genaue Bestimmung der Bahnlage unmöglich wird, und man wird demnach bei der Auswahl der Beobachtungen auf diesen Umstand möglichst Rücksicht nehmen; übrigens findet derselbe unter den hier obwaltenden Verhältnissen gewöhnlich schon durch die Wahl der äussersten Orte ausreichende Berücksichtigung, da der Fall, wo die heliocentrische Bewegung nahezu 180° oder deren Vielfache beträgt, bei Anwendung dieser Methode selten genug auftreten wird. Indess wird man sich diese Umstände bei der Wahl der Beobachtungen doch stets gegenwärtig halten und in einem der letzteren Fälle lieber zwei Orte wählen, deren scheinbarer heliocentrischer Abstand etwa 90° beträgt.

Ich will die vorstehende Methode durch ein Beispiel erläutern und übrigens noch bemerken, dass sich später im § 5 des vorliegenden Abschnittes (pag. 507 ff.) noch ein hierher gehöriges Beispiel findet.

Für den Planeten Concordia γ waren die folgenden auf den mittleren Aequator bezogenen geocentrischen Positionen und Sonnencoordinaten angenommen worden:

mittl. Berl. Zeit	α	δ	X	Y	Z
1. 1860 März 24.5	$180^\circ 28' 18''$	$+2^\circ 51' 25''$	$+0.6618582$	$+0.0725170$	$+0.0314716$
2. April 13.5	$177^\circ 1' 32''$	$+4^\circ 53' 10''$	$+0.9158787$	$+0.3770840$	$+0.1638895$
3. " 25.5	$175^\circ 48' 20''$	$+5^\circ 30' 0''$	$+0.8154704$	$+0.5419252$	$+0.2351599$
4. Mai 18.5	$175^\circ 52' 21''$	$+5^\circ 43' 42''$	$+0.5341890$	$+0.7887080$	$+0.3422870$

Der erste Ort beruht auf einer einzigen Beobachtung, die übrigen Orte sind

gut bestimmte Normalorte; es wird sich daher nicht empfehlen, den ersten Ort als einen der beiden Orte zu wählen, die völlig dargestellt werden sollen, da man bei einer Einzelbeobachtung, abgesehen von dem ihr anhaftenden unvermeidlichen Beobachtungsfehler, nie mit Sicherheit voraussetzen kann, dass dieselbe nicht durch irgend ein Versehen besonders entstellt ist. Man wird deshalb mit Vortheil wohl den zweiten und vierten Ort als diejenigen annehmen, die völlig dargestellt werden sollen. Nach genäherten Elementen waren als geocentrische Distanzen für diese Orte angenommen worden:

$$\begin{aligned}\log \varrho &= 0.221\ 0390 \\ \log \varrho' &= 0.207\ 4660;\end{aligned}$$

für δx wurde für die zweite Hypothese der Werth -0.0001 , und ebenso für δy der Werth -0.0001 angenommen. Diese Aenderungen sind wohl etwas zu klein gewählt und hätten wohl zehnmal grösser angenommen werden sollen; doch war die hier gemachte Annahme theilweise gerechtfertigt, weil, wie man sieht, das System der ersten Hypothese nur ganz unbedeutende Fehler in der Darstellung der Orte übrig liess. Die Hauptmomente der Rechnung finden sich für die einzelnen Hypothesen nachstehend übersichtlich neben einander gestellt. Die Epoche der Elemente ist 1860 April 13.5.

Hypothese	0	1	2	
$\log \varrho$	0.2210390	0.2200390	0.2210390	
$\log \varrho'$	0.2074660	0.2074660	0.2073660	
l	186°28'21"09	186°28'24"08	186°28'24"09	
l'	194°29'19"15	194°29'19"15	294°29'30"73	
d''	-0°29'29"03	-0°29'31"89	-0°29'29"03	
d'	-3°11'41"03	-3°11'41"03	-3°11'46"57	
$\log r$	0.4128389	0.4127756	0.4128389	
$\log r'$	0.4131410	0.4131410	0.4130695	
M	2°22'41"14	3°47'14"80	0°49'46"78	
α'	183°58'7"58	182°26'31"30	185°39'5"34	
α'	5°1'32"67	5°1'28"62	5°1'33"57	
δ'	18°15'7"05	18°15'0"48	18°45'18"71	
q	2°22'23"36	2°20'40"31	2°24'3"60	
μ	800"2500	801"0869	799"5989	
l	177°1'32"19	177°1'32"49	177°1'32"53	}
l'	175°52'21"82	175°52'21"80	175°52'21"80	
β	+4°53'10"70	+4°53'10"70	+4°53'10"69	
β'	+5°43'42"81	+5°43'42"85	+5°43'42"82	
Δ_1	180°28'12"33	180°28'16"85	180°28'9"63	

*) Heliocentrische Rectascensionen.

**) Heliocentrische Declinationen.

***) Durch diese Zahlen ist die Richtigkeit der Rechnung controlirt.

Hypothese	0	1	2
B_1	$+2^{\circ}51'31''34$	$+2^{\circ}51'28''66$	$+2^{\circ}51'33''01$
A_2	$175^{\circ}48'21''12$	$175^{\circ}48'20''60$	$175^{\circ}48'21''29$
B_2	$+5^{\circ}36'7''63$	$+5^{\circ}36'7''97$	$-5^{\circ}36'7''49$

Mit Rücksicht auf B pag. 483 stellen sich die Gleichungen C wie folgt:

$$\begin{aligned} 1 \quad & + 6''57 = + 4''52 \mathcal{J}x - 2''70 \mathcal{J}y \\ 2) \quad & - 0.32 = - 0.52 \mathcal{J}x + 0.17 \mathcal{J}y \\ 3) \quad & - 6.24 = - 2.68 \mathcal{J}x + 1.70 \mathcal{J}y \\ 4) \quad & + 1.57 = + 0.34 \mathcal{J}x - 0.14 \mathcal{J}y . \end{aligned}$$

Die Kleinheit der Aenderungen in den Orten zeigt, dass es zweckmässiger gewesen wäre, δx und δy wesentlich grösser anzunehmen.

Den aus dem zweiten Orte folgenden Bedingungsgleichungen wird das Gewicht 4 ertheilt, weil dieser Ort ein Normalort ist, während der erste Ort nur auf einer einzelnen Beobachtung beruht; es müssen also die Gleichungen 2) und 4) pag. 314 mit 2 durchmultiplicirt werden, bevor die Methode der kleinsten Quadrate zur Anwendung kommt; ausserdem aber sind die Gleichungen 1) und 2) pag. 483 beziehungsweise mit $\cos B'$ und $\cos B''$ zu multipliciren, um die Bogengrössen auf den Parallel zu beziehen. Dadurch nehmen die Bedingungsgleichungen (logarithmisch) die folgende Gestalt an:

$$\begin{aligned} 0.8171 &= 0.6546 \mathcal{J}x + 0.4309 \mathcal{J}y \\ 9_n 8040 &= 0_n 0149 \mathcal{J}x + 9.5293 \mathcal{J}y \\ 0_n 7952 &= 0_n 4281 \mathcal{J}x + 0.2304 \mathcal{J}y . \\ 0.4069 &= 0.8325 \mathcal{J}x + 9_n 4471 \mathcal{J}y . \end{aligned}$$

Macht man dieselben homogen (vergl. pag. 318), indem man:

$$\begin{aligned} x &= 0.6546 \mathcal{J}x \\ y &= 0.4309 \mathcal{J}y \end{aligned}$$

$$\log \text{ der Fehereinheit} = 0.8171$$

annimmt, so stellen sich die Gleichungen wie folgt:

$$\begin{aligned} 0.0000 &= 0.0000 x + 0_n 0000 y \\ 8_n 9800 &= 9_n 3603 x + 0.0984 y \\ 9_n 0781 &= 9_n 7735 x + 9.7905 y \\ 0.0798 &= 9.1779 x + 9_n 0162 y \end{aligned}$$

und man hat:

aa	ba	aa	ab	bb
$+ 1.0000$	$- 1.0000$	$+ 1.0000$	$- 1.0000$	$+ 1.0000$
$+ 0.0222$	$- 0.0122$	$+ 0.0525$	$- 0.0288$	$+ 0.0157$
$+ 0.5044$	0.5092	$+ 0.3524$	$- 0.3741$	$+ 0.3972$
$+ 0.0721$	$- 0.0197$	$+ 0.0327$	$- 0.0156$	$+ 0.0108$
$+ 1.0587$	$- 1.0011$	$+ 1.4270$	$- 1.4185$	$+ 1.4237$

Die Auflösung stellt sich nunmehr in folgender Art:

x	y	z
+1.4276	—1.4185	+1.6587
0.15461	0.15183	0.21977
9.99722	+1.4237	—1.6611
	+1.4095	—1.6481
	+0.0142	—0.0130
	8.15229	8.11394

und es folgt:

$$\log y = 9.96165$$

$$\log x = 0.40181 ,$$

oder mit Rücksicht auf die Homogenitätsfactoren und die Einheit für Ix und Iy :

$$Ix = - 0.0000367$$

$$Iy = + 0.0002227 .$$

Die schliesslichen Werthe für die Logarithmen der geocentrischen Distanzen sind also:

$$\log q = 0.221 0023$$

$$\log q' = 0.297 6887 ,$$

und die Darstellung der Orte nach den Differentialformeln wird:

	$\cos \delta \delta \alpha$	$\delta \delta$
1)	— 1"1	— 1"5
3)	+ 0"2	+ 1"1 .

Rechnet man aus den so gefundenen Werthen für $\log q$ und $\log q'$ die Elemente und aus diesen die Darstellung der Orte, so findet sich dieselbe:

1)	— 1"3	— 1"4
3	— 0"1	+ 1"3

genügend mit den aus den Differentialformeln abgeleiteten Werthen übereinstimmend. Die kleinen Unterschiede erklären sich völlig durch die Unsicherheit der siebenstelligen Rechnung, welche natürlich auch auf die Genauigkeit der obigen Werthe der Differentialquotienten Einfluss nimmt.

§ 4. Variation des Verhältnisses der Distanzen.

α . Parabolische Elemente.

Benützt man die Methode der Variation des Verhältnisses der Distanzen zur Bahnverbesserung, so knüpft sich daran unmittelbar die Bemerkung, dass aus dem

angenommenen Verhältnisse der Distanzen allein ohne weitere Voraussetzungen noch kein Schluss auf die Bahn selbst gemacht werden kann. In der That vermittelt aber die Annahme $a = \infty$ eine Lösung und ist dieselbe bereits, wenn auch nur andeutungsweise, im ersten Bande (I pag. 146) behandelt worden. Es soll hier auf diese Lösung nochmals zurückgegangen werden.

Handelt es sich um die Auswerthung einer parabolischen Bahn ($a = \infty$), so wird man mit der besten Annahme, die man über das Verhältniss der Distanzen M für zwei Normalorte (bei deren Auswahl wird man dieselben Vorsichtsmaassregeln zu befolgen haben, wie bei der Methode der Variation der Distanzen) vgl. pag. 484, machen kann, parabolische Elemente berechnen, die in den übrigen Orten etwa die Fehler $\delta \dot{z}_1, \delta \dot{z}_2 \dots \delta \dot{\beta}_1, \delta \dot{\beta}_2 \dots$ übrig lassen. Die durch die Elemente selbst berechneten Positionen der nicht zu Grunde gelegten Normalorte seien $A_1^0, A_2^0, \dots B_1^0, B_2^0, \dots$. Hierauf variirt man M , oder was noch bequemer ist $\log M$ in $\log M + \delta x$, wobei δx eine den Verhältnissen entsprechende Grösse ist, und wiederholt die Rechnung. Diese neuen Elemente werden für die übrigen Normalorte die Positionen $A_1^1, A_2^1, \dots B_1^1, B_2^1, \dots$ ergeben. Man hat also ähnlich, wie bei der vorausgehenden Methode die empirische Bestimmung der Differentialquotienten zwischen den Coordinaten des Normalortes und der Variation von $\log M$ hergestellt und hat hierfür:

$$\begin{aligned} A_1^1 - A_1^0 &= \frac{\partial \dot{z}_1}{\partial x}, & B_1^1 - B_1^0 &= \frac{\partial \dot{\beta}_1}{\partial x} \\ A_2^1 - A_2^0 &= \frac{\partial \dot{z}_2}{\partial x}, & B_2^1 - B_2^0 &= \frac{\partial \dot{\beta}_2}{\partial x} \\ \vdots & \quad \quad \quad \vdots & \quad \quad \quad \vdots \end{aligned}$$

wobei für δx als Einheit die angenommene Variation von $\log M$ zu betrachten ist. Man erhält also, wenn man sofort die Reduction auf den Parallel ausführt, als Bedingungsgleichungen, die nach der Methode der kleinsten Quadrate leicht aufgelöst werden können:

$$\begin{aligned} \cos \beta_1 \delta \dot{z}_1 &= \left(\frac{\partial \dot{z}_1}{\partial x} \right) \cos \beta_1 \cdot \mathcal{A}x \\ \cos \beta_2 \delta \dot{z}_2 &= \left(\frac{\partial \dot{z}_2}{\partial x} \right) \cos \beta_2 \cdot \mathcal{A}x \\ \vdots & \quad \quad \quad \vdots \\ \delta \beta_1 &= \left(\frac{\partial \dot{\beta}_1}{\partial x} \right) \cdot \mathcal{A}x \\ \delta \beta_2 &= \left(\frac{\partial \dot{\beta}_2}{\partial x} \right) \cdot \mathcal{A}x \\ \vdots & \quad \quad \quad \vdots \end{aligned}$$

Multiplieirt man jede dieser Bedingungsgleichungen mit der Quadratwurzel ihres Gewichtes, und bezeichnet dann der Kürze halber die links vom Gleichheitszeichen stehenden Werthe mit n_1, n_2, n_3, \dots die Coëfficienten von $\mathcal{A}x$ mit a_1, a_2, a_3, \dots , so wird man nach der Methode der kleinsten Quadrate für den wahrscheinlichsten Werth der Unbekannten haben:

$$\mathcal{A}x = \frac{[an]}{[aa]},$$

wobei also $\mathcal{A}x$ in Einheiten von δx ausgedrückt erscheint.

Man kann nun mit dem Werthe $\log M + \delta x$ neue Elemente ableiten, oder man interpolirt, was bei dem oft grossen heliocentrischen Bogen vortheilhafter ist, unmittelbar die Elemente aus den beiden vorher ermittelten Systemen. Es wird nämlich:

$$E = E_0 + (E_1 - E_0) \mathcal{A}x.$$

Wir wollen diese Vorschriften durch ein ausführliches Beispiel erläutern und gleichzeitig die Formeln auführen, deren man zur Berechnung der auftretenden Grössen bedarf, die Ableitung derselben übergehe ich aber, da das Nöthige bereits im ersten Bande erläutert ist.

Ich wähle als Beispiel den I. Kometen des Jahres 1847; die Mittheilung der Normalorte und der Sonnenkoordinaten verdanke ich Herrn Professor Hornstein, Director der Prager Sternwarte. Dieselben sind bezogen auf die mittlere Ekliptik 1847.0, wie folgt:

Mittl. Berl. Zeit.	λ	β	L	$\log R$
I 1847 Febr. 18.0	26°21'16"43	+62°44' 5"18	329°13'31.05	9.9951324
II " 26.0	22 49 8.25	+54 29 31.07	337 16 24.50	9.9959194
III März 4.0	20 59 23.75	+47 35 53.42	343 17 13.98	9.9965726
IV " 10.0	19 20 22.28	+39 53 7.72	349 17 0.68	9.9972759
V " 16.0	17 27 10.54	+30 58 26.60	355 15 15.52	9.9980025
VI " 20.0	15 47 38.06	+24 1 38.24	359 14 16.82	9.9984879
VII April 24.0	44 18 54.19	+16 35 5.41	33 37 41.36	0.0027520

Als völlig darzustellende Normalorte werden der erste und der letzte Ort gewählt, für $\log M$ war aus genäherten Annahmen über die Elemente der Werth 0.2202773 gefunden worden, und da die zu Grunde gelegten Elemente schon sehr genau waren, indem sich dieselben nahezu allen Beobachtungen recht gut anschliessen, so wurde δx verhältnissmässig klein mit + 0.000 3000 angenommen. Es sind demnach zwei Systeme parabolischer Elemente abzuleiten, die den obigen äussersten Normalorten genügen und für welche einmal $\log M = \log \frac{q'}{q} = 0.226 2773$, das andere Mal $\log M = \log \left(\frac{q'}{q} \right) = 0.226 5773$ gesetzt ist. Ich unterscheide die aus der zweiten Annahme resultirenden Werthe dadurch, dass ich die analogen Buchstaben in Klammern ansetze.

Zuerst wird man die Berechnung jener Werthe vornehmen, die von der Annahme über M unabhängig sind. Man hat zu rechnen:

$$\left. \begin{aligned} g \cos (G - L) &= R' \cos (L' - L) - R \\ g \sin (G - L) &= R' \sin (L' - L) \end{aligned} \right\} \quad 1)$$

$$\left. \begin{aligned} \cos \psi &= \cos (\lambda - L) \cos \beta, & \cos \psi' &= \cos (\lambda' - L') \cos \beta' \\ \sin \psi \cos P &= \sin (\lambda - L) \cos \beta, & \sin \psi' \cos P' &= \sin (\lambda' - L') \cos \beta' \\ \sin \psi \sin P &= \sin \beta, & \sin \psi' \sin P' &= \sin \beta', \end{aligned} \right\} \quad \text{I)}$$

wobei g , $\sin \psi$ und $\sin \psi'$ stets positiv genommen werden.

Die Rechnung ergab:

$$\begin{aligned} G &= 90^{\circ}37'43''08 & R \sin \psi &= 9.981\,2753 & R' \sin \psi' &= 9.529\,4070 \\ \log g &= 0.026\,6750 & R \cos \psi &= 9.390\,6985 & R' \cos \psi' &= 9.976\,6998. \end{aligned}$$

Jetzt sind jene Hilfsgrößen zu rechnen, welche die Darstellung von r , r' und s (Schnur) als Funktionen von q vermitteln; man hat demnach für jede der Annahmen von M zu rechnen:

$$\left. \begin{aligned} f &= R \cos \psi, & B &= R \sin \psi \\ f' &= \frac{R' \cos \psi'}{M}, & B' &= \frac{R' \sin \psi'}{M} \\ h \cos \zeta \cos (H - \lambda') &= M \cos \beta' - \cos (\lambda' - \lambda) \cos \beta \\ h \cos \zeta \sin (H - \lambda') &= \sin (\lambda' - \lambda) \cos \beta \\ h \sin \zeta &= M \sin \beta' - \sin \beta \\ h \text{ und } \cos \zeta &\text{ stets positiv} \\ \cos q &= \cos \zeta \cos (G - H) \\ \sin q \cos Q &= \cos \zeta \sin (G - H) \\ \sin q \sin Q &= \sin \zeta \\ \sin q &\text{ stets positiv.} \\ \gamma &= \frac{g}{h} \cos q \\ A &= \frac{g}{h} \sin q \end{aligned} \right\} \quad \text{II)}$$

Es finden sich aus den obigen Zahlen:

f	+0.2458660	f'	+0.2458660
f'	+0.5628887	f''	+0.5625000
$\log B$	9.9812753	$\log (B)$	9.9812753
$\log B'$	9.3031207	$\log (B')$	9.3028297
H	51^{\circ}0'13''23	H'	51^{\circ}8'50''16
$\cos \zeta$	9.9756026	$\cos (\zeta)$	9.9757729
$\sin \zeta$	9.95124515	$\sin (\zeta)$	9.95117733
$\log h$	0.0985225	$\log (h)$	0.0988473
$\cos q$	9.8632550	$\cos (q)$	9.8632954
$\sin q$	9.8347822	$\sin (q)$	9.8347304
γ	+0.6185906	(γ)	+0.6181916
$\log A$	9.7620347	$\log (A)$	9.7625641
$\log g \sin q$	9.8614572	$\log (g \sin q)$	9.8614114

Nun ist q so zu bestimmen, dass der Euler'schen Gleichung:

$$6k(t' - t) = (r + r' + s)^{\frac{3}{2}} \mp (r + r' - s)^{\frac{3}{2}}, \quad \log 6k = 9.0137327$$

genügt wird; das obere Zeichen gilt, wenn die heliocentrische Bewegung kleiner, das untere, wenn dieselbe grösser als 180° ist; das letztere ist im vorliegenden Beispiele der Fall. Da bei der Anwendung dieser Methode im Allgemeinen grosse heliocentrische Bogen auftreten, so wird die Anwendung der Encke'schen μ Tafel (Tafel VIII des ersten Bandes) nicht empfohlen werden können; vielmehr wird man von einem Werthe von q ausgehen, der den vorhandenen nahe richtigen Elementen zu entnehmen ist. Man berechnet also unter einer Annahme über q :

$$\left. \begin{aligned} \text{tag } \theta &= \frac{q-f}{B}, & r &= R \sin \psi \sec \theta \\ \text{tang } \theta' &= \frac{q-f'}{B'}, & r' &= R' \sin \psi' \sec \theta' \\ \text{tang } \vartheta &= \frac{q-\gamma}{A}, & s &= g \sin \varphi \sec \vartheta \\ 6k(t' - t) &= (r + r' + s)^{\frac{3}{2}} \mp (r + r' - s)^{\frac{3}{2}} \end{aligned} \right\} \quad \text{III}$$

und sieht nach, wie weit der letzteren Relation genügt wird, und zwar sei f der Fehler im Logarithmus von $6k(t' - t)$ im Sinne: Wahrer Werth — Berechneter Werth.

Es würde nicht angemessen sein, durch empirische Variation und nachherige Interpolation den wahren Werth von q zu ermitteln; man wird vielmehr die noch nöthige Correction sofort auf differentiellem Wege zu ermitteln trachten. Mit Rücksicht auf Gleichung 27 (pag. 471) und den 1 pag. 127 aufgestellten Differentialquotienten wird man leicht die folgende Relation finden:

$$\left. \begin{aligned} \frac{1}{N} &= \left(\frac{r+r'+s}{1-\frac{r+r'+s}{4a}} \right)^{\frac{1}{2}} \sin \theta + M \sin \theta' + h \sin \vartheta \mp \\ &\mp \left(\frac{r+r'-s}{1-\frac{r+r'-s}{4a}} \right)^{\frac{1}{2}} \sin \theta + M \sin \theta' - h \sin \vartheta, \\ \delta q &= \left(\frac{4k}{\text{Mod}} \right) (t' - t) N \cdot f, \quad \log \left(\frac{4k}{\text{Mod}} \right) = 9.1999 \end{aligned} \right\} \quad \text{IV}$$

und zwar ist in dieser Formel für den gegenwärtigen Fall $a = \infty$ zu setzen.

Man wird mit dem durch diesen Ausdruck ermittelten corrigirten Werthe von q die Rechnung wiederholen, um sich durch die Uebereinstimmung der Werthe die Ueberzeugung von der Richtigkeit der Rechnung zu verschaffen. Es wird aber auch für die zweite Annahme von M die entsprechende Aenderung von q sofort auf differentiellem Wege ermittelt werden können, und man wird auf diese Weise den wahren Werth gleich im ersten Versuche mit genügender Annäherung erhalten. Mit Rücksicht darauf, dass für den letzteren Fall auch M variabel ist, werden die 1 pag. 127 aufgestellten Ausdrücke dr , dr' und ds geschrieben werden müssen:

$$\begin{aligned} dr &= \sin \theta \, dq \\ dr' &= M \sin \theta' \, dq + q \sin \theta' \, dM \\ ds &= h \sin \vartheta \, dq + \left(\frac{ds}{dM} \right) dM; \end{aligned}$$

um den in dem letzteren Ausdrücke vorkommenden Differentialquotienten zu erhalten, nehme ich den Ausdruck [I pag. 105]

$$s^2 = q^2 h^2 + g^2 - 2 q h g \cos \zeta \cos (G - H)$$

vor und differentiire denselben nach M . Mit Rücksicht auf die erste Gleichung 1) [I pag. 105] erhält man, wenn für ξ , und ξ_m die polaren Coordinaten mit der hier abgeänderten Indexbezeichnung eingeführt, und alle Längen vom Punkte G aus gezählt werden, sofort:

$$h \cos \zeta \cos (G - H) = M \cos \beta' \cos (\lambda' - G) - \cos \beta \cos (\lambda - G).$$

Durch Differentiation dieser Gleichung nach M findet sich:

$$\frac{d}{dM} h \cos \zeta \cos (G - H) = \cos \beta' \cos (G - \lambda')$$

hierdurch wird:

$$s \frac{ds}{dM} = q^2 h \left(\frac{dh}{dM} \right) - q g \cos (G - \lambda') \cos \beta';$$

aus den Gleichungen 3) [I pag. 106] ergibt sich aber auch:

$$\frac{dh}{dM} = \cos \zeta \cos (H - \lambda') \cos \beta' + \sin \zeta \sin \beta',$$

und hiermit stellt sich, wenn man beachtet, dass in beiden Lösungen die Zwischenzeiten dargestellt werden, also:

$$0 = \left(\frac{r+r'+s}{1-\frac{r+r'+s}{4a}} \right)^{\frac{1}{2}} (dr + dr' + ds) \mp \left(\frac{r+r'-s}{1-\frac{r+r'-s}{4a}} \right)^{\frac{1}{2}} (dr + dr' - ds)$$

sein muss, die Rechnung wie folgt:

$$\left. \begin{aligned} P &= \frac{q}{s} \left\{ g \cos \beta' \cos (G - \lambda') - q [h \cos \zeta \cos (H - \lambda') \cos \beta' + h \sin \zeta \sin \beta'] \right\} \\ Q &= \frac{1}{\text{Mod}} \left\{ \left(\frac{r+r'+s}{1-\frac{r+r'+s}{4a}} \right)^{\frac{1}{2}} P - q \sin \theta' \pm \left(\frac{r+r'-s}{1-\frac{r+r'-s}{4a}} \right)^{\frac{1}{2}} (P + q \sin \theta') \right\} \\ \partial q &= N \cdot M \cdot Q \partial \log M. \end{aligned} \right\} \quad \text{V)}$$

wobei in der Formel für Q das obere Zeichen gilt, wenn die heliocentrische Bewegung kleiner, das untere, wenn dieselbe grösser als 180° ist, und wobei N seinem Werthe nach aus IV [pag. 491] zu entnehmen ist, überdiess aber für die Parabel $a = \infty$ gesetzt werden muss.

Ich werde, um die obigen Formeln durch Beispiele zu erläutern, die Versuche hier ausführlich durchführen, dieselben aber der Raumersparniss wegen, nicht nach einander, wie sie thatsächlich ausgeführt wurden, sondern neben einander ansetzen. Der erste der drei Versuche entspricht dem ersten Werthe von M und ist mit einer genäherten Annahme über q , welche den vorhandenen Näherungen entlehnt wurde, durchgeführt; für den zweiten Versuch ist der durch Anwendung der Formeln IV verbesserte Werth von q benützt und die Durchführung des Versuches zeigt, dass der wahre Werth bereits erreicht ist. Der dritte Versuch ist für die zweite Annahme von M durchgeführt und dabei nur jener Werth von q in Anwendung gezogen worden, der sich durch die Benützung der Formeln V) ergibt.

Versuch	M		(M)
	1	2	1
q	+ 1.0530000	+ 1.0530458	+ 1.0525217
$\log (q-f)$	9.9069457	9.9069703	9.9066882
$\log (q-f')$	9.6902947	9.6903353	9.6902153
$\log (q-\gamma)$	9.6378932	9.6379390	9.6378199
$\text{tang } \theta$	9.9256704	9.9256950	9.9254129
$\text{tang } \theta'$	0.3871650	0.3872056	0.3873856
$\text{tang } \vartheta$	9.8749585	9.8750043	9.8752558
$\cos \theta$	9.8834848	9.8834746	9.8835917
$\cos \theta'$	9.5790876	9.5790528	9.5788987
$\cos \vartheta$	9.9031269	9.9031105	9.9030199
r	0.0977905	0.0978007	0.0976836
r'	9.9503194	9.9503542	9.9505083
Add.	0.2335241	0.2335344	0.2336472
$r+r'$	0.3313146	0.3313351	0.3313308
s	9.9583303	9.9583467	9.9583915
Add.	0.1534058	0.1534045	0.1534101
Subtr.	0.2393199	0.2393169	0.2393530
$(r+r'+s)$	0.4847204	0.4847396	0.4847499
$(r+r'+s)^{\frac{1}{2}}$	0.2423602	0.2423698	0.2423749
$(r+r'-s)$	0.0919947	0.0920182	0.0919778
$(r+r'-s)^{\frac{1}{2}}$	0.0459973	0.0460091	0.0459889
$(r+r'+s)^{\frac{3}{2}}$	0.7270800	0.7271004	0.7271248
$(r+r'-s)^{\frac{3}{2}}$	0.1379920	0.1380273	0.1379667
Add.	0.0995354	0.0995368	0.0995212
$\log 6kt$	0.8266160	0.8266462	0.8266460

Vergleicht man das Resultat des ersten Versuches für $\log 6kt$ mit dem strengen aus den Zwischenzeiten abgeleiteten Werthe, nämlich $\log 6kt = 0.8266461$, so ergibt sich im Sinne: Strenger Werth — Berechneter Werth ein Fehler $\mathcal{A} = + 301$ Einheiten der siebenten Decimale. Diese Differenz wird verwerthet, um nach den Formeln IV pag. 491 den definitiven Werth von q zu erhalten. Die Rechnung stellt sich wie folgt:

$\sin \theta$	9.8092	$\sin \theta + M \sin \theta' + h \sin \vartheta$	0.4706
$M \sin \theta'$	0.1925	$\sin \theta + M \sin \theta' - h \sin \vartheta$	0.1013
Add.	0.1504	$\log I$	0.7130
$\sin \theta + M \sin \theta'$	0.3429	$\log II$	0.2073
$h \sin \vartheta$	9.8760	Add.	0.1180
Add.	0.1277	$\log N$	9.1690
Subtr.	9.8184	$\log \left(\frac{4h}{M \sin \theta'} \right) (t' - t)$	1.0128

Es besteht also die Relation (logarithmisch) :

$$\delta q = \overline{0.1818} \mathcal{A} ,$$

woraus folgt, dass mit dem obigen Werthe von \mathcal{A} die Correction von $\delta q = + 458$ Einheiten der siebenten Decimale beträgt; mit dem so resultirenden Werthe von $q = + 1.0530458$ ist der zweite Versuch durchgeführt, der für \mathcal{A} den Werth -1 finden lässt, also eine völlige Uebereinstimmung innerhalb der Unsicherheit der logarithmischen Rechnung. Es wurde aber mit Rücksicht darauf, dass die Kleinheit der Aenderungen die Differentialformeln fast streng erscheinen lässt, für die definitive Lösung gleichsam das Mittel der beiden Versuche benützt und $q = + 1.0530457$ gesetzt.

Um nun für den Werth (M) sofort eine hinreichende Annäherung einzuführen, wurde nach V (pag. 492) gerechnet:

$G - \lambda'$	$-46^{\circ}18'8$	Subtr.	0.1556
$\cos (G - \lambda')$	9.8303	Add.	0.1208
$g \cos \beta'$	0.0082	$P - q \sin \theta'$	0.1443
$h \cos \zeta \cos H - \lambda' \cos \beta'$	0.0527	$P + q \sin \theta'$	9.7439
$h \sin \zeta \sin \beta'$	9.0665	$\log \{I\}$	0.3867
Add.	9.9527	$\log \{II\}$	9.7899
$\log \{ \dots \}$	0.0054	Add.	0.0980
$\log I$	9.8475	$\lg \{I - II\}$	0.4847
$\log q \{ \dots \}$	0.0278	Q	0.8469
Subtr.	9.7115	$N. M$	9.3953
$\log \{ \dots \}$	0.5590	$\delta q : \delta \log M$	0.2422
$q : s$	0.0641	$\delta x = \delta \log M$	3.4771
P	0.6231	δq	-5.240
$q \sin \theta'$	9.9887		

Es war also für die zweite Annahme über M im ersten Versuche zu setzen:

$$q = 1.0530457 - 0.0005240 ,$$

welcher Werth, wie die Zahlen der dritten Columnne zeigen, in der That eine fast völlige Uebereinstimmung ergab; es wurde für die weitere Rechnung der Elemente einem Fehler $\mathcal{A} = + 0.5$ entsprechend

$$q = 1.0525217$$

angenommen. Der Uebergang auf die heliocentrischen Orte wurde ausgeführt nach den Formeln:

$$\left. \begin{aligned} q' &= Mq \\ r \cos b \cos l - L &= q \cos \lambda - L \cos \beta - R, \quad r' \cos b' \cos l' - L' = q' \cos \lambda' - L' \cos \beta' - R' \\ r \cos b \sin l - L &= q \sin \lambda - L \cos \beta, \quad r' \cos b' \sin l' - L' = q' \sin \lambda' - L' \cos \beta' \\ r \sin b &= q \sin \beta, \quad r' \sin b' = q' \sin \beta' \end{aligned} \right\} \text{VI}$$

und ergab für die beiden Annahmen von M durchgeführt:

$\log r$	0.0978007	$\log (r)$	0.0976836
l	120° 5' 39" 11	(l)	120° 6' 38" 47
$\text{tang } b$	0.0510135	$\text{tang } (b)$	0.0507892
$\log r'$	9.9503541	$\log (r')$	9.9505085
l'	59° 2' 2" 48	(l')	59° 1' 39" 06
$\text{tang } b'$	9.8382382	$\text{tang } (b')$	9.8381343

Die Uebereinstimmung der so gefundenen Radienvectoren mit den Werthen, die sich aus den Versuchen ergaben, erweist sich als genügend. Nach I), II) (pag. 472) und III b) (pag. 473) findet sich:

Ω	21° 43' 23" 19	(Ω)	21° 42' 28" 04
i	48 39 42.85	(i)	48 38 58.33
u	95 33 4.88	(u)	95 34 25.72
u'	49 5 5.61	(u')	49 5 12.19
$\frac{1}{2} (u' - u)$	156 46 0.36	$(\frac{1}{2} u' - u)$	156 45 23.23
f	156 46 0.31	(f)	156 45 23.22

Nach V) und VI) (I pag. 143 und 144) ergab sich:

$\log q$	8.6287758	$\log (q)$	8.6291866
v	—158° 45' 40" 38	(v)	—158° 44' 53" 37
v'	154 46 20.35	(v')	154 45 53.10
ω	254 18 45.26	(ω)	254 19 19.09
α	276 2 8.45	(α)	276 1 48.03

und nach VII) (I pag. 144):

1847 März	1847 März
T aus v 30.32270	T aus (v) 30.30868
T aus v' 30.32273	(T) aus (v') 30.30865
T 30.322715	(T) 30.308665

Man hat daher die zwei Elementensysteme, bei welchen die Perihelzeit T sich auf den Monat März 1847 bezieht:

System	0	1
$\log M$	0.2262773	0.2265773
T	30.322715	30.308665
$\log q$	8.6287758	8.6291866
α	276° 2' 8" 45	276° 1' 48" 03
Ω	21 43 23.19	21 42 28.94
i	48 39 42.85	48 38 58.33

Rechnet man aus diesen Elementen die für die Zeiten der Normalorte folgenden geocentrischen Positionen nach den bekannten Methoden, so erhält man:

	A^0	B^0	A^1	B^1
1)	26° 21' 16" 36	+ 62° 44' 5" 14	26° 21' 16" 14	+ 62° 44' 5" 15
2)	22 49 6.82	+ 54 29 41.57	22 48 44.68	+ 54 29 23.06
3)	20 59 14.40	+ 47 36 8.49	20 58 38.95	+ 47 35 32.39

	A^0	B^0	A^1	B^1
4)	19°20'22"25	+ 39°53'32"85	19°19'33"25	+ 39°52'35"23
5)	17 27 16.39	+ 30 59 2.31	17 26 11.65	+ 30 57 37.80
6)	15 17 48.13	+ 24 2 23.20	15 46 30.24	+ 24 0 36.72
7)	44 18 54.20	+ 16 35 5.42	44 18 54.20	+ 16 35 5.42

Die Darstellung der beiden äussersten Orte durch die Elemente ist eine befriedigende. Es sind also (vergl. pag. 188) die Bedingungsgleichungen, die sich aus den übrigen Normalorten ergaben:

$$\begin{aligned}
 + 1''43 \cos \beta_2 &= - 22''14 \cos \beta_2 \mathcal{A}x \\
 + 9.35 \cos \beta_3 &= - 35.45 \cos \beta_3 \mathcal{A}x \\
 + 0.03 \cos \beta_4 &= - 49.00 \cos \beta_4 \mathcal{A}x \\
 - 5.85 \cos \beta_5 &= - 64.74 \cos \beta_5 \mathcal{A}x \\
 - 10.07 \cos \beta_6 &= - 77.89 \cos \beta_6 \mathcal{A}x \\
 - 10''50 &= - 18.51 \mathcal{A}x \\
 - 15.07 &= - 36.10 \mathcal{A}x \\
 - 25.13 &= - 57.62 \mathcal{A}x \\
 - 35.71 &= - 84.51 \mathcal{A}x \\
 - 44.96 &= - 106.48 \mathcal{A}x .
 \end{aligned}$$

Setzt man diese Gleichungen logarithmisch an und macht die auftretenden Coëfficienten dadurch homogen, dass man den Logarithmus der Fehlereinheit 1.6528 und ausserdem:

$$\log x = 2.0273 + \log \mathcal{A}x$$

setzt, so erhält man, wenn man allen Gleichungen gleiches Gewicht gibt:

Längen	Breiten
8.2666 = $9_n 08 20.x$	9 _n 3684 = $9_n 24 01.x$
9.1469 = $9_n 35 12.x$	9 _n 5253 = $9_n 53 02.x$
6.7093 = $9_n 54 79.x$	9 _n 7474 = $9_n 73 33.x$
9 _n 0476 = $9_n 71 71.x$	9 _n 9000 = $9_n 89 96.x$
9 _n 3108 = $9_n 82 47.x$	0 _n 0000 = $0_n 00 00.x$

Da demnach

$$[an] = + 2.2480, \quad [aa] = + 2.9752$$

ist, so folgt:

$$\begin{aligned}
 \log x &= 9.8783 \\
 \log \mathcal{A}x &= 9.5038 .
 \end{aligned}$$

Setzt man diesen Werth von $\mathcal{A}x$ in die obigen Gleichungen ein, so bleiben für die wahrscheinlichste Parabel die folgenden Fehler in den Normalorten übrig, wobei $\cos \beta \partial \lambda$ angesetzt erscheint, um sogleich einen Ueberblick über die absolute Grösse der Fehler zu erlangen:

	$\cos \beta \, \delta \lambda$	$\delta \beta$
1.	0"00	0"00
2.	+ 4.93	— 4.60
3.	+13.94	— 3.55
4.	+12.02	— 6.75
5.	+12.69	— 8.75
6.	+13.49	—10.99
7.	0.00	0.00 .

Die Fehler zeigen, dass die Parabel den Beobachtungen nicht völlig genügt. Ohne jedoch vorerst diese Unterschiede, die durch die Einführung eines Werthes der Excentricität, der von der Einheit verschieden ist, wesentlich verkleinert werden können, weiter zu beachten, will ich die wahrscheinlichsten parabolischen Elemente ableiten. Die Vergleichung der beiden Systeme gibt:

$E_1 - E_0$	$(E_1 - E_0) \, J.c$
T —14050	—4481
$\log q$ + 1108	+1310
π — 20"42	— 6"51
ϱ — 54.25	—17.31
i — 44.52	—14.20 ;

es sind also die wahrscheinlichsten parabolischen Elemente die folgenden:

$$\begin{array}{l}
 \text{♂ 1 1847} \\
 T = \text{März 30.318234 mittl. Berl. Zeit} \\
 \log q = 8.6289068 \\
 \left. \begin{array}{l} \pi = 27^{\circ} 2' 1''94 \\ \varrho = 21 \, 43 \, 5.88 \\ i = 48 \, 39 \, 28.65 \end{array} \right\} \begin{array}{l} \text{mittl. Aequinoct.} \\ 1847,0 . \end{array}
 \end{array}$$

Die directe Nachrechnung der Orte mit diesen Elementen zeigt in der That innerhalb der Unsicherheit der logarithmischen Rechnung eine völlige Uebereinstimmung mit der oben aus den Differentialformeln angegebenen Darstellung der Orte. Wenn auch in dem vorliegenden Falle die Parabel den Beobachtungen nicht völlig genügt, so entspricht die hier durchgeführte Rechnung einem geeigneten Rechnungsbeispiele und es können die hier gegebenen Methoden auf jeden Kometen ohne Abänderung angewendet werden.

β . Bestimmte Annahme über a .

Die Variation des Verhältnisses der Distanzen wird auch noch in jenen Fällen mit Vortheil angewendet werden können, wo man eine bestimmte Annahme über a zu machen in der Lage ist, ein Fall, der dann eintreten wird, wenn die in der ersten Näherung abgeleiteten parabolischen Elemente eine auffallende Aehnlichkeit mit den Elementen eines früher erschienenen Kometen zeigen. Man wird sich dann zunächst mit Hilfe dieser ersten parabolischen Elemente (vergl. I pag. 150, wenn

sonst keine besseren Näherungen bekannt sind, einen möglichst genauen Werth von M verschaffen und alle Formeln bis zur Auflösung der Lambert'schen Gleichung eventuell gleichzeitig mit einem entsprechend variirten Werthe von M durchrechnen. Hierbei ist wohl zu beachten, dass die für M gemachten Näherungsannahmen von der Natur des Kegelschnittes unabhängig sind; es wird also, wenn man in M nur die aus den Zwischenzeiten folgende Näherung einsetzt, der betreffende Himmelskörper zur Zeit der mittleren Beobachtung bis auf kleine Grössen derselben Ordnung in dem gewählten grössten Kreise stehen, mag man über die grosse Achse der Bahn eine beliebige Annahme machen.

Es sei die gefundene Perihelzeit T , die dem anderen Kometen mit ähnlichen Elementen angehörige Perihelzeit ι ; dann kann die Umlaufzeit:

$$T - \iota, \frac{T - \iota}{2}, \frac{T - \iota}{3} \text{ u. s. f.}$$

sein und demgemäss wird die grosse Halbachse, wenn man den so gefundenen Zeitunterschied in Einheiten des siderischen Jahres ansetzt, sein können:

$$a = (T - \iota)^{\frac{2}{3}}, \left(\frac{T - \iota}{2}\right)^{\frac{2}{3}}, \left(\frac{T - \iota}{3}\right)^{\frac{2}{3}} \text{ u. s. f.}$$

Man wird gewöhnlich mit dem grössten Werthe von a beginnen, q entsprechend der Lambert'schen Gleichung mit Hilfe der sehr bequemen Relation 17) (pag. 468) und unter Benützung der Formel IV (pag. 491) bestimmen, dann die Elemente nach den obigen Formeln § 2 pag. 472 ff. ableiten und die Darstellung des mittleren Ortes suchen. Man wird wohl bald denjenigen Werth der Halbachse erkennen, der den Beobachtungen am besten zu entsprechen scheint. Für diesen Werth wird man mit dem variirten Werthe von M die Rechnung wiederholen, um die möglichst beste Darstellung zu erreichen. Waren aber die Zwischenzeiten nicht gross, so dass die in M eingeführten Näherungen hinreichend zutreffen, so wird man mit Rücksicht auf die oben gemachte Bemerkung, dass die Richtigkeit von M nicht durch die Wahl von a beeinflusst wird, von einer Variation von M Abstand nehmen können.

Ich gebe für diese Methode kein Beispiel, da dieselbe ganz nach den für die Parabel geltenden Vorschriften durchgeführt werden kann, nur mit dem Unterschiede, dass man statt der Euler'schen Gleichung die Lambert'sche und zwar in der Form 17 (pag. 468) anwendet.

γ. Uebergang von der Parabel auf nahezu parabolische Bahnen. Hornstein's Methode.

Zeigt sich bei dem Anschlusse parabolischer Elemente an die Beobachtungen, dass die Parabel nicht völlig genügt, so kann man nach Hornstein's Vorschlage Bestimmung der Bahn des ersten Kometen vom Jahre 1847, nebst Bemerkungen über den Uebergang von der Parabel zur Ellipse oder Hyperbel, Märzheft 1854 der Sitzungsberichte der math.-naturw. Classe der kais. Akademie der Wissenschaften

in Wien) in sehr bequemer und zweckmässiger Weise mit Benützung der vorhandenen Rechnungen den Uebergang auf den wahrscheinlichsten Kegelschnitt ausführen; ich werde übrigens im folgenden Paragraphen (§ 5 pag. 507) noch eine andere Methode anführen, die bisweilen in mancher Beziehung noch bequemer erscheint.

Macht man über M dieselbe Annahme, wie in der ersten Hypothese bei der Ermittlung einer parabolischen Bahn und lässt an die Stelle der Euler'schen Gleichung die Lambert'sche (pag. 468) treten, so wird man mit Hilfe derselben eine Lösung erhalten, sobald man eine bestimmte Annahme über $\frac{1}{a} = y$ macht. Man wird für y einen kleinen Werth, etwa 0,01 oder 0,02 annehmen. Die Zahl der Versuche bei der Lösung der Lambert'schen Gleichung kann durch Benützung der Differentialformeln wieder wesentlich vermindert werden. Vergleicht man nämlich die Euler'sche und Lambert'sche Gleichung:

$$\begin{aligned} k(t' - t) &= \frac{1}{6} (r + r' + s)^{\frac{3}{2}} \mp \frac{1}{6} (r + r' - s)^{\frac{3}{2}} \\ k(t' - t) &= (r + r' + s)^{\frac{3}{2}} Q_s \mp (r + r' - s)^{\frac{3}{2}} Q_d \end{aligned}$$

so erhält man durch Subtraction den Unterschied:

$$(r + r' + s)^{\frac{3}{2}} \left(\frac{1}{6} - Q_s \right) \mp (r + r' - s)^{\frac{3}{2}} \left(\frac{1}{6} - Q_d \right) = J \quad IVb)$$

zwischen $k(t' - t)$, der sich ergeben würde, wenn man in der Ellipse die für die Parabel geltenden Werthe einführt. Mit Benützung der Formeln IV) (pag. 491) oder was hier bequemer ist, ohne Anwendung des logarithmischen Incrementes erhält man alle jene Aenderungen, die man mit Beibehaltung des Werthes von M , an den für die Parabel gefundenen Werth von q anbringen muss, um der bestimmten Halbachse zu genügen. Es ist (vergl. 27 pag. 471):

$$\begin{aligned} \frac{1}{N} = & \left\{ \sin \theta + M \sin \theta' \left\{ \left(\frac{r + r' + s}{1 - \frac{r + r' + s}{4a}} \right)^{\frac{1}{2}} \mp \left(\frac{r + r' - s}{1 - \frac{r + r' - s}{4a}} \right)^{\frac{1}{2}} \right\} + \right. \\ & \left. + h \sin \vartheta \left\{ \left(\frac{r + r' + s}{1 - \frac{r + r' + s}{4a}} \right)^{\frac{1}{2}} \pm \left(\frac{r + r' - s}{1 - \frac{r + r' - s}{4a}} \right)^{\frac{1}{2}} \right\} \right\} \quad IVc) \\ \delta q = & + J N, \end{aligned}$$

wo wieder das obere Zeichen für heliocentrische Bewegungen, die kleiner, das untere Zeichen für solche, die grösser als 180° sind, gilt.

Diese so ermittelten Coefficienten wird man bei allenfalls auftretenden Unterschieden auch für die weiteren Verbesserungen benützen dürfen. Ist dann derjenige Werth von q ermittelt, der einerseits unter Benützung des angenommenen Werthes von $\frac{1}{a} = y$ der Lambert'schen Gleichung, andererseits dem zu Grunde gelegten Werthe von M genügt, so rechnet man aus diesem nach den oben angeführten Methoden die Elemente und mit diesen die Darstellung der Orte. Von diesen Orten müssen die der Rechnung zu Grunde gelegten Normalorte völlig dargestellt werden,

welcher Umstand eine Controle für die Richtigkeit der Rechnung abgibt. Wenn dann für die übrigen nicht völlig dargestellten Normalorte $A_1^2, A_2^2 \dots B_1^2, B_2^2 \dots$ die aus diesen Elementen folgenden geocentrischen Coordinaten sind, so erhält man auf empirischem Wege die Differentialquotienten der Variationen des geocentrischen Ortes durch die Variation des reciproken Werthes der grossen Halbachse y wie folgt:

$$\begin{aligned} A_1^2 - A_1^0 &= \frac{\partial \lambda_1}{\partial y} \quad , \quad B_1^2 - B_1^0 = \frac{\partial \beta_1}{\partial y} \\ A_2^2 - A_2^0 &= \frac{\partial \lambda_2}{\partial y} \quad , \quad B_2^2 - B_2^0 = \frac{\partial \beta_2}{\partial y} \\ : & \quad : \quad : \quad : \quad : \quad : \end{aligned}$$

wobei wieder der angenommene Werth von y als Einheit für ∂y gilt. Mit Berücksichtigung der oben pag. 488. für eine Variation von M erhaltenen Werthe werden nunmehr die Bedingungsgleichungen die Form haben:

$$\begin{aligned} \cos \beta_1 \partial \lambda_1 &= \left(\frac{\partial \lambda_1}{\partial x} \right) \cos \beta_1 \mathcal{A}x + \left(\frac{\partial \lambda_1}{\partial y} \right) \cos \beta_1 \mathcal{A}y \\ \cos \beta_2 \partial \lambda_2 &= \left(\frac{\partial \lambda_2}{\partial x} \right) \cos \beta_2 \mathcal{A}x + \left(\frac{\partial \lambda_2}{\partial y} \right) \cos \beta_2 \mathcal{A}y \\ : & \quad : \quad : \\ \partial \beta_1 &= \left(\frac{\partial \beta_1}{\partial x} \right) \mathcal{A}x + \left(\frac{\partial \beta_1}{\partial y} \right) \mathcal{A}y \\ \partial \beta_2 &= \left(\frac{\partial \beta_2}{\partial x} \right) \mathcal{A}x + \left(\frac{\partial \beta_2}{\partial y} \right) \mathcal{A}y \\ : & \quad : \quad : \end{aligned}$$

Aus diesen Gleichungen leitet man, nachdem man dieselben noch vorher mit den Quadratwurzeln ihrer Gewichte durchmultipliziert hat nach der Methode der kleinsten Quadrate die wahrscheinlichsten Werthe für $\mathcal{A}x$ und $\mathcal{A}y$ ab; $\mathcal{A}x$ gibt die erforderliche Aenderung in M in Einheiten der angenommenen Aenderung. $\mathcal{A}y$ gibt den reciproken Werth der grossen Halbachse in Einheiten der obigen Annahme, wobei man auf eine Hyperbel geführt würde, falls $\mathcal{A}y$ negativ gefunden wird. Man kann nun mit den Werthen:

$$\begin{aligned} \log M &= \log M_0 + \mathcal{A}x \\ \frac{1}{a} &= \frac{1}{a_0} + \mathcal{A}y \end{aligned}$$

neue Elemente ableiten, oder dieselben auch nach der oben pag. 484. angegebenen nunmehr auf zwei Variable zu erweiternden Interpolationsmethode erhalten, welche in den meisten Fällen, besonders, wenn die heliocentrischen Bogen gross sind, ebenfalls genügend genaue Resultate geben wird. Es wird für jedes Element

$$E = E_0 + E_1 - E_0 \mathcal{A}x + E_2 - E_0 \mathcal{A}y .$$

Ist aber die Abweichung von der Parabel sehr bedeutend, so wird diese Methode erst nach mehrfachen Versuchen zum Ziele führen; indem man vorerst einen Näherungswerth von a erhält, wird man diesen benützen, um mit zwei Annahmen über M mit Beibehaltung des Näherungswerthes von a einerseits, und einem abgeänderten Werthe von a andererseits das Verfahren fortzusetzen. Indess wird es sich

in diesen Fällen der stärkeren Abweichung mehr empfehlen, direct nach einer der im ersten Bande entwickelten Methoden aus den 3 zu Grunde gelegten Orten genäherte Elemente abzuleiten, auf welche man dann die in dem betreffenden Falle geeignet erscheinenden Verbesserungsmethoden anwendet.

Es soll zunächst Hornstein's Methode durch ein Beispiel erläutert werden, und ich wähle das früher für die Parabel durchgeführte Beispiel einer Bahnverbesserung für den ersten Cometen des Jahres 1847. Man wird jetzt leicht einsehen, weshalb ich dort ein Beispiel gewählt habe, welches der Parabel nicht völlig genügt.

Zunächst kann man alle Hilfsgrößen benützen, die oben für die Parabel in der ersten Annahme über M berechnet wurden und hat darauf die Lambert'sche Gleichung:

$$\left. \begin{aligned} k(t' - t) &= (r + r' + s)^{\frac{3}{2}} Q_s \mp (r + r' - s)^{\frac{3}{2}} Q_d \\ Q_s \text{ aus Tafel XVII mit dem Argumente } &\frac{r + r' + s}{4a} \\ Q_d \text{ aus Tafel XVII } & \text{ » } \text{ » } \text{ » } \frac{r + r' - s}{4a} \end{aligned} \right\} \text{ Vb)}$$

durch Versuche zu lösen. Für die Ermittlung der ersten Näherung von q wird man die Formeln IVb) und IVc) (pag. 499) rechnen; nimmt man $a = \frac{1}{y} = 50$, so folgt:

$r + r' + s$	0.4847	$1 - \frac{r + r' + s}{4a}$	0.9933
$4a$	2.3010	$1 - \frac{r + r' - s}{4a}$	0.9973
$r + r' - s$	0.0020	$\left(1 - \frac{r + r' + s}{4a}\right)^{\frac{1}{2}}$	0.9966
Arg. für Q_s	+0.015266	$\left(1 - \frac{r + r' - s}{4a}\right)^{\frac{1}{2}}$	0.9986
Arg. für Q_d	+0.006180	$1 - \frac{r + r' + s}{4a}$	0.2424
$\log Q_s$	9.2238496	$1 - \frac{r + r' - s}{4a}$	0.0460
$\log Q_d$	9.2226559	$Z_s : N_s$	0.2458
Sub _s	2.3376	$Z_d : N_d$	0.0474
Sub _d	2.7312	Add.	0.2131
$\log \left(\frac{1}{6} - Q_s\right)$	6 _n 8862	Subtr.	0.4357
$\log \left(\frac{1}{6} - Q_d\right)$	6 _n 4915	(+)	0.4589
I	7 _n 6133	$\sin \theta + M \sin \theta'$	0.3429
II	6 _n 6295	(-)	0.8101
Add.	0.0429	$h \sin \theta$	9.8766
\mathcal{A}	7 _n 6562	$\log I$	0.8018
$4\mathcal{A}$	8 _n 2583	$\log II$	9.6867
N	9.1661	Add.	0.0321

Es ist somit $dq = -0.0026571$, also $q = 1.0503887$. Die Durchführung der Hypothese mit diesem Werthe gibt in $k(t' - t)$ den Fehler $\mathcal{A} = -75$ Einheiten der 7. Decimale. Hieraus ergibt sich in Verbindung mit dem Werthe von N nach der

Formel $d\varrho = \frac{1}{N} dN$ der Werth $\varrho = 1.0503843$, welcher Werth bei der Lösung der Lambert'schen Gleichung in der That eine völlige Uebereinstimmung ergibt. Die Rechnung dieser Versuche stellt sich wie folgt:

$a = 50$		
Versuch	1	2
ϱ	+1.0503887	+1.0503843
$\log (\varrho - f)$	9.9055383	9.9055359
$\log (\varrho - f')$	9.6879746	9.6879707
$\log (\varrho - \gamma)$	9.6352747	9.6352703
$\tan \theta$	9.9242630	9.9242606
$\tan \theta'$	0.3848449	0.3848410
$\tan \vartheta$	9.8723400	9.8723356
$\cos \theta$	9.8840681	9.8840691
$\cos \theta'$	9.5810722	9.5810756
$\cos \vartheta$	9.9040658	9.9040673
r	0.0972072	0.0972062
r'	9.9483348	9.9483314
Add.	0.2329419	0.2329409
$r + r'$	0.3301491	0.3301471
s	9.9573914	9.9573899
Add.	0.1534732	0.1534734
Subtr.	0.2394860	0.2394870
$r + r' + s$	0.4836223	0.4836205
$(r + r' + s)^{\frac{1}{2}}$	0.2418111	0.2418102
$r + r' - s$	0.0906625	0.0906601
$(r + r' - s)^{\frac{1}{2}}$	0.0453312	0.0453300
S	0.0152262	0.0152262
D	0.0061607	0.0061607
$(r + r' + s)^{\frac{3}{2}}$	0.7254334	0.7254307
Q_s	9.2238443	9.2238443
$(r + r' - s)^{\frac{3}{2}}$	0.1359037	0.1359901
Q_d	9.2226533	9.2226533
I	+0.8897698	+0.8897643
II	+0.2283742	+0.2283723
$k(t' - t)$	+1.1181440	+1.1281366
J	— 75 —	1

Der Uebergang auf die heliocentrischen Orte mit den Werthen:

$$\log \varrho = 0.0213482$$

$$\log \varrho' = 0.2476255$$

ergab nach den bekannten Formeln:

$$\begin{aligned} l &= 120^{\circ}10'40''61 \\ l' &= 59 \quad 7 \quad 10.64 \\ \text{tang } b &= 0.0498726 \\ \text{tang } b' &= 9.8396016 \\ r &= 0.0972062 \\ r' &= 9.9483316 ; \end{aligned}$$

hiermit fand sich nach I) und II, pag. 472:

$$\begin{aligned} i &= 48^{\circ}36'14''09 \\ \Omega &= 21 \quad 34 \quad 53.76 \\ u &= 95 \quad 42 \quad 30.61 \\ u' &= 49 \quad 17 \quad 6.31 \\ f &= 156 \quad 47 \quad 17.85 . \end{aligned}$$

Die Probe nach III b) ergab in guter Uebereinstimmung:

$$f = 156^{\circ}47'17''83 .$$

Die Rechnung der übrigen Elemente nach den Formeln IV b — VII b) (pag. 476 ff.) setze ich als die erste Anwendung dieser Formeln hier vollständig an. Nach IV b) (pag. 476) und V b) (pag. 477) fand sich mit Rücksicht darauf, dass für a der Werth 50 angenommen wurde:

$$\begin{array}{ll} \cos f^2 & 9.9266828 \qquad \alpha \quad 25^{\circ}19' \quad 2''34 \\ r r' & 0.0455378 \qquad \frac{1}{2} \alpha \quad 12 \quad 39 \quad 31.17 \\ r r' \cos f^2 : a & 8.2732500 \qquad \cos \frac{1}{2} \alpha^2 \quad 9.9786263 \\ r + r' & 0.3301471 \qquad z \quad 0.3049469 \\ \text{Subtr.} & 0.0038265 \qquad r r \sin f^2 \quad 9.2368162 \\ \zeta & 0.3263206 \qquad p \quad 8.9318693 \end{array}$$

durch die Formeln VI b) (pag. 478) ergaben sich die folgenden Zahlen:

$$\begin{array}{ll} \text{Subtr.} & 0.5372767 \qquad 2 e z \sin F \quad 9.1555687 \\ r' - r & 9.5599295 \qquad \qquad \qquad 9.9997265 \\ z : a & 8.6059769 \qquad 2 e z \cos F \quad 0.6053319 \\ 1 - \frac{z}{a} & 9.9821073 \qquad F \quad -2^{\circ} \quad 1' \quad 59''47 \\ r r' \left(1 - \frac{z}{a}\right) & 0.0276451 \qquad 2 e z \quad 0.6056054 \\ \sqrt{r r' \left(1 - \frac{z}{a}\right)} & 0.0138225 \qquad 2 z \quad 0.6059769 \\ 2 \sqrt{r r' \left(1 - \frac{z}{a}\right)} & 0.3148525 \qquad e \quad 9.9996285 \\ (r + r') \cos f & 0.2934885 \qquad 1 + e \quad 0.3008443 \end{array}$$

Add.	0.2904794	q	8.6310250
v	$-158^{\circ}49'17''32$	$1 - e$	6.9320550
v'	$+154\ 45\ 18.38$	$\frac{1-e}{1+e}$	6.6312107
x	276 6 41.69	$q^3 : \sqrt{1+e}$	7.7961154

Nach VIIb pag. 479 stellt sich die Rechnung für die beiden Orte mit Benützung der Tafel XVIII wie folgt:

	1.	2.
$\frac{1}{2}v$	$-79^{\circ}24'38''66$	$+77^{\circ}22'39''19$
$\text{tang } \frac{1}{2}v^2$	1.4565448	1.2997450
θ	$+0.0122393$	$+0.0085301$
$\text{tang } \frac{1}{2}v$	$0_n7282724$	0.6498725
P_1	2.0619293	2.0629908
$\text{tang } \frac{1}{2}v^3$	$2_n1848172$	1.9496175
P_3	1.5819853	1.5838996
I	$2_n7902017$	2.7128633
II	$3_n7668025$	3.5335171
Add.	0.0435727	0.0611238
{...}	$3_n8103752$	3.5946409
M	$+40.41016$	-24.58987
$T = \text{März}$	30.41016	30.41013
	$T = 30.410145$	

Stellt man daher die gefundenen Elemente zusammen, so erhält man das System:

$$\begin{aligned}
 & 2. \\
 & T = 1847 \text{ März } 30.410145 \\
 & \log q = 8.6310250 \\
 & \frac{1}{a} = 0.0200000 \\
 & \left. \begin{aligned} x &= 276^{\circ} 6' 41'' 69 \\ \lambda &= 21\ 34\ 53.76 \\ i &= 48\ 36\ 14.09 \end{aligned} \right\} \text{ mittl. Aequin. } 1847.0
 \end{aligned}$$

und die geocentrischen polaren Coördinaten für die Zeiten der obigen Normalorte ergeben sich aus diesen Elementen in der bekannten Weise wie folgt:

	L^2	B^2
1	$26^{\circ}21'16''29$	$+62^{\circ}44' 5''15$
2	$22\ 51\ 48.10$	$+54\ 30\ 3.06$
3)	$21\ 3\ 29.55$	$+47\ 37\ 13.55$
4)	$19\ 25\ 56.16$	$+39\ 55\ 48.48$
5)	$17\ 34\ 1.56$	$+31\ 3\ 3.58$
6	$15\ 55\ 23.17$	$+24\ 8\ 4.75$
7	$44\ 18\ 54.15$	$+16\ 35\ 5.36$

Die Darstellung der beiden äussersten Orte durch die obigen Elemente gibt eine befriedigende Controle für die Richtigkeit der vorausgegangenen Rechnungen. Bildet man nun den obigen Entwicklungen entsprechend pag. 500 die Differentialquotienten für $\mathcal{A}y$, und setzt zugleich die bereits oben (pag. 496) ermittelten, für $\mathcal{A}x$ geltenden Coëfficienten an, so erhält man nunmehr die Bedingungsgleichungen:

für die Längen:

$$\begin{aligned} + 1''43 \cos \beta_2 &= - 22''14 \cos \beta_2 \mathcal{A}x + 161''34 \cos \beta_2 \mathcal{A}y \\ + 9.35 \cos \beta_3 &= - 35.45 \cos \beta_3 \mathcal{A}x + 255.15 \cos \beta_3 \mathcal{A}y \\ + 0.03 \cos \beta_4 &= - 40.00 \cos \beta_4 \mathcal{A}x + 333.91 \cos \beta_4 \mathcal{A}y \\ - 5.85 \cos \beta_5 &= - 64.74 \cos \beta_5 \mathcal{A}x + 405.17 \cos \beta_5 \mathcal{A}y \\ - 10.07 \cos \beta_6 &= - 77.89 \cos \beta_6 \mathcal{A}x + 455.04 \cos \beta_6 \mathcal{A}y \end{aligned}$$

für die Breiten:

$$\begin{aligned} - 10''50 &= - 18''51 \mathcal{A}x + 21''49 \mathcal{A}y \\ - 15.07 &= - 36.10 \mathcal{A}x + 65.06 \mathcal{A}y \\ - 25.13 &= - 57.62 \mathcal{A}x + 135.63 \mathcal{A}y \\ - 35.71 &= - 84.51 \mathcal{A}x + 241.27 \mathcal{A}y \\ - 44.96 &= - 106.48 \mathcal{A}x + 341.55 \mathcal{A}y. \end{aligned}$$

Gibt man allen diesen Bedingungsgleichungen gleiches Gewicht und setzt man, um dieselben möglichst homogen zu gestalten, wieder wie oben pag. 496:

$$\begin{aligned} \log \text{Fehlereinheit} &= 1.6528 \\ \log x &= 2.0273 + \log \mathcal{A}x \end{aligned}$$

und ausserdem:

$$\log y = 2.6186 + \log \mathcal{A}y$$

so erhalten die Normalgleichungen die folgende Gestalt:

$$\begin{aligned} + 2.9752 x - 2.9632 y &= + 2.2480 \\ - 2.9632 x + 3.1485 y &= - 1.7654 \end{aligned}$$

und die Auflösung ergibt:

$$\log \mathcal{A}x = 0.8560, \quad \log \mathcal{A}y = 0.0120.$$

Wollte man sowohl die Elemente als auch die Darstellung der Orte als Functionen von y darstellen, so würde man die erste der obigen Normalgleichungen hierzu benützen können; doch gehe ich auf diese Darstellung nicht ein, weil schon oben für dieses Verfahren hinreichend erläuternde Beispiele angeführt sind. Durch Einführung dieser Werthe der Unbekannten in die obigen Bedingungsgleichungen erhält man die folgende Darstellung der Orte:

	$\cos \beta \, \delta \lambda$	$\delta \beta$
1.	0''0	0''0
2.	+0.4	+0.6
3.	+5.8	+1.2
4.	+0.7	+2.3
5.	0.0	+0.2
6.	-0.9	-3.5
7.	0.0	0.0

Interpolirt man die Elemente nach der oben (pag. 500) angesetzten Formel, so findet man das folgende, nimmehr als definitiv anzusehende Elementensystem:

$$\begin{aligned}
 & \text{\textit{J}} \text{ I. 1817} \\
 & T = \text{März } 30 \text{ } 321616 \text{ mittl. Berl. Zeit.} \\
 & \log q = 8.6293030 \\
 & \log a = 2.6861328 \quad (a = 485.437) \\
 & \left. \begin{aligned} \lambda &= 276^{\circ} 2' 21'' 91 \\ \varOmega &= 21^{\circ} 41' 51'' 69 \\ i &= 18^{\circ} 38' 19'' 32 \end{aligned} \right\} \begin{aligned} & \text{mittl. Aequinoct.} \\ & 1847.0 \end{aligned}
 \end{aligned}$$

Die directe Nachrechnung der Orte aus diesen Elementen gibt gegen die obige aus den Differentialformeln abgeleitete Darstellung derselben eine genügende Uebereinstimmung. Sollte man, wie dies bei der Rechnung aus kleinen helio-centrischen Bogen zu befürchten ist, die Interpolation zwischen den Elementen selbst ihrer Linearität nach für nicht genügend gesichert halten, so wird man die Elemente aus dem verbesserten Werthe von M mit Zugrundelegung des oben gefundenen Werthes von a direct berechnen und dann einen viel besseren Anschluss an die Resultate der Differentialquotienten erhalten. Der Grund dieser Bemerkung ist nach den früher gegebenen Erklärungen pag. 483 leicht ersichtlich; in dem hier gewählten Beispiele hätte man also anzunehmen:

$$\begin{aligned}
 \log M &= 0.2262773 + 0.0003000 \lambda x = 0.2264931 \text{ .} \\
 a &= 485.437 \text{ ;}
 \end{aligned}$$

doch führen diese Zahlen in dem vorliegenden Falle innerhalb der Unsicherheit der logarithmischen Rechnung aus leicht begreiflichen Gründen auf die oben durch Interpolation erhaltenen Elemente.

§ 5. Variation der Distanzen mit Benützung der Variation des Verhältnisses der Distanzen.

Man kann das durch die Variation des Verhältnissen der Distanzen M erhaltene Resultat noch in anderer Weise zur Ermittlung des wahrscheinlichsten Kegelschnittes verwerthen, und zwar bietet das hier vorgeschlagene Verfahren in jenen Fällen besondere Vortheile, wo durch die Variation von M die beiden geocentrischen Distanzen beeinflusst werden; jene Fälle, in denen bei der Variation von M die eine geocentrische Distanz fast unverändert bleibt, würde sich für die Anwendung dieses Verfahrens nicht eignen; man wird dies leicht durch die vorhandenen Rechnungen entscheiden können.

Es wurde oben (pag. 493) gefunden für die

	erste Parabel	zweite Parabel
$\log \varrho$	0.022 4472	0.022 2311
$\log \varrho'$	0.248 7245	0.248 8084 ;

es ändern sich also die beiden geocentrischen Distanzen in genügender Weise. Rechnet man nun ein Elementensystem, indem man den Werth von ϱ aus der zweiten, den Werth von ϱ' aus der ersten parabolischen Bahn nimmt, so hat diese Bahn als Grundlage die Werthe:

$$\begin{aligned}\log \varrho &= 0.022\ 2311 \\ \log \varrho' &= 0.248\ 7245 .\end{aligned}$$

Betrachtet man die auf diesem Werthe beruhenden Elemente als Ausgangselemente, so hat man das vorliegende Problem auf die Methode der Variation der Distanzen reducirt, die in § 3 pag. 480 u. ff.) ausführlich behandelt wurde. Das aus diesen letzteren Distanzen abgeleitete System ist also als das System I, die erste Parabel als System II, die zweite Parabel als System III zu betrachten und es ist weiter mit Beibehaltung der dort gewählten Bezeichnung pag. 481, 482):

$$\begin{aligned}\delta x &= + 0.000\ 2161 \\ \delta y &= + 0.000\ 0839 .\end{aligned}$$

Da hiermit Alles auf eine bereits bekannte Methode zurückgeführt erscheint, so ist weiter für die Durchführung des Beispieles nichts zu bemerken und ich will hier nur beifügen, dass die Vortheile dieser Methode gegen die in § 4 pag. 498 ff.) auseinandergesetzte nicht unerheblich sind. Man hat nämlich vorerst nicht nöthig, die heliocentrischen Orte von Neuem aus den geocentrischen Distanzen abzuleiten, da die heliocentrischen Orte unverändert den früheren Rechnungen entlehnt werden können; ausserdem hat man nicht nöthig, die Lambert'sche Gleichung durch Versuche, bei denen r , r' und s variabel sind, zu lösen, sondern man gelangt durch die in den meisten Fällen völlig ausreichende Formel 26 (pag. 471) direct zur Kenntniss des Werthes von a , woraus die übrigen Elemente mit Hilfe der oben

gegebenen Vorschriften leicht gefunden werden können. Sollte die versuchsweise Lösung dennoch nothwendig sein, was wohl kaum je der Fall sein wird, so wird die Unveränderlichkeit der Werthe r , r' und s diese Rechnungen wesentlich abkürzen. Ich will nun das Beispiel des Kometen I 1817 nach dieser Methode durchführen.

Nach pag. 195 finden sich die heliocentrischen Orte, und zwar der erste Ort nach der zweiten Hypothese über M , der zweite nach der ersten Hypothese mit den Annahmen:

$$\log \varrho = 0.022\ 2311 \qquad \log \varrho' = 0.248\ 7245$$

für die geocentrischen Entfernungen wie folgt:

$$\begin{array}{ll} \log r = 0.097\ 6836 & \log r' = 9.950\ 3541 \\ l = 120^{\circ}6'38''47 & l' = 59^{\circ}2'2''48 \\ \text{tang } b = 0.050\ 7892 & \text{tang } b' = 9.838\ 2382, \end{array}$$

welche Angaben also der früheren Rechnung unverändert entlehnt sind.

Es sind nach Formel I₁ und II pag. 172:

$$\begin{array}{ll} \Omega = 21^{\circ}42'16''20 & \alpha = 95^{\circ}34'34''14 \\ i = 48^{\circ}38'59''27 & \alpha' = 49^{\circ}5'49''81 \\ \frac{1}{2} \alpha' - \alpha = f = 156^{\circ}45'37''835. \end{array}$$

und die Controlrechnung nach IIIa pag. 173 ergab in guter Uebereinstimmung:

$$f = 156^{\circ}45'37''83.$$

Bestimmt man die Sehne s nach der Formel:

$$s^2 = r^2 + r'^2 - rr' \cos 2f,$$

so erhält man:

$$\log s = 9.958\ 3262.$$

Mit Benützung der Formeln 24 und 25 pag. 171 findet man weiter:

$$\begin{array}{l} \log \alpha = 7.04276 \\ \log \beta = 9.58644; \end{array}$$

die Berechnung von γ erscheint bereits unnöthig; aus den letzteren Werthen erhält man endlich:

$$\frac{1}{a} = + 0.001\ 1020,9 \text{ also } \log a = 2.957\ 4284,$$

wobei es in der Natur der Sache gelegen ist, dass a selbst numerisch nicht genau zu bestimmen ist; für die Darstellung der Beobachtungen aber ist diese Unsicherheit unschädlich. Die Controlrechnung mittelst der Lambert'schen Gleichung nach 17 pag. 408 ergab eine vollständige Bestätigung für die Richtigkeit der Bestimmung von a .

Weiter wurde ermittelt nach IVb pag. 179 und Vb pag. 177):

$$\begin{array}{l} \log z = 0.310\ 0819 \\ \log p = 8.930\ 2156 \end{array}$$

dann nach VIb) (pag. 478) :

$$\begin{array}{ll} F = - 1^{\circ}59'40''52 & v = - 158^{\circ}45'18''35 \\ \log e = 9.999\ 9795 & v' = 154^{\circ}45'57''31 \\ \log (1-e) = 5.671\ 7674 & \omega = 254^{\circ}19'52''50 \\ \log q = 8.629\ 1958 & \alpha = 276^{\circ}2'8''70 ; \end{array}$$

endlich fand sich nach VIIb) (pag. 479) die Perihelzeit

$$\begin{array}{l} \text{aus: } v, \quad T = \text{März } 30.31734 \\ \quad \quad v', \quad T = \text{März } 30.31740 \\ \text{also im Mittel: } T = \text{März } 30.317370, \end{array}$$

womit die Rechnung der Elemente, die nach den obigen Vorschriften als Ausgangselemente zu betrachten sind, erledigt ist. Um alles übersichtlich beisammen zu haben, stelle ich die Elemente, die sich aus den voranstehenden und den oben für die beiden Parabeln (pag. 495 ff.) gefundenen Zahlen ergeben, neben einander :

	I	II	III
T	30.317370	30.322715	30.308665
$\log q$	8.6291958	8.6287758	8.6291866
$\frac{1}{a}$	0.0011029.9	0	0
α	276° 2' 8''70	276° 2' 8''45	276° 1'48''03
ω	21°42'16''20	21°43'23''19	21°42'28''94
i	48°38'59''27	48°39'42''85	48°38'58''33

Die diesen Elementen für die Zeiten der Normalorte entsprechenden geocentrischen Coordinaten, mit Weglassung der äusseren Orte, die als Grundlagen der Rechnung durch alle drei Systeme völlig dargestellt werden, sind :

	I	II	III
A_2	22°48'59''67	22°49' 6''82	22°48'44''68
A_3	20 59 2.84	20 59 14.40	20 58 38.95
A_4	19 20 5.24	19 20 22.25	19 19 33.25
A_5	17 26 51.85	17 27 16.39	17 26 11.65
A_6	15 47 16.86	15 47 48.13	15 46 30.24
B_2	+ 54 29 29.42	+ 54 29 41.57	+ 54 29 23.06
B_3	+ 47 35 46.05	+ 47 36 8.49	+ 47 35 32.39
B_4	+ 39 52 58.78	+ 39 53 32.85	+ 39 52 35.23
B_5	+ 30 58 14.61	+ 30 59 2.31	+ 30 57 37.80
B_6	+ 24 1 25.21	+ 24 2 23.20	+ 24 0 36.72

Mit Rücksicht auf die im § 3 (pag. 480 ff.) aneinandergesetzten Vorschriften stellen sich die Bedingungsgleichungen zur Ermittlung der Correctionen der Logarithmen der geocentrischen Distanzen in folgender Weise:

Für die Längen :

$$\begin{aligned} + 8''58 &= + 7''15 \mathcal{A}x - 11''99 \mathcal{A}y \\ + 20.91 &= + 11.56 \mathcal{A}x - 23.89 \mathcal{A}y \\ + 17.01 &= + 17.01 \mathcal{A}x - 31.99 \mathcal{A}y \\ + 18.69 &= + 21.51 \mathcal{A}x - 40.20 \mathcal{A}y \\ + 21.20 &= + 31.27 \mathcal{A}x - 46.62 \mathcal{A}y \end{aligned}$$

Für die Breiten :

$$\begin{aligned} + 1''65 &= + 12''15 \mathcal{A}x - 6''36 \mathcal{A}y \\ + 7.37 &= + 22.44 \mathcal{A}x - 13.66 \mathcal{A}y \\ + 8.94 &= + 34.07 \mathcal{A}x - 23.55 \mathcal{A}y \\ + 11.99 &= + 47.70 \mathcal{A}x - 36.81 \mathcal{A}y \\ + 13.03 &= + 57.99 \mathcal{A}x - 48.49 \mathcal{A}y \end{aligned}$$

Die Bedingungsgleichungen für die Längen sind mit dem Cosinus der Breite, und ausserdem wären alle Gleichungen noch mit den Quadratwurzeln ihrer zugehörigen Gewichte durchzumultipliciren; letzteres entfiel hier, da alle Normalgleichungen gleiches Gewicht erhielten. Führt man, um diese Gleichungen homogen zu machen (vergl. pag. 318), die Relationen ein:

$$\text{Logarithmus der Fehlereinheit} = 1.2869$$

$$\log x = \log \mathcal{A}x + 1.7633$$

$$\log y = \log \mathcal{A}y + 1.6856 ,$$

so sind nun die neuen, logarithmisch angesetzten Bedingungsgleichungen:

$$\begin{aligned} 9.4107 &= 8.8551 x + 9.2543 y \\ 9.8623 &= 9.1286 x + 9.5215 y \\ 9.8295 &= 9.3524 x + 9.7044 y \\ 9.9179 &= 9.5508 x + 9.8518 y \\ 0.0000 &= 9.6924 x + 9.9436 y \\ 8.9306 &= 9.3213 x + 9.1179 y \\ 9.5806 &= 9.5877 x + 9.4498 y \\ 9.6644 &= 9.7691 x + 9.6864 y \\ 9.7919 &= 9.9152 x + 9.8803 y \\ 9.8280 &= 0.0000 x + 0.0000 y , \end{aligned}$$

die sich in die folgenden Normalgleichungen vereinigen:

$$\begin{aligned} + 2.6639 x + 2.9081 y &= + 2.6801 \\ + 2.9084 x + 3.5843 y &= + 3.5825 . \end{aligned}$$

Die Auflösung gibt:

$$\log x = 9.8731 \quad \log y = 0.2056 .$$

und mit Rücksicht auf die Homogenitätsfactoren folgt hieraus:

$$\log \mathcal{A}x = 9.3967 \quad \log \mathcal{A}y = 9.8069 .$$

Wollte man nun die Distanzen bestimmen, die man der Ermittlung der neuen Elemente zu Grunde zu legen hätte, so wäre zu beachten, dass die Werthe von Δx und Δy in Einheiten der gewählten Aenderungen zu verstehen sind; letztere wurden oben in Einheiten der siebenten Decimale beziehungsweise ± 2161 und ± 830 gefunden; die Correctionen für die Distanzen würden also sein:

$$\text{für } \log q = 539$$

$$\text{für } \log q' = 538;$$

doch wird es in dem vorliegenden Falle nicht nöthig sein, die Berechnung der neuen Elemente aus den Distanzen durchzuführen, sondern es wird, da die Aenderungen der Elemente hinreichend klein sind, die Interpolation zwischen den Elementen zu demselben Resultate führen.

Ermittelt man vorerst die übrig bleibenden Fehler, indem man die obigen Werthe von Δx und Δy in die ursprünglichen Bedingungsgleichungen einsetzt, so erhält man die folgende Darstellung der Orte:

	$\cos \beta \Delta \lambda$	$\Delta \beta$
1.	0''0	0.0
2.	+0.4	+0.6
3.	+5.7	+1.2
4.	+0.6	+2.3
5.	-0.8	+0.3
6.	-0.8	-3.6
7.	0.0	0.0

welche mit jener nach der in § 4 entwickelten Methode (vergl. pag. 506) angeführten Darstellung der Orte so gut wie völlig stimmt.

Die Interpolation der Elemente (vergl. pag. 500) ergibt:

$$\text{Juli 1 1847}$$

$$T = \text{März } 30.321618 \text{ mittl. Berl. Zeit.}$$

$$\log q = 8.629 \ 3064$$

$$\log a = 2.080 \ 8752$$

$$\pi = 276^\circ \ 2' 22'' 01$$

$$\Omega = 21^\circ 41' 51'' 33$$

$$i = 48^\circ 38' 49'' 01$$

} mittl. Aeq. 1847.0

Wie man sieht, unterscheiden sich die Elemente um geringe Grössen von den auf pag. 506 angeführten. Der Unterschied in a ist aber beträchtlich, doch erklärt sich derselbe hinreichend durch die Unsicherheit der siebenstelligen Rechnung, da beide Systeme in nahezu völliger Uebereinstimmung die Beobachtungen darstellen. Hätte man die Elemente als Funktionen der Aenderungen des reciproken Werthes der grossen Achse dargestellt (vergl. die Andeutung pag. 505), so würde man in der That finden, dass die Einführung des Unterschiedes in a in den beiden Systemen eine völlige Uebereinstimmung herstellen würde.

Anhang.

Am Schlusse der folgenden Tafelsammlung habe ich eine mir von Herrn R. Schram freundlichst zur Verfügung gestellte Tafel als Tafel XIX aufgenommen. Dieselbe hat den Zweck, die Verwandlung grosser Zwischenzeiten in Tage zu erleichtern, indem sie die vorgelegten Daten unmittelbar in Tage der julianischen Periode umzusetzen gestattet, ohne dass man nöthig hätte, sich um die Art des Jahres (ob Schaltjahr oder nicht) zu bekümmern, und dürfte insofern einen Vortheil gegenüber den ähnlichen in der Connaissance und im englischen Nautical-Almanac enthaltenen Tafeln bieten. Die Tafel gibt auf der rechten Seite die Zahl der seit dem Beginne der julianischen Periode verflossenen Tage für den Anfang eines jeden Jahrhunderts sowohl für den julianischen als für den gregorianischen Kalender, und auf der linken Seite die Zahl der seit dem Anfange des Jahrhunderts bis zum Anfange des gegebenen Monats verflossenen Tage; die Summe dieser zwei Zahlen, mehr dem Monatsdatum gibt die verlangte Tageszahl der julianischen Periode; negative Jahreszahlen sind im Sinne der astronomischen Zählweise (Astr.: — Hist.: = + 1) verstanden. Es ist noch eine Hilfstafel beigelegt, um Stunden, Minuten und Sekunden in Tagesbruchtheile streng zu verwandeln. Weiter ist zu bemerken, dass in der Tafel für die einzelnen Jahre die Anordnung entsprechend jener der Logarithmentafeln so getroffen ist, dass der erste Theil der Zahl abgetrennt und durch einen Strich über der ersten Ziffer des zweiten Theiles angezeigt ist, wann der Uebergang auf die nächsthöheren Anfangsziffern stattfindet; für jene Jahrhunderte, welche bei der gregorianischen Zeitrechnung in Klammern gesetzt sind, ist für das nullte Jahr des betreffenden Säculums die erste ober dem Striche stehende Zeile auf der linken Seite zu benützen. Es soll nun die Anwendung der Tafel durch ein Beispiel erläutert werden; man hätte die Zwischenzeit zwischen — 399 Juni 21, 6^h 9^m 21^s 60 julianisch und 1850 Januar 0, 0^h 0^m 0^s gregorianisch zu bestimmen. Die Rechnung stellt sich wie folgt, wenn man beachtet, dass — 399 = — 400 + 1:

Jahrhundert	— 400 . . .	1574957	1800	2378495
Jahr 1 und Monat Juni	. . .	517	50 Januar . . .	18263
Monatstag 21	. . .	21	0	0
6 ^h 0 ^m 0 ^s . . .		0.25	<hr/>	
9 ^m 21 ^s 60 . . .		65	1850 Jan. 0, 0 ^h 0 ^m 0 ^s 00 =	2396758.00
<hr/>				
— 399 Juni 21, 6 ^h 9 ^m 21 ^s 60 =		1575495.2565		

also die Zwischenzeit 821262.7435. Hansen rechnet die Zwischenzeit in dem Supplemente zu seinen Sonnentafeln und findet sie gleich 2248 julianischen Jahren 180.7435 Tagen, was mit dieser Bestimmung identisch ist. Einige der Tafel angehängte Bemerkungen bedürfen kaum einer Erläuterung; so fände man z. B. dass der 21. Juni — 399 ein Samstag und der 0. Januar 1850 ein Montag war, da die erste Tageszahl (1575495) durch 7 dividirt den Rest 5, die zweite (2396758) den Rest 0 gibt. Bezüglich der das Berliner Jahrbuch betreffenden Bemerkung ist es klar, dass für die erstere schon die drei letzten, für die folgende aber schon die zwei letzten Ziffern der Zahl genügen, die Entscheidung zu bringen.

TAFELN.

Tafel I.

 $\log \{N_1^3(n)\}$

vergl. pag. 18.

$\pm n$	N	$-J$	$\pm n$	N	$-J$	$\pm n$	N	$-J$	$\pm n$	N	$-J$	$\pm n$	N	$-J$
0.000	9 _n 221 849	2	0.050	9 _n 218 579	132	0.100	9 _n 208 620	270	0.150	9 _n 191 497	420	0.200	9 _n 166 331	594
0.001	9 _n 221 847	4	0.051	9 _n 218 447	136	0.101	9 _n 208 350	273	0.151	9 _n 191 077	424	0.201	9 _n 165 737	598
0.002	9 _n 221 843	6	0.052	9 _n 218 311	138	0.102	9 _n 208 077	275	0.152	9 _n 190 653	427	0.202	9 _n 165 139	601
0.003	9 _n 221 837	9	0.053	9 _n 218 173	140	0.103	9 _n 207 802	279	0.153	9 _n 190 226	431	0.203	9 _n 164 538	606
0.004	9 _n 221 828	12	0.054	9 _n 218 033	144	0.104	9 _n 207 523	282	0.154	9 _n 189 795	433	0.204	9 _n 163 932	609
0.005	9 _n 221 816	14	0.055	9 _n 217 889	146	0.105	9 _n 207 241	284	0.155	9 _n 189 362	437	0.205	9 _n 163 323	613
0.006	9 _n 221 802	17	0.056	9 _n 217 743	148	0.106	9 _n 206 957	287	0.156	9 _n 188 925	441	0.206	9 _n 162 710	617
0.007	9 _n 221 785	20	0.057	9 _n 217 595	151	0.107	9 _n 206 670	290	0.157	9 _n 188 484	443	0.207	9 _n 162 093	621
0.008	9 _n 221 765	22	0.058	9 _n 217 444	154	0.108	9 _n 206 380	293	0.158	9 _n 188 041	447	0.208	9 _n 161 472	625
0.009	9 _n 221 743	25	0.059	9 _n 217 290	157	0.109	9 _n 206 087	296	0.159	9 _n 187 594	450	0.209	9 _n 160 847	629
0.010	9 _n 221 718	27	0.060	9 _n 217 133	160	0.110	9 _n 205 791	299	0.160	9 _n 187 144	453	0.210	9 _n 160 218	632
0.011	9 _n 221 691	30	0.061	9 _n 216 973	162	0.111	9 _n 205 492	302	0.161	9 _n 186 691	456	0.211	9 _n 159 586	637
0.012	9 _n 221 661	33	0.062	9 _n 216 811	164	0.112	9 _n 205 190	305	0.162	9 _n 186 235	460	0.212	9 _n 158 949	640
0.013	9 _n 221 628	35	0.063	9 _n 216 647	168	0.113	9 _n 204 885	307	0.163	9 _n 185 775	463	0.213	9 _n 158 309	645
0.014	9 _n 221 593	38	0.064	9 _n 216 479	170	0.114	9 _n 204 578	311	0.164	9 _n 185 312	467	0.214	9 _n 157 664	648
0.015	9 _n 221 555	40	0.065	9 _n 216 309	173	0.115	9 _n 204 267	314	0.165	9 _n 184 845	470	0.215	9 _n 157 016	653
0.016	9 _n 221 515	43	0.066	9 _n 216 136	176	0.116	9 _n 203 953	316	0.166	9 _n 184 375	473	0.216	9 _n 156 363	656
0.017	9 _n 221 472	46	0.067	9 _n 215 960	178	0.117	9 _n 203 637	319	0.167	9 _n 183 902	477	0.217	9 _n 155 707	661
0.018	9 _n 221 426	48	0.068	9 _n 215 782	181	0.118	9 _n 203 318	323	0.168	9 _n 183 425	480	0.218	9 _n 155 046	664
0.019	9 _n 221 378	51	0.069	9 _n 215 601	184	0.119	9 _n 202 995	325	0.169	9 _n 182 945	483	0.219	9 _n 154 382	669
0.020	9 _n 221 327	53	0.070	9 _n 215 417	186	0.120	9 _n 202 670	328	0.170	9 _n 182 462	487	0.220	9 _n 153 713	673
0.021	9 _n 221 274	56	0.071	9 _n 215 231	189	0.121	9 _n 202 342	332	0.171	9 _n 181 975	490	0.221	9 _n 153 040	676
0.022	9 _n 221 218	59	0.072	9 _n 215 042	192	0.122	9 _n 202 010	334	0.172	9 _n 181 485	493	0.222	9 _n 152 364	681
0.023	9 _n 221 159	61	0.073	9 _n 214 850	195	0.123	9 _n 201 676	337	0.173	9 _n 180 992	497	0.223	9 _n 151 683	685
0.024	9 _n 221 098	64	0.074	9 _n 214 655	198	0.124	9 _n 201 339	340	0.174	9 _n 180 495	501	0.224	9 _n 150 998	689
0.025	9 _n 221 034	67	0.075	9 _n 214 457	200	0.125	9 _n 200 999	344	0.175	9 _n 179 994	504	0.225	9 _n 150 309	694
0.026	9 _n 220 967	69	0.076	9 _n 214 257	203	0.126	9 _n 200 655	346	0.176	9 _n 179 490	507	0.226	9 _n 149 615	697
0.027	9 _n 220 898	72	0.077	9 _n 214 054	205	0.127	9 _n 200 309	349	0.177	9 _n 178 983	511	0.227	9 _n 148 918	702
0.028	9 _n 220 826	74	0.078	9 _n 213 849	209	0.128	9 _n 199 960	353	0.178	9 _n 178 472	514	0.228	9 _n 148 216	706
0.029	9 _n 220 752	77	0.079	9 _n 213 640	211	0.129	9 _n 199 607	355	0.179	9 _n 177 958	518	0.229	9 _n 147 510	710
0.030	9 _n 220 675	80	0.080	9 _n 213 429	214	0.130	9 _n 199 252	358	0.180	9 _n 177 440	521	0.230	9 _n 146 800	715
0.031	9 _n 220 595	82	0.081	9 _n 213 215	216	0.131	9 _n 198 894	362	0.181	9 _n 176 919	525	0.231	9 _n 146 085	719
0.032	9 _n 220 513	85	0.082	9 _n 212 999	220	0.132	9 _n 198 532	364	0.182	9 _n 176 394	528	0.232	9 _n 145 366	723
0.033	9 _n 220 428	88	0.083	9 _n 212 779	222	0.133	9 _n 198 168	368	0.183	9 _n 175 866	532	0.233	9 _n 144 643	727
0.034	9 _n 220 340	90	0.084	9 _n 212 557	225	0.134	9 _n 197 800	370	0.184	9 _n 175 334	536	0.234	9 _n 143 916	732
0.035	9 _n 220 250	93	0.085	9 _n 212 332	228	0.135	9 _n 197 430	374	0.185	9 _n 174 798	539	0.235	9 _n 143 184	736
0.036	9 _n 220 157	96	0.086	9 _n 212 104	231	0.136	9 _n 197 056	377	0.186	9 _n 174 259	542	0.236	9 _n 142 448	741
0.037	9 _n 220 061	98	0.087	9 _n 211 873	233	0.137	9 _n 196 679	379	0.187	9 _n 173 717	546	0.237	9 _n 141 707	745
0.038	9 _n 219 963	101	0.088	9 _n 211 640	236	0.138	9 _n 196 300	383	0.188	9 _n 173 171	550	0.238	9 _n 140 962	749
0.039	9 _n 219 862	103	0.089	9 _n 211 404	239	0.139	9 _n 195 917	386	0.189	9 _n 172 621	554	0.239	9 _n 140 213	754
0.040	9 _n 219 759	106	0.090	9 _n 211 165	242	0.140	9 _n 195 531	390	0.190	9 _n 172 067	557	0.240	9 _n 139 459	758
0.041	9 _n 219 653	109	0.091	9 _n 210 923	244	0.141	9 _n 195 141	392	0.191	9 _n 171 510	560	0.241	9 _n 138 701	763
0.042	9 _n 219 544	111	0.092	9 _n 210 679	248	0.142	9 _n 194 749	395	0.192	9 _n 170 950	565	0.242	9 _n 137 938	767
0.043	9 _n 219 433	114	0.093	9 _n 210 431	250	0.143	9 _n 194 354	399	0.193	9 _n 170 385	568	0.243	9 _n 137 171	772
0.044	9 _n 219 319	117	0.094	9 _n 210 181	253	0.144	9 _n 193 955	402	0.194	9 _n 169 817	571	0.244	9 _n 136 399	776
0.045	9 _n 219 202	119	0.095	9 _n 209 928	256	0.145	9 _n 193 553	405	0.195	9 _n 169 246	576	0.245	9 _n 135 623	781
0.046	9 _n 219 083	122	0.096	9 _n 209 672	259	0.146	9 _n 193 148	408	0.196	9 _n 168 670	579	0.246	9 _n 134 842	786
0.047	9 _n 218 961	125	0.097	9 _n 209 413	261	0.147	9 _n 192 740	411	0.197	9 _n 168 091	583	0.247	9 _n 134 056	790
0.048	9 _n 218 836	127	0.098	9 _n 209 152	264	0.148	9 _n 192 329	414	0.198	9 _n 167 508	586	0.248	9 _n 133 266	795
0.049	9 _n 218 709	130	0.099	9 _n 208 888	268	0.149	9 _n 191 915	418	0.199	9 _n 166 922	591	0.249	9 _n 132 471	799
0.050	9 _n 218 579		0.100	9 _n 208 620		0.150	9 _n 191 497		0.200	9 _n 166 331		0.250	9 _n 131 672	

Tafel I.

$$\log \{N_1^{-1} \mu\}.$$

$\pm n$	N	$-J$	$\pm n$	N	$-J$	$\pm n$	N	$-J$	$\pm n$	N	$-J$	$\pm n$	N	$-J$					
0.000	8 _n 920	819	1	0.050	8 _n 918	642	88	0.100	8 _n 912	045	178	0.150	8 _n 900	822	274	0.200	8 _n 884	607	379
0.001	8 _n 920	818	3	0.051	8 _n 918	554	90	0.101	8 _n 911	867	180	0.151	8 _n 900	548	276	0.201	8 _n 884	228	381
0.002	8 _n 920	815	4	0.052	8 _n 918	464	92	0.102	8 _n 911	687	182	0.152	8 _n 900	272	277	0.202	8 _n 883	847	383
0.003	8 _n 920	811	6	0.053	8 _n 918	372	93	0.103	8 _n 911	505	184	0.153	8 _n 899	995	280	0.203	8 _n 883	464	386
0.004	8 _n 920	805	8	0.054	8 _n 918	279	96	0.104	8 _n 911	321	186	0.154	8 _n 899	715	282	0.204	8 _n 883	078	387
0.005	8 _n 920	797	10	0.055	8 _n 918	183	97	0.105	8 _n 911	135	187	0.155	8 _n 899	433	284	0.205	8 _n 882	691	390
0.006	8 _n 920	787	11	0.056	8 _n 918	86	98	0.106	8 _n 910	948	189	0.156	8 _n 899	149	286	0.206	8 _n 882	301	392
0.007	8 _n 920	776	13	0.057	8 _n 917	988	101	0.107	8 _n 910	759	191	0.157	8 _n 898	863	288	0.207	8 _n 881	909	395
0.008	8 _n 920	763	15	0.058	8 _n 917	887	102	0.108	8 _n 910	568	193	0.158	8 _n 898	575	290	0.208	8 _n 881	514	397
0.009	8 _n 920	748	16	0.059	8 _n 917	785	104	0.109	8 _n 910	375	195	0.159	8 _n 898	285	292	0.209	8 _n 881	117	399
0.010	8 _n 920	732	18	0.060	8 _n 917	681	106	0.110	8 _n 910	180	197	0.160	8 _n 897	993	294	0.210	8 _n 880	718	401
0.011	8 _n 920	714	20	0.061	8 _n 917	575	108	0.111	8 _n 909	983	199	0.161	8 _n 897	699	296	0.211	8 _n 880	317	403
0.012	8 _n 920	694	22	0.062	8 _n 917	467	109	0.112	8 _n 909	784	200	0.162	8 _n 897	403	298	0.212	8 _n 879	914	406
0.013	8 _n 920	672	24	0.063	8 _n 917	358	112	0.113	8 _n 909	584	203	0.163	8 _n 897	105	300	0.213	8 _n 879	508	408
0.014	8 _n 920	648	25	0.064	8 _n 917	246	113	0.114	8 _n 909	381	204	0.164	8 _n 896	805	302	0.214	8 _n 879	100	411
0.015	8 _n 920	623	27	0.065	8 _n 917	133	114	0.115	8 _n 909	177	206	0.165	8 _n 896	503	304	0.215	8 _n 878	689	412
0.016	8 _n 920	596	28	0.066	8 _n 917	019	117	0.116	8 _n 908	971	208	0.166	8 _n 896	199	306	0.216	8 _n 878	277	415
0.017	8 _n 920	568	31	0.067	8 _n 916	902	118	0.117	8 _n 908	763	210	0.167	8 _n 895	893	308	0.217	8 _n 877	862	418
0.018	8 _n 920	537	32	0.068	8 _n 916	784	120	0.118	8 _n 908	553	212	0.168	8 _n 895	585	311	0.218	8 _n 877	444	419
0.019	8 _n 920	505	34	0.069	8 _n 916	664	122	0.119	8 _n 908	341	214	0.169	8 _n 895	274	312	0.219	8 _n 877	025	422
0.020	8 _n 920	471	35	0.070	8 _n 916	542	124	0.120	8 _n 908	127	215	0.170	8 _n 894	962	315	0.220	8 _n 876	603	425
0.021	8 _n 920	436	38	0.071	8 _n 916	418	126	0.121	8 _n 907	912	218	0.171	8 _n 894	647	316	0.221	8 _n 876	178	426
0.022	8 _n 920	398	39	0.072	8 _n 916	292	127	0.122	8 _n 907	694	219	0.172	8 _n 894	331	319	0.222	8 _n 875	752	429
0.023	8 _n 920	359	41	0.073	8 _n 916	165	129	0.123	8 _n 907	475	221	0.173	8 _n 894	012	320	0.223	8 _n 875	323	432
0.024	8 _n 920	318	42	0.074	8 _n 916	036	131	0.124	8 _n 907	254	224	0.174	8 _n 893	692	323	0.224	8 _n 874	891	433
0.025	8 _n 920	276	45	0.075	8 _n 915	905	132	0.125	8 _n 907	030	225	0.175	8 _n 893	369	325	0.225	8 _n 874	458	436
0.026	8 _n 920	231	46	0.076	8 _n 915	773	135	0.126	8 _n 906	805	227	0.176	8 _n 893	044	327	0.226	8 _n 874	022	439
0.027	8 _n 920	185	48	0.077	8 _n 915	638	136	0.127	8 _n 906	578	229	0.177	8 _n 892	717	329	0.227	8 _n 873	583	441
0.028	8 _n 920	137	49	0.078	8 _n 915	502	138	0.128	8 _n 906	349	230	0.178	8 _n 892	388	331	0.228	8 _n 873	142	443
0.029	8 _n 920	088	52	0.079	8 _n 915	364	140	0.129	8 _n 906	119	233	0.179	8 _n 892	057	334	0.229	8 _n 872	699	446
0.030	8 _n 920	036	53	0.080	8 _n 915	224	142	0.130	8 _n 905	886	235	0.180	8 _n 891	723	335	0.230	8 _n 872	253	448
0.031	8 _n 919	983	55	0.081	8 _n 915	082	143	0.131	8 _n 905	651	237	0.181	8 _n 891	388	338	0.231	8 _n 871	805	450
0.032	8 _n 919	928	56	0.082	8 _n 914	939	146	0.132	8 _n 905	414	238	0.182	8 _n 891	050	339	0.232	8 _n 871	355	453
0.033	8 _n 919	872	58	0.083	8 _n 914	793	147	0.133	8 _n 905	176	241	0.183	8 _n 890	711	342	0.233	8 _n 870	902	455
0.034	8 _n 919	814	60	0.084	8 _n 914	646	149	0.134	8 _n 904	935	242	0.184	8 _n 890	369	344	0.234	8 _n 870	447	458
0.035	8 _n 919	754	62	0.085	8 _n 914	497	150	0.135	8 _n 904	693	244	0.185	8 _n 890	025	346	0.235	8 _n 869	989	460
0.036	8 _n 919	692	64	0.086	8 _n 914	347	153	0.136	8 _n 904	449	247	0.186	8 _n 889	679	348	0.236	8 _n 869	529	463
0.037	8 _n 919	628	65	0.087	8 _n 914	194	154	0.137	8 _n 904	202	248	0.187	8 _n 889	331	351	0.237	8 _n 869	066	465
0.038	8 _n 919	563	67	0.088	8 _n 914	040	156	0.138	8 _n 903	954	250	0.188	8 _n 888	980	352	0.238	8 _n 868	601	467
0.039	8 _n 919	496	69	0.089	8 _n 913	884	158	0.139	8 _n 903	704	252	0.189	8 _n 888	628	355	0.239	8 _n 868	154	470
0.040	8 _n 919	427	71	0.090	8 _n 913	726	160	0.140	8 _n 903	452	254	0.190	8 _n 888	273	357	0.240	8 _n 867	664	473
0.041	8 _n 919	356	72	0.091	8 _n 913	566	162	0.141	8 _n 903	198	256	0.191	8 _n 887	916	359	0.241	8 _n 867	191	475
0.042	8 _n 919	284	74	0.092	8 _n 913	404	163	0.142	8 _n 902	942	258	0.192	8 _n 887	557	361	0.242	8 _n 866	716	477
0.043	8 _n 919	210	76	0.093	8 _n 913	241	166	0.143	8 _n 902	684	260	0.193	8 _n 887	196	363	0.243	8 _n 866	239	480
0.044	8 _n 919	134	78	0.094	8 _n 913	075	167	0.144	8 _n 902	424	262	0.194	8 _n 886	833	366	0.244	8 _n 865	759	482
0.045	8 _n 919	056	80	0.095	8 _n 912	908	169	0.145	8 _n 902	162	264	0.195	8 _n 886	467	368	0.245	8 _n 865	277	485
0.046	8 _n 918	977	81	0.096	8 _n 912	750	171	0.146	8 _n 901	898	266	0.196	8 _n 886	100	370	0.246	8 _n 864	792	488
0.047	8 _n 918	896	83	0.097	8 _n 912	568	172	0.147	8 _n 901	632	268	0.197	8 _n 885	730	373	0.247	8 _n 864	304	490
0.048	8 _n 918	813	85	0.098	8 _n 912	366	175	0.148	8 _n 901	364	270	0.198	8 _n 885	357	374	0.248	8 _n 863	814	492
0.049	8 _n 918	728	86	0.099	8 _n 912	221	176	0.149	8 _n 901	094	272	0.199	8 _n 884	983	376	0.249	8 _n 863	322	495
0.050	8 _n 918	642		0.100	8 _n 912	045		0.150	8 _n 900	822		0.200	8 _n 884	607		0.250	8 _n 862	827	495

Tafel I.

 $\log \{N_1^5 n\}$.

$\pm n$	N	$-J$	$\pm n$	N	$-J$	$\pm n$	N	$-J$	$\pm n$	N	$-J$	$\pm n$	N	$-J$
0.000	8.522 879	2	0.050	8.518 791	165	0.100	8.506 336	338	0.150	8.484 896	527	0.200	8.453 318	746
0.001	8.522 877	5	0.051	8.518 626	169	0.101	8.505 998	342	0.151	8.484 369	531	0.201	8.452 572	752
0.002	8.522 872	8	0.052	8.518 457	173	0.102	8.505 656	345	0.152	8.483 838	535	0.202	8.451 820	756
0.003	8.522 864	11	0.053	8.518 284	176	0.103	8.505 311	348	0.153	8.483 303	540	0.203	8.451 064	761
0.004	8.522 853	15	0.054	8.518 108	179	0.104	8.504 963	352	0.154	8.482 763	543	0.204	8.450 303	766
0.005	8.522 838	18	0.055	8.517 929	182	0.105	8.504 611	356	0.155	8.482 220	548	0.205	8.449 537	771
0.006	8.522 820	21	0.056	8.517 747	186	0.106	8.504 255	360	0.156	8.481 672	552	0.206	8.448 766	776
0.007	8.522 799	24	0.057	8.517 561	190	0.107	8.503 895	363	0.157	8.481 120	555	0.207	8.447 990	780
0.008	8.522 775	28	0.058	8.517 371	192	0.108	8.503 532	367	0.158	8.480 565	560	0.208	8.447 210	786
0.009	8.522 747	31	0.059	8.517 179	196	0.109	8.503 165	370	0.159	8.480 005	564	0.209	8.446 424	791
0.010	8.522 716	34	0.060	8.516 983	199	0.110	8.502 795	374	0.160	8.479 441	569	0.210	8.445 633	795
0.011	8.522 682	38	0.061	8.516 784	203	0.111	8.502 421	378	0.161	8.478 872	572	0.211	8.444 838	801
0.012	8.522 644	41	0.062	8.516 581	206	0.112	8.502 043	381	0.162	8.478 300	577	0.212	8.444 037	806
0.013	8.522 603	44	0.063	8.516 375	209	0.113	8.501 662	385	0.163	8.477 723	580	0.213	8.443 231	811
0.014	8.522 559	47	0.064	8.516 166	213	0.114	8.501 277	389	0.164	8.477 143	585	0.214	8.442 420	815
0.015	8.522 512	50	0.065	8.515 953	217	0.115	8.500 888	392	0.165	8.476 558	590	0.215	8.441 605	821
0.016	8.522 462	54	0.066	8.515 736	219	0.116	8.500 496	396	0.166	8.475 968	593	0.216	8.440 784	826
0.017	8.522 408	57	0.067	8.515 517	223	0.117	8.500 100	400	0.167	8.475 375	598	0.217	8.439 958	832
0.018	8.522 351	60	0.068	8.515 294	227	0.118	8.499 700	404	0.168	8.474 777	602	0.218	8.439 126	836
0.019	8.522 291	64	0.069	8.515 067	229	0.119	8.499 296	407	0.169	8.474 175	606	0.219	8.438 290	842
0.020	8.522 227	67	0.070	8.514 838	234	0.120	8.498 889	411	0.170	8.473 569	610	0.220	8.437 448	846
0.021	8.522 160	70	0.071	8.514 604	236	0.121	8.498 478	415	0.171	8.472 959	615	0.221	8.436 602	852
0.022	8.522 090	73	0.072	8.514 368	240	0.122	8.498 063	418	0.172	8.472 344	619	0.222	8.435 750	858
0.023	8.522 017	77	0.073	8.514 128	244	0.123	8.497 645	422	0.173	8.471 725	624	0.223	8.434 892	862
0.024	8.521 940	80	0.074	8.513 884	247	0.124	8.497 223	426	0.174	8.471 101	627	0.224	8.434 030	868
0.025	8.521 860	83	0.075	8.513 637	250	0.125	8.496 797	430	0.175	8.470 474	633	0.225	8.433 162	874
0.026	8.521 777	87	0.076	8.513 387	254	0.126	8.496 367	434	0.176	8.469 841	636	0.226	8.432 288	878
0.027	8.521 690	90	0.077	8.513 133	257	0.127	8.495 933	437	0.177	8.469 205	641	0.227	8.431 410	884
0.028	8.521 600	93	0.078	8.512 876	261	0.128	8.495 496	441	0.178	8.468 564	645	0.228	8.430 526	890
0.029	8.521 507	96	0.079	8.512 615	264	0.129	8.495 055	445	0.179	8.467 919	650	0.229	8.429 636	895
0.030	8.521 411	99	0.080	8.512 351	267	0.130	8.494 610	449	0.180	8.467 269	654	0.230	8.428 741	900
0.031	8.521 312	103	0.081	8.512 084	271	0.131	8.494 161	452	0.181	8.466 615	659	0.231	8.427 841	906
0.032	8.521 209	107	0.082	8.511 813	275	0.132	8.493 709	457	0.182	8.465 956	663	0.232	8.426 935	912
0.033	8.521 102	109	0.083	8.511 538	278	0.133	8.493 252	460	0.183	8.465 293	668	0.233	8.426 023	917
0.034	8.520 993	113	0.084	8.511 260	281	0.134	8.492 792	464	0.184	8.464 625	672	0.234	8.425 106	922
0.035	8.520 880	116	0.085	8.510 979	285	0.135	8.492 328	468	0.185	8.463 953	677	0.235	8.424 184	928
0.036	8.520 764	119	0.086	8.510 694	288	0.136	8.491 860	472	0.186	8.463 276	681	0.236	8.423 256	934
0.037	8.520 645	123	0.087	8.510 406	292	0.137	8.491 388	476	0.187	8.462 595	686	0.237	8.422 322	940
0.038	8.520 522	126	0.088	8.510 114	296	0.138	8.490 912	479	0.188	8.461 909	690	0.238	8.421 382	945
0.039	8.520 396	129	0.089	8.509 818	299	0.139	8.490 433	484	0.189	8.461 219	695	0.239	8.420 437	951
0.040	8.520 267	133	0.090	8.509 519	302	0.140	8.489 949	487	0.190	8.460 524	700	0.240	8.419 486	956
0.041	8.520 134	136	0.091	8.509 217	306	0.141	8.489 462	492	0.191	8.459 824	704	0.241	8.418 530	963
0.042	8.519 998	139	0.092	8.508 911	310	0.142	8.488 970	495	0.192	8.459 120	708	0.242	8.417 567	968
0.043	8.519 859	143	0.093	8.508 601	313	0.143	8.488 475	499	0.193	8.458 412	714	0.243	8.416 599	974
0.044	8.519 716	145	0.094	8.508 288	316	0.144	8.487 976	504	0.194	8.457 698	718	0.244	8.415 625	980
0.045	8.519 571	148	0.095	8.507 972	320	0.145	8.487 472	507	0.195	8.456 980	723	0.245	8.414 645	986
0.046	8.519 421	150	0.096	8.507 652	324	0.146	8.486 965	511	0.196	8.456 257	727	0.246	8.413 659	992
0.047	8.519 269	152	0.097	8.507 328	327	0.147	8.486 454	515	0.197	8.455 530	733	0.247	8.412 667	998
0.048	8.519 113	156	0.098	8.507 001	331	0.148	8.485 939	519	0.198	8.454 797	737	0.248	8.411 669	1003
0.049	8.518 954	159	0.099	8.506 670	334	0.149	8.485 420	524	0.199	8.454 060	742	0.249	8.410 666	1010
0.050	8.518 791	163	0.100	8.506 336	338	0.150	8.484 896		0.200	8.453 318		0.250	8.409 656	

Tafel I.

$\log \{N_1^{6n}\}$

$\pm n$	N	$-J$	$\pm n$	N	$-J$	$\pm n$	N	$-J$	$\pm n$	N	$-J$	$\pm n$	N	$-J$
0.000	8.045 757	1	0.050	8.043 037	111	0.100	8.034 795	222	0.150	8.020 789	342	0.200	8.000 579	472
0.001	8.045 756	3	0.051	8.042 926	112	0.101	8.034 573	225	0.151	8.020 447	344	0.201	8.000 107	475
0.002	8.045 753	5	0.052	8.042 814	115	0.102	8.034 348	227	0.152	8.020 103	346	0.202	7.999 632	477
0.003	8.045 748	8	0.053	8.042 699	116	0.103	8.034 121	229	0.153	8.019 757	349	0.203	7.999 155	480
0.004	8.045 740	10	0.054	8.042 583	119	0.104	8.033 892	232	0.154	8.019 408	352	0.204	7.998 675	482
0.005	8.045 730	12	0.055	8.042 464	122	0.105	8.033 660	234	0.155	8.019 056	354	0.205	7.998 193	486
0.006	8.045 718	14	0.056	8.042 342	123	0.106	8.033 426	236	0.156	8.018 702	356	0.206	7.997 707	488
0.007	8.045 704	16	0.057	8.042 219	126	0.107	8.033 190	239	0.157	8.018 346	359	0.207	7.997 219	491
0.008	8.045 688	19	0.058	8.042 093	128	0.108	8.032 951	241	0.158	8.017 987	362	0.208	7.996 728	494
0.009	8.045 669	20	0.059	8.041 965	130	0.109	8.032 710	243	0.159	8.017 625	364	0.209	7.996 234	497
0.010	8.045 649	23	0.060	8.041 835	132	0.110	8.032 467	246	0.160	8.017 261	366	0.210	7.995 737	500
0.011	8.045 626	25	0.061	8.041 703	134	0.111	8.032 221	248	0.161	8.016 895	369	0.211	7.995 237	502
0.012	8.045 601	27	0.062	8.041 569	137	0.112	8.031 973	250	0.162	8.016 526	372	0.212	7.994 735	505
0.013	8.045 574	29	0.063	8.041 432	139	0.113	8.031 723	253	0.163	8.016 154	374	0.213	7.994 230	508
0.014	8.045 545	32	0.064	8.041 293	141	0.114	8.031 470	255	0.164	8.015 780	377	0.214	7.993 722	511
0.015	8.045 513	34	0.065	8.041 152	144	0.115	8.031 215	257	0.165	8.015 403	379	0.215	7.993 211	514
0.016	8.045 479	35	0.066	8.041 008	145	0.116	8.030 958	260	0.166	8.015 024	382	0.216	7.992 697	517
0.017	8.045 444	38	0.067	8.040 863	148	0.117	8.030 698	262	0.167	8.014 642	384	0.217	7.992 180	519
0.018	8.045 406	40	0.068	8.040 715	150	0.118	8.030 436	265	0.168	8.014 258	387	0.218	7.991 661	522
0.019	8.045 366	43	0.069	8.040 565	153	0.119	8.030 171	266	0.169	8.013 871	389	0.219	7.991 139	526
0.020	8.045 323	45	0.070	8.040 412	154	0.120	8.029 905	269	0.170	8.013 482	392	0.220	7.990 613	528
0.021	8.045 278	46	0.071	8.040 258	157	0.121	8.029 636	272	0.171	8.013 090	395	0.221	7.990 085	531
0.022	8.045 232	49	0.072	8.040 101	159	0.122	8.029 364	274	0.172	8.012 695	397	0.222	7.989 554	534
0.023	8.045 183	51	0.073	8.039 942	161	0.123	8.029 090	276	0.173	8.012 298	400	0.223	7.989 020	536
0.024	8.045 132	53	0.074	8.039 781	164	0.124	8.028 814	279	0.174	8.011 898	402	0.224	7.988 484	540
0.025	8.045 079	56	0.075	8.039 617	166	0.125	8.028 535	281	0.175	8.011 496	405	0.225	7.987 944	543
0.026	8.045 023	58	0.076	8.039 451	168	0.126	8.028 254	283	0.176	8.011 091	408	0.226	7.987 401	545
0.027	8.044 965	59	0.077	8.039 283	170	0.127	8.027 971	286	0.177	8.010 683	410	0.227	7.986 856	549
0.028	8.044 906	62	0.078	8.039 113	172	0.128	8.027 685	288	0.178	8.010 273	413	0.228	7.986 307	551
0.029	8.044 844	65	0.079	8.038 941	175	0.129	8.027 397	290	0.179	8.009 860	415	0.229	7.985 756	555
0.030	8.044 779	66	0.080	8.038 766	177	0.130	8.027 107	293	0.180	8.009 445	418	0.230	7.985 201	557
0.031	8.044 713	68	0.081	8.038 589	179	0.131	8.026 814	295	0.181	8.009 027	421	0.231	7.984 644	561
0.032	8.044 645	71	0.082	8.038 410	182	0.132	8.026 519	298	0.182	8.008 606	423	0.232	7.984 083	563
0.033	8.044 574	73	0.083	8.038 228	183	0.133	8.026 221	300	0.183	8.008 183	426	0.233	7.983 520	566
0.034	8.044 501	75	0.084	8.038 045	186	0.134	8.025 921	303	0.184	8.007 757	428	0.234	7.982 954	570
0.035	8.044 426	77	0.085	8.037 859	189	0.135	8.025 618	305	0.185	8.007 329	432	0.235	7.982 384	572
0.036	8.044 349	80	0.086	8.037 670	190	0.136	8.025 313	307	0.186	8.006 897	434	0.236	7.981 812	576
0.037	8.044 269	82	0.087	8.037 480	193	0.137	8.025 006	310	0.187	8.006 463	436	0.237	7.981 236	578
0.038	8.044 187	83	0.088	8.037 287	195	0.138	8.024 696	312	0.188	8.006 027	439	0.238	7.980 658	582
0.039	8.044 104	86	0.089	8.037 092	197	0.139	8.024 384	314	0.189	8.005 588	442	0.239	7.980 076	584
0.040	8.044 018	89	0.090	8.036 895	200	0.140	8.024 070	317	0.190	8.005 146	445	0.240	7.979 492	588
0.041	8.043 929	90	0.091	8.036 695	202	0.141	8.023 753	320	0.191	8.004 701	447	0.241	7.978 904	590
0.042	8.043 839	93	0.092	8.036 493	204	0.142	8.023 433	322	0.192	8.004 254	450	0.242	7.978 314	594
0.043	8.043 746	94	0.093	8.036 289	207	0.143	8.023 111	324	0.193	8.003 804	452	0.243	7.977 720	597
0.044	8.043 652	97	0.094	8.036 082	208	0.144	8.022 787	327	0.194	8.003 352	456	0.244	7.977 123	600
0.045	8.043 555	100	0.095	8.035 874	211	0.145	8.022 460	329	0.195	8.002 896	458	0.245	7.976 523	603
0.046	8.043 455	101	0.096	8.035 663	214	0.146	8.022 131	332	0.196	8.002 438	461	0.246	7.975 920	606
0.047	8.043 354	104	0.097	8.035 449	215	0.147	8.021 799	334	0.197	8.001 977	463	0.247	7.975 314	609
0.048	8.043 250	105	0.098	8.035 234	218	0.148	8.021 465	337	0.198	8.001 514	466	0.248	7.974 705	613
0.049	8.043 145	108	0.099	8.035 016	221	0.149	8.021 128	339	0.199	8.001 048	469	0.249	7.974 092	615
0.050	8.043 037		0.100	8.034 795		0.150	8.020 789		0.200	8.000 579		0.250	7.973 477	

Tafel I.

 $\log \{N_1^7 n_j\}$.

$\pm n$	N	$-J$	$\pm n$	N	$-J$	$\pm n$	N	$-J$	$\pm n$	N	$-J$	$\pm n$	N	$-J$
0.000	7 _n 853 872		0.050	7 _n 849 421	180	0.100	7 _n 835 854	368	0.150	7 _n 812 487	575	0.200	7 _n 778 030	815
0.001	7 _n 853 870	2	0.051	7 _n 849 241	185	0.101	7 _n 835 486	372	0.151	7 _n 811 912	579	0.201	7 _n 777 215	821
0.002	7 _n 853 865	5	0.052	7 _n 849 056	187	0.102	7 _n 835 114	376	0.152	7 _n 811 333	584	0.202	7 _n 776 394	826
0.003	7 _n 853 856	9	0.053	7 _n 848 869	192	0.103	7 _n 834 738	380	0.153	7 _n 810 749	588	0.203	7 _n 775 568	831
0.004	7 _n 853 844	12	0.054	7 _n 848 677	195	0.104	7 _n 834 358	384	0.154	7 _n 810 161	593	0.204	7 _n 774 737	837
0.005	7 _n 853 828	16	0.055	7 _n 848 482	199	0.105	7 _n 833 974	388	0.155	7 _n 809 568	597	0.205	7 _n 773 900	842
0.006	7 _n 853 808	20	0.056	7 _n 848 283	202	0.106	7 _n 833 586	391	0.156	7 _n 808 971	602	0.206	7 _n 773 058	847
0.007	7 _n 853 785	23	0.057	7 _n 848 081	206	0.107	7 _n 833 195	396	0.157	7 _n 808 369	606	0.207	7 _n 772 211	853
0.008	7 _n 853 758	27	0.058	7 _n 847 875	210	0.108	7 _n 832 799	400	0.158	7 _n 807 763	610	0.208	7 _n 771 358	858
0.009	7 _n 853 728	30	0.059	7 _n 847 665	213	0.109	7 _n 832 399	403	0.159	7 _n 807 153	616	0.209	7 _n 770 500	864
		33												
0.010	7 _n 853 695	38	0.060	7 _n 847 452	218	0.110	7 _n 831 996	408	0.160	7 _n 806 537	619	0.210	7 _n 769 636	870
0.011	7 _n 853 657	41	0.061	7 _n 847 234	220	0.111	7 _n 831 588	411	0.161	7 _n 805 918	625	0.211	7 _n 768 766	874
0.012	7 _n 853 616	44	0.062	7 _n 847 014	225	0.112	7 _n 831 177	416	0.162	7 _n 805 293	628	0.212	7 _n 767 897	881
0.013	7 _n 853 572	48	0.063	7 _n 846 789	228	0.113	7 _n 830 761	419	0.163	7 _n 804 665	634	0.213	7 _n 767 011	886
0.014	7 _n 853 524	51	0.064	7 _n 846 561	232	0.114	7 _n 830 342	424	0.164	7 _n 804 031	638	0.214	7 _n 766 125	891
0.015	7 _n 853 473	55	0.065	7 _n 846 329	235	0.115	7 _n 829 918	428	0.165	7 _n 803 393	643	0.215	7 _n 765 234	897
0.016	7 _n 853 418	59	0.066	7 _n 846 094	239	0.116	7 _n 829 490	431	0.166	7 _n 802 750	647	0.216	7 _n 764 337	903
0.017	7 _n 853 359	62	0.067	7 _n 845 855	243	0.117	7 _n 829 059	436	0.167	7 _n 802 103	652	0.217	7 _n 763 434	908
0.018	7 _n 853 297	66	0.068	7 _n 845 612	247	0.118	7 _n 828 623	440	0.168	7 _n 801 451	657	0.218	7 _n 762 526	915
0.019	7 _n 853 231	69	0.069	7 _n 845 365	250	0.119	7 _n 828 183	443	0.169	7 _n 800 794	661	0.219	7 _n 761 611	920
		73												
0.020	7 _n 853 162	76	0.070	7 _n 845 115	254	0.120	7 _n 827 740	448	0.170	7 _n 800 133	666	0.220	7 _n 760 691	925
0.021	7 _n 853 089	80	0.071	7 _n 844 861	258	0.121	7 _n 827 292	452	0.171	7 _n 799 467	671	0.221	7 _n 759 766	932
0.022	7 _n 853 013	83	0.072	7 _n 844 603	261	0.122	7 _n 826 840	456	0.172	7 _n 798 796	675	0.222	7 _n 758 834	937
0.023	7 _n 852 933	87	0.073	7 _n 844 342	265	0.123	7 _n 826 384	460	0.173	7 _n 798 121	680	0.223	7 _n 757 897	943
0.024	7 _n 852 850	91	0.074	7 _n 844 077	269	0.124	7 _n 825 924	464	0.174	7 _n 797 441	685	0.224	7 _n 756 954	949
0.025	7 _n 852 763	94	0.075	7 _n 843 808	273	0.125	7 _n 825 460	469	0.175	7 _n 796 756	690	0.225	7 _n 756 005	955
0.026	7 _n 852 672	98	0.076	7 _n 843 535	276	0.126	7 _n 824 991	472	0.176	7 _n 796 066	695	0.226	7 _n 755 050	960
0.027	7 _n 852 578	101	0.077	7 _n 843 259	280	0.127	7 _n 824 519	477	0.177	7 _n 795 371	699	0.227	7 _n 754 090	967
0.028	7 _n 852 480	105	0.078	7 _n 842 979	284	0.128	7 _n 824 042	481	0.178	7 _n 794 672	704	0.228	7 _n 753 123	973
0.029	7 _n 852 379	109	0.079	7 _n 842 695	288	0.129	7 _n 823 561	485	0.179	7 _n 793 968	709	0.229	7 _n 752 150	979
		112												
0.030	7 _n 852 274	116	0.080	7 _n 842 407	291	0.130	7 _n 823 076	489	0.180	7 _n 793 259	714	0.230	7 _n 751 171	984
0.031	7 _n 852 165	119	0.081	7 _n 842 116	294	0.131	7 _n 822 587	493	0.181	7 _n 792 545	719	0.231	7 _n 750 187	991
0.032	7 _n 852 053	123	0.082	7 _n 841 820	299	0.132	7 _n 822 094	497	0.182	7 _n 791 826	724	0.232	7 _n 749 196	997
0.033	7 _n 851 937	126	0.083	7 _n 841 521	302	0.133	7 _n 821 597	502	0.183	7 _n 791 102	728	0.233	7 _n 748 199	1003
0.034	7 _n 851 818	130	0.084	7 _n 841 219	307	0.134	7 _n 821 095	506	0.184	7 _n 790 374	733	0.234	7 _n 747 196	1009
0.035	7 _n 851 695	134	0.085	7 _n 840 912	310	0.135	7 _n 820 589	510	0.185	7 _n 789 640	738	0.235	7 _n 746 187	1016
0.036	7 _n 851 569	137	0.086	7 _n 840 602	315	0.136	7 _n 820 079	515	0.186	7 _n 788 902	744	0.236	7 _n 745 171	1021
0.037	7 _n 851 439	141	0.087	7 _n 840 287	318	0.137	7 _n 819 564	518	0.187	7 _n 788 158	748	0.237	7 _n 744 150	1028
0.038	7 _n 851 305	144	0.088	7 _n 839 969	321	0.138	7 _n 819 046	523	0.188	7 _n 787 410	754	0.238	7 _n 743 122	1035
0.039	7 _n 851 168	148	0.089	7 _n 839 648	326	0.139	7 _n 818 523	527	0.189	7 _n 786 656	759	0.239	7 _n 742 087	1040
		152												
0.040	7 _n 851 027	155	0.090	7 _n 839 322	330	0.140	7 _n 817 996	532	0.190	7 _n 785 897	763	0.240	7 _n 741 047	1047
0.041	7 _n 850 883	159	0.091	7 _n 838 992	333	0.141	7 _n 817 464	535	0.191	7 _n 785 134	769	0.241	7 _n 740 000	1053
0.042	7 _n 850 735	162	0.092	7 _n 838 659	337	0.142	7 _n 816 929	540	0.192	7 _n 784 365	774	0.242	7 _n 738 947	1060
0.043	7 _n 850 583	166	0.093	7 _n 838 322	341	0.143	7 _n 816 389	544	0.193	7 _n 783 591	779	0.243	7 _n 737 887	1066
0.044	7 _n 850 428	170	0.094	7 _n 837 981	345	0.144	7 _n 815 845	549	0.194	7 _n 782 812	784	0.244	7 _n 736 821	1073
0.045	7 _n 850 269	173	0.095	7 _n 837 636	348	0.145	7 _n 815 296	553	0.195	7 _n 782 028	789	0.245	7 _n 735 748	1079
0.046	7 _n 850 107	177	0.096	7 _n 837 288	353	0.146	7 _n 814 743	558	0.196	7 _n 781 239	794	0.246	7 _n 734 669	1086
0.047	7 _n 849 941		0.097	7 _n 836 935	356	0.147	7 _n 814 185	561	0.197	7 _n 780 445	800	0.247	7 _n 733 583	1092
0.048	7 _n 849 771		0.098	7 _n 836 579	361	0.148	7 _n 813 624	566	0.198	7 _n 779 645	805	0.248	7 _n 732 491	1099
0.049	7 _n 849 598		0.099	7 _n 836 218	364	0.149	7 _n 813 058	571	0.199	7 _n 778 840	810	0.249	7 _n 731 392	1106
0.050	7 _n 849 421		0.100	7 _n 835 854		0.150	7 _n 812 487		0.200	7 _n 778 030		0.250	7 _n 730 286	

Tafel I.

 $\log \{N_1 \{n\}\}$.

$\pm n$	N	$-J$	$\pm n$	N	$-J$	$\pm n$	N	$-J$	$\pm n$	N	$-J$	$\pm n$	N	$-J$
0.000	7 _n 251 812	1	0.050	7 _n 248 849	120	0.100	7 _n 239 878	243	0.150	7 _n 224 634	371	0.200	7 _n 202 649	513
0.001	7 _n 251 811	4	0.051	7 _n 248 729	122	0.101	7 _n 239 635	244	0.151	7 _n 224 263	375	0.201	7 _n 202 136	516
0.002	7 _n 251 807	6	0.052	7 _n 248 607	125	0.102	7 _n 239 391	247	0.152	7 _n 223 888	377	0.202	7 _n 201 620	519
0.003	7 _n 251 801	8	0.053	7 _n 248 482	127	0.103	7 _n 239 144	250	0.153	7 _n 223 511	379	0.203	7 _n 201 101	522
0.004	7 _n 251 793	11	0.054	7 _n 248 355	129	0.104	7 _n 238 894	252	0.154	7 _n 223 132	383	0.204	7 _n 200 579	525
0.005	7 _n 251 782	13	0.055	7 _n 248 226	132	0.105	7 _n 238 642	255	0.155	7 _n 222 749	385	0.205	7 _n 200 054	528
0.006	7 _n 251 769	15	0.056	7 _n 248 094	135	0.106	7 _n 238 387	257	0.156	7 _n 222 364	388	0.206	7 _n 199 526	531
0.007	7 _n 251 754	18	0.057	7 _n 247 959	137	0.107	7 _n 238 130	260	0.157	7 _n 221 976	391	0.207	7 _n 198 995	534
0.008	7 _n 251 736	20	0.058	7 _n 247 822	139	0.108	7 _n 237 870	263	0.158	7 _n 221 585	393	0.208	7 _n 198 461	537
0.009	7 _n 251 716	22	0.059	7 _n 247 683	141	0.109	7 _n 237 607	265	0.159	7 _n 221 192	396	0.209	7 _n 197 924	540
0.010	7 _n 251 694	25	0.060	7 _n 247 542	144	0.110	7 _n 237 342	267	0.160	7 _n 220 796	399	0.210	7 _n 197 384	544
0.011	7 _n 251 669	27	0.061	7 _n 247 398	147	0.111	7 _n 237 075	270	0.161	7 _n 220 397	401	0.211	7 _n 196 840	546
0.012	7 _n 251 642	30	0.062	7 _n 247 251	149	0.112	7 _n 236 805	272	0.162	7 _n 219 996	405	0.212	7 _n 196 294	549
0.013	7 _n 251 612	32	0.063	7 _n 247 102	151	0.113	7 _n 236 533	275	0.163	7 _n 219 591	407	0.213	7 _n 195 745	553
0.014	7 _n 251 580	34	0.064	7 _n 246 951	154	0.114	7 _n 236 258	278	0.164	7 _n 219 184	409	0.214	7 _n 195 192	555
0.015	7 _n 251 546	37	0.065	7 _n 246 797	156	0.115	7 _n 235 980	280	0.165	7 _n 218 775	413	0.215	7 _n 194 637	559
0.016	7 _n 251 509	39	0.066	7 _n 246 641	158	0.116	7 _n 235 700	283	0.166	7 _n 218 362	415	0.216	7 _n 194 078	562
0.017	7 _n 251 470	41	0.067	7 _n 246 483	161	0.117	7 _n 235 417	285	0.167	7 _n 217 947	418	0.217	7 _n 193 516	564
0.018	7 _n 251 429	44	0.068	7 _n 246 322	164	0.118	7 _n 235 132	288	0.168	7 _n 217 529	421	0.218	7 _n 192 952	568
0.019	7 _n 251 385	46	0.069	7 _n 246 158	166	0.119	7 _n 234 844	290	0.169	7 _n 217 108	424	0.219	7 _n 192 384	571
0.020	7 _n 251 339	49	0.070	7 _n 245 992	168	0.120	7 _n 234 554	293	0.170	7 _n 216 684	427	0.220	7 _n 191 813	575
0.021	7 _n 251 290	51	0.071	7 _n 245 824	171	0.121	7 _n 234 261	295	0.171	7 _n 216 257	429	0.221	7 _n 191 238	577
0.022	7 _n 251 239	53	0.072	7 _n 245 653	173	0.122	7 _n 233 966	298	0.172	7 _n 215 828	432	0.222	7 _n 190 661	580
0.023	7 _n 251 186	55	0.073	7 _n 245 480	175	0.123	7 _n 233 668	301	0.173	7 _n 215 396	435	0.223	7 _n 190 081	584
0.024	7 _n 251 131	58	0.074	7 _n 245 305	178	0.124	7 _n 233 367	303	0.174	7 _n 214 961	437	0.224	7 _n 189 497	587
0.025	7 _n 251 073	61	0.075	7 _n 245 127	181	0.125	7 _n 233 064	306	0.175	7 _n 214 524	441	0.225	7 _n 188 910	590
0.026	7 _n 251 012	62	0.076	7 _n 244 946	183	0.126	7 _n 232 758	308	0.176	7 _n 214 083	443	0.226	7 _n 188 320	593
0.027	7 _n 250 950	65	0.077	7 _n 244 763	185	0.127	7 _n 232 450	311	0.177	7 _n 213 640	446	0.227	7 _n 187 727	597
0.028	7 _n 250 885	68	0.078	7 _n 244 578	188	0.128	7 _n 232 139	314	0.178	7 _n 213 194	449	0.228	7 _n 187 130	599
0.029	7 _n 250 817	70	0.079	7 _n 244 390	190	0.129	7 _n 231 825	316	0.179	7 _n 212 745	452	0.229	7 _n 186 531	603
0.030	7 _n 250 747	72	0.080	7 _n 244 200	193	0.130	7 _n 231 509	318	0.180	7 _n 212 293	455	0.230	7 _n 185 928	606
0.031	7 _n 250 675	75	0.081	7 _n 244 007	195	0.131	7 _n 231 191	322	0.181	7 _n 211 838	458	0.231	7 _n 185 322	609
0.032	7 _n 250 600	77	0.082	7 _n 243 812	197	0.132	7 _n 230 869	324	0.182	7 _n 211 380	460	0.232	7 _n 184 713	613
0.033	7 _n 250 523	79	0.083	7 _n 243 615	200	0.133	7 _n 230 545	326	0.183	7 _n 210 920	463	0.233	7 _n 184 100	616
0.034	7 _n 250 444	82	0.084	7 _n 243 415	203	0.134	7 _n 230 219	329	0.184	7 _n 210 457	466	0.234	7 _n 183 484	619
0.035	7 _n 250 362	84	0.085	7 _n 243 212	205	0.135	7 _n 229 890	332	0.185	7 _n 209 991	469	0.235	7 _n 182 865	622
0.036	7 _n 250 278	87	0.086	7 _n 243 007	207	0.136	7 _n 229 558	335	0.186	7 _n 209 522	472	0.236	7 _n 182 243	626
0.037	7 _n 250 191	89	0.087	7 _n 242 800	210	0.137	7 _n 229 223	337	0.187	7 _n 209 050	475	0.237	7 _n 181 617	629
0.038	7 _n 250 102	91	0.088	7 _n 242 590	213	0.138	7 _n 228 886	340	0.188	7 _n 208 575	478	0.238	7 _n 180 988	632
0.039	7 _n 250 011	93	0.089	7 _n 242 377	214	0.139	7 _n 228 546	342	0.189	7 _n 208 097	480	0.239	7 _n 180 356	635
0.040	7 _n 249 918	96	0.090	7 _n 242 163	218	0.140	7 _n 228 204	345	0.190	7 _n 207 617	484	0.240	7 _n 179 721	639
0.041	7 _n 249 822	99	0.091	7 _n 241 945	220	0.141	7 _n 227 859	348	0.191	7 _n 207 133	486	0.241	7 _n 179 082	642
0.042	7 _n 249 723	101	0.092	7 _n 241 725	222	0.142	7 _n 227 511	350	0.192	7 _n 206 647	490	0.242	7 _n 178 440	646
0.043	7 _n 249 622	103	0.093	7 _n 241 503	225	0.143	7 _n 227 161	353	0.193	7 _n 206 157	492	0.243	7 _n 177 794	648
0.044	7 _n 249 519	106	0.094	7 _n 241 278	227	0.144	7 _n 226 808	355	0.194	7 _n 205 665	495	0.244	7 _n 177 146	653
0.045	7 _n 249 413	108	0.095	7 _n 241 051	230	0.145	7 _n 226 453	359	0.195	7 _n 205 170	498	0.245	7 _n 176 493	655
0.046	7 _n 249 305	110	0.096	7 _n 240 821	232	0.146	7 _n 226 094	361	0.196	7 _n 204 672	502	0.246	7 _n 175 838	659
0.047	7 _n 249 195	113	0.097	7 _n 240 589	235	0.147	7 _n 225 733	363	0.197	7 _n 204 170	504	0.247	7 _n 175 179	662
0.048	7 _n 249 082	115	0.098	7 _n 240 354	237	0.148	7 _n 225 370	367	0.198	7 _n 203 666	507	0.248	7 _n 174 517	666
0.049	7 _n 248 967	118	0.099	7 _n 240 117	239	0.149	7 _n 225 003	369	0.199	7 _n 203 159	510	0.249	7 _n 173 851	669
0.050	7 _n 248 849		0.100	7 _n 239 878	243	0.150	7 _n 224 634		0.200	7 _n 202 649		0.250	7 _n 173 182	

Tafel I.

 $\log \{N_1^a n'\}$.

$\pm n$	N	$-J$	$\pm n$	N	$-J$	$\pm n$	N	$-J$	$\pm n$	N	$-J$	$\pm n$	N	$-J$
0.000	7.200 659	1	0.050	7.196 004	189	0.100	7.181 811	385	0.150	7.157 357	602	0.200	7.121 271	855
0.001	7.200 658	6	0.051	7.195 815	192	0.101	7.181 426	389	0.151	7.156 755	606	0.201	7.120 416	860
0.002	7.200 652	9	0.052	7.195 623	197	0.102	7.181 037	394	0.152	7.156 149	611	0.202	7.119 556	865
0.003	7.200 643	13	0.053	7.195 426	200	0.103	7.180 643	397	0.153	7.155 538	616	0.203	7.118 691	871
0.004	7.200 630	17	0.054	7.195 226	204	0.104	7.180 246	402	0.154	7.154 922	621	0.204	7.117 820	877
0.005	7.200 613	20	0.055	7.195 022	208	0.105	7.179 844	405	0.155	7.154 301	625	0.205	7.116 943	882
0.006	7.200 593	24	0.056	7.194 814	212	0.106	7.179 439	410	0.156	7.153 676	630	0.206	7.116 061	888
0.007	7.200 569	28	0.057	7.194 602	216	0.107	7.179 029	414	0.157	7.153 046	634	0.207	7.115 173	894
0.008	7.200 541	32	0.058	7.194 386	219	0.108	7.178 615	418	0.158	7.152 412	640	0.208	7.114 279	900
0.009	7.200 509	35	0.059	7.194 167	223	0.109	7.178 197	423	0.159	7.151 772	644	0.209	7.113 379	905
0.010	7.200 474	39	0.060	7.193 944	227	0.110	7.177 774	426	0.160	7.151 128	649	0.210	7.112 474	911
0.011	7.200 435	43	0.061	7.193 717	231	0.111	7.177 348	431	0.161	7.150 479	653	0.211	7.111 563	917
0.012	7.200 392	46	0.062	7.193 486	235	0.112	7.176 917	435	0.162	7.149 826	659	0.212	7.110 646	923
0.013	7.200 346	50	0.063	7.193 251	238	0.113	7.176 482	439	0.163	7.149 167	663	0.213	7.109 723	928
0.014	7.200 296	54	0.064	7.193 013	243	0.114	7.176 043	443	0.164	7.148 504	668	0.214	7.108 795	935
0.015	7.200 242	57	0.065	7.192 770	246	0.115	7.175 600	447	0.165	7.147 836	673	0.215	7.107 860	940
0.016	7.200 185	62	0.066	7.192 524	250	0.116	7.175 153	452	0.166	7.147 163	678	0.216	7.106 920	946
0.017	7.200 123	65	0.067	7.192 274	254	0.117	7.174 701	456	0.167	7.146 485	682	0.217	7.105 974	953
0.018	7.200 058	68	0.068	7.192 020	258	0.118	7.174 245	460	0.168	7.145 803	688	0.218	7.105 021	958
0.019	7.199 990	73	0.069	7.191 762	262	0.119	7.173 785	464	0.169	7.145 115	692	0.219	7.104 063	965
0.020	7.199 917	76	0.070	7.191 500	266	0.120	7.173 321	469	0.170	7.144 423	698	0.220	7.103 098	970
0.021	7.199 841	80	0.071	7.191 234	270	0.121	7.172 852	473	0.171	7.143 725	702	0.221	7.102 128	977
0.022	7.199 761	83	0.072	7.190 964	273	0.122	7.172 379	477	0.172	7.143 023	707	0.222	7.101 151	982
0.023	7.199 678	88	0.073	7.190 691	277	0.123	7.171 902	482	0.173	7.142 316	713	0.223	7.100 169	989
0.024	7.199 590	91	0.074	7.190 414	282	0.124	7.171 420	486	0.174	7.141 603	717	0.224	7.099 180	995
0.025	7.199 499	95	0.075	7.190 132	285	0.125	7.170 934	490	0.175	7.140 886	722	0.225	7.098 185	1001
0.026	7.199 404	98	0.076	7.189 847	289	0.126	7.170 444	494	0.176	7.140 164	728	0.226	7.097 184	1008
0.027	7.199 306	102	0.077	7.189 558	293	0.127	7.169 950	499	0.177	7.139 436	732	0.227	7.096 176	1013
0.028	7.199 204	106	0.078	7.189 265	297	0.128	7.169 451	503	0.178	7.138 704	738	0.228	7.095 163	1020
0.029	7.199 098	110	0.079	7.188 968	301	0.129	7.168 948	508	0.179	7.138 066	742	0.229	7.094 143	1027
0.030	7.198 988	114	0.080	7.188 667	305	0.130	7.168 440	512	0.180	7.137 224	748	0.230	7.093 116	1033
0.031	7.198 874	117	0.081	7.188 362	309	0.131	7.167 928	516	0.181	7.136 476	753	0.231	7.092 083	1039
0.032	7.198 757	121	0.082	7.188 053	313	0.132	7.167 412	520	0.182	7.135 723	758	0.232	7.091 044	1045
0.033	7.198 636	125	0.083	7.187 740	317	0.133	7.166 892	525	0.183	7.134 965	763	0.233	7.089 999	1052
0.034	7.198 511	128	0.084	7.187 423	320	0.134	7.166 367	529	0.184	7.134 202	768	0.234	7.088 947	1059
0.035	7.198 383	132	0.085	7.187 103	325	0.135	7.165 837	534	0.185	7.133 434	774	0.235	7.087 888	1065
0.036	7.198 251	136	0.086	7.186 778	329	0.136	7.165 303	538	0.186	7.132 660	779	0.236	7.086 823	1072
0.037	7.198 115	140	0.087	7.186 449	332	0.137	7.164 765	543	0.187	7.131 881	784	0.237	7.085 751	1078
0.038	7.197 975	143	0.088	7.186 117	337	0.138	7.164 222	547	0.188	7.131 097	789	0.238	7.084 673	1085
0.039	7.197 832	148	0.089	7.185 780	341	0.139	7.163 675	552	0.189	7.130 308	795	0.239	7.083 588	1092
0.040	7.197 684	151	0.090	7.185 439	344	0.140	7.163 123	556	0.190	7.129 513	800	0.240	7.082 496	1098
0.041	7.197 533	155	0.091	7.185 095	349	0.141	7.162 567	561	0.191	7.128 713	805	0.241	7.081 398	1105
0.042	7.197 378	158	0.092	7.184 746	353	0.142	7.162 006	565	0.192	7.127 908	811	0.242	7.080 293	1112
0.043	7.197 220	162	0.093	7.184 393	356	0.143	7.161 441	570	0.193	7.127 097	816	0.243	7.079 181	1119
0.044	7.197 058	166	0.094	7.184 037	361	0.144	7.160 871	574	0.194	7.126 281	821	0.244	7.078 062	1125
0.045	7.196 892	170	0.095	7.183 676	365	0.145	7.160 297	579	0.195	7.125 460	827	0.245	7.076 937	1133
0.046	7.196 722	174	0.096	7.183 311	369	0.146	7.159 718	583	0.196	7.124 633	832	0.246	7.075 804	1139
0.047	7.196 548	178	0.097	7.182 942	373	0.147	7.159 135	588	0.197	7.123 801	838	0.247	7.074 665	1147
0.048	7.196 370	181	0.098	7.182 569	377	0.148	7.158 547	593	0.198	7.122 963	844	0.248	7.073 518	1153
0.049	7.196 189	185	0.099	7.182 192	381	0.149	7.157 954	597	0.199	7.122 119	848	0.249	7.072 365	1160
0.050	7.196 004		0.100	7.181 811		0.150	7.157 357		0.200	7.121 271		0.250	7.071 205	

Tafel I.

 $\log \{N_1^{10} n\}$

$\pm n$	N	\angle	$\pm n$	N	\angle	$\pm n$	N	\angle	$\pm n$	N	\angle	$\pm n$	N	\angle
0.000	6.501 689	1	0.050	6.498 591	125	0.100	6.489 208	253	0.150	6.473 269	389	0.200	6.450 285	537
0.001	6.501 688	4	0.051	6.498 466	128	0.101	6.488 955	256	0.151	6.472 880	391	0.201	6.449 748	539
0.002	6.501 684	6	0.052	6.498 338	131	0.102	6.488 699	259	0.152	6.472 489	394	0.202	6.449 209	543
0.003	6.501 678	8	0.053	6.498 207	133	0.103	6.488 440	261	0.153	6.472 095	397	0.203	6.448 666	545
0.004	6.501 670	11	0.054	6.498 074	135	0.104	6.488 179	264	0.154	6.471 698	400	0.204	6.448 121	549
0.005	6.501 659	14	0.055	6.497 939	138	0.105	6.487 915	266	0.155	6.471 298	403	0.205	6.447 572	552
0.006	6.501 645	16	0.056	6.497 801	141	0.106	6.487 649	269	0.156	6.470 895	405	0.206	6.447 020	555
0.007	6.501 629	19	0.057	6.497 660	143	0.107	6.487 380	272	0.157	6.470 490	409	0.207	6.446 465	558
0.008	6.501 610	21	0.058	6.497 517	146	0.108	6.487 108	274	0.158	6.470 081	411	0.208	6.445 907	562
0.009	6.501 589	23	0.059	6.497 371	148	0.109	6.486 834	277	0.159	6.469 670	414	0.209	6.445 345	564
0.010	6.501 566	26	0.060	6.497 223	151	0.110	6.486 557	280	0.160	6.469 256	417	0.210	6.444 781	568
0.011	6.501 540	29	0.061	6.497 072	153	0.111	6.486 277	282	0.161	6.468 839	420	0.211	6.444 213	571
0.012	6.501 511	31	0.062	6.496 919	156	0.112	6.485 995	285	0.162	6.468 419	423	0.212	6.443 642	574
0.013	6.501 480	33	0.063	6.496 763	158	0.113	6.485 710	287	0.163	6.467 996	425	0.213	6.443 068	578
0.014	6.501 447	36	0.064	6.496 605	160	0.114	6.485 423	290	0.164	6.467 571	429	0.214	6.442 490	581
0.015	6.501 411	38	0.065	6.496 445	164	0.115	6.485 133	293	0.165	6.467 142	431	0.215	6.441 909	584
0.016	6.501 373	41	0.066	6.496 281	166	0.116	6.484 840	296	0.166	6.466 711	434	0.216	6.441 325	587
0.017	6.501 332	43	0.067	6.496 115	168	0.117	6.484 544	298	0.167	6.466 277	437	0.217	6.440 738	590
0.018	6.501 289	46	0.068	6.495 947	171	0.118	6.484 246	301	0.168	6.465 840	440	0.218	6.440 148	594
0.019	6.501 243	48	0.069	6.495 776	173	0.119	6.483 945	304	0.169	6.465 400	443	0.219	6.439 554	597
0.020	6.501 195	51	0.070	6.495 603	176	0.120	6.483 641	306	0.170	6.464 957	446	0.220	6.438 957	600
0.021	6.501 144	53	0.071	6.495 427	179	0.121	6.483 335	309	0.171	6.464 511	449	0.221	6.438 357	603
0.022	6.501 091	56	0.072	6.495 248	181	0.122	6.483 026	312	0.172	6.464 062	452	0.222	6.437 754	607
0.023	6.501 035	58	0.073	6.494 067	183	0.123	6.482 714	314	0.173	6.463 610	454	0.223	6.437 147	610
0.024	6.500 977	61	0.074	6.494 884	186	0.124	6.482 400	317	0.174	6.463 156	458	0.224	6.436 534	613
0.025	6.500 916	63	0.075	6.494 698	189	0.125	6.482 083	320	0.175	6.462 698	460	0.225	6.435 921	617
0.026	6.500 853	66	0.076	6.494 509	191	0.126	6.481 763	322	0.176	6.462 238	464	0.226	6.435 307	620
0.027	6.500 787	68	0.077	6.494 318	194	0.127	6.481 441	325	0.177	6.461 774	466	0.227	6.434 687	624
0.028	6.500 719	70	0.078	6.494 124	197	0.128	6.481 116	328	0.178	6.461 308	470	0.228	6.434 063	626
0.029	6.500 649	73	0.079	6.493 927	199	0.129	6.480 788	331	0.179	6.460 838	472	0.229	6.433 437	630
0.030	6.500 576	76	0.080	6.493 728	201	0.130	6.480 457	333	0.180	6.460 366	475	0.230	6.432 807	634
0.031	6.500 500	78	0.081	6.493 527	204	0.131	6.480 124	336	0.181	6.459 891	479	0.231	6.432 173	637
0.032	6.500 422	81	0.082	6.493 323	207	0.132	6.479 788	339	0.182	6.459 412	481	0.232	6.431 536	640
0.033	6.500 341	83	0.083	6.493 116	209	0.133	6.479 449	341	0.183	6.458 931	484	0.233	6.430 896	644
0.034	6.500 258	85	0.084	6.492 907	212	0.134	6.479 108	344	0.184	6.458 447	488	0.234	6.430 252	647
0.035	6.500 173	88	0.085	6.492 695	214	0.135	6.478 764	347	0.185	6.457 959	490	0.235	6.429 605	650
0.036	6.500 085	91	0.086	6.492 481	217	0.136	6.478 417	350	0.186	6.457 469	493	0.236	6.428 955	654
0.037	6.499 994	93	0.087	6.492 264	220	0.137	6.478 067	352	0.187	6.456 976	497	0.237	6.428 301	657
0.038	6.499 901	95	0.088	6.492 044	222	0.138	6.477 715	356	0.188	6.456 479	499	0.238	6.427 644	661
0.039	6.499 806	98	0.089	6.491 822	224	0.139	6.477 359	358	0.189	6.455 980	503	0.239	6.426 983	664
0.040	6.499 708	100	0.090	6.491 598	228	0.140	6.477 001	360	0.190	6.455 477	505	0.240	6.426 319	668
0.041	6.499 608	103	0.091	6.491 370	229	0.141	6.476 641	364	0.191	6.454 972	509	0.241	6.425 651	671
0.042	6.499 505	106	0.092	6.491 141	233	0.142	6.476 277	366	0.192	6.454 463	511	0.242	6.424 980	674
0.043	6.499 399	108	0.093	6.490 908	235	0.143	6.475 911	369	0.193	6.453 953	515	0.243	6.424 306	678
0.044	6.499 291	110	0.094	6.490 673	238	0.144	6.475 542	372	0.194	6.453 437	518	0.244	6.423 628	682
0.045	6.499 181	113	0.095	6.490 435	240	0.145	6.475 170	375	0.195	6.452 919	520	0.245	6.422 946	685
0.046	6.499 068	116	0.096	6.490 195	243	0.146	6.474 795	377	0.196	6.452 399	524	0.246	6.422 261	689
0.047	6.498 952	118	0.097	6.489 952	245	0.147	6.474 418	380	0.197	6.451 875	527	0.247	6.421 572	692
0.048	6.498 834	120	0.098	6.489 707	248	0.148	6.474 038	383	0.198	6.451 348	530	0.248	6.420 880	696
0.049	6.498 714	123	0.099	6.489 459	251	0.149	6.473 655	386	0.199	6.450 818	533	0.249	6.420 184	699
0.050	6.498 591		0.100	6.489 208		0.150	6.473 269		0.200	6.450 285		0.250	6.419 485	

Tafel II.

 $\log \{M_1^3 m\}$.

vergl. pag. 19.

$\pm m$	M	$-J$	$\pm m$	M	$-J$	$\pm m$	M	$-J$	$\pm m$	M	$-J$	$\pm m$	M	$-J$
0.000	8 _u 619 789		0.050	8 _u 606 560		0.100	8 _u 564 271		0.150	8 _u 483 112		0.200	8 _u 335 792	
0.001	8 _u 619 783	6	0.051	8 _u 606 017	543	0.101	8 _u 563 079	1192	0.151	8 _u 480 957	2155	0.201	8 _u 331 755	4037
0.002	8 _u 619 768	15	0.052	8 _u 605 463	554	0.102	8 _u 561 872	1207	0.152	8 _u 478 778	2179	0.202	8 _u 327 659	4096
0.003	8 _u 619 742	26	0.053	8 _u 604 897	566	0.103	8 _u 560 650	1222	0.153	8 _u 476 573	2205	0.203	8 _u 323 504	4155
0.004	8 _u 619 705	37	0.054	8 _u 604 320	577	0.104	8 _u 559 412	1238	0.154	8 _u 474 342	2231	0.204	8 _u 319 287	4217
0.005	8 _u 619 658	47	0.055	8 _u 603 731	589	0.105	8 _u 558 158	1254	0.155	8 _u 472 086	2256	0.205	8 _u 315 009	4278
0.006	8 _u 619 601	57	0.056	8 _u 603 130	601	0.106	8 _u 556 889	1269	0.156	8 _u 469 802	2284	0.206	8 _u 310 666	4343
0.007	8 _u 619 533	68	0.057	8 _u 602 518	612	0.107	8 _u 555 604	1285	0.157	8 _u 467 492	2310	0.207	8 _u 306 258	4408
0.008	8 _u 619 455	78	0.058	8 _u 601 893	625	0.108	8 _u 554 303	1301	0.158	8 _u 465 155	2337	0.208	8 _u 301 782	4476
0.009	8 _u 619 366	89	0.059	8 _u 601 258	633	0.109	8 _u 552 986	1317	0.159	8 _u 462 790	2365	0.209	8 _u 297 239	4543
		99			648			1333			2393			4614
0.010	8 _u 619 267	109	0.060	8 _u 600 610	660	0.110	8 _u 551 653	1349	0.160	8 _u 460 397	2422	0.210	8 _u 292 625	4685
0.011	8 _u 619 158	120	0.061	8 _u 599 950	671	0.111	8 _u 550 304	1366	0.161	8 _u 457 975	2450	0.211	8 _u 287 940	4759
0.012	8 _u 619 038	131	0.062	8 _u 599 279	684	0.112	8 _u 548 938	1383	0.162	8 _u 455 525	2480	0.212	8 _u 283 181	4835
0.013	8 _u 618 907	141	0.063	8 _u 598 595	695	0.113	8 _u 547 555	1399	0.163	8 _u 453 045	2509	0.213	8 _u 278 346	4913
0.014	8 _u 618 766	152	0.064	8 _u 597 900	708	0.114	8 _u 546 156	1416	0.164	8 _u 450 536	2539	0.214	8 _u 273 433	4992
0.015	8 _u 618 614	162	0.065	8 _u 597 192	720	0.115	8 _u 544 740	1434	0.165	8 _u 447 997	2569	0.215	8 _u 268 441	5073
0.016	8 _u 618 452	172	0.066	8 _u 596 472	732	0.116	8 _u 543 306	1450	0.166	8 _u 445 428	2601	0.216	8 _u 263 368	5158
0.017	8 _u 618 280	183	0.067	8 _u 595 740	744	0.117	8 _u 541 856	1468	0.167	8 _u 442 827	2632	0.217	8 _u 258 210	5244
0.018	8 _u 618 097	194	0.068	8 _u 594 996	756	0.118	8 _u 540 388	1486	0.168	8 _u 440 195	2664	0.218	8 _u 252 966	5332
0.019	8 _u 617 903	204	0.069	8 _u 594 240	769	0.119	8 _u 538 902	1503	0.169	8 _u 437 531	2696	0.219	8 _u 247 634	5424
		204			769			1503			2696			5424
0.020	8 _u 617 699	215	0.070	8 _u 593 471	782	0.120	8 _u 537 399	1521	0.170	8 _u 434 835	2729	0.220	8 _u 242 210	5518
0.021	8 _u 617 484	225	0.071	8 _u 592 689	794	0.121	8 _u 535 878	1539	0.171	8 _u 432 106	2763	0.221	8 _u 236 692	5613
0.022	8 _u 617 259	236	0.072	8 _u 591 895	806	0.122	8 _u 534 339	1557	0.172	8 _u 429 343	2797	0.222	8 _u 231 079	5714
0.023	8 _u 617 023	247	0.073	8 _u 591 089	820	0.123	8 _u 532 782	1575	0.173	8 _u 426 546	2831	0.223	8 _u 225 365	5815
0.024	8 _u 616 776	257	0.074	8 _u 590 269	832	0.124	8 _u 531 206	1594	0.174	8 _u 423 715	2866	0.224	8 _u 219 550	5922
0.025	8 _u 616 519	268	0.075	8 _u 589 437	844	0.125	8 _u 529 612	1613	0.175	8 _u 420 849	2902	0.225	8 _u 213 628	6030
0.026	8 _u 616 251	278	0.076	8 _u 588 593	858	0.126	8 _u 527 999	1632	0.176	8 _u 417 947	2938	0.226	8 _u 207 598	6142
0.027	8 _u 615 973	290	0.077	8 _u 587 735	870	0.127	8 _u 526 367	1651	0.177	8 _u 415 009	2974	0.227	8 _u 201 456	6258
0.028	8 _u 615 683	300	0.078	8 _u 586 865	884	0.128	8 _u 524 716	1670	0.178	8 _u 412 035	3013	0.228	8 _u 195 198	6377
0.029	8 _u 615 383	310	0.079	8 _u 585 981	897	0.129	8 _u 523 046	1690	0.179	8 _u 409 022	3050	0.229	8 _u 188 821	6502
		310			897			1690			3050			6502
0.030	8 _u 615 073	322	0.080	8 _u 585 084	909	0.130	8 _u 521 356	1710	0.180	8 _u 405 972	3089	0.230	8 _u 182 319	6629
0.031	8 _u 614 751	332	0.081	8 _u 584 175	923	0.131	8 _u 519 646	1729	0.181	8 _u 402 883	3129	0.231	8 _u 175 690	6761
0.032	8 _u 614 419	343	0.082	8 _u 583 252	937	0.132	8 _u 517 917	1750	0.182	8 _u 399 754	3168	0.232	8 _u 168 929	6898
0.033	8 _u 614 076	354	0.083	8 _u 582 315	950	0.133	8 _u 516 167	1770	0.183	8 _u 396 586	3210	0.233	8 _u 162 031	7039
0.034	8 _u 613 722	365	0.084	8 _u 581 365	963	0.134	8 _u 514 397	1791	0.184	8 _u 393 376	3251	0.234	8 _u 154 992	7187
0.035	8 _u 613 357	376	0.085	8 _u 580 402	977	0.135	8 _u 512 606	1811	0.185	8 _u 390 125	3293	0.235	8 _u 147 805	7339
0.036	8 _u 612 981	386	0.086	8 _u 579 425	990	0.136	8 _u 510 795	1832	0.186	8 _u 386 832	3335	0.236	8 _u 140 466	7497
0.037	8 _u 612 595	398	0.087	8 _u 578 435	1005	0.137	8 _u 508 963	1854	0.187	8 _u 383 495	3377	0.237	8 _u 132 969	7661
0.038	8 _u 612 197	408	0.088	8 _u 577 430	1018	0.138	8 _u 507 109	1875	0.188	8 _u 380 115	3420	0.238	8 _u 125 308	7832
0.039	8 _u 611 789	420	0.089	8 _u 576 412	1032	0.139	8 _u 505 234	1897	0.189	8 _u 376 689	3464	0.239	8 _u 117 476	8010
		420			1032			1897			3464			8010
0.040	8 _u 611 369	430	0.090	8 _u 575 380	1046	0.140	8 _u 503 337	1919	0.190	8 _u 373 219	3518	0.240	8 _u 109 466	8195
0.041	8 _u 610 939	442	0.091	8 _u 574 334	1060	0.141	8 _u 501 418	1942	0.191	8 _u 369 701	3564	0.241	8 _u 101 271	8387
0.042	8 _u 610 497	453	0.092	8 _u 573 274	1075	0.142	8 _u 499 476	1964	0.192	8 _u 366 137	3613	0.242	8 _u 092 884	8588
0.043	8 _u 610 044	464	0.093	8 _u 572 199	1088	0.143	8 _u 497 512	1986	0.193	8 _u 362 524	3663	0.243	8 _u 084 266	8798
0.044	8 _u 609 580	475	0.094	8 _u 571 111	1104	0.144	8 _u 495 526	2010	0.194	8 _u 358 861	3713	0.244	8 _u 075 498	9017
0.045	8 _u 609 105	486	0.095	8 _u 570 007	1117	0.145	8 _u 493 516	2033	0.195	8 _u 355 148	3764	0.245	8 _u 066 481	9246
0.046	8 _u 608 619	498	0.096	8 _u 568 890	1133	0.146	8 _u 491 483	2057	0.196	8 _u 351 384	3817	0.246	8 _u 057 255	9487
0.047	8 _u 608 121	509	0.097	8 _u 567 757	1147	0.147	8 _u 489 426	2080	0.197	8 _u 347 567	3870	0.247	8 _u 047 718	9738
0.048	8 _u 607 612	520	0.098	8 _u 566 610	1162	0.148	8 _u 487 346	2105	0.198	8 _u 343 694	3924	0.248	8 _u 038 010	10002
0.049	8 _u 607 092	532	0.099	8 _u 565 448	1177	0.149	8 _u 485 241	2129	0.199	8 _u 339 773	3981	0.249	8 _u 028 008	10279
0.050	8 _u 606 560		0.100	8 _u 564 271		0.150	8 _u 483 112		0.200	8 _u 335 792		0.250	8 _u 017 729	

Tafel II.

 $\log \{M_1^{-1} m\}$.

$\pm m$	M	$-J$	$\pm m$	M	$-J$	$\pm m$	M	$-J$	$\pm m$	M	$-J$	$\pm m$	M	$-J$
0.000	9 _n 318 759	1	0.050	9 _n 317 889	35	0.100	9 _n 315 270	70	0.150	9 _n 310 870	106	0.200	9 _n 304 634	144
0.001	9 _n 318 758	1	0.051	9 _n 317 854	36	0.101	9 _n 315 209	71	0.151	9 _n 310 764	107	0.201	9 _n 304 490	145
0.002	9 _n 318 757	1	0.052	9 _n 317 818	36	0.102	9 _n 315 129	72	0.152	9 _n 310 657	108	0.202	9 _n 304 345	145
0.003	9 _n 318 756	3	0.053	9 _n 317 782	38	0.103	9 _n 315 057	72	0.153	9 _n 310 549	109	0.203	9 _n 304 200	146
0.004	9 _n 318 753	3	0.054	9 _n 317 744	38	0.104	9 _n 314 985	74	0.154	9 _n 310 440	110	0.204	9 _n 304 054	147
0.005	9 _n 318 750	3	0.055	9 _n 317 706	38	0.105	9 _n 314 911	74	0.155	9 _n 310 330	110	0.205	9 _n 303 907	148
0.006	9 _n 318 746	4	0.056	9 _n 317 668	40	0.106	9 _n 314 837	74	0.156	9 _n 310 220	111	0.206	9 _n 303 759	149
0.007	9 _n 318 742	5	0.057	9 _n 317 628	40	0.107	9 _n 314 763	76	0.157	9 _n 310 109	111	0.207	9 _n 303 610	149
0.008	9 _n 318 737	6	0.058	9 _n 317 588	40	0.108	9 _n 314 687	76	0.158	9 _n 309 998	113	0.208	9 _n 303 461	150
0.009	9 _n 318 731	7	0.059	9 _n 317 548	42	0.109	9 _n 314 611	77	0.159	9 _n 309 885	113	0.209	9 _n 303 311	151
0.010	9 _n 318 724	7	0.060	9 _n 317 506	42	0.110	9 _n 314 534	77	0.160	9 _n 309 772	114	0.210	9 _n 303 160	152
0.011	9 _n 318 717	8	0.061	9 _n 317 464	43	0.111	9 _n 314 457	78	0.161	9 _n 309 658	114	0.211	9 _n 303 008	152
0.012	9 _n 318 709	9	0.062	9 _n 317 421	43	0.112	9 _n 314 379	79	0.162	9 _n 309 544	116	0.212	9 _n 302 856	153
0.013	9 _n 318 700	9	0.063	9 _n 317 378	45	0.113	9 _n 314 300	80	0.163	9 _n 309 428	116	0.213	9 _n 302 703	154
0.014	9 _n 318 691	10	0.064	9 _n 317 333	45	0.114	9 _n 314 220	81	0.164	9 _n 309 312	117	0.214	9 _n 302 549	155
0.015	9 _n 318 681	11	0.065	9 _n 317 288	45	0.115	9 _n 314 139	81	0.165	9 _n 309 195	117	0.215	9 _n 302 394	155
0.016	9 _n 318 670	12	0.066	9 _n 317 243	47	0.116	9 _n 314 058	82	0.166	9 _n 309 078	119	0.216	9 _n 302 239	157
0.017	9 _n 318 658	12	0.067	9 _n 317 196	47	0.117	9 _n 313 976	82	0.167	9 _n 308 959	119	0.217	9 _n 302 082	157
0.018	9 _n 318 646	13	0.068	9 _n 317 149	48	0.118	9 _n 313 894	83	0.168	9 _n 308 840	120	0.218	9 _n 301 925	158
0.019	9 _n 318 633	13	0.069	9 _n 317 101	48	0.119	9 _n 313 811	84	0.169	9 _n 308 720	120	0.219	9 _n 301 767	158
0.020	9 _n 318 620	14	0.070	9 _n 317 053	49	0.120	9 _n 313 727	85	0.170	9 _n 308 600	121	0.220	9 _n 301 609	160
0.021	9 _n 318 606	15	0.071	9 _n 317 004	50	0.121	9 _n 313 642	86	0.171	9 _n 308 479	122	0.221	9 _n 301 449	160
0.022	9 _n 318 591	16	0.072	9 _n 316 954	51	0.122	9 _n 313 556	86	0.172	9 _n 308 357	123	0.222	9 _n 301 289	161
0.023	9 _n 318 575	16	0.073	9 _n 316 903	51	0.123	9 _n 313 470	87	0.173	9 _n 308 234	124	0.223	9 _n 301 128	162
0.024	9 _n 318 559	17	0.074	9 _n 316 852	52	0.124	9 _n 313 383	87	0.174	9 _n 308 110	124	0.224	9 _n 300 966	162
0.025	9 _n 318 542	18	0.075	9 _n 316 800	53	0.125	9 _n 313 296	88	0.175	9 _n 307 986	125	0.225	9 _n 300 804	164
0.026	9 _n 318 524	19	0.076	9 _n 316 747	53	0.126	9 _n 313 208	89	0.176	9 _n 307 861	126	0.226	9 _n 300 640	164
0.027	9 _n 318 505	19	0.077	9 _n 316 694	54	0.127	9 _n 313 119	90	0.177	9 _n 307 735	126	0.227	9 _n 300 476	165
0.028	9 _n 318 486	20	0.078	9 _n 316 640	55	0.128	9 _n 313 029	91	0.178	9 _n 307 609	128	0.228	9 _n 300 311	165
0.029	9 _n 318 466	20	0.079	9 _n 316 585	56	0.129	9 _n 312 938	91	0.179	9 _n 307 481	128	0.229	9 _n 300 146	167
0.030	9 _n 318 446	21	0.080	9 _n 316 529	56	0.130	9 _n 312 847	92	0.180	9 _n 307 353	128	0.230	9 _n 299 979	167
0.031	9 _n 318 425	22	0.081	9 _n 316 473	57	0.131	9 _n 312 755	93	0.181	9 _n 307 225	130	0.231	9 _n 299 812	168
0.032	9 _n 318 403	23	0.082	9 _n 316 416	57	0.132	9 _n 312 662	93	0.182	9 _n 307 095	130	0.232	9 _n 299 644	169
0.033	9 _n 318 380	23	0.083	9 _n 316 359	59	0.133	9 _n 312 569	94	0.183	9 _n 306 965	131	0.233	9 _n 299 475	170
0.034	9 _n 318 357	24	0.084	9 _n 316 300	59	0.134	9 _n 312 475	95	0.184	9 _n 306 834	132	0.234	9 _n 299 305	170
0.035	9 _n 318 333	25	0.085	9 _n 316 241	60	0.135	9 _n 312 380	95	0.185	9 _n 306 702	133	0.235	9 _n 299 135	171
0.036	9 _n 318 308	25	0.086	9 _n 316 181	60	0.136	9 _n 312 285	97	0.186	9 _n 306 569	133	0.236	9 _n 298 964	172
0.037	9 _n 318 283	26	0.087	9 _n 316 121	61	0.137	9 _n 312 188	97	0.187	9 _n 306 436	134	0.237	9 _n 298 792	173
0.038	9 _n 318 257	27	0.088	9 _n 316 060	62	0.138	9 _n 312 091	97	0.188	9 _n 306 302	135	0.238	9 _n 298 619	174
0.039	9 _n 318 230	27	0.089	9 _n 315 998	63	0.139	9 _n 311 994	99	0.189	9 _n 306 167	135	0.239	9 _n 298 445	174
0.040	9 _n 318 203	29	0.090	9 _n 315 935	63	0.140	9 _n 311 895	99	0.190	9 _n 306 032	137	0.240	9 _n 298 271	175
0.041	9 _n 318 174	29	0.091	9 _n 315 872	64	0.141	9 _n 311 796	100	0.191	9 _n 305 895	137	0.241	9 _n 298 096	176
0.042	9 _n 318 145	29	0.092	9 _n 315 808	65	0.142	9 _n 311 696	101	0.192	9 _n 305 758	138	0.242	9 _n 297 920	177
0.043	9 _n 318 116	30	0.093	9 _n 315 743	65	0.143	9 _n 311 595	101	0.193	9 _n 305 620	138	0.243	9 _n 297 743	178
0.044	9 _n 318 086	31	0.094	9 _n 315 678	66	0.144	9 _n 311 494	102	0.194	9 _n 305 482	140	0.244	9 _n 297 565	178
0.045	9 _n 318 055	32	0.095	9 _n 315 612	67	0.145	9 _n 311 392	103	0.195	9 _n 305 342	140	0.245	9 _n 297 387	180
0.046	9 _n 318 023	32	0.096	9 _n 315 545	68	0.146	9 _n 311 289	104	0.196	9 _n 305 202	141	0.246	9 _n 297 207	180
0.047	9 _n 317 991	33	0.097	9 _n 315 477	68	0.147	9 _n 311 185	104	0.197	9 _n 305 061	141	0.247	9 _n 297 027	180
0.048	9 _n 317 958	34	0.098	9 _n 315 409	69	0.148	9 _n 311 081	105	0.198	9 _n 304 920	143	0.248	9 _n 296 847	182
0.049	9 _n 317 924	35	0.099	9 _n 315 340	70	0.149	9 _n 310 976	106	0.199	9 _n 304 777	143	0.249	9 _n 296 665	183
0.050	9 _n 317 889	35	0.100	9 _n 315 270	70	0.150	9 _n 310 870	106	0.200	9 _n 304 634	143	0.250	9 _n 296 482	183

Tafel II.

log $\{M_1^5 m\}$.

$\pm m$	M	$-J$	$\pm m$	M	$-J$	$\pm m$	M	$-J$	$\pm m$	M	$-J$	$\pm m$	M	$-J$
0.000	7.670 941		0.050	7.656 243	603	0.100	7.609 239	1326	0.150	7.518 822	2406	0.200	7.352 986	4594
0.001	7.670 935	6	0.051	7.655 640	616	0.101	7.607 913	1342	0.151	7.516 416	2434	0.201	7.348 392	4664
0.002	7.670 918	17	0.052	7.655 024	629	0.102	7.606 571	1360	0.152	7.513 982	2464	0.202	7.343 728	4735
0.003	7.670 889	29	0.053	7.654 395	642	0.103	7.605 211	1377	0.153	7.511 518	2492	0.203	7.338 993	4808
0.004	7.670 849	40	0.054	7.653 753	655	0.104	7.603 834	1394	0.154	7.509 026	2523	0.204	7.334 185	4883
0.005	7.670 797	52	0.055	7.653 098	667	0.105	7.602 440	1412	0.155	7.506 503	2552	0.205	7.329 302	4961
0.006	7.670 733	64	0.056	7.652 431	680	0.106	7.601 028	1429	0.156	7.503 951	2583	0.206	7.324 341	5039
0.007	7.670 658	75	0.057	7.651 751	694	0.107	7.599 599	1447	0.157	7.501 368	2614	0.207	7.319 302	5121
0.008	7.670 571	87	0.058	7.651 057	707	0.108	7.598 152	1465	0.158	7.498 754	2646	0.208	7.314 181	5203
0.009	7.670 472	99	0.059	7.650 350	719	0.109	7.596 687	1483	0.159	7.496 108	2677	0.209	7.308 978	5289
	110													
0.010	7.670 362	122	0.060	7.649 631	733	0.110	7.595 204	1501	0.160	7.493 431	2709	0.210	7.303 689	5376
0.011	7.670 240	133	0.061	7.648 898	746	0.111	7.593 703	1520	0.161	7.490 722	2743	0.211	7.298 313	5467
0.012	7.670 107	145	0.062	7.648 152	760	0.112	7.592 183	1538	0.162	7.487 979	2776	0.212	7.292 846	5559
0.013	7.669 962	157	0.063	7.647 392	773	0.113	7.590 645	1555	0.163	7.485 203	2809	0.213	7.287 287	5655
0.014	7.669 805	168	0.064	7.646 619	786	0.114	7.589 088	1573	0.164	7.482 394	2844	0.214	7.281 632	5753
0.015	7.669 637	180	0.065	7.645 833	800	0.115	7.587 512	1595	0.165	7.479 550	2879	0.215	7.275 879	5853
0.016	7.669 457	192	0.066	7.645 033	813	0.116	7.585 917	1615	0.166	7.476 671	2915	0.216	7.270 026	5957
0.017	7.669 265	204	0.067	7.644 220	827	0.117	7.584 302	1633	0.167	7.473 756	2950	0.217	7.264 069	6065
0.018	7.669 061	215	0.068	7.643 393	841	0.118	7.582 666	1654	0.168	7.470 806	2987	0.218	7.258 004	6176
0.019	7.668 846	227	0.069	7.642 552	855	0.119	7.581 015	1673	0.169	7.467 819	3024	0.219	7.251 828	6289
0.020	7.668 619	238	0.070	7.641 697	868	0.120	7.579 342	1693	0.170	7.464 795	3062	0.220	7.245 539	6407
0.021	7.668 381	251	0.071	7.640 829	883	0.121	7.577 649	1713	0.171	7.461 733	3100	0.221	7.239 132	6529
0.022	7.668 130	262	0.072	7.639 946	896	0.122	7.575 936	1734	0.172	7.458 633	3139	0.222	7.232 603	6654
0.023	7.667 868	274	0.073	7.639 050	910	0.123	7.574 202	1754	0.173	7.455 494	3179	0.223	7.225 949	6784
0.024	7.667 594	285	0.074	7.638 140	925	0.124	7.572 448	1775	0.174	7.452 314	3219	0.224	7.219 165	6917
0.025	7.667 309	298	0.075	7.637 215	939	0.125	7.570 673	1797	0.175	7.449 095	3260	0.225	7.212 248	7058
0.026	7.667 011	310	0.076	7.636 276	953	0.126	7.568 876	1817	0.176	7.445 835	3303	0.226	7.205 190	7201
0.027	7.666 701	321	0.077	7.635 323	967	0.127	7.567 059	1839	0.177	7.442 532	3345	0.227	7.197 989	7350
0.028	7.666 380	333	0.078	7.634 356	982	0.128	7.565 220	1860	0.178	7.439 187	3388	0.228	7.190 639	7505
0.029	7.666 047	346	0.079	7.633 374	997	0.129	7.563 360	1883	0.179	7.435 799	3433	0.229	7.183 134	7666
0.030	7.665 701	357	0.080	7.632 377	1011	0.130	7.561 477	1904	0.180	7.432 366	3477	0.230	7.175 468	7832
0.031	7.665 344	369	0.081	7.631 366	1026	0.131	7.559 573	1927	0.181	7.428 889	3523	0.231	7.167 636	8006
0.032	7.664 975	382	0.082	7.630 340	1041	0.132	7.557 646	1950	0.182	7.425 366	3570	0.232	7.159 630	8186
0.033	7.664 593	393	0.083	7.629 299	1056	0.133	7.555 696	1973	0.183	7.421 796	3617	0.233	7.151 444	8374
0.034	7.664 200	405	0.084	7.628 243	1071	0.134	7.553 723	1995	0.184	7.418 179	3666	0.234	7.143 070	8570
0.035	7.663 795	418	0.085	7.627 172	1085	0.135	7.551 728	2019	0.185	7.414 513	3715	0.235	7.134 500	8774
0.036	7.663 377	429	0.086	7.626 087	1101	0.136	7.549 709	2043	0.186	7.410 798	3766	0.236	7.125 726	8987
0.037	7.662 948	442	0.087	7.624 986	1117	0.137	7.547 666	2067	0.187	7.407 032	3817	0.237	7.116 739	9211
0.038	7.662 506	454	0.088	7.623 869	1132	0.138	7.545 599	2091	0.188	7.403 215	3870	0.238	7.107 528	9443
0.039	7.662 052	466	0.089	7.622 737	1147	0.139	7.543 508	2115	0.189	7.399 345	3922	0.239	7.098 085	9687
0.040	7.661 586	478	0.090	7.621 590	1163	0.140	7.541 393	2140	0.190	7.395 423	3978	0.240	7.088 398	9943
0.041	7.661 108	491	0.091	7.620 427	1179	0.141	7.539 253	2166	0.191	7.391 445	4033	0.241	7.078 455	10211
0.042	7.660 617	503	0.092	7.619 248	1194	0.142	7.537 087	2190	0.192	7.387 412	4090	0.242	7.068 244	10494
0.043	7.660 114	516	0.093	7.618 054	1211	0.143	7.534 897	2217	0.193	7.383 322	4149	0.243	7.057 750	10791
0.044	7.659 598	528	0.094	7.616 843	1226	0.144	7.532 680	2243	0.194	7.379 173	4208	0.244	7.046 959	11105
0.045	7.659 070	540	0.095	7.615 617	1243	0.145	7.530 437	2268	0.195	7.374 965	4268	0.245	7.035 854	11433
0.046	7.658 530	553	0.096	7.614 374	1259	0.146	7.528 169	2296	0.196	7.370 697	4331	0.246	7.024 421	11786
0.047	7.657 977	565	0.097	7.613 115	1276	0.147	7.525 873	2323	0.197	7.366 366	4395	0.247	7.012 635	12151
0.048	7.657 412	578	0.098	7.611 839	1292	0.148	7.523 550	2350	0.198	7.361 971	4459	0.248	7.000 484	12545
0.049	7.656 834	591	0.099	7.610 547	1308	0.149	7.521 200	2378	0.199	7.357 512	4525	0.249	6.987 939	12962
0.050	7.656 243		0.100	7.609 239		0.150	7.518 822		0.200	7.352 986		0.250	6.974 977	

Tafel II.

 $\log \{M_1^6(m)\}$

$\pm m$	M	$-J$	$\pm m$	M	$-J$	$\pm m$	M	$-J$	$\pm m$	M	$-J$	$\pm m$	M	$-J$	
0.000	8.652	777	0	0.050	8.651	702	47	0.100	8.648	165	95	0.150	8.642	224	143
0.001	8.652	777	1	0.051	8.651	655	49	0.101	8.648	070	96	0.151	8.642	081	145
0.002	8.652	775	2	0.052	8.651	606	49	0.102	8.647	974	97	0.152	8.641	936	146
0.003	8.652	773	3	0.053	8.651	557	50	0.103	8.647	877	98	0.153	8.641	790	146
0.004	8.652	770	4	0.054	8.651	507	52	0.104	8.647	779	99	0.154	8.641	644	148
0.005	8.652	766	5	0.055	8.651	455	52	0.105	8.647	680	100	0.155	8.641	496	149
0.006	8.652	760	6	0.056	8.651	403	53	0.106	8.647	580	101	0.156	8.641	347	149
0.007	8.652	754	7	0.057	8.651	350	54	0.107	8.647	479	102	0.157	8.641	198	151
0.008	8.652	747	8	0.058	8.651	296	55	0.108	8.647	377	103	0.158	8.641	047	152
0.009	8.652	739	9	0.059	8.651	241	56	0.109	8.647	274	103	0.159	8.640	895	152
0.010	8.652	730	10	0.060	8.651	185	57	0.110	8.647	171	105	0.160	8.640	743	154
0.011	8.652	720	11	0.061	8.651	128	58	0.111	8.647	066	106	0.161	8.640	589	155
0.012	8.652	710	12	0.062	8.651	070	59	0.112	8.646	960	106	0.162	8.640	434	155
0.013	8.652	708	13	0.063	8.651	011	60	0.113	8.646	854	108	0.163	8.640	279	157
0.014	8.652	705	13	0.064	8.650	951	61	0.114	8.646	746	109	0.164	8.640	122	158
0.015	8.652	702	15	0.065	8.650	890	61	0.115	8.646	637	109	0.165	8.639	964	158
0.016	8.652	700	16	0.066	8.650	829	63	0.116	8.646	528	111	0.166	8.639	806	160
0.017	8.652	697	16	0.067	8.650	769	64	0.117	8.646	417	111	0.167	8.639	646	160
0.018	8.652	695	17	0.068	8.650	702	64	0.118	8.646	306	113	0.168	8.639	486	162
0.019	8.652	692	19	0.069	8.650	638	66	0.119	8.646	193	113	0.169	8.639	324	163
0.020	8.652	689	19	0.070	8.650	572	66	0.120	8.646	080	114	0.170	8.639	161	163
0.021	8.652	687	20	0.071	8.650	506	67	0.121	8.645	966	116	0.171	8.638	998	165
0.022	8.652	685	21	0.072	8.650	439	69	0.122	8.645	850	116	0.172	8.638	833	165
0.023	8.652	682	22	0.073	8.650	370	69	0.123	8.645	734	117	0.173	8.638	668	167
0.024	8.652	679	23	0.074	8.650	301	70	0.124	8.645	617	119	0.174	8.638	501	168
0.025	8.652	676	24	0.075	8.650	231	71	0.125	8.645	498	119	0.175	8.638	333	168
0.026	8.652	673	25	0.076	8.650	160	73	0.126	8.645	379	120	0.176	8.638	165	170
0.027	8.652	670	26	0.077	8.650	087	73	0.127	8.645	259	121	0.177	8.637	995	171
0.028	8.652	667	27	0.078	8.650	014	74	0.128	8.645	138	122	0.178	8.637	824	171
0.029	8.652	664	27	0.079	8.649	940	75	0.129	8.645	016	123	0.179	8.637	653	173
0.030	8.652	661	29	0.080	8.649	865	76	0.130	8.644	893	125	0.180	8.637	480	174
0.031	8.652	658	30	0.081	8.649	789	77	0.131	8.644	768	125	0.181	8.637	306	174
0.032	8.652	655	31	0.082	8.649	712	77	0.132	8.644	643	126	0.182	8.637	132	176
0.033	8.652	652	32	0.083	8.649	635	79	0.133	8.644	517	127	0.183	8.636	956	177
0.034	8.652	649	33	0.084	8.649	556	80	0.134	8.644	390	128	0.184	8.636	779	178
0.035	8.652	646	34	0.085	8.649	476	81	0.135	8.644	262	129	0.185	8.636	601	178
0.036	8.652	643	35	0.086	8.649	395	81	0.136	8.644	133	130	0.186	8.636	423	180
0.037	8.652	640	36	0.087	8.649	314	83	0.137	8.644	003	131	0.187	8.636	243	181
0.038	8.652	637	37	0.088	8.649	231	84	0.138	8.643	872	132	0.188	8.636	062	182
0.039	8.652	634	37	0.089	8.649	147	84	0.139	8.643	740	132	0.189	8.635	880	182
0.040	8.652	631	38	0.090	8.649	063	86	0.140	8.643	608	134	0.190	8.635	698	184
0.041	8.652	628	39	0.091	8.648	977	86	0.141	8.643	474	135	0.191	8.635	514	185
0.042	8.652	625	40	0.092	8.648	891	87	0.142	8.643	339	136	0.192	8.635	329	186
0.043	8.652	622	41	0.093	8.648	804	89	0.143	8.643	203	137	0.193	8.635	143	187
0.044	8.652	619	42	0.094	8.648	715	89	0.144	8.643	066	138	0.194	8.634	956	188
0.045	8.652	616	43	0.095	8.648	626	91	0.145	8.642	928	138	0.195	8.634	768	189
0.046	8.652	613	44	0.096	8.648	535	91	0.146	8.642	790	140	0.196	8.634	579	190
0.047	8.652	610	45	0.097	8.648	444	92	0.147	8.642	650	141	0.197	8.634	389	191
0.048	8.652	607	46	0.098	8.648	352	93	0.148	8.642	509	142	0.198	8.634	198	192
0.049	8.652	604	47	0.099	8.648	259	94	0.149	8.642	367	143	0.199	8.634	006	193
0.050	8.652	601	47	0.100	8.648	165	95	0.150	8.642	224	143	0.200	8.633	813	193
0.051	8.652	598	48	0.101	8.648	070	96	0.151	8.642	081	145	0.201	8.633	619	195
0.052	8.652	595	49	0.102	8.647	974	97	0.152	8.641	936	146	0.202	8.633	424	196
0.053	8.652	592	50	0.103	8.647	877	98	0.153	8.641	790	146	0.203	8.633	228	197
0.054	8.652	589	52	0.104	8.647	779	99	0.154	8.641	644	148	0.204	8.633	031	198
0.055	8.652	586	53	0.105	8.647	680	100	0.155	8.641	496	149	0.205	8.632	833	199
0.056	8.652	583	54	0.106	8.647	580	101	0.156	8.641	347	149	0.206	8.632	634	201
0.057	8.652	580	55	0.107	8.647	479	102	0.157	8.641	198	151	0.207	8.632	433	201
0.058	8.652	577	56	0.108	8.647	377	103	0.158	8.641	047	152	0.208	8.632	232	202
0.059	8.652	574	56	0.109	8.647	274	103	0.159	8.640	895	152	0.209	8.632	030	204
0.060	8.652	571	57	0.110	8.647	171	105	0.160	8.640	743	154	0.210	8.631	826	204
0.061	8.652	568	58	0.111	8.647	066	106	0.161	8.640	589	155	0.211	8.631	622	205
0.062	8.652	565	59	0.112	8.646	960	106	0.162	8.640	434	155	0.212	8.631	417	207
0.063	8.652	562	60	0.113	8.646	854	108	0.163	8.640	279	157	0.213	8.631	210	207
0.064	8.652	559	61	0.114	8.646	746	109	0.164	8.640	122	158	0.214	8.631	003	209
0.065	8.652	556	61	0.115	8.646	637	109	0.165	8.639	964	158	0.215	8.630	794	209
0.066	8.652	553	63	0.116	8.646	528	111	0.166	8.639	806	160	0.216	8.630	585	211
0.067	8.652	550	64	0.117	8.646	417	111	0.167	8.639	646	160	0.217	8.630	374	212
0.068	8.652	547	64	0.118	8.646	306	113	0.168	8.639	486	162	0.218	8.630	162	212
0.069	8.652	544	66	0.119	8.646	193	113	0.169	8.639	324	163	0.219	8.629	950	214
0.070	8.652	541	66	0.120	8.646	080	114	0.170	8.639	161	163	0.220	8.629	736	215
0.071	8.652	538	67	0.121	8.645	966	116	0.171	8.638	998	165	0.221	8.629	521	216
0.072	8.652	535	69	0.122	8.645	850	116	0.172	8.638	833	165	0.222	8.629	305	217
0.073	8.652	532	69	0.123	8.645	734	117	0.173	8.638	668	167	0.223	8.629	088	218
0.074	8.652	529	70	0.124	8.645	617	119	0.174	8.638	501	168	0.224	8.628	870	219
0.075	8.652	526	71	0.125	8.645	498	119	0.175	8.638	333	168	0.225	8.628	651	220
0.076	8.652	523	73	0.126	8.645	379	120	0.176	8.638	165	170	0.226	8.628	431	221
0.077	8.652	520	73	0.127	8.645	259	121	0.177	8.637	995	171	0.227	8.628	210	222
0.078	8.652	517	74	0.128	8.645	138	122	0.178	8.637	824	171	0.228	8.627	988	223
0.079	8.652	514	75	0.129	8.645	016	123	0.179	8.637	653	173	0.229	8.627	765	224
0.080	8.652	511	76	0.130	8.644	893	125	0.180	8.637	480	174	0.230	8.627	541	226
0.081	8.652	508	77	0.131	8.644	768	125	0.181	8.637	306	174	0.231	8.627	315	226
0.082	8.652</														

Tafel II.

$$\log \{M_1/m\},$$

$\pm m$	M	$-J$	$\pm m$	M	$-J$	$\pm m$	M	$-J$	$\pm m$	M	$-J$	$\pm m$	M	$-J$
0.000	6 _u 843	572	0.050	6 _u 828	344	0.100	6 _u 779	638	0.150	6 _u 685	855	0.200	6 _u 513	122
0.001	6 _u 843	566	0.051	6 _u 827	349	0.101	6 _u 778	641	0.151	6 _u 683	857	0.201	6 _u 508	316
0.002	6 _u 843	546	0.052	6 _u 826	351	0.102	6 _u 777	644	0.152	6 _u 680	859	0.202	6 _u 503	439
0.003	6 _u 843	518	0.053	6 _u 826	429	0.103	6 _u 775	643	0.153	6 _u 678	871	0.203	6 _u 498	480
0.004	6 _u 843	476	0.054	6 _u 825	705	0.104	6 _u 774	639	0.154	6 _u 675	882	0.204	6 _u 493	146
0.005	6 _u 843	422	0.055	6 _u 825	886	0.105	6 _u 772	641	0.155	6 _u 673	886	0.205	6 _u 488	331
0.006	6 _u 843	356	0.056	6 _u 824	395	0.106	6 _u 771	643	0.156	6 _u 670	911	0.206	6 _u 483	134
0.007	6 _u 843	278	0.057	6 _u 823	690	0.107	6 _u 769	646	0.157	6 _u 667	928	0.207	6 _u 477	652
0.008	6 _u 843	168	0.058	6 _u 822	971	0.108	6 _u 768	647	0.158	6 _u 665	942	0.208	6 _u 472	484
0.009	6 _u 843	666	0.059	6 _u 822	239	0.109	6 _u 766	648	0.159	6 _u 662	964	0.209	6 _u 467	626
0.010	6 _u 842	972	0.060	6 _u 821	494	0.110	6 _u 765	691	0.160	6 _u 659	482	0.210	6 _u 461	477
0.011	6 _u 842	846	0.061	6 _u 820	734	0.111	6 _u 765	534	0.161	6 _u 656	607	0.211	6 _u 455	833
0.012	6 _u 842	707	0.062	6 _u 819	961	0.112	6 _u 764	959	0.162	6 _u 653	817	0.212	6 _u 450	693
0.013	6 _u 842	557	0.063	6 _u 819	171	0.113	6 _u 760	361	0.163	6 _u 650	932	0.213	6 _u 444	253
0.014	6 _u 842	395	0.064	6 _u 818	373	0.114	6 _u 758	750	0.164	6 _u 648	911	0.214	6 _u 438	310
0.015	6 _u 842	220	0.065	6 _u 817	559	0.115	6 _u 757	119	0.165	6 _u 645	955	0.215	6 _u 432	261
0.016	6 _u 842	934	0.066	6 _u 816	730	0.116	6 _u 755	462	0.166	6 _u 642	962	0.216	6 _u 426	103
0.017	6 _u 841	835	0.067	6 _u 815	887	0.117	6 _u 753	789	0.167	6 _u 639	932	0.217	6 _u 419	833
0.018	6 _u 841	625	0.068	6 _u 815	930	0.118	6 _u 752	695	0.168	6 _u 635	964	0.218	6 _u 413	446
0.019	6 _u 841	402	0.069	6 _u 814	159	0.119	6 _u 750	380	0.169	6 _u 632	858	0.219	6 _u 406	940
0.020	6 _u 841	167	0.070	6 _u 813	274	0.120	6 _u 748	646	0.170	6 _u 629	513	0.220	6 _u 400	309
0.021	6 _u 840	910	0.071	6 _u 812	374	0.121	6 _u 746	890	0.171	6 _u 626	723	0.221	6 _u 393	551
0.022	6 _u 840	660	0.072	6 _u 811	460	0.122	6 _u 745	115	0.172	6 _u 623	503	0.222	6 _u 380	691
0.023	6 _u 840	388	0.073	6 _u 810	531	0.123	6 _u 743	319	0.173	6 _u 620	937	0.223	6 _u 379	933
0.024	6 _u 840	105	0.074	6 _u 809	588	0.124	6 _u 741	466	0.174	6 _u 619	729	0.224	6 _u 372	464
0.025	6 _u 839	808	0.075	6 _u 808	632	0.125	6 _u 739	655	0.175	6 _u 613	329	0.225	6 _u 365	128
0.026	6 _u 839	500	0.076	6 _u 807	657	0.126	6 _u 737	793	0.176	6 _u 609	985	0.226	6 _u 357	690
0.027	6 _u 839	179	0.077	6 _u 806	669	0.127	6 _u 735	908	0.177	6 _u 606	547	0.227	6 _u 350	654
0.028	6 _u 838	346	0.078	6 _u 805	667	0.128	6 _u 734	601	0.178	6 _u 603	964	0.228	6 _u 342	294
0.029	6 _u 838	501	0.079	6 _u 804	649	0.129	6 _u 732	671	0.179	6 _u 599	536	0.229	6 _u 334	304
0.030	6 _u 838	145	0.080	6 _u 803	616	0.130	6 _u 730	119	0.180	6 _u 595	961	0.230	6 _u 326	166
0.031	6 _u 837	773	0.081	6 _u 802	568	0.131	6 _u 728	143	0.181	6 _u 592	339	0.231	6 _u 317	844
0.032	6 _u 837	391	0.082	6 _u 801	505	0.132	6 _u 726	144	0.182	6 _u 588	666	0.232	6 _u 309	330
0.033	6 _u 836	966	0.083	6 _u 800	427	0.133	6 _u 724	122	0.183	6 _u 584	959	0.233	6 _u 300	616
0.034	6 _u 836	588	0.084	6 _u 799	333	0.134	6 _u 722	676	0.184	6 _u 581	180	0.234	6 _u 291	693
0.035	6 _u 836	160	0.085	6 _u 798	223	0.135	6 _u 720	905	0.185	6 _u 577	359	0.235	6 _u 282	551
0.036	6 _u 835	736	0.086	6 _u 797	698	0.136	6 _u 717	911	0.186	6 _u 573	889	0.236	6 _u 273	182
0.037	6 _u 835	201	0.087	6 _u 795	957	0.137	6 _u 715	791	0.187	6 _u 569	590	0.237	6 _u 263	574
0.038	6 _u 834	833	0.088	6 _u 794	800	0.138	6 _u 713	617	0.188	6 _u 565	880	0.238	6 _u 253	714
0.039	6 _u 834	363	0.089	6 _u 793	627	0.139	6 _u 711	478	0.189	6 _u 561	543	0.239	6 _u 243	594
0.040	6 _u 833	880	0.090	6 _u 792	438	0.140	6 _u 709	282	0.190	6 _u 557	451	0.240	6 _u 233	197
0.041	6 _u 833	384	0.091	6 _u 791	233	0.141	6 _u 707	692	0.191	6 _u 553	300	0.241	6 _u 222	511
0.042	6 _u 832	876	0.092	6 _u 790	612	0.142	6 _u 704	814	0.192	6 _u 549	991	0.242	6 _u 211	518
0.043	6 _u 832	355	0.093	6 _u 788	774	0.143	6 _u 702	531	0.193	6 _u 544	821	0.243	6 _u 200	205
0.044	6 _u 831	821	0.094	6 _u 787	519	0.144	6 _u 700	240	0.194	6 _u 540	489	0.244	6 _u 188	551
0.045	6 _u 831	274	0.095	6 _u 786	247	0.145	6 _u 697	913	0.195	6 _u 536	995	0.245	6 _u 176	538
0.046	6 _u 830	714	0.096	6 _u 784	690	0.146	6 _u 695	558	0.196	6 _u 531	935	0.246	6 _u 164	144
0.047	6 _u 830	141	0.097	6 _u 783	655	0.147	6 _u 693	175	0.197	6 _u 527	116	0.247	6 _u 151	345
0.048	6 _u 829	555	0.098	6 _u 782	333	0.148	6 _u 690	764	0.198	6 _u 522	517	0.248	6 _u 138	116
0.049	6 _u 828	956	0.099	6 _u 780	994	0.149	6 _u 688	324	0.199	6 _u 517	855	0.249	6 _u 124	430
0.050	6 _u 828	344	0.100	6 _u 779	638	0.150	6 _u 685	855	0.200	6 _u 513	122	0.250	6 _u 110	254

Tafel II.

 $\log \{M_1 \sin m\}$.

$\pm m$	M	\angle	$\pm m$	M	\angle	$\pm m$	M	\angle	$\pm m$	M	\angle	$\pm m$	M	\angle
0.000	8,000 457	0	0.050	7,999 129	54	0.100	7,995 129	108	0.150	7,988 413	162	0.200	7,978 908	219
0.001	8,000 457	2	0.051	7,999 075	55	0.101	7,995 021	109	0.151	7,988 251	164	0.201	7,978 689	221
0.002	8,000 455	2	0.052	7,999 020	56	0.102	7,994 912	109	0.152	7,988 087	165	0.202	7,978 468	221
0.003	8,000 453	4	0.053	7,998 964	57	0.103	7,994 803	111	0.153	7,987 922	165	0.203	7,978 247	223
0.004	8,000 449	5	0.054	7,998 907	58	0.104	7,994 692	112	0.154	7,987 757	167	0.204	7,978 024	224
0.005	8,000 444	6	0.055	7,998 849	59	0.105	7,994 580	113	0.155	7,987 590	168	0.205	7,977 800	225
0.006	8,000 438	7	0.056	7,998 790	60	0.106	7,994 467	114	0.156	7,987 422	169	0.206	7,977 575	226
0.007	8,000 431	8	0.057	7,998 730	61	0.107	7,994 353	115	0.157	7,987 253	171	0.207	7,977 349	227
0.008	8,000 423	9	0.058	7,998 669	62	0.108	7,994 238	116	0.158	7,987 082	171	0.208	7,977 122	227
0.009	8,000 414	10	0.059	7,998 607	64	0.109	7,994 122	117	0.159	7,986 911	173	0.209	7,976 893	229
0.010	8,000 404	11	0.060	7,998 543	64	0.110	7,994 005	119	0.160	7,986 738	173	0.210	7,976 663	230
0.011	8,000 393	12	0.061	7,998 479	65	0.111	7,993 886	119	0.161	7,986 565	175	0.211	7,976 432	231
0.012	8,000 381	13	0.062	7,998 414	67	0.112	7,993 767	121	0.162	7,986 390	176	0.212	7,976 200	232
0.013	8,000 368	15	0.063	7,998 347	68	0.113	7,993 646	122	0.163	7,986 214	177	0.213	7,975 967	233
0.014	8,000 353	15	0.064	7,998 279	68	0.114	7,993 524	124	0.164	7,986 037	178	0.214	7,975 733	234
0.015	8,000 338	15	0.065	7,998 211	70	0.115	7,993 402	124	0.165	7,985 859	179	0.215	7,975 497	236
0.016	8,000 321	17	0.066	7,998 141	71	0.116	7,993 278	125	0.166	7,985 680	181	0.216	7,975 261	237
0.017	8,000 304	19	0.067	7,998 070	72	0.117	7,993 153	126	0.167	7,985 499	181	0.217	7,975 023	239
0.018	8,000 285	19	0.068	7,997 998	73	0.118	7,993 027	127	0.168	7,985 318	183	0.218	7,974 784	241
0.019	8,000 266	21	0.069	7,997 925	74	0.119	7,992 900	128	0.169	7,985 135	184	0.219	7,974 543	241
0.020	8,000 245	22	0.070	7,997 851	75	0.120	7,992 772	130	0.170	7,984 951	185	0.220	7,974 302	243
0.021	8,000 223	23	0.071	7,997 776	76	0.121	7,992 642	130	0.171	7,984 766	186	0.221	7,974 059	244
0.022	8,000 200	23	0.072	7,997 700	78	0.122	7,992 512	131	0.172	7,984 580	187	0.222	7,973 815	245
0.023	8,000 177	25	0.073	7,997 622	78	0.123	7,992 381	133	0.173	7,984 393	188	0.223	7,973 570	246
0.024	8,000 152	26	0.074	7,997 544	79	0.124	7,992 248	134	0.174	7,984 205	190	0.224	7,973 324	247
0.025	8,000 126	28	0.075	7,997 465	81	0.125	7,992 114	135	0.175	7,984 015	190	0.225	7,973 077	249
0.026	8,000 098	28	0.076	7,997 384	81	0.126	7,991 979	136	0.176	7,983 825	192	0.226	7,972 828	250
0.027	8,000 070	29	0.077	7,997 303	83	0.127	7,991 843	137	0.177	7,983 633	193	0.227	7,972 578	250
0.028	8,000 041	30	0.078	7,997 220	84	0.128	7,991 706	138	0.178	7,983 440	194	0.228	7,972 328	252
0.029	8,000 011	32	0.079	7,997 136	85	0.129	7,991 568	139	0.179	7,983 246	195	0.229	7,972 076	254
0.030	7,999 979	32	0.080	7,997 051	86	0.130	7,991 429	140	0.180	7,983 051	196	0.230	7,971 822	254
0.031	7,999 947	33	0.081	7,996 965	86	0.131	7,991 289	142	0.181	7,982 855	198	0.231	7,971 568	256
0.032	7,999 914	35	0.082	7,996 879	89	0.132	7,991 147	142	0.182	7,982 657	198	0.232	7,971 312	257
0.033	7,999 879	36	0.083	7,996 790	89	0.133	7,991 005	144	0.183	7,982 459	200	0.233	7,971 055	258
0.034	7,999 843	36	0.084	7,996 701	90	0.134	7,990 861	144	0.184	7,982 259	201	0.234	7,970 797	259
0.035	7,999 807	38	0.085	7,996 611	91	0.135	7,990 717	146	0.185	7,982 058	202	0.235	7,970 538	261
0.036	7,999 769	39	0.086	7,996 520	92	0.136	7,990 571	147	0.186	7,981 856	203	0.236	7,970 277	261
0.037	7,999 730	40	0.087	7,996 428	94	0.137	7,990 424	148	0.187	7,981 653	204	0.237	7,970 016	263
0.038	7,999 690	41	0.088	7,996 334	94	0.138	7,990 276	149	0.188	7,981 449	205	0.238	7,969 753	264
0.039	7,999 649	42	0.089	7,996 240	96	0.139	7,990 127	151	0.189	7,981 244	207	0.239	7,969 489	265
0.040	7,999 607	43	0.090	7,996 144	97	0.140	7,989 976	151	0.190	7,981 037	208	0.240	7,969 224	267
0.041	7,999 564	44	0.091	7,996 047	97	0.141	7,989 825	152	0.191	7,980 829	209	0.241	7,968 957	268
0.042	7,999 520	45	0.092	7,995 950	99	0.142	7,989 673	154	0.192	7,980 620	210	0.242	7,968 689	269
0.043	7,999 475	46	0.093	7,995 851	100	0.143	7,989 519	155	0.193	7,980 410	211	0.243	7,968 420	270
0.044	7,999 429	48	0.094	7,995 751	101	0.144	7,989 364	155	0.194	7,980 199	212	0.244	7,968 150	271
0.045	7,999 381	48	0.095	7,995 650	102	0.145	7,989 209	157	0.195	7,979 987	214	0.245	7,967 879	272
0.046	7,999 333	49	0.096	7,995 548	104	0.146	7,989 052	158	0.196	7,979 773	214	0.246	7,967 607	274
0.047	7,999 284	51	0.097	7,995 444	104	0.147	7,988 894	159	0.197	7,979 559	216	0.247	7,967 333	275
0.048	7,999 233	51	0.098	7,995 340	105	0.148	7,988 735	161	0.198	7,979 343	217	0.248	7,967 058	276
0.049	7,999 182	53	0.099	7,995 235	106	0.149	7,988 574	161	0.199	7,979 126	218	0.249	7,966 782	278
0.050	7,999 129		0.100	7,995 129		0.150	7,988 413		0.200	7,978 908		0.250	7,966 504	

Tafel II.

 $\log \{M_1^3(m)\}$

$\pm m$	M	$-J$	$\pm m$	M	$-J$	$\pm m$	M	$-J$	$\pm m$	M	$-J$	$\pm m$	M	$-J$
0.000 6.074 376		7	0.050 6.058 878		636	0.100 6.009 301		1398	0.150 5.913 792		2545	0.200 5.737 483		4916
0.001 6.074 369		18	0.051 6.058 242		650	0.101 6.007 903		1417	0.151 5.911 247		2576	0.201 5.732 567		4993
0.002 6.074 351		30	0.052 6.057 592		663	0.102 6.006 486		1434	0.152 5.908 671		2607	0.202 5.727 574		5072
0.003 6.074 321		43	0.053 6.056 929		677	0.103 6.005 052		1453	0.153 5.906 064		2638	0.203 5.722 502		5153
0.004 6.074 278		55	0.054 6.056 252		690	0.104 6.003 599		1471	0.154 5.903 426		2670	0.204 5.717 349		5236
0.005 6.074 223		67	0.055 6.055 562		704	0.105 6.002 128		1490	0.155 5.900 756		2702	0.205 5.712 113		5321
0.006 6.074 156		80	0.056 6.054 858		717	0.106 6.000 638		1508	0.156 5.898 054		2735	0.206 5.706 792		5409
0.007 6.074 076		91	0.057 6.054 141		732	0.107 5.999 130		1527	0.157 5.895 319		2768	0.207 5.701 383		5499
0.008 6.073 985		104	0.058 6.053 409		745	0.108 5.997 603		1546	0.158 5.892 551		2801	0.208 5.695 884		5591
0.009 6.073 881		116	0.059 6.052 664		759	0.109 5.996 057		1565	0.159 5.889 750		2836	0.209 5.690 293		5686
0.010 6.073 765		129	0.060 6.051 905		773	0.110 5.994 492		1585	0.160 5.886 914		2870	0.210 5.684 607		5785
0.011 6.073 636		140	0.061 6.051 132		786	0.111 5.992 907		1604	0.161 5.884 044		2906	0.211 5.678 822		5884
0.012 6.073 496		153	0.062 6.050 346		801	0.112 5.991 303		1623	0.162 5.881 138		2941	0.212 5.672 938		5984
0.013 6.073 343		165	0.063 6.049 545		815	0.113 5.989 680		1644	0.163 5.878 197		2977	0.213 5.666 949		6095
0.014 6.073 178		178	0.064 6.048 730		830	0.114 5.988 036		1663	0.164 5.875 220		3014	0.214 5.660 854		6206
0.015 6.073 000		190	0.065 6.047 900		843	0.115 5.986 373		1684	0.165 5.872 206		3052	0.215 5.654 648		6319
0.016 6.072 810		202	0.066 6.047 057		858	0.116 5.984 689		1704	0.166 5.869 154		3090	0.216 5.648 329		6436
0.017 6.072 608		214	0.067 6.046 199		872	0.117 5.982 985		1725	0.167 5.866 064		3128	0.217 5.641 893		6557
0.018 6.072 394		227	0.068 6.045 327		887	0.118 5.981 260		1745	0.168 5.862 936		3168	0.218 5.635 336		6682
0.019 6.072 167		239	0.069 6.044 440		901	0.119 5.979 515		1766	0.169 5.859 768		3208	0.219 5.628 654		6811
0.020 6.071 928		252	0.070 6.043 539		916	0.120 5.977 749		1788	0.170 5.856 560		3248	0.220 5.621 843		6946
0.021 6.071 676		264	0.071 6.042 623		930	0.121 5.975 961		1809	0.171 5.853 312		3288	0.221 5.614 897		7083
0.022 6.071 412		276	0.072 6.041 693		946	0.122 5.974 152		1831	0.172 5.850 022		3329	0.222 5.607 814		7229
0.023 6.071 136		289	0.073 6.040 747		960	0.123 5.972 321		1852	0.173 5.846 690		3374	0.223 5.600 588		7374
0.024 6.070 847		302	0.074 6.039 787		975	0.124 5.970 469		1875	0.174 5.843 316		3419	0.224 5.593 214		7529
0.025 6.070 545		313	0.075 6.038 812		990	0.125 5.968 594		1897	0.175 5.839 897		3462	0.225 5.585 685		7688
0.026 6.070 232		327	0.076 6.037 822		1005	0.126 5.966 697		1919	0.176 5.836 435		3508	0.226 5.577 977		7854
0.027 6.069 905		339	0.077 6.036 817		1021	0.127 5.964 778		1942	0.177 5.832 927		3554	0.227 5.570 143		8026
0.028 6.069 566		351	0.078 6.035 796		1036	0.128 5.962 836		1965	0.178 5.829 373		3600	0.228 5.562 117		8205
0.029 6.069 215		364	0.079 6.034 760		1050	0.129 5.960 871		1989	0.179 5.825 773		3649	0.229 5.553 912		8392
0.030 6.068 851		377	0.080 6.033 710		1067	0.130 5.958 882		2012	0.180 5.822 124		3696	0.230 5.545 520		8586
0.031 6.068 474		389	0.081 6.032 643		1082	0.131 5.956 870		2035	0.181 5.818 428		3747	0.231 5.536 934		8788
0.032 6.068 085		402	0.082 6.031 561		1098	0.132 5.954 835		2060	0.182 5.814 681		3797	0.232 5.528 146		9000
0.033 6.067 683		415	0.083 6.030 463		1113	0.133 5.952 775		2084	0.183 5.810 884		3849	0.233 5.519 146		9222
0.034 6.067 268		427	0.084 6.029 350		1130	0.134 5.950 691		2109	0.184 5.807 035		3901	0.234 5.509 924		9451
0.035 6.066 841		440	0.085 6.028 220		1145	0.135 5.948 582		2133	0.185 5.803 134		3955	0.235 5.500 473		9693
0.036 6.066 401		453	0.086 6.027 075		1162	0.136 5.946 449		2159	0.186 5.799 179		4010	0.236 5.490 780		9947
0.037 6.065 948		466	0.087 6.025 913		1177	0.137 5.944 290		2184	0.187 5.795 169		4065	0.237 5.480 833		10213
0.038 6.065 482		479	0.088 6.024 736		1194	0.138 5.942 106		2210	0.188 5.791 104		4123	0.238 5.470 620		10492
0.039 6.065 003		491	0.089 6.023 542		1210	0.139 5.939 896		2236	0.189 5.786 981		4181	0.239 5.460 128		10786
0.040 6.064 512		505	0.090 6.022 332		1227	0.140 5.937 660		2262	0.190 5.782 800		4240	0.240 5.449 342		11096
0.041 6.064 007		517	0.091 6.021 105		1244	0.141 5.935 398		2289	0.191 5.778 560		4302	0.241 5.438 246		11423
0.042 6.063 490		531	0.092 6.019 861		1260	0.142 5.933 109		2316	0.192 5.774 258		4363	0.242 5.426 823		11767
0.043 6.062 959		543	0.093 6.018 601		1277	0.143 5.930 793		2344	0.193 5.769 895		4427	0.243 5.415 056		12133
0.044 6.062 416		557	0.094 6.017 324		1294	0.144 5.928 449		2371	0.194 5.765 468		4492	0.244 5.402 923		12519
0.045 6.061 859		570	0.095 6.016 030		1311	0.145 5.926 078		2400	0.195 5.760 976		4559	0.245 5.390 404		12931
0.046 6.061 289		583	0.096 6.014 719		1328	0.146 5.923 678		2428	0.196 5.756 417		4627	0.246 5.377 473		13367
0.047 6.060 706		596	0.097 6.013 391		1346	0.147 5.921 250		2456	0.197 5.751 790		4697	0.247 5.364 106		13833
0.048 6.060 110		609	0.098 6.012 045		1363	0.148 5.918 794		2486	0.198 5.747 093		4768	0.248 5.350 273		14330
0.049 6.059 501		623	0.099 6.010 682		1381	0.149 5.916 308		2516	0.199 5.742 325		4842	0.249 5.335 943		14866
0.050 6.058 878			0.100 6.009 301			0.150 5.913 792			0.200 5.737 483			0.250 5.321 077		

Tafel II.

 $\log \{M_1^{10}(m)\}.$

$\pm m$	M	$-J$	$\pm m$	M	$-J$	$\pm m$	M	$-J$	$\pm m$	M	$-J$	$\pm m$	M	$-J$
0.000	7.357 193	1	0.050	7.355 772	58	0.100	7.351 494	115	0.150	7.344 313	174	0.200	7.334 152	235
0.001	7.357 192	2	0.051	7.355 714	58	0.101	7.351 379	116	0.151	7.344 139	174	0.201	7.333 917	235
0.002	7.357 190	2	0.052	7.355 656	60	0.102	7.351 263	118	0.152	7.343 965	176	0.202	7.333 682	237
0.003	7.357 188	4	0.053	7.355 596	61	0.103	7.351 145	118	0.153	7.343 789	178	0.203	7.333 445	238
0.004	7.357 184	5	0.054	7.355 535	62	0.104	7.351 027	120	0.154	7.343 611	178	0.204	7.333 207	239
0.005	7.357 179	7	0.055	7.355 473	63	0.105	7.350 907	120	0.155	7.343 433	180	0.205	7.332 968	241
0.006	7.357 172	7	0.056	7.355 410	64	0.106	7.350 787	122	0.156	7.343 253	181	0.206	7.332 727	242
0.007	7.357 165	9	0.057	7.355 346	66	0.107	7.350 665	123	0.157	7.343 072	182	0.207	7.332 485	243
0.008	7.357 156	9	0.058	7.355 280	67	0.108	7.350 542	125	0.158	7.342 890	183	0.208	7.332 242	244
0.009	7.357 147	11	0.059	7.355 213	67	0.109	7.350 417	125	0.159	7.342 707	185	0.209	7.331 998	246
0.010	7.357 136	12	0.060	7.355 146	69	0.110	7.350 292	127	0.160	7.342 522	185	0.210	7.331 752	246
0.011	7.357 124	13	0.061	7.355 077	70	0.111	7.350 165	128	0.161	7.342 337	187	0.211	7.331 506	248
0.012	7.357 111	14	0.062	7.355 007	71	0.112	7.350 037	128	0.162	7.342 150	188	0.212	7.331 258	250
0.013	7.357 097	15	0.063	7.354 936	73	0.113	7.349 909	130	0.163	7.341 962	189	0.213	7.331 008	250
0.014	7.357 082	17	0.064	7.354 863	73	0.114	7.349 779	132	0.164	7.341 773	191	0.214	7.330 758	252
0.015	7.357 065	18	0.065	7.354 790	75	0.115	7.349 647	132	0.165	7.341 582	192	0.215	7.330 506	253
0.016	7.357 047	18	0.066	7.354 715	75	0.116	7.349 515	134	0.166	7.341 390	192	0.216	7.330 253	254
0.017	7.357 029	20	0.067	7.354 640	77	0.117	7.349 381	135	0.167	7.341 198	194	0.217	7.329 999	256
0.018	7.357 009	21	0.068	7.354 563	78	0.118	7.349 246	136	0.168	7.341 004	196	0.218	7.329 743	257
0.019	7.356 988	22	0.069	7.354 485	80	0.119	7.349 110	137	0.169	7.340 808	196	0.219	7.329 486	258
0.020	7.356 966	24	0.070	7.354 405	80	0.120	7.348 973	138	0.170	7.340 612	198	0.220	7.329 228	259
0.021	7.356 942	24	0.071	7.354 325	82	0.121	7.348 835	139	0.171	7.340 414	199	0.221	7.328 969	261
0.022	7.356 918	26	0.072	7.354 243	82	0.122	7.348 696	141	0.172	7.340 215	200	0.222	7.328 708	262
0.023	7.356 892	26	0.073	7.354 161	84	0.123	7.348 555	142	0.173	7.340 015	201	0.223	7.328 446	263
0.024	7.356 866	28	0.074	7.354 077	85	0.124	7.348 413	143	0.174	7.339 814	203	0.224	7.328 183	264
0.025	7.356 838	29	0.075	7.353 992	86	0.125	7.348 270	144	0.175	7.339 611	203	0.225	7.327 919	266
0.026	7.356 809	30	0.076	7.353 906	87	0.126	7.348 126	145	0.176	7.339 408	205	0.226	7.327 653	267
0.027	7.356 779	32	0.077	7.353 819	89	0.127	7.347 981	147	0.177	7.339 203	206	0.227	7.327 386	268
0.028	7.356 747	32	0.078	7.353 730	89	0.128	7.347 834	147	0.178	7.338 997	208	0.228	7.327 118	269
0.029	7.356 715	34	0.079	7.353 641	91	0.129	7.347 687	149	0.179	7.338 789	208	0.229	7.326 849	271
0.030	7.356 681	34	0.080	7.353 550	92	0.130	7.347 538	150	0.180	7.338 581	210	0.230	7.326 578	272
0.031	7.356 647	36	0.081	7.353 458	93	0.131	7.347 388	151	0.181	7.338 371	211	0.231	7.326 306	273
0.032	7.356 611	37	0.082	7.353 365	94	0.132	7.347 237	153	0.182	7.338 160	213	0.232	7.326 033	275
0.033	7.356 574	37	0.083	7.353 271	95	0.133	7.347 084	153	0.183	7.337 947	213	0.233	7.325 758	275
0.034	7.356 536	39	0.084	7.353 176	97	0.134	7.346 931	155	0.184	7.337 734	215	0.234	7.325 483	278
0.035	7.356 497	41	0.085	7.353 079	97	0.135	7.346 776	156	0.185	7.337 519	216	0.235	7.325 205	278
0.036	7.356 456	41	0.086	7.352 982	99	0.136	7.346 620	157	0.186	7.337 303	217	0.236	7.324 927	279
0.037	7.356 415	43	0.087	7.352 883	100	0.137	7.346 463	158	0.187	7.337 086	218	0.237	7.324 648	281
0.038	7.356 372	44	0.088	7.352 783	101	0.138	7.346 305	160	0.188	7.336 868	220	0.238	7.324 367	283
0.039	7.356 328	44	0.089	7.352 682	102	0.139	7.346 145	160	0.189	7.336 648	221	0.239	7.324 084	283
0.040	7.356 284	46	0.090	7.352 580	104	0.140	7.345 985	162	0.190	7.336 427	222	0.240	7.323 801	285
0.041	7.356 238	48	0.091	7.352 476	104	0.141	7.345 823	163	0.191	7.336 205	223	0.241	7.323 516	286
0.042	7.356 190	48	0.092	7.352 372	106	0.142	7.345 660	164	0.192	7.335 982	224	0.242	7.323 230	287
0.043	7.356 142	49	0.093	7.352 266	107	0.143	7.345 496	166	0.193	7.335 758	226	0.243	7.322 943	289
0.044	7.356 093	51	0.094	7.352 159	108	0.144	7.345 330	166	0.194	7.335 532	227	0.244	7.322 654	290
0.045	7.356 042	52	0.095	7.352 051	109	0.145	7.345 164	168	0.195	7.335 305	228	0.245	7.322 364	291
0.046	7.355 990	53	0.096	7.351 942	110	0.146	7.344 996	169	0.196	7.335 077	230	0.246	7.322 073	293
0.047	7.355 937	54	0.097	7.351 832	112	0.147	7.344 827	170	0.197	7.334 847	230	0.247	7.321 780	294
0.048	7.355 883	55	0.098	7.351 720	112	0.148	7.344 657	171	0.198	7.334 617	232	0.248	7.321 486	295
0.049	7.355 828	56	0.099	7.351 608	114	0.149	7.344 486	173	0.199	7.334 385	233	0.249	7.321 191	296
0.050	7.355 772		0.100	7.351 494		0.150	7.344 313		0.200	7.334 152		0.250	7.320 895	

Tafel III.

 $\log \{N_2^4(n)\}$.

vergl. pag. 19.

$\pm n$	N	$-J$	$\pm n$	N	$-J$	$\pm n$	N	$-J$	$\pm n$	N	$-J$	$\pm n$	N	$-J$
0.000	8 _n 920 819		0.050	8 _n 914 255	26~	0.100	8 _n 893 947	558	0.150	8 _n 857 835	908	0.200	8 _n 801 632	137~
0.001	8 _n 920 816	3	0.051	8 _n 913 988	273	0.101	8 _n 893 389	564	0.151	8 _n 856 927	915	0.201	8 _n 800 255	1388
0.002	8 _n 920 808	13	0.052	8 _n 913 715	278	0.102	8 _n 892 825	570	0.152	8 _n 856 012	924	0.202	8 _n 798 867	1400
0.003	8 _n 920 795	18	0.053	8 _n 913 437	284	0.103	8 _n 892 255	576	0.153	8 _n 855 088	932	0.203	8 _n 797 467	1411
0.004	8 _n 920 777	23	0.054	8 _n 913 153	289	0.104	8 _n 891 679	583	0.154	8 _n 854 156	939	0.204	8 _n 796 056	1423
0.005	8 _n 920 754	29	0.055	8 _n 912 864	295	0.105	8 _n 891 096	589	0.155	8 _n 853 217	948	0.205	8 _n 794 633	1434
0.006	8 _n 920 725	34	0.056	8 _n 912 569	300	0.106	8 _n 890 507	596	0.156	8 _n 852 269	956	0.206	8 _n 793 199	1446
0.007	8 _n 920 691	39	0.057	8 _n 912 269	306	0.107	8 _n 889 911	602	0.157	8 _n 851 313	965	0.207	8 _n 791 753	1458
0.008	8 _n 920 652	44	0.058	8 _n 911 963	311	0.108	8 _n 889 309	608	0.158	8 _n 850 348	973	0.208	8 _n 790 295	1470
0.009	8 _n 920 608	50	0.059	8 _n 911 652	31~	0.109	8 _n 888 701	615	0.159	8 _n 849 375	981	0.209	8 _n 788 825	1483
0.010	8 _n 920 558	55	0.060	8 _n 911 335	322	0.110	8 _n 888 086	621	0.160	8 _n 848 394	989	0.210	8 _n 787 342	1494
0.011	8 _n 920 503	60	0.061	8 _n 911 013	328	0.111	8 _n 887 465	628	0.161	8 _n 847 405	998	0.211	8 _n 785 848	1506
0.012	8 _n 920 443	65	0.062	8 _n 910 685	334	0.112	8 _n 886 837	635	0.162	8 _n 846 40~	1006	0.212	8 _n 784 342	1519
0.013	8 _n 920 378	70	0.063	8 _n 910 351	339	0.113	8 _n 886 202	641	0.163	8 _n 845 401	1015	0.213	8 _n 782 823	1532
0.014	8 _n 920 308	76	0.064	8 _n 910 012	345	0.114	8 _n 885 561	648	0.164	8 _n 844 386	1023	0.214	8 _n 781 291	1544
0.015	8 _n 920 232	81	0.065	8 _n 909 667	350	0.115	8 _n 884 913	654	0.165	8 _n 843 363	1032	0.215	8 _n 779 747	1557
0.016	8 _n 920 151	86	0.066	8 _n 909 317	356	0.116	8 _n 884 259	661	0.166	8 _n 842 331	1041	0.216	8 _n 778 190	1570
0.017	8 _n 920 065	91	0.067	8 _n 908 961	362	0.117	8 _n 883 598	668	0.167	8 _n 841 290	1050	0.217	8 _n 776 620	1583
0.018	8 _n 919 974	97	0.068	8 _n 908 599	36~	0.118	8 _n 882 930	674	0.168	8 _n 840 240	1059	0.218	8 _n 775 037	1596
0.019	8 _n 919 877	102	0.069	8 _n 908 232	373	0.119	8 _n 882 256	681	0.169	8 _n 839 181	1067	0.219	8 _n 773 441	1609
0.020	8 _n 919 775	107	0.070	8 _n 907 859	379	0.120	8 _n 881 575	688	0.170	8 _n 838 114	1076	0.220	8 _n 771 832	1622
0.021	8 _n 919 668	112	0.071	8 _n 907 480	384	0.121	8 _n 880 88~	695	0.171	8 _n 837 038	1085	0.221	8 _n 770 210	1636
0.022	8 _n 919 556	118	0.072	8 _n 907 096	390	0.122	8 _n 880 192	701	0.172	8 _n 835 953	1095	0.222	8 _n 768 574	1650
0.023	8 _n 919 438	123	0.073	8 _n 906 706	396	0.123	8 _n 879 491	709	0.173	8 _n 834 858	1103	0.223	8 _n 766 924	1663
0.024	8 _n 919 315	128	0.074	8 _n 906 310	402	0.124	8 _n 878 782	715	0.174	8 _n 833 755	1113	0.224	8 _n 765 261	1677
0.025	8 _n 919 187	133	0.075	8 _n 905 908	407	0.125	8 _n 878 067	722	0.175	8 _n 832 642	1122	0.225	8 _n 763 584	1691
0.026	8 _n 919 054	139	0.076	8 _n 905 501	413	0.126	8 _n 877 345	730	0.176	8 _n 831 520	1131	0.226	8 _n 761 893	1705
0.027	8 _n 918 915	144	0.077	8 _n 905 088	419	0.127	8 _n 876 615	736	0.177	8 _n 830 389	1141	0.227	8 _n 760 188	1720
0.028	8 _n 918 771	149	0.078	8 _n 904 669	425	0.128	8 _n 875 879	743	0.178	8 _n 829 248	1150	0.228	8 _n 758 468	1734
0.029	8 _n 918 622	155	0.079	8 _n 904 244	431	0.129	8 _n 875 136	751	0.179	8 _n 828 098	1160	0.229	8 _n 756 734	1749
0.030	8 _n 918 467	160	0.080	8 _n 903 813	436	0.130	8 _n 874 385	75~	0.180	8 _n 826 938	1169	0.230	8 _n 754 985	1763
0.031	8 _n 918 307	165	0.081	8 _n 903 377	443	0.131	8 _n 873 628	765	0.181	8 _n 825 769	1179	0.231	8 _n 753 222	1779
0.032	8 _n 918 142	170	0.082	8 _n 902 934	448	0.132	8 _n 872 863	772	0.182	8 _n 824 590	1189	0.232	8 _n 751 443	1793
0.033	8 _n 917 972	176	0.083	8 _n 902 486	454	0.133	8 _n 872 091	779	0.183	8 _n 823 401	1198	0.233	8 _n 749 650	1808
0.034	8 _n 917 796	181	0.084	8 _n 902 032	460	0.134	8 _n 871 312	786	0.184	8 _n 822 203	1208	0.234	8 _n 747 842	1824
0.035	8 _n 917 615	186	0.085	8 _n 901 572	466	0.135	8 _n 870 526	794	0.185	8 _n 820 995	1219	0.235	8 _n 746 018	1840
0.036	8 _n 917 429	192	0.086	8 _n 901 106	472	0.136	8 _n 869 732	801	0.186	8 _n 819 776	1228	0.236	8 _n 744 178	1855
0.037	8 _n 917 237	197	0.087	8 _n 900 634	478	0.137	8 _n 868 931	808	0.187	8 _n 818 548	1238	0.237	8 _n 742 323	1871
0.038	8 _n 917 040	203	0.088	8 _n 900 156	484	0.138	8 _n 868 123	816	0.188	8 _n 817 310	1249	0.238	8 _n 740 452	1887
0.039	8 _n 916 837	208	0.089	8 _n 899 672	490	0.139	8 _n 867 307	823	0.189	8 _n 816 061	1259	0.239	8 _n 738 565	1903
0.040	8 _n 916 629	213	0.090	8 _n 899 182	496	0.140	8 _n 866 484	830	0.190	8 _n 814 802	1269	0.240	8 _n 736 662	1919
0.041	8 _n 916 416	218	0.091	8 _n 898 686	502	0.141	8 _n 865 654	838	0.191	8 _n 813 533	1279	0.241	8 _n 734 743	1937
0.042	8 _n 916 198	224	0.092	8 _n 898 184	508	0.142	8 _n 864 816	846	0.192	8 _n 812 254	1290	0.242	8 _n 732 806	1952
0.043	8 _n 915 974	229	0.093	8 _n 897 676	515	0.143	8 _n 863 970	853	0.193	8 _n 810 964	1301	0.243	8 _n 730 854	1970
0.044	8 _n 915 745	235	0.094	8 _n 897 161	520	0.144	8 _n 863 11~	861	0.194	8 _n 809 663	1311	0.244	8 _n 728 884	1987
0.045	8 _n 915 510	240	0.095	8 _n 896 641	526	0.145	8 _n 862 256	869	0.195	8 _n 808 352	1322	0.245	8 _n 726 897	2004
0.046	8 _n 915 270	246	0.096	8 _n 896 115	533	0.146	8 _n 861 387	876	0.196	8 _n 807 030	1333	0.246	8 _n 724 893	2022
0.047	8 _n 915 024	251	0.097	8 _n 895 582	539	0.147	8 _n 860 511	884	0.197	8 _n 805 697	1344	0.247	8 _n 722 871	2039
0.048	8 _n 914 773	256	0.098	8 _n 895 043	545	0.148	8 _n 859 627	892	0.198	8 _n 804 353	1355	0.248	8 _n 720 832	2058
0.049	8 _n 914 517	262	0.099	8 _n 894 498	551	0.149	8 _n 858 735	900	0.199	8 _n 802 998	1366	0.249	8 _n 718 774	2075
0.050	8 _n 914 255		0.100	8 _n 893 947		0.150	8 _n 857 835		0.200	8 _n 801 632		0.250	8 _n 716 699	

Tafel III.

 $\log \{N_2^{5/2} n\}$.

$\pm n$	N	$-J$	$\pm n$	N	$-J$	$\pm n$	N	$-J$	$\pm n$	N	$-J$	$\pm n$	N	$-J$
0.000	9 _n 39 ⁻ 940	0	0.050	9 _n 39 ⁻ 216	30	0.100	9 _n 395 035	59	0.150	9 _n 391 3 ⁻ 6	88	0.200	9 _n 386 202	120
0.001	9 _n 39 ⁻ 940	1	0.051	9 _n 39 ⁻ 186	30	0.101	9 _n 394 9 ⁻ 6	59	0.151	9 _n 391 288	89	0.201	9 _n 386 082	120
0.002	9 _n 39 ⁻ 939	1	0.052	9 _n 39 ⁻ 156	30	0.102	9 _n 394 91 ⁻	60	0.152	9 _n 391 199	90	0.202	9 _n 385 962	120
0.003	9 _n 39 ⁻ 938	2	0.053	9 _n 39 ⁻ 126	31	0.103	9 _n 394 85 ⁻	60	0.153	9 _n 391 109	90	0.203	9 _n 385 842	121
0.004	9 _n 39 ⁻ 936	2	0.054	9 _n 39 ⁻ 095	31	0.104	9 _n 394 79 ⁻	61	0.154	9 _n 391 019	91	0.204	9 _n 385 721	122
0.005	9 _n 39 ⁻ 933	3	0.055	9 _n 39 ⁻ 063	32	0.105	9 _n 394 736	61	0.155	9 _n 390 928	92	0.205	9 _n 385 599	123
0.006	9 _n 39 ⁻ 930	3	0.056	9 _n 39 ⁻ 031	33	0.106	9 _n 394 675	62	0.156	9 _n 390 836	92	0.206	9 _n 385 476	123
0.007	9 _n 39 ⁻ 926	4	0.057	9 _n 396 998	33	0.107	9 _n 394 613	63	0.157	9 _n 390 744	93	0.207	9 _n 385 353	123
0.008	9 _n 39 ⁻ 922	4	0.058	9 _n 396 965	33	0.108	9 _n 394 550	64	0.158	9 _n 390 651	93	0.208	9 _n 385 230	125
0.009	9 _n 39 ⁻ 917	5	0.059	9 _n 396 931	34	0.109	9 _n 394 486	64	0.159	9 _n 390 558	93	0.209	9 _n 385 105	125
		6			35			64			94			125
0.010	9 _n 39 ⁻ 911	6	0.060	9 _n 396 896	35	0.110	9 _n 394 422	64	0.160	9 _n 390 464	95	0.210	9 _n 384 980	125
0.011	9 _n 39 ⁻ 905	6	0.061	9 _n 396 861	35	0.111	9 _n 394 358	65	0.161	9 _n 390 369	95	0.211	9 _n 384 855	126
0.012	9 _n 39 ⁻ 898	7	0.062	9 _n 396 826	35	0.112	9 _n 394 293	66	0.162	9 _n 390 274	95	0.212	9 _n 384 729	127
0.013	9 _n 39 ⁻ 891	8	0.063	9 _n 396 789	37	0.113	9 _n 394 227	66	0.163	9 _n 390 179	97	0.213	9 _n 384 602	128
0.014	9 _n 39 ⁻ 883	8	0.064	9 _n 396 752	37	0.114	9 _n 394 161	67	0.164	9 _n 390 082	97	0.214	9 _n 384 474	128
0.015	9 _n 39 ⁻ 875	9	0.065	9 _n 396 715	37	0.115	9 _n 394 094	67	0.165	9 _n 389 985	97	0.215	9 _n 384 346	129
0.016	9 _n 39 ⁻ 866	10	0.066	9 _n 396 677	38	0.116	9 _n 394 027	68	0.166	9 _n 389 888	99	0.216	9 _n 384 217	129
0.017	9 _n 39 ⁻ 856	10	0.067	9 _n 396 638	39	0.117	9 _n 393 959	69	0.167	9 _n 389 789	99	0.217	9 _n 384 088	130
0.018	9 _n 39 ⁻ 846	11	0.068	9 _n 396 599	40	0.118	9 _n 393 890	69	0.168	9 _n 389 690	99	0.218	9 _n 383 958	131
0.019	9 _n 39 ⁻ 835	11	0.069	9 _n 396 559	40	0.119	9 _n 393 821	70	0.169	9 _n 389 591	99	0.219	9 _n 383 827	131
		11			40			70			100			131
0.020	9 _n 39 ⁻ 824	12	0.070	9 _n 396 519	41	0.120	9 _n 393 751	71	0.170	9 _n 389 491	101	0.220	9 _n 383 696	132
0.021	9 _n 39 ⁻ 812	12	0.071	9 _n 396 478	42	0.121	9 _n 393 680	71	0.171	9 _n 389 390	101	0.221	9 _n 383 564	133
0.022	9 _n 39 ⁻ 800	13	0.072	9 _n 396 436	42	0.122	9 _n 393 609	72	0.172	9 _n 389 289	102	0.222	9 _n 383 431	133
0.023	9 _n 39 ⁻ 787	13	0.073	9 _n 396 394	42	0.123	9 _n 393 537	72	0.173	9 _n 389 187	102	0.223	9 _n 383 298	134
0.024	9 _n 39 ⁻ 773	14	0.074	9 _n 396 352	44	0.124	9 _n 393 465	73	0.174	9 _n 389 085	103	0.224	9 _n 383 164	134
0.025	9 _n 39 ⁻ 759	15	0.075	9 _n 396 308	44	0.125	9 _n 393 392	73	0.175	9 _n 388 982	104	0.225	9 _n 383 030	136
0.026	9 _n 39 ⁻ 744	15	0.076	9 _n 396 264	44	0.126	9 _n 393 319	74	0.176	9 _n 388 878	105	0.226	9 _n 382 894	137
0.027	9 _n 39 ⁻ 729	16	0.077	9 _n 396 220	45	0.127	9 _n 393 245	75	0.177	9 _n 388 773	105	0.227	9 _n 382 759	137
0.028	9 _n 39 ⁻ 713	17	0.078	9 _n 396 175	46	0.128	9 _n 393 170	75	0.178	9 _n 388 668	105	0.228	9 _n 382 622	137
0.029	9 _n 39 ⁻ 696	17	0.079	9 _n 396 129	46	0.129	9 _n 393 095	76	0.179	9 _n 388 563	106	0.229	9 _n 382 485	138
		17			46			76			106			138
0.030	9 _n 39 ⁻ 679	17	0.080	9 _n 396 083	47	0.130	9 _n 393 019	76	0.180	9 _n 388 457	107	0.230	9 _n 382 347	138
0.031	9 _n 39 ⁻ 662	18	0.081	9 _n 396 036	47	0.131	9 _n 392 943	77	0.181	9 _n 388 350	108	0.231	9 _n 382 209	139
0.032	9 _n 39 ⁻ 644	19	0.082	9 _n 395 989	48	0.132	9 _n 392 866	78	0.182	9 _n 388 242	108	0.232	9 _n 382 070	140
0.033	9 _n 39 ⁻ 625	20	0.083	9 _n 395 941	49	0.133	9 _n 392 788	78	0.183	9 _n 388 134	109	0.233	9 _n 381 930	140
0.034	9 _n 39 ⁻ 605	20	0.084	9 _n 395 892	49	0.134	9 _n 392 710	79	0.184	9 _n 388 025	109	0.234	9 _n 381 790	141
0.035	9 _n 39 ⁻ 585	20	0.085	9 _n 395 843	50	0.135	9 _n 392 631	79	0.185	9 _n 387 916	110	0.235	9 _n 381 649	142
0.036	9 _n 39 ⁻ 565	21	0.086	9 _n 395 793	50	0.136	9 _n 392 552	80	0.186	9 _n 387 806	110	0.236	9 _n 381 507	142
0.037	9 _n 39 ⁻ 544	22	0.087	9 _n 395 743	51	0.137	9 _n 392 472	81	0.187	9 _n 387 696	111	0.237	9 _n 381 365	143
0.038	9 _n 39 ⁻ 522	22	0.088	9 _n 395 692	51	0.138	9 _n 392 391	81	0.188	9 _n 387 584	111	0.238	9 _n 381 222	143
0.039	9 _n 39 ⁻ 500	23	0.089	9 _n 395 641	52	0.139	9 _n 392 310	82	0.189	9 _n 387 473	112	0.239	9 _n 381 079	144
		23			52			82			112			144
0.040	9 _n 39 ⁻ 477	24	0.090	9 _n 395 589	53	0.140	9 _n 392 228	83	0.190	9 _n 387 360	113	0.240	9 _n 380 935	145
0.041	9 _n 39 ⁻ 453	24	0.091	9 _n 395 536	53	0.141	9 _n 392 145	83	0.191	9 _n 387 247	114	0.241	9 _n 380 790	146
0.042	9 _n 39 ⁻ 429	25	0.092	9 _n 395 483	54	0.142	9 _n 392 062	84	0.192	9 _n 387 133	114	0.242	9 _n 380 644	146
0.043	9 _n 39 ⁻ 404	25	0.093	9 _n 395 429	55	0.143	9 _n 391 979	84	0.193	9 _n 387 019	115	0.243	9 _n 380 498	147
0.044	9 _n 39 ⁻ 379	26	0.094	9 _n 395 374	55	0.144	9 _n 391 895	85	0.194	9 _n 386 904	115	0.244	9 _n 380 351	147
0.045	9 _n 39 ⁻ 353	26	0.095	9 _n 395 319	55	0.145	9 _n 391 810	86	0.195	9 _n 386 789	116	0.245	9 _n 380 204	148
0.046	9 _n 39 ⁻ 327	27	0.096	9 _n 395 264	55	0.146	9 _n 391 724	86	0.196	9 _n 386 673	117	0.246	9 _n 380 056	149
0.047	9 _n 39 ⁻ 300	28	0.097	9 _n 395 207	57	0.147	9 _n 391 638	87	0.197	9 _n 386 556	118	0.247	9 _n 379 907	150
0.048	9 _n 39 ⁻ 272	28	0.098	9 _n 395 150	57	0.148	9 _n 391 551	87	0.198	9 _n 386 438	118	0.248	9 _n 379 757	150
0.049	9 _n 39 ⁻ 244	28	0.099	9 _n 395 093	58	0.149	9 _n 391 464	88	0.199	9 _n 386 320	118	0.249	9 _n 379 607	150
0.050	9 _n 39 ⁻ 216	29	0.100	9 _n 395 035	58	0.150	9 _n 391 376	88	0.200	9 _n 386 202	118	0.250	9 _n 379 457	150

Tafel III.

 $\log \{N_2^6(n)\}.$

$\pm n$	N	$-J$	$\pm n$	N	$-J$	$\pm n$	N	$-J$	$\pm n$	N	$-J$	$\pm n$	N	$-J$
0.000	8.045 758		0.050	8.037 547	334	0.100	8.012 075	701	0.150	7.966 480	1152	0.200	7.894 562	1779
0.001	8.045 754	4	0.051	8.037 213	341	0.101	8.011 374	709	0.151	7.965 328	1162	0.201	7.892 783	1795
0.002	8.045 744	10	0.052	8.036 872	349	0.102	8.010 665	717	0.152	7.964 166	1172	0.202	7.890 988	1810
0.003	8.045 728	16	0.053	8.036 523	355	0.103	8.009 948	725	0.153	7.962 994	1183	0.203	7.889 178	1827
0.004	8.045 705	23	0.054	8.036 168	362	0.104	8.009 223	733	0.154	7.961 811	1194	0.204	7.887 351	1842
0.005	8.045 676	29	0.055	8.035 806	369	0.105	8.008 490	741	0.155	7.960 617	1204	0.205	7.885 509	1858
0.006	8.045 640	36	0.056	8.035 437	376	0.106	8.007 749	749	0.156	7.959 413	1215	0.206	7.883 651	1875
0.007	8.045 598	42	0.057	8.035 061	382	0.107	8.007 000	757	0.157	7.958 198	1226	0.207	7.881 776	1891
0.008	8.045 549	49	0.058	8.034 679	390	0.108	8.006 243	766	0.158	7.956 972	1237	0.208	7.879 885	1908
0.009	8.045 494	55	0.059	8.034 289	397	0.109	8.005 477	774	0.159	7.955 735	1247	0.209	7.877 977	1924
		62												
0.010	8.045 432	69	0.060	8.033 892	404	0.110	8.004 703	782	0.160	7.954 488	1259	0.210	7.876 053	1941
0.011	8.045 363	75	0.061	8.033 488	410	0.111	8.003 921	791	0.161	7.953 229	1270	0.211	7.874 112	1959
0.012	8.045 288	81	0.062	8.033 078	418	0.112	8.003 130	799	0.162	7.951 959	1281	0.212	7.872 153	1976
0.013	8.045 207	88	0.063	8.032 660	425	0.113	8.002 331	807	0.163	7.950 678	1292	0.213	7.870 177	1993
0.014	8.045 119	95	0.064	8.032 235	432	0.114	8.001 524	816	0.164	7.949 386	1304	0.214	7.868 184	2011
0.015	8.045 024	101	0.065	8.031 803	439	0.115	8.000 708	824	0.165	7.948 082	1315	0.215	7.866 173	2029
0.016	8.044 923	108	0.066	8.031 364	446	0.116	7.999 884	833	0.166	7.946 767	1326	0.216	7.864 144	2047
0.017	8.044 815	114	0.067	8.030 918	453	0.117	7.999 051	842	0.167	7.945 441	1338	0.217	7.862 097	2066
0.018	8.044 701	121	0.068	8.030 465	460	0.118	7.998 209	850	0.168	7.944 103	1350	0.218	7.860 031	2083
0.019	8.044 580	127	0.069	8.030 005	468	0.119	7.997 359	858	0.169	7.942 753	1362	0.219	7.857 948	2103
0.020	8.044 453	134	0.070	8.029 537	474	0.120	7.996 501	868	0.170	7.941 391	1373	0.220	7.855 845	2121
0.021	8.044 319	141	0.071	8.029 063	482	0.121	7.995 633	876	0.171	7.940 018	1386	0.221	7.853 724	2141
0.022	8.044 178	147	0.072	8.028 581	489	0.122	7.994 757	885	0.172	7.938 632	1398	0.222	7.851 583	2159
0.023	8.044 031	153	0.073	8.028 092	497	0.123	7.993 872	893	0.173	7.937 234	1409	0.223	7.849 424	2180
0.024	8.043 878	160	0.074	8.027 595	503	0.124	7.992 979	903	0.174	7.935 825	1422	0.224	7.847 244	2199
0.025	8.043 718	167	0.075	8.027 092	511	0.125	7.992 076	911	0.175	7.934 403	1434	0.225	7.845 045	2219
0.026	8.043 551	174	0.076	8.026 581	518	0.126	7.991 165	921	0.176	7.932 969	1447	0.226	7.842 826	2239
0.027	8.043 377	180	0.077	8.026 063	525	0.127	7.990 244	929	0.177	7.931 522	1459	0.227	7.840 587	2260
0.028	8.043 197	186	0.078	8.025 538	533	0.128	7.989 315	939	0.178	7.930 063	1472	0.228	7.838 327	2281
0.029	8.043 011	194	0.079	8.025 005	540	0.129	7.988 376	948	0.179	7.928 591	1485	0.229	7.836 046	2301
0.030	8.042 817	200	0.080	8.024 465	548	0.130	7.987 428	956	0.180	7.927 106	1498	0.230	7.833 745	2323
0.031	8.042 617	206	0.081	8.023 917	555	0.131	7.986 472	966	0.181	7.925 608	1510	0.231	7.831 422	2344
0.032	8.042 411	213	0.082	8.023 362	562	0.132	7.985 506	976	0.182	7.924 098	1523	0.232	7.829 078	2366
0.033	8.042 198	220	0.083	8.022 800	570	0.133	7.984 530	984	0.183	7.922 575	1537	0.233	7.826 712	2389
0.034	8.041 978	227	0.084	8.022 230	577	0.134	7.983 546	994	0.184	7.921 038	1550	0.234	7.824 323	2410
0.035	8.041 751	233	0.085	8.021 653	585	0.135	7.982 552	1004	0.185	7.919 488	1563	0.235	7.821 913	2433
0.036	8.041 518	240	0.086	8.021 068	593	0.136	7.981 548	1013	0.186	7.917 925	1577	0.236	7.819 480	2456
0.037	8.041 278	246	0.087	8.020 475	600	0.137	7.980 535	1022	0.187	7.916 348	1591	0.237	7.817 024	2479
0.038	8.041 032	253	0.088	8.019 875	607	0.138	7.979 513	1032	0.188	7.914 757	1604	0.238	7.814 545	2502
0.039	8.040 779	260	0.089	8.019 268	615	0.139	7.978 481	1042	0.189	7.913 153	1618	0.239	7.812 043	2527
0.040	8.040 519	267	0.090	8.018 653	623	0.140	7.977 439	1051	0.190	7.911 535	1632	0.240	7.809 516	2551
0.041	8.040 252	274	0.091	8.018 030	631	0.141	7.976 388	1061	0.191	7.909 903	1647	0.241	7.806 965	2575
0.042	8.039 978	280	0.092	8.017 399	638	0.142	7.975 327	1071	0.192	7.908 256	1660	0.242	7.804 390	2599
0.043	8.039 698	286	0.093	8.016 761	646	0.143	7.974 256	1081	0.193	7.906 591	1675	0.243	7.801 791	2625
0.044	8.039 412	294	0.094	8.016 115	654	0.144	7.973 175	1090	0.194	7.904 926	1690	0.244	7.799 166	2650
0.045	8.039 118	301	0.095	8.015 461	661	0.145	7.972 085	1101	0.195	7.903 231	1704	0.245	7.796 516	2676
0.046	8.038 817	307	0.096	8.014 800	670	0.146	7.970 984	1111	0.196	7.901 527	1718	0.246	7.793 840	2703
0.047	8.038 510	314	0.097	8.014 130	677	0.147	7.969 873	1121	0.197	7.899 809	1734	0.247	7.791 137	2729
0.048	8.038 196	321	0.098	8.013 453	685	0.148	7.968 752	1131	0.198	7.898 075	1749	0.248	7.788 408	2756
0.049	8.037 875	328	0.099	8.012 768	693	0.149	7.967 621	1141	0.199	7.896 326	1764	0.249	7.785 652	2783
0.050	8.037 547		0.100	8.012 075		0.150	7.966 480		0.200	7.894 562		0.250	7.782 869	

Tafel III.

 $\log \{N_2^7 n\}$.

$\pm n$	N	$-J$	$\pm n$	N	$-J$	$\pm n$	N	$-J$	$\pm n$	N	$-J$	$\pm n$	N	$-J$
0.000	8.765 917		0.050	8.764 882		0.100	8.761 767		0.150	8.756 541		0.200	8.749 152	
0.001	8.765 916	1	0.051	8.764 840	42	0.101	8.761 683	84	0.151	8.756 415	126	0.201	8.748 982	170
0.002	8.765 915	1	0.052	8.764 797	43	0.102	8.761 599	84	0.152	8.756 288	127	0.202	8.748 810	172
0.003	8.765 913	2	0.053	8.764 754	43	0.103	8.761 514	85	0.153	8.756 160	128	0.203	8.748 638	172
0.004	8.765 910	3	0.054	8.764 710	44	0.104	8.761 427	87	0.154	8.756 031	129	0.204	8.748 465	173
0.005	8.765 906	4	0.055	8.764 665	45	0.105	8.761 340	88	0.155	8.755 901	130	0.205	8.748 291	174
0.006	8.765 902	4	0.056	8.764 619	46	0.106	8.761 252	88	0.156	8.755 770	131	0.206	8.748 117	174
0.007	8.765 897	5	0.057	8.764 572	47	0.107	8.761 164	88	0.157	8.755 639	131	0.207	8.747 941	176
0.008	8.765 890	7	0.058	8.764 524	48	0.108	8.761 074	90	0.158	8.755 506	133	0.208	8.747 764	177
0.009	8.765 883	7	0.059	8.764 475	49	0.109	8.760 983	91	0.159	8.755 373	133	0.209	8.747 587	177
		8			49			91			134			179
0.010	8.765 875	8	0.060	8.764 426	50	0.110	8.760 892	92	0.160	8.755 239	135	0.210	8.747 408	179
0.011	8.765 867	10	0.061	8.764 376	51	0.111	8.760 800	93	0.161	8.755 104	136	0.211	8.747 229	180
0.012	8.765 857	10	0.062	8.764 325	52	0.112	8.760 707	94	0.162	8.754 968	137	0.212	8.747 049	181
0.013	8.765 847	11	0.063	8.764 273	53	0.113	8.760 613	95	0.163	8.754 831	138	0.213	8.746 868	182
0.014	8.765 836	12	0.064	8.764 220	53	0.114	8.760 518	95	0.164	8.754 693	138	0.214	8.746 686	183
0.015	8.765 824	13	0.065	8.764 167	55	0.115	8.760 423	96	0.165	8.754 555	139	0.215	8.746 503	184
0.016	8.765 811	14	0.066	8.764 112	55	0.116	8.760 327	98	0.166	8.754 416	141	0.216	8.746 319	185
0.017	8.765 797	14	0.067	8.764 057	56	0.117	8.760 229	98	0.167	8.754 275	141	0.217	8.746 134	186
0.018	8.765 783	16	0.068	8.764 001	57	0.118	8.760 131	99	0.168	8.754 134	142	0.218	8.745 948	186
0.019	8.765 767	16	0.069	8.763 944	57	0.119	8.760 032	99	0.169	8.753 992	143	0.219	8.745 762	188
		16			57			99			143			188
0.020	8.765 751	17	0.070	8.763 887	59	0.120	8.759 933	101	0.170	8.753 849	144	0.220	8.745 574	188
0.021	8.765 734	17	0.071	8.763 828	59	0.121	8.759 832	102	0.171	8.753 705	144	0.221	8.745 386	190
0.022	8.765 717	19	0.072	8.763 769	60	0.122	8.759 730	102	0.172	8.753 561	146	0.222	8.745 196	190
0.023	8.765 698	19	0.073	8.763 709	61	0.123	8.759 628	103	0.173	8.753 415	146	0.223	8.745 006	191
0.024	8.765 679	21	0.074	8.763 648	62	0.124	8.759 525	104	0.174	8.753 269	148	0.224	8.744 815	192
0.025	8.765 658	21	0.075	8.763 586	63	0.125	8.759 421	105	0.175	8.753 121	148	0.225	8.744 623	193
0.026	8.765 637	22	0.076	8.763 523	63	0.126	8.759 316	106	0.176	8.752 973	149	0.226	8.744 430	194
0.027	8.765 615	23	0.077	8.763 460	65	0.127	8.759 210	106	0.177	8.752 824	150	0.227	8.744 236	195
0.028	8.765 592	23	0.078	8.763 395	65	0.128	8.759 104	108	0.178	8.752 674	151	0.228	8.744 041	195
0.029	8.765 569	25	0.079	8.763 330	66	0.129	8.758 996	108	0.179	8.752 523	151	0.229	8.743 846	197
		25			66			108			151			197
0.030	8.765 544	25	0.080	8.763 264	67	0.130	8.758 888	109	0.180	8.752 372	153	0.230	8.743 649	198
0.031	8.765 519	26	0.081	8.763 197	67	0.131	8.758 779	110	0.181	8.752 219	153	0.231	8.743 451	198
0.032	8.765 493	27	0.082	8.763 130	69	0.132	8.758 669	111	0.182	8.752 066	154	0.232	8.743 253	199
0.033	8.765 466	27	0.083	8.763 061	69	0.133	8.758 558	112	0.183	8.751 912	156	0.233	8.743 054	201
0.034	8.765 439	29	0.084	8.762 992	71	0.134	8.758 446	113	0.184	8.751 756	156	0.234	8.742 853	201
0.035	8.765 410	29	0.085	8.762 921	71	0.135	8.758 333	113	0.185	8.751 600	157	0.235	8.742 652	202
0.036	8.765 381	31	0.086	8.762 850	72	0.136	8.758 220	114	0.186	8.751 443	158	0.236	8.742 450	203
0.037	8.765 350	31	0.087	8.762 778	72	0.137	8.758 106	115	0.187	8.751 285	158	0.237	8.742 247	204
0.038	8.765 319	32	0.088	8.762 706	74	0.138	8.757 991	116	0.188	8.751 127	160	0.238	8.742 043	205
0.039	8.765 287	32	0.089	8.762 632	74	0.139	8.757 875	117	0.189	8.750 967	161	0.239	8.741 838	206
		32			74			117			161			206
0.040	8.765 255	34	0.090	8.762 558	76	0.140	8.757 758	118	0.190	8.750 806	161	0.240	8.741 632	207
0.041	8.765 221	34	0.091	8.762 482	76	0.141	8.757 640	119	0.191	8.750 645	162	0.241	8.741 425	208
0.042	8.765 187	35	0.092	8.762 406	77	0.142	8.757 521	119	0.192	8.750 483	164	0.242	8.741 217	208
0.043	8.765 152	36	0.093	8.762 329	77	0.143	8.757 402	120	0.193	8.750 319	164	0.243	8.741 009	210
0.044	8.765 116	37	0.094	8.762 252	79	0.144	8.757 282	122	0.194	8.750 155	165	0.244	8.740 799	210
0.045	8.765 079	37	0.095	8.762 173	80	0.145	8.757 160	122	0.195	8.749 990	166	0.245	8.740 589	212
0.046	8.765 041	39	0.096	8.762 093	80	0.146	8.757 038	123	0.196	8.749 824	166	0.246	8.740 377	212
0.047	8.765 002	39	0.097	8.762 013	81	0.147	8.756 915	123	0.197	8.749 658	168	0.247	8.740 165	213
0.048	8.764 963	40	0.098	8.761 932	82	0.148	8.756 792	125	0.198	8.749 490	169	0.248	8.739 952	214
0.049	8.764 923	41	0.099	8.761 850	83	0.149	8.756 667	126	0.199	8.749 321	169	0.249	8.739 738	216
0.050	8.764 882	41	0.100	8.761 767	83	0.150	8.756 541	126	0.200	8.749 152	169	0.250	8.739 522	216

Tafel III.

 $\log \{N_2^s n\}$.

$\pm n$	N	$-J$	$\pm n$	N	$-J$	$\pm n$	N	$-J$	$\pm n$	N	$-J$	$\pm n$	N	$-J$
0.000	7 _n 251 812	3	0.050	7 _n 242 870	365	0.100	7 _n 215 088	766	0.150	7 _n 165 199	1263	0.200	7 _n 085 989	1969
0.001	7 _n 251 809	11	0.051	7 _n 242 505	372	0.101	7 _n 214 322	774	0.151	7 _n 163 936	1275	0.201	7 _n 084 020	1987
0.002	7 _n 251 798	17	0.052	7 _n 242 133	379	0.102	7 _n 213 548	782	0.152	7 _n 162 661	1286	0.202	7 _n 082 033	2005
0.003	7 _n 251 781	25	0.053	7 _n 241 754	38-	0.103	7 _n 212 766	792	0.153	7 _n 161 375	1298	0.203	7 _n 080 028	2023
0.004	7 _n 251 756	32	0.054	7 _n 241 367	38-	0.104	7 _n 211 974	801	0.154	7 _n 160 077	1310	0.204	7 _n 078 005	2041
0.005	7 _n 251 724	39	0.055	7 _n 240 972	395	0.105	7 _n 211 173	809	0.155	7 _n 158 767	1321	0.205	7 _n 075 964	2059
0.006	7 _n 251 685	46	0.056	7 _n 240 570	402	0.106	7 _n 210 364	819	0.156	7 _n 157 446	1334	0.206	7 _n 073 905	2078
0.007	7 _n 251 639	54	0.057	7 _n 240 160	41-	0.107	7 _n 209 545	82-	0.157	7 _n 156 112	1346	0.207	7 _n 071 827	2097
0.008	7 _n 251 585	60	0.058	7 _n 239 743	425	0.108	7 _n 208 718	836	0.158	7 _n 154 766	1357	0.208	7 _n 069 730	2116
0.009	7 _n 251 525	68	0.059	7 _n 239 318	432	0.109	7 _n 207 882	846	0.159	7 _n 153 409	1370	0.209	7 _n 067 614	2136
0.010	7 _n 251 457	74	0.060	7 _n 238 886	440	0.110	7 _n 207 036	855	0.160	7 _n 152 039	1382	0.210	7 _n 065 478	2154
0.011	7 _n 251 383	82	0.061	7 _n 238 446	448	0.111	7 _n 206 181	864	0.161	7 _n 150 657	1395	0.211	7 _n 063 324	2175
0.012	7 _n 251 301	89	0.062	7 _n 237 998	455	0.112	7 _n 205 317	873	0.162	7 _n 149 262	1407	0.212	7 _n 061 149	2194
0.013	7 _n 251 212	96	0.063	7 _n 237 543	463	0.113	7 _n 204 444	882	0.163	7 _n 147 855	1420	0.213	7 _n 058 955	2214
0.014	7 _n 251 116	103	0.064	7 _n 237 080	471	0.114	7 _n 203 562	892	0.164	7 _n 146 435	1433	0.214	7 _n 056 741	2235
0.015	7 _n 251 013	110	0.065	7 _n 236 609	478	0.115	7 _n 202 670	901	0.165	7 _n 145 002	1445	0.215	7 _n 054 506	2255
0.016	7 _n 250 903	117	0.066	7 _n 236 131	486	0.116	7 _n 201 769	910	0.166	7 _n 143 557	1458	0.216	7 _n 052 251	2277
0.017	7 _n 250 786	124	0.067	7 _n 235 645	494	0.117	7 _n 200 859	920	0.167	7 _n 142 099	1471	0.217	7 _n 049 974	2297
0.018	7 _n 250 662	132	0.068	7 _n 235 151	502	0.118	7 _n 199 939	929	0.168	7 _n 140 628	1484	0.218	7 _n 047 677	2319
0.019	7 _n 250 530	139	0.069	7 _n 234 649	510	0.119	7 _n 199 010	939	0.169	7 _n 139 144	1498	0.219	7 _n 045 358	2340
0.020	7 _n 250 391	145	0.070	7 _n 234 139	517	0.120	7 _n 198 071	948	0.170	7 _n 137 646	1511	0.220	7 _n 043 018	2362
0.021	7 _n 250 246	153	0.071	7 _n 233 622	526	0.121	7 _n 197 123	958	0.171	7 _n 136 135	1524	0.221	7 _n 040 656	2384
0.022	7 _n 250 093	160	0.072	7 _n 233 096	533	0.122	7 _n 196 165	968	0.172	7 _n 134 611	1537	0.222	7 _n 038 272	2407
0.023	7 _n 249 933	168	0.073	7 _n 232 563	541	0.123	7 _n 195 197	977	0.173	7 _n 133 074	1552	0.223	7 _n 035 865	2429
0.024	7 _n 249 765	174	0.074	7 _n 232 022	549	0.124	7 _n 194 220	988	0.174	7 _n 131 522	1565	0.224	7 _n 033 436	2452
0.025	7 _n 249 591	182	0.075	7 _n 231 473	557	0.125	7 _n 193 232	997	0.175	7 _n 129 957	1578	0.225	7 _n 030 984	2476
0.026	7 _n 249 409	189	0.076	7 _n 230 916	565	0.126	7 _n 192 235	1007	0.176	7 _n 128 379	1593	0.226	7 _n 028 508	2499
0.027	7 _n 249 220	196	0.077	7 _n 230 351	573	0.127	7 _n 191 228	1016	0.177	7 _n 126 786	1607	0.227	7 _n 026 009	2523
0.028	7 _n 249 024	203	0.078	7 _n 229 778	581	0.128	7 _n 190 212	1027	0.178	7 _n 125 179	1621	0.228	7 _n 023 486	2547
0.029	7 _n 248 821	211	0.079	7 _n 229 197	590	0.129	7 _n 189 185	1037	0.179	7 _n 123 558	1636	0.229	7 _n 020 939	2571
0.030	7 _n 248 610	217	0.080	7 _n 228 607	597	0.130	7 _n 188 148	1047	0.180	7 _n 121 922	1650	0.230	7 _n 018 368	2597
0.031	7 _n 248 393	225	0.081	7 _n 228 010	605	0.131	7 _n 187 101	1058	0.181	7 _n 120 272	1665	0.231	7 _n 015 771	2621
0.032	7 _n 248 168	233	0.082	7 _n 227 405	613	0.132	7 _n 186 043	1067	0.182	7 _n 118 607	1679	0.232	7 _n 013 150	2647
0.033	7 _n 247 935	239	0.083	7 _n 226 792	622	0.133	7 _n 184 976	1078	0.183	7 _n 116 928	1694	0.233	7 _n 010 503	2673
0.034	7 _n 247 696	247	0.084	7 _n 226 170	630	0.134	7 _n 183 898	1088	0.184	7 _n 115 234	1710	0.234	7 _n 007 830	2699
0.035	7 _n 247 449	254	0.085	7 _n 225 540	638	0.135	7 _n 182 810	1099	0.185	7 _n 113 524	1724	0.235	7 _n 005 131	2726
0.036	7 _n 247 195	261	0.086	7 _n 224 902	646	0.136	7 _n 181 711	1109	0.186	7 _n 111 800	1740	0.236	7 _n 002 405	2752
0.037	7 _n 246 934	268	0.087	7 _n 224 256	655	0.137	7 _n 180 602	1120	0.187	7 _n 110 060	1755	0.237	6 _n 999 653	2780
0.038	7 _n 246 666	276	0.088	7 _n 223 601	663	0.138	7 _n 179 482	1130	0.188	7 _n 108 305	1770	0.238	6 _n 996 873	2807
0.039	7 _n 246 390	284	0.089	7 _n 222 938	671	0.139	7 _n 178 352	1141	0.189	7 _n 106 535	1787	0.239	6 _n 994 066	2836
0.040	7 _n 246 106	290	0.090	7 _n 222 267	680	0.140	7 _n 177 211	1152	0.190	7 _n 104 748	1802	0.240	6 _n 991 230	2864
0.041	7 _n 245 816	298	0.091	7 _n 221 587	688	0.141	7 _n 176 059	1162	0.191	7 _n 102 946	1818	0.241	6 _n 988 366	2893
0.042	7 _n 245 518	305	0.092	7 _n 220 899	696	0.142	7 _n 174 897	1174	0.192	7 _n 101 128	1834	0.242	6 _n 985 473	2922
0.043	7 _n 245 213	313	0.093	7 _n 220 203	705	0.143	7 _n 173 723	1184	0.193	7 _n 099 294	1850	0.243	6 _n 982 551	2952
0.044	7 _n 244 900	320	0.094	7 _n 219 498	714	0.144	7 _n 172 539	1195	0.194	7 _n 097 444	1867	0.244	6 _n 979 599	2983
0.045	7 _n 244 580	327	0.095	7 _n 218 784	722	0.145	7 _n 171 344	1207	0.195	7 _n 095 577	1884	0.245	6 _n 976 616	3013
0.046	7 _n 244 253	335	0.096	7 _n 218 062	731	0.146	7 _n 170 137	1217	0.196	7 _n 093 693	1900	0.246	6 _n 973 603	3044
0.047	7 _n 243 918	342	0.097	7 _n 217 331	739	0.147	7 _n 168 920	1229	0.197	7 _n 091 793	1918	0.247	6 _n 970 559	3076
0.048	7 _n 243 576	349	0.098	7 _n 216 597	748	0.148	7 _n 167 691	1240	0.198	7 _n 089 875	1934	0.248	6 _n 967 483	3108
0.049	7 _n 243 227	357	0.099	7 _n 215 844	756	0.149	7 _n 166 451	1252	0.199	7 _n 087 941	1952	0.249	6 _n 964 375	3140
0.050	7 _n 242 870		0.100	7 _n 215 088		0.150	7 _n 165 199		0.200	7 _n 085 989		0.250	6 _n 961 235	

Tafel III.

 $\log \{N_2^a(n)\}.$

$\pm n$	N	$-J$	$\pm n$	N	$-J$	$\pm n$	N	$-J$	$\pm n$	N	$-J$	$\pm n$	N	$-J$
0.000	8 _n 132 202	0	0.050	8 _n 130 996	49	0.100	8 _n 127 367	98	0.150	8 _n 121 278	147	0.200	8 _n 112 668	198
0.001	8 _n 132 202	2	0.051	8 _n 130 947	49	0.101	8 _n 127 269	98	0.151	8 _n 121 131	149	0.201	8 _n 112 470	200
0.002	8 _n 132 200	2	0.052	8 _n 130 898	51	0.102	8 _n 127 171	100	0.152	8 _n 120 982	149	0.202	8 _n 112 270	200
0.003	8 _n 132 198	4	0.053	8 _n 130 847	52	0.103	8 _n 127 071	100	0.153	8 _n 120 833	150	0.203	8 _n 112 070	202
0.004	8 _n 132 194	4	0.054	8 _n 130 795	52	0.104	8 _n 126 971	102	0.154	8 _n 120 683	151	0.204	8 _n 111 868	202
0.005	8 _n 132 190	5	0.055	8 _n 130 743	54	0.105	8 _n 126 869	102	0.155	8 _n 120 532	153	0.205	8 _n 111 666	204
0.006	8 _n 132 185	6	0.056	8 _n 130 689	55	0.106	8 _n 126 767	103	0.156	8 _n 120 379	153	0.206	8 _n 111 462	205
0.007	8 _n 132 179	8	0.057	8 _n 130 634	55	0.107	8 _n 126 664	105	0.157	8 _n 120 226	154	0.207	8 _n 111 257	206
0.008	8 _n 132 171	8	0.058	8 _n 130 579	56	0.108	8 _n 126 559	105	0.158	8 _n 120 072	156	0.208	8 _n 111 051	206
0.009	8 _n 132 163		0.059	8 _n 130 523		0.109	8 _n 126 454		0.159	8 _n 119 916		0.209	8 _n 110 845	
		9			58			107			156			208
0.010	8 _n 132 154		0.060	8 _n 130 465		0.110	8 _n 126 347		0.160	8 _n 119 760		0.210	8 _n 110 637	
0.011	8 _n 132 144	10	0.061	8 _n 130 406	59	0.111	8 _n 126 240	107	0.161	8 _n 119 603	157	0.211	8 _n 110 428	209
0.012	8 _n 132 133	11	0.062	8 _n 130 347	59	0.112	8 _n 126 132	108	0.162	8 _n 119 444	159	0.212	8 _n 110 218	210
0.013	8 _n 132 121	12	0.063	8 _n 130 287	60	0.113	8 _n 126 022	110	0.163	8 _n 119 285	159	0.213	8 _n 110 007	211
0.014	8 _n 132 108	13	0.064	8 _n 130 225	62	0.114	8 _n 125 912	110	0.164	8 _n 119 125	160	0.214	8 _n 109 795	212
0.015	8 _n 132 094	14	0.065	8 _n 130 163	62	0.115	8 _n 125 801	111	0.165	8 _n 118 963	162	0.215	8 _n 109 581	214
0.016	8 _n 132 079	15	0.066	8 _n 130 100	63	0.116	8 _n 125 688	113	0.166	8 _n 118 801	162	0.216	8 _n 109 367	214
0.017	8 _n 132 063	16	0.067	8 _n 130 035	65	0.117	8 _n 125 575	113	0.167	8 _n 118 637	164	0.217	8 _n 109 152	215
0.018	8 _n 132 046	17	0.068	8 _n 129 970	65	0.118	8 _n 125 461	114	0.168	8 _n 118 473	164	0.218	8 _n 108 936	216
0.019	8 _n 132 028	18	0.069	8 _n 129 904	66	0.119	8 _n 125 346	115	0.169	8 _n 118 307	166	0.219	8 _n 108 718	218
		19			67			117			166			218
0.020	8 _n 132 009		0.070	8 _n 129 837		0.120	8 _n 125 229		0.170	8 _n 118 141		0.220	8 _n 108 500	
0.021	8 _n 131 989	20	0.071	8 _n 129 768	69	0.121	8 _n 125 112	117	0.171	8 _n 117 974	167	0.221	8 _n 108 280	220
0.022	8 _n 131 969	20	0.072	8 _n 129 699	69	0.122	8 _n 124 994	118	0.172	8 _n 117 805	169	0.222	8 _n 108 060	220
0.023	8 _n 131 947	22	0.073	8 _n 129 629	70	0.123	8 _n 124 874	120	0.173	8 _n 117 635	170	0.223	8 _n 107 838	222
0.024	8 _n 131 924	23	0.074	8 _n 129 558	71	0.124	8 _n 124 754	120	0.174	8 _n 117 465	170	0.224	8 _n 107 616	222
0.025	8 _n 131 901	23	0.075	8 _n 129 486	72	0.125	8 _n 124 633	121	0.175	8 _n 117 293	172	0.225	8 _n 107 392	224
0.026	8 _n 131 876	25	0.076	8 _n 129 413	73	0.126	8 _n 124 511	122	0.176	8 _n 117 121	172	0.226	8 _n 107 167	225
0.027	8 _n 131 851	25	0.077	8 _n 129 339	74	0.127	8 _n 124 388	123	0.177	8 _n 116 947	174	0.227	8 _n 106 941	226
0.028	8 _n 131 824	27	0.078	8 _n 129 264	75	0.128	8 _n 124 263	125	0.178	8 _n 116 772	175	0.228	8 _n 106 714	227
0.029	8 _n 131 797	27	0.079	8 _n 129 188	76	0.129	8 _n 124 138	125	0.179	8 _n 116 596	176	0.229	8 _n 106 486	228
		29			77			126			176			229
0.030	8 _n 131 768		0.080	8 _n 129 111		0.130	8 _n 124 012		0.180	8 _n 116 420		0.230	8 _n 106 257	
0.031	8 _n 131 739	29	0.081	8 _n 129 033	78	0.131	8 _n 123 885	127	0.181	8 _n 116 242	178	0.231	8 _n 106 027	230
0.032	8 _n 131 708	31	0.082	8 _n 128 954	79	0.132	8 _n 123 757	128	0.182	8 _n 116 063	179	0.232	8 _n 105 795	232
0.033	8 _n 131 677	31	0.083	8 _n 128 874	80	0.133	8 _n 123 627	130	0.183	8 _n 115 883	180	0.233	8 _n 105 563	232
0.034	8 _n 131 645	32	0.084	8 _n 128 794	80	0.134	8 _n 123 497	130	0.184	8 _n 115 703	180	0.234	8 _n 105 330	233
0.035	8 _n 131 611	34	0.085	8 _n 128 712	82	0.135	8 _n 123 366	131	0.185	8 _n 115 521	182	0.235	8 _n 105 095	235
0.036	8 _n 131 577	34	0.086	8 _n 128 629	83	0.136	8 _n 123 234	132	0.186	8 _n 115 338	183	0.236	8 _n 104 860	235
0.037	8 _n 131 542	35	0.087	8 _n 128 545	84	0.137	8 _n 123 101	133	0.187	8 _n 115 154	184	0.237	8 _n 104 623	237
0.038	8 _n 131 506	36	0.088	8 _n 128 460	85	0.138	8 _n 122 967	134	0.188	8 _n 114 969	185	0.238	8 _n 104 385	238
0.039	8 _n 131 469	37	0.089	8 _n 128 375	85	0.139	8 _n 122 831	136	0.189	8 _n 114 783	186	0.239	8 _n 104 147	238
		38			87			136			187			240
0.040	8 _n 131 431		0.090	8 _n 128 288		0.140	8 _n 122 695		0.190	8 _n 114 596		0.240	8 _n 103 907	
0.041	8 _n 131 392	39	0.091	8 _n 128 200	88	0.141	8 _n 122 558	137	0.191	8 _n 114 408	188	0.241	8 _n 103 666	241
0.042	8 _n 131 352	40	0.092	8 _n 128 111	89	0.142	8 _n 122 420	138	0.192	8 _n 114 219	189	0.242	8 _n 103 424	242
0.043	8 _n 131 310	42	0.093	8 _n 128 022	89	0.143	8 _n 122 281	139	0.193	8 _n 114 028	191	0.243	8 _n 103 181	243
0.044	8 _n 131 268	42	0.094	8 _n 127 931	91	0.144	8 _n 122 140	141	0.194	8 _n 113 837	191	0.244	8 _n 102 937	244
0.045	8 _n 131 225	43	0.095	8 _n 127 840	91	0.145	8 _n 121 999	141	0.195	8 _n 113 645	192	0.245	8 _n 102 691	246
0.046	8 _n 131 182	43	0.096	8 _n 127 747	93	0.146	8 _n 121 857	142	0.196	8 _n 113 452	193	0.246	8 _n 102 445	246
0.047	8 _n 131 137	45	0.097	8 _n 127 653	94	0.147	8 _n 121 714	143	0.197	8 _n 113 258	194	0.247	8 _n 102 198	247
0.048	8 _n 131 091	46	0.098	8 _n 127 559	94	0.148	8 _n 121 569	145	0.198	8 _n 113 062	196	0.248	8 _n 101 949	249
0.049	8 _n 131 044	47	0.099	8 _n 127 463	96	0.149	8 _n 121 424	145	0.199	8 _n 112 866	196	0.249	8 _n 101 700	249
0.050	8 _n 130 996	48	0.100	8 _n 127 367	96	0.150	8 _n 121 278	146	0.200	8 _n 112 668	198	0.250	8 _n 101 449	251

Tafel III.

 $\log \{N_2^{10}(n)\}.$

$\pm n$	N	$-J$	$\pm n$	N	$-J$	$\pm n$	N	$-J$	$\pm n$	N	$-J$	$\pm n$	N	$-J$
0.000	6.501 690		0.050	6.492 335	382	0.100	6.463 250	802	0.150	6.410 922	1327	0.200	6.327 515	2080
0.001	6.501 686	4	0.051	6.491 953	389	0.101	6.462 448	811	0.151	6.409 595	1339	0.201	6.325 435	2099
0.002	6.501 675	11	0.052	6.491 564	397	0.102	6.461 637	820	0.152	6.408 256	1351	0.202	6.323 336	2117
0.003	6.501 656	19	0.053	6.491 167	405	0.103	6.460 817	830	0.153	6.406 905	1363	0.203	6.321 219	2137
0.004	6.501 630	26	0.054	6.490 762	412	0.104	6.459 987	839	0.154	6.405 542	1376	0.204	6.319 082	2157
0.005	6.501 597	33	0.055	6.490 350	421	0.105	6.459 148	848	0.155	6.404 166	1389	0.205	6.316 925	2177
0.006	6.501 556	41	0.056	6.489 929	429	0.106	6.458 300	857	0.156	6.402 777	1402	0.206	6.314 748	2197
0.007	6.501 508	48	0.057	6.489 500	436	0.107	6.457 443	867	0.157	6.401 375	1414	0.207	6.312 551	2217
0.008	6.501 452	56	0.058	6.489 064	445	0.108	6.456 576	877	0.158	6.399 961	1427	0.208	6.310 334	2237
0.009	6.501 389	63	0.059	6.488 619	452	0.109	6.455 699	886	0.159	6.398 534	1440	0.209	6.308 097	2258
		71												
0.010	6.501 318	78	0.060	6.488 167	461	0.110	6.454 813	896	0.160	6.397 094	1453	0.210	6.305 839	2280
0.011	6.501 240	85	0.061	6.487 706	468	0.111	6.453 917	905	0.161	6.395 641	1466	0.211	6.303 559	2300
0.012	6.501 155	93	0.062	6.487 238	477	0.112	6.453 012	915	0.162	6.394 175	1479	0.212	6.301 259	2322
0.013	6.501 062	100	0.063	6.486 761	485	0.113	6.452 097	925	0.163	6.392 690	1493	0.213	6.298 937	2344
0.014	6.500 962	108	0.064	6.486 276	492	0.114	6.451 172	934	0.164	6.391 203	1506	0.214	6.296 593	2366
0.015	6.500 854	115	0.065	6.485 784	501	0.115	6.450 238	945	0.165	6.389 697	1520	0.215	6.294 227	2388
0.016	6.500 739	123	0.066	6.485 283	509	0.116	6.449 293	954	0.166	6.388 177	1534	0.216	6.291 839	2410
0.017	6.500 616	130	0.067	6.484 774	517	0.117	6.448 339	964	0.167	6.386 643	1547	0.217	6.289 429	2434
0.018	6.500 486	137	0.068	6.484 257	525	0.118	6.447 375	974	0.168	6.385 096	1562	0.218	6.286 995	2456
0.019	6.500 349	145	0.069	6.483 732	534	0.119	6.446 401	985	0.169	6.383 534	1575	0.219	6.284 539	2480
0.020	6.500 204	153	0.070	6.483 198	541	0.120	6.445 416	994	0.170	6.381 959	1589	0.220	6.282 059	2504
0.021	6.500 051	160	0.071	6.482 657	550	0.121	6.444 422	1004	0.171	6.380 370	1604	0.221	6.279 555	2527
0.022	6.499 891	167	0.072	6.482 107	558	0.122	6.443 418	1015	0.172	6.378 766	1618	0.222	6.277 028	2552
0.023	6.499 724	175	0.073	6.481 549	567	0.123	6.442 403	1025	0.173	6.377 148	1633	0.223	6.274 476	2577
0.024	6.499 549	183	0.074	6.480 982	574	0.124	6.441 378	1035	0.174	6.375 515	1648	0.224	6.271 899	2601
0.025	6.499 366	190	0.075	6.480 408	583	0.125	6.440 343	1046	0.175	6.373 867	1662	0.225	6.269 298	2627
0.026	6.499 176	198	0.076	6.479 825	592	0.126	6.439 297	1056	0.176	6.372 205	1677	0.226	6.266 671	2652
0.027	6.498 978	205	0.077	6.479 233	600	0.127	6.438 241	1067	0.177	6.370 528	1692	0.227	6.264 019	2679
0.028	6.498 773	212	0.078	6.478 633	608	0.128	6.437 174	1077	0.178	6.368 836	1707	0.228	6.261 340	2704
0.029	6.498 561	220	0.079	6.478 025	617	0.129	6.436 097	1088	0.179	6.367 129	1722	0.229	6.258 636	2732
0.030	6.498 341	228	0.080	6.477 408	625	0.130	6.435 009	1098	0.180	6.365 407	1738	0.230	6.255 904	2758
0.031	6.498 113	235	0.081	6.476 783	634	0.131	6.433 911	1109	0.181	6.363 669	1753	0.231	6.253 146	2786
0.032	6.497 878	243	0.082	6.476 149	642	0.132	6.432 802	1120	0.182	6.361 916	1770	0.232	6.250 360	2814
0.033	6.497 635	251	0.083	6.475 507	651	0.133	6.431 682	1131	0.183	6.360 146	1785	0.233	6.247 546	2842
0.034	6.497 384	258	0.084	6.474 856	660	0.134	6.430 551	1142	0.184	6.358 361	1801	0.234	6.244 704	2870
0.035	6.497 126	266	0.085	6.474 196	668	0.135	6.429 409	1153	0.185	6.356 560	1817	0.235	6.241 834	2900
0.036	6.496 860	273	0.086	6.473 528	676	0.136	6.428 256	1164	0.186	6.354 743	1833	0.236	6.238 934	2929
0.037	6.496 587	281	0.087	6.472 852	686	0.137	6.427 092	1175	0.187	6.352 910	1850	0.237	6.236 005	2959
0.038	6.496 306	289	0.088	6.472 166	694	0.138	6.425 917	1186	0.188	6.351 060	1867	0.238	6.233 046	2989
0.039	6.496 017	296	0.089	6.471 472	703	0.139	6.424 731	1197	0.189	6.349 193	1883	0.239	6.230 057	3020
0.040	6.495 721	304	0.090	6.470 769	712	0.140	6.423 534	1209	0.190	6.347 310	1900	0.240	6.227 037	3051
0.041	6.495 417	311	0.091	6.470 057	721	0.141	6.422 325	1220	0.191	6.345 410	1918	0.241	6.223 986	3084
0.042	6.495 106	320	0.092	6.469 336	729	0.142	6.421 105	1232	0.192	6.343 492	1935	0.242	6.220 902	3115
0.043	6.494 786	327	0.093	6.468 607	738	0.143	6.419 873	1244	0.193	6.341 557	1952	0.243	6.217 789	3148
0.044	6.494 459	334	0.094	6.467 869	748	0.144	6.418 629	1255	0.194	6.339 605	1970	0.244	6.214 639	3182
0.045	6.494 125	343	0.095	6.467 121	756	0.145	6.417 374	1266	0.195	6.337 635	1988	0.245	6.211 457	3215
0.046	6.493 782	350	0.096	6.466 365	765	0.146	6.416 108	1279	0.196	6.335 647	2005	0.246	6.208 242	3250
0.047	6.493 432	358	0.097	6.465 600	775	0.147	6.414 829	1290	0.197	6.333 642	2024	0.247	6.204 992	3285
0.048	6.493 074	366	0.098	6.464 825	783	0.148	6.413 539	1303	0.198	6.331 618	2042	0.248	6.201 707	3320
0.049	6.492 708	373	0.099	6.464 042	792	0.149	6.412 236	1314	0.199	6.329 576	2061	0.249	6.198 387	3356
0.050	6.492 335		0.100	6.463 250		0.150	6.410 922		0.200	6.327 515		0.250	6.195 031	

Tafel IV.

 $\log \{M_2^4(m)\}.$

vergl. pag. 20.

$\pm m$	M	$-J$	$\pm m$	M	$-J$	$\pm m$	M	$-J$	$\pm m$	M	$-J$	$\pm m$	M	$-J$
0.000	9 _n 318 759	1	0.050	9 _n 316 145	106	0.100	9 _n 308 209	215	0.150	9 _n 294 650	332	0.200	9 _n 274 927	462
0.001	9 _n 318 758	3	0.051	9 _n 316 039	108	0.101	9 _n 307 994	217	0.151	9 _n 294 318	334	0.201	9 _n 274 465	466
0.002	9 _n 318 755	5	0.052	9 _n 315 931	110	0.102	9 _n 307 777	219	0.152	9 _n 293 984	337	0.202	9 _n 273 999	468
0.003	9 _n 318 750	8	0.053	9 _n 315 821	112	0.103	9 _n 307 558	222	0.153	9 _n 293 647	339	0.203	9 _n 273 531	471
0.004	9 _n 318 742	9	0.054	9 _n 315 709	115	0.104	9 _n 307 336	223	0.154	9 _n 293 308	342	0.204	9 _n 273 060	474
0.005	9 _n 318 733	12	0.055	9 _n 315 594	116	0.105	9 _n 307 113	226	0.155	9 _n 292 966	344	0.205	9 _n 272 586	477
0.006	9 _n 318 721	13	0.056	9 _n 315 478	119	0.106	9 _n 306 887	229	0.156	9 _n 292 622	346	0.206	9 _n 272 109	479
0.007	9 _n 318 708	16	0.057	9 _n 315 359	121	0.107	9 _n 306 658	230	0.157	9 _n 292 276	349	0.207	9 _n 271 630	483
0.008	9 _n 318 692	18	0.058	9 _n 315 238	123	0.108	9 _n 306 428	233	0.158	9 _n 291 927	352	0.208	9 _n 271 147	485
0.009	9 _n 318 674	19	0.059	9 _n 315 115	125	0.109	9 _n 306 195	235	0.159	9 _n 291 575	354	0.209	9 _n 270 662	488
0.010	9 _n 318 655	22	0.060	9 _n 314 990	127	0.110	9 _n 305 960	237	0.160	9 _n 291 221	357	0.210	9 _n 270 174	491
0.011	9 _n 318 633	24	0.061	9 _n 314 863	129	0.111	9 _n 305 725	240	0.161	9 _n 290 864	359	0.211	9 _n 269 683	494
0.012	9 _n 318 609	26	0.062	9 _n 314 734	132	0.112	9 _n 305 483	242	0.162	9 _n 290 505	362	0.212	9 _n 269 189	497
0.013	9 _n 318 583	29	0.063	9 _n 314 602	134	0.113	9 _n 305 241	244	0.163	9 _n 290 143	364	0.213	9 _n 268 692	500
0.014	9 _n 318 554	30	0.064	9 _n 314 468	135	0.114	9 _n 304 997	246	0.164	9 _n 289 779	367	0.214	9 _n 268 192	502
0.015	9 _n 318 524	32	0.065	9 _n 314 333	138	0.115	9 _n 304 751	249	0.165	9 _n 289 412	369	0.215	9 _n 267 690	506
0.016	9 _n 318 492	35	0.066	9 _n 314 195	141	0.116	9 _n 304 502	251	0.166	9 _n 289 043	372	0.216	9 _n 267 184	508
0.017	9 _n 318 457	36	0.067	9 _n 314 054	142	0.117	9 _n 304 251	253	0.167	9 _n 288 671	374	0.217	9 _n 266 676	512
0.018	9 _n 318 421	39	0.068	9 _n 313 912	144	0.118	9 _n 303 998	256	0.168	9 _n 288 297	377	0.218	9 _n 266 164	514
0.019	9 _n 318 382	40	0.069	9 _n 313 768	147	0.119	9 _n 303 742	258	0.169	9 _n 287 920	380	0.219	9 _n 265 650	518
0.020	9 _n 318 342	43	0.070	9 _n 313 621	148	0.120	9 _n 303 484	260	0.170	9 _n 287 540	382	0.220	9 _n 265 132	520
0.021	9 _n 318 299	45	0.071	9 _n 313 473	151	0.121	9 _n 303 224	263	0.171	9 _n 287 158	384	0.221	9 _n 264 612	523
0.022	9 _n 318 254	47	0.072	9 _n 313 322	154	0.122	9 _n 302 961	265	0.172	9 _n 286 774	387	0.222	9 _n 264 089	527
0.023	9 _n 318 207	49	0.073	9 _n 313 168	155	0.123	9 _n 302 696	267	0.173	9 _n 286 387	390	0.223	9 _n 263 562	529
0.024	9 _n 318 158	51	0.074	9 _n 313 013	157	0.124	9 _n 302 429	269	0.174	9 _n 285 997	393	0.224	9 _n 263 033	532
0.025	9 _n 318 107	53	0.075	9 _n 312 856	160	0.125	9 _n 302 160	272	0.175	9 _n 285 604	395	0.225	9 _n 262 501	536
0.026	9 _n 318 054	56	0.076	9 _n 312 696	161	0.126	9 _n 301 888	275	0.176	9 _n 285 209	397	0.226	9 _n 261 965	538
0.027	9 _n 317 998	57	0.077	9 _n 312 535	164	0.127	9 _n 301 613	276	0.177	9 _n 284 812	401	0.227	9 _n 261 427	542
0.028	9 _n 317 941	60	0.078	9 _n 312 371	166	0.128	9 _n 301 337	279	0.178	9 _n 284 411	403	0.228	9 _n 260 885	544
0.029	9 _n 317 881	61	0.079	9 _n 312 205	169	0.129	9 _n 301 058	281	0.179	9 _n 284 008	405	0.229	9 _n 260 341	548
0.030	9 _n 317 820	64	0.080	9 _n 312 036	170	0.130	9 _n 300 777	284	0.180	9 _n 283 603	408	0.230	9 _n 259 793	551
0.031	9 _n 317 756	66	0.081	9 _n 311 866	173	0.131	9 _n 300 493	286	0.181	9 _n 283 195	411	0.231	9 _n 259 242	554
0.032	9 _n 317 690	68	0.082	9 _n 311 693	175	0.132	9 _n 300 207	288	0.182	9 _n 282 784	414	0.232	9 _n 258 688	557
0.033	9 _n 317 622	70	0.083	9 _n 311 518	177	0.133	9 _n 299 919	291	0.183	9 _n 282 370	416	0.233	9 _n 258 131	560
0.034	9 _n 317 552	72	0.084	9 _n 311 341	179	0.134	9 _n 299 628	293	0.184	9 _n 281 954	419	0.234	9 _n 257 571	563
0.035	9 _n 317 480	74	0.085	9 _n 311 162	181	0.135	9 _n 299 335	296	0.185	9 _n 281 535	421	0.235	9 _n 257 008	566
0.036	9 _n 317 406	77	0.086	9 _n 310 981	184	0.136	9 _n 299 039	298	0.186	9 _n 281 114	424	0.236	9 _n 256 442	570
0.037	9 _n 317 329	78	0.087	9 _n 310 797	186	0.137	9 _n 298 741	300	0.187	9 _n 280 690	427	0.237	9 _n 255 872	572
0.038	9 _n 317 251	80	0.088	9 _n 310 611	188	0.138	9 _n 298 441	303	0.188	9 _n 280 263	430	0.238	9 _n 255 300	576
0.039	9 _n 317 171	83	0.089	9 _n 310 423	190	0.139	9 _n 298 138	305	0.189	9 _n 279 833	432	0.239	9 _n 254 724	579
0.040	9 _n 317 088	85	0.090	9 _n 310 233	192	0.140	9 _n 297 833	307	0.190	9 _n 279 401	435	0.240	9 _n 254 145	582
0.041	9 _n 317 003	87	0.091	9 _n 310 041	195	0.141	9 _n 297 526	310	0.191	9 _n 278 966	438	0.241	9 _n 253 563	585
0.042	9 _n 316 916	89	0.092	9 _n 309 846	197	0.142	9 _n 297 216	312	0.192	9 _n 278 528	440	0.242	9 _n 252 978	589
0.043	9 _n 316 827	91	0.093	9 _n 309 649	199	0.143	9 _n 296 904	315	0.193	9 _n 278 088	444	0.243	9 _n 252 389	592
0.044	9 _n 316 736	93	0.094	9 _n 309 450	201	0.144	9 _n 296 589	317	0.194	9 _n 277 644	446	0.244	9 _n 251 797	595
0.045	9 _n 316 643	95	0.095	9 _n 309 249	204	0.145	9 _n 296 272	320	0.195	9 _n 277 198	448	0.245	9 _n 251 202	598
0.046	9 _n 316 548	98	0.096	9 _n 309 045	206	0.146	9 _n 295 952	322	0.196	9 _n 276 750	451	0.246	9 _n 250 604	602
0.047	9 _n 316 450	99	0.097	9 _n 308 839	208	0.147	9 _n 295 630	324	0.197	9 _n 276 298	454	0.247	9 _n 250 002	605
0.048	9 _n 316 351	102	0.098	9 _n 308 631	210	0.148	9 _n 295 306	327	0.198	9 _n 275 844	457	0.248	9 _n 249 397	608
0.049	9 _n 316 249	104	0.099	9 _n 308 421	212	0.149	9 _n 294 979	329	0.199	9 _n 275 387	460	0.249	9 _n 248 789	611
0.050	9 _n 316 145		0.100	9 _n 308 209		0.150	9 _n 294 650		0.200	9 _n 274 927		0.250	9 _n 248 178	

Tafel IV.

 $\log \{M_2^5(m)\}.$

$\pm m$	M	$-J$	$\pm m$	M	$-J$	$\pm m$	M	$-J$	$\pm m$	M	$-J$	$\pm m$	M	$-J$
0.000	9,096 910	0	0.050	9,095 460	59	0.100	9,091 080	118	0.150	9,083 682	180	0.200	9,073 107	245
0.001	9,096 910	1	0.051	9,095 401	60	0.101	9,090 962	119	0.151	9,083 502	181	0.201	9,072 862	247
0.002	9,096 908	2	0.052	9,095 341	61	0.102	9,090 843	120	0.152	9,083 321	181	0.202	9,072 615	248
0.003	9,096 905	3	0.053	9,095 280	62	0.103	9,090 723	122	0.153	9,083 139	184	0.203	9,072 367	250
0.004	9,096 901	4	0.054	9,095 218	63	0.104	9,090 601	123	0.154	9,082 955	185	0.204	9,072 117	250
0.005	9,096 896	5	0.055	9,095 155	65	0.105	9,090 478	124	0.155	9,082 770	186	0.205	9,071 867	252
0.006	9,096 889	7	0.056	9,095 090	65	0.106	9,090 354	125	0.156	9,082 584	187	0.206	9,071 615	254
0.007	9,096 882	7	0.057	9,095 025	66	0.107	9,090 229	126	0.157	9,082 397	189	0.207	9,071 361	255
0.008	9,096 873	9	0.058	9,094 958	68	0.108	9,090 103	128	0.158	9,082 208	190	0.208	9,071 106	256
0.009	9,096 863	10	0.059	9,094 890	70	0.109	9,089 975	129	0.159	9,082 018	191	0.209	9,070 850	258
0.010	9,096 852	11	0.060	9,094 820	70	0.110	9,089 846	130	0.160	9,081 827	192	0.210	9,070 592	259
0.011	9,096 840	12	0.061	9,094 750	72	0.111	9,089 716	131	0.161	9,081 635	194	0.211	9,070 333	260
0.012	9,096 827	13	0.062	9,094 678	72	0.112	9,089 585	133	0.162	9,081 441	195	0.212	9,070 073	262
0.013	9,096 812	15	0.063	9,094 606	74	0.113	9,089 452	133	0.163	9,081 246	197	0.213	9,069 811	264
0.014	9,096 797	15	0.064	9,094 532	75	0.114	9,089 319	135	0.164	9,081 049	197	0.214	9,069 547	264
0.015	9,096 780	17	0.065	9,094 457	77	0.115	9,089 184	137	0.165	9,080 852	199	0.215	9,069 283	266
0.016	9,096 762	18	0.066	9,094 380	77	0.116	9,089 047	137	0.166	9,080 653	200	0.216	9,069 017	268
0.017	9,096 743	19	0.067	9,094 303	79	0.117	9,088 910	139	0.167	9,080 453	202	0.217	9,068 749	269
0.018	9,096 722	21	0.068	9,094 224	80	0.118	9,088 771	139	0.168	9,080 251	203	0.218	9,068 480	270
0.019	9,096 701	21	0.069	9,094 144	81	0.119	9,088 632	141	0.169	9,080 048	204	0.219	9,068 210	272
0.020	9,096 678	23	0.070	9,094 063	82	0.120	9,088 491	143	0.170	9,079 844	205	0.220	9,067 938	273
0.021	9,096 655	23	0.071	9,093 981	83	0.121	9,088 348	143	0.171	9,079 639	207	0.221	9,067 665	274
0.022	9,096 630	25	0.072	9,093 898	85	0.122	9,088 205	145	0.172	9,079 432	208	0.222	9,067 391	276
0.023	9,096 604	26	0.073	9,093 813	86	0.123	9,088 060	146	0.173	9,079 224	209	0.223	9,067 115	277
0.024	9,096 576	28	0.074	9,093 727	86	0.124	9,087 914	147	0.174	9,079 015	211	0.224	9,066 838	279
0.025	9,096 548	28	0.075	9,093 641	88	0.125	9,087 767	149	0.175	9,078 804	212	0.225	9,066 559	280
0.026	9,096 518	30	0.076	9,093 553	90	0.126	9,087 618	149	0.176	9,078 592	213	0.226	9,066 279	282
0.027	9,096 488	30	0.077	9,093 463	90	0.127	9,087 469	151	0.177	9,078 379	215	0.227	9,065 997	283
0.028	9,096 456	32	0.078	9,093 373	92	0.128	9,087 318	153	0.178	9,078 164	216	0.228	9,065 714	284
0.029	9,096 423	33	0.079	9,093 281	93	0.129	9,087 165	153	0.179	9,077 948	217	0.229	9,065 430	286
0.030	9,096 389	34	0.080	9,093 188	94	0.130	9,087 012	155	0.180	9,077 731	218	0.230	9,065 144	287
0.031	9,096 353	36	0.081	9,093 094	95	0.131	9,086 857	156	0.181	9,077 513	220	0.231	9,064 857	289
0.032	9,096 317	36	0.082	9,092 999	97	0.132	9,086 701	157	0.182	9,077 293	221	0.232	9,064 568	290
0.033	9,096 279	38	0.083	9,092 902	97	0.133	9,086 544	158	0.183	9,077 072	223	0.233	9,064 278	292
0.034	9,096 240	39	0.084	9,092 805	99	0.134	9,086 386	160	0.184	9,076 849	224	0.234	9,063 986	293
0.035	9,096 200	40	0.085	9,092 706	100	0.135	9,086 226	161	0.185	9,076 625	225	0.235	9,063 693	295
0.036	9,096 159	41	0.086	9,092 606	101	0.136	9,086 065	162	0.186	9,076 400	226	0.236	9,063 398	296
0.037	9,096 117	42	0.087	9,092 505	103	0.137	9,085 903	163	0.187	9,076 174	228	0.237	9,063 102	297
0.038	9,096 073	44	0.088	9,092 402	103	0.138	9,085 740	165	0.188	9,075 946	229	0.238	9,062 805	299
0.039	9,096 028	45	0.089	9,092 299	105	0.139	9,085 575	165	0.189	9,075 717	231	0.239	9,062 506	300
0.040	9,095 983	47	0.090	9,092 194	106	0.140	9,085 410	167	0.190	9,075 486	232	0.240	9,062 206	302
0.041	9,095 936	49	0.091	9,092 088	107	0.141	9,085 243	169	0.191	9,075 254	233	0.241	9,061 904	303
0.042	9,095 887	49	0.092	9,091 981	108	0.142	9,085 074	170	0.192	9,075 021	234	0.242	9,061 601	305
0.043	9,095 838	50	0.093	9,091 873	110	0.143	9,084 904	170	0.193	9,074 787	236	0.243	9,061 296	306
0.044	9,095 788	52	0.094	9,091 763	111	0.144	9,084 734	172	0.194	9,074 551	238	0.244	9,060 990	308
0.045	9,095 736	52	0.095	9,091 652	112	0.145	9,084 562	174	0.195	9,074 313	238	0.245	9,060 682	309
0.046	9,095 683	53	0.096	9,091 540	113	0.146	9,084 388	175	0.196	9,074 075	240	0.246	9,060 373	311
0.047	9,095 629	54	0.097	9,091 427	114	0.147	9,084 213	176	0.197	9,073 835	241	0.247	9,060 062	312
0.048	9,095 574	55	0.098	9,091 313	116	0.148	9,084 037	177	0.198	9,073 594	243	0.248	9,059 750	313
0.049	9,095 517	57	0.099	9,091 197	117	0.149	9,083 860	178	0.199	9,073 351	244	0.249	9,059 437	315
0.050	9,095 460	57	0.100	9,091 080	117	0.150	9,083 682	178	0.200	9,073 107	244	0.250	9,059 122	315

Tafel IV.

 $\log \{M_2^6(m)\}.$

$\pm m$	M	$-J$	$\pm m$	M	$-J$	$\pm m$	M	$-J$	$\pm m$	M	$-J$	$\pm m$	M	$-J$
0.000	8.652 877		0.050	8.649 344	143	0.100	8.638 600	291	0.150	8.620 189	451	0.200	8.593 271	634
0.001	8.652 876	1	0.051	8.649 201	146	0.101	8.638 309	294	0.151	8.619 738	455	0.201	8.592 637	637
0.002	8.652 872	4	0.052	8.649 055	149	0.102	8.638 015	297	0.152	8.619 283	458	0.202	8.592 000	642
0.003	8.652 865	7	0.053	8.648 906	152	0.103	8.637 718	300	0.153	8.618 825	462	0.203	8.591 358	645
0.004	8.652 855	10	0.054	8.648 754	155	0.104	8.637 418	303	0.154	8.618 363	465	0.204	8.590 713	649
0.005	8.652 842	13	0.055	8.648 599	157	0.105	8.637 115	307	0.155	8.617 898	468	0.205	8.590 064	654
0.006	8.652 827	15	0.056	8.648 442	161	0.106	8.636 808	309	0.156	8.617 430	472	0.206	8.589 410	657
0.007	8.652 808	19	0.057	8.648 281	163	0.107	8.636 499	313	0.157	8.616 958	475	0.207	8.588 753	661
0.008	8.652 787	21	0.058	8.648 118	167	0.108	8.636 186	315	0.158	8.616 483	479	0.208	8.588 092	666
0.009	8.652 763	24	0.059	8.647 951	169	0.109	8.635 871	319	0.159	8.616 004	483	0.209	8.587 426	669
		27												
0.010	8.652 736	29	0.060	8.647 782	172	0.110	8.635 552	322	0.160	8.615 521	485	0.210	8.586 757	674
0.011	8.652 707	33	0.061	8.647 610	175	0.111	8.635 230	325	0.161	8.615 036	490	0.211	8.586 083	677
0.012	8.652 674	35	0.062	8.647 435	178	0.112	8.634 905	328	0.162	8.614 546	492	0.212	8.585 406	682
0.013	8.652 639	38	0.063	8.647 257	181	0.113	8.634 577	331	0.163	8.614 054	497	0.213	8.584 724	686
0.014	8.652 601	41	0.064	8.647 076	184	0.114	8.634 246	334	0.164	8.613 557	499	0.214	8.584 038	690
0.015	8.652 560	43	0.065	8.646 892	186	0.115	8.633 912	338	0.165	8.613 058	504	0.215	8.583 348	694
0.016	8.652 517	47	0.066	8.646 706	190	0.116	8.633 574	340	0.166	8.612 554	507	0.216	8.582 654	698
0.017	8.652 470	49	0.067	8.646 516	192	0.117	8.633 234	344	0.167	8.612 047	510	0.217	8.581 956	703
0.018	8.652 421	52	0.068	8.646 324	196	0.118	8.632 890	347	0.168	8.611 537	514	0.218	8.581 253	707
0.019	8.652 369	55	0.069	8.646 128	198	0.119	8.632 543	350	0.169	8.611 023	517	0.219	8.580 546	710
		58												
0.020	8.652 314	61	0.070	8.645 930	201	0.120	8.632 193	353	0.170	8.610 506	521	0.220	8.579 836	716
0.021	8.652 256	63	0.071	8.645 729	205	0.121	8.631 840	356	0.171	8.609 985	525	0.221	8.579 120	719
0.022	8.652 195	65	0.072	8.645 524	207	0.122	8.631 484	360	0.172	8.609 460	528	0.222	8.578 401	723
0.023	8.652 132	67	0.073	8.645 317	210	0.123	8.631 124	363	0.173	8.608 932	532	0.223	8.577 678	728
0.024	8.652 065	69	0.074	8.645 107	213	0.124	8.630 761	366	0.174	8.608 400	535	0.224	8.576 950	732
0.025	8.651 996	72	0.075	8.644 894	216	0.125	8.630 395	369	0.175	8.607 865	540	0.225	8.576 218	737
0.026	8.651 924	75	0.076	8.644 678	219	0.126	8.630 026	372	0.176	8.607 325	542	0.226	8.575 481	741
0.027	8.651 849	77	0.077	8.644 459	222	0.127	8.629 654	376	0.177	8.606 783	547	0.227	8.574 740	745
0.028	8.651 772	81	0.078	8.644 237	225	0.128	8.629 278	378	0.178	8.606 236	550	0.228	8.573 995	749
0.029	8.651 691	83	0.079	8.644 012	227	0.129	8.628 900	382	0.179	8.605 686	553	0.229	8.573 246	754
		86												
0.030	8.651 608	89	0.080	8.643 785	231	0.130	8.628 518	386	0.180	8.605 133	558	0.230	8.572 492	759
0.031	8.651 522	92	0.081	8.643 554	234	0.131	8.628 132	388	0.181	8.604 575	561	0.231	8.571 733	762
0.032	8.651 433	94	0.082	8.643 320	237	0.132	8.627 744	392	0.182	8.604 014	564	0.232	8.570 971	767
0.033	8.651 341	98	0.083	8.643 083	239	0.133	8.627 352	395	0.183	8.603 450	569	0.233	8.570 204	772
0.034	8.651 247	100	0.084	8.642 844	243	0.134	8.626 957	398	0.184	8.602 881	572	0.234	8.569 432	776
0.035	8.651 149	103	0.085	8.642 601	246	0.135	8.626 559	401	0.185	8.602 309	576	0.235	8.568 656	781
0.036	8.651 049	106	0.086	8.642 355	248	0.136	8.626 158	405	0.186	8.601 733	580	0.236	8.567 875	785
0.037	8.650 946	109	0.087	8.642 107	252	0.137	8.625 753	408	0.187	8.601 153	583	0.237	8.567 090	789
0.038	8.650 840	112	0.088	8.641 855	255	0.138	8.625 345	412	0.188	8.600 570	587	0.238	8.566 301	795
0.039	8.650 731	115	0.089	8.641 600	257	0.139	8.624 933	414	0.189	8.599 983	591	0.239	8.565 506	798
		117												
0.040	8.650 619	120	0.090	8.641 343	261	0.140	8.624 519	418	0.190	8.599 392	595	0.240	8.564 708	804
0.041	8.650 504	124	0.091	8.641 082	264	0.141	8.624 101	421	0.191	8.598 797	599	0.241	8.563 904	808
0.042	8.650 387	126	0.092	8.640 818	266	0.142	8.623 680	425	0.192	8.598 198	602	0.242	8.563 096	812
0.043	8.650 267	129	0.093	8.640 552	270	0.143	8.623 255	428	0.193	8.597 596	606	0.243	8.562 284	817
0.044	8.650 143	131	0.094	8.640 282	273	0.144	8.622 827	431	0.194	8.596 990	611	0.244	8.561 467	822
0.045	8.650 017	135	0.095	8.640 009	275	0.145	8.622 396	435	0.195	8.596 379	614	0.245	8.560 645	827
0.046	8.649 888	137	0.096	8.639 734	279	0.146	8.621 961	438	0.196	8.595 765	617	0.246	8.559 818	831
0.047	8.649 757	141	0.097	8.639 455	282	0.147	8.621 523	441	0.197	8.595 148	622	0.247	8.558 987	836
0.048	8.649 622	143	0.098	8.639 173	285	0.148	8.621 082	445	0.198	8.594 526	626	0.248	8.558 151	841
0.049	8.649 485	147	0.099	8.638 888	288	0.149	8.620 637	448	0.199	8.593 900	629	0.249	8.557 310	845
0.050	8.649 344		0.100	8.638 600		0.150	8.620 189		0.200	8.593 271		0.250	8.556 465	

Tafel IV.

 $\log \{M_2^2(m)\}$.

$\pm m$	M	$-J$	$\pm m$	M	$-J$	$\pm m$	M	$-J$	$\pm m$	M	$-J$	$\pm m$	M	$-J$
0.000	8.284 901	1	0.050	8.282 941	79	0.100	8.277 023	159	0.150	8.267 026	243	0.200	8.252 738	331
0.001	8.284 900	3	0.051	8.282 862	81	0.101	8.276 864	161	0.151	8.266 783	244	0.201	8.252 407	333
0.002	8.284 897	4	0.052	8.282 781	83	0.102	8.276 703	163	0.152	8.266 539	246	0.202	8.252 074	336
0.003	8.284 893	5	0.053	8.282 698	84	0.103	8.276 540	164	0.153	8.266 293	248	0.203	8.251 738	337
0.004	8.284 888	7	0.054	8.282 614	85	0.104	8.276 376	166	0.154	8.266 045	250	0.204	8.251 401	339
0.005	8.284 881	9	0.055	8.282 529	87	0.105	8.276 210	168	0.155	8.265 795	252	0.205	8.251 062	340
0.006	8.284 872	10	0.056	8.282 442	89	0.106	8.276 042	169	0.156	8.265 543	253	0.206	8.250 722	343
0.007	8.284 862	12	0.057	8.282 353	91	0.107	8.275 873	171	0.157	8.265 290	255	0.207	8.250 379	344
0.008	8.284 850	13	0.058	8.282 262	92	0.108	8.275 702	172	0.158	8.265 035	256	0.208	8.250 035	347
0.009	8.284 837	15	0.059	8.282 170	93	0.109	8.275 530	174	0.159	8.264 779	259	0.209	8.249 688	348
0.010	8.284 822	16	0.060	8.282 077	95	0.110	8.275 356	176	0.160	8.264 520	260	0.210	8.249 340	350
0.011	8.284 806	18	0.061	8.281 982	97	0.111	8.275 180	178	0.161	8.264 260	262	0.211	8.248 990	352
0.012	8.284 788	20	0.062	8.281 885	98	0.112	8.275 002	179	0.162	8.263 998	263	0.212	8.248 638	354
0.013	8.284 768	21	0.063	8.281 787	100	0.113	8.274 823	180	0.163	8.263 735	265	0.213	8.248 284	356
0.014	8.284 747	23	0.064	8.281 687	102	0.114	8.274 643	183	0.164	8.263 470	267	0.214	8.247 928	357
0.015	8.284 724	24	0.065	8.281 585	103	0.115	8.274 460	184	0.165	8.263 203	269	0.215	8.247 571	360
0.016	8.284 700	26	0.066	8.281 482	105	0.116	8.274 276	186	0.166	8.262 934	271	0.216	8.247 211	361
0.017	8.284 674	27	0.067	8.281 377	106	0.117	8.274 090	187	0.167	8.262 663	272	0.217	8.246 850	363
0.018	8.284 647	29	0.068	8.281 271	108	0.118	8.273 903	189	0.168	8.262 391	274	0.218	8.246 487	366
0.019	8.284 618	31	0.069	8.281 163	109	0.119	8.273 714	190	0.169	8.262 117	276	0.219	8.246 121	367
0.020	8.284 587	32	0.070	8.281 054	111	0.120	8.273 524	193	0.170	8.261 841	277	0.220	8.245 754	369
0.021	8.284 555	33	0.071	8.280 943	113	0.121	8.273 331	194	0.171	8.261 564	280	0.221	8.245 385	371
0.022	8.284 522	36	0.072	8.280 830	114	0.122	8.273 137	195	0.172	8.261 284	281	0.222	8.245 014	372
0.023	8.284 486	36	0.073	8.280 716	116	0.123	8.272 942	197	0.173	8.261 003	283	0.223	8.244 642	375
0.024	8.284 450	39	0.074	8.280 600	118	0.124	8.272 745	199	0.174	8.260 720	284	0.224	8.244 267	377
0.025	8.284 411	40	0.075	8.280 482	119	0.125	8.272 546	201	0.175	8.260 436	287	0.225	8.243 890	378
0.026	8.284 371	41	0.076	8.280 363	120	0.126	8.272 345	202	0.176	8.260 149	288	0.226	8.243 512	381
0.027	8.284 330	43	0.077	8.280 243	123	0.127	8.272 143	204	0.177	8.259 861	290	0.227	8.243 131	382
0.028	8.284 287	45	0.078	8.280 120	123	0.128	8.271 939	206	0.178	8.259 571	291	0.228	8.242 749	384
0.029	8.284 242	46	0.079	8.279 997	123	0.129	8.271 733	207	0.179	8.259 280	294	0.229	8.242 365	387
0.030	8.284 196	48	0.080	8.279 871	127	0.130	8.271 526	209	0.180	8.258 986	295	0.230	8.241 978	388
0.031	8.284 148	49	0.081	8.279 744	129	0.131	8.271 317	211	0.181	8.258 691	297	0.231	8.241 590	390
0.032	8.284 099	51	0.082	8.279 615	130	0.132	8.271 106	212	0.182	8.258 394	299	0.232	8.241 200	392
0.033	8.284 048	53	0.083	8.279 485	132	0.133	8.270 894	214	0.183	8.258 095	301	0.233	8.240 808	394
0.034	8.283 995	54	0.084	8.279 353	133	0.134	8.270 680	216	0.184	8.257 794	302	0.234	8.240 414	396
0.035	8.283 941	55	0.085	8.279 220	135	0.135	8.270 464	217	0.185	8.257 492	304	0.235	8.240 018	398
0.036	8.283 886	58	0.086	8.279 085	137	0.136	8.270 247	219	0.186	8.257 188	306	0.236	8.239 620	400
0.037	8.283 828	59	0.087	8.278 948	138	0.137	8.270 028	221	0.187	8.256 882	308	0.237	8.239 220	402
0.038	8.283 769	60	0.088	8.278 810	140	0.138	8.269 807	222	0.188	8.256 574	310	0.238	8.238 818	404
0.039	8.283 709	62	0.089	8.278 670	142	0.139	8.269 585	224	0.189	8.256 264	311	0.239	8.238 414	406
0.040	8.283 647	63	0.090	8.278 528	143	0.140	8.269 361	226	0.190	8.255 953	313	0.240	8.238 008	408
0.041	8.283 584	65	0.091	8.278 385	145	0.141	8.269 135	228	0.191	8.255 640	315	0.241	8.237 600	410
0.042	8.283 519	67	0.092	8.278 240	146	0.142	8.268 907	229	0.192	8.255 325	317	0.242	8.237 190	412
0.043	8.283 452	68	0.093	8.278 094	148	0.143	8.268 678	231	0.193	8.255 008	319	0.243	8.236 778	413
0.044	8.283 384	70	0.094	8.277 946	150	0.144	8.268 447	232	0.194	8.254 689	321	0.244	8.236 365	416
0.045	8.283 314	72	0.095	8.277 796	151	0.145	8.268 215	235	0.195	8.254 368	322	0.245	8.235 949	418
0.046	8.283 242	73	0.096	8.277 645	153	0.146	8.267 980	236	0.196	8.254 046	324	0.246	8.235 531	420
0.047	8.283 169	74	0.097	8.277 492	155	0.147	8.267 744	237	0.197	8.253 722	326	0.247	8.235 111	422
0.048	8.283 095	76	0.098	8.277 337	156	0.148	8.267 507	240	0.198	8.253 396	328	0.248	8.234 689	423
0.049	8.283 019	78	0.099	8.277 181	158	0.149	8.267 267	241	0.199	8.253 068	330	0.249	8.234 266	426
0.050	8.282 941		0.100	8.277 023		0.150	8.267 026		0.200	8.252 738		0.250	8.233 840	

Tafel IV.

 $\log \{M_2^8/m\}$.

$\pm m$	M	$-J$	$\pm m$	M	$-J$	$\pm m$	M	$-J$	$\pm m$	M	$-J$	$\pm m$	M	$-J$					
0.000	8,000	458	2	0.050	7,996	461	162	0.100	7,984	298	329	0.150	7,963	422	512	0.200	7,932	814	722
0.001	8,000	456	3	0.051	7,996	299	165	0.101	7,983	969	333	0.151	7,962	910	516	0.201	7,932	092	726
0.002	8,000	451	5	0.052	7,996	134	169	0.102	7,983	636	337	0.152	7,962	394	521	0.202	7,931	366	731
0.003	8,000	443	8	0.053	7,995	965	172	0.103	7,983	299	340	0.153	7,961	873	524	0.203	7,930	635	735
0.004	8,000	432	11	0.054	7,995	793	175	0.104	7,982	959	343	0.154	7,961	349	528	0.204	7,929	900	740
0.005	8,000	418	14	0.055	7,995	618	178	0.105	7,982	616	347	0.155	7,960	821	532	0.205	7,929	160	745
0.006	8,000	400	18	0.056	7,995	440	182	0.106	7,982	269	351	0.156	7,960	289	536	0.206	7,928	415	749
0.007	8,000	379	21	0.057	7,995	258	185	0.107	7,981	918	354	0.157	7,959	753	539	0.207	7,927	666	754
0.008	8,000	356	23	0.058	7,995	073	188	0.108	7,981	564	358	0.158	7,959	214	544	0.208	7,926	912	759
0.009	8,000	328	28	0.059	7,994	885	191	0.109	7,981	206	361	0.159	7,958	670	548	0.209	7,926	153	763
			30				191				361				548				763
0.010	8,000	298	33	0.060	7,994	694	195	0.110	7,980	845	364	0.160	7,958	122	552	0.210	7,925	390	768
0.011	8,000	265	37	0.061	7,994	499	198	0.111	7,980	481	369	0.161	7,957	570	555	0.211	7,924	622	773
0.012	8,000	228	40	0.062	7,994	301	202	0.112	7,980	112	371	0.162	7,957	015	560	0.212	7,923	849	777
0.013	8,000	188	43	0.063	7,994	099	204	0.113	7,979	741	376	0.163	7,956	455	564	0.213	7,923	072	782
0.014	8,000	145	46	0.064	7,993	895	208	0.114	7,979	365	379	0.164	7,955	891	568	0.214	7,922	290	787
0.015	8,000	099	49	0.065	7,993	687	212	0.115	7,978	986	382	0.165	7,955	323	571	0.215	7,921	503	792
0.016	8,000	050	53	0.066	7,993	475	214	0.116	7,978	604	386	0.166	7,954	752	576	0.216	7,920	711	797
0.017	7,999	997	56	0.067	7,993	261	218	0.117	7,978	218	390	0.167	7,954	176	580	0.217	7,919	914	801
0.018	7,999	941	59	0.068	7,993	043	221	0.118	7,977	828	393	0.168	7,953	596	584	0.218	7,919	113	807
0.019	7,999	882	62	0.069	7,992	822	225	0.119	7,977	435	396	0.169	7,953	012	588	0.219	7,918	306	811
			62				225				396				588				811
0.020	7,999	820	65	0.070	7,992	597	227	0.120	7,977	039	401	0.170	7,952	424	593	0.220	7,917	495	816
0.021	7,999	755	69	0.071	7,992	370	231	0.121	7,976	638	404	0.171	7,951	831	596	0.221	7,916	679	821
0.022	7,999	686	72	0.072	7,992	139	235	0.122	7,976	234	407	0.172	7,951	235	600	0.222	7,915	858	826
0.023	7,999	614	75	0.073	7,991	904	238	0.123	7,975	827	412	0.173	7,950	635	605	0.223	7,915	032	832
0.024	7,999	539	78	0.074	7,991	666	241	0.124	7,975	415	415	0.174	7,950	030	609	0.224	7,914	200	836
0.025	7,999	461	81	0.075	7,991	425	244	0.125	7,975	000	418	0.175	7,949	421	613	0.225	7,913	364	841
0.026	7,999	380	85	0.076	7,991	181	248	0.126	7,974	582	422	0.176	7,948	808	617	0.226	7,912	523	846
0.027	7,999	295	88	0.077	7,990	933	251	0.127	7,974	160	426	0.177	7,948	191	621	0.227	7,911	677	851
0.028	7,999	207	91	0.078	7,990	682	255	0.128	7,973	734	430	0.178	7,947	570	625	0.228	7,910	826	856
0.029	7,999	116	94	0.079	7,990	427	258	0.129	7,973	304	433	0.179	7,946	945	630	0.229	7,909	970	861
			94				258				433				630				861
0.030	7,999	022	97	0.080	7,990	169	261	0.130	7,972	871	437	0.180	7,946	315	634	0.230	7,909	109	867
0.031	7,998	925	101	0.081	7,989	908	265	0.131	7,972	434	440	0.181	7,945	681	638	0.231	7,908	242	871
0.032	7,998	824	104	0.082	7,989	643	268	0.132	7,971	994	444	0.182	7,945	043	642	0.232	7,907	371	877
0.033	7,998	720	107	0.083	7,989	375	271	0.133	7,971	550	448	0.183	7,944	401	647	0.233	7,906	494	882
0.034	7,998	613	110	0.084	7,989	104	275	0.134	7,971	102	452	0.184	7,943	754	651	0.234	7,905	612	887
0.035	7,998	503	114	0.085	7,988	829	278	0.135	7,970	650	455	0.185	7,943	103	655	0.235	7,904	725	893
0.036	7,998	389	116	0.086	7,988	551	282	0.136	7,970	195	459	0.186	7,942	448	660	0.236	7,903	832	897
0.037	7,998	273	120	0.087	7,988	269	284	0.137	7,969	736	463	0.187	7,941	888	664	0.237	7,902	935	903
0.038	7,998	153	124	0.088	7,987	985	289	0.138	7,969	273	467	0.188	7,941	124	668	0.238	7,902	032	909
0.039	7,998	029	126	0.089	7,987	696	292	0.139	7,968	806	470	0.189	7,940	456	673	0.239	7,901	123	913
			126				292				470				673				913
0.040	7,997	903	130	0.090	7,987	404	295	0.140	7,968	336	474	0.190	7,939	783	677	0.240	7,900	210	919
0.041	7,997	773	133	0.091	7,987	109	298	0.141	7,967	862	478	0.191	7,939	106	681	0.241	7,899	291	925
0.042	7,997	640	136	0.092	7,986	811	302	0.142	7,967	384	482	0.192	7,938	425	686	0.242	7,898	366	930
0.043	7,997	504	139	0.093	7,986	509	306	0.143	7,966	902	486	0.193	7,937	739	690	0.243	7,897	436	935
0.044	7,997	365	143	0.094	7,986	203	309	0.144	7,966	416	489	0.194	7,937	049	695	0.244	7,896	501	941
0.045	7,997	222	145	0.095	7,985	894	312	0.145	7,965	927	493	0.195	7,936	354	699	0.245	7,895	560	946
0.046	7,997	077	149	0.096	7,985	582	316	0.146	7,965	434	497	0.196	7,935	655	704	0.246	7,894	614	952
0.047	7,996	928	153	0.097	7,984	266	319	0.147	7,964	937	501	0.197	7,934	951	708	0.247	7,893	662	957
0.048	7,996	775	155	0.098	7,984	947	323	0.148	7,964	436	505	0.198	7,934	243	712	0.248	7,892	705	963
0.049	7,996	620	159	0.099	7,984	624	326	0.149	7,963	931	509	0.199	7,933	531	717	0.249	7,891	742	968
0.050	7,996	461		0.100	7,984	298		0.150	7,963	422		0.200	7,932	814		0.250	7,890	774	

Tafel IV.

 $\log \{M_2^0(m)\}$.

$\pm m$	M	$-J$	$\pm m$	M	$-J$	$\pm m$	M	$-J$	$\pm m$	M	$-J$	$\pm m$	M	$-J$
0.000	7 _n 523 336	1	0.050	7 _n 521 120	90	0.100	7 _n 514 427	180	0.150	7 _n 503 120	274	0.200	7 _n 486 959	375
0.001	7 _n 523 335	2	0.051	7 _n 521 030	91	0.101	7 _n 514 247	182	0.151	7 _n 502 846	277	0.201	7 _n 486 584	377
0.002	7 _n 523 333	3	0.052	7 _n 520 939	93	0.102	7 _n 514 065	184	0.152	7 _n 502 569	278	0.202	7 _n 486 207	379
0.003	7 _n 523 328	5	0.053	7 _n 520 846	95	0.103	7 _n 513 881	186	0.153	7 _n 502 291	281	0.203	7 _n 485 828	382
0.004	7 _n 523 322	6	0.054	7 _n 520 751	97	0.104	7 _n 513 695	188	0.154	7 _n 502 010	282	0.204	7 _n 485 446	383
0.005	7 _n 523 314	8	0.055	7 _n 520 654	99	0.105	7 _n 513 507	189	0.155	7 _n 501 728	285	0.205	7 _n 485 063	386
0.006	7 _n 523 304	10	0.056	7 _n 520 555	100	0.106	7 _n 513 318	192	0.156	7 _n 501 443	286	0.206	7 _n 484 677	387
0.007	7 _n 523 293	11	0.057	7 _n 520 455	103	0.107	7 _n 513 126	193	0.157	7 _n 501 157	288	0.207	7 _n 484 290	390
0.008	7 _n 523 280	13	0.058	7 _n 520 352	104	0.108	7 _n 512 933	195	0.158	7 _n 500 869	291	0.208	7 _n 483 900	392
0.009	7 _n 523 265	15	0.059	7 _n 520 248	105	0.109	7 _n 512 738	197	0.159	7 _n 500 578	292	0.209	7 _n 483 508	394
		17			105			197			292			394
0.010	7 _n 523 248	19	0.060	7 _n 520 143	108	0.110	7 _n 512 541	199	0.160	7 _n 500 286	294	0.210	7 _n 483 114	396
0.011	7 _n 523 229	20	0.061	7 _n 520 035	109	0.111	7 _n 512 342	200	0.161	7 _n 499 992	296	0.211	7 _n 482 718	398
0.012	7 _n 523 209	22	0.062	7 _n 519 926	112	0.112	7 _n 512 142	203	0.162	7 _n 499 696	298	0.212	7 _n 482 320	400
0.013	7 _n 523 187	24	0.063	7 _n 519 814	113	0.113	7 _n 511 939	204	0.163	7 _n 499 398	300	0.213	7 _n 481 920	402
0.014	7 _n 523 163	26	0.064	7 _n 519 701	114	0.114	7 _n 511 735	207	0.164	7 _n 499 098	302	0.214	7 _n 481 518	405
0.015	7 _n 523 137	27	0.065	7 _n 519 587	117	0.115	7 _n 511 528	208	0.165	7 _n 498 796	304	0.215	7 _n 481 113	407
0.016	7 _n 523 110	29	0.066	7 _n 519 470	118	0.116	7 _n 511 320	210	0.166	7 _n 498 492	306	0.216	7 _n 480 706	409
0.017	7 _n 523 081	32	0.067	7 _n 519 352	121	0.117	7 _n 511 110	212	0.167	7 _n 498 186	308	0.217	7 _n 480 297	411
0.018	7 _n 523 049	32	0.068	7 _n 519 231	122	0.118	7 _n 510 898	213	0.168	7 _n 497 878	310	0.218	7 _n 479 886	413
0.019	7 _n 523 017	35	0.069	7 _n 519 109	123	0.119	7 _n 510 685	216	0.169	7 _n 497 568	312	0.219	7 _n 479 473	415
		35			123			216			312			415
0.020	7 _n 522 982	36	0.070	7 _n 518 986	126	0.120	7 _n 510 469	217	0.170	7 _n 497 256	314	0.220	7 _n 479 058	417
0.021	7 _n 522 946	38	0.071	7 _n 518 860	127	0.121	7 _n 510 252	220	0.171	7 _n 496 942	316	0.221	7 _n 478 641	420
0.022	7 _n 522 908	40	0.072	7 _n 518 733	130	0.122	7 _n 510 032	221	0.172	7 _n 496 626	318	0.222	7 _n 478 221	422
0.023	7 _n 522 868	42	0.073	7 _n 518 603	131	0.123	7 _n 509 811	223	0.173	7 _n 496 308	320	0.223	7 _n 477 799	424
0.024	7 _n 522 826	43	0.074	7 _n 518 472	132	0.124	7 _n 509 588	225	0.174	7 _n 495 988	322	0.224	7 _n 477 375	426
0.025	7 _n 522 783	45	0.075	7 _n 518 340	135	0.125	7 _n 509 363	227	0.175	7 _n 495 666	324	0.225	7 _n 476 949	428
0.026	7 _n 522 738	47	0.076	7 _n 518 205	137	0.126	7 _n 509 136	229	0.176	7 _n 495 342	326	0.226	7 _n 476 521	431
0.027	7 _n 522 691	49	0.077	7 _n 518 068	138	0.127	7 _n 508 907	230	0.177	7 _n 495 016	328	0.227	7 _n 476 090	433
0.028	7 _n 522 642	50	0.078	7 _n 517 930	140	0.128	7 _n 508 677	233	0.178	7 _n 494 688	330	0.228	7 _n 475 658	435
0.029	7 _n 522 592	53	0.079	7 _n 517 790	142	0.129	7 _n 508 444	234	0.179	7 _n 494 358	332	0.229	7 _n 475 223	437
		53			142			234			332			437
0.030	7 _n 522 539	54	0.080	7 _n 517 648	144	0.130	7 _n 508 210	237	0.180	7 _n 494 026	334	0.230	7 _n 474 786	439
0.031	7 _n 522 485	56	0.081	7 _n 517 504	145	0.131	7 _n 507 973	238	0.181	7 _n 493 692	336	0.231	7 _n 474 347	442
0.032	7 _n 522 429	57	0.082	7 _n 517 359	147	0.132	7 _n 507 735	240	0.182	7 _n 493 356	338	0.232	7 _n 473 905	444
0.033	7 _n 522 372	60	0.083	7 _n 517 212	150	0.133	7 _n 507 495	242	0.183	7 _n 493 018	340	0.233	7 _n 473 461	445
0.034	7 _n 522 312	61	0.084	7 _n 517 062	151	0.134	7 _n 507 253	244	0.184	7 _n 492 678	342	0.234	7 _n 473 016	448
0.035	7 _n 522 251	63	0.085	7 _n 516 911	152	0.135	7 _n 507 009	246	0.185	7 _n 492 336	344	0.235	7 _n 472 568	451
0.036	7 _n 522 188	64	0.086	7 _n 516 759	155	0.136	7 _n 506 763	248	0.186	7 _n 491 992	346	0.236	7 _n 472 117	452
0.037	7 _n 522 124	67	0.087	7 _n 516 604	157	0.137	7 _n 506 515	249	0.187	7 _n 491 646	348	0.237	7 _n 471 665	455
0.038	7 _n 522 057	68	0.088	7 _n 516 447	158	0.138	7 _n 506 266	252	0.188	7 _n 491 298	351	0.238	7 _n 471 210	457
0.039	7 _n 521 989	70	0.089	7 _n 516 289	160	0.139	7 _n 506 014	253	0.189	7 _n 490 947	352	0.239	7 _n 470 753	459
		70			160			253			352			459
0.040	7 _n 521 919	72	0.090	7 _n 516 129	162	0.140	7 _n 505 761	256	0.190	7 _n 490 595	354	0.240	7 _n 470 294	462
0.041	7 _n 521 847	74	0.091	7 _n 515 967	164	0.141	7 _n 505 505	259	0.191	7 _n 490 241	357	0.241	7 _n 469 832	463
0.042	7 _n 521 773	75	0.092	7 _n 515 803	165	0.142	7 _n 505 248	261	0.192	7 _n 489 884	358	0.242	7 _n 469 369	466
0.043	7 _n 521 698	77	0.093	7 _n 515 638	168	0.143	7 _n 504 989	263	0.193	7 _n 489 526	361	0.243	7 _n 468 903	469
0.044	7 _n 521 621	79	0.094	7 _n 515 470	169	0.144	7 _n 504 728	265	0.194	7 _n 489 165	362	0.244	7 _n 468 434	470
0.045	7 _n 521 542	81	0.095	7 _n 515 301	171	0.145	7 _n 504 465	267	0.195	7 _n 488 803	365	0.245	7 _n 467 964	473
0.046	7 _n 521 461	82	0.096	7 _n 515 130	173	0.146	7 _n 504 200	267	0.196	7 _n 488 438	366	0.246	7 _n 467 491	475
0.047	7 _n 521 379	85	0.097	7 _n 514 957	175	0.147	7 _n 503 933	269	0.197	7 _n 488 072	369	0.247	7 _n 467 016	477
0.048	7 _n 521 294	86	0.098	7 _n 514 782	176	0.148	7 _n 503 664	271	0.198	7 _n 487 703	371	0.248	7 _n 466 539	480
0.049	7 _n 521 208	88	0.099	7 _n 514 606	179	0.149	7 _n 503 393	273	0.199	7 _n 487 332	373	0.249	7 _n 466 059	482
0.050	7 _n 521 120		0.100	7 _n 514 427		0.150	7 _n 503 120		0.200	7 _n 486 959		0.250	7 _n 465 577	

Tafel IV.

 $\log \{M_2^{10}(m)\}.$

$\pm m$	M	$-J$	$\pm m$	M	$-J$	$\pm m$	M	$-J$	$\pm m$	M	$-J$	$\pm m$	M	$-J$
0.000	7.357 193		0.050	7.352 918	173	0.100	7.339 902	352	0.150	7.317 539	549	0.200	7.284 692	775
0.001	7.357 191	2	0.051	7.352 745	177	0.101	7.339 550	357	0.151	7.316 990	554	0.201	7.283 917	780
0.002	7.357 186	5	0.052	7.352 568	180	0.102	7.339 193	360	0.152	7.316 436	557	0.202	7.283 137	785
0.003	7.357 178	8	0.053	7.352 388	184	0.103	7.338 833	364	0.153	7.315 879	562	0.203	7.282 352	791
0.004	7.357 166	12	0.054	7.352 204	188	0.104	7.338 469	368	0.154	7.315 317	566	0.204	7.281 561	795
0.005	7.357 150	16	0.055	7.352 016	191	0.105	7.338 101	372	0.155	7.314 751	571	0.205	7.280 766	800
0.006	7.357 132	18	0.056	7.351 825	194	0.106	7.337 729	375	0.156	7.314 180	574	0.206	7.279 966	805
0.007	7.357 109	23	0.057	7.351 631	198	0.107	7.337 354	379	0.157	7.313 606	579	0.207	7.279 161	810
0.008	7.357 084	25	0.058	7.351 433	201	0.108	7.336 975	383	0.158	7.313 027	583	0.208	7.278 351	816
0.009	7.357 055	29	0.059	7.351 232		0.109	7.336 592		0.159	7.312 444		0.209	7.277 535	
		32			205			387			588			820
0.010	7.357 023		0.060	7.351 027	208	0.110	7.336 205	390	0.160	7.311 856	591	0.210	7.276 715	826
0.011	7.356 987	36	0.061	7.350 819	212	0.111	7.335 815	395	0.161	7.311 265	596	0.211	7.275 889	831
0.012	7.356 947	40	0.062	7.350 607	216	0.112	7.335 420	398	0.162	7.310 669	600	0.212	7.275 058	835
0.013	7.356 905	42	0.063	7.350 391	219	0.113	7.335 022	401	0.163	7.310 069	605	0.213	7.274 223	841
0.014	7.356 859	46	0.064	7.350 172	222	0.114	7.334 621	406	0.164	7.309 464	609	0.214	7.273 382	847
0.015	7.356 809	50	0.065	7.349 950	226	0.115	7.334 215	410	0.165	7.308 855	613	0.215	7.272 535	851
0.016	7.356 756	53	0.066	7.349 724	230	0.116	7.333 805	413	0.166	7.308 242	618	0.216	7.271 684	857
0.017	7.356 700	56	0.067	7.349 494	233	0.117	7.333 392	417	0.167	7.307 624	622	0.217	7.270 827	862
0.018	7.356 640	60	0.068	7.349 261	236	0.118	7.332 975	421	0.168	7.307 002	626	0.218	7.269 965	867
0.019	7.356 577	63	0.069	7.349 025	240	0.119	7.332 554		0.169	7.306 376		0.219	7.269 098	
		66			244			425			631			873
0.020	7.356 511		0.070	7.348 785	248	0.120	7.332 129	429	0.170	7.305 745	636	0.220	7.268 225	878
0.021	7.356 441	70	0.071	7.348 541	250	0.121	7.331 700	433	0.171	7.305 109	639	0.221	7.267 347	883
0.022	7.356 368	73	0.072	7.348 293	255	0.122	7.331 267	436	0.172	7.304 470	645	0.222	7.266 464	889
0.023	7.356 291	77	0.073	7.348 043	258	0.123	7.330 831	441	0.173	7.303 825	648	0.223	7.265 575	894
0.024	7.356 211	80	0.074	7.347 788	262	0.124	7.330 390	444	0.174	7.303 177	653	0.224	7.264 681	900
0.025	7.356 127	84	0.075	7.347 530	265	0.125	7.329 946	448	0.175	7.302 524	658	0.225	7.263 781	905
0.026	7.356 040	87	0.076	7.347 268	269	0.126	7.329 498	453	0.176	7.301 866	662	0.226	7.262 876	910
0.027	7.355 949	91	0.077	7.347 003	272	0.127	7.329 045	456	0.177	7.301 204	667	0.227	7.261 966	916
0.028	7.355 855	94	0.078	7.346 734	276	0.128	7.328 589	460	0.178	7.300 537	671	0.228	7.261 050	922
0.029	7.355 758	97	0.079	7.346 462	276	0.129	7.328 129	464	0.179	7.299 866	676	0.229	7.260 128	927
		101			280			468			680			932
0.030	7.355 657		0.080	7.346 186	283	0.130	7.327 665	472	0.180	7.299 190	685	0.230	7.259 201	939
0.031	7.355 553	104	0.081	7.345 906	286	0.131	7.327 197	476	0.181	7.298 510	690	0.231	7.258 269	944
0.032	7.355 446	107	0.082	7.345 623	291	0.132	7.326 725	480	0.182	7.297 825	694	0.232	7.257 330	949
0.033	7.355 335	111	0.083	7.345 337	294	0.133	7.326 249	484	0.183	7.297 135	699	0.233	7.256 386	955
0.034	7.355 220	115	0.084	7.345 046	298	0.134	7.325 769	488	0.184	7.296 441	703	0.234	7.255 437	961
0.035	7.355 102	118	0.085	7.344 752	301	0.135	7.325 285	492	0.185	7.295 742	708	0.235	7.254 482	967
0.036	7.354 981	121	0.086	7.344 454	305	0.136	7.324 797	496	0.186	7.295 039	713	0.236	7.253 521	973
0.037	7.354 856	125	0.087	7.344 153	309	0.137	7.324 305	500	0.187	7.294 331	718	0.237	7.252 554	978
0.038	7.354 727	129	0.088	7.343 848	312	0.138	7.323 809	504	0.188	7.293 618	722	0.238	7.251 581	984
0.039	7.354 596	131	0.089	7.343 539	316	0.139	7.323 309	508	0.189	7.292 900	727	0.239	7.250 603	990
		135			319			512			732			996
0.040	7.354 461		0.090	7.343 227	324	0.140	7.322 805	516	0.190	7.292 178	736	0.240	7.249 619	1002
0.041	7.354 322	139	0.091	7.342 911	327	0.141	7.322 297	521	0.191	7.291 451	741	0.241	7.248 629	1008
0.042	7.354 180	142	0.092	7.342 592	330	0.142	7.321 785	524	0.192	7.290 719	746	0.242	7.247 633	1014
0.043	7.354 034	146	0.093	7.342 268	334	0.143	7.321 269	529	0.193	7.289 983	751	0.243	7.246 631	1019
0.044	7.353 885	149	0.094	7.341 941	338	0.144	7.320 748	533	0.194	7.289 242	756	0.244	7.245 623	1026
0.045	7.353 733	152	0.095	7.341 611	342	0.145	7.320 224	537	0.195	7.288 496	761	0.245	7.244 609	1032
0.046	7.353 577	156	0.096	7.341 277	346	0.146	7.319 695	541	0.196	7.287 745	765	0.246	7.243 590	1038
0.047	7.353 417	160	0.097	7.340 939	349	0.147	7.319 162	545	0.197	7.286 988	771	0.247	7.242 564	1044
0.048	7.353 254	163	0.098	7.340 597		0.148	7.318 625		0.198	7.286 228		0.248	7.241 532	
0.049	7.353 088	166	0.099	7.340 251		0.149	7.318 084		0.199	7.285 463		0.249	7.240 494	
0.050	7.352 918	170	0.100	7.339 902		0.150	7.317 539		0.200	7.284 692		0.250	7.239 450	

Tafel V.

vergl. pag. 35.

$Q_1^1 - 1 : 12$
 $Q_1^3 + 11 : 720$
 $Q_1^5 - 191 : 60480$
 $Q_1^7 + 2497 : 36 : 28800$
 $Q_1^9 - 14797 : 958 : 00320$
 $Q_1^{11} + 924 : 27157 : 261 : 53487 : 36000$
 $Q_1^{13} - 367 : 40617 : 448 : 34549 : 76000$
 $Q_1^{15} + 6 : 14309 : 43169 : 32 : 01186 : 85280 : 40000$
 $Q_1^{17} - 2313 : 39458 : 92303 : 51090 : 94217 : 17044 : 40000$

$Q_1^{19} + 1639 : 96886 : 81447 : 1 : 52579 : 28431 : 37024 : 00000$

$P_1^1 + 1 : 24$
 $P_1^3 - 17 : 5760$
 $P_1^5 + 367 : 9 : 67680$
 $P_1^7 - 27859 : 4644 : 86400$
 $P_1^9 + 12 : 95803 : 12 : 26244 : 09600$
 $P_1^{11} - 53292 : 42827 : 2 : 67811 : 71056 : 64000$
 $P_1^{13} + 2 : 51988 : 57127 : 64 : 27481 : 05350 : 36000$
 $P_1^{15} - 1195 : 97121 : 66949 : 1 : 49852 : 12970 : 66393 : 60000$
 $P_1^{17} + 11 : 15323 : 97734 : 19941 : 6696 : 59197 : 23302 : 99719 : 68000$

$P_1^{19} - 31326 : 45059 : 69545 : 10807 : 883 : 95014 : 03475 : 99562 : 99776 : 00000$

$\log Q_1^1 : 8,92081 : 87539 : 52375 : 17228 - 10$
 $\log Q_1^3 : 8,18406 : 01887 : 26956 : 58052 - 10$
 $\log Q_1^5 : 7,749942 : 15847 : 54577 : 41897 - 10$
 $\log Q_1^7 : 6,83765 : 55094 : 74554 : 00968 - 10$
 $\log Q_1^9 : 6,18880 : 67140 : 59646 : 43697 - 10$
 $\log Q_1^{11} : 5,54826 : 99878 : 35275 : 08440 - 10$
 $\log Q_1^{13} : 4,91353 : 36324 : 92680 : 95240 - 10$
 $\log Q_1^{15} : 4,28307 : 61586 : 36488 : 77263 - 10$
 $\log Q_1^{17} : 3,65590 : 58038 : 69592 : 29695 - 10$
 $\log Q_1^{19} : 3,03134 : 00303 : 59002 : 66855 - 10$

$\log P_1^1 : 8,61978 : 87582 : 88393 : 97706 - 10$
 $\log P_1^3 : 7,747002 : 64379 : 55061 : 88267 - 10$
 $\log P_1^5 : 6,57893 : 42991 : 03014 : 43847 - 10$
 $\log P_1^7 : 5,77799 : 25208 : 24003 : 32215 - 10$
 $\log P_1^9 : 5,02396 : 20516 : 80116 : 06360 - 10$
 $\log P_1^{11} : 4,29883 : 59458 : 96757 : 75456 - 10$
 $\log P_1^{13} : 3,59334 : 00390 : 27949 : 00215 - 10$
 $\log P_1^{15} : 2,90205 : 78081 : 19206 : 78783 - 10$
 $\log P_1^{17} : 2,22154 : 72009 : 05976 : 08148 - 10$
 $\log P_1^{19} : 1,54948 : 34213 : 88368 : 16947 - 10$

$Q_2^0 + 1 : 12$
 $Q_2^2 - 1 : 240$
 $Q_2^4 + 31 : 60480$
 $Q_2^6 - 289 : 36 : 28800$
 $Q_2^8 + 317 : 228 : 09600$
 $Q_2^{10} - 68 : 03477 : 261 : 53487 : 36000$
 $Q_2^{12} + 32 : 03699 : 627 : 68369 : 66400$
 $Q_2^{14} - 6632 : 25741 : 6 : 40237 : 37057 : 28000$
 $Q_2^{16} + 22 : 03877 : 95651 : 10218 : 18843 : 43418 : 88000$

$Q_2^{18} - 15447 : 34732 : 56043 : 337 : 20021 : 83332 : 82304 : 00000$

$P_2^0 - 1 : 24$
 $P_2^2 + 17 : 1920$
 $P_2^4 - 367 : 1 : 93536$
 $P_2^6 + 27859 : 663 : 55200$
 $P_2^8 - 12 : 95803 : 1 : 36249 : 34400$
 $P_2^{10} + 53292 : 42827 : 24346 : 51914 : 24000$
 $P_2^{12} - 2 : 51988 : 57127 : 4 : 94421 : 61950 : 22000$
 $P_2^{14} + 1195 : 97121 : 66949 : 9990 : 14198 : 04426 : 24000$
 $P_2^{16} - 11 : 15323 : 97734 : 19941 : 393 : 91717 : 48429 : 58807 : 04000$

$P_2^{18} + 31326 : 45059 : 69545 : 10807 : 46 : 52369 : 15972 : 42082 : 26304 : 00000$

$\log Q_2^0 : 8,92081 : 87539 : 52375 : 17228 - 10$
 $\log Q_2^2 : 7,61978 : 87582 : 88393 : 97706 - 10$
 $\log Q_2^4 : 6,70974 : 99113 : 41122 : 56100 - 10$
 $\log Q_2^6 : 5,90113 : 48098 : 79754 : 10591 - 10$
 $\log Q_2^8 : 5,14294 : 15928 : 69027 : 14291 - 10$
 $\log Q_2^{10} : 4,41520 : 13141 : 51965 : 43582 - 10$
 $\log Q_2^{12} : 3,70791 : 08571 : 71699 : 08962 - 10$
 $\log Q_2^{14} : 3,01532 : 03533 : 68939 : 05852 - 10$
 $\log Q_2^{16} : 2,33381 : 36337 : 74462 : 41189 - 10$
 $\log Q_2^{18} : 1,66096 : 60643 : 89676 : 13374 - 10$

$\log P_2^0 : 8,61978 : 87582 : 88393 : 97706 - 10$
 $\log P_2^2 : 7,94714 : 76926 : 74724 : 31996 - 10$
 $\log P_2^4 : 7,27790 : 43034 : 39033 : 24326 - 10$
 $\log P_2^6 : 6,62309 : 05608 : 38260 : 15286 - 10$
 $\log P_2^8 : 5,97820 : 45611 : 19440 : 93819 - 10$
 $\log P_2^{10} : 5,34022 : 86310 : 54982 : 79531 - 10$
 $\log P_2^{12} : 4,70728 : 33913 : 34785 : 77136 - 10$
 $\log P_2^{14} : 4,07814 : 90671 : 74888 : 02991 - 10$
 $\log P_2^{16} : 3,45199 : 61222 : 84250 : 01002 - 10$
 $\log P_2^{18} : 2,82823 : 70223 : 41197 : 13100 - 10$

Tafel VI.

 $\log \{Q_1^{-1} n\}$.

vergl. pag. 41.

$\pm n$	Q	$-J$	$\pm n$	Q	$-J$	$\pm n$	Q	$-J$	$\pm n$	Q	$-J$	$\pm n$	Q	$-J$
0.000	8 _n 920 819		0.050	8 _n 914 255	26	0.100	8 _n 893 947	558	0.150	8 _n 857 835	908	0.200	8 _n 801 632	1377
0.001	8 _n 920 816	3	0.051	8 _n 913 988	27	0.101	8 _n 893 389	564	0.151	8 _n 856 927	915	0.201	8 _n 800 255	1388
0.002	8 _n 920 808	8	0.052	8 _n 913 715	27	0.102	8 _n 892 825	570	0.152	8 _n 856 012	924	0.202	8 _n 798 867	1400
0.003	8 _n 920 795	13	0.053	8 _n 913 437	28	0.103	8 _n 892 255	576	0.153	8 _n 855 088	932	0.203	8 _n 797 467	1411
0.004	8 _n 920 777	18	0.054	8 _n 913 153	28	0.104	8 _n 891 679	583	0.154	8 _n 854 156	940	0.204	8 _n 796 056	1423
0.005	8 _n 920 754	23	0.055	8 _n 912 864	29	0.105	8 _n 891 096	589	0.155	8 _n 853 216	947	0.205	8 _n 794 633	1434
0.006	8 _n 920 725	29	0.056	8 _n 912 569	30	0.106	8 _n 890 507	596	0.156	8 _n 852 269	955	0.206	8 _n 793 199	1446
0.007	8 _n 920 691	34	0.057	8 _n 912 269	30	0.107	8 _n 889 911	602	0.157	8 _n 851 312	964	0.207	8 _n 791 753	1458
0.008	8 _n 920 652	39	0.058	8 _n 911 963	31	0.108	8 _n 889 309	608	0.158	8 _n 850 348	973	0.208	8 _n 790 295	1470
0.009	8 _n 920 608	44	0.059	8 _n 911 652	31	0.109	8 _n 888 701	615	0.159	8 _n 849 375	981	0.209	8 _n 788 825	1483
		50			31									
0.010	8 _n 920 558		0.060	8 _n 911 335	32	0.110	8 _n 888 086	621	0.160	8 _n 848 394	989	0.210	8 _n 787 342	1494
0.011	8 _n 920 503	55	0.061	8 _n 911 013	32	0.111	8 _n 887 465	628	0.161	8 _n 847 405	998	0.211	8 _n 785 848	1506
0.012	8 _n 920 443	60	0.062	8 _n 910 685	33	0.112	8 _n 886 837	635	0.162	8 _n 846 407	1006	0.212	8 _n 784 342	1519
0.013	8 _n 920 378	65	0.063	8 _n 910 351	33	0.113	8 _n 886 202	641	0.163	8 _n 845 401	1015	0.213	8 _n 782 823	1532
0.014	8 _n 920 308	70	0.064	8 _n 910 012	34	0.114	8 _n 885 561	648	0.164	8 _n 844 386	1023	0.214	8 _n 781 291	1544
0.015	8 _n 920 232	76	0.065	8 _n 909 668	35	0.115	8 _n 884 913	654	0.165	8 _n 843 363	1032	0.215	8 _n 779 747	1557
0.016	8 _n 920 151	86	0.066	8 _n 909 317	35	0.116	8 _n 884 259	661	0.166	8 _n 842 331	1041	0.216	8 _n 778 190	1570
0.017	8 _n 920 065	91	0.067	8 _n 908 961	36	0.117	8 _n 883 598	667	0.167	8 _n 841 290	1050	0.217	8 _n 776 620	1583
0.018	8 _n 919 974	97	0.068	8 _n 908 599	36	0.118	8 _n 882 931	675	0.168	8 _n 840 240	1058	0.218	8 _n 775 037	1595
0.019	8 _n 919 877		0.069	8 _n 908 232	37	0.119	8 _n 882 256	681	0.169	8 _n 839 182	1068	0.219	8 _n 773 442	1610
		102			37									
0.020	8 _n 919 775		0.070	8 _n 907 859	37	0.120	8 _n 881 575	688	0.170	8 _n 838 114	1076	0.220	8 _n 771 832	1622
0.021	8 _n 919 668	107	0.071	8 _n 907 480	38	0.121	8 _n 880 987	695	0.171	8 _n 837 038	1085	0.221	8 _n 770 210	1636
0.022	8 _n 919 556	112	0.072	8 _n 907 096	39	0.122	8 _n 880 392	701	0.172	8 _n 835 953	1095	0.222	8 _n 768 574	1649
0.023	8 _n 919 438	118	0.073	8 _n 906 706	39	0.123	8 _n 879 791	709	0.173	8 _n 834 858	1103	0.223	8 _n 766 925	1664
0.024	8 _n 919 315	123	0.074	8 _n 906 310	40	0.124	8 _n 878 182	715	0.174	8 _n 833 755	1113	0.224	8 _n 765 261	1677
0.025	8 _n 919 187	128	0.075	8 _n 905 908	40	0.125	8 _n 878 567	723	0.175	8 _n 832 642	1122	0.225	8 _n 763 584	1691
0.026	8 _n 919 054	133	0.076	8 _n 905 501	41	0.126	8 _n 877 944	729	0.176	8 _n 831 520	1131	0.226	8 _n 761 893	1706
0.027	8 _n 918 915	139	0.077	8 _n 905 088	41	0.127	8 _n 877 315	736	0.177	8 _n 830 389	1141	0.227	8 _n 760 187	1719
0.028	8 _n 918 771	144	0.078	8 _n 904 669	41	0.128	8 _n 876 679	743	0.178	8 _n 829 248	1150	0.228	8 _n 758 468	1734
0.029	8 _n 918 622	149	0.079	8 _n 904 244	42	0.129	8 _n 876 035	751	0.179	8 _n 828 098	1160	0.229	8 _n 756 734	1749
		155			43									
0.030	8 _n 918 467		0.080	8 _n 903 813	43	0.130	8 _n 875 385	757	0.180	8 _n 826 938	1169	0.230	8 _n 754 985	1763
0.031	8 _n 918 307	160	0.081	8 _n 903 377	43	0.131	8 _n 874 728	765	0.181	8 _n 825 769	1179	0.231	8 _n 753 222	1779
0.032	8 _n 918 142	165	0.082	8 _n 902 934	44	0.132	8 _n 874 063	772	0.182	8 _n 824 590	1188	0.232	8 _n 751 443	1793
0.033	8 _n 917 972	170	0.083	8 _n 902 486	44	0.133	8 _n 873 391	779	0.183	8 _n 823 402	1197	0.233	8 _n 749 650	1808
0.034	8 _n 917 796	176	0.084	8 _n 902 032	45	0.134	8 _n 872 712	786	0.184	8 _n 822 203	1208	0.234	8 _n 747 842	1824
0.035	8 _n 917 615	181	0.085	8 _n 901 572	46	0.135	8 _n 872 026	794	0.185	8 _n 820 995	1219	0.235	8 _n 746 018	1840
0.036	8 _n 917 429	186	0.086	8 _n 901 106	46	0.136	8 _n 871 332	801	0.186	8 _n 819 776	1228	0.236	8 _n 744 178	1855
0.037	8 _n 917 237	192	0.087	8 _n 900 634	47	0.137	8 _n 870 631	808	0.187	8 _n 818 548	1238	0.237	8 _n 742 323	1871
0.038	8 _n 917 040	197	0.088	8 _n 900 156	47	0.138	8 _n 869 923	816	0.188	8 _n 817 310	1249	0.238	8 _n 740 452	1887
0.039	8 _n 916 837	203	0.089	8 _n 899 672	48	0.139	8 _n 869 307	823	0.189	8 _n 816 061	1259	0.239	8 _n 738 565	1903
		208			49									
0.040	8 _n 916 629		0.090	8 _n 899 182	49	0.140	8 _n 868 684	830	0.190	8 _n 814 802	1269	0.240	8 _n 736 662	1919
0.041	8 _n 916 416	213	0.091	8 _n 898 686	50	0.141	8 _n 868 054	838	0.191	8 _n 813 533	1279	0.241	8 _n 734 743	1936
0.042	8 _n 916 198	218	0.092	8 _n 898 184	50	0.142	8 _n 867 416	846	0.192	8 _n 812 254	1291	0.242	8 _n 732 807	1953
0.043	8 _n 915 974	224	0.093	8 _n 897 676	51	0.143	8 _n 866 770	853	0.193	8 _n 810 963	1300	0.243	8 _n 730 854	1970
0.044	8 _n 915 745	229	0.094	8 _n 897 161	51	0.144	8 _n 866 117	861	0.194	8 _n 809 663	1311	0.244	8 _n 728 884	1987
0.045	8 _n 915 510	235	0.095	8 _n 896 641	52	0.145	8 _n 865 456	869	0.195	8 _n 808 352	1322	0.245	8 _n 726 897	2004
0.046	8 _n 915 270	240	0.096	8 _n 896 115	53	0.146	8 _n 864 787	876	0.196	8 _n 807 030	1333	0.246	8 _n 724 893	2022
0.047	8 _n 915 024	246	0.097	8 _n 895 582	53	0.147	8 _n 864 111	884	0.197	8 _n 805 697	1344	0.247	8 _n 722 871	2039
0.048	8 _n 914 773	251	0.098	8 _n 895 043	54	0.148	8 _n 863 427	892	0.198	8 _n 804 353	1355	0.248	8 _n 720 832	2058
0.049	8 _n 914 517	256	0.099	8 _n 894 498	54	0.149	8 _n 862 735	900	0.199	8 _n 802 998	1366	0.249	8 _n 718 774	2075
0.050	8 _n 914 255	262	0.100	8 _n 893 947	55	0.150	8 _n 862 035	908	0.200	8 _n 801 632		0.250	8 _n 716 699	

Tafel VI.

 $\log \{Q_1^3 n\}$

$\pm n$	Q	$-J$	$\pm n$	Q	$-J$	$\pm n$	Q	$-J$	$\pm n$	Q	$-J$	$\pm n$	Q	$-J$
0.000	8.184 060		0.050	8.178 105	242	0.100	8.159 826		0.150	8.127 878	794	0.200	8.079 583	1161
0.001	8.184 058	2	0.051	8.177 863	247	0.101	8.159 327	499	0.151	8.127 084	800	0.201	8.078 422	1170
0.002	8.184 051	12	0.052	8.177 616	252	0.102	8.158 823	504	0.152	8.126 284	807	0.202	8.077 252	1178
0.003	8.184 039	17	0.053	8.177 364	257	0.103	8.158 314	515	0.153	8.125 477	814	0.203	8.076 074	1187
0.004	8.184 022	21	0.054	8.177 107	261	0.104	8.157 799	521	0.154	8.124 663	820	0.204	8.074 887	1195
0.005	8.184 001	26	0.055	8.176 846	267	0.105	8.157 278	526	0.155	8.123 843	826	0.205	8.073 692	1204
0.006	8.183 975	31	0.056	8.176 579	271	0.106	8.156 752	531	0.156	8.123 017	834	0.206	8.072 488	1213
0.007	8.183 944	35	0.057	8.176 308	277	0.107	8.156 221	538	0.157	8.122 183	839	0.207	8.071 275	1221
0.008	8.183 909	41	0.058	8.176 031	281	0.108	8.155 683	542	0.158	8.121 344	847	0.208	8.070 054	1230
0.009	8.183 868	45	0.059	8.175 750	287	0.109	8.155 141	548	0.159	8.120 497	853	0.209	8.068 824	1239
0.010	8.183 823	50	0.060	8.175 463	291	0.110	8.154 593	554	0.160	8.119 644	861	0.210	8.067 585	1249
0.011	8.183 773	54	0.061	8.175 172	297	0.111	8.154 039	560	0.161	8.118 783	867	0.211	8.066 336	1257
0.012	8.183 719	59	0.062	8.174 875	301	0.112	8.153 479	565	0.162	8.117 916	873	0.212	8.065 079	1266
0.013	8.183 660	64	0.063	8.174 574	306	0.113	8.152 914	570	0.163	8.117 043	881	0.213	8.063 813	1275
0.014	8.183 596	69	0.064	8.174 268	312	0.114	8.152 344	576	0.164	8.116 162	887	0.214	8.062 538	1284
0.015	8.183 527	74	0.065	8.173 956	316	0.115	8.151 768	582	0.165	8.115 275	895	0.215	8.061 254	1294
0.016	8.183 453	78	0.066	8.173 640	322	0.116	8.151 186	588	0.166	8.114 380	901	0.216	8.059 960	1303
0.017	8.183 375	83	0.067	8.173 318	326	0.117	8.150 598	593	0.167	8.113 479	908	0.217	8.058 657	1312
0.018	8.183 292	88	0.068	8.172 992	331	0.118	8.150 005	600	0.168	8.112 571	916	0.218	8.057 345	1322
0.019	8.183 204	92	0.069	8.172 661	337	0.119	8.149 405	604	0.169	8.111 655	922	0.219	8.056 023	1331
0.020	8.183 112	97	0.070	8.172 324	342	0.120	8.148 801	611	0.170	8.110 733	930	0.220	8.054 692	1341
0.021	8.183 015	103	0.071	8.171 982	346	0.121	8.148 190	616	0.171	8.109 803	937	0.221	8.053 351	1351
0.022	8.182 912	106	0.072	8.171 636	352	0.122	8.147 574	623	0.172	8.108 866	943	0.222	8.052 000	1360
0.023	8.182 806	112	0.073	8.171 284	357	0.123	8.146 951	628	0.173	8.107 923	952	0.223	8.050 640	1370
0.024	8.182 694	116	0.074	8.170 927	362	0.124	8.146 323	634	0.174	8.106 971	958	0.224	8.049 270	1380
0.025	8.182 578	122	0.075	8.170 565	367	0.125	8.145 689	639	0.175	8.106 013	965	0.225	8.047 890	1389
0.026	8.182 456	125	0.076	8.170 198	372	0.126	8.145 050	646	0.176	8.105 048	973	0.226	8.046 501	1400
0.027	8.182 331	131	0.077	8.169 826	377	0.127	8.144 404	652	0.177	8.104 075	981	0.227	8.045 101	1410
0.028	8.182 200	136	0.078	8.169 449	383	0.128	8.143 752	657	0.178	8.103 094	987	0.228	8.043 691	1419
0.029	8.182 064	140	0.079	8.169 066	387	0.129	8.143 095	663	0.179	8.102 107	995	0.229	8.042 272	1431
0.030	8.181 924	145	0.080	8.168 679	393	0.130	8.142 432	670	0.180	8.101 112	1003	0.230	8.040 841	1440
0.031	8.181 779	150	0.081	8.168 286	398	0.131	8.141 762	675	0.181	8.100 109	1010	0.231	8.039 401	1451
0.032	8.181 629	155	0.082	8.167 888	403	0.132	8.141 087	682	0.182	8.099 099	1018	0.232	8.037 950	1461
0.033	8.181 474	159	0.083	8.167 485	408	0.133	8.140 405	687	0.183	8.098 081	1025	0.233	8.036 489	1471
0.034	8.181 315	165	0.084	8.167 077	414	0.134	8.139 718	694	0.184	8.097 056	1033	0.234	8.035 018	1483
0.035	8.181 150	169	0.085	8.166 663	419	0.135	8.139 024	699	0.185	8.096 023	1040	0.235	8.033 535	1493
0.036	8.180 981	174	0.086	8.166 244	424	0.136	8.138 325	706	0.186	8.094 983	1049	0.236	8.032 042	1503
0.037	8.180 807	178	0.087	8.165 820	429	0.137	8.137 619	712	0.187	8.093 934	1056	0.237	8.030 539	1515
0.038	8.180 629	184	0.088	8.165 391	434	0.138	8.136 907	718	0.188	8.092 878	1064	0.238	8.029 024	1526
0.039	8.180 445	189	0.089	8.164 957	440	0.139	8.136 189	724	0.189	8.091 814	1071	0.239	8.027 498	1536
0.040	8.180 256	193	0.090	8.164 517	445	0.140	8.135 465	730	0.190	8.090 743	1080	0.240	8.025 962	1548
0.041	8.180 063	198	0.091	8.164 072	451	0.141	8.134 735	737	0.191	8.089 663	1087	0.241	8.024 414	1559
0.042	8.179 865	203	0.092	8.163 621	455	0.142	8.133 998	743	0.192	8.088 576	1096	0.242	8.022 855	1570
0.043	8.179 662	208	0.093	8.163 166	461	0.143	8.133 255	749	0.193	8.087 480	1104	0.243	8.021 283	1582
0.044	8.179 454	212	0.094	8.162 705	467	0.144	8.132 506	755	0.194	8.086 376	1111	0.244	8.019 705	1593
0.045	8.179 242	218	0.095	8.162 238	471	0.145	8.131 751	762	0.195	8.085 265	1120	0.245	8.018 110	1604
0.046	8.179 024	223	0.096	8.161 767	477	0.146	8.131 089	768	0.196	8.084 145	1128	0.246	8.016 506	1617
0.047	8.178 801	227	0.097	8.161 290	483	0.147	8.130 221	775	0.197	8.083 017	1136	0.247	8.014 889	1628
0.048	8.178 574	232	0.098	8.160 807	488	0.148	8.129 446	781	0.198	8.081 881	1145	0.248	8.013 261	1640
0.049	8.178 342	237	0.099	8.160 319	493	0.149	8.128 665	787	0.199	8.080 736	1153	0.249	8.011 621	1652
0.050	8.178 105		0.100	8.159 826		0.150	8.127 878		0.200	8.079 583		0.250	8.009 969	

Tafel VI.

 $\log \{Q_1^{-1} n\}$.

$\pm n$	Q	$-J$	$\pm n$	Q	$-J$	$\pm n$	Q	$-J$	$\pm n$	Q	$-J$	$\pm n$	Q	$-J$
0.000	8 _n 142 668	1	0.050	8 _n 142 016	27	0.100	8 _n 140 054	53	0.150	8 _n 136 765	80	0.200	8 _n 132 117	107
0.001	8 _n 142 667	0	0.051	8 _n 141 989	27	0.101	8 _n 140 001	53	0.151	8 _n 136 685	80	0.201	8 _n 132 010	107
0.002	8 _n 142 667	2	0.052	8 _n 141 962	27	0.102	8 _n 139 948	54	0.152	8 _n 136 605	81	0.202	8 _n 131 903	109
0.003	8 _n 142 665	2	0.053	8 _n 141 935	28	0.103	8 _n 139 894	54	0.153	8 _n 136 524	81	0.203	8 _n 131 794	108
0.004	8 _n 142 663	2	0.054	8 _n 141 907	28	0.104	8 _n 139 840	55	0.154	8 _n 136 443	81	0.204	8 _n 131 686	110
0.005	8 _n 142 661	3	0.055	8 _n 141 879	29	0.105	8 _n 139 785	55	0.155	8 _n 136 362	83	0.205	8 _n 131 576	110
0.006	8 _n 142 658	3	0.056	8 _n 141 850	30	0.106	8 _n 139 730	56	0.156	8 _n 136 279	82	0.206	8 _n 131 466	110
0.007	8 _n 142 655	4	0.057	8 _n 141 820	30	0.107	8 _n 139 674	57	0.157	8 _n 136 197	84	0.207	8 _n 131 356	111
0.008	8 _n 142 651	5	0.058	8 _n 141 790	30	0.108	8 _n 139 617	56	0.158	8 _n 136 113	84	0.208	8 _n 131 245	112
0.009	8 _n 142 646	5	0.059	8 _n 141 760	30	0.109	8 _n 139 561	58	0.159	8 _n 136 029	84	0.209	8 _n 131 133	112
					32									
0.010	8 _n 142 641	5	0.060	8 _n 141 728	31	0.110	8 _n 139 503	58	0.160	8 _n 135 945	85	0.210	8 _n 131 021	112
0.011	8 _n 142 636	6	0.061	8 _n 141 697	31	0.111	8 _n 139 445	59	0.161	8 _n 135 860	85	0.211	8 _n 130 909	114
0.012	8 _n 142 630	6	0.062	8 _n 141 665	32	0.112	8 _n 139 386	59	0.162	8 _n 135 775	86	0.212	8 _n 130 795	113
0.013	8 _n 142 624	7	0.063	8 _n 141 632	33	0.113	8 _n 139 327	59	0.163	8 _n 135 689	87	0.213	8 _n 130 682	115
0.014	8 _n 142 617	8	0.064	8 _n 141 599	33	0.114	8 _n 139 268	60	0.164	8 _n 135 602	87	0.214	8 _n 130 567	115
0.015	8 _n 142 609	8	0.065	8 _n 141 565	34	0.115	8 _n 139 208	61	0.165	8 _n 135 515	88	0.215	8 _n 130 452	115
0.016	8 _n 142 601	9	0.066	8 _n 141 531	34	0.116	8 _n 139 147	61	0.166	8 _n 135 427	88	0.216	8 _n 130 337	116
0.017	8 _n 142 592	9	0.067	8 _n 141 496	35	0.117	8 _n 139 086	62	0.167	8 _n 135 339	89	0.217	8 _n 130 221	117
0.018	8 _n 142 583	9	0.068	8 _n 141 461	35	0.118	8 _n 139 024	62	0.168	8 _n 135 250	89	0.218	8 _n 130 104	117
0.019	8 _n 142 574	11	0.069	8 _n 141 425	36	0.119	8 _n 138 962	63	0.169	8 _n 135 161	90	0.219	8 _n 129 987	118
					36									
0.020	8 _n 142 563	10	0.070	8 _n 141 389	37	0.120	8 _n 138 899	63	0.170	8 _n 135 071	91	0.220	8 _n 129 869	118
0.021	8 _n 142 553	12	0.071	8 _n 141 352	37	0.121	8 _n 138 836	64	0.171	8 _n 134 980	91	0.221	8 _n 129 751	119
0.022	8 _n 142 541	11	0.072	8 _n 141 315	37	0.122	8 _n 138 772	65	0.172	8 _n 134 889	91	0.222	8 _n 129 632	120
0.023	8 _n 142 530	13	0.073	8 _n 141 277	38	0.123	8 _n 138 707	65	0.173	8 _n 134 798	92	0.223	8 _n 129 512	120
0.024	8 _n 142 517	12	0.074	8 _n 141 238	39	0.124	8 _n 138 642	65	0.174	8 _n 134 706	93	0.224	8 _n 129 392	121
0.025	8 _n 142 505	14	0.075	8 _n 141 199	39	0.125	8 _n 138 577	66	0.175	8 _n 134 613	93	0.225	8 _n 129 271	121
0.026	8 _n 142 491	13	0.076	8 _n 141 160	40	0.126	8 _n 138 511	67	0.176	8 _n 134 520	94	0.226	8 _n 129 150	122
0.027	8 _n 142 478	15	0.077	8 _n 141 120	41	0.127	8 _n 138 444	67	0.177	8 _n 134 426	94	0.227	8 _n 129 028	122
0.028	8 _n 142 463	15	0.078	8 _n 141 079	41	0.128	8 _n 138 377	67	0.178	8 _n 134 332	95	0.228	8 _n 128 906	123
0.029	8 _n 142 448	15	0.079	8 _n 141 038	41	0.129	8 _n 138 310	69	0.179	8 _n 134 237	95	0.229	8 _n 128 783	123
					41									
0.030	8 _n 142 433	16	0.080	8 _n 140 997	42	0.130	8 _n 138 241	68	0.180	8 _n 134 142	96	0.230	8 _n 128 660	125
0.031	8 _n 142 417	16	0.081	8 _n 140 955	43	0.131	8 _n 138 173	70	0.181	8 _n 134 046	97	0.231	8 _n 128 535	124
0.032	8 _n 142 401	17	0.082	8 _n 140 912	43	0.132	8 _n 138 103	69	0.182	8 _n 133 949	97	0.232	8 _n 128 411	125
0.033	8 _n 142 384	18	0.083	8 _n 140 869	44	0.133	8 _n 138 034	71	0.183	8 _n 133 852	97	0.233	8 _n 128 286	126
0.034	8 _n 142 366	18	0.084	8 _n 140 825	44	0.134	8 _n 137 963	71	0.184	8 _n 133 755	98	0.234	8 _n 128 160	127
0.035	8 _n 142 348	18	0.085	8 _n 140 781	44	0.135	8 _n 137 892	71	0.185	8 _n 133 657	99	0.235	8 _n 128 033	127
0.036	8 _n 142 330	19	0.086	8 _n 140 736	45	0.136	8 _n 137 821	72	0.186	8 _n 133 558	99	0.236	8 _n 127 906	127
0.037	8 _n 142 311	20	0.087	8 _n 140 691	45	0.137	8 _n 137 749	72	0.187	8 _n 133 459	100	0.237	8 _n 127 779	128
0.038	8 _n 142 291	20	0.088	8 _n 140 645	46	0.138	8 _n 137 677	73	0.188	8 _n 133 359	101	0.238	8 _n 127 651	129
0.039	8 _n 142 271	21	0.089	8 _n 140 599	46	0.139	8 _n 137 604	74	0.189	8 _n 133 258	101	0.239	8 _n 127 522	129
					47									
0.040	8 _n 142 250	21	0.090	8 _n 140 552	48	0.140	8 _n 137 530	74	0.190	8 _n 133 157	101	0.240	8 _n 127 393	130
0.041	8 _n 142 229	21	0.091	8 _n 140 504	48	0.141	8 _n 137 456	75	0.191	8 _n 133 056	102	0.241	8 _n 127 263	130
0.042	8 _n 142 208	23	0.092	8 _n 140 456	48	0.142	8 _n 137 381	75	0.192	8 _n 132 954	103	0.242	8 _n 127 133	131
0.043	8 _n 142 185	22	0.093	8 _n 140 408	49	0.143	8 _n 137 306	76	0.193	8 _n 132 851	103	0.243	8 _n 127 002	132
0.044	8 _n 142 163	23	0.094	8 _n 140 359	50	0.144	8 _n 137 230	76	0.194	8 _n 132 748	104	0.244	8 _n 126 870	132
0.045	8 _n 142 140	24	0.095	8 _n 140 309	50	0.145	8 _n 137 154	77	0.195	8 _n 132 644	104	0.245	8 _n 126 738	133
0.046	8 _n 142 116	24	0.096	8 _n 140 259	50	0.146	8 _n 137 077	77	0.196	8 _n 132 540	105	0.246	8 _n 126 605	133
0.047	8 _n 142 092	25	0.097	8 _n 140 209	51	0.147	8 _n 137 000	78	0.197	8 _n 132 435	105	0.247	8 _n 126 472	134
0.048	8 _n 142 067	26	0.098	8 _n 140 158	52	0.148	8 _n 136 922	78	0.198	8 _n 132 330	106	0.248	8 _n 126 338	135
0.049	8 _n 142 041	25	0.099	8 _n 140 106	52	0.149	8 _n 136 844	79	0.199	8 _n 132 224	107	0.249	8 _n 126 203	135
0.050	8 _n 142 016		0.100	8 _n 140 054		0.150	8 _n 136 765		0.200	8 _n 132 117		0.250	8 _n 126 068	

Tafel VI.

$$\log \{Q_1^{-5}(n)\}$$

$\pm n$	Q	$-J$	$\pm n$	Q	$-J$	$\pm n$	Q	$-J$	$\pm n$	Q	$-J$	$\pm n$	Q	$-J$	$\pm n$	Q	$-J$
0.000	7n499	422	0.050	7n493	663	0.100	7n476	026	0.150	7n445	344	0.200	7n399	324	0.250	7n339	324
0.001	7n499	419	0.051	7n493	429	0.101	7n475	546	0.151	7n444	584	0.201	7n398	223	0.251	7n338	223
0.002	7n499	412	0.052	7n493	190	0.102	7n475	060	0.152	7n443	818	0.202	7n397	114	0.252	7n337	114
0.003	7n499	401	0.053	7n492	947	0.103	7n474	569	0.153	7n443	045	0.203	7n395	998	0.253	7n335	998
0.004	7n499	385	0.054	7n492	699	0.104	7n474	073	0.154	7n442	267	0.204	7n394	873	0.254	7n334	873
0.005	7n499	364	0.055	7n492	446	0.105	7n473	572	0.155	7n441	482	0.205	7n393	741	0.255	7n333	741
0.006	7n499	339	0.056	7n492	188	0.106	7n473	066	0.156	7n440	692	0.206	7n392	601	0.256	7n332	601
0.007	7n499	309	0.057	7n491	926	0.107	7n472	554	0.157	7n439	895	0.207	7n391	453	0.257	7n331	453
0.008	7n499	275	0.058	7n491	659	0.108	7n472	037	0.158	7n439	092	0.208	7n390	297	0.258	7n330	297
0.009	7n499	236	0.059	7n491	387	0.109	7n471	515	0.159	7n438	282	0.209	7n389	133	0.259	7n329	133
		44			277			528			816			1173			1173
0.010	7n499	192	0.060	7n491	110	0.110	7n470	987	0.160	7n437	466	0.210	7n387	960	0.260	7n327	960
0.011	7n499	144	0.061	7n490	820	0.111	7n470	454	0.161	7n436	644	0.211	7n386	780	0.261	7n326	780
0.012	7n499	092	0.062	7n490	542	0.112	7n469	916	0.162	7n435	816	0.212	7n385	591	0.262	7n325	591
0.013	7n499	034	0.063	7n490	251	0.113	7n469	373	0.163	7n434	981	0.213	7n384	395	0.263	7n324	395
0.014	7n498	972	0.064	7n489	955	0.114	7n468	824	0.164	7n434	139	0.214	7n383	190	0.264	7n323	190
0.015	7n498	906	0.065	7n489	655	0.115	7n468	299	0.165	7n433	292	0.215	7n381	976	0.265	7n321	976
0.016	7n498	835	0.066	7n489	349	0.116	7n467	710	0.166	7n432	437	0.216	7n380	754	0.266	7n320	754
0.017	7n498	759	0.067	7n489	039	0.117	7n467	144	0.167	7n431	577	0.217	7n379	524	0.267	7n319	524
0.018	7n498	679	0.068	7n488	24	0.118	7n466	574	0.168	7n430	710	0.218	7n378	285	0.268	7n318	285
0.019	7n498	594	0.069	7n488	403	0.119	7n465	998	0.169	7n429	836	0.219	7n377	038	0.269	7n317	038
		90			325			582			881			1256			1256
0.020	7n498	504	0.070	7n488	078	0.120	7n465	416	0.170	7n428	955	0.220	7n375	782	0.270	7n315	782
0.021	7n498	410	0.071	7n487	749	0.121	7n464	829	0.171	7n428	069	0.221	7n374	517	0.271	7n314	517
0.022	7n498	311	0.072	7n487	414	0.122	7n464	277	0.172	7n427	175	0.222	7n373	244	0.272	7n313	244
0.023	7n498	208	0.073	7n487	074	0.123	7n463	639	0.173	7n426	275	0.223	7n371	062	0.273	7n311	062
0.024	7n498	100	0.074	7n486	730	0.124	7n463	036	0.174	7n425	368	0.224	7n370	671	0.274	7n310	671
0.025	7n497	987	0.075	7n486	381	0.125	7n462	427	0.175	7n424	454	0.225	7n369	371	0.275	7n309	371
0.026	7n497	870	0.076	7n486	026	0.126	7n461	812	0.176	7n423	534	0.226	7n368	062	0.276	7n308	062
0.027	7n497	748	0.077	7n485	667	0.127	7n461	192	0.177	7n422	606	0.227	7n366	744	0.277	7n306	744
0.028	7n497	622	0.078	7n485	303	0.128	7n460	566	0.178	7n421	672	0.228	7n365	418	0.278	7n305	418
0.029	7n497	491	0.079	7n484	934	0.129	7n459	935	0.179	7n420	731	0.229	7n364	082	0.279	7n304	082
		136			374			637			948			1346			1346
0.030	7n497	355	0.080	7n484	560	0.130	7n459	298	0.180	7n419	783	0.230	7n362	736	0.280	7n302	736
0.031	7n497	215	0.081	7n484	181	0.131	7n458	655	0.181	7n418	829	0.231	7n361	382	0.281	7n301	382
0.032	7n497	070	0.082	7n483	798	0.132	7n458	006	0.182	7n417	867	0.232	7n360	018	0.282	7n300	018
0.033	7n496	920	0.083	7n483	409	0.133	7n457	352	0.183	7n416	898	0.233	7n358	645	0.283	7n298	645
0.034	7n496	766	0.084	7n483	015	0.134	7n456	693	0.184	7n415	922	0.234	7n357	262	0.284	7n297	262
0.035	7n496	607	0.085	7n482	616	0.135	7n456	027	0.185	7n414	940	0.235	7n355	870	0.285	7n295	870
0.036	7n496	443	0.086	7n482	212	0.136	7n455	356	0.186	7n413	950	0.236	7n354	469	0.286	7n294	469
0.037	7n496	275	0.087	7n481	803	0.137	7n454	679	0.187	7n412	953	0.237	7n353	057	0.287	7n293	057
0.038	7n496	102	0.088	7n481	389	0.138	7n453	997	0.188	7n411	948	0.238	7n351	636	0.288	7n291	636
0.039	7n495	925	0.089	7n480	970	0.139	7n453	308	0.189	7n410	937	0.239	7n350	206	0.289	7n290	206
		182			424			695			1019			1441			1441
0.040	7n495	743	0.090	7n480	546	0.140	7n452	613	0.190	7n409	918	0.240	7n348	765	0.290	7n288	765
0.041	7n495	556	0.091	7n480	117	0.141	7n451	913	0.191	7n408	892	0.241	7n347	314	0.291	7n287	314
0.042	7n495	394	0.092	7n479	683	0.142	7n451	207	0.192	7n407	859	0.242	7n345	854	0.292	7n285	854
0.043	7n495	168	0.093	7n479	244	0.143	7n450	495	0.193	7n406	818	0.243	7n344	383	0.293	7n284	383
0.044	7n494	667	0.094	7n478	799	0.144	7n449	777	0.194	7n405	770	0.244	7n342	902	0.294	7n282	902
0.045	7n494	501	0.095	7n478	350	0.145	7n449	053	0.195	7n404	715	0.245	7n341	411	0.295	7n281	411
0.046	7n494	336	0.096	7n477	895	0.146	7n448	323	0.196	7n403	652	0.246	7n339	910	0.296	7n279	910
0.047	7n494	170	0.097	7n477	436	0.147	7n447	587	0.197	7n402	581	0.247	7n338	399	0.297	7n278	399
0.048	7n494	116	0.098	7n476	971	0.148	7n446	845	0.198	7n401	503	0.248	7n336	876	0.298	7n276	876
0.049	7n493	802	0.099	7n476	501	0.149	7n446	098	0.199	7n400	417	0.249	7n335	344	0.299	7n275	344
0.050	7n493	663	0.100	7n476	026	0.150	7n445	344	0.200	7n399	324	0.250	7n333	801	0.300	7n273	801

Tafel VI.

 $\log \{Q_1^{(n)}\}$.

$\pm n$	Q	$-J$	$\pm n$	Q	$-J$	$\pm n$	Q	$-J$	$\pm n$	Q	$-J$	$\pm n$	Q	$-J$
0.000	7.267 606	0	0.050	7.266 792	33	0.100	7.264 341	65	0.150	7.260 239	99	0.200	7.254 455	133
0.001	7.267 606	1	0.051	7.266 789	34	0.101	7.264 276	67	0.151	7.260 140	100	0.201	7.254 322	134
0.002	7.267 605	2	0.052	7.266 725	34	0.102	7.264 209	67	0.152	7.260 040	100	0.202	7.254 188	135
0.003	7.267 603	2	0.053	7.266 691	35	0.103	7.264 142	68	0.153	7.259 940	101	0.203	7.254 053	135
0.004	7.267 601	3	0.054	7.266 656	36	0.104	7.264 074	68	0.154	7.259 839	102	0.204	7.253 918	136
0.005	7.267 598	3	0.055	7.266 620	36	0.105	7.264 006	69	0.155	7.259 737	103	0.205	7.253 782	136
0.006	7.267 595	4	0.056	7.266 584	37	0.106	7.263 937	70	0.156	7.259 634	103	0.206	7.253 646	137
0.007	7.267 590	5	0.057	7.266 547	37	0.107	7.263 867	70	0.157	7.259 531	104	0.207	7.253 509	138
0.008	7.267 586	6	0.058	7.266 510	39	0.108	7.263 797	71	0.158	7.259 427	104	0.208	7.253 371	139
0.009	7.267 580	6	0.059	7.266 471	38	0.109	7.263 726	72	0.159	7.259 323	105	0.209	7.253 232	139
0.010	7.267 574	7	0.060	7.266 433	40	0.110	7.263 654	72	0.160	7.259 218	106	0.210	7.253 093	140
0.011	7.267 567	8	0.061	7.266 393	40	0.111	7.263 582	73	0.161	7.259 112	107	0.211	7.252 953	141
0.012	7.267 559	8	0.062	7.266 353	41	0.112	7.263 509	74	0.162	7.259 005	107	0.212	7.252 812	141
0.013	7.267 551	9	0.063	7.266 312	41	0.113	7.263 435	74	0.163	7.258 898	108	0.213	7.252 671	142
0.014	7.267 542	9	0.064	7.266 271	42	0.114	7.263 361	75	0.164	7.258 790	108	0.214	7.252 528	142
0.015	7.267 533	10	0.065	7.266 229	43	0.115	7.263 285	75	0.165	7.258 682	109	0.215	7.252 386	143
0.016	7.267 523	11	0.066	7.266 186	43	0.116	7.263 210	76	0.166	7.258 573	110	0.216	7.252 242	144
0.017	7.267 512	11	0.067	7.266 143	44	0.117	7.263 133	77	0.167	7.258 463	111	0.217	7.252 098	145
0.018	7.267 501	12	0.068	7.266 099	45	0.118	7.263 056	77	0.168	7.258 352	111	0.218	7.251 953	145
0.019	7.267 489	13	0.069	7.266 054	46	0.119	7.262 979	79	0.169	7.258 241	112	0.219	7.251 808	147
0.020	7.267 476	13	0.070	7.266 008	46	0.120	7.262 900	79	0.170	7.258 129	112	0.220	7.251 661	147
0.021	7.267 463	14	0.071	7.265 962	46	0.121	7.262 821	80	0.171	7.258 017	114	0.221	7.251 514	147
0.022	7.267 449	15	0.072	7.265 916	48	0.122	7.262 741	80	0.172	7.257 903	114	0.222	7.251 367	149
0.023	7.267 434	15	0.073	7.265 868	48	0.123	7.262 661	81	0.173	7.257 789	114	0.223	7.251 218	149
0.024	7.267 419	16	0.074	7.265 820	48	0.124	7.262 580	82	0.174	7.257 675	116	0.224	7.251 069	150
0.025	7.267 403	17	0.075	7.265 772	50	0.125	7.262 498	82	0.175	7.257 559	116	0.225	7.250 919	150
0.026	7.267 386	17	0.076	7.265 722	50	0.126	7.262 416	83	0.176	7.257 443	116	0.226	7.250 769	151
0.027	7.267 369	18	0.077	7.265 672	50	0.127	7.262 333	84	0.177	7.257 327	118	0.227	7.250 618	152
0.028	7.267 351	19	0.078	7.265 622	51	0.128	7.262 249	84	0.178	7.257 209	118	0.228	7.250 466	153
0.029	7.267 332	19	0.079	7.265 571	52	0.129	7.262 165	85	0.179	7.257 091	118	0.229	7.250 313	153
0.030	7.267 313	20	0.080	7.265 519	53	0.130	7.262 080	86	0.180	7.256 973	120	0.230	7.250 160	154
0.031	7.267 293	20	0.081	7.265 466	53	0.131	7.261 994	86	0.181	7.256 853	120	0.231	7.250 006	155
0.032	7.267 273	21	0.082	7.265 413	54	0.132	7.261 908	87	0.182	7.256 733	121	0.232	7.249 851	155
0.033	7.267 252	22	0.083	7.265 359	54	0.133	7.261 821	88	0.183	7.256 612	121	0.233	7.249 696	156
0.034	7.267 230	23	0.084	7.265 304	55	0.134	7.261 733	88	0.184	7.256 491	122	0.234	7.249 540	157
0.035	7.267 207	23	0.085	7.265 249	56	0.135	7.261 645	89	0.185	7.256 369	123	0.235	7.249 383	157
0.036	7.267 184	24	0.086	7.265 193	56	0.136	7.261 556	90	0.186	7.256 246	123	0.236	7.249 226	158
0.037	7.267 160	24	0.087	7.265 137	58	0.137	7.261 466	90	0.187	7.256 123	125	0.237	7.249 068	159
0.038	7.267 136	25	0.088	7.265 079	58	0.138	7.261 376	91	0.188	7.255 998	125	0.238	7.248 909	160
0.039	7.267 111	26	0.089	7.265 021	58	0.139	7.261 285	92	0.189	7.255 873	125	0.239	7.248 749	160
0.040	7.267 085	26	0.090	7.264 963	59	0.140	7.261 193	92	0.190	7.255 748	126	0.240	7.248 589	161
0.041	7.267 059	28	0.091	7.264 904	60	0.141	7.261 101	93	0.191	7.255 622	127	0.241	7.248 428	162
0.042	7.267 031	27	0.092	7.264 844	61	0.142	7.261 008	94	0.192	7.255 495	128	0.242	7.248 266	162
0.043	7.267 004	29	0.093	7.264 783	61	0.143	7.260 914	95	0.193	7.255 367	128	0.243	7.248 104	164
0.044	7.266 975	29	0.094	7.264 722	62	0.144	7.260 819	95	0.194	7.255 239	129	0.244	7.247 940	163
0.045	7.266 946	29	0.095	7.264 660	62	0.145	7.260 724	95	0.195	7.255 110	130	0.245	7.247 777	165
0.046	7.266 917	31	0.096	7.264 598	63	0.146	7.260 629	97	0.196	7.254 980	130	0.246	7.247 612	165
0.047	7.266 886	31	0.097	7.264 535	64	0.147	7.260 532	97	0.197	7.254 850	131	0.247	7.247 447	166
0.048	7.266 855	31	0.098	7.264 471	64	0.148	7.260 435	98	0.198	7.254 719	132	0.248	7.247 281	167
0.049	7.266 824	32	0.099	7.264 407	66	0.149	7.260 337	98	0.199	7.254 587	132	0.249	7.247 114	167
0.050	7.266 792		0.100	7.264 341		0.150	7.260 239		0.200	7.254 455		0.250	7.246 947	

Tafel VI.

 $\log \{Q_1^7(n)\}$.

$\pm n$	Q	$-J$	$\pm n$	Q	$-J$	$\pm n$	Q	$-J$	$\pm n$	Q	$-J$	$\pm n$	Q	$-J$
0.000	6.837 656		0.050	6.831 993	230	0.100	6.814 670	471	0.150	6.784 599	744	0.200	6.739 658	1073
0.001	6.837 653	3	0.051	6.831 763	234	0.101	6.814 199	477	0.151	6.783 855	750	0.201	6.738 585	1080
0.002	6.837 647	6	0.052	6.831 529	239	0.102	6.813 722	481	0.152	6.783 105	755	0.202	6.737 505	1087
0.003	6.837 635	12	0.053	6.831 290	244	0.103	6.813 241	487	0.153	6.782 350	762	0.203	6.736 418	1095
0.004	6.837 620	15	0.054	6.831 046	249	0.104	6.812 754	492	0.154	6.781 588	768	0.204	6.735 323	1103
0.005	6.837 599	21	0.055	6.830 797	253	0.105	6.812 262	497	0.155	6.780 820	773	0.205	6.734 220	1110
0.006	6.837 574	25	0.056	6.830 544	258	0.106	6.811 765	502	0.156	6.780 047	780	0.206	6.733 110	1118
0.007	6.837 545	29	0.057	6.830 286	262	0.107	6.811 263	507	0.157	6.779 267	786	0.207	6.731 992	1126
0.008	6.837 511	34	0.058	6.830 024	268	0.108	6.810 756	512	0.158	6.778 481	791	0.208	6.730 866	1133
0.009	6.837 473	38	0.059	6.829 756		0.109	6.810 244		0.159	6.777 690	798	0.209	6.729 733	1141
		43			272			518						
0.010	6.837 430	47	0.060	6.829 484	276	0.110	6.809 726	523	0.160	6.776 892	804	0.210	6.728 592	1149
0.011	6.837 383	52	0.061	6.829 208	282	0.111	6.809 203	528	0.161	6.776 088	810	0.211	6.727 443	1156
0.012	6.837 331	56	0.062	6.828 926	286	0.112	6.808 675	533	0.162	6.775 278	817	0.212	6.726 287	1165
0.013	6.837 275	61	0.063	6.828 640	290	0.113	6.808 142	538	0.163	6.774 461	822	0.213	6.725 122	1172
0.014	6.837 214	66	0.064	6.828 350	296	0.114	6.807 604	544	0.164	6.773 639	829	0.214	6.723 950	1181
0.015	6.837 148	70	0.065	6.828 054	300	0.115	6.807 060	549	0.165	6.772 815	835	0.215	6.722 769	1188
0.016	6.837 078	74	0.066	6.827 754	305	0.116	6.806 511	554	0.166	6.771 975	841	0.216	6.721 581	1196
0.017	6.837 004	79	0.067	6.827 449	310	0.117	6.805 957	560	0.167	6.771 134	848	0.217	6.720 385	1205
0.018	6.836 925	84	0.068	6.827 139	314	0.118	6.805 397	564	0.168	6.770 286	854	0.218	6.719 180	1213
0.019	6.836 841	88	0.069	6.826 825	320	0.119	6.804 833	571	0.169	6.769 432	860	0.219	6.717 967	1221
		92			324	0.120	6.804 262	575	0.170	6.768 572	866	0.220	6.716 746	1229
0.020	6.836 753	97	0.070	6.826 505	328	0.121	6.803 687	581	0.171	6.767 706	874	0.221	6.715 517	1237
0.021	6.836 661	102	0.071	6.826 181	334	0.122	6.803 106	586	0.172	6.766 833	879	0.222	6.714 280	1246
0.022	6.836 564	106	0.072	6.825 853	338	0.123	6.802 520	592	0.173	6.765 953	886	0.223	6.713 034	1254
0.023	6.836 462	111	0.073	6.825 519	343	0.124	6.801 928	597	0.174	6.765 067	893	0.224	6.711 780	1263
0.024	6.836 356	115	0.074	6.825 181	348	0.125	6.801 331	602	0.175	6.764 174	899	0.225	6.710 517	1272
0.025	6.836 245	120	0.075	6.824 838	353	0.126	6.800 729	608	0.176	6.763 275	905	0.226	6.709 245	1279
0.026	6.836 130	124	0.076	6.824 490	358	0.127	6.800 121	613	0.177	6.762 370	912	0.227	6.707 966	1287
0.027	6.836 010	129	0.077	6.824 137	362	0.128	6.799 508	619	0.178	6.761 458	919	0.228	6.706 677	1297
0.028	6.835 886	134	0.078	6.823 779	368	0.129	6.798 889	624	0.179	6.760 539	926	0.229	6.705 380	1306
0.029	6.835 757	138	0.079	6.823 417	372			630			932			
		142			377	0.130	6.798 265	635	0.180	6.759 613	939	0.230	6.704 074	1314
0.030	6.835 623	147	0.080	6.823 049	382	0.131	6.797 635	641	0.181	6.758 681	945	0.231	6.702 760	1324
0.031	6.835 485	152	0.081	6.822 677	387	0.132	6.797 000	646	0.182	6.757 742	953	0.232	6.701 436	1332
0.032	6.835 343	156	0.082	6.822 300	391	0.133	6.796 359	652	0.183	6.756 797	959	0.233	6.700 104	1342
0.033	6.835 196	161	0.083	6.821 918	397	0.134	6.795 713	658	0.184	6.755 841	966	0.234	6.698 762	1350
0.034	6.835 044	165	0.084	6.821 531	402	0.135	6.795 061	663	0.185	6.754 885	973	0.235	6.697 412	1360
0.035	6.834 888	170	0.085	6.821 140	406	0.136	6.794 403	669	0.186	6.753 919	979	0.236	6.696 052	1368
0.036	6.834 727	175	0.086	6.820 743	411	0.137	6.793 740	675	0.187	6.752 946	987	0.237	6.694 684	1378
0.037	6.834 562	179	0.087	6.820 341	417	0.138	6.793 071	680	0.188	6.751 967	994	0.238	6.693 306	1388
0.038	6.834 392		0.088	6.819 935		0.139	6.792 396		0.189	6.750 980		0.239	6.691 918	1396
0.039	6.834 217		0.089	6.819 524										
		184	0.090	6.819 107	421	0.140	6.791 716	685	0.190	6.749 986	1000	0.240	6.690 522	1406
0.040	6.834 038	188	0.091	6.818 686	426	0.141	6.791 031	692	0.191	6.748 986	1008	0.241	6.689 116	1415
0.041	6.833 854	193	0.092	6.818 260	431	0.142	6.790 339	697	0.192	6.747 978	1015	0.242	6.687 701	1425
0.042	6.833 666	198	0.093	6.817 829	436	0.143	6.789 642	703	0.193	6.746 963	1022	0.243	6.686 276	1435
0.043	6.833 473	202	0.094	6.817 393	442	0.144	6.788 939	709	0.194	6.745 941	1029	0.244	6.684 841	1444
0.044	6.833 275	207	0.095	6.816 951	446	0.145	6.788 230	715	0.195	6.744 912	1036	0.245	6.683 397	1454
0.045	6.833 073	211	0.096	6.816 505	451	0.146	6.787 515	720	0.196	6.743 876	1044	0.246	6.681 943	1463
0.046	6.832 866	216	0.097	6.816 054	456	0.147	6.786 795	726	0.197	6.742 832	1050	0.247	6.680 480	1474
0.047	6.832 655	221	0.098	6.815 598	462	0.148	6.786 069	732	0.198	6.741 782	1058	0.248	6.679 006	1483
0.048	6.832 439	225	0.099	6.815 136	466	0.149	6.785 337	738	0.199	6.740 724	1066	0.249	6.677 523	1494
0.049	6.832 218		0.100	6.814 670		0.150	6.784 599		0.200	6.739 658		0.250	6.676 029	

Tafel VI.

 $\log \{Q_1^8(n)\}.$

$+n$	Q	$-J$	$\pm n$	Q	$-J$	$\pm n$	Q	$-J$	$\pm n$	Q	$-J$	$\pm n$	Q	$-J$
0.000	$6_{n+3} 661$	1	0.050	$6_{n+2} 774$	36	0.100	$6_{n+0} 107$	72	0.150	$6_{n+65} 644$	108	0.200	$6_{n+59} 356$	144
0.001	$6_{n+3} 660$	1	0.051	$6_{n+2} 738$	37	0.101	$6_{n+0} 035$	72	0.151	$6_{n+65} 536$	109	0.201	$6_{n+59} 212$	146
0.002	$6_{n+3} 659$	1	0.052	$6_{n+2} 701$	37	0.102	$6_{n+69} 963$	73	0.152	$6_{n+65} 427$	109	0.202	$6_{n+59} 066$	146
0.003	$6_{n+3} 658$	3	0.053	$6_{n+2} 664$	38	0.103	$6_{n+69} 800$	74	0.153	$6_{n+65} 318$	110	0.203	$6_{n+58} 920$	147
0.004	$6_{n+3} 655$	3	0.054	$6_{n+2} 626$	39	0.104	$6_{n+69} 816$	74	0.154	$6_{n+65} 208$	110	0.204	$6_{n+58} 773$	147
0.005	$6_{n+3} 652$	4	0.055	$6_{n+2} 587$	39	0.105	$6_{n+69} 742$	76	0.155	$6_{n+65} 098$	112	0.205	$6_{n+58} 626$	149
0.006	$6_{n+3} 648$	5	0.056	$6_{n+2} 548$	40	0.106	$6_{n+69} 666$	76	0.156	$6_{n+64} 986$	112	0.206	$6_{n+58} 477$	149
0.007	$6_{n+3} 643$	5	0.057	$6_{n+2} 508$	41	0.107	$6_{n+69} 590$	76	0.157	$6_{n+64} 874$	113	0.207	$6_{n+58} 328$	149
0.008	$6_{n+3} 638$	6	0.058	$6_{n+2} 467$	42	0.108	$6_{n+69} 514$	77	0.158	$6_{n+64} 761$	113	0.208	$6_{n+58} 179$	151
0.009	$6_{n+3} 632$	7	0.059	$6_{n+2} 425$	42	0.109	$6_{n+69} 437$	78	0.159	$6_{n+64} 648$	115	0.209	$6_{n+58} 028$	151
0.010	$6_{n+3} 625$	7	0.060	$6_{n+2} 383$	43	0.110	$6_{n+69} 359$	79	0.160	$6_{n+64} 533$	115	0.210	$6_{n+57} 877$	152
0.011	$6_{n+3} 618$	8	0.061	$6_{n+2} 340$	44	0.111	$6_{n+69} 280$	80	0.161	$6_{n+64} 418$	116	0.211	$6_{n+57} 725$	153
0.012	$6_{n+3} 610$	9	0.062	$6_{n+2} 296$	44	0.112	$6_{n+69} 200$	80	0.162	$6_{n+64} 302$	116	0.212	$6_{n+57} 572$	154
0.013	$6_{n+3} 601$	10	0.063	$6_{n+2} 252$	45	0.113	$6_{n+69} 120$	81	0.163	$6_{n+64} 186$	117	0.213	$6_{n+57} 418$	154
0.014	$6_{n+3} 591$	10	0.064	$6_{n+2} 207$	46	0.114	$6_{n+69} 039$	82	0.164	$6_{n+64} 069$	118	0.214	$6_{n+57} 264$	155
0.015	$6_{n+3} 581$	11	0.065	$6_{n+2} 161$	47	0.115	$6_{n+68} 957$	82	0.165	$6_{n+63} 951$	119	0.215	$6_{n+57} 109$	155
0.016	$6_{n+3} 570$	12	0.066	$6_{n+2} 114$	47	0.116	$6_{n+68} 875$	83	0.166	$6_{n+63} 832$	120	0.216	$6_{n+56} 953$	157
0.017	$6_{n+3} 558$	12	0.067	$6_{n+2} 067$	48	0.117	$6_{n+68} 792$	84	0.167	$6_{n+63} 712$	120	0.217	$6_{n+56} 796$	157
0.018	$6_{n+3} 546$	13	0.068	$6_{n+2} 019$	48	0.118	$6_{n+68} 708$	84	0.168	$6_{n+63} 592$	121	0.218	$6_{n+56} 639$	158
0.019	$6_{n+3} 533$	14	0.069	$6_{n+1} 971$	50	0.119	$6_{n+68} 624$	86	0.169	$6_{n+63} 471$	121	0.219	$6_{n+56} 481$	159
0.020	$6_{n+3} 519$	14	0.070	$6_{n+1} 921$	50	0.120	$6_{n+68} 538$	86	0.170	$6_{n+63} 350$	123	0.220	$6_{n+56} 322$	159
0.021	$6_{n+3} 505$	16	0.071	$6_{n+1} 871$	51	0.121	$6_{n+68} 452$	86	0.171	$6_{n+63} 227$	123	0.221	$6_{n+56} 163$	161
0.022	$6_{n+3} 480$	16	0.072	$6_{n+1} 820$	51	0.122	$6_{n+68} 366$	88	0.172	$6_{n+63} 104$	124	0.222	$6_{n+56} 002$	161
0.023	$6_{n+3} 473$	16	0.073	$6_{n+1} 769$	53	0.123	$6_{n+68} 278$	88	0.173	$6_{n+62} 980$	124	0.223	$6_{n+55} 841$	162
0.024	$6_{n+3} 457$	18	0.074	$6_{n+1} 716$	53	0.124	$6_{n+68} 190$	89	0.174	$6_{n+62} 856$	126	0.224	$6_{n+55} 679$	162
0.025	$6_{n+3} 439$	18	0.075	$6_{n+1} 663$	53	0.125	$6_{n+68} 101$	91	0.175	$6_{n+62} 730$	126	0.225	$6_{n+55} 517$	164
0.026	$6_{n+3} 421$	19	0.076	$6_{n+1} 610$	55	0.126	$6_{n+68} 012$	91	0.176	$6_{n+62} 604$	127	0.226	$6_{n+55} 353$	164
0.027	$6_{n+3} 402$	19	0.077	$6_{n+1} 555$	55	0.127	$6_{n+67} 921$	91	0.177	$6_{n+62} 477$	127	0.227	$6_{n+55} 189$	165
0.028	$6_{n+3} 383$	20	0.078	$6_{n+1} 500$	56	0.128	$6_{n+67} 830$	92	0.178	$6_{n+62} 350$	129	0.228	$6_{n+55} 024$	165
0.029	$6_{n+3} 363$	21	0.079	$6_{n+1} 444$	56	0.129	$6_{n+67} 738$	92	0.179	$6_{n+62} 221$	129	0.229	$6_{n+54} 859$	167
0.030	$6_{n+3} 342$	22	0.080	$6_{n+1} 388$	57	0.130	$6_{n+67} 646$	93	0.180	$6_{n+62} 092$	129	0.230	$6_{n+54} 692$	167
0.031	$6_{n+3} 320$	22	0.081	$6_{n+1} 331$	58	0.131	$6_{n+67} 553$	94	0.181	$6_{n+61} 963$	131	0.231	$6_{n+54} 525$	168
0.032	$6_{n+3} 298$	24	0.082	$6_{n+1} 273$	59	0.132	$6_{n+67} 459$	95	0.182	$6_{n+61} 832$	131	0.232	$6_{n+54} 357$	170
0.033	$6_{n+3} 274$	23	0.083	$6_{n+1} 214$	59	0.133	$6_{n+67} 364$	95	0.183	$6_{n+61} 701$	132	0.233	$6_{n+54} 189$	170
0.034	$6_{n+3} 251$	25	0.084	$6_{n+1} 155$	61	0.134	$6_{n+67} 269$	96	0.184	$6_{n+61} 569$	133	0.234	$6_{n+54} 019$	170
0.035	$6_{n+3} 226$	25	0.085	$6_{n+1} 094$	60	0.135	$6_{n+67} 173$	97	0.185	$6_{n+61} 436$	133	0.235	$6_{n+53} 849$	171
0.036	$6_{n+3} 201$	26	0.086	$6_{n+1} 034$	62	0.136	$6_{n+67} 076$	98	0.186	$6_{n+61} 303$	134	0.236	$6_{n+53} 678$	172
0.037	$6_{n+3} 175$	27	0.087	$6_{n+0} 972$	62	0.137	$6_{n+66} 978$	98	0.187	$6_{n+61} 169$	135	0.237	$6_{n+53} 506$	172
0.038	$6_{n+3} 148$	27	0.088	$6_{n+0} 910$	63	0.138	$6_{n+66} 880$	99	0.188	$6_{n+61} 034$	136	0.238	$6_{n+53} 334$	173
0.039	$6_{n+3} 121$	28	0.089	$6_{n+0} 847$	64	0.139	$6_{n+66} 781$	100	0.189	$6_{n+60} 898$	136	0.239	$6_{n+53} 161$	174
0.040	$6_{n+3} 093$	29	0.090	$6_{n+0} 783$	64	0.140	$6_{n+66} 681$	100	0.190	$6_{n+60} 762$	138	0.240	$6_{n+52} 987$	175
0.041	$6_{n+3} 064$	29	0.091	$6_{n+0} 719$	65	0.141	$6_{n+66} 581$	102	0.191	$6_{n+60} 624$	138	0.241	$6_{n+52} 812$	176
0.042	$6_{n+3} 035$	30	0.092	$6_{n+0} 654$	66	0.142	$6_{n+66} 479$	101	0.192	$6_{n+60} 486$	138	0.242	$6_{n+52} 636$	176
0.043	$6_{n+3} 005$	31	0.093	$6_{n+0} 588$	67	0.143	$6_{n+66} 378$	103	0.193	$6_{n+60} 348$	140	0.243	$6_{n+52} 460$	177
0.044	$6_{n+2} 974$	32	0.094	$6_{n+0} 521$	67	0.144	$6_{n+66} 275$	103	0.194	$6_{n+60} 208$	140	0.244	$6_{n+52} 283$	178
0.045	$6_{n+2} 942$	33	0.095	$6_{n+0} 454$	68	0.145	$6_{n+66} 172$	105	0.195	$6_{n+60} 068$	141	0.245	$6_{n+52} 105$	178
0.046	$6_{n+2} 910$	33	0.096	$6_{n+0} 386$	69	0.146	$6_{n+66} 067$	105	0.196	$6_{n+59} 927$	141	0.246	$6_{n+51} 927$	180
0.047	$6_{n+2} 877$	34	0.097	$6_{n+0} 317$	69	0.147	$6_{n+65} 963$	106	0.197	$6_{n+59} 786$	143	0.247	$6_{n+51} 747$	180
0.048	$6_{n+2} 843$	34	0.098	$6_{n+0} 248$	70	0.148	$6_{n+65} 857$	106	0.198	$6_{n+59} 643$	143	0.248	$6_{n+51} 567$	181
0.049	$6_{n+2} 809$	35	0.099	$6_{n+0} 178$	71	0.149	$6_{n+65} 751$	107	0.199	$6_{n+59} 500$	144	0.249	$6_{n+51} 386$	181
0.050	$6_{n+2} 774$		0.100	$6_{n+0} 107$		0.150	$6_{n+65} 644$		0.200	$6_{n+59} 356$		0.250	$6_{n+51} 205$	

Tafel VI.

 $\log \{Q_1^3 n\}$.

$\pm n$	Q	$-J$	$\pm n$	Q	$-J$	$\pm n$	Q	$-J$	$\pm n$	Q	$-J$	$\pm n$	Q	$-J$
0.000	6 ₁₁ 188 807		0.050	6 ₁₁ 183 202	228	0.100	6 ₁₁ 166 065	467	0.150	6 ₁₁ 136 553	734	0.200	6 ₁₁ 092 041	1056
0.001	6 ₁₁ 188 805	2	0.051	6 ₁₁ 182 974	232	0.101	6 ₁₁ 165 598	471	0.151	6 ₁₁ 135 619	740	0.201	6 ₁₁ 090 985	1064
0.002	6 ₁₁ 188 798	11	0.052	6 ₁₁ 182 742	237	0.102	6 ₁₁ 165 127	476	0.152	6 ₁₁ 134 879	746	0.202	6 ₁₁ 089 921	1070
0.003	6 ₁₁ 188 787	16	0.053	6 ₁₁ 182 505	241	0.103	6 ₁₁ 164 651	481	0.153	6 ₁₁ 134 133	752	0.203	6 ₁₁ 088 851	1079
0.004	6 ₁₁ 188 771	20	0.054	6 ₁₁ 182 264	246	0.104	6 ₁₁ 164 170	486	0.154	6 ₁₁ 133 381	758	0.204	6 ₁₁ 087 772	1085
0.005	6 ₁₁ 188 751	25	0.055	6 ₁₁ 182 018	250	0.105	6 ₁₁ 163 684	492	0.155	6 ₁₁ 132 623	763	0.205	6 ₁₁ 086 687	1093
0.006	6 ₁₁ 188 726	29	0.056	6 ₁₁ 181 768	256	0.106	6 ₁₁ 163 192	496	0.156	6 ₁₁ 131 860	769	0.206	6 ₁₁ 085 594	1100
0.007	6 ₁₁ 188 697	33	0.057	6 ₁₁ 181 512	259	0.107	6 ₁₁ 162 696	501	0.157	6 ₁₁ 131 090	775	0.207	6 ₁₁ 084 494	1108
0.008	6 ₁₁ 188 664	38	0.058	6 ₁₁ 181 253	265	0.108	6 ₁₁ 162 195	507	0.158	6 ₁₁ 130 315	781	0.208	6 ₁₁ 083 386	1115
0.009	6 ₁₁ 188 626	42	0.059	6 ₁₁ 180 988	269	0.109	6 ₁₁ 161 688	512	0.159	6 ₁₁ 129 534	788	0.209	6 ₁₁ 082 271	1123
0.010	6 ₁₁ 188 584	47	0.060	6 ₁₁ 180 719	274	0.110	6 ₁₁ 161 176	516	0.160	6 ₁₁ 128 746	793	0.210	6 ₁₁ 081 148	1130
0.011	6 ₁₁ 188 537	52	0.061	6 ₁₁ 180 445	278	0.111	6 ₁₁ 160 660	522	0.161	6 ₁₁ 127 953	800	0.211	6 ₁₁ 080 018	1139
0.012	6 ₁₁ 188 485	55	0.062	6 ₁₁ 180 167	283	0.112	6 ₁₁ 160 138	527	0.162	6 ₁₁ 127 153	805	0.212	6 ₁₁ 078 879	1145
0.013	6 ₁₁ 188 430	61	0.063	6 ₁₁ 179 884	288	0.113	6 ₁₁ 159 611	533	0.163	6 ₁₁ 126 348	812	0.213	6 ₁₁ 077 734	1154
0.014	6 ₁₁ 188 369	65	0.064	6 ₁₁ 179 596	292	0.114	6 ₁₁ 159 078	537	0.164	6 ₁₁ 125 536	817	0.214	6 ₁₁ 076 580	1161
0.015	6 ₁₁ 188 304	69	0.065	6 ₁₁ 179 304	297	0.115	6 ₁₁ 158 541	543	0.165	6 ₁₁ 124 719	824	0.215	6 ₁₁ 075 419	1169
0.016	6 ₁₁ 188 235	73	0.066	6 ₁₁ 179 007	302	0.116	6 ₁₁ 157 998	547	0.166	6 ₁₁ 123 895	830	0.216	6 ₁₁ 074 250	1177
0.017	6 ₁₁ 188 162	79	0.067	6 ₁₁ 178 705	307	0.117	6 ₁₁ 157 451	553	0.167	6 ₁₁ 123 065	836	0.217	6 ₁₁ 073 073	1185
0.018	6 ₁₁ 188 083	82	0.068	6 ₁₁ 178 398	311	0.118	6 ₁₁ 156 898	559	0.168	6 ₁₁ 122 229	843	0.218	6 ₁₁ 071 888	1192
0.019	6 ₁₁ 188 001	87	0.069	6 ₁₁ 178 087	316	0.119	6 ₁₁ 156 339	563	0.169	6 ₁₁ 121 386	848	0.219	6 ₁₁ 070 696	1201
0.020	6 ₁₁ 187 914	92	0.070	6 ₁₁ 177 771	320	0.120	6 ₁₁ 155 776	569	0.170	6 ₁₁ 120 538	855	0.220	6 ₁₁ 069 495	1209
0.021	6 ₁₁ 187 822	96	0.071	6 ₁₁ 177 451	326	0.121	6 ₁₁ 155 207	574	0.171	6 ₁₁ 119 683	861	0.221	6 ₁₁ 068 286	1217
0.022	6 ₁₁ 187 726	101	0.072	6 ₁₁ 177 125	330	0.122	6 ₁₁ 154 633	579	0.172	6 ₁₁ 118 822	868	0.222	6 ₁₁ 067 069	1224
0.023	6 ₁₁ 187 625	105	0.073	6 ₁₁ 176 795	334	0.123	6 ₁₁ 154 051	585	0.173	6 ₁₁ 117 954	874	0.223	6 ₁₁ 065 845	1231
0.024	6 ₁₁ 187 520	110	0.074	6 ₁₁ 176 461	340	0.124	6 ₁₁ 153 469	590	0.174	6 ₁₁ 117 080	880	0.224	6 ₁₁ 064 611	1234
0.025	6 ₁₁ 187 410	114	0.075	6 ₁₁ 176 121	344	0.125	6 ₁₁ 152 879	595	0.175	6 ₁₁ 116 200	886	0.225	6 ₁₁ 063 370	1250
0.026	6 ₁₁ 187 296	118	0.076	6 ₁₁ 175 777	349	0.126	6 ₁₁ 152 284	601	0.176	6 ₁₁ 115 314	893	0.226	6 ₁₁ 062 120	1258
0.027	6 ₁₁ 187 178	123	0.077	6 ₁₁ 175 428	354	0.127	6 ₁₁ 151 683	606	0.177	6 ₁₁ 114 421	899	0.227	6 ₁₁ 060 862	1266
0.028	6 ₁₁ 187 055	128	0.078	6 ₁₁ 175 074	359	0.128	6 ₁₁ 151 077	611	0.178	6 ₁₁ 113 522	906	0.228	6 ₁₁ 059 596	1275
0.029	6 ₁₁ 186 927	132	0.079	6 ₁₁ 174 715	363	0.129	6 ₁₁ 150 466	617	0.179	6 ₁₁ 112 616	913	0.229	6 ₁₁ 058 321	1283
0.030	6 ₁₁ 186 795	137	0.080	6 ₁₁ 174 352	368	0.130	6 ₁₁ 149 849	622	0.180	6 ₁₁ 111 703	919	0.230	6 ₁₁ 057 038	1292
0.031	6 ₁₁ 186 658	141	0.081	6 ₁₁ 173 984	373	0.131	6 ₁₁ 149 227	627	0.181	6 ₁₁ 110 784	925	0.231	6 ₁₁ 055 746	1300
0.032	6 ₁₁ 186 517	145	0.082	6 ₁₁ 173 611	378	0.132	6 ₁₁ 148 600	633	0.182	6 ₁₁ 109 859	932	0.232	6 ₁₁ 054 446	1309
0.033	6 ₁₁ 186 372	150	0.083	6 ₁₁ 173 233	383	0.133	6 ₁₁ 147 978	639	0.183	6 ₁₁ 108 927	939	0.233	6 ₁₁ 053 137	1318
0.034	6 ₁₁ 186 222	155	0.084	6 ₁₁ 172 850	387	0.134	6 ₁₁ 147 328	644	0.184	6 ₁₁ 107 988	945	0.234	6 ₁₁ 051 819	1326
0.035	6 ₁₁ 186 067	159	0.085	6 ₁₁ 172 463	392	0.135	6 ₁₁ 146 684	650	0.185	6 ₁₁ 107 043	952	0.235	6 ₁₁ 050 493	1336
0.036	6 ₁₁ 185 908	164	0.086	6 ₁₁ 172 071	397	0.136	6 ₁₁ 146 034	655	0.186	6 ₁₁ 106 091	959	0.236	6 ₁₁ 049 157	1344
0.037	6 ₁₁ 185 744	168	0.087	6 ₁₁ 171 674	402	0.137	6 ₁₁ 145 379	660	0.187	6 ₁₁ 105 132	966	0.237	6 ₁₁ 047 813	1353
0.038	6 ₁₁ 185 576	173	0.088	6 ₁₁ 171 272	407	0.138	6 ₁₁ 144 719	666	0.188	6 ₁₁ 104 169	972	0.238	6 ₁₁ 046 460	1362
0.039	6 ₁₁ 185 403	177	0.089	6 ₁₁ 170 865	412	0.139	6 ₁₁ 144 053	672	0.189	6 ₁₁ 103 194	979	0.239	6 ₁₁ 045 098	1371
0.040	6 ₁₁ 185 226	182	0.090	6 ₁₁ 170 453	417	0.140	6 ₁₁ 143 381	677	0.190	6 ₁₁ 102 215	986	0.240	6 ₁₁ 043 727	1380
0.041	6 ₁₁ 185 044	187	0.091	6 ₁₁ 170 036	421	0.141	6 ₁₁ 142 704	683	0.191	6 ₁₁ 101 229	993	0.241	6 ₁₁ 042 347	1390
0.042	6 ₁₁ 184 857	191	0.092	6 ₁₁ 169 615	427	0.142	6 ₁₁ 142 021	689	0.192	6 ₁₁ 100 236	1000	0.242	6 ₁₁ 040 957	1398
0.043	6 ₁₁ 184 666	195	0.093	6 ₁₁ 169 188	431	0.143	6 ₁₁ 141 332	694	0.193	6 ₁₁ 099 239	1007	0.243	6 ₁₁ 039 559	1408
0.044	6 ₁₁ 184 471	200	0.094	6 ₁₁ 168 757	437	0.144	6 ₁₁ 140 638	700	0.194	6 ₁₁ 098 226	1013	0.244	6 ₁₁ 038 151	1417
0.045	6 ₁₁ 184 271	205	0.095	6 ₁₁ 168 320	441	0.145	6 ₁₁ 139 938	706	0.195	6 ₁₁ 097 216	1021	0.245	6 ₁₁ 036 734	1427
0.046	6 ₁₁ 184 066	209	0.096	6 ₁₁ 167 879	446	0.146	6 ₁₁ 139 232	711	0.196	6 ₁₁ 096 195	1028	0.246	6 ₁₁ 035 307	1436
0.047	6 ₁₁ 183 857	214	0.097	6 ₁₁ 167 433	451	0.147	6 ₁₁ 138 521	717	0.197	6 ₁₁ 095 167	1035	0.247	6 ₁₁ 033 871	1446
0.048	6 ₁₁ 183 643	218	0.098	6 ₁₁ 166 982	456	0.148	6 ₁₁ 137 804	722	0.198	6 ₁₁ 094 132	1042	0.248	6 ₁₁ 032 425	1455
0.049	6 ₁₁ 183 425	223	0.099	6 ₁₁ 166 526	461	0.149	6 ₁₁ 137 082	729	0.199	6 ₁₁ 093 090	1049	0.249	6 ₁₁ 030 970	1465
0.050	6 ₁₁ 183 202		0.100	6 ₁₁ 166 065		0.150	6 ₁₁ 136 353		0.200	6 ₁₁ 092 041		0.250	6 ₁₁ 029 505	

Tafel VI.

 $\log \{Q_1^{10} n\}$.

$\pm n$	Q	$\pm n$	Q	$\pm n$	Q	$\pm n$	Q	$\pm n$	Q	$\pm n$	Q	$\pm n$	Q	$\pm n$	Q
0.000	5.723 538	0	0.050	5.722 610	37	0.100	5.719 821	74	0.150	5.715 156	113	0.200	5.708 586	151	
0.001	5.723 538	1	0.051	5.722 573	39	0.101	5.719 747	76	0.151	5.715 043	113	0.201	5.708 435	152	
0.002	5.723 537	2	0.052	5.722 534	39	0.102	5.719 671	76	0.152	5.714 930	115	0.202	5.708 283	153	
0.003	5.723 535	3	0.053	5.722 495	39	0.103	5.719 595	77	0.153	5.714 815	114	0.203	5.708 130	153	
0.004	5.723 532	3	0.054	5.722 456	41	0.104	5.719 518	76	0.154	5.714 701	116	0.204	5.707 977	154	
0.005	5.723 529	4	0.055	5.722 415	41	0.105	5.719 440	79	0.155	5.714 585	117	0.205	5.707 823	155	
0.006	5.723 525	5	0.056	5.722 374	42	0.106	5.719 361	79	0.156	5.714 468	117	0.206	5.707 668	156	
0.007	5.723 520	6	0.057	5.722 332	43	0.107	5.719 282	80	0.157	5.714 351	118	0.207	5.707 512	156	
0.008	5.723 514	6	0.058	5.722 289	43	0.108	5.719 202	81	0.158	5.714 233	118	0.208	5.707 356	158	
0.009	5.723 508		0.059	5.722 246		0.109	5.719 121		0.159	5.714 115		0.209	5.707 198		
		7			44			82			120			158	
0.010	5.723 501	8	0.060	5.722 202	45	0.110	5.719 039	82	0.160	5.713 995	120	0.210	5.707 040	159	
0.011	5.723 493	8	0.061	5.722 157	46	0.111	5.718 957	83	0.161	5.713 875	121	0.211	5.706 881	159	
0.012	5.723 485	10	0.062	5.722 111	46	0.112	5.718 874	84	0.162	5.713 754	122	0.212	5.706 722	161	
0.013	5.723 475	10	0.063	5.722 065	48	0.113	5.718 790	85	0.163	5.713 632	123	0.213	5.706 561	161	
0.014	5.723 465	10	0.064	5.722 017	48	0.114	5.718 705	85	0.164	5.713 509	123	0.214	5.706 400	162	
0.015	5.723 455	12	0.065	5.721 969	48	0.115	5.718 620	86	0.165	5.713 386	124	0.215	5.706 238	163	
0.016	5.723 443	12	0.066	5.721 921	50	0.116	5.718 534	87	0.166	5.713 262	125	0.216	5.706 075	163	
0.017	5.723 431	13	0.067	5.721 871	50	0.117	5.718 447	88	0.167	5.713 137	125	0.217	5.705 912	164	
0.018	5.723 418	14	0.068	5.721 821	51	0.118	5.718 359	88	0.168	5.713 012	127	0.218	5.705 748	166	
0.019	5.723 404		0.069	5.721 770	51	0.119	5.718 271	89	0.169	5.712 885		0.219	5.705 582		
		14			51						127			165	
0.020	5.723 390	16	0.070	5.721 719	53	0.120	5.718 182	90	0.170	5.712 758	128	0.220	5.705 417	167	
0.021	5.723 374	16	0.071	5.721 666	53	0.121	5.718 092	91	0.171	5.712 630	128	0.221	5.705 250	168	
0.022	5.723 358	16	0.072	5.721 613	54	0.122	5.718 001	91	0.172	5.712 502	130	0.222	5.705 082	168	
0.023	5.723 342	18	0.073	5.721 559	54	0.123	5.717 910	93	0.173	5.712 372	130	0.223	5.704 914	169	
0.024	5.723 324	18	0.074	5.721 505	56	0.124	5.717 817	92	0.174	5.712 242	131	0.224	5.704 745	170	
0.025	5.723 306	19	0.075	5.721 449	56	0.125	5.717 725	95	0.175	5.712 111	132	0.225	5.704 575	170	
0.026	5.723 287	19	0.076	5.721 393	57	0.126	5.717 631	94	0.176	5.711 979	132	0.226	5.704 405	172	
0.027	5.723 268	21	0.077	5.721 336	57	0.127	5.717 536	95	0.177	5.711 847	134	0.227	5.704 233	172	
0.028	5.723 247	21	0.078	5.721 279	59	0.128	5.717 441	96	0.178	5.711 713	134	0.228	5.704 061	173	
0.029	5.723 226		0.079	5.721 220		0.129	5.717 345	96	0.179	5.711 579		0.229	5.703 888		
		22			59						135			174	
0.030	5.723 204	22	0.080	5.721 161	60	0.130	5.717 249	98	0.180	5.711 444	135	0.230	5.703 714	174	
0.031	5.723 182	24	0.081	5.721 101	60	0.131	5.717 151	98	0.181	5.711 309	137	0.231	5.703 540	175	
0.032	5.723 158	24	0.082	5.721 041	62	0.132	5.717 053	99	0.182	5.711 172	137	0.232	5.703 365	177	
0.033	5.723 134	25	0.083	5.720 979	62	0.133	5.716 954	100	0.183	5.711 035	138	0.233	5.703 188	176	
0.034	5.723 109	25	0.084	5.720 917	63	0.134	5.716 854	100	0.184	5.710 897	138	0.234	5.703 012	178	
0.035	5.723 084	27	0.085	5.720 854	63	0.135	5.716 754	101	0.185	5.710 759	140	0.235	5.702 834	179	
0.036	5.723 057	27	0.086	5.720 791	65	0.136	5.716 653	102	0.186	5.710 619	140	0.236	5.702 655	179	
0.037	5.723 030	28	0.087	5.720 726	65	0.137	5.716 551	103	0.187	5.710 479	141	0.237	5.702 476	180	
0.038	5.723 002	28	0.088	5.720 661	66	0.138	5.716 448	104	0.188	5.710 338	142	0.238	5.702 296	181	
0.039	5.722 974		0.089	5.720 595		0.139	5.716 344		0.189	5.710 196		0.239	5.702 115		
		30			66			104			142			182	
0.040	5.722 944	30	0.090	5.720 529	68	0.140	5.716 240	105	0.190	5.710 054	143	0.240	5.701 933	182	
0.041	5.722 914	31	0.091	5.720 461	68	0.141	5.716 135	106	0.191	5.709 911	145	0.241	5.701 751	183	
0.042	5.722 883	31	0.092	5.720 393	69	0.142	5.716 029	106	0.192	5.709 766	144	0.242	5.701 568	184	
0.043	5.722 852	32	0.093	5.720 324	69	0.143	5.715 923	108	0.193	5.709 622	146	0.243	5.701 384	185	
0.044	5.722 820	33	0.094	5.720 255	71	0.144	5.715 815	108	0.194	5.709 476	146	0.244	5.701 199	186	
0.045	5.722 787	34	0.095	5.720 184	71	0.145	5.715 707	108	0.195	5.709 330	148	0.245	5.701 013	186	
0.046	5.722 753	35	0.096	5.720 113	71	0.146	5.715 599	110	0.196	5.709 182	148	0.246	5.700 827	187	
0.047	5.722 718	35	0.097	5.720 042	73	0.147	5.715 489	110	0.197	5.709 034	148	0.247	5.700 640	188	
0.048	5.722 683	36	0.098	5.719 969	73	0.148	5.715 379	111	0.198	5.708 886	150	0.248	5.700 452	189	
0.049	5.722 647	37	0.099	5.719 896	75	0.149	5.715 268	112	0.199	5.708 736	150	0.249	5.700 263	190	
0.050	5.722 610		0.100	5.719 821		0.150	5.715 156		0.200	5.708 586		0.250	5.700 073		

Tafel VII.

 $\log \{P_1^1(m)\}$.

vergl. pag. 42.

$\pm m$	P	$+J$	$\pm m$	P	$+J$	$\pm m$	P	$+J$	$\pm m$	P	$+J$	$\pm m$	P	$+J$
0.000	8.619 789		0.050	8.632 626	511	0.100	8.669 007		0.150	8.723 593	1233	0.200	8.790 051	1409
0.001	8.619 794	5	0.051	8.633 137	520	0.101	8.669 941	934	0.151	8.724 826	1238	0.201	8.791 460	1412
0.002	8.619 810	16	0.052	8.633 657	530	0.102	8.670 883	942	0.152	8.726 064	1243	0.202	8.792 872	1415
0.003	8.619 836	26	0.053	8.634 187	539	0.103	8.671 831	948	0.153	8.727 307	1247	0.203	8.794 287	1417
0.004	8.619 872	36	0.054	8.634 726	548	0.104	8.672 787	956	0.154	8.728 554	1252	0.204	8.795 704	1419
0.005	8.619 919	47	0.055	8.635 274	558	0.105	8.673 750	963	0.155	8.729 806	1256	0.205	8.797 123	1422
0.006	8.619 976	57	0.056	8.635 832	567	0.106	8.674 720	970	0.156	8.731 062	1261	0.206	8.798 545	1424
0.007	8.620 044	68	0.057	8.636 399	577	0.107	8.675 697	977	0.157	8.732 323	1265	0.207	8.799 969	1426
0.008	8.620 122	78	0.058	8.636 976	586	0.108	8.676 681	984	0.158	8.733 588	1269	0.208	8.801 395	1428
0.009	8.620 211	89	0.059	8.637 562	594	0.109	8.677 672	991	0.159	8.734 857	1274	0.209	8.802 823	1430
		99						998						
0.010	8.620 310	109	0.060	8.638 156	605	0.110	8.678 670	1005	0.160	8.736 131	1278	0.210	8.804 253	1432
0.011	8.620 419	120	0.061	8.638 761	613	0.111	8.679 675	1011	0.161	8.737 409	1282	0.211	8.805 685	1435
0.012	8.620 539	130	0.062	8.639 374	622	0.112	8.680 686	1018	0.162	8.738 691	1286	0.212	8.807 120	1436
0.013	8.620 669	140	0.063	8.639 995	631	0.113	8.681 704	1025	0.163	8.739 977	1290	0.213	8.808 556	1439
0.014	8.620 809	151	0.064	8.640 627	641	0.114	8.682 729	1031	0.164	8.741 267	1294	0.214	8.809 995	1440
0.015	8.620 960	161	0.065	8.641 268	649	0.115	8.683 760	1038	0.165	8.742 561	1299	0.215	8.811 435	1443
0.016	8.621 121	171	0.066	8.641 917	658	0.116	8.684 798	1044	0.166	8.743 860	1302	0.216	8.812 878	1444
0.017	8.621 292	182	0.067	8.642 575	667	0.117	8.685 842	1050	0.167	8.745 162	1306	0.217	8.814 322	1446
0.018	8.621 474	192	0.068	8.643 242	676	0.118	8.686 892	1057	0.168	8.746 468	1310	0.218	8.815 768	1448
0.019	8.621 666	202	0.069	8.643 918	685	0.119	8.687 949	1064	0.169	8.747 778	1314	0.219	8.817 216	1450
		202			685			1064						
0.020	8.621 868	213	0.070	8.644 603	693	0.120	8.688 013	1069	0.170	8.749 092	1317	0.220	8.818 666	1451
0.021	8.622 081	223	0.071	8.645 296	702	0.121	8.689 082	1076	0.171	8.750 409	1322	0.221	8.820 117	1453
0.022	8.622 304	233	0.072	8.645 998	711	0.122	8.690 158	1082	0.172	8.751 731	1325	0.222	8.821 570	1455
0.023	8.622 537	243	0.073	8.646 709	720	0.123	8.691 240	1088	0.173	8.753 056	1328	0.223	8.823 025	1457
0.024	8.622 780	254	0.074	8.647 429	728	0.124	8.692 328	1094	0.174	8.754 384	1332	0.224	8.824 482	1458
0.025	8.623 034	264	0.075	8.648 157	736	0.125	8.693 422	1101	0.175	8.755 716	1336	0.225	8.825 940	1460
0.026	8.623 298	273	0.076	8.648 893	745	0.126	8.694 523	1106	0.176	8.757 052	1339	0.226	8.827 400	1461
0.027	8.623 571	285	0.077	8.649 638	754	0.127	8.695 629	1112	0.177	8.758 391	1342	0.227	8.828 861	1463
0.028	8.623 856	294	0.078	8.650 392	762	0.128	8.696 741	1118	0.178	8.759 733	1346	0.228	8.830 324	1464
0.029	8.624 150	304	0.079	8.651 154	770	0.129	8.697 859	1123	0.179	8.761 079	1350	0.229	8.831 788	1465
		304			770			1123						
0.030	8.624 454	314	0.080	8.651 924	778	0.130	8.699 982	1130	0.180	8.762 429	1352	0.230	8.833 253	1468
0.031	8.624 768	325	0.081	8.652 702	787	0.131	8.701 112	1135	0.181	8.763 781	1356	0.231	8.834 721	1468
0.032	8.625 093	334	0.082	8.653 489	795	0.132	8.702 247	1140	0.182	8.765 137	1359	0.232	8.836 189	1470
0.033	8.625 427	345	0.083	8.654 284	803	0.133	8.703 387	1147	0.183	8.766 496	1362	0.233	8.837 659	1471
0.034	8.625 772	354	0.084	8.655 087	811	0.134	8.704 534	1152	0.184	8.767 858	1366	0.234	8.839 130	1473
0.035	8.626 126	365	0.085	8.655 898	820	0.135	8.705 686	1157	0.185	8.769 224	1368	0.235	8.840 603	1474
0.036	8.626 491	374	0.086	8.656 718	827	0.136	8.706 843	1163	0.186	8.770 592	1371	0.236	8.842 077	1475
0.037	8.626 865	385	0.087	8.657 545	835	0.137	8.708 006	1168	0.187	8.771 963	1375	0.237	8.843 552	1476
0.038	8.627 250	394	0.088	8.658 380	843	0.138	8.709 174	1174	0.188	8.773 338	1377	0.238	8.845 028	1477
0.039	8.627 644	404	0.089	8.659 223	852	0.139	8.710 348	1178	0.189	8.774 715	1381	0.239	8.846 505	1479
		404			852			1178						
0.040	8.628 048	414	0.090	8.660 075	858	0.140	8.711 526	1184	0.190	8.776 096	1383	0.240	8.847 984	1479
0.041	8.628 462	424	0.091	8.660 933	867	0.141	8.712 710	1189	0.191	8.777 479	1386	0.241	8.849 463	1481
0.042	8.628 886	434	0.092	8.661 800	874	0.142	8.713 899	1195	0.192	8.778 865	1389	0.242	8.850 944	1482
0.043	8.629 320	443	0.093	8.662 674	882	0.143	8.715 094	1199	0.193	8.780 254	1391	0.243	8.852 426	1483
0.044	8.629 763	453	0.094	8.663 556	890	0.144	8.716 293	1204	0.194	8.781 645	1395	0.244	8.853 909	1484
0.045	8.630 216	463	0.095	8.664 446	897	0.145	8.717 497	1209	0.195	8.783 040	1397	0.245	8.855 393	1485
0.046	8.630 679	472	0.096	8.665 343	905	0.146	8.718 707	1214	0.196	8.784 437	1399	0.246	8.856 878	1486
0.047	8.631 151	482	0.097	8.666 248	912	0.147	8.719 921	1219	0.197	8.785 836	1403	0.247	8.858 364	1487
0.048	8.631 633	492	0.098	8.667 160	920	0.148	8.721 140	1224	0.198	8.787 239	1404	0.248	8.859 851	1488
0.049	8.632 125	501	0.099	8.668 080	927	0.149	8.722 364	1229	0.199	8.788 643	1408	0.249	8.861 338	1489
0.050	8.632 626		0.100	8.669 007		0.150	8.723 593		0.200	8.790 051		0.250	8.862 827	

Tafel VII.

 $\log \{P_1^2(m)\}$.

$\pm m$	P	$-J$	$\pm m$	P	$-J$	$\pm m$	P	$-J$	$\pm m$	P	$-J$	$\pm m$	P	$-J$
0.000	99.096	910	0.050	99.095	460	0.100	99.091	080	0.150	99.083	682	0.200	99.073	107
0.001	99.096	909	0.051	99.095	401	0.101	99.090	962	0.151	99.083	502	0.201	99.072	862
0.002	99.096	908	0.052	99.095	341	0.102	99.090	843	0.152	99.083	321	0.202	99.072	615
0.003	99.096	905	0.053	99.095	280	0.103	99.090	723	0.153	99.083	139	0.203	99.072	367
0.004	99.096	901	0.054	99.095	218	0.104	99.090	601	0.154	99.082	955	0.204	99.072	118
0.005	99.096	896	0.055	99.095	155	0.105	99.090	479	0.155	99.082	770	0.205	99.071	867
0.006	99.096	889	0.056	99.095	90	0.106	99.090	355	0.156	99.082	584	0.206	99.071	615
0.007	99.096	882	0.057	99.095	25	0.107	99.090	229	0.157	99.082	397	0.207	99.071	361
0.008	99.096	873	0.058	99.094	958	0.108	99.090	103	0.158	99.082	208	0.208	99.071	106
0.009	99.096	863	0.059	99.094	890	0.109	99.089	975	0.159	99.082	018	0.209	99.070	850
		11			70			129			191			258
0.010	99.096	852	0.060	99.094	820	0.110	99.089	846	0.160	99.081	827	0.210	99.070	592
0.011	99.096	840	0.061	99.094	750	0.111	99.089	716	0.161	99.081	635	0.211	99.070	333
0.012	99.096	827	0.062	99.094	678	0.112	99.089	585	0.162	99.081	441	0.212	99.070	72
0.013	99.096	812	0.063	99.094	606	0.113	99.089	453	0.163	99.081	246	0.213	99.069	811
0.014	99.096	797	0.064	99.094	532	0.114	99.089	319	0.164	99.081	050	0.214	99.069	547
0.015	99.096	780	0.065	99.094	457	0.115	99.089	184	0.165	99.080	852	0.215	99.069	283
0.016	99.096	762	0.066	99.094	380	0.116	99.089	048	0.166	99.080	653	0.216	99.069	017
0.017	99.096	743	0.067	99.094	303	0.117	99.088	910	0.167	99.080	453	0.217	99.068	749
0.018	99.096	722	0.068	99.094	224	0.118	99.088	772	0.168	99.080	251	0.218	99.068	480
0.019	99.096	701	0.069	99.094	144	0.119	99.088	632	0.169	99.080	048	0.219	99.068	210
		23			81			141			204			272
0.020	99.096	678	0.070	99.094	663	0.120	99.088	491	0.170	99.079	844	0.220	99.067	938
0.021	99.096	655	0.071	99.093	581	0.121	99.088	348	0.171	99.079	639	0.221	99.067	665
0.022	99.096	630	0.072	99.093	508	0.122	99.088	205	0.172	99.079	432	0.222	99.067	391
0.023	99.096	604	0.073	99.093	433	0.123	99.088	60	0.173	99.079	224	0.223	99.067	115
0.024	99.096	578	0.074	99.093	357	0.124	99.087	934	0.174	99.079	015	0.224	99.066	838
0.025	99.096	548	0.075	99.093	281	0.125	99.087	767	0.175	99.078	804	0.225	99.066	559
0.026	99.096	518	0.076	99.093	202	0.126	99.087	618	0.176	99.078	592	0.226	99.066	279
0.027	99.096	488	0.077	99.093	123	0.127	99.087	469	0.177	99.078	379	0.227	99.065	997
0.028	99.096	456	0.078	99.093	43	0.128	99.087	318	0.178	99.078	164	0.228	99.065	714
0.029	99.096	423	0.079	99.093	281	0.129	99.087	165	0.179	99.077	948	0.229	99.065	430
		34			93			153			217			286
0.030	99.096	389	0.080	99.093	188	0.130	99.087	012	0.180	99.077	731	0.230	99.065	144
0.031	99.096	355	0.081	99.093	94	0.131	99.086	857	0.181	99.077	513	0.231	99.064	857
0.032	99.096	317	0.082	99.092	999	0.132	99.086	701	0.182	99.077	293	0.232	99.064	568
0.033	99.096	279	0.083	99.092	902	0.133	99.086	544	0.183	99.077	072	0.233	99.064	278
0.034	99.096	240	0.084	99.092	805	0.134	99.086	386	0.184	99.076	849	0.234	99.063	986
0.035	99.096	200	0.085	99.092	706	0.135	99.086	226	0.185	99.076	625	0.235	99.063	693
0.036	99.096	159	0.086	99.092	606	0.136	99.086	65	0.186	99.076	400	0.236	99.063	399
0.037	99.096	117	0.087	99.092	505	0.137	99.085	903	0.187	99.076	174	0.237	99.063	103
0.038	99.096	73	0.088	99.092	402	0.138	99.085	740	0.188	99.075	946	0.238	99.062	805
0.039	99.096	28	0.089	99.092	299	0.139	99.085	575	0.189	99.075	717	0.239	99.062	506
		45			105			165			231			300
0.040	99.095	983	0.090	99.092	194	0.140	99.085	410	0.190	99.075	486	0.240	99.062	206
0.041	99.095	936	0.091	99.092	888	0.141	99.085	242	0.191	99.075	254	0.241	99.061	904
0.042	99.095	887	0.092	99.091	811	0.142	99.085	74	0.192	99.075	021	0.242	99.061	601
0.043	99.095	838	0.093	99.091	731	0.143	99.084	904	0.193	99.074	87	0.243	99.061	296
0.044	99.095	788	0.094	99.091	652	0.144	99.084	734	0.194	99.074	551	0.244	99.060	990
0.045	99.095	736	0.095	99.091	572	0.145	99.084	561	0.195	99.074	314	0.245	99.060	682
0.046	99.095	683	0.096	99.091	490	0.146	99.084	388	0.196	99.074	075	0.246	99.060	373
0.047	99.095	629	0.097	99.091	407	0.147	99.084	213	0.197	99.073	835	0.247	99.060	62
0.048	99.095	574	0.098	99.091	323	0.148	99.084	37	0.198	99.073	594	0.248	99.059	50
0.049	99.095	517	0.099	99.091	239	0.149	99.083	892	0.199	99.073	351	0.249	99.059	437
0.050	99.095	460	0.100	99.091	150	0.150	99.083	682	0.200	99.073	107	0.250	99.059	122

Tafel VII.

 $\log \{P_1^3(m)\}.$

$\pm m$	P	$+$	$\pm m$	P	$+$	$\pm m$	P	$+$	$\pm m$	P	$+$	$\pm m$	P	$+$
0.000	7n470 026		0.050	7n477 586	301	0.100	7n499 076	553	0.150	7n531 357	728	0.200	7n570 316	818
0.001	7n470 030	4	0.051	7n477 887	307	0.101	7n499 629	557	0.151	7n532 085	731	0.201	7n571 134	819
0.002	7n470 039	9	0.052	7n478 194	312	0.102	7n500 186	561	0.152	7n532 816	733	0.202	7n571 953	820
0.003	7n470 054	15	0.053	7n478 506	318	0.103	7n500 747	565	0.153	7n533 549	736	0.203	7n572 773	821
0.004	7n470 076	22	0.054	7n478 824	323	0.104	7n501 312	570	0.154	7n534 285	738	0.204	7n573 594	822
0.005	7n470 103	27	0.055	7n479 147	329	0.105	7n501 882	574	0.155	7n535 023	741	0.205	7n574 416	823
0.006	7n470 137	34	0.056	7n479 476	335	0.106	7n502 456	578	0.156	7n535 764	743	0.206	7n575 239	823
0.007	7n470 177	40	0.057	7n479 811	340	0.107	7n503 034	582	0.157	7n536 507	746	0.207	7n576 062	824
0.008	7n470 223	46	0.058	7n480 151	345	0.108	7n503 616	587	0.158	7n537 253	748	0.208	7n576 886	825
0.009	7n470 275	52	0.059	7n480 496	351	0.109	7n504 203	590	0.159	7n538 001	751	0.209	7n577 711	826
		58												
0.010	7n470 333	64	0.060	7n480 847	357	0.110	7n504 793	595	0.160	7n538 752	752	0.210	7n578 537	826
0.011	7n470 397	71	0.061	7n481 204	362	0.111	7n505 388	598	0.161	7n539 504	756	0.211	7n579 363	827
0.012	7n470 468	76	0.062	7n481 566	366	0.112	7n505 986	602	0.162	7n540 260	757	0.212	7n580 190	828
0.013	7n470 544	83	0.063	7n481 932	373	0.113	7n506 588	607	0.163	7n541 017	760	0.213	7n581 018	828
0.014	7n470 627	88	0.064	7n482 305	378	0.114	7n507 195	610	0.164	7n541 777	761	0.214	7n581 846	829
0.015	7n470 715	95	0.065	7n482 683	383	0.115	7n507 805	614	0.165	7n542 538	764	0.215	7n582 675	829
0.016	7n470 810	101	0.066	7n483 066	389	0.116	7n508 419	618	0.166	7n543 302	766	0.216	7n583 504	830
0.017	7n470 911	107	0.067	7n483 455	393	0.117	7n509 037	622	0.167	7n544 068	768	0.217	7n584 334	830
0.018	7n471 018	113	0.068	7n483 848	399	0.118	7n509 659	625	0.168	7n544 836	771	0.218	7n585 164	830
0.019	7n471 131	119	0.069	7n484 247	405	0.119	7n510 284	629	0.169	7n545 607	772	0.219	7n585 994	831
		119												
0.020	7n471 250	125	0.070	7n484 652	409	0.120	7n510 913	633	0.170	7n546 379	774	0.220	7n586 825	832
0.021	7n471 375	131	0.071	7n485 061	415	0.121	7n511 546	637	0.171	7n547 153	776	0.221	7n587 657	832
0.022	7n471 506	137	0.072	7n485 476	419	0.122	7n512 183	640	0.172	7n547 929	778	0.222	7n588 489	832
0.023	7n471 643	144	0.073	7n485 895	425	0.123	7n512 823	644	0.173	7n548 707	780	0.223	7n589 321	832
0.024	7n471 787	149	0.074	7n486 320	430	0.124	7n513 467	647	0.174	7n549 487	782	0.224	7n590 153	833
0.025	7n471 936	155	0.075	7n486 750	435	0.125	7n514 114	651	0.175	7n550 269	783	0.225	7n590 986	833
0.026	7n472 091	161	0.076	7n487 185	441	0.126	7n514 765	655	0.176	7n551 052	786	0.226	7n591 818	833
0.027	7n472 252	167	0.077	7n487 626	444	0.127	7n515 420	657	0.177	7n551 838	787	0.227	7n592 651	834
0.028	7n472 419	174	0.078	7n488 070	451	0.128	7n516 077	662	0.178	7n552 625	789	0.228	7n593 485	834
0.029	7n472 593	179	0.079	7n488 521	455	0.129	7n516 739	664	0.179	7n553 414	790	0.229	7n594 318	834
		179												
0.030	7n472 772	185	0.080	7n488 976	460	0.130	7n517 403	668	0.180	7n554 204	792	0.230	7n595 151	834
0.031	7n472 957	191	0.081	7n489 436	465	0.131	7n518 071	672	0.181	7n554 996	794	0.231	7n595 985	834
0.032	7n473 148	197	0.082	7n489 901	469	0.132	7n518 743	674	0.182	7n555 790	795	0.232	7n596 818	834
0.033	7n473 345	203	0.083	7n490 370	475	0.133	7n519 417	679	0.183	7n556 585	797	0.233	7n597 652	834
0.034	7n473 548	209	0.084	7n490 845	480	0.134	7n520 096	681	0.184	7n557 382	799	0.234	7n598 486	834
0.035	7n473 757	214	0.085	7n491 325	484	0.135	7n520 777	684	0.185	7n558 181	800	0.235	7n599 319	834
0.036	7n473 971	221	0.086	7n491 809	489	0.136	7n521 461	688	0.186	7n558 981	801	0.236	7n600 153	834
0.037	7n474 192	226	0.087	7n492 298	493	0.137	7n522 149	690	0.187	7n559 782	803	0.237	7n600 986	834
0.038	7n474 418	232	0.088	7n492 791	499	0.138	7n522 839	694	0.188	7n560 585	804	0.238	7n601 819	834
0.039	7n474 650	238	0.089	7n493 290	503	0.139	7n523 533	696	0.189	7n561 389	805	0.239	7n602 652	834
		238												
0.040	7n474 888	244	0.090	7n493 793	508	0.140	7n524 229	700	0.190	7n562 194	807	0.240	7n603 485	834
0.041	7n475 132	250	0.091	7n494 301	513	0.141	7n524 929	703	0.191	7n563 001	808	0.241	7n604 318	834
0.042	7n475 382	255	0.092	7n494 814	516	0.142	7n525 632	705	0.192	7n563 809	810	0.242	7n605 151	834
0.043	7n475 637	262	0.093	7n495 330	522	0.143	7n526 337	709	0.193	7n564 619	812	0.243	7n605 983	834
0.044	7n475 899	267	0.094	7n495 852	526	0.144	7n527 046	712	0.194	7n565 429	812	0.244	7n606 815	834
0.045	7n476 166	272	0.095	7n496 378	531	0.145	7n527 758	714	0.195	7n566 241	813	0.245	7n607 646	834
0.046	7n476 438	279	0.096	7n496 909	535	0.146	7n528 472	717	0.196	7n567 054	814	0.246	7n608 478	834
0.047	7n476 717	284	0.097	7n497 444	539	0.147	7n529 189	720	0.197	7n567 868	815	0.247	7n609 309	834
0.048	7n477 001	290	0.098	7n497 983	545	0.148	7n529 909	723	0.198	7n568 683	816	0.248	7n610 139	834
0.049	7n477 291	295	0.099	7n498 528	548	0.149	7n530 632	725	0.199	7n569 499	817	0.249	7n611 069	834
0.050	7n477 586		0.100	7n499 076		0.150	7n531 357		0.200	7n570 316		0.250	7n611 799	

Tafel VII.

 $\log \{P_1^A m\}$.

$\pm m$	P	$-J$	$\pm m$	P	$-J$	$\pm m$	P	$-J$	$\pm m$	P	$-J$	$\pm m$	P	$-J$
0.000	8.369 911	0	0.050	8.368 301	65	0.100	8.363 445	131	0.150	8.355 269	198	0.200	8.343 644	269
0.001	8.369 911	2	0.051	8.368 236	67	0.101	8.363 314	132	0.151	8.355 071	200	0.201	8.343 375	270
0.002	8.369 909	3	0.052	8.368 169	67	0.102	8.363 182	133	0.152	8.354 871	201	0.202	8.343 105	272
0.003	8.369 906	5	0.053	8.368 102	70	0.103	8.363 049	135	0.153	8.354 670	202	0.203	8.342 833	273
0.004	8.369 901	6	0.054	8.368 032	70	0.104	8.362 914	136	0.154	8.354 468	204	0.204	8.342 560	275
0.005	8.369 895	7	0.055	8.367 962	71	0.105	8.362 778	137	0.155	8.354 264	205	0.205	8.342 285	276
0.006	8.369 888	8	0.056	8.367 891	73	0.106	8.362 641	139	0.156	8.354 059	206	0.206	8.342 009	278
0.007	8.369 880	10	0.057	8.367 818	75	0.107	8.362 502	139	0.157	8.353 853	208	0.207	8.341 731	279
0.008	8.369 870	11	0.058	8.367 743	75	0.108	8.362 363	142	0.158	8.353 645	209	0.208	8.341 452	281
0.009	8.369 859	12	0.059	8.367 668	77	0.109	8.362 221	142	0.159	8.353 436	211	0.209	8.341 171	282
0.010	8.369 847	14	0.060	8.367 591	80	0.110	8.362 079	144	0.160	8.353 225	212	0.210	8.340 889	283
0.011	8.369 833	14	0.061	8.367 513	80	0.111	8.361 935	146	0.161	8.353 013	213	0.211	8.340 606	285
0.012	8.369 819	16	0.062	8.367 433	82	0.112	8.361 789	146	0.162	8.352 800	215	0.212	8.340 321	287
0.013	8.369 803	18	0.063	8.367 353	84	0.113	8.361 643	148	0.163	8.352 585	216	0.213	8.340 034	288
0.014	8.369 785	18	0.064	8.367 271	84	0.114	8.361 495	149	0.164	8.352 369	218	0.214	8.339 746	289
0.015	8.369 767	20	0.065	8.367 187	84	0.115	8.361 346	151	0.165	8.352 151	219	0.215	8.339 457	291
0.016	8.369 747	22	0.066	8.367 103	86	0.116	8.361 195	152	0.166	8.351 932	220	0.216	8.339 166	292
0.017	8.369 725	22	0.067	8.367 017	88	0.117	8.361 043	153	0.167	8.351 712	222	0.217	8.338 874	294
0.018	8.369 703	24	0.068	8.366 929	88	0.118	8.360 890	155	0.168	8.351 490	223	0.218	8.338 580	296
0.019	8.369 679	25	0.069	8.366 841	90	0.119	8.360 735	155	0.169	8.351 267	225	0.219	8.338 284	296
0.020	8.369 654	26	0.070	8.366 751	91	0.120	8.360 579	158	0.170	8.351 042	226	0.220	8.337 988	299
0.021	8.369 628	28	0.071	8.366 660	93	0.121	8.360 421	158	0.171	8.350 816	227	0.221	8.337 689	300
0.022	8.369 600	29	0.072	8.366 567	95	0.122	8.360 263	160	0.172	8.350 589	229	0.222	8.337 389	301
0.023	8.369 571	30	0.073	8.366 474	96	0.123	8.360 103	162	0.173	8.350 360	230	0.223	8.337 088	303
0.024	8.369 541	32	0.074	8.366 378	96	0.124	8.359 941	162	0.174	8.350 130	232	0.224	8.336 785	304
0.025	8.369 509	33	0.075	8.366 282	98	0.125	8.359 779	164	0.175	8.349 898	233	0.225	8.336 481	306
0.026	8.369 476	34	0.076	8.366 184	99	0.126	8.359 615	166	0.176	8.349 665	235	0.226	8.336 175	308
0.027	8.369 442	35	0.077	8.366 085	100	0.127	8.359 449	167	0.177	8.349 430	235	0.227	8.335 867	308
0.028	8.369 407	37	0.078	8.365 985	102	0.128	8.359 282	168	0.178	8.349 195	238	0.228	8.335 559	311
0.029	8.369 370	38	0.079	8.365 883	103	0.129	8.359 114	169	0.179	8.348 957	239	0.229	8.335 248	312
0.030	8.369 332	39	0.080	8.365 780	104	0.130	8.358 945	171	0.180	8.348 718	240	0.230	8.334 936	313
0.031	8.369 293	41	0.081	8.365 676	106	0.131	8.358 774	172	0.181	8.348 478	241	0.231	8.334 623	315
0.032	8.369 252	42	0.082	8.365 570	106	0.132	8.358 602	174	0.182	8.348 237	243	0.232	8.334 308	316
0.033	8.369 210	43	0.083	8.365 464	109	0.133	8.358 428	175	0.183	8.347 994	245	0.233	8.333 992	318
0.034	8.369 167	44	0.084	8.365 355	109	0.134	8.358 253	176	0.184	8.347 749	245	0.234	8.333 674	320
0.035	8.369 123	46	0.085	8.365 246	111	0.135	8.358 077	178	0.185	8.347 504	248	0.235	8.333 354	321
0.036	8.369 077	47	0.086	8.365 135	112	0.136	8.357 899	179	0.186	8.347 256	248	0.236	8.333 033	322
0.037	8.369 030	48	0.087	8.365 023	114	0.137	8.357 720	180	0.187	8.347 008	250	0.237	8.332 711	324
0.038	8.368 982	50	0.088	8.364 909	114	0.138	8.357 540	182	0.188	8.346 758	252	0.238	8.332 387	326
0.039	8.368 932	51	0.089	8.364 795	116	0.139	8.357 358	183	0.189	8.346 506	253	0.239	8.332 061	327
0.040	8.368 881	52	0.090	8.364 679	118	0.140	8.357 175	184	0.190	8.346 253	254	0.240	8.331 734	329
0.041	8.368 829	54	0.091	8.364 561	119	0.141	8.356 991	186	0.191	8.345 999	256	0.241	8.331 405	330
0.042	8.368 775	54	0.092	8.364 442	120	0.142	8.356 805	187	0.192	8.345 743	258	0.242	8.331 075	332
0.043	8.368 721	56	0.093	8.364 322	121	0.143	8.356 618	189	0.193	8.345 485	258	0.243	8.330 743	333
0.044	8.368 665	58	0.094	8.364 201	123	0.144	8.356 429	190	0.194	8.345 227	261	0.244	8.330 410	335
0.045	8.368 607	59	0.095	8.364 078	124	0.145	8.356 239	191	0.195	8.344 966	261	0.245	8.330 075	336
0.046	8.368 548	60	0.096	8.363 954	125	0.146	8.356 048	193	0.196	8.344 705	263	0.246	8.329 739	338
0.047	8.368 488	61	0.097	8.363 829	127	0.147	8.355 855	194	0.197	8.344 442	265	0.247	8.329 401	339
0.048	8.368 427	62	0.098	8.363 702	128	0.148	8.355 661	195	0.198	8.344 177	266	0.248	8.329 062	342
0.049	8.368 365	64	0.099	8.363 574	129	0.149	8.355 466	197	0.199	8.343 911	267	0.249	8.328 720	342
0.050	8.368 301		0.100	8.363 445		0.150	8.355 269		0.200	8.343 644		0.250	8.328 378	

Tafel VII.

 $\log \{P_{1/2}(m)\}$

$\pm m$	P	$+J$	$\pm m$	P	$+J$	$\pm m$	P	$+J$	$\pm m$	P	$+J$	$\pm m$	P	$+J$
0.000	6.578 934	3	0.050	6.585 556	264	0.100	6.604 416	486	0.150	6.632 833	642	0.200	6.667 232	723
0.001	6.578 937	8	0.051	6.585 820	269	0.101	6.604 902	489	0.151	6.633 475	644	0.201	6.667 955	724
0.002	6.578 945	14	0.052	6.586 084	273	0.102	6.605 391	493	0.152	6.634 119	647	0.202	6.668 679	725
0.003	6.578 959	18	0.053	6.586 362	279	0.103	6.605 884	498	0.153	6.634 766	649	0.203	6.669 404	726
0.004	6.578 977	24	0.054	6.586 641	284	0.104	6.606 382	500	0.154	6.635 415	651	0.204	6.670 130	726
0.005	6.579 001	30	0.055	6.586 925	288	0.105	6.606 882	505	0.155	6.636 066	653	0.205	6.670 856	728
0.006	6.579 031	35	0.056	6.587 213	293	0.106	6.607 387	508	0.156	6.636 719	656	0.206	6.671 584	728
0.007	6.579 066	40	0.057	6.587 506	298	0.107	6.607 895	512	0.157	6.637 375	658	0.207	6.672 312	728
0.008	6.579 106	46	0.058	6.587 804	303	0.108	6.608 407	516	0.158	6.638 033	660	0.208	6.673 040	730
0.009	6.579 152	51	0.059	6.588 107	308	0.109	6.608 923	519	0.159	6.638 693	662	0.209	6.673 770	730
0.010	6.579 203	56	0.060	6.588 415	312	0.110	6.609 442	523	0.160	6.639 355	664	0.210	6.674 500	731
0.011	6.579 259	61	0.061	6.588 727	318	0.111	6.609 965	526	0.161	6.640 019	666	0.211	6.675 231	731
0.012	6.579 320	67	0.062	6.589 045	322	0.112	6.610 491	530	0.162	6.640 685	669	0.212	6.675 962	732
0.013	6.579 387	73	0.063	6.589 367	326	0.113	6.611 021	533	0.163	6.641 354	670	0.213	6.676 694	732
0.014	6.579 460	78	0.064	6.589 693	332	0.114	6.611 554	537	0.164	6.642 024	672	0.214	6.677 426	733
0.015	6.579 538	83	0.065	6.590 025	336	0.115	6.612 091	540	0.165	6.642 696	674	0.215	6.678 159	734
0.016	6.579 621	88	0.066	6.590 361	340	0.116	6.612 631	543	0.166	6.643 370	676	0.216	6.678 893	734
0.017	6.579 709	93	0.067	6.590 701	346	0.117	6.613 174	547	0.167	6.644 049	678	0.217	6.679 627	734
0.018	6.579 802	99	0.068	6.591 047	350	0.118	6.613 721	551	0.168	6.644 724	680	0.218	6.680 361	735
0.019	6.579 901	105	0.069	6.591 397	354	0.119	6.614 272	553	0.169	6.645 404	682	0.219	6.681 096	735
0.020	6.580 006	109	0.070	6.591 751	360	0.120	6.614 825	557	0.170	6.646 086	683	0.220	6.681 831	735
0.021	6.580 115	115	0.071	6.592 111	363	0.121	6.615 382	560	0.171	6.646 769	685	0.221	6.682 566	736
0.022	6.580 230	120	0.072	6.592 474	369	0.122	6.615 942	564	0.172	6.647 454	687	0.222	6.683 302	736
0.023	6.580 350	125	0.073	6.592 843	372	0.123	6.616 506	567	0.173	6.648 141	689	0.223	6.684 038	736
0.024	6.580 475	131	0.074	6.593 215	378	0.124	6.617 073	569	0.174	6.648 830	690	0.224	6.684 774	737
0.025	6.580 606	136	0.075	6.593 593	381	0.125	6.617 642	573	0.175	6.649 520	692	0.225	6.685 511	737
0.026	6.580 742	141	0.076	6.593 974	386	0.126	6.618 215	576	0.176	6.650 212	693	0.226	6.686 247	737
0.027	6.580 883	147	0.077	6.594 360	391	0.127	6.618 791	580	0.177	6.650 905	695	0.227	6.686 984	737
0.028	6.581 030	151	0.078	6.594 751	395	0.128	6.619 371	582	0.178	6.651 600	697	0.228	6.687 721	737
0.029	6.581 181	157	0.079	6.595 146	399	0.129	6.619 953	585	0.179	6.652 297	698	0.229	6.688 458	738
0.030	6.581 338	162	0.080	6.595 545	404	0.130	6.620 538	588	0.180	6.652 995	700	0.230	6.689 199	737
0.031	6.581 500	168	0.081	6.595 949	408	0.131	6.621 126	592	0.181	6.653 695	701	0.231	6.689 933	737
0.032	6.581 668	172	0.082	6.596 357	413	0.132	6.621 718	594	0.182	6.654 396	702	0.232	6.690 670	738
0.033	6.581 840	178	0.083	6.596 770	416	0.133	6.622 312	597	0.183	6.655 098	704	0.233	6.691 408	738
0.034	6.582 018	183	0.084	6.597 186	421	0.134	6.622 909	600	0.184	6.655 802	706	0.234	6.692 145	738
0.035	6.582 201	188	0.085	6.597 607	425	0.135	6.623 509	603	0.185	6.656 508	706	0.235	6.692 883	738
0.036	6.582 389	193	0.086	6.598 032	430	0.136	6.624 112	605	0.186	6.657 214	708	0.236	6.693 620	738
0.037	6.582 582	198	0.087	6.598 462	433	0.137	6.624 717	609	0.187	6.657 922	709	0.237	6.694 358	737
0.038	6.582 780	204	0.088	6.598 895	438	0.138	6.625 326	611	0.188	6.658 631	711	0.238	6.695 095	737
0.039	6.582 984	208	0.089	6.599 333	442	0.139	6.625 937	614	0.189	6.659 342	712	0.239	6.695 832	737
0.040	6.583 192	214	0.090	6.599 775	446	0.140	6.626 551	616	0.190	6.660 054	713	0.240	6.696 569	737
0.041	6.583 406	219	0.091	6.600 221	450	0.141	6.627 167	619	0.191	6.660 767	714	0.241	6.697 306	736
0.042	6.583 625	223	0.092	6.600 671	454	0.142	6.627 786	622	0.192	6.661 481	715	0.242	6.698 042	736
0.043	6.583 848	229	0.093	6.601 125	458	0.143	6.628 408	625	0.193	6.662 196	716	0.243	6.698 778	736
0.044	6.584 077	234	0.094	6.601 583	463	0.144	6.629 033	627	0.194	6.662 912	718	0.244	6.699 514	736
0.045	6.584 311	239	0.095	6.602 046	466	0.145	6.629 660	630	0.195	6.663 630	718	0.245	6.700 250	736
0.046	6.584 550	244	0.096	6.602 512	470	0.146	6.630 290	632	0.196	6.664 348	719	0.246	6.700 986	735
0.047	6.584 794	249	0.097	6.602 982	474	0.147	6.630 922	634	0.197	6.665 067	721	0.247	6.701 721	735
0.048	6.585 043	254	0.098	6.603 456	478	0.148	6.631 556	637	0.198	6.665 788	721	0.248	6.702 456	734
0.049	6.585 297	259	0.099	6.603 934	482	0.149	6.632 193	640	0.199	6.666 509	723	0.249	6.703 190	734
0.050	6.585 556		0.100	6.604 416		0.150	6.632 833		0.200	6.667 232		0.250	6.703 924	

Tafel VII.

 $\log \{P_1^6 m\}$.

$\pm m$	P	\angle	$\pm m$	P	\angle	$\pm m$	P	\angle	$\pm m$	P	\angle	$\pm m$	P	\angle
0.000	μ_{688} 670	1	0.050	μ_{687} 002	68	0.100	μ_{681} 975	135	0.150	μ_{673} 520	204	0.200	μ_{661} 521	277
0.001	μ_{688} 669	2	0.051	μ_{686} 934	68	0.101	μ_{681} 840	137	0.151	μ_{673} 316	207	0.201	μ_{661} 244	279
0.002	μ_{688} 667	3	0.052	μ_{686} 866	71	0.102	μ_{681} 703	138	0.152	μ_{673} 109	207	0.202	μ_{660} 965	280
0.003	μ_{688} 664	5	0.053	μ_{686} 795	71	0.103	μ_{681} 565	139	0.153	μ_{672} 902	209	0.203	μ_{660} 685	282
0.004	μ_{688} 659	6	0.054	μ_{686} 724	73	0.104	μ_{681} 426	141	0.154	μ_{672} 693	211	0.204	μ_{660} 403	283
0.005	μ_{688} 655	7	0.055	μ_{686} 651	74	0.105	μ_{681} 285	142	0.155	μ_{672} 482	211	0.205	μ_{660} 120	285
0.006	μ_{688} 649	9	0.056	μ_{686} 577	76	0.106	μ_{681} 143	143	0.156	μ_{672} 271	214	0.206	μ_{659} 835	286
0.007	μ_{688} 637	10	0.057	μ_{686} 501	76	0.107	μ_{681} 000	145	0.157	μ_{672} 057	214	0.207	μ_{659} 549	287
0.008	μ_{688} 627	11	0.058	μ_{686} 425	79	0.108	μ_{680} 855	146	0.158	μ_{671} 843	216	0.208	μ_{659} 262	289
0.009	μ_{688} 616	13	0.059	μ_{686} 346	79	0.109	μ_{680} 709	148	0.159	μ_{671} 627	218	0.209	μ_{658} 972	290
0.010	μ_{688} 603	14	0.060	μ_{686} 267	81	0.110	μ_{680} 561	149	0.160	μ_{671} 409	219	0.210	μ_{658} 682	292
0.011	μ_{688} 589	15	0.061	μ_{686} 186	82	0.111	μ_{680} 412	150	0.161	μ_{671} 190	220	0.211	μ_{658} 390	294
0.012	μ_{688} 574	17	0.062	μ_{686} 104	84	0.112	μ_{680} 262	152	0.162	μ_{670} 970	222	0.212	μ_{658} 096	295
0.013	μ_{688} 557	18	0.063	μ_{686} 020	85	0.113	μ_{680} 110	153	0.163	μ_{670} 748	224	0.213	μ_{657} 801	297
0.014	μ_{688} 539	19	0.064	μ_{685} 935	86	0.114	μ_{679} 957	154	0.164	μ_{670} 524	224	0.214	μ_{657} 504	298
0.015	μ_{688} 520	21	0.065	μ_{685} 849	88	0.115	μ_{679} 803	156	0.165	μ_{670} 300	226	0.215	μ_{657} 206	300
0.016	μ_{688} 499	22	0.066	μ_{685} 761	89	0.116	μ_{679} 647	157	0.166	μ_{670} 074	228	0.216	μ_{656} 906	301
0.017	μ_{688} 477	23	0.067	μ_{685} 672	90	0.117	μ_{679} 490	159	0.167	μ_{669} 846	229	0.217	μ_{656} 605	303
0.018	μ_{688} 454	25	0.068	μ_{685} 582	92	0.118	μ_{679} 331	160	0.168	μ_{669} 617	230	0.218	μ_{656} 302	304
0.019	μ_{688} 429	26	0.069	μ_{685} 490	93	0.119	μ_{679} 171	161	0.169	μ_{669} 387	232	0.219	μ_{655} 998	306
0.020	μ_{688} 403	27	0.070	μ_{685} 397	95	0.120	μ_{679} 010	163	0.170	μ_{669} 155	234	0.220	μ_{655} 692	307
0.021	μ_{688} 376	29	0.071	μ_{685} 302	95	0.121	μ_{678} 847	164	0.171	μ_{668} 921	234	0.221	μ_{655} 385	309
0.022	μ_{688} 347	30	0.072	μ_{685} 207	97	0.122	μ_{678} 683	166	0.172	μ_{668} 687	237	0.222	μ_{655} 076	311
0.023	μ_{688} 317	31	0.073	μ_{685} 110	99	0.123	μ_{678} 517	167	0.173	μ_{668} 450	237	0.223	μ_{654} 765	311
0.024	μ_{688} 286	33	0.074	μ_{685} 011	100	0.124	μ_{678} 350	168	0.174	μ_{668} 213	239	0.224	μ_{654} 454	314
0.025	μ_{688} 255	34	0.075	μ_{684} 911	101	0.125	μ_{678} 182	170	0.175	μ_{667} 974	241	0.225	μ_{654} 140	315
0.026	μ_{688} 219	35	0.076	μ_{684} 810	102	0.126	μ_{678} 012	171	0.176	μ_{667} 735	242	0.226	μ_{653} 825	316
0.027	μ_{688} 184	37	0.077	μ_{684} 708	104	0.127	μ_{677} 841	172	0.177	μ_{667} 491	244	0.227	μ_{653} 509	318
0.028	μ_{688} 147	38	0.078	μ_{684} 604	105	0.128	μ_{677} 669	174	0.178	μ_{667} 247	244	0.228	μ_{653} 191	320
0.029	μ_{688} 109	39	0.079	μ_{684} 499	107	0.129	μ_{677} 495	175	0.179	μ_{666} 003	247	0.229	μ_{652} 871	321
0.030	μ_{688} 070	41	0.080	μ_{684} 392	108	0.130	μ_{677} 320	177	0.180	μ_{666} 756	248	0.230	μ_{652} 550	322
0.031	μ_{688} 029	42	0.081	μ_{684} 284	109	0.131	μ_{677} 143	178	0.181	μ_{666} 505	249	0.231	μ_{652} 228	325
0.032	μ_{688} 987	43	0.082	μ_{684} 175	111	0.132	μ_{677} 965	179	0.182	μ_{666} 259	251	0.232	μ_{651} 903	325
0.033	μ_{688} 944	45	0.083	μ_{684} 064	112	0.133	μ_{677} 786	181	0.183	μ_{666} 008	252	0.233	μ_{651} 578	328
0.034	μ_{688} 899	46	0.084	μ_{683} 952	113	0.134	μ_{677} 605	182	0.184	μ_{665} 750	254	0.234	μ_{651} 250	328
0.035	μ_{688} 853	47	0.085	μ_{683} 839	115	0.135	μ_{677} 423	184	0.185	μ_{665} 502	255	0.235	μ_{650} 922	331
0.036	μ_{688} 806	49	0.086	μ_{683} 724	116	0.136	μ_{677} 239	185	0.186	μ_{665} 247	256	0.236	μ_{650} 591	332
0.037	μ_{688} 757	50	0.087	μ_{683} 608	118	0.137	μ_{677} 054	186	0.187	μ_{664} 991	258	0.237	μ_{650} 259	333
0.038	μ_{688} 707	51	0.088	μ_{683} 490	118	0.138	μ_{677} 868	188	0.188	μ_{664} 735	260	0.238	μ_{649} 926	335
0.039	μ_{688} 656	53	0.089	μ_{683} 372	121	0.139	μ_{677} 680	190	0.189	μ_{664} 473	261	0.239	μ_{649} 591	337
0.040	μ_{688} 603	54	0.090	μ_{683} 251	121	0.140	μ_{677} 490	190	0.190	μ_{664} 212	262	0.240	μ_{649} 254	338
0.041	μ_{688} 549	56	0.091	μ_{683} 130	123	0.141	μ_{677} 300	192	0.191	μ_{663} 950	264	0.241	μ_{648} 916	339
0.042	μ_{688} 493	56	0.092	μ_{683} 007	124	0.142	μ_{677} 108	194	0.192	μ_{663} 686	266	0.242	μ_{648} 577	342
0.043	μ_{688} 437	59	0.093	μ_{682} 883	126	0.143	μ_{677} 914	195	0.193	μ_{663} 420	269	0.243	μ_{648} 235	343
0.044	μ_{688} 378	59	0.094	μ_{682} 757	127	0.144	μ_{677} 719	196	0.194	μ_{663} 154	270	0.244	μ_{647} 892	344
0.045	μ_{688} 319	61	0.095	μ_{682} 630	128	0.145	μ_{677} 523	198	0.195	μ_{662} 885	270	0.245	μ_{647} 548	346
0.046	μ_{688} 258	62	0.096	μ_{682} 502	130	0.146	μ_{677} 325	199	0.196	μ_{662} 615	271	0.246	μ_{647} 202	347
0.047	μ_{688} 196	63	0.097	μ_{682} 372	131	0.147	μ_{677} 126	200	0.197	μ_{662} 344	273	0.247	μ_{646} 855	350
0.048	μ_{688} 133	65	0.098	μ_{682} 241	132	0.148	μ_{677} 926	202	0.198	μ_{662} 071	274	0.248	μ_{646} 505	350
0.049	μ_{688} 068	66	0.099	μ_{682} 109	134	0.149	μ_{677} 724	204	0.199	μ_{661} 797	276	0.249	μ_{646} 155	353
0.050	μ_{688} 002		0.100	μ_{681} 975		0.150	μ_{675} 520		0.200	μ_{661} 521		0.250	μ_{645} 802	

Tafel VII.

 $\log \{P_1^7(m)\}$.

$\pm m$	P	$+J$	$\pm m$	P	$+J$	$\pm m$	P	$+J$	$\pm m$	P	$+J$	$\pm m$	P	$+J$
0.000	5 _u 777 993		0.050	5 _u 784 225	248	0.100	5 _u 801 992	458	0.150	5 _u 828 803	607	0.200	5 _u 861 312	684
0.001	5 _u 777 995	2	0.051	5 _u 784 473	253	0.101	5 _u 802 450	461	0.151	5 _u 829 410	608	0.201	5 _u 861 996	684
0.002	5 _u 778 003	8	0.052	5 _u 784 726	258	0.102	5 _u 802 911	466	0.152	5 _u 830 018	611	0.202	5 _u 862 680	686
0.003	5 _u 778 015	12	0.053	5 _u 784 984	262	0.103	5 _u 803 377	468	0.153	5 _u 830 629	612	0.203	5 _u 863 366	686
0.004	5 _u 778 033	18	0.054	5 _u 785 246	267	0.104	5 _u 803 845	472	0.154	5 _u 831 241	615	0.204	5 _u 864 052	688
0.005	5 _u 778 056	23	0.055	5 _u 785 513	272	0.105	5 _u 804 317	476	0.155	5 _u 831 856	617	0.205	5 _u 864 740	688
0.006	5 _u 778 083	27	0.056	5 _u 785 785	276	0.106	5 _u 804 793	479	0.156	5 _u 832 473	620	0.206	5 _u 865 428	688
0.007	5 _u 778 116	33	0.057	5 _u 786 061	281	0.107	5 _u 805 272	483	0.157	5 _u 833 093	621	0.207	5 _u 866 116	690
0.008	5 _u 778 155	39	0.058	5 _u 786 342	285	0.108	5 _u 805 755	486	0.158	5 _u 833 714	623	0.208	5 _u 866 806	690
0.009	5 _u 778 197	42	0.059	5 _u 786 627	290	0.109	5 _u 806 241	490	0.159	5 _u 834 337	626	0.209	5 _u 867 496	690
		48												
0.010	5 _u 778 245		0.060	5 _u 786 917	294	0.110	5 _u 806 731	493	0.160	5 _u 834 963	627	0.210	5 _u 868 186	691
0.011	5 _u 778 298	53	0.061	5 _u 787 211	299	0.111	5 _u 807 224	496	0.161	5 _u 835 590	630	0.211	5 _u 868 877	692
0.012	5 _u 778 356	58	0.062	5 _u 787 510	303	0.112	5 _u 807 720	499	0.162	5 _u 836 220	631	0.212	5 _u 869 569	693
0.013	5 _u 778 419	63	0.063	5 _u 787 813	307	0.113	5 _u 808 219	503	0.163	5 _u 836 851	633	0.213	5 _u 870 262	693
0.014	5 _u 778 487	68	0.064	5 _u 788 120	312	0.114	5 _u 808 722	507	0.164	5 _u 837 484	635	0.214	5 _u 870 955	693
0.015	5 _u 778 560	73	0.065	5 _u 788 432	317	0.115	5 _u 809 229	509	0.165	5 _u 838 119	637	0.215	5 _u 871 648	694
0.016	5 _u 778 638	78	0.066	5 _u 788 749	321	0.116	5 _u 809 738	513	0.166	5 _u 838 756	639	0.216	5 _u 872 342	694
0.017	5 _u 778 721	83	0.067	5 _u 789 070	325	0.117	5 _u 810 251	516	0.167	5 _u 839 395	640	0.217	5 _u 873 036	695
0.018	5 _u 778 809	88	0.068	5 _u 789 395	330	0.118	5 _u 810 767	519	0.168	5 _u 840 035	643	0.218	5 _u 873 731	695
0.019	5 _u 778 903	94	0.069	5 _u 789 725	334	0.119	5 _u 811 286	522	0.169	5 _u 840 678	644	0.219	5 _u 874 426	695
		98												
0.020	5 _u 779 001		0.070	5 _u 790 059	338	0.120	5 _u 811 808	525	0.170	5 _u 841 322	645	0.220	5 _u 875 121	696
0.021	5 _u 779 104	103	0.071	5 _u 790 397	343	0.121	5 _u 812 333	529	0.171	5 _u 841 967	648	0.221	5 _u 875 817	696
0.022	5 _u 779 212	108	0.072	5 _u 790 740	346	0.122	5 _u 812 862	532	0.172	5 _u 842 615	649	0.222	5 _u 876 513	697
0.023	5 _u 779 325	113	0.073	5 _u 791 086	351	0.123	5 _u 813 394	534	0.173	5 _u 843 264	651	0.223	5 _u 877 210	697
0.024	5 _u 779 443	118	0.074	5 _u 791 437	355	0.124	5 _u 813 928	537	0.174	5 _u 843 915	652	0.224	5 _u 877 906	697
0.025	5 _u 779 566	123	0.075	5 _u 791 793	359	0.125	5 _u 814 465	541	0.175	5 _u 844 567	654	0.225	5 _u 878 603	697
0.026	5 _u 779 694	128	0.076	5 _u 792 152	364	0.126	5 _u 815 006	544	0.176	5 _u 845 221	655	0.226	5 _u 879 300	698
0.027	5 _u 779 827	133	0.077	5 _u 792 516	368	0.127	5 _u 815 550	546	0.177	5 _u 845 876	657	0.227	5 _u 879 998	697
0.028	5 _u 779 964	137	0.078	5 _u 792 884	372	0.128	5 _u 816 096	549	0.178	5 _u 846 533	659	0.228	5 _u 880 695	698
0.029	5 _u 780 107	143	0.079	5 _u 793 256	377	0.129	5 _u 816 645	553	0.179	5 _u 847 192	659	0.229	5 _u 881 393	698
		148												
0.030	5 _u 780 255		0.080	5 _u 793 633	380	0.130	5 _u 817 198	555	0.180	5 _u 847 851	662	0.230	5 _u 882 091	697
0.031	5 _u 780 407	152	0.081	5 _u 794 013	384	0.131	5 _u 817 753	558	0.181	5 _u 848 513	662	0.231	5 _u 882 788	698
0.032	5 _u 780 565	158	0.082	5 _u 794 397	389	0.132	5 _u 818 311	561	0.182	5 _u 849 175	665	0.232	5 _u 883 486	698
0.033	5 _u 780 727	162	0.083	5 _u 794 786	393	0.133	5 _u 818 872	563	0.183	5 _u 849 840	665	0.233	5 _u 884 184	698
0.034	5 _u 780 895	168	0.084	5 _u 795 179	396	0.134	5 _u 819 435	566	0.184	5 _u 850 505	667	0.234	5 _u 884 882	698
0.035	5 _u 781 067	172	0.085	5 _u 795 575	401	0.135	5 _u 820 001	569	0.185	5 _u 851 172	668	0.235	5 _u 885 580	698
0.036	5 _u 781 244	177	0.086	5 _u 795 976	404	0.136	5 _u 820 570	571	0.186	5 _u 851 840	669	0.236	5 _u 886 278	698
0.037	5 _u 781 425	181	0.087	5 _u 796 380	409	0.137	5 _u 821 141	575	0.187	5 _u 852 509	671	0.237	5 _u 886 976	697
0.038	5 _u 781 612	187	0.088	5 _u 796 789	412	0.138	5 _u 821 716	577	0.188	5 _u 853 180	671	0.238	5 _u 887 673	698
0.039	5 _u 781 804	192	0.089	5 _u 797 201	417	0.139	5 _u 822 293	579	0.189	5 _u 853 851	673	0.239	5 _u 888 371	698
		196												
0.040	5 _u 782 000		0.090	5 _u 797 618	420	0.140	5 _u 822 872	582	0.190	5 _u 854 524	674	0.240	5 _u 889 069	697
0.041	5 _u 782 201	201	0.091	5 _u 798 038	424	0.141	5 _u 823 454	585	0.191	5 _u 855 198	675	0.241	5 _u 889 766	697
0.042	5 _u 782 407	206	0.092	5 _u 798 462	428	0.142	5 _u 824 039	587	0.192	5 _u 855 873	677	0.242	5 _u 890 463	697
0.043	5 _u 782 617	210	0.093	5 _u 798 890	432	0.143	5 _u 824 626	589	0.193	5 _u 856 550	677	0.243	5 _u 891 160	697
0.044	5 _u 782 833	216	0.094	5 _u 799 322	436	0.144	5 _u 825 215	592	0.194	5 _u 857 227	678	0.244	5 _u 891 857	696
0.045	5 _u 783 053	220	0.095	5 _u 799 758	439	0.145	5 _u 825 807	595	0.195	5 _u 857 905	680	0.245	5 _u 892 553	696
0.046	5 _u 783 278	225	0.096	5 _u 800 197	443	0.146	5 _u 826 402	597	0.196	5 _u 858 585	680	0.246	5 _u 893 249	696
0.047	5 _u 783 508	230	0.097	5 _u 800 640	447	0.147	5 _u 826 999	599	0.197	5 _u 859 265	681	0.247	5 _u 893 945	695
0.048	5 _u 783 742	234	0.098	5 _u 801 087	451	0.148	5 _u 827 598	601	0.198	5 _u 859 946	682	0.248	5 _u 894 640	696
0.049	5 _u 783 981	239	0.099	5 _u 801 538	454	0.149	5 _u 828 199	604	0.199	5 _u 860 628	684	0.249	5 _u 895 336	694
0.050	5 _u 784 225	244	0.100	5 _u 801 992	458	0.150	5 _u 828 803	607	0.200	5 _u 861 312	684	0.250	5 _u 896 030	694

Tafel VII.

 $\log \{P_1^* m\}$.

$\pm m$	P	$-J$	$\pm m$	P	$-J$	$\pm m$	P	$-J$	$\pm m$	P	$-J$	$\pm m$	P	$-J$
0.000	7.028 618	1	0.050	7.026 920	68	0.100	7.021 806	137	0.150	7.013 210	208	0.200	7.001 021	282
0.001	7.028 617	2	0.051	7.026 852	70	0.101	7.021 669	139	0.151	7.013 002	210	0.201	7.000 739	283
0.002	7.028 615	3	0.052	7.026 782	72	0.102	7.021 530	141	0.152	7.012 792	211	0.202	7.000 456	284
0.003	7.028 612	5	0.053	7.026 710	74	0.103	7.021 389	143	0.153	7.012 581	212	0.203	7.000 172	286
0.004	7.028 607	6	0.054	7.026 638	75	0.104	7.021 248	145	0.154	7.012 369	214	0.204	6.999 886	288
0.005	7.028 601	7	0.055	7.026 563	77	0.105	7.021 105	147	0.155	7.012 155	215	0.205	6.999 598	289
0.006	7.028 594	9	0.056	7.026 488	79	0.106	7.020 960	149	0.156	7.011 940	217	0.206	6.999 309	290
0.007	7.028 585	10	0.057	7.026 411	80	0.107	7.020 814	147	0.157	7.011 723	218	0.207	6.999 019	292
0.008	7.028 575	12	0.058	7.026 333	81	0.108	7.020 667	149	0.158	7.011 505	220	0.208	6.998 727	294
0.009	7.028 565	13	0.059	7.026 253	82	0.109	7.020 518	150	0.159	7.011 285	221	0.209	6.998 433	295
0.010	7.028 550	14	0.060	7.026 172	84	0.110	7.020 368	151	0.160	7.011 064	222	0.210	6.998 138	297
0.011	7.028 536	16	0.061	7.026 090	85	0.111	7.020 217	153	0.161	7.010 842	224	0.211	6.997 841	298
0.012	7.028 520	19	0.062	7.026 006	86	0.112	7.020 064	154	0.162	7.010 618	226	0.212	6.997 543	299
0.013	7.028 504	16	0.063	7.025 921	88	0.113	7.019 910	156	0.163	7.010 392	227	0.213	6.997 244	301
0.014	7.028 485	19	0.064	7.025 835	89	0.114	7.019 754	157	0.164	7.010 165	228	0.214	6.996 943	303
0.015	7.028 466	21	0.065	7.025 747	91	0.115	7.019 597	159	0.165	7.009 937	230	0.215	6.996 640	304
0.016	7.028 445	23	0.066	7.025 658	92	0.116	7.019 438	162	0.166	7.009 707	231	0.216	6.996 336	306
0.017	7.028 422	24	0.067	7.025 567	93	0.117	7.019 279	162	0.167	7.009 476	233	0.217	6.996 030	307
0.018	7.028 398	25	0.068	7.025 475	95	0.118	7.019 117	164	0.168	7.009 243	234	0.218	6.995 723	309
0.019	7.028 373	26	0.069	7.025 382	96	0.119	7.018 955	166	0.169	7.009 009	235	0.219	6.995 414	310
0.020	7.028 347	28	0.070	7.025 287	97	0.120	7.018 791	166	0.170	7.008 774	238	0.220	6.995 104	312
0.021	7.028 319	29	0.071	7.025 191	99	0.121	7.018 625	167	0.171	7.008 536	238	0.221	6.994 792	314
0.022	7.028 290	31	0.072	7.025 094	100	0.122	7.018 458	168	0.172	7.008 298	240	0.222	6.994 478	315
0.023	7.028 259	32	0.073	7.024 995	102	0.123	7.018 290	170	0.173	7.008 058	242	0.223	6.994 163	316
0.024	7.028 227	33	0.074	7.024 895	103	0.124	7.018 120	171	0.174	7.007 816	242	0.224	6.993 847	318
0.025	7.028 194	35	0.075	7.024 793	104	0.125	7.017 949	172	0.175	7.007 574	245	0.225	6.993 529	320
0.026	7.028 159	36	0.076	7.024 690	106	0.126	7.017 777	174	0.176	7.007 329	246	0.226	6.993 209	321
0.027	7.028 123	37	0.077	7.024 586	107	0.127	7.017 603	176	0.177	7.007 083	247	0.227	6.992 888	322
0.028	7.028 086	39	0.078	7.024 480	107	0.128	7.017 427	176	0.178	7.006 836	249	0.228	6.992 566	325
0.029	7.028 047	40	0.079	7.024 373	108	0.129	7.017 251	179	0.179	7.006 587	250	0.229	6.992 241	325
0.030	7.028 007	41	0.080	7.024 265	110	0.130	7.017 072	179	0.180	7.006 337	252	0.230	6.991 916	328
0.031	7.027 966	43	0.081	7.024 155	111	0.131	7.016 893	181	0.181	7.006 085	253	0.231	6.991 588	329
0.032	7.027 923	44	0.082	7.024 044	113	0.132	7.016 712	183	0.182	7.005 832	255	0.232	6.991 259	330
0.033	7.027 879	45	0.083	7.023 931	114	0.133	7.016 529	184	0.183	7.005 577	256	0.233	6.990 929	332
0.034	7.027 834	47	0.084	7.023 817	115	0.134	7.016 345	185	0.184	7.005 321	257	0.234	6.990 597	333
0.035	7.027 787	48	0.085	7.023 702	117	0.135	7.016 160	187	0.185	7.005 064	260	0.235	6.990 264	336
0.036	7.027 739	50	0.086	7.023 585	118	0.136	7.015 973	188	0.186	7.004 804	260	0.236	6.989 928	336
0.037	7.027 689	51	0.087	7.023 467	119	0.137	7.015 785	189	0.187	7.004 544	262	0.237	6.989 592	338
0.038	7.027 638	52	0.088	7.023 348	121	0.138	7.015 596	191	0.188	7.004 282	264	0.238	6.989 254	340
0.039	7.027 586	54	0.089	7.023 227	122	0.139	7.015 405	193	0.189	7.004 018	265	0.239	6.988 914	342
0.040	7.027 532	55	0.090	7.023 105	124	0.140	7.015 212	193	0.190	7.003 753	266	0.240	6.988 572	342
0.041	7.027 477	56	0.091	7.022 981	125	0.141	7.015 019	196	0.191	7.003 487	268	0.241	6.988 230	345
0.042	7.027 421	58	0.092	7.022 856	126	0.142	7.014 823	196	0.192	7.003 219	270	0.242	6.987 885	346
0.043	7.027 363	59	0.093	7.022 730	128	0.143	7.014 627	198	0.193	7.002 949	271	0.243	6.987 539	348
0.044	7.027 304	61	0.094	7.022 602	129	0.144	7.014 430	200	0.194	7.002 678	272	0.244	6.987 191	349
0.045	7.027 243	62	0.095	7.022 473	131	0.145	7.014 229	201	0.195	7.002 406	274	0.245	6.986 842	351
0.046	7.027 181	63	0.096	7.022 342	132	0.146	7.014 028	202	0.196	7.002 132	276	0.246	6.986 491	352
0.047	7.027 118	64	0.097	7.022 210	133	0.147	7.013 826	204	0.197	7.001 856	277	0.247	6.986 139	354
0.048	7.027 054	66	0.098	7.022 077	135	0.148	7.013 622	205	0.198	7.001 579	278	0.248	6.985 785	356
0.049	7.026 988	68	0.099	7.021 942	136	0.149	7.013 417	207	0.199	7.001 301	280	0.249	6.985 429	357
0.050	7.026 920		0.100	7.021 804		0.150	7.013 210		0.200	7.001 021		0.250	6.985 072	

Tafel VII.

 $\log \{P_1^u(m)\}$.

$\pm m$	P	$+J$	$\pm m$	P	$+J$	$\pm m$	P	$+J$	$\pm m$	P	$+J$	$\pm m$	P	$+J$
0.000	5.023 962		0.050	5.029 981		0.100	5.047 150		0.150	5.073 082		0.200	5.104 555	
0.001	5.023 965	3	0.051	5.030 221	240	0.101	5.047 593	443	0.151	5.073 669	587	0.201	5.105 218	663
0.002	5.023 972	12	0.052	5.030 466	245	0.102	5.048 039	446	0.152	5.074 258	589	0.202	5.105 881	663
0.003	5.023 984	17	0.053	5.030 715	249	0.103	5.048 489	450	0.153	5.074 849	591	0.203	5.106 545	664
0.004	5.024 001	22	0.054	5.030 968	253	0.104	5.048 942	453	0.154	5.075 442	593	0.204	5.107 210	665
0.005	5.024 023	27	0.055	5.031 226	258	0.105	5.049 398	456	0.155	5.076 037	595	0.205	5.107 876	666
0.006	5.024 050	32	0.056	5.031 488	262	0.106	5.049 858	460	0.156	5.076 634	597	0.206	5.108 542	666
0.007	5.024 082	36	0.057	5.031 755	267	0.107	5.050 322	464	0.157	5.077 233	599	0.207	5.109 209	667
0.008	5.024 118	42	0.058	5.032 026	271	0.108	5.050 788	466	0.158	5.077 835	602	0.208	5.109 877	668
0.009	5.024 160	46	0.059	5.032 302	276	0.109	5.051 258	470	0.159	5.078 438	603	0.209	5.110 546	669
		46			276			474			605			669
0.010	5.024 206	51	0.060	5.032 581	285	0.110	5.051 732	476	0.160	5.079 043	607	0.210	5.111 215	669
0.011	5.024 257	56	0.061	5.032 866	288	0.111	5.052 208	480	0.161	5.079 650	610	0.211	5.111 884	670
0.012	5.024 313	61	0.062	5.033 154	293	0.112	5.052 688	483	0.162	5.080 260	611	0.212	5.112 554	671
0.013	5.024 374	66	0.063	5.033 447	297	0.113	5.053 171	486	0.163	5.080 871	613	0.213	5.113 225	671
0.014	5.024 440	70	0.064	5.033 744	302	0.114	5.053 657	490	0.164	5.081 484	614	0.214	5.113 896	672
0.015	5.024 510	76	0.065	5.034 046	306	0.115	5.054 147	493	0.165	5.082 098	617	0.215	5.114 568	672
0.016	5.024 586	80	0.066	5.034 352	310	0.116	5.054 640	495	0.166	5.082 715	618	0.216	5.115 240	673
0.017	5.024 666	85	0.067	5.034 662	314	0.117	5.055 135	499	0.167	5.083 333	620	0.217	5.115 913	673
0.018	5.024 751	90	0.068	5.034 976	319	0.118	5.055 634	502	0.168	5.083 953	622	0.218	5.116 586	673
0.019	5.024 841	95	0.069	5.035 295	322	0.119	5.056 136	505	0.169	5.084 575	623	0.219	5.117 259	674
0.020	5.024 936	99	0.070	5.035 617	327	0.120	5.056 641	508	0.170	5.085 198	625	0.220	5.117 933	674
0.021	5.025 035	105	0.071	5.035 944	331	0.121	5.057 149	512	0.171	5.085 823	627	0.221	5.118 607	675
0.022	5.025 140	109	0.072	5.036 275	335	0.122	5.057 661	514	0.172	5.086 450	629	0.222	5.119 282	675
0.023	5.025 249	114	0.073	5.036 610	340	0.123	5.058 175	517	0.173	5.087 079	630	0.223	5.119 957	675
0.024	5.025 363	118	0.074	5.036 950	343	0.124	5.058 692	520	0.174	5.087 709	631	0.224	5.120 632	675
0.025	5.025 481	124	0.075	5.037 293	347	0.125	5.059 212	522	0.175	5.088 340	633	0.225	5.121 307	675
0.026	5.025 605	128	0.076	5.037 640	352	0.126	5.059 734	526	0.176	5.088 973	635	0.226	5.121 982	676
0.027	5.025 733	133	0.077	5.037 992	356	0.127	5.060 260	529	0.177	5.089 608	636	0.227	5.122 658	676
0.028	5.025 866	138	0.078	5.038 348	359	0.128	5.060 789	531	0.178	5.090 244	637	0.228	5.123 334	676
0.029	5.026 004	143	0.079	5.038 707	364	0.129	5.061 320	534	0.179	5.090 881	639	0.229	5.124 010	676
0.030	5.026 147	147	0.080	5.039 071	367	0.130	5.061 854	537	0.180	5.091 520	640	0.230	5.124 686	676
0.031	5.026 294	152	0.081	5.039 438	372	0.131	5.062 391	540	0.181	5.092 160	642	0.231	5.125 362	676
0.032	5.026 446	157	0.082	5.039 810	375	0.132	5.062 931	542	0.182	5.092 802	643	0.232	5.126 038	677
0.033	5.026 603	162	0.083	5.040 185	380	0.133	5.063 473	545	0.183	5.093 445	645	0.233	5.126 715	676
0.034	5.026 765	166	0.084	5.040 565	383	0.134	5.064 018	548	0.184	5.094 090	645	0.234	5.127 391	676
0.035	5.026 931	171	0.085	5.040 948	387	0.135	5.064 566	550	0.185	5.094 735	647	0.235	5.128 067	677
0.036	5.027 102	175	0.086	5.041 335	391	0.136	5.065 116	553	0.186	5.095 382	648	0.236	5.128 744	676
0.037	5.027 277	181	0.087	5.041 726	395	0.137	5.065 669	556	0.187	5.096 030	650	0.237	5.129 420	676
0.038	5.027 458	185	0.088	5.042 121	399	0.138	5.066 225	558	0.188	5.096 680	650	0.238	5.130 096	676
0.039	5.027 643	189	0.089	5.042 520	402	0.139	5.066 783	560	0.189	5.097 330	652	0.239	5.130 772	676
0.040	5.027 832	194	0.090	5.042 922	407	0.140	5.067 343	564	0.190	5.097 982	652	0.240	5.131 448	676
0.041	5.028 026	199	0.091	5.043 329	410	0.141	5.067 907	565	0.191	5.098 634	654	0.241	5.132 124	676
0.042	5.028 225	204	0.092	5.043 739	413	0.142	5.068 472	568	0.192	5.099 288	655	0.242	5.132 800	675
0.043	5.028 429	208	0.093	5.044 152	418	0.143	5.069 040	571	0.193	5.099 943	656	0.243	5.133 475	675
0.044	5.028 637	213	0.094	5.044 570	421	0.144	5.069 611	572	0.194	5.100 599	657	0.244	5.134 150	675
0.045	5.028 850	217	0.095	5.044 991	424	0.145	5.070 183	576	0.195	5.101 256	658	0.245	5.134 825	675
0.046	5.029 067	222	0.096	5.045 415	429	0.146	5.070 759	577	0.196	5.101 914	659	0.246	5.135 500	674
0.047	5.029 289	226	0.097	5.045 844	432	0.147	5.071 336	580	0.197	5.102 573	660	0.247	5.136 174	674
0.048	5.029 515	231	0.098	5.046 276	435	0.148	5.071 916	582	0.198	5.103 233	661	0.248	5.136 848	674
0.049	5.029 746	235	0.099	5.046 711	439	0.149	5.072 498	584	0.199	5.103 894	661	0.249	5.137 522	673
0.050	5.029 981		0.100	5.047 150		0.150	5.073 082		0.200	5.104 555		0.250	5.138 195	

Tafel VII.

 $\log \{P_1^{10}(m)\}$

$\pm m$	P	\angle	$\pm m$	P	\angle	$\pm m$	P	\angle	$\pm m$	P	\angle	$\pm m$	P	\angle					
0.000	$b_{11}380$	801	1	0.050	$b_{11}379$	085	69	0.100	$b_{11}373$	918	139	0.150	$b_{11}365$	236	210	0.200	$b_{11}352$	932	284
0.001	$b_{11}380$	800	2	0.051	$b_{11}379$	016	71	0.101	$b_{11}373$	779	140	0.151	$b_{11}365$	026	211	0.201	$b_{11}352$	648	286
0.002	$b_{11}380$	798	3	0.052	$b_{11}378$	945	72	0.102	$b_{11}373$	639	142	0.152	$b_{11}364$	815	213	0.202	$b_{11}352$	362	287
0.003	$b_{11}380$	795	5	0.053	$b_{11}378$	873	74	0.103	$b_{11}373$	497	143	0.153	$b_{11}364$	602	215	0.203	$b_{11}352$	075	288
0.004	$b_{11}380$	790	6	0.054	$b_{11}378$	799	75	0.104	$b_{11}373$	354	145	0.154	$b_{11}364$	387	216	0.204	$b_{11}351$	787	290
0.005	$b_{11}380$	784	8	0.055	$b_{11}378$	724	76	0.105	$b_{11}373$	209	146	0.155	$b_{11}364$	171	217	0.205	$b_{11}351$	497	292
0.006	$b_{11}380$	776	9	0.056	$b_{11}378$	648	77	0.106	$b_{11}373$	063	147	0.156	$b_{11}363$	954	219	0.206	$b_{11}351$	205	293
0.007	$b_{11}380$	767	10	0.057	$b_{11}378$	571	80	0.107	$b_{11}372$	916	149	0.157	$b_{11}363$	735	220	0.207	$b_{11}350$	912	295
0.008	$b_{11}380$	757	12	0.058	$b_{11}378$	491	80	0.108	$b_{11}372$	767	150	0.158	$b_{11}363$	515	222	0.208	$b_{11}350$	617	296
0.009	$b_{11}380$	745	13	0.059	$b_{11}378$	411	82	0.109	$b_{11}372$	617	151	0.159	$b_{11}363$	293	223	0.209	$b_{11}350$	321	298
0.010	$b_{11}380$	732	14	0.060	$b_{11}378$	329	83	0.110	$b_{11}372$	466	153	0.160	$b_{11}363$	070	225	0.210	$b_{11}350$	023	299
0.011	$b_{11}380$	718	16	0.061	$b_{11}378$	246	85	0.111	$b_{11}372$	313	155	0.161	$b_{11}362$	845	226	0.211	$b_{11}349$	724	301
0.012	$b_{11}380$	702	17	0.062	$b_{11}378$	161	85	0.112	$b_{11}372$	158	155	0.162	$b_{11}362$	619	228	0.212	$b_{11}349$	423	302
0.013	$b_{11}380$	685	19	0.063	$b_{11}378$	076	88	0.113	$b_{11}372$	003	158	0.163	$b_{11}362$	391	229	0.213	$b_{11}349$	121	304
0.014	$b_{11}380$	666	20	0.064	$b_{11}377$	988	89	0.114	$b_{11}371$	845	158	0.164	$b_{11}362$	162	230	0.214	$b_{11}348$	817	305
0.015	$b_{11}380$	646	21	0.065	$b_{11}377$	899	90	0.115	$b_{11}371$	687	160	0.165	$b_{11}361$	932	232	0.215	$b_{11}348$	512	307
0.016	$b_{11}380$	625	22	0.066	$b_{11}377$	809	91	0.116	$b_{11}371$	527	162	0.166	$b_{11}361$	700	234	0.216	$b_{11}348$	205	309
0.017	$b_{11}380$	603	24	0.067	$b_{11}377$	718	93	0.117	$b_{11}371$	365	163	0.167	$b_{11}361$	466	235	0.217	$b_{11}347$	896	309
0.018	$b_{11}380$	579	26	0.068	$b_{11}377$	625	94	0.118	$b_{11}371$	202	164	0.168	$b_{11}361$	231	236	0.218	$b_{11}347$	587	312
0.019	$b_{11}380$	553	27	0.069	$b_{11}377$	531	96	0.119	$b_{11}371$	038	166	0.169	$b_{11}360$	995	238	0.219	$b_{11}347$	275	313
0.020	$b_{11}380$	526	28	0.070	$b_{11}377$	435	97	0.120	$b_{11}370$	872	167	0.170	$b_{11}360$	757	239	0.220	$b_{11}346$	962	315
0.021	$b_{11}380$	498	29	0.071	$b_{11}377$	338	98	0.121	$b_{11}370$	705	169	0.171	$b_{11}360$	518	241	0.221	$b_{11}346$	647	316
0.022	$b_{11}380$	469	31	0.072	$b_{11}377$	240	100	0.122	$b_{11}370$	539	170	0.172	$b_{11}360$	277	242	0.222	$b_{11}346$	331	317
0.023	$b_{11}380$	438	32	0.073	$b_{11}377$	140	101	0.123	$b_{11}370$	369	171	0.173	$b_{11}360$	035	244	0.223	$b_{11}346$	014	320
0.024	$b_{11}380$	406	34	0.074	$b_{11}377$	039	103	0.124	$b_{11}370$	195	173	0.174	$b_{11}359$	791	245	0.224	$b_{11}345$	694	320
0.025	$b_{11}380$	372	35	0.075	$b_{11}376$	936	104	0.125	$b_{11}370$	022	173	0.175	$b_{11}359$	546	247	0.225	$b_{11}345$	374	323
0.026	$b_{11}380$	337	36	0.076	$b_{11}376$	832	105	0.126	$b_{11}369$	848	176	0.176	$b_{11}359$	299	248	0.226	$b_{11}345$	051	324
0.027	$b_{11}380$	301	38	0.077	$b_{11}376$	727	107	0.127	$b_{11}369$	672	177	0.177	$b_{11}359$	051	250	0.227	$b_{11}344$	727	325
0.028	$b_{11}380$	263	39	0.078	$b_{11}376$	620	108	0.128	$b_{11}369$	495	178	0.178	$b_{11}358$	801	251	0.228	$b_{11}344$	402	327
0.029	$b_{11}380$	224	41	0.079	$b_{11}376$	512	110	0.129	$b_{11}369$	317	180	0.179	$b_{11}358$	550	253	0.229	$b_{11}344$	075	329
0.030	$b_{11}380$	183	41	0.080	$b_{11}376$	402	111	0.130	$b_{11}369$	137	182	0.180	$b_{11}358$	297	254	0.230	$b_{11}343$	746	330
0.031	$b_{11}380$	142	44	0.081	$b_{11}376$	291	112	0.131	$b_{11}368$	955	183	0.181	$b_{11}358$	043	255	0.231	$b_{11}343$	416	332
0.032	$b_{11}380$	096	44	0.082	$b_{11}376$	179	114	0.132	$b_{11}368$	772	184	0.182	$b_{11}357$	788	257	0.232	$b_{11}343$	084	333
0.033	$b_{11}380$	054	46	0.083	$b_{11}376$	065	115	0.133	$b_{11}368$	588	185	0.183	$b_{11}357$	531	259	0.233	$b_{11}342$	751	335
0.034	$b_{11}380$	008	48	0.084	$b_{11}375$	950	116	0.134	$b_{11}368$	403	188	0.184	$b_{11}357$	272	260	0.234	$b_{11}342$	416	336
0.035	$b_{11}379$	990	48	0.085	$b_{11}375$	834	118	0.135	$b_{11}368$	215	188	0.185	$b_{11}357$	012	261	0.235	$b_{11}342$	080	338
0.036	$b_{11}379$	912	50	0.086	$b_{11}375$	716	120	0.136	$b_{11}368$	027	190	0.186	$b_{11}356$	751	263	0.236	$b_{11}341$	742	340
0.037	$b_{11}379$	862	52	0.087	$b_{11}375$	596	120	0.137	$b_{11}367$	837	192	0.187	$b_{11}356$	488	265	0.237	$b_{11}341$	402	341
0.038	$b_{11}379$	810	53	0.088	$b_{11}375$	476	123	0.138	$b_{11}367$	645	192	0.188	$b_{11}356$	223	266	0.238	$b_{11}341$	061	343
0.039	$b_{11}379$	757	54	0.089	$b_{11}375$	353	123	0.139	$b_{11}367$	453	195	0.189	$b_{11}355$	957	267	0.239	$b_{11}340$	718	344
0.040	$b_{11}379$	703	55	0.090	$b_{11}375$	230	125	0.140	$b_{11}367$	258	195	0.190	$b_{11}355$	690	269	0.240	$b_{11}340$	374	346
0.041	$b_{11}379$	648	57	0.091	$b_{11}375$	105	126	0.141	$b_{11}367$	063	198	0.191	$b_{11}355$	421	271	0.241	$b_{11}340$	028	347
0.042	$b_{11}379$	591	59	0.092	$b_{11}374$	979	128	0.142	$b_{11}366$	865	198	0.192	$b_{11}355$	150	272	0.242	$b_{11}339$	681	349
0.043	$b_{11}379$	532	60	0.093	$b_{11}374$	851	129	0.143	$b_{11}366$	679	200	0.193	$b_{11}354$	878	273	0.243	$b_{11}339$	332	351
0.044	$b_{11}379$	472	61	0.094	$b_{11}374$	722	131	0.144	$b_{11}366$	487	202	0.194	$b_{11}354$	605	275	0.244	$b_{11}338$	981	352
0.045	$b_{11}379$	411	62	0.095	$b_{11}374$	592	132	0.145	$b_{11}366$	295	202	0.195	$b_{11}354$	330	277	0.245	$b_{11}338$	629	354
0.046	$b_{11}379$	349	64	0.096	$b_{11}374$	460	134	0.146	$b_{11}366$	095	205	0.196	$b_{11}354$	053	279	0.246	$b_{11}338$	275	355
0.047	$b_{11}379$	285	65	0.097	$b_{11}374$	326	134	0.147	$b_{11}365$	885	206	0.197	$b_{11}353$	775	280	0.247	$b_{11}337$	920	357
0.048	$b_{11}379$	220	67	0.098	$b_{11}374$	192	136	0.148	$b_{11}365$	682	207	0.198	$b_{11}353$	496	282	0.248	$b_{11}337$	563	358
0.049	$b_{11}379$	153	68	0.099	$b_{11}374$	050	138	0.149	$b_{11}365$	445	209	0.199	$b_{11}353$	214	282	0.249	$b_{11}337$	205	360
0.050	$b_{11}379$	085		1.000	$b_{11}373$	918		0.150	$b_{11}365$	236		0.200	$b_{11}352$	932		0.250	$b_{11}336$	845	

Tafel VIII.

log $\{Q_2^n(n)\}$.

vergl. pag. 56.

$\pm n$	Q	$+J$	$\pm n$	Q	$+J$	$\pm n$	Q	$+J$	$\pm n$	Q	$+J$	$\pm n$	Q	$+J$
0.000	8.920 819	2	0.050	8.927 285	259	0.100	8.946 125	494	0.150	8.975 815	690	0.200	9.014 240	842
0.001	8.920 821	8	0.051	8.927 544	264	0.101	8.946 619	498	0.151	8.976 505	694	0.201	9.015 082	845
0.002	8.920 829	13	0.052	8.927 808	269	0.102	8.947 117	502	0.152	8.977 199	698	0.202	9.015 927	847
0.003	8.920 842	19	0.053	8.928 077	274	0.103	8.947 619	507	0.153	8.977 897	700	0.203	9.016 774	849
0.004	8.920 861	23	0.054	8.928 351	280	0.104	8.948 126	511	0.154	8.978 597	705	0.204	9.017 623	852
0.005	8.920 884	29	0.055	8.928 631	284	0.105	8.948 637	515	0.155	8.979 302	707	0.205	9.018 475	855
0.006	8.920 913	33	0.056	8.928 915	288	0.106	8.949 152	520	0.156	8.980 009	712	0.206	9.019 330	857
0.007	8.920 946	40	0.057	8.929 203	294	0.107	8.949 672	524	0.157	8.980 721	714	0.207	9.020 187	859
0.008	8.920 986	44	0.058	8.929 497	299	0.108	8.950 196	528	0.158	8.981 435	718	0.208	9.021 046	862
0.009	8.921 030	49	0.059	8.929 796	304	0.109	8.950 724	533	0.159	8.982 153	721	0.209	9.021 908	864
0.010	8.921 079	55	0.060	8.930 100	308	0.110	8.951 257	536	0.160	8.982 874	725	0.210	9.022 772	867
0.011	8.921 134	60	0.061	8.930 408	314	0.111	8.951 793	541	0.161	8.983 599	727	0.211	9.023 639	869
0.012	8.921 194	65	0.062	8.930 722	318	0.112	8.952 334	545	0.162	8.984 326	731	0.212	9.024 508	871
0.013	8.921 259	70	0.063	8.931 040	323	0.113	8.952 879	549	0.163	8.985 057	735	0.213	9.025 379	874
0.014	8.921 329	76	0.064	8.931 363	328	0.114	8.953 428	553	0.164	8.985 792	737	0.214	9.026 253	876
0.015	8.921 405	80	0.065	8.931 691	333	0.115	8.953 981	557	0.165	8.986 529	741	0.215	9.027 129	878
0.016	8.921 485	86	0.066	8.932 024	337	0.116	8.954 538	562	0.166	8.987 270	744	0.216	9.028 007	881
0.017	8.921 571	91	0.067	8.932 361	343	0.117	8.955 100	565	0.167	8.988 014	747	0.217	9.028 888	883
0.018	8.921 662	96	0.068	8.932 704	347	0.118	8.955 665	570	0.168	8.988 761	750	0.218	9.029 771	885
0.019	8.921 758	102	0.069	8.933 051	352	0.119	8.956 235	574	0.169	8.989 511	754	0.219	9.030 656	887
0.020	8.921 860	106	0.070	8.933 403	357	0.120	8.956 809	577	0.170	8.990 265	757	0.220	9.031 543	890
0.021	8.921 966	112	0.071	8.933 760	361	0.121	8.957 386	582	0.171	8.991 022	759	0.221	9.032 433	892
0.022	8.922 078	117	0.072	8.934 121	367	0.122	8.957 968	586	0.172	8.991 781	763	0.222	9.033 325	894
0.023	8.922 195	122	0.073	8.934 488	371	0.123	8.958 554	589	0.173	8.992 544	766	0.223	9.034 219	896
0.024	8.922 317	127	0.074	8.934 859	375	0.124	8.959 143	594	0.174	8.993 310	769	0.224	9.035 115	898
0.025	8.922 444	133	0.075	8.935 234	381	0.125	8.959 737	597	0.175	8.994 079	772	0.225	9.036 013	901
0.026	8.922 577	137	0.076	8.935 615	385	0.126	8.960 334	602	0.176	8.994 851	775	0.226	9.036 914	902
0.027	8.922 714	143	0.077	8.936 000	390	0.127	8.960 936	605	0.177	8.995 626	778	0.227	9.037 816	905
0.028	8.922 857	148	0.078	8.936 390	394	0.128	8.961 541	610	0.178	8.996 404	781	0.228	9.038 721	907
0.029	8.923 005	153	0.079	8.936 784	400	0.129	8.962 151	613	0.179	8.997 185	784	0.229	9.039 628	908
0.030	8.923 158	158	0.080	8.937 184	403	0.130	8.962 764	617	0.180	8.997 969	787	0.230	9.040 536	911
0.031	8.923 316	163	0.081	8.937 587	409	0.131	8.963 381	621	0.181	8.998 756	789	0.231	9.041 447	913
0.032	8.923 479	168	0.082	8.937 996	413	0.132	8.964 002	625	0.182	8.999 545	793	0.232	9.042 360	915
0.033	8.923 647	174	0.083	8.938 409	418	0.133	8.964 627	628	0.183	9.000 338	796	0.233	9.043 275	917
0.034	8.923 821	178	0.084	8.938 827	422	0.134	8.965 255	632	0.184	9.001 134	798	0.234	9.044 192	919
0.035	8.923 999	184	0.085	8.939 249	427	0.135	8.965 887	637	0.185	9.001 932	801	0.235	9.045 111	921
0.036	8.924 183	189	0.086	8.939 676	431	0.136	8.966 524	639	0.186	9.002 733	804	0.236	9.046 032	923
0.037	8.924 372	193	0.087	8.940 107	436	0.137	8.967 163	644	0.187	9.003 537	807	0.237	9.046 955	925
0.038	8.924 565	199	0.088	8.940 543	441	0.138	8.967 807	647	0.188	9.004 344	810	0.238	9.047 880	926
0.039	8.924 764	204	0.089	8.940 984	445	0.139	8.968 454	651	0.189	9.005 154	813	0.239	9.048 806	929
0.040	8.924 968	209	0.090	8.941 429	449	0.140	8.969 105	655	0.190	9.005 967	815	0.240	9.049 735	930
0.041	8.925 177	214	0.091	8.941 878	454	0.141	8.969 760	658	0.191	9.006 782	818	0.241	9.050 665	933
0.042	8.925 391	219	0.092	8.942 332	459	0.142	8.970 418	662	0.192	9.007 600	821	0.242	9.051 598	934
0.043	8.925 610	224	0.093	8.942 791	463	0.143	8.971 080	666	0.193	9.008 421	823	0.243	9.052 532	936
0.044	8.925 834	230	0.094	8.943 254	467	0.144	8.971 746	669	0.194	9.009 244	826	0.244	9.053 468	938
0.045	8.926 064	234	0.095	8.943 721	472	0.145	8.972 415	673	0.195	9.010 070	829	0.245	9.054 406	939
0.046	8.926 298	239	0.096	8.944 193	476	0.146	8.973 088	676	0.196	9.010 899	831	0.246	9.055 345	942
0.047	8.926 537	244	0.097	8.944 669	481	0.147	8.973 764	680	0.197	9.011 730	835	0.247	9.056 287	943
0.048	8.926 781	250	0.098	8.945 150	485	0.148	8.974 444	684	0.198	9.012 565	836	0.248	9.057 230	945
0.049	8.927 031	254	0.099	8.945 635	490	0.149	8.975 128	687	0.199	9.013 401	839	0.249	9.058 175	947
0.050	8.927 285		0.100	8.946 125		0.150	8.975 815		0.200	9.014 240		0.250	9.059 121	

Tafel VIII.

 $\log \{Q_2^A(n)\}.$

$\pm n$	Q	$-J$	$\pm n$	Q	$-J$	$\pm n$	Q	$-J$	$\pm n$	Q	$-J$	$\pm n$	Q	$-J$
0.000	8 ₁₁ 920 819	1	0.050	8 ₁₁ 918 642	88	0.100	8 ₁₁ 912 045	178	0.150	8 ₁₁ 900 822	274	0.200	8 ₁₁ 884 607	379
0.001	8 ₁₁ 920 818	3	0.051	8 ₁₁ 918 554	90	0.101	8 ₁₁ 911 867	180	0.151	8 ₁₁ 900 548	276	0.201	8 ₁₁ 884 228	381
0.002	8 ₁₁ 920 815	4	0.052	8 ₁₁ 918 464	92	0.102	8 ₁₁ 911 687	182	0.152	8 ₁₁ 900 272	277	0.202	8 ₁₁ 883 847	383
0.003	8 ₁₁ 920 811	6	0.053	8 ₁₁ 918 372	93	0.103	8 ₁₁ 911 505	184	0.153	8 ₁₁ 899 995	280	0.203	8 ₁₁ 883 464	386
0.004	8 ₁₁ 920 805	8	0.054	8 ₁₁ 918 279	96	0.104	8 ₁₁ 911 321	186	0.154	8 ₁₁ 899 715	282	0.204	8 ₁₁ 883 078	388
0.005	8 ₁₁ 920 797	9	0.055	8 ₁₁ 918 183	97	0.105	8 ₁₁ 911 135	187	0.155	8 ₁₁ 899 433	284	0.205	8 ₁₁ 882 690	390
0.006	8 ₁₁ 920 788	12	0.056	8 ₁₁ 918 086	98	0.106	8 ₁₁ 910 948	189	0.156	8 ₁₁ 899 149	286	0.206	8 ₁₁ 882 300	392
0.007	8 ₁₁ 920 776	13	0.057	8 ₁₁ 917 988	101	0.107	8 ₁₁ 910 759	191	0.157	8 ₁₁ 898 863	288	0.207	8 ₁₁ 881 908	394
0.008	8 ₁₁ 920 763	15	0.058	8 ₁₁ 917 887	102	0.108	8 ₁₁ 910 568	194	0.158	8 ₁₁ 898 575	290	0.208	8 ₁₁ 881 514	397
0.009	8 ₁₁ 920 748		0.059	8 ₁₁ 917 785		0.109	8 ₁₁ 910 374		0.159	8 ₁₁ 898 285		0.209	8 ₁₁ 881 117	
		16			104			194			291			399
0.010	8 ₁₁ 920 732	18	0.060	8 ₁₁ 917 681	106	0.110	8 ₁₁ 910 180	197	0.160	8 ₁₁ 897 994	294	0.210	8 ₁₁ 880 718	401
0.011	8 ₁₁ 920 714	20	0.061	8 ₁₁ 917 575	108	0.111	8 ₁₁ 909 983	199	0.161	8 ₁₁ 897 700	296	0.211	8 ₁₁ 880 317	403
0.012	8 ₁₁ 920 694	22	0.062	8 ₁₁ 917 467	109	0.112	8 ₁₁ 909 784	200	0.162	8 ₁₁ 897 404	298	0.212	8 ₁₁ 879 914	406
0.013	8 ₁₁ 920 672	23	0.063	8 ₁₁ 917 358	112	0.113	8 ₁₁ 909 584	203	0.163	8 ₁₁ 897 106	301	0.213	8 ₁₁ 879 508	408
0.014	8 ₁₁ 920 649	26	0.064	8 ₁₁ 917 246	113	0.114	8 ₁₁ 909 381	204	0.164	8 ₁₁ 896 805	302	0.214	8 ₁₁ 879 100	411
0.015	8 ₁₁ 920 623	27	0.065	8 ₁₁ 917 133	114	0.115	8 ₁₁ 909 177	206	0.165	8 ₁₁ 896 503	304	0.215	8 ₁₁ 878 689	412
0.016	8 ₁₁ 920 596	28	0.066	8 ₁₁ 917 019	117	0.116	8 ₁₁ 908 971	208	0.166	8 ₁₁ 896 199	306	0.216	8 ₁₁ 878 277	415
0.017	8 ₁₁ 920 568	31	0.067	8 ₁₁ 916 902	118	0.117	8 ₁₁ 908 763	210	0.167	8 ₁₁ 895 893	308	0.217	8 ₁₁ 877 862	418
0.018	8 ₁₁ 920 537	32	0.068	8 ₁₁ 916 784	120	0.118	8 ₁₁ 908 553	212	0.168	8 ₁₁ 895 585	311	0.218	8 ₁₁ 877 444	419
0.019	8 ₁₁ 920 505		0.069	8 ₁₁ 916 664		0.119	8 ₁₁ 908 341		0.169	8 ₁₁ 895 274		0.219	8 ₁₁ 877 025	
		34			122			214			312			422
0.020	8 ₁₁ 920 471	35	0.070	8 ₁₁ 916 542	124	0.120	8 ₁₁ 908 127	215	0.170	8 ₁₁ 894 962	315	0.220	8 ₁₁ 876 603	425
0.021	8 ₁₁ 920 436	38	0.071	8 ₁₁ 916 418	125	0.121	8 ₁₁ 907 912	218	0.171	8 ₁₁ 894 647	316	0.221	8 ₁₁ 876 178	426
0.022	8 ₁₁ 920 398	39	0.072	8 ₁₁ 916 293	128	0.122	8 ₁₁ 907 694	219	0.172	8 ₁₁ 894 331	319	0.222	8 ₁₁ 875 752	429
0.023	8 ₁₁ 920 359	41	0.073	8 ₁₁ 916 165	129	0.123	8 ₁₁ 907 475	221	0.173	8 ₁₁ 894 012	320	0.223	8 ₁₁ 875 323	432
0.024	8 ₁₁ 920 318	42	0.074	8 ₁₁ 916 036	131	0.124	8 ₁₁ 907 254	223	0.174	8 ₁₁ 893 692	323	0.224	8 ₁₁ 874 891	433
0.025	8 ₁₁ 920 276	45	0.075	8 ₁₁ 915 905	132	0.125	8 ₁₁ 907 031	226	0.175	8 ₁₁ 893 369	325	0.225	8 ₁₁ 874 458	436
0.026	8 ₁₁ 920 231	46	0.076	8 ₁₁ 915 773	135	0.126	8 ₁₁ 906 805	227	0.176	8 ₁₁ 893 044	327	0.226	8 ₁₁ 874 022	439
0.027	8 ₁₁ 920 185	48	0.077	8 ₁₁ 915 638	136	0.127	8 ₁₁ 906 578	229	0.177	8 ₁₁ 892 717	329	0.227	8 ₁₁ 873 583	441
0.028	8 ₁₁ 920 137	49	0.078	8 ₁₁ 915 502	138	0.128	8 ₁₁ 906 349	230	0.178	8 ₁₁ 892 388	331	0.228	8 ₁₁ 873 142	443
0.029	8 ₁₁ 920 088		0.079	8 ₁₁ 915 364		0.129	8 ₁₁ 906 119		0.179	8 ₁₁ 892 057		0.229	8 ₁₁ 872 699	
		52			140			233			334			446
0.030	8 ₁₁ 920 036	53	0.080	8 ₁₁ 915 224	142	0.130	8 ₁₁ 905 886	235	0.180	8 ₁₁ 891 723	335	0.230	8 ₁₁ 872 253	448
0.031	8 ₁₁ 919 983	55	0.081	8 ₁₁ 915 082	143	0.131	8 ₁₁ 905 651	236	0.181	8 ₁₁ 891 388	338	0.231	8 ₁₁ 871 805	450
0.032	8 ₁₁ 919 928	56	0.082	8 ₁₁ 914 939	146	0.132	8 ₁₁ 905 415	239	0.182	8 ₁₁ 891 050	339	0.232	8 ₁₁ 871 355	453
0.033	8 ₁₁ 919 872	58	0.083	8 ₁₁ 914 793	147	0.133	8 ₁₁ 905 176	240	0.183	8 ₁₁ 890 711	342	0.233	8 ₁₁ 870 902	455
0.034	8 ₁₁ 919 814	61	0.084	8 ₁₁ 914 646	149	0.134	8 ₁₁ 904 936	243	0.184	8 ₁₁ 890 369	344	0.234	8 ₁₁ 870 447	458
0.035	8 ₁₁ 919 753	61	0.085	8 ₁₁ 914 497	150	0.135	8 ₁₁ 904 693	244	0.185	8 ₁₁ 890 025	346	0.235	8 ₁₁ 869 989	460
0.036	8 ₁₁ 919 692	64	0.086	8 ₁₁ 914 347	153	0.136	8 ₁₁ 904 449	247	0.186	8 ₁₁ 889 679	348	0.236	8 ₁₁ 869 529	463
0.037	8 ₁₁ 919 628	65	0.087	8 ₁₁ 914 194	154	0.137	8 ₁₁ 904 202	248	0.187	8 ₁₁ 889 331	351	0.237	8 ₁₁ 869 066	465
0.038	8 ₁₁ 919 563	67	0.088	8 ₁₁ 914 040	156	0.138	8 ₁₁ 903 954	250	0.188	8 ₁₁ 888 980	352	0.238	8 ₁₁ 868 601	467
0.039	8 ₁₁ 919 496		0.089	8 ₁₁ 913 884		0.139	8 ₁₁ 903 704		0.189	8 ₁₁ 888 628		0.239	8 ₁₁ 868 134	
		69			158			252			355			470
0.040	8 ₁₁ 919 427	71	0.090	8 ₁₁ 913 726	160	0.140	8 ₁₁ 903 452	254	0.190	8 ₁₁ 888 273	357	0.240	8 ₁₁ 867 664	473
0.041	8 ₁₁ 919 356	72	0.091	8 ₁₁ 913 566	162	0.141	8 ₁₁ 903 198	256	0.191	8 ₁₁ 887 916	359	0.241	8 ₁₁ 867 191	474
0.042	8 ₁₁ 919 284	74	0.092	8 ₁₁ 913 404	163	0.142	8 ₁₁ 902 942	258	0.192	8 ₁₁ 887 557	361	0.242	8 ₁₁ 866 717	478
0.043	8 ₁₁ 919 210	76	0.093	8 ₁₁ 913 241	166	0.143	8 ₁₁ 902 684	260	0.193	8 ₁₁ 887 196	363	0.243	8 ₁₁ 866 239	480
0.044	8 ₁₁ 919 134	78	0.094	8 ₁₁ 913 075	167	0.144	8 ₁₁ 902 424	262	0.194	8 ₁₁ 886 833	366	0.244	8 ₁₁ 865 759	482
0.045	8 ₁₁ 919 056	79	0.095	8 ₁₁ 912 908	169	0.145	8 ₁₁ 902 162	264	0.195	8 ₁₁ 886 467	367	0.245	8 ₁₁ 865 277	485
0.046	8 ₁₁ 918 977	81	0.096	8 ₁₁ 912 739	171	0.146	8 ₁₁ 901 898	266	0.196	8 ₁₁ 886 100	370	0.246	8 ₁₁ 864 792	488
0.047	8 ₁₁ 918 896	83	0.097	8 ₁₁ 912 568	172	0.147	8 ₁₁ 901 632	268	0.197	8 ₁₁ 885 730	372	0.247	8 ₁₁ 864 304	489
0.048	8 ₁₁ 918 813	85	0.098	8 ₁₁ 912 396	175	0.148	8 ₁₁ 901 364	270	0.198	8 ₁₁ 885 358	375	0.248	8 ₁₁ 863 815	493
0.049	8 ₁₁ 918 728	86	0.099	8 ₁₁ 912 221	176	0.149	8 ₁₁ 901 094	272	0.199	8 ₁₁ 884 983	376	0.249	8 ₁₁ 863 322	495
0.050	8 ₁₁ 918 642		0.100	8 ₁₁ 912 045		0.150	8 ₁₁ 900 822		0.200	8 ₁₁ 884 607		0.250	8 ₁₁ 862 827	

Tafel VIII.

 $\log \{Q_2^2(n)\}.$

$\pm n$	Q	$-J$	$\pm n$	Q	$-J$	$\pm n$	Q	$-J$	$\pm n$	Q	$-J$	$\pm n$	Q	$-J$
0.000	7 _n 619 789	0	0.050	7 _n 619 762	3	0.100	7 _n 619 354	17	0.150	7 _n 617 585	60	0.200	7 _n 612 784	142
0.001	7 _n 619 789	0	0.051	7 _n 619 759	2	0.101	7 _n 619 337	19	0.151	7 _n 617 525	61	0.201	7 _n 612 642	145
0.002	7 _n 619 789	0	0.052	7 _n 619 757	3	0.102	7 _n 619 318	18	0.152	7 _n 617 464	62	0.202	7 _n 612 497	147
0.003	7 _n 619 789	0	0.053	7 _n 619 754	2	0.103	7 _n 619 300	20	0.153	7 _n 617 402	63	0.203	7 _n 612 350	149
0.004	7 _n 619 789	0	0.054	7 _n 619 752	3	0.104	7 _n 619 280	19	0.154	7 _n 617 339	64	0.204	7 _n 612 201	151
0.005	7 _n 619 789	0	0.055	7 _n 619 749	3	0.105	7 _n 619 261	21	0.155	7 _n 617 275	65	0.205	7 _n 612 050	153
0.006	7 _n 619 789	0	0.056	7 _n 619 746	3	0.106	7 _n 619 240	21	0.156	7 _n 617 209	67	0.206	7 _n 611 897	156
0.007	7 _n 619 789	0	0.057	7 _n 619 743	3	0.107	7 _n 619 219	21	0.157	7 _n 617 142	68	0.207	7 _n 611 741	158
0.008	7 _n 619 789	0	0.058	7 _n 619 740	3	0.108	7 _n 619 198	21	0.158	7 _n 617 074	70	0.208	7 _n 611 583	161
0.009	7 _n 619 789	0	0.059	7 _n 619 736	4	0.109	7 _n 619 175	23	0.159	7 _n 617 004	70	0.209	7 _n 611 422	163
		0			3			22			71			163
0.010	7 _n 619 789	0	0.060	7 _n 619 733	4	0.110	7 _n 619 153	24	0.160	7 _n 616 933	72	0.210	7 _n 611 259	165
0.011	7 _n 619 789	0	0.061	7 _n 619 729	4	0.111	7 _n 619 129	24	0.161	7 _n 616 861	74	0.211	7 _n 611 094	168
0.012	7 _n 619 789	0	0.062	7 _n 619 725	4	0.112	7 _n 619 105	25	0.162	7 _n 616 787	75	0.212	7 _n 610 926	170
0.013	7 _n 619 789	0	0.063	7 _n 619 721	5	0.113	7 _n 619 080	25	0.163	7 _n 616 712	76	0.213	7 _n 610 756	172
0.014	7 _n 619 789	0	0.064	7 _n 619 716	5	0.114	7 _n 619 055	26	0.164	7 _n 616 636	78	0.214	7 _n 610 584	176
0.015	7 _n 619 789	1	0.065	7 _n 619 711	5	0.115	7 _n 619 029	27	0.165	7 _n 616 558	79	0.215	7 _n 610 408	177
0.016	7 _n 619 788	0	0.066	7 _n 619 706	5	0.116	7 _n 619 002	28	0.166	7 _n 616 479	81	0.216	7 _n 610 231	180
0.017	7 _n 619 788	0	0.067	7 _n 619 701	5	0.117	7 _n 618 974	28	0.167	7 _n 616 398	83	0.217	7 _n 610 051	183
0.018	7 _n 619 788	0	0.068	7 _n 619 696	6	0.118	7 _n 618 946	29	0.168	7 _n 616 315	83	0.218	7 _n 609 868	186
0.019	7 _n 619 788	0	0.069	7 _n 619 690	5	0.119	7 _n 618 917	30	0.169	7 _n 616 232	86	0.219	7 _n 609 682	188
		0			5			30			86			188
0.020	7 _n 619 788	0	0.070	7 _n 619 685	6	0.120	7 _n 618 887	30	0.170	7 _n 616 146	87	0.220	7 _n 609 494	191
0.021	7 _n 619 788	0	0.071	7 _n 619 678	6	0.121	7 _n 618 857	31	0.171	7 _n 616 059	88	0.221	7 _n 609 303	193
0.022	7 _n 619 788	0	0.072	7 _n 619 672	6	0.122	7 _n 618 826	32	0.172	7 _n 615 971	90	0.222	7 _n 609 110	196
0.023	7 _n 619 788	1	0.073	7 _n 619 666	7	0.123	7 _n 618 794	33	0.173	7 _n 615 881	91	0.223	7 _n 608 914	199
0.024	7 _n 619 787	0	0.074	7 _n 619 659	8	0.124	7 _n 618 761	34	0.174	7 _n 615 790	94	0.224	7 _n 608 715	202
0.025	7 _n 619 787	0	0.075	7 _n 619 651	8	0.125	7 _n 618 727	34	0.175	7 _n 615 696	94	0.225	7 _n 608 513	204
0.026	7 _n 619 787	1	0.076	7 _n 619 644	8	0.126	7 _n 618 693	35	0.176	7 _n 615 602	97	0.226	7 _n 608 309	208
0.027	7 _n 619 786	0	0.077	7 _n 619 636	8	0.127	7 _n 618 658	37	0.177	7 _n 615 505	98	0.227	7 _n 608 101	210
0.028	7 _n 619 786	0	0.078	7 _n 619 628	8	0.128	7 _n 618 621	36	0.178	7 _n 615 407	100	0.228	7 _n 607 891	213
0.029	7 _n 619 786	1	0.079	7 _n 619 620	9	0.129	7 _n 618 585	38	0.179	7 _n 615 307	101	0.229	7 _n 607 678	216
		1			9			38			101			216
0.030	7 _n 619 785	0	0.080	7 _n 619 611	9	0.130	7 _n 618 547	39	0.180	7 _n 615 206	104	0.230	7 _n 607 462	219
0.031	7 _n 619 785	1	0.081	7 _n 619 602	10	0.131	7 _n 618 508	40	0.181	7 _n 615 102	105	0.231	7 _n 607 243	222
0.032	7 _n 619 784	0	0.082	7 _n 619 592	9	0.132	7 _n 618 468	40	0.182	7 _n 614 997	106	0.232	7 _n 607 021	225
0.033	7 _n 619 784	1	0.083	7 _n 619 583	10	0.133	7 _n 618 428	42	0.183	7 _n 614 891	109	0.233	7 _n 606 796	227
0.034	7 _n 619 783	1	0.084	7 _n 619 573	11	0.134	7 _n 618 386	42	0.184	7 _n 614 782	110	0.234	7 _n 606 569	231
0.035	7 _n 619 782	1	0.085	7 _n 619 562	11	0.135	7 _n 618 344	43	0.185	7 _n 614 672	112	0.235	7 _n 606 338	235
0.036	7 _n 619 781	0	0.086	7 _n 619 551	11	0.136	7 _n 618 301	45	0.186	7 _n 614 560	115	0.236	7 _n 606 103	237
0.037	7 _n 619 781	1	0.087	7 _n 619 540	12	0.137	7 _n 618 256	45	0.187	7 _n 614 445	115	0.237	7 _n 605 866	240
0.038	7 _n 619 780	1	0.088	7 _n 619 528	12	0.138	7 _n 618 211	46	0.188	7 _n 614 330	118	0.238	7 _n 605 626	244
0.039	7 _n 619 779	1	0.089	7 _n 619 516	12	0.139	7 _n 618 165	48	0.189	7 _n 614 212	120	0.239	7 _n 605 382	246
		1			12			48			120			246
0.040	7 _n 619 778	2	0.090	7 _n 619 504	13	0.140	7 _n 618 117	48	0.190	7 _n 614 092	122	0.240	7 _n 605 136	250
0.041	7 _n 619 776	1	0.091	7 _n 619 491	13	0.141	7 _n 618 069	50	0.191	7 _n 613 970	123	0.241	7 _n 604 886	254
0.042	7 _n 619 775	1	0.092	7 _n 619 478	14	0.142	7 _n 618 019	50	0.192	7 _n 613 847	126	0.242	7 _n 604 632	256
0.043	7 _n 619 774	1	0.093	7 _n 619 464	14	0.143	7 _n 617 969	52	0.193	7 _n 613 721	128	0.243	7 _n 604 376	260
0.044	7 _n 619 773	2	0.094	7 _n 619 450	15	0.144	7 _n 617 917	52	0.194	7 _n 613 593	129	0.244	7 _n 604 116	264
0.045	7 _n 619 771	1	0.095	7 _n 619 435	15	0.145	7 _n 617 865	54	0.195	7 _n 613 464	132	0.245	7 _n 603 852	266
0.046	7 _n 619 769	2	0.096	7 _n 619 420	16	0.146	7 _n 617 811	55	0.196	7 _n 613 332	134	0.246	7 _n 603 586	271
0.047	7 _n 619 768	2	0.097	7 _n 619 404	16	0.147	7 _n 617 756	56	0.197	7 _n 613 198	136	0.247	7 _n 603 315	273
0.048	7 _n 619 766	2	0.098	7 _n 619 388	17	0.148	7 _n 617 700	57	0.198	7 _n 613 062	138	0.248	7 _n 603 042	277
0.049	7 _n 619 764	2	0.099	7 _n 619 371	17	0.149	7 _n 617 643	58	0.199	7 _n 612 924	140	0.249	7 _n 602 765	281
0.050	7 _n 619 762	2	0.100	7 _n 619 354	17	0.150	7 _n 617 585		0.200	7 _n 612 784		0.250	7 _n 602 484	

Tafel VIII.

$$\log \{Q_2^3(n)\}.$$

$\pm n$	Q	$-J$	$\pm n$	Q	$-J$	$\pm n$	Q	$-J$	$\pm n$	Q	$-J$	$\pm n$	Q	$-J$
0.000	8.184 060		0.050	8.182 083	80	0.100	8.176 115	160	0.150	8.166 045	244	0.200	8.151 676	333
0.001	8.184 059	1	0.051	8.182 003	81	0.101	8.175 955	163	0.151	8.165 801	247	0.201	8.151 343	335
0.002	8.184 057	2	0.052	8.181 922	84	0.102	8.175 792	164	0.152	8.165 554	247	0.202	8.151 008	336
0.003	8.184 053	4	0.053	8.181 838	84	0.103	8.175 628	165	0.153	8.165 307	250	0.203	8.150 672	339
0.004	8.184 048	5	0.054	8.181 754	87	0.104	8.175 463	167	0.154	8.165 057	251	0.204	8.150 333	340
0.005	8.184 040	8	0.055	8.181 667	88	0.105	8.175 296	169	0.155	8.164 806	253	0.205	8.149 993	343
0.006	8.184 032	8	0.056	8.181 579	89	0.106	8.175 127	171	0.156	8.164 553	255	0.206	8.149 650	344
0.007	8.184 021	11	0.057	8.181 490	92	0.107	8.174 956	172	0.157	8.164 298	257	0.207	8.149 306	346
0.008	8.184 010	11	0.058	8.181 398	92	0.108	8.174 784	174	0.158	8.164 041	258	0.208	8.148 960	348
0.009	8.183 996	14	0.059	8.181 306	95	0.109	8.174 610	175	0.159	8.163 783	260	0.209	8.148 612	349
		15			95			175			260			349
0.010	8.183 981		0.060	8.181 211	96	0.110	8.174 435	177	0.160	8.163 523	262	0.210	8.148 263	352
0.011	8.183 965	16	0.061	8.181 115	97	0.111	8.174 258	179	0.161	8.163 261	263	0.211	8.147 911	353
0.012	8.183 947	18	0.062	8.181 018	99	0.112	8.174 079	181	0.162	8.162 998	265	0.212	8.147 558	355
0.013	8.183 927	20	0.063	8.180 919	101	0.113	8.173 898	182	0.163	8.162 733	267	0.213	8.147 203	358
0.014	8.183 905	22	0.064	8.180 818	103	0.114	8.173 716	184	0.164	8.162 466	269	0.214	8.146 845	359
0.015	8.183 883	22	0.065	8.180 715	104	0.115	8.173 532	185	0.165	8.162 197	270	0.215	8.146 486	360
0.016	8.183 858	25	0.066	8.180 611	105	0.116	8.173 347	187	0.166	8.161 927	273	0.216	8.146 126	363
0.017	8.183 832	26	0.067	8.180 506	107	0.117	8.173 160	189	0.167	8.161 654	273	0.217	8.145 763	365
0.018	8.183 804	28	0.068	8.180 399	109	0.118	8.172 971	190	0.168	8.161 381	276	0.218	8.145 398	366
0.019	8.183 775	29	0.069	8.180 290	109	0.119	8.172 781	192	0.169	8.161 105	278	0.219	8.145 032	369
		31			111			192			278			369
0.020	8.183 744		0.070	8.180 179	112	0.120	8.172 589	194	0.170	8.160 827	279	0.220	8.144 663	370
0.021	8.183 712	32	0.071	8.180 067	113	0.121	8.172 395	196	0.171	8.160 548	281	0.221	8.144 293	372
0.022	8.183 678	34	0.072	8.179 954	115	0.122	8.172 199	197	0.172	8.160 267	283	0.222	8.143 921	374
0.023	8.183 642	36	0.073	8.179 839	117	0.123	8.172 002	198	0.173	8.159 984	284	0.223	8.143 547	377
0.024	8.183 605	37	0.074	8.179 722	119	0.124	8.171 804	201	0.174	8.159 700	286	0.224	8.143 170	377
0.025	8.183 567	38	0.075	8.179 603	120	0.125	8.171 603	202	0.175	8.159 414	288	0.225	8.142 793	380
0.026	8.183 526	41	0.076	8.179 483	121	0.126	8.171 401	204	0.176	8.159 126	290	0.226	8.142 413	382
0.027	8.183 484	42	0.077	8.179 362	124	0.127	8.171 197	205	0.177	8.158 836	292	0.227	8.142 031	384
0.028	8.183 441	43	0.078	8.179 238	125	0.128	8.170 992	207	0.178	8.158 544	293	0.228	8.141 647	385
0.029	8.183 396	45	0.079	8.179 113	126	0.129	8.170 785	209	0.179	8.158 251	295	0.229	8.141 262	388
		47			126			209			295			388
0.030	8.183 349		0.080	8.178 987	128	0.130	8.170 576	210	0.180	8.157 956	297	0.230	8.140 874	389
0.031	8.183 301	48	0.081	8.178 859	130	0.131	8.170 366	213	0.181	8.157 659	299	0.231	8.140 485	392
0.032	8.183 251	50	0.082	8.178 729	131	0.132	8.170 153	213	0.182	8.157 360	300	0.232	8.140 093	393
0.033	8.183 200	51	0.083	8.178 598	133	0.133	8.169 940	216	0.183	8.157 060	302	0.233	8.139 700	395
0.034	8.183 147	53	0.084	8.178 465	135	0.134	8.169 724	217	0.184	8.156 758	304	0.234	8.139 305	397
0.035	8.183 092	55	0.085	8.178 330	136	0.135	8.169 507	219	0.185	8.156 454	306	0.235	8.138 908	399
0.036	8.183 036	56	0.086	8.178 194	138	0.136	8.169 288	221	0.186	8.156 148	308	0.236	8.138 509	402
0.037	8.182 978	59	0.087	8.178 056	140	0.137	8.169 067	222	0.187	8.155 840	309	0.237	8.138 107	403
0.038	8.182 919	61	0.088	8.177 916	141	0.138	8.168 845	224	0.188	8.155 531	312	0.238	8.137 704	405
0.039	8.182 858	61	0.089	8.177 775	143	0.139	8.168 621	226	0.189	8.155 219	313	0.239	8.137 299	406
		62			143			226			313			406
0.040	8.182 796		0.090	8.177 632	144	0.140	8.168 395	227	0.190	8.154 906	315	0.240	8.136 893	409
0.041	8.182 732	64	0.091	8.177 488	146	0.141	8.168 168	229	0.191	8.154 591	316	0.241	8.136 484	411
0.042	8.182 666	66	0.092	8.177 342	148	0.142	8.167 939	231	0.192	8.154 275	319	0.242	8.136 073	413
0.043	8.182 599	67	0.093	8.177 194	149	0.143	8.167 708	232	0.193	8.153 956	320	0.243	8.135 660	415
0.044	8.182 530	69	0.094	8.177 045	151	0.144	8.167 476	234	0.194	8.153 636	322	0.244	8.135 245	417
0.045	8.182 459	71	0.095	8.176 894	152	0.145	8.167 242	236	0.195	8.153 314	324	0.245	8.134 828	418
0.046	8.182 387	73	0.096	8.176 742	154	0.146	8.167 006	238	0.196	8.152 990	326	0.246	8.134 410	421
0.047	8.182 314	76	0.097	8.176 588	156	0.147	8.166 768	239	0.197	8.152 664	327	0.247	8.133 989	423
0.048	8.182 238	76	0.098	8.176 432	157	0.148	8.166 529	241	0.198	8.152 337	330	0.248	8.133 566	424
0.049	8.182 162	79	0.099	8.176 275	157	0.149	8.166 288	243	0.199	8.152 007	331	0.249	8.133 142	427
0.050	8.182 083		0.100	8.176 115	160	0.150	8.166 045	243	0.200	8.151 676	333	0.250	8.132 715	427

Tafel VIII.

 $\log \{Q_2^4(n)\}.$

$\pm n$	Q	$-J$	$\pm n$	Q	$-J$	$\pm n$	Q	$-J$	$\pm n$	Q	$-J$	$\pm n$	Q	$-J$
0.000	6.709 750	0	0.050	6.709 732	2	0.100	6.709 457	12	0.150	6.708 271	39	0.200	6.705 093	93
0.001	6.709 750	0	0.051	6.709 730	1	0.101	6.709 445	12	0.151	6.708 232	41	0.201	6.705 000	95
0.002	6.709 750	0	0.052	6.709 729	2	0.102	6.709 433	13	0.152	6.708 191	41	0.202	6.704 905	97
0.003	6.709 750	0	0.053	6.709 727	2	0.103	6.709 420	13	0.153	6.708 150	42	0.203	6.704 808	98
0.004	6.709 750	0	0.054	6.709 725	2	0.104	6.709 407	13	0.154	6.708 108	43	0.204	6.704 710	99
0.005	6.709 750	0	0.055	6.709 723	2	0.105	6.709 394	14	0.155	6.708 065	44	0.205	6.704 611	101
0.006	6.709 750	0	0.056	6.709 721	2	0.106	6.709 380	14	0.156	6.708 021	44	0.206	6.704 510	102
0.007	6.709 750	0	0.057	6.709 719	2	0.107	6.709 366	15	0.157	6.707 977	46	0.207	6.704 408	104
0.008	6.709 750	0	0.058	6.709 717	3	0.108	6.709 351	14	0.158	6.707 931	46	0.208	6.704 304	105
0.009	6.709 750	0	0.059	6.709 714	2	0.109	6.709 337	16	0.159	6.707 885	47	0.209	6.704 199	106
0.010	6.709 750	0	0.060	6.709 712	3	0.110	6.709 321	16	0.160	6.707 838	49	0.210	6.704 093	109
0.011	6.709 750	0	0.061	6.709 709	3	0.111	6.709 305	16	0.161	6.707 789	49	0.211	6.703 984	110
0.012	6.709 750	0	0.062	6.709 706	2	0.112	6.709 289	16	0.162	6.707 740	50	0.212	6.703 874	111
0.013	6.709 750	0	0.063	6.709 704	3	0.113	6.709 273	18	0.163	6.707 690	50	0.213	6.703 763	113
0.014	6.709 750	0	0.064	6.709 701	3	0.114	6.709 255	17	0.164	6.707 640	52	0.214	6.703 650	114
0.015	6.709 750	0	0.065	6.709 698	4	0.115	6.709 238	18	0.165	6.707 588	53	0.215	6.703 536	117
0.016	6.709 750	0	0.066	6.709 694	3	0.116	6.709 220	19	0.166	6.707 535	54	0.216	6.703 419	117
0.017	6.709 750	0	0.067	6.709 691	4	0.117	6.709 201	19	0.167	6.707 481	54	0.217	6.703 302	120
0.018	6.709 750	0	0.068	6.709 687	4	0.118	6.709 182	19	0.168	6.707 427	56	0.218	6.703 182	121
0.019	6.709 750	1	0.069	6.709 683	4	0.119	6.709 163	20	0.169	6.707 371	57	0.219	6.703 061	123
0.020	6.709 749	0	0.070	6.709 679	4	0.120	6.709 143	21	0.170	6.707 314	57	0.220	6.702 938	124
0.021	6.709 749	0	0.071	6.709 675	4	0.121	6.709 122	20	0.171	6.707 257	59	0.221	6.702 814	126
0.022	6.709 749	0	0.072	6.709 671	4	0.122	6.709 102	22	0.172	6.707 198	60	0.222	6.702 688	128
0.023	6.709 749	0	0.073	6.709 667	5	0.123	6.709 080	22	0.173	6.707 138	60	0.223	6.702 560	130
0.024	6.709 749	0	0.074	6.709 662	5	0.124	6.709 058	22	0.174	6.707 078	62	0.224	6.702 430	131
0.025	6.709 749	0	0.075	6.709 657	5	0.125	6.709 036	24	0.175	6.707 016	63	0.225	6.702 299	133
0.026	6.709 749	1	0.076	6.709 652	5	0.126	6.709 012	23	0.176	6.706 953	64	0.226	6.702 166	135
0.027	6.709 748	0	0.077	6.709 647	6	0.127	6.708 989	24	0.177	6.706 889	65	0.227	6.702 031	137
0.028	6.709 748	0	0.078	6.709 641	5	0.128	6.708 965	25	0.178	6.706 824	66	0.228	6.701 894	138
0.029	6.709 748	0	0.079	6.709 636	6	0.129	6.708 940	25	0.179	6.706 758	67	0.229	6.701 756	140
0.030	6.709 748	1	0.080	6.709 630	6	0.130	6.708 915	26	0.180	6.706 691	68	0.230	6.701 616	143
0.031	6.709 747	0	0.081	6.709 624	6	0.131	6.708 889	27	0.181	6.706 623	70	0.231	6.701 473	144
0.032	6.709 747	0	0.082	6.709 617	6	0.132	6.708 862	27	0.182	6.706 553	71	0.232	6.701 329	146
0.033	6.709 746	0	0.083	6.709 611	7	0.133	6.708 835	28	0.183	6.706 482	71	0.233	6.701 183	147
0.034	6.709 746	1	0.084	6.709 604	7	0.134	6.708 807	28	0.184	6.706 411	73	0.234	6.701 036	150
0.035	6.709 745	0	0.085	6.709 597	8	0.135	6.708 779	29	0.185	6.706 338	75	0.235	6.700 886	152
0.036	6.709 745	1	0.086	6.709 589	7	0.136	6.708 750	30	0.186	6.706 263	75	0.236	6.700 734	153
0.037	6.709 744	0	0.087	6.709 582	8	0.137	6.708 720	30	0.187	6.706 188	76	0.237	6.700 581	156
0.038	6.709 744	1	0.088	6.709 574	8	0.138	6.708 690	31	0.188	6.706 112	78	0.238	6.700 425	158
0.039	6.709 743	1	0.089	6.709 566	8	0.139	6.708 659	32	0.189	6.706 034	79	0.239	6.700 267	159
0.040	6.709 742	0	0.090	6.709 558	9	0.140	6.708 627	32	0.190	6.705 955	81	0.240	6.700 108	162
0.041	6.709 742	1	0.091	6.709 549	9	0.141	6.708 595	33	0.191	6.705 874	81	0.241	6.699 946	163
0.042	6.709 741	1	0.092	6.709 540	9	0.142	6.708 562	34	0.192	6.705 793	83	0.242	6.699 783	166
0.043	6.709 740	1	0.093	6.709 531	10	0.143	6.708 528	34	0.193	6.705 710	84	0.243	6.699 617	168
0.044	6.709 739	1	0.094	6.709 521	10	0.144	6.708 494	36	0.194	6.705 626	85	0.244	6.699 449	170
0.045	6.709 738	1	0.095	6.709 511	10	0.145	6.708 458	35	0.195	6.705 541	87	0.245	6.699 279	172
0.046	6.709 737	1	0.096	6.709 501	11	0.146	6.708 423	37	0.196	6.705 454	88	0.246	6.699 107	174
0.047	6.709 736	2	0.097	6.709 490	10	0.147	6.708 386	37	0.197	6.705 366	90	0.247	6.698 933	176
0.048	6.709 734	1	0.098	6.709 480	12	0.148	6.708 349	39	0.198	6.705 276	91	0.248	6.698 757	178
0.049	6.709 733	1	0.099	6.709 468	11	0.149	6.708 310	39	0.199	6.705 185	92	0.249	6.698 579	181
0.050	6.709 732	1	0.100	6.709 457	11	0.150	6.708 271	39	0.200	6.705 093	92	0.250	6.698 398	181

Tafel VIII.

 $\log \{Q_2^5 n\}$.

$\pm n$	Q	$-J$	$\pm n$	Q	$-J$	$\pm n$	Q	$-J$	$\pm n$	Q	$-J$	$\pm n$	Q	$-J$
0.000	7 _n 499 422	1	0.050	7 _n 497 509	77	0.100	7 _n 491 743	155	0.150	7 _n 482 033	235	0.200	7 _n 468 224	319
0.001	7 _n 499 421	2	0.051	7 _n 497 432	79	0.101	7 _n 491 588	157	0.151	7 _n 481 798	237	0.201	7 _n 467 905	321
0.002	7 _n 499 419	3	0.052	7 _n 497 353	80	0.102	7 _n 491 431	158	0.152	7 _n 481 561	239	0.202	7 _n 467 584	323
0.003	7 _n 499 415	4	0.053	7 _n 497 273	82	0.103	7 _n 491 273	160	0.153	7 _n 481 322	240	0.203	7 _n 467 261	325
0.004	7 _n 499 409	5	0.054	7 _n 497 191	84	0.104	7 _n 491 113	162	0.154	7 _n 481 082	242	0.204	7 _n 466 936	326
0.005	7 _n 499 403	6	0.055	7 _n 497 107	85	0.105	7 _n 490 951	163	0.155	7 _n 480 840	244	0.205	7 _n 466 610	328
0.006	7 _n 499 394	7	0.056	7 _n 497 022	87	0.106	7 _n 490 788	164	0.156	7 _n 480 596	245	0.206	7 _n 466 282	330
0.007	7 _n 499 384	8	0.057	7 _n 496 935	88	0.107	7 _n 490 624	165	0.157	7 _n 480 351	247	0.207	7 _n 465 952	332
0.008	7 _n 499 373	9	0.058	7 _n 496 847	89	0.108	7 _n 490 457	167	0.158	7 _n 480 104	248	0.208	7 _n 465 620	333
0.009	7 _n 499 360	10	0.059	7 _n 496 758	92	0.109	7 _n 490 290	170	0.159	7 _n 479 856	251	0.209	7 _n 465 287	335
		15												
0.010	7 _n 499 345	16	0.060	7 _n 496 666	93	0.110	7 _n 490 120	171	0.160	7 _n 479 605	251	0.210	7 _n 464 952	337
0.011	7 _n 499 329	17	0.061	7 _n 496 573	94	0.111	7 _n 489 949	172	0.161	7 _n 479 354	254	0.211	7 _n 464 615	339
0.012	7 _n 499 312	18	0.062	7 _n 496 479	96	0.112	7 _n 489 777	174	0.162	7 _n 479 100	255	0.212	7 _n 464 276	340
0.013	7 _n 499 293	19	0.063	7 _n 496 383	97	0.113	7 _n 489 603	176	0.163	7 _n 478 845	257	0.213	7 _n 463 936	342
0.014	7 _n 499 272	20	0.064	7 _n 496 286	99	0.114	7 _n 489 427	177	0.164	7 _n 478 588	258	0.214	7 _n 463 594	344
0.015	7 _n 499 250	21	0.065	7 _n 496 187	101	0.115	7 _n 489 250	179	0.165	7 _n 478 330	260	0.215	7 _n 463 250	346
0.016	7 _n 499 226	22	0.066	7 _n 496 086	102	0.116	7 _n 489 071	181	0.166	7 _n 478 070	262	0.216	7 _n 462 904	347
0.017	7 _n 499 201	23	0.067	7 _n 495 984	103	0.117	7 _n 488 890	182	0.167	7 _n 477 808	264	0.217	7 _n 462 557	349
0.018	7 _n 499 174	24	0.068	7 _n 495 881	106	0.118	7 _n 488 708	183	0.168	7 _n 477 544	265	0.218	7 _n 462 208	351
0.019	7 _n 499 146	28	0.069	7 _n 495 775	106	0.119	7 _n 488 525	186	0.169	7 _n 477 279	267	0.219	7 _n 461 857	353
		30												
0.020	7 _n 499 116	31	0.070	7 _n 495 666	109	0.120	7 _n 488 339	187	0.170	7 _n 477 012	268	0.220	7 _n 461 504	354
0.021	7 _n 499 085	32	0.071	7 _n 495 560	109	0.121	7 _n 488 152	188	0.171	7 _n 476 744	270	0.221	7 _n 461 150	357
0.022	7 _n 499 052	33	0.072	7 _n 495 451	112	0.122	7 _n 487 964	190	0.172	7 _n 476 474	272	0.222	7 _n 460 793	357
0.023	7 _n 499 019	35	0.073	7 _n 495 339	113	0.123	7 _n 487 774	192	0.173	7 _n 476 202	273	0.223	7 _n 460 436	360
0.024	7 _n 498 981	36	0.074	7 _n 495 226	114	0.124	7 _n 487 582	193	0.174	7 _n 475 929	275	0.224	7 _n 460 076	362
0.025	7 _n 498 944	37	0.075	7 _n 495 112	116	0.125	7 _n 487 389	195	0.175	7 _n 475 654	277	0.225	7 _n 459 714	363
0.026	7 _n 498 905	39	0.076	7 _n 494 996	118	0.126	7 _n 487 194	197	0.176	7 _n 475 377	279	0.226	7 _n 459 351	366
0.027	7 _n 498 864	41	0.077	7 _n 494 878	119	0.127	7 _n 486 997	198	0.177	7 _n 475 098	280	0.227	7 _n 458 985	367
0.028	7 _n 498 822	42	0.078	7 _n 494 759	121	0.128	7 _n 486 799	199	0.178	7 _n 474 818	282	0.228	7 _n 458 618	368
0.029	7 _n 498 779	43	0.079	7 _n 494 638	122	0.129	7 _n 486 600	202	0.179	7 _n 474 536	283	0.229	7 _n 458 250	371
		45												
0.030	7 _n 498 734	47	0.080	7 _n 494 516	124	0.130	7 _n 486 398	202	0.180	7 _n 474 253	286	0.230	7 _n 457 879	372
0.031	7 _n 498 687	48	0.081	7 _n 494 392	125	0.131	7 _n 486 196	205	0.181	7 _n 473 967	287	0.231	7 _n 457 507	375
0.032	7 _n 498 639	50	0.082	7 _n 494 267	127	0.132	7 _n 485 991	206	0.182	7 _n 473 680	288	0.232	7 _n 457 132	375
0.033	7 _n 498 589	51	0.083	7 _n 494 140	128	0.133	7 _n 485 785	208	0.183	7 _n 473 392	290	0.233	7 _n 456 757	378
0.034	7 _n 498 538	53	0.084	7 _n 494 012	131	0.134	7 _n 485 577	209	0.184	7 _n 473 102	292	0.234	7 _n 456 379	380
0.035	7 _n 498 485	54	0.085	7 _n 493 881	131	0.135	7 _n 485 368	211	0.185	7 _n 472 810	294	0.235	7 _n 455 999	381
0.036	7 _n 498 431	56	0.086	7 _n 493 750	133	0.136	7 _n 485 157	213	0.186	7 _n 472 516	296	0.236	7 _n 455 618	384
0.037	7 _n 498 375	57	0.087	7 _n 493 617	135	0.137	7 _n 484 944	214	0.187	7 _n 472 220	297	0.237	7 _n 455 234	385
0.038	7 _n 498 318	59	0.088	7 _n 493 482	136	0.138	7 _n 484 730	216	0.188	7 _n 471 923	299	0.238	7 _n 454 849	387
0.039	7 _n 498 259	61	0.089	7 _n 493 346	138	0.139	7 _n 484 514	217	0.189	7 _n 471 624	300	0.239	7 _n 454 462	388
		63												
0.040	7 _n 498 198	62	0.090	7 _n 493 208	140	0.140	7 _n 484 297	219	0.190	7 _n 471 324	302	0.240	7 _n 454 074	391
0.041	7 _n 498 136	63	0.091	7 _n 493 068	141	0.141	7 _n 484 078	221	0.191	7 _n 471 022	304	0.241	7 _n 453 683	392
0.042	7 _n 498 073	65	0.092	7 _n 492 927	142	0.142	7 _n 483 857	222	0.192	7 _n 470 718	306	0.242	7 _n 453 291	394
0.043	7 _n 498 008	66	0.093	7 _n 492 785	144	0.143	7 _n 483 635	224	0.193	7 _n 470 412	307	0.243	7 _n 452 897	397
0.044	7 _n 497 941	68	0.094	7 _n 492 641	146	0.144	7 _n 483 411	226	0.194	7 _n 470 105	309	0.244	7 _n 452 500	397
0.045	7 _n 497 873	70	0.095	7 _n 492 495	147	0.145	7 _n 483 185	227	0.195	7 _n 469 796	311	0.245	7 _n 452 103	400
0.046	7 _n 497 803	71	0.096	7 _n 492 348	149	0.146	7 _n 482 958	229	0.196	7 _n 469 485	313	0.246	7 _n 451 703	402
0.047	7 _n 497 732	73	0.097	7 _n 492 199	151	0.147	7 _n 482 729	230	0.197	7 _n 469 172	314	0.247	7 _n 451 301	403
0.048	7 _n 497 659	74	0.098	7 _n 492 048	152	0.148	7 _n 482 499	232	0.198	7 _n 468 858	316	0.248	7 _n 450 898	405
0.049	7 _n 497 585	76	0.099	7 _n 491 896	153	0.149	7 _n 482 267	234	0.199	7 _n 468 542	318	0.249	7 _n 450 493	408
0.050	7 _n 497 509		0.100	7 _n 491 743		0.150	7 _n 482 033		0.200	7 _n 468 224		0.250	7 _n 450 085	

Tafel VIII.

 $\log \{Q_2^{6/n}\}.$

$\pm n$	Q	$-J$	$\pm n$	Q	$-J$	$\pm n$	Q	$-J$	$\pm n$	Q	$-J$	$\pm n$	Q	$-J$
0.000	5 _n 901 135	0	0.050	5 _n 901 119	1	0.100	5 _n 900 884	11	0.150	5 _n 899 869	34	0.200	5 _n 897 158	80
0.001	5 _n 901 135	0	0.051	5 _n 901 118	2	0.101	5 _n 900 883	10	0.151	5 _n 899 835	34	0.201	5 _n 897 078	81
0.002	5 _n 901 135	0	0.052	5 _n 901 116	1	0.102	5 _n 900 863	11	0.152	5 _n 899 801	36	0.202	5 _n 896 997	82
0.003	5 _n 901 135	0	0.053	5 _n 901 115	2	0.103	5 _n 900 852	11	0.153	5 _n 899 765	36	0.203	5 _n 896 915	83
0.004	5 _n 901 135	0	0.054	5 _n 901 113	1	0.104	5 _n 900 841	11	0.154	5 _n 899 729	36	0.204	5 _n 896 832	85
0.005	5 _n 901 135	0	0.055	5 _n 901 112	2	0.105	5 _n 900 830	12	0.155	5 _n 899 693	38	0.205	5 _n 896 747	85
0.006	5 _n 901 135	0	0.056	5 _n 901 110	2	0.106	5 _n 900 818	12	0.156	5 _n 899 655	38	0.206	5 _n 896 662	87
0.007	5 _n 901 135	0	0.057	5 _n 901 108	2	0.107	5 _n 900 806	13	0.157	5 _n 899 617	39	0.207	5 _n 896 575	89
0.008	5 _n 901 135	0	0.058	5 _n 901 106	2	0.108	5 _n 900 793	13	0.158	5 _n 899 578	39	0.208	5 _n 896 486	89
0.009	5 _n 901 135	0	0.059	5 _n 901 104	2	0.109	5 _n 900 780	13	0.159	5 _n 899 539	41	0.209	5 _n 896 397	91
		0			2			13			41			91
0.010	5 _n 901 135	0	0.060	5 _n 901 102	2	0.110	5 _n 900 767	13	0.160	5 _n 899 498	41	0.210	5 _n 896 306	92
0.011	5 _n 901 135	0	0.061	5 _n 901 100	2	0.111	5 _n 900 754	14	0.161	5 _n 899 457	42	0.211	5 _n 896 214	94
0.012	5 _n 901 135	0	0.062	5 _n 901 098	3	0.112	5 _n 900 740	14	0.162	5 _n 899 415	42	0.212	5 _n 896 120	94
0.013	5 _n 901 135	0	0.063	5 _n 901 095	2	0.113	5 _n 900 727	15	0.163	5 _n 899 373	44	0.213	5 _n 896 026	96
0.014	5 _n 901 135	0	0.064	5 _n 901 093	3	0.114	5 _n 900 711	15	0.164	5 _n 899 329	44	0.214	5 _n 895 930	98
0.015	5 _n 901 135	0	0.065	5 _n 901 090	3	0.115	5 _n 900 696	15	0.165	5 _n 899 285	45	0.215	5 _n 895 832	99
0.016	5 _n 901 135	0	0.066	5 _n 901 087	3	0.116	5 _n 900 681	16	0.166	5 _n 899 240	46	0.216	5 _n 895 733	100
0.017	5 _n 901 135	0	0.067	5 _n 901 084	3	0.117	5 _n 900 665	16	0.167	5 _n 899 194	46	0.217	5 _n 895 633	101
0.018	5 _n 901 135	0	0.068	5 _n 901 081	3	0.118	5 _n 900 649	17	0.168	5 _n 899 148	48	0.218	5 _n 895 532	103
0.019	5 _n 901 135	0	0.069	5 _n 901 078	4	0.119	5 _n 900 632	17	0.169	5 _n 899 100	48	0.219	5 _n 895 429	105
		0			4			17			48			105
0.020	5 _n 901 135	1	0.070	5 _n 901 074	3	0.120	5 _n 900 615	18	0.170	5 _n 899 052	49	0.220	5 _n 895 324	105
0.021	5 _n 901 134	1	0.071	5 _n 901 071	4	0.121	5 _n 900 597	18	0.171	5 _n 899 003	51	0.221	5 _n 895 219	108
0.022	5 _n 901 134	0	0.072	5 _n 901 067	4	0.122	5 _n 900 579	18	0.172	5 _n 898 952	51	0.222	5 _n 895 111	108
0.023	5 _n 901 134	0	0.073	5 _n 901 063	4	0.123	5 _n 900 561	19	0.173	5 _n 898 901	51	0.223	5 _n 895 003	110
0.024	5 _n 901 134	0	0.074	5 _n 901 059	4	0.124	5 _n 900 542	19	0.174	5 _n 898 850	53	0.224	5 _n 894 895	112
0.025	5 _n 901 134	0	0.075	5 _n 901 055	4	0.125	5 _n 900 523	20	0.175	5 _n 898 797	54	0.225	5 _n 894 781	113
0.026	5 _n 901 134	0	0.076	5 _n 901 051	5	0.126	5 _n 900 503	20	0.176	5 _n 898 743	54	0.226	5 _n 894 668	115
0.027	5 _n 901 134	1	0.077	5 _n 901 046	4	0.127	5 _n 900 483	21	0.177	5 _n 898 689	56	0.227	5 _n 894 553	116
0.028	5 _n 901 133	0	0.078	5 _n 901 042	5	0.128	5 _n 900 462	21	0.178	5 _n 898 633	56	0.228	5 _n 894 437	117
0.029	5 _n 901 133	0	0.079	5 _n 901 037	5	0.129	5 _n 900 441	22	0.179	5 _n 898 577	57	0.229	5 _n 894 320	119
		0			5			22			57			119
0.030	5 _n 901 133	0	0.080	5 _n 901 032	5	0.130	5 _n 900 419	22	0.180	5 _n 898 520	59	0.230	5 _n 894 201	121
0.031	5 _n 901 133	1	0.081	5 _n 901 027	6	0.131	5 _n 900 397	23	0.181	5 _n 898 461	59	0.231	5 _n 894 080	122
0.032	5 _n 901 132	1	0.082	5 _n 901 021	5	0.132	5 _n 900 374	23	0.182	5 _n 898 402	60	0.232	5 _n 893 958	124
0.033	5 _n 901 132	1	0.083	5 _n 901 016	6	0.133	5 _n 900 351	24	0.183	5 _n 898 342	61	0.233	5 _n 893 834	126
0.034	5 _n 901 131	0	0.084	5 _n 901 010	6	0.134	5 _n 900 327	24	0.184	5 _n 898 281	63	0.234	5 _n 893 708	127
0.035	5 _n 901 131	0	0.085	5 _n 901 004	6	0.135	5 _n 900 303	25	0.185	5 _n 898 218	63	0.235	5 _n 893 581	128
0.036	5 _n 901 131	1	0.086	5 _n 900 997	6	0.136	5 _n 900 278	25	0.186	5 _n 898 155	64	0.236	5 _n 893 453	131
0.037	5 _n 901 130	0	0.087	5 _n 900 991	6	0.137	5 _n 900 253	26	0.187	5 _n 898 091	66	0.237	5 _n 893 322	132
0.038	5 _n 901 130	1	0.088	5 _n 900 984	6	0.138	5 _n 900 227	26	0.188	5 _n 898 025	66	0.238	5 _n 893 190	133
0.039	5 _n 901 129	1	0.089	5 _n 900 977	6	0.139	5 _n 900 201	26	0.189	5 _n 897 959	67	0.239	5 _n 893 057	136
		1			6			26			67			136
0.040	5 _n 901 128	0	0.090	5 _n 900 970	8	0.140	5 _n 900 173	27	0.190	5 _n 897 892	69	0.240	5 _n 892 921	137
0.041	5 _n 901 128	1	0.091	5 _n 900 962	8	0.141	5 _n 900 146	28	0.191	5 _n 897 823	69	0.241	5 _n 892 784	138
0.042	5 _n 901 127	1	0.092	5 _n 900 955	8	0.142	5 _n 900 118	29	0.192	5 _n 897 754	71	0.242	5 _n 892 646	141
0.043	5 _n 901 126	1	0.093	5 _n 900 947	8	0.143	5 _n 900 089	30	0.193	5 _n 897 683	71	0.243	5 _n 892 505	142
0.044	5 _n 901 125	0	0.094	5 _n 900 939	9	0.144	5 _n 900 059	30	0.194	5 _n 897 612	73	0.244	5 _n 892 363	144
0.045	5 _n 901 125	1	0.095	5 _n 900 930	9	0.145	5 _n 900 029	31	0.195	5 _n 897 539	74	0.245	5 _n 892 219	146
0.046	5 _n 901 124	1	0.096	5 _n 900 921	9	0.146	5 _n 899 998	31	0.196	5 _n 897 465	75	0.246	5 _n 892 073	147
0.047	5 _n 901 123	2	0.097	5 _n 900 912	9	0.147	5 _n 899 967	32	0.197	5 _n 897 390	76	0.247	5 _n 891 926	149
0.048	5 _n 901 121	1	0.098	5 _n 900 903	10	0.148	5 _n 899 935	32	0.198	5 _n 897 314	78	0.248	5 _n 891 777	152
0.049	5 _n 901 120	1	0.099	5 _n 900 893	9	0.149	5 _n 899 903	34	0.199	5 _n 897 236	78	0.249	5 _n 891 625	153
0.050	5 _n 901 119	1	0.100	5 _n 900 884	9	0.150	5 _n 899 869	34	0.200	5 _n 897 158		0.250	5 _n 891 472	

Tafel VIII.

 $\log \{Q_2^2 n\}$.

$\pm n$	Q	$-J$	$\pm n$	Q	$-J$	$\pm n$	Q	$-J$	$\pm n$	Q	$-J$	$\pm n$	Q	$-J$
0.000	6.837 656		0.050	6.835 775	-6	0.100	6.830 107	152	0.150	6.820 573	231	0.200	6.807 035	313
0.001	6.837 655	1	0.051	6.835 699	-8	0.101	6.829 955	154	0.151	6.820 342	232	0.201	6.806 722	315
0.002	6.837 653	2	0.052	6.835 621	-9	0.102	6.829 801	156	0.152	6.820 110	235	0.202	6.806 407	316
0.003	6.837 649	4	0.053	6.835 542	-80	0.103	6.829 645	157	0.153	6.819 875	235	0.203	6.806 091	318
0.004	6.837 644	5	0.054	6.835 462	82	0.104	6.829 488	158	0.154	6.819 640	238	0.204	6.805 773	320
0.005	6.837 637	8	0.055	6.835 380	84	0.105	6.829 330	160	0.155	6.819 402	239	0.205	6.805 453	321
0.006	6.837 629	10	0.056	6.835 296	85	0.106	6.829 170	162	0.156	6.819 163	240	0.206	6.805 132	323
0.007	6.837 619	11	0.057	6.835 211	87	0.107	6.829 008	163	0.157	6.818 923	242	0.207	6.804 809	325
0.008	6.837 608	13	0.058	6.835 124	88	0.108	6.828 845	165	0.158	6.818 681	244	0.208	6.804 484	326
0.009	6.837 595	15	0.059	6.835 036	90	0.109	6.828 680	167	0.159	6.818 437	246	0.209	6.804 158	328
0.010	6.837 580	15	0.060	6.834 946	91	0.110	6.828 513	168	0.160	6.818 191	247	0.210	6.803 830	330
0.011	6.837 565	18	0.061	6.834 855	93	0.111	6.828 345	169	0.161	6.817 944	248	0.211	6.803 500	331
0.012	6.837 547	18	0.062	6.834 762	94	0.112	6.828 176	171	0.162	6.817 696	251	0.212	6.803 169	334
0.013	6.837 529	21	0.063	6.834 668	96	0.113	6.828 005	173	0.163	6.817 445	251	0.213	6.802 835	335
0.014	6.837 508	21	0.064	6.834 572	97	0.114	6.827 832	174	0.164	6.817 194	254	0.214	6.802 500	336
0.015	6.837 487	24	0.065	6.834 475	99	0.115	6.827 658	176	0.165	6.816 940	255	0.215	6.802 164	339
0.016	6.837 463	25	0.066	6.834 376	100	0.116	6.827 482	177	0.166	6.816 685	257	0.216	6.801 825	340
0.017	6.837 438	26	0.067	6.834 276	102	0.117	6.827 305	179	0.167	6.816 428	258	0.217	6.801 485	341
0.018	6.837 412	28	0.068	6.834 174	104	0.118	6.827 126	180	0.168	6.816 170	260	0.218	6.801 144	344
0.019	6.837 384	29	0.069	6.834 070	104	0.119	6.826 946	182	0.169	6.815 910	262	0.219	6.800 800	345
0.020	6.837 355	31	0.070	6.833 966	107	0.120	6.826 764	183	0.170	6.815 648	263	0.220	6.800 455	347
0.021	6.837 324	32	0.071	6.833 859	108	0.121	6.826 581	186	0.171	6.815 385	265	0.221	6.800 108	349
0.022	6.837 292	34	0.072	6.833 751	109	0.122	6.826 395	186	0.172	6.815 120	266	0.222	6.799 759	350
0.023	6.837 258	35	0.073	6.833 642	111	0.123	6.826 209	188	0.173	6.814 854	269	0.223	6.799 409	352
0.024	6.837 223	37	0.074	6.833 531	113	0.124	6.826 021	190	0.174	6.814 585	269	0.224	6.799 057	354
0.025	6.837 186	38	0.075	6.833 418	114	0.125	6.825 831	192	0.175	6.814 316	272	0.225	6.798 703	356
0.026	6.837 148	40	0.076	6.833 304	115	0.126	6.825 639	193	0.176	6.814 044	273	0.226	6.798 347	357
0.027	6.837 108	42	0.077	6.833 189	118	0.127	6.825 446	194	0.177	6.813 771	275	0.227	6.797 990	359
0.028	6.837 066	43	0.078	6.833 071	118	0.128	6.825 252	196	0.178	6.813 496	276	0.228	6.797 631	361
0.029	6.837 023	44	0.079	6.832 953	120	0.129	6.825 056	198	0.179	6.813 220	278	0.229	6.797 270	362
0.030	6.836 979	46	0.080	6.832 833	122	0.130	6.824 858	199	0.180	6.812 942	280	0.230	6.796 908	365
0.031	6.836 933	47	0.081	6.832 711	123	0.131	6.824 659	201	0.181	6.812 662	281	0.231	6.796 543	366
0.032	6.836 886	49	0.082	6.832 588	125	0.132	6.824 458	202	0.182	6.812 381	283	0.232	6.796 177	367
0.033	6.836 837	51	0.083	6.832 463	126	0.133	6.824 256	204	0.183	6.812 098	284	0.233	6.795 810	370
0.034	6.836 786	51	0.084	6.832 337	128	0.134	6.824 052	206	0.184	6.811 814	287	0.234	6.795 440	371
0.035	6.836 735	54	0.085	6.832 209	129	0.135	6.823 846	207	0.185	6.811 527	287	0.235	6.795 069	373
0.036	6.836 681	55	0.086	6.832 080	131	0.136	6.823 639	208	0.186	6.811 240	290	0.236	6.794 696	375
0.037	6.836 626	56	0.087	6.831 949	133	0.137	6.823 431	211	0.187	6.810 950	291	0.237	6.794 321	377
0.038	6.836 570	58	0.088	6.831 816	134	0.138	6.823 220	211	0.188	6.810 659	293	0.238	6.793 944	378
0.039	6.836 512	60	0.089	6.831 682	135	0.139	6.823 009	214	0.189	6.810 366	295	0.239	6.793 566	380
0.040	6.836 452	60	0.090	6.831 547	137	0.140	6.822 795	215	0.190	6.810 071	296	0.240	6.793 186	382
0.041	6.836 392	63	0.091	6.831 410	139	0.141	6.822 580	217	0.191	6.809 775	298	0.241	6.792 804	383
0.042	6.836 329	64	0.092	6.831 271	140	0.142	6.822 363	218	0.192	6.809 477	299	0.242	6.792 421	386
0.043	6.836 265	65	0.093	6.831 131	141	0.143	6.822 145	220	0.193	6.809 178	301	0.243	6.792 035	387
0.044	6.836 200	67	0.094	6.830 990	144	0.144	6.821 925	221	0.194	6.808 877	303	0.244	6.791 648	389
0.045	6.836 133	69	0.095	6.830 846	144	0.145	6.821 704	223	0.195	6.808 574	304	0.245	6.791 259	391
0.046	6.836 064	70	0.096	6.830 702	147	0.146	6.821 481	225	0.196	6.808 270	307	0.246	6.790 868	392
0.047	6.835 994	71	0.097	6.830 555	147	0.147	6.821 256	226	0.197	6.807 963	307	0.247	6.790 476	394
0.048	6.835 923	73	0.098	6.830 408	150	0.148	6.821 030	227	0.198	6.807 656	310	0.248	6.790 082	397
0.049	6.835 850	75	0.099	6.830 258	151	0.149	6.820 803	230	0.199	6.807 346	311	0.249	6.789 685	397
0.050	6.835 775		0.100	6.830 107		0.150	6.820 573	230	0.200	6.807 035		0.250	6.789 288	

Tafel VIII.

 $\log \{Q_2^s n\}$

$\pm n$	Q	$-J$	$\pm n$	Q	$-J$	$\pm n$	Q	$-J$	$\pm n$	Q	$-J$	$\pm n$	Q	$-J$
0.000	5.142 942	0	0.050	5.142 927	1	0.100	5.142 710	9	0.150	5.141 777	31	0.200	5.139 287	73
0.001	5.142 942	0	0.051	5.142 926	1	0.101	5.142 701	10	0.151	5.141 746	32	0.201	5.139 214	75
0.002	5.142 942	0	0.052	5.142 925	2	0.102	5.142 691	10	0.152	5.141 714	32	0.202	5.139 139	75
0.003	5.142 942	0	0.053	5.142 923	1	0.103	5.142 681	10	0.153	5.141 682	33	0.203	5.139 064	76
0.004	5.142 942	0	0.054	5.142 922	2	0.104	5.142 671	10	0.154	5.141 649	33	0.204	5.138 988	78
0.005	5.142 942	0	0.055	5.142 920	1	0.105	5.142 661	11	0.155	5.141 615	34	0.205	5.138 910	79
0.006	5.142 942	0	0.056	5.142 919	2	0.106	5.142 650	11	0.156	5.141 581	35	0.206	5.138 831	79
0.007	5.142 942	0	0.057	5.142 917	2	0.107	5.142 639	12	0.157	5.141 546	35	0.207	5.138 752	81
0.008	5.142 942	0	0.058	5.142 915	1	0.108	5.142 627	12	0.158	5.141 510	36	0.208	5.138 671	83
0.009	5.142 942	0	0.059	5.142 914	2	0.109	5.142 615	12	0.159	5.141 474	36	0.209	5.138 588	83
		0			2			12			38			83
0.010	5.142 942	0	0.060	5.142 912	3	0.110	5.142 603	12	0.160	5.141 436	37	0.210	5.138 505	84
0.011	5.142 942	0	0.061	5.142 909	2	0.111	5.142 591	13	0.161	5.141 399	39	0.211	5.138 421	86
0.012	5.142 942	0	0.062	5.142 907	2	0.112	5.142 578	13	0.162	5.141 360	39	0.212	5.138 335	87
0.013	5.142 942	0	0.063	5.142 905	2	0.113	5.142 565	13	0.163	5.141 321	39	0.213	5.138 248	88
0.014	5.142 942	0	0.064	5.142 903	3	0.114	5.142 551	13	0.164	5.141 281	41	0.214	5.138 160	90
0.015	5.142 942	0	0.065	5.142 900	2	0.115	5.142 538	15	0.165	5.141 240	41	0.215	5.138 070	90
0.016	5.142 941	1	0.066	5.142 898	3	0.116	5.142 523	15	0.166	5.141 199	42	0.216	5.137 980	92
0.017	5.142 941	0	0.067	5.142 895	3	0.117	5.142 509	15	0.167	5.141 157	43	0.217	5.137 888	93
0.018	5.142 941	0	0.068	5.142 892	3	0.118	5.142 494	15	0.168	5.141 114	43	0.218	5.137 795	95
0.019	5.142 941	0	0.069	5.142 889	3	0.119	5.142 479	16	0.169	5.141 070	44	0.219	5.137 700	95
		0			3			16			44			95
0.020	5.142 941	0	0.070	5.142 886	3	0.120	5.142 463	16	0.170	5.141 026	45	0.220	5.137 605	97
0.021	5.142 941	0	0.071	5.142 883	4	0.121	5.142 447	17	0.171	5.140 981	46	0.221	5.137 508	97
0.022	5.142 941	0	0.072	5.142 879	4	0.122	5.142 430	17	0.172	5.140 935	47	0.222	5.137 409	99
0.023	5.142 941	0	0.073	5.142 876	4	0.123	5.142 413	17	0.173	5.140 888	48	0.223	5.137 310	101
0.024	5.142 941	0	0.074	5.142 872	4	0.124	5.142 396	18	0.174	5.140 840	48	0.224	5.137 209	101
0.025	5.142 941	0	0.075	5.142 868	4	0.125	5.142 378	18	0.175	5.140 792	49	0.225	5.137 107	102
0.026	5.142 941	1	0.076	5.142 864	4	0.126	5.142 360	18	0.176	5.140 743	51	0.226	5.137 003	105
0.027	5.142 940	0	0.077	5.142 860	4	0.127	5.142 342	19	0.177	5.140 692	50	0.227	5.136 898	107
0.028	5.142 940	0	0.078	5.142 856	5	0.128	5.142 323	20	0.178	5.140 642	52	0.228	5.136 791	107
0.029	5.142 940	0	0.079	5.142 851	4	0.129	5.142 303	20	0.179	5.140 590	53	0.229	5.136 684	110
		0			4			20			53			110
0.030	5.142 940	1	0.080	5.142 847	5	0.130	5.142 283	20	0.180	5.140 537	54	0.230	5.136 574	110
0.031	5.142 939	0	0.081	5.142 842	5	0.131	5.142 263	21	0.181	5.140 483	54	0.231	5.136 464	112
0.032	5.142 939	0	0.082	5.142 837	5	0.132	5.142 242	22	0.182	5.140 429	55	0.232	5.136 352	114
0.033	5.142 939	0	0.083	5.142 832	6	0.133	5.142 220	21	0.183	5.140 374	56	0.233	5.136 238	115
0.034	5.142 939	1	0.084	5.142 826	5	0.134	5.142 199	23	0.184	5.140 318	58	0.234	5.136 123	116
0.035	5.142 938	0	0.085	5.142 821	6	0.135	5.142 176	22	0.185	5.140 260	58	0.235	5.136 007	118
0.036	5.142 938	1	0.086	5.142 815	6	0.136	5.142 154	24	0.186	5.140 202	59	0.236	5.135 889	120
0.037	5.142 937	0	0.087	5.142 809	6	0.137	5.142 130	24	0.187	5.140 143	60	0.237	5.135 769	121
0.038	5.142 937	1	0.088	5.142 803	7	0.138	5.142 106	24	0.188	5.140 083	61	0.238	5.135 648	122
0.039	5.142 936	0	0.089	5.142 796	6	0.139	5.142 082	25	0.189	5.140 022	61	0.239	5.135 526	124
		0			6			25			61			124
0.040	5.142 936	1	0.090	5.142 790	7	0.140	5.142 057	25	0.190	5.139 961	63	0.240	5.135 402	125
0.041	5.142 935	1	0.091	5.142 783	8	0.141	5.142 032	26	0.191	5.139 898	64	0.241	5.135 277	127
0.042	5.142 934	0	0.092	5.142 776	8	0.142	5.142 006	27	0.192	5.139 834	65	0.242	5.135 150	129
0.043	5.142 934	1	0.093	5.142 768	7	0.143	5.141 979	27	0.193	5.139 769	66	0.243	5.135 021	130
0.044	5.142 933	1	0.094	5.142 761	8	0.144	5.141 952	28	0.194	5.139 703	67	0.244	5.134 891	132
0.045	5.142 932	1	0.095	5.142 753	8	0.145	5.141 924	28	0.195	5.139 636	67	0.245	5.134 759	134
0.046	5.142 931	1	0.096	5.142 745	8	0.146	5.141 896	29	0.196	5.139 569	69	0.246	5.134 625	135
0.047	5.142 930	1	0.097	5.142 737	9	0.147	5.141 867	29	0.197	5.139 500	70	0.247	5.134 490	136
0.048	5.142 929	1	0.098	5.142 728	9	0.148	5.141 838	30	0.198	5.139 430	71	0.248	5.134 354	139
0.049	5.142 928	1	0.099	5.142 719	9	0.149	5.141 808	31	0.199	5.139 359	72	0.249	5.134 215	140
0.050	5.142 927	1	0.100	5.142 710	9	0.150	5.141 777	31	0.200	5.139 287	72	0.250	5.134 075	140

Tafel VIII.

$$\log \{Q_2^n(n)\}$$

$\pm n$	Q	$-J$	$\pm n$	Q	$-J$	$\pm n$	Q	$-J$	$\pm n$	Q	$-J$	$\pm n$	Q	$-J$
0.000	6 _n 188 807		0.050	6 _n 186 945	75	0.100	6 _n 181 336	151	0.150	6 _n 171 906	229	0.200	6 _n 158 526	309
0.001	6 _n 188 806	1	0.051	6 _n 186 870	77	0.101	6 _n 181 185	152	0.151	6 _n 171 677	230	0.201	6 _n 158 217	310
0.002	6 _n 188 804	2	0.052	6 _n 186 793	78	0.102	6 _n 181 033	154	0.152	6 _n 171 447	231	0.202	6 _n 157 907	313
0.003	6 _n 188 800	4	0.053	6 _n 186 715	80	0.103	6 _n 180 879	157	0.153	6 _n 171 216	233	0.203	6 _n 157 594	314
0.004	6 _n 188 795	5	0.054	6 _n 186 635	81	0.104	6 _n 180 724	157	0.154	6 _n 170 983	235	0.204	6 _n 157 280	316
0.005	6 _n 188 788	7	0.055	6 _n 186 554	83	0.105	6 _n 180 567	159	0.155	6 _n 170 748	239	0.205	6 _n 156 964	317
0.006	6 _n 188 780	8	0.056	6 _n 186 471	84	0.106	6 _n 180 408	161	0.156	6 _n 170 512	238	0.206	6 _n 156 647	319
0.007	6 _n 188 770	10	0.057	6 _n 186 387	86	0.107	6 _n 180 248	161	0.157	6 _n 170 274	239	0.207	6 _n 156 328	321
0.008	6 _n 188 759	13	0.058	6 _n 186 301	87	0.108	6 _n 180 087	163	0.158	6 _n 170 035	242	0.208	6 _n 156 007	322
0.009	6 _n 188 746		0.059	6 _n 186 214	89	0.109	6 _n 179 924	165	0.159	6 _n 169 793	242	0.209	6 _n 155 685	324
		14												
0.010	6 _n 188 732	15	0.060	6 _n 186 125	91	0.110	6 _n 179 759	166	0.160	6 _n 169 551	244	0.210	6 _n 155 361	326
0.011	6 _n 188 717	17	0.061	6 _n 186 034	91	0.111	6 _n 179 593	168	0.161	6 _n 169 307	246	0.211	6 _n 155 035	327
0.012	6 _n 188 700	19	0.062	6 _n 185 943	94	0.112	6 _n 179 425	169	0.162	6 _n 169 061	247	0.212	6 _n 154 708	329
0.013	6 _n 188 681	20	0.063	6 _n 185 849	94	0.113	6 _n 179 256	171	0.163	6 _n 168 814	249	0.213	6 _n 154 379	331
0.014	6 _n 188 661	22	0.064	6 _n 185 755	97	0.114	6 _n 179 085	172	0.164	6 _n 168 565	251	0.214	6 _n 154 048	332
0.015	6 _n 188 639	23	0.065	6 _n 185 658	97	0.115	6 _n 178 913	174	0.165	6 _n 168 314	252	0.215	6 _n 153 716	334
0.016	6 _n 188 616	24	0.066	6 _n 185 561	100	0.116	6 _n 178 739	175	0.166	6 _n 168 062	254	0.216	6 _n 153 382	336
0.017	6 _n 188 592	26	0.067	6 _n 185 461	101	0.117	6 _n 178 564	177	0.167	6 _n 167 808	255	0.217	6 _n 153 046	337
0.018	6 _n 188 566	28	0.068	6 _n 185 360	102	0.118	6 _n 178 387	179	0.168	6 _n 167 553	257	0.218	6 _n 152 709	339
0.019	6 _n 188 538		0.069	6 _n 185 258	104	0.119	6 _n 178 208	180	0.169	6 _n 167 296	259	0.219	6 _n 152 370	341
		29												
0.020	6 _n 188 509	30	0.070	6 _n 185 154	105	0.120	6 _n 178 028	181	0.170	6 _n 167 037	260	0.220	6 _n 152 029	343
0.021	6 _n 188 479	32	0.071	6 _n 185 049	107	0.121	6 _n 177 847	183	0.171	6 _n 166 777	262	0.221	6 _n 151 686	344
0.022	6 _n 188 447	34	0.072	6 _n 184 942	108	0.122	6 _n 177 664	185	0.172	6 _n 166 515	263	0.222	6 _n 151 342	346
0.023	6 _n 188 413	35	0.073	6 _n 184 834	110	0.123	6 _n 177 479	186	0.173	6 _n 166 252	265	0.223	6 _n 150 996	347
0.024	6 _n 188 378	36	0.074	6 _n 184 724	111	0.124	6 _n 177 293	188	0.174	6 _n 166 988	267	0.224	6 _n 150 649	350
0.025	6 _n 188 342	38	0.075	6 _n 184 613	113	0.125	6 _n 177 105	189	0.175	6 _n 166 720	268	0.225	6 _n 150 299	351
0.026	6 _n 188 304	40	0.076	6 _n 184 500	115	0.126	6 _n 176 916	191	0.176	6 _n 166 452	270	0.226	6 _n 149 948	352
0.027	6 _n 188 264	41	0.077	6 _n 184 385	116	0.127	6 _n 176 725	192	0.177	6 _n 166 182	272	0.227	6 _n 149 596	355
0.028	6 _n 188 223	42	0.078	6 _n 184 269	117	0.128	6 _n 176 533	194	0.178	6 _n 165 910	273	0.228	6 _n 149 241	356
0.029	6 _n 188 181		0.079	6 _n 184 152	119	0.129	6 _n 176 339	196	0.179	6 _n 165 637	274	0.229	6 _n 148 885	358
		44												
0.030	6 _n 188 137	45	0.080	6 _n 184 033	120	0.130	6 _n 176 143	197	0.180	6 _n 165 363	277	0.230	6 _n 148 527	359
0.031	6 _n 188 092	47	0.081	6 _n 183 913	122	0.131	6 _n 175 946	198	0.181	6 _n 165 086	278	0.231	6 _n 148 168	362
0.032	6 _n 188 045	49	0.082	6 _n 183 791	124	0.132	6 _n 175 748	200	0.182	6 _n 164 808	279	0.232	6 _n 147 806	362
0.033	6 _n 188 006	50	0.083	6 _n 183 667	125	0.133	6 _n 175 548	202	0.183	6 _n 164 529	281	0.233	6 _n 147 444	365
0.034	6 _n 188 966	51	0.084	6 _n 183 542	126	0.134	6 _n 175 346	203	0.184	6 _n 164 248	283	0.234	6 _n 147 079	367
0.035	6 _n 188 895	53	0.085	6 _n 183 416	128	0.135	6 _n 175 143	205	0.185	6 _n 163 965	285	0.235	6 _n 146 712	368
0.036	6 _n 188 812	54	0.086	6 _n 183 288	13	0.136	6 _n 174 938	207	0.186	6 _n 163 680	286	0.236	6 _n 146 344	370
0.037	6 _n 188 788	56	0.087	6 _n 183 158	131	0.137	6 _n 174 731	208	0.187	6 _n 163 394	287	0.237	6 _n 145 974	371
0.038	6 _n 188 732	57	0.088	6 _n 183 027	132	0.138	6 _n 174 523	209	0.188	6 _n 163 107	290	0.238	6 _n 145 603	373
0.039	6 _n 188 675		0.089	6 _n 182 895	135	0.139	6 _n 174 314	211	0.189	6 _n 162 817	291	0.239	6 _n 145 230	375
		59												
0.040	6 _n 188 616	61	0.090	6 _n 182 760	135	0.140	6 _n 174 103	213	0.190	6 _n 162 526	292	0.240	6 _n 144 855	377
0.041	6 _n 188 555	61	0.091	6 _n 182 625	137	0.141	6 _n 173 890	214	0.191	6 _n 162 234	295	0.241	6 _n 144 478	379
0.042	6 _n 188 494	64	0.092	6 _n 182 488	139	0.142	6 _n 173 676	216	0.192	6 _n 161 939	295	0.242	6 _n 144 099	380
0.043	6 _n 188 430	65	0.093	6 _n 182 349	140	0.143	6 _n 173 460	217	0.193	6 _n 161 644	298	0.243	6 _n 143 719	382
0.044	6 _n 188 365	66	0.094	6 _n 182 209	142	0.144	6 _n 173 243	219	0.194	6 _n 161 346	299	0.244	6 _n 143 337	384
0.045	6 _n 188 299	68	0.095	6 _n 182 067	143	0.145	6 _n 173 024	221	0.195	6 _n 161 047	301	0.245	6 _n 142 953	385
0.046	6 _n 188 231	69	0.096	6 _n 181 921	145	0.146	6 _n 172 803	222	0.196	6 _n 160 746	302	0.246	6 _n 142 568	387
0.047	6 _n 188 162	71	0.097	6 _n 181 779	146	0.147	6 _n 172 581	223	0.197	6 _n 160 444	304	0.247	6 _n 142 181	389
0.048	6 _n 188 091	72	0.098	6 _n 181 633	148	0.148	6 _n 172 358	225	0.198	6 _n 160 140	306	0.248	6 _n 141 792	391
0.049	6 _n 188 019	74	0.099	6 _n 181 485	149	0.149	6 _n 172 133	227	0.199	6 _n 159 834	308	0.249	6 _n 141 401	393
0.050	6 _n 188 945		0.100	6 _n 181 336		0.150	6 _n 171 906		0.200	6 _n 158 526		0.250	6 _n 141 008	

Tafel VIII.

 $\log \{Q_2^{10}, n\}.$

$\pm n$	Q	$-J$	$\pm n$	Q	$-J$	$\pm n$	Q	$-J$	$\pm n$	Q	$-J$	$\pm n$	Q	$-J$
0.000	4n+15 201	0	0.050	4n+15 188	2	0.100	4n+14 982	9	0.150	4n+14 096	29	0.200	4n+11 734	69
0.001	4n+15 201	0	0.051	4n+15 186	1	0.101	4n+14 973	9	0.151	4n+14 067	30	0.201	4n+11 665	71
0.002	4n+15 201	0	0.052	4n+15 185	1	0.102	4n+14 964	10	0.152	4n+14 057	31	0.202	4n+11 594	71
0.003	4n+15 201	0	0.053	4n+15 184	1	0.103	4n+14 954	9	0.153	4n+14 046	32	0.203	4n+11 523	72
0.004	4n+15 201	0	0.054	4n+15 183	1	0.104	4n+14 945	10	0.154	4n+14 037	32	0.204	4n+11 451	74
0.005	4n+15 201	0	0.055	4n+15 181	1	0.105	4n+14 935	11	0.155	4n+14 024	32	0.205	4n+11 377	75
0.006	4n+15 201	0	0.056	4n+15 180	2	0.106	4n+14 924	10	0.156	4n+14 010	33	0.206	4n+11 302	75
0.007	4n+15 201	0	0.057	4n+15 178	2	0.107	4n+14 914	11	0.157	4n+14 000	33	0.207	4n+11 227	77
0.008	4n+15 201	0	0.058	4n+15 176	1	0.108	4n+14 903	11	0.158	4n+14 000	35	0.208	4n+11 150	78
0.009	4n+15 201	0	0.059	4n+15 175	2	0.109	4n+14 892	12	0.159	4n+14 000	35	0.209	4n+11 072	79
0.010	4n+15 201	0	0.060	4n+15 173	2	0.110	4n+14 880	12	0.160	4n+14 000	36	0.210	4n+11 000	80
0.011	4n+15 201	0	0.061	4n+15 171	2	0.111	4n+14 868	12	0.161	4n+14 000	37	0.211	4n+11 000	81
0.012	4n+15 201	0	0.062	4n+15 169	2	0.112	4n+14 856	12	0.162	4n+14 000	37	0.212	4n+11 000	82
0.013	4n+15 201	0	0.063	4n+15 167	3	0.113	4n+14 844	13	0.163	4n+14 000	38	0.213	4n+11 000	84
0.014	4n+15 201	0	0.064	4n+15 164	2	0.114	4n+14 831	13	0.164	4n+14 000	38	0.214	4n+11 000	85
0.015	4n+15 201	0	0.065	4n+15 162	2	0.115	4n+14 818	14	0.165	4n+14 000	39	0.215	4n+11 000	85
0.016	4n+15 201	0	0.066	4n+15 160	3	0.116	4n+14 804	13	0.166	4n+14 000	40	0.216	4n+11 000	87
0.017	4n+15 201	0	0.067	4n+15 157	3	0.117	4n+14 791	15	0.167	4n+14 000	41	0.217	4n+11 000	89
0.018	4n+15 201	0	0.068	4n+15 154	3	0.118	4n+14 776	14	0.168	4n+14 000	41	0.218	4n+11 000	89
0.019	4n+15 201	0	0.069	4n+15 151	3	0.119	4n+14 762	15	0.169	4n+14 000	43	0.219	4n+11 000	91
0.020	4n+15 201	0	0.070	4n+15 148	3	0.120	4n+14 747	15	0.170	4n+14 000	43	0.220	4n+11 000	92
0.021	4n+15 201	0	0.071	4n+15 145	3	0.121	4n+14 732	16	0.171	4n+14 000	43	0.221	4n+11 000	93
0.022	4n+15 201	0	0.072	4n+15 142	3	0.122	4n+14 716	16	0.172	4n+14 000	45	0.222	4n+11 000	94
0.023	4n+15 201	0	0.073	4n+15 139	3	0.123	4n+14 700	16	0.173	4n+14 000	45	0.223	4n+11 000	96
0.024	4n+15 201	1	0.074	4n+15 135	3	0.124	4n+14 684	17	0.174	4n+14 000	46	0.224	4n+11 000	97
0.025	4n+15 200	0	0.075	4n+15 132	4	0.125	4n+14 667	18	0.175	4n+14 000	46	0.225	4n+11 000	98
0.026	4n+15 200	0	0.076	4n+15 128	4	0.126	4n+14 649	17	0.176	4n+14 000	48	0.226	4n+11 000	99
0.027	4n+15 200	0	0.077	4n+15 124	4	0.127	4n+14 632	18	0.177	4n+14 000	48	0.227	4n+11 000	101
0.028	4n+15 200	0	0.078	4n+15 120	4	0.128	4n+14 614	19	0.178	4n+14 000	49	0.228	4n+11 000	102
0.029	4n+15 200	0	0.079	4n+15 116	5	0.129	4n+14 595	19	0.179	4n+14 000	50	0.229	4n+11 000	104
0.030	4n+15 200	1	0.080	4n+15 111	4	0.130	4n+14 576	19	0.180	4n+14 000	51	0.230	4n+11 000	105
0.031	4n+15 199	0	0.081	4n+15 107	5	0.131	4n+14 557	20	0.181	4n+14 000	52	0.231	4n+11 000	106
0.032	4n+15 199	0	0.082	4n+15 102	5	0.132	4n+14 537	20	0.182	4n+14 000	52	0.232	4n+11 000	107
0.033	4n+15 199	1	0.083	4n+15 097	5	0.133	4n+14 517	21	0.183	4n+14 000	53	0.233	4n+11 000	109
0.034	4n+15 198	0	0.084	4n+15 092	5	0.134	4n+14 496	21	0.184	4n+14 000	55	0.234	4n+11 000	110
0.035	4n+15 198	0	0.085	4n+15 087	6	0.135	4n+14 475	22	0.185	4n+14 000	55	0.235	4n+11 000	112
0.036	4n+15 198	1	0.086	4n+15 081	6	0.136	4n+14 453	22	0.186	4n+14 000	56	0.236	4n+11 000	113
0.037	4n+15 197	0	0.087	4n+15 075	5	0.137	4n+14 431	23	0.187	4n+14 000	57	0.237	4n+11 000	115
0.038	4n+15 197	1	0.088	4n+15 070	5	0.138	4n+14 408	23	0.188	4n+14 000	57	0.238	4n+11 000	116
0.039	4n+15 196	0	0.089	4n+15 063	6	0.139	4n+14 385	23	0.189	4n+14 000	59	0.239	4n+11 000	117
0.040	4n+15 196	1	0.090	4n+15 057	6	0.140	4n+14 362	24	0.190	4n+14 000	59	0.240	4n+11 000	119
0.041	4n+15 195	1	0.091	4n+15 051	7	0.141	4n+14 338	25	0.191	4n+14 000	61	0.241	4n+11 000	120
0.042	4n+15 194	0	0.092	4n+15 044	7	0.142	4n+14 313	25	0.192	4n+14 000	61	0.242	4n+11 000	122
0.043	4n+15 194	1	0.093	4n+15 037	7	0.143	4n+14 288	26	0.193	4n+14 000	63	0.243	4n+11 000	123
0.044	4n+15 193	1	0.094	4n+15 030	8	0.144	4n+14 262	26	0.194	4n+14 000	63	0.244	4n+11 000	125
0.045	4n+15 192	1	0.095	4n+15 022	8	0.145	4n+14 236	27	0.195	4n+14 000	64	0.245	4n+11 000	126
0.046	4n+15 191	1	0.096	4n+15 015	8	0.146	4n+14 209	27	0.196	4n+14 000	66	0.246	4n+11 000	128
0.047	4n+15 191	1	0.097	4n+15 007	8	0.147	4n+14 182	28	0.197	4n+14 000	66	0.247	4n+11 000	130
0.048	4n+15 190	1	0.098	4n+14 999	9	0.148	4n+14 154	29	0.198	4n+14 000	67	0.248	4n+11 000	131
0.049	4n+15 189	1	0.099	4n+14 990	8	0.149	4n+14 125	29	0.199	4n+14 000	69	0.249	4n+11 000	132
0.050	4n+15 188	1	0.100	4n+14 982	8	0.150	4n+14 096	29	0.200	4n+14 000	69	0.250	4n+11 000	132

Tafel IX.

 $\log \{P_2^0(m)\}$.

vergl. pag. 55.

$\pm m$	P	$-J$	$\pm m$	P	$-J$	$\pm m$	P	$-J$	$\pm m$	P	$-J$	$\pm m$	P	$-J$
0.000	8,619 784		0.050	8,606 561	543	0.100	8,594 271	1192	0.150	8,483 112	2155	0.200	8,335 792	4037
0.001	8,619 784	5	0.051	8,606 018	555	0.101	8,593 079	1207	0.151	8,480 957	2179	0.201	8,331 755	4096
0.002	8,619 784	16	0.052	8,605 463	566	0.102	8,591 872	1222	0.152	8,478 778	2205	0.202	8,327 659	4156
0.003	8,619 784	26	0.053	8,604 897	577	0.103	8,590 650	1238	0.153	8,476 573	2231	0.203	8,323 503	4216
0.004	8,619 784	37	0.054	8,604 320	589	0.104	8,589 412	1254	0.154	8,474 342	2256	0.204	8,319 287	4279
0.005	8,619 659	46	0.055	8,603 731	601	0.105	8,588 158	1269	0.155	8,472 086	2284	0.205	8,315 008	4343
0.006	8,619 601	58	0.056	8,603 130	612	0.106	8,586 889	1285	0.156	8,469 802	2310	0.206	8,310 665	4408
0.007	8,619 533	68	0.057	8,602 518	624	0.107	8,585 604	1301	0.157	8,467 492	2337	0.207	8,306 257	4475
0.008	8,619 455	89	0.058	8,601 894	636	0.108	8,584 303	1317	0.158	8,465 155	2365	0.208	8,301 782	4543
0.009	8,619 366		0.059	8,601 258		0.109	8,583 086	1333	0.159	8,462 790		0.209	8,297 239	4614
		99			648						2393			
0.010	8,619 267	109	0.060	8,600 610	660	0.110	8,581 653	1349	0.160	8,460 397	2422	0.210	8,292 625	4685
0.011	8,619 158	120	0.061	8,599 950	671	0.111	8,580 304	1366	0.161	8,457 975	2450	0.211	8,287 940	4759
0.012	8,619 038	131	0.062	8,599 279	683	0.112	8,578 938	1383	0.162	8,455 525	2479	0.212	8,283 181	4835
0.013	8,618 907	141	0.063	8,598 596	696	0.113	8,577 555	1399	0.163	8,453 046	2509	0.213	8,278 346	4913
0.014	8,618 766	151	0.064	8,597 900	708	0.114	8,576 156	1416	0.164	8,450 537	2540	0.214	8,273 433	4991
0.015	8,618 615	162	0.065	8,597 192	719	0.115	8,574 740	1434	0.165	8,447 997	2571	0.215	8,268 442	5074
0.016	8,618 453	173	0.066	8,596 473	732	0.116	8,573 306	1451	0.166	8,445 428	2601	0.216	8,263 368	5158
0.017	8,618 280	183	0.067	8,595 741	745	0.117	8,571 856	1468	0.167	8,442 827	2632	0.217	8,258 210	5244
0.018	8,618 097	194	0.068	8,594 996	756	0.118	8,570 388	1485	0.168	8,440 195	2664	0.218	8,252 966	5332
0.019	8,617 903		0.069	8,594 240		0.119	8,568 903		0.169	8,437 531		0.219	8,247 634	5424
		204			769			1504			2696			
0.020	8,617 699	215	0.070	8,593 471	782	0.120	8,567 399	1521	0.170	8,434 835	2729	0.220	8,242 210	5517
0.021	8,617 484	225	0.071	8,592 689	794	0.121	8,565 878	1539	0.171	8,432 106	2763	0.221	8,236 693	5614
0.022	8,617 259	236	0.072	8,591 895	806	0.122	8,564 339	1557	0.172	8,429 343	2796	0.222	8,231 079	5714
0.023	8,617 023	246	0.073	8,591 089	819	0.123	8,562 782	1576	0.173	8,426 547	2832	0.223	8,225 365	5815
0.024	8,616 777	258	0.074	8,590 270	832	0.124	8,561 206	1594	0.174	8,423 715	2866	0.224	8,219 550	5922
0.025	8,616 519	268	0.075	8,589 438	845	0.125	8,559 612	1613	0.175	8,420 849	2901	0.225	8,213 628	6030
0.026	8,616 250	278	0.076	8,588 593	858	0.126	8,557 999	1632	0.176	8,417 948	2937	0.226	8,207 598	6142
0.027	8,615 973	289	0.077	8,587 735	870	0.127	8,556 367	1651	0.177	8,415 010	2975	0.227	8,201 456	6258
0.028	8,615 684	300	0.078	8,586 865	884	0.128	8,554 716	1670	0.178	8,412 035	3012	0.228	8,195 198	6377
0.029	8,615 384		0.079	8,585 981		0.129	8,553 046		0.179	8,409 023	3051	0.229	8,188 821	6501
		311			896			1690			3091			
0.030	8,615 073	322	0.080	8,585 085	910	0.130	8,551 356	1710	0.180	8,405 972	3089	0.230	8,182 320	6629
0.031	8,614 751	332	0.081	8,584 175	923	0.131	8,549 646	1729	0.181	8,402 883	3128	0.231	8,175 691	6762
0.032	8,614 419	343	0.082	8,583 252	937	0.132	8,547 917	1750	0.182	8,399 755	3169	0.232	8,168 929	6898
0.033	8,614 076	354	0.083	8,582 315	949	0.133	8,546 167	1770	0.183	8,396 586	3210	0.233	8,162 031	7039
0.034	8,613 722	365	0.084	8,581 366	964	0.134	8,544 397	1790	0.184	8,393 376	3251	0.234	8,154 992	7187
0.035	8,613 357	375	0.085	8,580 402	977	0.135	8,542 607	1812	0.185	8,390 125	3293	0.235	8,147 805	7339
0.036	8,612 982	387	0.086	8,579 425	990	0.136	8,540 795	1832	0.186	8,386 832	3337	0.236	8,140 466	7497
0.037	8,612 595	398	0.087	8,578 435	1004	0.137	8,538 969	1854	0.187	8,383 495	3380	0.237	8,132 969	7661
0.038	8,612 197	408	0.088	8,577 431	1019	0.138	8,537 109	1875	0.188	8,380 115	3425	0.238	8,125 308	7832
0.039	8,611 789		0.089	8,576 412		0.139	8,535 224		0.189	8,376 690		0.239	8,117 476	8010
		420			1032			1897			3471			
0.040	8,611 369	430	0.090	8,575 380	1046	0.140	8,533 327	1919	0.190	8,373 219	3518	0.240	8,109 466	8194
0.041	8,610 939	442	0.091	8,574 334	1060	0.141	8,531 418	1942	0.191	8,369 701	3564	0.241	8,101 272	8388
0.042	8,610 497	453	0.092	8,573 274	1074	0.142	8,529 476	1964	0.192	8,366 137	3614	0.242	8,092 884	8588
0.043	8,610 044	464	0.093	8,572 200	1089	0.143	8,527 512	1986	0.193	8,362 523	3662	0.243	8,084 296	8798
0.044	8,609 580	475	0.094	8,571 111	1103	0.144	8,525 526	2010	0.194	8,358 861	3713	0.244	8,075 498	9016
0.045	8,609 105	486	0.095	8,570 008	1118	0.145	8,523 516	2033	0.195	8,355 148	3764	0.245	8,066 482	9246
0.046	8,608 619	498	0.096	8,568 890	1133	0.146	8,521 483	2057	0.196	8,351 384	3816	0.246	8,057 236	9487
0.047	8,608 121	509	0.097	8,567 757	1147	0.147	8,519 426	2080	0.197	8,347 568	3871	0.247	8,047 749	9739
0.048	8,607 612	520	0.098	8,566 610	1162	0.148	8,517 346	2105	0.198	8,343 697	3924	0.248	8,038 010	10001
0.049	8,607 092	531	0.099	8,565 448	1177	0.149	8,515 241	2129	0.199	8,339 773	3981	0.249	8,028 009	10280
0.050	8,606 561		0.100	8,564 271		0.150	8,513 112		0.200	8,335 792		0.250	8,017 729	

Tafel IX.

 $\log \{P_2^1 m\}$.

$\pm m$	P	$+J$	$\pm m$	P	$+J$	$\pm m$	P	$+J$	$\pm m$	P	$+J$	$\pm m$	P	$+J$
0.000	8.619 789		0.050	8.624 110		0.100	8.636 822		0.150	8.657 215		0.200	8.684 247	
0.001	8.619 791	2	0.051	8.624 284	174	0.101	8.637 158	336	0.151	8.657 695	480	0.201	8.684 847	600
0.002	8.619 796	5	0.052	8.624 461	180	0.102	8.637 496	338	0.152	8.658 177	482	0.202	8.685 449	602
0.003	8.619 805	9	0.053	8.624 641	184	0.103	8.637 838	342	0.153	8.658 662	485	0.203	8.686 054	605
0.004	8.619 817	12	0.054	8.624 825	187	0.104	8.638 183	345	0.154	8.659 149	487	0.204	8.686 660	606
0.005	8.619 832	15	0.055	8.625 012	191	0.105	8.638 531	348	0.155	8.659 639	490	0.205	8.687 269	609
0.006	8.619 851	19	0.056	8.625 203	194	0.106	8.638 882	351	0.156	8.660 132	493	0.206	8.687 880	611
0.007	8.619 874	23	0.057	8.625 397	197	0.107	8.639 236	354	0.157	8.660 627	495	0.207	8.688 493	615
0.008	8.619 900	26	0.058	8.625 594	200	0.108	8.639 593	357	0.158	8.661 125	498	0.208	8.689 108	617
0.009	8.619 930	30	0.059	8.625 794	204	0.109	8.639 953	360	0.159	8.661 625	500	0.209	8.689 725	619
		33			204			363			503			619
0.010	8.619 963		0.060	8.625 998	207	0.110	8.640 316	366	0.160	8.662 128	506	0.210	8.690 344	621
0.011	8.619 999	36	0.061	8.626 205	211	0.111	8.640 682	369	0.161	8.662 634	508	0.211	8.690 965	623
0.012	8.620 039	40	0.062	8.626 416	214	0.112	8.641 051	372	0.162	8.663 142	510	0.212	8.691 588	626
0.013	8.620 082	43	0.063	8.626 630	217	0.113	8.641 423	375	0.163	8.663 652	513	0.213	8.692 214	627
0.014	8.620 129	47	0.064	8.626 847	220	0.114	8.641 798	378	0.164	8.664 165	516	0.214	8.692 841	630
0.015	8.620 180	51	0.065	8.627 067	223	0.115	8.642 176	381	0.165	8.664 681	518	0.215	8.693 471	631
0.016	8.620 233	53	0.066	8.627 291	227	0.116	8.642 557	384	0.166	8.665 199	521	0.216	8.694 102	633
0.017	8.620 291	58	0.067	8.627 518	230	0.117	8.642 941	387	0.167	8.665 720	523	0.217	8.694 735	636
0.018	8.620 351	65	0.068	8.627 748	234	0.118	8.643 328	390	0.168	8.666 243	526	0.218	8.695 371	637
0.019	8.620 416	67	0.069	8.627 982	237	0.119	8.643 718	392	0.169	8.666 769	528	0.219	8.696 008	640
		67			237			392			528			640
0.020	8.620 483		0.070	8.628 219	240	0.120	8.644 110	396	0.170	8.667 297	531	0.220	8.696 648	641
0.021	8.620 554	71	0.071	8.628 459	243	0.121	8.644 506	399	0.171	8.667 828	533	0.221	8.697 289	643
0.022	8.620 629	75	0.072	8.628 702	247	0.122	8.644 905	401	0.172	8.668 361	536	0.222	8.697 932	646
0.023	8.620 707	78	0.073	8.628 949	250	0.123	8.645 306	404	0.173	8.668 897	538	0.223	8.698 578	647
0.024	8.620 788	81	0.074	8.629 199	253	0.124	8.645 710	408	0.174	8.669 435	540	0.224	8.699 225	649
0.025	8.620 873	85	0.075	8.629 452	257	0.125	8.646 118	410	0.175	8.669 975	543	0.225	8.699 874	651
0.026	8.620 962	89	0.076	8.629 709	259	0.126	8.646 528	413	0.176	8.670 518	545	0.226	8.700 525	653
0.027	8.621 053	96	0.077	8.629 968	263	0.127	8.646 941	416	0.177	8.671 063	548	0.227	8.701 178	655
0.028	8.621 149	98	0.078	8.630 231	266	0.128	8.647 357	419	0.178	8.671 611	550	0.228	8.701 833	657
0.029	8.621 247	102	0.079	8.630 497	270	0.129	8.647 776	421	0.179	8.672 161	552	0.229	8.702 490	658
		102			270			421			552			658
0.030	8.621 349		0.080	8.630 767	272	0.130	8.648 197	425	0.180	8.672 713	555	0.230	8.703 148	661
0.031	8.621 455	106	0.081	8.631 039	276	0.131	8.648 622	427	0.181	8.673 268	557	0.231	8.703 809	662
0.032	8.621 564	109	0.082	8.631 315	279	0.132	8.649 049	430	0.182	8.673 825	560	0.232	8.704 471	664
0.033	8.621 676	112	0.083	8.631 594	283	0.133	8.649 479	433	0.183	8.674 385	562	0.233	8.705 135	666
0.034	8.621 792	116	0.084	8.631 877	285	0.134	8.649 912	436	0.184	8.674 947	564	0.234	8.705 801	668
0.035	8.621 912	120	0.085	8.632 162	289	0.135	8.650 348	439	0.185	8.675 511	567	0.235	8.706 469	670
0.036	8.622 034	122	0.086	8.632 451	291	0.136	8.650 787	441	0.186	8.676 078	568	0.236	8.707 139	671
0.037	8.622 161	127	0.087	8.632 742	295	0.137	8.651 228	444	0.187	8.676 646	572	0.237	8.707 810	673
0.038	8.622 290	129	0.088	8.633 037	299	0.138	8.651 672	447	0.188	8.677 218	573	0.238	8.708 483	675
0.039	8.622 423	133	0.089	8.633 336	301	0.139	8.652 119	449	0.189	8.677 791	576	0.239	8.709 158	677
		136			301			450			576			677
0.040	8.622 559		0.090	8.633 637	304	0.140	8.652 569	452	0.190	8.678 367	578	0.240	8.709 835	679
0.041	8.622 699	140	0.091	8.633 941	308	0.141	8.653 021	455	0.191	8.678 945	580	0.241	8.710 514	680
0.042	8.622 842	143	0.092	8.634 249	311	0.142	8.653 476	458	0.192	8.679 525	582	0.242	8.711 194	682
0.043	8.622 989	147	0.093	8.634 560	313	0.143	8.653 934	461	0.193	8.680 107	585	0.243	8.711 876	684
0.044	8.623 139	150	0.094	8.634 873	317	0.144	8.654 395	463	0.194	8.680 692	587	0.244	8.712 560	686
0.045	8.623 292	153	0.095	8.635 190	321	0.145	8.654 858	466	0.195	8.681 279	589	0.245	8.713 246	687
0.046	8.623 449	157	0.096	8.635 511	324	0.146	8.655 324	469	0.196	8.681 868	592	0.246	8.713 933	689
0.047	8.623 609	160	0.097	8.635 834	326	0.147	8.655 793	471	0.197	8.682 460	593	0.247	8.714 622	691
0.048	8.623 773	164	0.098	8.636 160	330	0.148	8.656 264	474	0.198	8.683 053	596	0.248	8.715 313	692
0.049	8.623 940	167	0.099	8.636 490	332	0.149	8.656 738	477	0.199	8.683 649	598	0.249	8.716 005	694
0.050	8.624 110	170	0.100	8.636 822	332	0.150	8.657 215	479	0.200	8.684 247	598	0.250	8.716 699	694

Tafel IX.

 $\log \{P_2^2/m\}$.

$\pm m$	P	$-J$	$\pm m$	P	$-J$	$\pm m$	P	$-J$	$\pm m$	P	$-J$	$\pm m$	P	$-J$
0.000	7.947 148		0.050	7.939 428		0.100	7.915 576		0.150	7.873 263		0.200	7.807 591	
0.001	7.947 145	3	0.051	7.939 114	314	0.101	7.914 922	654	0.151	7.872 201	1062	0.201	7.805 984	1607
0.002	7.947 135	10	0.052	7.938 793	321	0.102	7.914 260	662	0.152	7.871 130	1071	0.202	7.804 364	1620
0.003	7.947 120	15	0.053	7.938 466	327	0.103	7.913 591	669	0.153	7.870 049	1081	0.203	7.802 730	1634
0.004	7.947 099	21	0.054	7.938 133	333	0.104	7.912 915	674	0.154	7.868 959	1090	0.204	7.801 083	1647
0.005	7.947 071	28	0.055	7.937 793	340	0.105	7.912 231	679	0.155	7.867 860	1099	0.205	7.799 423	1660
0.006	7.947 037	34	0.056	7.937 447	346	0.106	7.911 540	684	0.156	7.866 751	1109	0.206	7.797 749	1674
0.007	7.946 997	40	0.057	7.937 094	353	0.107	7.910 841	689	0.157	7.865 632	1119	0.207	7.796 061	1688
0.008	7.946 951	46	0.058	7.936 734	360	0.108	7.910 135	696	0.158	7.864 504	1128	0.208	7.794 360	1701
0.009	7.946 899	52	0.059	7.936 368	366	0.109	7.909 422	703	0.159	7.863 367	1137	0.209	7.792 644	1716
		58			372			713			1148			1729
0.010	7.946 841		0.060	7.935 996		0.110	7.908 700		0.160	7.862 219		0.210	7.790 915	
0.011	7.946 777	64	0.061	7.935 617	379	0.111	7.907 972	728	0.161	7.861 062	1157	0.211	7.789 171	1744
0.012	7.946 706	71	0.062	7.935 232	385	0.112	7.907 235	737	0.162	7.859 895	1167	0.212	7.787 413	1758
0.013	7.946 629	77	0.063	7.934 840	392	0.113	7.906 491	744	0.163	7.858 719	1176	0.213	7.785 641	1772
0.014	7.946 547	82	0.064	7.934 441	399	0.114	7.905 739	752	0.164	7.857 532	1187	0.214	7.783 854	1787
0.015	7.946 458	89	0.065	7.934 036	405	0.115	7.904 980	759	0.165	7.856 335	1197	0.215	7.782 052	1802
0.016	7.946 362	96	0.066	7.933 624	412	0.116	7.904 213	767	0.166	7.855 129	1206	0.216	7.780 236	1816
0.017	7.946 261	101	0.067	7.933 206	418	0.117	7.903 438	775	0.167	7.853 912	1217	0.217	7.778 404	1832
0.018	7.946 154	107	0.068	7.932 781	425	0.118	7.902 655	783	0.168	7.852 685	1227	0.218	7.776 558	1846
0.019	7.946 040	114	0.069	7.932 349	432	0.119	7.901 865	790	0.169	7.851 447	1238	0.219	7.774 696	1862
		120			438			799			1247			1878
0.020	7.945 920		0.070	7.931 911		0.120	7.901 066		0.170	7.850 200		0.220	7.772 818	
0.021	7.945 794	126	0.071	7.931 466	445	0.121	7.900 260	806	0.171	7.848 942	1258	0.221	7.770 925	1893
0.022	7.945 662	132	0.072	7.931 015	451	0.122	7.899 446	814	0.172	7.847 673	1269	0.222	7.769 017	1908
0.023	7.945 524	138	0.073	7.930 556	459	0.123	7.898 623	823	0.173	7.846 394	1279	0.223	7.767 092	1925
0.024	7.945 379	145	0.074	7.930 091	465	0.124	7.897 793	830	0.174	7.845 105	1289	0.224	7.765 152	1940
0.025	7.945 228	151	0.075	7.929 619	472	0.125	7.896 955	838	0.175	7.843 805	1300	0.225	7.763 195	1957
0.026	7.945 071	157	0.076	7.929 141	478	0.126	7.896 108	847	0.176	7.842 494	1311	0.226	7.761 222	1973
0.027	7.944 908	163	0.077	7.928 655	485	0.127	7.895 254	854	0.177	7.841 172	1322	0.227	7.759 233	1989
0.028	7.944 739	169	0.078	7.928 163	492	0.128	7.894 391	863	0.178	7.839 839	1333	0.228	7.757 226	2007
0.029	7.944 563	176	0.079	7.927 663	499	0.129	7.893 520	871	0.179	7.838 495	1344	0.229	7.755 203	2023
		181			505			879			1355			2040
0.030	7.944 382		0.080	7.927 159		0.130	7.892 641		0.180	7.837 140		0.230	7.753 163	
0.031	7.944 194	188	0.081	7.926 646	513	0.131	7.891 753	888	0.181	7.835 775	1365	0.231	7.751 106	2057
0.032	7.944 009	195	0.082	7.926 116	520	0.132	7.890 858	895	0.182	7.834 399	1378	0.232	7.749 031	2075
0.033	7.943 809	200	0.083	7.925 600	526	0.133	7.889 954	904	0.183	7.833 009	1388	0.233	7.746 938	2093
0.034	7.943 592	207	0.084	7.925 067	533	0.134	7.889 041	913	0.184	7.831 609	1399	0.234	7.744 828	2110
0.035	7.943 379	213	0.085	7.924 526	541	0.135	7.888 120	921	0.185	7.830 198	1411	0.235	7.742 700	2128
0.036	7.943 160	219	0.086	7.923 979	547	0.136	7.887 191	929	0.186	7.828 775	1423	0.236	7.740 554	2146
0.037	7.942 934	226	0.087	7.923 425	554	0.137	7.886 253	938	0.187	7.827 341	1434	0.237	7.738 389	2165
0.038	7.942 703	231	0.088	7.922 864	561	0.138	7.885 306	947	0.188	7.825 894	1447	0.238	7.736 206	2183
0.039	7.942 465	238	0.089	7.922 296	568	0.139	7.884 351	955	0.189	7.824 436	1458	0.239	7.734 004	2202
		245			576			964			1470			2221
0.040	7.942 220		0.090	7.921 720		0.140	7.883 387		0.190	7.822 966		0.240	7.731 783	
0.041	7.941 969	251	0.091	7.921 138	582	0.141	7.882 415	972	0.191	7.821 485	1481	0.241	7.729 543	2240
0.042	7.941 712	257	0.092	7.920 549	589	0.142	7.881 434	981	0.192	7.819 991	1494	0.242	7.727 283	2260
0.043	7.941 449	263	0.093	7.919 952	597	0.143	7.880 441	990	0.193	7.818 484	1507	0.243	7.725 004	2279
0.044	7.941 180	269	0.094	7.919 349	603	0.144	7.879 443	999	0.194	7.816 966	1518	0.244	7.722 705	2299
0.045	7.940 904	276	0.095	7.918 738	611	0.145	7.878 437	1008	0.195	7.815 435	1531	0.245	7.720 385	2320
0.046	7.940 621	283	0.096	7.918 120	618	0.146	7.877 420	1017	0.196	7.813 892	1543	0.246	7.718 046	2339
0.047	7.940 333	288	0.097	7.917 495	625	0.147	7.876 395	1025	0.197	7.812 336	1556	0.247	7.715 685	2361
0.048	7.940 038	295	0.098	7.916 862	633	0.148	7.875 360	1035	0.198	7.810 767	1569	0.248	7.713 304	2381
0.049	7.939 736	302	0.099	7.916 223	639	0.149	7.874 316	1044	0.199	7.809 186	1581	0.249	7.710 902	2402
0.050	7.939 428	308	0.100	7.915 576	647	0.150	7.873 263	1053	0.200	7.807 591	1595	0.250	7.708 478	2424

Tafel IX.

 $\log \{P_2^3 m\}$.

$\pm m$	P	$+J$	$\pm m$	P	$+J$	$\pm m$	P	$+J$	$\pm m$	P	$+J$	$\pm m$	P	$+J$
0.000	7470 026	1	0.050	7472 566	102	0.100	7480 007	196	0.150	7491 841	276	0.200	7507 294	339
0.001	7470 027	4	0.051	7472 668	104	0.101	7480 203	197	0.151	7492 117	278	0.201	7507 633	341
0.002	7470 031	5	0.052	7472 772	106	0.102	7480 400	199	0.152	7492 395	280	0.202	7507 974	342
0.003	7470 036	7	0.053	7472 878	108	0.103	7480 600	201	0.153	7492 675	282	0.203	7508 316	343
0.004	7470 043	9	0.054	7472 986	110	0.104	7480 801	203	0.154	7492 955	283	0.204	7508 659	343
0.005	7470 052	11	0.055	7473 096	111	0.105	7481 004	204	0.155	7493 238	285	0.205	7509 002	345
0.006	7470 063	14	0.056	7473 207	114	0.106	7481 208	207	0.156	7493 521	285	0.206	7509 347	346
0.007	7470 077	15	0.057	7473 321	116	0.107	7481 415	208	0.157	7493 806	287	0.207	7509 693	347
0.008	7470 092	17	0.058	7473 437	117	0.108	7481 623	209	0.158	7494 093	288	0.208	7510 040	347
0.009	7470 109	20	0.059	7473 554	120	0.109	7481 832	212	0.159	7494 381	289	0.209	7510 388	349
0.010	7470 129	21	0.060	7473 674	121	0.110	7482 044	213	0.160	7494 670	291	0.210	7510 737	350
0.011	7470 150	24	0.061	7473 795	124	0.111	7482 257	215	0.161	7494 961	292	0.211	7511 087	351
0.012	7470 174	25	0.062	7473 919	125	0.112	7482 472	216	0.162	7495 253	293	0.212	7511 438	352
0.013	7470 199	28	0.063	7474 044	128	0.113	7482 688	219	0.163	7495 546	295	0.213	7511 790	352
0.014	7470 227	29	0.064	7474 172	129	0.114	7482 907	220	0.164	7495 841	295	0.214	7512 142	354
0.015	7470 256	32	0.065	7474 301	131	0.115	7483 127	221	0.165	7496 137	298	0.215	7512 496	355
0.016	7470 288	34	0.066	7474 432	133	0.116	7483 348	224	0.166	7496 435	298	0.216	7512 851	356
0.017	7470 322	35	0.067	7474 565	135	0.117	7483 571	225	0.167	7496 733	301	0.217	7513 207	356
0.018	7470 357	38	0.068	7474 700	137	0.118	7483 797	226	0.168	7497 034	301	0.218	7513 563	358
0.019	7470 395	40	0.069	7474 837	139	0.119	7484 023	229	0.169	7497 335	303	0.219	7513 921	358
0.020	7470 435	42	0.070	7474 976	141	0.120	7484 252	229	0.170	7497 638	304	0.220	7514 279	360
0.021	7470 477	43	0.071	7475 117	142	0.121	7484 484	232	0.171	7497 942	305	0.221	7514 639	360
0.022	7470 520	46	0.072	7475 259	145	0.122	7484 713	233	0.172	7498 247	307	0.222	7514 999	361
0.023	7470 566	48	0.073	7475 404	146	0.123	7484 946	235	0.173	7498 554	308	0.223	7515 360	362
0.024	7470 614	50	0.074	7475 550	149	0.124	7485 181	237	0.174	7498 862	309	0.224	7515 722	363
0.025	7470 664	52	0.075	7475 699	150	0.125	7485 418	238	0.175	7499 171	310	0.225	7516 085	364
0.026	7470 716	54	0.076	7475 849	152	0.126	7485 656	240	0.176	7499 481	312	0.226	7516 449	364
0.027	7470 770	56	0.077	7476 001	154	0.127	7485 896	241	0.177	7499 793	313	0.227	7516 813	366
0.028	7470 826	58	0.078	7476 155	156	0.128	7486 137	243	0.178	7500 106	314	0.228	7517 179	366
0.029	7470 884	60	0.079	7476 311	157	0.129	7486 380	245	0.179	7500 420	316	0.229	7517 545	367
0.030	7470 944	62	0.080	7476 468	160	0.130	7486 625	246	0.180	7500 736	317	0.230	7517 912	368
0.031	7471 006	64	0.081	7476 628	161	0.131	7486 871	247	0.181	7501 053	318	0.231	7518 280	369
0.032	7471 070	66	0.082	7476 789	163	0.132	7487 118	250	0.182	7501 371	319	0.232	7518 649	369
0.033	7471 136	69	0.083	7476 952	166	0.133	7487 368	251	0.183	7501 690	320	0.233	7519 018	371
0.034	7471 205	70	0.084	7477 118	167	0.134	7487 619	252	0.184	7502 010	322	0.234	7519 389	371
0.035	7471 275	72	0.085	7477 285	168	0.135	7487 871	254	0.185	7502 332	322	0.235	7519 760	372
0.036	7471 347	74	0.086	7477 453	171	0.136	7488 125	256	0.186	7502 654	324	0.236	7520 132	373
0.037	7471 421	76	0.087	7477 624	172	0.137	7488 381	257	0.187	7502 978	326	0.237	7520 505	373
0.038	7471 497	78	0.088	7477 796	175	0.138	7488 638	258	0.188	7503 304	326	0.238	7520 878	374
0.039	7471 575	80	0.089	7477 971	176	0.139	7488 896	260	0.189	7503 630	327	0.239	7521 252	375
0.040	7471 655	82	0.090	7478 147	178	0.140	7489 156	262	0.190	7503 957	329	0.240	7521 627	376
0.041	7471 737	85	0.091	7478 325	180	0.141	7489 418	263	0.191	7504 286	330	0.241	7522 003	376
0.042	7471 822	86	0.092	7478 505	181	0.142	7489 681	265	0.192	7504 616	330	0.242	7522 379	378
0.043	7471 908	88	0.093	7478 686	184	0.143	7489 946	266	0.193	7504 946	332	0.243	7522 757	378
0.044	7471 996	90	0.094	7478 870	185	0.144	7490 212	268	0.194	7505 278	332	0.244	7523 135	378
0.045	7472 086	92	0.095	7479 055	186	0.145	7490 480	269	0.195	7505 612	334	0.245	7523 513	379
0.046	7472 178	94	0.096	7479 241	189	0.146	7490 749	271	0.196	7505 946	335	0.246	7523 892	380
0.047	7472 272	96	0.097	7479 430	191	0.147	7491 020	272	0.197	7506 281	336	0.247	7524 272	381
0.048	7472 368	98	0.098	7479 621	192	0.148	7491 292	274	0.198	7506 617	338	0.248	7524 653	381
0.049	7472 466	100	0.099	7479 813	194	0.149	7491 566	275	0.199	7506 955	339	0.249	7525 034	382
0.050	7472 566		0.100	7480 007		0.150	7491 841		0.200	7507 294		0.250	7525 416	

Tafel IX.

 $\log \{P_2^1 m\}$.

$\pm m$	P	$-J$	$\pm m$	P	$-J$	$\pm m$	P	$-J$	$\pm m$	P	$-J$	$\pm m$	P	$-J$
0.000	μ^{277} 904	2	0.050	μ^{271} 155	274	0.100	μ^{250} 412	566	0.150	μ^{214} 047	905	0.200	μ^{158} 766	1335
0.001	μ^{277} 902	8	0.051	μ^{270} 881	280	0.101	μ^{249} 846	573	0.151	μ^{213} 142	913	0.201	μ^{157} 431	1344
0.002	μ^{277} 894	14	0.052	μ^{270} 601	286	0.102	μ^{249} 273	579	0.152	μ^{212} 229	921	0.202	μ^{156} 087	1355
0.003	μ^{277} 880	19	0.053	μ^{270} 315	291	0.103	μ^{248} 694	585	0.153	μ^{211} 308	928	0.203	μ^{154} 732	1364
0.004	μ^{277} 861	24	0.054	μ^{270} 024	297	0.104	μ^{248} 109	592	0.154	μ^{210} 380	936	0.204	μ^{153} 368	1375
0.005	μ^{277} 837	29	0.055	μ^{269} 727	302	0.105	μ^{247} 517	598	0.155	μ^{209} 444	943	0.205	μ^{151} 993	1385
0.006	μ^{277} 808	35	0.056	μ^{269} 425	308	0.106	μ^{246} 919	604	0.156	μ^{208} 501	951	0.206	μ^{150} 608	1395
0.007	μ^{277} 773	40	0.057	μ^{269} 117	313	0.107	μ^{246} 315	610	0.157	μ^{207} 550	959	0.207	μ^{149} 213	1406
0.008	μ^{277} 733	46	0.058	μ^{268} 804	320	0.108	μ^{245} 705	617	0.158	μ^{206} 591	967	0.208	μ^{147} 807	1416
0.009	μ^{277} 687	51	0.059	μ^{268} 484	324	0.109	μ^{245} 088	623	0.159	μ^{205} 624	974	0.209	μ^{146} 391	1427
0.010	μ^{277} 636	57	0.060	μ^{268} 160	331	0.110	μ^{244} 465	629	0.160	μ^{204} 650	982	0.210	μ^{144} 964	1437
0.011	μ^{277} 579	61	0.061	μ^{267} 829	336	0.111	μ^{243} 839	636	0.161	μ^{203} 668	990	0.211	μ^{143} 527	1448
0.012	μ^{277} 518	67	0.062	μ^{267} 493	342	0.112	μ^{243} 200	643	0.162	μ^{202} 678	998	0.212	μ^{142} 079	1458
0.013	μ^{277} 451	73	0.063	μ^{267} 151	347	0.113	μ^{242} 557	649	0.163	μ^{201} 680	1006	0.213	μ^{140} 621	1470
0.014	μ^{277} 378	78	0.064	μ^{266} 804	353	0.114	μ^{241} 908	655	0.164	μ^{200} 674	1014	0.214	μ^{139} 151	1481
0.015	μ^{277} 300	83	0.065	μ^{266} 451	359	0.115	μ^{241} 253	662	0.165	μ^{199} 660	1023	0.215	μ^{137} 670	1491
0.016	μ^{277} 217	89	0.066	μ^{266} 092	365	0.116	μ^{240} 591	668	0.166	μ^{198} 637	1030	0.216	μ^{136} 179	1503
0.017	μ^{277} 128	94	0.067	μ^{265} 727	370	0.117	μ^{239} 923	675	0.167	μ^{197} 607	1038	0.217	μ^{134} 676	1513
0.018	μ^{277} 034	99	0.068	μ^{265} 357	376	0.118	μ^{239} 248	681	0.168	μ^{196} 569	1046	0.218	μ^{133} 163	1525
0.019	μ^{276} 935	105	0.069	μ^{264} 981	382	0.119	μ^{238} 567	688	0.169	μ^{195} 523	1055	0.219	μ^{131} 638	1537
0.020	μ^{276} 830	111	0.070	μ^{264} 599	387	0.120	μ^{237} 879	695	0.170	μ^{194} 468	1063	0.220	μ^{130} 101	1547
0.021	μ^{276} 719	115	0.071	μ^{264} 212	394	0.121	μ^{237} 184	701	0.171	μ^{193} 405	1071	0.221	μ^{128} 554	1560
0.022	μ^{276} 604	121	0.072	μ^{263} 818	399	0.122	μ^{236} 483	708	0.172	μ^{192} 334	1080	0.222	μ^{126} 994	1570
0.023	μ^{276} 483	127	0.073	μ^{263} 419	404	0.123	μ^{235} 775	714	0.173	μ^{191} 254	1088	0.223	μ^{125} 424	1583
0.024	μ^{276} 356	132	0.074	μ^{263} 015	411	0.124	μ^{235} 061	722	0.174	μ^{190} 166	1096	0.224	μ^{123} 841	1594
0.025	μ^{276} 224	137	0.075	μ^{262} 604	417	0.125	μ^{234} 339	728	0.175	μ^{189} 070	1105	0.225	μ^{122} 247	1605
0.026	μ^{276} 087	143	0.076	μ^{262} 187	422	0.126	μ^{233} 611	735	0.176	μ^{188} 965	1114	0.226	μ^{120} 641	1619
0.027	μ^{275} 944	148	0.077	μ^{261} 765	428	0.127	μ^{232} 876	741	0.177	μ^{186} 851	1121	0.227	μ^{119} 022	1630
0.028	μ^{275} 796	153	0.078	μ^{261} 337	434	0.128	μ^{232} 135	749	0.178	μ^{185} 730	1131	0.228	μ^{117} 392	1642
0.029	μ^{275} 643	159	0.079	μ^{260} 903	440	0.129	μ^{231} 386	755	0.179	μ^{184} 599	1140	0.229	μ^{115} 750	1655
0.030	μ^{275} 484	165	0.080	μ^{260} 463	445	0.130	μ^{230} 631	762	0.180	μ^{183} 459	1148	0.230	μ^{114} 095	1667
0.031	μ^{275} 319	170	0.081	μ^{260} 018	452	0.131	μ^{229} 869	769	0.181	μ^{182} 311	1157	0.231	μ^{112} 428	1680
0.032	μ^{275} 149	175	0.082	μ^{259} 566	457	0.132	μ^{229} 100	776	0.182	μ^{181} 154	1165	0.232	μ^{110} 748	1692
0.033	μ^{274} 974	181	0.083	μ^{259} 109	464	0.133	μ^{228} 324	782	0.183	μ^{179} 989	1175	0.233	μ^{109} 056	1705
0.034	μ^{274} 793	186	0.084	μ^{258} 645	469	0.134	μ^{227} 542	790	0.184	μ^{178} 814	1183	0.234	μ^{107} 351	1718
0.035	μ^{274} 607	192	0.085	μ^{258} 176	476	0.135	μ^{226} 752	797	0.185	μ^{177} 631	1193	0.235	μ^{105} 633	1731
0.036	μ^{274} 415	197	0.086	μ^{257} 700	481	0.136	μ^{225} 955	804	0.186	μ^{176} 438	1202	0.236	μ^{103} 902	1743
0.037	μ^{274} 218	202	0.087	μ^{257} 219	487	0.137	μ^{225} 151	811	0.187	μ^{175} 236	1210	0.237	μ^{102} 159	1757
0.038	μ^{274} 016	208	0.088	μ^{256} 732	494	0.138	μ^{224} 340	818	0.188	μ^{174} 026	1220	0.238	μ^{100} 402	1770
0.039	μ^{273} 808	214	0.089	μ^{256} 238	499	0.139	μ^{223} 522	825	0.189	μ^{172} 806	1229	0.239	μ^{098} 632	1784
0.040	μ^{273} 594	219	0.090	μ^{255} 739	505	0.140	μ^{222} 697	832	0.190	μ^{171} 577	1239	0.240	μ^{096} 848	1796
0.041	μ^{273} 375	225	0.091	μ^{255} 234	512	0.141	μ^{221} 865	840	0.191	μ^{170} 338	1247	0.241	μ^{095} 052	1811
0.042	μ^{273} 150	230	0.092	μ^{254} 722	517	0.142	μ^{221} 025	846	0.192	μ^{169} 091	1255	0.242	μ^{093} 241	1824
0.043	μ^{272} 920	235	0.093	μ^{254} 205	523	0.143	μ^{220} 179	854	0.193	μ^{168} 834	1263	0.243	μ^{091} 417	1838
0.044	μ^{272} 685	241	0.094	μ^{253} 682	530	0.144	μ^{219} 325	861	0.194	μ^{166} 567	1270	0.244	μ^{089} 579	1852
0.045	μ^{272} 444	247	0.095	μ^{253} 152	536	0.145	μ^{218} 464	869	0.195	μ^{165} 291	1278	0.245	μ^{087} 727	1867
0.046	μ^{272} 197	252	0.096	μ^{252} 616	542	0.146	μ^{217} 595	876	0.196	μ^{164} 005	1286	0.246	μ^{085} 860	1880
0.047	μ^{271} 945	258	0.097	μ^{252} 074	548	0.147	μ^{216} 719	883	0.197	μ^{162} 710	1295	0.247	μ^{083} 980	1895
0.048	μ^{271} 687	263	0.098	μ^{251} 526	554	0.148	μ^{215} 836	891	0.198	μ^{161} 405	1305	0.248	μ^{082} 085	1909
0.049	μ^{271} 424	269	0.099	μ^{250} 972	560	0.149	μ^{214} 945	898	0.199	μ^{160} 090	1315	0.249	μ^{080} 176	1924
0.050	μ^{271} 155		0.100	μ^{250} 412		0.150	μ^{214} 047		0.200	μ^{158} 766		0.250	μ^{078} 252	

Tafel IX.

 $\log \{P_2^5 m\}$.

$\pm m$	P	$+J$	$\pm m$	P	$+J$	$\pm m$	P	$+J$	$\pm m$	P	$+J$	$\pm m$	P	$+J$
0.000	6.578 934		0.050	6.581 158	89	0.100	6.587 673	172	0.150	6.598 036	242	0.200	6.611 568	297
0.001	6.578 935	1	0.051	6.581 247	91	0.101	6.587 845	173	0.151	6.598 278	243	0.201	6.611 805	299
0.002	6.578 938	3	0.052	6.581 338	93	0.102	6.588 018	174	0.152	6.598 521	245	0.202	6.612 164	299
0.003	6.578 942	4	0.053	6.581 431	94	0.103	6.588 192	176	0.153	6.598 766	246	0.203	6.612 463	300
0.004	6.578 949	7	0.054	6.581 525	96	0.104	6.588 368	178	0.154	6.599 012	247	0.204	6.612 763	301
0.005	6.578 957	8	0.055	6.581 621	98	0.105	6.588 546	179	0.155	6.599 259	248	0.205	6.613 064	302
0.006	6.578 966	9	0.056	6.581 719	100	0.106	6.588 725	181	0.156	6.599 507	250	0.206	6.613 366	303
0.007	6.578 978	12	0.057	6.581 819	101	0.107	6.588 906	182	0.157	6.599 757	251	0.207	6.613 669	304
0.008	6.578 992	14	0.058	6.581 920	103	0.108	6.589 088	183	0.158	6.600 008	252	0.208	6.613 973	304
0.009	6.579 007	15	0.059	6.582 023	105	0.109	6.589 271	186	0.159	6.600 260	253	0.209	6.614 277	306
		17			105			186			253			306
0.010	6.579 024		0.060	6.582 128	106	0.110	6.589 457	186	0.160	6.600 513	255	0.210	6.614 583	306
0.011	6.579 043	19	0.061	6.582 234	108	0.111	6.589 643	188	0.161	6.600 768	256	0.211	6.614 889	307
0.012	6.579 063	20	0.062	6.582 342	110	0.112	6.589 831	190	0.162	6.601 024	257	0.212	6.615 196	307
0.013	6.579 085	22	0.063	6.582 452	111	0.113	6.590 021	191	0.163	6.601 281	258	0.213	6.615 505	309
0.014	6.579 110	25	0.064	6.582 563	113	0.114	6.590 212	193	0.164	6.601 539	259	0.214	6.615 814	309
0.015	6.579 136	26	0.065	6.582 677	114	0.115	6.590 405	194	0.165	6.601 798	261	0.215	6.616 123	311
0.016	6.579 163	27	0.066	6.582 791	117	0.116	6.590 599	196	0.166	6.602 059	261	0.216	6.616 434	311
0.017	6.579 193	30	0.067	6.582 908	117	0.117	6.590 795	197	0.167	6.602 320	263	0.217	6.616 745	312
0.018	6.579 224	31	0.068	6.583 026	118	0.118	6.590 992	198	0.168	6.602 583	264	0.218	6.617 057	312
0.019	6.579 257	33	0.069	6.583 146	120	0.119	6.591 190	200	0.169	6.602 847	266	0.219	6.617 370	313
		35			122			200			266			314
0.020	6.579 292		0.070	6.583 268	123	0.120	6.591 390	201	0.170	6.603 113	266	0.220	6.617 684	315
0.021	6.579 328	36	0.071	6.583 391	125	0.121	6.591 591	203	0.171	6.603 379	267	0.221	6.617 999	315
0.022	6.579 367	39	0.072	6.583 516	126	0.122	6.591 794	204	0.172	6.603 646	269	0.222	6.618 314	316
0.023	6.579 407	40	0.073	6.583 642	129	0.123	6.591 998	206	0.173	6.603 915	269	0.223	6.618 630	317
0.024	6.579 449	42	0.074	6.583 771	129	0.124	6.592 204	207	0.174	6.604 184	271	0.224	6.618 947	318
0.025	6.579 493	44	0.075	6.583 900	132	0.125	6.592 411	209	0.175	6.604 455	272	0.225	6.619 265	319
0.026	6.579 538	45	0.076	6.584 032	133	0.126	6.592 620	210	0.176	6.604 727	273	0.226	6.619 581	319
0.027	6.579 585	47	0.077	6.584 165	135	0.127	6.592 830	211	0.177	6.605 000	274	0.227	6.619 903	320
0.028	6.579 635	50	0.078	6.584 300	136	0.128	6.593 041	213	0.178	6.605 274	275	0.228	6.620 223	320
0.029	6.579 685	50	0.079	6.584 436	138	0.129	6.593 254	214	0.179	6.605 549	277	0.229	6.620 543	322
		53			138			214			277			322
0.030	6.579 738		0.080	6.584 574	140	0.130	6.593 468	216	0.180	6.605 826	277	0.230	6.620 865	322
0.031	6.579 792	54	0.081	6.584 714	141	0.131	6.593 684	217	0.181	6.606 103	278	0.231	6.621 187	323
0.032	6.579 848	56	0.082	6.584 855	143	0.132	6.593 901	218	0.182	6.606 381	280	0.232	6.621 510	323
0.033	6.579 906	58	0.083	6.584 998	145	0.133	6.594 119	220	0.183	6.606 661	280	0.233	6.621 833	324
0.034	6.579 966	60	0.084	6.585 143	146	0.134	6.594 339	221	0.184	6.606 941	282	0.234	6.622 157	325
0.035	6.580 027	61	0.085	6.585 289	148	0.135	6.594 560	222	0.185	6.607 223	283	0.235	6.622 482	326
0.036	6.580 090	63	0.086	6.585 437	149	0.136	6.594 782	224	0.186	6.607 506	283	0.236	6.622 808	326
0.037	6.580 155	65	0.087	6.585 586	151	0.137	6.595 006	225	0.187	6.607 790	285	0.237	6.623 134	327
0.038	6.580 222	67	0.088	6.585 737	153	0.138	6.595 231	226	0.188	6.608 074	286	0.238	6.623 461	327
0.039	6.580 290	68	0.089	6.585 890	154	0.139	6.595 457	228	0.189	6.608 360	286	0.239	6.623 788	329
		70			154			228			286			329
0.040	6.580 360		0.090	6.586 044	156	0.140	6.595 685	229	0.190	6.608 646	288	0.240	6.624 117	328
0.041	6.580 432	72	0.091	6.586 200	157	0.141	6.595 914	231	0.191	6.608 934	289	0.241	6.624 445	330
0.042	6.580 506	74	0.092	6.586 357	159	0.142	6.596 145	232	0.192	6.609 223	290	0.242	6.624 775	330
0.043	6.580 581	75	0.093	6.586 516	161	0.143	6.596 377	233	0.193	6.609 513	290	0.243	6.625 105	331
0.044	6.580 658	77	0.094	6.586 677	162	0.144	6.596 610	234	0.194	6.609 803	292	0.244	6.625 436	331
0.045	6.580 737	79	0.095	6.586 839	164	0.145	6.596 844	236	0.195	6.610 095	293	0.245	6.625 767	332
0.046	6.580 818	81	0.096	6.587 003	165	0.146	6.597 080	237	0.196	6.610 388	293	0.246	6.626 099	333
0.047	6.580 900	82	0.097	6.587 168	167	0.147	6.597 317	238	0.197	6.610 681	295	0.247	6.626 432	333
0.048	6.580 984	84	0.098	6.587 335	168	0.148	6.597 555	240	0.198	6.610 976	295	0.248	6.626 765	333
0.049	6.581 070	86	0.099	6.587 503	170	0.149	6.597 795	241	0.199	6.611 271	297	0.249	6.627 098	333
0.050	6.581 158	88	0.100	6.587 673	170	0.150	6.598 036	241	0.200	6.611 568	297	0.250	6.627 433	335

Tafel IX.

 $\log \{P_2^6(m)\}.$

$\pm m$	P	$-J$	$\pm m$	P	$-J$	$\pm m$	P	$-J$	$\pm m$	P	$-J$	$\pm m$	P	$-J$
0.000	6.623 091		0.050	6.616 743	258	0.100	6.597 278	531	0.150	6.563 313	843	0.200	6.512 100	1230
0.001	6.623 088	3	0.051	6.616 485	263	0.101	6.596 747	537	0.151	6.562 470	849	0.201	6.510 870	1238
0.002	6.623 081	13	0.052	6.616 222	268	0.102	6.596 210	542	0.152	6.561 621	857	0.202	6.509 632	1248
0.003	6.623 068	18	0.053	6.615 954	274	0.103	6.595 668	548	0.153	6.560 764	864	0.203	6.508 384	1256
0.004	6.623 050	22	0.054	6.615 680	279	0.104	6.595 120	554	0.154	6.559 900	871	0.204	6.507 128	1266
0.005	6.623 028	28	0.055	6.615 401	284	0.105	6.594 566	559	0.155	6.559 029	877	0.205	6.505 862	1274
0.006	6.623 000	33	0.056	6.615 117	289	0.106	6.594 007	566	0.156	6.558 152	885	0.206	6.504 588	1284
0.007	6.622 967	38	0.057	6.614 828	295	0.107	6.593 441	571	0.157	6.557 267	891	0.207	6.503 304	1293
0.008	6.622 929	43	0.058	6.614 533	300	0.108	6.592 870	578	0.158	6.556 376	899	0.208	6.502 011	1302
0.009	6.622 886	48	0.059	6.614 233	305	0.109	6.592 292	583	0.159	6.555 477	906	0.209	6.500 709	1311
0.010	6.622 838	53	0.060	6.613 928	310	0.110	6.591 709	589	0.160	6.554 571	913	0.210	6.499 398	1321
0.011	6.622 785	58	0.061	6.613 618	316	0.111	6.591 120	595	0.161	6.553 658	920	0.211	6.498 077	1330
0.012	6.622 727	63	0.062	6.613 302	321	0.112	6.590 525	601	0.162	6.552 738	927	0.212	6.496 747	1340
0.013	6.622 664	69	0.063	6.612 981	326	0.113	6.589 924	607	0.163	6.551 811	935	0.213	6.495 407	1349
0.014	6.622 595	73	0.064	6.612 655	332	0.114	6.589 317	613	0.164	6.550 876	942	0.214	6.494 058	1359
0.015	6.622 522	78	0.065	6.612 323	337	0.115	6.588 704	619	0.165	6.549 934	949	0.215	6.492 699	1369
0.016	6.622 444	84	0.066	6.611 986	343	0.116	6.588 085	625	0.166	6.548 985	956	0.216	6.491 330	1378
0.017	6.622 360	88	0.067	6.611 643	347	0.117	6.587 460	631	0.167	6.548 029	964	0.217	6.489 952	1388
0.018	6.622 272	94	0.068	6.611 296	353	0.118	6.586 829	637	0.168	6.547 065	971	0.218	6.488 564	1398
0.019	6.622 178	98	0.069	6.610 943	359	0.119	6.586 192	644	0.169	6.546 094	979	0.219	6.487 166	1408
0.020	6.622 080	104	0.070	6.610 584	364	0.120	6.585 548	649	0.170	6.545 115	986	0.220	6.485 758	1418
0.021	6.621 976	109	0.071	6.610 220	369	0.121	6.584 899	655	0.171	6.544 129	993	0.221	6.484 340	1428
0.022	6.621 867	114	0.072	6.609 851	375	0.122	6.584 244	662	0.172	6.543 136	1002	0.222	6.482 912	1439
0.023	6.621 753	119	0.073	6.609 476	380	0.123	6.583 582	668	0.173	6.542 134	1008	0.223	6.481 473	1448
0.024	6.621 634	124	0.074	6.609 096	385	0.124	6.582 914	674	0.174	6.541 126	1017	0.224	6.480 025	1459
0.025	6.621 510	129	0.075	6.608 711	391	0.125	6.582 240	680	0.175	6.540 109	1024	0.225	6.478 566	1469
0.026	6.621 381	134	0.076	6.608 320	396	0.126	6.581 560	686	0.176	6.539 085	1032	0.226	6.477 097	1480
0.027	6.621 247	140	0.077	6.607 924	402	0.127	6.580 874	693	0.177	6.538 053	1039	0.227	6.475 617	1490
0.028	6.621 107	144	0.078	6.607 522	408	0.128	6.580 181	699	0.178	6.537 014	1047	0.228	6.474 127	1501
0.029	6.620 963	150	0.079	6.607 114	412	0.129	6.579 482	705	0.179	6.535 967	1055	0.229	6.472 626	1511
0.030	6.620 813	154	0.080	6.606 702	418	0.130	6.578 777	712	0.180	6.534 912	1063	0.230	6.471 115	1523
0.031	6.620 659	160	0.081	6.606 284	424	0.131	6.578 065	718	0.181	6.533 849	1071	0.231	6.469 592	1533
0.032	6.620 499	165	0.082	6.605 860	429	0.132	6.577 347	724	0.182	6.532 778	1079	0.232	6.468 059	1544
0.033	6.620 334	170	0.083	6.605 431	435	0.133	6.576 623	731	0.183	6.531 699	1087	0.233	6.466 515	1555
0.034	6.620 164	175	0.084	6.604 996	441	0.134	6.575 892	737	0.184	6.530 612	1095	0.234	6.464 960	1566
0.035	6.619 989	180	0.085	6.604 555	445	0.135	6.575 155	743	0.185	6.529 517	1102	0.235	6.463 394	1577
0.036	6.619 809	186	0.086	6.604 110	452	0.136	6.574 412	750	0.186	6.528 415	1111	0.236	6.461 817	1589
0.037	6.619 623	190	0.087	6.603 658	457	0.137	6.573 662	757	0.187	6.527 304	1120	0.237	6.460 228	1600
0.038	6.619 433	196	0.088	6.603 201	462	0.138	6.572 905	763	0.188	6.526 184	1127	0.238	6.458 628	1611
0.039	6.619 237	201	0.089	6.602 739	469	0.139	6.572 142	769	0.189	6.525 057	1136	0.239	6.457 017	1623
0.040	6.619 036	206	0.090	6.602 270	473	0.140	6.571 373	776	0.190	6.523 920	1144	0.240	6.455 394	1635
0.041	6.618 830	211	0.091	6.601 797	480	0.141	6.570 597	783	0.191	6.522 777	1152	0.241	6.453 759	1646
0.042	6.618 619	216	0.092	6.601 317	485	0.142	6.569 814	789	0.192	6.521 625	1161	0.242	6.452 113	1658
0.043	6.618 403	222	0.093	6.600 832	491	0.143	6.569 025	796	0.193	6.520 464	1169	0.243	6.450 455	1670
0.044	6.618 181	227	0.094	6.600 341	496	0.144	6.568 229	802	0.194	6.519 295	1178	0.244	6.448 785	1682
0.045	6.617 954	232	0.095	6.599 845	502	0.145	6.567 427	809	0.195	6.518 117	1186	0.245	6.447 103	1694
0.046	6.617 722	237	0.096	6.599 343	508	0.146	6.566 618	816	0.196	6.516 931	1195	0.246	6.445 409	1707
0.047	6.617 485	242	0.097	6.598 835	513	0.147	6.565 802	823	0.197	6.515 736	1203	0.247	6.443 702	1718
0.048	6.617 243	247	0.098	6.598 322	519	0.148	6.564 979	829	0.198	6.514 533	1212	0.248	6.441 984	1732
0.049	6.616 996	253	0.099	6.597 803	525	0.149	6.564 150	837	0.199	6.513 321	1221	0.249	6.440 252	1743
0.050	6.616 743		0.100	6.597 278		0.150	6.563 313		0.200	6.512 100		0.250	6.438 509	

Tafel IX.

 $\log \{P_2^2 m\}$.

$\pm m$	P	$+J$	$\pm m$	P	$+J$	$\pm m$	P	$+J$	$\pm m$	P	$+J$	$\pm m$	P	$+J$
0.000	$\zeta_{11} 777$	993	0.050	$\zeta_{11} 780$	085	0.100	$\zeta_{11} 786$	216	0.150	$\zeta_{11} 795$	971	0.200	$\zeta_{11} 808$	711
0.001	$\zeta_{11} 777$	993	0.051	$\zeta_{11} 780$	169	0.101	$\zeta_{11} 786$	3 ⁻ 8	0.151	$\zeta_{11} 796$	199	0.201	$\zeta_{11} 808$	991
0.002	$\zeta_{11} 777$	996	0.052	$\zeta_{11} 780$	254	0.102	$\zeta_{11} 786$	541	0.152	$\zeta_{11} 796$	428	0.202	$\zeta_{11} 809$	272
0.003	$\zeta_{11} 778$	000	0.053	$\zeta_{11} 780$	342	0.103	$\zeta_{11} 786$	705	0.153	$\zeta_{11} 796$	658	0.203	$\zeta_{11} 809$	554
0.004	$\zeta_{11} 778$	006	0.054	$\zeta_{11} 780$	431	0.104	$\zeta_{11} 786$	871	0.154	$\zeta_{11} 796$	890	0.204	$\zeta_{11} 809$	836
0.005	$\zeta_{11} 778$	014	0.055	$\zeta_{11} 780$	521	0.105	$\zeta_{11} 787$	038	0.155	$\zeta_{11} 797$	122	0.205	$\zeta_{11} 810$	120
0.006	$\zeta_{11} 778$	023	0.056	$\zeta_{11} 780$	613	0.106	$\zeta_{11} 787$	206	0.156	$\zeta_{11} 797$	356	0.206	$\zeta_{11} 810$	404
0.007	$\zeta_{11} 778$	034	0.057	$\zeta_{11} 780$	707	0.107	$\zeta_{11} 787$	376	0.157	$\zeta_{11} 797$	591	0.207	$\zeta_{11} 810$	689
0.008	$\zeta_{11} 778$	046	0.058	$\zeta_{11} 780$	802	0.108	$\zeta_{11} 787$	548	0.158	$\zeta_{11} 797$	827	0.208	$\zeta_{11} 810$	975
0.009	$\zeta_{11} 778$	061	0.059	$\zeta_{11} 780$	899	0.109	$\zeta_{11} 787$	721	0.159	$\zeta_{11} 798$	065	0.209	$\zeta_{11} 811$	262
		16			99			174			238			288
0.010	$\zeta_{11} 778$	077	0.060	$\zeta_{11} 780$	998	0.110	$\zeta_{11} 787$	895	0.160	$\zeta_{11} 798$	303	0.210	$\zeta_{11} 811$	550
0.011	$\zeta_{11} 778$	094	0.061	$\zeta_{11} 781$	098	0.111	$\zeta_{11} 788$	071	0.161	$\zeta_{11} 798$	543	0.211	$\zeta_{11} 811$	838
0.012	$\zeta_{11} 778$	114	0.062	$\zeta_{11} 781$	200	0.112	$\zeta_{11} 788$	248	0.162	$\zeta_{11} 798$	784	0.212	$\zeta_{11} 812$	128
0.013	$\zeta_{11} 778$	135	0.063	$\zeta_{11} 781$	303	0.113	$\zeta_{11} 788$	426	0.163	$\zeta_{11} 799$	026	0.213	$\zeta_{11} 812$	418
0.014	$\zeta_{11} 778$	157	0.064	$\zeta_{11} 781$	408	0.114	$\zeta_{11} 788$	606	0.164	$\zeta_{11} 799$	269	0.214	$\zeta_{11} 812$	709
0.015	$\zeta_{11} 778$	182	0.065	$\zeta_{11} 781$	514	0.115	$\zeta_{11} 788$	787	0.165	$\zeta_{11} 799$	513	0.215	$\zeta_{11} 813$	000
0.016	$\zeta_{11} 778$	208	0.066	$\zeta_{11} 781$	622	0.116	$\zeta_{11} 788$	970	0.166	$\zeta_{11} 799$	758	0.216	$\zeta_{11} 813$	293
0.017	$\zeta_{11} 778$	236	0.067	$\zeta_{11} 781$	732	0.117	$\zeta_{11} 788$	1154	0.167	$\zeta_{11} 800$	004	0.217	$\zeta_{11} 813$	586
0.018	$\zeta_{11} 778$	265	0.068	$\zeta_{11} 781$	843	0.118	$\zeta_{11} 789$	1340	0.168	$\zeta_{11} 800$	252	0.218	$\zeta_{11} 813$	880
0.019	$\zeta_{11} 778$	296	0.069	$\zeta_{11} 781$	956	0.119	$\zeta_{11} 789$	1526	0.169	$\zeta_{11} 800$	500	0.219	$\zeta_{11} 814$	175
		33			114			189			250			295
0.020	$\zeta_{11} 778$	329	0.070	$\zeta_{11} 782$	070	0.120	$\zeta_{11} 789$	1715	0.170	$\zeta_{11} 800$	750	0.220	$\zeta_{11} 814$	470
0.021	$\zeta_{11} 778$	363	0.071	$\zeta_{11} 782$	186	0.121	$\zeta_{11} 789$	1904	0.171	$\zeta_{11} 801$	001	0.221	$\zeta_{11} 814$	766
0.022	$\zeta_{11} 778$	399	0.072	$\zeta_{11} 782$	304	0.122	$\zeta_{11} 789$	2095	0.172	$\zeta_{11} 801$	252	0.222	$\zeta_{11} 815$	063
0.023	$\zeta_{11} 778$	437	0.073	$\zeta_{11} 782$	423	0.123	$\zeta_{11} 790$	2287	0.173	$\zeta_{11} 801$	505	0.223	$\zeta_{11} 815$	361
0.024	$\zeta_{11} 778$	477	0.074	$\zeta_{11} 782$	544	0.124	$\zeta_{11} 790$	2481	0.174	$\zeta_{11} 801$	759	0.224	$\zeta_{11} 815$	660
0.025	$\zeta_{11} 778$	518	0.075	$\zeta_{11} 782$	666	0.125	$\zeta_{11} 790$	2676	0.175	$\zeta_{11} 802$	014	0.225	$\zeta_{11} 815$	959
0.026	$\zeta_{11} 778$	561	0.076	$\zeta_{11} 782$	790	0.126	$\zeta_{11} 790$	2872	0.176	$\zeta_{11} 802$	270	0.226	$\zeta_{11} 816$	258
0.027	$\zeta_{11} 778$	605	0.077	$\zeta_{11} 782$	915	0.127	$\zeta_{11} 791$	3069	0.177	$\zeta_{11} 802$	527	0.227	$\zeta_{11} 816$	559
0.028	$\zeta_{11} 778$	651	0.078	$\zeta_{11} 783$	042	0.128	$\zeta_{11} 791$	3269	0.178	$\zeta_{11} 802$	785	0.228	$\zeta_{11} 816$	860
0.029	$\zeta_{11} 778$	699	0.079	$\zeta_{11} 783$	170	0.129	$\zeta_{11} 791$	3469	0.179	$\zeta_{11} 803$	044	0.229	$\zeta_{11} 817$	162
		50			130			202			260			303
0.030	$\zeta_{11} 778$	749	0.080	$\zeta_{11} 783$	300	0.130	$\zeta_{11} 791$	3671	0.180	$\zeta_{11} 803$	304	0.230	$\zeta_{11} 817$	465
0.031	$\zeta_{11} 778$	800	0.081	$\zeta_{11} 783$	432	0.131	$\zeta_{11} 791$	3874	0.181	$\zeta_{11} 803$	566	0.231	$\zeta_{11} 817$	768
0.032	$\zeta_{11} 778$	852	0.082	$\zeta_{11} 783$	565	0.132	$\zeta_{11} 792$	4078	0.182	$\zeta_{11} 803$	828	0.232	$\zeta_{11} 818$	072
0.033	$\zeta_{11} 778$	907	0.083	$\zeta_{11} 783$	699	0.133	$\zeta_{11} 792$	4283	0.183	$\zeta_{11} 804$	091	0.233	$\zeta_{11} 818$	377
0.034	$\zeta_{11} 778$	963	0.084	$\zeta_{11} 783$	835	0.134	$\zeta_{11} 792$	4490	0.184	$\zeta_{11} 804$	355	0.234	$\zeta_{11} 818$	682
0.035	$\zeta_{11} 779$	021	0.085	$\zeta_{11} 783$	973	0.135	$\zeta_{11} 792$	4698	0.185	$\zeta_{11} 804$	620	0.235	$\zeta_{11} 818$	988
0.036	$\zeta_{11} 779$	080	0.086	$\zeta_{11} 784$	112	0.136	$\zeta_{11} 792$	4908	0.186	$\zeta_{11} 804$	886	0.236	$\zeta_{11} 819$	294
0.037	$\zeta_{11} 779$	141	0.087	$\zeta_{11} 784$	252	0.137	$\zeta_{11} 793$	5115	0.187	$\zeta_{11} 805$	153	0.237	$\zeta_{11} 819$	602
0.038	$\zeta_{11} 779$	204	0.088	$\zeta_{11} 784$	394	0.138	$\zeta_{11} 793$	5320	0.188	$\zeta_{11} 805$	421	0.238	$\zeta_{11} 819$	910
0.039	$\zeta_{11} 779$	268	0.089	$\zeta_{11} 784$	538	0.139	$\zeta_{11} 793$	5524	0.189	$\zeta_{11} 805$	690	0.239	$\zeta_{11} 820$	218
		66			145			214			270			309
0.040	$\zeta_{11} 779$	331	0.090	$\zeta_{11} 784$	683	0.140	$\zeta_{11} 793$	5728	0.190	$\zeta_{11} 805$	960	0.240	$\zeta_{11} 820$	527
0.041	$\zeta_{11} 779$	400	0.091	$\zeta_{11} 784$	830	0.141	$\zeta_{11} 793$	5934	0.191	$\zeta_{11} 806$	231	0.241	$\zeta_{11} 820$	837
0.042	$\zeta_{11} 779$	471	0.092	$\zeta_{11} 784$	978	0.142	$\zeta_{11} 794$	6141	0.192	$\zeta_{11} 806$	503	0.242	$\zeta_{11} 821$	147
0.043	$\zeta_{11} 779$	544	0.093	$\zeta_{11} 785$	128	0.143	$\zeta_{11} 794$	6349	0.193	$\zeta_{11} 806$	776	0.243	$\zeta_{11} 821$	458
0.044	$\zeta_{11} 779$	615	0.094	$\zeta_{11} 785$	279	0.144	$\zeta_{11} 794$	6558	0.194	$\zeta_{11} 807$	050	0.244	$\zeta_{11} 821$	769
0.045	$\zeta_{11} 779$	689	0.095	$\zeta_{11} 785$	431	0.145	$\zeta_{11} 794$	6768	0.195	$\zeta_{11} 807$	324	0.245	$\zeta_{11} 822$	081
0.046	$\zeta_{11} 779$	765	0.096	$\zeta_{11} 785$	585	0.146	$\zeta_{11} 795$	6979	0.196	$\zeta_{11} 807$	600	0.246	$\zeta_{11} 822$	394
0.047	$\zeta_{11} 779$	841	0.097	$\zeta_{11} 785$	741	0.147	$\zeta_{11} 795$	7194	0.197	$\zeta_{11} 807$	876	0.247	$\zeta_{11} 822$	707
0.048	$\zeta_{11} 779$	922	0.098	$\zeta_{11} 785$	898	0.148	$\zeta_{11} 795$	7418	0.198	$\zeta_{11} 808$	154	0.248	$\zeta_{11} 823$	021
0.049	$\zeta_{11} 780$	002	0.099	$\zeta_{11} 786$	056	0.149	$\zeta_{11} 795$	7644	0.199	$\zeta_{11} 808$	432	0.249	$\zeta_{11} 823$	335
0.050	$\zeta_{11} 780$	085	0.100	$\zeta_{11} 786$	216	0.150	$\zeta_{11} 795$	971	0.200	$\zeta_{11} 808$	711	0.250	$\zeta_{11} 823$	650

Tafel IX.

 $\log \{P_2 S m\}$

$\pm m$	P	$-J$	$\pm m$	P	$-J$	$\pm m$	P	$-J$	$\pm m$	P	$-J$	$\pm m$	P	$-J$
0.000	5 ₀ 9 ⁻ 8	205	0.050	5 ₀ 9 ⁻ 2	0 ⁻ 7	0.100	5 ₀ 9 ⁻ 53	30 ⁻ 7	0.150	5 ₀ 9 ⁻ 20	640	0.200	5 ₀ 8 ⁻ 71	595
0.001	5 ₀ 9 ⁻ 8	202	0.051	5 ₀ 9 ⁻ 1	828	0.101	5 ₀ 9 ⁻ 52	796	0.151	5 ₀ 9 ⁻ 19	830	0.201	5 ₀ 8 ⁻ 70	421
0.002	5 ₀ 9 ⁻ 8	195	0.052	5 ₀ 9 ⁻ 1	5 ⁻ 4	0.102	5 ₀ 9 ⁻ 52	2 ⁻ 9	0.152	5 ₀ 9 ⁻ 19	0 ⁻ 4	0.202	5 ₀ 8 ⁻ 69	238
0.003	5 ₀ 9 ⁻ 8	183	0.053	5 ₀ 9 ⁻ 1	315	0.103	5 ₀ 9 ⁻ 51	756	0.153	5 ₀ 9 ⁻ 18	162	0.203	5 ₀ 8 ⁻ 68	047
0.004	5 ₀ 9 ⁻ 8	166	0.054	5 ₀ 9 ⁻ 1	051	0.104	5 ₀ 9 ⁻ 51	229	0.154	5 ₀ 9 ⁻ 17	363	0.204	5 ₀ 8 ⁻ 66	848
0.005	5 ₀ 9 ⁻ 8	141	0.055	5 ₀ 9 ⁻ 0	782	0.105	5 ₀ 9 ⁻ 50	695	0.155	5 ₀ 9 ⁻ 16	527	0.205	5 ₀ 8 ⁻ 65	640
0.006	5 ₀ 9 ⁻ 8	117	0.056	5 ₀ 9 ⁻ 0	508	0.106	5 ₀ 9 ⁻ 50	156	0.156	5 ₀ 9 ⁻ 15	685	0.206	5 ₀ 8 ⁻ 64	424
0.007	5 ₀ 9 ⁻ 8	085	0.057	5 ₀ 9 ⁻ 0	228	0.107	5 ₀ 9 ⁻ 49	611	0.157	5 ₀ 9 ⁻ 14	856	0.207	5 ₀ 8 ⁻ 63	199
0.008	5 ₀ 9 ⁻ 8	049	0.058	5 ₀ 9 ⁻ 0	944	0.108	5 ₀ 9 ⁻ 49	061	0.158	5 ₀ 9 ⁻ 13	980	0.208	5 ₀ 8 ⁻ 61	966
0.009	5 ₀ 9 ⁻ 8	007	0.059	5 ₀ 9 ⁻ 0	655	0.109	5 ₀ 9 ⁻ 48	505	0.159	5 ₀ 9 ⁻ 13	118	0.209	5 ₀ 8 ⁻ 60	724
		46			295			562			869			1251
0.010	5 ₀ 9 ⁻ 7	961	0.060	5 ₀ 9 ⁻ 0	369	0.110	5 ₀ 9 ⁻ 47	943	0.160	5 ₀ 9 ⁻ 12	249	0.210	5 ₀ 8 ⁻ 59	473
0.011	5 ₀ 9 ⁻ 7	909	0.061	5 ₀ 9 ⁻ 0	061	0.111	5 ₀ 9 ⁻ 47	376	0.161	5 ₀ 9 ⁻ 11	373	0.211	5 ₀ 8 ⁻ 58	214
0.012	5 ₀ 9 ⁻ 7	853	0.062	5 ₀ 9 ⁻ 0	756	0.112	5 ₀ 9 ⁻ 46	803	0.162	5 ₀ 9 ⁻ 10	490	0.212	5 ₀ 8 ⁻ 56	945
0.013	5 ₀ 9 ⁻ 7	792	0.063	5 ₀ 9 ⁻ 0	446	0.113	5 ₀ 9 ⁻ 46	225	0.163	5 ₀ 9 ⁻ 09	601	0.213	5 ₀ 8 ⁻ 55	668
0.014	5 ₀ 9 ⁻ 7	726	0.064	5 ₀ 9 ⁻ 0	131	0.114	5 ₀ 9 ⁻ 45	649	0.164	5 ₀ 9 ⁻ 08	705	0.214	5 ₀ 8 ⁻ 54	382
0.015	5 ₀ 9 ⁻ 7	656	0.065	5 ₀ 9 ⁻ 0	811	0.115	5 ₀ 9 ⁻ 45	050	0.165	5 ₀ 9 ⁻ 07	802	0.215	5 ₀ 8 ⁻ 53	087
0.016	5 ₀ 9 ⁻ 7	580	0.066	5 ₀ 9 ⁻ 0	496	0.116	5 ₀ 9 ⁻ 44	454	0.166	5 ₀ 9 ⁻ 06	892	0.216	5 ₀ 8 ⁻ 51	783
0.017	5 ₀ 9 ⁻ 7	499	0.067	5 ₀ 9 ⁻ 0	186	0.117	5 ₀ 9 ⁻ 43	853	0.167	5 ₀ 9 ⁻ 05	975	0.217	5 ₀ 8 ⁻ 50	470
0.018	5 ₀ 9 ⁻ 7	411	0.068	5 ₀ 9 ⁻ 0	821	0.118	5 ₀ 9 ⁻ 43	245	0.168	5 ₀ 9 ⁻ 05	051	0.218	5 ₀ 8 ⁻ 49	148
0.019	5 ₀ 9 ⁻ 7	324	0.069	5 ₀ 9 ⁻ 0	480	0.119	5 ₀ 9 ⁻ 42	632	0.169	5 ₀ 9 ⁻ 04	120	0.219	5 ₀ 8 ⁻ 47	817
		96			346			619			938			1341
0.020	5 ₀ 9 ⁻ 7	228	0.070	5 ₀ 9 ⁻ 0	154	0.120	5 ₀ 9 ⁻ 42	013	0.170	5 ₀ 9 ⁻ 03	182	0.220	5 ₀ 8 ⁻ 46	476
0.021	5 ₀ 9 ⁻ 7	128	0.071	5 ₀ 9 ⁻ 0	783	0.121	5 ₀ 9 ⁻ 41	388	0.171	5 ₀ 9 ⁻ 02	237	0.221	5 ₀ 8 ⁻ 45	126
0.022	5 ₀ 9 ⁻ 7	023	0.072	5 ₀ 9 ⁻ 0	427	0.122	5 ₀ 9 ⁻ 40	758	0.172	5 ₀ 9 ⁻ 01	285	0.222	5 ₀ 8 ⁻ 43	767
0.023	5 ₀ 9 ⁻ 6	913	0.073	5 ₀ 9 ⁻ 0	066	0.123	5 ₀ 9 ⁻ 40	121	0.173	5 ₀ 9 ⁻ 00	325	0.223	5 ₀ 8 ⁻ 42	398
0.024	5 ₀ 9 ⁻ 6	798	0.074	5 ₀ 9 ⁻ 0	699	0.124	5 ₀ 9 ⁻ 39	470	0.174	5 ₀ 8 ⁻ 99	359	0.224	5 ₀ 8 ⁻ 41	019
0.025	5 ₀ 9 ⁻ 6	678	0.075	5 ₀ 9 ⁻ 0	327	0.125	5 ₀ 9 ⁻ 38	830	0.175	5 ₀ 8 ⁻ 98	385	0.225	5 ₀ 8 ⁻ 39	632
0.026	5 ₀ 9 ⁻ 6	554	0.076	5 ₀ 9 ⁻ 0	950	0.126	5 ₀ 9 ⁻ 38	176	0.176	5 ₀ 8 ⁻ 97	404	0.226	5 ₀ 8 ⁻ 38	234
0.027	5 ₀ 9 ⁻ 6	424	0.077	5 ₀ 9 ⁻ 0	568	0.127	5 ₀ 9 ⁻ 37	516	0.177	5 ₀ 8 ⁻ 96	419	0.227	5 ₀ 8 ⁻ 36	827
0.028	5 ₀ 9 ⁻ 6	290	0.078	5 ₀ 9 ⁻ 0	181	0.128	5 ₀ 9 ⁻ 36	849	0.178	5 ₀ 8 ⁻ 95	421	0.228	5 ₀ 8 ⁻ 35	410
0.029	5 ₀ 9 ⁻ 6	150	0.079	5 ₀ 9 ⁻ 0	788	0.129	5 ₀ 9 ⁻ 36	177	0.179	5 ₀ 8 ⁻ 94	418	0.229	5 ₀ 8 ⁻ 33	983
		144			398			678			1010			1437
0.030	5 ₀ 9 ⁻ 6	006	0.080	5 ₀ 9 ⁻ 0	390	0.130	5 ₀ 9 ⁻ 35	490	0.180	5 ₀ 8 ⁻ 93	408	0.230	5 ₀ 8 ⁻ 32	546
0.031	5 ₀ 9 ⁻ 5	856	0.081	5 ₀ 9 ⁻ 0	987	0.131	5 ₀ 9 ⁻ 34	815	0.181	5 ₀ 8 ⁻ 92	390	0.231	5 ₀ 8 ⁻ 31	099
0.032	5 ₀ 9 ⁻ 5	702	0.082	5 ₀ 9 ⁻ 0	578	0.132	5 ₀ 9 ⁻ 34	124	0.182	5 ₀ 8 ⁻ 91	365	0.232	5 ₀ 8 ⁻ 29	643
0.033	5 ₀ 9 ⁻ 5	543	0.083	5 ₀ 9 ⁻ 0	164	0.133	5 ₀ 9 ⁻ 33	428	0.183	5 ₀ 8 ⁻ 90	333	0.233	5 ₀ 8 ⁻ 28	176
0.034	5 ₀ 9 ⁻ 5	379	0.084	5 ₀ 9 ⁻ 0	745	0.134	5 ₀ 9 ⁻ 32	725	0.184	5 ₀ 8 ⁻ 89	293	0.234	5 ₀ 8 ⁻ 26	699
0.035	5 ₀ 9 ⁻ 5	210	0.085	5 ₀ 9 ⁻ 0	321	0.135	5 ₀ 9 ⁻ 32	017	0.185	5 ₀ 8 ⁻ 88	245	0.235	5 ₀ 8 ⁻ 25	211
0.036	5 ₀ 9 ⁻ 5	036	0.086	5 ₀ 9 ⁻ 0	891	0.136	5 ₀ 9 ⁻ 31	302	0.186	5 ₀ 8 ⁻ 87	190	0.236	5 ₀ 8 ⁻ 23	714
0.037	5 ₀ 9 ⁻ 4	857	0.087	5 ₀ 9 ⁻ 0	456	0.137	5 ₀ 9 ⁻ 30	581	0.187	5 ₀ 8 ⁻ 86	127	0.237	5 ₀ 8 ⁻ 22	206
0.038	5 ₀ 9 ⁻ 4	673	0.088	5 ₀ 9 ⁻ 0	215	0.138	5 ₀ 9 ⁻ 29	854	0.188	5 ₀ 8 ⁻ 85	056	0.238	5 ₀ 8 ⁻ 20	687
0.039	5 ₀ 9 ⁻ 4	484	0.089	5 ₀ 9 ⁻ 0	509	0.139	5 ₀ 9 ⁻ 29	121	0.189	5 ₀ 8 ⁻ 83	978	0.239	5 ₀ 8 ⁻ 19	158
		194			451			739			1086			1540
0.040	5 ₀ 9 ⁻ 4	290	0.090	5 ₀ 9 ⁻ 0	118	0.140	5 ₀ 9 ⁻ 28	382	0.190	5 ₀ 8 ⁻ 82	892	0.240	5 ₀ 8 ⁻ 17	618
0.041	5 ₀ 9 ⁻ 4	091	0.091	5 ₀ 9 ⁻ 0	661	0.141	5 ₀ 9 ⁻ 27	636	0.191	5 ₀ 8 ⁻ 81	798	0.241	5 ₀ 8 ⁻ 16	068
0.042	5 ₀ 9 ⁻ 3	887	0.092	5 ₀ 9 ⁻ 0	199	0.142	5 ₀ 9 ⁻ 26	884	0.192	5 ₀ 8 ⁻ 80	697	0.242	5 ₀ 8 ⁻ 14	507
0.043	5 ₀ 9 ⁻ 3	678	0.093	5 ₀ 9 ⁻ 0	732	0.143	5 ₀ 9 ⁻ 26	126	0.193	5 ₀ 8 ⁻ 79	587	0.243	5 ₀ 8 ⁻ 12	935
0.044	5 ₀ 9 ⁻ 3	463	0.094	5 ₀ 9 ⁻ 0	259	0.144	5 ₀ 9 ⁻ 25	361	0.194	5 ₀ 8 ⁻ 78	469	0.244	5 ₀ 8 ⁻ 11	351
0.045	5 ₀ 9 ⁻ 3	249	0.095	5 ₀ 9 ⁻ 0	781	0.145	5 ₀ 9 ⁻ 24	590	0.195	5 ₀ 8 ⁻ 77	344	0.245	5 ₀ 8 ⁻ 09	757
0.046	5 ₀ 9 ⁻ 3	022	0.096	5 ₀ 9 ⁻ 0	297	0.146	5 ₀ 9 ⁻ 23	813	0.196	5 ₀ 8 ⁻ 76	210	0.246	5 ₀ 8 ⁻ 08	152
0.047	5 ₀ 9 ⁻ 2	793	0.097	5 ₀ 9 ⁻ 0	808	0.147	5 ₀ 9 ⁻ 23	029	0.197	5 ₀ 8 ⁻ 75	069	0.247	5 ₀ 8 ⁻ 06	536
0.048	5 ₀ 9 ⁻ 2	559	0.098	5 ₀ 9 ⁻ 0	313	0.148	5 ₀ 9 ⁻ 22	239	0.198	5 ₀ 8 ⁻ 73	919	0.248	5 ₀ 8 ⁻ 04	908
0.049	5 ₀ 9 ⁻ 2	320	0.099	5 ₀ 9 ⁻ 0	813	0.149	5 ₀ 9 ⁻ 21	443	0.199	5 ₀ 8 ⁻ 72	761	0.249	5 ₀ 8 ⁻ 03	269
0.050	5 ₀ 9 ⁻ 2	077	0.100	5 ₀ 9 ⁻ 0	307	0.150	5 ₀ 9 ⁻ 20	640	0.200	5 ₀ 8 ⁻ 71	595	0.250	5 ₀ 8 ⁻ 01	618
		243			516			803			1196			1651

Tafel IX.

 $\log \{P_2^m m\}$

$\pm m$	P	$+\angle$	$\pm m$	P	$+\angle$	$\pm m$	P	$+\angle$	$\pm m$	P	$+\angle$	$\pm m$	P	$+\angle$
0.000	5.023 962		0.050	5.025 983	81	0.100	5.031 904	156	0.150	5.041 326	220	0.200	5.053 634	271
0.001	5.023 963	1	0.051	5.026 064	82	0.101	5.032 060	157	0.151	5.041 546	222	0.201	5.053 905	271
0.002	5.023 965	2	0.052	5.026 146	85	0.102	5.032 217	159	0.152	5.041 768	222	0.202	5.054 176	273
0.003	5.023 969	4	0.053	5.026 231	85	0.103	5.032 376	160	0.153	5.041 990	224	0.203	5.054 449	273
0.004	5.023 975	6	0.054	5.026 316	88	0.104	5.032 536	162	0.154	5.042 214	224	0.204	5.054 722	274
0.005	5.023 982	7	0.055	5.026 404	89	0.105	5.032 698	162	0.155	5.042 439	226	0.205	5.054 996	274
0.006	5.023 991	9	0.056	5.026 493	90	0.106	5.032 861	165	0.156	5.042 665	227	0.206	5.055 270	276
0.007	5.024 002	11	0.057	5.026 583	92	0.107	5.033 025	165	0.157	5.042 892	228	0.207	5.055 546	276
0.008	5.024 014	12	0.058	5.026 675	94	0.108	5.033 190	167	0.158	5.043 120	229	0.208	5.055 822	277
0.009	5.024 028	14	0.059	5.026 769	95	0.109	5.033 357	167	0.159	5.043 349	231	0.209	5.056 099	277
		15			95			169			231			278
0.010	5.024 043	17	0.060	5.026 864	97	0.110	5.033 526	169	0.160	5.043 580	231	0.210	5.056 377	279
0.011	5.024 060	19	0.061	5.026 961	98	0.111	5.033 695	171	0.161	5.043 811	233	0.211	5.056 656	279
0.012	5.024 079	20	0.062	5.027 059	100	0.112	5.033 866	173	0.162	5.044 044	233	0.212	5.056 935	281
0.013	5.024 099	22	0.063	5.027 159	101	0.113	5.034 039	174	0.163	5.044 277	235	0.213	5.057 216	281
0.014	5.024 121	24	0.064	5.027 260	103	0.114	5.034 213	175	0.164	5.044 512	236	0.214	5.057 497	282
0.015	5.024 145	25	0.065	5.027 363	104	0.115	5.034 388	176	0.165	5.044 748	237	0.215	5.057 779	282
0.016	5.024 170	27	0.066	5.027 467	106	0.116	5.034 564	178	0.166	5.044 985	238	0.216	5.058 061	283
0.017	5.024 197	28	0.067	5.027 573	108	0.117	5.034 742	179	0.167	5.045 223	239	0.217	5.058 344	284
0.018	5.024 225	30	0.068	5.027 681	109	0.118	5.034 921	180	0.168	5.045 462	240	0.218	5.058 628	285
0.019	5.024 255	32	0.069	5.027 790	110	0.119	5.035 101	182	0.169	5.045 702	241	0.219	5.058 913	286
		32			110			182			241			286
0.020	5.024 287	33	0.070	5.027 900	112	0.120	5.035 283	183	0.170	5.045 943	242	0.220	5.059 199	286
0.021	5.024 320	35	0.071	5.028 012	114	0.121	5.035 466	185	0.171	5.046 185	244	0.221	5.059 485	287
0.022	5.024 355	37	0.072	5.028 126	115	0.122	5.035 651	185	0.172	5.046 429	244	0.222	5.059 772	288
0.023	5.024 392	38	0.073	5.028 241	116	0.123	5.035 836	187	0.173	5.046 673	245	0.223	5.060 060	288
0.024	5.024 430	39	0.074	5.028 357	118	0.124	5.036 023	189	0.174	5.046 918	246	0.224	5.060 348	289
0.025	5.024 469	42	0.075	5.028 475	120	0.125	5.036 212	189	0.175	5.047 164	248	0.225	5.060 637	290
0.026	5.024 511	43	0.076	5.028 595	121	0.126	5.036 401	191	0.176	5.047 412	248	0.226	5.060 927	290
0.027	5.024 554	44	0.077	5.028 716	122	0.127	5.036 592	192	0.177	5.047 660	249	0.227	5.061 217	291
0.028	5.024 598	46	0.078	5.028 838	124	0.128	5.036 784	194	0.178	5.047 909	251	0.228	5.061 508	292
0.029	5.024 644	48	0.079	5.028 962	126	0.129	5.036 978	195	0.179	5.048 160	251	0.229	5.061 800	293
		48			126			195			251			293
0.030	5.024 692	50	0.080	5.029 088	127	0.130	5.037 173	196	0.180	5.048 411	252	0.230	5.062 093	293
0.031	5.024 742	51	0.081	5.029 215	128	0.131	5.037 369	197	0.181	5.048 663	253	0.231	5.062 386	293
0.032	5.024 793	52	0.082	5.029 343	130	0.132	5.037 566	198	0.182	5.048 916	255	0.232	5.062 679	295
0.033	5.024 845	54	0.083	5.029 473	131	0.133	5.037 764	200	0.183	5.049 171	255	0.233	5.062 974	295
0.034	5.024 899	56	0.084	5.029 604	133	0.134	5.037 964	201	0.184	5.049 426	256	0.234	5.063 269	295
0.035	5.024 955	58	0.085	5.029 737	135	0.135	5.038 165	202	0.185	5.049 682	257	0.235	5.063 564	296
0.036	5.025 013	58	0.086	5.029 872	135	0.136	5.038 367	204	0.186	5.049 939	258	0.236	5.063 860	297
0.037	5.025 071	61	0.087	5.030 007	138	0.137	5.038 571	205	0.187	5.050 197	259	0.237	5.064 157	297
0.038	5.025 132	62	0.088	5.030 145	138	0.138	5.038 776	206	0.188	5.050 456	260	0.238	5.064 455	298
0.039	5.025 194	64	0.089	5.030 283	141	0.139	5.038 982	207	0.189	5.050 716	261	0.239	5.064 753	298
		64			141			207			261			298
0.040	5.025 258	65	0.090	5.030 424	141	0.140	5.039 189	208	0.190	5.050 977	262	0.240	5.065 051	299
0.041	5.025 323	67	0.091	5.030 565	143	0.141	5.039 397	210	0.191	5.051 239	262	0.241	5.065 350	300
0.042	5.025 390	69	0.092	5.030 708	145	0.142	5.039 607	210	0.192	5.051 501	264	0.242	5.065 650	301
0.043	5.025 459	70	0.093	5.030 853	146	0.143	5.039 817	212	0.193	5.051 765	264	0.243	5.065 951	301
0.044	5.025 529	72	0.094	5.030 999	147	0.144	5.040 029	214	0.194	5.052 029	266	0.244	5.066 252	301
0.045	5.025 601	73	0.095	5.031 146	149	0.145	5.040 243	214	0.195	5.052 295	266	0.245	5.066 553	302
0.046	5.025 674	75	0.096	5.031 295	150	0.146	5.040 457	216	0.196	5.052 561	268	0.246	5.066 855	303
0.047	5.025 749	76	0.097	5.031 445	152	0.147	5.040 673	216	0.197	5.052 828	268	0.247	5.067 158	303
0.048	5.025 825	78	0.098	5.031 597	153	0.148	5.040 889	218	0.198	5.053 096	269	0.248	5.067 461	303
0.049	5.025 903	80	0.099	5.031 750	154	0.149	5.041 107	219	0.199	5.053 365	269	0.249	5.067 764	305
0.050	5.025 983		0.100	5.031 904		0.150	5.041 326		0.200	5.053 634		0.250	5.068 069	

Tafel IX.

 $\log \{P_2^{10} m\}$

$\pm m$	P	J	$\pm m$	P	J	$\pm m$	P	J	$\pm m$	P	J	$\pm m$	P	J
0.000	5.340 229		0.050	5.334 239	243	0.100	5.315 907	499	0.150	5.284 052	789	0.200	5.236 355	1140
0.001	5.340 226	3	0.051	5.333 996	248	0.101	5.315 408	505	0.151	5.283 263	795	0.201	5.235 215	1148
0.002	5.340 219	12	0.052	5.333 748	253	0.102	5.314 903	510	0.152	5.282 468	801	0.202	5.234 067	1156
0.003	5.340 207	16	0.053	5.333 495	258	0.103	5.314 393	515	0.153	5.281 667	807	0.203	5.232 911	1164
0.004	5.340 191	22	0.054	5.333 237	263	0.104	5.313 878	520	0.154	5.280 860	814	0.204	5.231 747	1172
0.005	5.340 169	26	0.055	5.332 974	268	0.105	5.313 358	527	0.155	5.280 046	820	0.205	5.230 575	1180
0.006	5.340 143	31	0.056	5.332 706	273	0.106	5.312 831	531	0.156	5.279 226	827	0.206	5.229 395	1188
0.007	5.340 112	36	0.057	5.332 433	278	0.107	5.312 300	537	0.157	5.278 399	833	0.207	5.228 207	1197
0.008	5.340 076	40	0.058	5.332 155	283	0.108	5.311 763	543	0.158	5.277 566	840	0.208	5.227 010	1205
0.009	5.340 036	46	0.059	5.331 872	288	0.109	5.311 220	548	0.159	5.276 726	846	0.209	5.225 805	1213
0.010	5.339 990	50	0.060	5.331 585	293	0.110	5.310 672	553	0.160	5.275 880	852	0.210	5.224 592	1222
0.011	5.339 940	55	0.061	5.331 292	298	0.111	5.310 119	559	0.161	5.275 028	859	0.211	5.223 370	1230
0.012	5.339 885	59	0.062	5.330 994	302	0.112	5.309 560	565	0.162	5.274 168	865	0.212	5.222 140	1238
0.013	5.339 826	65	0.063	5.330 692	308	0.113	5.308 995	570	0.163	5.273 303	873	0.213	5.220 902	1247
0.014	5.339 761	69	0.064	5.330 384	312	0.114	5.308 425	576	0.164	5.272 430	879	0.214	5.219 655	1256
0.015	5.339 692	74	0.065	5.330 072	318	0.115	5.307 849	581	0.165	5.271 551	886	0.215	5.218 399	1264
0.016	5.339 618	79	0.066	5.329 754	323	0.116	5.307 268	587	0.166	5.270 665	892	0.216	5.217 135	1273
0.017	5.339 539	83	0.067	5.329 431	327	0.117	5.306 681	593	0.167	5.269 773	899	0.217	5.215 862	1281
0.018	5.339 456	89	0.068	5.329 104	333	0.118	5.306 088	598	0.168	5.268 874	906	0.218	5.214 581	1291
0.019	5.339 367	93	0.069	5.328 771	338	0.119	5.305 490	604	0.169	5.267 968	913	0.219	5.213 290	1299
0.020	5.339 274	98	0.070	5.328 433	343	0.120	5.304 886	609	0.170	5.267 055	919	0.220	5.211 991	1308
0.021	5.339 176	102	0.071	5.328 090	348	0.121	5.304 277	615	0.171	5.266 136	927	0.221	5.210 683	1317
0.022	5.339 074	108	0.072	5.327 742	353	0.122	5.303 662	621	0.172	5.265 209	933	0.222	5.209 366	1326
0.023	5.338 966	112	0.073	5.327 389	358	0.123	5.303 041	627	0.173	5.264 276	940	0.223	5.208 040	1336
0.024	5.338 854	117	0.074	5.327 031	363	0.124	5.302 414	632	0.174	5.263 336	947	0.224	5.206 704	1344
0.025	5.338 737	122	0.075	5.326 668	368	0.125	5.301 782	638	0.175	5.262 389	954	0.225	5.205 360	1353
0.026	5.338 615	127	0.076	5.326 300	374	0.126	5.301 144	644	0.176	5.261 435	961	0.226	5.204 007	1363
0.027	5.338 488	131	0.077	5.325 926	378	0.127	5.300 500	650	0.177	5.260 474	968	0.227	5.202 644	1372
0.028	5.338 357	137	0.078	5.325 546	384	0.128	5.299 850	655	0.178	5.259 506	975	0.228	5.201 272	1382
0.029	5.338 220	141	0.079	5.325 161	388	0.129	5.299 195	662	0.179	5.258 531	983	0.229	5.199 890	1391
0.030	5.338 079	146	0.080	5.324 776	394	0.130	5.298 533	668	0.180	5.257 548	989	0.230	5.198 499	1400
0.031	5.337 933	151	0.081	5.324 382	399	0.131	5.297 866	673	0.181	5.256 559	997	0.231	5.197 099	1410
0.032	5.337 782	155	0.082	5.323 983	404	0.132	5.297 193	679	0.182	5.255 562	1003	0.232	5.195 689	1419
0.033	5.337 627	161	0.083	5.323 579	410	0.133	5.296 514	685	0.183	5.254 559	1011	0.233	5.194 270	1430
0.034	5.337 466	165	0.084	5.323 169	414	0.134	5.295 829	690	0.184	5.253 548	1019	0.234	5.192 840	1439
0.035	5.337 301	170	0.085	5.322 755	420	0.135	5.295 139	697	0.185	5.252 529	1025	0.235	5.191 401	1448
0.036	5.337 131	175	0.086	5.322 335	425	0.136	5.294 442	703	0.186	5.251 504	1033	0.236	5.189 953	1459
0.037	5.336 956	180	0.087	5.321 910	430	0.137	5.293 739	709	0.187	5.250 471	1041	0.237	5.188 494	1469
0.038	5.336 776	184	0.088	5.321 480	436	0.138	5.293 030	714	0.188	5.249 430	1047	0.238	5.187 025	1478
0.039	5.336 592	190	0.089	5.321 044	440	0.139	5.292 316	721	0.189	5.248 383	1056	0.239	5.185 547	1489
0.040	5.336 402	194	0.090	5.320 604	446	0.140	5.291 595	727	0.190	5.247 327	1063	0.240	5.184 058	1499
0.041	5.336 208	199	0.091	5.320 158	451	0.141	5.290 868	733	0.191	5.246 264	1070	0.241	5.182 559	1509
0.042	5.336 009	205	0.092	5.319 707	457	0.142	5.290 135	739	0.192	5.245 194	1078	0.242	5.181 050	1520
0.043	5.335 804	208	0.093	5.319 250	461	0.143	5.289 397	745	0.193	5.244 116	1085	0.243	5.179 530	1530
0.044	5.335 596	211	0.094	5.318 789	467	0.144	5.288 652	752	0.194	5.243 031	1093	0.244	5.178 000	1540
0.045	5.335 382	219	0.095	5.318 322	473	0.145	5.287 900	757	0.195	5.241 938	1101	0.245	5.176 460	1551
0.046	5.335 163	224	0.096	5.317 849	477	0.146	5.287 143	764	0.196	5.240 837	1109	0.246	5.174 909	1562
0.047	5.334 939	228	0.097	5.317 372	483	0.147	5.286 379	769	0.197	5.239 728	1116	0.247	5.173 347	1572
0.048	5.334 711	234	0.098	5.316 889	489	0.148	5.285 612	776	0.198	5.238 612	1125	0.248	5.171 775	1583
0.049	5.334 477	238	0.099	5.316 400	493	0.149	5.284 834	782	0.199	5.237 487	1132	0.249	5.170 192	1594
0.050	5.334 239		0.100	5.315 907		0.150	5.284 052		0.200	5.236 355		0.250	5.168 598	

Tafel X.

vergl. pag. 38.

T	$\int_0^T e^{-t^2} dt$	T	$\int_0^T e^{-t^2} dt$	T	$\int_0^T e^{-t^2} dt$
0.00	+ 0.000 0000 000	0.50	+ 0.461 2810 064	1.00	+ 0.746 8241 328
0.01	+ 0.009 9996 667	0.51	+ 0.469 0299 460	1.01	+ 0.750 4662 625
0.02	+ 0.019 9973 336	0.52	+ 0.476 7002 495	1.02	+ 0.754 0355 604
0.03	+ 0.029 9910 024	0.53	+ 0.484 2911 965	1.03	+ 0.757 5327 836
0.04	+ 0.039 9786 768	0.54	+ 0.491 8021 058	1.04	+ 0.760 9587 021
0.05	+ 0.049 9583 645	0.55	+ 0.499 2323 350	1.05	+ 0.764 3140 986
0.06	+ 0.059 9280 776	0.56	+ 0.506 5812 809	1.06	+ 0.767 5997 677
0.07	+ 0.069 8858 345	0.57	+ 0.513 8483 792	1.07	+ 0.770 8165 149
0.08	+ 0.079 8296 605	0.58	+ 0.521 0331 044	1.08	+ 0.773 9651 562
0.09	+ 0.089 7575 894	0.59	+ 0.528 1349 697	1.09	+ 0.777 0465 172
0.10	+ 0.099 6676 643	0.60	+ 0.535 1535 268	1.10	+ 0.780 0614 325
0.11	+ 0.109 5579 392	0.61	+ 0.542 0883 659	1.11	+ 0.783 0107 451
0.12	+ 0.119 4264 798	0.62	+ 0.548 9391 154	1.12	+ 0.785 8953 054
0.13	+ 0.129 2713 647	0.63	+ 0.555 7054 416	1.13	+ 0.788 7159 709
0.14	+ 0.139 0906 865	0.64	+ 0.562 3870 483	1.14	+ 0.791 4736 054
0.15	+ 0.148 8825 532	0.65	+ 0.568 9836 768	1.15	+ 0.794 1690 781
0.16	+ 0.158 6450 888	0.66	+ 0.575 4951 056	1.16	+ 0.796 8032 635
0.17	+ 0.168 3764 347	0.67	+ 0.581 9211 497	1.17	+ 0.799 3770 403
0.18	+ 0.178 0747 508	0.68	+ 0.588 2616 607	1.18	+ 0.801 8912 908
0.19	+ 0.187 7382 163	0.69	+ 0.594 5165 257	1.19	+ 0.804 3469 007
0.20	+ 0.197 3650 309	0.70	+ 0.600 6856 679	1.20	+ 0.806 7447 580
0.21	+ 0.206 9534 158	0.71	+ 0.606 7690 454	1.21	+ 0.809 0857 528
0.22	+ 0.216 5016 146	0.72	+ 0.612 7666 508	1.22	+ 0.811 3707 764
0.23	+ 0.226 0078 943	0.73	+ 0.618 6785 109	1.23	+ 0.813 6007 211
0.24	+ 0.235 4705 463	0.74	+ 0.624 5046 863	1.24	+ 0.815 7764 793
0.25	+ 0.244 8878 871	0.75	+ 0.630 2452 707	1.25	+ 0.817 8989 431
0.26	+ 0.254 2582 596	0.76	+ 0.635 9003 903	1.26	+ 0.819 9690 039
0.27	+ 0.263 5800 333	0.77	+ 0.641 4702 035	1.27	+ 0.821 9875 519
0.28	+ 0.272 8516 060	0.78	+ 0.646 9549 001	1.28	+ 0.823 9554 753
0.29	+ 0.282 0714 038	0.79	+ 0.652 3547 007	1.29	+ 0.825 8736 600
0.30	+ 0.291 2378 826	0.80	+ 0.657 6698 563	1.30	+ 0.827 7429 893
0.31	+ 0.300 3495 280	0.81	+ 0.662 9006 476	1.31	+ 0.829 5643 433
0.32	+ 0.309 4048 569	0.82	+ 0.668 0473 841	1.32	+ 0.831 3385 982
0.33	+ 0.318 4024 177	0.83	+ 0.673 1104 039	1.33	+ 0.833 0666 265
0.34	+ 0.327 3407 911	0.84	+ 0.678 0900 727	1.34	+ 0.834 7492 959
0.35	+ 0.336 2185 908	0.85	+ 0.682 9867 832	1.35	+ 0.836 3874 694
0.36	+ 0.345 0344 640	0.86	+ 0.687 8009 546	1.36	+ 0.837 9820 047
0.37	+ 0.353 7870 918	0.87	+ 0.692 5330 316	1.37	+ 0.839 5337 539
0.38	+ 0.362 4751 904	0.88	+ 0.697 1834 841	1.38	+ 0.841 0435 631
0.39	+ 0.371 0975 108	0.89	+ 0.701 7528 060	1.39	+ 0.842 5122 720
0.40	+ 0.379 6528 398	0.90	+ 0.706 2415 149	1.40	+ 0.843 9407 138
0.41	+ 0.388 1400 003	0.91	+ 0.710 6501 512	1.41	+ 0.845 3297 146
0.42	+ 0.396 5578 518	0.92	+ 0.714 9792 774	1.42	+ 0.846 6800 934
0.43	+ 0.404 9052 906	0.93	+ 0.719 2294 773	1.43	+ 0.847 9926 615
0.44	+ 0.413 1812 505	0.94	+ 0.723 4013 554	1.44	+ 0.849 2682 225
0.45	+ 0.421 3847 026	0.95	+ 0.727 4955 362	1.45	+ 0.850 5075 719
0.46	+ 0.429 5146 561	0.96	+ 0.731 5126 632	1.46	+ 0.851 7114 969
0.47	+ 0.437 5701 583	0.97	+ 0.735 4533 983	1.47	+ 0.852 8807 761
0.48	+ 0.445 5502 949	0.98	+ 0.739 3184 212	1.48	+ 0.854 0161 796
0.49	+ 0.453 4541 899	0.99	+ 0.743 1084 284	1.49	+ 0.855 1184 681
0.50	+ 0.461 2810 064	1.00	+ 0.746 8241 328	1.50	+ 0.856 1883 936

Tafel X.

T	$\int_0^T e^{-t''} dt$	T	$\int_0^T e^{-t''} dt$	T	$\int_0^T e^{-t''} dt$
1.50	+ 0.856 1883 936	2.00	+ 0.882 0813 908	2.50	+ 0.885 8662 738
1.51	+ 0.857 2266 985	2.01	+ 0.882 2609 265	2.51	+ 0.885 8851 030
1.52	+ 0.858 2341 160	2.02	+ 0.882 4333 881	2.52	+ 0.885 9030 104
1.53	+ 0.859 2113 692	2.03	+ 0.882 5990 212	2.53	+ 0.885 9200 376
1.54	+ 0.860 1591 718	2.04	+ 0.882 7580 644	2.54	+ 0.885 9362 247
1.55	+ 0.861 0782 276	2.05	+ 0.882 9107 494	2.55	+ 0.885 9516 100
1.56	+ 0.861 9692 302	2.06	+ 0.883 0573 010	2.56	+ 0.885 9662 304
1.57	+ 0.862 8328 632	2.07	+ 0.883 1979 374	2.57	+ 0.885 9801 210
1.58	+ 0.863 6697 998	2.08	+ 0.883 3328 705	2.58	+ 0.885 9933 157
1.59	+ 0.864 4807 032	2.09	+ 0.883 4623 056	2.59	+ 0.886 0058 469
1.60	+ 0.865 2662 260	2.10	+ 0.883 5864 419	2.60	+ 0.886 0177 455
1.61	+ 0.866 0270 104	2.11	+ 0.883 7054 725	2.61	+ 0.886 0290 412
1.62	+ 0.866 7636 881	2.12	+ 0.883 8195 846	2.62	+ 0.886 0397 623
1.63	+ 0.867 4768 803	2.13	+ 0.883 9289 596	2.63	+ 0.886 0499 362
1.64	+ 0.868 1671 978	2.14	+ 0.884 0337 732	2.64	+ 0.886 0595 888
1.65	+ 0.868 8352 405	2.15	+ 0.884 1341 954	2.65	+ 0.886 0687 449
1.66	+ 0.869 4815 979	2.16	+ 0.884 2303 911	2.66	+ 0.886 0774 284
1.67	+ 0.870 1068 490	2.17	+ 0.884 3225 197	2.67	+ 0.886 0856 620
1.68	+ 0.870 7115 619	2.18	+ 0.884 4117 355	2.68	+ 0.886 0934 675
1.69	+ 0.871 2962 943	2.19	+ 0.884 4951 878	2.69	+ 0.886 1008 657
1.70	+ 0.871 8615 934	2.20	+ 0.884 5760 210	2.70	+ 0.886 1078 763
1.71	+ 0.872 4079 957	2.21	+ 0.884 6533 747	2.71	+ 0.886 1145 184
1.72	+ 0.872 9360 272	2.22	+ 0.884 7273 858	2.72	+ 0.886 1208 101
1.73	+ 0.873 4462 037	2.23	+ 0.884 7981 789	2.73	+ 0.886 1267 686
1.74	+ 0.873 9390 302	2.24	+ 0.884 8658 859	2.74	+ 0.886 1324 106
1.75	+ 0.874 4150 016	2.25	+ 0.884 9306 267	2.75	+ 0.886 1377 517
1.76	+ 0.874 8746 025	2.26	+ 0.884 9925 188	2.76	+ 0.886 1428 070
1.77	+ 0.875 3183 070	2.27	+ 0.885 0516 756	2.77	+ 0.886 1475 908
1.78	+ 0.875 7465 794	2.28	+ 0.885 1082 069	2.78	+ 0.886 1521 168
1.79	+ 0.876 1598 738	2.29	+ 0.885 1622 182	2.79	+ 0.886 1563 980
1.80	+ 0.876 5586 342	2.30	+ 0.885 2138 117	2.80	+ 0.886 1604 469
1.81	+ 0.876 9432 948	2.31	+ 0.885 2630 857	2.81	+ 0.886 1642 753
1.82	+ 0.877 3142 799	2.32	+ 0.885 3101 350	2.82	+ 0.886 1678 944
1.83	+ 0.877 6720 042	2.33	+ 0.885 3550 511	2.83	+ 0.886 1713 151
1.84	+ 0.878 0168 727	2.34	+ 0.885 3979 222	2.84	+ 0.886 1745 475
1.85	+ 0.878 3492 809	2.35	+ 0.885 4388 332	2.85	+ 0.886 1776 015
1.86	+ 0.878 6696 149	2.36	+ 0.885 4778 659	2.86	+ 0.886 1804 863
1.87	+ 0.878 9782 517	2.37	+ 0.885 5150 991	2.87	+ 0.886 1832 107
1.88	+ 0.879 2755 588	2.38	+ 0.885 5506 086	2.88	+ 0.886 1857 831
1.89	+ 0.879 5618 949	2.39	+ 0.885 5844 675	2.89	+ 0.886 1882 115
1.90	+ 0.879 8376 097	2.40	+ 0.885 6167 460	2.90	+ 0.886 1905 036
1.91	+ 0.880 1030 440	2.41	+ 0.885 6475 118	2.91	+ 0.886 1926 665
1.92	+ 0.880 3585 302	2.42	+ 0.885 6768 299	2.92	+ 0.886 1947 071
1.93	+ 0.880 6043 918	2.43	+ 0.885 7047 628	2.93	+ 0.886 1966 320
1.94	+ 0.880 8409 442	2.44	+ 0.885 7313 706	2.94	+ 0.886 1984 472
1.95	+ 0.881 0684 942	2.45	+ 0.885 7567 112	2.95	+ 0.886 2001 589
1.96	+ 0.881 2873 407	2.46	+ 0.885 7808 401	2.96	+ 0.886 2017 725
1.97	+ 0.881 4977 746	2.47	+ 0.885 8038 105	2.97	+ 0.886 2032 933
1.98	+ 0.881 7000 787	2.48	+ 0.885 8256 738	2.98	+ 0.886 2047 264
1.99	+ 0.881 8945 283	2.49	+ 0.885 8464 792	2.99	+ 0.886 2060 766
2.00	+ 0.882 0813 908	2.50	+ 0.885 8662 738	3.00	+ 0.886 2073 485

Tafel X.

T	$\int_0^T e^{-t^2} dt$	T	$\int_0^T e^{-t^2} dt$	T	$\int_0^T e^{-t^2} dt$
3.00	+ 0.886 2073 485	3.50	+ 0.886 2262 670	4.00	+ 0.886 2269 118
3.01	+ 0.886 2085 463	3.51	+ 0.886 2263 132	4.01	+ 0.886 2269 129
3.02	+ 0.886 2096 741	3.52	+ 0.886 2263 563	4.02	+ 0.886 2269 139
3.03	+ 0.886 2107 357	3.53	+ 0.886 2263 965	4.03	+ 0.886 2269 149
3.04	+ 0.886 2117 350	3.54	+ 0.886 2264 339	4.04	+ 0.886 2269 157
3.05	+ 0.886 2126 753	3.55	+ 0.886 2264 688	4.05	+ 0.886 2269 165
3.06	+ 0.886 2135 600	3.56	+ 0.886 2265 012	4.06	+ 0.886 2269 172
3.07	+ 0.886 2143 921	3.57	+ 0.886 2265 315	4.07	+ 0.886 2269 179
3.08	+ 0.886 2151 747	3.58	+ 0.886 2265 596	4.08	+ 0.886 2269 185
3.09	+ 0.886 2159 105	3.59	+ 0.886 2265 858	4.09	+ 0.886 2269 190
3.10	+ 0.886 2166 023	3.60	+ 0.886 2266 102	4.10	+ 0.886 2269 195
3.11	+ 0.886 2172 525	3.61	+ 0.886 2266 329	4.11	+ 0.886 2269 200
3.12	+ 0.886 2178 634	3.62	+ 0.886 2266 540	4.12	+ 0.886 2269 204
3.13	+ 0.886 2184 374	3.63	+ 0.886 2266 737	4.13	+ 0.886 2269 209
3.14	+ 0.886 2189 765	3.64	+ 0.886 2266 919	4.14	+ 0.886 2269 212
3.15	+ 0.886 2194 829	3.65	+ 0.886 2267 089	4.15	+ 0.886 2269 216
3.16	+ 0.886 2199 583	3.66	+ 0.886 2267 247	4.16	+ 0.886 2269 219
3.17	+ 0.886 2204 046	3.67	+ 0.886 2267 394	4.17	+ 0.886 2269 222
3.18	+ 0.886 2208 235	3.68	+ 0.886 2267 531	4.18	+ 0.886 2269 224
3.19	+ 0.886 2212 166	3.69	+ 0.886 2267 657	4.19	+ 0.886 2269 227
3.20	+ 0.886 2215 854	3.70	+ 0.886 2267 775	4.20	+ 0.886 2269 229
3.21	+ 0.886 2219 313	3.71	+ 0.886 2267 884	4.21	+ 0.886 2269 231
3.22	+ 0.886 2222 558	3.72	+ 0.886 2267 986	4.22	+ 0.886 2269 233
3.23	+ 0.886 2225 600	3.73	+ 0.886 2268 080	4.23	+ 0.886 2269 235
3.24	+ 0.886 2228 451	3.74	+ 0.886 2268 167	4.24	+ 0.886 2269 236
3.25	+ 0.886 2231 124	3.75	+ 0.886 2268 248	4.25	+ 0.886 2269 238
3.26	+ 0.886 2233 628	3.76	+ 0.886 2268 323	4.26	+ 0.886 2269 239
3.27	+ 0.886 2235 975	3.77	+ 0.886 2268 393	4.27	+ 0.886 2269 241
3.28	+ 0.886 2238 173	3.78	+ 0.886 2268 457	4.28	+ 0.886 2269 242
3.29	+ 0.886 2240 231	3.79	+ 0.886 2268 517	4.29	+ 0.886 2269 243
3.30	+ 0.886 2242 158	3.80	+ 0.886 2268 573	4.30	+ 0.886 2269 244
3.31	+ 0.886 2243 962	3.81	+ 0.886 2268 625	4.31	+ 0.886 2269 245
3.32	+ 0.886 2245 651	3.82	+ 0.886 2268 672	4.32	+ 0.886 2269 245
3.33	+ 0.886 2247 231	3.83	+ 0.886 2268 717	4.33	+ 0.886 2269 246
3.34	+ 0.886 2248 709	3.84	+ 0.886 2268 758	4.34	+ 0.886 2269 247
3.35	+ 0.886 2250 092	3.85	+ 0.886 2268 796	4.35	+ 0.886 2269 247
3.36	+ 0.886 2251 385	3.86	+ 0.886 2268 831	4.36	+ 0.886 2269 247
3.37	+ 0.886 2252 594	3.87	+ 0.886 2268 863	4.37	+ 0.886 2269 248
3.38	+ 0.886 2253 724	3.88	+ 0.886 2268 894	4.38	+ 0.886 2269 249
3.39	+ 0.886 2254 781	3.89	+ 0.886 2268 921	4.39	+ 0.886 2269 250
3.40	+ 0.886 2255 768	3.90	+ 0.886 2268 947	4.40	+ 0.886 2269 250
3.41	+ 0.886 2256 690	3.91	+ 0.886 2268 971	4.41	+ 0.886 2269 250
3.42	+ 0.886 2257 551	3.92	+ 0.886 2268 992	4.42	+ 0.886 2269 251
3.43	+ 0.886 2258 356	3.93	+ 0.886 2269 013	4.43	+ 0.886 2269 251
3.44	+ 0.886 2259 107	3.94	+ 0.886 2269 031	4.44	+ 0.886 2269 252
3.45	+ 0.886 2259 808	3.95	+ 0.886 2269 049	4.45	+ 0.886 2269 252
3.46	+ 0.886 2260 462	3.96	+ 0.886 2269 065	4.46	+ 0.886 2269 252
3.47	+ 0.886 2261 073	3.97	+ 0.886 2269 080	4.47	+ 0.886 2269 252
3.48	+ 0.886 2261 643	3.98	+ 0.886 2269 094	4.48	+ 0.886 2269 253
3.49	+ 0.886 2262 174	3.99	+ 0.886 2269 106	4.49	+ 0.886 2269 253
3.50	+ 0.886 2262 670	4.00	+ 0.886 2269 118	von 4.52 bis +∞	+ 0.886 2269 254

Tafel XI.

f' -Tafel.

vergl. pag. 77.

q	$\log f$	Diff.	$P. p.$	q	$\log f$	Diff.
— 0.030 0000	0.510 748	— 116	— 116	— 0.025 0000	0.505 026	— 115
— 0.029 9000	0.510 682	— 116	1 — 11.6	— 0.024 9000	0.504 911	— 114
— 0.029 8000	0.510 566	— 116	2 — 23.2	— 0.024 8000	0.504 797	— 115
— 0.029 7000	0.510 450	— 116	3 — 34.8	— 0.024 7000	0.504 682	— 115
— 0.029 6000	0.510 334	— 116	4 — 46.4	— 0.024 6000	0.504 567	— 114
— 0.029 5000	0.510 218	— 116	5 — 58.0	— 0.024 5000	0.504 453	— 115
— 0.029 4000	0.510 102	— 116	6 — 69.6	— 0.024 4000	0.504 338	— 115
— 0.029 3000	0.509 986	— 116	7 — 81.2	— 0.024 3000	0.504 223	— 114
— 0.029 2000	0.509 870	— 116	8 — 92.8	— 0.024 2000	0.504 109	— 115
— 0.029 1000	0.509 754	— 116	9 — 104.4	— 0.024 1000	0.503 994	— 114
— 0.029 0000	0.509 638	— 115	— 115	— 0.024 0000	0.503 880	— 115
— 0.028 9000	0.509 523	— 116	1 — 11.5	— 0.023 9000	0.503 765	— 114
— 0.028 8000	0.509 407	— 116	2 — 23.0	— 0.023 8000	0.503 651	— 115
— 0.028 7000	0.509 291	— 116	3 — 34.5	— 0.023 7000	0.503 536	— 114
— 0.028 6000	0.509 175	— 115	4 — 46.0	— 0.023 6000	0.503 422	— 114
— 0.028 5000	0.509 060	— 116	5 — 57.5	— 0.023 5000	0.503 308	— 115
— 0.028 4000	0.508 944	— 116	6 — 69.0	— 0.023 4000	0.503 193	— 114
— 0.028 3000	0.508 828	— 115	7 — 80.5	— 0.023 3000	0.503 079	— 114
— 0.028 2000	0.508 713	— 116	8 — 92.0	— 0.023 2000	0.502 965	— 115
— 0.028 1000	0.508 597	— 116	9 — 103.5	— 0.023 1000	0.502 850	— 114
— 0.028 0000	0.508 481	— 115	— 114	— 0.023 0000	0.502 736	— 114
— 0.027 9000	0.508 366	— 116	1 — 11.4	— 0.022 9000	0.502 622	— 115
— 0.027 8000	0.508 250	— 115	2 — 22.8	— 0.022 8000	0.502 507	— 114
— 0.027 7000	0.508 135	— 116	3 — 34.2	— 0.022 7000	0.502 393	— 114
— 0.027 6000	0.508 019	— 115	4 — 45.6	— 0.022 6000	0.502 279	— 114
— 0.027 5000	0.507 904	— 116	5 — 57.0	— 0.022 5000	0.502 165	— 114
— 0.027 4000	0.507 788	— 115	6 — 68.4	— 0.022 4000	0.502 051	— 114
— 0.027 3000	0.507 673	— 115	7 — 79.8	— 0.022 3000	0.501 937	— 114
— 0.027 2000	0.507 558	— 116	8 — 91.2	— 0.022 2000	0.501 823	— 114
— 0.027 1000	0.507 442	— 115	9 — 102.6	— 0.022 1000	0.501 709	— 114
— 0.027 0000	0.507 327	— 115	— 113	— 0.022 0000	0.501 595	— 114
— 0.026 9000	0.507 212	— 116	1 — 11.3	— 0.021 9000	0.501 481	— 114
— 0.026 8000	0.507 096	— 115	2 — 22.6	— 0.021 8000	0.501 367	— 114
— 0.026 7000	0.506 981	— 115	3 — 33.9	— 0.021 7000	0.501 253	— 114
— 0.026 6000	0.506 866	— 115	4 — 45.2	— 0.021 6000	0.501 139	— 114
— 0.026 5000	0.506 751	— 115	5 — 56.5	— 0.021 5000	0.501 025	— 114
— 0.026 4000	0.506 636	— 115	6 — 67.8	— 0.021 4000	0.500 911	— 114
— 0.026 3000	0.506 521	— 116	7 — 79.1	— 0.021 3000	0.500 797	— 113
— 0.026 2000	0.506 405	— 115	8 — 90.4	— 0.021 2000	0.500 683	— 114
— 0.026 1000	0.506 290	— 115	9 — 101.7	— 0.021 1000	0.500 570	— 114
— 0.026 0000	0.506 175	— 115	— 113	— 0.021 0000	0.500 456	— 114
— 0.025 9000	0.506 060	— 115	1 — 11.3	— 0.020 9000	0.500 342	— 113
— 0.025 8000	0.505 945	— 115	2 — 22.6	— 0.020 8000	0.500 229	— 114
— 0.025 7000	0.505 830	— 115	3 — 33.9	— 0.020 7000	0.500 115	— 114
— 0.025 6000	0.505 715	— 115	4 — 45.2	— 0.020 6000	0.500 001	— 113
— 0.025 5000	0.505 600	— 114	5 — 56.5	— 0.020 5000	0.499 888	— 114
— 0.025 4000	0.505 486	— 115	6 — 67.8	— 0.020 4000	0.499 774	— 114
— 0.025 3000	0.505 371	— 115	7 — 79.1	— 0.020 3000	0.499 660	— 113
— 0.025 2000	0.505 256	— 115	8 — 90.4	— 0.020 2000	0.499 547	— 114
— 0.025 1000	0.505 141	— 115	9 — 101.7	— 0.020 1000	0.499 433	— 113
— 0.025 0000	0.505 026	— 115	— 113	— 0.020 0000	0.499 320	— 113

Tafel XI.

f-Tafel.

<i>q</i>	log <i>f</i>	Diff.	<i>P. p.</i>	<i>q</i>	log <i>f</i>	Diff.
— 0.020 0000	0.499 320	— 114	— 114	— 0.015 0000	0.493 678	— 113
— 0.019 9000	0.499 206	— 113	1 — 11.4	— 0.014 9000	0.493 565	— 112
— 0.019 8000	0.499 093	— 113	2 — 22.8	— 0.014 8000	0.493 453	— 112
— 0.019 7000	0.498 980	— 114	3 — 34.2	— 0.014 7000	0.493 341	— 112
— 0.019 6000	0.498 866	— 113	4 — 45.6	— 0.014 6000	0.493 229	— 112
— 0.019 5000	0.498 753	— 114	5 — 57.0	— 0.014 5000	0.493 117	— 112
— 0.019 4000	0.498 639	— 113	6 — 68.4	— 0.014 4000	0.493 005	— 112
— 0.019 3000	0.498 526	— 113	7 — 79.8	— 0.014 3000	0.492 893	— 112
— 0.019 2000	0.498 413	— 113	8 — 91.2	— 0.014 2000	0.492 781	— 112
— 0.019 1000	0.498 300	— 114	9 — 102.6	— 0.014 1000	0.492 669	— 112
— 0.019 0000	0.498 186	— 113		— 0.014 0000	0.492 557	— 112
— 0.018 9000	0.498 073	— 113	113	0.013 9000	0.492 445	— 112
— 0.018 8000	0.497 960	— 113		0.013 8000	0.492 333	— 112
— 0.018 7000	0.497 847	— 113	1 — 11.3	0.013 7000	0.492 221	— 112
— 0.018 6000	0.497 734	— 114	2 — 22.6	0.013 6000	0.492 109	— 112
— 0.018 5000	0.497 621	— 114	3 — 33.9	0.013 5000	0.491 997	— 112
— 0.018 4000	0.497 507	— 113	4 — 45.2	0.013 4000	0.491 885	— 111
— 0.018 3000	0.497 394	— 113	5 — 56.5	0.013 3000	0.491 774	— 112
— 0.018 2000	0.497 281	— 113	6 — 67.8	0.013 2000	0.491 662	— 112
— 0.018 1000	0.497 168	— 113	7 — 79.1	0.013 1000	0.491 550	— 112
— 0.018 0000	0.497 055	— 113	8 — 90.4	0.013 0000	0.491 438	— 111
— 0.017 9000	0.496 942	— 113	9 — 101.7	0.012 9000	0.491 327	— 112
— 0.017 8000	0.496 829	— 112		0.012 8000	0.491 215	— 112
— 0.017 7000	0.496 717	— 113	— 112	0.012 7000	0.491 103	— 111
— 0.017 6000	0.496 604	— 113	1 — 11.2	0.012 6000	0.490 992	— 112
— 0.017 5000	0.496 491	— 113	2 — 22.4	0.012 5000	0.490 880	— 112
— 0.017 4000	0.496 378	— 113	3 — 33.6	0.012 4000	0.490 768	— 111
— 0.017 3000	0.496 265	— 113	4 — 44.8	0.012 3000	0.490 657	— 112
— 0.017 2000	0.496 152	— 112	5 — 56.0	0.012 2000	0.490 545	— 111
— 0.017 1000	0.496 040	— 113	6 — 67.2	0.012 1000	0.490 434	— 112
— 0.017 0000	0.495 927	— 113	7 — 78.4	0.012 0000	0.490 322	— 111
— 0.016 9000	0.495 814	— 112	8 — 89.6	— 0.011 9000	0.490 211	— 112
— 0.016 8000	0.495 702	— 113	9 — 100.8	— 0.011 8000	0.490 099	— 111
— 0.016 7000	0.495 589	— 113		— 0.011 7000	0.489 988	— 111
— 0.016 6000	0.495 476	— 112	— 111	— 0.011 6000	0.489 877	— 112
— 0.016 5000	0.495 364	— 113	1 — 11.1	— 0.011 5000	0.489 765	— 111
— 0.016 4000	0.495 251	— 112	2 — 22.2	— 0.011 4000	0.489 654	— 111
— 0.016 3000	0.495 138	— 112	3 — 33.3	— 0.011 3000	0.489 543	— 112
— 0.016 2000	0.495 026	— 113	4 — 44.4	— 0.011 2000	0.489 431	— 111
— 0.016 1000	0.494 913	— 112	5 — 55.5	— 0.011 1000	0.489 320	— 111
— 0.016 0000	0.494 801	— 112	6 — 66.6	— 0.011 0000	0.489 209	— 111
— 0.015 9000	0.494 689	— 113	7 — 77.7	— 0.010 9000	0.489 098	— 112
— 0.015 8000	0.494 576	— 112	8 — 88.8	— 0.010 8000	0.488 986	— 111
— 0.015 7000	0.494 464	— 113	9 — 99.9	— 0.010 7000	0.488 875	— 111
— 0.015 6000	0.494 351	— 112		— 0.010 6000	0.488 764	— 111
— 0.015 5000	0.494 239	— 112		— 0.010 5000	0.488 653	— 111
— 0.015 4000	0.494 127	— 113		— 0.010 4000	0.488 542	— 111
— 0.015 3000	0.494 014	— 112		— 0.010 3000	0.488 431	— 111
— 0.015 2000	0.493 902	— 112		— 0.010 2000	0.488 320	— 111
— 0.015 1000	0.493 790	— 112		— 0.010 1000	0.488 209	— 111
— 0.015 0000	0.493 678	— 112		— 0.010 0000	0.488 098	— 111

Tafel XI.

 f -Tafel.

q	$\log f$	Diff.	$P. p.$	q	$\log f$	Diff.
0.010 0000	0.488 098		— 111	— 0.005 0000	0.482 580	
		— 111	1 — 11.1			— 110
0.009 9000	0.487 987	— 111	2 — 22.2	— 0.004 9000	0.482 470	— 110
0.009 8000	0.487 876	— 111	3 — 33.3	— 0.004 8000	0.482 360	— 110
— 0.009 7000	0.487 765	— 111		— 0.004 7000	0.482 250	— 110
— 0.009 6000	0.487 654	— 111	4 — 44.4	— 0.004 6000	0.482 141	— 109
— 0.009 5000	0.487 543	— 111	5 — 55.5	— 0.004 5000	0.482 031	— 110
0.009 4000	0.487 432	— 110	6 — 66.6	— 0.004 4000	0.481 921	— 110
— 0.009 3000	0.487 322	— 111		— 0.004 3000	0.481 812	— 109
— 0.009 2000	0.487 211	— 111	7 — 77.7	— 0.004 2000	0.481 702	— 110
— 0.009 1000	0.487 100	— 111	8 — 88.8	— 0.004 1000	0.481 593	— 109
— 0.009 0000	0.486 989	— 110	9 — 99.9	— 0.004 0000	0.481 483	— 110
						— 109
0.008 9000	0.486 879	— 111	— 110	— 0.003 9000	0.481 374	— 110
— 0.008 8000	0.486 768	— 111		— 0.003 8000	0.481 264	— 109
— 0.008 7000	0.486 657	— 110		— 0.003 7000	0.481 155	— 110
— 0.008 6000	0.486 547	— 111	1 — 11.0	— 0.003 6000	0.481 045	— 109
— 0.008 5000	0.486 436	— 111	2 — 22.0	— 0.003 5000	0.480 936	— 110
— 0.008 4000	0.486 325	— 110	3 — 33.0	— 0.003 4000	0.480 826	— 109
— 0.008 3000	0.486 215	— 111		— 0.003 3000	0.480 717	— 109
— 0.008 2000	0.486 104	— 110	4 — 44.0	— 0.003 2000	0.480 608	— 110
— 0.008 1000	0.485 994	— 111	5 — 55.0	— 0.003 1000	0.480 498	— 109
— 0.008 0000	0.485 883	— 110	6 — 66.0	— 0.003 0000	0.480 389	— 109
						— 109
— 0.007 9000	0.485 773	— 111	7 — 77.0	— 0.002 9000	0.480 280	— 109
— 0.007 8000	0.485 662	— 110	8 — 88.0	— 0.002 8000	0.480 171	— 110
— 0.007 7000	0.485 552	— 110	9 — 99.0	— 0.002 7000	0.480 061	— 109
— 0.007 6000	0.485 442	— 111		— 0.002 6000	0.479 952	— 109
— 0.007 5000	0.485 331	— 110	— 100	— 0.002 5000	0.479 843	— 109
— 0.007 4000	0.485 221	— 111		— 0.002 4000	0.479 734	— 109
— 0.007 3000	0.485 110	— 110		— 0.002 3000	0.479 625	— 109
— 0.007 2000	0.485 000	— 110	1 — 10.9	— 0.002 2000	0.479 516	— 109
— 0.007 1000	0.484 890	— 110	2 — 21.8	— 0.002 1000	0.479 407	— 110
— 0.007 0000	0.484 780	— 111	3 — 32.7	— 0.002 0000	0.479 297	— 109
						— 109
0.006 9000	0.484 669	— 110	4 — 43.6	— 0.001 9000	0.479 188	— 109
— 0.006 8000	0.484 559	— 110	5 — 54.5	— 0.001 8000	0.479 079	— 109
— 0.006 7000	0.484 449	— 110	6 — 65.4	— 0.001 7000	0.478 970	— 109
— 0.006 6000	0.484 339	— 110		— 0.001 6000	0.478 861	— 108
— 0.006 5000	0.484 229	— 110	7 — 76.3	— 0.001 5000	0.478 753	— 109
— 0.006 4000	0.484 119	— 111	8 — 87.2	— 0.001 4000	0.478 644	— 109
— 0.006 3000	0.484 008	— 110	9 — 98.1	— 0.001 3000	0.478 535	— 109
— 0.006 2000	0.483 898	— 110		— 0.001 2000	0.478 426	— 109
— 0.006 1000	0.483 788	— 110	— 108	— 0.001 1000	0.478 317	— 109
— 0.006 0000	0.483 678	— 110		— 0.001 0000	0.478 208	— 109
						— 109
— 0.005 9000	0.483 568	— 110	1 — 10.8	— 0.000 9000	0.478 099	— 108
— 0.005 8000	0.483 458	— 110	2 — 21.6	— 0.000 8000	0.477 991	— 109
— 0.005 7000	0.483 348	— 109	3 — 32.4	— 0.000 7000	0.477 882	— 109
— 0.005 6000	0.483 239	— 110	4 — 43.2	— 0.000 6000	0.477 773	— 109
— 0.005 5000	0.483 129	— 110	5 — 54.0	— 0.000 5000	0.477 664	— 108
— 0.005 4000	0.483 019	— 110	6 — 64.8	— 0.000 4000	0.477 556	— 109
— 0.005 3000	0.482 909	— 110		— 0.000 3000	0.477 447	— 109
— 0.005 2000	0.482 799	— 110	7 — 75.6	— 0.000 2000	0.477 338	— 108
— 0.005 1000	0.482 689	— 109	8 — 86.4	— 0.000 1000	0.477 230	— 109
— 0.005 0000	0.482 580		9 — 97.2	0.000 0000	0.477 121	

Tafel XI.

f-Tafel.

<i>q</i>	log <i>f</i>	Diff.	<i>P. p.</i>	<i>q</i>	log <i>f</i>	Diff.
0.000 0000	0.477 121	— 108	— 109	+ 0.005 0000	0.471 722	— 108
+ 0.000 1000	0.477 013	— 109	1 — 10.9	+ 0.005 1000	0.471 614	— 107
+ 0.000 2000	0.476 904	— 108	2 — 21.8	+ 0.005 2000	0.471 507	— 107
+ 0.000 3000	0.476 796	— 109	3 — 32.7	+ 0.005 3000	0.471 400	— 108
+ 0.000 4000	0.476 687	— 108	4 — 43.6	+ 0.005 4000	0.471 292	— 107
+ 0.000 5000	0.476 579	— 109	5 — 54.5	+ 0.005 5000	0.471 185	— 107
+ 0.000 6000	0.476 470	— 108	6 — 65.4	+ 0.005 6000	0.471 078	— 108
+ 0.000 7000	0.476 362	— 109	7 — 76.3	+ 0.005 7000	0.470 970	— 107
+ 0.000 8000	0.476 253	— 108	8 — 87.2	+ 0.005 8000	0.470 863	— 107
+ 0.000 9000	0.476 145	— 108	9 — 98.1	+ 0.005 9000	0.470 756	— 107
+ 0.001 0000	0.476 037	— 109	— 108	+ 0.006 0000	0.470 649	— 107
+ 0.001 1000	0.475 928	— 108	1 — 10.8	+ 0.006 1000	0.470 542	— 107
+ 0.001 2000	0.475 820	— 108	2 — 21.6	+ 0.006 2000	0.470 435	— 108
+ 0.001 3000	0.475 712	— 108	3 — 32.4	+ 0.006 3000	0.470 327	— 107
+ 0.001 4000	0.475 604	— 109	4 — 43.2	+ 0.006 4000	0.470 220	— 107
+ 0.001 5000	0.475 495	— 108	5 — 54.0	+ 0.006 5000	0.470 113	— 107
+ 0.001 6000	0.475 387	— 108	6 — 64.8	+ 0.006 6000	0.470 006	— 107
+ 0.001 7000	0.475 279	— 108	7 — 75.6	+ 0.006 7000	0.469 899	— 107
+ 0.001 8000	0.475 171	— 108	8 — 86.4	+ 0.006 8000	0.469 792	— 107
+ 0.001 9000	0.475 063	— 109	9 — 97.2	+ 0.006 9000	0.469 685	— 107
+ 0.002 0000	0.474 954	— 108	— 107	+ 0.007 0000	0.469 578	— 107
+ 0.002 1000	0.474 846	— 108	1 — 10.7	+ 0.007 1000	0.469 471	— 107
+ 0.002 2000	0.474 738	— 108	2 — 21.4	+ 0.007 2000	0.469 364	— 107
+ 0.002 3000	0.474 630	— 108	3 — 32.1	+ 0.007 3000	0.469 257	— 106
+ 0.002 4000	0.474 522	— 108	4 — 42.8	+ 0.007 4000	0.469 151	— 107
+ 0.002 5000	0.474 414	— 108	5 — 53.5	+ 0.007 5000	0.469 044	— 107
+ 0.002 6000	0.474 306	— 108	6 — 64.2	+ 0.007 6000	0.468 937	— 107
+ 0.002 7000	0.474 198	— 108	7 — 74.9	+ 0.007 7000	0.468 830	— 107
+ 0.002 8000	0.474 090	— 108	8 — 85.6	+ 0.007 8000	0.468 723	— 106
+ 0.002 9000	0.473 982	— 127	9 — 96.3	+ 0.007 9000	0.468 616	— 107
+ 0.003 0000	0.473 875	— 108	— 106	+ 0.008 0000	0.468 510	— 107
+ 0.003 1000	0.473 767	— 108	1 — 10.6	+ 0.008 1000	0.468 403	— 107
+ 0.003 2000	0.473 659	— 108	2 — 21.2	+ 0.008 2000	0.468 296	— 106
+ 0.003 3000	0.473 551	— 108	3 — 31.8	+ 0.008 3000	0.468 190	— 107
+ 0.003 4000	0.473 443	— 107	4 — 42.4	+ 0.008 4000	0.468 083	— 107
+ 0.003 5000	0.473 336	— 108	5 — 53.0	+ 0.008 5000	0.467 976	— 106
+ 0.003 6000	0.473 228	— 108	6 — 63.6	+ 0.008 6000	0.467 870	— 107
+ 0.003 7000	0.473 120	— 108	7 — 74.2	+ 0.008 7000	0.467 763	— 106
+ 0.003 8000	0.473 012	— 107	8 — 84.8	+ 0.008 8000	0.467 657	— 107
+ 0.003 9000	0.472 905	— 108	9 — 95.4	+ 0.008 9000	0.467 550	— 106
+ 0.004 0000	0.472 797	— 108	— 105	+ 0.009 0000	0.467 444	— 107
+ 0.004 1000	0.472 689	— 107	1 — 10.5	+ 0.009 1000	0.467 337	— 106
+ 0.004 2000	0.472 582	— 108	2 — 21.1	+ 0.009 2000	0.467 231	— 107
+ 0.004 3000	0.472 474	— 107	3 — 31.7	+ 0.009 3000	0.467 124	— 106
+ 0.004 4000	0.472 367	— 108	4 — 42.3	+ 0.009 4000	0.467 018	— 106
+ 0.004 5000	0.472 259	— 107	5 — 52.9	+ 0.009 5000	0.466 912	— 107
+ 0.004 6000	0.472 152	— 108	6 — 63.5	+ 0.009 6000	0.466 805	— 106
+ 0.004 7000	0.472 044	— 107	7 — 74.1	+ 0.009 7000	0.466 699	— 107
+ 0.004 8000	0.471 937	— 108	8 — 84.7	+ 0.009 8000	0.466 592	— 106
+ 0.004 9000	0.471 829	— 107	9 — 95.3	+ 0.009 9000	0.466 486	— 106
+ 0.005 0000	0.471 722	— 107		+ 0.010 0000	0.466 380	

Tafel XI.

 f -Tafel.

q	$\log f$	Diff.	$P. p.$	q	$\log f$	Diff.
+ 0.010 0000	0.466 380		— 107	+ 0.015 0000	0.461 094	
		— 106	1 — 10.7			— 105
+ 0.010 1000	0.466 274	— 107	2 — 21.4	+ 0.015 1000	0.460 989	— 105
+ 0.010 2000	0.466 167	— 106	3 — 32.1	+ 0.015 2000	0.460 884	— 105
+ 0.010 3000	0.466 061	— 106		+ 0.015 3000	0.460 779	— 105
+ 0.010 4000	0.465 955	— 106	4 — 42.8	+ 0.015 4000	0.460 674	— 105
+ 0.010 5000	0.465 849	— 106	5 — 53.5	+ 0.015 5000	0.460 569	— 105
+ 0.010 6000	0.465 743	— 106	6 — 64.2	+ 0.015 6000	0.460 464	— 105
+ 0.010 7000	0.465 637	— 107		+ 0.015 7000	0.460 359	— 105
+ 0.010 8000	0.465 530	— 106	7 — 74.9	+ 0.015 8000	0.460 254	— 105
+ 0.010 9000	0.465 424	— 106	8 — 85.6	+ 0.015 9000	0.460 149	— 105
+ 0.011 0000	0.465 318	— 106	9 — 96.3	+ 0.016 0000	0.460 044	— 105
		— 106				— 105
+ 0.011 1000	0.465 212	— 106	— 106	+ 0.016 1000	0.459 939	— 105
+ 0.011 2000	0.465 106	— 106		+ 0.016 2000	0.459 834	— 105
+ 0.011 3000	0.465 000	— 106		+ 0.016 3000	0.459 729	— 105
+ 0.011 4000	0.464 894	— 106	1 — 10.6	+ 0.016 4000	0.459 625	— 104
+ 0.011 5000	0.464 788	— 106	2 — 21.2	+ 0.016 5000	0.459 520	— 105
+ 0.011 6000	0.464 682	— 105	3 — 31.8	+ 0.016 6000	0.459 415	— 105
+ 0.011 7000	0.464 577	— 106		+ 0.016 7000	0.459 310	— 105
+ 0.011 8000	0.464 471	— 106	4 — 42.4	+ 0.016 8000	0.459 205	— 104
+ 0.011 9000	0.464 365	— 106	5 — 53.0	+ 0.016 9000	0.459 101	— 105
+ 0.012 0000	0.464 259	— 106	6 — 63.6	+ 0.017 0000	0.458 996	— 105
		— 106				— 105
+ 0.012 1000	0.464 153	— 106	7 — 74.2	+ 0.017 1000	0.458 891	— 105
+ 0.012 2000	0.464 047	— 106	8 — 84.8	+ 0.017 2000	0.458 786	— 105
+ 0.012 3000	0.463 942	— 105	9 — 95.4	+ 0.017 3000	0.458 682	— 104
+ 0.012 4000	0.463 836	— 106		+ 0.017 4000	0.458 577	— 105
+ 0.012 5000	0.463 730	— 106	— 105	+ 0.017 5000	0.458 473	— 104
+ 0.012 6000	0.463 625	— 105		+ 0.017 6000	0.458 368	— 105
+ 0.012 7000	0.463 519	— 106		+ 0.017 7000	0.458 263	— 105
+ 0.012 8000	0.463 413	— 105	1 — 10.5	+ 0.017 8000	0.458 159	— 104
+ 0.012 9000	0.463 308	— 106	2 — 21.0	+ 0.017 9000	0.458 054	— 105
+ 0.013 0000	0.463 202	— 106	3 — 31.5	+ 0.018 0000	0.457 950	— 104
		— 106				— 105
+ 0.013 1000	0.463 096	— 105	4 — 42.0	+ 0.018 1000	0.457 845	— 104
+ 0.013 2000	0.462 991	— 106	5 — 52.5	+ 0.018 2000	0.457 741	— 105
+ 0.013 3000	0.462 885	— 105	6 — 63.0	+ 0.018 3000	0.457 636	— 105
+ 0.013 4000	0.462 780	— 106		+ 0.018 4000	0.457 532	— 104
+ 0.013 5000	0.462 674	— 105	7 — 73.5	+ 0.018 5000	0.457 428	— 104
+ 0.013 6000	0.462 569	— 105	8 — 84.0	+ 0.018 6000	0.457 323	— 105
+ 0.013 7000	0.462 463	— 106	9 — 94.5	+ 0.018 7000	0.457 219	— 104
+ 0.013 8000	0.462 358	— 105		+ 0.018 8000	0.457 115	— 104
+ 0.013 9000	0.462 252	— 105	— 104	+ 0.018 9000	0.457 010	— 105
+ 0.014 0000	0.462 147	— 105		+ 0.019 0000	0.456 906	— 104
		— 105				— 104
+ 0.014 1000	0.462 042	— 106	1 — 10.4	+ 0.019 1000	0.456 802	— 104
+ 0.014 2000	0.461 936	— 105	2 — 20.8	+ 0.019 2000	0.456 698	— 105
+ 0.014 3000	0.461 831	— 105	3 — 31.2	+ 0.019 3000	0.456 593	— 105
+ 0.014 4000	0.461 726	— 105		+ 0.019 4000	0.456 489	— 104
+ 0.014 5000	0.461 621	— 105	4 — 41.6	+ 0.019 5000	0.456 385	— 104
+ 0.014 6000	0.461 515	— 106	5 — 52.0	+ 0.019 6000	0.456 281	— 104
+ 0.014 7000	0.461 410	— 105	6 — 62.4	+ 0.019 7000	0.456 177	— 104
+ 0.014 8000	0.461 305	— 105		+ 0.019 8000	0.456 073	— 104
+ 0.014 9000	0.461 200	— 105	7 — 72.8	+ 0.019 9000	0.455 968	— 105
+ 0.015 0000	0.461 094	— 105	8 — 83.2	+ 0.020 0000	0.455 864	— 104
			9 — 93.6			

Tafel XI.

 f' -Tafel.

q	$\log f$	Diff.	$P. p.$	q	$\log f$	Diff.
+ 0.020 0000	0.455 864	— 104		+ 0.025 0000	0.450 688	— 102
+ 0.020 1000	0.455 760	— 104		+ 0.025 1000	0.450 586	— 103
+ 0.020 2000	0.455 656	— 104		+ 0.025 2000	0.450 483	— 103
+ 0.020 3000	0.455 552	— 104		+ 0.025 3000	0.450 380	— 103
+ 0.020 4000	0.455 448	— 104		+ 0.025 4000	0.450 277	— 103
+ 0.020 5000	0.455 344	— 104		+ 0.025 5000	0.450 174	— 103
+ 0.020 6000	0.455 240	— 104	104	+ 0.025 6000	0.450 071	— 103
+ 0.020 7000	0.455 137	— 103		+ 0.025 7000	0.449 968	— 103
+ 0.020 8000	0.455 033	— 104	1 — 10.4	+ 0.025 8000	0.449 865	— 103
+ 0.020 9000	0.454 929	— 104	2 — 20.8	+ 0.025 9000	0.449 762	— 102
+ 0.021 0000	0.454 825	— 104	3 — 31.2	+ 0.026 0000	0.449 660	— 103
		— 104				— 103
+ 0.021 1000	0.454 721	— 104	4 — 41.6	+ 0.026 1000	0.449 557	— 103
+ 0.021 2000	0.454 617	— 104	5 — 52.0	+ 0.026 2000	0.449 454	— 103
+ 0.021 3000	0.454 513	— 103	6 — 62.4	+ 0.026 3000	0.449 351	— 102
+ 0.021 4000	0.454 410	— 104	7 — 72.8	+ 0.026 4000	0.449 249	— 103
+ 0.021 5000	0.454 306	— 104	8 — 83.2	+ 0.026 5000	0.449 146	— 103
+ 0.021 6000	0.454 202	— 103	9 — 93.6	+ 0.026 6000	0.449 043	— 102
+ 0.021 7000	0.454 099	— 104		+ 0.026 7000	0.448 941	— 103
+ 0.021 8000	0.453 995	— 104	— 103	+ 0.026 8000	0.448 838	— 102
+ 0.021 9000	0.453 891	— 103		+ 0.026 9000	0.448 736	— 103
+ 0.022 0000	0.453 788	— 104		+ 0.027 0000	0.448 633	— 102
		— 104				— 103
+ 0.022 1000	0.453 684	— 104	1 — 10.3	+ 0.027 1000	0.448 531	— 103
+ 0.022 2000	0.453 580	— 103	2 — 20.6	+ 0.027 2000	0.448 428	— 103
+ 0.022 3000	0.453 477	— 104	3 — 30.9	+ 0.027 3000	0.448 325	— 102
+ 0.022 4000	0.453 373	— 103	4 — 41.2	+ 0.027 4000	0.448 223	— 102
+ 0.022 5000	0.453 270	— 104	5 — 51.5	+ 0.027 5000	0.448 121	— 103
+ 0.022 6000	0.453 166	— 103	6 — 61.8	+ 0.027 6000	0.448 018	— 102
+ 0.022 7000	0.453 063	— 104	7 — 72.1	+ 0.027 7000	0.447 916	— 103
+ 0.022 8000	0.452 959	— 103	8 — 82.4	+ 0.027 8000	0.447 813	— 102
+ 0.022 9000	0.452 856	— 104	9 — 92.7	+ 0.027 9000	0.447 711	— 102
+ 0.023 0000	0.452 752	— 103		+ 0.028 0000	0.447 609	— 103
		— 103				— 102
+ 0.023 1000	0.452 649	— 103	— 102	+ 0.028 1000	0.447 506	— 102
+ 0.023 2000	0.452 546	— 104		+ 0.028 2000	0.447 404	— 102
+ 0.023 3000	0.452 442	— 103		+ 0.028 3000	0.447 302	— 103
+ 0.023 4000	0.452 339	— 103	1 — 10.2	+ 0.028 4000	0.447 199	— 102
+ 0.023 5000	0.452 236	— 104	2 — 20.4	+ 0.028 5000	0.447 097	— 102
+ 0.023 6000	0.452 132	— 103	3 — 30.6	+ 0.028 6000	0.446 995	— 102
+ 0.023 7000	0.452 029	— 103		+ 0.028 7000	0.446 893	— 103
+ 0.023 8000	0.451 926	— 103	4 — 40.8	+ 0.028 8000	0.446 790	— 102
+ 0.023 9000	0.451 823	— 104	5 — 51.0	+ 0.028 9000	0.446 688	— 102
+ 0.024 0000	0.451 719	— 103	6 — 61.2	+ 0.029 0000	0.446 586	— 102
		— 103				— 102
+ 0.024 1000	0.451 616	— 103	7 — 71.4	+ 0.029 1000	0.446 484	— 102
+ 0.024 2000	0.451 513	— 103	8 — 81.6	+ 0.029 2000	0.446 382	— 102
+ 0.024 3000	0.451 410	— 103	9 — 91.8	+ 0.029 3000	0.446 280	— 102
+ 0.024 4000	0.451 307	— 103		+ 0.029 4000	0.446 178	— 102
+ 0.024 5000	0.451 204	— 103		+ 0.029 5000	0.446 076	— 102
+ 0.024 6000	0.451 101	— 103		+ 0.029 6000	0.445 974	— 102
+ 0.024 7000	0.450 998	— 104		+ 0.029 7000	0.445 872	— 102
+ 0.024 8000	0.450 894	— 103		+ 0.029 8000	0.445 770	— 102
+ 0.024 9000	0.450 791	— 103		+ 0.029 9000	0.445 668	— 102
+ 0.025 0000	0.450 688			+ 0.030 0000	0.445 566	

Tafel XII.

vergl. pag. 108.

	$w = 10.$		
	$1 : m_1$	$\log w k^2 m_1 10^7$	$\log (w k'' m_1$
Merkur	7036440	Asten. 9.7024—10	8.2692—10
Venus	101839	1.0712	9.5180—10
Erde und Mond	355400	1.1244	9.6012—10
Mars	2680337	0.2471	8.7239—10
Jupiter	1047.879	3.654972	2.131755
Saturn	3501.6	3.13102	1.60780
Uranus	22000	2.3329	0.8096
Neptun	10700	2.3808	0.8576
	$\log k$	8.235 5814 414	Gauss
	$\log k''$	3.550 0065 746	

vergl. pag. 35, 53, 51.

Uebersicht der Hauptformeln der mechanischen Quadraturen.

Untere Grenze: $a - \frac{1}{2}w$

$$f(a - \frac{1}{2}w) = -\frac{1}{24}f'(a - \frac{1}{2}w) + \frac{17}{5^*60}f'''(a - \frac{1}{2}w) - \frac{367}{96^*680}f^{(5)}(a - \frac{1}{2}w) + \dots$$

$$f''(a) = +\frac{1}{24}f''(a - w) - \frac{17}{5^*60}\{2f'''(a - w) + f'''(a)\} + \frac{367}{96^*680}\{3f^{(5)}(a - w) + 2f^{(5)}(a)\} - \dots$$

Untere Grenze: a

$$f(a - \frac{1}{2}w) = -\frac{1}{2}f'(a) + \frac{1}{12}f''(a) - \frac{11}{240}f'''(a) + \frac{191}{60480}f^{(5)}(a) - \dots$$

$$f''(a) = -\frac{1}{12}f''(a) + \frac{1}{240}f'''(a) - \frac{31}{60480}f^{(5)}(a) + \dots$$

Obere Grenze: $a + i + \frac{1}{2}w = x$

$$\int_{a+i+\frac{1}{2}w}^{a+i+\frac{1}{2}w} f(t) dt = w \left\{ f(x) + \frac{1}{24}f'(x) - \frac{17}{5^*60}f'''(x) + \frac{367}{96^*680}f^{(5)}(x) - \dots \right\}$$

$$\iint_{a+i+\frac{1}{2}w}^{a+i+\frac{1}{2}w} f(t) dt^2 = w^2 \left\{ f(x) - \frac{1}{24}f'(x) + \frac{17}{1920}f'''(x) - \frac{397}{193536}f^{(5)}(x) + \dots \right\}$$

Obere Grenze: $a + iw = y$

$$\int_{a+i}^{a+i} f(t) dt = w \left\{ f(y) - \frac{1}{12}f'(y) + \frac{11}{240}f'''(y) - \frac{191}{60480}f^{(5)}(y) + \dots \right\}$$

$$\iint_{a+i}^{a+i} f(t) dt^2 = w^2 \left\{ f(y) + \frac{1}{12}f'(y) - \frac{1}{240}f'''(y) + \frac{31}{60480}f^{(5)}(y) - \dots \right\}$$

Tafel XIII.

 σ -Tafel.

vergl. pag. 118.

r	$\log \sigma$	Diff.	$P \rho$	r	$\log \sigma$	Diff.
— 0.030 0000	4.922 983	— 68		— 0.025 0000	4.919 618	— 67
— 0.029 9000	4.922 915	— 67		— 0.024 9000	4.919 551	— 67
— 0.029 8000	4.922 848	— 68		— 0.024 8000	4.919 484	— 67
— 0.029 7000	4.922 780	— 67		— 0.024 7000	4.919 417	— 67
— 0.029 6000	4.922 713	— 68		— 0.024 6000	4.919 350	— 68
— 0.029 5000	4.922 645	— 67		— 0.024 5000	4.919 282	— 67
— 0.029 4000	4.922 578	— 68		— 0.024 4000	4.919 215	— 67
— 0.029 3000	4.922 510	— 67	— 68	— 0.024 3000	4.919 148	— 67
— 0.029 2000	4.922 443	— 67	1 — 6.8	— 0.024 2000	4.919 081	— 67
— 0.029 1000	4.922 376	— 68	2 — 13.6	— 0.024 1000	4.919 014	— 67
— 0.029 0000	4.922 308	— 67	3 — 20.4	— 0.024 0000	4.918 947	— 67
— 0.028 9000	4.922 241	— 68	4 — 27.2	— 0.023 9000	4.918 880	— 67
— 0.028 8000	4.922 173	— 67	5 — 34.0	— 0.023 8000	4.918 813	— 67
— 0.028 7000	4.922 106	— 67	6 — 40.8	— 0.023 7000	4.918 746	— 67
— 0.028 6000	4.922 039	— 68	7 — 47.6	— 0.023 6000	4.918 679	— 67
— 0.028 5000	4.921 971	— 67	8 — 54.4	— 0.023 5000	4.918 612	— 67
— 0.028 4000	4.921 904	— 68	9 — 61.2	— 0.023 4000	4.918 545	— 67
— 0.028 3000	4.921 836	— 67	— 67	— 0.023 3000	4.918 478	— 67
— 0.028 2000	4.921 769	— 67	1 — 6.7	— 0.023 2000	4.918 411	— 67
— 0.028 1000	4.921 702	— 68	2 — 13.4	— 0.023 1000	4.918 344	— 66
— 0.028 0000	4.921 634	— 67	3 — 20.1	— 0.023 0000	4.918 278	— 67
— 0.027 9000	4.921 567	— 67	4 — 26.8	— 0.022 9000	4.918 211	— 67
— 0.027 8000	4.921 500	— 68	5 — 33.5	— 0.022 8000	4.918 144	— 67
— 0.027 7000	4.921 432	— 67	6 — 40.2	— 0.022 7000	4.918 077	— 67
— 0.027 6000	4.921 365	— 67	7 — 46.9	— 0.022 6000	4.918 010	— 67
— 0.027 5000	4.921 298	— 68	8 — 53.6	— 0.022 5000	4.917 943	— 67
— 0.027 4000	4.921 230	— 67	9 — 60.3	— 0.022 4000	4.917 876	— 67
— 0.027 3000	4.921 163	— 67	— 66	— 0.022 3000	4.917 809	— 67
— 0.027 2000	4.921 096	— 67	1 — 6.6	— 0.022 2000	4.917 742	— 67
— 0.027 1000	4.921 029	— 68	2 — 13.2	— 0.022 1000	4.917 675	— 66
— 0.027 0000	4.920 961	— 67	3 — 19.8	— 0.022 0000	4.917 609	— 67
— 0.026 9000	4.920 894	— 67	4 — 26.4	— 0.021 9000	4.917 542	— 67
— 0.026 8000	4.920 827	— 67	5 — 33.0	— 0.021 8000	4.917 475	— 67
— 0.026 7000	4.920 760	— 68	6 — 39.6	— 0.021 7000	4.917 408	— 67
— 0.026 6000	4.920 692	— 67	7 — 46.2	— 0.021 6000	4.917 341	— 67
— 0.026 5000	4.920 625	— 67	8 — 52.8	— 0.021 5000	4.917 274	— 66
— 0.026 4000	4.920 558	— 67	9 — 59.4	— 0.021 4000	4.917 208	— 67
— 0.026 3000	4.920 491	— 67	— 66	— 0.021 3000	4.917 141	— 67
— 0.026 2000	4.920 424	— 68	1 — 6.6	— 0.021 2000	4.917 074	— 67
— 0.026 1000	4.920 356	— 67	2 — 13.2	— 0.021 1000	4.917 007	— 67
— 0.026 0000	4.920 289	— 67	3 — 19.8	— 0.021 0000	4.916 940	— 66
— 0.025 9000	4.920 222	— 67	4 — 26.4	— 0.020 9000	4.916 874	— 67
— 0.025 8000	4.920 155	— 67	5 — 33.0	— 0.020 8000	4.916 807	— 67
— 0.025 7000	4.920 088	— 67	6 — 39.6	— 0.020 7000	4.916 740	— 67
— 0.025 6000	4.920 021	— 68	7 — 46.2	— 0.020 6000	4.916 673	— 66
— 0.025 5000	4.919 953	— 67	8 — 52.8	— 0.020 5000	4.916 607	— 67
— 0.025 4000	4.919 886	— 67	9 — 59.4	— 0.020 4000	4.916 540	— 67
— 0.025 3000	4.919 819	— 67	— 66	— 0.020 3000	4.916 473	— 67
— 0.025 2000	4.919 752	— 67	1 — 6.6	— 0.020 2000	4.916 406	— 66
— 0.025 1000	4.919 685	— 67	2 — 13.2	— 0.020 1000	4.916 340	— 66
— 0.025 0000	4.919 618	— 67	3 — 19.8	— 0.020 0000	4.916 273	— 67

Tafel XIII.

σ -Tafel.

r	$\log \sigma$	Diff.	$P. p.$	r	$\log \sigma$	Diff.
0.020 0000	4.916 273	— 67	— 07	0.015 0000	4.912 948	— 66
0.019 9000	4.916 206	— 66		0.014 9000	4.912 882	— 67
0.019 8000	4.916 140	— 67		0.014 8000	4.912 815	— 66
0.019 7000	4.916 073	— 67		0.014 7000	4.912 749	— 66
0.019 6000	4.916 006	— 66		0.014 6000	4.912 683	— 66
0.019 5000	4.915 940	— 67		0.014 5000	4.912 617	— 67
0.019 4000	4.915 873	— 67		0.014 4000	4.912 550	— 66
0.019 3000	4.915 806	— 66		0.014 3000	4.912 484	— 66
0.019 2000	4.915 740	— 67		0.014 2000	4.912 418	— 66
0.019 1000	4.915 673	— 67		0.014 1000	4.912 352	— 67
0.019 0000	4.915 606	— 66	1 — 6.7	0.014 0000	4.912 285	— 66
0.018 9000	4.915 540	— 67	2 — 13.4	0.013 9000	4.912 219	— 66
			3 — 20.1			
			4 — 26.8			
			5 — 33.5			
			6 — 40.2			
			7 — 46.9			
			8 — 53.6			
			9 — 60.3			
			— 66			
			— 66			
0.018 8000	4.915 473	— 66	— 66	0.013 8000	4.912 153	— 66
0.018 7000	4.915 407	— 67		0.013 7000	4.912 087	— 66
0.018 6000	4.915 340	— 67		0.013 6000	4.912 021	— 67
0.018 5000	4.915 273	— 66		0.013 5000	4.911 954	— 66
0.018 4000	4.915 207	— 67		0.013 4000	4.911 888	— 66
0.018 3000	4.915 140	— 66		0.013 3000	4.911 822	— 66
0.018 2000	4.915 074	— 67		0.013 2000	4.911 756	— 66
0.018 1000	4.915 007	— 66		0.013 1000	4.911 690	— 66
0.018 0000	4.914 941	— 67		0.013 0000	4.911 624	— 67
0.017 9000	4.914 874	— 66	1 — 6.6	0.012 9000	4.911 557	— 66
			2 — 13.2			
			3 — 19.8			
			4 — 26.4			
			5 — 33.0			
			6 — 39.6			
			7 — 46.2			
			8 — 52.8			
			9 — 59.4			
			— 67			
0.017 8000	4.914 808	— 66	— 65	0.012 8000	4.911 491	— 66
0.017 7000	4.914 741	— 67		0.012 7000	4.911 425	— 66
0.017 6000	4.914 675	— 67		0.012 6000	4.911 359	— 66
0.017 5000	4.914 608	— 66		0.012 5000	4.911 293	— 66
0.017 4000	4.914 542	— 67		0.012 4000	4.911 227	— 66
0.017 3000	4.914 475	— 66		0.012 3000	4.911 161	— 66
0.017 2000	4.914 409	— 67		0.012 2000	4.911 095	— 66
0.017 1000	4.914 342	— 66		0.012 1000	4.911 029	— 67
0.017 0000	4.914 276	— 67		0.012 0000	4.910 962	— 66
0.016 9000	4.914 209	— 66	1 — 6.5	0.011 9000	4.910 896	— 66
			2 — 13.0			
			3 — 19.5			
			4 — 26.0			
			5 — 32.5			
			6 — 39.0			
			7 — 45.5			
			8 — 52.0			
			9 — 58.5			
			— 66			
0.016 8000	4.914 143	— 67	— 65	0.011 8000	4.910 830	— 66
0.016 7000	4.914 076	— 66		0.011 7000	4.910 764	— 66
0.016 6000	4.914 010	— 67		0.011 6000	4.910 698	— 66
0.016 5000	4.913 943	— 66		0.011 5000	4.910 632	— 66
0.016 4000	4.913 877	— 66		0.011 4000	4.910 566	— 66
0.016 3000	4.913 811	— 67		0.011 3000	4.910 500	— 66
0.016 2000	4.913 744	— 66		0.011 2000	4.910 434	— 66
0.016 1000	4.913 678	— 67		0.011 1000	4.910 368	— 66
0.016 0000	4.913 611	— 66		0.011 0000	4.910 302	— 66
0.015 9000	4.913 545	— 66	1 — 6.4	0.010 9000	4.910 236	— 66
			2 — 12.9			
			3 — 19.4			
			4 — 25.9			
			5 — 32.4			
			6 — 38.9			
			7 — 45.4			
			8 — 51.9			
			9 — 58.4			
			— 66			
0.015 8000	4.913 479	— 67	— 65	0.010 8000	4.910 170	— 66
0.015 7000	4.913 412	— 66		0.010 7000	4.910 104	— 66
0.015 6000	4.913 346	— 66		0.010 6000	4.910 038	— 66
0.015 5000	4.913 280	— 67		0.010 5000	4.909 972	— 66
0.015 4000	4.913 213	— 66		0.010 4000	4.909 906	— 66
0.015 3000	4.913 147	— 66		0.010 3000	4.909 840	— 65
0.015 2000	4.913 081	— 67		0.010 2000	4.909 775	— 66
0.015 1000	4.913 014	— 66		0.010 1000	4.909 709	— 66
0.015 0000	4.912 948	— 66		0.010 0000	4.909 643	— 66

Tafel XIII.

 σ - Tafel.

r	$\log \sigma$	Diff.	$P. p.$	r	$\log \sigma$	Diff.
— 0.010 0000	4.909 643	— 66		— 0.005 0000	4.906 357	— 66
— 0.009 9000	4.909 577	— 66		— 0.004 9000	4.906 291	— 65
— 0.009 8000	4.909 511	— 66		— 0.004 8000	4.906 226	— 66
— 0.009 7000	4.909 445	— 66		— 0.004 7000	4.906 160	— 65
— 0.009 6000	4.909 379	— 66		— 0.004 6000	4.906 095	— 66
— 0.009 5000	4.909 313	— 65		— 0.004 5000	4.906 029	— 65
— 0.009 4000	4.909 247	— 66		— 0.004 4000	4.905 964	— 66
— 0.009 3000	4.909 181	— 65		— 0.004 3000	4.905 898	— 65
— 0.009 2000	4.909 116	— 66		— 0.004 2000	4.905 833	— 65
— 0.009 1000	4.909 050	— 66		— 0.004 1000	4.905 767	— 65
— 0.009 0000	4.908 984	— 66		— 0.004 0000	4.905 702	— 66
— 0.008 9000	4.908 918	— 66		— 0.003 9000	4.905 636	— 65
— 0.008 8000	4.908 852	— 66	— 65	— 0.003 8000	4.905 571	— 65
— 0.008 7000	4.908 786	— 65		— 0.003 7000	4.905 506	— 66
— 0.008 6000	4.908 721	— 65		— 0.003 6000	4.905 440	— 65
— 0.008 5000	4.908 655	— 66	1 — 6.6	— 0.003 5000	4.905 375	— 66
— 0.008 4000	4.908 589	— 66	2 — 13.2	— 0.003 4000	4.905 309	— 65
— 0.008 3000	4.908 523	— 65	3 — 19.8	— 0.003 3000	4.905 244	— 65
— 0.008 2000	4.908 458	— 66		— 0.003 2000	4.905 179	— 66
— 0.008 1000	4.908 392	— 66	4 — 26.4	— 0.003 1000	4.905 113	— 65
— 0.008 0000	4.908 326	— 66	5 — 33.0	— 0.003 0000	4.905 048	— 66
		— 66	6 — 39.6			
— 0.007 9000	4.908 260	— 66	7 — 46.2	— 0.002 9000	4.904 982	— 65
— 0.007 8000	4.908 194	— 65	8 — 52.8	— 0.002 8000	4.904 917	— 65
— 0.007 7000	4.908 129	— 66	9 — 59.4	— 0.002 7000	4.904 852	— 66
— 0.007 6000	4.908 063	— 66		— 0.002 6000	4.904 786	— 65
— 0.007 5000	4.907 997	— 65		— 0.002 5000	4.904 721	— 65
— 0.007 4000	4.907 932	— 66	— 65	— 0.002 4000	4.904 656	— 66
— 0.007 3000	4.907 866	— 66		— 0.002 3000	4.904 590	— 65
— 0.007 2000	4.907 800	— 66		— 0.002 2000	4.904 525	— 65
— 0.007 1000	4.907 734	— 65	1 — 6.5	— 0.002 1000	4.904 460	— 66
— 0.007 0000	4.907 669	— 66	2 — 13.0	— 0.002 0000	4.904 394	— 65
		— 66	3 — 19.5			
— 0.006 9000	4.907 603	— 66	4 — 26.0	— 0.001 9000	4.904 329	— 65
— 0.006 8000	4.907 537	— 65	5 — 32.5	— 0.001 8000	4.904 264	— 65
— 0.006 7000	4.907 472	— 66	6 — 39.0	— 0.001 7000	4.904 199	— 66
— 0.006 6000	4.907 406	— 66		— 0.001 6000	4.904 133	— 65
— 0.006 5000	4.907 340	— 65	7 — 45.5	— 0.001 5000	4.904 068	— 65
— 0.006 4000	4.907 275	— 66	8 — 52.0	— 0.001 4000	4.904 003	— 65
— 0.006 3000	4.907 209	— 65	9 — 58.5	— 0.001 3000	4.903 938	— 66
— 0.006 2000	4.907 144	— 66		— 0.001 2000	4.903 872	— 65
— 0.006 1000	4.907 078	— 66		— 0.001 1000	4.903 807	— 65
— 0.006 0000	4.907 012	— 65		— 0.001 0000	4.903 742	— 65
		— 65				
— 0.005 9000	4.906 947	— 66		— 0.000 9000	4.903 677	— 66
— 0.005 8000	4.906 881	— 65		— 0.000 8000	4.903 611	— 65
— 0.005 7000	4.906 816	— 66		— 0.000 7000	4.903 546	— 65
— 0.005 6000	4.906 750	— 66		— 0.000 6000	4.903 481	— 65
— 0.005 5000	4.906 684	— 65		— 0.000 5000	4.903 416	— 65
— 0.005 4000	4.906 619	— 66		— 0.000 4000	4.903 351	— 66
— 0.005 3000	4.906 553	— 65		— 0.000 3000	4.903 285	— 65
— 0.005 2000	4.906 488	— 66		— 0.000 2000	4.903 220	— 65
— 0.005 1000	4.906 422	— 65		— 0.000 1000	4.903 155	— 65
— 0.005 0000	4.906 357	— 65		— 0.000 0000	4.903 090	— 65

Tafel XIII.

 σ -Tafel.

r	$\log \sigma$	Diff.	$P. p.$	r	$\log \sigma$	Diff.
0.000 0000	4.903 090			+ 0.005 0000	4.899 842	
+ 0.000 1000	4.903 025	65		+ 0.005 1000	4.899 777	— 64
+ 0.000 2000	4.902 960	65		+ 0.005 2000	4.899 713	— 65
+ 0.000 3000	4.902 895	66		+ 0.005 3000	4.899 648	— 65
+ 0.000 4000	4.902 829	65		+ 0.005 4000	4.899 583	— 64
+ 0.000 5000	4.902 764	65		+ 0.005 5000	4.899 519	— 65
+ 0.000 6000	4.902 699	65		+ 0.005 6000	4.899 454	— 65
+ 0.000 7000	4.902 634	65		+ 0.005 7000	4.899 389	— 65
+ 0.000 8000	4.902 569	65		+ 0.005 8000	4.899 324	— 64
+ 0.000 9000	4.902 504	65		+ 0.005 9000	4.899 260	— 65
+ 0.001 0000	4.902 439	65	1 — 6.6	+ 0.006 0000	4.899 195	— 65
		— 65	2 — 13.2			
			3 — 19.8			
+ 0.001 1000	4.902 374	65	4 — 26.4	+ 0.006 1000	4.899 130	— 64
+ 0.001 2000	4.902 309	65	5 — 33.0	+ 0.006 2000	4.899 066	— 65
+ 0.001 3000	4.902 244	65	6 — 39.6	+ 0.006 3000	4.899 001	— 65
+ 0.001 4000	4.902 179	65	7 — 46.2	+ 0.006 4000	4.898 936	— 64
+ 0.001 5000	4.902 114	65	8 — 52.8	+ 0.006 5000	4.898 872	— 65
+ 0.001 6000	4.902 049	65	9 — 59.4	+ 0.006 6000	4.898 807	— 65
+ 0.001 7000	4.901 984	65		+ 0.006 7000	4.898 742	— 64
+ 0.001 8000	4.901 919	65		+ 0.006 8000	4.898 678	— 65
+ 0.001 9000	4.901 854	65		+ 0.006 9000	4.898 613	— 65
+ 0.002 0000	4.901 789	65	— 65	+ 0.007 0000	4.898 548	— 64
			1 — 6.5	+ 0.007 1000	4.898 484	— 65
+ 0.002 1000	4.901 724	65	2 — 13.0	+ 0.007 2000	4.898 419	— 64
+ 0.002 2000	4.901 659	65	3 — 19.5	+ 0.007 3000	4.898 355	— 65
+ 0.002 3000	4.901 594	65	4 — 26.0	+ 0.007 4000	4.898 290	— 65
+ 0.002 4000	4.901 529	65	5 — 32.5	+ 0.007 5000	4.898 225	— 64
+ 0.002 5000	4.901 464	65	6 — 39.0	+ 0.007 6000	4.898 161	— 65
+ 0.002 6000	4.901 399	65	7 — 45.5	+ 0.007 7000	4.898 096	— 64
+ 0.002 7000	4.901 334	65	8 — 52.0	+ 0.007 8000	4.898 032	— 65
+ 0.002 8000	4.901 269	65	9 — 58.5	+ 0.007 9000	4.897 967	— 64
+ 0.002 9000	4.901 204	65		+ 0.008 0000	4.897 903	— 65
		— 65				
+ 0.003 0000	4.901 139	65	— 64	+ 0.008 1000	4.897 838	— 64
			1 — 6.4	+ 0.008 2000	4.897 774	— 65
+ 0.003 1000	4.901 074	65	2 — 12.9	+ 0.008 3000	4.897 709	— 64
+ 0.003 2000	4.901 009	65	3 — 19.2	+ 0.008 4000	4.897 645	— 65
+ 0.003 3000	4.900 944	65	4 — 25.6	+ 0.008 5000	4.897 580	— 64
+ 0.003 4000	4.900 879	65	5 — 32.0	+ 0.008 6000	4.897 516	— 65
+ 0.003 5000	4.900 815	65	6 — 38.4	+ 0.008 7000	4.897 451	— 64
+ 0.003 6000	4.900 750	65	7 — 44.8	+ 0.008 8000	4.897 387	— 65
+ 0.003 7000	4.900 685	65	8 — 51.2	+ 0.008 9000	4.897 322	— 64
+ 0.003 8000	4.900 620	65	9 — 57.6	+ 0.009 0000	4.897 258	— 65
+ 0.003 9000	4.900 555	65				
+ 0.004 0000	4.900 490	65		+ 0.009 1000	4.897 193	— 64
				+ 0.009 2000	4.897 129	— 65
+ 0.004 1000	4.900 425	64		+ 0.009 3000	4.897 064	— 64
+ 0.004 2000	4.900 361	65		+ 0.009 4000	4.897 000	— 65
+ 0.004 3000	4.900 296	65		+ 0.009 5000	4.896 935	— 64
+ 0.004 4000	4.900 231	65		+ 0.009 6000	4.896 871	— 64
+ 0.004 5000	4.900 166	65		+ 0.009 7000	4.896 807	— 65
+ 0.004 6000	4.900 101	65		+ 0.009 8000	4.896 742	— 64
+ 0.004 7000	4.900 037	65		+ 0.009 9000	4.896 678	— 65
+ 0.004 8000	4.899 972	65		+ 0.010 0000	4.896 613	
+ 0.004 9000	4.899 907	65				
+ 0.005 0000	4.899 842					

Tafel XIII.

 σ -Tafel.

r	$\log \sigma$	Diff.	P	p	r	$\log \sigma$	Diff.
+ 0.010 0000	+ 4.896 613				+ 0.015 0000	+ 4.893 403	— 64
		64					
+ 0.010 1000	+ 4.896 549	— 64			+ 0.015 1000	+ 4.893 339	— 64
+ 0.010 2000	+ 4.896 485	— 65			+ 0.015 2000	+ 4.893 275	— 64
+ 0.010 3000	+ 4.896 420	— 64			+ 0.015 3000	+ 4.893 211	— 64
+ 0.010 4000	+ 4.896 356	— 65			+ 0.015 4000	+ 4.893 147	— 64
+ 0.010 5000	+ 4.896 291	— 64			+ 0.015 5000	+ 4.893 083	— 64
+ 0.010 6000	+ 4.896 227	— 64			+ 0.015 6000	+ 4.893 019	— 64
+ 0.010 7000	+ 4.896 163	— 65			+ 0.015 7000	+ 4.892 955	— 64
+ 0.010 8000	+ 4.896 098	— 64			+ 0.015 8000	+ 4.892 891	— 64
+ 0.010 9000	+ 4.896 034	— 64			+ 0.015 9000	+ 4.892 827	— 64
+ 0.011 0000	+ 4.895 970	— 65			+ 0.016 0000	+ 4.892 763	— 64
+ 0.011 1000	+ 4.895 905	— 64			+ 0.016 1000	+ 4.892 699	— 64
+ 0.011 2000	+ 4.895 841	— 64			+ 0.016 2000	+ 4.892 635	— 64
+ 0.011 3000	+ 4.895 777	— 64			+ 0.016 3000	+ 4.892 571	— 64
+ 0.011 4000	+ 4.895 713	— 65			+ 0.016 4000	+ 4.892 507	— 64
+ 0.011 5000	+ 4.895 648	— 64			+ 0.016 5000	+ 4.892 443	— 63
+ 0.011 6000	+ 4.895 584	— 64			+ 0.016 6000	+ 4.892 380	— 64
+ 0.011 7000	+ 4.895 520	— 65			+ 0.016 7000	+ 4.892 316	— 64
+ 0.011 8000	+ 4.895 455	— 64			+ 0.016 8000	+ 4.892 252	— 64
+ 0.011 9000	+ 4.895 391	— 64			+ 0.016 9000	+ 4.892 188	— 64
+ 0.012 0000	+ 4.895 327	— 64			+ 0.017 0000	+ 4.892 124	— 64
+ 0.012 1000	+ 4.895 263	— 65			+ 0.017 1000	+ 4.892 060	— 64
+ 0.012 2000	+ 4.895 198	— 64			+ 0.017 2000	+ 4.891 996	— 64
+ 0.012 3000	+ 4.895 134	— 64			+ 0.017 3000	+ 4.891 932	— 65
+ 0.012 4000	+ 4.895 070	— 64			+ 0.017 4000	+ 4.891 869	— 64
+ 0.012 5000	+ 4.895 006	— 64			+ 0.017 5000	+ 4.891 805	— 64
+ 0.012 6000	+ 4.894 942	— 65			+ 0.017 6000	+ 4.891 741	— 64
+ 0.012 7000	+ 4.894 877	— 64			+ 0.017 7000	+ 4.891 677	— 64
+ 0.012 8000	+ 4.894 813	— 64			+ 0.017 8000	+ 4.891 613	— 64
+ 0.012 9000	+ 4.894 749	— 64			+ 0.017 9000	+ 4.891 549	— 63
+ 0.013 0000	+ 4.894 685	— 64			+ 0.018 0000	+ 4.891 485	— 64
+ 0.013 1000	+ 4.894 621	— 64			+ 0.018 1000	+ 4.891 422	— 64
+ 0.013 2000	+ 4.894 557	— 65			+ 0.018 2000	+ 4.891 358	— 64
+ 0.013 3000	+ 4.894 492	— 64			+ 0.018 3000	+ 4.891 294	— 64
+ 0.013 4000	+ 4.894 428	— 64			+ 0.018 4000	+ 4.891 230	— 63
+ 0.013 5000	+ 4.894 364	— 64			+ 0.018 5000	+ 4.891 167	— 64
+ 0.013 6000	+ 4.894 300	— 64			+ 0.018 6000	+ 4.891 103	— 64
+ 0.013 7000	+ 4.894 236	— 64			+ 0.018 7000	+ 4.891 039	— 64
+ 0.013 8000	+ 4.894 172	— 64			+ 0.018 8000	+ 4.890 975	— 63
+ 0.013 9000	+ 4.894 108	— 64			+ 0.018 9000	+ 4.890 912	— 64
+ 0.014 0000	+ 4.894 044	— 65			+ 0.019 0000	+ 4.890 848	— 64
+ 0.014 1000	+ 4.893 979	— 64			+ 0.019 1000	+ 4.890 784	— 64
+ 0.014 2000	+ 4.893 915	— 64			+ 0.019 2000	+ 4.890 720	— 63
+ 0.014 3000	+ 4.893 851	— 64			+ 0.019 3000	+ 4.890 657	— 64
+ 0.014 4000	+ 4.893 787	— 64			+ 0.019 4000	+ 4.890 593	— 64
+ 0.014 5000	+ 4.893 723	— 64			+ 0.019 5000	+ 4.890 529	— 63
+ 0.014 6000	+ 4.893 659	— 64			+ 0.019 6000	+ 4.890 466	— 64
+ 0.014 7000	+ 4.893 595	— 64			+ 0.019 7000	+ 4.890 402	— 64
+ 0.014 8000	+ 4.893 531	— 64			+ 0.019 8000	+ 4.890 338	— 63
+ 0.014 9000	+ 4.893 467	— 64			+ 0.019 9000	+ 4.890 275	— 64
+ 0.015 0000	+ 4.893 403				+ 0.020 0000	+ 4.890 211	

Tafel XIII.

 σ -Tafel.

r	$\log \sigma$	Diff.	$P. p.$	r	$\log \sigma$	Diff.
+ 0.020 0000	4.890 211			+ 0.025 0000	4.887 037	
		— 64				— 63
+ 0.020 1000	4.890 147	— 63		+ 0.025 1000	4.886 974	— 63
+ 0.020 2000	4.890 084	— 64		+ 0.025 2000	4.886 911	— 63
+ 0.020 3000	4.890 020	— 64		+ 0.025 3000	4.886 847	— 64
+ 0.020 4000	4.889 956	— 63		+ 0.025 4000	4.886 784	— 63
+ 0.020 5000	4.889 893	— 64		+ 0.025 5000	4.886 721	— 63
+ 0.020 6000	4.889 829	— 64		+ 0.025 6000	4.886 658	— 63
+ 0.020 7000	4.889 766	— 63		+ 0.025 7000	4.886 594	— 64
+ 0.020 8000	4.889 702	— 64		+ 0.025 8000	4.886 531	— 63
+ 0.020 9000	4.889 638	— 63		+ 0.025 9000	4.886 468	— 63
+ 0.021 0000	4.889 575	— 64		+ 0.026 0000	4.886 405	— 64
		— 63	1 — 6.4 2 — 12.8 3 — 19.2			— 63
+ 0.021 1000	4.889 511	— 63	4 — 25.6	+ 0.026 1000	4.886 341	— 63
+ 0.021 2000	4.889 448	— 64	5 — 32.0	+ 0.026 2000	4.886 278	— 63
+ 0.021 3000	4.889 384	— 63	6 — 38.4	+ 0.026 3000	4.886 215	— 63
+ 0.021 4000	4.889 321	— 64		+ 0.026 4000	4.886 152	— 63
+ 0.021 5000	4.889 257	— 64	7 — 44.8	+ 0.026 5000	4.886 089	— 63
+ 0.021 6000	4.889 193	— 63	8 — 51.2	+ 0.026 6000	4.886 026	— 63
+ 0.021 7000	4.889 130	— 64	9 — 57.6	+ 0.026 7000	4.885 962	— 63
+ 0.021 8000	4.889 066	— 63		+ 0.026 8000	4.885 899	— 63
+ 0.021 9000	4.889 003	— 64		+ 0.026 9000	4.885 836	— 63
+ 0.022 0000	4.888 939	— 63	0.3	+ 0.027 0000	4.885 773	— 63
		— 64	1 — 6.3 2 — 12.6 3 — 18.9	+ 0.027 1000	4.885 710	— 63
+ 0.022 1000	4.888 876	— 63	4 — 25.2	+ 0.027 2000	4.885 647	— 64
+ 0.022 2000	4.888 812	— 63	5 — 31.5	+ 0.027 3000	4.885 583	— 63
+ 0.022 3000	4.888 749	— 64	6 — 37.8	+ 0.027 4000	4.885 520	— 63
+ 0.022 4000	4.888 685	— 63	7 — 44.1	+ 0.027 5000	4.885 457	— 63
+ 0.022 5000	4.888 622	— 64	8 — 50.4	+ 0.027 6000	4.885 394	— 63
+ 0.022 6000	4.888 558	— 63	9 — 56.7	+ 0.027 7000	4.885 331	— 63
+ 0.022 7000	4.888 495	— 64		+ 0.027 8000	4.885 268	— 63
+ 0.022 8000	4.888 431	— 63		+ 0.027 9000	4.885 205	— 63
+ 0.022 9000	4.888 368	— 64		+ 0.028 0000	4.885 142	— 63
+ 0.023 0000	4.888 305	— 63	0.2			— 63
		— 64	1 — 6.2 2 — 12.4 3 — 18.6	+ 0.028 1000	4.885 079	— 63
+ 0.023 1000	4.888 241	— 63	4 — 24.8	+ 0.028 2000	4.885 016	— 63
+ 0.023 2000	4.888 178	— 64	5 — 31.0	+ 0.028 3000	4.884 953	— 64
+ 0.023 3000	4.888 114	— 63	6 — 37.2	+ 0.028 4000	4.884 890	— 63
+ 0.023 4000	4.888 051	— 63		+ 0.028 5000	4.884 826	— 63
+ 0.023 5000	4.887 988	— 64		+ 0.028 6000	4.884 763	— 63
+ 0.023 6000	4.887 924	— 63		+ 0.028 7000	4.884 700	— 63
+ 0.023 7000	4.887 861	— 64		+ 0.028 8000	4.884 637	— 63
+ 0.023 8000	4.887 797	— 63		+ 0.028 9000	4.884 574	— 63
+ 0.023 9000	4.887 734	— 64		+ 0.029 0000	4.884 511	— 63
+ 0.024 0000	4.887 671	— 63				— 63
		— 64	7 — 43.4 8 — 49.6 9 — 55.8	+ 0.029 1000	4.884 448	— 63
+ 0.024 1000	4.887 607	— 63		+ 0.029 2000	4.884 385	— 63
+ 0.024 2000	4.887 544	— 63		+ 0.029 3000	4.884 322	— 63
+ 0.024 3000	4.887 481	— 64		+ 0.029 4000	4.884 259	— 63
+ 0.024 4000	4.887 417	— 63		+ 0.029 5000	4.884 196	— 63
+ 0.024 5000	4.887 354	— 63		+ 0.029 6000	4.884 133	— 63
+ 0.024 6000	4.887 291	— 64		+ 0.029 7000	4.884 070	— 63
+ 0.024 7000	4.887 227	— 63		+ 0.029 8000	4.884 007	— 63
+ 0.024 8000	4.887 164	— 63		+ 0.029 9000	4.883 945	— 62
+ 0.024 9000	4.887 101	— 64		+ 0.030 0000	4.883 882	— 63
+ 0.025 0000	4.887 037	— 64				— 63

Tafel XIV.

vergl. pag. 297.

$h \setminus J_{(h,J)}$	$J_{(h,J)}$	Diff.	$h \setminus J_{(h,J)}$	$J_{(h,J)}$	Diff.	$h \setminus J_{(h,J)}$	$J_{(h,J)}$	Diff.	$h \setminus J_{(h,J)}$	$J_{(h,J)}$	Diff.
0.00	0.00000	1128	0.50	0.52050	874	1.00	0.84270	411	1.50	0.96611	117
0.01	0.01128	1128	0.51	0.52924	866	1.01	0.84681	403	1.51	0.96728	113
0.02	0.02256	1128	0.52	0.53790	856	1.02	0.85084	394	1.52	0.96841	111
0.03	0.03384	1127	0.53	0.54646	848	1.03	0.85478	387	1.53	0.96952	107
0.04	0.04511	1126	0.54	0.55494	838	1.04	0.85865	379	1.54	0.97059	103
0.05	0.05637	1125	0.55	0.56332	830	1.05	0.86244	370	1.55	0.97162	101
0.06	0.06762	1124	0.56	0.57162	820	1.06	0.86614	363	1.56	0.97263	97
0.07	0.07886	1122	0.57	0.57982	810	1.07	0.86977	356	1.57	0.97360	95
0.08	0.09008	1120	0.58	0.58792	802	1.08	0.87333	347	1.58	0.97455	91
0.09	0.10128	1118	0.59	0.59594	792	1.09	0.87680	341	1.59	0.97546	89
0.10	0.11246	1116	0.60	0.60386	782	1.10	0.88021	332	1.60	0.97635	86
0.11	0.12362	1114	0.61	0.61168	773	1.11	0.88353	326	1.61	0.97721	83
0.12	0.13476	1111	0.62	0.61941	764	1.12	0.88679	318	1.62	0.97804	80
0.13	0.14587	1108	0.63	0.62705	754	1.13	0.88997	311	1.63	0.97884	78
0.14	0.15695	1105	0.64	0.63459	744	1.14	0.89308	304	1.64	0.97962	76
0.15	0.16800	1101	0.65	0.64203	735	1.15	0.89612	298	1.65	0.98038	72
0.16	0.17901	1098	0.66	0.64938	725	1.16	0.89910	290	1.66	0.98110	71
0.17	0.18999	1095	0.67	0.65663	715	1.17	0.90200	284	1.67	0.98181	68
0.18	0.20094	1090	0.68	0.66378	706	1.18	0.90484	277	1.68	0.98249	66
0.19	0.21184	1086	0.69	0.67084	696	1.19	0.90761	270	1.69	0.98315	64
0.20	0.22270	1082	0.70	0.67780	687	1.20	0.91031	265	1.70	0.98379	62
0.21	0.23352	1078	0.71	0.68467	676	1.21	0.91296	257	1.71	0.98441	59
0.22	0.24430	1072	0.72	0.69143	667	1.22	0.91555	252	1.72	0.98500	58
0.23	0.25502	1068	0.73	0.69810	658	1.23	0.91805	246	1.73	0.98558	55
0.24	0.26570	1063	0.74	0.70468	648	1.24	0.92051	239	1.74	0.98613	54
0.25	0.27633	1057	0.75	0.71116	638	1.25	0.92290	234	1.75	0.98667	52
0.26	0.28690	1052	0.76	0.71754	628	1.26	0.92524	227	1.76	0.98719	50
0.27	0.29742	1046	0.77	0.72382	619	1.27	0.92751	222	1.77	0.98769	48
0.28	0.30788	1040	0.78	0.73001	609	1.28	0.92973	217	1.78	0.98817	47
0.29	0.31828	1035	0.79	0.73610	600	1.29	0.93190	211	1.79	0.98864	45
0.30	0.32863	1028	0.80	0.74210	590	1.30	0.93401	205	1.80	0.98909	43
0.31	0.33891	1022	0.81	0.74800	581	1.31	0.93606	201	1.81	0.98952	42
0.32	0.34913	1015	0.82	0.75381	571	1.32	0.93807	195	1.82	0.98994	41
0.33	0.35928	1008	0.83	0.75952	562	1.33	0.94002	189	1.83	0.99035	39
0.34	0.36936	1002	0.84	0.76514	553	1.34	0.94191	185	1.84	0.99074	37
0.35	0.37938	995	0.85	0.77067	543	1.35	0.94376	180	1.85	0.99111	36
0.36	0.38933	988	0.86	0.77610	534	1.36	0.94556	175	1.86	0.99147	35
0.37	0.39921	980	0.87	0.78144	525	1.37	0.94731	171	1.87	0.99182	34
0.38	0.40901	973	0.88	0.78669	515	1.38	0.94902	165	1.88	0.99216	32
0.39	0.41874	965	0.89	0.79184	507	1.39	0.95067	162	1.89	0.99248	31
0.40	0.42839	958	0.90	0.79691	497	1.40	0.95229	156	1.90	0.99279	30
0.41	0.43797	950	0.91	0.80188	489	1.41	0.95385	153	1.91	0.99309	29
0.42	0.44747	942	0.92	0.80677	479	1.42	0.95538	148	1.92	0.99338	28
0.43	0.45689	934	0.93	0.81156	471	1.43	0.95686	144	1.93	0.99366	26
0.44	0.46623	925	0.94	0.81627	462	1.44	0.95830	140	1.94	0.99392	26
0.45	0.47548	918	0.95	0.82089	453	1.45	0.95970	135	1.95	0.99418	25
0.46	0.48466	909	0.96	0.82542	445	1.46	0.96105	132	1.96	0.99443	23
0.47	0.49375	900	0.97	0.82987	436	1.47	0.96237	128	1.97	0.99466	23
0.48	0.50275	892	0.98	0.83423	428	1.48	0.96365	125	1.98	0.99489	22
0.49	0.51167	883	0.99	0.83851	419	1.49	0.96490	121	1.99	0.99511	21
0.50	0.52050		1.00	0.84270		1.50	0.96611		2.00	0.99532	

Tafel XV.

vergl. pag. 321.

H											P. p.	
	0	1	2	3	4	5	6	7	8	9	0	1
0.00	0.0000	0.0000	0.0000	0.0000	0.0000	0.0000	0.0000	0.0000	0.0001	0.0001	1	0.0
0.01	0.0001	0.0001	0.0001	0.0002	0.0002	0.0002	0.0003	0.0003	0.0003	0.0004	2	0.0
0.02	0.0004	0.0004	0.0005	0.0005	0.0006	0.0006	0.0007	0.0007	0.0008	0.0008	3	0.0
0.03	0.0009	0.0010	0.0010	0.0011	0.0012	0.0012	0.0013	0.0014	0.0014	0.0015	4	0.0
0.04	0.0016	0.0017	0.0018	0.0018	0.0019	0.0020	0.0021	0.0022	0.0023	0.0024	5	0.0
0.05	0.0025	0.0026	0.0027	0.0028	0.0029	0.0030	0.0031	0.0032	0.0034	0.0035	6	0.0
0.06	0.0036	0.0037	0.0038	0.0040	0.0041	0.0042	0.0044	0.0045	0.0046	0.0048	7	0.0
0.07	0.0049	0.0050	0.0052	0.0053	0.0055	0.0056	0.0058	0.0059	0.0061	0.0062	8	0.0
0.08	0.0064	0.0066	0.0067	0.0069	0.0071	0.0072	0.0074	0.0076	0.0077	0.0079	9	0.0
0.09	0.0081	0.0083	0.0085	0.0086	0.0088	0.0090	0.0092	0.0094	0.0096	0.0098	2	
0.10	0.0100	0.0102	0.0104	0.0106	0.0108	0.0110	0.0112	0.0114	0.0117	0.0119	3	
0.11	0.0121	0.0123	0.0125	0.0128	0.0130	0.0132	0.0135	0.0137	0.0139	0.0142	1	0.2
0.12	0.0144	0.0146	0.0149	0.0151	0.0154	0.0156	0.0159	0.0161	0.0164	0.0166	2	0.4
0.13	0.0169	0.0172	0.0174	0.0177	0.0180	0.0182	0.0185	0.0188	0.0190	0.0193	3	0.6
0.14	0.0196	0.0199	0.0202	0.0204	0.0207	0.0210	0.0213	0.0216	0.0219	0.0222	4	0.8
0.15	0.0225	0.0228	0.0231	0.0234	0.0237	0.0240	0.0243	0.0246	0.0250	0.0253	5	1.0
0.16	0.0256	0.0259	0.0262	0.0266	0.0269	0.0272	0.0276	0.0279	0.0282	0.0286	6	1.2
0.17	0.0289	0.0292	0.0296	0.0299	0.0303	0.0306	0.0310	0.0313	0.0317	0.0320	7	1.4
0.18	0.0324	0.0328	0.0331	0.0335	0.0339	0.0342	0.0346	0.0350	0.0353	0.0357	8	1.6
0.19	0.0361	0.0365	0.0369	0.0372	0.0376	0.0380	0.0384	0.0388	0.0392	0.0396	9	1.8
0.20	0.0400	0.0404	0.0408	0.0412	0.0416	0.0420	0.0424	0.0428	0.0433	0.0437	4	
0.21	0.0441	0.0445	0.0449	0.0454	0.0458	0.0462	0.0467	0.0471	0.0475	0.0480	1	0.4
0.22	0.0484	0.0488	0.0493	0.0497	0.0502	0.0506	0.0511	0.0515	0.0520	0.0524	2	0.8
0.23	0.0529	0.0534	0.0538	0.0543	0.0548	0.0552	0.0557	0.0562	0.0566	0.0571	3	1.2
0.24	0.0576	0.0581	0.0586	0.0590	0.0595	0.0600	0.0605	0.0610	0.0615	0.0620	4	1.6
0.25	0.0625	0.0630	0.0635	0.0640	0.0645	0.0650	0.0655	0.0660	0.0666	0.0671	5	2.0
0.26	0.0676	0.0681	0.0686	0.0692	0.0697	0.0702	0.0708	0.0713	0.0718	0.0724	6	2.4
0.27	0.0729	0.0734	0.0740	0.0745	0.0751	0.0756	0.0762	0.0767	0.0773	0.0778	7	2.8
0.28	0.0784	0.0790	0.0795	0.0801	0.0807	0.0812	0.0818	0.0824	0.0829	0.0835	8	3.2
0.29	0.0841	0.0847	0.0853	0.0858	0.0864	0.0870	0.0876	0.0882	0.0888	0.0894	9	3.6
0.30	0.0900	0.0906	0.0912	0.0918	0.0924	0.0930	0.0936	0.0942	0.0949	0.0955	0	
0.31	0.0961	0.0967	0.0973	0.0979	0.0986	0.0992	0.0999	0.1005	0.1011	0.1018	1	0.6
0.32	0.1024	0.1030	0.1037	0.1043	0.1050	0.1056	0.1063	0.1069	0.1076	0.1082	2	1.2
0.33	0.1089	0.1096	0.1102	0.1109	0.1116	0.1122	0.1129	0.1136	0.1142	0.1149	3	1.8
0.34	0.1156	0.1163	0.1170	0.1176	0.1183	0.1190	0.1197	0.1204	0.1211	0.1218	4	2.4
0.35	0.1225	0.1232	0.1239	0.1246	0.1253	0.1260	0.1267	0.1274	0.1282	0.1289	5	3.0
0.36	0.1296	0.1303	0.1310	0.1318	0.1325	0.1332	0.1340	0.1347	0.1354	0.1362	6	3.6
0.37	0.1369	0.1376	0.1384	0.1391	0.1399	0.1406	0.1414	0.1421	0.1429	0.1436	7	4.2
0.38	0.1444	0.1452	0.1459	0.1467	0.1475	0.1482	0.1490	0.1498	0.1505	0.1513	8	4.8
0.39	0.1521	0.1529	0.1537	0.1544	0.1552	0.1560	0.1568	0.1576	0.1584	0.1592	9	5.4
0.40	0.1600	0.1608	0.1616	0.1624	0.1632	0.1640	0.1648	0.1656	0.1665	0.1673	8	
0.41	0.1681	0.1689	0.1697	0.1706	0.1714	0.1722	0.1731	0.1739	0.1747	0.1756	1	0.8
0.42	0.1764	0.1772	0.1781	0.1789	0.1798	0.1806	0.1815	0.1823	0.1832	0.1840	2	1.6
0.43	0.1849	0.1858	0.1866	0.1875	0.1884	0.1892	0.1901	0.1910	0.1918	0.1927	3	2.4
0.44	0.1936	0.1945	0.1954	0.1962	0.1971	0.1980	0.1989	0.1998	0.2007	0.2016	4	3.2
0.45	0.2025	0.2034	0.2043	0.2052	0.2061	0.2070	0.2079	0.2088	0.2098	0.2107	5	4.0
0.46	0.2116	0.2125	0.2134	0.2144	0.2153	0.2162	0.2172	0.2181	0.2190	0.2200	6	4.8
0.47	0.2209	0.2218	0.2228	0.2237	0.2247	0.2256	0.2266	0.2275	0.2285	0.2294	7	5.6
0.48	0.2304	0.2314	0.2323	0.2333	0.2343	0.2352	0.2362	0.2372	0.2381	0.2391	8	6.4
0.49	0.2401	0.2411	0.2421	0.2430	0.2440	0.2450	0.2460	0.2470	0.2480	0.2490	9	7.2
0.50	0.2500	0.2510	0.2520	0.2530	0.2540	0.2550	0.2560	0.2570	0.2581	0.2591	10	
0.51	0.2601	0.2611	0.2621	0.2631	0.2641	0.2651	0.2661	0.2671	0.2681	0.2691	1	1.0
0.52	0.2701	0.2711	0.2721	0.2731	0.2741	0.2751	0.2761	0.2771	0.2781	0.2791	2	2.0
0.53	0.2801	0.2811	0.2821	0.2831	0.2841	0.2851	0.2861	0.2871	0.2881	0.2891	3	3.0
0.54	0.2901	0.2911	0.2921	0.2931	0.2941	0.2951	0.2961	0.2971	0.2981	0.2991	4	4.0
0.55	0.3001	0.3011	0.3021	0.3031	0.3041	0.3051	0.3061	0.3071	0.3081	0.3091	5	5.0
0.56	0.3101	0.3111	0.3121	0.3131	0.3141	0.3151	0.3161	0.3171	0.3181	0.3191	6	6.0
0.57	0.3201	0.3211	0.3221	0.3231	0.3241	0.3251	0.3261	0.3271	0.3281	0.3291	7	7.0
0.58	0.3301	0.3311	0.3321	0.3331	0.3341	0.3351	0.3361	0.3371	0.3381	0.3391	8	8.0
0.59	0.3401	0.3411	0.3421	0.3431	0.3441	0.3451	0.3461	0.3471	0.3481	0.3491	9	9.0

Tafel XV.

H	0	1	2	3	4	5	6	7	8	9	P, p
0.50	0.2500	0.2510	0.2520	0.2530	0.2540	0.2550	0.2560	0.2570	0.2581	0.2591	10 11
0.51	0.2601	0.2611	0.2621	0.2632	0.2642	0.2652	0.2663	0.2673	0.2683	0.2694	1 1.0 1.1
0.52	0.2704	0.2714	0.2725	0.2735	0.2746	0.2756	0.2767	0.2777	0.2788	0.2798	2 2.0 2.2
0.53	0.2809	0.2820	0.2830	0.2841	0.2852	0.2862	0.2873	0.2884	0.2894	0.2905	3 3.0 3.3
0.54	0.2916	0.2927	0.2938	0.2948	0.2959	0.2970	0.2981	0.2992	0.3003	0.3014	4 4.0 4.4
0.55	0.3025	0.3036	0.3047	0.3058	0.3069	0.3080	0.3091	0.3102	0.3114	0.3125	5 5.0 5.5
0.56	0.3136	0.3147	0.3158	0.3170	0.3181	0.3192	0.3204	0.3215	0.3226	0.3238	6 6.0 6.6
0.57	0.3249	0.3260	0.3272	0.3283	0.3295	0.3306	0.3318	0.3329	0.3341	0.3352	7 7.0 7.7
0.58	0.3364	0.3376	0.3387	0.3399	0.3411	0.3422	0.3434	0.3446	0.3457	0.3469	8 8.0 8.8
0.59	0.3481	0.3493	0.3505	0.3516	0.3528	0.3540	0.3552	0.3564	0.3576	0.3588	9 9.0 9.9
0.60	0.3600	0.3612	0.3624	0.3636	0.3648	0.3660	0.3672	0.3684	0.3697	0.3709	12 13
0.61	0.3721	0.3733	0.3745	0.3758	0.3770	0.3782	0.3795	0.3807	0.3819	0.3832	1 1.2 1.3
0.62	0.3844	0.3856	0.3869	0.3881	0.3894	0.3906	0.3919	0.3931	0.3944	0.3956	2 2.4 2.6
0.63	0.3969	0.3982	0.3994	0.4007	0.4020	0.4032	0.4045	0.4058	0.4070	0.4083	3 3.6 3.9
0.64	0.4096	0.4109	0.4122	0.4134	0.4147	0.4160	0.4173	0.4186	0.4199	0.4212	4 4.8 5.2
0.65	0.4225	0.4238	0.4251	0.4264	0.4277	0.4290	0.4303	0.4316	0.4330	0.4343	5 5.6 6.3
0.66	0.4356	0.4369	0.4382	0.4396	0.4409	0.4422	0.4436	0.4449	0.4462	0.4476	6 6.2 7.8
0.67	0.4489	0.4502	0.4516	0.4529	0.4543	0.4556	0.4570	0.4583	0.4597	0.4610	7 8.4 9.1
0.68	0.4624	0.4638	0.4651	0.4665	0.4679	0.4692	0.4706	0.4720	0.4733	0.4747	8 9.6 10.4
0.69	0.4761	0.4775	0.4789	0.4802	0.4816	0.4830	0.4844	0.4858	0.4872	0.4886	9 10.8 11.7
0.70	0.4900	0.4914	0.4928	0.4942	0.4956	0.4970	0.4983	0.4998	0.5013	0.5027	14 15
0.71	0.5041	0.5055	0.5069	0.5084	0.5098	0.5112	0.5127	0.5141	0.5155	0.5170	1 1.4 1.5
0.72	0.5184	0.5198	0.5213	0.5227	0.5242	0.5256	0.5271	0.5285	0.5300	0.5314	2 2.8 3.0
0.73	0.5329	0.5344	0.5358	0.5373	0.5388	0.5402	0.5417	0.5432	0.5446	0.5461	3 4.2 4.5
0.74	0.5476	0.5491	0.5505	0.5520	0.5535	0.5550	0.5565	0.5580	0.5595	0.5610	4 5.6 6.0
0.75	0.5625	0.5640	0.5655	0.5670	0.5685	0.5700	0.5715	0.5730	0.5746	0.5761	5 7.0 7.5
0.76	0.5776	0.5791	0.5806	0.5822	0.5837	0.5852	0.5868	0.5883	0.5898	0.5914	6 8.4 9.0
0.77	0.5929	0.5944	0.5960	0.5975	0.5991	0.6006	0.6022	0.6037	0.6053	0.6068	7 9.8 10.5
0.78	0.6084	0.6100	0.6115	0.6131	0.6147	0.6162	0.6178	0.6194	0.6209	0.6225	8 11.2 12.0
0.79	0.6241	0.6257	0.6273	0.6288	0.6304	0.6320	0.6336	0.6352	0.6368	0.6384	9 12.6 13.5
0.80	0.6400	0.6416	0.6432	0.6448	0.6464	0.6480	0.6496	0.6512	0.6529	0.6545	10 17
0.81	0.6561	0.6577	0.6593	0.6610	0.6626	0.6642	0.6659	0.6675	0.6691	0.6708	1 1.6 1.7
0.82	0.6724	0.6740	0.6757	0.6773	0.6790	0.6806	0.6823	0.6839	0.6856	0.6872	2 3.2 3.4
0.83	0.6889	0.6906	0.6922	0.6939	0.6956	0.6972	0.6989	0.7006	0.7022	0.7039	3 4.8 5.1
0.84	0.7056	0.7073	0.7090	0.7106	0.7123	0.7140	0.7157	0.7174	0.7191	0.7208	4 6.4 6.8
0.85	0.7225	0.7242	0.7259	0.7276	0.7293	0.7310	0.7327	0.7344	0.7362	0.7379	5 8.0 8.5
0.86	0.7396	0.7413	0.7430	0.7448	0.7465	0.7482	0.7500	0.7517	0.7534	0.7552	6 9.6 10.2
0.87	0.7569	0.7586	0.7604	0.7621	0.7639	0.7656	0.7674	0.7691	0.7709	0.7726	7 11.2 11.9
0.88	0.7744	0.7762	0.7779	0.7797	0.7815	0.7832	0.7850	0.7868	0.7885	0.7903	8 12.8 13.6
0.89	0.7921	0.7939	0.7957	0.7974	0.7992	0.8010	0.8028	0.8046	0.8064	0.8082	9 14.4 15.3
0.90	0.8100	0.8118	0.8136	0.8154	0.8172	0.8190	0.8208	0.8226	0.8245	0.8263	14 10
0.91	0.8281	0.8299	0.8317	0.8336	0.8354	0.8372	0.8391	0.8409	0.8427	0.8446	1 1.8 1.9
0.92	0.8464	0.8482	0.8501	0.8519	0.8538	0.8556	0.8575	0.8593	0.8612	0.8630	2 3.6 3.8
0.93	0.8649	0.8668	0.8686	0.8705	0.8724	0.8742	0.8761	0.8780	0.8798	0.8817	3 5.4 5.7
0.94	0.8836	0.8855	0.8874	0.8892	0.8911	0.8930	0.8949	0.8968	0.8987	0.9006	4 7.2 7.6
0.95	0.9025	0.9043	0.9063	0.9082	0.9101	0.9120	0.9139	0.9158	0.9178	0.9197	5 9.0 9.5
0.96	0.9216	0.9235	0.9254	0.9274	0.9293	0.9312	0.9332	0.9351	0.9370	0.9390	6 10 11.4
0.97	0.9409	0.9428	0.9448	0.9467	0.9487	0.9506	0.9526	0.9545	0.9565	0.9584	7 12.6 13.3
0.98	0.9604	0.9624	0.9643	0.9663	0.9683	0.9702	0.9722	0.9742	0.9761	0.9781	8 14.4 15.2
0.99	0.9801	0.9821	0.9841	0.9860	0.9880	0.9900	0.9920	0.9940	0.9960	0.9980	9 16.2 17.1
1.00	1.0000	1.0020	1.0040	1.0060	1.0080	1.0100	1.0120	1.0140	1.0161	1.0181	20 21
H	0	1	2	3	4	5	6	7	8	9	
											1 2.0 2.1
											2 4.0 4.2
											3 6.0 6.3
											4 8.0 8.4
											5 10.0 10.5
											6 12.0 12.6
											7 14.0 14.7
											8 16.0 16.8
											9 18.0 18.9

Tafel XV.

<i>H</i>	0	1	2	3	4	5	6	7	8	9	<i>P. p.</i>	
1.00	1.0000	1.0020	1.0040	1.0060	1.0080	1.0100	1.0120	1.0140	1.0161	1.0181	20	21
1.01	1.0201	1.0221	1.0241	1.0262	1.0282	1.0302	1.0323	1.0343	1.0363	1.0384	1	2.0 2.1
1.02	1.0404	1.0424	1.0445	1.0465	1.0486	1.0506	1.0527	1.0547	1.0568	1.0588	2	4.0 4.2
1.03	1.0609	1.0630	1.0650	1.0671	1.0692	1.0712	1.0733	1.0754	1.0774	1.0795	3	6.0 6.3
1.04	1.0816	1.0837	1.0858	1.0878	1.0899	1.0920	1.0941	1.0962	1.0983	1.1004	4	8.0 8.4
1.05	1.1025	1.1046	1.1067	1.1088	1.1109	1.1130	1.1151	1.1172	1.1194	1.1215	5	10.0 10.5
1.06	1.1236	1.1257	1.1278	1.1300	1.1321	1.1342	1.1364	1.1385	1.1406	1.1428	6	12.0 12.6
1.07	1.1449	1.1470	1.1492	1.1513	1.1535	1.1556	1.1578	1.1599	1.1621	1.1642	7	14.0 14.7
1.08	1.1664	1.1686	1.1707	1.1729	1.1751	1.1772	1.1794	1.1816	1.1837	1.1859	8	16.0 16.8
1.09	1.1881	1.1903	1.1925	1.1946	1.1968	1.1990	1.2012	1.2034	1.2056	1.2078	9	18.0 18.9
1.10	1.2100	1.2122	1.2144	1.2166	1.2188	1.2210	1.2232	1.2254	1.2277	1.2299	22	23
1.11	1.2321	1.2343	1.2365	1.2388	1.2410	1.2432	1.2455	1.2477	1.2499	1.2522	1	2.2 2.3
1.12	1.2544	1.2566	1.2589	1.2611	1.2634	1.2656	1.2679	1.2701	1.2724	1.2746	2	4.4 4.6
1.13	1.2769	1.2792	1.2814	1.2837	1.2860	1.2882	1.2905	1.2928	1.2950	1.2973	3	6.6 6.9
1.14	1.2996	1.3019	1.3042	1.3064	1.3087	1.3110	1.3133	1.3156	1.3179	1.3202	4	8.8 9.2
1.15	1.3225	1.3248	1.3271	1.3294	1.3317	1.3340	1.3363	1.3386	1.3410	1.3433	5	11.0 11.5
1.16	1.3456	1.3479	1.3502	1.3526	1.3549	1.3572	1.3596	1.3619	1.3642	1.3666	6	13.2 13.8
1.17	1.3689	1.3712	1.3736	1.3759	1.3783	1.3806	1.3830	1.3853	1.3877	1.3900	7	15.4 16.1
1.18	1.3924	1.3948	1.3971	1.3995	1.4019	1.4042	1.4066	1.4090	1.4113	1.4137	8	17.6 18.4
1.19	1.4161	1.4185	1.4209	1.4232	1.4256	1.4280	1.4304	1.4328	1.4352	1.4376	9	19.8 20.7
1.20	1.4400	1.4424	1.4448	1.4472	1.4496	1.4520	1.4544	1.4568	1.4593	1.4617	24	25
1.21	1.4641	1.4665	1.4689	1.4714	1.4738	1.4762	1.4787	1.4811	1.4835	1.4860	1	2.4 2.5
1.22	1.4884	1.4908	1.4933	1.4957	1.4982	1.5006	1.5031	1.5055	1.5080	1.5104	2	4.8 5.0
1.23	1.5129	1.5154	1.5178	1.5203	1.5228	1.5252	1.5277	1.5302	1.5326	1.5351	3	7.2 7.5
1.24	1.5376	1.5401	1.5426	1.5450	1.5475	1.5500	1.5525	1.5550	1.5575	1.5600	4	9.6 10.0
1.25	1.5625	1.5650	1.5675	1.5700	1.5725	1.5750	1.5775	1.5800	1.5826	1.5851	5	12.0 12.5
1.26	1.5876	1.5901	1.5926	1.5952	1.5977	1.6002	1.6028	1.6053	1.6078	1.6104	6	14.4 15.0
1.27	1.6129	1.6154	1.6180	1.6205	1.6231	1.6256	1.6282	1.6307	1.6333	1.6358	7	16.8 17.5
1.28	1.6384	1.6410	1.6435	1.6461	1.6487	1.6512	1.6538	1.6564	1.6589	1.6615	8	19.2 20.0
1.29	1.6641	1.6667	1.6693	1.6718	1.6744	1.6770	1.6796	1.6822	1.6848	1.6874	9	21.6 22.5
1.30	1.6900	1.6926	1.6952	1.6978	1.7004	1.7030	1.7056	1.7082	1.7109	1.7135	26	27
1.31	1.7161	1.7187	1.7213	1.7240	1.7266	1.7292	1.7319	1.7345	1.7371	1.7398	1	2.6 2.7
1.32	1.7424	1.7450	1.7477	1.7503	1.7530	1.7556	1.7583	1.7609	1.7636	1.7662	2	5.2 5.4
1.33	1.7689	1.7716	1.7742	1.7769	1.7796	1.7822	1.7849	1.7876	1.7902	1.7929	3	7.8 8.1
1.34	1.7956	1.7983	1.8010	1.8036	1.8063	1.8090	1.8117	1.8144	1.8171	1.8198	4	10.4 10.8
1.35	1.8225	1.8252	1.8279	1.8306	1.8333	1.8360	1.8387	1.8414	1.8442	1.8469	5	13.0 13.5
1.36	1.8496	1.8523	1.8550	1.8578	1.8605	1.8632	1.8660	1.8687	1.8714	1.8742	6	15.6 16.2
1.37	1.8769	1.8796	1.8824	1.8851	1.8879	1.8906	1.8934	1.8961	1.8989	1.9016	7	18.2 18.9
1.38	1.9044	1.9072	1.9099	1.9127	1.9155	1.9182	1.9210	1.9238	1.9265	1.9293	8	20.8 21.6
1.39	1.9321	1.9349	1.9377	1.9404	1.9432	1.9460	1.9488	1.9516	1.9544	1.9572	9	23.4 24.3
1.40	1.9600	1.9628	1.9656	1.9684	1.9712	1.9740	1.9768	1.9796	1.9825	1.9853	28	29
1.41	1.9881	1.9909	1.9937	1.9965	1.9994	2.0022	2.0051	2.0079	2.0107	2.0136	1	2.8 2.9
1.42	2.0164	2.0192	2.0221	2.0249	2.0278	2.0306	2.0335	2.0363	2.0392	2.0420	2	5.6 5.8
1.43	2.0449	2.0478	2.0506	2.0535	2.0564	2.0592	2.0621	2.0650	2.0678	2.0707	3	8.4 8.7
1.44	2.0736	2.0765	2.0794	2.0822	2.0851	2.0880	2.0909	2.0938	2.0967	2.0996	4	11.2 11.6
1.45	2.1025	2.1054	2.1083	2.1112	2.1141	2.1170	2.1199	2.1228	2.1258	2.1287	5	14.0 14.5
1.46	2.1316	2.1345	2.1374	2.1404	2.1433	2.1462	2.1492	2.1521	2.1550	2.1580	6	16.8 17.4
1.47	2.1609	2.1638	2.1668	2.1697	2.1727	2.1756	2.1786	2.1815	2.1845	2.1874	7	19.6 20.3
1.48	2.1904	2.1934	2.1963	2.1993	2.2023	2.2052	2.2082	2.2112	2.2141	2.2171	8	22.4 23.2
1.49	2.2201	2.2231	2.2261	2.2290	2.2320	2.2350	2.2380	2.2410	2.2440	2.2470	9	25.2 26.1
1.50	2.2500	2.2530	2.2560	2.2590	2.2620	2.2650	2.2680	2.2710	2.2741	2.2771	30	31
1	2.2801	2.2831	2.2861	2.2891	2.2921	2.2951	2.2981	2.3011	2.3041	2.3071	1	3.0 3.1
2	2.3101	2.3131	2.3161	2.3191	2.3221	2.3251	2.3281	2.3311	2.3341	2.3371	2	6.0 6.2
3	2.3401	2.3431	2.3461	2.3491	2.3521	2.3551	2.3581	2.3611	2.3641	2.3671	3	9.0 9.3
4	2.3701	2.3731	2.3761	2.3791	2.3821	2.3851	2.3881	2.3911	2.3941	2.3971	4	12.0 12.4
5	2.4001	2.4031	2.4061	2.4091	2.4121	2.4151	2.4181	2.4211	2.4241	2.4271	5	15.0 15.5
6	2.4301	2.4331	2.4361	2.4391	2.4421	2.4451	2.4481	2.4511	2.4541	2.4571	6	18.0 18.6
7	2.4601	2.4631	2.4661	2.4691	2.4721	2.4751	2.4781	2.4811	2.4841	2.4871	7	21.0 21.7
8	2.4901	2.4931	2.4961	2.4991	2.5021	2.5051	2.5081	2.5111	2.5141	2.5171	8	24.0 24.8
9	2.5201	2.5231	2.5261	2.5291	2.5321	2.5351	2.5381	2.5411	2.5441	2.5471	9	27.0 27.9

Tafel XV.

H'	0	1	2	3	4	5	6	7	8	9	$P. p.$	
											30	31
1.50	2.2500	2.2530	2.2560	2.2590	2.2620	2.2650	2.2680	2.2710	2.2741	2.2771	1 3.0	3.1
1.51	2.2801	2.2831	2.2861	2.2892	2.2922	2.2952	2.2983	2.3013	2.3043	2.3074	2 6.0	6.2
1.52	2.3104	2.3134	2.3165	2.3195	2.3226	2.3256	2.3287	2.3317	2.3348	2.3378	3 9.0	9.3
1.53	2.3409	2.3440	2.3470	2.3501	2.3532	2.3562	2.3593	2.3624	2.3654	2.3685	4 12.0	12.4
1.54	2.3716	2.3747	2.3778	2.3808	2.3839	2.3870	2.3901	2.3932	2.3963	2.3994	5 15.0	15.5
1.55	2.4025	2.4056	2.4087	2.4118	2.4149	2.4180	2.4211	2.4242	2.4274	2.4305	6 18.0	18.6
1.56	2.4336	2.4367	2.4398	2.4430	2.4461	2.4492	2.4524	2.4555	2.4586	2.4618	7 21.0	21.7
1.57	2.4649	2.4680	2.4712	2.4743	2.4775	2.4806	2.4838	2.4869	2.4901	2.4932	8 24.0	24.8
1.58	2.4964	2.4996	2.5027	2.5059	2.5091	2.5122	2.5154	2.5186	2.5217	2.5249	9 27.0	27.9
1.59	2.5281	2.5313	2.5345	2.5376	2.5408	2.5440	2.5472	2.5504	2.5536	2.5568	32	33
1.60	2.5600	2.5632	2.5664	2.5696	2.5728	2.5760	2.5792	2.5824	2.5857	2.5889	1 3.2	3.3
1.61	2.5921	2.5953	2.5985	2.6018	2.6050	2.6082	2.6115	2.6147	2.6179	2.6212	2 6.4	6.6
1.62	2.6244	2.6276	2.6309	2.6341	2.6374	2.6406	2.6439	2.6471	2.6504	2.6536	3 9.6	9.9
1.63	2.6569	2.6602	2.6634	2.6667	2.6700	2.6732	2.6765	2.6798	2.6830	2.6863	4 12.8	13.2
1.64	2.6896	2.6929	2.6962	2.6994	2.7027	2.7060	2.7093	2.7126	2.7159	2.7192	5 16.0	16.5
1.65	2.7225	2.7258	2.7291	2.7324	2.7357	2.7390	2.7423	2.7456	2.7490	2.7523	6 19.2	19.8
1.66	2.7556	2.7589	2.7622	2.7656	2.7689	2.7722	2.7756	2.7789	2.7822	2.7856	7 22.4	23.1
1.67	2.7889	2.7922	2.7956	2.7989	2.8023	2.8056	2.8090	2.8123	2.8157	2.8190	8 25.6	26.4
1.68	2.8224	2.8258	2.8291	2.8325	2.8359	2.8392	2.8426	2.8460	2.8493	2.8527	9 28.8	29.7
1.69	2.8561	2.8595	2.8629	2.8662	2.8696	2.8730	2.8764	2.8798	2.8832	2.8866	34	35
1.70	2.8900	2.8934	2.8968	2.9002	2.9036	2.9070	2.9104	2.9138	2.9173	2.9207	1 3.4	3.5
1.71	2.9241	2.9275	2.9309	2.9344	2.9378	2.9412	2.9447	2.9481	2.9515	2.9550	2 6.8	7.0
1.72	2.9584	2.9618	2.9653	2.9687	2.9722	2.9756	2.9791	2.9825	2.9860	2.9894	3 10.2	10.5
1.73	2.9929	2.9964	2.9998	3.0033	3.0068	3.0102	3.0137	3.0172	3.0206	3.0241	4 13.6	14.0
1.74	3.0276	3.0311	3.0346	3.0380	3.0415	3.0450	3.0485	3.0520	3.0555	3.0590	5 17.0	17.5
1.75	3.0625	3.0660	3.0695	3.0730	3.0765	3.0800	3.0835	3.0870	3.0906	3.0941	6 20.4	21.0
1.76	3.0976	3.1011	3.1046	3.1082	3.1117	3.1152	3.1188	3.1223	3.1258	3.1294	7 23.8	24.5
1.77	3.1329	3.1364	3.1400	3.1435	3.1471	3.1506	3.1542	3.1577	3.1613	3.1648	8 27.2	28.0
1.78	3.1684	3.1720	3.1755	3.1791	3.1827	3.1862	3.1898	3.1934	3.1969	3.2005	9 30.6	31.5
1.79	3.2041	3.2077	3.2113	3.2148	3.2184	3.2220	3.2256	3.2292	3.2328	3.2364	36	37
1.80	3.2400	3.2436	3.2472	3.2508	3.2544	3.2580	3.2616	3.2652	3.2689	3.2725	1 3.6	3.7
1.81	3.2761	3.2797	3.2833	3.2870	3.2906	3.2942	3.2979	3.3015	3.3051	3.3088	2 7.2	7.4
1.82	3.3124	3.3160	3.3197	3.3233	3.3270	3.3306	3.3343	3.3379	3.3416	3.3452	3 10.8	11.1
1.83	3.3489	3.3526	3.3562	3.3599	3.3636	3.3672	3.3709	3.3746	3.3782	3.3819	4 14.4	14.8
1.84	3.3856	3.3893	3.3930	3.3966	3.4003	3.4040	3.4077	3.4114	3.4151	3.4188	5 18.0	18.5
1.85	3.4225	3.4262	3.4299	3.4336	3.4373	3.4410	3.4447	3.4484	3.4522	3.4559	6 21.6	22.2
1.86	3.4596	3.4633	3.4670	3.4708	3.4745	3.4782	3.4820	3.4857	3.4894	3.4932	7 25.2	25.9
1.87	3.4969	3.5006	3.5044	3.5081	3.5119	3.5156	3.5194	3.5231	3.5269	3.5306	8 28.8	29.6
1.88	3.5344	3.5382	3.5419	3.5457	3.5495	3.5532	3.5570	3.5608	3.5645	3.5683	9 32.4	33.3
1.89	3.5721	3.5759	3.5797	3.5834	3.5872	3.5910	3.5948	3.5986	3.6024	3.6062	38	39
1.90	3.6100	3.6138	3.6176	3.6214	3.6252	3.6290	3.6328	3.6366	3.6405	3.6443	1 3.8	3.9
1.91	3.6481	3.6519	3.6557	3.6596	3.6634	3.6672	3.6711	3.6749	3.6787	3.6826	2 7.6	7.8
1.92	3.6864	3.6902	3.6941	3.6979	3.7018	3.7056	3.7095	3.7133	3.7172	3.7210	3 11.4	11.7
1.93	3.7249	3.7288	3.7326	3.7365	3.7404	3.7442	3.7481	3.7520	3.7558	3.7597	4 15.2	15.6
1.94	3.7636	3.7675	3.7714	3.7752	3.7791	3.7830	3.7869	3.7908	3.7947	3.7986	5 19.0	19.5
1.95	3.8025	3.8064	3.8103	3.8142	3.8181	3.8220	3.8259	3.8298	3.8338	3.8377	6 22.8	23.4
1.96	3.8416	3.8455	3.8494	3.8534	3.8573	3.8612	3.8652	3.8691	3.8730	3.8770	7 26.6	27.3
1.97	3.8809	3.8848	3.8888	3.8927	3.8967	3.9006	3.9046	3.9085	3.9125	3.9164	8 30.4	31.2
1.98	3.9204	3.9244	3.9283	3.9323	3.9363	3.9402	3.9442	3.9482	3.9521	3.9561	9 34.2	35.1
1.99	3.9601	3.9641	3.9681	3.9720	3.9760	3.9800	3.9840	3.9880	3.9920	3.9960	10	41
2.00	4.0000	4.0040	4.0080	4.0120	4.0160	4.0200	4.0240	4.0280	4.0321	4.0361	1 4.0	4.1
											2 8.0	8.2
											3 12.0	12.3
											4 16.0	16.4
											5 20.0	20.5
											6 24.0	24.6
											7 28.0	28.7
											8 32.0	32.8
											9 36.0	36.9
H'	0	1	2	3	4	5	6	7	8	9		

Tafel XVI.

vergl. pag. 404.

θ	$\log E_2'$	Diff.	$\log E_4'$	Diff.	E_0'	Diff.	$\log E_3'$	Diff.
0.400	9.81 869	+ 61	9.93 107	- 8	+ 1.56 086	+ 122	9.38 847	- 26
0.399	9.81 930	+ 60	9.93 099	- 8	+ 1.56 208	+ 122	9.38 821	- 26
0.398	9.81 990	+ 60	9.93 091	- 8	+ 1.56 330	+ 122	9.38 795	- 26
0.397	9.82 050	+ 60	9.93 083	- 8	+ 1.56 452	+ 121	9.38 769	- 26
0.396	9.82 110	+ 60	9.93 075	- 8	+ 1.56 573	+ 122	9.38 743	- 26
0.395	9.82 170	+ 60	9.93 067	- 8	+ 1.56 695	+ 121	9.38 717	- 26
0.394	9.82 230	+ 59	9.93 059	- 8	+ 1.56 816	+ 122	9.38 691	- 25
0.393	9.82 289	+ 59	9.93 051	- 8	+ 1.56 938	+ 121	9.38 666	- 26
0.392	9.82 349	+ 59	9.93 043	- 8	+ 1.57 059	+ 121	9.38 640	- 26
0.391	9.82 408	+ 60	9.93 035	- 8	+ 1.57 180	+ 122	9.38 614	- 26
0.390	9.82 468	+ 59	9.93 027	- 8	+ 1.57 302	+ 121	9.38 588	- 26
0.389	9.82 527	+ 59	9.93 020	- 8	+ 1.57 423	+ 121	9.38 562	- 26
0.388	9.82 586	+ 59	9.93 012	- 8	+ 1.57 544	+ 121	9.38 536	- 25
0.387	9.82 645	+ 59	9.93 004	- 8	+ 1.57 665	+ 121	9.38 511	- 26
0.386	9.82 704	+ 59	9.92 996	- 8	+ 1.57 786	+ 121	9.38 485	- 26
0.385	9.82 763	+ 59	9.92 988	- 8	+ 1.57 907	+ 120	9.38 459	- 25
0.384	9.82 822	+ 58	9.92 980	- 8	+ 1.58 027	+ 121	9.38 434	- 26
0.383	9.82 880	+ 59	9.92 972	- 8	+ 1.58 148	+ 121	9.38 408	- 26
0.382	9.82 939	+ 58	9.92 964	- 8	+ 1.58 269	+ 120	9.38 382	- 25
0.381	9.82 997	+ 59	9.92 957	- 8	+ 1.58 389	+ 121	9.38 357	- 26
0.380	9.83 056	+ 58	9.92 949	- 8	+ 1.58 510	+ 120	9.38 331	- 25
0.379	9.83 114	+ 58	9.92 941	- 8	+ 1.58 630	+ 120	9.38 306	- 26
0.378	9.83 172	+ 58	9.92 933	- 8	+ 1.58 750	+ 120	9.38 280	- 25
0.377	9.83 230	+ 58	9.92 925	- 8	+ 1.58 870	+ 121	9.38 255	- 26
0.376	9.83 288	+ 58	9.92 917	- 8	+ 1.58 991	+ 120	9.38 229	- 25
0.375	9.83 346	+ 58	9.92 910	- 8	+ 1.59 111	+ 120	9.38 204	- 25
0.374	9.83 404	+ 57	9.92 902	- 8	+ 1.59 231	+ 120	9.38 179	- 26
0.373	9.83 461	+ 58	9.92 894	- 8	+ 1.59 351	+ 120	9.38 153	- 25
0.372	9.83 519	+ 57	9.92 886	- 8	+ 1.59 471	+ 119	9.38 128	- 25
0.371	9.83 576	+ 57	9.92 878	- 8	+ 1.59 590	+ 120	9.38 103	- 26
0.370	9.83 633	+ 58	9.92 871	- 8	+ 1.59 710	+ 120	9.38 077	- 25
0.369	9.83 691	+ 57	9.92 863	- 8	+ 1.59 830	+ 119	9.38 052	- 25
0.368	9.83 748	+ 57	9.92 855	- 8	+ 1.59 949	+ 120	9.38 027	- 25
0.367	9.83 805	+ 57	9.92 847	- 8	+ 1.60 069	+ 119	9.38 002	- 26
0.366	9.83 862	+ 57	9.92 839	- 8	+ 1.60 188	+ 120	9.37 976	- 25
0.365	9.83 919	+ 56	9.92 832	- 8	+ 1.60 308	+ 119	9.37 951	- 25
0.364	9.83 975	+ 57	9.92 824	- 8	+ 1.60 427	+ 119	9.37 926	- 25
0.363	9.84 032	+ 57	9.92 816	- 8	+ 1.60 546	+ 119	9.37 901	- 25
0.362	9.84 089	+ 56	9.92 808	- 8	+ 1.60 665	+ 120	9.37 876	- 25
0.361	9.84 145	+ 56	9.92 801	- 8	+ 1.60 785	+ 119	9.37 851	- 25
0.360	9.84 201	+ 57	9.92 793	- 8	+ 1.60 904	+ 119	9.37 826	- 25
0.359	9.84 258	+ 56	9.92 785	- 8	+ 1.61 023	+ 118	9.37 801	- 25
0.358	9.84 314	+ 56	9.92 777	- 8	+ 1.61 141	+ 119	9.37 776	- 25
0.357	9.84 370	+ 56	9.92 770	- 8	+ 1.61 260	+ 119	9.37 751	- 25
0.356	9.84 426	+ 56	9.92 762	- 8	+ 1.61 379	+ 119	9.37 726	- 25
0.355	9.84 482	+ 56	9.92 754	- 8	+ 1.61 498	+ 118	9.37 701	- 25
0.354	9.84 538	+ 55	9.92 747	- 8	+ 1.61 616	+ 119	9.37 676	- 25
0.353	9.84 593	+ 56	9.92 739	- 8	+ 1.61 735	+ 118	9.37 651	- 24
0.352	9.84 649	+ 56	9.92 731	- 8	+ 1.61 853	+ 119	9.37 627	- 25
0.351	9.84 705	+ 55	9.92 724	- 8	+ 1.61 972	+ 118	9.37 602	- 25
0.350	9.84 760	+ 55	9.92 716	- 8	+ 1.62 090		9.37 577	- 25

Tafel XVI.

θ	$\log E_2''$	Diff.	$\log E_4''$	Diff.	E_0''	Diff.	$\log E_4''$	Diff.
— 0.350	9,84 760	+ 55	9,92 716	— 8	+ 1,62 090	+ 118	9,37 577	— 25
— 0.349	9,84 815	+ 56	9,92 708	— 7	+ 1,62 208	+ 118	9,37 552	— 24
— 0.348	9,84 871	+ 55	9,92 701	— 8	+ 1,62 326	+ 118	9,37 528	— 25
— 0.347	9,84 926	+ 55	9,92 693	— 8	+ 1,62 444	+ 119	9,37 503	— 25
— 0.346	9,84 981	+ 55	9,92 685	— 7	+ 1,62 563	+ 118	9,37 478	— 25
— 0.345	9,85 036	+ 55	9,92 678	— 8	+ 1,62 681	+ 117	9,37 453	— 24
— 0.344	9,85 091	+ 54	9,92 670	— 8	+ 1,62 798	+ 117	9,37 429	— 25
— 0.343	9,85 145	+ 55	9,92 662	— 7	+ 1,62 916	+ 118	9,37 404	— 24
— 0.342	9,85 200	+ 55	9,92 655	— 8	+ 1,63 034	+ 118	9,37 380	— 25
— 0.341	9,85 255	+ 54	9,92 647	— 8	+ 1,63 152	+ 117	9,37 355	— 24
— 0.340	9,85 309	+ 55	9,92 639	— 7	+ 1,63 269	+ 118	9,37 331	— 25
— 0.339	9,85 364	+ 54	9,92 632	— 8	+ 1,63 387	+ 117	9,37 306	— 24
— 0.338	9,85 418	+ 54	9,92 624	— 8	+ 1,63 504	+ 118	9,37 282	— 25
— 0.337	9,85 472	+ 55	9,92 616	— 7	+ 1,63 622	+ 117	9,37 257	— 24
— 0.336	9,85 527	+ 54	9,92 609	— 8	+ 1,63 739	+ 118	9,37 233	— 25
— 0.335	9,85 581	+ 54	9,92 601	— 7	+ 1,63 857	+ 117	9,37 208	— 24
— 0.334	9,85 635	+ 54	9,92 594	— 8	+ 1,63 974	+ 117	9,37 184	— 25
— 0.333	9,85 689	+ 54	9,92 586	— 7	+ 1,64 091	+ 117	9,37 159	— 24
— 0.332	9,85 742	+ 53	9,92 579	— 8	+ 1,64 208	+ 117	9,37 135	— 24
— 0.331	9,85 796	+ 54	9,92 571	— 8	+ 1,64 325	+ 117	9,37 111	— 25
— 0.330	9,85 850	+ 53	9,92 563	— 7	+ 1,64 442	+ 117	9,37 086	— 24
— 0.329	9,85 903	+ 54	9,92 556	— 8	+ 1,64 559	+ 117	9,37 062	— 24
— 0.328	9,85 957	+ 53	9,92 548	— 7	+ 1,64 676	+ 117	9,37 038	— 24
— 0.327	9,86 010	+ 53	9,92 541	— 8	+ 1,64 793	+ 116	9,37 014	— 25
— 0.326	9,86 063	+ 54	9,92 533	— 7	+ 1,64 909	+ 117	9,36 989	— 24
— 0.325	9,86 117	+ 53	9,92 526	— 8	+ 1,65 026	+ 116	9,36 965	— 24
— 0.324	9,86 170	+ 53	9,92 518	— 7	+ 1,65 142	+ 117	9,36 941	— 24
— 0.323	9,86 223	+ 53	9,92 511	— 8	+ 1,65 259	+ 116	9,36 917	— 24
— 0.322	9,86 276	+ 53	9,92 503	— 8	+ 1,65 375	+ 117	9,36 893	— 24
— 0.321	9,86 329	+ 53	9,92 495	— 7	+ 1,65 492	+ 116	9,36 869	— 24
— 0.320	9,86 382	+ 52	9,92 488	— 8	+ 1,65 608	+ 116	9,36 845	— 24
— 0.319	9,86 434	+ 53	9,92 480	— 7	+ 1,65 724	+ 117	9,36 821	— 24
— 0.318	9,86 487	+ 52	9,92 473	— 8	+ 1,65 841	+ 116	9,36 797	— 24
— 0.317	9,86 539	+ 53	9,92 465	— 7	+ 1,65 957	+ 116	9,36 773	— 24
— 0.316	9,86 592	+ 52	9,92 458	— 8	+ 1,66 073	+ 116	9,36 749	— 24
— 0.315	9,86 644	+ 53	9,92 450	— 7	+ 1,66 189	+ 116	9,36 725	— 24
— 0.314	9,86 697	+ 52	9,92 443	— 8	+ 1,66 305	+ 115	9,36 701	— 24
— 0.313	9,86 749	+ 52	9,92 435	— 7	+ 1,66 420	+ 116	9,36 677	— 24
— 0.312	9,86 801	+ 52	9,92 428	— 8	+ 1,66 536	+ 116	9,36 653	— 24
— 0.311	9,86 853	+ 52	9,92 420	— 7	+ 1,66 652	+ 116	9,36 629	— 24
— 0.310	9,86 905	+ 52	9,92 413	— 7	+ 1,66 768	+ 115	9,36 605	— 24
— 0.309	9,86 957	+ 52	9,92 406	— 8	+ 1,66 883	+ 116	9,36 581	— 23
— 0.308	9,87 009	+ 51	9,92 398	— 7	+ 1,66 999	+ 115	9,36 558	— 24
— 0.307	9,87 060	+ 52	9,92 391	— 8	+ 1,67 114	+ 116	9,36 534	— 24
— 0.306	9,87 112	+ 52	9,92 383	— 7	+ 1,67 230	+ 115	9,36 510	— 24
— 0.305	9,87 164	+ 51	9,92 376	— 8	+ 1,67 345	+ 115	9,36 486	— 23
— 0.304	9,87 215	+ 51	9,92 368	— 7	+ 1,67 460	+ 115	9,36 463	— 24
— 0.303	9,87 266	+ 52	9,92 361	— 8	+ 1,67 575	+ 116	9,36 439	— 24
— 0.302	9,87 318	+ 51	9,92 353	— 7	+ 1,67 691	+ 115	9,36 415	— 23
— 0.301	9,87 369	+ 51	9,92 346	— 7	+ 1,67 806	+ 115	9,36 392	— 24
— 0.300	9,87 420		9,92 339		+ 1,67 921		9,36 368	

Tafel XVI.

θ	$\log E_2'$	Diff.	$\log E_4'$	Diff.	E_0'	Diff.	$\log E_4'$	Diff.
0.300	9.87 420	+ 51	9.92 339	- 8	+ 1.67 921	+ 115	9.36 368	- 23
0.299	9.87 471	+ 51	9.92 331	- 7	+ 1.68 036	+ 115	9.36 345	- 24
0.298	9.87 522	+ 51	9.92 324	- 8	+ 1.68 151	+ 114	9.36 321	- 24
0.297	9.87 573	+ 51	9.92 316	-	+ 1.68 265	+ 115	9.36 297	- 23
0.296	9.87 624	+ 51	9.92 309	-	+ 1.68 380	+ 115	9.36 274	- 24
0.295	9.87 675	+ 51	9.92 302	- 8	+ 1.68 495	+ 115	9.36 250	- 23
0.294	9.87 726	+ 50	9.92 294	- 7	+ 1.68 610	+ 114	9.36 227	- 24
0.293	9.87 776	+ 51	9.92 287	- 8	+ 1.68 724	+ 115	9.36 203	- 23
0.292	9.87 827	+ 50	9.92 279	-	+ 1.68 839	+ 114	9.36 180	- 23
0.291	9.87 877	+ 51	9.92 272	- 7	+ 1.68 953	+ 114	9.36 157	- 24
0.290	9.87 928	+ 50	9.92 265	- 8	+ 1.69 067	+ 115	9.36 133	- 23
0.289	9.87 978	+ 50	9.92 257	-	+ 1.69 182	+ 114	9.36 110	- 24
0.288	9.88 028	+ 50	9.92 250	-	+ 1.69 296	+ 114	9.36 086	- 23
0.287	9.88 078	+ 50	9.92 243	- 8	+ 1.69 410	+ 114	9.36 063	- 23
0.286	9.88 128	+ 50	9.92 235	-	+ 1.69 524	+ 115	9.36 040	- 24
0.285	9.88 178	+ 50	9.92 228	-	+ 1.69 639	+ 114	9.36 016	- 23
0.284	9.88 228	+ 50	9.92 221	- 8	+ 1.69 753	+ 114	9.35 993	- 23
0.283	9.88 278	+ 50	9.92 213	-	+ 1.69 867	+ 113	9.35 970	- 23
0.282	9.88 328	+ 50	9.92 206	-	+ 1.69 980	+ 114	9.35 947	- 24
0.281	9.88 378	+ 49	9.92 199	- 8	+ 1.70 094	+ 114	9.35 923	- 23
0.280	9.88 427	+ 50	9.92 191	-	+ 1.70 208	+ 114	9.35 900	- 23
0.279	9.88 477	+ 49	9.92 184	- 7	+ 1.70 322	+ 113	9.35 877	- 23
0.278	9.88 526	+ 50	9.92 177	- 8	+ 1.70 435	+ 114	9.35 854	- 23
0.277	9.88 576	+ 49	9.92 169	-	+ 1.70 549	+ 114	9.35 831	- 23
0.276	9.88 625	+ 49	9.92 162	-	+ 1.70 663	+ 113	9.35 808	- 23
0.275	9.88 674	+ 50	9.92 155	-	+ 1.70 776	+ 114	9.35 785	- 23
0.274	9.88 724	+ 49	9.92 148	- 8	+ 1.70 890	+ 113	9.35 762	- 23
0.273	9.88 773	+ 49	9.92 140	-	+ 1.71 003	+ 113	9.35 739	- 23
0.272	9.88 822	+ 49	9.92 133	-	+ 1.71 116	+ 113	9.35 716	- 23
0.271	9.88 871	+ 49	9.92 126	- 8	+ 1.71 229	+ 114	9.35 693	- 23
0.270	9.88 920	+ 48	9.92 118	-	+ 1.71 343	+ 113	9.35 670	- 23
0.269	9.88 968	+ 49	9.92 111	-	+ 1.71 456	+ 113	9.35 647	- 23
0.268	9.88 017	+ 49	9.92 104	-	+ 1.71 569	+ 113	9.35 624	- 23
0.267	9.88 066	+ 48	9.92 097	- 2	+ 1.71 682	+ 113	9.35 601	- 23
0.266	9.88 114	+ 49	9.92 089	-	+ 1.71 795	+ 113	9.35 578	- 23
0.265	9.88 163	+ 48	9.92 082	-	+ 1.71 908	+ 112	9.35 555	- 23
0.264	9.88 211	+ 49	9.92 075	-	+ 1.72 020	+ 113	9.35 532	- 23
0.263	9.88 260	+ 48	9.92 068	- 8	+ 1.72 133	+ 113	9.35 509	- 23
0.262	9.88 308	+ 48	9.92 060	-	+ 1.72 246	+ 113	9.35 486	- 22
0.261	9.88 356	+ 49	9.92 053	-	+ 1.72 359	+ 112	9.35 464	- 23
0.260	9.88 405	+ 48	9.92 046	-	+ 1.72 471	+ 113	9.35 441	- 23
0.259	9.88 453	+ 48	9.92 039	-	+ 1.72 584	+ 112	9.35 418	- 23
0.258	9.88 501	+ 48	9.92 032	- 8	+ 1.72 696	+ 113	9.35 395	- 22
0.257	9.88 549	+ 48	9.92 024	-	+ 1.72 809	+ 112	9.35 373	- 23
0.256	9.88 597	+ 47	9.92 017	-	+ 1.72 921	+ 112	9.35 350	- 23
0.255	9.88 644	+ 48	9.92 010	-	+ 1.73 033	+ 113	9.35 327	- 22
0.254	9.88 692	+ 48	9.92 003	-	+ 1.73 146	+ 112	9.35 305	- 23
0.253	9.88 740	+ 48	9.91 996	- 8	+ 1.73 258	+ 112	9.35 282	- 23
0.252	9.88 788	+ 47	9.91 988	-	+ 1.73 370	+ 112	9.35 259	- 22
0.251	9.88 835	+ 48	9.91 981	-	+ 1.73 482	+ 112	9.35 237	- 23
0.250	9.88 883		9.91 974		+ 1.73 594		9.35 214	

Tafel XVI.

θ	$\log E_2'$	Diff.	$\log E_4'$	Diff.	E_0'	Diff.	$\log E_4'$	Diff.
— 0.250	9,89 883	+ 47	9,91 974	— 7	+ 1.73 594	+ 112	9.35 214	— 22
— 0.249	9,89 930	+ 47	9,91 967	— 7	+ 1.73 706	+ 112	9.35 192	— 23
— 0.248	9,89 977	+ 48	9,91 960	— 8	+ 1.73 818	+ 112	9.35 169	— 22
— 0.247	9,90 025	+ 47	9,91 952	— 7	+ 1.73 930	+ 111	9.35 147	— 23
— 0.246	9,90 072	+ 47	9,91 945	— 7	+ 1.74 041	+ 112	9.35 124	— 22
— 0.245	9,90 119	+ 47	9,91 938	— 7	+ 1.74 153	+ 112	9.35 102	— 23
— 0.244	9,90 166	+ 47	9,91 931	— 7	+ 1.74 265	+ 111	9.35 079	— 22
— 0.243	9,90 213	+ 47	9,91 924	— 7	+ 1.74 376	+ 112	9.35 057	— 23
— 0.242	9,90 260	+ 47	9,91 917	— 7	+ 1.74 488	+ 111	9.35 034	— 22
— 0.241	9,90 307	+ 47	9,91 910	— 7	+ 1.74 599	+ 112	9.35 012	— 23
— 0.240	9,90 354	+ 46	9,91 903	— 8	+ 1.74 711	+ 111	9.34 989	— 22
— 0.239	9,90 400	+ 47	9,91 895	— 7	+ 1.74 822	+ 112	9.34 967	— 22
— 0.238	9,90 447	+ 47	9,91 888	— 7	+ 1.74 934	+ 111	9.34 945	— 23
— 0.237	9,90 494	+ 46	9,91 881	— 7	+ 1.75 045	+ 111	9.34 922	— 22
— 0.236	9,90 540	+ 47	9,91 874	— 7	+ 1.75 156	+ 111	9.34 900	— 22
— 0.235	9,90 587	+ 46	9,91 867	— 7	+ 1.75 267	+ 111	9.34 878	— 22
— 0.234	9,90 633	+ 47	9,91 860	— 7	+ 1.75 378	+ 111	9.34 856	— 23
— 0.233	9,90 680	+ 46	9,91 853	— 7	+ 1.75 489	+ 111	9.34 833	— 22
— 0.232	9,90 726	+ 46	9,91 846	— 7	+ 1.75 600	+ 111	9.34 811	— 22
— 0.231	9,90 772	+ 46	9,91 839	— 8	+ 1.75 711	+ 111	9.34 789	— 22
— 0.230	9,90 818	+ 46	9,91 831	— 7	+ 1.75 822	+ 111	9.34 767	— 22
— 0.229	9,90 864	+ 46	9,91 824	— 7	+ 1.75 933	+ 111	9.34 745	— 23
— 0.228	9,90 910	+ 46	9,91 817	— 7	+ 1.76 044	+ 110	9.34 722	— 22
— 0.227	9,90 956	+ 46	9,91 810	— 7	+ 1.76 154	+ 111	9.34 700	— 22
— 0.226	9,91 002	+ 46	9,91 803	— 7	+ 1.76 265	+ 111	9.34 678	— 22
— 0.225	9,91 048	+ 46	9,91 796	— 7	+ 1.76 376	+ 110	9.34 656	— 22
— 0.224	9,91 094	+ 45	9,91 789	— 7	+ 1.76 486	+ 111	9.34 634	— 22
— 0.223	9,91 139	+ 46	9,91 782	— 7	+ 1.76 597	+ 110	9.34 612	— 22
— 0.222	9,91 185	+ 46	9,91 775	— 7	+ 1.76 707	+ 110	9.34 590	— 22
— 0.221	9,91 231	+ 45	9,91 768	— 7	+ 1.76 817	+ 111	9.34 568	— 22
— 0.220	9,91 276	+ 46	9,91 761	— 7	+ 1.76 928	+ 110	9.34 546	— 22
— 0.219	9,91 322	+ 45	9,91 754	— 7	+ 1.77 038	+ 110	9.34 524	— 22
— 0.218	9,91 367	+ 45	9,91 747	— 7	+ 1.77 148	+ 110	9.34 502	— 22
— 0.217	9,91 412	+ 45	9,91 740	— 7	+ 1.77 258	+ 110	9.34 480	— 22
— 0.216	9,91 458	+ 45	9,91 733	— 7	+ 1.77 368	+ 111	9.34 458	— 22
— 0.215	9,91 503	+ 45	9,91 726	— 7	+ 1.77 479	+ 109	9.34 436	— 22
— 0.214	9,91 548	+ 45	9,91 719	— 7	+ 1.77 588	+ 110	9.34 414	— 22
— 0.213	9,91 593	+ 45	9,91 712	— 7	+ 1.77 698	+ 110	9.34 392	— 21
— 0.212	9,91 638	+ 45	9,91 705	— 7	+ 1.77 808	+ 110	9.34 371	— 22
— 0.211	9,91 683	+ 45	9,91 698	— 7	+ 1.77 918	+ 110	9.34 349	— 22
— 0.210	9,91 728	+ 45	9,91 691	— 7	+ 1.78 028	+ 110	9.34 327	— 22
— 0.209	9,91 773	+ 45	9,91 684	— 7	+ 1.78 138	+ 109	9.34 305	— 22
— 0.208	9,91 818	+ 44	9,91 677	— 7	+ 1.78 247	+ 110	9.34 283	— 21
— 0.207	9,91 862	+ 45	9,91 670	— 7	+ 1.78 357	+ 109	9.34 262	— 22
— 0.206	9,91 907	+ 44	9,91 663	— 7	+ 1.78 466	+ 110	9.34 240	— 22
— 0.205	9,91 951	+ 45	9,91 656	— 7	+ 1.78 576	+ 109	9.34 218	— 22
— 0.204	9,91 996	+ 44	9,91 649	— 7	+ 1.78 685	+ 110	9.34 196	— 21
— 0.203	9,92 040	+ 45	9,91 642	— 7	+ 1.78 795	+ 109	9.34 175	— 22
— 0.202	9,92 085	+ 44	9,91 635	— 7	+ 1.78 904	+ 109	9.34 153	— 22
— 0.201	9,92 129	+ 44	9,91 628	— 7	+ 1.79 013	+ 110	9.34 131	— 21
— 0.200	9,92 173		9,91 621		+ 1.79 123		9.34 110	

Tafel XVI.

θ	$\log E_2'$	Diff.	$\log E_4'$	Diff.	E_0'	Diff.	$\log E_4'$	Diff.
— 0.200	9.92 173	+ 45	9.91 621	— 7	+ 1.79 123	+ 109	9.34 110	— 22
— 0.199	9.92 218	+ 44	9.91 614	— 7	+ 1.79 232	+ 109	9.34 088	— 22
— 0.198	9.92 262	+ 44	9.91 607	— 7	+ 1.79 341	+ 109	9.34 066	— 21
— 0.197	9.92 306	+ 44	9.91 600	— 7	+ 1.79 450	+ 109	9.34 045	— 22
— 0.196	9.92 350	+ 44	9.91 593	— 7	+ 1.79 559	+ 109	9.34 023	— 21
— 0.195	9.92 394	+ 44	9.91 586	— 7	+ 1.79 668	+ 109	9.34 002	— 22
— 0.194	9.92 438	+ 44	9.91 579	— 7	+ 1.79 777	+ 109	9.33 980	— 21
— 0.193	9.92 482	+ 44	9.91 572	— 6	+ 1.79 886	+ 109	9.33 959	— 22
— 0.192	9.92 526	+ 43	9.91 566	— 6	+ 1.79 995	+ 108	9.33 937	— 21
— 0.191	9.92 569	+ 44	9.91 559	— 7	+ 1.80 103	+ 109	9.33 916	— 22
— 0.190	9.92 613	+ 44	9.91 552	— 7	+ 1.80 212	+ 109	9.33 894	— 21
— 0.189	9.92 657	+ 43	9.91 545	— 7	+ 1.80 321	+ 108	9.33 873	— 22
— 0.188	9.92 700	+ 44	9.91 538	— 7	+ 1.80 429	+ 109	9.33 851	— 21
— 0.187	9.92 744	+ 43	9.91 531	— 7	+ 1.80 538	+ 108	9.33 830	— 21
— 0.186	9.92 787	+ 44	9.91 524	— 7	+ 1.80 646	+ 109	9.33 809	— 22
— 0.185	9.92 831	+ 43	9.91 517	— 7	+ 1.80 755	+ 108	9.33 787	— 21
— 0.184	9.92 874	+ 43	9.91 510	— 7	+ 1.80 863	+ 109	9.33 766	— 21
— 0.183	9.92 917	+ 43	9.91 503	— 6	+ 1.80 972	+ 108	9.33 745	— 22
— 0.182	9.92 960	+ 44	9.91 497	— 7	+ 1.81 080	+ 108	9.33 723	— 21
— 0.181	9.93 004	+ 43	9.91 490	— 7	+ 1.81 188	+ 108	9.33 702	— 21
— 0.180	9.93 047	+ 43	9.91 483	— 7	+ 1.81 296	+ 109	9.33 681	— 22
— 0.179	9.93 090	+ 43	9.91 476	— 7	+ 1.81 405	+ 108	9.33 659	— 21
— 0.178	9.93 133	+ 43	9.91 469	— 7	+ 1.81 513	+ 108	9.33 638	— 21
— 0.177	9.93 176	+ 43	9.91 462	— 7	+ 1.81 621	+ 108	9.33 617	— 21
— 0.176	9.93 219	+ 42	9.91 455	— 6	+ 1.81 729	+ 108	9.33 596	— 21
— 0.175	9.93 261	+ 43	9.91 449	— 7	+ 1.81 837	+ 107	9.33 575	— 22
— 0.174	9.93 304	+ 43	9.91 442	— 7	+ 1.81 944	+ 108	9.33 553	— 21
— 0.173	9.93 347	+ 43	9.91 435	— 7	+ 1.82 052	+ 108	9.33 532	— 21
— 0.172	9.93 390	+ 42	9.91 428	— 7	+ 1.82 160	+ 108	9.33 511	— 21
— 0.171	9.93 432	+ 43	9.91 421	— 7	+ 1.82 268	+ 107	9.33 490	— 21
— 0.170	9.93 475	+ 42	9.91 414	— 6	+ 1.82 375	+ 108	9.33 469	— 21
— 0.169	9.93 517	+ 43	9.91 408	— 7	+ 1.82 483	+ 108	9.33 448	— 21
— 0.168	9.93 560	+ 42	9.91 401	— 7	+ 1.82 591	+ 107	9.33 427	— 21
— 0.167	9.93 602	+ 42	9.91 394	— 7	+ 1.82 698	+ 108	9.33 406	— 21
— 0.166	9.93 644	+ 43	9.91 387	— 7	+ 1.82 806	+ 107	9.33 385	— 22
— 0.165	9.93 687	+ 42	9.91 380	— 6	+ 1.82 913	+ 107	9.33 363	— 21
— 0.164	9.93 729	+ 42	9.91 374	— 7	+ 1.83 020	+ 108	9.33 342	— 21
— 0.163	9.93 771	+ 42	9.91 367	— 7	+ 1.83 128	+ 107	9.33 321	— 20
— 0.162	9.93 813	+ 42	9.91 360	— 7	+ 1.83 235	+ 107	9.33 301	— 21
— 0.161	9.93 855	+ 42	9.91 353	— 7	+ 1.83 342	+ 107	9.33 280	— 21
— 0.160	9.93 897	+ 42	9.91 346	— 6	+ 1.83 449	+ 108	9.33 259	— 21
— 0.159	9.93 939	+ 42	9.91 340	— 7	+ 1.83 557	+ 107	9.33 238	— 21
— 0.158	9.93 981	+ 42	9.91 333	— 7	+ 1.83 664	+ 107	9.33 217	— 21
— 0.157	9.94 023	+ 42	9.91 326	— 7	+ 1.83 771	+ 107	9.33 196	— 21
— 0.156	9.94 065	+ 41	9.91 319	— 7	+ 1.83 878	+ 107	9.33 175	— 21
— 0.155	9.94 106	+ 42	9.91 312	— 6	+ 1.83 985	+ 106	9.33 154	— 21
— 0.154	9.94 148	+ 42	9.91 306	— 7	+ 1.84 091	+ 107	9.33 133	— 21
— 0.153	9.94 190	+ 41	9.91 299	— 7	+ 1.84 198	+ 107	9.33 112	— 20
— 0.152	9.94 231	+ 42	9.91 292	— 7	+ 1.84 305	+ 107	9.33 092	— 21
— 0.151	9.94 273	+ 41	9.91 285	— 6	+ 1.84 412	+ 106	9.33 071	— 21
— 0.150	9.94 314		9.91 279		+ 1.84 518		9.33 050	

Tafel XVI.

θ	$\log E_2'$	Diff.	$\log E_4'$	Diff.	E_0'	Diff.	$\log E_4'$	Diff.
— 0.150	9.94 314	+ 42	9.91 279	— 6	+ 1.84 518	+ 107	9.33 050	— 21
— 0.149	9.94 356	+ 41	9.91 272	— 7	+ 1.84 625	+ 107	9.33 029	— 20
— 0.148	9.94 397	+ 41	9.91 265	— 7	+ 1.84 732	+ 106	9.33 009	— 21
— 0.147	9.94 438	+ 42	9.91 258	— 6	+ 1.84 838	+ 107	9.32 988	— 21
— 0.146	9.94 480	+ 41	9.91 252	— 7	+ 1.84 945	+ 106	9.32 967	— 21
— 0.145	9.94 521	+ 41	9.91 245	— 7	+ 1.85 051	+ 106	9.32 946	— 20
— 0.144	9.94 562	+ 41	9.91 238	— 6	+ 1.85 157	+ 107	9.32 926	— 21
— 0.143	9.94 603	+ 41	9.91 232	— 7	+ 1.85 264	+ 106	9.32 905	— 21
— 0.142	9.94 644	+ 41	9.91 225	— 7	+ 1.85 370	+ 106	9.32 884	— 20
— 0.141	9.94 685	+ 41	9.91 218	— 7	+ 1.85 476	+ 106	9.32 864	— 21
— 0.140	9.94 726	+ 41	9.91 211	— 6	+ 1.85 582	+ 107	9.32 843	— 20
— 0.139	9.94 767	+ 41	9.91 205	— 7	+ 1.85 689	+ 106	9.32 823	— 21
— 0.138	9.94 808	+ 41	9.91 198	— 7	+ 1.85 795	+ 106	9.32 802	— 21
— 0.137	9.94 849	+ 40	9.91 191	— 6	+ 1.85 901	+ 106	9.32 781	— 20
— 0.136	9.94 889	+ 41	9.91 185	— 7	+ 1.86 007	+ 106	9.32 761	— 21
— 0.135	9.94 930	+ 41	9.91 178	— 7	+ 1.86 113	+ 106	9.32 740	— 20
— 0.134	9.94 971	+ 40	9.91 171	— 6	+ 1.86 219	+ 105	9.32 720	— 21
— 0.133	9.95 011	+ 41	9.91 165	— 7	+ 1.86 324	+ 106	9.32 699	— 20
— 0.132	9.95 052	+ 40	9.91 158	— 7	+ 1.86 430	+ 106	9.32 679	— 21
— 0.131	9.95 092	+ 41	9.91 151	— 6	+ 1.86 536	+ 106	9.32 658	— 20
— 0.130	9.95 133	+ 40	9.91 145	— 7	+ 1.86 642	+ 105	9.32 638	— 21
— 0.129	9.95 173	+ 40	9.91 138	— 7	+ 1.86 747	+ 106	9.32 617	— 20
— 0.128	9.95 213	+ 41	9.91 131	— 6	+ 1.86 853	+ 106	9.32 597	— 20
— 0.127	9.95 254	+ 40	9.91 125	— 7	+ 1.86 959	+ 105	9.32 577	— 21
— 0.126	9.95 294	+ 40	9.91 118	— 7	+ 1.87 064	+ 105	9.32 556	— 20
— 0.125	9.95 334	+ 40	9.91 111	— 6	+ 1.87 169	+ 106	9.32 536	— 21
— 0.124	9.95 374	+ 40	9.91 105	— 7	+ 1.87 275	+ 105	9.32 515	— 20
— 0.123	9.95 414	+ 40	9.91 098	— 7	+ 1.87 380	+ 106	9.32 495	— 20
— 0.122	9.95 454	+ 40	9.91 091	— 6	+ 1.87 486	+ 105	9.32 475	— 21
— 0.121	9.95 494	+ 40	9.91 085	— 7	+ 1.87 591	+ 105	9.32 454	— 20
— 0.120	9.95 534	+ 40	9.91 078	— 6	+ 1.87 696	+ 105	9.32 434	— 20
— 0.119	9.95 574	+ 40	9.91 072	— 7	+ 1.87 801	+ 105	9.32 414	— 20
— 0.118	9.95 614	+ 40	9.91 065	— 7	+ 1.87 906	+ 106	9.32 394	— 21
— 0.117	9.95 654	+ 40	9.91 058	— 6	+ 1.88 012	+ 105	9.32 373	— 20
— 0.116	9.95 694	+ 39	9.91 052	— 7	+ 1.88 117	+ 105	9.32 353	— 20
— 0.115	9.95 733	+ 40	9.91 045	— 7	+ 1.88 222	+ 105	9.32 333	— 20
— 0.114	9.95 773	+ 40	9.91 038	— 6	+ 1.88 327	+ 104	9.32 313	— 21
— 0.113	9.95 813	+ 39	9.91 032	— 7	+ 1.88 431	+ 105	9.32 292	— 20
— 0.112	9.95 852	+ 40	9.91 025	— 6	+ 1.88 536	+ 105	9.32 272	— 20
— 0.111	9.95 892	+ 39	9.91 019	— 7	+ 1.88 641	+ 105	9.32 252	— 20
— 0.110	9.95 931	+ 39	9.91 012	— 6	+ 1.88 746	+ 105	9.32 232	— 20
— 0.109	9.95 970	+ 40	9.91 006	— 7	+ 1.88 851	+ 104	9.32 212	— 20
— 0.108	9.96 010	+ 40	9.90 999	— 7	+ 1.88 955	+ 105	9.32 192	— 20
— 0.107	9.96 049	+ 39	9.90 992	— 6	+ 1.89 060	+ 104	9.32 172	— 20
— 0.106	9.96 088	+ 40	9.90 986	— 7	+ 1.89 164	+ 105	9.32 152	— 21
— 0.105	9.96 128	+ 39	9.90 979	— 6	+ 1.89 269	+ 104	9.32 131	— 20
— 0.104	9.96 167	+ 39	9.90 973	— 7	+ 1.89 373	+ 105	9.32 111	— 20
— 0.103	9.96 206	+ 39	9.90 966	— 6	+ 1.89 478	+ 104	9.32 091	— 20
— 0.102	9.96 245	+ 39	9.90 960	— 7	+ 1.89 582	+ 105	9.32 071	— 20
— 0.101	9.96 284	+ 39	9.90 953	— 7	+ 1.89 687	+ 104	9.32 051	— 20
— 0.100	9.96 323		9.90 946		+ 1.89 791		9.32 031	

Tafel XVI.

θ	$\log E_2'$	Diff.	$\log E_1'$	Diff.	E_0'	Diff.	$\log E_4'$	Diff.
0.100	9.96 323	+ 39	9.90 946	- 6	+ 1.89 791	+ 104	9.32 031	- 20
0.099	9.96 362	+ 39	9.90 940	- "	+ 1.89 895	+ 104	9.32 011	- 20
0.098	9.96 401	+ 39	9.90 933	- 6	+ 1.89 999	+ 105	9.31 991	- 20
0.097	9.96 440	+ 38	9.90 927	- "	+ 1.90 104	+ 104	9.31 971	- 20
0.096	9.96 478	+ 39	9.90 920	- 6	+ 1.90 208	+ 104	9.31 951	- 19
0.095	9.96 517	+ 39	9.90 914	- "	+ 1.90 312	+ 104	9.31 932	- 20
0.094	9.96 556	+ 38	9.90 907	- 6	+ 1.90 416	+ 104	9.31 912	- 20
0.093	9.96 594	+ 39	9.90 901	- "	+ 1.90 520	+ 104	9.31 892	- 20
0.092	9.96 633	+ 39	9.90 894	- 6	+ 1.90 624	+ 104	9.31 872	- 20
0.091	9.96 672	+ 38	9.90 888	- "	+ 1.90 728	+ 103	9.31 852	- 20
0.090	9.96 710	+ 39	9.90 881	- 6	+ 1.90 831	+ 104	9.31 832	- 20
0.089	9.96 749	+ 38	9.90 875	- "	+ 1.90 935	+ 104	9.31 812	- 20
0.088	9.96 787	+ 38	9.90 868	- 6	+ 1.91 039	+ 104	9.31 792	- 19
0.087	9.96 825	+ 39	9.90 862	- "	+ 1.91 143	+ 103	9.31 773	- 20
0.086	9.96 864	+ 38	9.90 855	- 6	+ 1.91 246	+ 104	9.31 753	- 20
0.085	9.96 902	+ 38	9.90 849	- "	+ 1.91 350	+ 104	9.31 733	- 20
0.084	9.96 940	+ 38	9.90 842	- 6	+ 1.91 454	+ 103	9.31 713	- 19
0.083	9.96 978	+ 39	9.90 836	- "	+ 1.91 557	+ 104	9.31 694	- 20
0.082	9.96 017	+ 38	9.90 829	- 6	+ 1.91 661	+ 103	9.31 674	- 20
0.081	9.96 055	+ 38	9.90 823	- "	+ 1.91 764	+ 103	9.31 654	- 20
0.080	9.96 093	+ 38	9.90 816	- 6	+ 1.91 867	+ 104	9.31 634	- 19
0.079	9.96 131	+ 38	9.90 810	- "	+ 1.91 971	+ 103	9.31 615	- 20
0.078	9.96 169	+ 38	9.90 803	- 6	+ 1.92 074	+ 103	9.31 595	- 20
0.077	9.96 207	+ 37	9.90 797	- "	+ 1.92 177	+ 104	9.31 575	- 19
0.076	9.96 244	+ 38	9.90 790	- 6	+ 1.92 281	+ 103	9.31 556	- 20
0.075	9.96 282	+ 38	9.90 784	- "	+ 1.92 384	+ 103	9.31 536	- 19
0.074	9.96 320	+ 38	9.90 777	- 6	+ 1.92 487	+ 103	9.31 517	- 20
0.073	9.96 358	+ 38	9.90 771	- "	+ 1.92 590	+ 103	9.31 497	- 20
0.072	9.96 396	+ 37	9.90 764	- 6	+ 1.92 693	+ 103	9.31 477	- 19
0.071	9.96 433	+ 38	9.90 758	- "	+ 1.92 796	+ 103	9.31 458	- 20
0.070	9.96 471	+ 37	9.90 751	- 6	+ 1.92 899	+ 103	9.31 438	- 19
0.069	9.96 508	+ 38	9.90 745	- 6	+ 1.93 002	+ 103	9.31 419	- 20
0.068	9.96 546	+ 37	9.90 739	- "	+ 1.93 105	+ 103	9.31 399	- 19
0.067	9.96 583	+ 38	9.90 732	- 6	+ 1.93 208	+ 102	9.31 380	- 20
0.066	9.96 621	+ 37	9.90 726	- "	+ 1.93 310	+ 103	9.31 360	- 19
0.065	9.96 658	+ 38	9.90 719	- 6	+ 1.93 413	+ 103	9.31 341	- 20
0.064	9.96 696	+ 37	9.90 713	- "	+ 1.93 516	+ 102	9.31 321	- 19
0.063	9.96 733	+ 37	9.90 706	- 6	+ 1.93 618	+ 103	9.31 302	- 20
0.062	9.96 770	+ 37	9.90 700	- 6	+ 1.93 721	+ 103	9.31 282	- 19
0.061	9.96 807	+ 38	9.90 694	- "	+ 1.93 824	+ 102	9.31 263	- 20
0.060	9.96 845	+ 37	9.90 687	- 6	+ 1.93 926	+ 103	9.31 243	- 19
0.059	9.96 882	+ 37	9.90 681	- "	+ 1.94 029	+ 102	9.31 224	- 19
0.058	9.96 919	+ 37	9.90 674	- 6	+ 1.94 131	+ 102	9.31 205	- 20
0.057	9.96 956	+ 37	9.90 668	- 6	+ 1.94 233	+ 103	9.31 185	- 19
0.056	9.96 993	+ 37	9.90 662	- "	+ 1.94 336	+ 102	9.31 166	- 20
0.055	9.97 030	+ 37	9.90 655	- 6	+ 1.94 438	+ 102	9.31 146	- 19
0.054	9.97 067	+ 37	9.90 649	- "	+ 1.94 540	+ 103	9.31 127	- 19
0.053	9.97 104	+ 36	9.90 642	- 6	+ 1.94 643	+ 102	9.31 108	- 19
0.052	9.97 140	+ 37	9.90 636	- 6	+ 1.94 745	+ 102	9.31 089	- 20
0.051	9.97 177	+ 37	9.90 630	- "	+ 1.94 847	+ 102	9.31 069	- 19
0.050	9.97 214		9.90 623		+ 1.94 949		9.31 050	

Tafel XVI.

θ	$\log E_2'$	Diff.	$\log E_4'$	Diff.	E_0'	Diff.	$\log E_4'$	Diff.
— 0.050	9 ₀₀ 8 214	+ 37	9 ₀₀ 9 623	— 6	+ 1.94 949	+ 102	9.31 050	— 19
— 0.049	9 ₀₀ 8 251	+ 36	9 ₀₀ 9 617	— 6	+ 1.95 051	+ 102	9.31 031	— 20
— 0.048	9 ₀₀ 8 287	+ 37	9 ₀₀ 9 611	— 7	+ 1.95 153	+ 102	9.31 011	— 19
— 0.047	9 ₀₀ 8 324	+ 37	9 ₀₀ 9 604	— 6	+ 1.95 255	+ 102	9.30 992	— 19
— 0.046	9 ₀₀ 8 361	+ 36	9 ₀₀ 9 598	— 6	+ 1.95 357	+ 102	9.30 973	— 19
— 0.045	9 ₀₀ 8 397	+ 37	9 ₀₀ 9 592	— 7	+ 1.95 459	+ 102	9.30 954	— 19
— 0.044	9 ₀₀ 8 434	+ 36	9 ₀₀ 9 585	— 6	+ 1.95 561	+ 101	9.30 935	— 20
— 0.043	9 ₀₀ 8 470	+ 37	9 ₀₀ 9 579	— 7	+ 1.95 662	+ 102	9.30 915	— 19
— 0.042	9 ₀₀ 8 507	+ 36	9 ₀₀ 9 572	— 6	+ 1.95 764	+ 102	9.30 896	— 19
— 0.041	9 ₀₀ 8 543	+ 36	9 ₀₀ 9 566	— 6	+ 1.95 866	+ 101	9.30 877	— 19
— 0.040	9 ₀₀ 8 579	+ 37	9 ₀₀ 9 560	— 7	+ 1.95 967	+ 102	9.30 858	— 19
— 0.039	9 ₀₀ 8 616	+ 36	9 ₀₀ 9 553	— 6	+ 1.96 069	+ 102	9.30 839	— 19
— 0.038	9 ₀₀ 8 652	+ 36	9 ₀₀ 9 547	— 6	+ 1.96 171	+ 101	9.30 820	— 19
— 0.037	9 ₀₀ 8 688	+ 36	9 ₀₀ 9 541	— 7	+ 1.96 272	+ 102	9.30 801	— 20
— 0.036	9 ₀₀ 8 724	+ 36	9 ₀₀ 9 534	— 6	+ 1.96 374	+ 101	9.30 781	— 19
— 0.035	9 ₀₀ 8 760	+ 36	9 ₀₀ 9 528	— 6	+ 1.96 475	+ 102	9.30 762	— 19
— 0.034	9 ₀₀ 8 796	+ 36	9 ₀₀ 9 522	— 6	+ 1.96 577	+ 101	9.30 743	— 19
— 0.033	9 ₀₀ 8 832	+ 36	9 ₀₀ 9 516	— 7	+ 1.96 678	+ 101	9.30 724	— 19
— 0.032	9 ₀₀ 8 868	+ 36	9 ₀₀ 9 509	— 6	+ 1.96 779	+ 102	9.30 705	— 19
— 0.031	9 ₀₀ 8 904	+ 36	9 ₀₀ 9 503	— 6	+ 1.96 881	+ 101	9.30 686	— 19
— 0.030	9 ₀₀ 8 940	+ 36	9 ₀₀ 9 497	— 7	+ 1.96 982	+ 101	9.30 667	— 19
— 0.029	9 ₀₀ 8 976	+ 36	9 ₀₀ 9 490	— 6	+ 1.97 083	+ 101	9.30 648	— 19
— 0.028	9 ₀₀ 9 012	+ 36	9 ₀₀ 9 484	— 6	+ 1.97 184	+ 101	9.30 629	— 19
— 0.027	9 ₀₀ 9 048	+ 36	9 ₀₀ 9 478	— 7	+ 1.97 285	+ 101	9.30 610	— 19
— 0.026	9 ₀₀ 9 084	+ 35	9 ₀₀ 9 471	— 6	+ 1.97 386	+ 101	9.30 591	— 19
— 0.025	9 ₀₀ 9 119	+ 36	9 ₀₀ 9 465	— 6	+ 1.97 487	+ 101	9.30 572	— 19
— 0.024	9 ₀₀ 9 155	+ 36	9 ₀₀ 9 459	— 6	+ 1.97 588	+ 101	9.30 553	— 19
— 0.023	9 ₀₀ 9 191	+ 35	9 ₀₀ 9 453	— 7	+ 1.97 689	+ 101	9.30 534	— 18
— 0.022	9 ₀₀ 9 226	+ 36	9 ₀₀ 9 446	— 6	+ 1.97 790	+ 101	9.30 516	— 19
— 0.021	9 ₀₀ 9 262	+ 35	9 ₀₀ 9 440	— 6	+ 1.97 891	+ 101	9.30 497	— 19
— 0.020	9 ₀₀ 9 297	+ 36	9 ₀₀ 9 434	— 7	+ 1.97 992	+ 101	9.30 478	— 19
— 0.019	9 ₀₀ 9 333	+ 35	9 ₀₀ 9 427	— 6	+ 1.98 093	+ 100	9.30 459	— 19
— 0.018	9 ₀₀ 9 368	+ 36	9 ₀₀ 9 421	— 6	+ 1.98 193	+ 101	9.30 440	— 19
— 0.017	9 ₀₀ 9 404	+ 35	9 ₀₀ 9 415	— 6	+ 1.98 294	+ 101	9.30 421	— 19
— 0.016	9 ₀₀ 9 439	+ 36	9 ₀₀ 9 409	— 7	+ 1.98 395	+ 100	9.30 402	— 18
— 0.015	9 ₀₀ 9 475	+ 35	9 ₀₀ 9 402	— 6	+ 1.98 495	+ 101	9.30 384	— 19
— 0.014	9 ₀₀ 9 510	+ 35	9 ₀₀ 9 396	— 6	+ 1.98 596	+ 101	9.30 365	— 19
— 0.013	9 ₀₀ 9 545	+ 35	9 ₀₀ 9 390	— 6	+ 1.98 697	+ 100	9.30 346	— 19
— 0.012	9 ₀₀ 9 580	+ 36	9 ₀₀ 9 384	— 7	+ 1.98 797	+ 101	9.30 327	— 18
— 0.011	9 ₀₀ 9 616	+ 35	9 ₀₀ 9 377	— 6	+ 1.98 898	+ 100	9.30 309	— 19
— 0.010	9 ₀₀ 9 651	+ 35	9 ₀₀ 9 371	— 6	+ 1.98 998	+ 100	9.30 290	— 19
— 0.009	9 ₀₀ 9 686	+ 35	9 ₀₀ 9 365	— 6	+ 1.99 098	+ 101	9.30 271	— 19
— 0.008	9 ₀₀ 9 721	+ 35	9 ₀₀ 9 359	— 6	+ 1.99 199	+ 100	9.30 252	— 18
— 0.007	9 ₀₀ 9 756	+ 35	9 ₀₀ 9 353	— 7	+ 1.99 299	+ 100	9.30 233	— 19
— 0.006	9 ₀₀ 9 791	+ 35	9 ₀₀ 9 346	— 6	+ 1.99 399	+ 101	9.30 215	— 19
— 0.005	9 ₀₀ 9 826	+ 35	9 ₀₀ 9 340	— 6	+ 1.99 500	+ 100	9.30 196	— 18
— 0.004	9 ₀₀ 9 861	+ 35	9 ₀₀ 9 334	— 6	+ 1.99 600	+ 100	9.30 178	— 19
— 0.003	9 ₀₀ 9 896	+ 34	9 ₀₀ 9 328	— 7	+ 1.99 700	+ 100	9.30 159	— 19
— 0.002	9 ₀₀ 9 930	+ 35	9 ₀₀ 9 321	— 6	+ 1.99 800	+ 100	9.30 140	— 18
— 0.001	9 ₀₀ 9 965	+ 35	9 ₀₀ 9 315	— 6	+ 1.99 900	+ 100	9.30 122	— 19
0.000	0 ₀₀ 0 000		9 ₀₀ 9 309		+ 2.00 000		9.30 103	

Tafel XVI.

θ	$\log E_2''$	Diff.	$\log E_4''$	Diff.	E_0''	Diff.	$\log E_4''$	Diff.
0.000	0,00 000	— 35	9,90 309	— 6	+ 2.00 000	+ 100	9.30 103	— 19
+ 0.001	0,00 035	+ 34	9,90 303	— 6	+ 2.00 100	+ 100	9.30 084	— 18
+ 0.002	0,00 069	+ 35	9,90 297	— 7	+ 2.00 200	+ 100	9.30 066	— 19
+ 0.003	0,00 104	+ 35	9,90 290	— 6	+ 2.00 300	+ 100	9.30 047	— 18
+ 0.004	0,00 139	+ 34	9,90 284	— 6	+ 2.00 400	+ 100	9.30 029	— 19
+ 0.005	0,00 173	+ 35	9,90 278	— 6	+ 2.00 500	+ 99	9.30 010	— 18
+ 0.006	0,00 208	+ 34	9,90 272	— 6	+ 2.00 599	+ 100	9.29 992	— 19
+ 0.007	0,00 242	+ 35	9,90 266	— 7	+ 2.00 699	+ 100	9.29 973	— 18
+ 0.008	0,00 277	+ 34	9,90 259	— 6	+ 2.00 799	+ 99	9.29 955	— 19
+ 0.009	0,00 311	+ 35	9,90 253	— 6	+ 2.00 898	+ 100	9.29 936	— 18
+ 0.010	0,00 346	+ 34	9,90 247	— 6	+ 2.00 998	+ 100	9.29 918	— 19
+ 0.011	0,00 380	+ 34	9,90 241	— 6	+ 2.01 098	+ 99	9.29 899	— 18
+ 0.012	0,00 414	+ 35	9,90 235	— 6	+ 2.01 197	+ 100	9.29 881	— 19
+ 0.013	0,00 449	+ 34	9,90 229	— 7	+ 2.01 297	+ 99	9.29 862	— 18
+ 0.014	0,00 483	+ 34	9,90 222	— 6	+ 2.01 396	+ 100	9.29 844	— 19
+ 0.015	0,00 517	+ 34	9,90 216	— 6	+ 2.01 496	+ 99	9.29 825	— 18
+ 0.016	0,00 551	+ 34	9,90 210	— 6	+ 2.01 595	+ 99	9.29 807	— 19
+ 0.017	0,00 585	+ 34	9,90 204	— 6	+ 2.01 694	+ 100	9.29 788	— 18
+ 0.018	0,00 619	+ 34	9,90 198	— 6	+ 2.01 794	+ 99	9.29 770	— 18
+ 0.019	0,00 653	+ 34	9,90 192	— 6	+ 2.01 893	+ 99	9.29 752	— 19
+ 0.020	0,00 687	+ 34	9,90 186	— 7	+ 2.01 992	+ 99	9.29 733	— 18
+ 0.021	0,00 721	+ 34	9,90 179	— 6	+ 2.02 091	+ 99	9.29 715	— 18
+ 0.022	0,00 755	+ 34	9,90 173	— 6	+ 2.02 190	+ 100	9.29 697	— 19
+ 0.023	0,00 789	+ 34	9,90 167	— 6	+ 2.02 290	+ 99	9.29 678	— 18
+ 0.024	0,00 823	+ 34	9,90 161	— 6	+ 2.02 389	+ 99	9.29 660	— 18
+ 0.025	0,00 857	+ 34	9,90 155	— 6	+ 2.02 488	+ 99	9.29 642	— 19
+ 0.026	0,00 891	+ 34	9,90 149	— 6	+ 2.02 587	+ 99	9.29 623	— 18
+ 0.027	0,00 925	+ 34	9,90 143	— 6	+ 2.02 686	+ 99	9.29 605	— 18
+ 0.028	0,00 958	+ 34	9,90 137	— 7	+ 2.02 785	+ 98	9.29 587	— 18
+ 0.029	0,00 992	+ 34	9,90 130	— 6	+ 2.02 883	+ 99	9.29 569	— 19
+ 0.030	0,01 026	+ 33	9,90 124	— 6	+ 2.02 982	+ 99	9.29 550	— 18
+ 0.031	0,01 059	+ 34	9,90 118	— 6	+ 2.03 081	+ 99	9.29 532	— 18
+ 0.032	0,01 093	+ 33	9,90 112	— 6	+ 2.03 180	+ 99	9.29 514	— 18
+ 0.033	0,01 126	+ 34	9,90 106	— 6	+ 2.03 279	+ 98	9.29 496	— 19
+ 0.034	0,01 160	+ 33	9,90 100	— 6	+ 2.03 377	+ 99	9.29 477	— 18
+ 0.035	0,01 193	+ 34	9,90 094	— 6	+ 2.03 476	+ 98	9.29 459	— 18
+ 0.036	0,01 227	+ 33	9,90 088	— 6	+ 2.03 574	+ 99	9.29 441	— 18
+ 0.037	0,01 260	+ 34	9,90 082	— 6	+ 2.03 673	+ 99	9.29 423	— 18
+ 0.038	0,01 294	+ 33	9,90 076	— 7	+ 2.03 772	+ 98	9.29 405	— 18
+ 0.039	0,01 327	+ 33	9,90 069	— 6	+ 2.03 870	+ 99	9.29 387	— 19
+ 0.040	0,01 361	+ 34	9,90 063	— 6	+ 2.03 969	+ 98	9.29 368	— 18
+ 0.041	0,01 394	+ 33	9,90 057	— 6	+ 2.04 067	+ 98	9.29 350	— 18
+ 0.042	0,01 427	+ 33	9,90 051	— 6	+ 2.04 165	+ 99	9.29 332	— 18
+ 0.043	0,01 460	+ 33	9,90 045	— 6	+ 2.04 264	+ 98	9.29 314	— 18
+ 0.044	0,01 493	+ 33	9,90 039	— 6	+ 2.04 362	+ 98	9.29 296	— 18
+ 0.045	0,01 526	+ 34	9,90 033	— 6	+ 2.04 460	+ 99	9.29 278	— 18
+ 0.046	0,01 560	+ 33	9,90 027	— 6	+ 2.04 559	+ 98	9.29 260	— 18
+ 0.047	0,01 593	+ 33	9,90 021	— 6	+ 2.04 657	+ 98	9.29 242	— 18
+ 0.048	0,01 626	+ 33	9,90 015	— 6	+ 2.04 755	+ 98	9.29 224	— 18
+ 0.049	0,01 659	+ 33	9,90 009	— 6	+ 2.04 853	+ 98	9.29 206	— 18
+ 0.050	0,01 692	—	9,90 003	—	+ 2.04 951	—	9.29 188	—

Tafel XVI.

θ	$\log E_2'$	Diff.	$\log E_4'$	Diff.	E_0'	Diff.	$\log E_4'$	Diff.
+ 0.050	0.01 692	+ 33	9.00 003	- 6	+ 2.04 951	+ 98	9.29 188	- 18
+ 0.051	0.01 725	+ 32	9.00 097	- 6	+ 2.05 049	+ 98	9.29 170	- 18
+ 0.052	0.01 757	+ 33	9.00 191	- 6	+ 2.05 147	+ 98	9.29 152	- 18
+ 0.053	0.01 790	+ 33	9.00 285	- 6	+ 2.05 245	+ 98	9.29 134	- 18
+ 0.054	0.01 823	+ 33	9.00 379	- 6	+ 2.05 343	+ 98	9.29 116	- 18
		+ 33		- 6		+ 98		- 18
+ 0.055	0.01 856	+ 33	9.00 473	- 6	+ 2.05 441	+ 98	9.29 098	- 18
+ 0.056	0.01 889	+ 32	9.00 567	- 6	+ 2.05 539	+ 98	9.29 080	- 18
+ 0.057	0.01 921	+ 33	9.00 661	- 6	+ 2.05 637	+ 97	9.29 062	- 18
+ 0.058	0.01 954	+ 33	9.00 755	- 6	+ 2.05 735	+ 98	9.29 044	- 18
+ 0.059	0.01 987	+ 32	9.00 848	- 6	+ 2.05 833	+ 98	9.29 026	- 18
		+ 32		- 6		+ 98		- 18
+ 0.060	0.02 019	+ 33	9.00 942	- 6	+ 2.05 930	+ 97	9.29 008	- 17
+ 0.061	0.02 052	+ 33	9.01 036	- 6	+ 2.06 027	+ 98	9.28 991	- 18
+ 0.062	0.02 085	+ 32	9.01 130	- 6	+ 2.06 125	+ 98	9.28 973	- 18
+ 0.063	0.02 117	+ 33	9.01 224	- 6	+ 2.06 223	+ 97	9.28 955	- 18
+ 0.064	0.02 150	+ 32	9.01 318	- 6	+ 2.06 320	+ 98	9.28 937	- 18
		+ 32		- 6		+ 98		- 18
+ 0.065	0.02 182	+ 32	9.01 412	- 6	+ 2.06 418	+ 97	9.28 919	- 18
+ 0.066	0.02 214	+ 33	9.01 506	- 6	+ 2.06 515	+ 98	9.28 901	- 17
+ 0.067	0.02 247	+ 32	9.01 600	- 6	+ 2.06 613	+ 97	9.28 884	- 18
+ 0.068	0.02 279	+ 33	9.01 694	- 6	+ 2.06 710	+ 98	9.28 866	- 18
+ 0.069	0.02 312	+ 32	9.01 788	- 6	+ 2.06 808	+ 97	9.28 848	- 18
		+ 32		- 6		+ 97		- 18
+ 0.070	0.02 344	+ 32	9.01 882	- 6	+ 2.06 905	+ 97	9.28 830	- 18
+ 0.071	0.02 376	+ 32	9.01 976	- 6	+ 2.07 002	+ 97	9.28 812	- 17
+ 0.072	0.02 408	+ 33	9.02 070	- 5	+ 2.07 099	+ 98	9.28 795	- 18
+ 0.073	0.02 441	+ 32	9.02 165	- 6	+ 2.07 197	+ 97	9.28 777	- 18
+ 0.074	0.02 473	+ 32	9.02 259	- 6	+ 2.07 294	+ 97	9.28 759	- 18
		+ 32		- 6		+ 97		- 18
+ 0.075	0.02 505	+ 32	9.02 353	- 6	+ 2.07 391	+ 97	9.28 741	- 17
+ 0.076	0.02 537	+ 32	9.02 447	- 6	+ 2.07 488	+ 97	9.28 724	- 18
+ 0.077	0.02 569	+ 32	9.02 541	- 6	+ 2.07 585	+ 97	9.28 706	- 18
+ 0.078	0.02 601	+ 32	9.02 635	- 6	+ 2.07 682	+ 97	9.28 688	- 17
+ 0.079	0.02 633	+ 32	9.02 729	- 6	+ 2.07 779	+ 97	9.28 671	- 18
		+ 32		- 6		+ 97		- 18
+ 0.080	0.02 665	+ 32	9.02 823	- 6	+ 2.07 876	+ 97	9.28 653	- 18
+ 0.081	0.02 697	+ 32	9.02 917	- 6	+ 2.07 973	+ 97	9.28 635	- 17
+ 0.082	0.02 729	+ 32	9.03 011	- 6	+ 2.08 070	+ 97	9.28 618	- 18
+ 0.083	0.02 761	+ 32	9.03 105	- 6	+ 2.08 167	+ 97	9.28 600	- 17
+ 0.084	0.02 793	+ 31	9.03 199	- 6	+ 2.08 264	+ 97	9.28 583	- 18
		+ 31		- 6		+ 97		- 18
+ 0.085	0.02 824	+ 32	9.03 293	- 6	+ 2.08 361	+ 96	9.28 565	- 18
+ 0.086	0.02 856	+ 32	9.03 387	- 6	+ 2.08 457	+ 97	9.28 547	- 17
+ 0.087	0.02 888	+ 32	9.03 481	- 6	+ 2.08 554	+ 97	9.28 530	- 18
+ 0.088	0.02 920	+ 31	9.03 575	- 6	+ 2.08 651	+ 96	9.28 512	- 17
+ 0.089	0.02 951	+ 32	9.03 669	- 6	+ 2.08 747	+ 97	9.28 495	- 18
		+ 32		- 6		+ 97		- 18
+ 0.090	0.02 983	+ 32	9.03 763	- 6	+ 2.08 844	+ 97	9.28 477	- 17
+ 0.091	0.03 015	+ 31	9.03 857	- 6	+ 2.08 941	+ 96	9.28 460	- 18
+ 0.092	0.03 046	+ 32	9.03 951	- 5	+ 2.09 037	+ 97	9.28 442	- 18
+ 0.093	0.03 078	+ 31	9.04 045	- 6	+ 2.09 134	+ 96	9.28 424	- 17
+ 0.094	0.03 109	+ 32	9.04 139	- 6	+ 2.09 230	+ 96	9.28 407	- 18
		+ 32		- 6		+ 96		- 18
+ 0.095	0.03 141	+ 31	9.04 233	- 6	+ 2.09 326	+ 97	9.28 389	- 17
+ 0.096	0.03 172	+ 32	9.04 327	- 6	+ 2.09 423	+ 96	9.28 372	- 17
+ 0.097	0.03 204	+ 31	9.04 421	- 6	+ 2.09 519	+ 97	9.28 355	- 18
+ 0.098	0.03 235	+ 32	9.04 515	- 6	+ 2.09 616	+ 96	9.28 337	- 17
+ 0.099	0.03 267	+ 31	9.04 609	- 6	+ 2.09 712	+ 96	9.28 320	- 18
		+ 31		- 6		+ 96		- 18
+ 0.100	0.03 298		9.04 703		+ 2.09 808		9.28 302	

Tafel XVI.

θ	$\log E_2'$	Diff.	$\log E_4'$	Diff.	E_0'	Diff.	$\log E_4'$	Diff.
+ 0.100	0,03 298	+ 31	9,89 704	6	+ 2,09 808	+ 96	9,28 502	— 17
+ 0.101	0,03 329	+ 31	9,89 698	6	+ 2,09 694	+ 97	9,28 285	— 18
+ 0.102	0,03 360	+ 32	9,89 692	6	+ 2,10 001	+ 96	9,28 267	— 17
+ 0.103	0,03 392	+ 31	9,89 686	5	+ 2,10 097	+ 96	9,28 250	— 17
+ 0.104	0,03 423	+ 31	9,89 681	6	+ 2,10 193	+ 96	9,28 233	— 18
+ 0.105	0,03 454	+ 31	9,89 675	6	+ 2,10 289	+ 96	9,28 215	— 17
+ 0.106	0,03 485	+ 31	9,89 669	6	+ 2,10 385	+ 96	9,28 198	— 18
+ 0.107	0,03 516	+ 31	9,89 663	6	+ 2,10 481	+ 96	9,28 180	— 17
+ 0.108	0,03 547	+ 32	9,89 657	6	+ 2,10 577	+ 96	9,28 163	— 17
+ 0.109	0,03 579	+ 31	9,89 651	6	+ 2,10 673	+ 96	9,28 146	— 18
+ 0.110	0,03 610	+ 31	9,89 645	— 6	+ 2,10 769	+ 96	9,28 128	— 17
+ 0.111	0,03 641	+ 31	9,89 639	— 5	+ 2,10 865	+ 95	9,28 111	— 17
+ 0.112	0,03 672	+ 31	9,89 634	— 6	+ 2,10 960	+ 96	9,28 094	— 18
+ 0.113	0,03 703	+ 31	9,89 628	6	+ 2,11 056	+ 96	9,28 076	— 17
+ 0.114	0,03 733	+ 30	9,89 622	6	+ 2,11 152	+ 96	9,28 059	— 17
+ 0.115	0,03 764	+ 31	9,89 616	— 6	+ 2,11 248	+ 95	9,28 042	— 17
+ 0.116	0,03 795	+ 31	9,89 610	6	+ 2,11 343	+ 96	9,28 025	— 18
+ 0.117	0,03 826	+ 31	9,89 604	— 6	+ 2,11 439	+ 96	9,28 007	— 17
+ 0.118	0,03 857	+ 31	9,89 598	— 5	+ 2,11 535	+ 95	9,27 990	— 17
+ 0.119	0,03 888	+ 30	9,89 593	— 6	+ 2,11 630	+ 96	9,27 973	— 17
+ 0.120	0,03 918	+ 31	9,89 587	— 6	+ 2,11 726	+ 95	9,27 956	— 18
+ 0.121	0,03 949	+ 31	9,89 581	6	+ 2,11 821	+ 96	9,27 938	— 17
+ 0.122	0,03 980	+ 30	9,89 575	— 6	+ 2,11 917	+ 95	9,27 921	— 17
+ 0.123	0,04 010	+ 31	9,89 569	6	+ 2,12 012	+ 96	9,27 904	— 17
+ 0.124	0,04 041	+ 31	9,89 563	— 5	+ 2,12 108	+ 95	9,27 887	— 17
+ 0.125	0,04 072	+ 30	9,89 558	6	+ 2,12 203	+ 96	9,27 870	— 17
+ 0.126	0,04 102	+ 31	9,89 552	6	+ 2,12 299	+ 95	9,27 853	— 18
+ 0.127	0,04 133	+ 30	9,89 546	— 6	+ 2,12 394	+ 95	9,27 835	— 17
+ 0.128	0,04 163	+ 31	9,89 540	— 6	+ 2,12 489	+ 95	9,27 818	— 17
+ 0.129	0,04 194	+ 30	9,89 534	— 6	+ 2,12 584	+ 96	9,27 801	— 17
+ 0.130	0,04 224	+ 30	9,89 528	— 5	+ 2,12 680	+ 95	9,27 784	— 17
+ 0.131	0,04 254	+ 31	9,89 523	— 6	+ 2,12 775	+ 95	9,27 767	— 17
+ 0.132	0,04 285	+ 30	9,89 517	— 6	+ 2,12 870	+ 95	9,27 750	— 17
+ 0.133	0,04 315	+ 30	9,89 511	6	+ 2,12 965	+ 95	9,27 733	— 17
+ 0.134	0,04 345	+ 31	9,89 505	— 6	+ 2,13 060	+ 95	9,27 716	— 17
+ 0.135	0,04 376	+ 30	9,89 499	5	+ 2,13 155	+ 95	9,27 699	— 17
+ 0.136	0,04 406	+ 30	9,89 493	6	+ 2,13 250	+ 95	9,27 682	— 18
+ 0.137	0,04 436	+ 30	9,89 488	6	+ 2,13 345	+ 95	9,27 664	— 17
+ 0.138	0,04 466	+ 31	9,89 482	— 6	+ 2,13 440	+ 95	9,27 647	— 17
+ 0.139	0,04 497	+ 30	9,89 476	— 6	+ 2,13 535	+ 95	9,27 630	— 17
+ 0.140	0,04 527	+ 30	9,89 470	5	+ 2,13 630	+ 95	9,27 613	— 17
+ 0.141	0,04 557	+ 30	9,89 465	6	+ 2,13 725	+ 94	9,27 596	— 17
+ 0.142	0,04 587	+ 30	9,89 459	6	+ 2,13 819	+ 95	9,27 579	— 17
+ 0.143	0,04 617	+ 30	9,89 453	6	+ 2,13 914	+ 95	9,27 562	— 17
+ 0.144	0,04 647	+ 30	9,89 447	5	+ 2,14 009	+ 95	9,27 545	— 16
+ 0.145	0,04 677	+ 31	9,89 442	6	+ 2,14 104	+ 94	9,27 529	— 17
+ 0.146	0,04 707	+ 30	9,89 436	6	+ 2,14 198	+ 95	9,27 512	— 17
+ 0.147	0,04 737	+ 30	9,89 430	6	+ 2,14 293	+ 95	9,27 495	— 17
+ 0.148	0,04 767	+ 30	9,89 424	5	+ 2,14 388	+ 94	9,27 478	— 17
+ 0.149	0,04 797	+ 30	9,89 418	— 6	+ 2,14 482	+ 95	9,27 461	— 17
+ 0.150	0,04 827	+ 30	9,89 413	— 6	+ 2,14 577	+ 95	9,27 444	— 17

Tafel XVI.

θ	$\log E_2^r$	Diff.	$\log E_4^r$	Diff.	E_0	Diff.	$\log E_4^r$	Diff.
+ 0.150	0.04 827	+ 29	9.89 413	6	+ 2.14 577	+ 94	9.27 444	17
+ 0.151	0.04 856	+ 30	9.89 407	6	+ 2.14 671	+ 95	9.27 427	17
+ 0.152	0.04 886	+ 30	9.89 401	5	+ 2.14 766	+ 94	9.27 410	17
+ 0.153	0.04 916	+ 30	9.89 396	6	+ 2.14 860	+ 95	9.27 393	17
+ 0.154	0.04 946	+ 30	9.89 390	6	+ 2.14 955	+ 94	9.27 376	17
+ 0.155	0.04 976	+ 29	9.89 384	6	+ 2.15 049	+ 94	9.27 359	16
+ 0.156	0.05 005	+ 30	9.89 378	5	+ 2.15 143	+ 95	9.27 343	17
+ 0.157	0.05 035	+ 30	9.89 373	6	+ 2.15 238	+ 94	9.27 326	17
+ 0.158	0.05 065	+ 29	9.89 367	6	+ 2.15 332	+ 94	9.27 309	17
+ 0.159	0.05 094	+ 30	9.89 361	6	+ 2.15 426	+ 94	9.27 292	17
+ 0.160	0.05 124	+ 29	9.89 355	5	+ 2.15 520	+ 94	9.27 275	16
+ 0.161	0.05 153	+ 30	9.89 350	6	+ 2.15 614	+ 95	9.27 259	17
+ 0.162	0.05 183	+ 29	9.89 344	6	+ 2.15 709	+ 94	9.27 242	17
+ 0.163	0.05 212	+ 30	9.89 338	6	+ 2.15 803	+ 94	9.27 225	17
+ 0.164	0.05 242	+ 29	9.89 332	5	+ 2.15 897	+ 94	9.27 208	17
+ 0.165	0.05 271	+ 30	9.89 327	6	+ 2.15 991	+ 94	9.27 191	16
+ 0.166	0.05 301	+ 29	9.89 321	6	+ 2.16 085	+ 94	9.27 175	17
+ 0.167	0.05 330	+ 29	9.89 315	5	+ 2.16 179	+ 94	9.27 158	17
+ 0.168	0.05 359	+ 30	9.89 310	6	+ 2.16 273	+ 94	9.27 141	16
+ 0.169	0.05 389	+ 29	9.89 304	6	+ 2.16 367	+ 94	9.27 125	17
+ 0.170	0.05 418	+ 29	9.89 298	6	+ 2.16 461	+ 95	9.27 108	17
+ 0.171	0.05 447	+ 30	9.89 292	5	+ 2.16 554	+ 94	9.27 091	17
+ 0.172	0.05 477	+ 29	9.89 287	6	+ 2.16 648	+ 94	9.27 074	16
+ 0.173	0.05 506	+ 29	9.89 281	6	+ 2.16 742	+ 94	9.27 058	17
+ 0.174	0.05 535	+ 29	9.89 275	5	+ 2.16 836	+ 95	9.27 041	17
+ 0.175	0.05 564	+ 29	9.89 270	6	+ 2.16 929	+ 94	9.27 024	16
+ 0.176	0.05 593	+ 29	9.89 264	6	+ 2.17 023	+ 94	9.27 008	17
+ 0.177	0.05 622	+ 30	9.89 258	5	+ 2.17 117	+ 95	9.26 991	17
+ 0.178	0.05 652	+ 29	9.89 253	6	+ 2.17 210	+ 94	9.26 974	16
+ 0.179	0.05 681	+ 29	9.89 247	6	+ 2.17 304	+ 94	9.26 958	17
+ 0.180	0.05 710	+ 29	9.89 241	5	+ 2.17 398	+ 95	9.26 941	16
+ 0.181	0.05 739	+ 29	9.89 236	6	+ 2.17 491	+ 94	9.26 925	17
+ 0.182	0.05 768	+ 29	9.89 230	6	+ 2.17 585	+ 95	9.26 908	17
+ 0.183	0.05 797	+ 29	9.89 224	5	+ 2.17 679	+ 95	9.26 891	16
+ 0.184	0.05 826	+ 28	9.89 219	6	+ 2.17 771	+ 94	9.26 875	17
+ 0.185	0.05 854	+ 29	9.89 213	6	+ 2.17 865	+ 95	9.26 858	16
+ 0.186	0.05 883	+ 29	9.89 207	5	+ 2.17 958	+ 95	9.26 842	17
+ 0.187	0.05 912	+ 29	9.89 202	6	+ 2.18 051	+ 94	9.26 825	16
+ 0.188	0.05 941	+ 29	9.89 196	6	+ 2.18 145	+ 95	9.26 809	17
+ 0.189	0.05 970	+ 29	9.89 190	5	+ 2.18 238	+ 95	9.26 792	16
+ 0.190	0.05 999	+ 28	9.89 185	6	+ 2.18 331	+ 95	9.26 776	17
+ 0.191	0.06 027	+ 29	9.89 179	6	+ 2.18 424	+ 94	9.26 759	16
+ 0.192	0.06 056	+ 29	9.89 173	5	+ 2.18 518	+ 95	9.26 743	17
+ 0.193	0.06 085	+ 28	9.89 168	6	+ 2.18 611	+ 95	9.26 726	16
+ 0.194	0.06 113	+ 29	9.89 162	6	+ 2.18 704	+ 95	9.26 710	17
+ 0.195	0.06 142	+ 29	9.89 156	5	+ 2.18 797	+ 95	9.26 693	16
+ 0.196	0.06 171	+ 28	9.89 151	6	+ 2.18 890	+ 95	9.26 677	17
+ 0.197	0.06 199	+ 29	9.89 145	6	+ 2.18 983	+ 95	9.26 660	16
+ 0.198	0.06 228	+ 28	9.89 139	5	+ 2.19 076	+ 95	9.26 644	16
+ 0.199	0.06 256	+ 29	9.89 134	6	+ 2.19 169	+ 95	9.26 628	17
+ 0.200	0.06 285		9.89 128		+ 2.19 262		9.26 611	

Tafel XVI.

θ	$\log E_2''$	Diff.	$\log E_1'$	Diff.	E_0'	Diff.	$\log E_4''$	Diff.
+ 0.200	0,006 285	+ 28	9,089 128	5	+ 2.19 262	+ 93	9.26 611	— 16
+ 0.201	0,006 313	+ 29	9,089 123	6	+ 2.19 355	+ 93	9.26 595	— 17
+ 0.202	0,006 342	+ 28	9,089 117	6	+ 2.19 448	+ 92	9.26 578	— 16
+ 0.203	0,006 370	+ 29	9,089 111	5	+ 2.19 540	+ 93	9.26 562	— 16
+ 0.204	0,006 399	+ 28	9,089 106	6	+ 2.19 633	+ 93	9.26 546	— 17
+ 0.205	0,006 427	+ 28	9,089 100	6	+ 2.19 726	+ 93	9.26 529	— 16
+ 0.206	0,006 455	+ 29	9,089 094	5	+ 2.19 819	+ 92	9.26 513	— 17
+ 0.207	0,006 484	+ 28	9,089 089	6	+ 2.19 911	+ 93	9.26 496	— 16
+ 0.208	0,006 512	+ 28	9,089 083	5	+ 2.20 004	+ 93	9.26 480	— 16
+ 0.209	0,006 540	+ 29	9,089 078	6	+ 2.20 097	+ 92	9.26 464	— 17
+ 0.210	0,006 569	+ 28	9,089 072	6	+ 2.20 189	+ 93	9.26 447	— 16
+ 0.211	0,006 597	+ 28	9,089 066	5	+ 2.20 282	+ 92	9.26 431	— 16
+ 0.212	0,006 625	+ 28	9,089 061	6	+ 2.20 374	+ 93	9.26 415	— 16
+ 0.213	0,006 653	+ 28	9,089 055	5	+ 2.20 467	+ 92	9.26 399	— 17
+ 0.214	0,006 681	+ 28	9,089 050	6	+ 2.20 559	+ 93	9.26 382	— 16
+ 0.215	0,006 709	+ 29	9,089 044	6	+ 2.20 652	+ 92	9.26 366	— 16
+ 0.216	0,006 738	+ 28	9,089 038	5	+ 2.20 744	+ 93	9.26 350	— 16
+ 0.217	0,006 766	+ 28	9,089 033	6	+ 2.20 837	+ 92	9.26 334	— 17
+ 0.218	0,006 794	+ 28	9,089 027	5	+ 2.20 929	+ 92	9.26 317	— 16
+ 0.219	0,006 822	+ 28	9,089 022	6	+ 2.21 021	+ 92	9.26 301	— 16
+ 0.220	0,006 850	+ 28	9,089 016	5	+ 2.21 113	+ 93	9.26 285	— 16
+ 0.221	0,006 878	+ 28	9,089 011	6	+ 2.21 206	+ 92	9.26 269	— 17
+ 0.222	0,006 906	+ 28	9,089 005	6	+ 2.21 298	+ 92	9.26 252	— 16
+ 0.223	0,006 934	+ 27	9,088 999	5	+ 2.21 390	+ 92	9.26 236	— 16
+ 0.224	0,006 961	+ 28	9,088 994	6	+ 2.21 482	+ 92	9.26 220	— 16
+ 0.225	0,006 989	+ 28	9,088 988	5	+ 2.21 574	+ 93	9.26 204	— 16
+ 0.226	0,007 017	+ 28	9,088 983	6	+ 2.21 667	+ 92	9.26 188	— 17
+ 0.227	0,007 045	+ 28	9,088 977	5	+ 2.21 759	+ 92	9.26 171	— 16
+ 0.228	0,007 073	+ 28	9,088 972	6	+ 2.21 851	+ 92	9.26 155	— 16
+ 0.229	0,007 101	+ 27	9,088 966	5	+ 2.21 943	+ 92	9.26 139	— 16
+ 0.230	0,007 128	+ 28	9,088 961	6	+ 2.22 035	+ 92	9.26 123	— 16
+ 0.231	0,007 156	+ 28	9,088 955	6	+ 2.22 127	+ 92	9.26 107	— 16
+ 0.232	0,007 184	+ 27	9,088 949	5	+ 2.22 219	+ 91	9.26 091	— 16
+ 0.233	0,007 211	+ 28	9,088 944	6	+ 2.22 310	+ 92	9.26 075	— 16
+ 0.234	0,007 239	+ 28	9,088 938	5	+ 2.22 402	+ 92	9.26 059	— 16
+ 0.235	0,007 267	+ 27	9,088 933	6	+ 2.22 494	+ 92	9.26 043	— 17
+ 0.236	0,007 294	+ 28	9,088 927	5	+ 2.22 586	+ 92	9.26 026	— 16
+ 0.237	0,007 322	+ 28	9,088 922	6	+ 2.22 678	+ 91	9.26 010	— 16
+ 0.238	0,007 350	+ 27	9,088 916	5	+ 2.22 769	+ 92	9.25 994	— 16
+ 0.239	0,007 377	+ 28	9,088 911	6	+ 2.22 861	+ 92	9.25 978	— 16
+ 0.240	0,007 405	+ 27	9,088 905	5	+ 2.22 953	+ 91	9.25 962	— 16
+ 0.241	0,007 432	+ 28	9,088 900	6	+ 2.23 044	+ 92	9.25 946	— 16
+ 0.242	0,007 460	+ 27	9,088 894	5	+ 2.23 136	+ 92	9.25 930	— 16
+ 0.243	0,007 487	+ 27	9,088 889	6	+ 2.23 228	+ 91	9.25 914	— 16
+ 0.244	0,007 514	+ 28	9,088 883	5	+ 2.23 319	+ 92	9.25 898	— 16
+ 0.245	0,007 542	+ 27	9,088 878	6	+ 2.23 411	+ 91	9.25 882	— 16
+ 0.246	0,007 569	+ 27	9,088 872	5	+ 2.23 502	+ 92	9.25 866	— 16
+ 0.247	0,007 596	+ 28	9,088 867	6	+ 2.23 594	+ 91	9.25 850	— 16
+ 0.248	0,007 624	+ 27	9,088 861	5	+ 2.23 685	+ 91	9.25 834	— 16
+ 0.249	0,007 651	+ 27	9,088 856	6	+ 2.23 776	+ 92	9.25 818	— 16
+ 0.250	0,007 678		9,088 850		+ 2.23 868		9.25 802	

Tafel XVI.

θ	$\log E_2^c$	Diff.	$\log E_4^c$	Diff.	E_0^c	Diff.	$\log E_4^c$	Diff.
+ 0.250	0,007 678	+ 28	9,088 850	5	+ 2.23 868	+ 91	9.25 802	16
+ 0.251	0,007 706	+ 27	9,088 845	6	+ 2.23 959	+ 92	9.25 786	16
+ 0.252	0,007 733	+ 27	9,088 839	5	+ 2.24 051	+ 91	9.25 770	16
+ 0.253	0,007 760	+ 27	9,088 834	6	+ 2.24 142	+ 91	9.25 754	15
+ 0.254	0,007 787	+ 27	9,088 828	5	+ 2.24 233	+ 91	9.25 739	16
+ 0.255	0,007 814	+ 27	9,088 823	6	+ 2.24 324	+ 91	9.25 723	16
+ 0.256	0,007 841	+ 28	9,088 817	5	+ 2.24 415	+ 92	9.25 707	16
+ 0.257	0,007 869	+ 27	9,088 812	6	+ 2.24 507	+ 91	9.25 691	16
+ 0.258	0,007 896	+ 27	9,088 806	5	+ 2.24 598	+ 91	9.25 675	16
+ 0.259	0,007 923	+ 27	9,088 801	6	+ 2.24 689	+ 91	9.25 659	16
+ 0.260	0,007 950	+ 27	9,088 795	5	+ 2.24 780	+ 91	9.25 643	16
+ 0.261	0,007 977	+ 27	9,088 790	6	+ 2.24 871	+ 91	9.25 627	15
+ 0.262	0,008 004	+ 27	9,088 784	5	+ 2.24 962	+ 91	9.25 612	16
+ 0.263	0,008 031	+ 27	9,088 779	6	+ 2.25 053	+ 91	9.25 596	16
+ 0.264	0,008 058	+ 27	9,088 773	5	+ 2.25 144	+ 91	9.25 580	16
+ 0.265	0,008 085	+ 26	9,088 768	6	+ 2.25 235	+ 91	9.25 564	16
+ 0.266	0,008 111	+ 27	9,088 762	5	+ 2.25 326	+ 91	9.25 548	16
+ 0.267	0,008 138	+ 27	9,088 757	6	+ 2.25 417	+ 90	9.25 532	15
+ 0.268	0,008 165	+ 27	9,088 751	5	+ 2.25 507	+ 91	9.25 517	16
+ 0.269	0,008 192	+ 27	9,088 746	6	+ 2.25 598	+ 91	9.25 501	16
+ 0.270	0,008 219	+ 27	9,088 740	5	+ 2.25 689	+ 91	9.25 485	16
+ 0.271	0,008 246	+ 26	9,088 735	5	+ 2.25 780	+ 91	9.25 469	15
+ 0.272	0,008 272	+ 27	9,088 730	6	+ 2.25 871	+ 90	9.25 454	16
+ 0.273	0,008 299	+ 27	9,088 724	5	+ 2.25 961	+ 91	9.25 438	16
+ 0.274	0,008 326	+ 27	9,088 719	6	+ 2.26 052	+ 91	9.25 422	16
+ 0.275	0,008 353	+ 26	9,088 713	5	+ 2.26 143	+ 90	9.25 406	15
+ 0.276	0,008 379	+ 27	9,088 708	6	+ 2.26 233	+ 91	9.25 391	16
+ 0.277	0,008 406	+ 26	9,088 702	5	+ 2.26 324	+ 90	9.25 375	16
+ 0.278	0,008 432	+ 27	9,088 697	6	+ 2.26 414	+ 91	9.25 359	16
+ 0.279	0,008 459	+ 27	9,088 691	5	+ 2.26 505	+ 90	9.25 343	15
+ 0.280	0,008 486	+ 26	9,088 686	5	+ 2.26 595	+ 91	9.25 328	16
+ 0.281	0,008 512	+ 27	9,088 681	6	+ 2.26 686	+ 90	9.25 312	16
+ 0.282	0,008 539	+ 26	9,088 675	5	+ 2.26 776	+ 91	9.25 296	15
+ 0.283	0,008 565	+ 27	9,088 670	6	+ 2.26 867	+ 90	9.25 281	16
+ 0.284	0,008 592	+ 26	9,088 664	5	+ 2.26 957	+ 90	9.25 265	16
+ 0.285	0,008 618	+ 27	9,088 659	5	+ 2.27 047	+ 91	9.25 249	15
+ 0.286	0,008 645	+ 26	9,088 654	6	+ 2.27 138	+ 90	9.25 234	16
+ 0.287	0,008 671	+ 26	9,088 648	5	+ 2.27 228	+ 90	9.25 218	15
+ 0.288	0,008 697	+ 27	9,088 643	6	+ 2.27 318	+ 90	9.25 203	16
+ 0.289	0,008 724	+ 26	9,088 637	5	+ 2.27 408	+ 91	9.25 187	16
+ 0.290	0,008 750	+ 26	9,088 632	6	+ 2.27 499	+ 90	9.25 171	15
+ 0.291	0,008 776	+ 27	9,088 626	5	+ 2.27 589	+ 90	9.25 156	16
+ 0.292	0,008 803	+ 26	9,088 621	5	+ 2.27 679	+ 90	9.25 140	15
+ 0.293	0,008 829	+ 26	9,088 616	6	+ 2.27 769	+ 90	9.25 125	16
+ 0.294	0,008 855	+ 27	9,088 610	5	+ 2.27 859	+ 90	9.25 109	16
+ 0.295	0,008 882	+ 26	9,088 605	6	+ 2.27 949	+ 90	9.25 093	15
+ 0.296	0,008 908	+ 26	9,088 599	5	+ 2.28 039	+ 90	9.25 078	16
+ 0.297	0,008 934	+ 26	9,088 594	5	+ 2.28 129	+ 90	9.25 062	15
+ 0.298	0,008 960	+ 26	9,088 589	6	+ 2.28 219	+ 90	9.25 047	16
+ 0.299	0,008 986	+ 26	9,088 583	5	+ 2.28 309	+ 90	9.25 031	15
+ 0.300	0,009 012		9,088 578		+ 2.28 399		9.25 016	

Tafel XVI.

θ	$\log E_2'$	Diff.	$\log E_1'$	Diff.	E_0'	Diff.	$\log E_4'$	Diff.
+ 0.300	0.009 012	+ 27	0.008 578	5	+ 2.28 399	+ 90	9.25 016	16
+ 0.301	0.009 039	+ 26	0.008 573	6	+ 2.28 489	+ 90	9.25 000	15
+ 0.302	0.009 065	+ 26	0.008 567	5	+ 2.28 579	+ 90	9.24 985	16
+ 0.303	0.009 091	+ 26	0.008 562	6	+ 2.28 669	+ 89	9.24 969	15
+ 0.304	0.009 117	+ 26	0.008 556	5	+ 2.28 758	+ 90	9.24 954	16
+ 0.305	0.009 143	+ 26	0.008 551	5	+ 2.28 848	+ 90	9.24 938	15
+ 0.306	0.009 169	+ 26	0.008 546	6	+ 2.28 938	+ 90	9.24 923	16
+ 0.307	0.009 195	+ 26	0.008 540	5	+ 2.29 028	+ 89	9.24 907	15
+ 0.308	0.009 221	+ 26	0.008 535	5	+ 2.29 117	+ 90	9.24 892	15
+ 0.309	0.009 247	+ 26	0.008 530	6	+ 2.29 207	+ 90	9.24 877	16
+ 0.310	0.009 273	+ 25	0.008 524	5	+ 2.29 297	+ 89	9.24 861	15
+ 0.311	0.009 298	+ 26	0.008 519	6	+ 2.29 386	+ 90	9.24 846	16
+ 0.312	0.009 324	+ 26	0.008 513	5	+ 2.29 476	+ 89	9.24 830	15
+ 0.313	0.009 350	+ 26	0.008 508	5	+ 2.29 565	+ 90	9.24 815	16
+ 0.314	0.009 376	+ 26	0.008 503	6	+ 2.29 655	+ 89	9.24 799	15
+ 0.315	0.009 402	+ 26	0.008 497	5	+ 2.29 744	+ 90	9.24 784	15
+ 0.316	0.009 428	+ 25	0.008 492	5	+ 2.29 834	+ 89	9.24 769	16
+ 0.317	0.009 453	+ 26	0.008 487	6	+ 2.29 923	+ 90	9.24 753	15
+ 0.318	0.009 479	+ 26	0.008 481	5	+ 2.30 013	+ 89	9.24 738	15
+ 0.319	0.009 505	+ 26	0.008 476	5	+ 2.30 102	+ 89	9.24 723	16
+ 0.320	0.009 531	+ 25	0.008 471	6	+ 2.30 191	+ 90	9.24 707	15
+ 0.321	0.009 556	+ 26	0.008 465	5	+ 2.30 281	+ 89	9.24 692	15
+ 0.322	0.009 582	+ 26	0.008 460	5	+ 2.30 370	+ 89	9.24 677	16
+ 0.323	0.009 608	+ 25	0.008 455	6	+ 2.30 459	+ 89	9.24 661	15
+ 0.324	0.009 633	+ 26	0.008 449	5	+ 2.30 548	+ 90	9.24 646	15
+ 0.325	0.009 659	+ 25	0.008 444	5	+ 2.30 638	+ 89	9.24 631	16
+ 0.326	0.009 684	+ 26	0.008 439	6	+ 2.30 727	+ 89	9.24 615	15
+ 0.327	0.009 710	+ 25	0.008 433	5	+ 2.30 816	+ 89	9.24 600	15
+ 0.328	0.009 735	+ 26	0.008 428	5	+ 2.30 905	+ 89	9.24 585	16
+ 0.329	0.009 761	+ 25	0.008 423	6	+ 2.30 994	+ 89	9.24 569	15
+ 0.330	0.009 786	+ 26	0.008 417	5	+ 2.31 083	+ 89	9.24 554	15
+ 0.331	0.009 812	+ 25	0.008 412	5	+ 2.31 172	+ 89	9.24 539	15
+ 0.332	0.009 837	+ 26	0.008 407	5	+ 2.31 261	+ 89	9.24 524	16
+ 0.333	0.009 863	+ 25	0.008 402	6	+ 2.31 350	+ 89	9.24 508	15
+ 0.334	0.009 888	+ 26	0.008 396	5	+ 2.31 439	+ 89	9.24 493	15
+ 0.335	0.009 914	+ 25	0.008 391	5	+ 2.31 528	+ 89	9.24 478	15
+ 0.336	0.009 939	+ 25	0.008 386	6	+ 2.31 617	+ 89	9.24 463	16
+ 0.337	0.009 964	+ 26	0.008 380	5	+ 2.31 706	+ 89	9.24 447	15
+ 0.338	0.009 990	+ 25	0.008 375	5	+ 2.31 795	+ 89	9.24 432	15
+ 0.339	0.010 015	+ 25	0.008 370	6	+ 2.31 884	+ 88	9.24 417	15
+ 0.340	0.010 040	+ 25	0.008 364	5	+ 2.31 972	+ 89	9.24 402	15
+ 0.341	0.010 065	+ 26	0.008 359	5	+ 2.32 061	+ 89	9.24 387	15
+ 0.342	0.010 091	+ 25	0.008 354	5	+ 2.32 150	+ 89	9.24 372	16
+ 0.343	0.010 116	+ 25	0.008 349	6	+ 2.32 239	+ 88	9.24 356	15
+ 0.344	0.010 141	+ 25	0.008 343	5	+ 2.32 327	+ 89	9.24 341	15
+ 0.345	0.010 166	+ 25	0.008 338	5	+ 2.32 416	+ 89	9.24 326	15
+ 0.346	0.010 191	+ 26	0.008 333	5	+ 2.32 505	+ 88	9.24 311	15
+ 0.347	0.010 217	+ 25	0.008 327	5	+ 2.32 593	+ 89	9.24 296	15
+ 0.348	0.010 242	+ 25	0.008 322	5	+ 2.32 682	+ 88	9.24 281	15
+ 0.349	0.010 267	+ 25	0.008 317	5	+ 2.32 770	+ 89	9.24 266	16
+ 0.350	0.010 292		0.008 312		+ 2.32 859		9.24 250	

Tafel XVI.

θ	$\log E_2'$	Diff.	$\log E_4'$	Diff.	E_6'	Diff.	$\log E_4''$	Diff.
+ 0.350	0.10 292		9.88 312	— 6	+ 2.32 859	+ 88	9.24 250	15
+ 0.351	0.10 317	+ 25	9.88 306	— 5	+ 2.32 947	+ 89	9.24 235	15
+ 0.352	0.10 342	+ 25	9.88 301	— 5	+ 2.33 036	+ 88	9.24 220	15
+ 0.353	0.10 367	+ 25	9.88 296	— 5	+ 2.33 124	+ 89	9.24 205	15
+ 0.354	0.10 392	+ 25	9.88 291	— 5	+ 2.33 213	+ 88	9.24 190	— 15
		+ 25		— 6		+ 88		— 15
+ 0.355	0.10 417	+ 25	9.88 285	— 5	+ 2.33 301	+ 88	9.24 175	— 15
+ 0.356	0.10 442	+ 25	9.88 280	— 5	+ 2.33 389	+ 89	9.24 160	— 15
+ 0.357	0.10 467	+ 25	9.88 275	— 5	+ 2.33 478	+ 88	9.24 145	— 15
+ 0.358	0.10 492	+ 25	9.88 270	— 5	+ 2.33 566	+ 88	9.24 130	15
+ 0.359	0.10 517	+ 25	9.88 264	— 6	+ 2.33 654	+ 89	9.24 115	— 15
		+ 25		— 5		+ 88		— 15
+ 0.360	0.10 542	+ 24	9.88 259	— 5	+ 2.33 743	+ 88	9.24 100	15
+ 0.361	0.10 566	+ 25	9.88 254	— 5	+ 2.33 831	+ 88	9.24 085	15
+ 0.362	0.10 591	+ 25	9.88 249	— 5	+ 2.33 919	+ 88	9.24 070	15
+ 0.363	0.10 616	+ 25	9.88 243	— 6	+ 2.34 007	+ 88	9.24 055	15
+ 0.364	0.10 641	+ 25	9.88 238	— 5	+ 2.34 095	+ 89	9.24 040	15
		+ 25		— 5		+ 88		15
+ 0.365	0.10 666	+ 24	9.88 233	— 5	+ 2.34 184	+ 88	9.24 025	15
+ 0.366	0.10 690	+ 25	9.88 228	— 5	+ 2.34 272	+ 88	9.24 010	15
+ 0.367	0.10 715	+ 25	9.88 222	— 6	+ 2.34 360	+ 88	9.23 995	15
+ 0.368	0.10 740	+ 25	9.88 217	— 5	+ 2.34 448	+ 88	9.23 980	15
+ 0.369	0.10 765	+ 25	9.88 212	— 5	+ 2.34 536	+ 88	9.23 965	— 15
		+ 24		— 5		+ 88		— 15
+ 0.370	0.10 789	+ 25	9.88 207	— 5	+ 2.34 624	+ 88	9.23 950	15
+ 0.371	0.10 814	+ 25	9.88 201	— 6	+ 2.34 712	+ 88	9.23 935	15
+ 0.372	0.10 839	+ 25	9.88 196	— 5	+ 2.34 800	+ 88	9.23 920	15
+ 0.373	0.10 863	+ 24	9.88 191	— 5	+ 2.34 888	+ 88	9.23 905	15
+ 0.374	0.10 888	+ 25	9.88 186	— 5	+ 2.34 975	+ 88	9.23 890	15
		+ 24		— 5		+ 88		15
+ 0.375	0.10 912	+ 25	9.88 181	— 6	+ 2.35 063	+ 88	9.23 875	— 15
+ 0.376	0.10 937	+ 25	9.88 175	— 5	+ 2.35 151	+ 88	9.23 860	— 15
+ 0.377	0.10 961	+ 24	9.88 170	— 5	+ 2.35 239	+ 88	9.23 845	— 15
+ 0.378	0.10 986	+ 25	9.88 165	— 5	+ 2.35 327	+ 88	9.23 831	14
+ 0.379	0.11 010	+ 24	9.88 160	— 5	+ 2.35 414	+ 88	9.23 816	15
		+ 25		— 5		+ 88		15
+ 0.380	0.11 035	+ 24	9.88 155	— 6	+ 2.35 502	+ 88	9.23 801	15
+ 0.381	0.11 059	+ 25	9.88 149	— 5	+ 2.35 590	+ 88	9.23 786	15
+ 0.382	0.11 084	+ 24	9.88 144	— 5	+ 2.35 677	+ 88	9.23 771	15
+ 0.383	0.11 108	+ 25	9.88 139	— 5	+ 2.35 765	+ 88	9.23 756	— 15
+ 0.384	0.11 133	+ 25	9.88 134	— 5	+ 2.35 853	+ 88	9.23 741	— 14
		+ 24		— 5		+ 88		— 14
+ 0.385	0.11 157	+ 24	9.88 129	— 6	+ 2.35 940	+ 88	9.23 727	— 15
+ 0.386	0.11 181	+ 25	9.88 123	— 5	+ 2.36 028	+ 88	9.23 712	— 15
+ 0.387	0.11 206	+ 24	9.88 118	— 5	+ 2.36 115	+ 88	9.23 697	— 15
+ 0.388	0.11 230	+ 24	9.88 113	— 5	+ 2.36 203	+ 88	9.23 682	— 15
+ 0.389	0.11 254	+ 24	9.88 108	— 5	+ 2.36 290	+ 88	9.23 667	— 15
		+ 25		— 5		+ 88		— 15
+ 0.390	0.11 279	+ 24	9.88 103	— 6	+ 2.36 378	+ 88	9.23 652	— 14
+ 0.391	0.11 303	+ 24	9.88 097	— 5	+ 2.36 465	+ 88	9.23 638	— 15
+ 0.392	0.11 327	+ 25	9.88 092	— 5	+ 2.36 553	+ 88	9.23 623	— 15
+ 0.393	0.11 352	+ 24	9.88 087	— 5	+ 2.36 640	+ 88	9.23 608	— 15
+ 0.394	0.11 376	+ 24	9.88 082	— 5	+ 2.36 727	+ 88	9.23 593	— 14
		+ 24		— 5		+ 88		— 14
+ 0.395	0.11 400	+ 24	9.88 077	— 5	+ 2.36 815	+ 88	9.23 579	— 15
+ 0.396	0.11 424	+ 24	9.88 072	— 6	+ 2.36 902	+ 88	9.23 564	— 15
+ 0.397	0.11 448	+ 24	9.88 066	— 5	+ 2.36 989	+ 88	9.23 549	— 15
+ 0.398	0.11 472	+ 25	9.88 061	— 5	+ 2.37 077	+ 88	9.23 534	— 14
+ 0.399	0.11 497	+ 25	9.88 056	— 5	+ 2.37 164	+ 88	9.23 520	— 15
		+ 24		— 5		+ 88		— 15
+ 0.400	0.11 521		9.88 051		+ 2.37 251		9.23 505	

Tafel XVII.

vergl. pag. 468.

A	$\log Q$	Diff.	A	$\log Q$	Diff.	A	$\log Q$	Diff.	A	$\log Q$	Diff.
0.240	9.193 1369	+1102	0.180	9.199 8779	+1136	0.120	9.206 8926	+1194	0.060	9.214 2065	+1246
0.239	9.193 2471	+1103	0.179	9.199 9925	+1147	0.119	9.207 0120	+1194	0.059	9.214 3311	+1247
0.238	9.193 3574	+1104	0.178	9.200 1072	+1147	0.118	9.207 1314	+1196	0.058	9.214 4558	+1248
0.237	9.193 4678	+1105	0.177	9.200 2219	+1148	0.117	9.207 2510	+1196	0.057	9.214 5806	+1248
0.236	9.193 5783	+1105	0.176	9.200 3367	+1149	0.116	9.207 3706	+1197	0.056	9.214 7054	+1250
0.235	9.193 6888	+1105	0.175	9.200 4516	+1150	0.115	9.207 49 3	+1198	0.055	9.214 8304	+1250
0.234	9.193 7993	+1107	0.174	9.200 5666	+1151	0.114	9.207 6101	+1199	0.054	9.214 9554	+1252
0.233	9.193 9100	+1107	0.173	9.200 6817	+1151	0.113	9.207 7300	+1199	0.053	9.215 0806	+1252
0.232	9.194 0207	+1108	0.172	9.200 7968	+1152	0.112	9.207 8499	+1201	0.052	9.215 2058	+1253
0.231	9.194 1315	+1109	0.171	9.200 9120	+1153	0.111	9.207 9700	+1201	0.051	9.215 3311	+1255
0.230	9.194 2424	+1109	0.170	9.201 0273	+1154	0.110	9.208 0901	+1202	0.050	9.215 4566	+1255
0.229	9.194 3533	+1110	0.169	9.201 1427	+1155	0.109	9.208 2103	+1203	0.049	9.215 5821	+1256
0.228	9.194 4643	+1111	0.168	9.201 2582	+1155	0.108	9.208 3306	+1204	0.048	9.215 7077	+1257
0.227	9.194 5754	+1111	0.167	9.201 3737	+1156	0.107	9.208 4510	+1204	0.047	9.215 8334	+1258
0.226	9.194 6865	+1112	0.166	9.201 4893	+1157	0.106	9.208 5714	+1206	0.046	9.215 9592	+1258
0.225	9.194 7977	+1113	0.165	9.201 6050	+1157	0.105	9.208 6920	+1206	0.045	9.216 0850	+1260
0.224	9.194 9090	+1114	0.164	9.201 7207	+1158	0.104	9.208 8126	+1207	0.044	9.216 2110	+1261
0.223	9.195 0203	+1114	0.163	9.201 8365	+1160	0.103	9.208 9333	+1208	0.043	9.216 3371	+1262
0.222	9.195 1318	+1115	0.162	9.201 9525	+1160	0.102	9.209 0541	+1209	0.042	9.216 4633	+1262
0.221	9.195 2433	+1116	0.161	9.202 0684	+1161	0.101	9.209 1750	+1210	0.041	9.216 5895	+1264
0.220	9.195 3549	+1117	0.160	9.202 1845	+1162	0.100	9.209 2960	+1210	0.040	9.216 7159	+1264
0.219	9.195 4666	+1117	0.159	9.202 3007	+1162	0.099	9.209 4170	+1212	0.039	9.216 8423	+1266
0.218	9.195 5783	+1118	0.158	9.202 4169	+1163	0.098	9.209 5382	+1212	0.038	9.216 9689	+1266
0.217	9.195 6901	+1118	0.157	9.202 5332	+1164	0.097	9.209 6594	+1213	0.037	9.217 0955	+1267
0.216	9.195 8019	+1120	0.156	9.202 6496	+1164	0.096	9.209 7807	+1214	0.036	9.217 2222	+1268
0.215	9.195 9139	+1120	0.155	9.202 7660	+1166	0.095	9.209 9021	+1215	0.035	9.217 3490	+1270
0.214	9.196 0259	+1120	0.154	9.202 8826	+1166	0.094	9.210 0236	+1216	0.034	9.217 4760	+1270
0.213	9.196 1379	+1122	0.153	9.202 9992	+1167	0.093	9.210 1452	+1217	0.033	9.217 6030	+1271
0.212	9.196 2501	+1122	0.152	9.203 1159	+1168	0.092	9.210 2669	+1217	0.032	9.217 7301	+1272
0.211	9.196 3623	+1123	0.151	9.203 2327	+1168	0.091	9.210 3886	+1218	0.031	9.217 8573	+1273
0.210	9.196 4746	+1124	0.150	9.203 3495	+1170	0.090	9.210 5104	+1220	0.030	9.217 9846	+1274
0.209	9.196 5870	+1124	0.149	9.203 4665	+1170	0.089	9.210 6324	+1220	0.029	9.218 1120	+1275
0.208	9.196 6994	+1126	0.148	9.203 5835	+1171	0.088	9.210 7544	+1221	0.028	9.218 2395	+1276
0.207	9.196 8120	+1125	0.147	9.203 7006	+1171	0.087	9.210 8765	+1221	0.027	9.218 3671	+1276
0.206	9.196 9245	+1127	0.146	9.203 8177	+1173	0.086	9.210 9986	+1223	0.026	9.218 4947	+1278
0.205	9.197 0372	+1127	0.145	9.203 9350	+1173	0.085	9.211 1209	+1224	0.025	9.218 6225	+1279
0.204	9.197 1499	+1128	0.144	9.204 0523	+1174	0.084	9.211 2433	+1224	0.024	9.218 7504	+1280
0.203	9.197 2627	+1129	0.143	9.204 1697	+1175	0.083	9.211 3657	+1226	0.023	9.218 8784	+1280
0.202	9.197 3756	+1130	0.142	9.204 2872	+1176	0.082	9.211 4883	+1226	0.022	9.219 0064	+1282
0.201	9.197 4886	+1130	0.141	9.204 4048	+1177	0.081	9.211 6109	+1227	0.021	9.219 1346	+1283
0.200	9.197 6016	+1131	0.140	9.204 5225	+1177	0.080	9.211 7336	+1228	0.020	9.219 2629	+1283
0.199	9.197 7147	+1132	0.139	9.204 6402	+1178	0.079	9.211 8564	+1229	0.019	9.219 3912	+1285
0.198	9.197 8279	+1133	0.138	9.204 7580	+1179	0.078	9.211 9793	+1229	0.018	9.219 5197	+1285
0.197	9.197 9412	+1133	0.137	9.204 8759	+1180	0.077	9.212 1022	+1231	0.017	9.219 6482	+1287
0.196	9.198 0545	+1134	0.136	9.204 9939	+1180	0.076	9.212 2253	+1232	0.016	9.219 7769	+1287
0.195	9.198 1679	+1135	0.135	9.205 1119	+1182	0.075	9.212 3485	+1232	0.015	9.219 9056	+1289
0.194	9.198 2814	+1135	0.134	9.205 2301	+1182	0.074	9.212 4717	+1233	0.014	9.220 0345	+1289
0.193	9.198 3949	+1136	0.133	9.205 3483	+1183	0.073	9.212 5950	+1235	0.013	9.220 1634	+1291
0.192	9.198 5085	+1137	0.132	9.205 4666	+1184	0.072	9.212 7185	+1235	0.012	9.220 2925	+1291
0.191	9.198 6222	+1138	0.131	9.205 5850	+1184	0.071	9.212 8420	+1236	0.011	9.220 4216	+1293
0.190	9.198 7360	+1138	0.130	9.205 7034	+1186	0.070	9.212 9656	+1237	0.010	9.220 5509	+1293
0.189	9.198 8498	+1140	0.129	9.205 8220	+1186	0.069	9.213 0893	+1237	0.009	9.220 6802	+1294
0.188	9.198 9638	+1140	0.128	9.205 9406	+1187	0.068	9.213 2130	+1239	0.008	9.220 8096	+1296
0.187	9.199 0778	+1140	0.127	9.206 0593	+1188	0.067	9.213 3369	+1240	0.007	9.220 9392	+1296
0.186	9.199 1918	+1142	0.126	9.206 1781	+1189	0.066	9.213 4609	+1240	0.006	9.221 0688	+1298
0.185	9.199 3060	+1142	0.125	9.206 2970	+1190	0.065	9.213 5849	+1241	0.005	9.221 1986	+1298
0.184	9.199 4202	+1143	0.124	9.206 4160	+1190	0.064	9.213 7090	+1243	0.004	9.221 3284	+1299
0.183	9.199 5345	+1144	0.123	9.206 5350	+1191	0.063	9.213 8333	+1243	0.003	9.221 4583	+1301
0.182	9.199 6489	+1144	0.122	9.206 6541	+1192	0.062	9.213 9576	+1244	0.002	9.221 5884	+1301
0.181	9.199 7633	+1146	0.121	9.206 7733	+1193	0.061	9.214 0820	+1245	0.001	9.221 7185	+1302
0.180	9.199 8779		0.120	9.206 8926		0.060	9.214 2065		0.000	9.221 8487	

Tafel XVII.

A	$\log Q$	Diff.	A	$\log Q$	Diff.	A	$\log Q$	Diff.	A	$\log Q$	Diff.
0.000	9.221 848		+0.060	9.229 8533	+136	+0.120	9.238 2600	+1438	+0.180	9.247 1159	+1517
+0.001	9.221 979	+1304	+0.061	9.229 9900	+1368	+0.121	9.238 4038	+1439	+0.181	9.247 2676	+1518
+0.002	9.222 1095	+1304	+0.062	9.230 1268	+1369	+0.122	9.238 5477	+1440	+0.182	9.247 4194	+1520
+0.003	9.222 2401	+1306	+0.063	9.230 2637	+1371	+0.123	9.238 6917	+1441	+0.183	9.247 5714	+1522
+0.004	9.222 3707	+1308	+0.064	9.230 4008	+1371	+0.124	9.238 8358	+1443	+0.184	9.247 7236	+1522
+0.005	9.222 5015	+1308	+0.065	9.230 5379	+1373	+0.125	9.238 9801	+1444	+0.185	9.247 8758	+1525
+0.006	9.222 6323	+1309	+0.066	9.230 6752	+1373	+0.126	9.239 1245	+1445	+0.186	9.248 0283	+1525
+0.007	9.222 7631	+1311	+0.067	9.230 8125	+1375	+0.127	9.239 2690	+1447	+0.187	9.248 1808	+1527
+0.008	9.222 8943	+1311	+0.068	9.230 9500	+1376	+0.128	9.239 4137	+1448	+0.188	9.248 3335	+1529
+0.009	9.223 0254	+1313	+0.069	9.231 0876	+1377	+0.129	9.239 5585	+1449	+0.189	9.248 4864	+1529
+0.010	9.223 1567	+1313	+0.070	9.231 2253	+1378	+0.130	9.239 7034	+1450	+0.190	9.248 6393	+1532
+0.011	9.223 2880	+1315	+0.071	9.231 3631	+1380	+0.131	9.239 8484	+1452	+0.191	9.248 7925	+1532
+0.012	9.223 4195	+1316	+0.072	9.231 5011	+1380	+0.132	9.239 9936	+1453	+0.192	9.248 9457	+1535
+0.013	9.223 5511	+1316	+0.073	9.231 6391	+1382	+0.133	9.240 1389	+1454	+0.193	9.249 0992	+1535
+0.014	9.223 6827	+1318	+0.074	9.231 7773	+1383	+0.134	9.240 2843	+1455	+0.194	9.249 2527	+1537
+0.015	9.223 8145	+1318	+0.075	9.231 9156	+1384	+0.135	9.240 4298	+1457	+0.195	9.249 4064	+1539
+0.016	9.223 9463	+1320	+0.076	9.232 0540	+1385	+0.136	9.240 5755	+1458	+0.196	9.249 5603	+1540
+0.017	9.224 0783	+1321	+0.077	9.232 1925	+1386	+0.137	9.240 7213	+1459	+0.197	9.249 7143	+1541
+0.018	9.224 2104	+1322	+0.078	9.232 3311	+1387	+0.138	9.240 8672	+1461	+0.198	9.249 8684	+1543
+0.019	9.224 3426	+1322	+0.079	9.232 4698	+1389	+0.139	9.241 0133	+1462	+0.199	9.250 0227	+1544
+0.020	9.224 4748	+1324	+0.080	9.232 6087	+1390	+0.140	9.241 1595	+1463	+0.200	9.250 1771	+1546
+0.021	9.224 6072	+1325	+0.081	9.232 7477	+1391	+0.141	9.241 3058	+1464	+0.201	9.250 3317	+1547
+0.022	9.224 7397	+1326	+0.082	9.232 8868	+1392	+0.142	9.241 4522	+1466	+0.202	9.250 4864	+1549
+0.023	9.224 8723	+1327	+0.083	9.233 0260	+1393	+0.143	9.241 5988	+1467	+0.203	9.250 6413	+1550
+0.024	9.225 0050	+1328	+0.084	9.233 1655	+1394	+0.144	9.241 7455	+1468	+0.204	9.250 7963	+1552
+0.025	9.225 1378	+1329	+0.085	9.233 3047	+1396	+0.145	9.241 8923	+1470	+0.205	9.250 9515	+1553
+0.026	9.225 2707	+1330	+0.086	9.233 4443	+1396	+0.146	9.242 0393	+1471	+0.206	9.251 1068	+1554
+0.027	9.225 4037	+1332	+0.087	9.233 5839	+1398	+0.147	9.242 1864	+1472	+0.207	9.251 2622	+1556
+0.028	9.225 5369	+1332	+0.088	9.233 7237	+1399	+0.148	9.242 3336	+1474	+0.208	9.251 4178	+1558
+0.029	9.225 6701	+1333	+0.089	9.233 8636	+1400	+0.149	9.242 4810	+1475	+0.209	9.251 5736	+1559
+0.030	9.225 8034	+1334	+0.090	9.234 0036	+1402	+0.150	9.242 6285	+1476	+0.210	9.251 7295	+1560
+0.031	9.225 9368	+1336	+0.091	9.234 1438	+1402	+0.151	9.242 7761	+1478	+0.211	9.251 8855	+1562
+0.032	9.226 0704	+1336	+0.092	9.234 2840	+1404	+0.152	9.242 9239	+1479	+0.212	9.252 0417	+1564
+0.033	9.226 2040	+1338	+0.093	9.234 4244	+1405	+0.153	9.243 0718	+1480	+0.213	9.252 1981	+1565
+0.034	9.226 3378	+1338	+0.094	9.234 5649	+1406	+0.154	9.243 2198	+1481	+0.214	9.252 3546	+1567
+0.035	9.226 4716	+1340	+0.095	9.234 7055	+1407	+0.155	9.243 3679	+1483	+0.215	9.252 5113	+1568
+0.036	9.226 6056	+1341	+0.096	9.234 8462	+1409	+0.156	9.243 5162	+1485	+0.216	9.252 6681	+1569
+0.037	9.226 7397	+1342	+0.097	9.234 9871	+1409	+0.157	9.243 6647	+1485	+0.217	9.252 8250	+1571
+0.038	9.226 8739	+1342	+0.098	9.235 1280	+1411	+0.158	9.243 8132	+1487	+0.218	9.252 9821	+1573
+0.039	9.227 0081	+1344	+0.099	9.235 2691	+1412	+0.159	9.243 9619	+1488	+0.219	9.253 1394	+1574
+0.040	9.227 1425	+1345	+0.100	9.235 4103	+1414	+0.160	9.244 1107	+1490	+0.220	9.253 2968	+1575
+0.041	9.227 2770	+1347	+0.101	9.235 5517	+1414	+0.161	9.244 2597	+1491	+0.221	9.253 4543	+1578
+0.042	9.227 4117	+1347	+0.102	9.235 6931	+1416	+0.162	9.244 4089	+1492	+0.222	9.253 6121	+1578
+0.043	9.227 5464	+1348	+0.103	9.235 8347	+1417	+0.163	9.244 5580	+1494	+0.223	9.253 7699	+1580
+0.044	9.227 6812	+1349	+0.104	9.235 9764	+1418	+0.164	9.244 7074	+1495	+0.224	9.253 9279	+1582
+0.045	9.227 8161	+1351	+0.105	9.236 1182	+1419	+0.165	9.244 8569	+1496	+0.225	9.254 0861	+1584
+0.046	9.227 9512	+1351	+0.106	9.236 2601	+1421	+0.166	9.245 0065	+1498	+0.226	9.254 2445	+1584
+0.047	9.228 0863	+1353	+0.107	9.236 4022	+1421	+0.167	9.245 1563	+1499	+0.227	9.254 4029	+1587
+0.048	9.228 2216	+1354	+0.108	9.236 5443	+1423	+0.168	9.245 3062	+1501	+0.228	9.254 5616	+1588
+0.049	9.228 3570	+1354	+0.109	9.236 6866	+1424	+0.169	9.245 4563	+1501	+0.229	9.254 7204	+1589
+0.050	9.228 4924	+1356	+0.110	9.236 8290	+1426	+0.170	9.245 6064	+1504	+0.230	9.254 8793	+1591
+0.051	9.228 6280	+1357	+0.111	9.236 9716	+1427	+0.171	9.245 7568	+1504	+0.231	9.255 0384	+1593
+0.052	9.228 7637	+1358	+0.112	9.237 1143	+1427	+0.172	9.245 9072	+1506	+0.232	9.255 1977	+1594
+0.053	9.228 8995	+1360	+0.113	9.237 2570	+1429	+0.173	9.246 0578	+1508	+0.233	9.255 3571	+1596
+0.054	9.229 0355	+1360	+0.114	9.237 3999	+1431	+0.174	9.246 2086	+1508	+0.234	9.255 5167	+1597
+0.055	9.229 1715	+1361	+0.115	9.237 5430	+1431	+0.175	9.246 3594	+1510	+0.235	9.255 6764	+1599
+0.056	9.229 3076	+1363	+0.116	9.237 6861	+1433	+0.176	9.246 5104	+1512	+0.236	9.255 8363	+1600
+0.057	9.229 4439	+1364	+0.117	9.237 8294	+1434	+0.177	9.246 6616	+1513	+0.237	9.255 9963	+1602
+0.058	9.229 5803	+1364	+0.118	9.237 9728	+1435	+0.178	9.246 8129	+1514	+0.238	9.256 1565	+1604
+0.059	9.229 7167	+1366	+0.119	9.238 1163	+1437	+0.179	9.246 9643	+1516	+0.239	9.256 3169	+1605
+0.060	9.229 8533		+0.120	9.238 2600		+0.180	9.247 1159		+0.240	9.256 4774	

Tafel XVIII.

vergl. pag. 479.

θ	$\log P_1$	Diff.	$\log P_3$	Diff.	θ	$\log P_1$	Diff.	$\log P_3$	Diff.
-0.300	2.171 2355	-433	1.772 3333	-7291	-0.250	2.150 3724	-4010	1.737 0306	-6832
-0.299	2.170 8018	-4330	1.771 6042	-7280	-0.249	2.149 9714	-4004	1.736 3474	-6823
-0.298	2.170 3688	-4322	1.770 8762	-7272	-0.248	2.149 5710	-3998	1.735 6651	-6814
-0.297	2.169 9366	-4316	1.770 1490	-7261	-0.247	2.149 1712	-3992	1.734 9837	-6806
-0.296	2.169 5050	-4309	1.769 4229	-7251	-0.246	2.148 7720	-3986	1.734 3031	-6797
-0.295	2.169 0741	-4301	1.768 6978	-7242	-0.245	2.148 3734	-3979	1.733 6234	-6789
-0.294	2.168 6440	-4295	1.767 9736	-7233	-0.244	2.147 9755	-3974	1.732 9445	-6780
-0.293	2.168 2145	-4288	1.767 2503	-7222	-0.243	2.147 5781	-3968	1.732 2665	-6772
-0.292	2.167 7857	-4281	1.766 5281	-7213	-0.242	2.147 1813	-3962	1.731 5893	-6764
-0.291	2.167 3576	-4275	1.765 8068	-7203	-0.241	2.146 7851	-3956	1.730 9129	-6755
-0.290	2.166 9301	-4267	1.765 0865	-7194	-0.240	2.146 3895	-3951	1.730 2374	-6747
-0.289	2.166 5034	-4261	1.764 3671	-7185	-0.239	2.145 9944	-3944	1.729 5627	-6738
-0.288	2.166 0773	-4253	1.763 6486	-7174	-0.238	2.145 6000	-3938	1.728 8889	-6730
-0.287	2.165 6520	-4247	1.762 9312	-7166	-0.237	2.145 2062	-3933	1.728 2159	-6722
-0.286	2.165 2273	-4241	1.762 2146	-7155	-0.236	2.144 8129	-3927	1.727 5437	-6713
-0.285	2.164 8032	-4233	1.761 4991	-7147	-0.235	2.144 4202	-3921	1.726 8724	-6706
-0.284	2.164 3799	-4227	1.760 7844	-7137	-0.234	2.144 0281	-3915	1.726 2018	-6696
-0.283	2.163 9572	-4220	1.760 0707	-7127	-0.233	2.143 6366	-3909	1.725 5322	-6689
-0.282	2.163 5352	-4214	1.759 3580	-7118	-0.232	2.143 2457	-3903	1.724 8633	-6681
-0.281	2.163 1138	-4207	1.758 6462	-7109	-0.231	2.142 8554	-3898	1.724 1952	-6672
-0.280	2.162 6931	-4200	1.757 9353	-7100	-0.230	2.142 4656	-3892	1.723 5280	-6664
-0.279	2.162 2731	-4193	1.757 2253	-7090	-0.229	2.142 0764	-3887	1.722 8616	-6656
-0.278	2.161 8538	-4187	1.756 5163	-7081	-0.228	2.141 6877	-3880	1.722 1960	-6648
-0.277	2.161 4351	-4181	1.755 8082	-7072	-0.227	2.141 2997	-3875	1.721 5312	-6639
-0.276	2.161 0170	-4174	1.755 1010	-7062	-0.226	2.140 9122	-3869	1.720 8673	-6632
-0.275	2.160 5996	-4167	1.754 3948	-7054	-0.225	2.140 5253	-3864	1.720 2041	-6624
-0.274	2.160 1829	-4161	1.753 6894	-7044	-0.224	2.140 1389	-3858	1.719 5417	-6615
-0.273	2.159 7668	-4154	1.752 9850	-7035	-0.223	2.139 7531	-3852	1.718 8802	-6608
-0.272	2.159 3514	-4148	1.752 2815	-7026	-0.222	2.139 3679	-3847	1.718 2194	-6599
-0.271	2.158 9366	-4141	1.751 5789	-7017	-0.221	2.138 9832	-3841	1.717 5595	-6592
-0.270	2.158 5225	-4135	1.750 8772	-7008	-0.220	2.138 5991	-3835	1.716 9003	-6583
-0.269	2.158 1090	-4129	1.750 1764	-7000	-0.219	2.138 2156	-3830	1.716 2420	-6576
-0.268	2.157 6961	-4122	1.749 4765	-6990	-0.218	2.137 8326	-3824	1.715 5844	-6568
-0.267	2.157 2839	-4116	1.748 7776	-6981	-0.217	2.137 4502	-3819	1.714 9277	-6560
-0.266	2.156 8723	-4109	1.748 0795	-6972	-0.216	2.137 0683	-3813	1.714 2717	-6552
-0.265	2.156 4614	-4103	1.747 3823	-6963	-0.215	2.136 6870	-3808	1.713 6165	-6544
-0.264	2.156 0511	-4097	1.746 6860	-6954	-0.214	2.136 3062	-3802	1.712 9621	-6536
-0.263	2.155 6414	-4090	1.745 9906	-6945	-0.213	2.135 9260	-3797	1.712 3085	-6529
-0.262	2.155 2324	-4085	1.745 2961	-6936	-0.212	2.135 5463	-3791	1.711 6556	-6520
-0.261	2.154 8239	-4077	1.744 6025	-6927	-0.211	2.135 1672	-3786	1.711 0036	-6513
-0.260	2.154 4162	-4072	1.743 9098	-6919	-0.210	2.134 7886	-3780	1.710 3523	-6505
-0.259	2.154 0090	-4065	1.743 2179	-6910	-0.209	2.134 4106	-3775	1.709 7018	-6497
-0.258	2.153 6025	-4059	1.742 5269	-6901	-0.208	2.134 0331	-3770	1.709 0521	-6489
-0.257	2.153 1966	-4053	1.741 8368	-6892	-0.207	2.133 6561	-3764	1.708 4032	-6482
-0.256	2.152 7913	-4047	1.741 1476	-6883	-0.206	2.133 2797	-3759	1.707 7550	-6474
-0.255	2.152 3866	-4041	1.740 4593	-6875	-0.205	2.132 9038	-3753	1.707 1076	-6466
-0.254	2.151 9825	-4034	1.739 7718	-6866	-0.204	2.132 5285	-3748	1.706 4609	-6458
-0.253	2.151 5791	-4028	1.739 0852	-6857	-0.203	2.132 1537	-3743	1.705 8151	-6451
-0.252	2.151 1763	-4023	1.738 3995	-6849	-0.202	2.131 7794	-3737	1.705 1700	-6444
-0.251	2.150 7740	-4016	1.737 7146	-6840	-0.201	2.131 4057	-3733	1.704 5256	-6436
-0.250	2.150 3724		1.737 0306		-0.200	2.131 0324		1.703 8820	

Tafel XVIII.

θ	$\log P_1$	Diff.	$\log P_3$	Diff.	θ	$\log P_1$	Diff.	$\log P_3$	Diff.
— 0.200	2.131 0324	— 3726	1.703 8820	— 6428	— 0.150	2.113 0187	— 3479	1.672 6329	— 6072
— 0.199	2.130 6598	— 3722	1.703 2392	— 6421	— 0.149	2.112 6708	— 3474	1.672 0257	— 6064
— 0.198	2.130 2876	— 3716	1.702 5971	— 6413	— 0.148	2.112 3234	— 3470	1.671 4193	— 6058
— 0.197	2.129 9160	— 3711	1.701 9558	— 6406	— 0.147	2.111 9764	— 3465	1.670 8135	— 6051
— 0.196	2.129 5449	— 3706	1.701 3152	— 6398	— 0.146	2.111 6299	— 3461	1.670 2084	— 6045
— 0.195	2.129 1743	— 3700	1.700 6754	— 6390	— 0.145	2.111 2838	— 3456	1.669 6039	— 6037
— 0.194	2.128 8043	— 3696	1.700 0364	— 6384	— 0.144	2.110 9382	— 3451	1.669 0002	— 6032
— 0.193	2.128 4347	— 3690	1.699 3980	— 6375	— 0.143	2.110 5931	— 3447	1.668 3970	— 6024
— 0.192	2.128 0657	— 3685	1.698 7605	— 6369	— 0.142	2.110 2484	— 3442	1.667 7946	— 6018
— 0.191	2.127 6972	— 3680	1.698 1236	— 6360	— 0.141	2.109 9042	— 3438	1.667 1928	— 6011
— 0.190	2.127 3292	— 3674	1.697 4876	— 6354	— 0.140	2.109 5604	— 3433	1.666 5917	— 6005
— 0.189	2.126 9618	— 3670	1.696 8522	— 6346	— 0.139	2.109 2171	— 3429	1.665 9912	— 5998
— 0.188	2.126 5948	— 3664	1.696 2176	— 6339	— 0.138	2.108 8742	— 3424	1.665 3914	— 5992
— 0.187	2.126 2284	— 3660	1.695 5837	— 6331	— 0.137	2.108 5318	— 3420	1.664 7922	— 5985
— 0.186	2.125 8624	— 3654	1.694 9506	— 6324	— 0.136	2.108 1898	— 3415	1.664 1937	— 5978
— 0.185	2.125 4970	— 3649	1.694 3182	— 6317	— 0.135	2.107 8483	— 3411	1.663 5959	— 5972
— 0.184	2.125 1321	— 3644	1.693 6865	— 6309	— 0.134	2.107 5072	— 3406	1.662 9987	— 5966
— 0.183	2.124 7677	— 3639	1.693 0556	— 6302	— 0.133	2.107 1666	— 3402	1.662 4021	— 5959
— 0.182	2.124 4038	— 3634	1.692 4254	— 6295	— 0.132	2.106 8264	— 3397	1.661 8062	— 5952
— 0.181	2.124 0404	— 3628	1.691 7959	— 6288	— 0.131	2.106 4867	— 3393	1.661 2110	— 5946
— 0.180	2.123 6776	— 3624	1.691 1671	— 6280	— 0.130	2.106 1474	— 3389	1.660 6164	— 5940
— 0.179	2.123 3152	— 3619	1.690 5391	— 6273	— 0.129	2.105 8085	— 3384	1.660 0224	— 5933
— 0.178	2.122 9533	— 3614	1.689 9118	— 6266	— 0.128	2.105 4701	— 3379	1.659 4291	— 5927
— 0.177	2.122 5919	— 3609	1.689 2852	— 6259	— 0.127	2.105 1322	— 3376	1.658 8364	— 5920
— 0.176	2.122 2310	— 3604	1.688 6593	— 6252	— 0.126	2.104 7946	— 3370	1.658 2444	— 5914
— 0.175	2.121 8706	— 3599	1.688 0341	— 6244	— 0.125	2.104 4576	— 3367	1.657 6530	— 5908
— 0.174	2.121 5107	— 3594	1.687 4097	— 6238	— 0.124	2.104 1209	— 3362	1.657 0622	— 5901
— 0.173	2.121 1513	— 3589	1.686 7859	— 6230	— 0.123	2.103 7847	— 3358	1.656 4721	— 5895
— 0.172	2.120 7924	— 3584	1.686 1629	— 6223	— 0.122	2.103 4489	— 3354	1.655 8826	— 5889
— 0.171	2.120 4340	— 3579	1.685 5406	— 6216	— 0.121	2.103 1135	— 3349	1.655 2937	— 5882
— 0.170	2.120 0761	— 3574	1.684 9190	— 6209	— 0.120	2.102 7786	— 3345	1.654 7055	— 5876
— 0.169	2.119 7187	— 3570	1.684 2981	— 6202	— 0.119	2.102 4441	— 3340	1.654 1179	— 5870
— 0.168	2.119 3617	— 3564	1.683 6779	— 6195	— 0.118	2.102 1101	— 3336	1.653 5309	— 5863
— 0.167	2.119 0053	— 3560	1.683 0584	— 6188	— 0.117	2.101 7765	— 3332	1.652 9446	— 5857
— 0.166	2.118 6493	— 3555	1.682 4396	— 6181	— 0.116	2.101 4433	— 3328	1.652 3589	— 5851
— 0.165	2.118 2938	— 3550	1.681 8215	— 6174	— 0.115	2.101 1105	— 3323	1.651 7738	— 5845
— 0.164	2.117 9388	— 3545	1.681 2041	— 6167	— 0.114	2.100 7782	— 3320	1.651 1893	— 5838
— 0.163	2.117 5843	— 3541	1.680 5874	— 6160	— 0.113	2.100 4462	— 3315	1.650 6055	— 5833
— 0.162	2.117 2302	— 3535	1.679 9714	— 6153	— 0.112	2.100 1147	— 3310	1.650 0222	— 5826
— 0.161	2.116 8767	— 3531	1.679 3561	— 6147	— 0.111	2.099 7837	— 3307	1.649 4396	— 5820
— 0.160	2.116 5236	— 3526	1.678 7414	— 6139	— 0.110	2.099 4530	— 3302	1.648 8576	— 5813
— 0.159	2.116 1710	— 3522	1.678 1275	— 6133	— 0.109	2.099 1228	— 3298	1.648 2763	— 5808
— 0.158	2.115 8188	— 3516	1.677 5142	— 6125	— 0.108	2.098 7930	— 3294	1.647 6955	— 5801
— 0.157	2.115 4672	— 3512	1.676 9017	— 6119	— 0.107	2.098 4636	— 3290	1.647 1154	— 5796
— 0.156	2.115 1160	— 3507	1.676 2898	— 6112	— 0.106	2.098 1346	— 3285	1.646 5358	— 5789
— 0.155	2.114 7653	— 3503	1.675 6786	— 6105	— 0.105	2.097 8061	— 3281	1.645 9566	— 5783
— 0.154	2.114 4150	— 3497	1.675 0681	— 6098	— 0.104	2.097 4780	— 3278	1.645 3786	— 5777
— 0.153	2.114 0653	— 3494	1.674 4583	— 6092	— 0.103	2.097 1502	— 3273	1.644 8009	— 5771
— 0.152	2.113 7159	— 3488	1.673 8491	— 6084	— 0.102	2.096 8229	— 3269	1.644 2238	— 5765
— 0.151	2.113 3671	— 3484	1.673 2407	— 6078	— 0.101	2.096 4960	— 3264	1.643 6473	— 5759
— 0.150	2.113 0187		1.672 6329		— 0.100	2.096 1696		1.643 0714	

Tafel XVIII.

θ	$\log P_1$	Diff.	$\log P_2$	Diff.	θ	$\log P_1$	Diff.	$\log P_3$	Diff.
0.100	2.096 1606		1.643 0714	5753	0.050	2.080 3505	3067	1.615 0198	5467
0.099	2.095 8435	3261	1.642 4961	5747	0.049	2.080 0438	3063	1.614 4731	5461
0.098	2.095 5178	3257	1.641 9214	5740	0.048	2.079 7375	3060	1.613 9270	5455
0.097	2.095 1926	3252	1.641 3474	5735	0.047	2.079 4315	3056	1.613 3813	5450
0.096	2.094 8678	3248	1.640 7739	5729	0.046	2.079 1259	3052	1.612 8363	5446
		3245			0.045	2.078 8207	3049	1.612 2917	5440
0.095	2.094 5433	3240	1.640 2010	5725	0.044	2.078 5158	3045	1.611 7477	5435
0.094	2.094 2193	3236	1.639 6287	5717	0.043	2.078 2113	3041	1.611 2042	5429
0.093	2.093 8957	3232	1.639 0570	5711	0.042	2.077 9072	3038	1.610 6613	5424
0.092	2.093 5725	3229	1.638 4859	5705	0.041	2.077 6034	3034	1.610 1189	5419
0.091	2.093 2496	3224	1.637 9154	5699	0.040	2.077 3000	3031	1.609 5770	5413
0.090	2.092 9272	3220	1.637 3455	5693	0.039	2.076 9969	3027	1.609 0357	5408
0.089	2.092 6052	3216	1.636 7762	5688	0.038	2.076 6942	3023	1.608 4949	5403
0.088	2.092 2836	3212	1.636 2074	5681	0.037	2.076 3919	3020	1.607 9546	5397
0.087	2.091 9623	3208	1.635 6393	5676	0.036	2.076 0899	3017	1.607 4149	5393
0.086	2.091 6416	3204	1.635 0717	5670	0.035	2.075 7882	3012	1.606 8756	5387
0.085	2.091 3212	3200	1.634 5047	5664	0.034	2.075 4870	3010	1.606 3369	5381
0.084	2.091 0012	3196	1.633 9383	5658	0.033	2.075 1860	3005	1.605 7988	5377
0.083	2.090 6816	3193	1.633 3725	5652	0.032	2.074 8855	3003	1.605 2611	5371
0.082	2.090 3623	3188	1.632 8073	5646	0.031	2.074 5852	2998	1.604 7240	5366
0.081	2.090 0435	3184	1.632 2427	5641	0.030	2.074 2854	2996	1.604 1874	5361
0.080	2.089 7251	3181	1.631 6786	5635	0.029	2.073 9858	2992	1.603 6513	5355
0.079	2.089 4070	3176	1.631 1151	5629	0.028	2.073 6866	2988	1.603 1158	5351
0.078	2.089 0894	3173	1.630 5522	5624	0.027	2.073 3878	2985	1.602 5807	5345
0.077	2.088 7721	3169	1.629 9898	5617	0.026	2.073 0893	2981	1.602 0462	5340
0.076	2.088 4552	3164	1.629 4281	5612	0.025	2.072 7912	2978	1.601 5122	5335
0.075	2.088 1388	3161	1.628 8669	5606	0.024	2.072 4934	2974	1.600 9787	5329
0.074	2.087 8227	3157	1.628 3063	5601	0.023	2.072 1960	2971	1.600 4458	5325
0.073	2.087 5070	3154	1.627 7462	5595	0.022	2.071 8989	2968	1.599 9133	5319
0.072	2.087 1916	3149	1.627 1867	5589	0.021	2.071 6021	2964	1.599 3814	5315
0.071	2.086 8767	3145	1.626 6278	5583	0.020	2.071 3057	2960	1.598 8499	5309
0.070	2.086 5622	3142	1.626 0695	5578	0.019	2.071 0097	2958	1.598 3190	5304
0.069	2.086 2480	3138	1.625 5117	5572	0.018	2.070 7139	2953	1.597 7886	5299
0.068	2.085 9342	3134	1.624 9545	5567	0.017	2.070 4186	2951	1.597 2587	5294
0.067	2.085 6208	3130	1.624 3978	5561	0.016	2.070 1235	2947	1.596 7293	5289
0.066	2.085 3078	3127	1.623 8417	5555	0.015	2.069 8288	2943	1.596 2004	5284
0.065	2.084 9951	3122	1.623 2862	5550	0.014	2.069 5345	2941	1.595 6720	5278
0.064	2.084 6829	3119	1.622 7312	5544	0.013	2.069 2404	2937	1.595 1442	5274
0.063	2.084 3710	3115	1.622 1768	5538	0.012	2.068 9467	2933	1.594 6168	5269
0.062	2.084 0595	3112	1.621 6230	5533	0.011	2.068 6534	2930	1.594 0899	5263
0.061	2.083 7483	3107	1.621 0697	5528	0.010	2.068 3604	2927	1.593 5636	5259
0.060	2.083 4376	3104	1.620 5169	5521	0.009	2.068 0677	2923	1.593 0377	5254
0.059	2.083 1272	3100	1.619 9648	5517	0.008	2.067 7754	2921	1.592 5123	5248
0.058	2.082 8172	3097	1.619 4131	5510	0.007	2.067 4833	2916	1.591 9875	5244
0.057	2.082 5075	3092	1.618 8621	5506	0.006	2.067 1917	2914	1.591 4631	5239
0.056	2.082 1983	3089	1.618 3115	5500	0.005	2.066 9003	2910	1.590 9392	5233
0.055	2.081 8894	3085	1.617 7615	5494	0.004	2.066 6093	2907	1.590 4159	5229
0.054	2.081 5809	3082	1.617 2121	5489	0.003	2.066 3186	2903	1.589 8930	5224
0.053	2.081 2727	3078	1.616 6632	5483	0.002	2.066 0283	2901	1.589 3706	5219
0.052	2.080 9649	3074	1.616 1149	5478	0.001	2.065 7382	2896	1.588 8487	5214
0.051	2.080 6575	3070	1.615 5671	5473	0.000	2.065 4486		1.588 3273	

Tafel XVIII.

θ	$\log P_1$	Diff.	$\log P_2$	Diff.	θ	$\log P_1$	Diff.	$\log P_2$	Diff.
0.000	2.065 4486	—2894	1.588 3273	—5209	+0.050	2.051 3681	—2738	1.562 8647	—4975
+0.001	2.065 1592	—2890	1.588 8064	—5204	+0.051	2.051 0943	—2735	1.562 3672	—4971
+0.002	2.064 8702	—2888	1.588 2860	—5200	+0.052	2.050 8208	—2732	1.561 8701	—4966
+0.003	2.064 5814	—2883	1.587 7660	—5194	+0.053	2.050 5476	—2730	1.561 3735	—4962
+0.004	2.064 2931	—2881	1.587 2466	—5189	+0.054	2.050 2746	—2726	1.560 8773	—4957
+0.005	2.064 0050	—2877	1.586 7277	—5185	+0.055	2.050 0020	—2723	1.560 3816	—4953
+0.006	2.063 7173	—2875	1.586 2092	—5180	+0.056	2.049 7297	—2721	1.559 8863	—4948
+0.007	2.063 4298	—2870	1.585 6912	—5175	+0.057	2.049 4576	—2717	1.559 3915	—4944
+0.008	2.063 1428	—2868	1.585 1737	—5170	+0.058	2.049 1859	—2715	1.558 8971	—4939
+0.009	2.062 8560	—2865	1.584 6567	—5165	+0.059	2.048 9144	—2712	1.558 4032	—4935
+0.010	2.062 5695	—2861	1.584 1402	—5161	+0.060	2.048 6432	—2709	1.557 9096	—4930
+0.011	2.062 2834	—2858	1.583 6241	—5155	+0.061	2.048 3723	—2706	1.557 4166	—4927
+0.012	2.061 9976	—2855	1.583 1086	—5151	+0.062	2.048 1017	—2703	1.556 9239	—4922
+0.013	2.061 7121	—2851	1.582 5935	—5146	+0.063	2.047 8314	—2700	1.556 4317	—4917
+0.014	2.061 4270	—2849	1.582 0789	—5142	+0.064	2.047 5614	—2698	1.555 9400	—4914
+0.015	2.061 1421	—2845	1.581 5647	—5136	+0.065	2.047 2916	—2694	1.555 4486	—4909
+0.016	2.060 8576	—2842	1.581 0511	—5132	+0.066	2.047 0222	—2692	1.554 9577	—4904
+0.017	2.060 5734	—2839	1.580 5379	—5127	+0.067	2.046 7530	—2688	1.554 4673	—4900
+0.018	2.060 2895	—2836	1.579 0252	—5122	+0.068	2.046 4842	—2686	1.553 9773	—4896
+0.019	2.060 0059	—2832	1.578 5130	—5117	+0.069	2.046 2156	—2684	1.553 4877	—4892
+0.020	2.059 7227	—2830	1.578 0013	—5113	+0.070	2.045 9472	—2680	1.552 9985	—4887
+0.021	2.059 4397	—2826	1.577 4900	—5108	+0.071	2.045 6792	—2677	1.552 5098	—4883
+0.022	2.059 1571	—2823	1.576 9792	—5104	+0.072	2.045 4115	—2675	1.552 0215	—4879
+0.023	2.058 8748	—2820	1.576 4688	—5098	+0.073	2.045 1440	—2672	1.551 5336	—4874
+0.024	2.058 5928	—2817	1.575 9590	—5094	+0.074	2.044 8768	—2669	1.551 0462	—4871
+0.025	2.058 3111	—2814	1.575 4496	—5089	+0.075	2.044 6099	—2666	1.550 5591	—4865
+0.026	2.058 0297	—2811	1.574 9407	—5085	+0.076	2.044 3433	—2663	1.550 0726	—4862
+0.027	2.057 7486	—2808	1.574 4322	—5080	+0.077	2.044 0770	—2661	1.549 5864	—4857
+0.028	2.057 4678	—2804	1.573 9242	—5075	+0.078	2.043 8109	—2657	1.549 1007	—4854
+0.029	2.057 1874	—2802	1.573 4167	—5071	+0.079	2.043 5452	—2655	1.548 6153	—4848
+0.030	2.056 9072	—2798	1.572 9096	—5066	+0.080	2.043 2797	—2653	1.548 1305	—4845
+0.031	2.056 6274	—2795	1.572 4030	—5061	+0.081	2.043 0144	—2649	1.547 6460	—4841
+0.032	2.056 3479	—2793	1.571 8969	—5057	+0.082	2.042 7495	—2647	1.547 1619	—4836
+0.033	2.056 0686	—2790	1.571 3912	—5052	+0.083	2.042 4848	—2643	1.546 6783	—4832
+0.034	2.055 7897	—2786	1.570 8860	—5048	+0.084	2.042 2205	—2642	1.546 1951	—4828
+0.035	2.055 5111	—2783	1.570 3812	—5042	+0.085	2.041 9563	—2638	1.545 7123	—4823
+0.036	2.055 2328	—2780	1.569 8770	—5039	+0.086	2.041 6925	—2636	1.545 2300	—4820
+0.037	2.054 9548	—2777	1.569 3731	—5034	+0.087	2.041 4289	—2632	1.544 7480	—4815
+0.038	2.054 6771	—2774	1.568 8697	—5029	+0.088	2.041 1657	—2631	1.544 2665	—4811
+0.039	2.054 3997	—2771	1.568 3668	—5024	+0.089	2.040 9026	—2627	1.543 7854	—4807
+0.040	2.054 1226	—2768	1.567 8644	—5020	+0.090	2.040 6399	—2625	1.543 3047	—4803
+0.041	2.053 8458	—2765	1.567 3624	—5016	+0.091	2.040 3774	—2622	1.542 8244	—4798
+0.042	2.053 5693	—2762	1.566 8608	—5011	+0.092	2.040 1152	—2619	1.542 3446	—4795
+0.043	2.053 2931	—2759	1.566 3597	—5006	+0.093	2.039 8533	—2616	1.541 8651	—4790
+0.044	2.053 0172	—2756	1.565 8591	—5002	+0.094	2.039 5917	—2614	1.541 3861	—4786
+0.045	2.052 7416	—2753	1.565 3589	—4998	+0.095	2.039 3303	—2611	1.540 9075	—4782
+0.046	2.052 4663	—2750	1.564 8591	—4993	+0.096	2.039 0692	—2609	1.540 4293	—4778
+0.047	2.052 1913	—2747	1.564 3598	—4988	+0.097	2.038 8083	—2605	1.539 9515	—4774
+0.048	2.051 9166	—2744	1.563 8610	—4984	+0.098	2.038 5478	—2603	1.539 4741	—4770
+0.049	2.051 6422	—2741	1.563 3626	—4979	+0.099	2.038 2875	—2601	1.538 9971	—4766
+0.050	2.051 3681		1.562 8647		+0.100	2.038 0274		1.538 5205	

Tafel XVIII.

θ	$\log P_1$	Diff.	$\log P_2$	Diff.	θ	$\log P_1$	Diff.	$\log P_3$	Diff.
+ 0.100	2.038 0274	2598	1.538 5205	- 4761	+ 0.150	2.025 3561	- 2471	1.515 1982	- 4566
+ 0.101	2.037 7676	2595	1.538 0444	- 4758	+ 0.151	2.025 1090	- 2468	1.514 7416	- 4563
+ 0.102	2.037 5081	2592	1.537 5686	- 4753	+ 0.152	2.024 8622	- 2465	1.514 2853	- 4558
+ 0.103	2.037 2489	2590	1.537 0933	- 4750	+ 0.153	2.024 6157	- 2463	1.513 8295	- 4556
+ 0.104	2.036 9899	2587	1.536 6183	- 4745	+ 0.154	2.024 3694	- 2461	1.513 3739	- 4551
+ 0.105	2.036 7312	2584	1.536 1438	- 4741	+ 0.155	2.024 1233	- 2458	1.512 9188	- 4547
+ 0.106	2.036 4728	2582	1.535 6697	- 4737	+ 0.156	2.023 8775	- 2456	1.512 4641	- 4544
+ 0.107	2.036 2146	2579	1.535 1960	- 4734	+ 0.157	2.023 6319	- 2453	1.512 0097	- 4541
+ 0.108	2.035 9567	2576	1.534 7226	- 4729	+ 0.158	2.023 3866	- 2452	1.511 5556	- 4536
+ 0.109	2.035 6991	2574	1.534 2497	- 4725	+ 0.159	2.023 1414	- 2448	1.511 1020	- 4533
+ 0.110	2.035 4417	2572	1.533 7772	- 4721	+ 0.160	2.022 8966	- 2446	1.510 6487	- 4529
+ 0.111	2.035 1845	2568	1.533 3051	- 4717	+ 0.161	2.022 6520	- 2444	1.510 1958	- 4525
+ 0.112	2.034 9277	2566	1.532 8334	- 4713	+ 0.162	2.022 4076	- 2442	1.509 7433	- 4522
+ 0.113	2.034 6711	2564	1.532 3621	- 4710	+ 0.163	2.022 1634	- 2439	1.509 2911	- 4518
+ 0.114	2.034 4147	2560	1.531 8911	- 4705	+ 0.164	2.021 9195	- 2437	1.508 8393	- 4515
+ 0.115	2.034 1587	2559	1.531 4206	- 4701	+ 0.165	2.021 6758	- 2434	1.508 3878	- 4511
+ 0.116	2.033 9028	2555	1.530 9505	- 4697	+ 0.166	2.021 4324	- 2432	1.507 9367	- 4507
+ 0.117	2.033 6473	2553	1.530 4808	- 4693	+ 0.167	2.021 1892	- 2430	1.507 4860	- 4503
+ 0.118	2.033 3920	2551	1.530 0115	- 4690	+ 0.168	2.020 9462	- 2427	1.507 0357	- 4500
+ 0.119	2.033 1369	2547	1.529 5425	- 4685	+ 0.169	2.020 7035	- 2425	1.506 5857	- 4496
+ 0.120	2.032 8822	2546	1.529 0740	- 4682	+ 0.170	2.020 4610	- 2423	1.506 1361	- 4493
+ 0.121	2.032 6276	2542	1.528 6058	- 4677	+ 0.171	2.020 2187	- 2420	1.505 6868	- 4489
+ 0.122	2.032 3734	2541	1.528 1381	- 4674	+ 0.172	2.019 9767	- 2418	1.505 2379	- 4486
+ 0.123	2.032 1193	2537	1.527 6707	- 4669	+ 0.173	2.019 7349	- 2416	1.504 7893	- 4481
+ 0.124	2.031 8656	2535	1.527 2038	- 4666	+ 0.174	2.019 4933	- 2413	1.504 3412	- 4479
+ 0.125	2.031 6121	2533	1.526 7372	- 4662	+ 0.175	2.019 2520	- 2411	1.503 8933	- 4474
+ 0.126	2.031 3588	2530	1.526 2710	- 4658	+ 0.176	2.019 0109	- 2409	1.503 4459	- 4471
+ 0.127	2.031 1058	2527	1.525 8052	- 4654	+ 0.177	2.018 7700	- 2406	1.502 9988	- 4468
+ 0.128	2.030 8531	2525	1.525 3398	- 4650	+ 0.178	2.018 5294	- 2404	1.502 5520	- 4464
+ 0.129	2.030 6006	2522	1.524 8748	- 4646	+ 0.179	2.018 2890	- 2402	1.502 1056	- 4460
+ 0.130	2.030 3484	2520	1.524 4102	- 4642	+ 0.180	2.018 0488	- 2400	1.501 6596	- 4457
+ 0.131	2.030 0964	2517	1.523 9460	- 4639	+ 0.181	2.017 8088	- 2397	1.501 2139	- 4453
+ 0.132	2.029 8447	2515	1.523 4821	- 4635	+ 0.182	2.017 5691	- 2395	1.500 7686	- 4449
+ 0.133	2.029 5932	2513	1.523 0186	- 4630	+ 0.183	2.017 3296	- 2392	1.500 3237	- 4447
+ 0.134	2.029 3419	2509	1.522 5556	- 4627	+ 0.184	2.017 0904	- 2390	1.499 8790	- 4442
+ 0.135	2.029 0910	2508	1.522 0929	- 4623	+ 0.185	2.016 8514	- 2388	1.499 4348	- 4439
+ 0.136	2.028 8402	2504	1.521 6306	- 4620	+ 0.186	2.016 6126	- 2386	1.498 9909	- 4436
+ 0.137	2.028 5898	2503	1.521 1686	- 4615	+ 0.187	2.016 3740	- 2384	1.498 5473	- 4432
+ 0.138	2.028 3395	2499	1.520 7071	- 4612	+ 0.188	2.016 1356	- 2381	1.498 1041	- 4428
+ 0.139	2.028 0896	2498	1.520 2459	- 4608	+ 0.189	2.015 8975	- 2379	1.497 6613	- 4425
+ 0.140	2.027 8398	2495	1.519 7851	- 4603	+ 0.190	2.015 6596	- 2377	1.497 2188	- 4421
+ 0.141	2.027 5903	2492	1.519 3248	- 4601	+ 0.191	2.015 4219	- 2374	1.496 7767	- 4418
+ 0.142	2.027 3411	2490	1.518 8647	- 4596	+ 0.192	2.015 1845	- 2372	1.496 3349	- 4415
+ 0.143	2.027 0921	2487	1.518 4051	- 4593	+ 0.193	2.014 9473	- 2370	1.495 8934	- 4411
+ 0.144	2.026 8434	2485	1.517 9458	- 4588	+ 0.194	2.014 7103	- 2368	1.495 4523	- 4407
+ 0.145	2.026 5949	2483	1.517 4870	- 4585	+ 0.195	2.014 4735	- 2365	1.495 0116	- 4404
+ 0.146	2.026 3466	2480	1.517 0285	- 4582	+ 0.196	2.014 2370	- 2364	1.494 5712	- 4401
+ 0.147	2.026 0986	2478	1.516 5703	- 4577	+ 0.197	2.014 0009	- 2361	1.494 1311	- 4397
+ 0.148	2.025 8508	2475	1.516 1126	- 4574	+ 0.198	2.013 7645	- 2358	1.493 6914	- 4393
+ 0.149	2.025 6033	2472	1.515 6552	- 4570	+ 0.199	2.013 5287	- 2357	1.493 2521	- 4391
+ 0.150	2.025 3561		1.515 1982		+ 0.200	2.013 2930		1.492 8130	

Tafel XVIII.

θ	$\log P_1$	Diff.	$\log P_3$	Diff.	θ	$\log P_1$	Diff.	$\log P_3$	Diff.
+0.200	2.013 2930	-2354	1.492 8130	-4386	+0.250	2.001 7851	-2248	1.471 2906	-4221
+0.201	2.013 0576	-2352	1.492 3744	-4384	+0.251	2.001 5603	-2246	1.470 8685	-4218
+0.202	2.012 8224	-2350	1.491 9360	-4379	+0.252	2.001 3357	-2244	1.470 4467	-4214
+0.203	2.012 5874	-2348	1.491 4981	-4377	+0.253	2.001 1113	-2243	1.470 0253	-4212
+0.204	2.012 3526	-2345	1.491 0604	-4373	+0.254	2.000 8870	-2240	1.469 6041	-4208
+0.205	2.012 1181	-2344	1.490 6231	-4369	+0.255	2.000 6630	-2238	1.469 1833	-4206
+0.206	2.011 8837	-2341	1.490 1862	-4366	+0.256	2.000 4392	-2236	1.468 7627	-4202
+0.207	2.011 6496	-2339	1.489 7496	-4363	+0.257	2.000 2156	-2234	1.468 3425	-4199
+0.208	2.011 4157	-2336	1.489 3133	-4359	+0.258	1.999 9922	-2232	1.467 9226	-4196
+0.209	2.011 1821	-2335	1.488 8774	-4356	+0.259	1.999 7690	-2230	1.467 5030	-4192
+0.210	2.010 9486	-2332	1.488 4418	-4353	+0.260	1.999 5460	-2229	1.467 0838	-4190
+0.211	2.010 7154	-2330	1.488 0065	-4349	+0.261	1.999 3231	-2226	1.466 6648	-4186
+0.212	2.010 4824	-2328	1.487 5716	-4346	+0.262	1.999 1005	-2224	1.466 2462	-4184
+0.213	2.010 2496	-2326	1.487 1370	-4342	+0.263	1.998 8781	-2222	1.465 8278	-4180
+0.214	2.010 0170	-2324	1.486 7028	-4339	+0.264	1.998 6559	-2220	1.465 4098	-4177
+0.215	2.009 7846	-2321	1.486 2689	-4336	+0.265	1.998 4339	-2218	1.464 9921	-4174
+0.216	2.009 5525	-2320	1.485 8353	-4332	+0.266	1.998 2121	-2217	1.464 5747	-4171
+0.217	2.009 3205	-2317	1.485 4021	-4329	+0.267	1.997 9904	-2214	1.464 1576	-4167
+0.218	2.009 0888	-2315	1.484 9692	-4326	+0.268	1.997 7690	-2212	1.463 7409	-4165
+0.219	2.008 8573	-2313	1.484 5366	-4322	+0.269	1.997 5478	-2210	1.463 3244	-4161
+0.220	2.008 6260	-2311	1.484 1044	-4319	+0.270	1.997 3268	-2209	1.462 9083	-4159
+0.221	2.008 3949	-2308	1.483 6725	-4315	+0.271	1.997 1059	-2206	1.462 4924	-4155
+0.222	2.008 1641	-2307	1.483 2410	-4313	+0.272	1.996 8853	-2204	1.462 0769	-4152
+0.223	2.007 9334	-2304	1.482 8097	-4309	+0.273	1.996 6649	-2203	1.461 6617	-4150
+0.224	2.007 7030	-2303	1.482 3788	-4305	+0.274	1.996 4446	-2200	1.461 2467	-4146
+0.225	2.007 4727	-2300	1.481 9483	-4302	+0.275	1.996 2246	-2199	1.460 8321	-4143
+0.226	2.007 2427	-2298	1.481 5181	-4299	+0.276	1.996 0047	-2197	1.460 4178	-4140
+0.227	2.007 0129	-2296	1.481 0882	-4296	+0.277	1.995 7850	-2194	1.460 0038	-4137
+0.228	2.006 7833	-2293	1.480 6586	-4292	+0.278	1.995 5656	-2193	1.459 5901	-4134
+0.229	2.006 5540	-2292	1.480 2294	-4289	+0.279	1.995 3463	-2191	1.459 1767	-4131
+0.230	2.006 3248	-2290	1.479 8005	-4286	+0.280	1.995 1272	-2189	1.458 7636	-4127
+0.231	2.006 0958	-2287	1.479 3719	-4283	+0.281	1.994 9083	-2187	1.458 3509	-4125
+0.232	2.005 8671	-2286	1.478 9436	-4279	+0.282	1.994 6896	-2185	1.457 9384	-4122
+0.233	2.005 6385	-2283	1.478 5157	-4276	+0.283	1.994 4711	-2183	1.457 5262	-4119
+0.234	2.005 4102	-2281	1.478 0881	-4273	+0.284	1.994 2528	-2181	1.457 1143	-4115
+0.235	2.005 1821	-2279	1.477 6608	-4269	+0.285	1.994 0347	-2179	1.456 7028	-4113
+0.236	2.004 9542	-2277	1.477 2339	-4266	+0.286	1.993 8168	-2177	1.456 2915	-4110
+0.237	2.004 7265	-2275	1.476 8073	-4263	+0.287	1.993 5990	-2175	1.455 8805	-4106
+0.238	2.004 4990	-2273	1.476 3810	-4260	+0.288	1.993 3815	-2174	1.455 4699	-4104
+0.239	2.004 2717	-2271	1.475 9550	-4256	+0.289	1.993 1641	-2171	1.455 0595	-4101
+0.240	2.004 0446	-2269	1.475 5294	-4254	+0.290	1.992 9470	-2170	1.454 6494	-4097
+0.241	2.003 8177	-2266	1.475 1040	-4249	+0.291	1.992 7300	-2168	1.454 2397	-4095
+0.242	2.003 5911	-2265	1.474 6791	-4247	+0.292	1.992 5132	-2166	1.453 8302	-4092
+0.243	2.003 3646	-2262	1.474 2544	-4244	+0.293	1.992 2966	-2164	1.453 4210	-4088
+0.244	2.003 1384	-2261	1.473 8300	-4240	+0.294	1.992 0802	-2162	1.453 0122	-4086
+0.245	2.002 9123	-2258	1.473 4060	-4237	+0.295	1.991 8640	-2160	1.452 6036	-4083
+0.246	2.002 6865	-2257	1.472 9823	-4234	+0.296	1.991 6480	-2159	1.452 1953	-4079
+0.247	2.002 4608	-2254	1.472 5589	-4231	+0.297	1.991 4321	-2156	1.451 7874	-4077
+0.248	2.002 2354	-2252	1.472 1358	-4227	+0.298	1.991 2165	-2155	1.451 3797	-4074
+0.249	2.002 0102	-2251	1.471 7131	-4225	+0.299	1.991 0010	-2153	1.450 9723	-4071
+0.250	2.001 7851		1.471 2906		+0.300	1.990 7857		1.450 5652	

Tafel XIX.

vergl. pag. 512.

Jahr.	Jan.	Febr.	März.	April.	Mai.	Juni.	Juli.	Aug.	Sept.	Oct.	Nov.	Dec.	Jahr.	Jan.	Febr.	März.	April.	Mai.	Juni.	Juli.	Aug.	Sept.	Oct.	Nov.	Dec.
00	10	11	12	13	14	15	16	17	18	19	20	21	50	51	52	53	54	55	56	57	58	59	60	61	62
01	11	12	13	14	15	16	17	18	19	20	21	22	51	52	53	54	55	56	57	58	59	60	61	62	63
02	12	13	14	15	16	17	18	19	20	21	22	23	52	53	54	55	56	57	58	59	60	61	62	63	64
03	13	14	15	16	17	18	19	20	21	22	23	24	53	54	55	56	57	58	59	60	61	62	63	64	65
04	14	15	16	17	18	19	20	21	22	23	24	25	54	55	56	57	58	59	60	61	62	63	64	65	66
05	15	16	17	18	19	20	21	22	23	24	25	26	55	56	57	58	59	60	61	62	63	64	65	66	67
06	16	17	18	19	20	21	22	23	24	25	26	27	56	57	58	59	60	61	62	63	64	65	66	67	68
07	17	18	19	20	21	22	23	24	25	26	27	28	57	58	59	60	61	62	63	64	65	66	67	68	69
08	18	19	20	21	22	23	24	25	26	27	28	29	58	59	60	61	62	63	64	65	66	67	68	69	70
09	19	20	21	22	23	24	25	26	27	28	29	30	59	60	61	62	63	64	65	66	67	68	69	70	71
10	20	21	22	23	24	25	26	27	28	29	30	31	60	61	62	63	64	65	66	67	68	69	70	71	72
11	21	22	23	24	25	26	27	28	29	30	31	32	61	62	63	64	65	66	67	68	69	70	71	72	73
12	22	23	24	25	26	27	28	29	30	31	32	33	62	63	64	65	66	67	68	69	70	71	72	73	74
13	23	24	25	26	27	28	29	30	31	32	33	34	63	64	65	66	67	68	69	70	71	72	73	74	75
14	24	25	26	27	28	29	30	31	32	33	34	35	64	65	66	67	68	69	70	71	72	73	74	75	76
15	25	26	27	28	29	30	31	32	33	34	35	36	65	66	67	68	69	70	71	72	73	74	75	76	77
16	26	27	28	29	30	31	32	33	34	35	36	37	66	67	68	69	70	71	72	73	74	75	76	77	78
17	27	28	29	30	31	32	33	34	35	36	37	38	67	68	69	70	71	72	73	74	75	76	77	78	79
18	28	29	30	31	32	33	34	35	36	37	38	39	68	69	70	71	72	73	74	75	76	77	78	79	80
19	29	30	31	32	33	34	35	36	37	38	39	40	69	70	71	72	73	74	75	76	77	78	79	80	81
20	30	31	32	33	34	35	36	37	38	39	40	41	70	71	72	73	74	75	76	77	78	79	80	81	82
21	31	32	33	34	35	36	37	38	39	40	41	42	71	72	73	74	75	76	77	78	79	80	81	82	83
22	32	33	34	35	36	37	38	39	40	41	42	43	72	73	74	75	76	77	78	79	80	81	82	83	84
23	33	34	35	36	37	38	39	40	41	42	43	44	73	74	75	76	77	78	79	80	81	82	83	84	85
24	34	35	36	37	38	39	40	41	42	43	44	45	74	75	76	77	78	79	80	81	82	83	84	85	86
25	35	36	37	38	39	40	41	42	43	44	45	46	75	76	77	78	79	80	81	82	83	84	85	86	87
26	36	37	38	39	40	41	42	43	44	45	46	47	76	77	78	79	80	81	82	83	84	85	86	87	88
27	37	38	39	40	41	42	43	44	45	46	47	48	77	78	79	80	81	82	83	84	85	86	87	88	89
28	38	39	40	41	42	43	44	45	46	47	48	49	78	79	80	81	82	83	84	85	86	87	88	89	90
29	39	40	41	42	43	44	45	46	47	48	49	50	79	80	81	82	83	84	85	86	87	88	89	90	91
30	40	41	42	43	44	45	46	47	48	49	50	51	80	81	82	83	84	85	86	87	88	89	90	91	92
31	41	42	43	44	45	46	47	48	49	50	51	52	81	82	83	84	85	86	87	88	89	90	91	92	93
32	42	43	44	45	46	47	48	49	50	51	52	53	82	83	84	85	86	87	88	89	90	91	92	93	94
33	43	44	45	46	47	48	49	50	51	52	53	54	83	84	85	86	87	88	89	90	91	92	93	94	95
34	44	45	46	47	48	49	50	51	52	53	54	55	84	85	86	87	88	89	90	91	92	93	94	95	96
35	45	46	47	48	49	50	51	52	53	54	55	56	85	86	87	88	89	90	91	92	93	94	95	96	97
36	46	47	48	49	50	51	52	53	54	55	56	57	86	87	88	89	90	91	92	93	94	95	96	97	98
37	47	48	49	50	51	52	53	54	55	56	57	58	87	88	89	90	91	92	93	94	95	96	97	98	99
38	48	49	50	51	52	53	54	55	56	57	58	59	88	89	90	91	92	93	94	95	96	97	98	99	100
39	49	50	51	52	53	54	55	56	57	58	59	60	89	90	91	92	93	94	95	96	97	98	99	100	101
40	50	51	52	53	54	55	56	57	58	59	60	61	90	91	92	93	94	95	96	97	98	99	100	101	102
41	51	52	53	54	55	56	57	58	59	60	61	62	91	92	93	94	95	96	97	98	99	100	101	102	103
42	52	53	54	55	56	57	58	59	60	61	62	63	92	93	94	95	96	97	98	99	100	101	102	103	104
43	53	54	55	56	57	58	59	60	61	62	63	64	93	94	95	96	97	98	99	100	101	102	103	104	105
44	54	55	56	57	58	59	60	61	62	63	64	65	94	95	96	97	98	99	100	101	102	103	104	105	106
45	55	56	57	58	59	60	61	62	63	64	65	66	95	96	97	98	99	100	101	102	103	104	105	106	107
46	56	57	58	59	60	61	62	63	64	65	66	67	96	97	98	99	100	101	102	103	104	105	106	107	108
47	57	58	59	60	61	62	63	64	65	66	67	68	97	98	99	100	101	102	103	104	105	106	107	108	109
48	58	59	60	61	62	63	64	65	66	67	68	69	98	99	100	101	102	103	104	105	106	107	108	109	110
49	59	60	61	62	63	64	65	66	67	68	69	70	99	100	101	102	103	104	105	106	107	108	109	110	111

Tageszahl der Jahrhunderte + Tageszahl für Jahr und Monat + Monatsdatum = Tageszahl der julianischen Periode für den Tagesanfang.
 Für negative Jahre zählen wir nach 1. höheren und negativen Jahrhunderte auszugehen, also z. B. 30 = 400 + 14

Tafel XIX.

Julianischer Kalender v. Chr.	Julianischer Kalender n. Chr.	$\frac{1}{2}^h$ h m s	$\frac{1}{2}^h$ h m s	$\frac{1}{2}^h$ m s	$\frac{1}{2}^h$ m s	$\frac{1}{2}^h$ s	$\frac{1}{2}^h$ s
Jahrh.	Jahrh.	o.	o.	o.	o.	o.	o.
— 400	4 382	00	00	00	00	00	00
— 4600	40 907	01	01	01	01	01	01
— 4500	77 432	02	02	02	02	02	02
— 4400	113 957	03	03	03	03	03	03
— 4300	150 482	04	04	04	04	04	04
— 4200	187 007	05	05	05	05	05	05
— 4100	223 532	06	06	06	06	06	06
— 4000	260 057	07	07	07	07	07	07
— 3900	296 582	08	08	08	08	08	08
— 3800	333 107	09	09	09	09	09	09
— 3700	369 632	10	10	10	10	10	10
— 3600	406 157	11	11	11	11	11	11
— 3500	442 682	12	12	12	12	12	12
— 3400	479 207	13	13	13	13	13	13
— 3300	515 732	14	14	14	14	14	14
— 3200	552 257	15	15	15	15	15	15
— 3100	588 782	16	16	16	16	16	16
— 3000	625 307	17	17	17	17	17	17
— 2900	661 832	18	18	18	18	18	18
— 2800	698 357	19	19	19	19	19	19
— 2700	734 882	20	20	20	20	20	20
— 2600	771 407	21	21	21	21	21	21
— 2500	807 932	22	22	22	22	22	22
— 2400	844 457	23	23	23	23	23	23
— 2300	880 982	24	24	24	24	24	24
— 2200	917 507	25	25	25	25	25	25
— 2100	954 032	26	26	26	26	26	26
— 2000	990 557	27	27	27	27	27	27
— 1900	1027 082	28	28	28	28	28	28
— 1800	1063 607	29	29	29	29	29	29
— 1700	1100 132	30	30	30	30	30	30
— 1600	1136 657	31	31	31	31	31	31
— 1500	1173 182	32	32	32	32	32	32
— 1400	1209 707	33	33	33	33	33	33
— 1300	1246 232	34	34	34	34	34	34
— 1200	1282 757	35	35	35	35	35	35
— 1100	1319 282	36	36	36	36	36	36
— 1000	1355 807	37	37	37	37	37	37
— 900	1392 332	38	38	38	38	38	38
— 800	1428 857	39	39	39	39	39	39
— 700	1465 382	40	40	40	40	40	40
— 600	1501 907	41	41	41	41	41	41
— 500	1538 432	42	42	42	42	42	42
— 400	1574 957	43	43	43	43	43	43
— 300	1611 482	44	44	44	44	44	44
— 200	1648 007	45	45	45	45	45	45
— 100	1684 532	46	46	46	46	46	46

Die in [...] eingeschlossenen Jahrhunderte des gregorianischen Kalenders dürfen nicht mit der Zeile ∞ der Jahrestafel, sondern nur mit der ober dem Horizontalstriche stehenden Zeile ∞ [g K] verbunden werden.

Form der Tageszahl $7n = \infty, 7n + 1 = 1, 7n + 2 = 2, 7n + 3 = 3, 7n + 4 = 4, 7n + 5 = 5, 7n + 6 = 6$.

Das Berliner Jahrbuch gibt die heliocentrischen Coordinaten für die grossen Planeten für die Tage von der Form $40n + 24$.

Das Berliner Jahrbuch gibt die Jähresephemeriden der kleinen Planeten für die Tage von der Form $20n + 4$.

Berichtigungen.

Seite 4 Zeile 4 von oben sind die Aufschriften der 2. und 3. Columnne zu vertauschen

„ 5 Formel 3 statt $\sum_{i=i_0}^{i=i_0-1} f(a+i+1)w$ lies. $\sum_{i=i_0}^{i=i_0-1} f(a+i+\frac{1}{2})w$

„ 5 „ 4 „ $\sum_{i=i_0}^{i=i_0-1} f(a+i+\frac{1}{2})w$ „ $\sum_{i=i_0}^{i=i_0-1} f(a+i+\frac{1}{2})w$

„ 11 Zeile 4 von oben statt $1^2, 3^2, \dots$ lies. $1^2, 3^2, \dots$

„ 18 „ 2 „ unten „ $C^3\{1^1, \dots, 7^1\}$ „ $C^3\{1^2, \dots, 7^2\}$

„ 19 in $N_2^{10}n$ statt $9.10n^2$ lies. $9.10n^3$

„ 20 „ M_2^9m „ $6.7m^2$ „ $6.7m^4$

„ 38 Zeile 11 von oben statt »von der oberen« lies. »von jenem der oberen«

„ 53 „ 7 „ unten „ $f^{11}a$ lies. $f^{11}a$

„ 63 „ 8 „ „ „ »gebildete Summationsreihe« lies. »gebildeten Summationsreihen«

„ 89 „ 15 „ oben am Schlusse statt $\int p$ lies. $\int \int p$

„ 89 „ 7 „ unten statt $\left(\int \frac{p_0}{k} + \int \int \frac{p}{k}\right)$ lies. $\left(\int p_0 + \int \int p\right)$

„ 99 „ 18 „ oben statt $\sin 1''$ lies. $\sin 1''$

„ 100 „ 12 „ „ „ vortestlt lies. vorstellt

„ 100 2. Zeile in Formel I statt $-\sin \varphi \cos i_0$ lies. $-\sin \varphi_0 \cos i_0$

„ 105 Zeile 4 von oben statt 6.8 lies. 6''8

„ 108 „ 13 „ „ „ $\sin \vartheta$ lies. $q \sin \vartheta$

„ 108 Formel IV ist durchaus statt ω der Buchstabe w zu setzen

„ 112 Zeile 2 von oben Columnne 1) statt -257.64 lies. -257.61

„ 112 „ 4 „ „ „ $11f$ „ $+10.78$ „ $+10.87$

„ 133 „ 15 „ „ „ statt $s = \frac{1}{2} \mathcal{Q} + \mathcal{Q}_0$ lies. $S = \frac{1}{2} \mathcal{Q} + \mathcal{Q}_0$

„ 146 „ 3 „ unten im 3. Gliede links vom $=$ statt $\frac{k^2}{r^2}$ lies. $\frac{k^2}{r^2}$

„ 148 in der 3. Gleichung in IX statt $\frac{d^2z}{dt}$ lies. $\frac{d^2z}{dt^2}$

„ 156 Zeile 14 von oben statt W lies. W_1

„ 170 4. Zeile der Formel II) statt r lies. r

„ 181 Zeile 5 von oben fehlt $=$ nach $1+r$

„ 209 „ 4 „ „ „ statt Formel lies. Formeln

„ 235 „ 8 „ unten „ $3kw$ lies. $\log 3kw$

„ 256 „ 2 „ oben „ »die Folge« lies. »in Folge«

„ 278 „ 10 „ „ „ fehlen die Schlussworte »ersetzt und $F' = \int$ mit $-F' = \int$ vertauscht, was für die folgende Schlussfolgerung erlaubt ist «

„ 283 „ 17 „ unten statt $\frac{y}{l}$ lies. $\frac{k}{y}$

„ 293 Formel 3 im Nenner statt $1 - \frac{u_{n+1}}{u_n} \sqrt{\frac{k}{2}}$ lies. $1 - \frac{u_{n+1}}{u_n} \sqrt{\frac{k}{2}}$ nicht in allen Abzügen.

Seite 303 Zeile 10 von unten statt und lies: und

„ 310 „ 10 „ oben „ das „ dass

„ 332 „ 16 „ „ „ nan „ man

„ 336 „ 8 „ „ fällt am Schlusse „er-“ weg

„ 344 „ 14 „ unten statt untersten lies: unteren

„ 344 „ 10 „ „ „ Verticalcolumn lies: Verticalcolumnne

„ 348 „ 15 „ „ „ — $\frac{c f^2}{c^2 c^2}$ lies: — $\frac{c f^2}{c^2 c^2} B_2$

„ 353 im Titel statt § 3 lies: § 5

„ 388 Zeile 4 und 5 von oben statt vorsetzen, lies: voraussetzen

„ 392 „ 3 von unten statt $\frac{\cos \frac{1}{2} \pi - \pi_0}{\cos \frac{1}{2} \pi - \pi_0} \delta \eta$ lies: $\frac{\cos \frac{1}{2} \pi + \pi_0}{\cos \frac{1}{2} \pi - \pi_0} \delta \eta$

„ 415 „ 6 „ „ „ „noch erwähnen“ lies: „noch zu erwähnen“

„ 432 Formel 16 statt $\frac{\partial I_3}{\partial \xi_0}$ lies: $\frac{\partial I_3}{\partial \xi_0}$

„ 432 „ 16 ist in $\frac{\partial I_4}{\partial x_0}$ rechter Hand ξ_0 mit x_0 zu vertauschen

„ 447 Zeile 1 von unten statt $\partial b, \partial \epsilon_0$ lies: $\partial a, \partial \epsilon_0$

„ 454 „ 1 „ oben „ 6,1960 δ_0 lies: 6,1960 $\delta \xi_0$

„ 460 „ 7 „ „ „ Systeme, lies: , Systeme

„ 468 „ 17 „ „ „ — 0.25 und 0.25 lies: — 0.24 und 0.24

„ 470 „ 11 „ unten „ 9.9999446 lies: 8.9999446

„ 471 „ 2 „ „ „ Zeichen lies: Zeichen

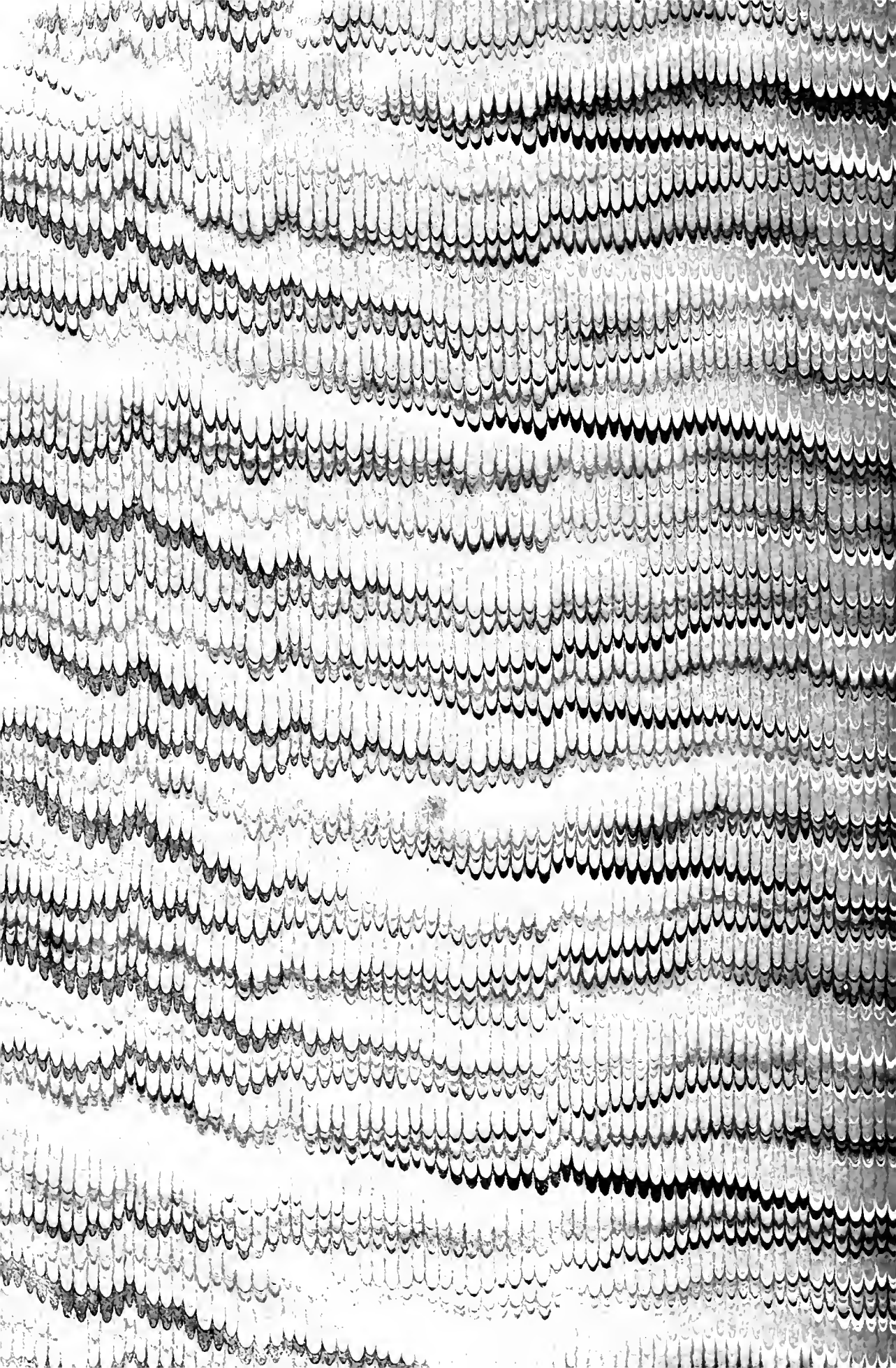
„ 483 Formel C erste Zeile statt $\begin{pmatrix} d\lambda_1 \\ \delta y \end{pmatrix}$ lies: $\begin{pmatrix} \delta\lambda_1 \\ \delta y \end{pmatrix}$

„ 486 Zeile 8 von oben statt $\mathcal{A}y$ lies: $\mathcal{A}y$

„ 500 „ 7 „ „ „ in den beiden Nennern statt dy lies: δy .







WELLESLEY COLLEGE LIBRARY



3 5002 03506 9413

Science QWB 455 .U7

Uppolzer, Theodor von.
1841-1890.

Lehrbuch der Gammbeziehung
der Kometen und Planeten.

